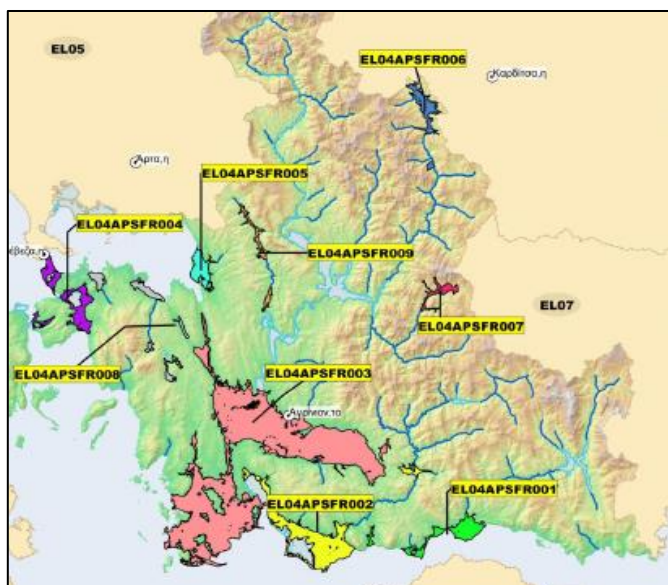




ΕΛΛΗΝΙΚΗ ΔΗΜΟΚΡΑΤΙΑ



**ΓΕΝΙΚΗ ΓΡΑΜΜΑΤΕΙΑ ΦΥΣΙΚΟΥ ΠΕΡΙΒΑΛΛΟΝΤΟΣ
ΚΑΙ ΥΔΑΤΩΝ
ΓΕΝΙΚΗ ΔΙΕΥΘΥΝΣΗ ΥΔΑΤΩΝ**



1^η ΑΝΑΘΕΩΡΗΣΗ
ΣΧΕΔΙΟΥ ΔΙΑΧΕΙΡΙΣΗΣ ΚΙΝΔΥΝΩΝ ΠΛΗΜΜΥΡΑΣ
των Λεκανών Απορροής Ποταμών του
Υδατικού Διαμερίσματος Δυτικής Στερεάς Ελλάδας (EL04)

Στάδιο 1 – Παραδοτέο 4

ΠΛΗΜΜΥΡΙΚΑ ΥΔΡΟΓΡΑΦΗΜΑΤΑ

Παράρτημα Π4.7:
Υδρολογική Ανάλυση λεκάνης Λίμνης Βουλκαριάς



Ευρωπαϊκή Ένωση
Ταμείο Συνοχής



Με τη συγχρηματοδότηση της Ελλάδας και της Ευρωπαϊκής Ένωσης

Περιεχόμενα

<u>1 ΜΟΝΤΕΛΟ ΥΔΡΟΛΟΓΙΚΗΣ ΠΡΟΣΟΜΟΙΩΣΗΣ ΛΕΚΑΝΗΣ ΑΠΟΡΡΟΗΣ</u>	<u>4</u>
<u>2 ΔΕΔΟΜΕΝΑ ΕΙΣΟΔΟΥ ΚΑΙ ΑΠΟΤΕΛΕΣΜΑΤΑ ΥΔΡΟΛΟΓΙΚΟΥ ΣΕΝΑΡΙΟΥ T=50</u>	<u>9</u>
2.1 Αποτελέσματα, υετογραφήματα και υδρογραφήματα σχεδιασμού υπολεκανών	10
2.2 Δεδομένα και υδρογραφήματα σχεδιασμού Κλάδων υδρογραφικού δικτύου	38
2.3 Δεδομένα και υδρογραφήματα σχεδιασμού Κόμβων υδρογραφικού δικτύου	56
<u>3 ΔΕΔΟΜΕΝΑ ΕΙΣΟΔΟΥ ΚΑΙ ΑΠΟΤΕΛΕΣΜΑΤΑ ΥΔΡΟΛΟΓΙΚΟΥ ΣΕΝΑΡΙΟΥ T=50 L</u>	<u>76</u>
3.1 Αποτελέσματα, υετογραφήματα και υδρογραφήματα σχεδιασμού υπολεκανών	77
3.2 Δεδομένα και υδρογραφήματα σχεδιασμού Κλάδων υδρογραφικού δικτύου	105
3.3 Δεδομένα και υδρογραφήματα σχεδιασμού Κόμβων υδρογραφικού δικτύου	123
<u>4 ΔΕΔΟΜΕΝΑ ΕΙΣΟΔΟΥ ΚΑΙ ΑΠΟΤΕΛΕΣΜΑΤΑ ΥΔΡΟΛΟΓΙΚΟΥ ΣΕΝΑΡΙΟΥ T=50 U</u>	<u>143</u>
4.1 Αποτελέσματα, υετογραφήματα και υδρογραφήματα σχεδιασμού υπολεκανών	144
4.2 Δεδομένα και υδρογραφήματα σχεδιασμού Κλάδων υδρογραφικού δικτύου	172
4.3 Δεδομένα και υδρογραφήματα σχεδιασμού Κόμβων υδρογραφικού δικτύου	190
<u>5 ΔΕΔΟΜΕΝΑ ΕΙΣΟΔΟΥ ΚΑΙ ΑΠΟΤΕΛΕΣΜΑΤΑ ΥΔΡΟΛΟΓΙΚΟΥ ΣΕΝΑΡΙΟΥ T=100</u>	<u>210</u>
5.1 Αποτελέσματα, υετογραφήματα και υδρογραφήματα σχεδιασμού υπολεκανών	211
5.2 Δεδομένα και υδρογραφήματα σχεδιασμού Κλάδων υδρογραφικού δικτύου	239
5.3 Δεδομένα και υδρογραφήματα σχεδιασμού Κόμβων υδρογραφικού δικτύου	257
<u>6 ΔΕΔΟΜΕΝΑ ΕΙΣΟΔΟΥ ΚΑΙ ΑΠΟΤΕΛΕΣΜΑΤΑ ΥΔΡΟΛΟΓΙΚΟΥ ΣΕΝΑΡΙΟΥ T=100 L</u>	<u>277</u>
6.1 Αποτελέσματα, υετογραφήματα και υδρογραφήματα σχεδιασμού υπολεκανών	278
6.2 Δεδομένα και υδρογραφήματα σχεδιασμού Κλάδων υδρογραφικού δικτύου	306
6.3 Δεδομένα και υδρογραφήματα σχεδιασμού Κόμβων υδρογραφικού δικτύου	324
<u>7 ΔΕΔΟΜΕΝΑ ΕΙΣΟΔΟΥ ΚΑΙ ΑΠΟΤΕΛΕΣΜΑΤΑ ΥΔΡΟΛΟΓΙΚΟΥ ΣΕΝΑΡΙΟΥ T=100 U</u>	<u>344</u>
7.1 Αποτελέσματα, υετογραφήματα και υδρογραφήματα σχεδιασμού υπολεκανών	345
7.2 Δεδομένα και υδρογραφήματα σχεδιασμού Κλάδων υδρογραφικού δικτύου	373
7.3 Δεδομένα και υδρογραφήματα σχεδιασμού Κόμβων υδρογραφικού δικτύου	391
<u>8 ΔΕΔΟΜΕΝΑ ΕΙΣΟΔΟΥ ΚΑΙ ΑΠΟΤΕΛΕΣΜΑΤΑ ΥΔΡΟΛΟΓΙΚΟΥ ΣΕΝΑΡΙΟΥ T=1000</u>	<u>411</u>

8.1	Αποτελέσματα, υετογραφήματα και υδρογραφήματα σχεδιασμού υπολεκανών	412
8.2	Δεδομένα και υδρογραφήματα σχεδιασμού Κλάδων υδρογραφικού δικτύου	440
8.3	Δεδομένα και υδρογραφήματα σχεδιασμού Κόμβων υδρογραφικού δικτύου	457

9 ΔΕΔΟΜΕΝΑ ΕΙΣΟΔΟΥ ΚΑΙ ΑΠΟΤΕΛΕΣΜΑΤΑ ΥΔΡΟΛΟΓΙΚΟΥ ΣΕΝΑΡΙΟΥ T=1000L478

9.1	Αποτελέσματα, υετογραφήματα και υδρογραφήματα σχεδιασμού υπολεκανών	479
9.2	Δεδομένα και υδρογραφήματα σχεδιασμού Κλάδων υδρογραφικού δικτύου	507
9.3	Δεδομένα και υδρογραφήματα σχεδιασμού Κόμβων υδρογραφικού δικτύου	525

10 ΔΕΔΟΜΕΝΑ ΕΙΣΟΔΟΥ ΚΑΙ ΑΠΟΤΕΛΕΣΜΑΤΑ ΥΔΡΟΛΟΓΙΚΟΥ ΣΕΝΑΡΙΟΥ T=1000U545

10.1	Αποτελέσματα, υετογραφήματα και υδρογραφήματα σχεδιασμού υπολεκανών	546
10.2	Δεδομένα και υδρογραφήματα σχεδιασμού Κλάδων υδρογραφικού δικτύου	574
10.3	Δεδομένα και υδρογραφήματα σχεδιασμού Κόμβων υδρογραφικού δικτύου	592

1 Μοντέλο Υδρολογικής Προσομοίωσης Λεκάνης Απορροής

Το μοντέλο υδρολογικής προσομοίωσης της λεκάνης απορροής της λίμνης Βουλκαρία περιλαμβάνει 27 υπολεκάνες, 20 κόμβους και 18 κλάδους υδρογραφικού δικτύου, ορισμένοι από τους οποίους είναι εικονικοί. Το μεγαλύτερο τμήμα της λεκάνης, έκτασης 123.4 km², εκφορτίζεται στην ίδια τη λίμνη, μέσω του εννοιολογικού κόμβου J1, ενώ ένα μικρότερο τμήμα, έκτασης 6.5 km², απορρέει στον κόλπο της Παλαίρου, μέσω του κόμβου εξόδου J13. Η ίδια η λίμνη καταλαμβάνει το 95% της υπολεκάνης EL0415FL007001, που προσομοιώνεται ως πλήρως αδιαπέρατη επιφάνεια (συνεπώς, το σύνολο της βροχόπτωσης μετατρέπεται σε εισροή στη λίμνη). Το υπόλοιπο 5% καταλαμβάνουν οι νησίδες που βρίσκονται εντός των ορίων της λίμνης. Περιμετρικά της Βουλκαρίας συμβάλλουν τέσσερις υπολεκάνες, με κόμβους εξόδου τους J2, J3, J4 και J5. Οι κόμβοι αυτοί συνδέονται με τον «κατάντη» κόμβο J1, μέσω των εικονικών κλάδων R21, R31, R41 και R51, για τους οποίους θεωρείται μηδενικός χρόνος ροής. Ο κόμβος J1 θεωρείται το εννοιολογικό σημείο συγκέντρωσης των εισροών της λίμνης, από τον οποίο ξεκινά αποστραγγιστική τάφρος (γνωστή ως Διώρυγα Κλεοπάτρας), που διοχετεύει τα πλεονάζοντα νερά της λίμνης στο Ιόνιο Πέλαγος, στο ύψος του χωριού Άγιος Νικόλαος. Η λειτουργία αυτή δεν αναπαρίσταται στο υδρολογικό μοντέλο.

Η σχηματοποίηση του υδρολογικού συστήματος απεικονίζεται στον χάρτη της Εικόνας 5-9.

Τα χαρακτηριστικά μεγέθη του είναι:

- Έκταση $A = 139.93 \text{ km}^2$
- Μέσο υψόμετρο $z_m = 274.4 \text{ m}$
- Υψόμετρο κόμβου εξόδου $z_k = 0.0 \text{ m}$
- Μέγιστο μήκος ροής $L_{\max} = 22.98 \text{ km}$
- Χρόνος συγκέντρωσης $t_c = 5.8 \text{ h}$

Για την υδρολογική προσομοίωση επιλέγεται διάρκεια βροχής $D = 24 \text{ h}$ και χρονικό βήμα $\Delta t = 15 \text{ min}$.

Για την παραπάνω έκταση και διάρκεια προκύπτει συντελεστής επιφανειακής αναγωγής $\varphi = 0.927$.

Επισημαίνεται ότι ο χρόνος συγκέντρωσης του συστήματος εκτιμάται με βάση τα χαρακτηριστικά της λεκάνης απορροής του κύριου ρέματος που τροφοδοτεί τη λίμνη Βουλκαρία, το οποίο πηγάζει από τα Ακαρνανικά όρη και διατρέχει το οροπέδιο Ξηρομέρου (έκταση 123.4 km², μέσο υψόμετρο 295 m, μέγιστο μήκος ροής 23.0 km).

Τα χαρακτηριστικά γεωμετρικά μεγέθη των κλάδων και υπολεκάνων του υδρογραφικού δικτύου δίνονται στους Πίνακες 5-17 και 5-18, αντίστοιχα, ενώ τα συγκεντρωτικά αποτελέσματα του συνολικού υδρολογικού συστήματος δίνονται στον Πίνακα Error! No text of specified style in document.-3. Σημειώνεται ότι οι παροχές αιχμής των υδρογραφημάτων αναφέρονται στον κόμβο J1, που είναι το σημείο συγκέντρωσης των εισροών της Βουλκαρίας (μάλιστα, στην περίπτωση αυτή, επειδή η έξοδος αναφέρεται σε λίμνη, δεν έχει νόημα η έννοια της παροχής αιχμής), ενώ οι όγκοι στο σύνολο του συστήματος λεκάνων. Στο Παράρτημα Π7 δίνονται τα πλήρη δεδομένα εισόδου και εξόδου του μοντέλου προσομοίωσης για όλες τις συνιστώσες του δικτύου (υπολεκάνες, κόμβοι, κλάδοι), και τα αντίστοιχα γραφήματα.

Πίνακας Error! No text of specified style in document.-1 Χαρακτηριστικά μεγέθη κλάδων υδρογραφικού δικτύου (υδατορεύματα)

Κωδικός	Ονομασία	Ανάντη	Κατάντη	Μήκος (km)	Μέση κλίση
R21	EIKONIKO	J2	J1	-	-
R31	EIKONIKO	J3	J1	-	-
R41	EIKONIKO	J4	J1	-	-
R51	EIKONIKO	J5	J1	-	-
R63		J6	J3	2.834	0.0017
R73		J7	J3	0.822	0.0052
R87		J8	J7	1.661	0.0090
R97		J9	J7	2.313	0.0110

R104		J10	J4	2.259	0.0010
R1110		J11	J10	2.003	0.0097
R125		J12	J5	1.240	0.0083
R1413		J14	J13	0.522	0.0042
R1514		J15	J14	0.676	0.0023
R1615		J16	J15	2.725	0.0134
R1720		J17	J20	0.984	0.0063
R1817		J18	J17	4.945	0.0529
R1918		J19	J18	3.153	0.1464
R2010		J20	J10	1.672	0.0040

Πίνακας Error! No text of specified style in document.-2 Χαρακτηριστικά μεγέθη υπολεκανών

Κωδικός	Λεκάνη απορροής	Κλάδος	Κόμβος εξόδου	Έκταση (km ²)	Μέσο υψόμετρο (m)	Υψόμετρο εξόδου (m)	Μέγιστο μήκος ροής (km)
EL0415FL007001		R41	J1	9.225	10.0	0.00	0.100
EL0415FL007002			J2	10.545	54.2	0.00	4.296
EL0415FL007003		R63	J3	7.301	46.4	0.55	3.254
EL0415FL007004			J16	9.785	217.2	36.81	6.072
EL0415FL007005			J19	17.402	1004.3	736.22	6.345
EL0415FL007006		R1918	J18	2.233	653.4	274.76	3.979
EL0415FL007007			J18	9.163	809.5	239.47	7.839
EL0415FL007008		R1817	J17	7.801	339.0	14.55	7.444
EL0415FL007009			J17	11.833	184.3	14.70	4.675
EL0415FL007010		R2010	J10	1.618	36.6	3.95	3.901
EL0415FL007011			J11	3.107	145.9	18.69	2.886
EL0415FL007012		R1110	J10	4.800	26.1	0.66	3.768
EL0415FL007013			J15	1.314	6.8	3.78	1.519
EL0415FL007014		R1615	J15	3.503	25.1	0.00	3.008
EL0415FL007015		R1720	J20	0.599	26.0	7.95	2.531
EL0415FL007016		R1514	J14	0.070	10.0	2.21	0.164
EL0415FL007017		R1413	J13	0.120	1.5	0.09	0.366
EL0415FL007018		R97	J7	6.091	75.5	0.82	4.149
EL0415FL007020			J6	6.376	56.5	0.00	3.792
EL0415FL007021			J9	6.960	178.4	24.35	5.970
EL0415FL007022			J8	4.729	90.7	17.50	4.380
EL0415FL007023		R73	J3	1.364	3.4	0.57	0.405
EL0415FL007024		R87	J7	0.878	17.4	3.86	1.420
EL0415FL007025		R125	J5	3.799	49.8	0.35	1.571
EL0415FL007026			J12	1.928	229.3	9.36	2.543
EL0415FL007027		R104	J4	5.660	47.3	0.55	3.901
EL0415FL007028			J14	1.730	10.5	0.19	2.531

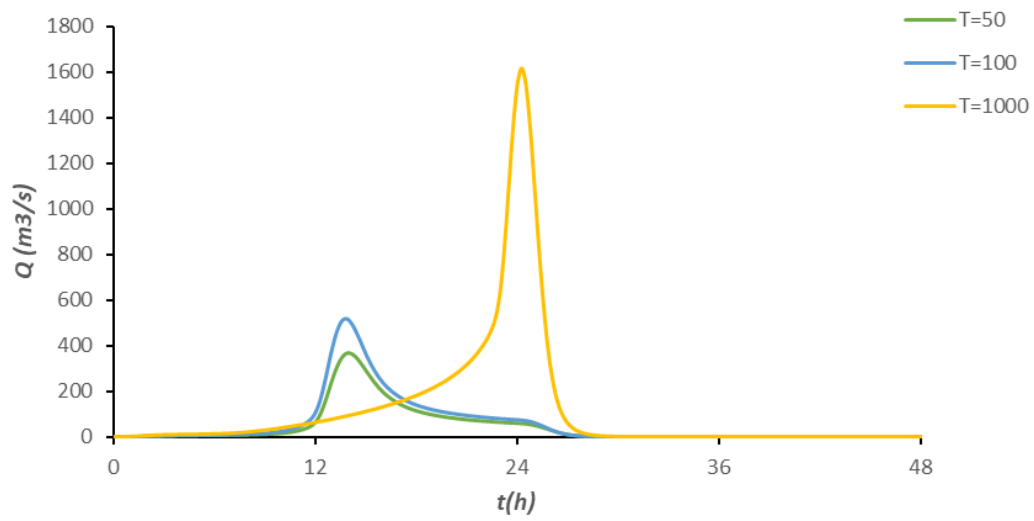


Εικόνα Error! No text of specified style in document.-1 Χάρτης περιοχής μελέτης, στον οποίο απεικονίζεται η σχηματοποίηση των κόμβων και κλάδων του υδρογραφικού δικτύου και των υπολεκανών

Πίνακας Error! No text of specified style in document.-3 Συγκεντρωτικά αποτελέσματα υδρολογικής προσομοίωσης περιοχής μελέτης

Χαρακτηριστικά μεγέθη λεκανών απορροής λίμνης Βουλκαρίας			
Έκταση (km ²)	139.93	Υψόμετρο εξόδου (m)	0.0
Αδιαπέρατη επιφάνεια (%)	6.26	Χρόνος συγκέντρωσης (h)	5.75
Μέγιστο μήκος ροής (km)	0.00	Διάρκεια βροχόπτωσης σχεδιασμού (h)	24.00
Μέσο υψόμετρο (m)	274.4	Χρονικό βήμα (h)	0.25
Συγκεντρωτικά αποτελέσματα υδρολογικής προσομοίωσης λεκάνης			
	Ευμενείς συνθήκες	Μέσες συνθήκες	Δυσμενείς συνθήκες
	Ολικό ύψος επιφανειακής βροχής (mm)		
T = 50	154.9	154.9	154.9
T = 100	181.9	181.9	181.9
T = 1000	300.2	300.2	300.2
	Ολικό ύψος πλημμυρικής απορροής (mm)		
T = 50	25.6	59.9	96.6
T = 100	37.1	80.0	121.7
T = 1000	98.2	173.5	231.2
	Συντελεστής απορροής		
T = 50	0.165	0.387	0.623
T = 100	0.204	0.440	0.669
T = 1000	0.327	0.578	0.770
	Πλημμυρική παροχή αιχμής (m³/s)		
T = 50	129.2	364.6	623.3
T = 100	196.5	514.5	813.8
T = 1000	1061.3	1614.1	1884.2
	Πλημμυρικός όγκος (hm³)		
T = 50	3.584	8.389	13.515
T = 100	5.193	11.199	17.029
T = 1000	13.748	24.275	32.352
	Συνολική παροχή αιχμής (m³/s)		
T = 50	132.7	368.1	626.8
T = 100	200.4	518.4	817.7
T = 1000	1066.2	1619.0	1889.1
	Συνολικός όγκος υδρογραφήματος (hm³)		
T = 50	5.849	10.654	15.780
T = 100	7.589	13.595	19.425
T = 1000	16.922	27.449	35.526

Υδρογραφήματα σχεδιασμού στον κόμβο εξόδου(μέσες συνθήκες)



2 Δεδομένα εισόδου και αποτελέσματα υδρολογικού σεναρίου T=50

2.1 Αποτελέσματα, υετογραφήματα και υδρογραφήματα σχεδιασμού υπολεκανών

Υπολεκάνη: EL0415FL007001

Έκταση (KM2) : 9.22

Κατάνη : J1

Μέθοδος Απωλειών: SCS

Ποσοστό αδιαπέρατης επιφάνειας	95
Αριθμός Καμπύλης Απορροής-CN	99
Αρχικές Απώλειες	0.51

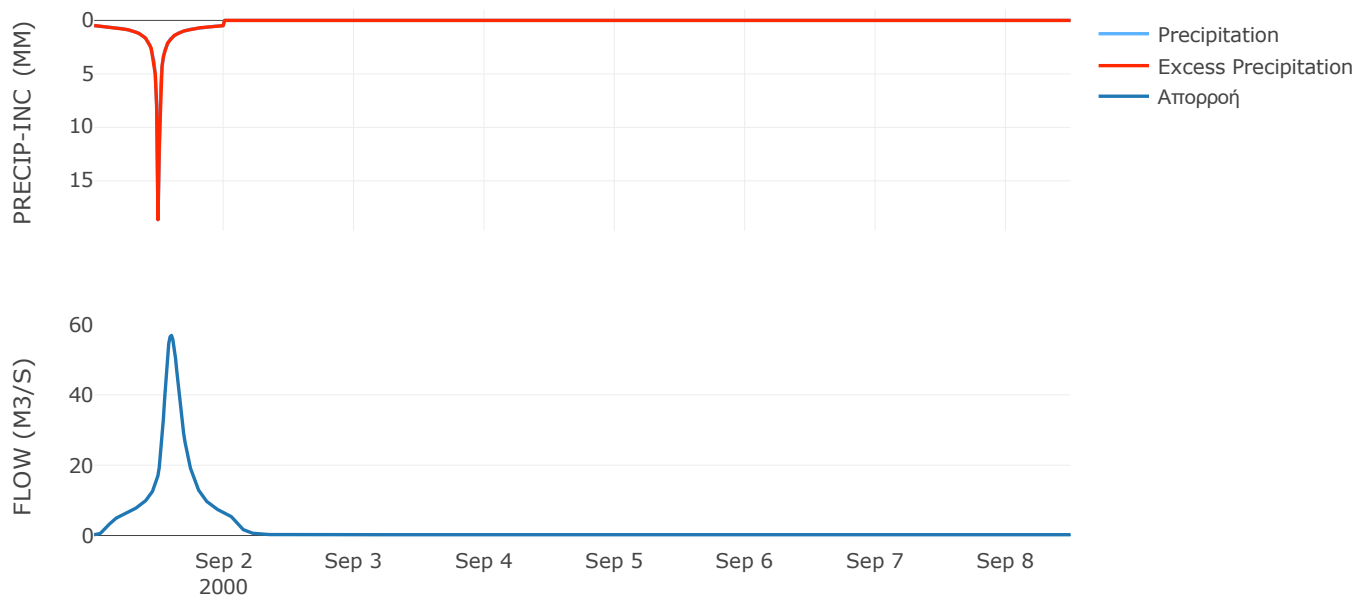
Μέθοδος
Μετασχηματισμού: SCS

Χρόνος Υστέρησης	130.09
------------------	--------

Αποτελέσματα:
EL0415FL007001

Παροχή αιχμής (M3/S)	56.91
Χρονική στιγμή αιχμής	01Sep2000, 14:15
Όγκος (MM)	163.61
Όγκος βροχόπτωσης (M3)	1.36E6
Όγκος απωλειών (M3)	1399.8
Ενεργός Όγκος (M3)	1.36E6
Όγκος άμεσης απορροής (M3)	1.36E6
Όγκος βασικής απορροής (M3)	1.49E5

Βροχόπτωση και Απορροή



Υπολεκάνη: EL0415FL007002

Έκταση (KM2) : 10.54

Κατάντη : J2

Μέθοδος Απωλειών: SCS

Ποσοστό αδιαπέρατης επιφάνειας	0
Αριθμός Καμπύλης Απορροής-CN	64.99
Αρχικές Απώλειες	27.37

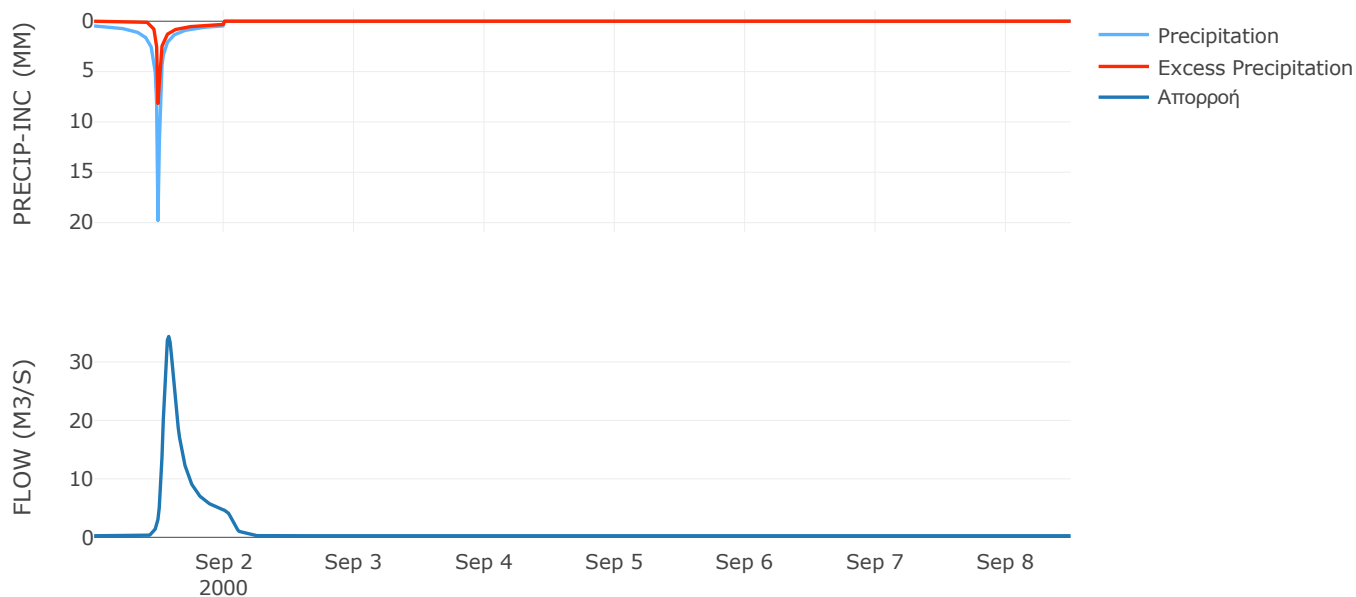
Μέθοδος
Μετασχηματισμού: SCS

Χρόνος Υστέρησης	88.81
------------------	-------

Αποτελέσματα:
EL0415FL007002

Παροχή αιχμής (M3/S)	34.36
Χρονική στιγμή αιχμής	01Sep2000, 13:45
Όγκος (MM)	71.43
Όγκος βροχόπτωσης (M3)	1.54E6
Όγκος απωλειών (M3)	9.59E5
Ενεργός Όγκος (M3)	5.82E5
Όγκος άμεσης απορροής (M3)	5.82E5
Όγκος βασικής απορροής (M3)	1.71E5

Βροχόπτωση και Απορροή



Υπολεκάνη: EL0415FL007003

Έκταση (KM2) : 7.3

Κατάντη : J3

Μέθοδος Απωλειών: SCS

Ποσοστό αδιαπέρατης επιφάνειας	0
Αριθμός Καμπύλης Απορροής-CN	61.79
Αρχικές Απώλειες	31.41

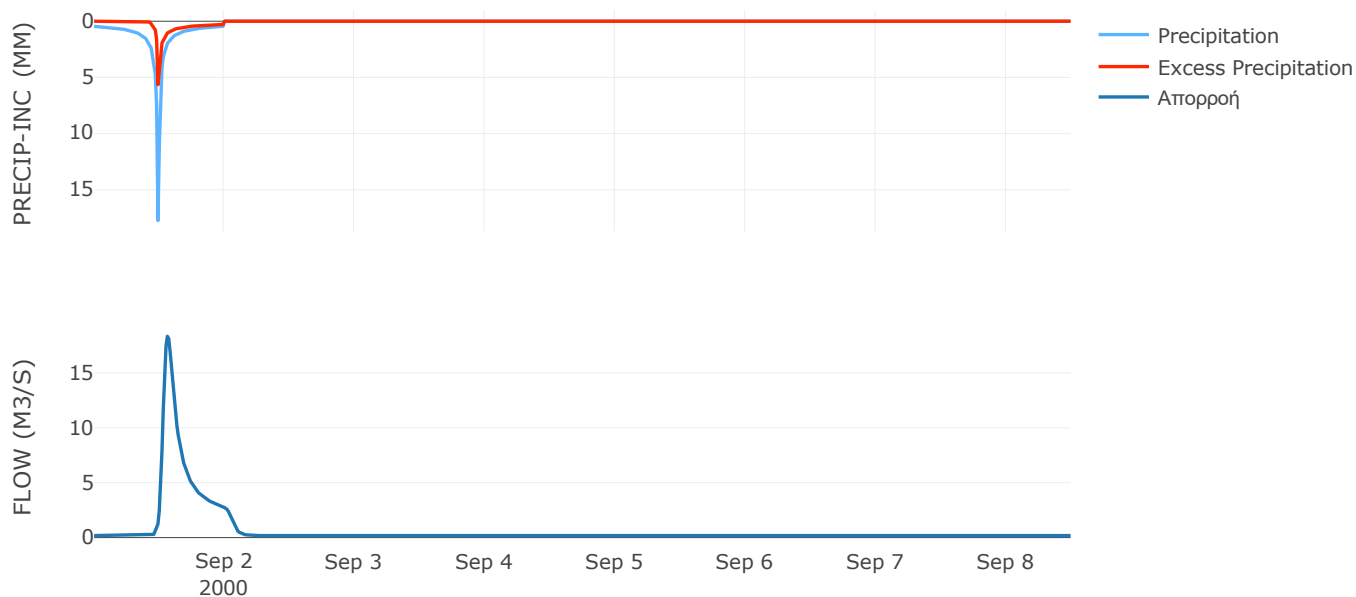
Μέθοδος
Μετασχηματισμού: SCS

Χρόνος Υστέρησης	78.01
------------------	-------

Αποτελέσματα:
EL0415FL007003

Παροχή αιχμής (M3/S)	18.34
Χρονική στιγμή αιχμής	01Sep2000, 13:30
Όγκος (MM)	58.31
Όγκος βροχόπτωσης (M3)	9.96E5
Όγκος απωλειών (M3)	6.89E5
Ενεργός Όγκος (M3)	3.07E5
Όγκος άμεσης απορροής (M3)	3.07E5
Όγκος βασικής απορροής (M3)	1.18E5

Βροχόπτωση και Απορροή



Υπολεκάνη: EL0415FL007004

Έκταση (KM2) : 9.79

Κατάντη : J16

Μέθοδος Απωλειών: SCS

Ποσοστό αδιαπέρατης επιφάνειας	0
Αριθμός Καμπύλης Απορροής-CN	50.65
Αρχικές Απώλειες	49.49

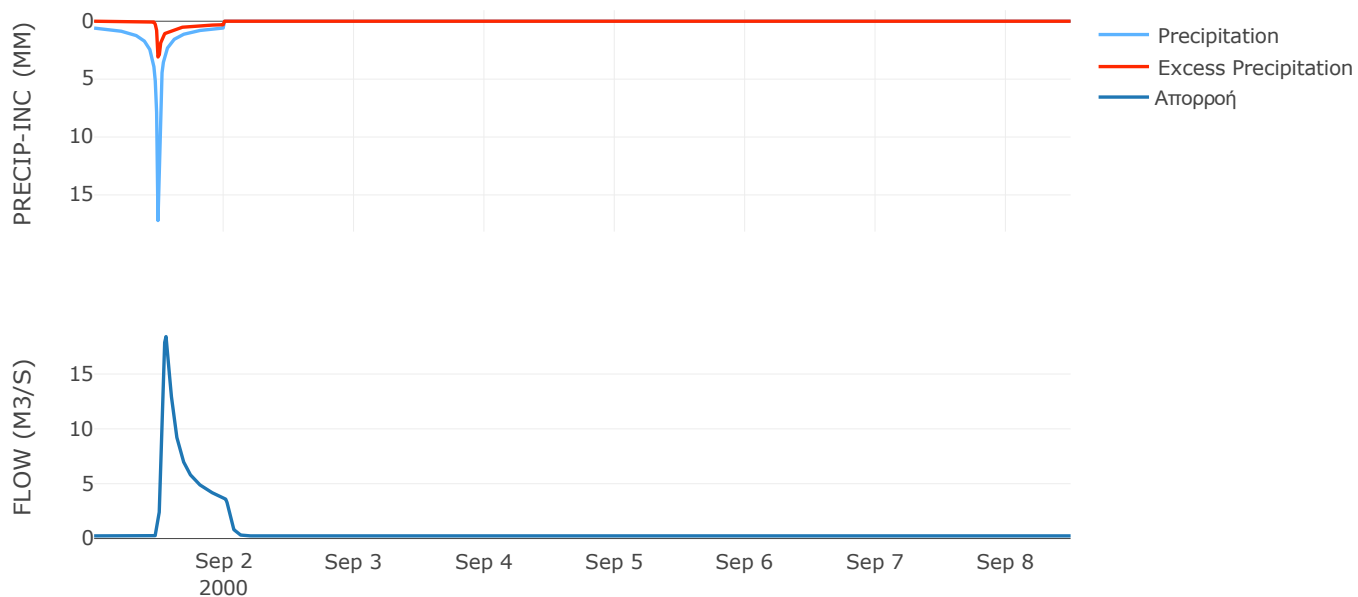
Μέθοδος
Μετασχηματισμού: SCS

Χρόνος Υστέρησης	53.88
------------------	-------

Αποτελέσματα:
EL0415FL007004

Παροχή αιχμής (M3/S)	18.42
Χρονική στιγμή αιχμής	01Sep2000, 13:15
Όγκος (MM)	49.12
Όγκος βροχόπτωσης (M3)	1.54E6
Όγκος απωλειών (M3)	1.22E6
Ενεργός Όγκος (M3)	3.22E5
Όγκος άμεσης απορροής (M3)	3.22E5
Όγκος βασικής απορροής (M3)	1.59E5

Βροχόπτωση και Απορροή



Υπολεκάνη: EL0415FL007005

Έκταση (KM2) : 17.4

Κατάντη : J19

Μέθοδος Απωλειών: SCS

Ποσοστό αδιαπέρατης επιφάνειας	0
Αριθμός Καμπύλης Απορροής-CN	53.29
Αρχικές Απώλειες	44.53

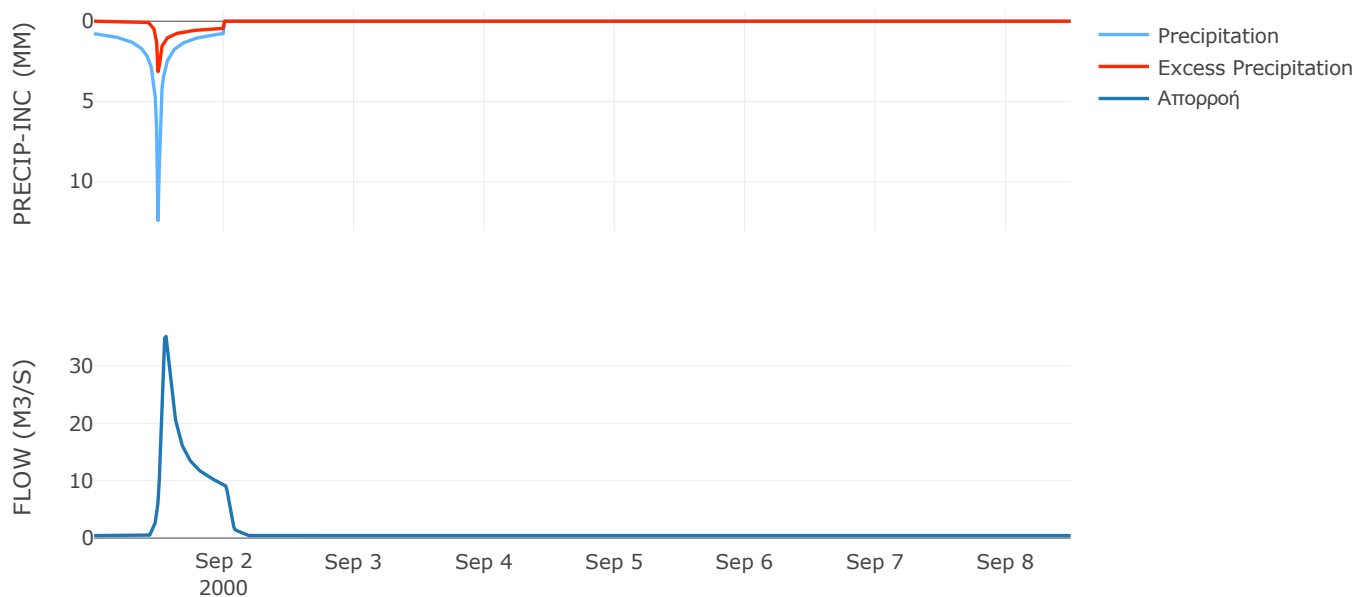
Μέθοδος
Μετασχηματισμού: SCS

Χρόνος Υστέρησης	53.72
------------------	-------

Αποτελέσματα:
EL0415FL007005

Παροχή αιχμής (M3/S)	35.15
Χρονική στιγμή αιχμής	01Sep2000, 13:15
Όγκος (MM)	58.24
Όγκος βροχόπτωσης (M3)	2.86E6
Όγκος απωλειών (M3)	2.13E6
Ενεργός Όγκος (M3)	7.32E5
Όγκος άμεσης απορροής (M3)	7.32E5
Όγκος βασικής απορροής (M3)	2.82E5

Βροχόπτωση και Απορροή



Υπολεκάνη: EL0415FL007006

Έκταση (KM2) : 2.23

Κατάντη : J18

Μέθοδος Απωλειών: SCS

Ποσοστό αδιαπέρατης επιφάνειας	0
Αριθμός Καμπύλης Απορροής-CN	44.02
Αρχικές Απώλειες	64.6

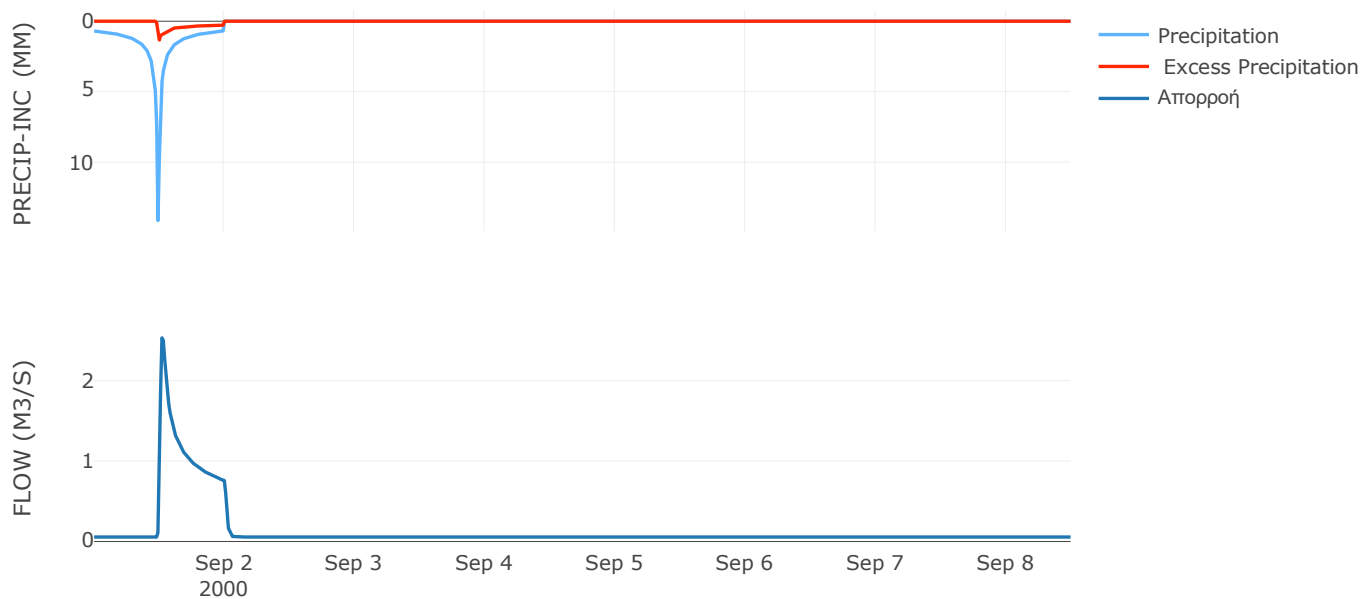
Μέθοδος
Μετασχηματισμού: SCS

Χρόνος Υστέρησης	20.55
------------------	-------

Αποτελέσματα:
EL0415FL007006

Παροχή αιχμής (M3/S)	2.53
Χρονική στιγμή αιχμής	01Sep2000, 12:30
Όγκος (MM)	38.28
Όγκος βροχόπτωσης (M3)	3.59E5
Όγκος απωλειών (M3)	3.1E5
Ενεργός Όγκος (M3)	49310.6
Όγκος άμεσης απορροής (M3)	49310.6
Όγκος βασικής απορροής (M3)	36174.6

Βροχόπτωση και Απορροή



Υπολεκάνη: EL0415FL007007

Έκταση (KM2) : 9.16

Κατάντη : J18

Μέθοδος Απωλειών: SCS

Ποσοστό αδιαπέρατης επιφάνειας	0
Αριθμός Καμπύλης Απορροής-CN	42.05
Αρχικές Απώλειες	70.02

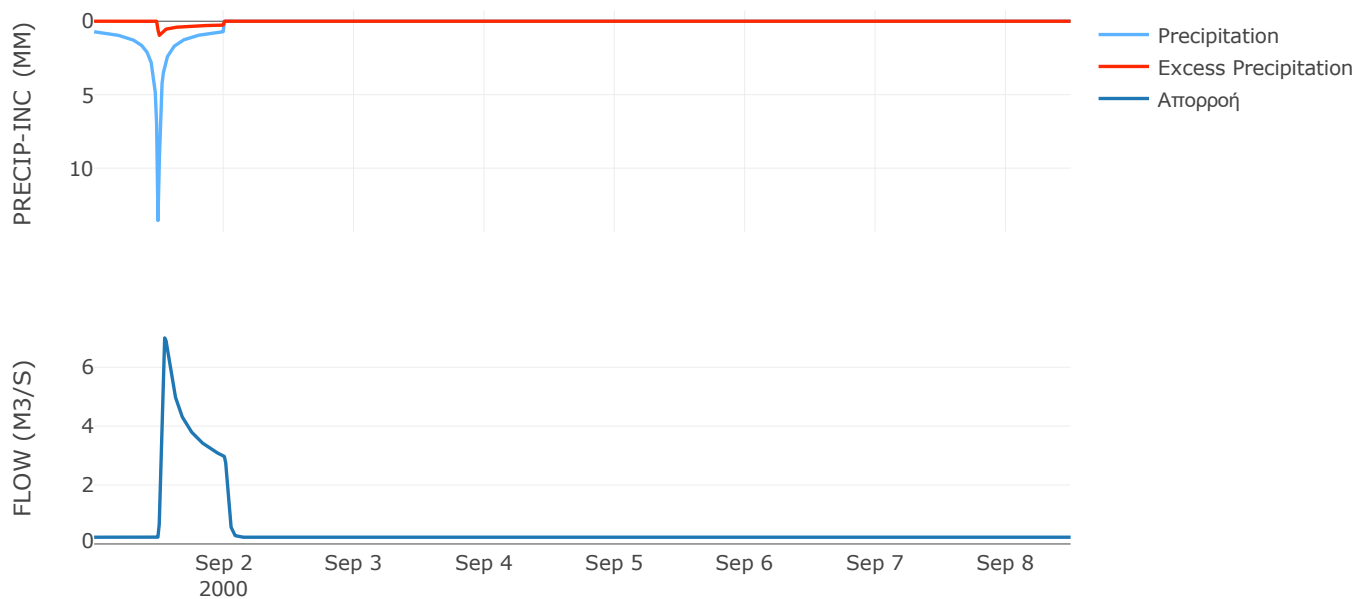
Μέθοδος
Μετασχηματισμού: SCS

Χρόνος Υστέρησης	33.45
------------------	-------

Αποτελέσματα:
EL0415FL007007

Παροχή αιχμής (M3/S)	7
Χρονική στιγμή αιχμής	01Sep2000, 13:00
Όγκος (MM)	35.21
Όγκος βροχόπτωσης (M3)	1.48E6
Όγκος απωλειών (M3)	1.31E6
Ενεργός Όγκος (M3)	1.74E5
Όγκος άμεσης απορροής (M3)	1.74E5
Όγκος βασικής απορροής (M3)	1.48E5

Βροχόπτωση και Απορροή



Υπολεκάνη: EL0415FL007008

Έκταση (KM2) : 7.8

Κατάνη : J17

Μέθοδος Απωλειών: SCS

Ποσοστό αδιαπέρατης επιφάνειας	0
Αριθμός Καμπύλης Απορροής-CN	51.98
Αρχικές Απώλειες	46.94

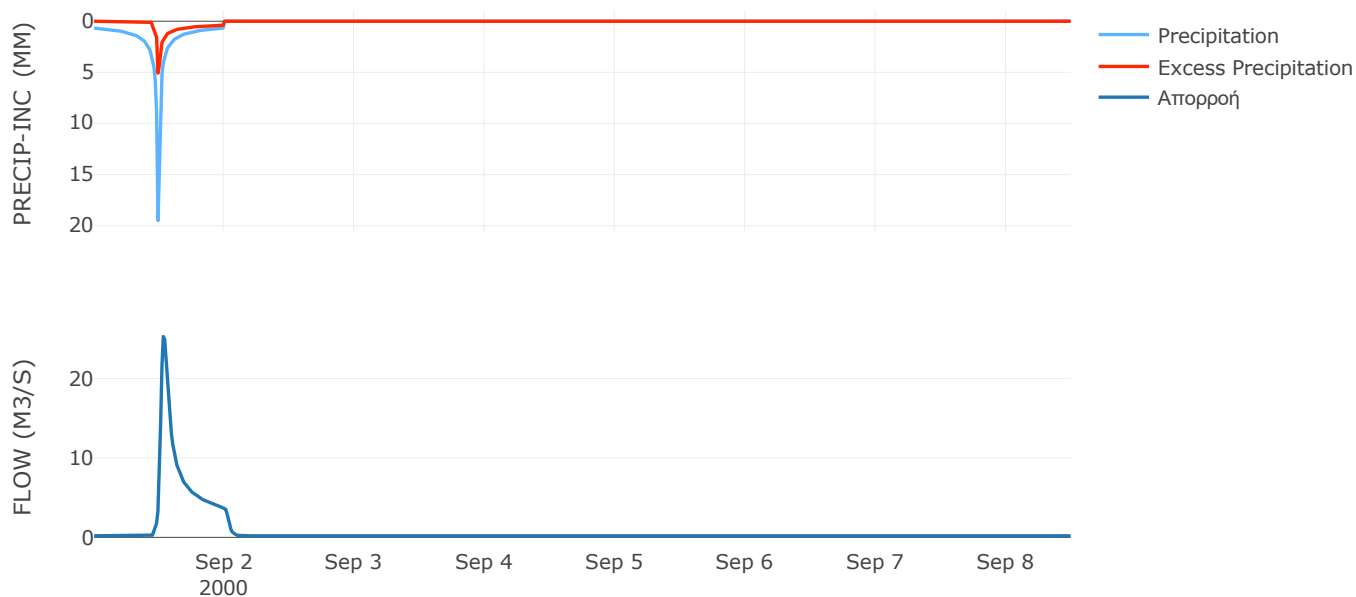
Μέθοδος
Μετασχηματισμού: SCS

Χρόνος Υστέρησης	41.3
------------------	------

Αποτελέσματα:
EL0415FL007008

Παροχή αιχμής (M3/S)	25.28
Χρονική στιγμή αιχμής	01Sep2000, 12:45
Όγκος (MM)	63.55
Όγκος βροχόπτωσης (M3)	1.39E6
Όγκος απωλειών (M3)	1.02E6
Ενεργός Όγκος (M3)	3.69E5
Όγκος άμεσης απορροής (M3)	3.69E5
Όγκος βασικής απορροής (M3)	1.26E5

Βροχόπτωση και Απορροή



Υπολεκάνη: EL0415FL007009

Έκταση (KM2) : 11.83

Κατάντη : J17

Μέθοδος Απωλειών: SCS

Ποσοστό αδιαπέρατης επιφάνειας	0
Αριθμός Καμπύλης Απορροής-CN	65.08
Αρχικές Απώλειες	27.26

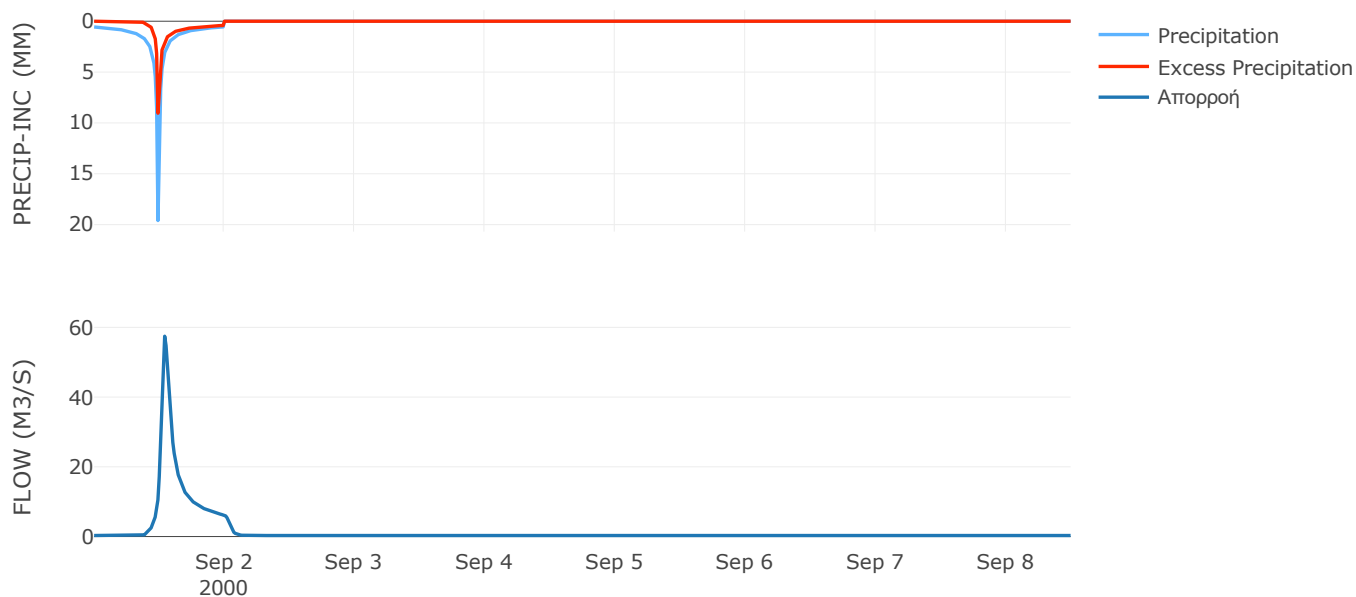
Μέθοδος
Μετασχηματισμού: SCS

Χρόνος Υστέρησης	53.34
------------------	-------

Αποτελέσματα:
EL0415FL007009

Παροχή αιχμής (M3/S)	57.47
Χρονική στιγμή αιχμής	01Sep2000, 13:00
Όγκος (MM)	82.93
Όγκος βροχόπτωσης (M3)	1.91E6
Όγκος απωλειών (M3)	1.12E6
Ενεργός Όγκος (M3)	7.9E5
Όγκος άμεσης απορροής (M3)	7.9E5
Όγκος βασικής απορροής (M3)	1.92E5

Βροχόπτωση και Απορροή



Υπολεκάνη: EL0415FL007010

Έκταση (KM2) : 1.62

Κατάντη : J10

Μέθοδος Απωλειών: SCS

Ποσοστό αδιαπέρατης επιφάνειας	0
Αριθμός Καμπύλης Απορροής-CN	79.15
Αρχικές Απώλειες	13.38

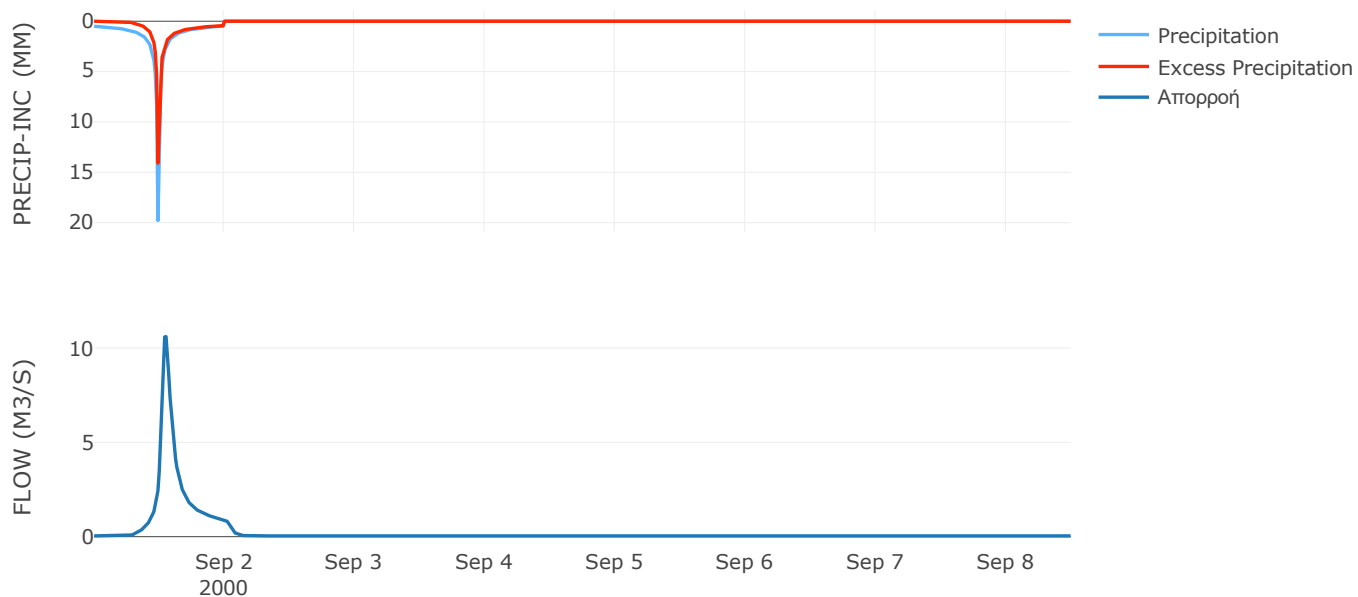
Μέθοδος
Μετασχηματισμού: SCS

Χρόνος Υστέρησης	64.18
------------------	-------

Αποτελέσματα:
EL0415FL007010

Παροχή αιχμής (M3/S)	10.61
Χρονική στιγμή αιχμής	01Sep2000, 13:15
Όγκος (MM)	108.57
Όγκος βροχόπτωσης (M3)	2.44E5
Όγκος απωλειών (M3)	94469.05
Ενεργός Όγκος (M3)	1.49E5
Όγκος άμεσης απορροής (M3)	1.49E5
Όγκος βασικής απορροής (M3)	26211.6

Βροχόπτωση και Απορροή



Υπολεκάνη: EL0415FL007011

Έκταση (KM2) : 3.11

Κατάνη : J11

Μέθοδος Απωλειών: SCS

Ποσοστό αδιαπέρατης επιφάνειας	0
Αριθμός Καμπύλης Απορροής-CN	68.31
Αρχικές Απώλειες	23.57

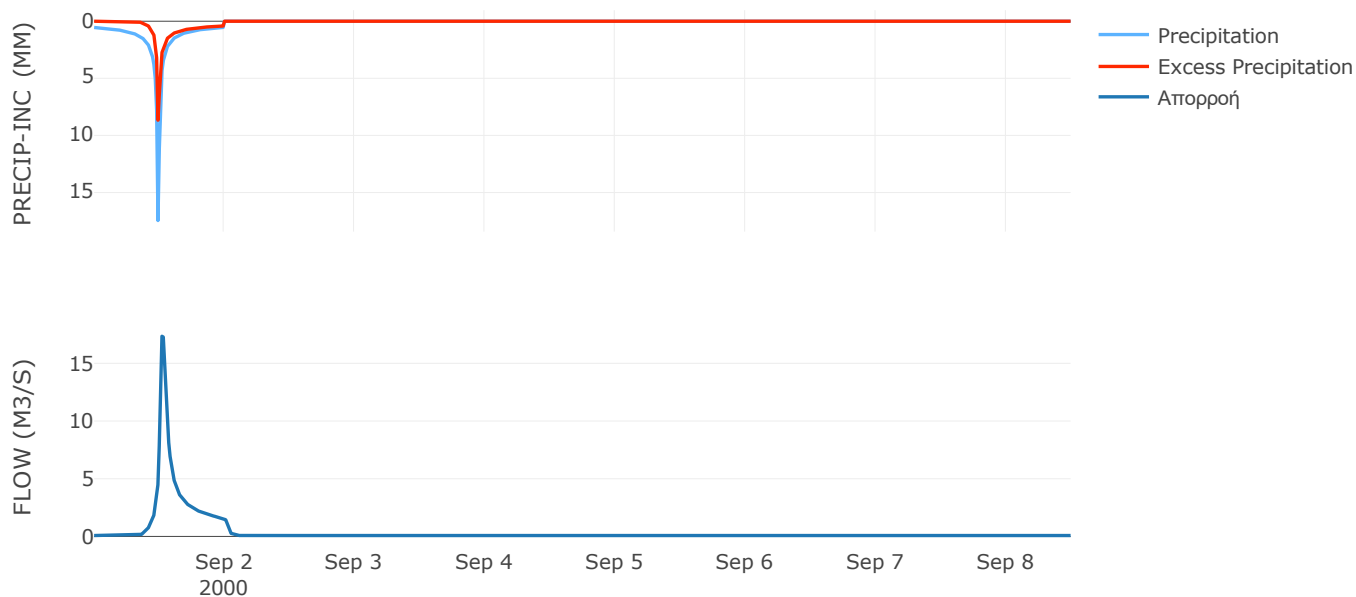
Μέθοδος
Μετασχηματισμού: SCS

Χρόνος Υστέρησης	33.88
------------------	-------

Αποτελέσματα:
EL0415FL007011

Παροχή αιχμής (M3/S)	17.35
Χρονική στιγμή αιχμής	01Sep2000, 12:30
Όγκος (MM)	82.48
Όγκος βροχόπτωσης (M3)	4.69E5
Όγκος απωλειών (M3)	2.64E5
Ενεργός Όγκος (M3)	2.06E5
Όγκος άμεσης απορροής (M3)	2.06E5
Όγκος βασικής απορροής (M3)	50333.4

Βροχόπτωση και Απορροή



Υπολεκάνη: EL0415FL007012

Έκταση (KM2) : 4.8

Κατάντη : J10

Μέθοδος Απωλειών: SCS

Ποσοστό αδιαπέρατης επιφάνειας	0
Αριθμός Καμπύλης Απορροής-CN	74.39
Αρχικές Απώλειες	17.49

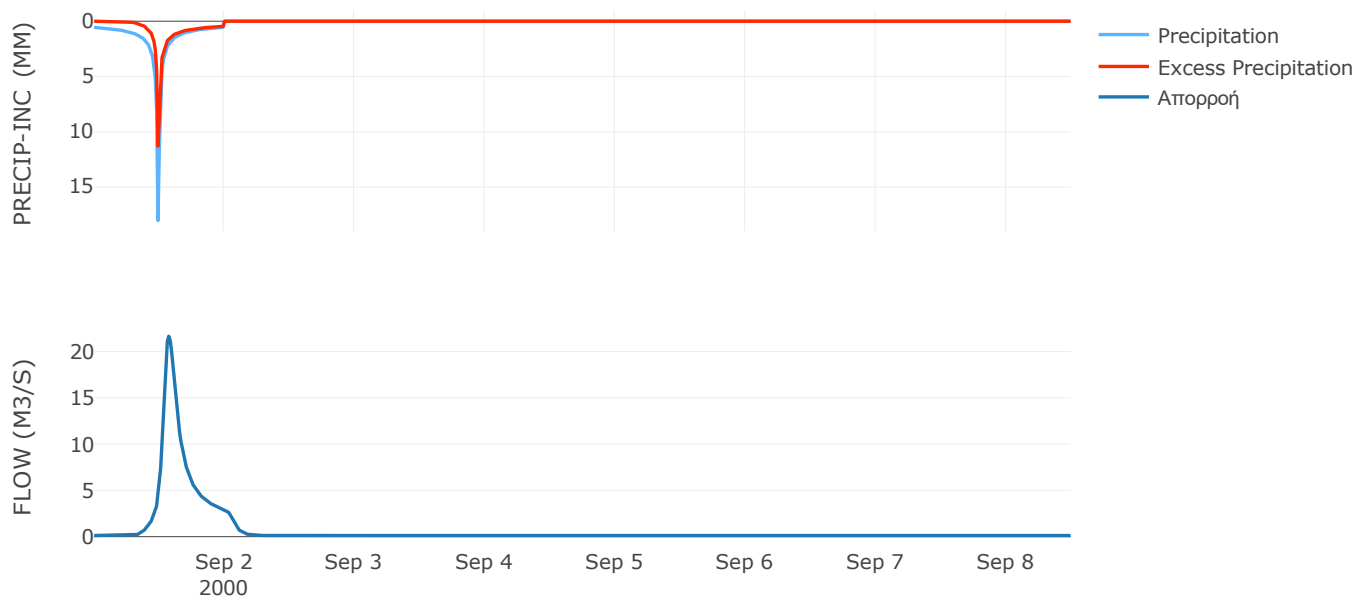
Μέθοδος
Μετασχηματισμού: SCS

Χρόνος Υστέρησης	95.9
------------------	------

Αποτελέσματα:
EL0415FL007012

Παροχή αιχμής (M3/S)	21.66
Χρονική στιγμή αιχμής	01Sep2000, 13:45
Όγκος (MM)	99.46
Όγκος βροχόπτωσης (M3)	7.4E5
Όγκος απωλειών (M3)	3.4E5
Ενεργός Όγκος (M3)	4E5
Όγκος άμεσης απορροής (M3)	4E5
Όγκος βασικής απορροής (M3)	77760

Βροχόπτωση και Απορροή



Υπολεκάνη: EL0415FL007013

Έκταση (KM2) : 1.31

Κατάνη : J15

Μέθοδος Απωλειών: SCS

Ποσοστό αδιαπέρατης επιφάνειας	0
Αριθμός Καμπύλης Απορροής-CN	79.19
Αρχικές Απώλειες	13.35

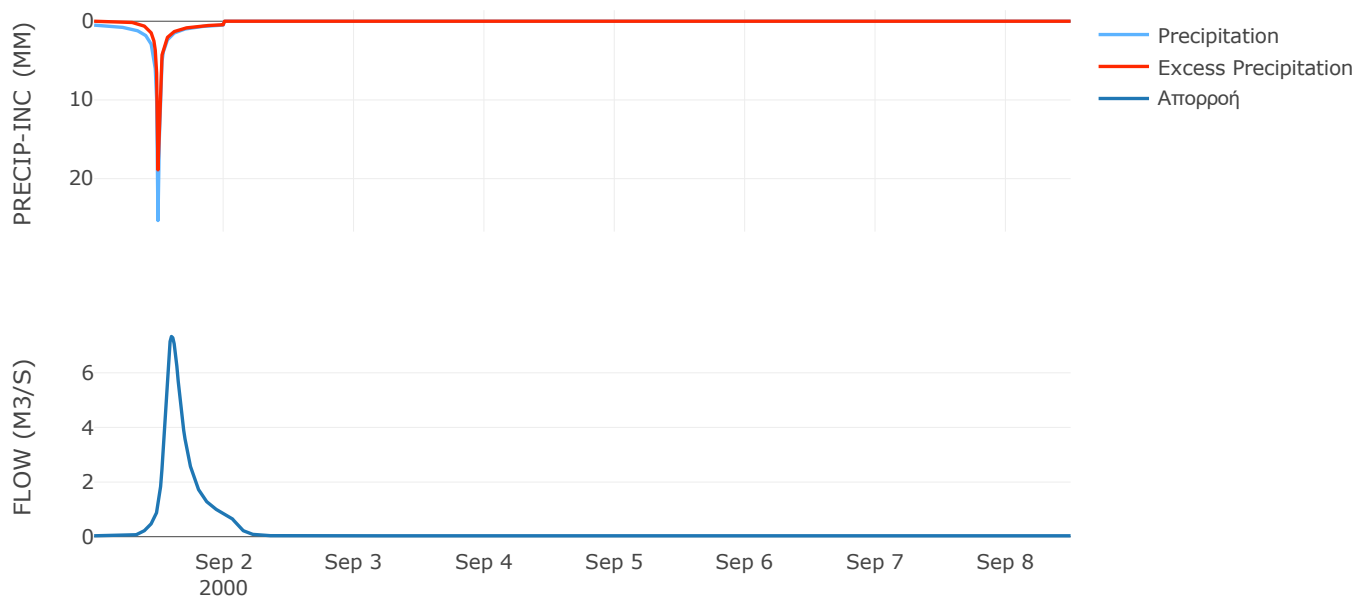
Μέθοδος
Μετασχηματισμού: SCS

Χρόνος Υστέρησης	130.32
------------------	--------

Αποτελέσματα:
EL0415FL007013

Παροχή αιχμής (M3/S)	7.33
Χρονική στιγμή αιχμής	01Sep2000, 14:15
Όγκος (MM)	124.73
Όγκος βροχόπτωσης (M3)	2.21E5
Όγκος απωλειών (M3)	78875.7
Ενεργός Όγκος (M3)	1.43E5
Όγκος άμεσης απορροής (M3)	1.43E5
Όγκος βασικής απορροής (M3)	21286.8

Βροχόπτωση και Απορροή



Υπολεκάνη: EL0415FL007014

Έκταση (KM2) : 3.5

Κατάνη : J15

Μέθοδος Απωλειών: SCS

Ποσοστό αδιαπέρατης επιφάνειας	0
Αριθμός Καμπύλης Απορροής-CN	76.47
Αρχικές Απώλειες	15.63

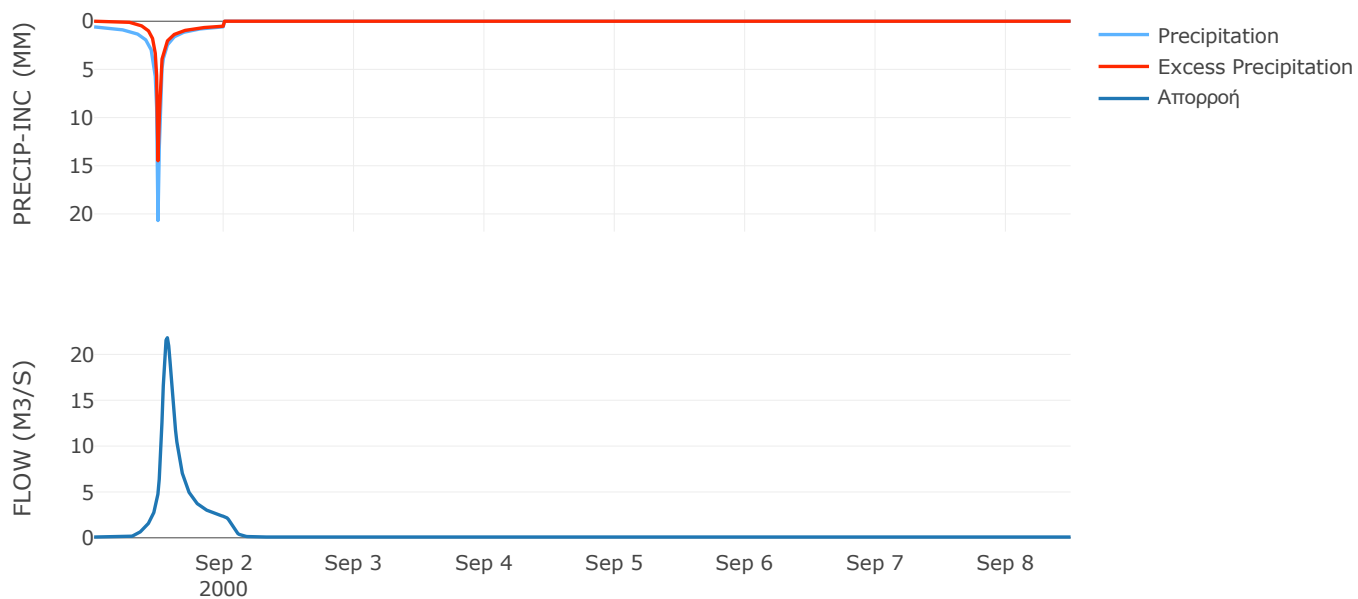
Μέθοδος
Μετασχηματισμού: SCS

Χρόνος Υστέρησης	79.86
------------------	-------

Αποτελέσματα:
EL0415FL007014

Παροχή αιχμής (M3/S)	21.82
Χρονική στιγμή αιχμής	01Sep2000, 13:30
Όγκος (MM)	117.97
Όγκος βροχόπτωσης (M3)	5.93E5
Όγκος απωλειών (M3)	2.36E5
Ενεργός Όγκος (M3)	3.57E5
Όγκος άμεσης απορροής (M3)	3.57E5
Όγκος βασικής απορροής (M3)	56748.6

Βροχόπτωση και Απορροή



Υπολεκάνη: EL0415FL007015

Έκταση (KM2) : 0.6

Κατάντη : J20

Μέθοδος Απωλειών: SCS

Ποσοστό αδιαπέρατης επιφάνειας	0
Αριθμός Καμπύλης Απορροής-CN	80.97
Αρχικές Απώλειες	11.94

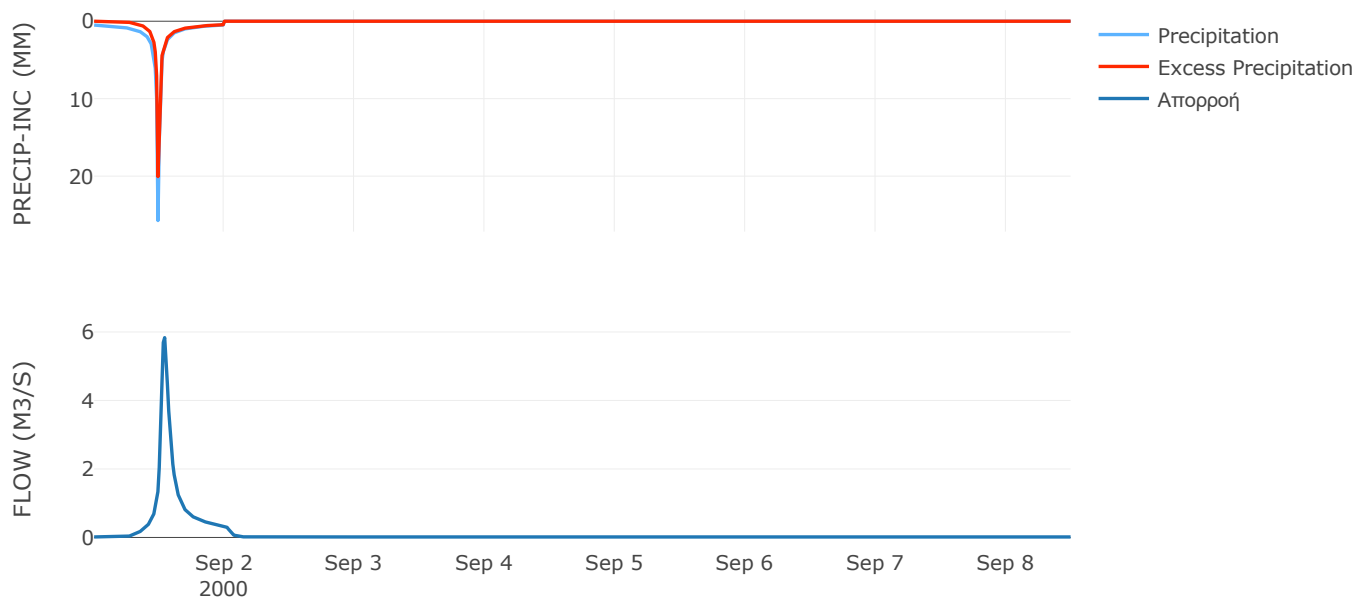
Μέθοδος
Μετασχηματισμού: SCS

Χρόνος Υστέρησης	53.69
------------------	-------

Αποτελέσματα:
EL0415FL007015

Παροχή αιχμής (M3/S)	5.83
Χρονική στιγμή αιχμής	01Sep2000, 13:00
Όγκος (MM)	130.41
Όγκος βροχόπτωσης (M3)	1.01E5
Όγκος απωλειών (M3)	33072.62
Ενεργός Όγκος (M3)	68414.02
Όγκος άμεσης απορροής (M3)	68414.02
Όγκος βασικής απορροής (M3)	9703.8

Βροχόπτωση και Απορροή



Υπολεκάνη: EL0415FL007016

Έκταση (KM2) : 0.07

Κατάντη : J14

Μέθοδος Απωλειών: SCS

Ποσοστό αδιαπέρατης επιφάνειας	0
Αριθμός Καμπύλης Απορροής-CN	78
Αρχικές Απώλειες	14.33

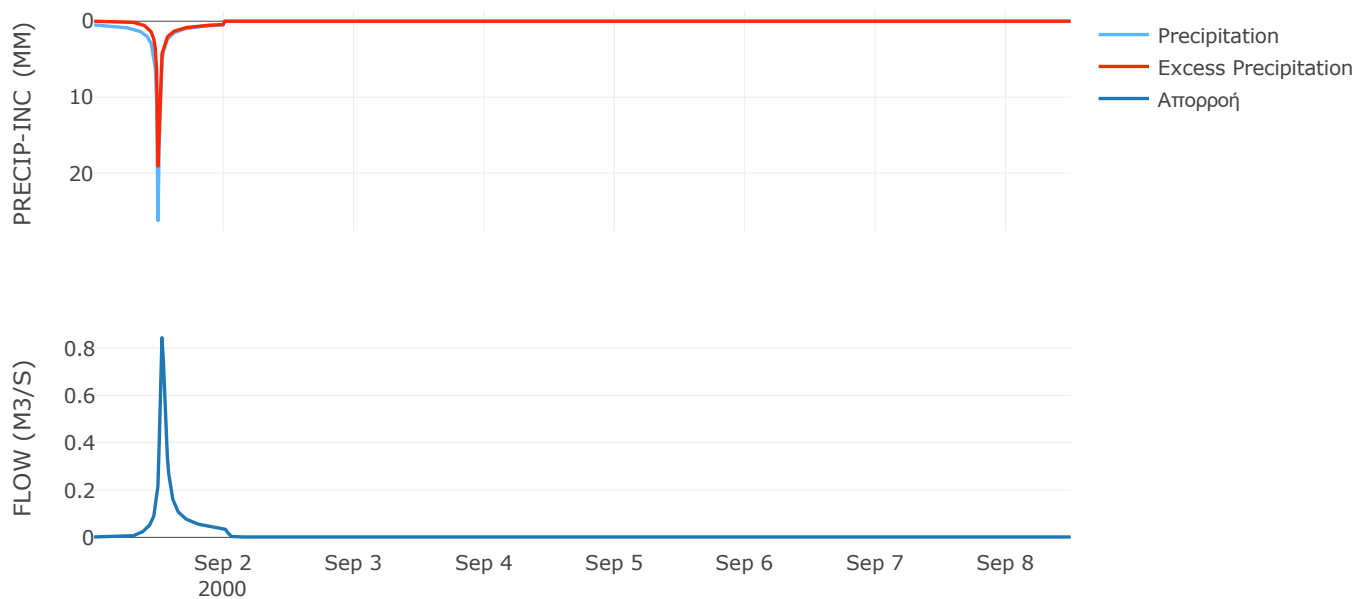
Μέθοδος
Μετασχηματισμού: SCS

Χρόνος Υστέρησης	30.69
------------------	-------

Αποτελέσματα:
EL0415FL007016

Παροχή αιχμής (M3/S)	0.84
Χρονική στιγμή αιχμής	01Sep2000, 12:30
Όγκος (MM)	123.2
Όγκος βροχόπτωσης (M3)	11930.35
Όγκος απωλειών (M3)	4440.33
Ενεργός Όγκος (M3)	7490.02
Όγκος άμεσης απορροής (M3)	7490.02
Όγκος βασικής απορροής (M3)	1134

Βροχόπτωση και Απορροή



Υπολεκάνη: EL0415FL007017

Έκταση (KM2) : 0.12

Κατάντη : J13

Μέθοδος Απωλειών: SCS

Ποσοστό αδιαπέρατης επιφάνειας	0
Αριθμός Καμπύλης Απορροής-CN	77.52
Αρχικές Απώλειες	14.73

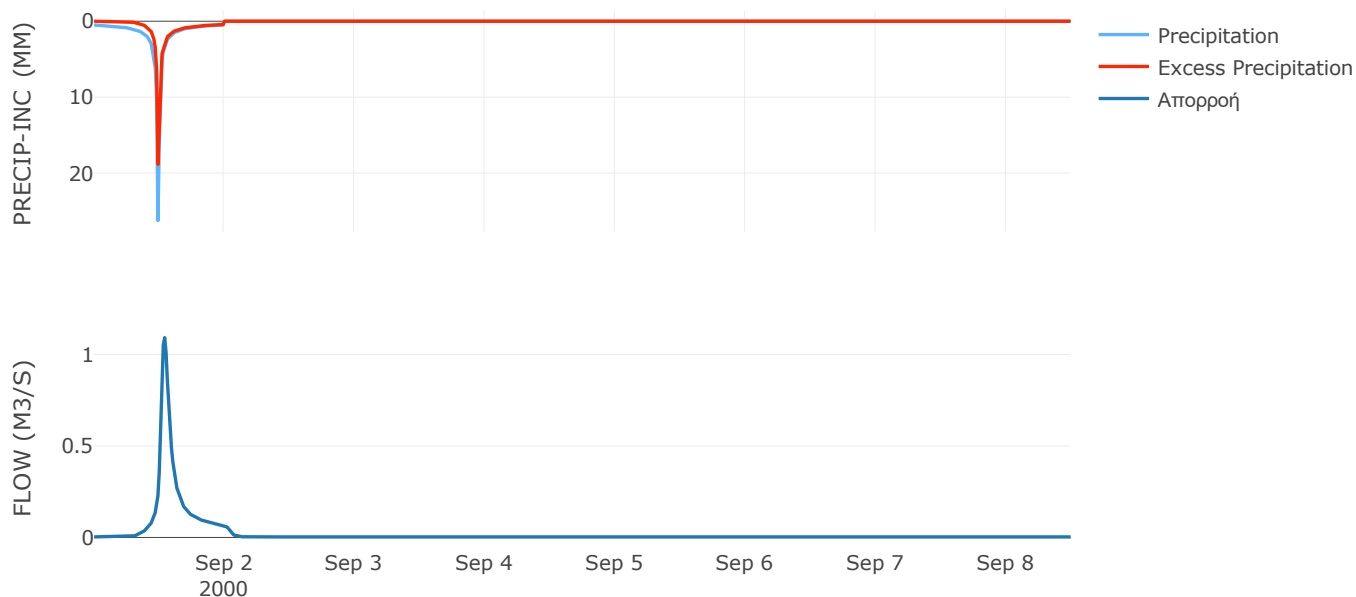
Μέθοδος
Μετασχηματισμού: SCS

Χρόνος Υστέρησης	54.33
------------------	-------

Αποτελέσματα:
EL0415FL007017

Παροχή αιχμής (M3/S)	1.09
Χρονική στιγμή αιχμής	01Sep2000, 13:00
Όγκος (MM)	121.9
Όγκος βροχόπτωσης (M3)	20452.03
Όγκος απωλειών (M3)	7768.4
Ενεργός Όγκος (M3)	12683.63
Όγκος άμεσης απορροής (M3)	12683.63
Όγκος βασικής απορροής (M3)	1944

Βροχόπτωση και Απορροή



Υπολεκάνη: EL0415FL007018

Έκταση (KM2) : 6.09

Κατάντη : J7

Μέθοδος Απωλειών: SCS

Ποσοστό αδιαπέρατης επιφάνειας	0
Αριθμός Καμπύλης Απορροής-CN	66.15
Αρχικές Απώλειες	26

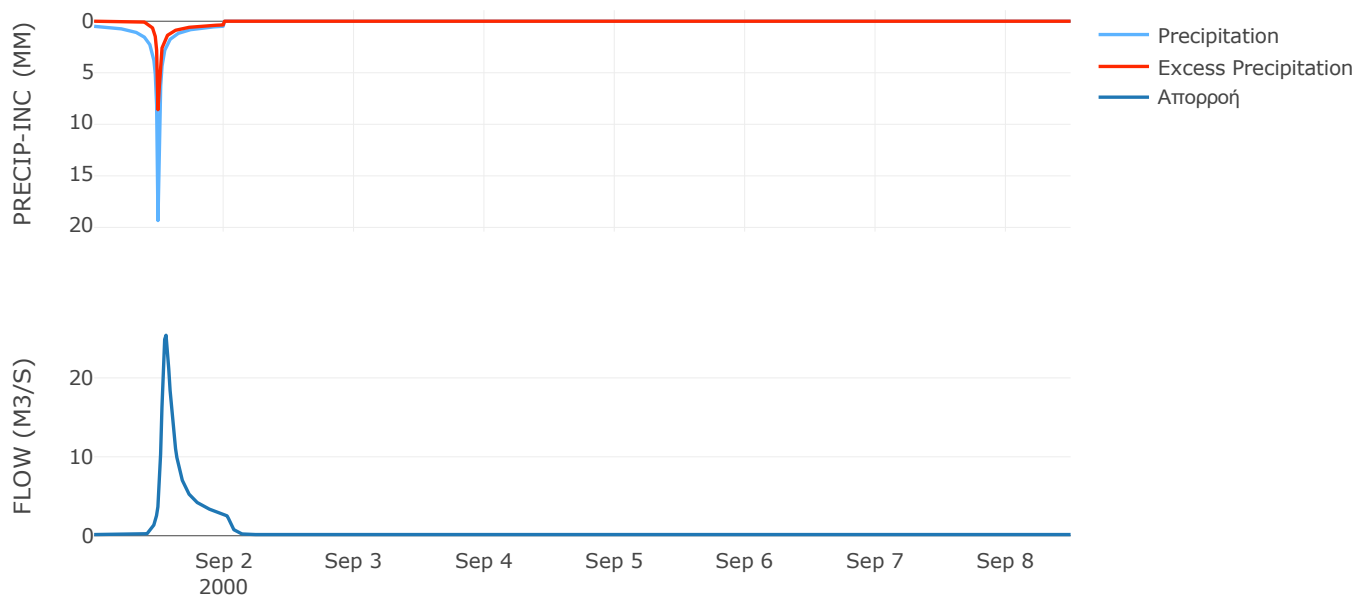
Μέθοδος
Μετασχηματισμού: SCS

Χρόνος Υστέρησης	62.49
------------------	-------

Αποτελέσματα:
EL0415FL007018

Παροχή αιχμής (M3/S)	25.4
Χρονική στιγμή αιχμής	01Sep2000, 13:15
Όγκος (MM)	75.76
Όγκος βροχόπτωσης (M3)	9.06E5
Όγκος απωλειών (M3)	5.43E5
Ενεργός Όγκος (M3)	3.63E5
Όγκος άμεσης απορροής (M3)	3.63E5
Όγκος βασικής απορροής (M3)	98677.44

Βροχόπτωση και Απορροή



Υπολεκάνη: EL0415FL007020

Έκταση (KM2) : 6.38

Κατάντη : J6

Μέθοδος Απωλειών: SCS

Ποσοστό αδιαπέρατης επιφάνειας	0
Αριθμός Καμπύλης Απορροής-CN	55.84
Αρχικές Απώλειες	40.17

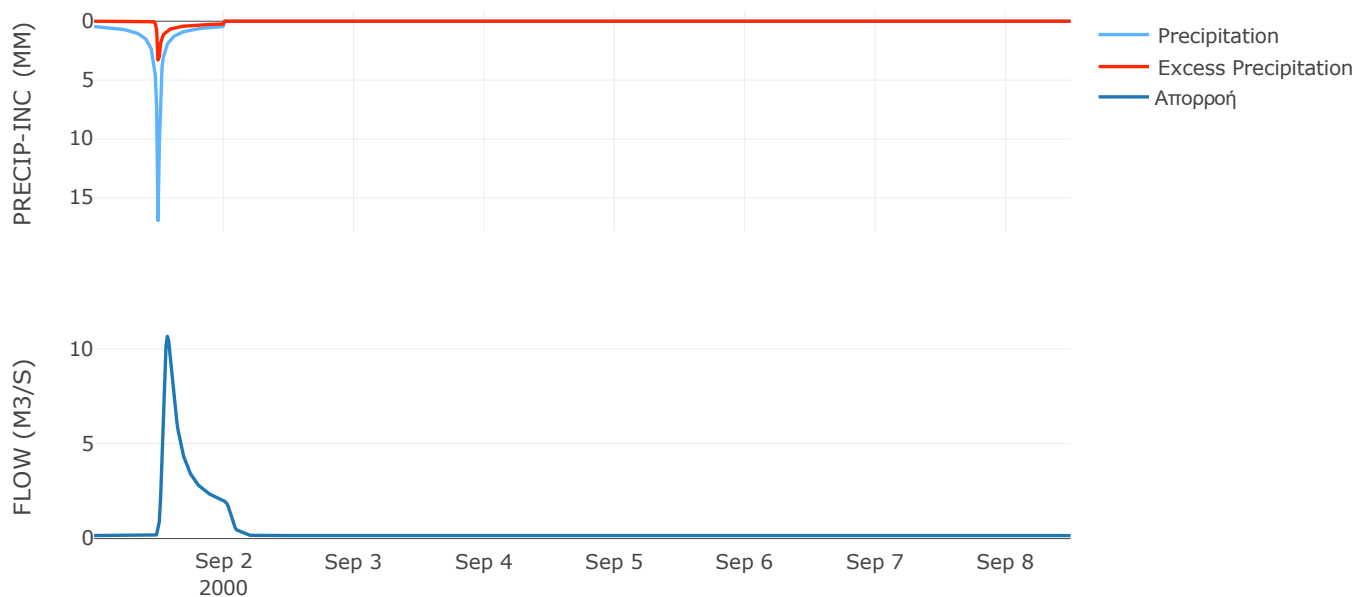
Μέθοδος
Μετασχηματισμού: SCS

Χρόνος Υστέρησης	70.74
------------------	-------

Αποτελέσματα:
EL0415FL007020

Παροχή αιχμής (M3/S)	10.66
Χρονική στιγμή αιχμής	01Sep2000, 13:30
Όγκος (MM)	45.61
Όγκος βροχόπτωσης (M3)	8.49E5
Όγκος απωλειών (M3)	6.61E5
Ενεργός Όγκος (M3)	1.88E5
Όγκος άμεσης απορροής (M3)	1.88E5
Όγκος βασικής απορροής (M3)	1.03E5

Βροχόπτωση και Απορροή



Υπολεκάνη: EL0415FL007021

Έκταση (KM2) : 6.96

Κατάντη : J9

Μέθοδος Απωλειών: SCS

Ποσοστό αδιαπέρατης επιφάνειας	0
Αριθμός Καμπύλης Απορροής-CN	64.83
Αρχικές Απώλειες	27.55

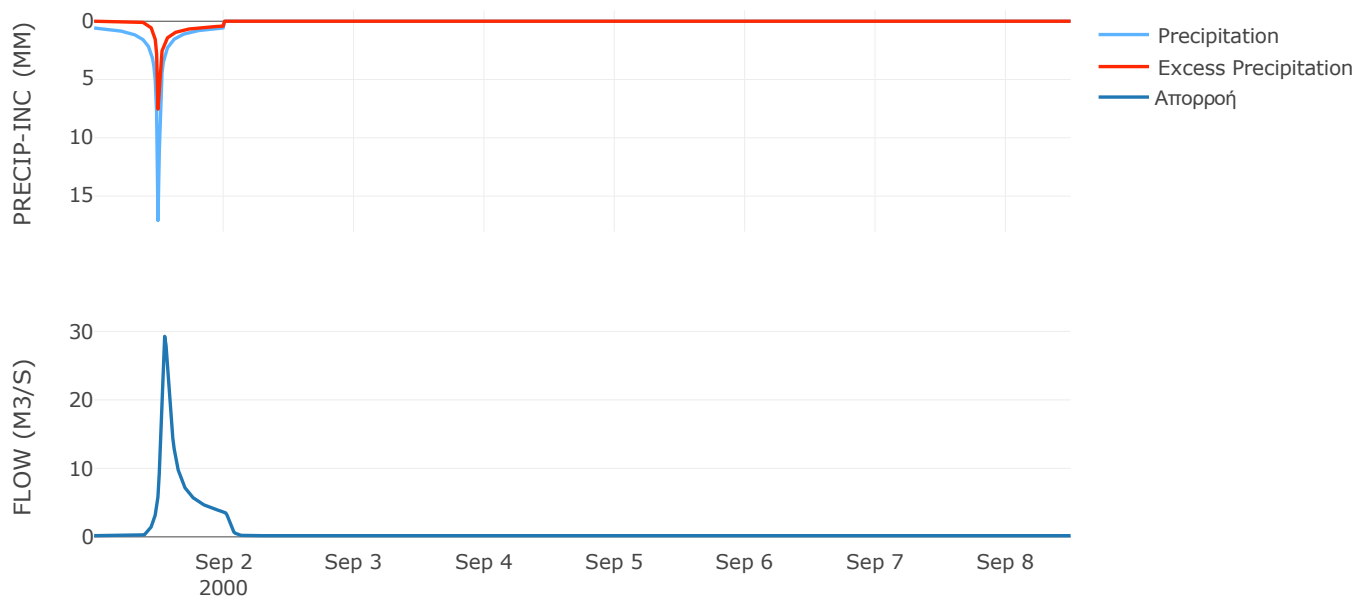
Μέθοδος
Μετασχηματισμού: SCS

Χρόνος Υστέρησης	52.8
------------------	------

Αποτελέσματα:
EL0415FL007021

Παροχή αιχμής (M3/S)	29.28
Χρονική στιγμή αιχμής	01Sep2000, 13:00
Όγκος (MM)	77.8
Όγκος βροχόπτωσης (M3)	1.08E6
Όγκος απωλειών (M3)	6.53E5
Ενεργός Όγκος (M3)	4.29E5
Όγκος άμεσης απορροής (M3)	4.29E5
Όγκος βασικής απορροής (M3)	1.13E5

Βροχόπτωση και Απορροή



Υπολεκάνη: EL0415FL007022

Έκταση (KM2) : 4.73

Κατάντη : J8

Μέθοδος Απωλειών: SCS

Ποσοστό αδιαπέρατης επιφάνειας	0
Αριθμός Καμπύλης Απορροής-CN	69.05
Αρχικές Απώλειες	22.77

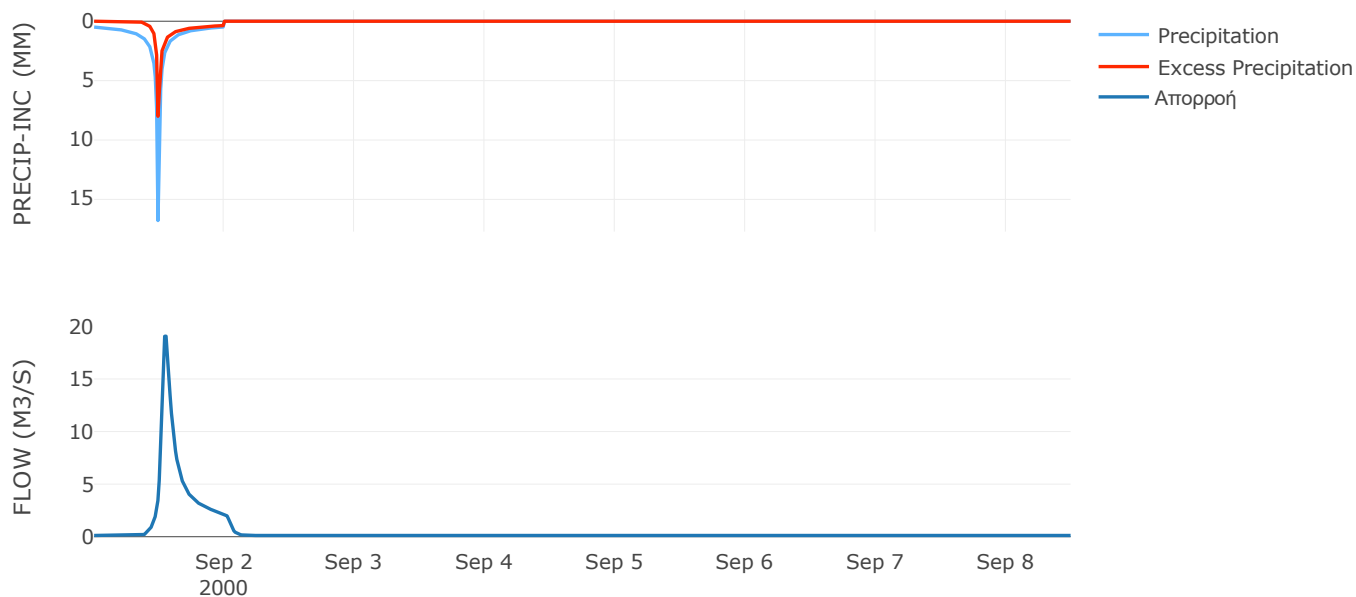
Μέθοδος
Μετασχηματισμού: SCS

Χρόνος Υστέρησης	60.07
------------------	-------

Αποτελέσματα:
EL0415FL007022

Παροχή αιχμής (M3/S)	19.07
Χρονική στιγμή αιχμής	01Sep2000, 13:15
Όγκος (MM)	75.48
Όγκος βροχόπτωσης (M3)	6.61E5
Όγκος απωλειών (M3)	3.81E5
Ενεργός Όγκος (M3)	2.8E5
Όγκος άμεσης απορροής (M3)	2.8E5
Όγκος βασικής απορροής (M3)	76613.04

Βροχόπτωση και Απορροή



Υπολεκάνη: EL0415FL007023

Έκταση (KM2) : 1.36

Κατάντη : J3

Μέθοδος Απωλειών: SCS

Ποσοστό αδιαπέρατης επιφάνειας	0
Αριθμός Καμπύλης Απορροής-CN	79.75
Αρχικές Απώλειες	12.89

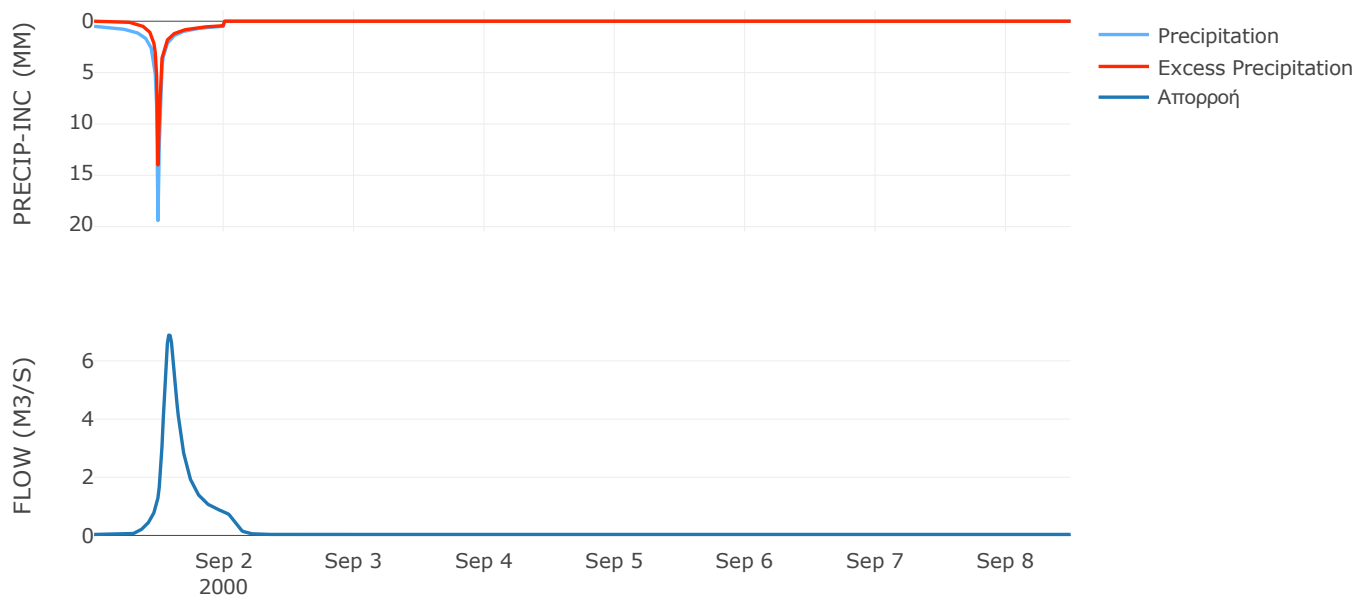
Μέθοδος
Μετασχηματισμού: SCS

Χρόνος Υστέρησης	104.49
------------------	--------

Αποτελέσματα:
EL0415FL007023

Παροχή αιχμής (M3/S)	6.88
Χρονική στιγμή αιχμής	01Sep2000, 13:45
Όγκος (MM)	108.67
Όγκος βροχόπτωσης (M3)	2.03E5
Όγκος απωλειών (M3)	77282
Ενεργός Όγκος (M3)	1.26E5
Όγκος άμεσης απορροής (M3)	1.26E5
Όγκος βασικής απορροής (M3)	22096.8

Βροχόπτωση και Απορροή



Υπολεκάνη: EL0415FL007024

Έκταση (KM2) : 0.88

Κατάντη : J7

Μέθοδος Απωλειών: SCS

Ποσοστό αδιαπέρατης επιφάνειας	0
Αριθμός Καμπύλης Απορροής-CN	78.87
Αρχικές Απώλειες	13.61

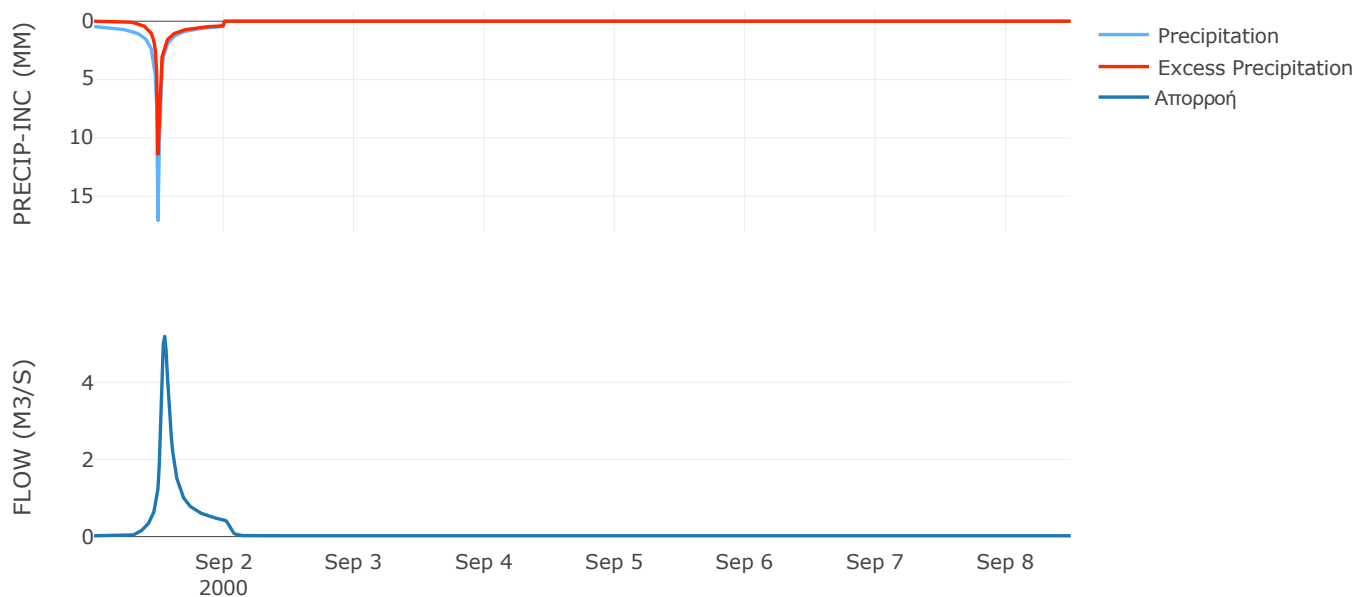
Μέθοδος
Μετασχηματισμού: SCS

Χρόνος Υστέρησης	53.81
------------------	-------

Αποτελέσματα:
EL0415FL007024

Παροχή αιχμής (M3/S)	5.19
Χρονική στιγμή αιχμής	01Sep2000, 13:00
Όγκος (MM)	93.54
Όγκος βροχόπτωσης (M3)	1.18E5
Όγκος απωλειών (M3)	50182.9
Ενεργός Όγκος (M3)	67901.2
Όγκος άμεσης απορροής (M3)	67901.2
Όγκος βασικής απορροής (M3)	14223.6

Βροχόπτωση και Απορροή



Υπολεκάνη: EL0415FL007025

Έκταση (KM2) : 3.8

Κατάντη : J5

Μέθοδος Απωλειών: SCS

Ποσοστό αδιαπέρατης επιφάνειας	0
Αριθμός Καμπύλης Απορροής-CN	64.94
Αρχικές Απώλειες	27.43

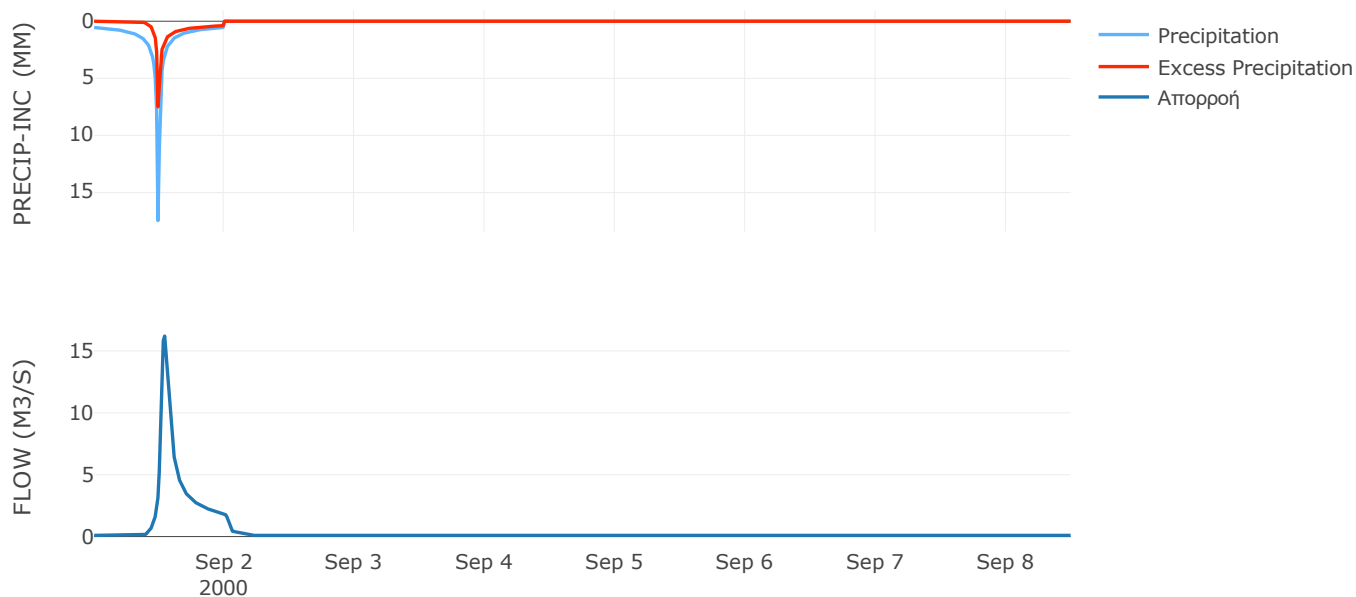
Μέθοδος
Μετασχηματισμού: SCS

Χρόνος Υστέρησης	48.48
------------------	-------

Αποτελέσματα:
EL0415FL007025

Παροχή αιχμής (M3/S)	16.2
Χρονική στιγμή αιχμής	01Sep2000, 13:00
Όγκος (MM)	74.83
Όγκος βροχόπτωσης (M3)	5.74E5
Όγκος απωλειών (M3)	3.51E5
Ενεργός Όγκος (M3)	2.23E5
Όγκος άμεσης απορροής (M3)	2.23E5
Όγκος βασικής απορροής (M3)	61543.8

Βροχόπτωση και Απορροή



Υπολεκάνη: EL0415FL007026

Έκταση (KM2) : 1.93

Κατάντη : J12

Μέθοδος Απωλειών: SCS

Ποσοστό αδιαπέρατης επιφάνειας	0
Αριθμός Καμπύλης Απορροής-CN	42.7
Αρχικές Απώλειες	68.17

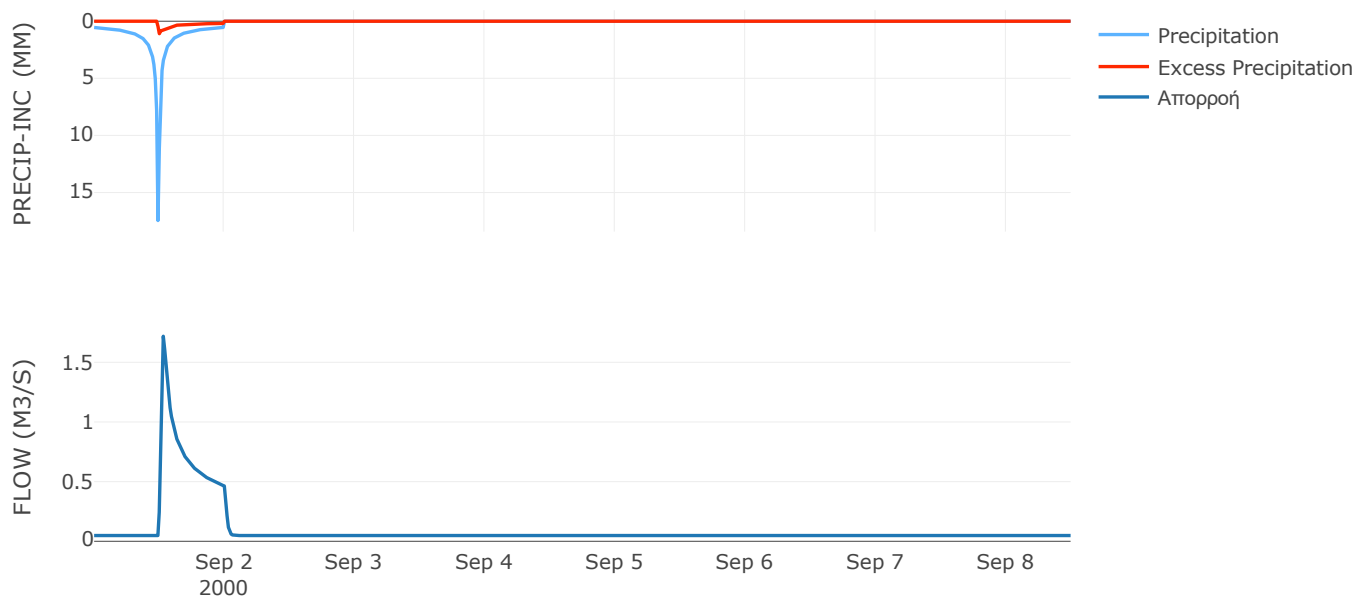
Μέθοδος
Μετασχηματισμού: SCS

Χρόνος Υστέρησης	21.21
------------------	-------

Αποτελέσματα:
EL0415FL007026

Παροχή αιχμής (M3/S)	1.72
Χρονική στιγμή αιχμής	01Sep2000, 12:45
Όγκος (MM)	32.42
Όγκος βροχόπτωσης (M3)	2.91E5
Όγκος απωλειών (M3)	2.6E5
Ενεργός Όγκος (M3)	31277.62
Όγκος άμεσης απορροής (M3)	31277.62
Όγκος βασικής απορροής (M3)	31233.6

Βροχόπτωση και Απορροή



Υπολεκάνη: EL0415FL007027

Έκταση (KM2) : 5.66

Κατάντη : J4

Μέθοδος Απωλειών: SCS

Ποσοστό αδιαπέρατης επιφάνειας	0
Αριθμός Καμπύλης Απορροής-CN	75.61
Αρχικές Απώλειες	16.38

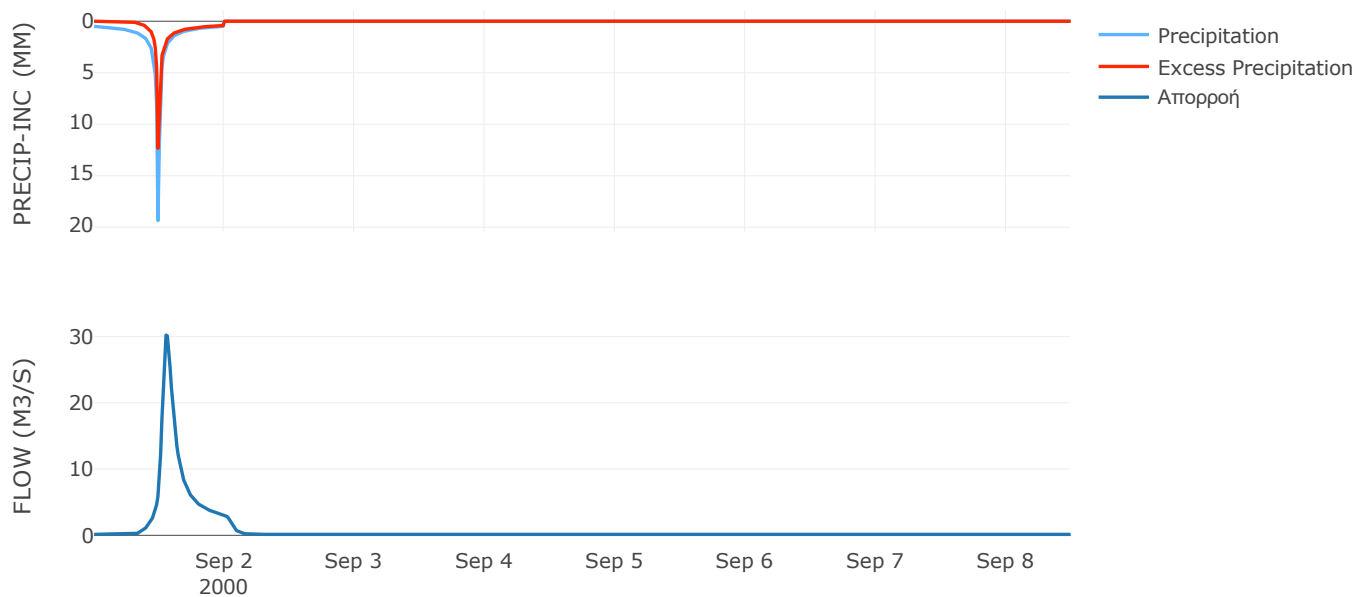
Μέθοδος
Μετασχηματισμού: SCS

Χρόνος Υστέρησης	75.45
------------------	-------

Αποτελέσματα:
EL0415FL007027

Παροχή αιχμής (M3/S)	30.24
Χρονική στιγμή αιχμής	01Sep2000, 13:15
Όγκος (MM)	98.38
Όγκος βροχόπτωσης (M3)	8.45E5
Όγκος απωλειών (M3)	3.8E5
Ενεργός Όγκος (M3)	4.65E5
Όγκος άμεσης απορροής (M3)	4.65E5
Όγκος βασικής απορροής (M3)	91692

Βροχόπτωση και Απορροή



Υπολεκάνη: EL0415FL007028

Έκταση (KM2) : 1.73

Κατάντη : J14

Μέθοδος Απωλειών: SCS

Ποσοστό αδιαπέρατης επιφάνειας	0
Αριθμός Καμπύλης Απορροής-CN	78.27
Αρχικές Απώλειες	14.1

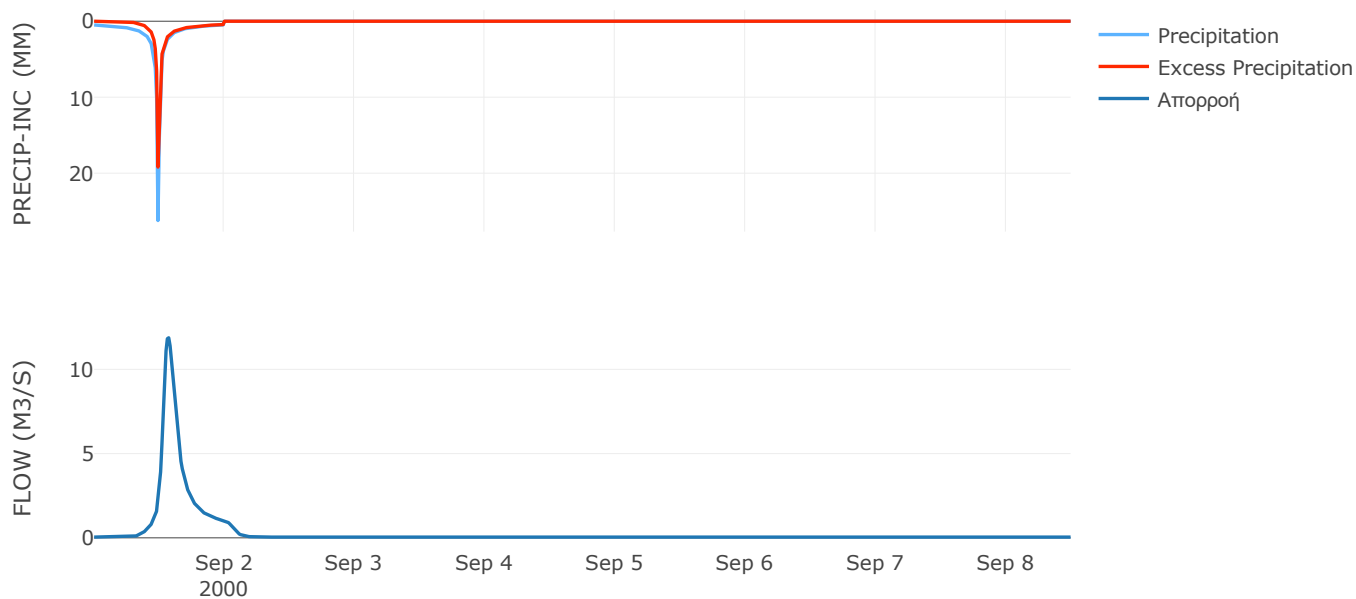
Μέθοδος
Μετασχηματισμού: SCS

Χρόνος Υστέρησης	93.12
------------------	-------

Αποτελέσματα:
EL0415FL007028

Παροχή αιχμής (M3/S)	11.87
Χρονική στιγμή αιχμής	01Sep2000, 13:45
Όγκος (MM)	123.91
Όγκος βροχόπτωσης (M3)	2.95E5
Όγκος απωλειών (M3)	1.08E5
Ενεργός Όγκος (M3)	1.86E5
Όγκος άμεσης απορροής (M3)	1.86E5
Όγκος βασικής απορροής (M3)	28026

Βροχόπτωση και Απορροή



2.2 Δεδομένα και υδρογραφήματα σχεδιασμού Κλάδων υδρογραφικού δικτύου

Κλάδος: R21

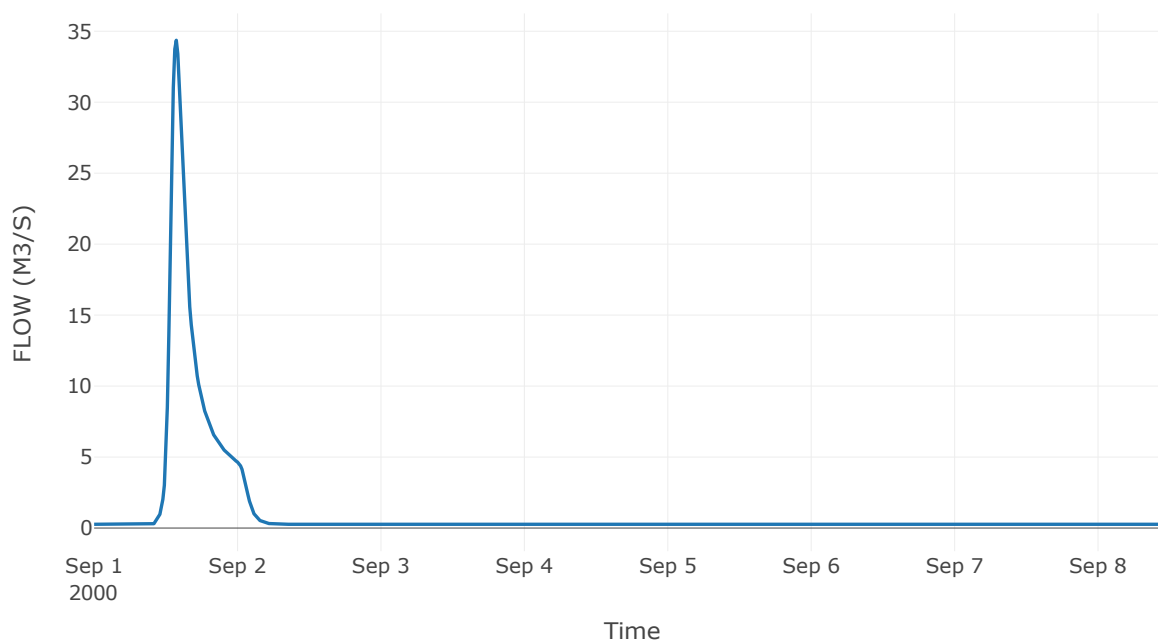
Κατάντη : J1

Μέθοδος Διόδευσης	Χρόνος
Αρχική Μεταβλητή	Combined Inflow
Χρόνος Υστέρησης	0

Αποτελέσματα: R21

Παροχή Αιχμής(M3/S)	34.36
Χρονική στιγμή αιχμής	01Sep2000, 13:45
Όγκος(MM)	71.43
Παροχή Αιχμής Εισόδου (M3/S)	34.36
Όγκος Εισροής(M3)	7.53E5

Απορροή



Κλάδος: R31

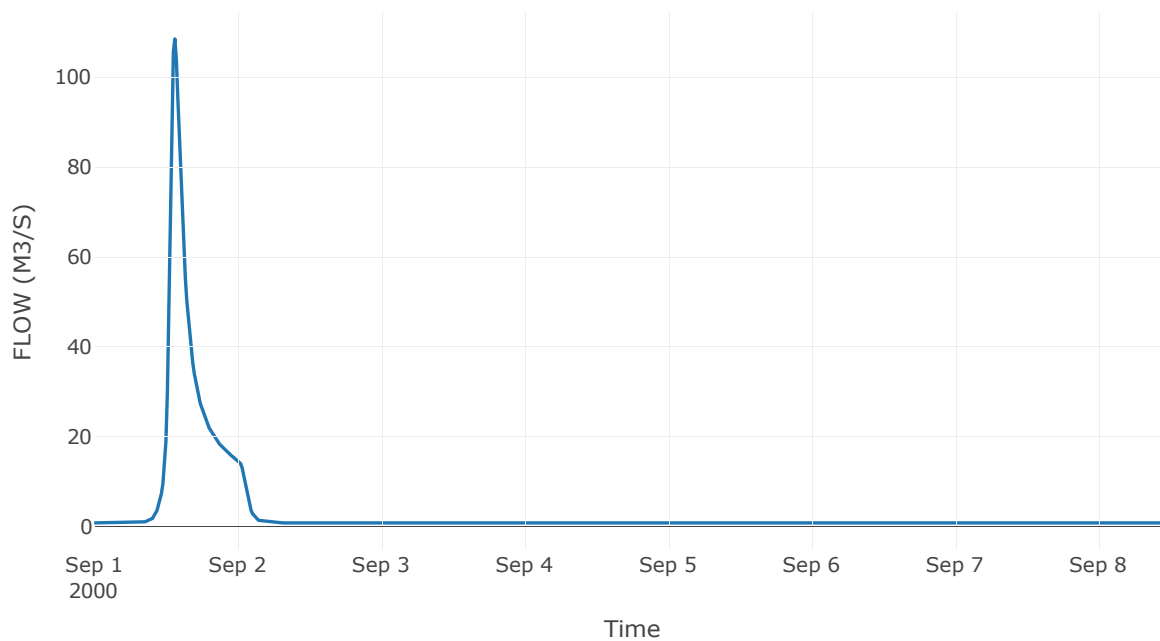
Κατάντη : J1

Μέθοδος Διόδευσης	Χρόνος
Αρχική Μεταβλητή	Combined Inflow
Χρόνος Υστέρησης	0

Αποτελέσματα: R31

Παροχή Αιχμής(M3/S)	108.53
Χρονική στιγμή αιχμής	01Sep2000, 13:30
Όγκος(MM)	68.45
Παροχή Αιχμής Εισόδου (M3/S)	108.53
Όγκος Εισροής(M3)	2.31E6

Απορροή



Κλάδος: R41

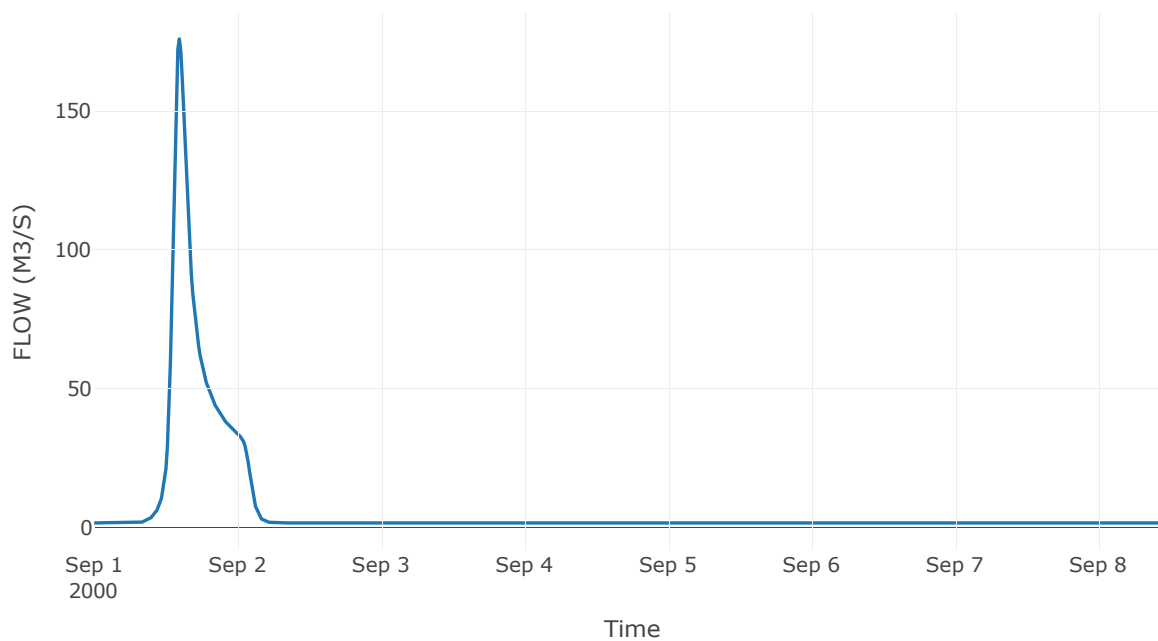
Κατάντη : J1

Μέθοδος Διόδευσης	Χρόνος
Αρχική Μεταβλητή	Combined Inflow
Χρόνος Υστέρησης	0

Αποτελέσματα: R41

Παροχή Αιχμής(M3/S)	176.02
Χρονική στιγμή αιχμής	01Sep2000, 14:15
Όγκος(MM)	69.19
Παροχή Αιχμής Εισόδου (M3/S)	176.02
Όγκος Εισροής(M3)	4.44E6

Απορροή



Κλάδος: R51

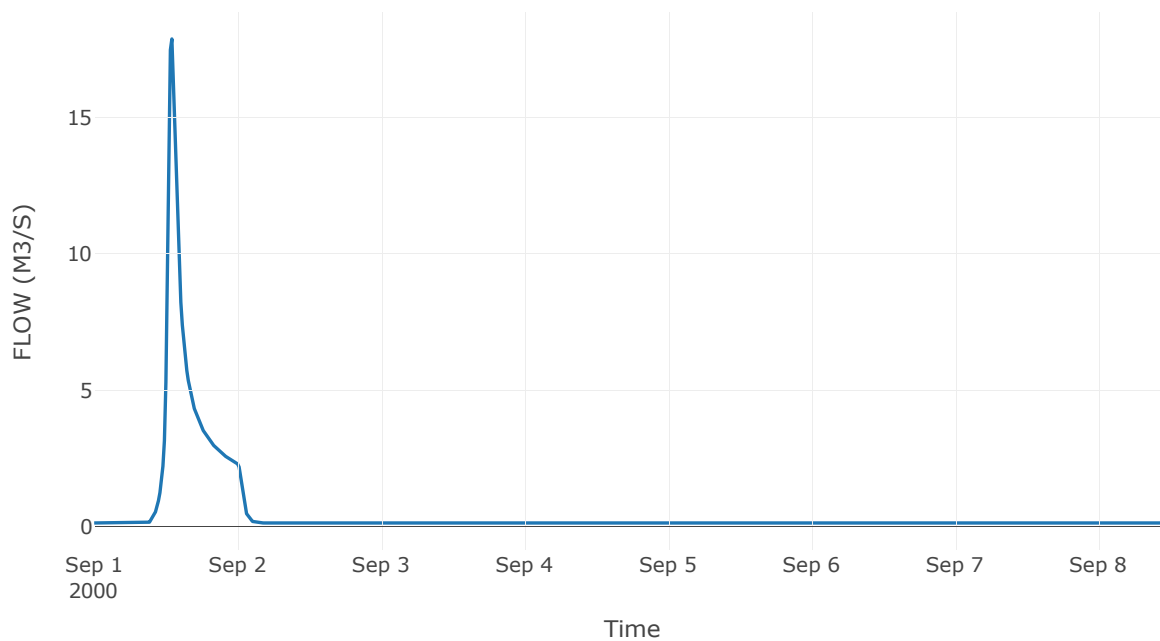
Κατάντη : J1

Μέθοδος Διόδευσης	Χρόνος
Αρχική Μεταβλητή	Combined Inflow
Χρόνος Υστέρησης	0

Αποτελέσματα: R51

Παροχή Αιχμής(M3/S)	17.88
Χρονική στιγμή αιχμής	01Sep2000, 13:00
Όγκος(MM)	60.55
Παροχή Αιχμής Εισόδου (M3/S)	17.88
Όγκος Εισροής(M3)	3.47E5

Απορροή



Κλάδος: R63

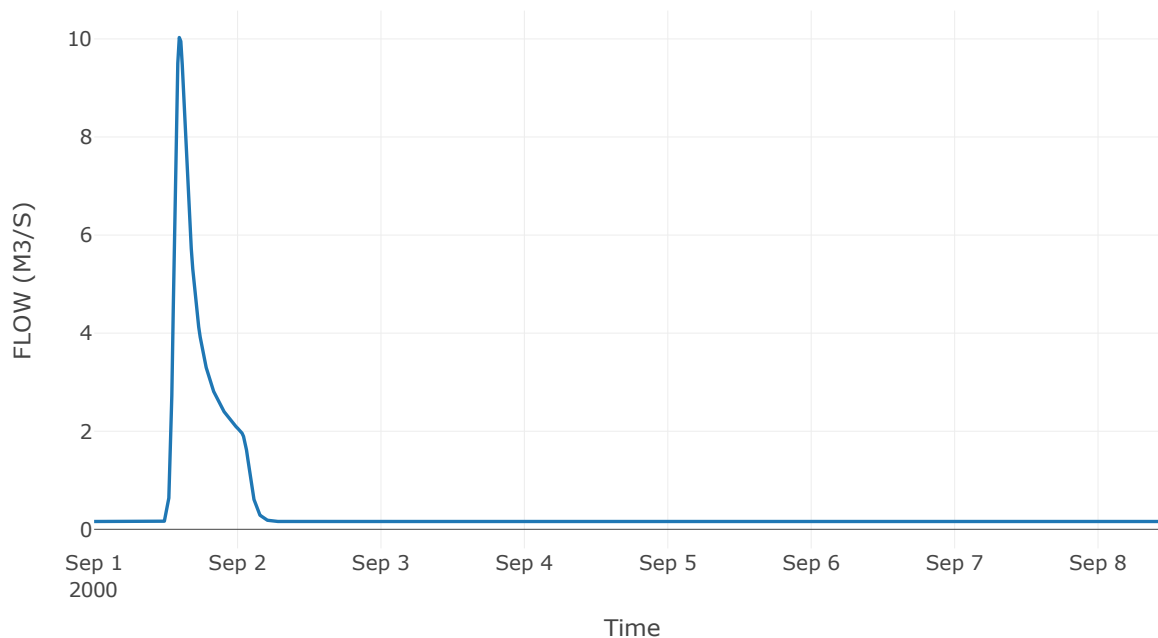
Κατάντη : J3

Μέθοδος Διόδευσης	Muskingum
Αρχική Μεταβλητή	Combined Inflow
Χρόνος Ροής K	0.75
Συντελεστής βάρους x	0.2
Πλήθος Υποκλάδων	3

Αποτελέσματα: R63

Παροχή Αιχμής(M3/S)	10.03
Χρονική στιγμή αιχμής	01Sep2000, 14:15
Όγκος(MM)	45.61
Παροχή Αιχμής Εισόδου (M3/S)	10.66
Όγκος Εισροής(M3)	2.91E5

Απορροή



Κλάδος: R73

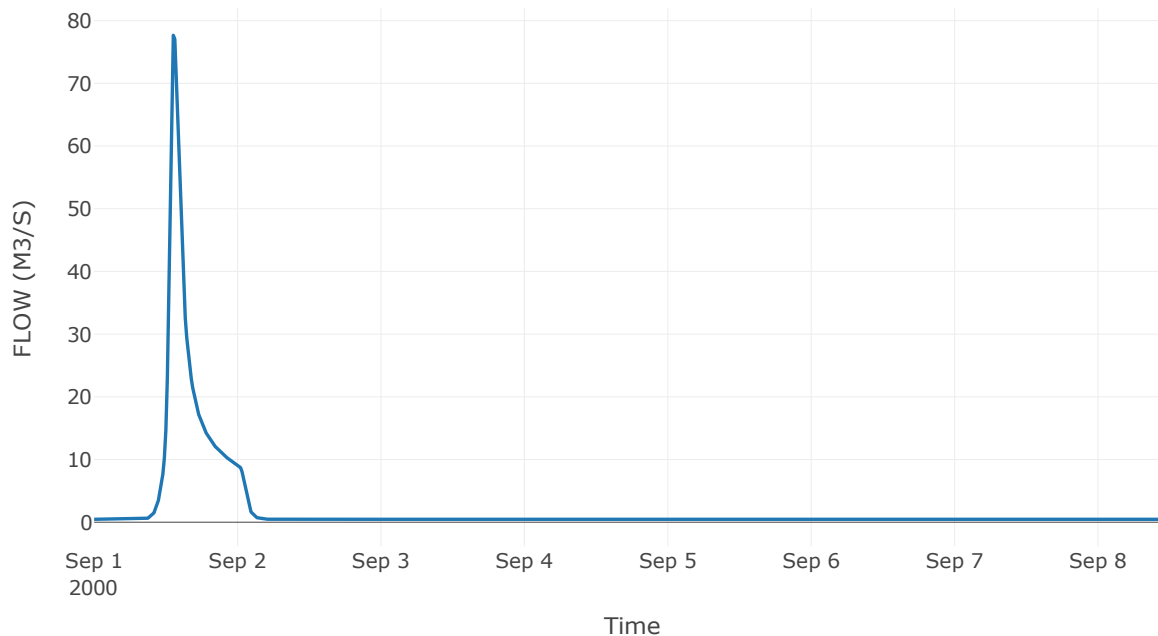
Κατάντη : J3

Μέθοδος Διόδευσης	Muskingum
Αρχική Μεταβλητή	Combined Inflow
Χρόνος Ροής Κ	0.12
Συντελεστής βάρους x	0.2
Πλήθος Υποκλάδων	3

Αποτελέσματα: R73

Παροχή Αιχμής(M3/S)	77.66
Χρονική στιγμή αιχμής	01Sep2000, 13:15
Όγκος(MM)	77.29
Παροχή Αιχμής Εισόδου (M3/S)	78.33
Όγκος Εισροής(M3)	1.44E6

Απορροή



Κλάδος: R87

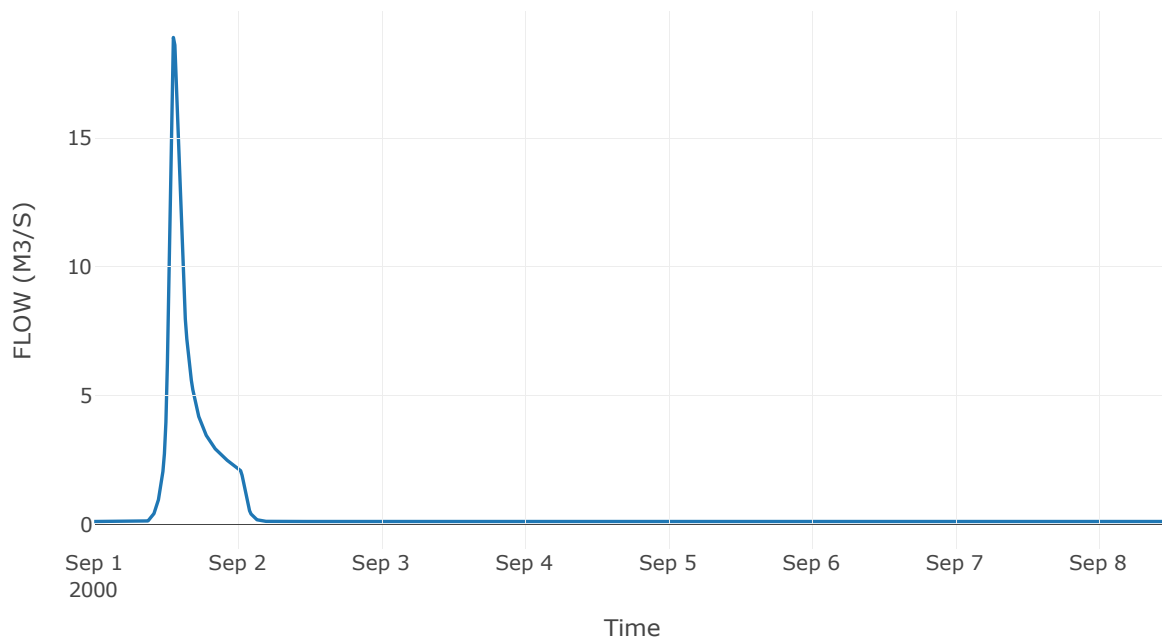
Κατάντη : J7

Μέθοδος Διόδευσης	Muskingum
Αρχική Μεταβλητή	Combined Inflow
Χρόνος Ροής K	0.19
Συντελεστής βάρους x	0.2
Πλήθος Υποκλάδων	1

Αποτελέσματα: R87

Παροχή Αιχμής(M3/S)	18.89
Χρονική στιγμή αιχμής	01Sep2000, 13:15
Όγκος(MM)	75.48
Παροχή Αιχμής Εισόδου (M3/S)	19.07
Όγκος Εισροής(M3)	3.57E5

Απορροή



Κλάδος: R97

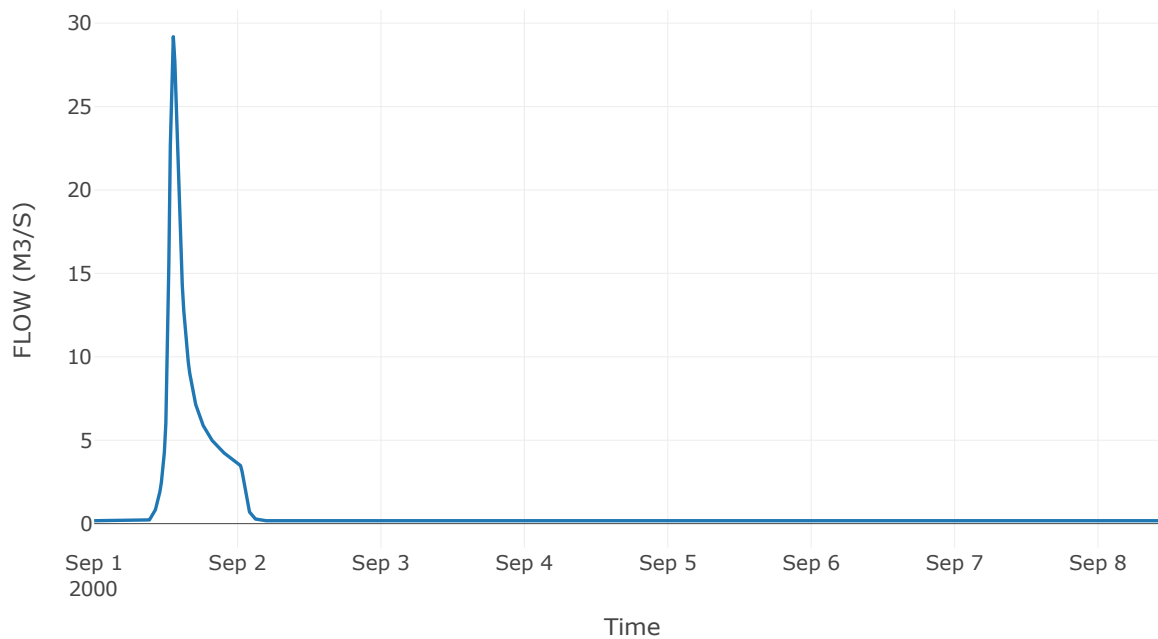
Κατάντη : J7

Μέθοδος Διόδευσης	Χρόνος
Αρχική Μεταβλητή	Combined Inflow
Χρόνος Υστέρησης	14.41

Αποτελέσματα: R97

Παροχή Αιχμής(M3/S)	29.19
Χρονική στιγμή αιχμής	01Sep2000, 13:15
Όγκος(MM)	77.8
Παροχή Αιχμής Εισόδου (M3/S)	29.28
Όγκος Εισροής(M3)	5.41E5

Απορροή



Κλάδος: R104

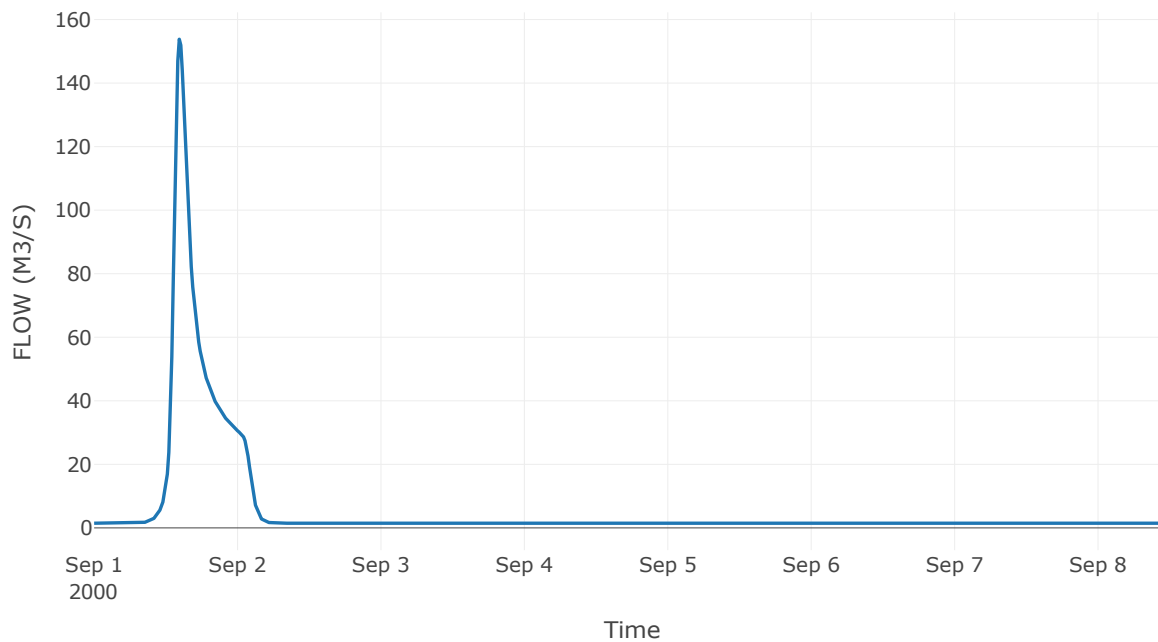
Κατάντη : J4

Μέθοδος Διόδευσης	Muskingum
Αρχική Μεταβλητή	Combined Inflow
Χρόνος Ροής K	0.77
Συντελεστής βάρους x	0.2
Πλήθος Υποκλάδων	3

Αποτελέσματα: R104

Παροχή Αιχμής(M3/S)	153.8
Χρονική στιγμή αιχμής	01Sep2000, 14:15
Όγκος(MM)	66.37
Παροχή Αιχμής Εισόδου (M3/S)	163.7
Όγκος Εισροής(M3)	3.89E6

Απορροή



Κλάδος: R1110

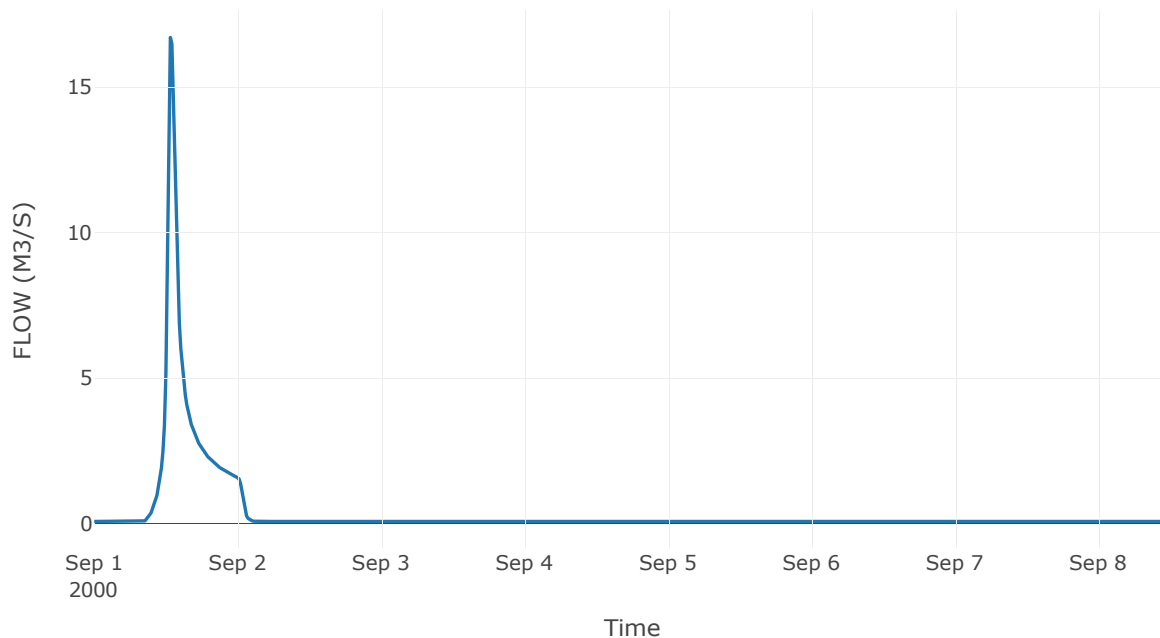
Κατάντη : J10

Μέθοδος Διόδευσης	Muskingum
Αρχική Μεταβλητή	Combined Inflow
Χρόνος Ροής K	0.22
Συντελεστής βάρους x	0.2
Πλήθος Υποκλάδων	1

Αποτελέσματα: R1110

Παροχή Αιχμής(M3/S)	16.7
Χρονική στιγμή αιχμής	01Sep2000, 12:45
Όγκος(MM)	82.48
Παροχή Αιχμής Εισόδου (M3/S)	17.35
Όγκος Εισροής(M3)	2.56E5

Απορροή



Κλάδος: R125

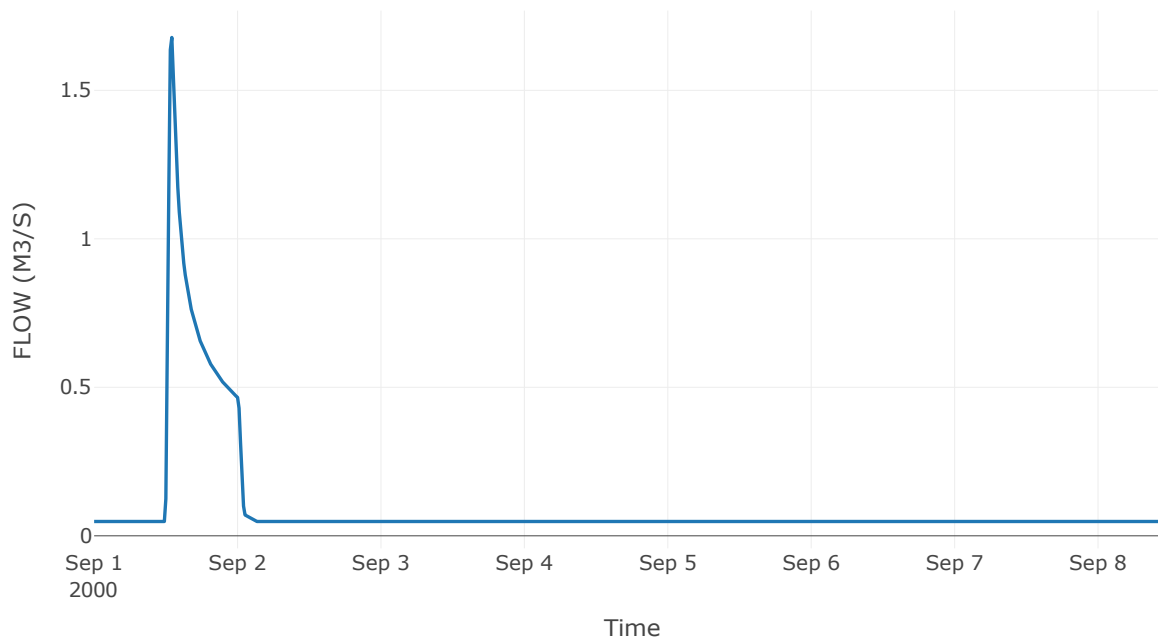
Κατάντη : J5

Μέθοδος Διόδευσης	Muskingum
Αρχική Μεταβλητή	Combined Inflow
Χρόνος Ροής K	0.15
Συντελεστής βάρους x	0.2
Πλήθος Υποκλάδων	1

Αποτελέσματα: R125

Παροχή Αιχμής(M3/S)	1.68
Χρονική στιγμή αιχμής	01Sep2000, 13:00
Όγκος(MM)	32.42
Παροχή Αιχμής Εισόδου (M3/S)	1.72
Όγκος Εισροής(M3)	62511.22

Απορροή



Κλάδος: R1413

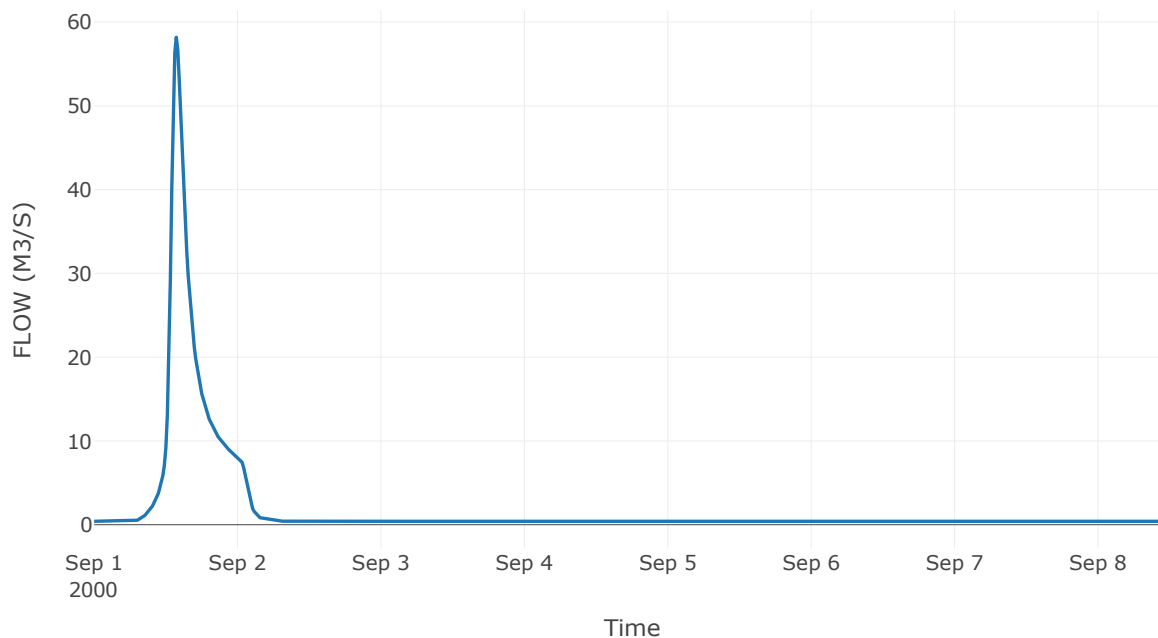
Κατάντη : J13

Μέθοδος Διόδευσης	Muskingum
Αρχική Μεταβλητή	Combined Inflow
Χρόνος Ροής K	0.09
Συντελεστής βάρους x	0.2
Πλήθος Υποκλάδων	3

Αποτελέσματα: R1413

Παροχή Αιχμής(M3/S)	58.19
Χρονική στιγμή αιχμής	01Sep2000, 13:45
Όγκος(MM)	78.09
Παροχή Αιχμής Εισόδου (M3/S)	57.97
Όγκος Εισροής(M3)	1.28E6

Απορροή



Κλάδος: R1514

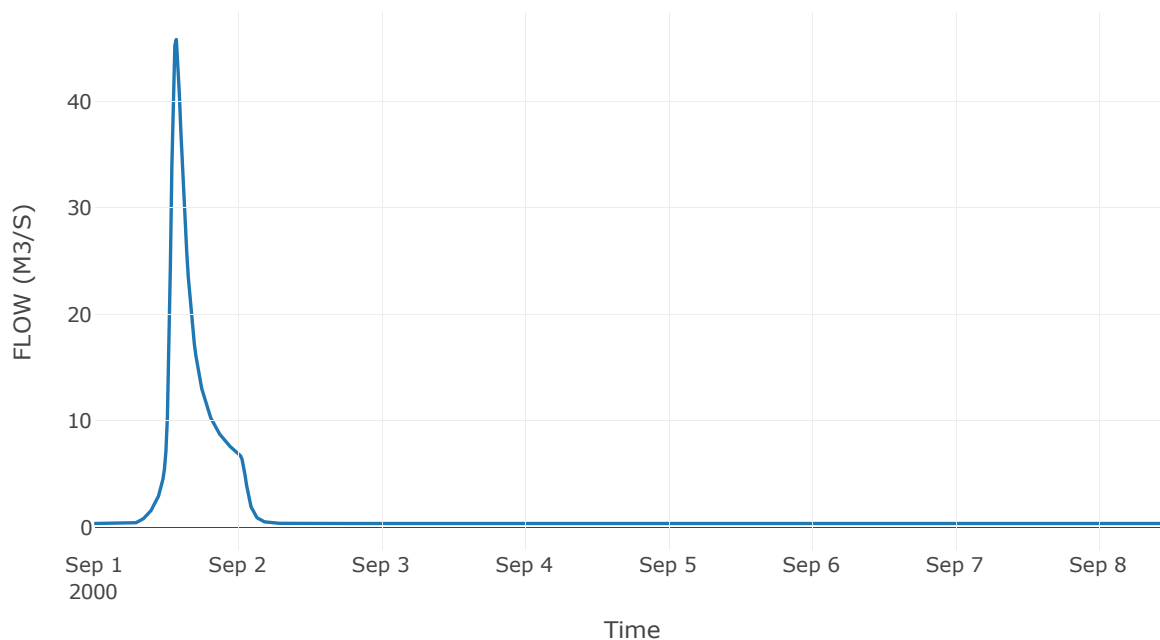
Κατάντη : J14

Μέθοδος Διόδευσης	Muskingum
Αρχική Μεταβλητή	Combined Inflow
Χρόνος Ροής Κ	0.15
Συντελεστής βάρους α	0.2
Πλήθος Υποκλάδων	1

Αποτελέσματα: R1514

Παροχή Αιχμής(M3/S)	45.83
Χρονική στιγμή αιχμής	01Sep2000, 13:45
Όγκος(MM)	72.44
Παροχή Αιχμής Εισόδου (M3/S)	46.31
Όγκος Εισροής(M3)	1.06E6

Απορροή



Κλάδος: R1615

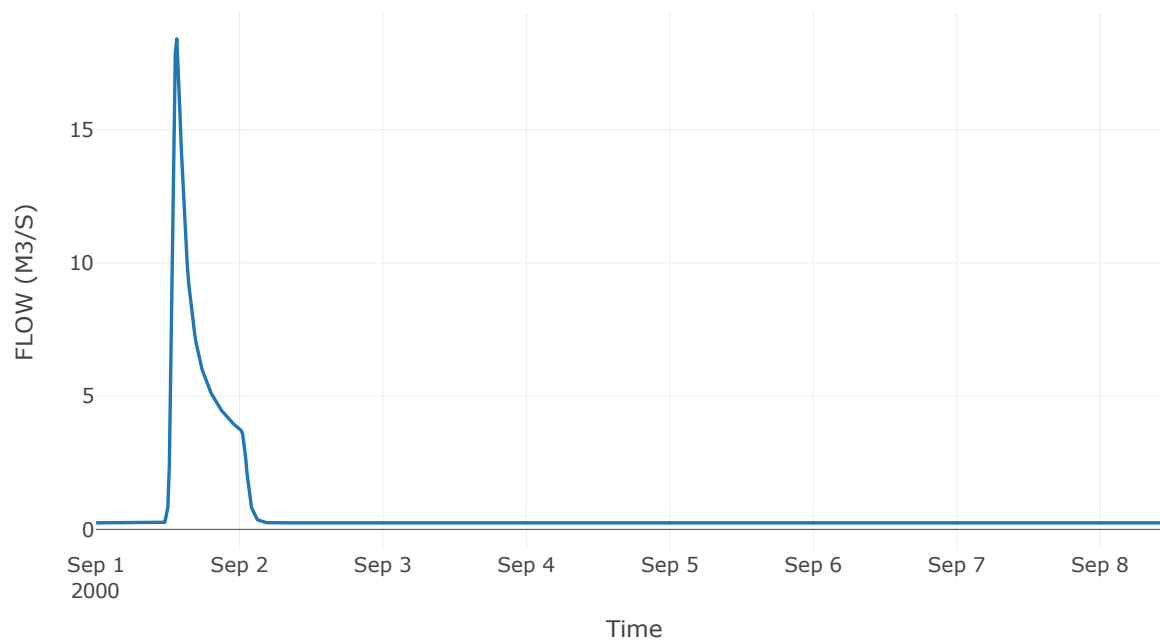
Κατάντη : J15

Μέθοδος Διόδευσης	Χρόνος
Αρχική Μεταβλητή	Combined Inflow
Χρόνος Υστέρησης	15.44

Αποτελέσματα: R1615

Παροχή Αιχμής(M3/S)	18.42
Χρονική στιγμή αιχμής	01Sep2000, 13:30
Όγκος(MM)	49.12
Παροχή Αιχμής Εισόδου (M3/S)	18.42
Όγκος Εισροής(M3)	4.81E5

Απορροή



Κλάδος: R1720

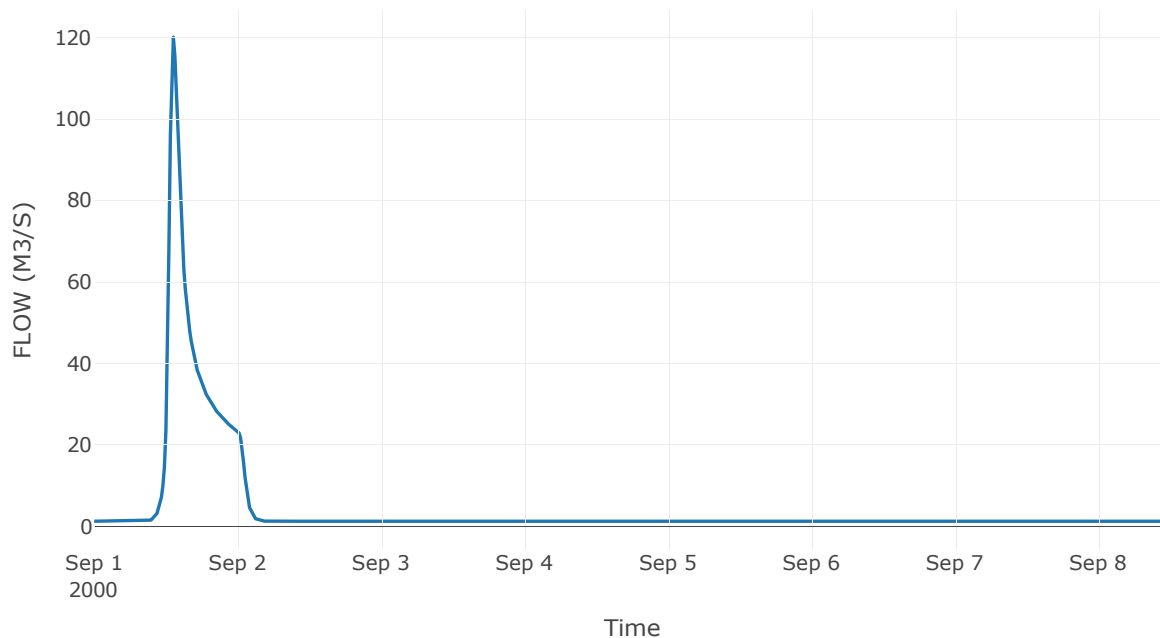
Κατάντη : J20

Μέθοδος Διόδευσης	Muskingum
Αρχική Μεταβλητή	Combined Inflow
Χρόνος Ροής K	0.13
Συντελεστής βάρους x	0.2
Πλήθος Υποκλάδων	1

Αποτελέσματα: R1 720

Παροχή Αιχμής(M3/S)	120.01
Χρονική στιγμή αιχμής	01Sep2000, 13:15
Όγκος(MM)	59.85
Παροχή Αιχμής Εισόδου (M3/S)	119.94
Όγκος Εισροής(M3)	2.9E6

Απορροή



Κλάδος: R1817

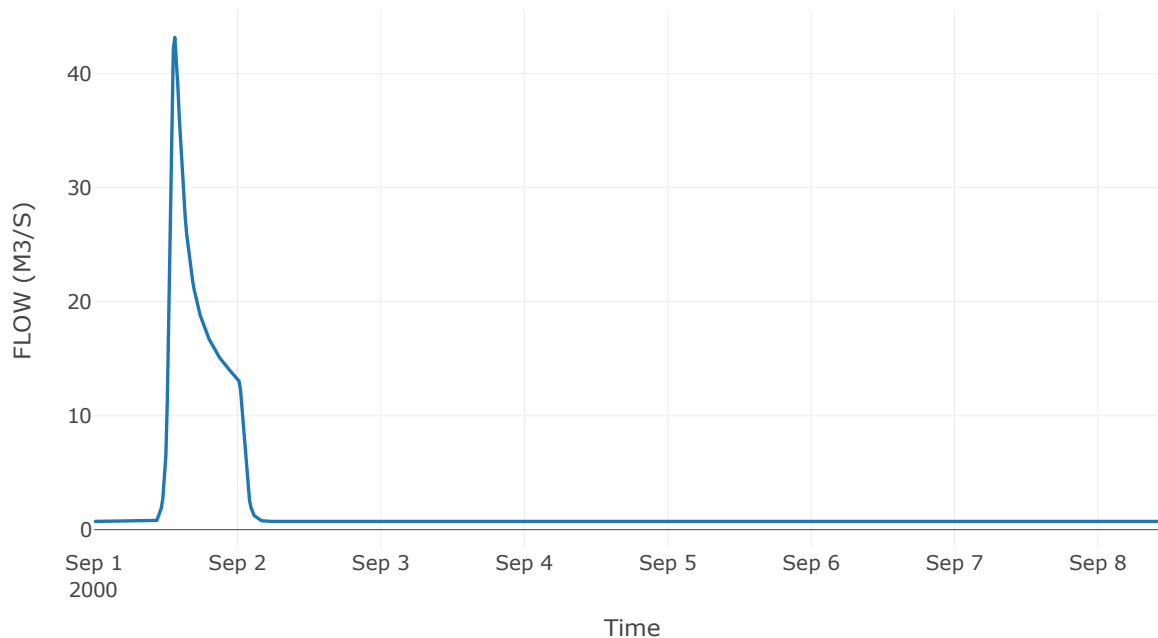
Κατάντη : J17

Μέθοδος Διόδευσης	Muskingum
Αρχική Μεταβλητή	Combined Inflow
Χρόνος Ροής Κ	0.23
Συντελεστής βάρους x	0.2
Πλήθος Υποκλάδων	1

Αποτελέσματα: R1817

Παροχή Αιχμής(M3/S)	43.18
Χρονική στιγμή αιχμής	01Sep2000, 13:30
Όγκος(MM)	49.37
Παροχή Αιχμής Εισόδου (M3/S)	43.99
Όγκος Εισροής(M3)	1.42E6

Απορροή



Κλάδος: R1918

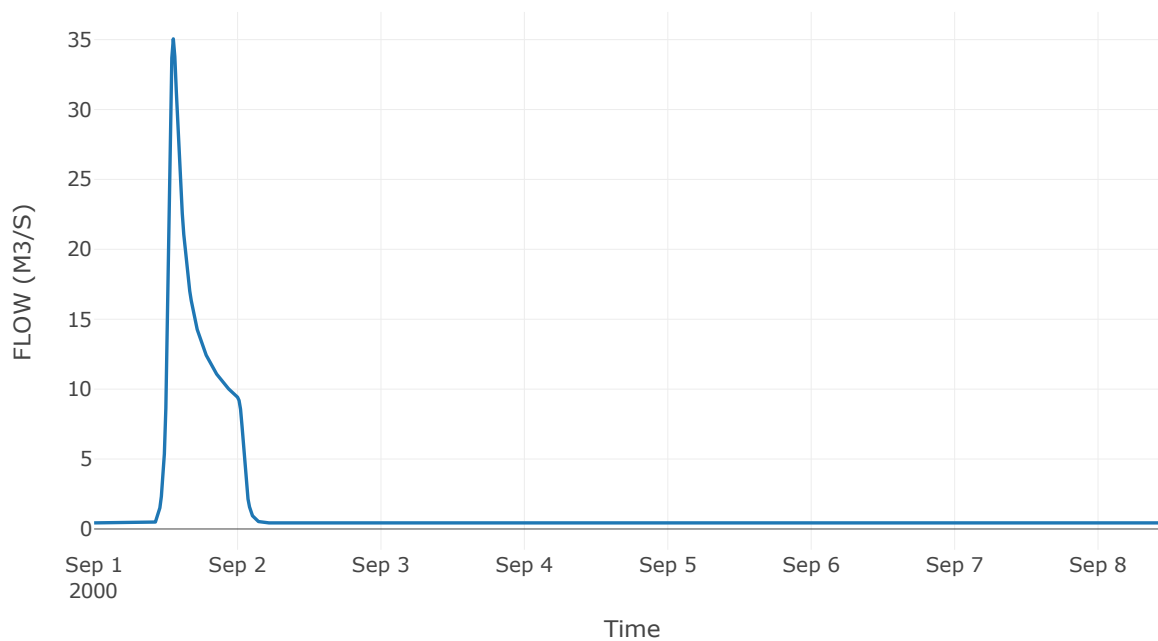
Κατάντη : J18

Μέθοδος Διόδευσης	Χρόνος
Αρχική Μεταβλητή	Combined Inflow
Χρόνος Υστέρησης	5.39

Αποτελέσματα: R1918

Παροχή Αιχμής(M3/S)	35.05
Χρονική στιγμή αιχμής	01Sep2000, 13:15
Όγκος(MM)	58.24
Παροχή Αιχμής Εισόδου (M3/S)	35.15
Όγκος Εισροής(M3)	1.01E6

Απορροή



Κλάδος: R2010

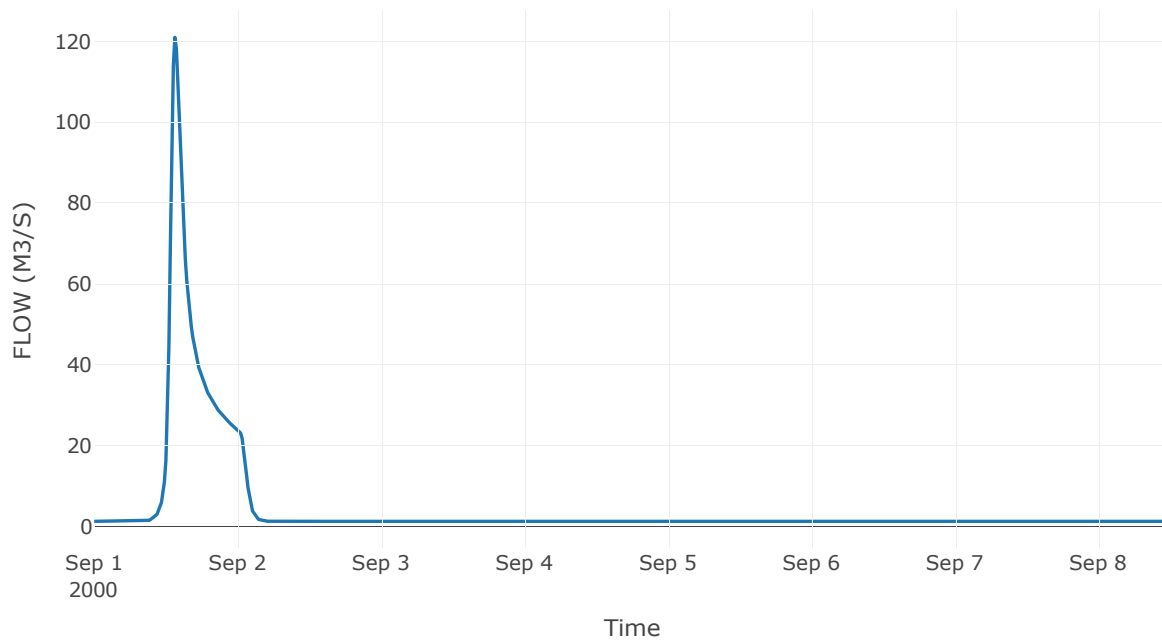
Κατάντη : J10

Μέθοδος Διόδευσης	Muskingum
Αρχική Μεταβλητή	Combined Inflow
Χρόνος Ροής Κ	0.29
Συντελεστής βάρους α	0.2
Πλήθος Υποκλάδων	1

Αποτελέσματα: R2010

Παροχή Αιχμής(M3/S)	120.97
Χρονική στιγμή αιχμής	01Sep2000, 13:30
Όγκος(MM)	60.71
Παροχή Αιχμής Εισόδου (M3/S)	125.35
Όγκος Εισροής(M3)	2.98E6

Απορροή



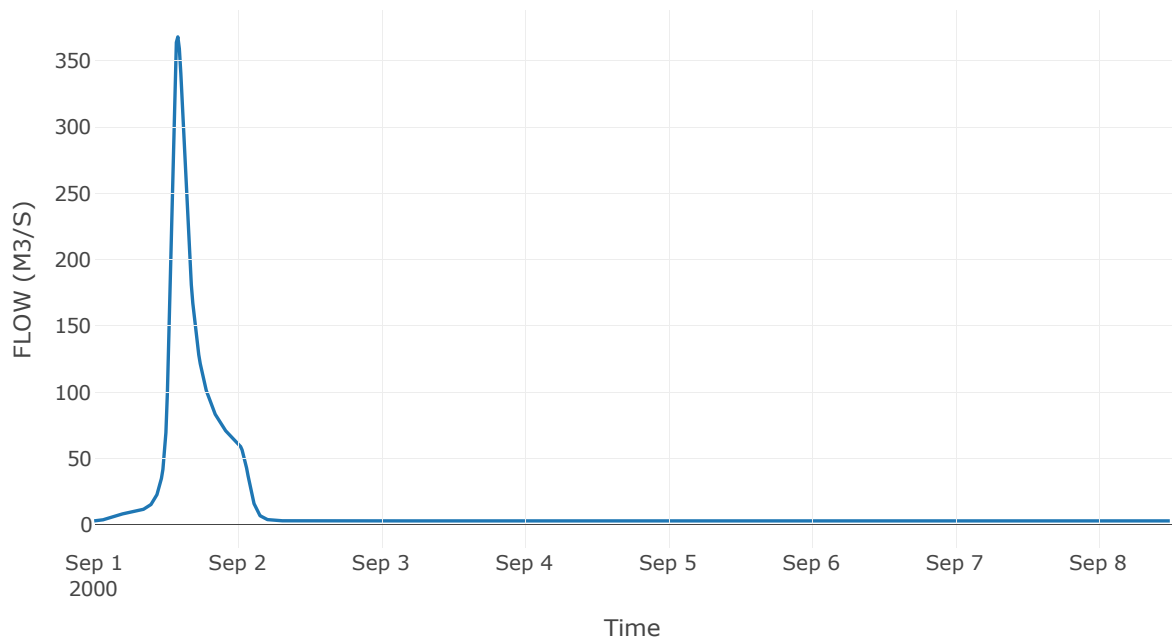
2.3 Δεδομένα και υδρογραφήματα σχεδιασμού Κόμβων υδρογραφικού δικτύου

Κόμβος εξόδου: J1

Αποτέλεσμα
τα: J1

Παροχή αιχμής (M3/S)	368.06
Χρονική στιγμή αιχμής	01Sep2000, 14:00
Όγκος (MM)	75.84

Απορροή



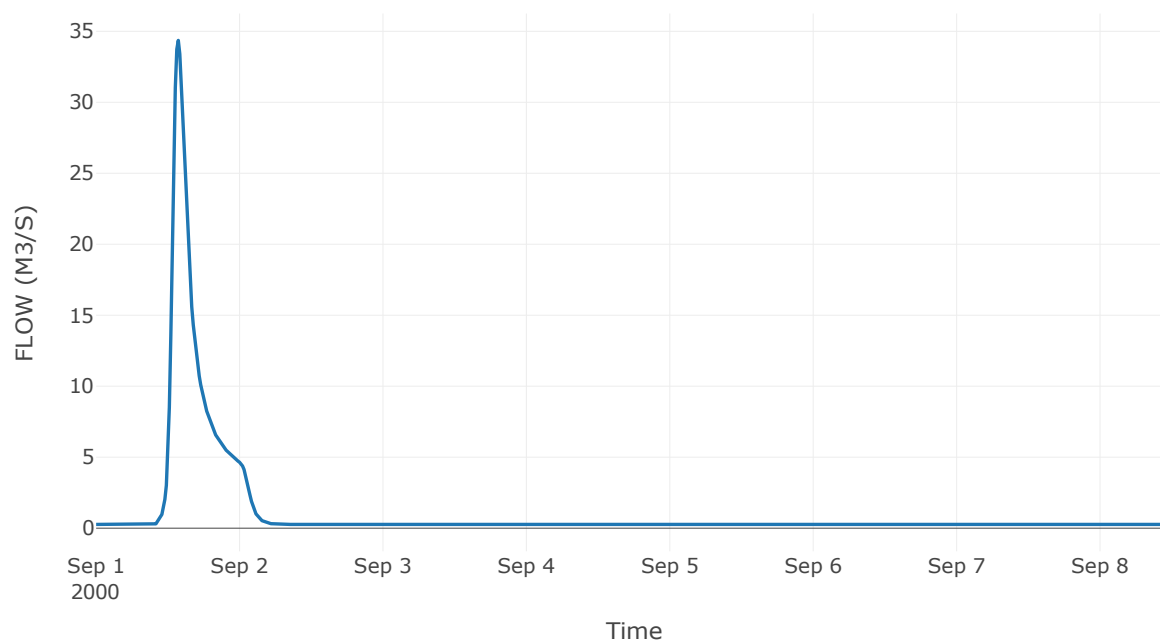
Κόμβος: J2

Κατάντη : R21

Αποτελέσματα: J2

Παροχή Αιχμής(M3/S)	34.36
Χρονική στιγμή αιχμής	01Sep2000, 13:45
Όγκος(MM)	71.43

Απορροή



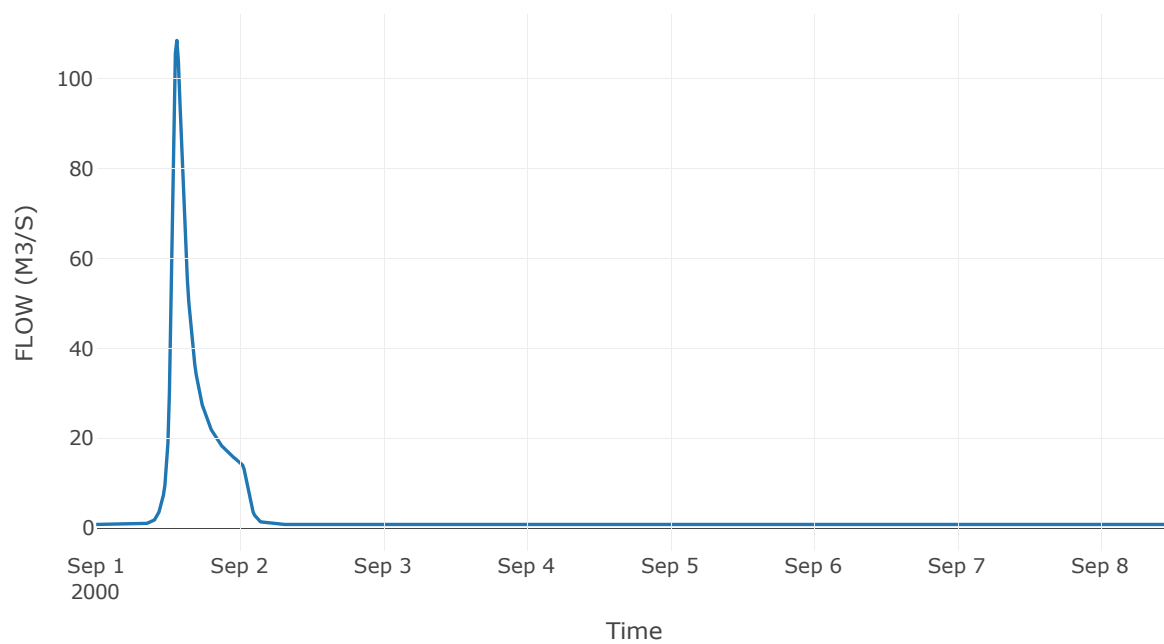
Κόμβος: J3

Κατάντη : R31

Αποτελέσματα: J3

Παροχή Αιχμής(M3/S)	108.53
Χρονική στιγμή αιχμής	01Sep2000, 13:30
Όγκος(MM)	68.45

Απορροή



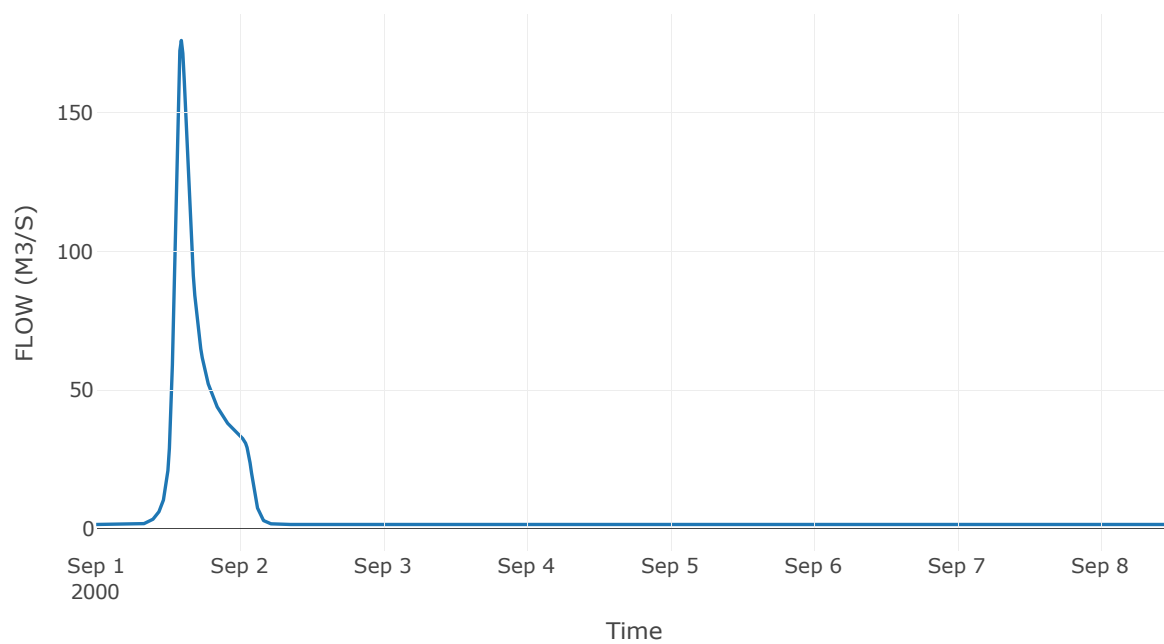
Κόμβος: J4

Κατάντη : R41

Αποτελέσματα: J4

Παροχή Αιχμής(M3/S)	176.02
Χρονική στιγμή αιχμής	01Sep2000, 14:15
Όγκος(MM)	69.19

Απορροή



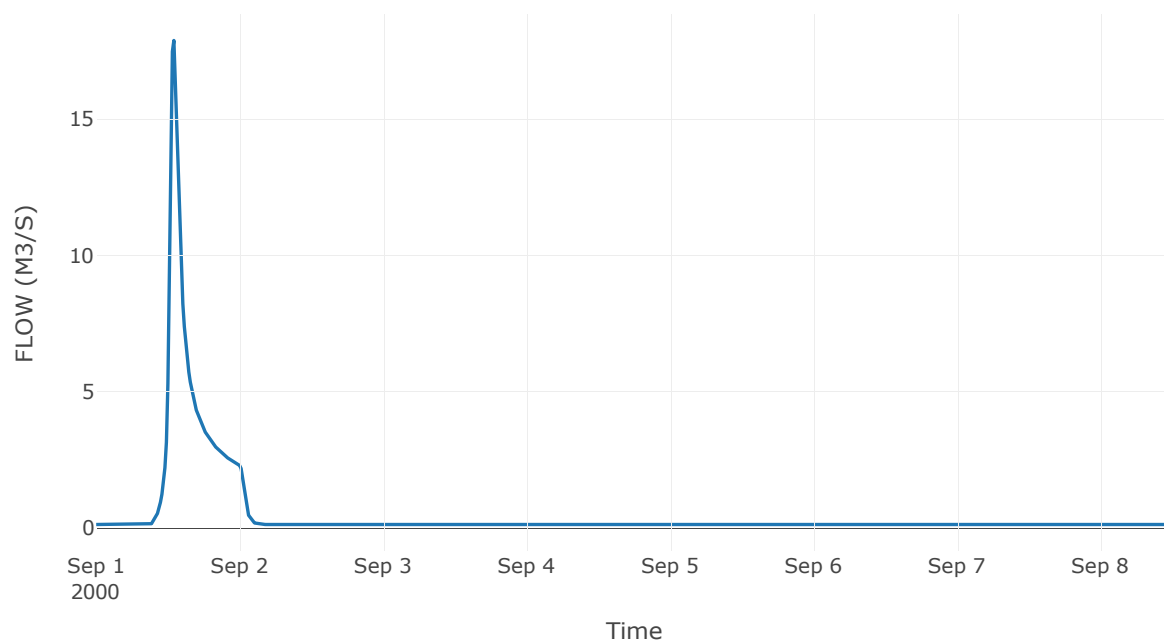
Κόμβος: J5

Κατάντη : R51

Αποτελέσματα: J5

Παροχή Αιχμής(M3/S)	17.88
Χρονική στιγμή αιχμής	01Sep2000, 13:00
Όγκος(MM)	60.55

Απορροή



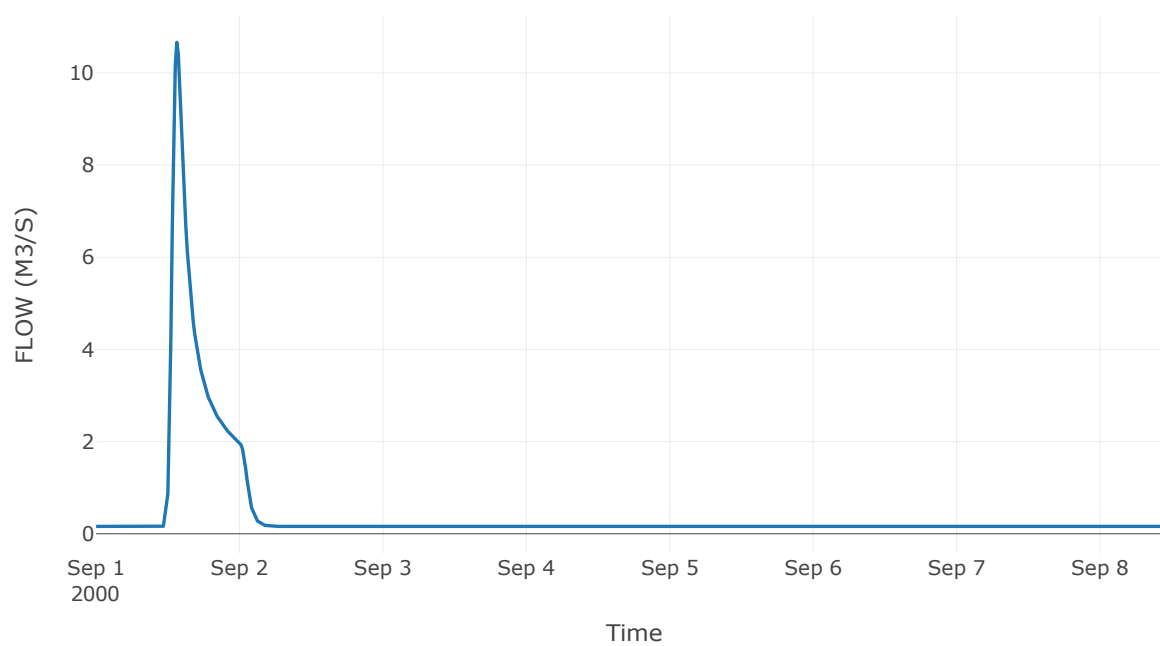
Κόμβος: J6

Κατάντη : R63

Αποτελέσματα: J6

Παροχή Αιχμής(M3/S)	10.66
Χρονική στιγμή αιχμής	01Sep2000, 13:30
Όγκος(MM)	45.61

Απορροή



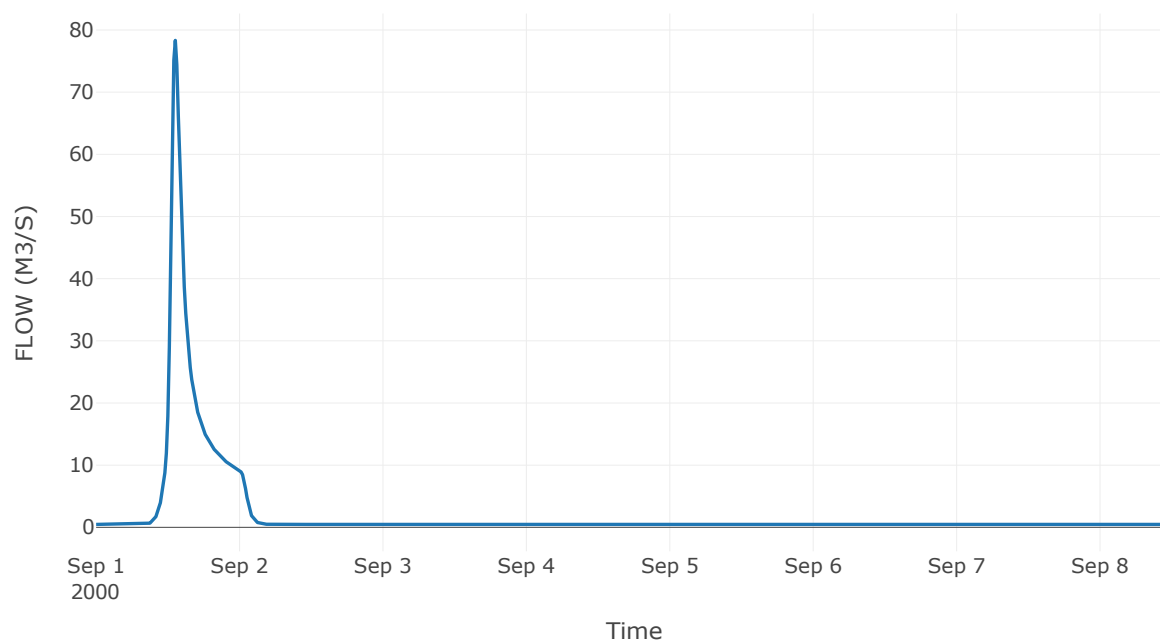
Κόμβος: J7

Κατάντη : R73

Αποτελέσματα: J7

Παροχή Αιχμής(M3/S)	78.33
Χρονική στιγμή αιχμής	01Sep2000, 13:15
Όγκος(MM)	77.29

Απορροή



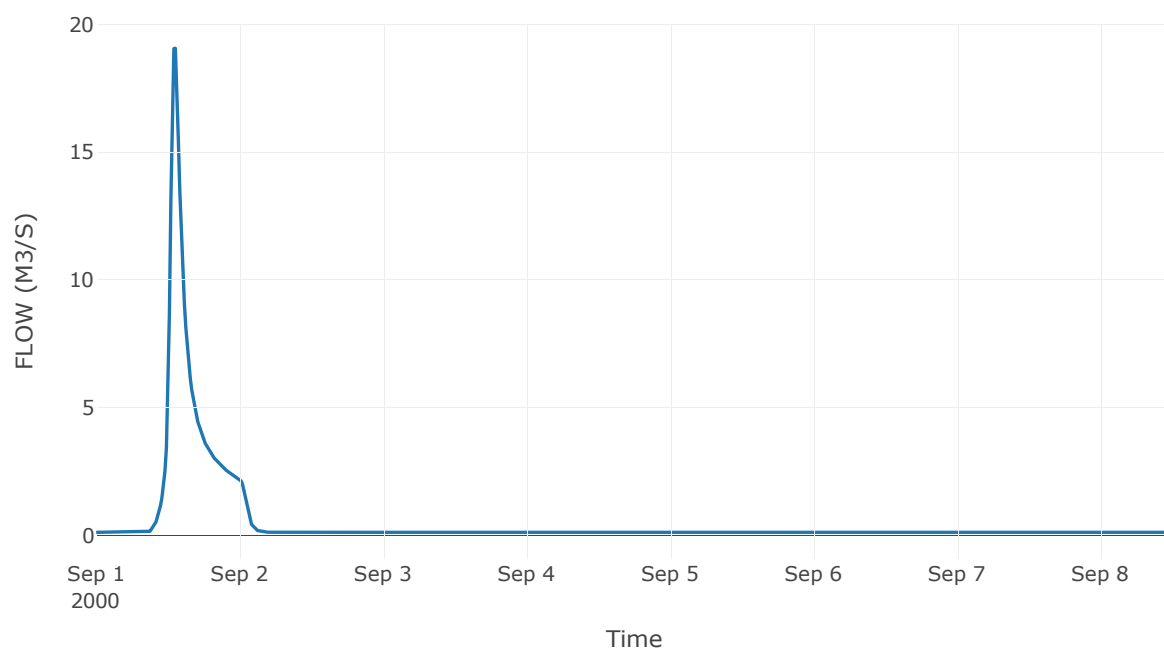
Κόμβος: J8

Κατάντη : R87

Αποτελέσματα: J8

Παροχή Αιχμής(M3/S)	19.07
Χρονική στιγμή αιχμής	01Sep2000, 13:15
Όγκος(MM)	75.48

Απορροή



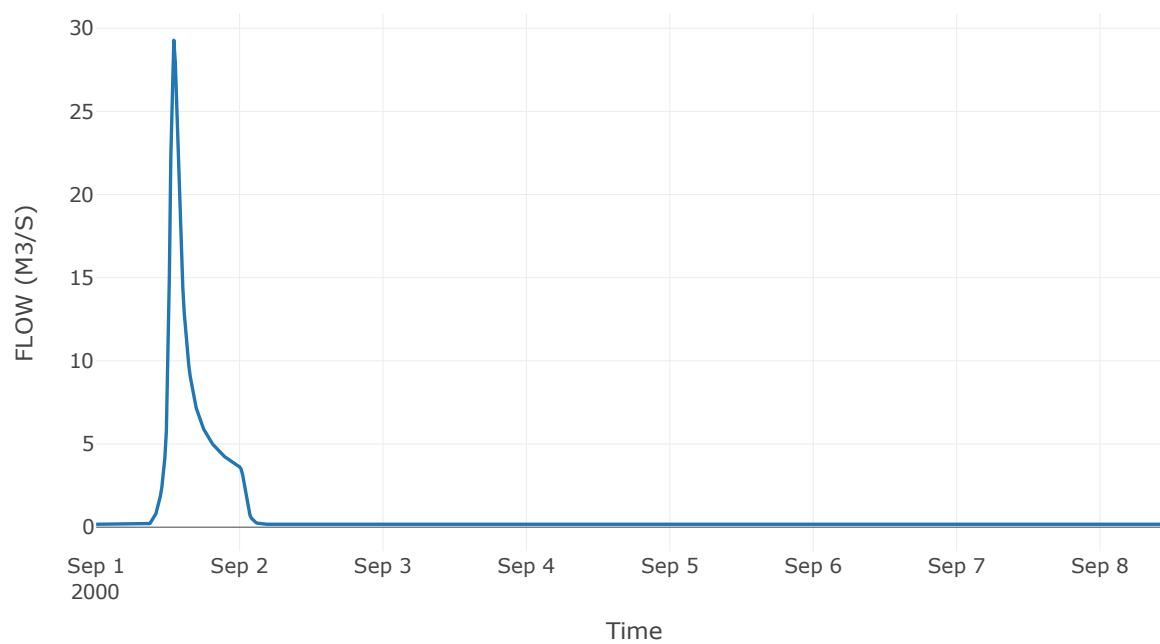
Κόμβος: J9

Κατάντη : R97

Αποτελέσματα: J9

Παροχή Αιχμής(M3/S)	29.28
Χρονική στιγμή αιχμής	01Sep2000, 13:00
Όγκος(MM)	77.8

Απορροή



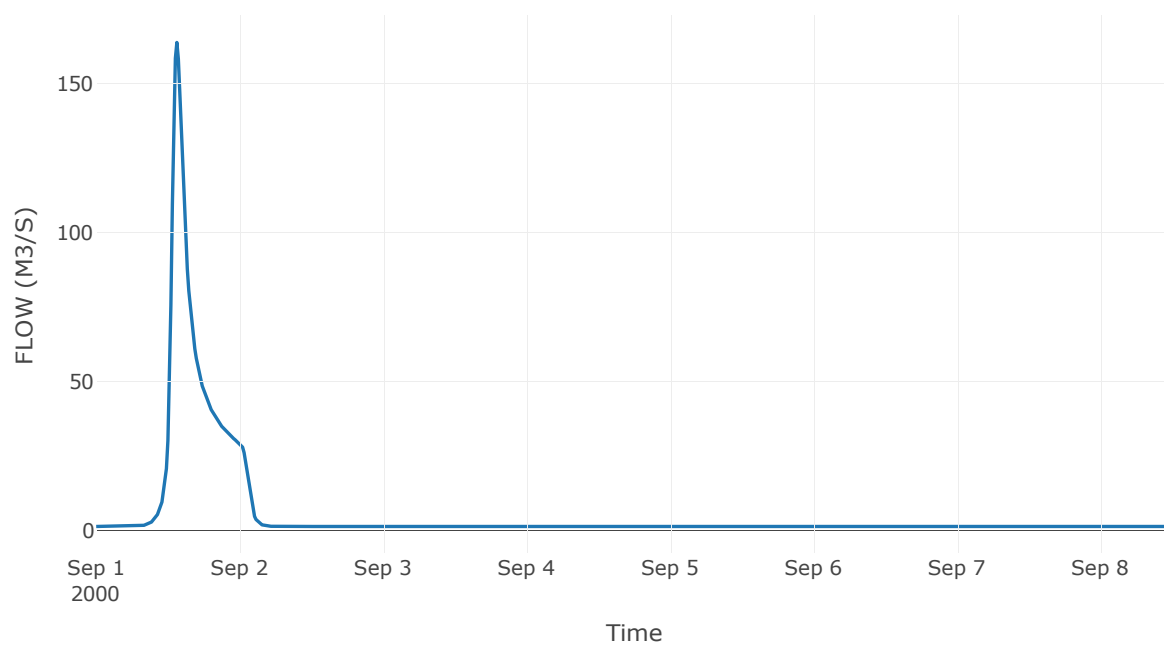
Κόμβος: J10

Κατάντη : R104

Αποτελέσματα: J10

Παροχή Αιχμής(M3/S)	163.7
Χρονική στιγμή αιχμής	01Sep2000, 13:30
Όγκος(MM)	66.37

Απορροή



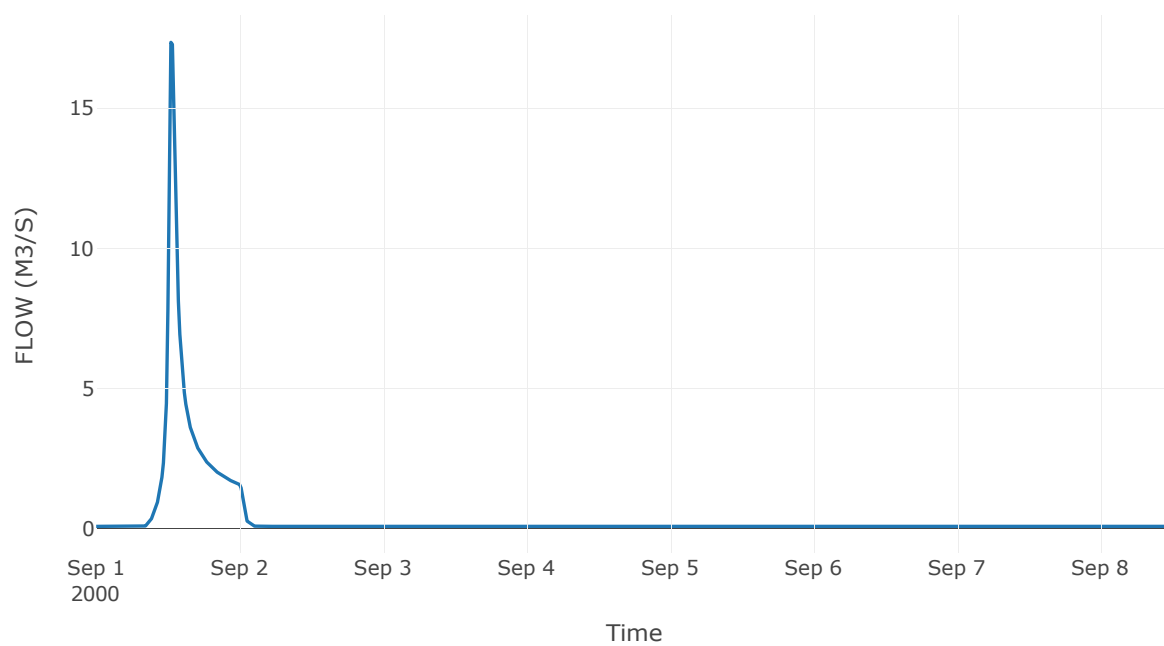
Κόμβος: J11

Κατάντη : R1110

Αποτελέσματα: J11

Παροχή Αιχμής(M3/S)	17.35
Χρονική στιγμή αιχμής	01Sep2000, 12:30
Όγκος(MM)	82.48

Απορροή



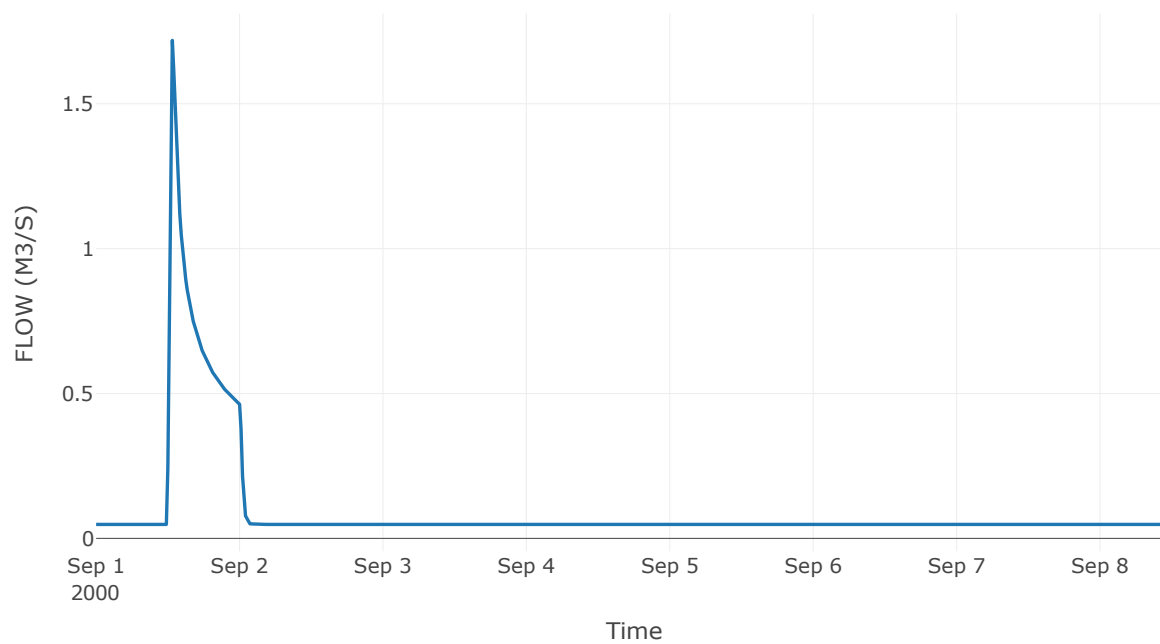
Κόμβος: J12

Κατάντη : R125

Αποτελέσματα: J12

Παροχή Αιχμής(M3/S)	1.72
Χρονική στιγμή αιχμής	01Sep2000, 12:45
Όγκος(MM)	32.42

Απορροή

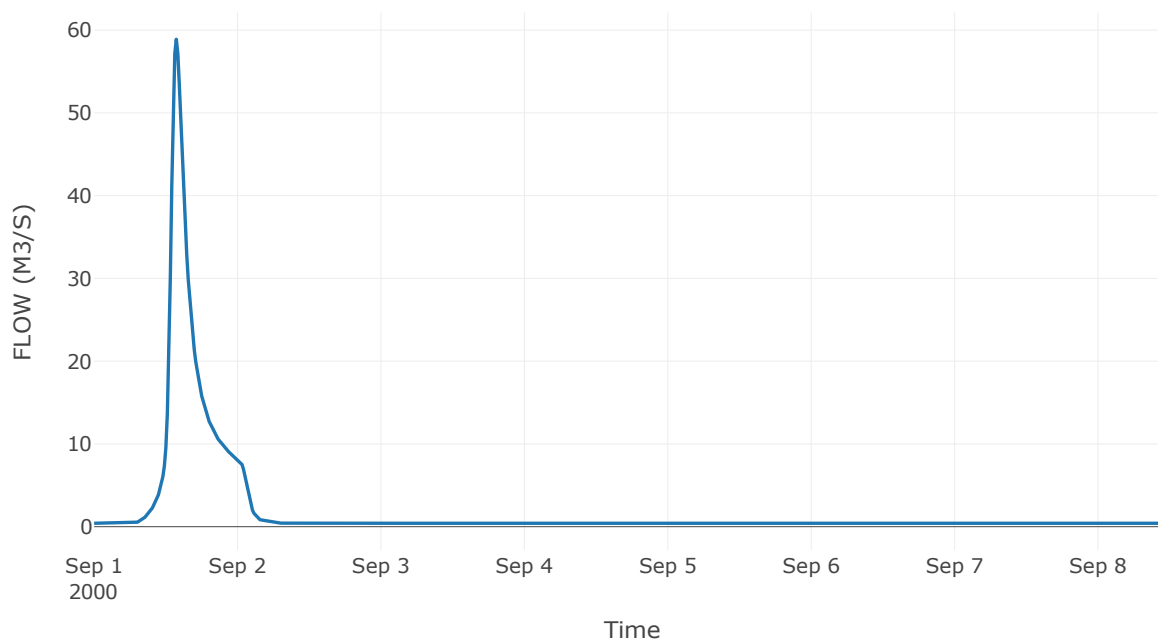


Κόμβος εξόδου: J13

Αποτελέσματ
α: J13

Παροχή αιχμής (M3/S)	58.9
Χρονική στιγμή αιχμής	01Sep2000, 13:45
Όγκος (MM)	78.4

Απορροή



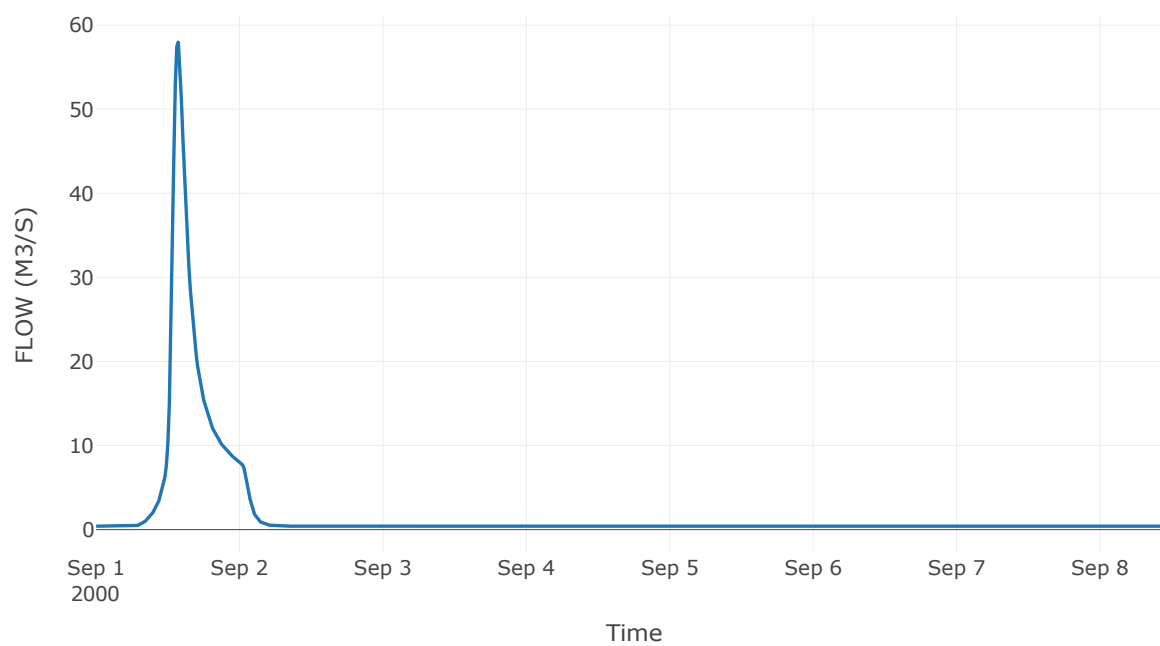
Κόμβος: J14

Κατάντη : R1413

Αποτελέσματα: J14

Παροχή Αιχμής(M3/S)	57.97
Χρονική στιγμή αιχμής	01Sep2000, 13:45
Όγκος(MM)	78.09

Απορροή



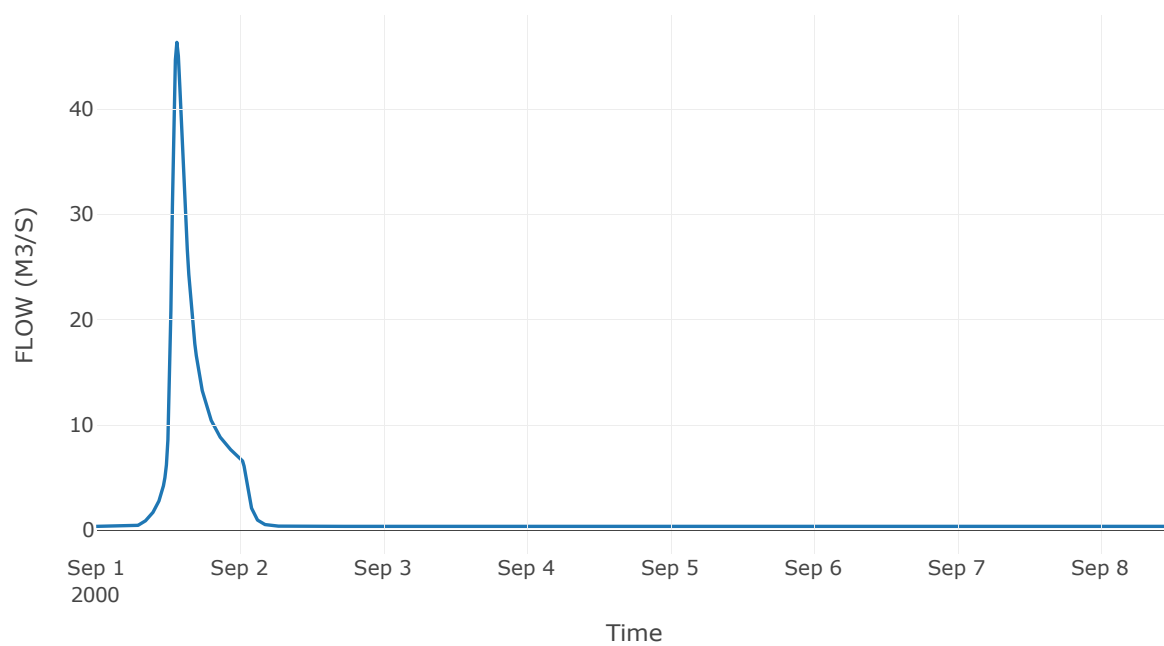
Κόμβος: J15

Κατάντη : R1514

Αποτελέσματα: J15

Παροχή Αιχμής(M3/S)	46.31
Χρονική στιγμή αιχμής	01Sep2000, 13:30
Όγκος(MM)	72.44

Απορροή



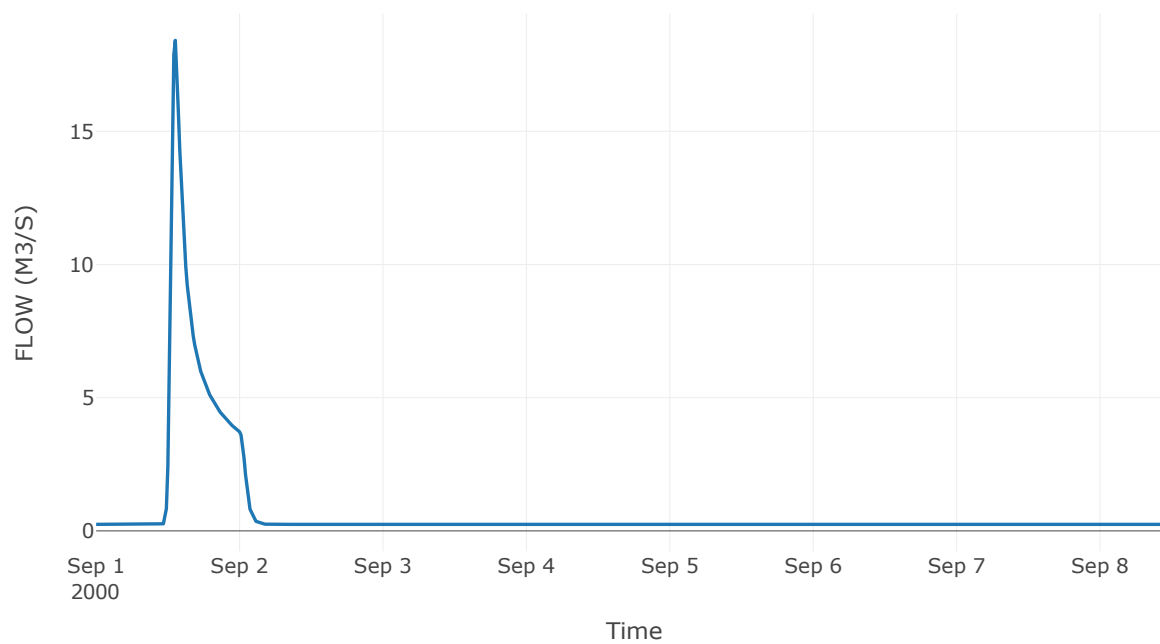
Κόμβος: J16

Κατάντη : R1615

Αποτελέσματα: J16

Παροχή Αιχμής(M3/S)	18.42
Χρονική στιγμή αιχμής	01Sep2000, 13:15
Όγκος(MM)	49.12

Απορροή



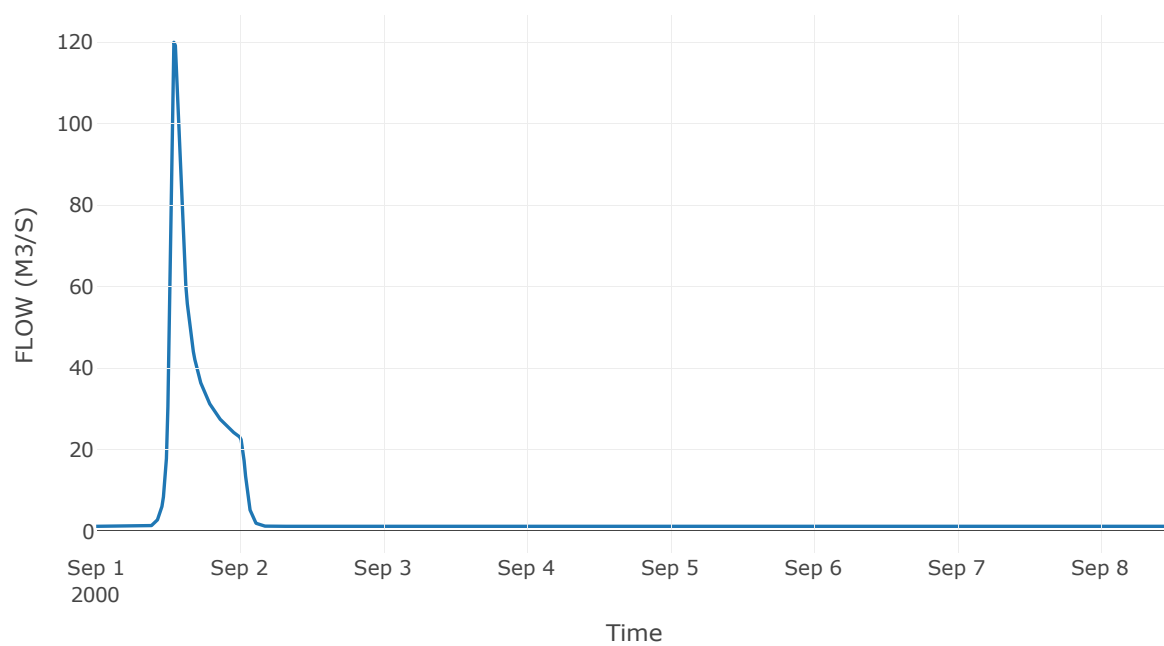
Κόμβος: J17

Κατάντη : R1720

Αποτελέσματα: J17

Παροχή Αιχμής(M3/S)	119.94
Χρονική στιγμή αιχμής	01Sep2000, 13:00
Όγκος(MM)	59.85

Απορροή



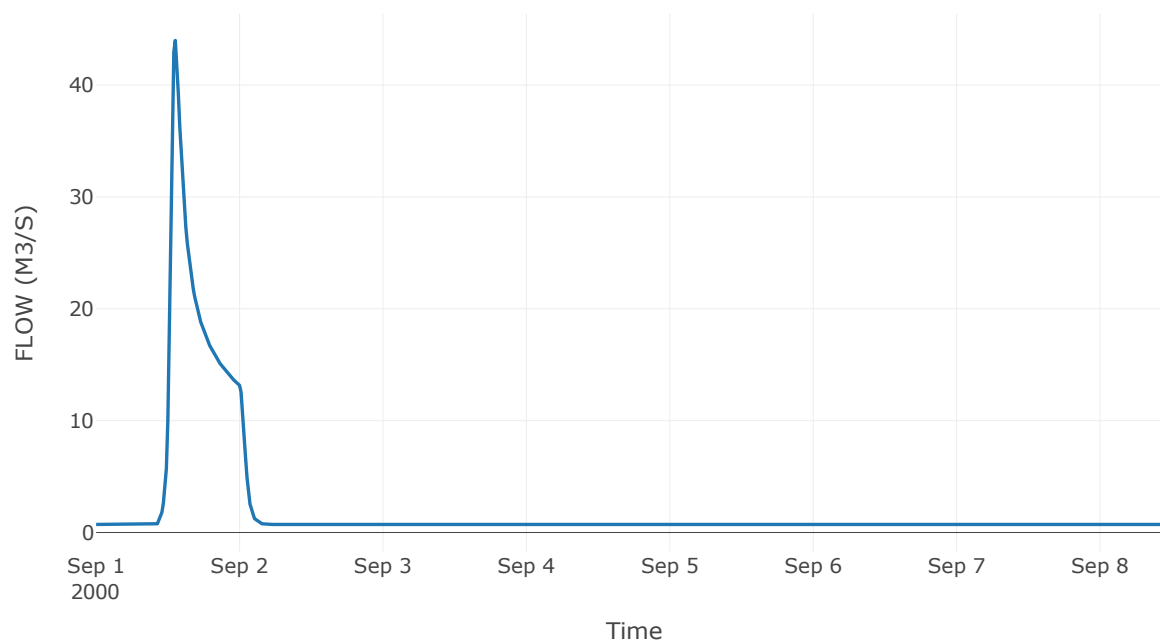
Κόμβος: J18

Κατάντη : R1817

Αποτελέσματα: J18

Παροχή Αιχμής(M3/S)	43.99
Χρονική στιγμή αιχμής	01Sep2000, 13:15
Όγκος(MM)	49.37

Απορροή



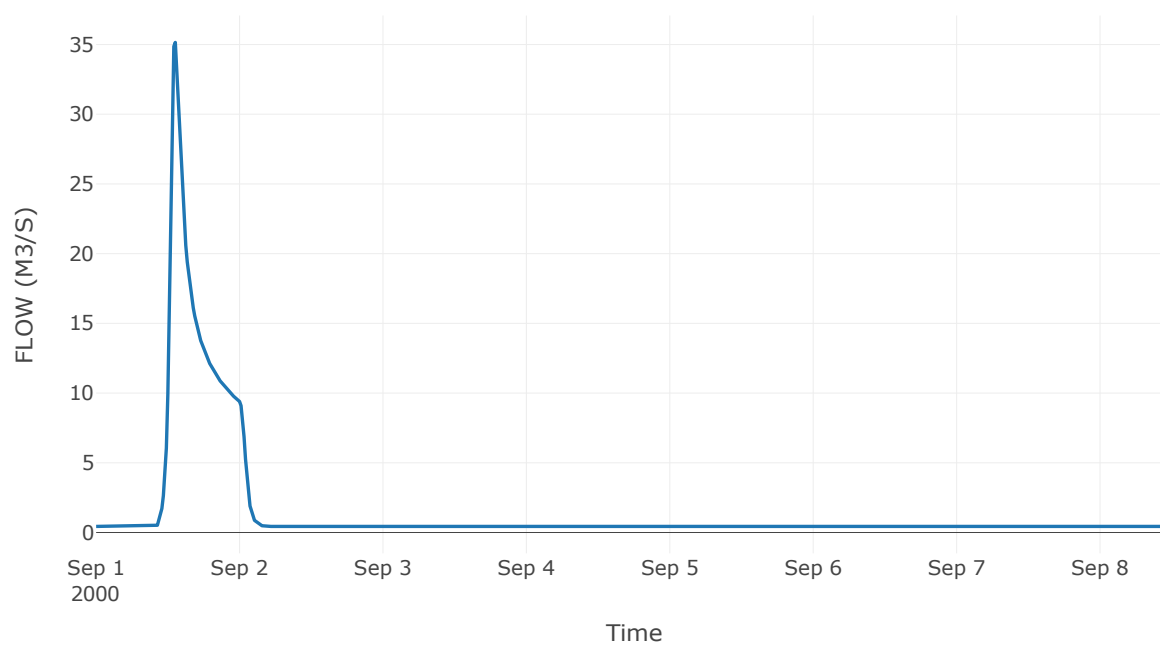
Κόμβος: J19

Κατάντη : R1918

Αποτελέσματα: J19

Παροχή Αιχμής(M3/S)	35.15
Χρονική στιγμή αιχμής	01Sep2000, 13:15
Όγκος(MM)	58.24

Απορροή



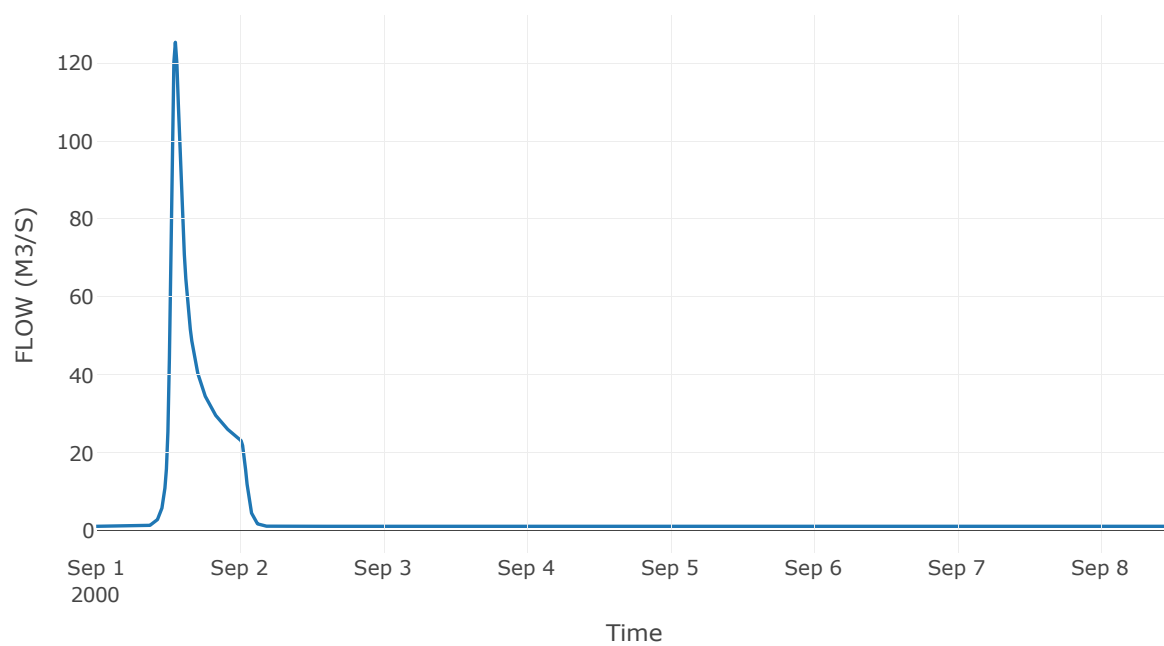
Κόμβος: J20

Κατάντη : R2010

Αποτελέσματα: J20

Παροχή Αιχμής(M3/S)	125.35
Χρονική στιγμή αιχμής	01Sep2000, 13:15
Όγκος(MM)	60.71

Απορροή



3 Δεδομένα εισόδου και αποτελέσματα υδρολογικού σεναρίου T=50L

3.1 Αποτελέσματα, υετογραφήματα και υδρογραφήματα σχεδιασμού υπολεκανών

Υπολεκάνη: EL0415FL007001

Έκταση (KM2) : 9.22

Κατάντη : J1

Μέθοδος Απωλειών: SCS

Ποσοστό αδιαπέρατης επιφάνειας	95
Αριθμός Καμπύλης Απορροής-CN	99
Αρχικές Απώλειες	0.51

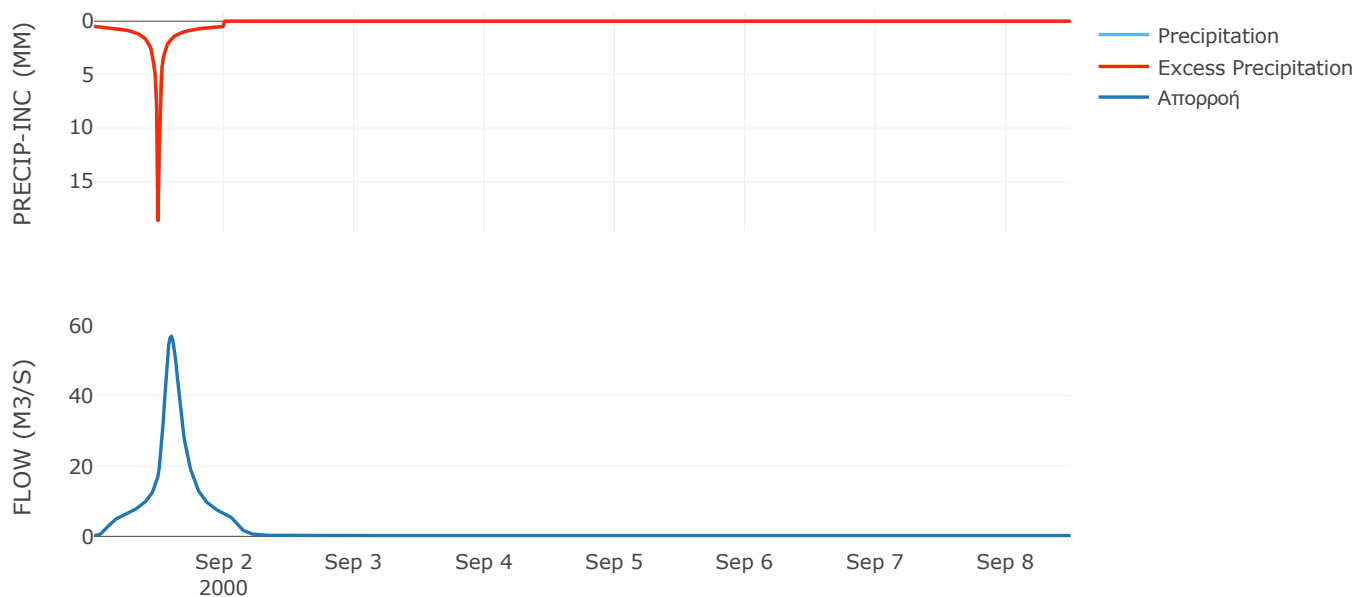
Μέθοδος
Μετασχηματισμού: SCS

Χρόνος Υστέρησης	130.09
------------------	--------

Αποτελέσματα:
EL0415FL007001

Παροχή αιχμής (M3/S)	56.91
Χρονική στιγμή αιχμής	01Sep2000, 14:15
Όγκος (MM)	163.61
Όγκος βροχόπτωσης (M3)	1.36E6
Όγκος απωλειών (M3)	1399.8
Ενεργός Όγκος (M3)	1.36E6
Όγκος άμεσης απορροής (M3)	1.36E6
Όγκος βασικής απορροής (M3)	1.49E5

Βροχόπτωση και Απορροή



Υπολεκάνη: EL0415FL007002

Έκταση (KM2) : 10.54

Κατάντη : J2

Μέθοδος Απωλειών: SCS

Ποσοστό αδιαπέρατης επιφάνειας	0
Αριθμός Καμπύλης Απορροής-CN	43.8
Αρχικές Απώλειες	65.17

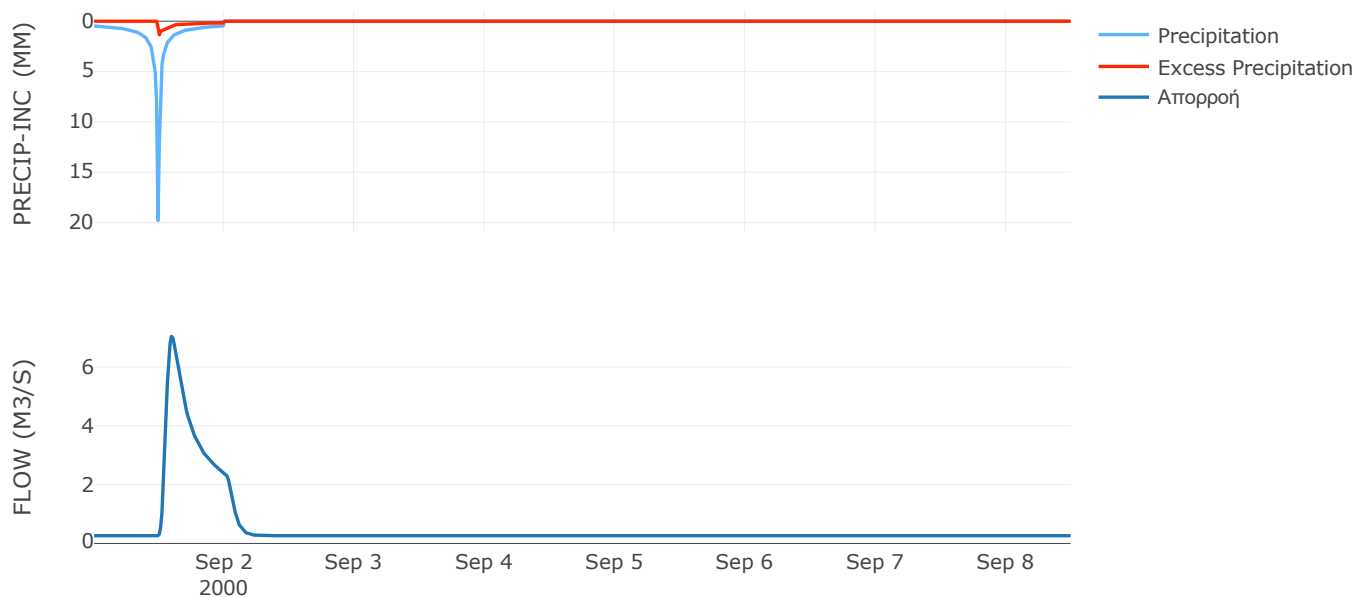
Μέθοδος
Μετασχηματισμού: SCS

Χρόνος Υστέρησης	88.81
------------------	-------

Αποτελέσματα:
EL0415FL007002

Παροχή αιχμής (M3/S)	7.04
Χρονική στιγμή αιχμής	01Sep2000, 14:15
Όγκος (MM)	32.34
Όγκος βροχόπτωσης (M3)	1.54E6
Όγκος απωλειών (M3)	1.37E6
Ενεργός Όγκος (M3)	1.7E5
Όγκος άμεσης απορροής (M3)	1.7E5
Όγκος βασικής απορροής (M3)	1.71E5

Βροχόπτωση και Απορροή



Υπολεκάνη: EL0415FL007003

Έκταση (KM2) : 7.3

Κατάντη : J3

Μέθοδος Απωλειών: SCS

Ποσοστό αδιαπέρατης επιφάνειας	0
Αριθμός Καμπύλης Απορροής-CN	40.45
Αρχικές Απώλειες	74.79

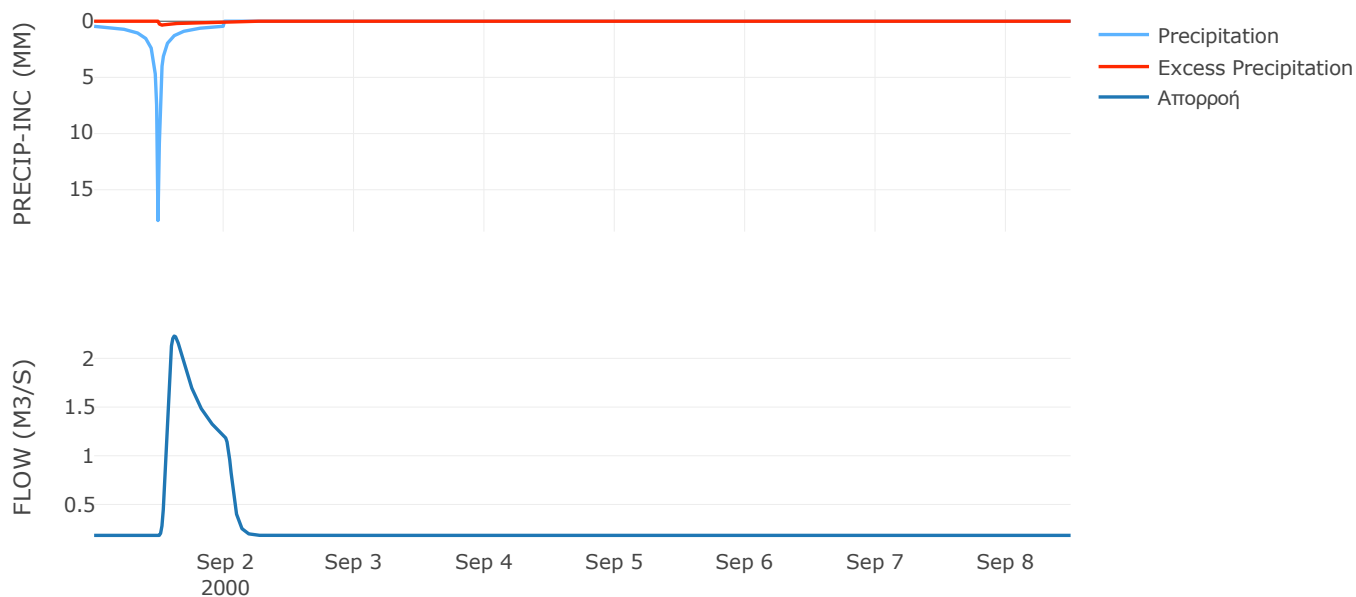
Μέθοδος
Μετασχηματισμού: SCS

Χρόνος Υστέρησης	78.01
------------------	-------

Αποτελέσματα:
EL0415FL007003

Παροχή αιχμής (M3/S)	2.23
Χρονική στιγμή αιχμής	01Sep2000, 14:45
Όγκος (MM)	24.93
Όγκος βροχόπτωσης (M3)	9.96E5
Όγκος απωλειών (M3)	9.33E5
Ενεργός Όγκος (M3)	63761.42
Όγκος άμεσης απορροής (M3)	63761.42
Όγκος βασικής απορροής (M3)	1.18E5

Βροχόπτωση και Απορροή



Υπολεκάνη: EL0415FL007004

Έκταση (KM2) : 9.79

Κατάντη : J16

Μέθοδος Απωλειών: SCS

Ποσοστό αδιαπέρατης επιφάνειας	0
Αριθμός Καμπύλης Απορροής-CN	30.13
Αρχικές Απώλειες	117.83

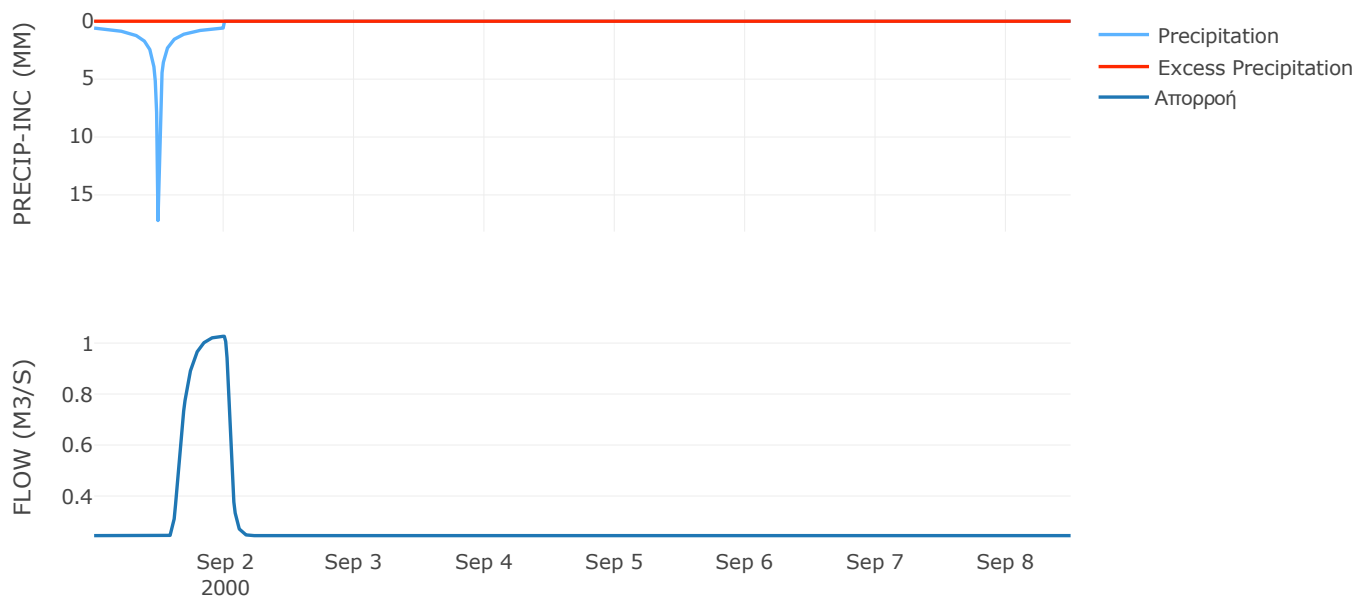
Μέθοδος
Μετασχηματισμού: SCS

Χρόνος Υστέρησης	53.88
------------------	-------

Αποτελέσματα:
EL0415FL007004

Παροχή αιχμής (M3/S)	1.03
Χρονική στιγμή αιχμής	01Sep2000, 23:45
Όγκος (MM)	18.73
Όγκος βροχόπτωσης (M3)	1.54E6
Όγκος απωλειών (M3)	1.52E6
Ενεργός Όγκος (M3)	24717.57
Όγκος άμεσης απορροής (M3)	24717.57
Όγκος βασικής απορροής (M3)	1.59E5

Βροχόπτωση και Απορροή



Υπολεκάνη: EL0415FL007005

Έκταση (KM2) : 17.4

Κατάντη : J19

Μέθοδος Απωλειών: SCS

Ποσοστό αδιαπέρατης επιφάνειας	0
Αριθμός Καμπύλης Απορροής-CN	32.39
Αρχικές Απώλειες	106.02

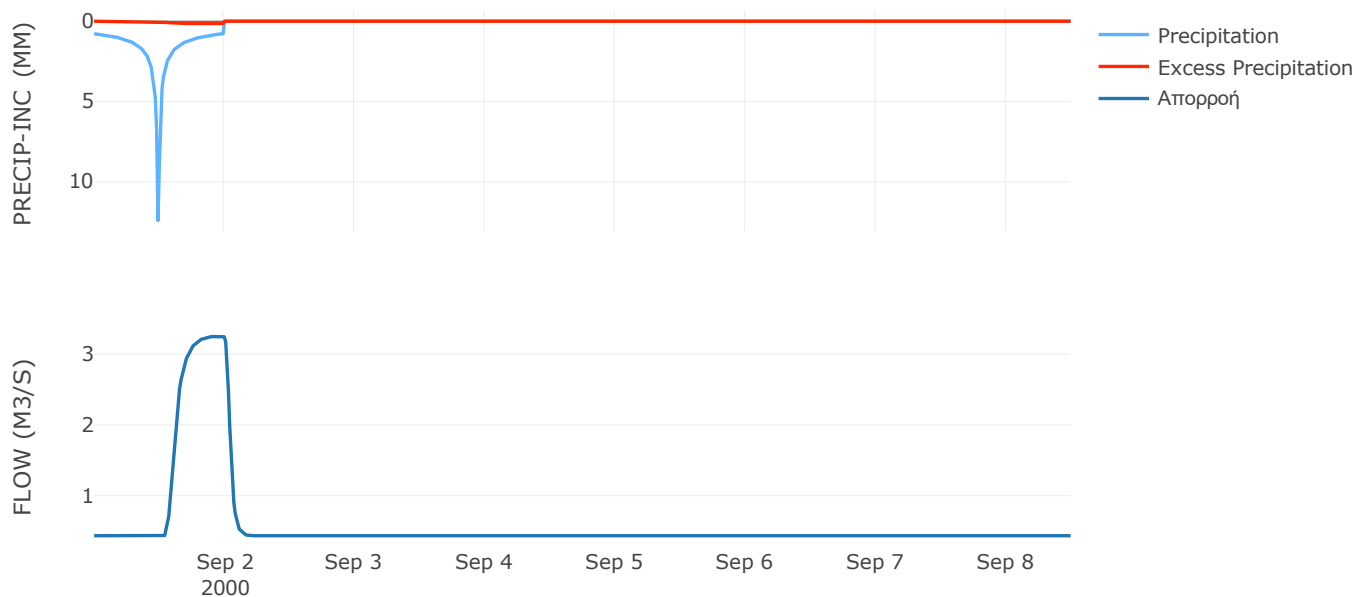
Μέθοδος
Μετασχηματισμού: SCS

Χρόνος Υστέρησης	53.72
------------------	-------

Αποτελέσματα:
EL0415FL007005

Παροχή αιχμής (M3/S)	3.25
Χρονική στιγμή αιχμής	01Sep2000, 22:30
Όγκος (MM)	22.02
Όγκος βροχόπτωσης (M3)	2.86E6
Όγκος απωλειών (M3)	2.76E6
Ενεργός Όγκος (M3)	1.01E5
Όγκος άμεσης απορροής (M3)	1.01E5
Όγκος βασικής απορροής (M3)	2.82E5

Βροχόπτωση και Απορροή



Υπολεκάνη: EL0415FL007006

Έκταση (KM2) : 2.23

Κατάντη : J18

Μέθοδος Απωλειών: SCS

Ποσοστό αδιαπέρατης επιφάνειας	0
Αριθμός Καμπύλης Απορροής-CN	24.83
Αρχικές Απώλειες	153.8

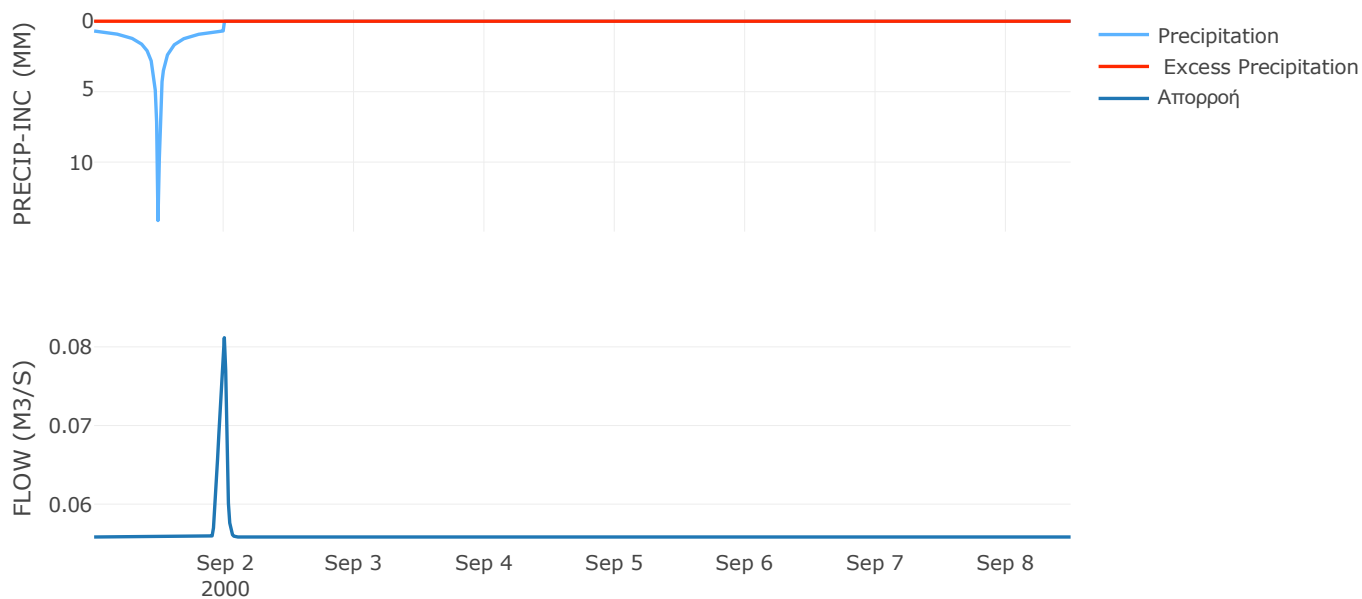
Μέθοδος
Μετασχηματισμού: SCS

Χρόνος Υστέρησης	20.55
------------------	-------

Αποτελέσματα:
EL0415FL007006

Παροχή αιχμής (M3/S)	0.08
Χρονική στιγμή αιχμής	01Sep2000, 24:00
Όγκος (MM)	16.26
Όγκος βροχόπτωσης (M3)	3.59E5
Όγκος απωλειών (M3)	3.59E5
Ενεργός Όγκος (M3)	141.41
Όγκος άμεσης απορροής (M3)	141.41
Όγκος βασικής απορροής (M3)	36174.6

Βροχόπτωση και Απορροή



Υπολεκάνη: EL0415FL007007

Έκταση (KM2) : 9.16

Κατάντη : J18

Μέθοδος Απωλειών: SCS

Ποσοστό αδιαπέρατης επιφάνειας	0
Αριθμός Καμπύλης Απορροής-CN	23.36
Αρχικές Απώλειες	166.71

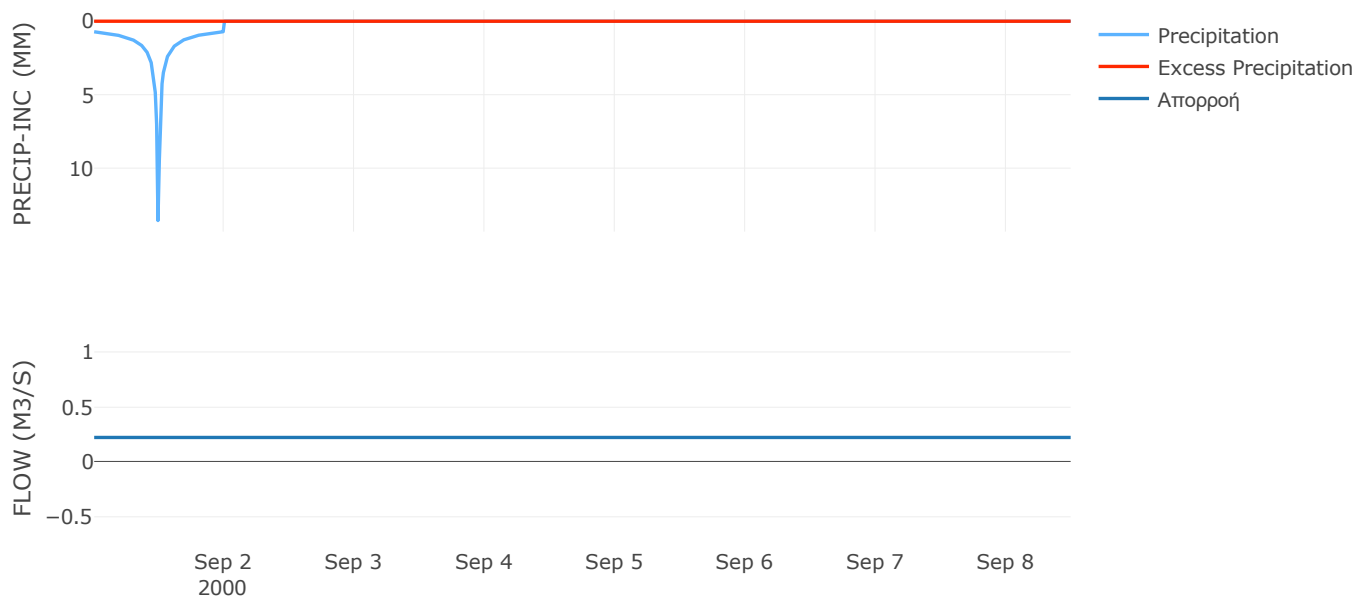
Μέθοδος
Μετασχηματισμού: SCS

Χρόνος Υστέρησης	33.45
------------------	-------

Αποτελέσματα:
EL0415FL007007

Παροχή αιχμής (M3/S)	0.23
Χρονική στιγμή αιχμής	31Aug2000, 24:00
Όγκος (MM)	16.2
Όγκος βροχόπτωσης (M3)	1.48E6
Όγκος απωλειών (M3)	1.48E6
Ενεργός Όγκος (M3)	0
Όγκος άμεσης απορροής (M3)	0
Όγκος βασικής απορροής (M3)	1.48E5

Βροχόπτωση και Απορροή



Υπολεκάνη: EL0415FL007008

Έκταση (KM2) : 7.8

Κατάνη : J17

Μέθοδος Απωλειών: SCS

Ποσοστό αδιαπέρατης επιφάνειας	0
Αριθμός Καμπύλης Απορροής-CN	31.25
Αρχικές Απώλειες	111.76

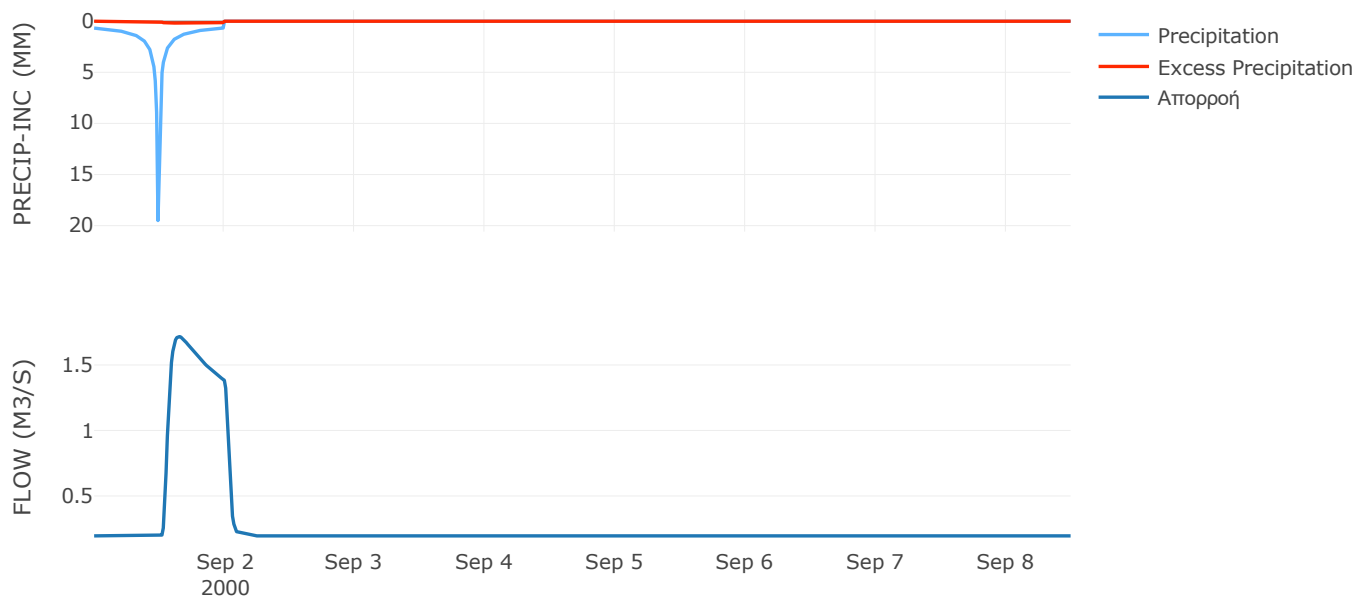
Μέθοδος
Μετασχηματισμού: SCS

Χρόνος Υστέρησης	41.3
------------------	------

Αποτελέσματα:
EL0415FL007008

Παροχή αιχμής (M3/S)	1.72
Χρονική στιγμή αιχμής	01Sep2000, 15:45
Όγκος (MM)	23.35
Όγκος βροχόπτωσης (M3)	1.39E6
Όγκος απωλειών (M3)	1.34E6
Ενεργός Όγκος (M3)	55799.47
Όγκος άμεσης απορροής (M3)	55799.47
Όγκος βασικής απορροής (M3)	1.26E5

Βροχόπτωση και Απορροή



Υπολεκάνη: EL0415FL007009

Έκταση (KM2) : 11.83

Κατάντη : J17

Μέθοδος Απωλειών: SCS

Ποσοστό αδιαπέρατης επιφάνειας	0
Αριθμός Καμπύλης Απορροής-CN	43.9
Αρχικές Απώλειες	64.91

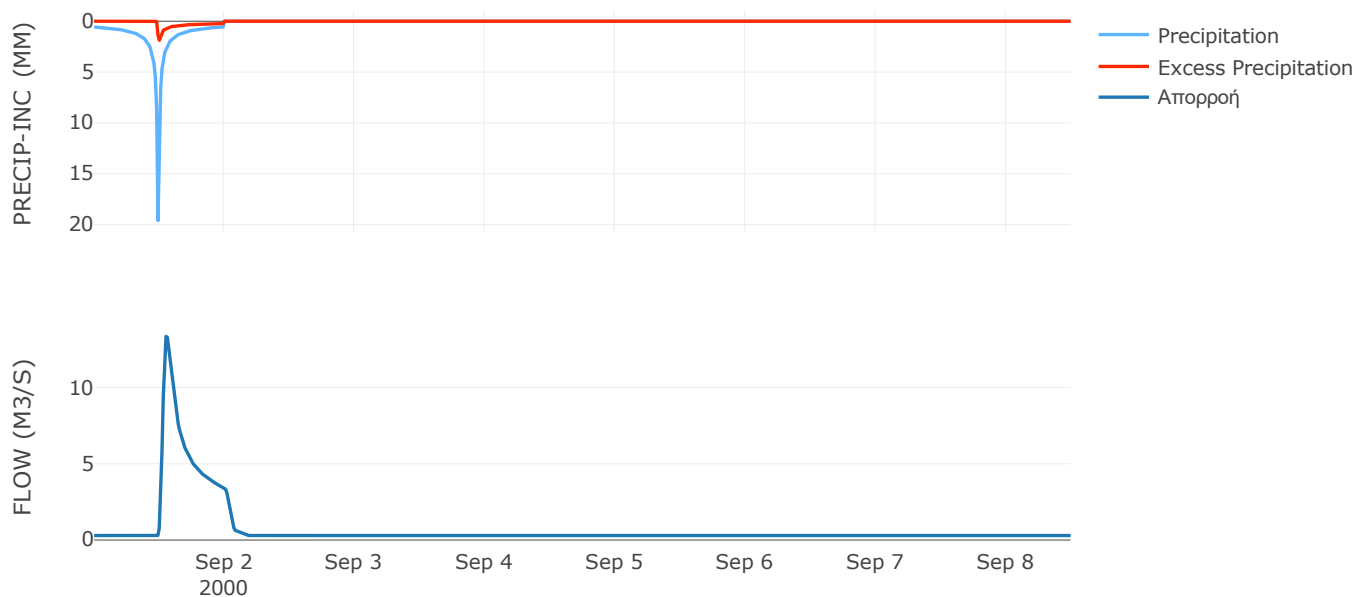
Μέθοδος
Μετασχηματισμού: SCS

Χρόνος Υστέρησης	53.34
------------------	-------

Αποτελέσματα:
EL0415FL007009

Παροχή αιχμής (M3/S)	13.35
Χρονική στιγμή αιχμής	01Sep2000, 13:15
Όγκος (MM)	38.42
Όγκος βροχόπτωσης (M3)	1.91E6
Όγκος απωλειών (M3)	1.65E6
Ενεργός Όγκος (M3)	2.63E5
Όγκος άμεσης απορροής (M3)	2.63E5
Όγκος βασικής απορροής (M3)	1.92E5

Βροχόπτωση και Απορροή



Υπολεκάνη: EL0415FL007010

Έκταση (KM2) : 1.62

Κατάντη : J10

Μέθοδος Απωλειών: SCS

Ποσοστό αδιαπέρατης επιφάνειας	0
Αριθμός Καμπύλης Απορροής-CN	61.45
Αρχικές Απώλειες	31.87

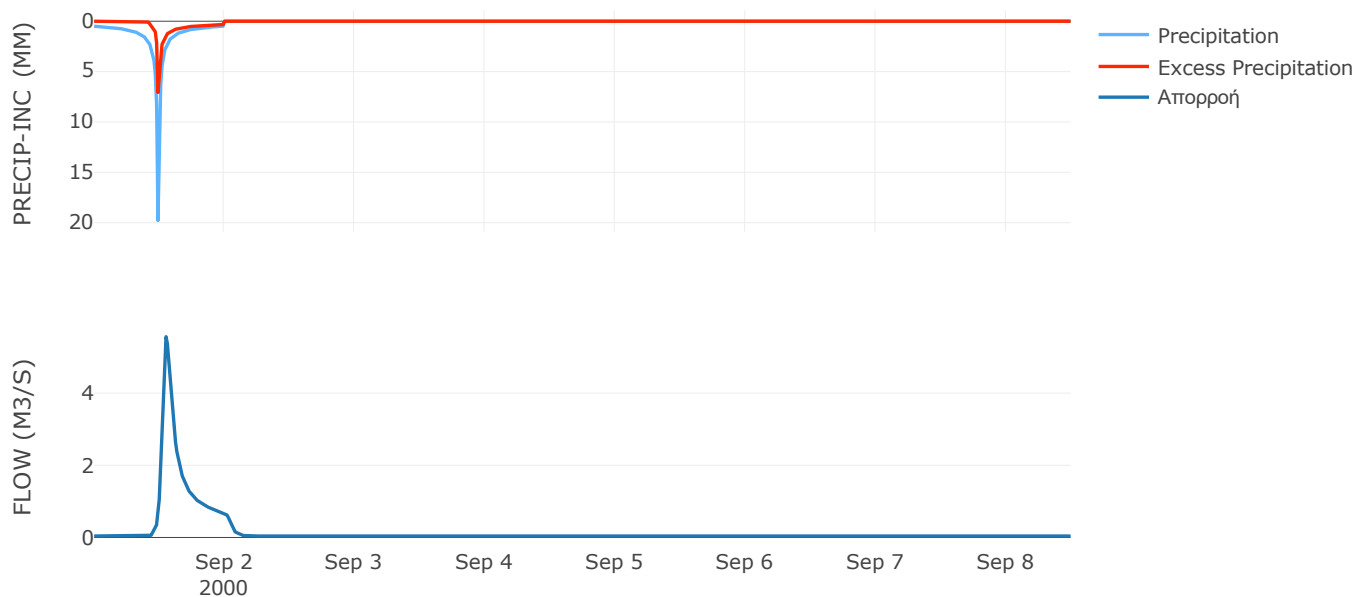
Μέθοδος
Μετασχηματισμού: SCS

Χρόνος Υστέρησης	64.18
------------------	-------

Αποτελέσματα:
EL0415FL007010

Παροχή αιχμής (M3/S)	5.56
Χρονική στιγμή αιχμής	01Sep2000, 13:15
Όγκος (MM)	67
Όγκος βροχόπτωσης (M3)	2.44E5
Όγκος απωλειών (M3)	1.62E5
Ενεργός Όγκος (M3)	82191.87
Όγκος άμεσης απορροής (M3)	82191.87
Όγκος βασικής απορροής (M3)	26211.6

Βροχόπτωση και Απορροή



Υπολεκάνη: EL0415FL007011

Έκταση (KM2) : 3.11

Κατάνη : J11

Μέθοδος Απωλειών: SCS

Ποσοστό αδιαπέρατης επιφάνειας	0
Αριθμός Καμπύλης Απορροής-CN	47.51
Αρχικές Απώλειες	56.12

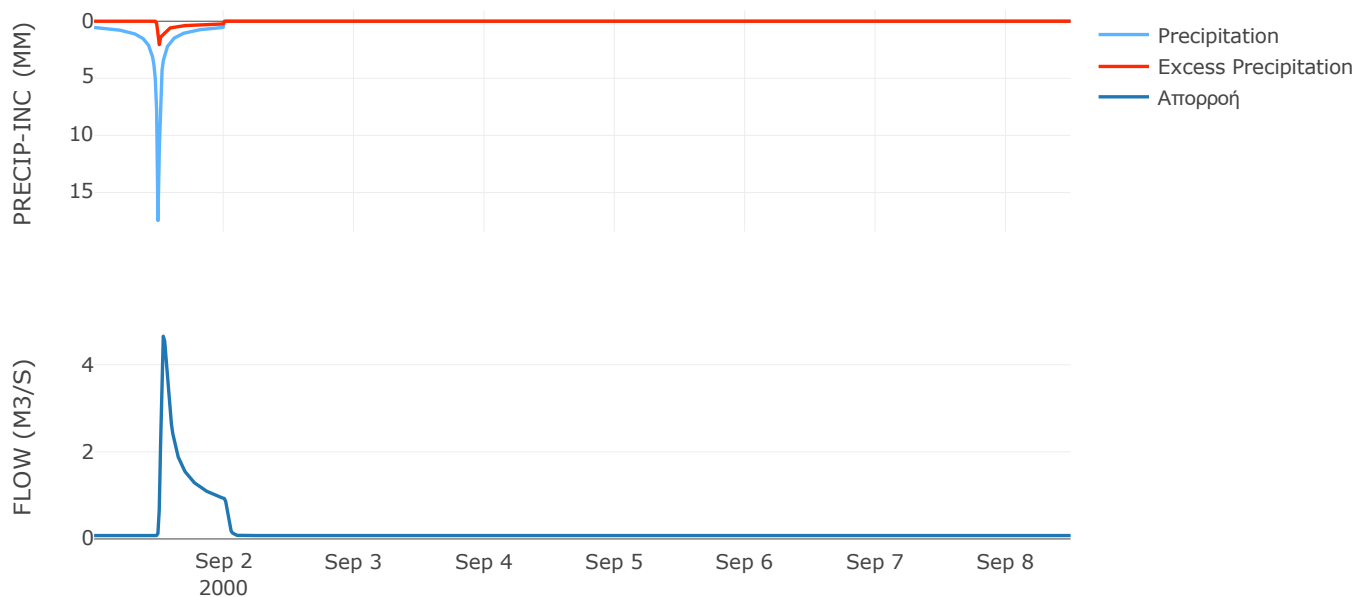
Μέθοδος
Μετασχηματισμού: SCS

Χρόνος Υστέρησης	33.88
------------------	-------

Αποτελέσματα:
EL0415FL007011

Παροχή αιχμής (M3/S)	4.65
Χρονική στιγμή αιχμής	01Sep2000, 12:45
Όγκος (MM)	40.22
Όγκος βροχόπτωσης (M3)	4.69E5
Όγκος απωλειών (M3)	3.95E5
Ενεργός Όγκος (M3)	74620.13
Όγκος άμεσης απορροής (M3)	74620.13
Όγκος βασικής απορροής (M3)	50333.4

Βροχόπτωση και Απορροή



Υπολεκάνη: EL0415FL007012

Έκταση (KM2) : 4.8

Κατάντη : J10

Μέθοδος Απωλειών: SCS

Ποσοστό αδιαπέρατης επιφάνειας	0
Αριθμός Καμπύλης Απορροής-CN	54.95
Αρχικές Απώλειες	41.65

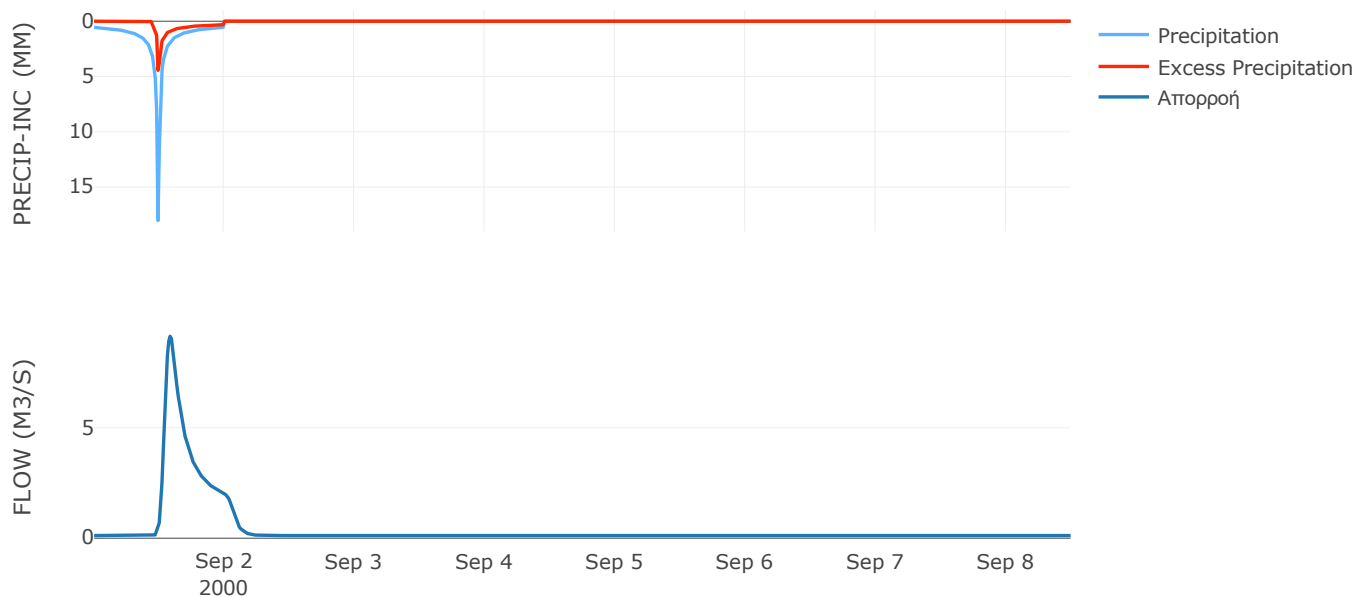
Μέθοδος
Μετασχηματισμού: SCS

Χρόνος Υστέρησης	95.9
------------------	------

Αποτελέσματα:
EL0415FL007012

Παροχή αιχμής (M3/S)	9.14
Χρονική στιγμή αιχμής	01Sep2000, 14:00
Όγκος (MM)	55.62
Όγκος βροχόπτωσης (M3)	7.4E5
Όγκος απωλειών (M3)	5.5E5
Ενεργός Όγκος (M3)	1.89E5
Όγκος άμεσης απορροής (M3)	1.89E5
Όγκος βασικής απορροής (M3)	77760

Βροχόπτωση και Απορροή



Υπολεκάνη: EL0415FL007013

Έκταση (KM2) : 1.31

Κατάνη : J15

Μέθοδος Απωλειών: SCS

Ποσοστό αδιαπέρατης επιφάνειας	0
Αριθμός Καμπύλης Απορροής-CN	61.51
Αρχικές Απώλειες	31.79

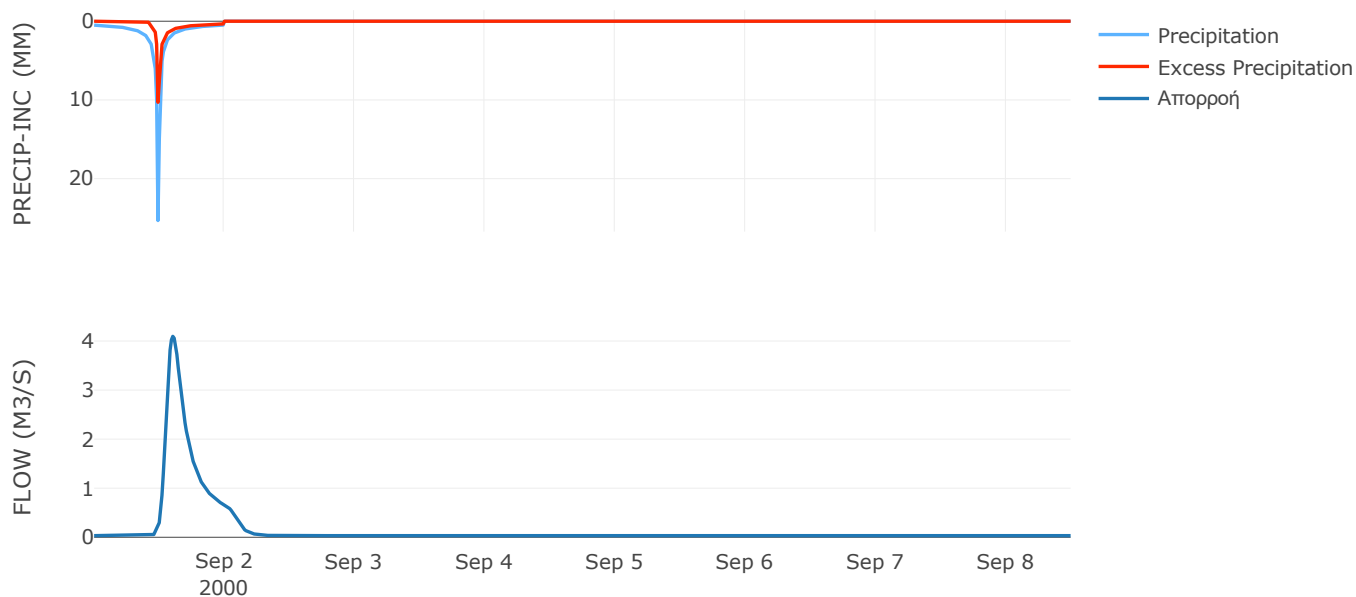
Μέθοδος
Μετασχηματισμού: SCS

Χρόνος Υστέρησης	130.32
------------------	--------

Αποτελέσματα:
EL0415FL007013

Παροχή αιχμής (M3/S)	4.1
Χρονική στιγμή αιχμής	01Sep2000, 14:30
Όγκος (MM)	79.46
Όγκος βροχόπτωσης (M3)	2.21E5
Όγκος απωλειών (M3)	1.38E5
Ενεργός Όγκος (M3)	83127.35
Όγκος άμεσης απορροής (M3)	83127.35
Όγκος βασικής απορροής (M3)	21286.8

Βροχόπτωση και Απορροή



Υπολεκάνη: EL0415FL007014

Έκταση (KM2) : 3.5

Κατάνη : J15

Μέθοδος Απωλειών: SCS

Ποσοστό αδιαπέρατης επιφάνειας	0
Αριθμός Καμπύλης Απορροής-CN	57.72
Αρχικές Απώλειες	37.22

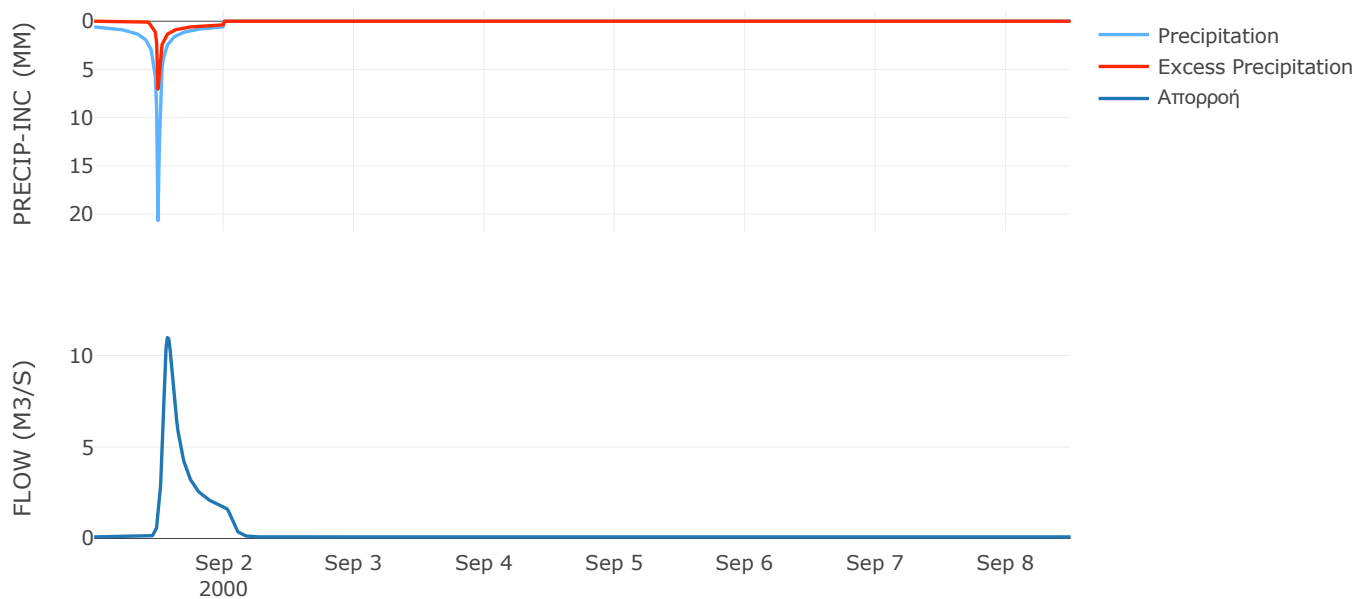
Μέθοδος
Μετασχηματισμού: SCS

Χρόνος Υστέρησης	79.86
------------------	-------

Αποτελέσματα:
EL0415FL007014

Παροχή αιχμής (M3/S)	10.98
Χρονική στιγμή αιχμής	01Sep2000, 13:30
Όγκος (MM)	70.97
Όγκος βροχόπτωσης (M3)	5.93E5
Όγκος απωλειών (M3)	4.01E5
Ενεργός Όγκος (M3)	1.92E5
Όγκος άμεσης απορροής (M3)	1.92E5
Όγκος βασικής απορροής (M3)	56748.6

Βροχόπτωση και Απορροή



Υπολεκάνη: EL0415FL007015

Έκταση (KM2) : 0.6

Κατάντη : J20

Μέθοδος Απωλειών: SCS

Ποσοστό αδιαπέρατης επιφάνειας	0
Αριθμός Καμπύλης Απορροής-CN	64.13
Αρχικές Απώλειες	28.42

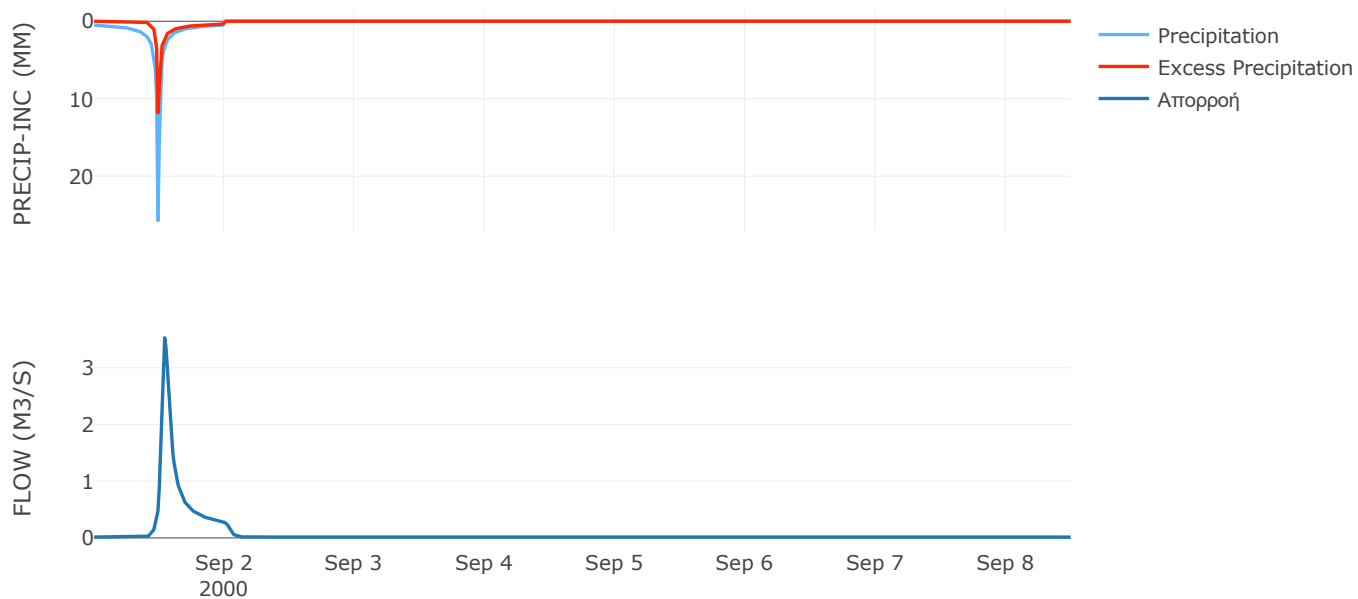
Μέθοδος
Μετασχηματισμού: SCS

Χρόνος Υστέρησης	53.69
------------------	-------

Αποτελέσματα:
EL0415FL007015

Παροχή αιχμής (M3/S)	3.53
Χρονική στιγμή αιχμής	01Sep2000, 13:00
Όγκος (MM)	86.44
Όγκος βροχόπτωσης (M3)	1.01E5
Όγκος απωλειών (M3)	59415.66
Ενεργός Όγκος (M3)	42070.98
Όγκος άμεσης απορροής (M3)	42070.98
Όγκος βασικής απορροής (M3)	9703.8

Βροχόπτωση και Απορροή



Υπολεκάνη: EL0415FL007016

Έκταση (KM2) : 0.07

Κατάντη : J14

Μέθοδος Απωλειών: SCS

Ποσοστό αδιαπέρατης επιφάνειας	0
Αριθμός Καμπύλης Απορροής-CN	59.83
Αρχικές Απώλειες	34.12

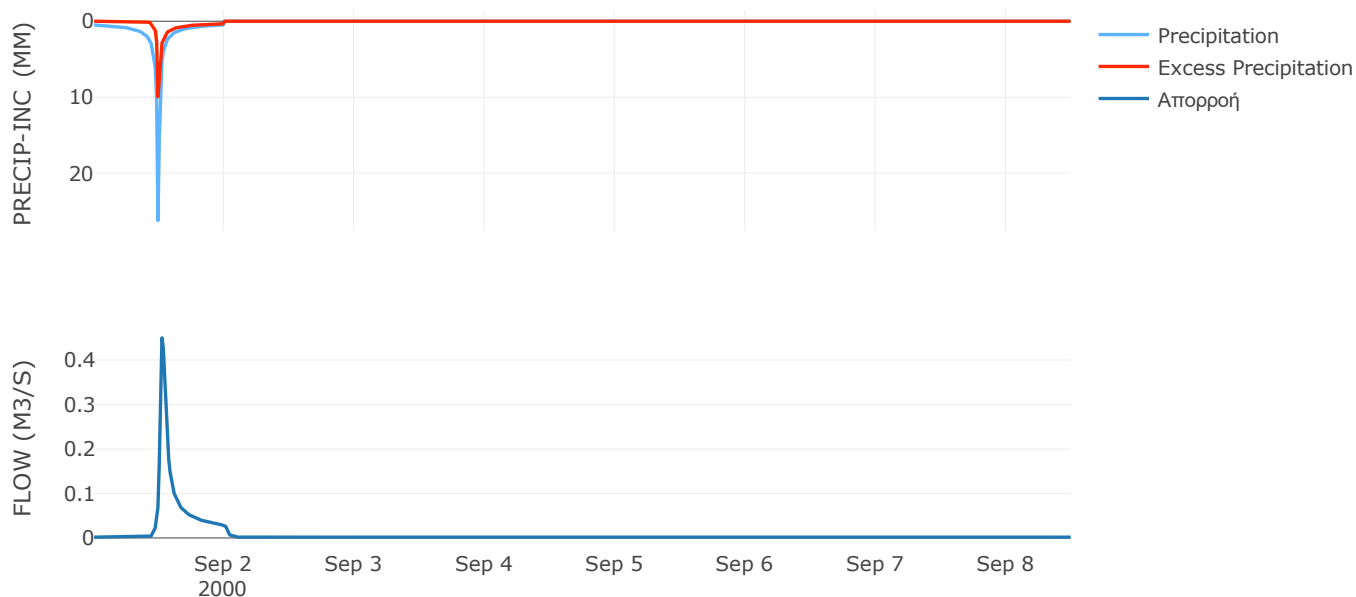
Μέθοδος
Μετασχηματισμού: SCS

Χρόνος Υστέρησης	30.69
------------------	-------

Αποτελέσματα:
EL0415FL007016

Παροχή αιχμής (M3/S)	0.45
Χρονική στιγμή αιχμής	01Sep2000, 12:30
Όγκος (MM)	76.75
Όγκος βροχόπτωσης (M3)	11930.35
Όγκος απωλειών (M3)	7691.72
Ενεργός Όγκος (M3)	4238.62
Όγκος άμεσης απορροής (M3)	4238.62
Όγκος βασικής απορροής (M3)	1134

Βροχόπτωση και Απορροή



Υπολεκάνη: EL0415FL007017

Έκταση (KM2) : 0.12

Κατάντη : J13

Μέθοδος Απωλειών: SCS

Ποσοστό αδιαπέρατης επιφάνειας	0
Αριθμός Καμπύλης Απορροής-CN	59.15
Αρχικές Απώλειες	35.08

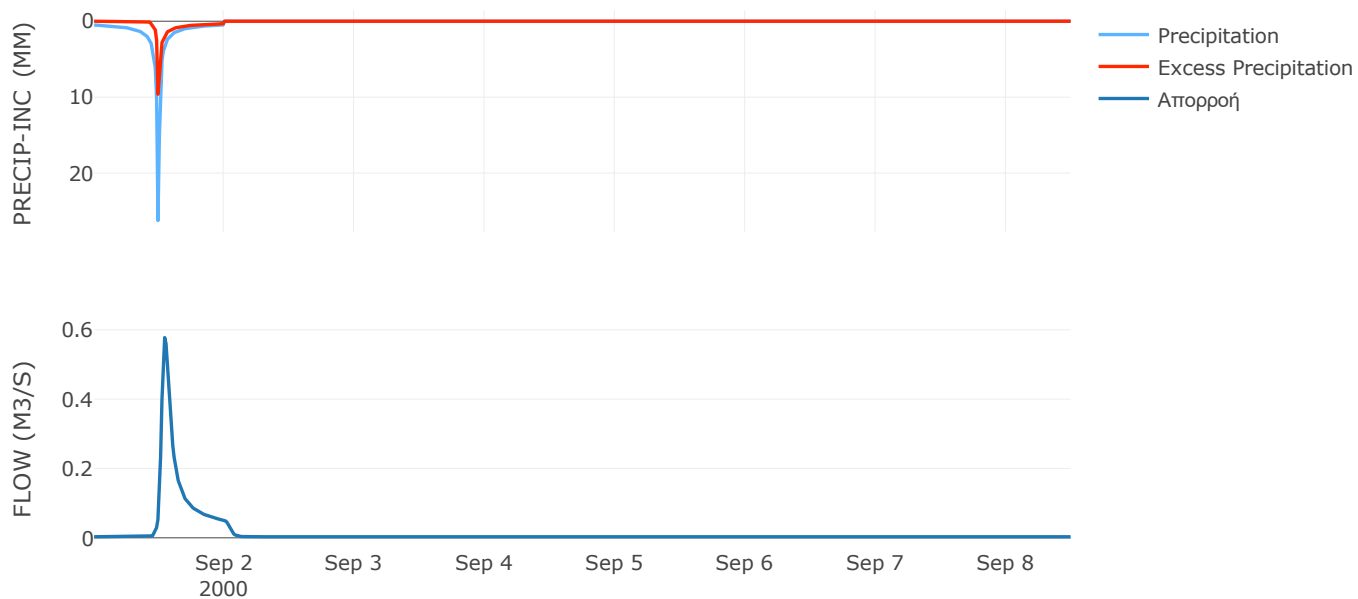
Μέθοδος
Μετασχηματισμού: SCS

Χρόνος Υστέρησης	54.33
------------------	-------

Αποτελέσματα:
EL0415FL007017

Παροχή αιχμής (M3/S)	0.58
Χρονική στιγμή αιχμής	01Sep2000, 13:00
Όγκος (MM)	75.16
Όγκος βροχόπτωσης (M3)	20452.03
Όγκος απωλειών (M3)	13376.89
Ενεργός Όγκος (M3)	7075.14
Όγκος άμεσης απορροής (M3)	7075.14
Όγκος βασικής απορροής (M3)	1944

Βροχόπτωση και Απορροή



Υπολεκάνη: EL0415FL007018

Έκταση (KM2) : 6.09

Κατάντη : J7

Μέθοδος Απωλειών: SCS

Ποσοστό αδιαπέρατης επιφάνειας	0
Αριθμός Καμπύλης Απορροής-CN	45.07
Αρχικές Απώλειες	61.91

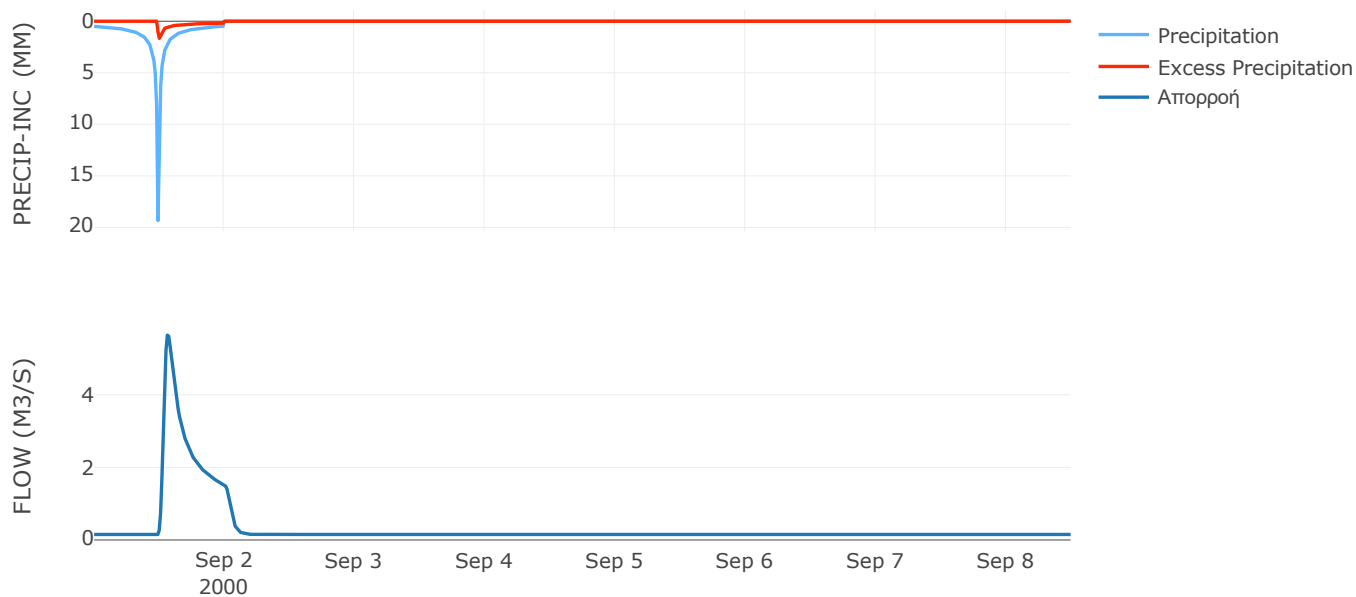
Μέθοδος
Μετασχηματισμού: SCS

Χρόνος Υστέρησης	62.49
------------------	-------

Αποτελέσματα:
EL0415FL007018

Παροχή αιχμής (M3/S)	5.64
Χρονική στιγμή αιχμής	01Sep2000, 13:30
Όγκος (MM)	35.2
Όγκος βροχόπτωσης (M3)	9.06E5
Όγκος απωλειών (M3)	7.9E5
Ενεργός Όγκος (M3)	1.16E5
Όγκος άμεσης απορροής (M3)	1.16E5
Όγκος βασικής απορροής (M3)	98677.44

Βροχόπτωση και Απορροή



Υπολεκάνη: EL0415FL007020

Έκταση (KM2) : 6.38

Κατάντη : J6

Μέθοδος Απωλειών: SCS

Ποσοστό αδιαπέρατης επιφάνειας	0
Αριθμός Καμπύλης Απορροής-CN	34.69
Αρχικές Απώλειες	95.65

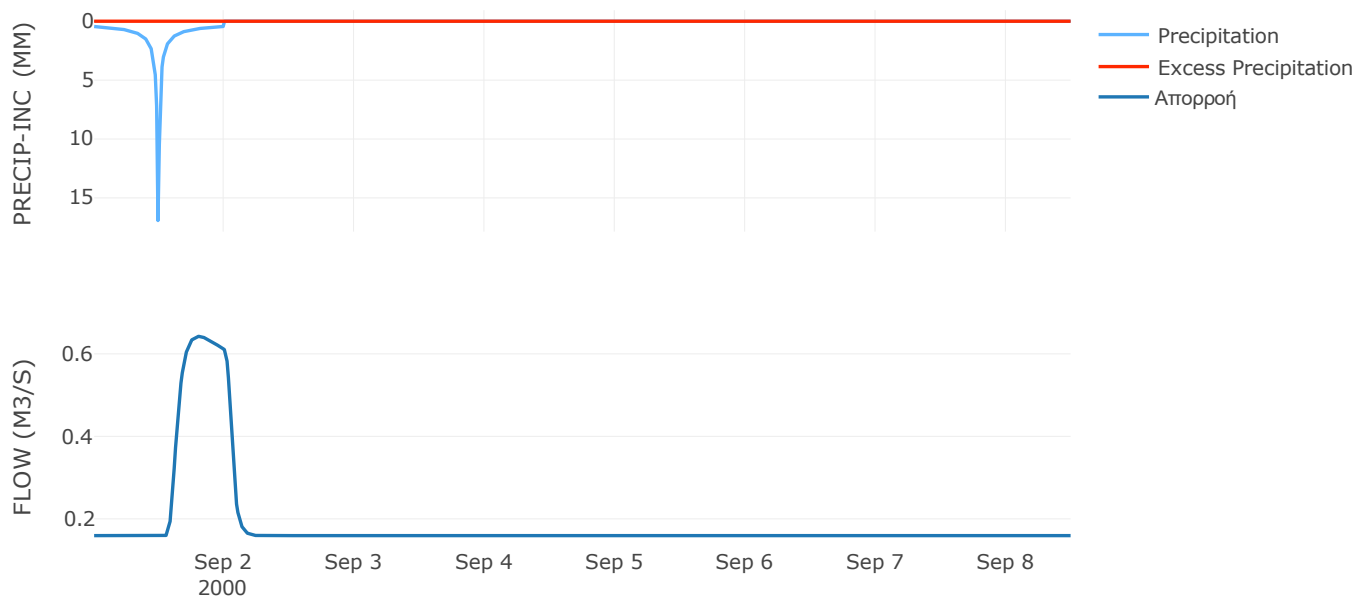
Μέθοδος
Μετασχηματισμού: SCS

Χρόνος Υστέρησης	70.74
------------------	-------

Αποτελέσματα:
EL0415FL007020

Παροχή αιχμής (M3/S)	0.64
Χρονική στιγμή αιχμής	01Sep2000, 19:15
Όγκος (MM)	18.93
Όγκος βροχόπτωσης (M3)	8.49E5
Όγκος απωλειών (M3)	8.31E5
Ενεργός Όγκος (M3)	17374.66
Όγκος άμεσης απορροής (M3)	17374.66
Όγκος βασικής απορροής (M3)	1.03E5

Βροχόπτωση και Απορροή



Υπολεκάνη: EL0415FL007021

Έκταση (KM2) : 6.96

Κατάντη : J9

Μέθοδος Απωλειών: SCS

Ποσοστό αδιαπέρατης επιφάνειας	0
Αριθμός Καμπύλης Απορροής-CN	43.64
Αρχικές Απώλειες	65.6

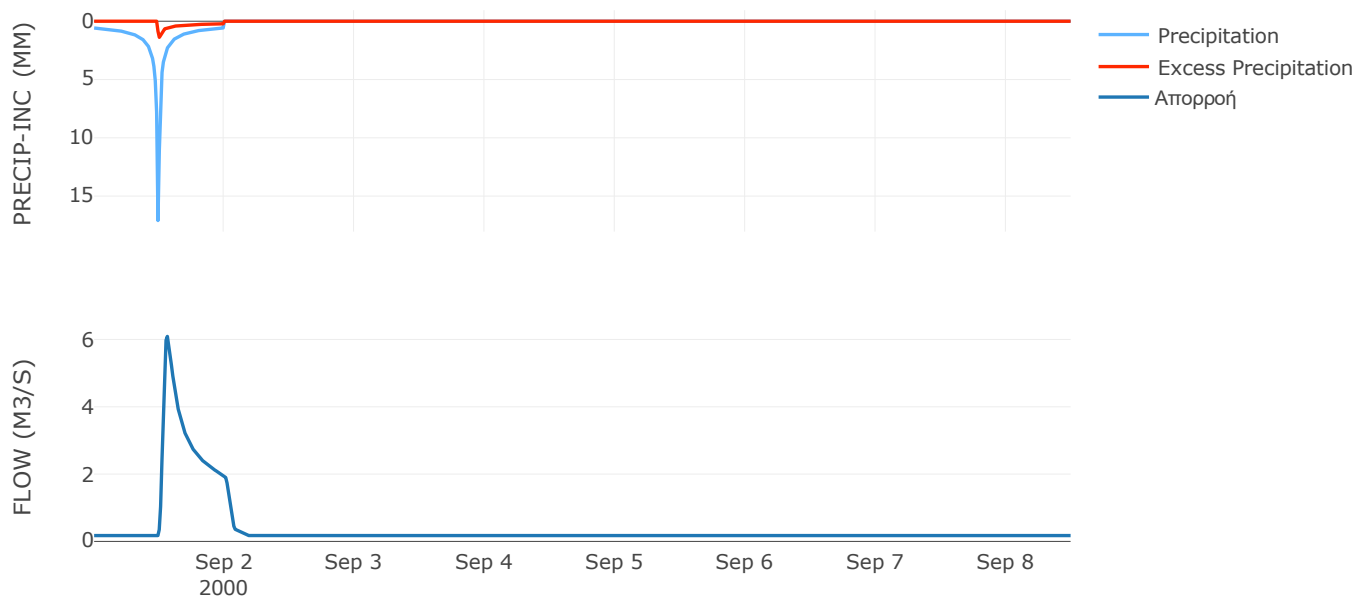
Μέθοδος
Μετασχηματισμού: SCS

Χρόνος Υστέρησης	52.8
------------------	------

Αποτελέσματα:
EL0415FL007021

Παροχή αιχμής (M3/S)	6.09
Χρονική στιγμή αιχμής	01Sep2000, 13:30
Όγκος (MM)	35.53
Όγκος βροχόπτωσης (M3)	1.08E6
Όγκος απωλειών (M3)	9.48E5
Ενεργός Όγκος (M3)	1.35E5
Όγκος άμεσης απορροής (M3)	1.35E5
Όγκος βασικής απορροής (M3)	1.13E5

Βροχόπτωση και Απορροή



Υπολεκάνη: EL0415FL007022

Έκταση (KM2) : 4.73

Κατάντη : J8

Μέθοδος Απωλειών: SCS

Ποσοστό αδιαπέρατης επιφάνειας	0
Αριθμός Καμπύλης Απορροής-CN	48.38
Αρχικές Απώλειες	54.21

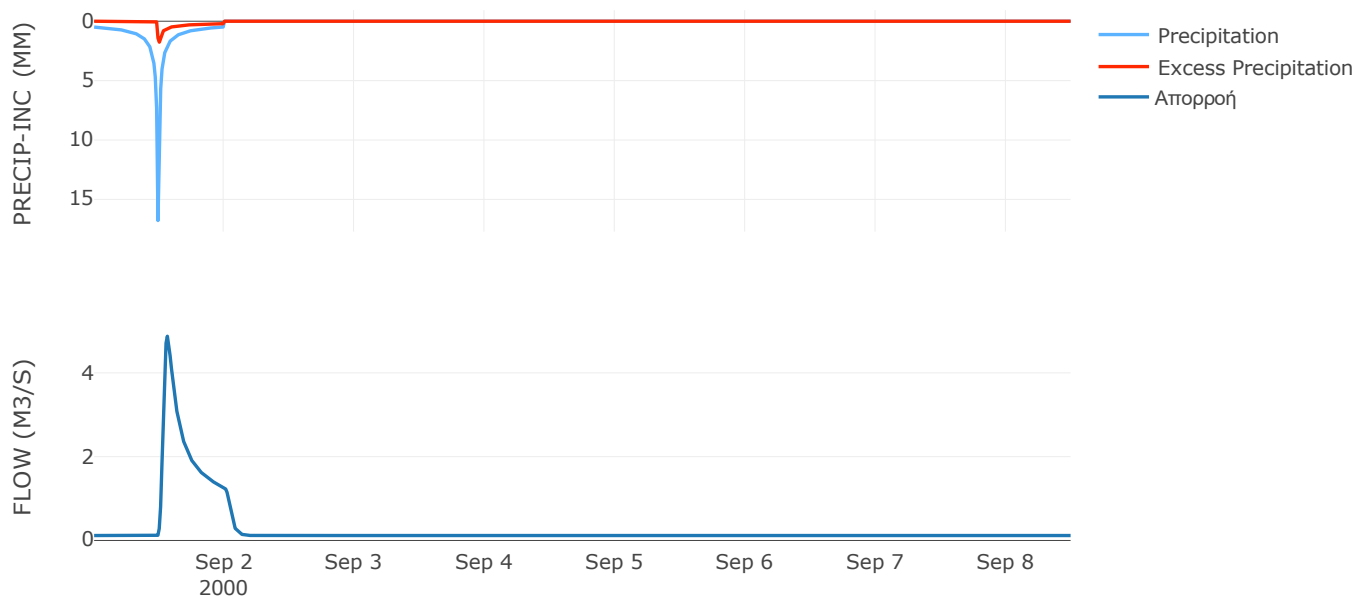
Μέθοδος
Μετασχηματισμού: SCS

Χρόνος Υστέρησης	60.07
------------------	-------

Αποτελέσματα:
EL0415FL007022

Παροχή αιχμής (M3/S)	4.87
Χρονική στιγμή αιχμής	01Sep2000, 13:30
Όγκος (MM)	36.72
Όγκος βροχόπτωσης (M3)	6.61E5
Όγκος απωλειών (M3)	5.64E5
Ενεργός Όγκος (M3)	97018.12
Όγκος άμεσης απορροής (M3)	97018.12
Όγκος βασικής απορροής (M3)	76613.04

Βροχόπτωση και Απορροή



Υπολεκάνη: EL0415FL007023

Έκταση (KM2) : 1.36

Κατάντη : J3

Μέθοδος Απωλειών: SCS

Ποσοστό αδιαπέρατης επιφάνειας	0
Αριθμός Καμπύλης Απορροής-CN	62.33
Αρχικές Απώλειες	30.7

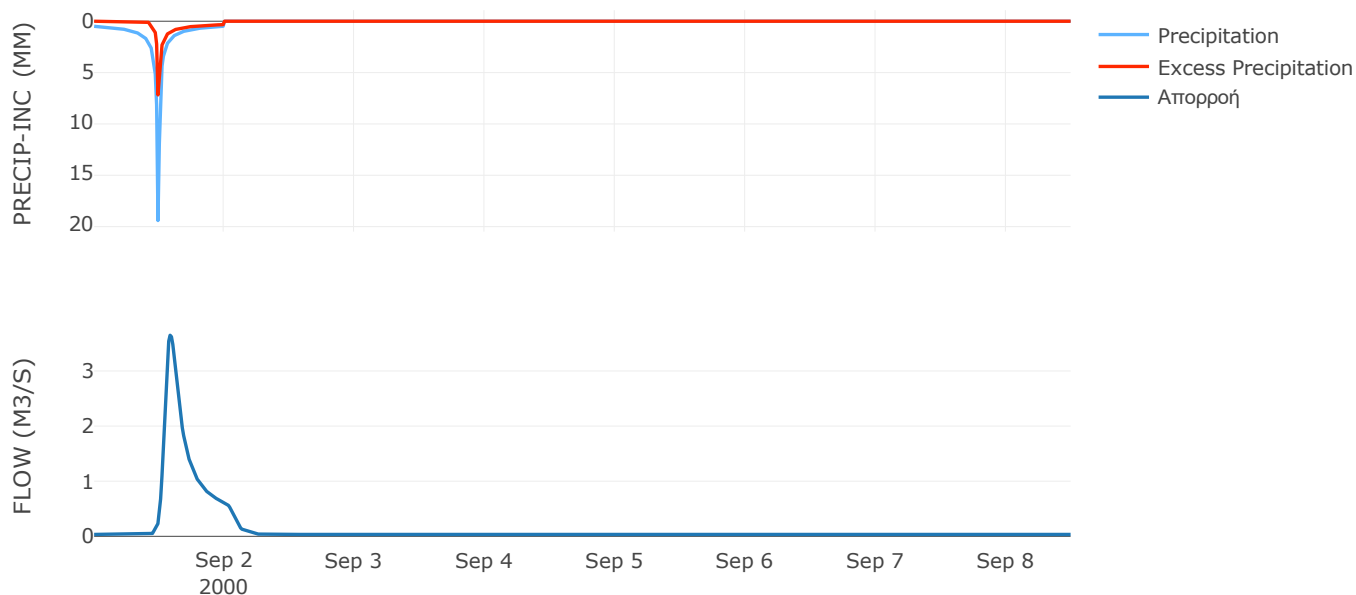
Μέθοδος
Μετασχηματισμού: SCS

Χρόνος Υστέρησης	104.49
------------------	--------

Αποτελέσματα:
EL0415FL007023

Παροχή αιχμής (M3/S)	3.65
Χρονική στιγμή αιχμής	01Sep2000, 14:00
Όγκος (MM)	67.77
Όγκος βροχόπτωσης (M3)	2.03E5
Όγκος απωλειών (M3)	1.33E5
Ενεργός Όγκος (M3)	70346.94
Όγκος άμεσης απορροής (M3)	70346.94
Όγκος βασικής απορροής (M3)	22096.8

Βροχόπτωση και Απορροή



Υπολεκάνη: EL0415FL007024

Έκταση (KM2) : 0.88

Κατάντη : J7

Μέθοδος Απωλειών: SCS

Ποσοστό αδιαπέρατης επιφάνειας	0
Αριθμός Καμπύλης Απορροής-CN	61.05
Αρχικές Απώλειες	32.41

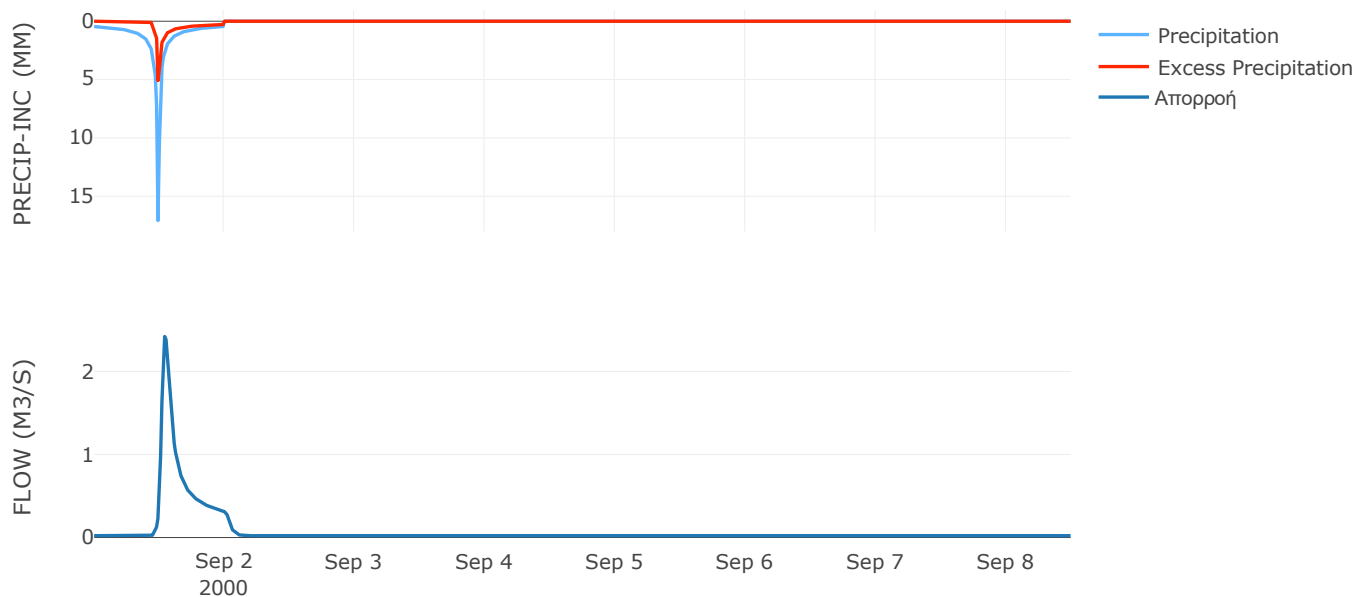
Μέθοδος
Μετασχηματισμού: SCS

Χρόνος Υστέρησης	53.81
------------------	-------

Αποτελέσματα:
EL0415FL007024

Παροχή αιχμής (M3/S)	2.42
Χρονική στιγμή αιχμής	01Sep2000, 13:00
Όγκος (MM)	55.65
Όγκος βροχόπτωσης (M3)	1.18E5
Όγκος απωλειών (M3)	83443.93
Ενεργός Όγκος (M3)	34640.17
Όγκος άμεσης απορροής (M3)	34640.17
Όγκος βασικής απορροής (M3)	14223.6

Βροχόπτωση και Απορροή



Υπολεκάνη: EL0415FL007025

Έκταση (KM2) : 3.8

Κατάντη : J5

Μέθοδος Απωλειών: SCS

Ποσοστό αδιαπέρατης επιφάνειας	0
Αριθμός Καμπύλης Απορροής-CN	43.75
Αρχικές Απώλειες	65.31

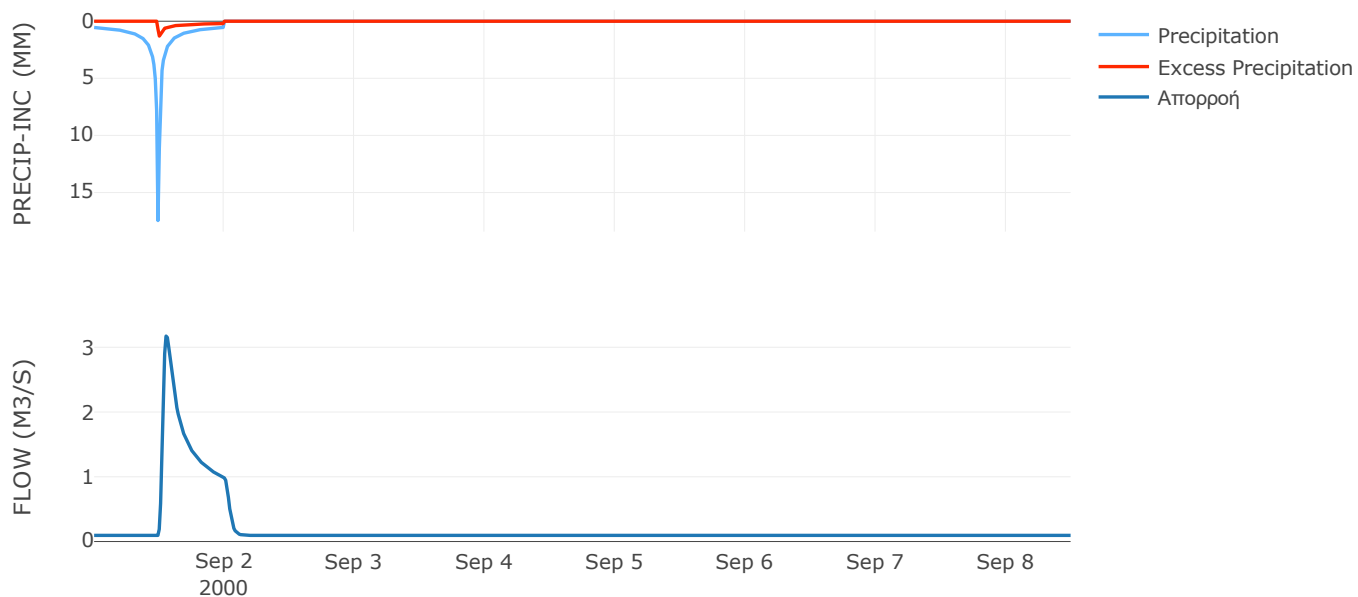
Μέθοδος
Μετασχηματισμού: SCS

Χρόνος Υστέρησης	48.48
------------------	-------

Αποτελέσματα:
EL0415FL007025

Παροχή αιχμής (M3/S)	3.17
Χρονική στιγμή αιχμής	01Sep2000, 13:15
Όγκος (MM)	34.04
Όγκος βροχόπτωσης (M3)	5.74E5
Όγκος απωλειών (M3)	5.06E5
Ενεργός Όγκος (M3)	67785.98
Όγκος άμεσης απορροής (M3)	67785.98
Όγκος βασικής απορροής (M3)	61543.8

Βροχόπτωση και Απορροή



Υπολεκάνη: EL0415FL007026

Έκταση (KM2) : 1.93

Κατάντη : J12

Μέθοδος Απωλειών: SCS

Ποσοστό αδιαπέρατης επιφάνειας	0
Αριθμός Καμπύλης Απορροής-CN	23.84
Αρχικές Απώλειες	162.32

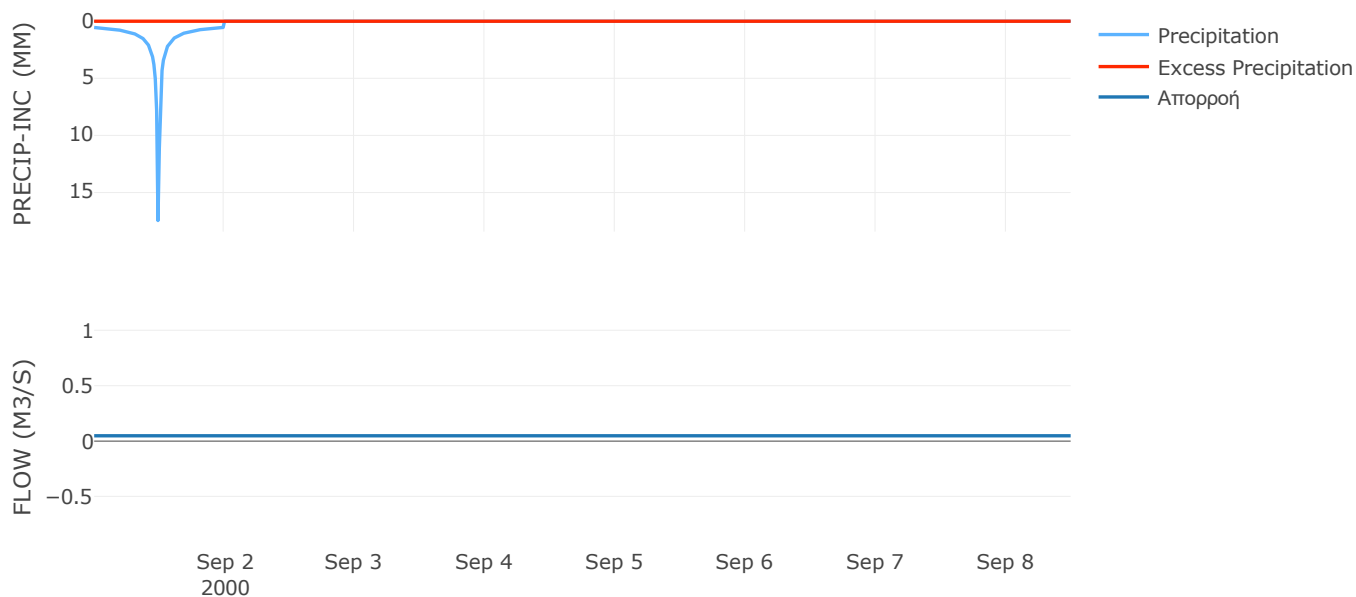
Μέθοδος
Μετασχηματισμού: SCS

Χρόνος Υστέρησης	21.21
------------------	-------

Αποτελέσματα:
EL0415FL007026

Παροχή αιχμής (M3/S)	0.05
Χρονική στιγμή αιχμής	31Aug2000, 24:00
Όγκος (MM)	16.2
Όγκος βροχόπτωσης (M3)	2.91E5
Όγκος απωλειών (M3)	2.91E5
Ενεργός Όγκος (M3)	0
Όγκος άμεσης απορροής (M3)	0
Όγκος βασικής απορροής (M3)	31233.6

Βροχόπτωση και Απορροή



Υπολεκάνη: EL0415FL007027

Έκταση (KM2) : 5.66

Κατάντη : J4

Μέθοδος Απωλειών: SCS

Ποσοστό αδιαπέρατης επιφάνειας	0
Αριθμός Καμπύλης Απορροής-CN	56.57
Αρχικές Απώλειες	39.01

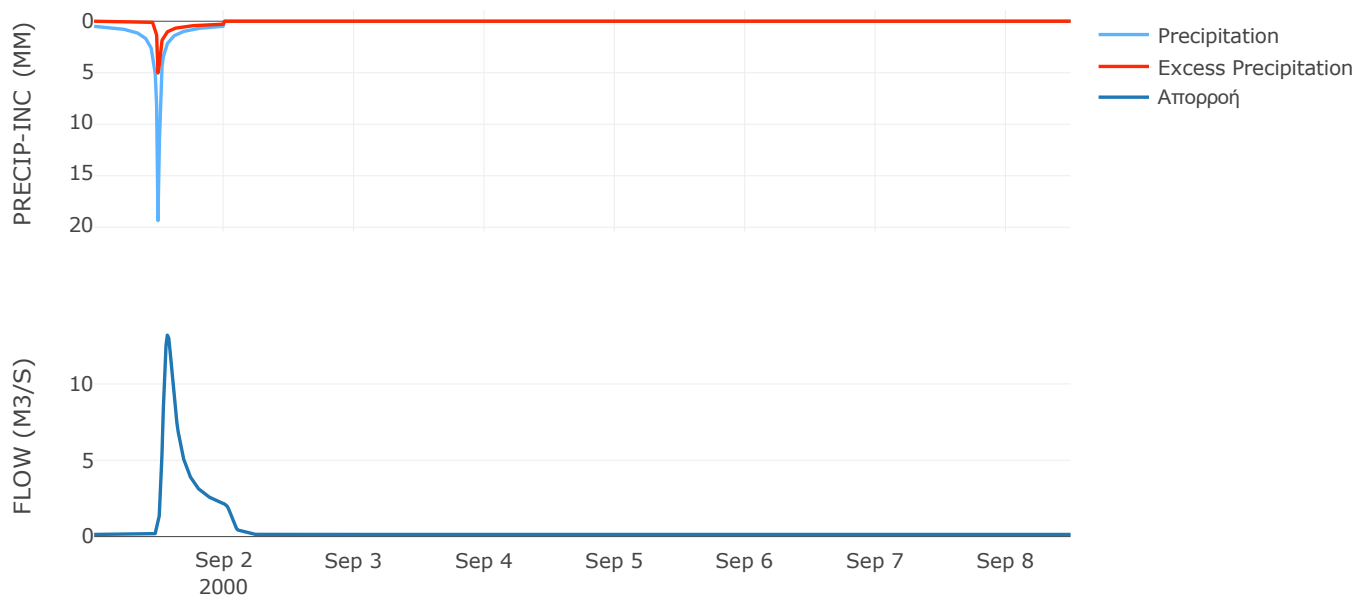
Μέθοδος
Μετασχηματισμού: SCS

Χρόνος Υστέρησης	75.45
------------------	-------

Αποτελέσματα:
EL0415FL007027

Παροχή αιχμής (M3/S)	13.19
Χρονική στιγμή αιχμής	01Sep2000, 13:30
Όγκος (MM)	56
Όγκος βροχόπτωσης (M3)	8.45E5
Όγκος απωλειών (M3)	6.19E5
Ενεργός Όγκος (M3)	2.25E5
Όγκος άμεσης απορροής (M3)	2.25E5
Όγκος βασικής απορροής (M3)	91692

Βροχόπτωση και Απορροή



Υπολεκάνη: EL0415FL007028

Έκταση (KM2) : 1.73

Κατάντη : J14

Μέθοδος Απωλειών: SCS

Ποσοστό αδιαπέρατης επιφάνειας	0
Αριθμός Καμπύλης Απορροής-CN	60.2
Αρχικές Απώλειες	33.58

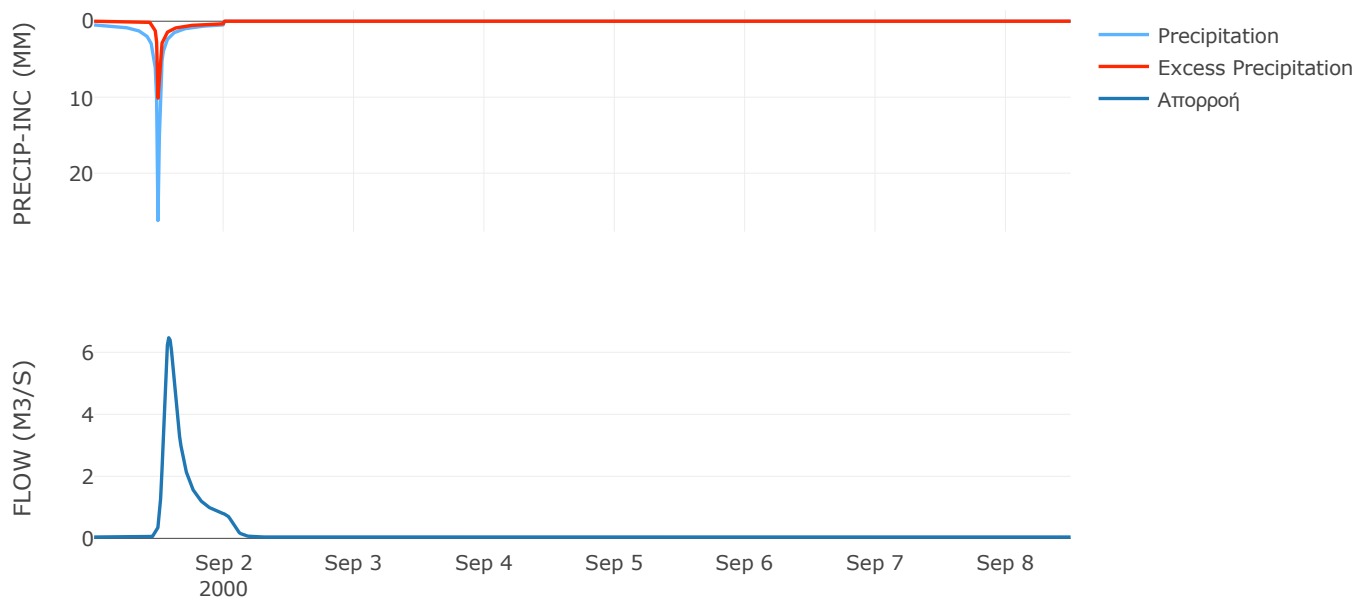
Μέθοδος
Μετασχηματισμού: SCS

Χρόνος Υστέρησης	93.12
------------------	-------

Αποτελέσματα:
EL0415FL007028

Παροχή αιχμής (M3/S)	6.47
Χρονική στιγμή αιχμής	01Sep2000, 13:45
Όγκος (MM)	77.64
Όγκος βροχόπτωσης (M3)	2.95E5
Όγκος απωλειών (M3)	1.89E5
Ενεργός Όγκος (M3)	1.06E5
Όγκος άμεσης απορροής (M3)	1.06E5
Όγκος βασικής απορροής (M3)	28026

Βροχόπτωση και Απορροή



3.2 Δεδομένα και υδρογραφήματα σχεδιασμού Κλάδων υδρογραφικού δικτύου

Κλάδος: R21

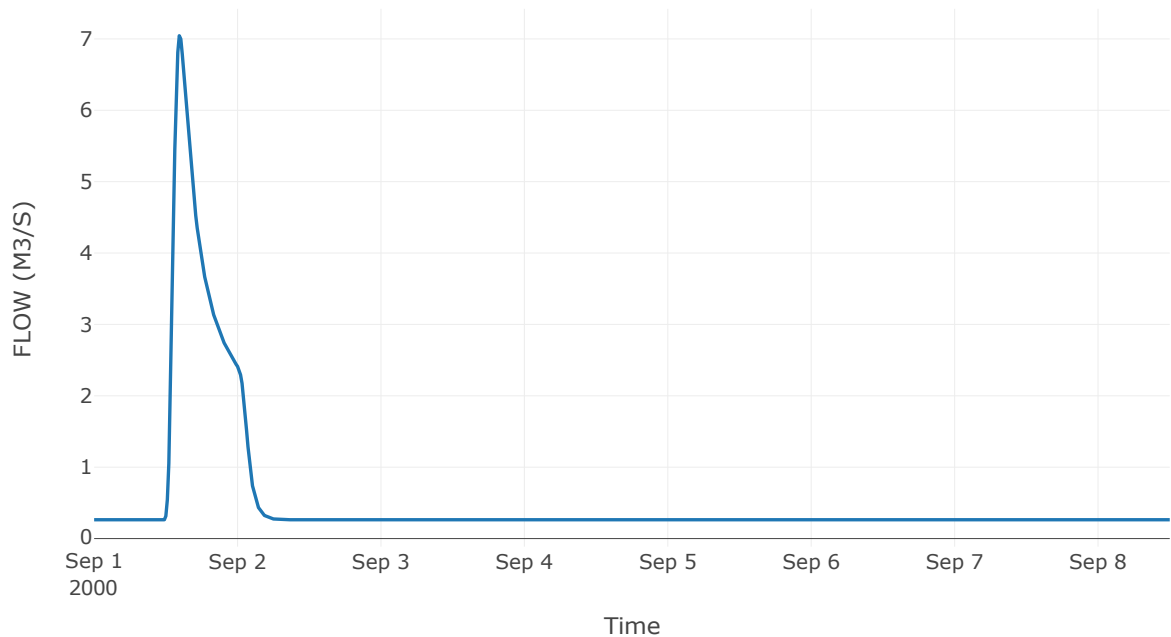
Κατάντη : J1

Μέθοδος Διόδευσης	Χρόνος
Αρχική Μεταβλητή	Combined Inflow
Χρόνος Υστέρησης	0

Αποτελέσματα: R21

Παροχή Αιχμής(M3/S)	7.04
Χρονική στιγμή αιχμής	01Sep2000, 14:15
Όγκος(MM)	32.34
Παροχή Αιχμής Εισόδου (M3/S)	7.04
Όγκος Εισροής(M3)	3.41E5

Απορροή



Κλάδος: R31

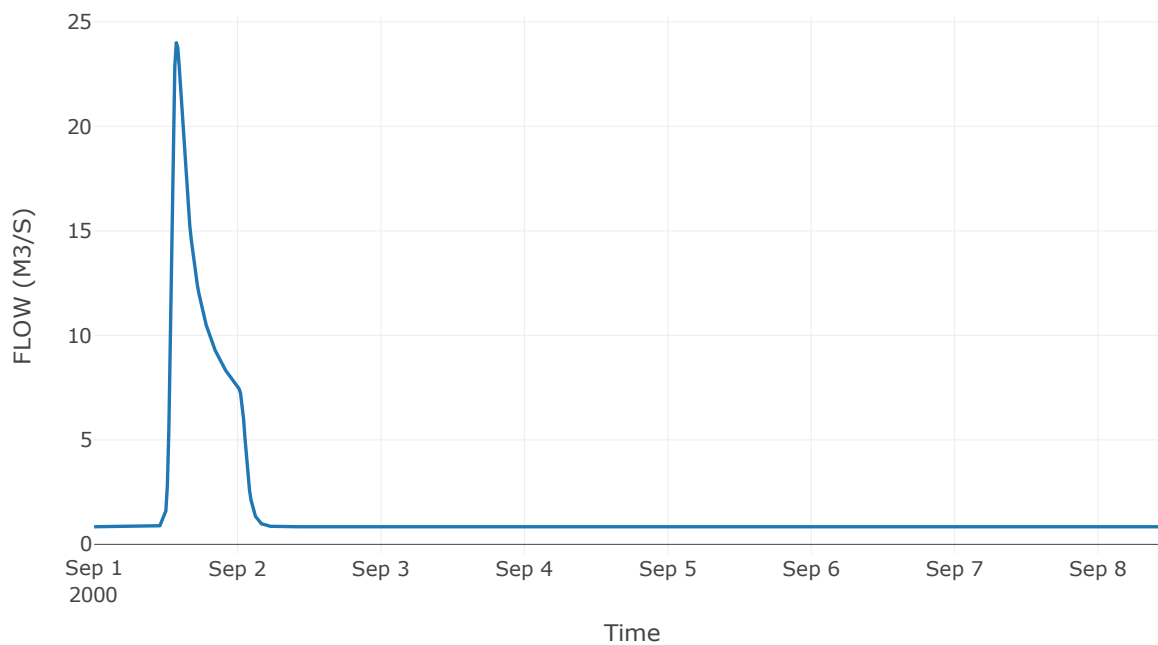
Κατάντη : J1

Μέθοδος Διόδευσης	Χρόνος
Αρχική Μεταβλητή	Combined Inflow
Χρόνος Υστέρησης	0

Αποτελέσματα: R31

Παροχή Αιχμής(M3/S)	24
Χρονική στιγμή αιχμής	01Sep2000, 13:45
Όγκος(MM)	32.03
Παροχή Αιχμής Εισόδου (M3/S)	24
Όγκος Εισροής(M3)	1.08E6

Απορροή



Κλάδος: R41

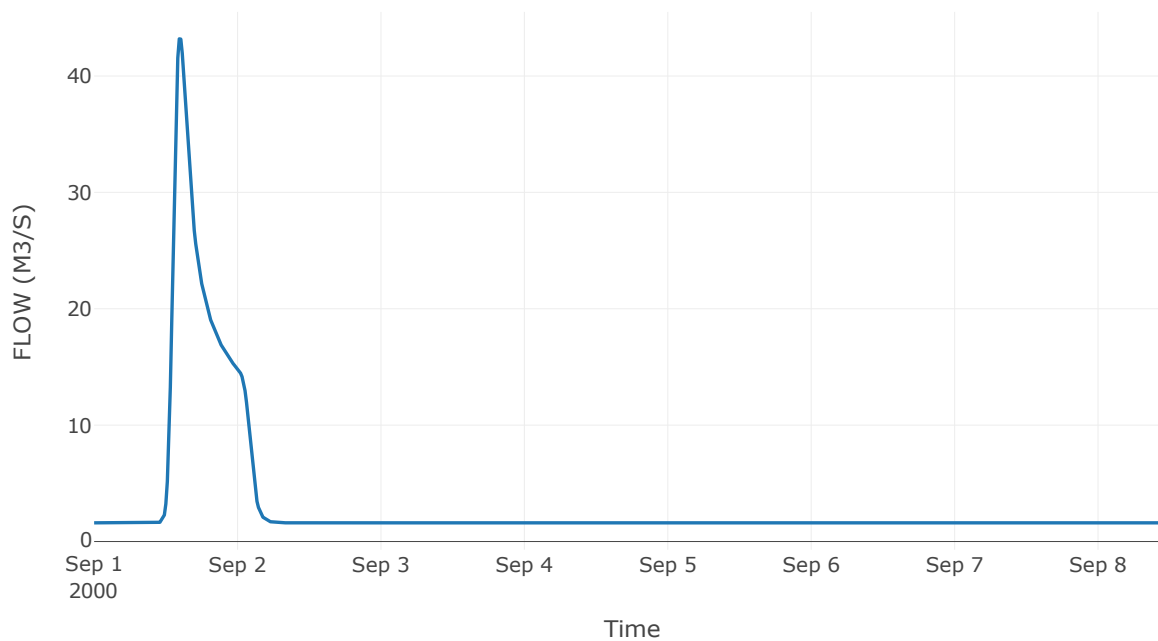
Κατάντη : J1

Μέθοδος Διόδευσης	Χρόνος
Αρχική Μεταβλητή	Combined Inflow
Χρόνος Υστέρησης	0

Αποτελέσματα: R41

Παροχή Αιχμής(M3/S)	43.19
Χρονική στιγμή αιχμής	01Sep2000, 14:15
Όγκος(MM)	32.29
Παροχή Αιχμής Εισόδου (M3/S)	43.19
Όγκος Εισροής(M3)	2.07E6

Απορροή



Κλάδος: R51

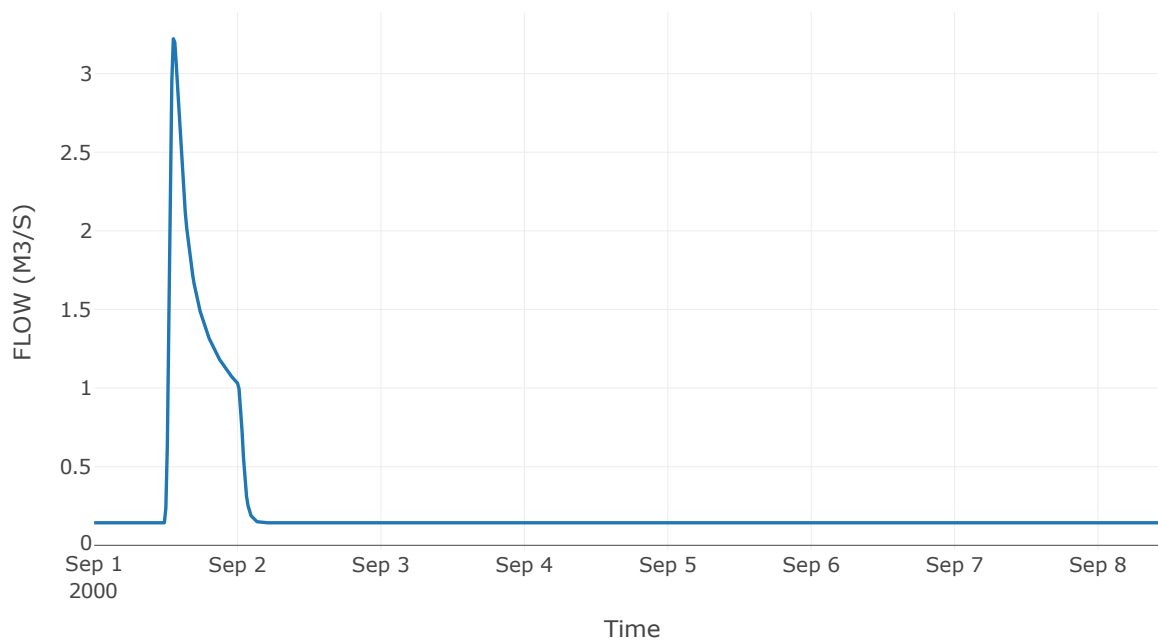
Κατάντη : J1

Μέθοδος Διόδευσης	Χρόνος
Αρχική Μεταβλητή	Combined Inflow
Χρόνος Υστέρησης	0

Αποτελέσματα: R51

Παροχή Αιχμής(M3/S)	3.22
Χρονική στιγμή αιχμής	01Sep2000, 13:15
Όγκος(MM)	28.04
Παροχή Αιχμής Εισόδου (M3/S)	3.22
Όγκος Εισροής(M3)	1.61E5

Απορροή



Κλάδος: R63

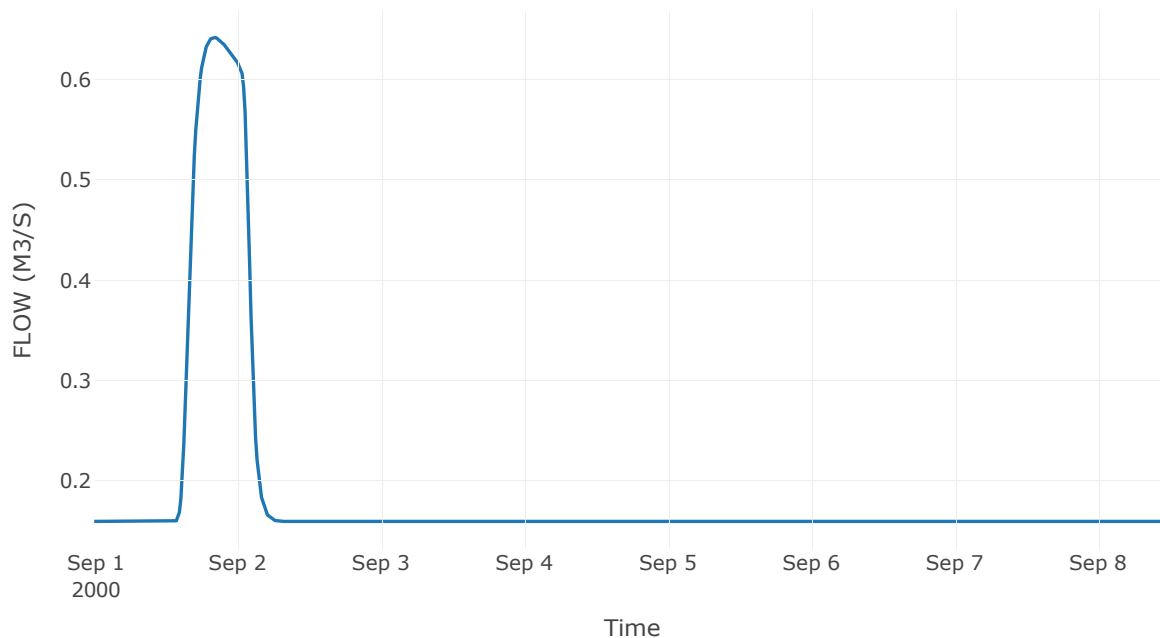
Κατάντη : J3

Μέθοδος Διόδευσης	Muskingum
Αρχική Μεταβλητή	Combined Inflow
Χρόνος Ροής K	0.75
Συντελεστής βάρους x	0.2
Πλήθος Υποκλάδων	3

Αποτελέσματα: R63

Παροχή Αιχμής(M3/S)	0.64
Χρονική στιγμή αιχμής	01Sep2000, 20:00
Όγκος(MM)	18.93
Παροχή Αιχμής Εισόδου (M3/S)	0.64
Όγκος Εισροής(M3)	1.21E5

Απορροή



Κλάδος: R73

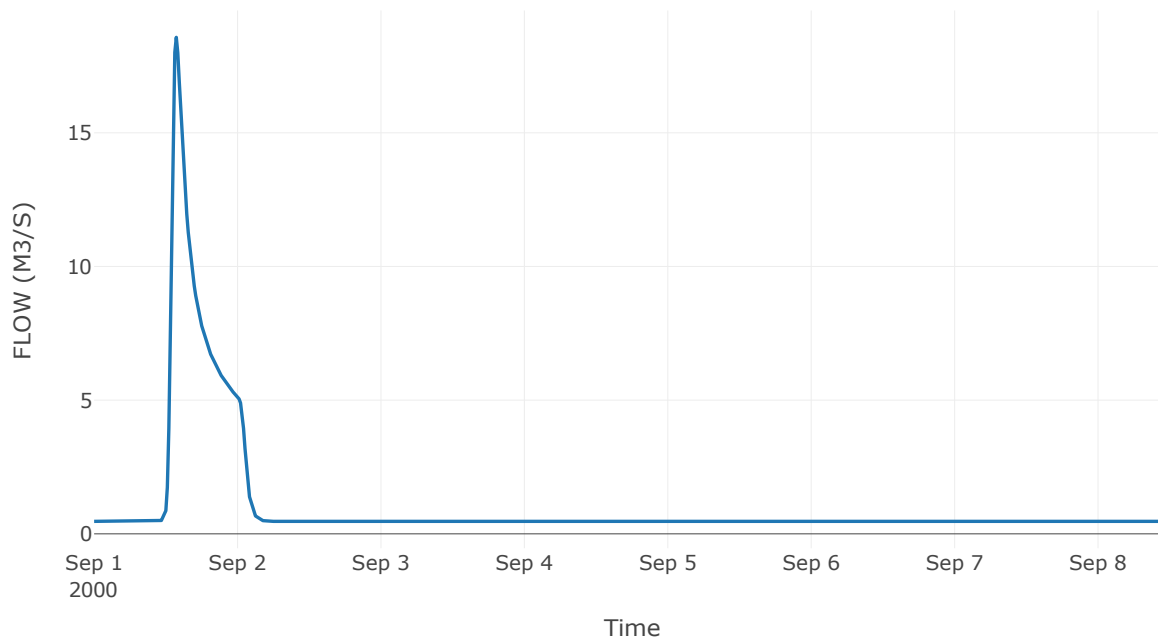
Κατάντη : J3

Μέθοδος Διόδευσης	Muskingum
Αρχική Μεταβλητή	Combined Inflow
Χρόνος Ροής K	0.12
Συντελεστής βάρους x	0.2
Πλήθος Υποκλάδων	3

Αποτελέσματα: R73

Παροχή Αιχμής(M3/S)	18.57
Χρονική στιγμή αιχμής	01Sep2000, 13:45
Όγκος(MM)	36.67
Παροχή Αιχμής Εισόδου (M3/S)	18.49
Όγκος Εισροής(M3)	6.84E5

Απορροή



Κλάδος: R87

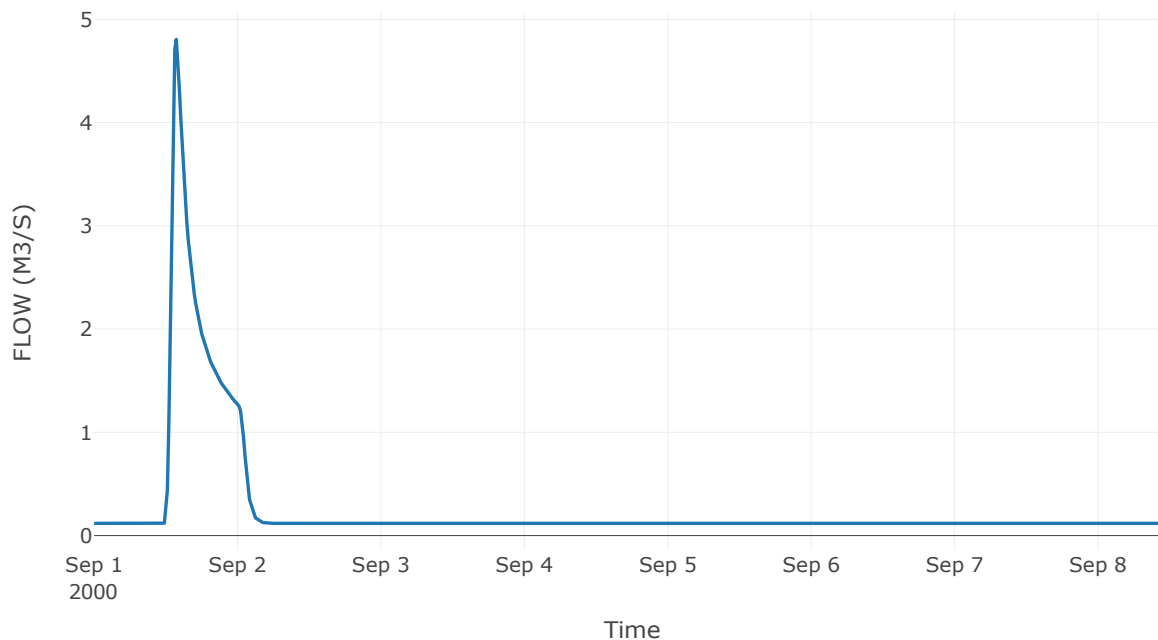
Κατάντη : J7

Μέθοδος Διόδευσης	Muskingum
Αρχική Μεταβλητή	Combined Inflow
Χρόνος Ροής K	0.19
Συντελεστής βάρους x	0.2
Πλήθος Υποκλάδων	1

Αποτελέσματα: R87

Παροχή Αιχμής(M3/S)	4.81
Χρονική στιγμή αιχμής	01Sep2000, 13:45
Όγκος(MM)	36.72
Παροχή Αιχμής Εισόδου (M3/S)	4.87
Όγκος Εισροής(M3)	1.74E5

Απορροή



Κλάδος: R97

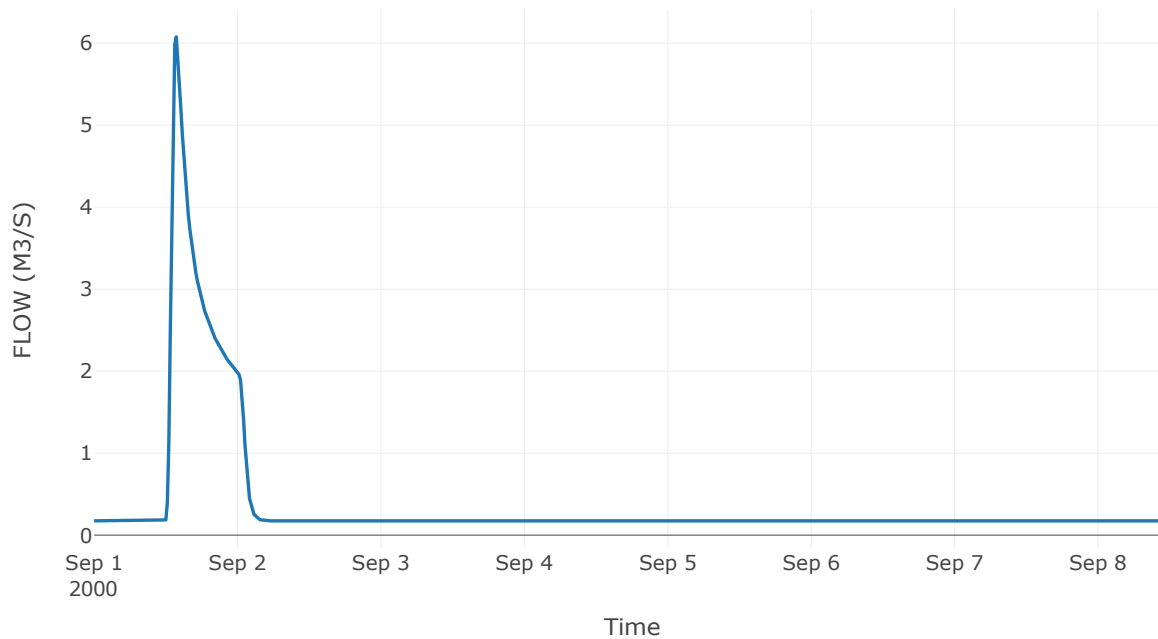
Κατάντη : J7

Μέθοδος Διόδευσης	Χρόνος
Αρχική Μεταβλητή	Combined Inflow
Χρόνος Υστέρησης	14.41

Αποτελέσματα: R97

Παροχή Αιχμής(M3/S)	6.08
Χρονική στιγμή αιχμής	01Sep2000, 13:45
Όγκος(MM)	35.53
Παροχή Αιχμής Εισόδου (M3/S)	6.09
Όγκος Εισροής(M3)	2.47E5

Απορροή



Κλάδος: R104

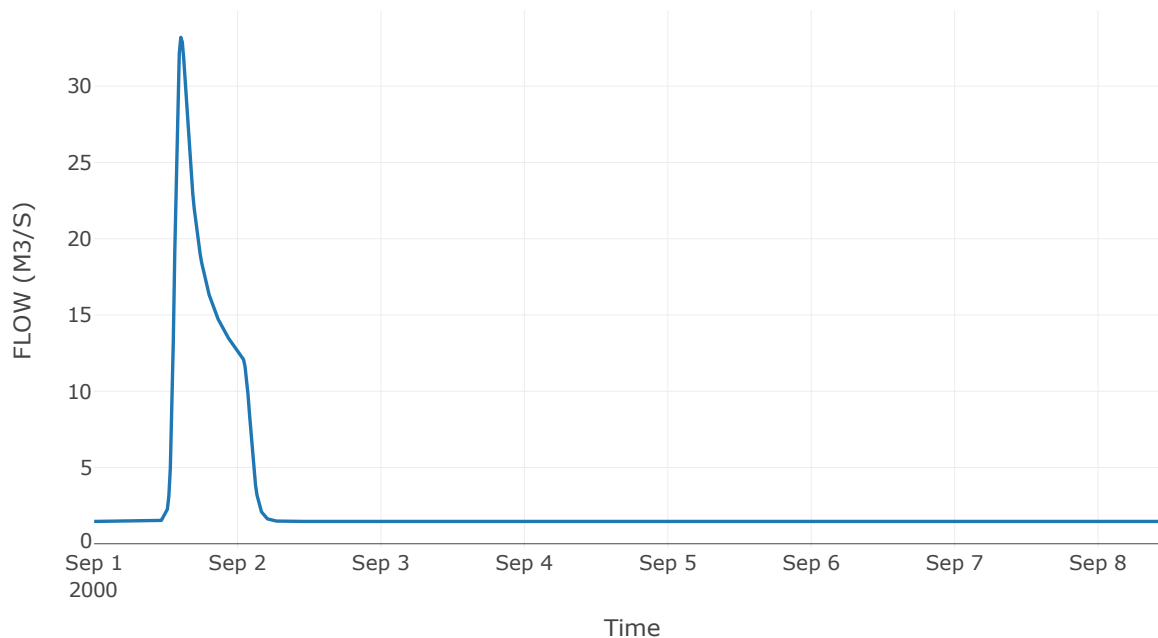
Κατάντη : J4

Μέθοδος Διόδευσης	Muskingum
Αρχική Μεταβλητή	Combined Inflow
Χρόνος Ροής Κ	0.77
Συντελεστής βάρους α	0.2
Πλήθος Υποκλάδων	3

Αποτελέσματα: R104

Παροχή Αιχμής(M3/S)	33.2
Χρονική στιγμή αιχμής	01Sep2000, 14:30
Όγκος(MM)	30
Παροχή Αιχμής Εισόδου (M3/S)	34.67
Όγκος Εισροής(M3)	1.76E6

Απορροή



Κλάδος: R1110

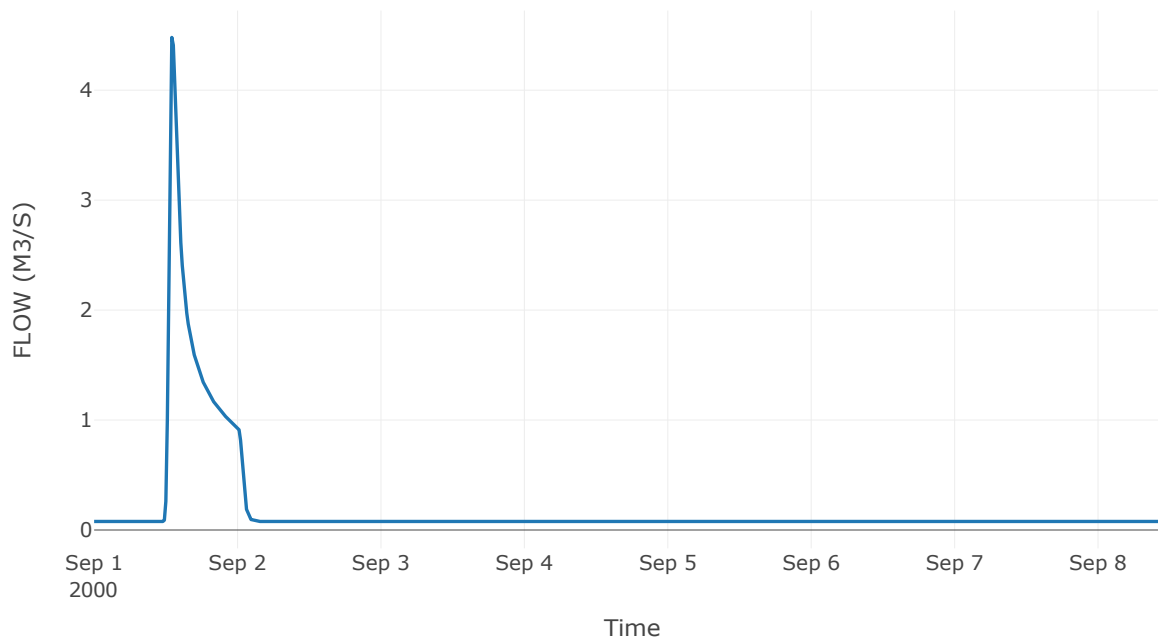
Κατάντη : J10

Μέθοδος Διόδευσης	Muskingum
Αρχική Μεταβλητή	Combined Inflow
Χρόνος Ροής K	0.22
Συντελεστής βάρους x	0.2
Πλήθος Υποκλάδων	1

Αποτελέσματα: R1110

Παροχή Αιχμής(M3/S)	4.48
Χρονική στιγμή αιχμής	01Sep2000, 13:00
Όγκος(MM)	40.22
Παροχή Αιχμής Εισόδου (M3/S)	4.65
Όγκος Εισροής(M3)	1.25E5

Απορροή



Κλάδος: R125

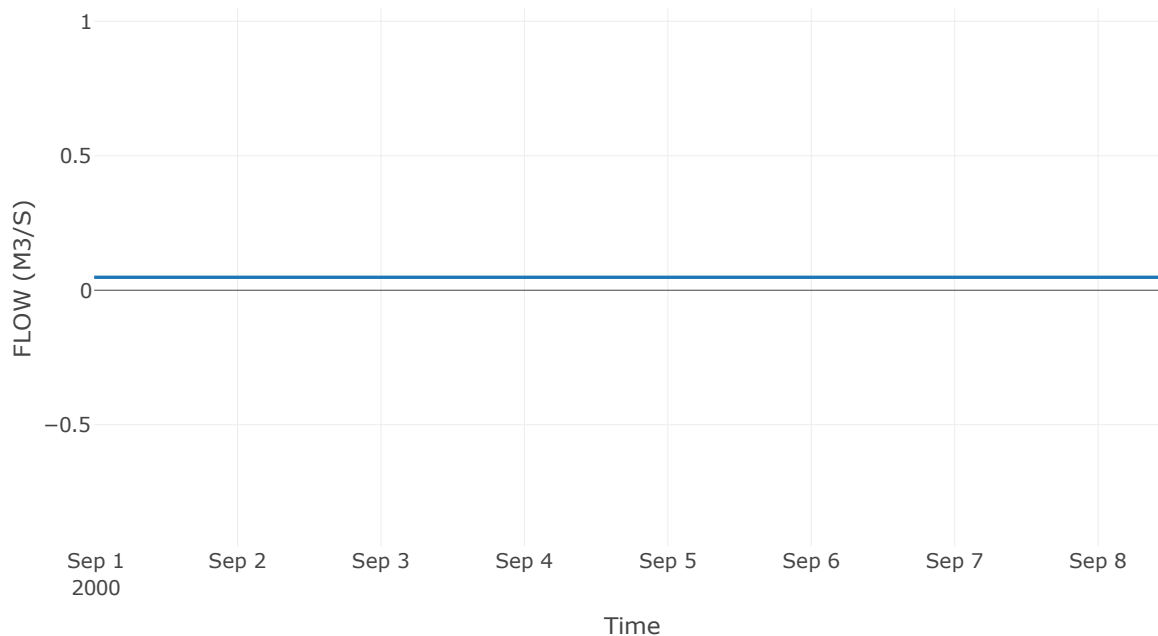
Κατάντη : J5

Μέθοδος Διόδευσης	Muskingum
Αρχική Μεταβλητή	Combined Inflow
Χρόνος Ροής Κ	0.15
Συντελεστής βάρους x	0.2
Πλήθος Υποκλάδων	1

Αποτελέσματα: R125

Παροχή Αιχμής(M3/S)	0.05
Χρονική στιγμή αιχμής	31Aug2000, 24:00
Όγκος(MM)	16.2
Παροχή Αιχμής Εισόδου (M3/S)	0.05
Όγκος Εισροής(M3)	31233.6

Απορροή



Κλάδος: R1413

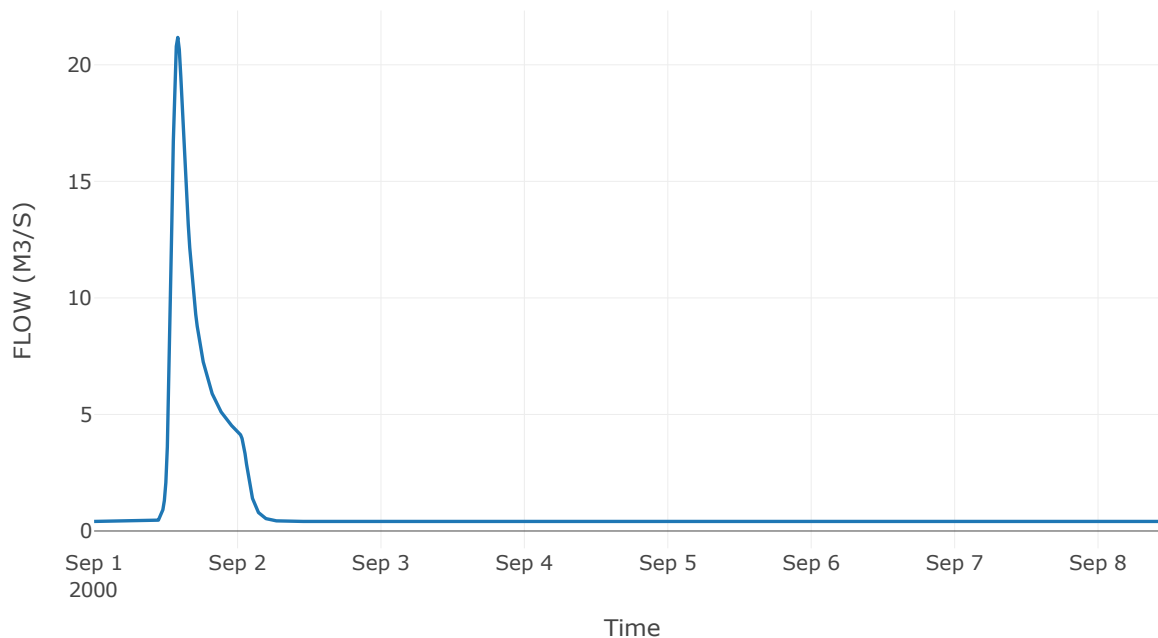
Κατάντη : J13

Μέθοδος Διόδευσης	Muskingum
Αρχική Μεταβλητή	Combined Inflow
Χρόνος Ροής K	0.09
Συντελεστής βάρους x	0.2
Πλήθος Υποκλάδων	3

Αποτελέσματα: R1413

Παροχή Αιχμής(M3/S)	21.18
Χρονική στιγμή αιχμής	01Sep2000, 14:00
Όγκος(MM)	41.21
Παροχή Αιχμής Εισόδου (M3/S)	21.09
Όγκος Εισροής(M3)	6.76E5

Απορροή



Κλάδος: R1514

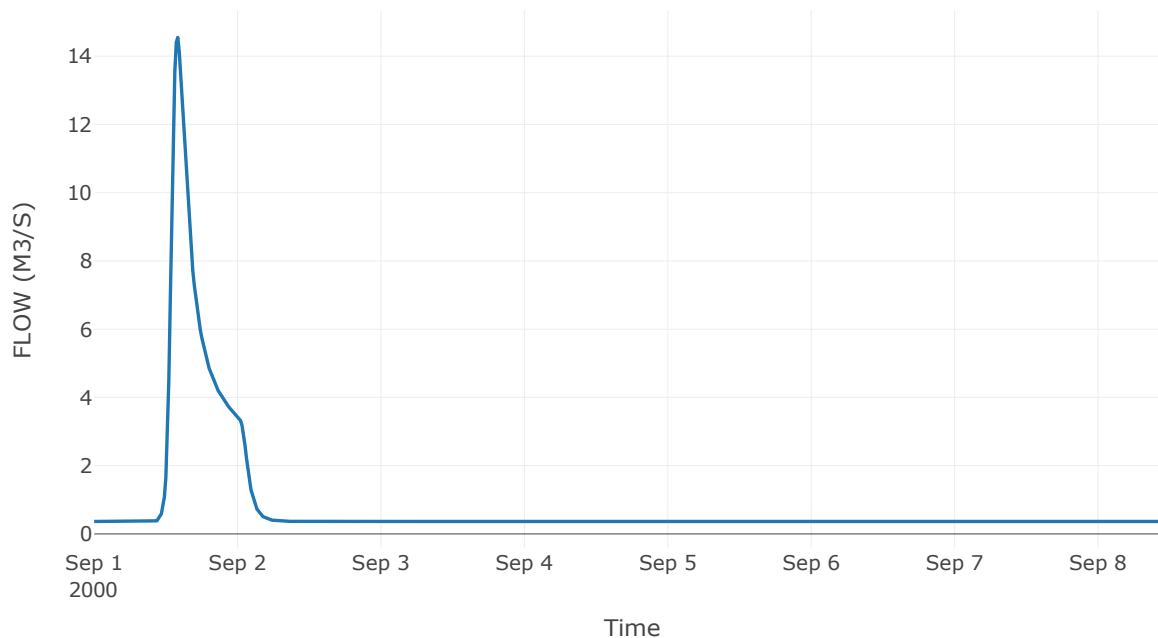
Κατάντη : J14

Μέθοδος Διόδευσης	Muskingum
Αρχική Μεταβλητή	Combined Inflow
Χρόνος Ροής Κ	0.15
Συντελεστής βάρους α	0.2
Πλήθος Υποκλάδων	1

Αποτελέσματα: R1514

Παροχή Αιχμής(M3/S)	14.55
Χρονική στιγμή αιχμής	01Sep2000, 14:00
Όγκος(MM)	36.72
Παροχή Αιχμής Εισόδου (M3/S)	14.65
Όγκος Εισροής(M3)	5.36E5

Απορροή



Κλάδος: R1615

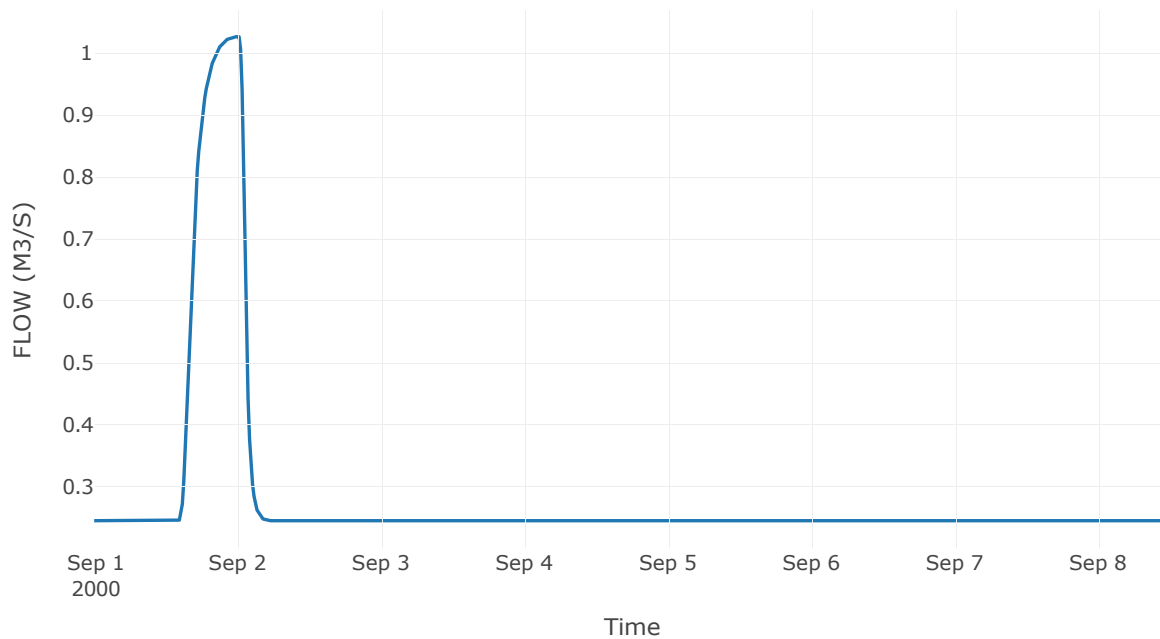
Κατάντη : J15

Μέθοδος Διόδευσης	Χρόνος
Αρχική Μεταβλητή	Combined Inflow
Χρόνος Υστέρησης	15.44

Αποτελέσματα: R1615

Παροχή Αιχμής(M3/S)	1.03
Χρονική στιγμή αιχμής	01Sep2000, 24:00
Όγκος(MM)	18.73
Παροχή Αιχμής Εισόδου (M3/S)	1.03
Όγκος Εισροής(M3)	1.83E5

Απορροή



Κλάδος: R1720

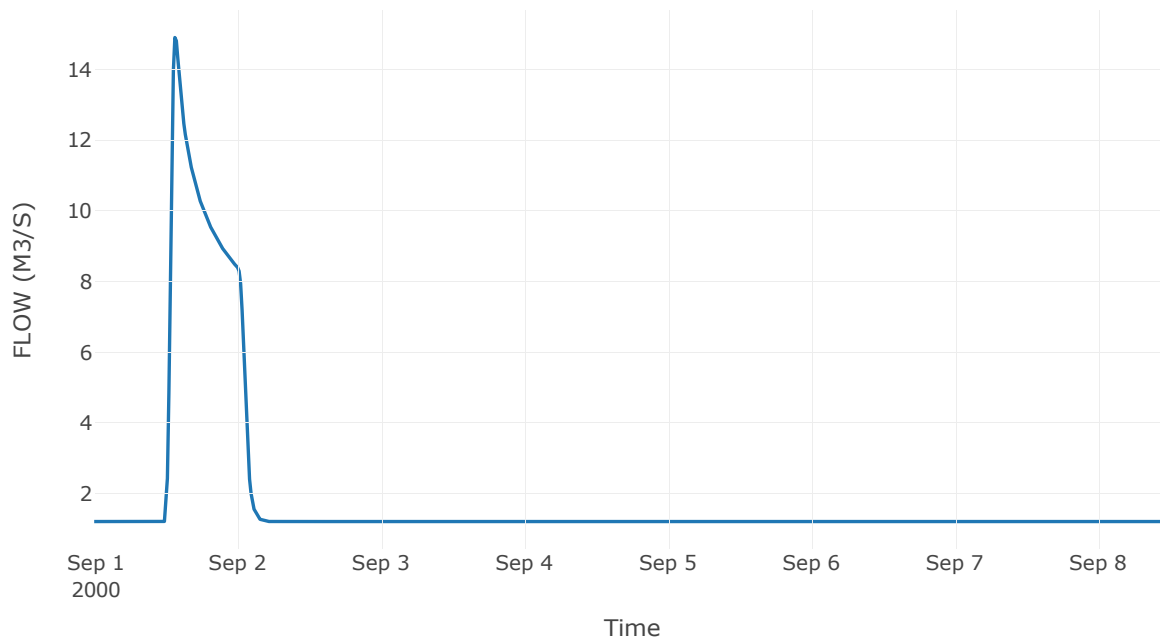
Κατάντη : J20

Μέθοδος Διόδευσης	Muskingum
Αρχική Μεταβλητή	Combined Inflow
Χρόνος Ροής Κ	0.13
Συντελεστής βάρους α	0.2
Πλήθος Υποκλάδων	1

Αποτελέσματα: R1 720

Παροχή Αιχμής(M3/S)	14.91
Χρονική στιγμή αιχμής	01Sep2000, 13:30
Όγκος(MM)	24.88
Παροχή Αιχμής Εισόδου (M3/S)	14.99
Όγκος Εισροής(M3)	1.2E6

Απορροή



Κλάδος: R1817

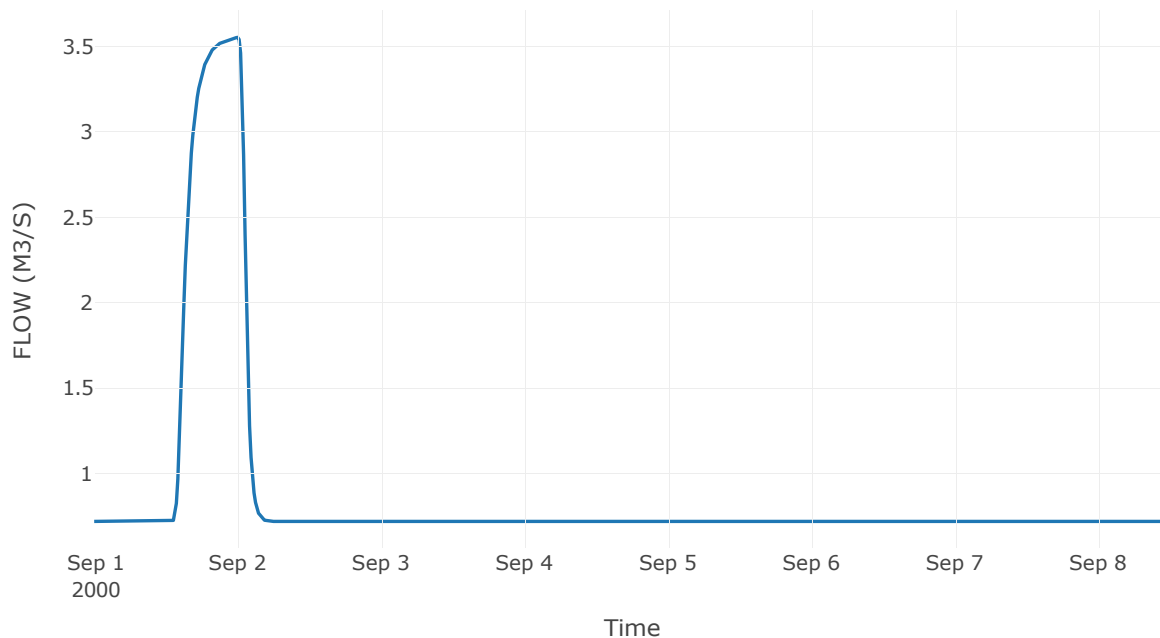
Κατάντη : J17

Μέθοδος Διόδευσης	Muskingum
Αρχική Μεταβλητή	Combined Inflow
Χρόνος Ροής K	0.23
Συντελεστής βάρους x	0.2
Πλήθος Υποκλάδων	1

Αποτελέσματα: R1817

Παροχή Αιχμής(M3/S)	3.55
Χρονική στιγμή αιχμής	01Sep2000, 24:00
Όγκος(MM)	19.72
Παροχή Αιχμής Εισόδου (M3/S)	3.55
Όγκος Εισροής(M3)	5.68E5

Απορροή



Κλάδος: R1918

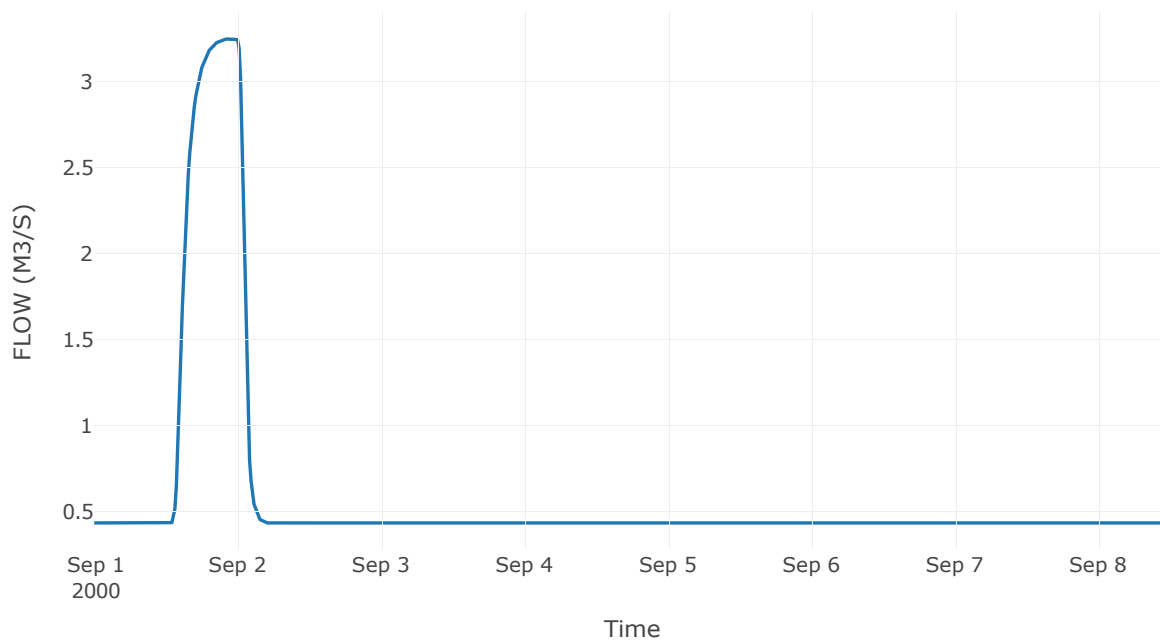
Κατάντη : J18

Μέθοδος Διόδευσης	Χρόνος
Αρχική Μεταβλητή	Combined Inflow
Χρόνος Υστέρησης	5.39

Αποτελέσματα: R1918

Παροχή Αιχμής(M3/S)	3.25
Χρονική στιγμή αιχμής	01Sep2000, 22:45
Όγκος(MM)	22.02
Παροχή Αιχμής Εισόδου (M3/S)	3.25
Όγκος Εισροής(M3)	3.83E5

Απορροή



Κλάδος: R2010

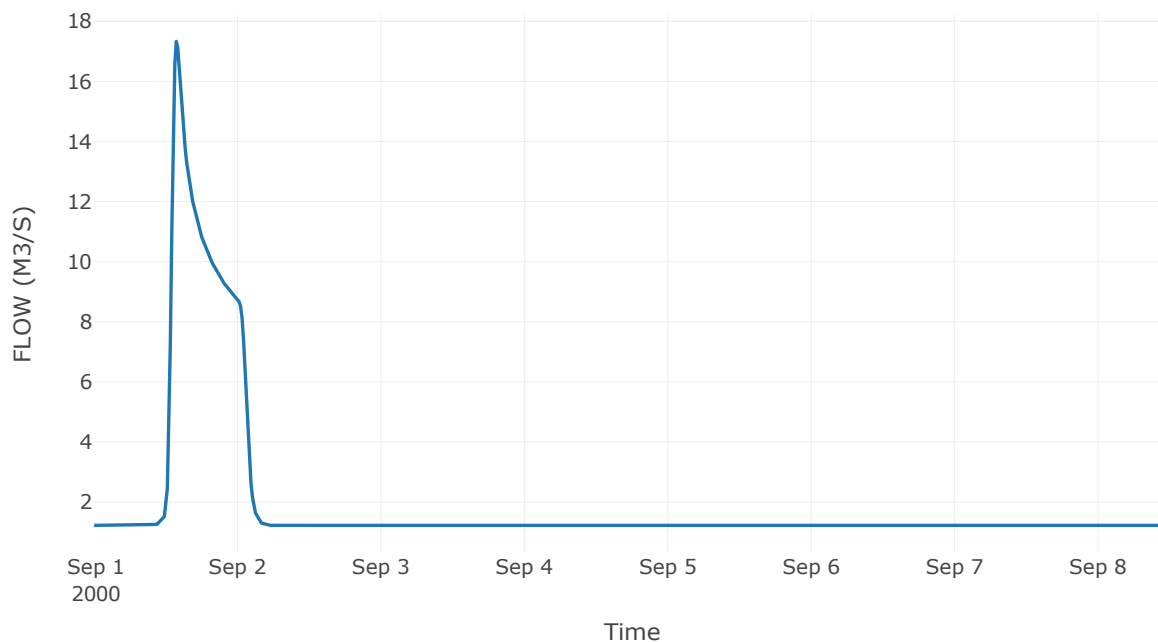
Κατάντη : J10

Μέθοδος Διόδευσης	Muskingum
Αρχική Μεταβλητή	Combined Inflow
Χρόνος Ροής K	0.29
Συντελεστής βάρους x	0.2
Πλήθος Υποκλάδων	1

Αποτελέσματα: R2010

Παροχή Αιχμής(M3/S)	17.33
Χρονική στιγμή αιχμής	01Sep2000, 13:45
Όγκος(MM)	25.63
Παροχή Αιχμής Εισόδου (M3/S)	17.81
Όγκος Εισροής(M3)	1.26E6

Απορροή



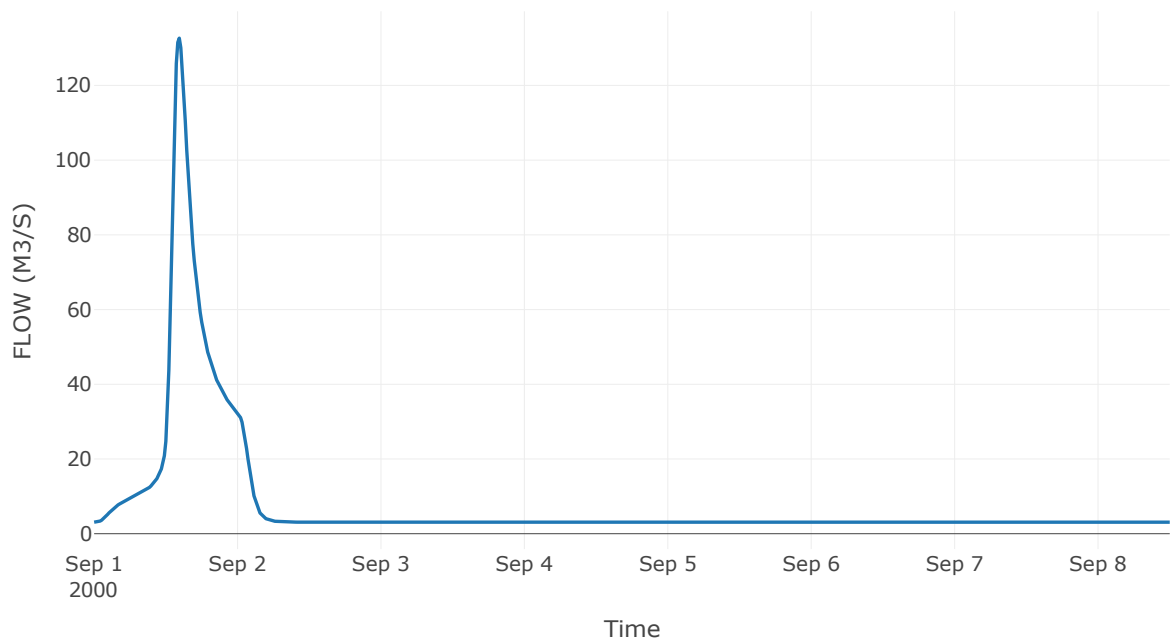
3.3 Δεδομένα και υδρογραφήματα σχεδιασμού Κόμβων υδρογραφικού δικτύου

Κόμβος εξόδου: J1

Αποτελέσμα
α: J1

Παροχή αιχμής (M3/S)	132.66
Χρονική στιγμή αιχμής	01Sep2000, 14:15
Όγκος (MM)	41.84

Απορροή



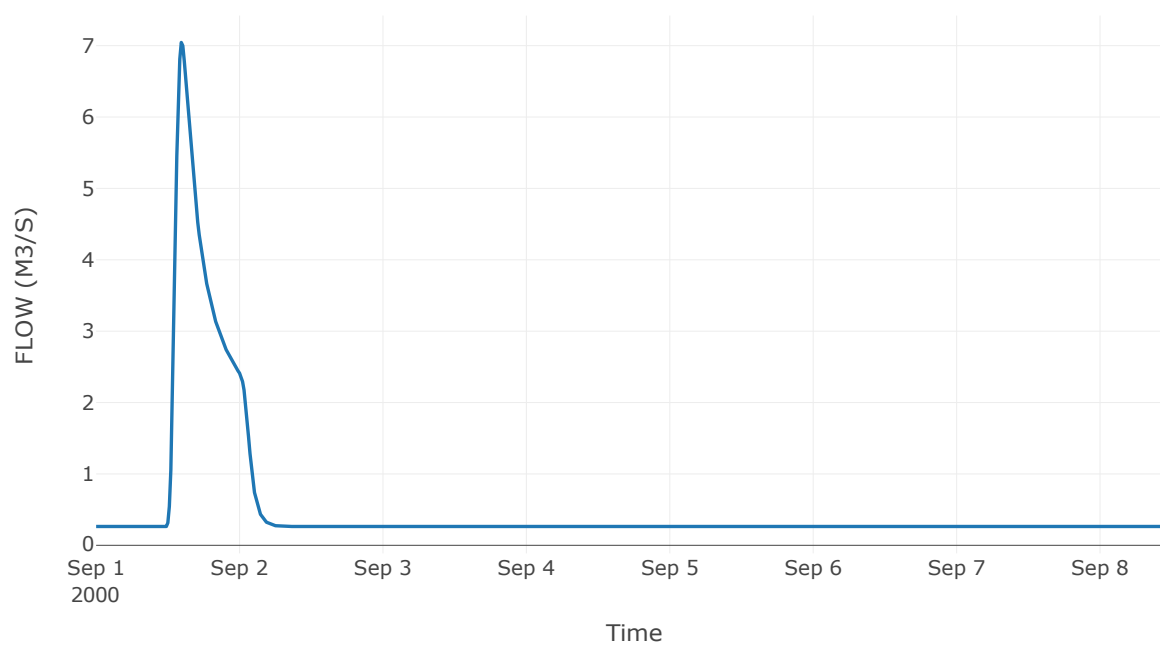
Κόμβος: J2

Κατάντη : R21

Αποτελέσματα: J2

Παροχή Αιχμής(M3/S)	7.04
Χρονική στιγμή αιχμής	01Sep2000, 14:15
Όγκος(MM)	32.34

Απορροή



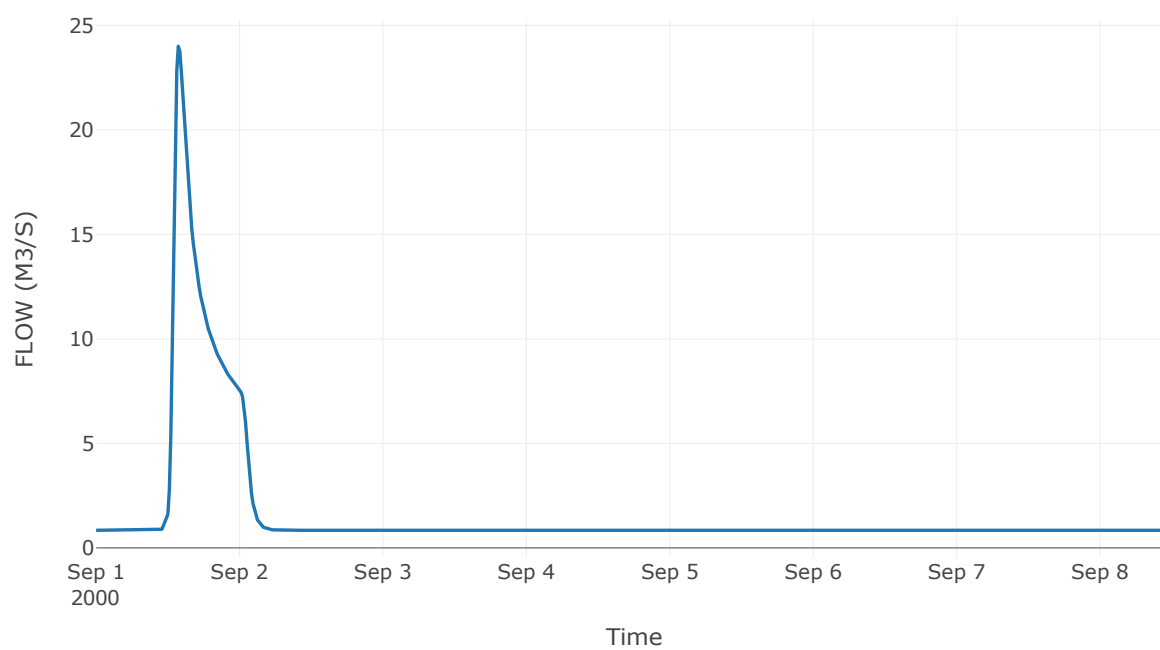
Κόμβος: J3

Κατάντη : R31

Αποτελέσματα: J3

Παροχή Αιχμής(M3/S)	24
Χρονική στιγμή αιχμής	01Sep2000, 13:45
Όγκος(MM)	32.03

Απορροή



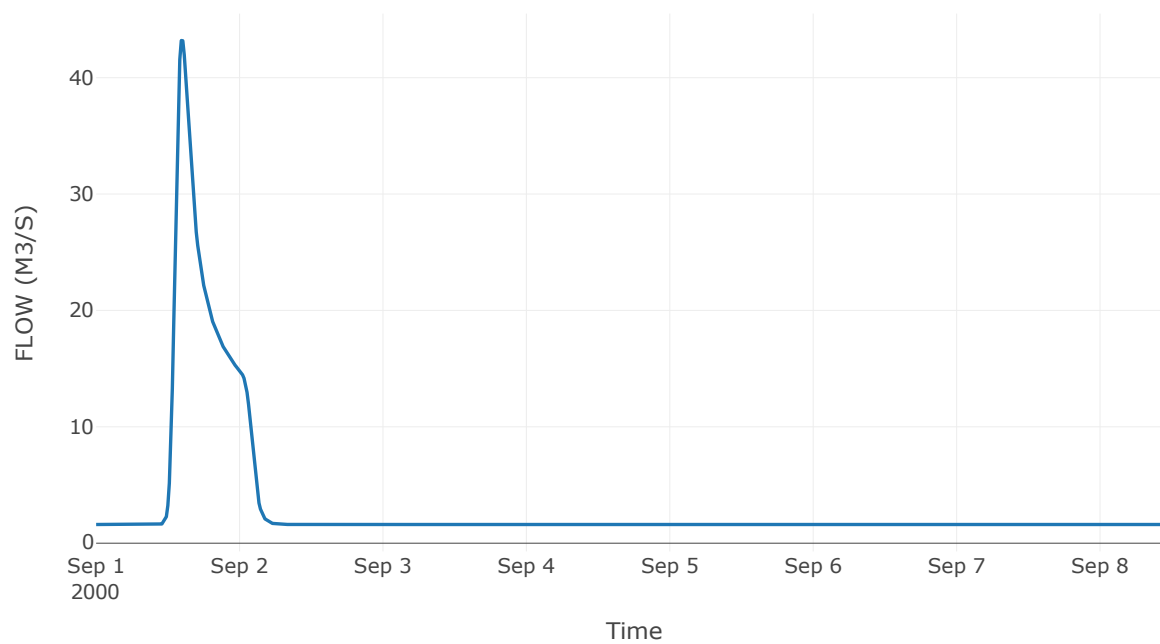
Κόμβος: J4

Κατάντη : R41

Αποτελέσματα: J4

Παροχή Αιχμής(M3/S)	43.19
Χρονική στιγμή αιχμής	01Sep2000, 14:15
Όγκος(MM)	32.29

Απορροή



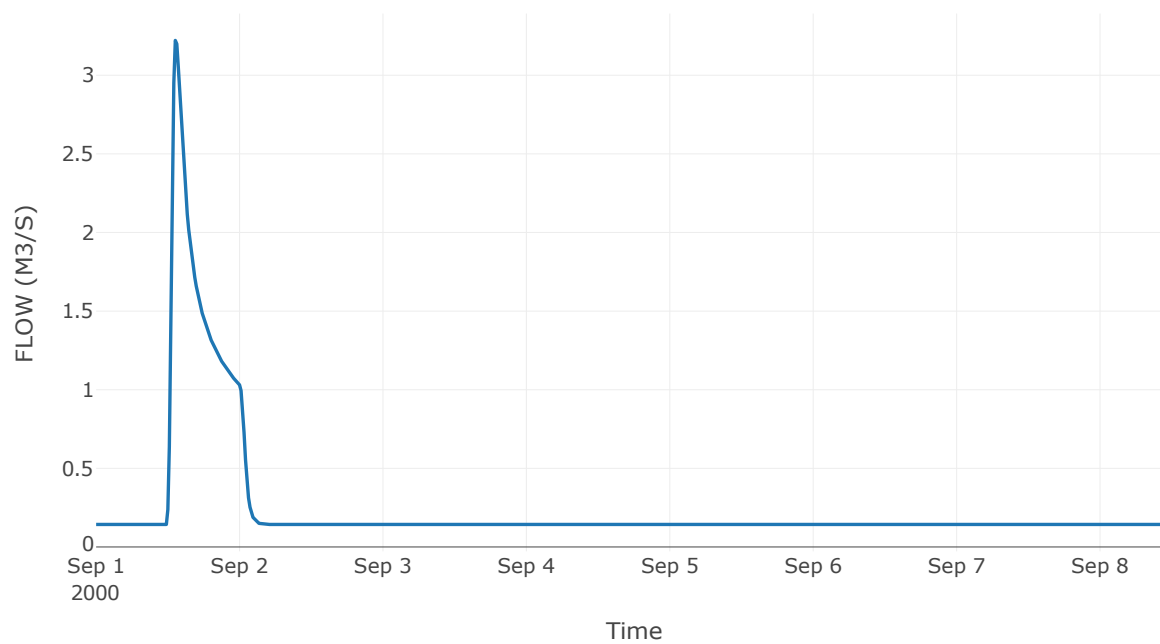
Κόμβος: J5

Κατάντη : R51

Αποτελέσματα: J5

Παροχή Αιχμής(M3/S)	3.22
Χρονική στιγμή αιχμής	01Sep2000, 13:15
Όγκος(MM)	28.04

Απορροή



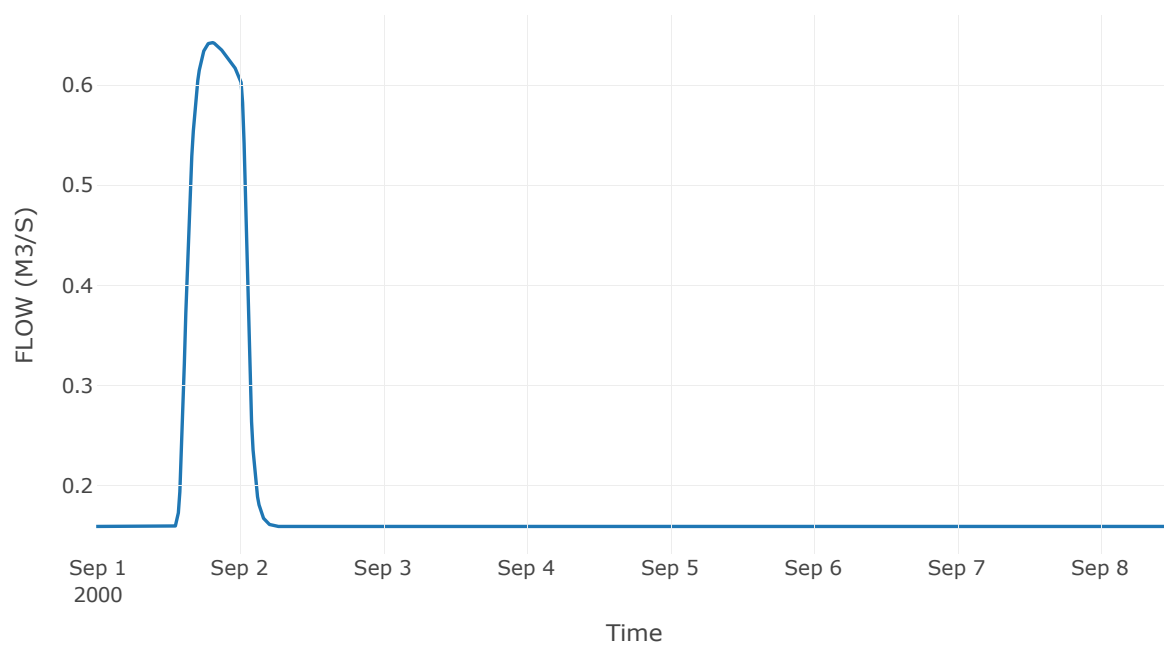
Κόμβος: J6

Κατάντη : R63

Αποτελέσματα: J6

Παροχή Αιχμής(M3/S)	0.64
Χρονική στιγμή αιχμής	01Sep2000, 19:15
Όγκος(MM)	18.93

Απορροή



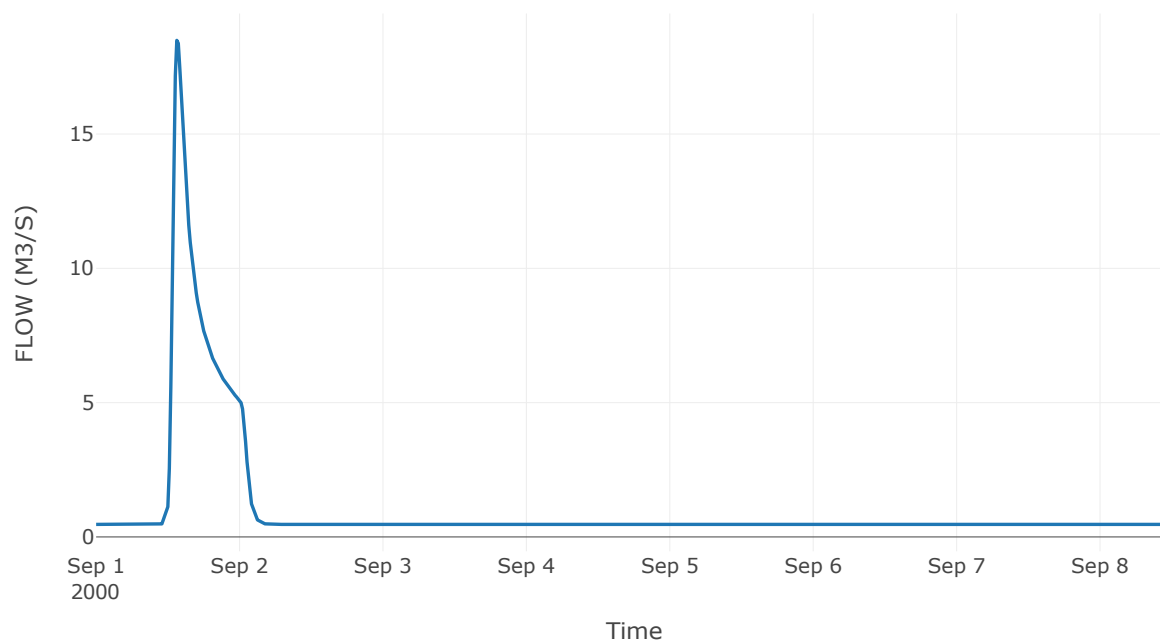
Κόμβος: J7

Κατάντη : R73

Αποτελέσματα: J7

Παροχή Αιχμής(M3/S)	18.49
Χρονική στιγμή αιχμής	01Sep2000, 13:30
Όγκος(MM)	36.67

Απορροή



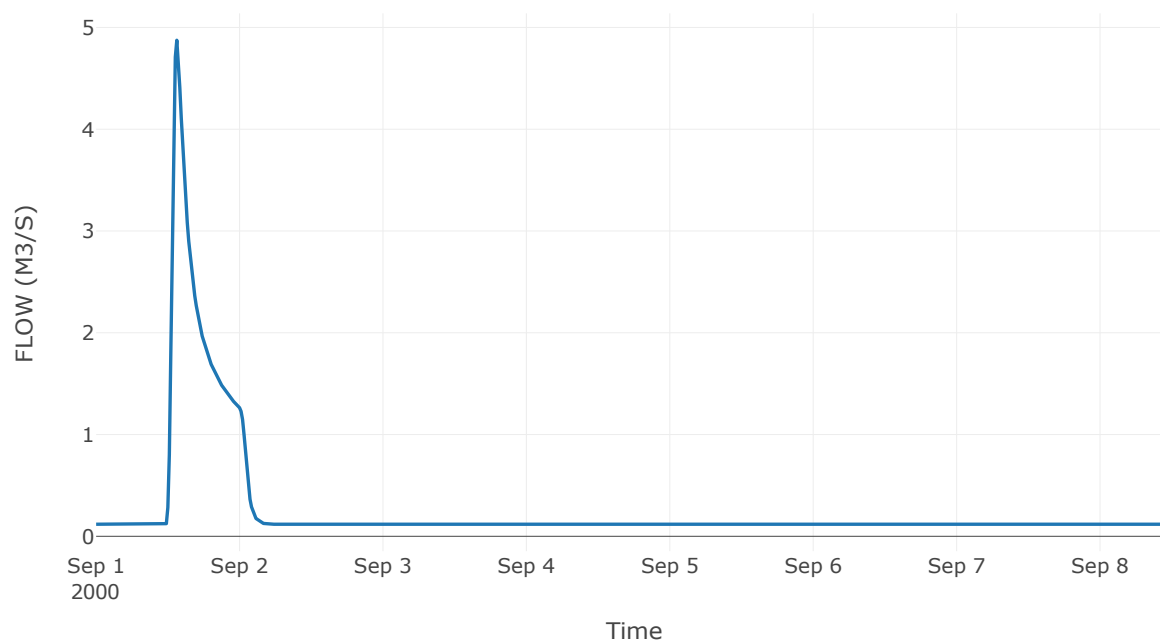
Κόμβος: J8

Κατάντη : R87

Αποτελέσματα: J8

Παροχή Αιχμής(M3/S)	4.87
Χρονική στιγμή αιχμής	01Sep2000, 13:30
Όγκος(MM)	36.72

Απορροή



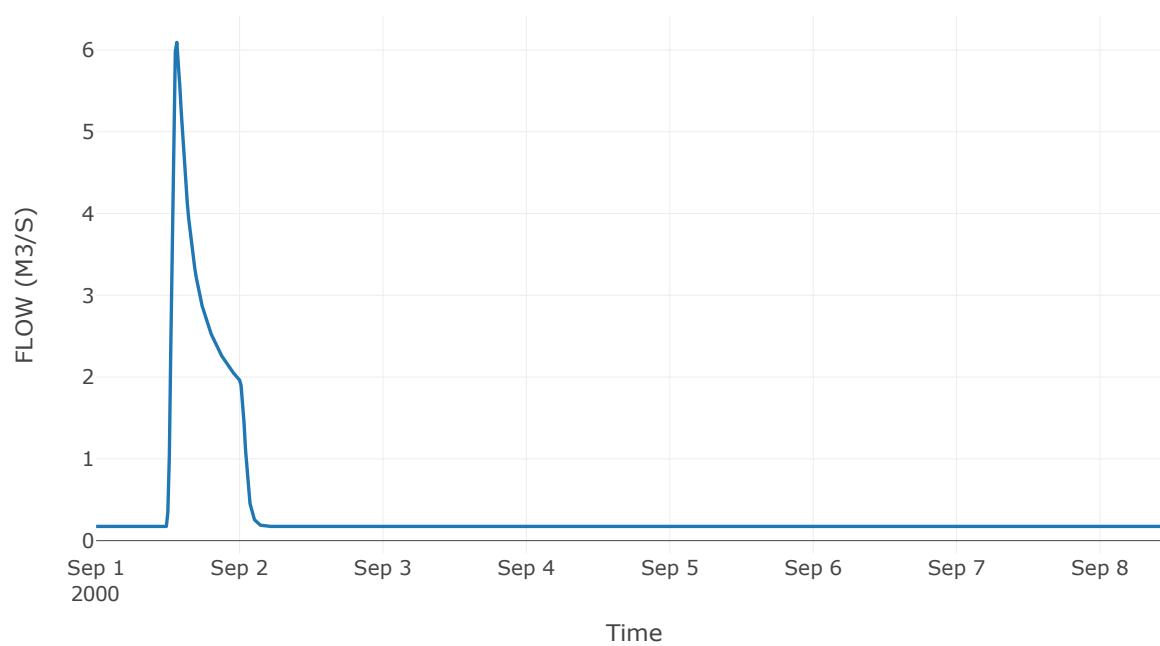
Κόμβος: J9

Κατάντη : R97

Αποτελέσματα: J9

Παροχή Αιχμής(M3/S)	6.09
Χρονική στιγμή αιχμής	01Sep2000, 13:30
Όγκος(MM)	35.53

Απορροή



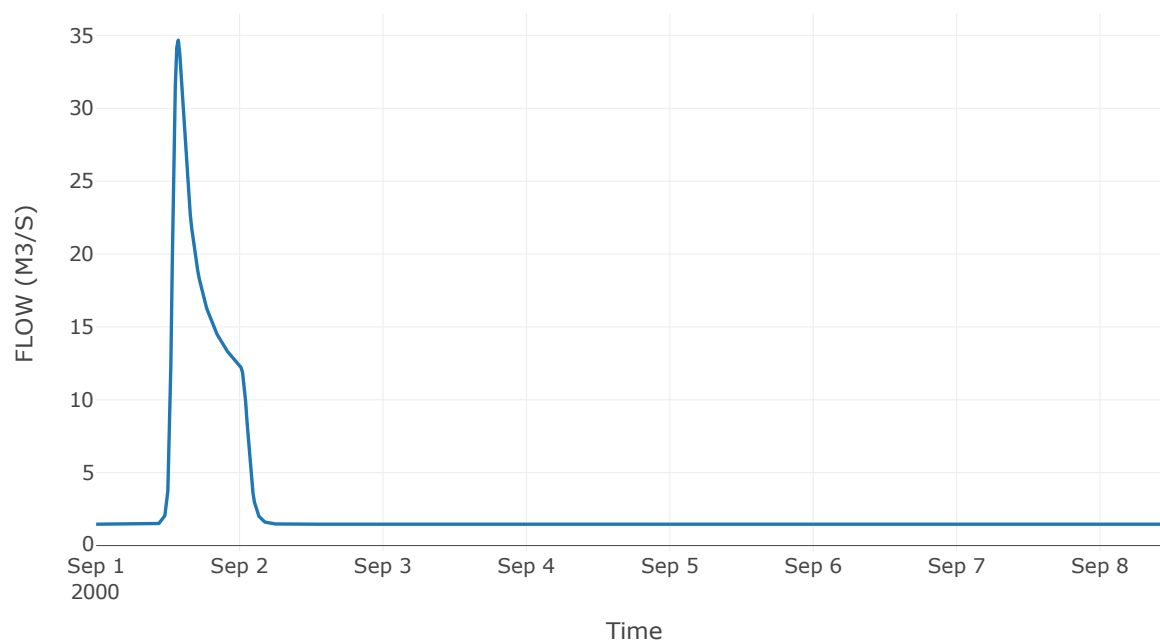
Κόμβος: J10

Κατάντη : R104

Αποτελέσματα: J10

Παροχή Αιχμής(M3/S)	34.67
Χρονική στιγμή αιχμής	01Sep2000, 13:45
Όγκος(MM)	30

Απορροή



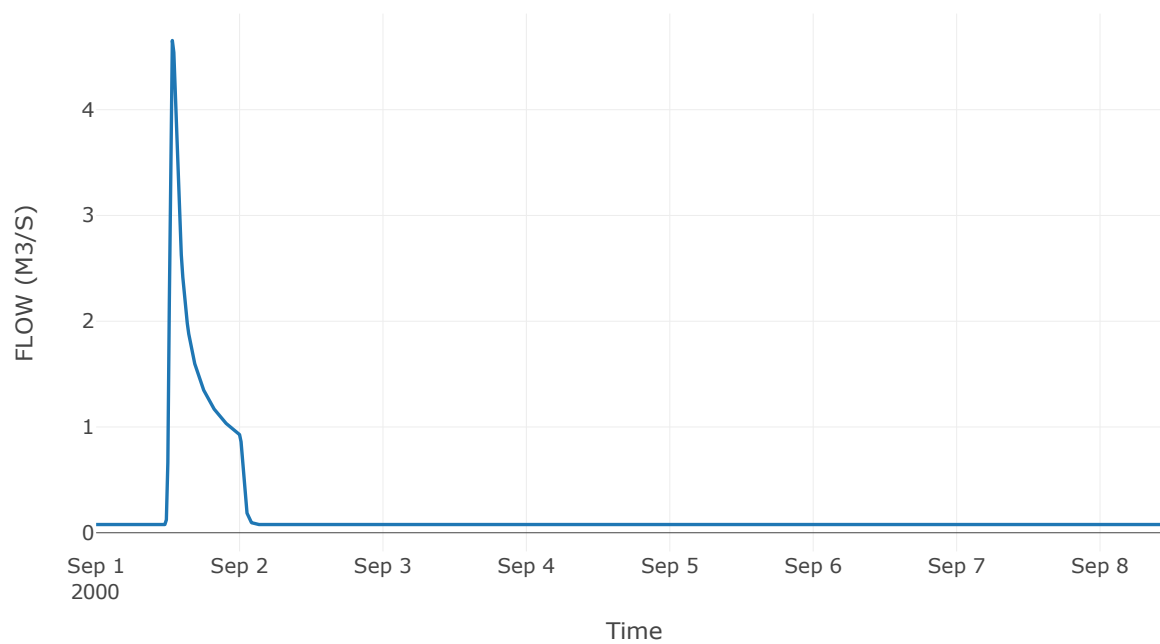
Κόμβος: J11

Κατάντη : R1110

Αποτελέσματα: J11

Παροχή Αιχμής(M3/S)	4.65
Χρονική στιγμή αιχμής	01Sep2000, 12:45
Όγκος(MM)	40.22

Απορροή



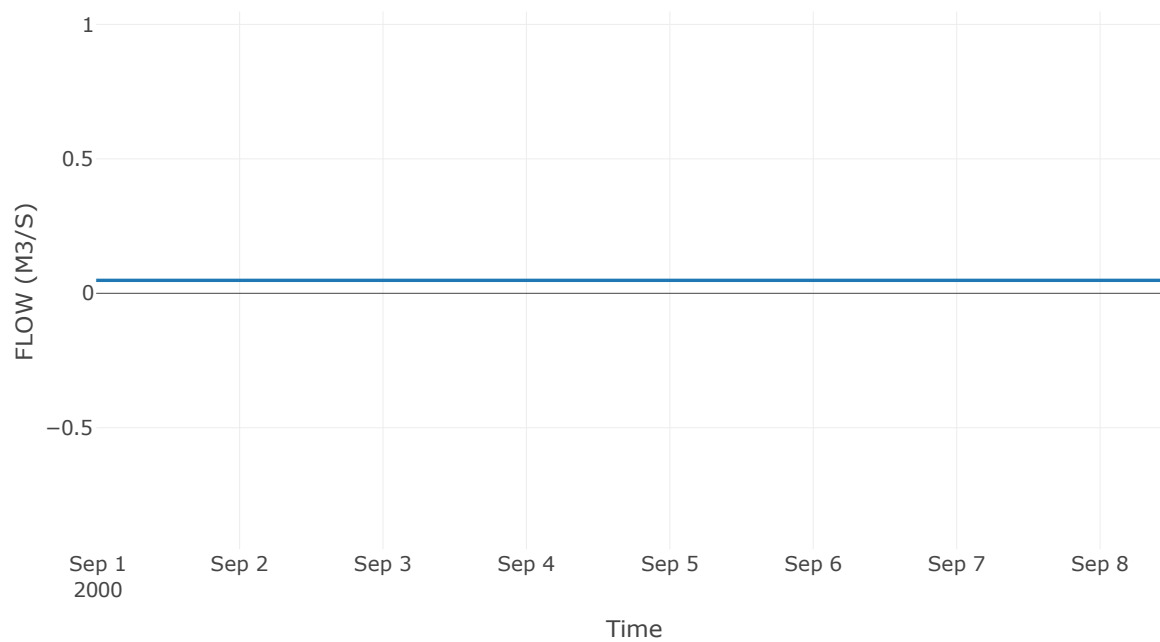
Κόμβος: J12

Κατάντη : R125

Αποτελέσματα: J12

Παροχή Αιχμής(M3/S)	0.05
Χρονική στιγμή αιχμής	31Aug2000, 24:00
Όγκος(MM)	16.2

Απορροή

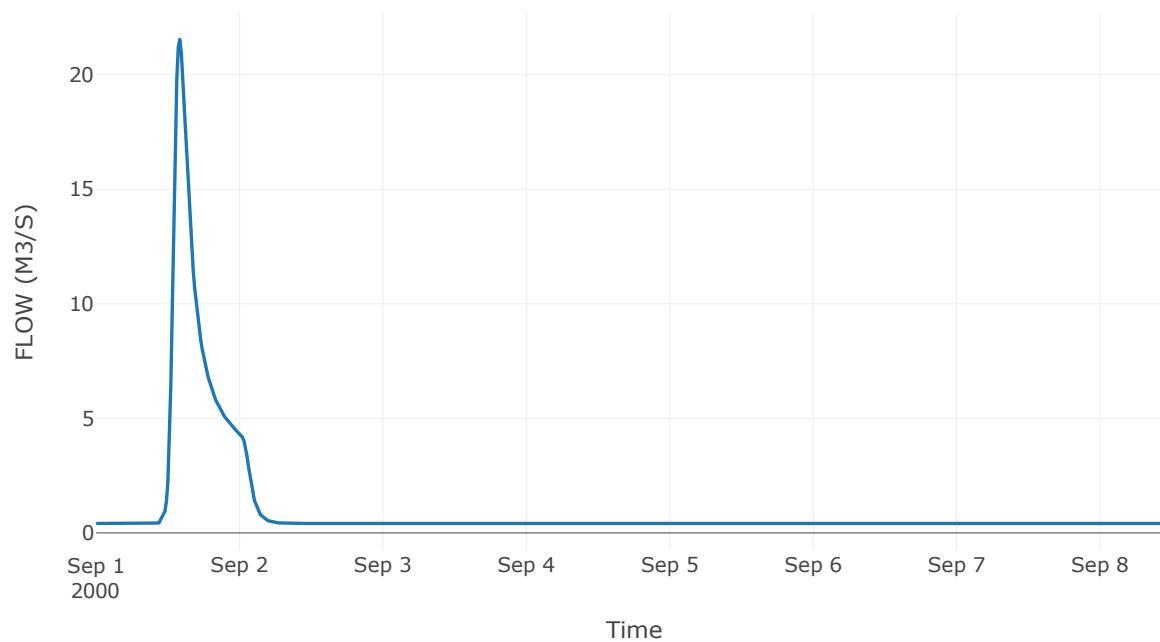


Κόμβος εξόδου: J13

Αποτελέσματ
α: J13

Παροχή αιχμής (M3/S)	21.53
Χρονική στιγμή αιχμής	01Sep2000, 14:00
Όγκος (MM)	41.46

Απορροή



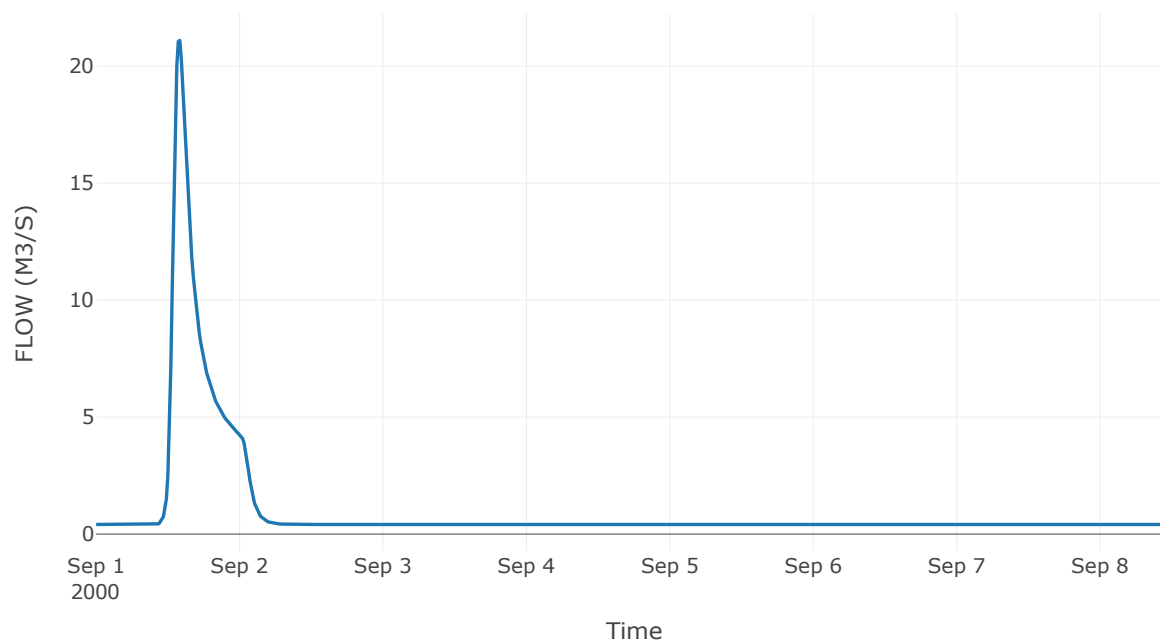
Κόμβος: J14

Κατάντη : R1413

Αποτελέσματα: J14

Παροχή Αιχμής(M3/S)	21.09
Χρονική στιγμή αιχμής	01Sep2000, 14:00
Όγκος(MM)	41.21

Απορροή



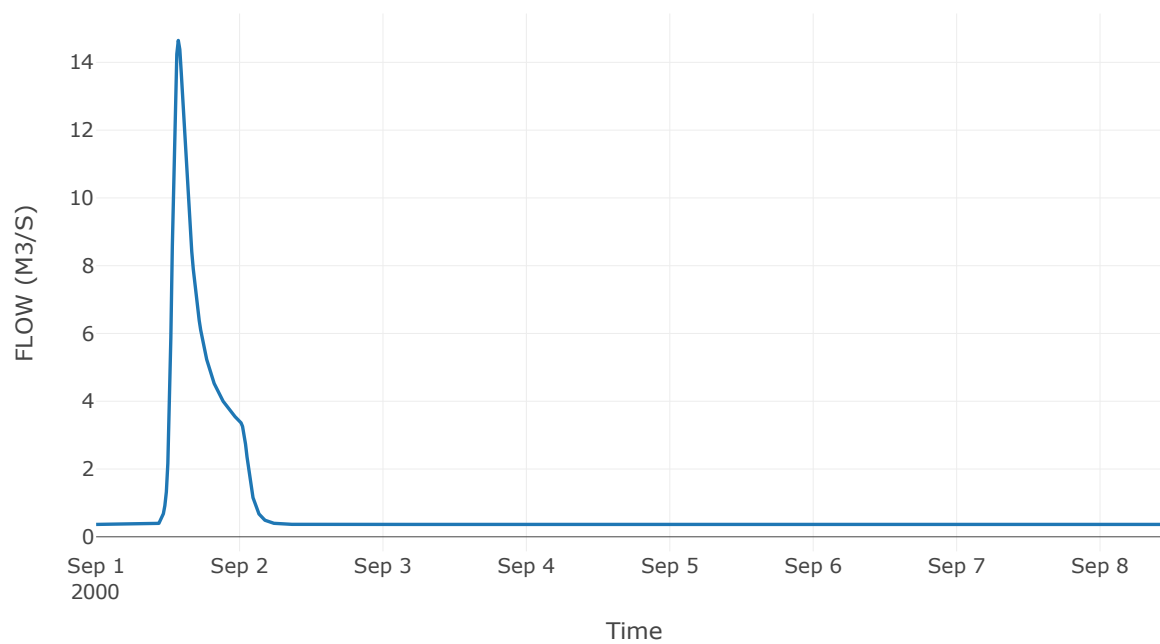
Κόμβος: J15

Κατάντη : R1514

Αποτελέσματα: J15

Παροχή Αιχμής(M3/S)	14.65
Χρονική στιγμή αιχμής	01Sep2000, 13:45
Όγκος(MM)	36.72

Απορροή



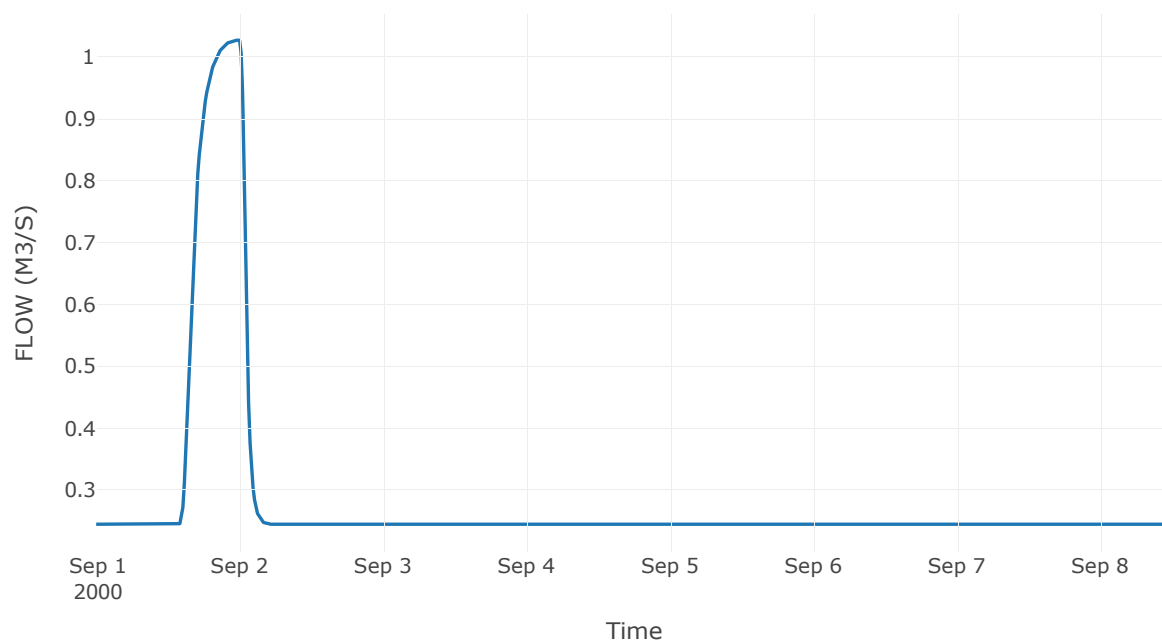
Κόμβος: J16

Κατάντη : R1615

Αποτελέσματα: J16

Παροχή Αιχμής(M3/S)	1.03
Χρονική στιγμή αιχμής	01Sep2000, 23:45
Όγκος(MM)	18.73

Απορροή



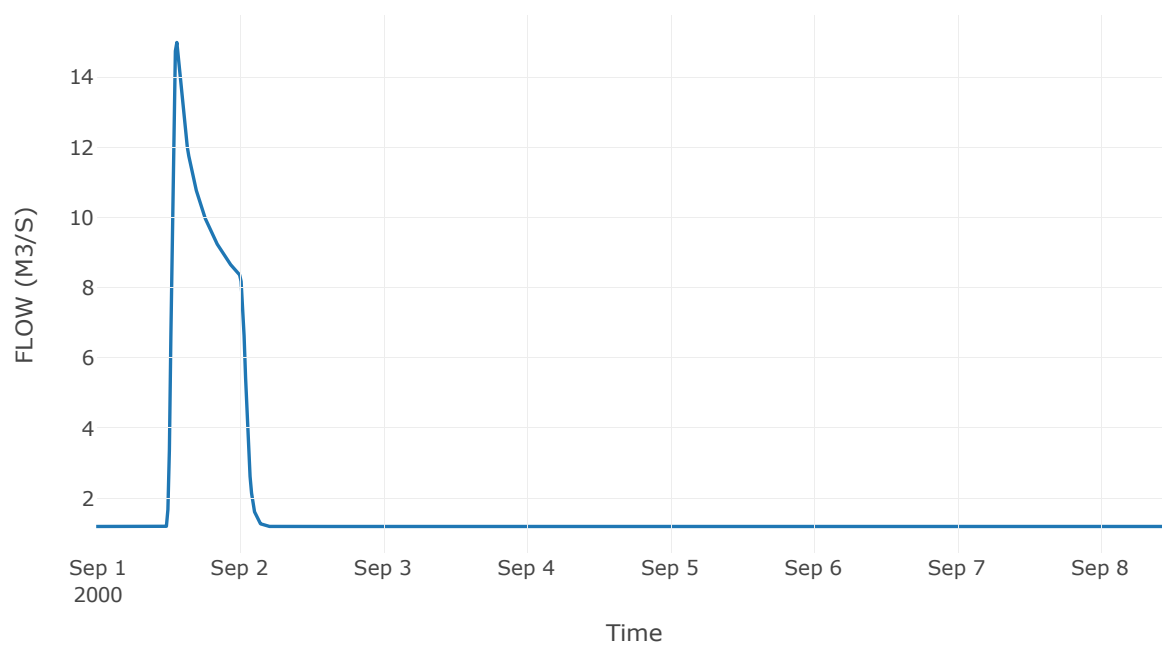
Κόμβος: J17

Κατάντη : R1720

Αποτελέσματα: J17

Παροχή Αιχμής(M3/S)	14.99
Χρονική στιγμή αιχμής	01Sep2000, 13:30
Όγκος(MM)	24.88

Απορροή



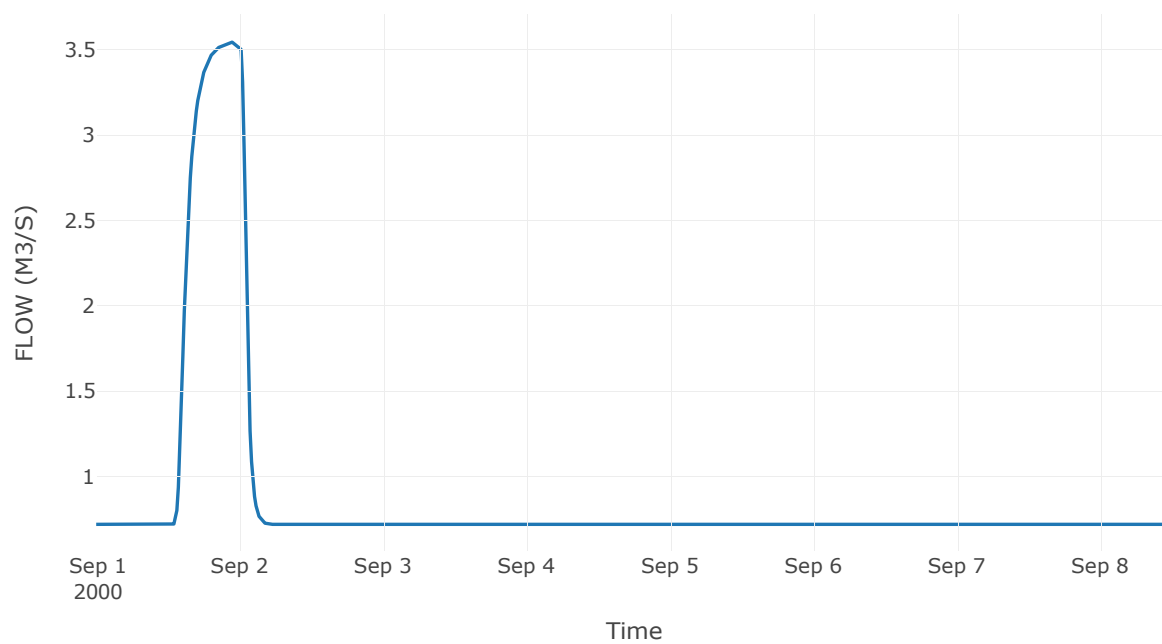
Κόμβος: J18

Κατάντη : R1817

Αποτελέσματα: J18

Παροχή Αιχμής(M3/S)	3.55
Χρονική στιγμή αιχμής	01Sep2000, 24:00
Όγκος(MM)	19.72

Απορροή



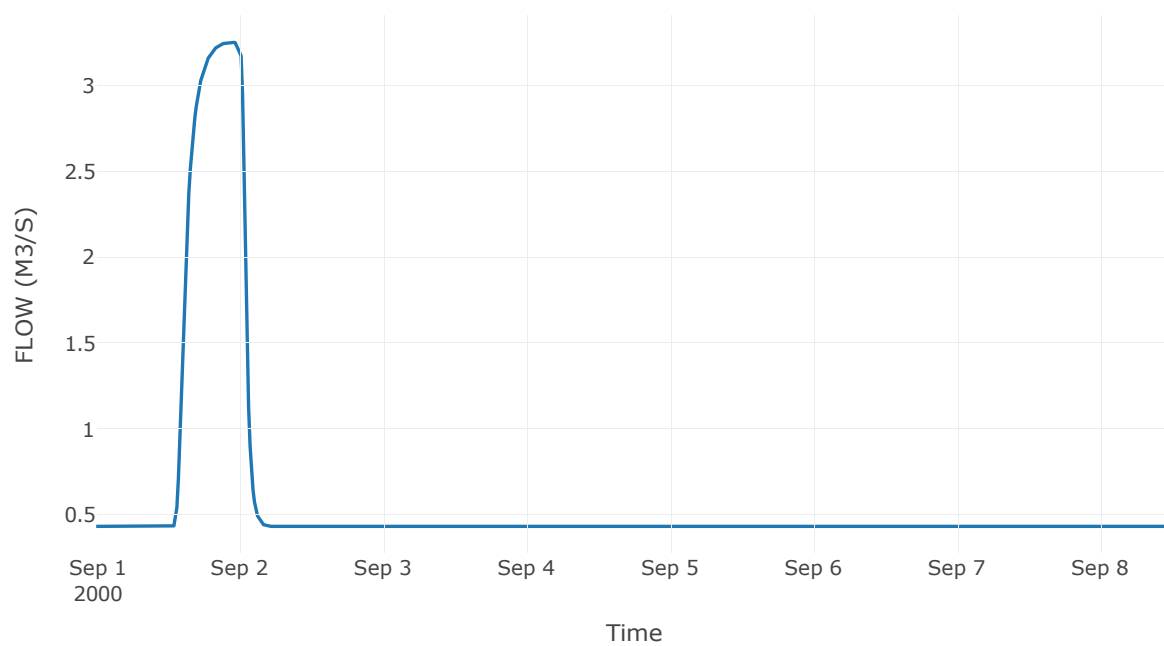
Κόμβος: J19

Κατάντη : R1918

Αποτελέσματα: J19

Παροχή Αιχμής(M3/S)	3.25
Χρονική στιγμή αιχμής	01Sep2000, 22:30
Όγκος(MM)	22.02

Απορροή



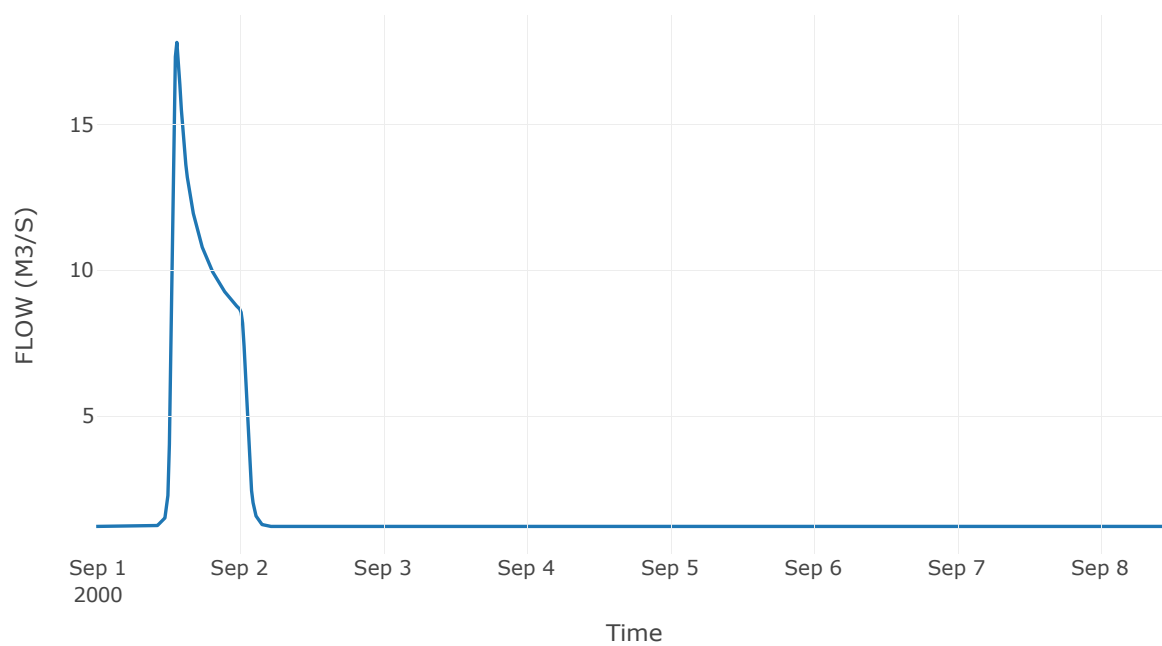
Κόμβος: J20

Κατάντη : R2010

Αποτελέσματα: J20

Παροχή Αιχμής(M3/S)	17.81
Χρονική στιγμή αιχμής	01Sep2000, 13:30
Όγκος(MM)	25.63

Απορροή



4 Δεδομένα εισόδου και αποτελέσματα υδρολογικού σεναρίου T=50U

4.1 Αποτελέσματα, υετογραφήματα και υδρογραφήματα σχεδιασμού υπολεκανών

Υπολεκάνη: EL0415FL007001

Έκταση (KM2) : 9.22

Κατάνη : J1

Μέθοδος Απωλειών: SCS

Ποσοστό αδιαπέρατης επιφάνειας	95
Αριθμός Καμπύλης Απορροής-CN	99
Αρχικές Απώλειες	0.51

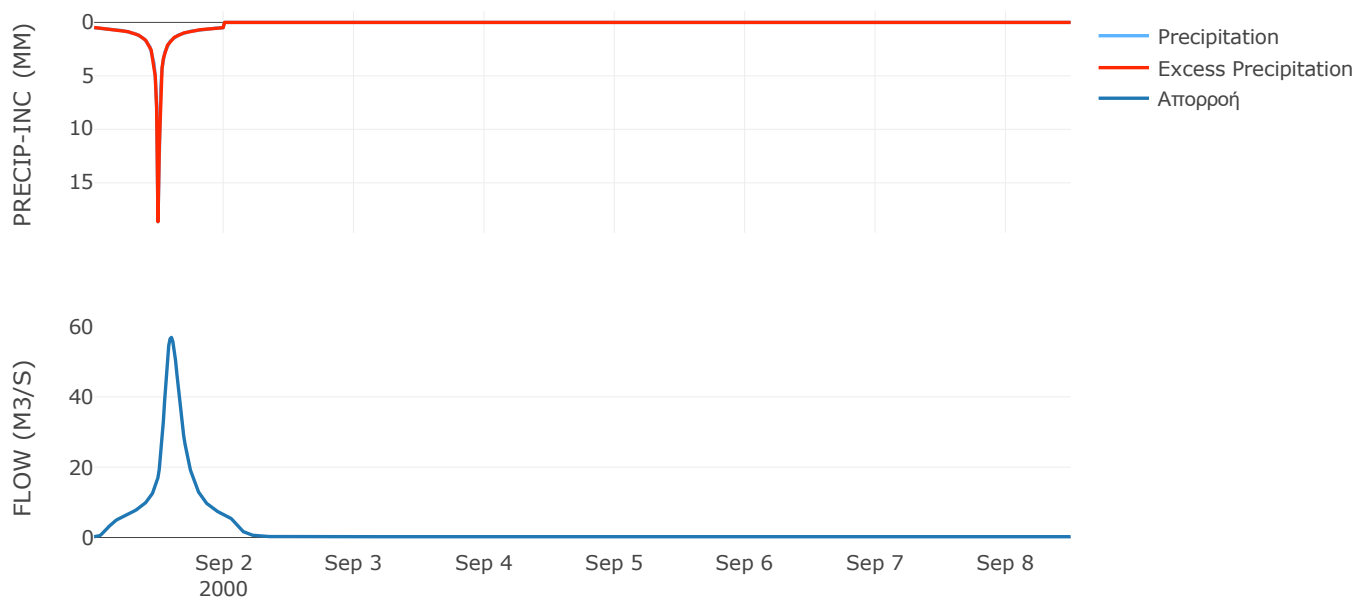
Μέθοδος
Μετασχηματισμού: SCS

Χρόνος Υστέρησης	130.09
------------------	--------

Αποτελέσματα:
EL0415FL007001

Παροχή αιχμής (M3/S)	56.91
Χρονική στιγμή αιχμής	01Sep2000, 14:15
Όγκος (MM)	163.61
Όγκος βροχόπτωσης (M3)	1.36E6
Όγκος απωλειών (M3)	1399.8
Ενεργός Όγκος (M3)	1.36E6
Όγκος άμεσης απορροής (M3)	1.36E6
Όγκος βασικής απορροής (M3)	1.49E5

Βροχόπτωση και Απορροή



Υπολεκάνη: EL0415FL007002

Έκταση (KM2) : 10.54

Κατάντη : J2

Μέθοδος Απωλειών: SCS

Ποσοστό αδιαπέρατης επιφάνειας	0
Αριθμός Καμπύλης Απορροής-CN	81.02
Αρχικές Απώλειες	11.9

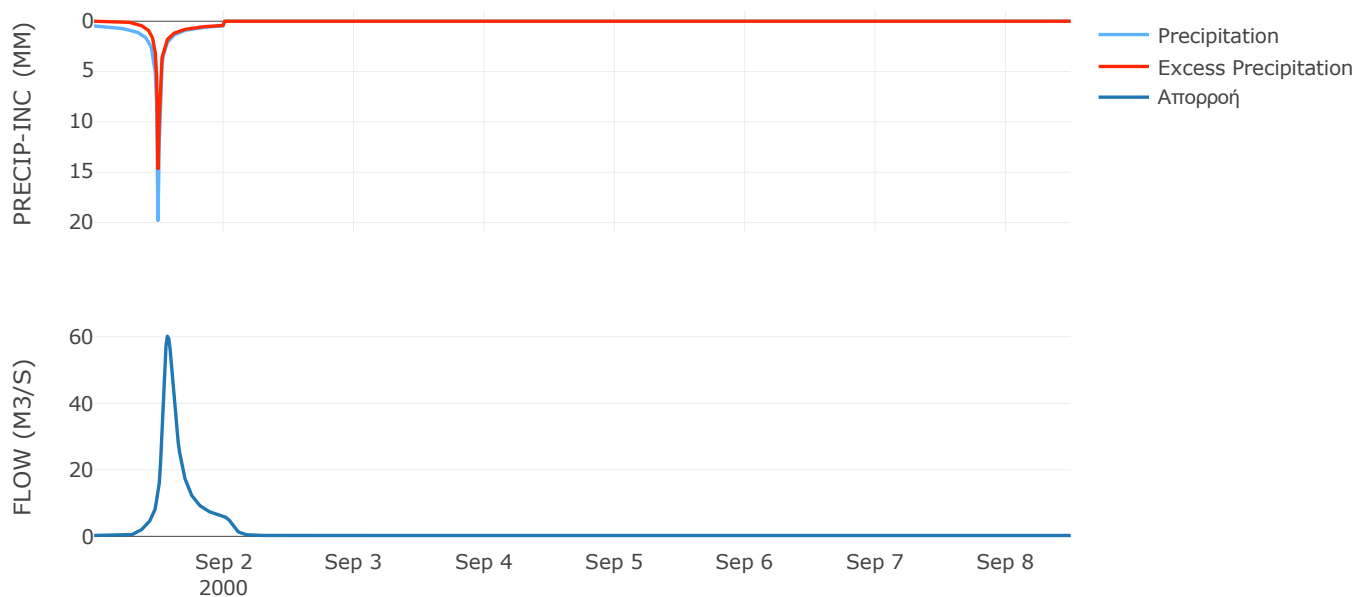
Μέθοδος
Μετασχηματισμού: SCS

Χρόνος Υστέρησης	88.81
------------------	-------

Αποτελέσματα:
EL0415FL007002

Παροχή αιχμής (M3/S)	60.18
Χρονική στιγμή αιχμής	01Sep2000, 13:30
Όγκος (MM)	109.28
Όγκος βροχόπτωσης (M3)	1.54E6
Όγκος απωλειών (M3)	5.6E5
Ενεργός Όγκος (M3)	9.81E5
Όγκος άμεσης απορροής (M3)	9.81E5
Όγκος βασικής απορροής (M3)	1.71E5

Βροχόπτωση και Απορροή



Υπολεκάνη: EL0415FL007003

Έκταση (KM2) : 7.3

Κατάντη : J3

Μέθοδος Απωλειών: SCS

Ποσοστό αδιαπέρατης επιφάνειας	0
Αριθμός Καμπύλης Απορροής-CN	78.81
Αρχικές Απώλειες	13.66

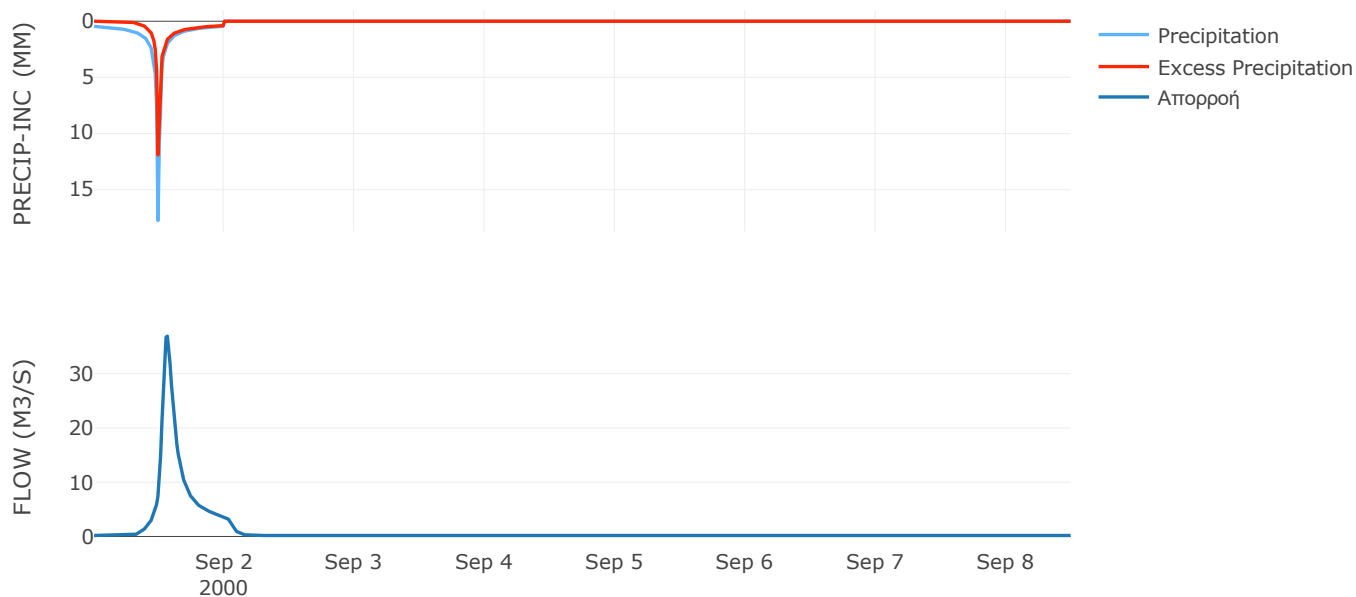
Μέθοδος
Μετασχηματισμού: SCS

Χρόνος Υστέρησης	78.01
------------------	-------

Αποτελέσματα:
EL0415FL007003

Παροχή αιχμής (M3/S)	36.92
Χρονική στιγμή αιχμής	01Sep2000, 13:30
Όγκος (MM)	95.13
Όγκος βροχόπτωσης (M3)	9.96E5
Όγκος απωλειών (M3)	4.2E5
Ενεργός Όγκος (M3)	5.76E5
Όγκος άμεσης απορροής (M3)	5.76E5
Όγκος βασικής απορροής (M3)	1.18E5

Βροχόπτωση και Απορροή



Υπολεκάνη: EL0415FL007004

Έκταση (KM2) : 9.79

Κατάντη : J16

Μέθοδος Απωλειών: SCS

Ποσοστό αδιαπέρατης επιφάνειας	0
Αριθμός Καμπύλης Απορροής-CN	70.25
Αρχικές Απώλειες	21.52

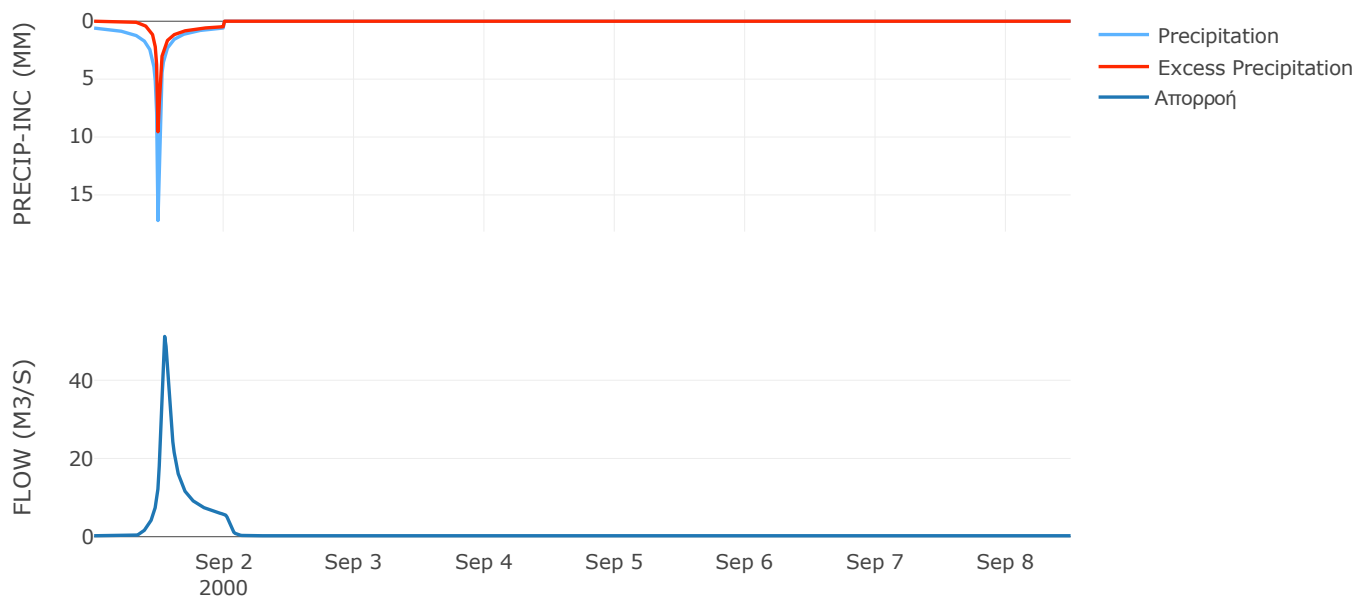
Μέθοδος
Μετασχηματισμού: SCS

Χρόνος Υστέρησης	53.88
------------------	-------

Αποτελέσματα:
EL0415FL007004

Παροχή αιχμής (M3/S)	51.2
Χρονική στιγμή αιχμής	01Sep2000, 13:00
Όγκος (MM)	92.27
Όγκος βροχόπτωσης (M3)	1.54E6
Όγκος απωλειών (M3)	7.99E5
Ενεργός Όγκος (M3)	7.44E5
Όγκος άμεσης απορροής (M3)	7.44E5
Όγκος βασικής απορροής (M3)	1.59E5

Βροχόπτωση και Απορροή



Υπολεκάνη: EL0415FL007005

Έκταση (KM2) : 17.4

Κατάντη : J19

Μέθοδος Απωλειών: SCS

Ποσοστό αδιαπέρατης επιφάνειας	0
Αριθμός Καμπύλης Απορροής-CN	72.41
Αρχικές Απώλειες	19.36

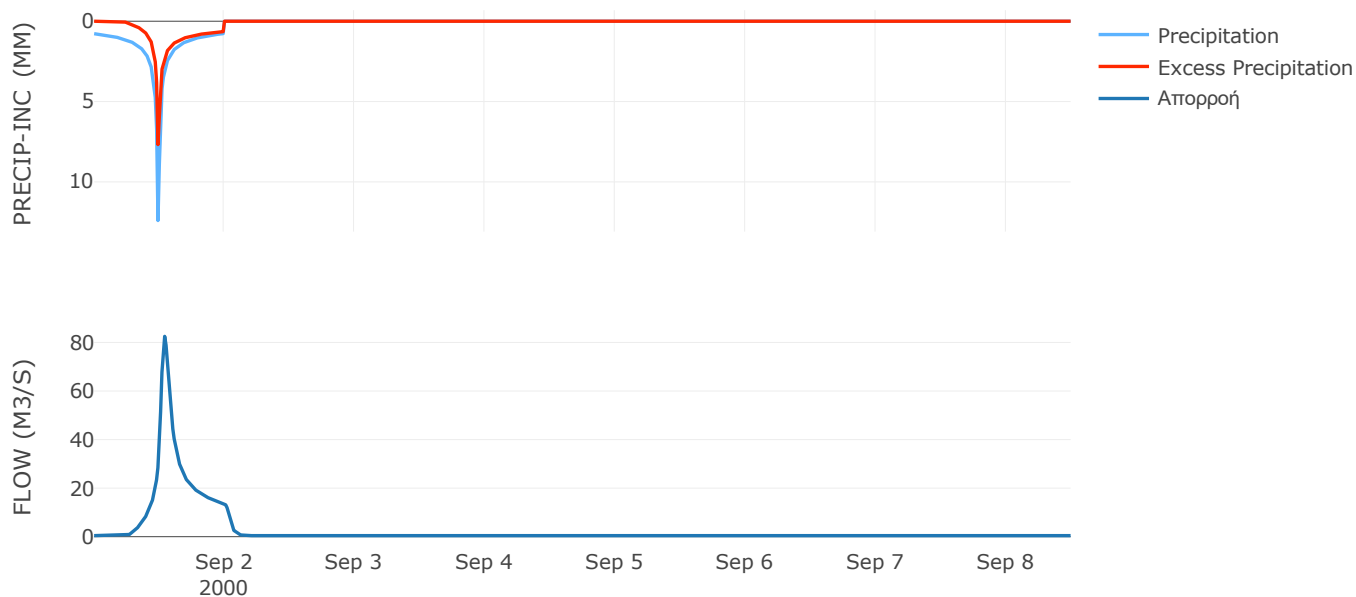
Μέθοδος
Μετασχηματισμού: SCS

Χρόνος Υστέρησης	53.72
------------------	-------

Αποτελέσματα:
EL0415FL007005

Παροχή αιχμής (M3/S)	82.52
Χρονική στιγμή αιχμής	01Sep2000, 13:00
Όγκος (MM)	103.32
Όγκος βροχόπτωσης (M3)	2.86E6
Όγκος απωλειών (M3)	1.35E6
Ενεργός Όγκος (M3)	1.52E6
Όγκος άμεσης απορροής (M3)	1.52E6
Όγκος βασικής απορροής (M3)	2.82E5

Βροχόπτωση και Απορροή



Υπολεκάνη: EL0415FL007006

Έκταση (KM2) : 2.23

Κατάντη : J18

Μέθοδος Απωλειών: SCS

Ποσοστό αδιαπέρατης επιφάνειας	0
Αριθμός Καμπύλης Απορροής-CN	64.4
Αρχικές Απώλειες	28.09

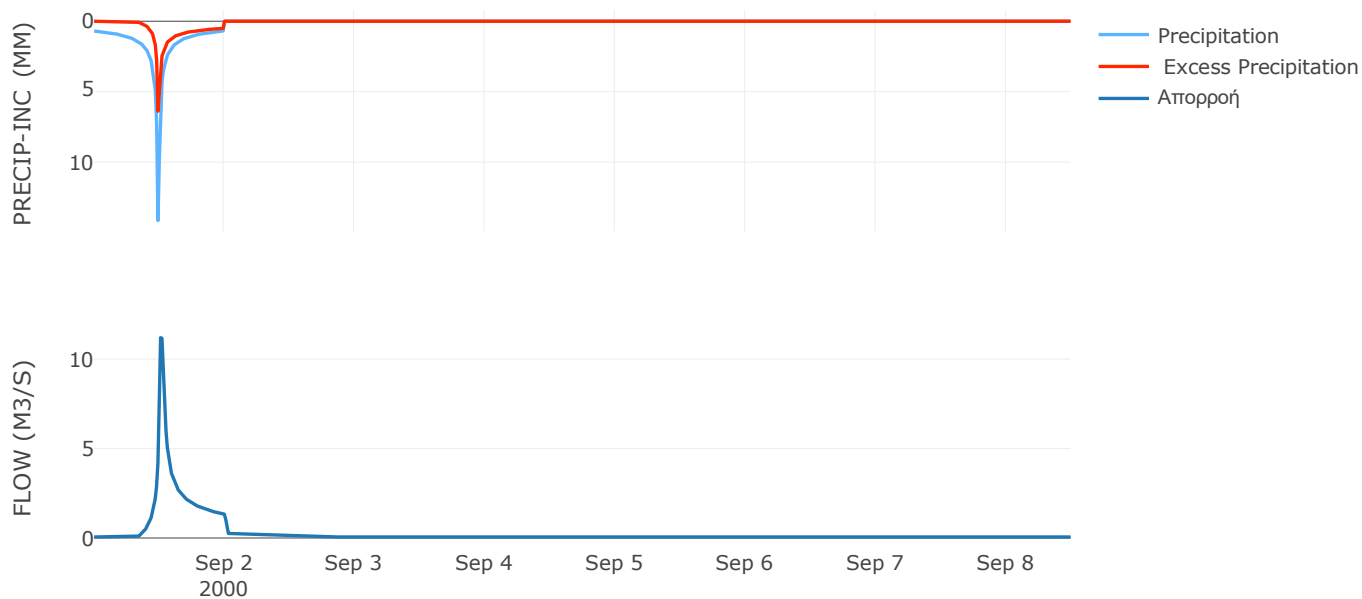
Μέθοδος
Μετασχηματισμού: SCS

Χρόνος Υστέρησης	20.55
------------------	-------

Αποτελέσματα:
EL0415FL007006

Παροχή αιχμής (M3/S)	11.2
Χρονική στιγμή αιχμής	01Sep2000, 12:15
Όγκος (MM)	80.69
Όγκος βροχόπτωσης (M3)	3.59E5
Όγκος απωλειών (M3)	2.15E5
Ενεργός Όγκος (M3)	1.44E5
Όγκος άμεσης απορροής (M3)	1.44E5
Όγκος βασικής απορροής (M3)	36174.6

Βροχόπτωση και Απορροή



Υπολεκάνη: EL0415FL007007

Έκταση (KM2) : 9.16

Κατάντη : J18

Μέθοδος Απωλειών: SCS

Ποσοστό αδιαπέρατης επιφάνειας	0
Αριθμός Καμπύλης Απορροής-CN	62.53
Αρχικές Απώλειες	30.44

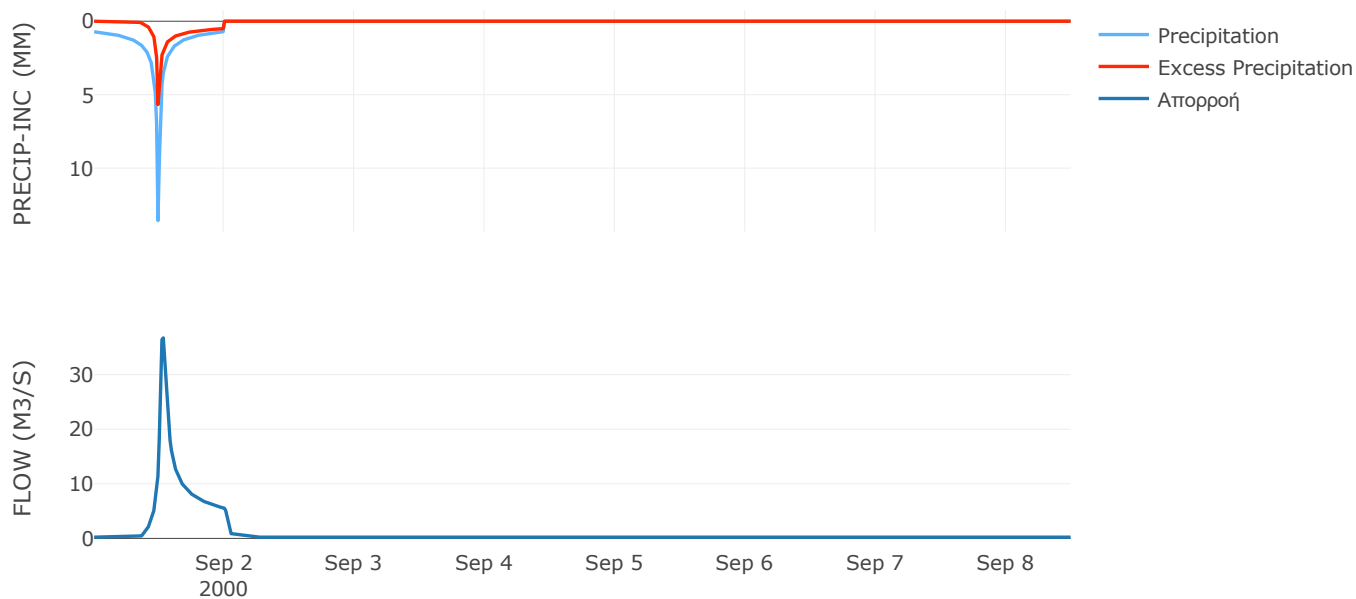
Μέθοδος
Μετασχηματισμού: SCS

Χρόνος Υστέρησης	33.45
------------------	-------

Αποτελέσματα:
EL0415FL007007

Παροχή αιχμής (M3/S)	36.74
Χρονική στιγμή αιχμής	01Sep2000, 12:45
Όγκος (MM)	76.94
Όγκος βροχόπτωσης (M3)	1.48E6
Όγκος απωλειών (M3)	9.25E5
Ενεργός Όγκος (M3)	5.57E5
Όγκος άμεσης απορροής (M3)	5.57E5
Όγκος βασικής απορροής (M3)	1.48E5

Βροχόπτωση και Απορροή



Υπολεκάνη: EL0415FL007008

Έκταση (KM2) : 7.8

Κατάνη : J17

Μέθοδος Απωλειών: SCS

Ποσοστό αδιαπέρατης επιφάνειας	0
Αριθμός Καμπύλης Απορροής-CN	71.34
Αρχικές Απώλειες	20.41

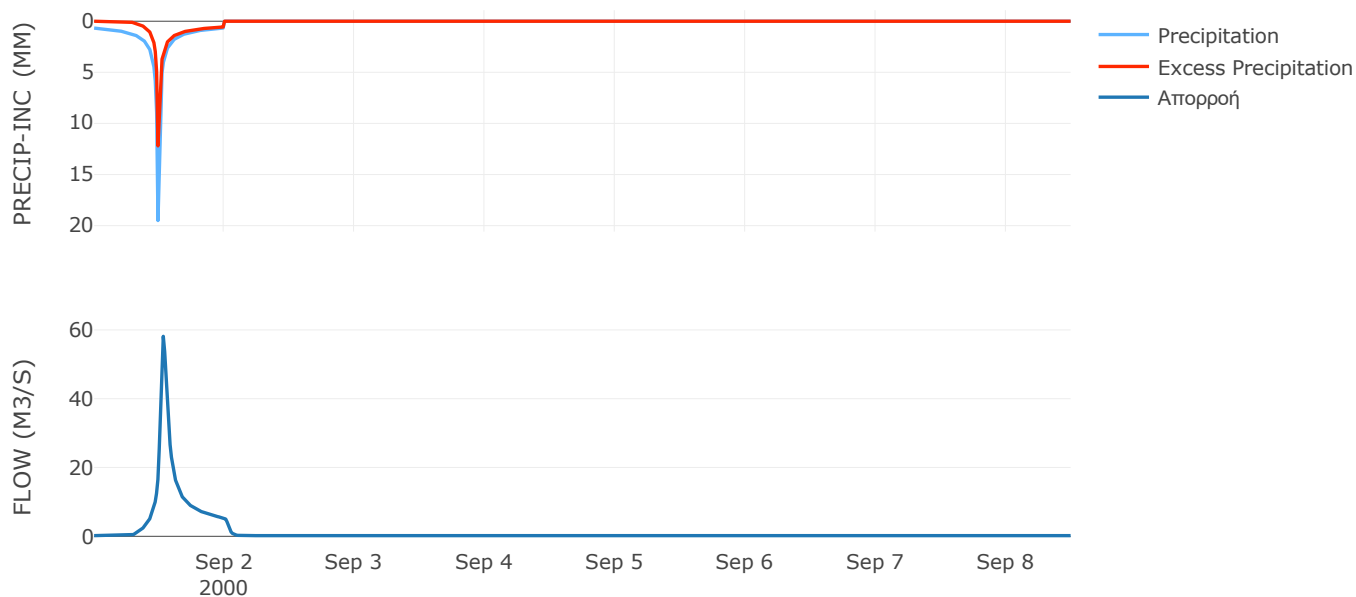
Μέθοδος
Μετασχηματισμού: SCS

Χρόνος Υστέρησης	41.3
------------------	------

Αποτελέσματα:
EL0415FL007008

Παροχή αιχμής (M3/S)	58.13
Χρονική στιγμή αιχμής	01Sep2000, 12:45
Όγκος (MM)	112.41
Όγκος βροχόπτωσης (M3)	1.39E6
Όγκος απωλειών (M3)	6.43E5
Ενεργός Όγκος (M3)	7.51E5
Όγκος άμεσης απορροής (M3)	7.51E5
Όγκος βασικής απορροής (M3)	1.26E5

Βροχόπτωση και Απορροή



Υπολεκάνη: EL0415FL007009

Έκταση (KM2) : 11.83

Κατάνη : J17

Μέθοδος Απωλειών: SCS

Ποσοστό αδιαπέρατης επιφάνειας	0
Αριθμός Καμπύλης Απορροής-CN	81.08
Αρχικές Απώλειες	11.85

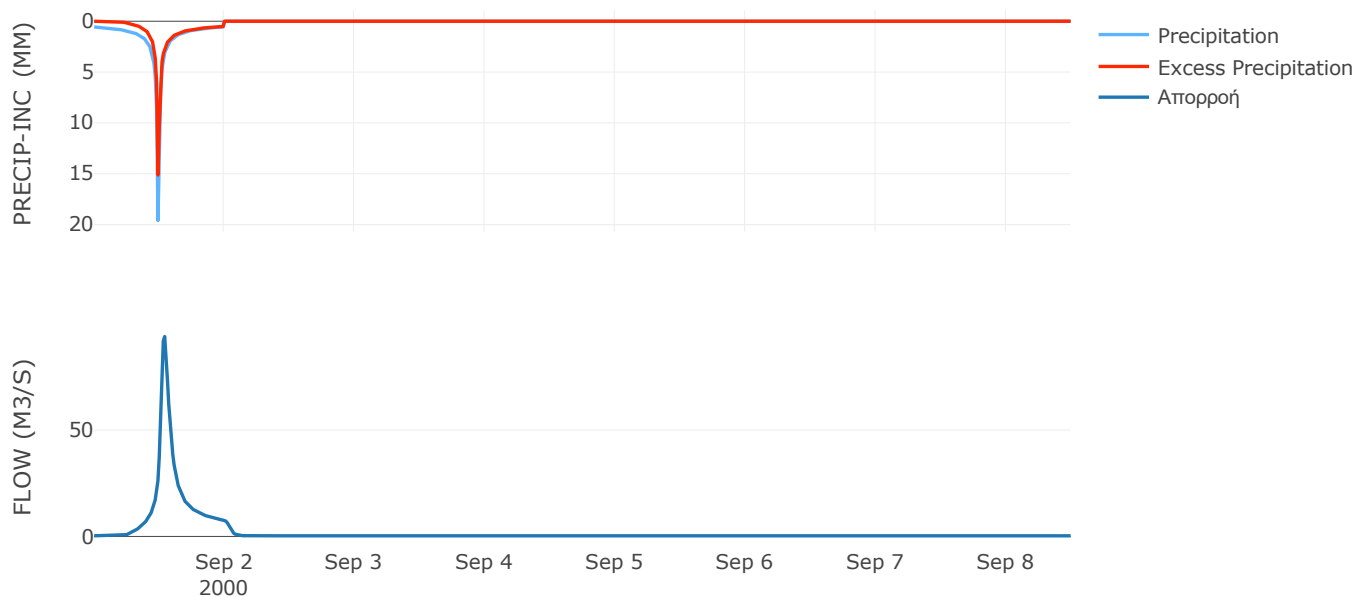
Μέθοδος
Μετασχηματισμού: SCS

Χρόνος Υστέρησης	53.34
------------------	-------

Αποτελέσματα:
EL0415FL007009

Παροχή αιχμής (M3/S)	93.91
Χρονική στιγμή αιχμής	01Sep2000, 13:00
Όγκος (MM)	123.55
Όγκος βροχόπτωσης (M3)	1.91E6
Όγκος απωλειών (M3)	6.43E5
Ενεργός Όγκος (M3)	1.27E6
Όγκος άμεσης απορροής (M3)	1.27E6
Όγκος βασικής απορροής (M3)	1.92E5

Βροχόπτωση και Απορροή



Υπολεκάνη: EL0415FL007010

Έκταση (KM2) : 1.62

Κατάντη : J10

Μέθοδος Απωλειών: SCS

Ποσοστό αδιαπέρατης επιφάνειας	0
Αριθμός Καμπύλης Απορροής-CN	89.72
Αρχικές Απώλειες	5.82

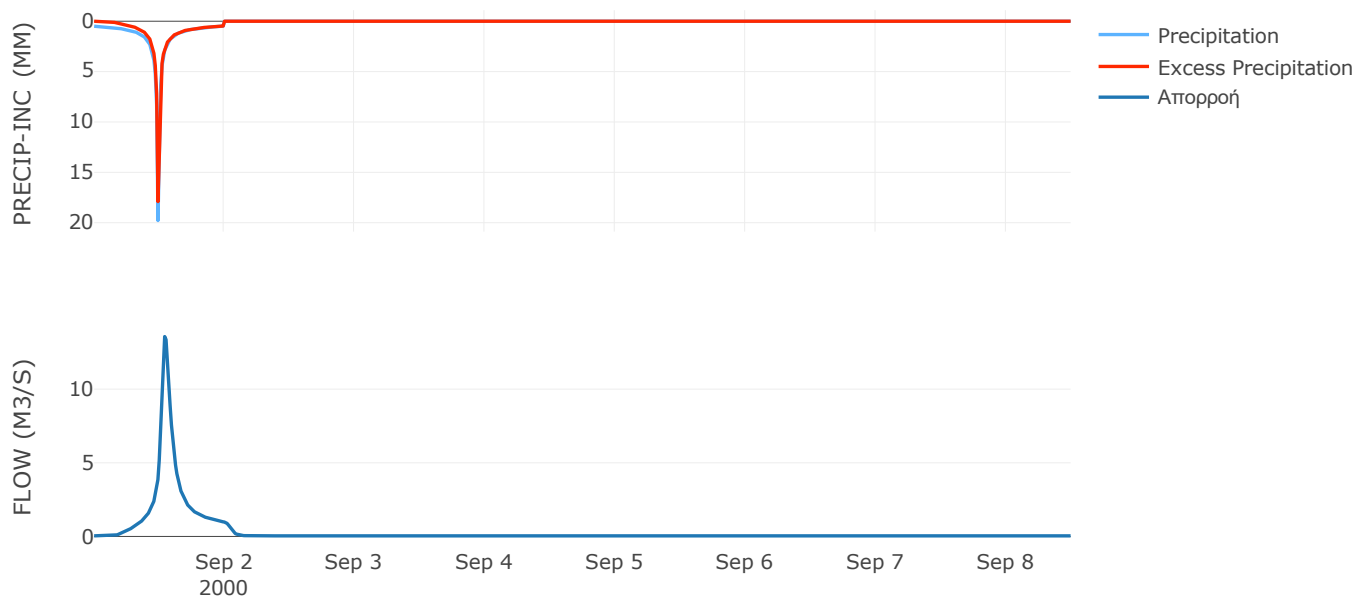
Μέθοδος
Μετασχηματισμού: SCS

Χρόνος Υστέρησης	64.18
------------------	-------

Αποτελέσματα:
EL0415FL007010

Παροχή αιχμής (M3/S)	13.57
Χρονική στιγμή αιχμής	01Sep2000, 13:00
Όγκος (MM)	136.9
Όγκος βροχόπτωσης (M3)	2.44E5
Όγκος απωλειών (M3)	48623.37
Ενεργός Όγκος (M3)	1.95E5
Όγκος άμεσης απορροής (M3)	1.95E5
Όγκος βασικής απορροής (M3)	26211.6

Βροχόπτωση και Απορροή



Υπολεκάνη: EL0415FL007011

Έκταση (KM2) : 3.11

Κατάνη : J11

Μέθοδος Απωλειών: SCS

Ποσοστό αδιαπέρατης επιφάνειας	0
Αριθμός Καμπύλης Απορροής-CN	83.21
Αρχικές Απώλειες	10.25

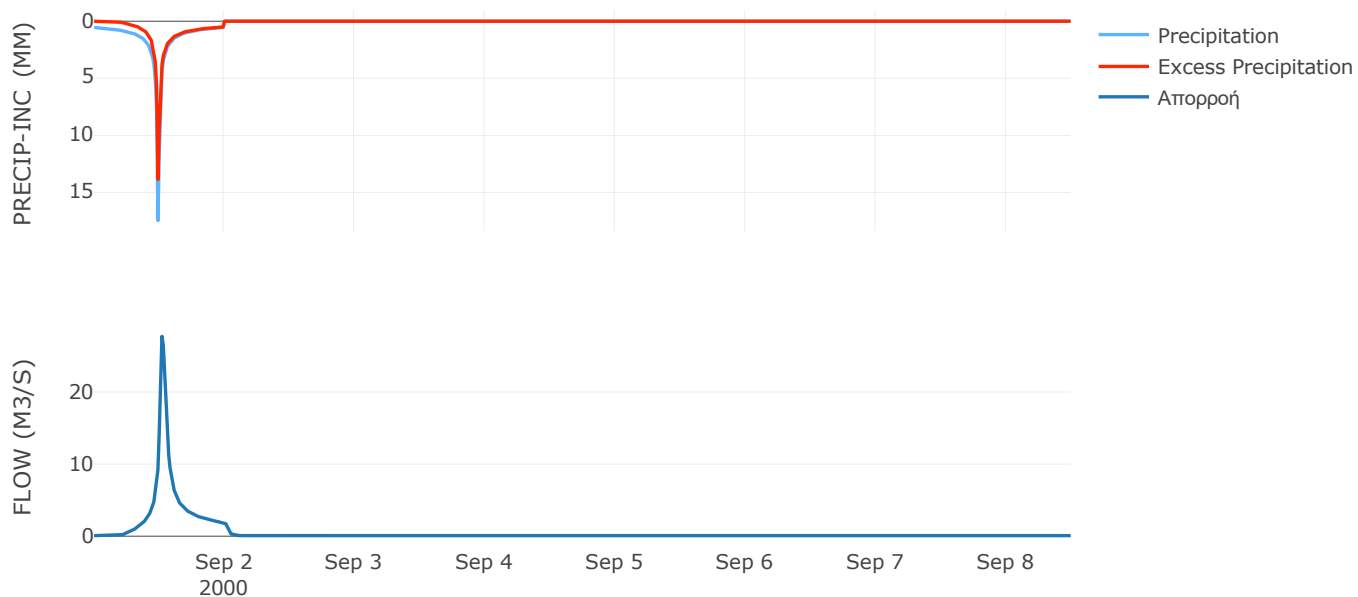
Μέθοδος
Μετασχηματισμού: SCS

Χρόνος Υστέρησης	33.88
------------------	-------

Αποτελέσματα:
EL0415FL007011

Παροχή αιχμής (M3/S)	27.71
Χρονική στιγμή αιχμής	01Sep2000, 12:30
Όγκος (MM)	119.48
Όγκος βροχόπτωσης (M3)	4.69E5
Όγκος απωλειών (M3)	1.49E5
Ενεργός Όγκος (M3)	3.21E5
Όγκος άμεσης απορροής (M3)	3.21E5
Όγκος βασικής απορροής (M3)	50333.4

Βροχόπτωση και Απορροή



Υπολεκάνη: EL0415FL007012

Έκταση (KM2) : 4.8

Κατάντη : J10

Μέθοδος Απωλειών: SCS

Ποσοστό αδιαπέρατης επιφάνειας	0
Αριθμός Καμπύλης Απορροής-CN	86.98
Αρχικές Απώλειες	7.61

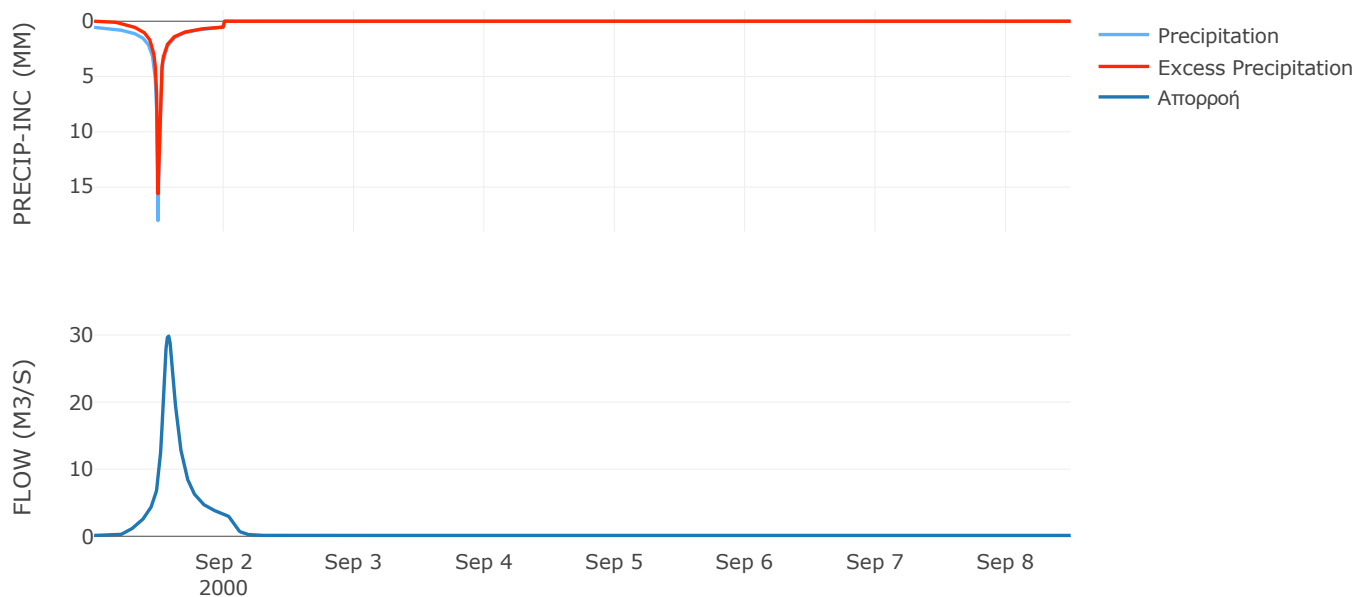
Μέθοδος
Μετασχηματισμού: SCS

Χρόνος Υστέρησης	95.9
------------------	------

Αποτελέσματα:
EL0415FL007012

Παροχή αιχμής (M3/S)	29.82
Χρονική στιγμή αιχμής	01Sep2000, 13:45
Όγκος (MM)	132.48
Όγκος βροχόπτωσης (M3)	7.4E5
Όγκος απωλειών (M3)	1.81E5
Ενεργός Όγκος (M3)	5.58E5
Όγκος άμεσης απορροής (M3)	5.58E5
Όγκος βασικής απορροής (M3)	77760

Βροχόπτωση και Απορροή



Υπολεκάνη: EL0415FL007013

Έκταση (KM2) : 1.31

Κατάνη : J15

Μέθοδος Απωλειών: SCS

Ποσοστό αδιαπέρατης επιφάνειας	0
Αριθμός Καμπύλης Απορροής-CN	89.75
Αρχικές Απώλειες	5.8

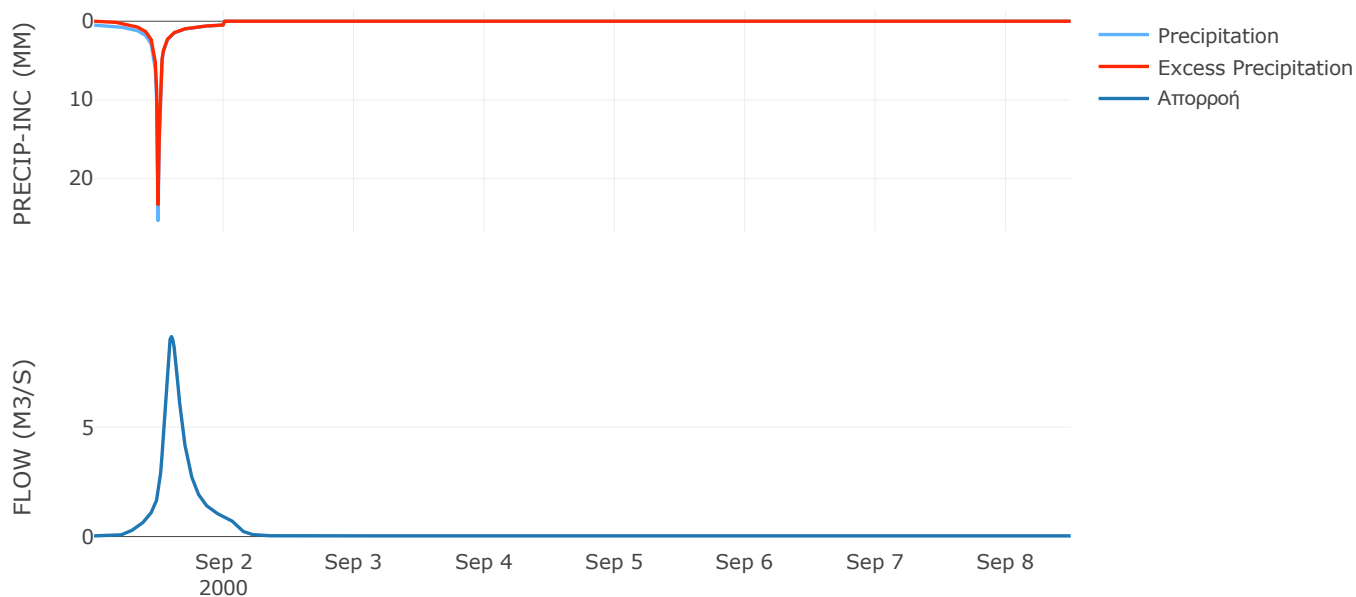
Μέθοδος
Μετασχηματισμού: SCS

Χρόνος Υστέρησης	130.32
------------------	--------

Αποτελέσματα:
EL0415FL007013

Παροχή αιχμής (M3/S)	9.14
Χρονική στιγμή αιχμής	01Sep2000, 14:15
Όγκος (MM)	154.33
Όγκος βροχόπτωσης (M3)	2.21E5
Όγκος απωλειών (M3)	39990.06
Ενεργός Όγκος (M3)	1.81E5
Όγκος άμεσης απορροής (M3)	1.81E5
Όγκος βασικής απορροής (M3)	21286.8

Βροχόπτωση και Απορροή



Υπολεκάνη: EL0415FL007014

Έκταση (KM2) : 3.5

Κατάνη : J15

Μέθοδος Απωλειών: SCS

Ποσοστό αδιαπέρατης επιφάνειας	0
Αριθμός Καμπύλης Απορροής-CN	88.2
Αρχικές Απώλειες	6.8

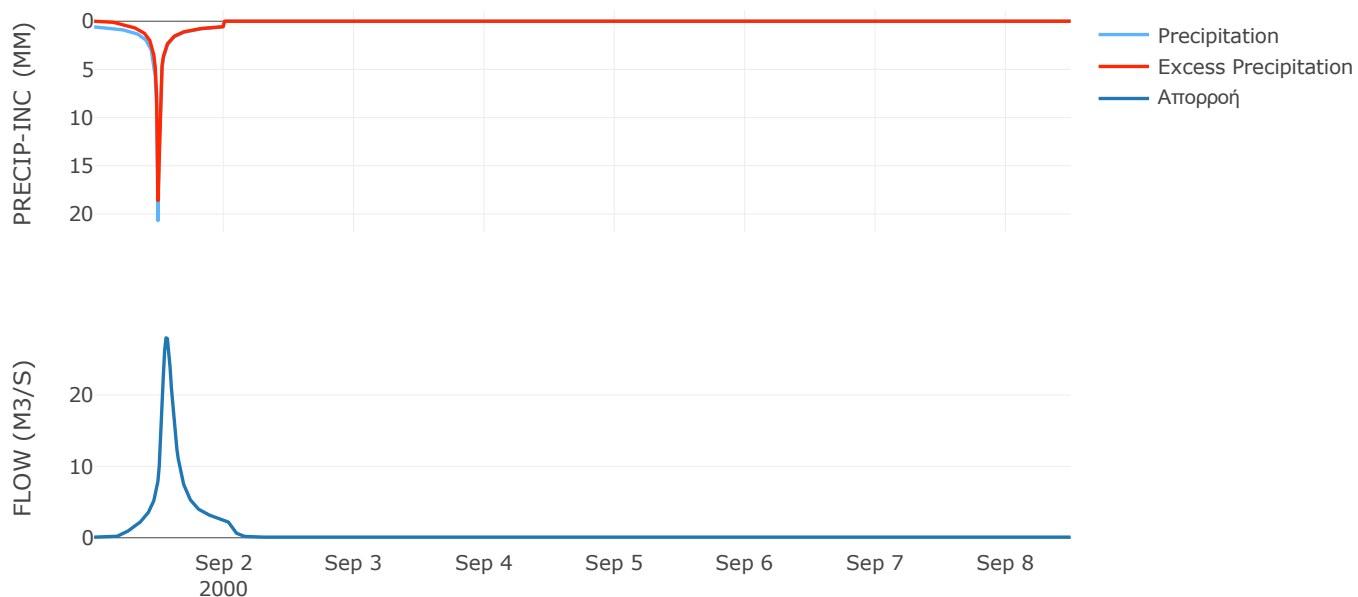
Μέθοδος
Μετασχηματισμού: SCS

Χρόνος Υστέρησης	79.86
------------------	-------

Αποτελέσματα:
EL0415FL007014

Παροχή αιχμής (M3/S)	28.01
Χρονική στιγμή αιχμής	01Sep2000, 13:15
Όγκος (MM)	150.5
Όγκος βροχόπτωσης (M3)	5.93E5
Όγκος απωλειών (M3)	1.22E5
Ενεργός Όγκος (M3)	4.7E5
Όγκος άμεσης απορροής (M3)	4.7E5
Όγκος βασικής απορροής (M3)	56748.6

Βροχόπτωση και Απορροή



Υπολεκάνη: EL0415FL007015

Έκταση (KM2) : 0.6

Κατάντη : J20

Μέθοδος Απωλειών: SCS

Ποσοστό αδιαπέρατης επιφάνειας	0
Αριθμός Καμπύλης Απορροής-CN	90.73
Αρχικές Απώλειες	5.19

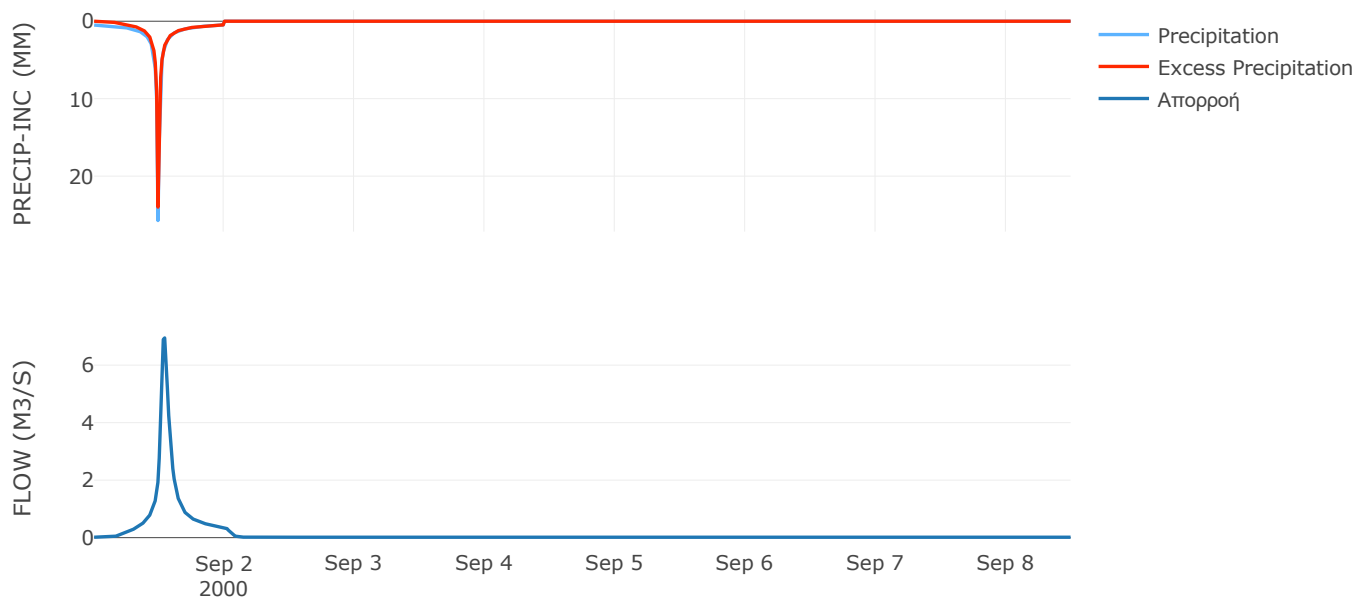
Μέθοδος
Μετασχηματισμού: SCS

Χρόνος Υστέρησης	53.69
------------------	-------

Αποτελέσματα:
EL0415FL007015

Παροχή αιχμής (M3/S)	6.95
Χρονική στιγμή αιχμής	01Sep2000, 13:00
Όγκος (MM)	158.03
Όγκος βροχόπτωσης (M3)	1.01E5
Όγκος απωλειών (M3)	16529.46
Ενεργός Όγκος (M3)	84957.18
Όγκος άμεσης απορροής (M3)	84957.18
Όγκος βασικής απορροής (M3)	9703.8

Βροχόπτωση και Απορροή



Υπολεκάνη: EL0415FL007016

Έκταση (KM2) : 0.07

Κατάντη : J14

Μέθοδος Απωλειών: SCS

Ποσοστό αδιαπέρατης επιφάνειας	0
Αριθμός Καμπύλης Απορροής-CN	89.08
Αρχικές Απώλειες	6.23

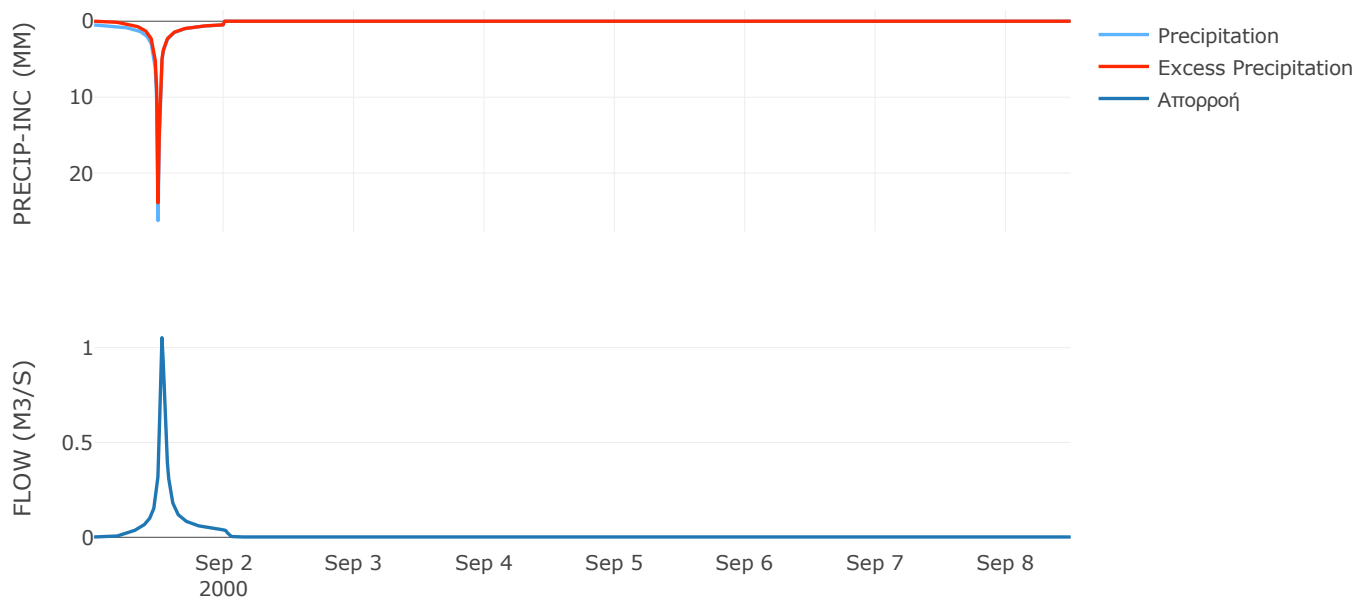
Μέθοδος
Μετασχηματισμού: SCS

Χρόνος Υστέρησης	30.69
------------------	-------

Αποτελέσματα:
EL0415FL007016

Παροχή αιχμής (M3/S)	1.05
Χρονική στιγμή αιχμής	01Sep2000, 12:30
Όγκος (MM)	154.22
Όγκος βροχόπτωσης (M3)	11930.35
Όγκος απωλειών (M3)	2268.88
Ενεργός Όγκος (M3)	9661.47
Όγκος άμεσης απορροής (M3)	9661.47
Όγκος βασικής απορροής (M3)	1134

Βροχόπτωση και Απορροή



Υπολεκάνη: EL0415FL007017

Έκταση (KM2) : 0.12

Κατάντη : J13

Μέθοδος Απωλειών: SCS

Ποσοστό αδιαπέρατης επιφάνειας	0
Αριθμός Καμπύλης Απορροής-CN	88.8
Αρχικές Απώλειες	6.41

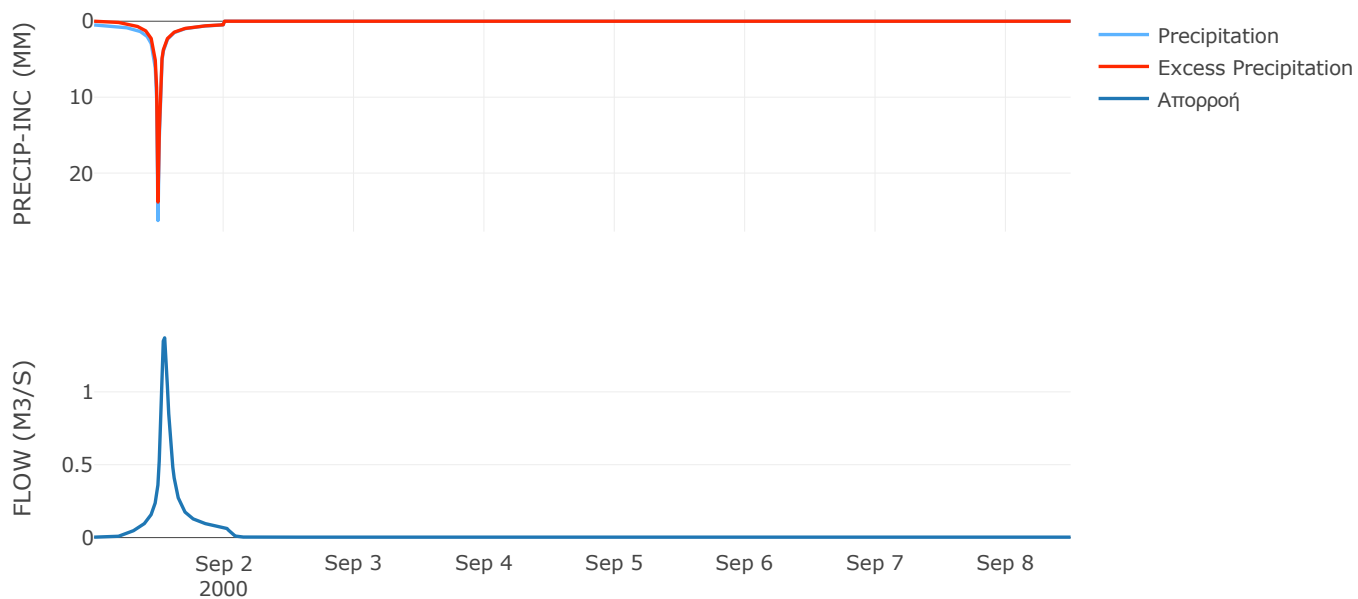
Μέθοδος
Μετασχηματισμού: SCS

Χρόνος Υστέρησης	54.33
------------------	-------

Αποτελέσματα:
EL0415FL007017

Παροχή αιχμής (M3/S)	1.37
Χρονική στιγμή αιχμής	01Sep2000, 13:00
Όγκος (MM)	153.43
Όγκος βροχόπτωσης (M3)	20452.03
Όγκος απωλειών (M3)	3984.08
Ενεργός Όγκος (M3)	16467.95
Όγκος άμεσης απορροής (M3)	16467.95
Όγκος βασικής απορροής (M3)	1944

Βροχόπτωση και Απορροή



Υπολεκάνη: EL0415FL007018

Έκταση (KM2) : 6.09

Κατάντη : J7

Μέθοδος Απωλειών: SCS

Ποσοστό αδιαπέρατης επιφάνειας	0
Αριθμός Καμπύλης Απορροής-CN	81.8
Αρχικές Απώλειες	11.3

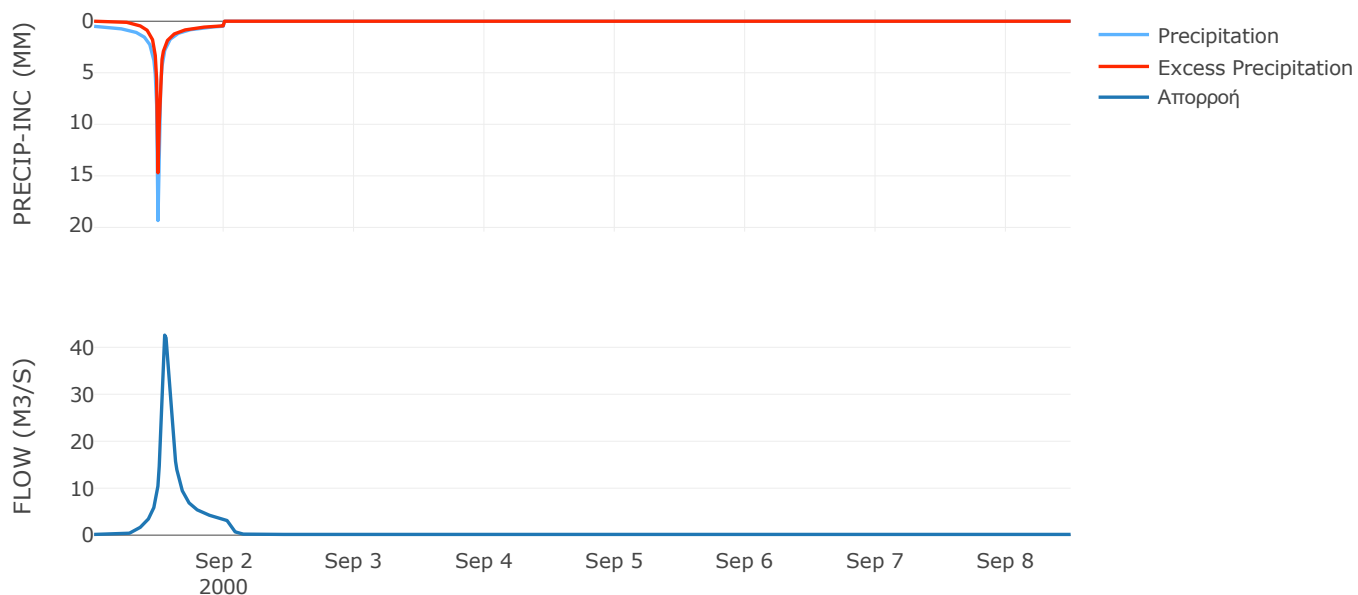
Μέθοδος
Μετασχηματισμού: SCS

Χρόνος Υστέρησης	62.49
------------------	-------

Αποτελέσματα:
EL0415FL007018

Παροχή αιχμής (M3/S)	42.6
Χρονική στιγμή αιχμής	01Sep2000, 13:00
Όγκος (MM)	113.53
Όγκος βροχόπτωσης (M3)	9.06E5
Όγκος απωλειών (M3)	3.13E5
Ενεργός Όγκος (M3)	5.93E5
Όγκος άμεσης απορροής (M3)	5.93E5
Όγκος βασικής απορροής (M3)	98677.44

Βροχόπτωση και Απορροή



Υπολεκάνη: EL0415FL007020

Έκταση (KM2) : 6.38

Κατάντη : J6

Μέθοδος Απωλειών: SCS

Ποσοστό αδιαπέρατης επιφάνειας	0
Αριθμός Καμπύλης Απορροής-CN	74.42
Αρχικές Απώλειες	17.47

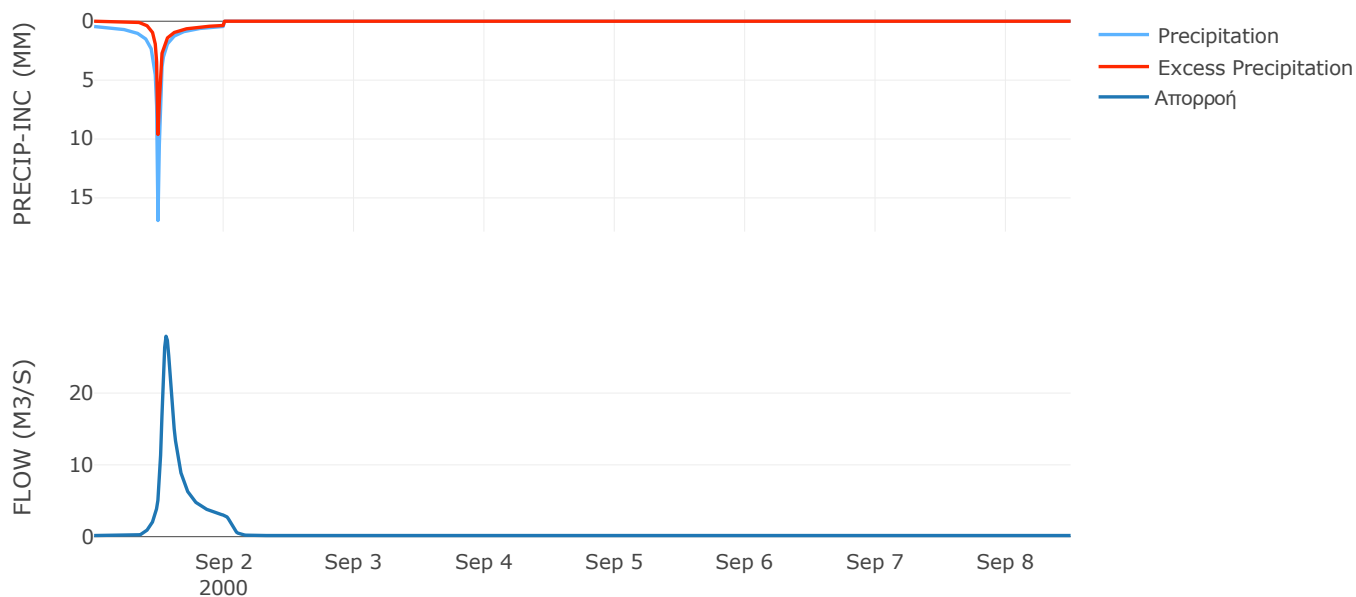
Μέθοδος
Μετασχηματισμού: SCS

Χρόνος Υστέρησης	70.74
------------------	-------

Αποτελέσματα:
EL0415FL007020

Παροχή αιχμής (M3/S)	27.92
Χρονική στιγμή αιχμής	01Sep2000, 13:15
Όγκος (MM)	82.11
Όγκος βροχόπτωσης (M3)	8.49E5
Όγκος απωλειών (M3)	4.29E5
Ενεργός Όγκος (M3)	4.2E5
Όγκος άμεσης απορροής (M3)	4.2E5
Όγκος βασικής απορροής (M3)	1.03E5

Βροχόπτωση και Απορροή



Υπολεκάνη: EL0415FL007021

Έκταση (KM2) : 6.96

Κατάντη : J9

Μέθοδος Απωλειών: SCS

Ποσοστό αδιαπέρατης επιφάνειας	0
Αριθμός Καμπύλης Απορροής-CN	80.92
Αρχικές Απώλειες	11.98

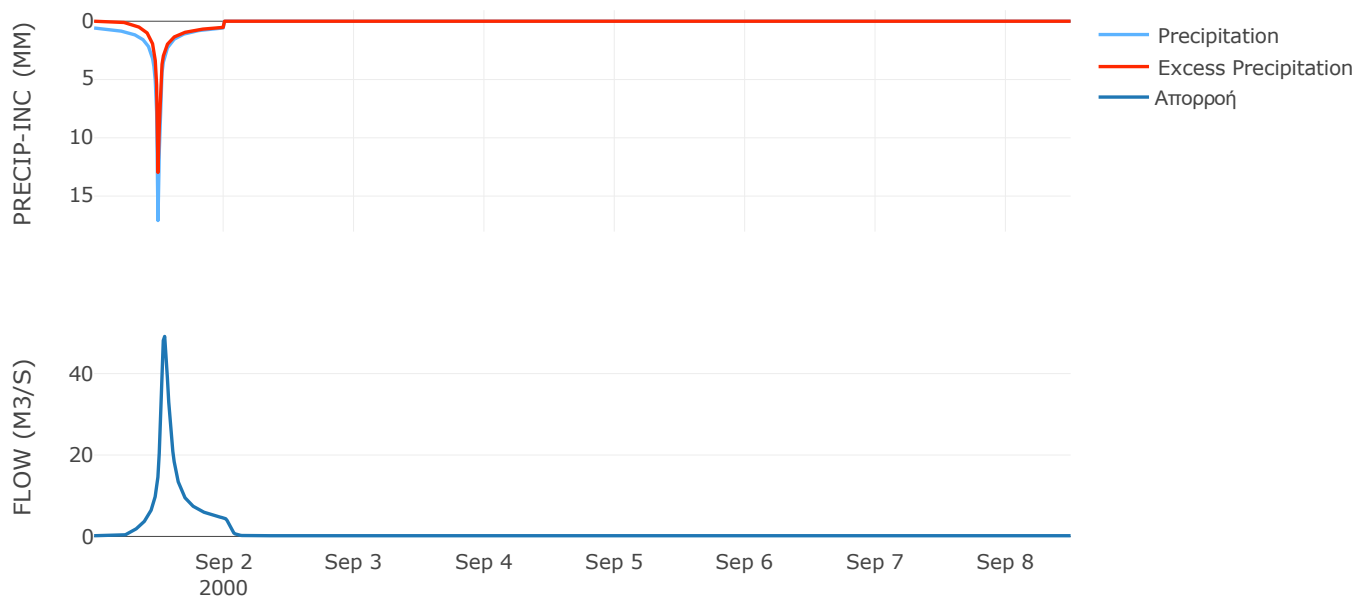
Μέθοδος
Μετασχηματισμού: SCS

Χρόνος Υστέρησης	52.8
------------------	------

Αποτελέσματα:
EL0415FL007021

Παροχή αιχμής (M3/S)	49.13
Χρονική στιγμή αιχμής	01Sep2000, 13:00
Όγκος (MM)	117.45
Όγκος βροχόπτωσης (M3)	1.08E6
Όγκος απωλειών (M3)	3.78E5
Ενεργός Όγκος (M3)	7.05E5
Όγκος άμεσης απορροής (M3)	7.05E5
Όγκος βασικής απορροής (M3)	1.13E5

Βροχόπτωση και Απορροή



Υπολεκάνη: EL0415FL007022

Έκταση (KM2) : 4.73

Κατάντη : J8

Μέθοδος Απωλειών: SCS

Ποσοστό αδιαπέρατης επιφάνειας	0
Αριθμός Καμπύλης Απορροής-CN	83.69
Αρχικές Απώλειες	9.9

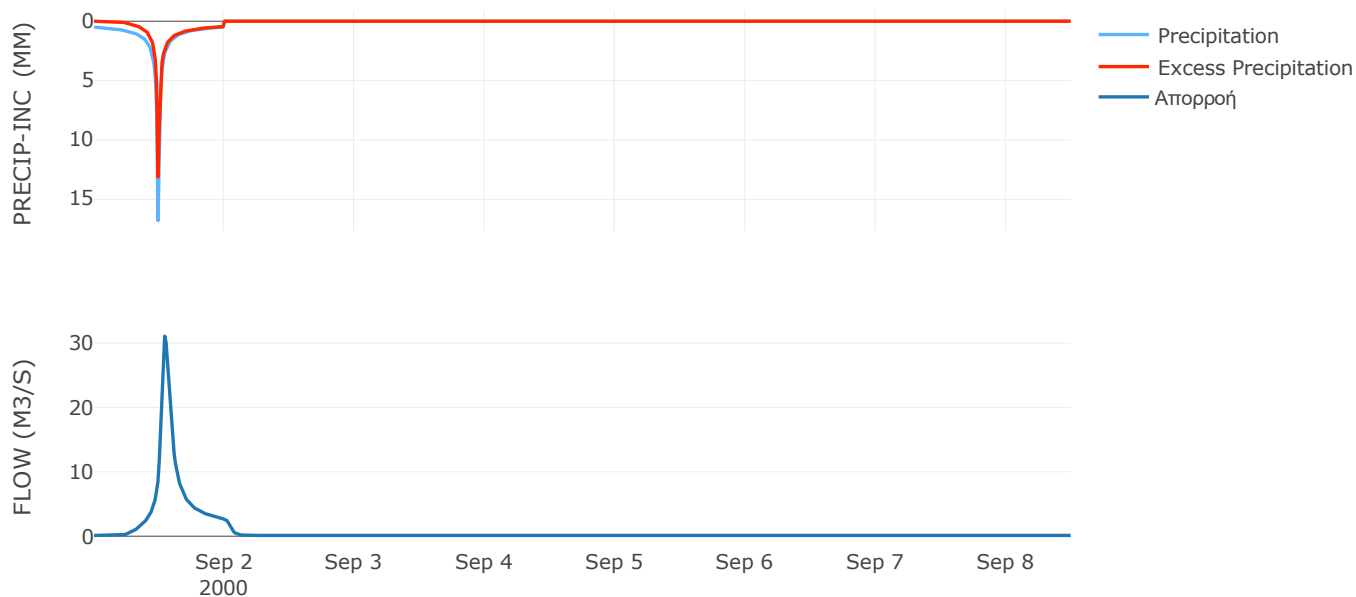
Μέθοδος
Μετασχηματισμού: SCS

Χρόνος Υστέρησης	60.07
------------------	-------

Αποτελέσματα:
EL0415FL007022

Παροχή αιχμής (M3/S)	31.08
Χρονική στιγμή αιχμής	01Sep2000, 13:00
Όγκος (MM)	110.21
Όγκος βροχόπτωσης (M3)	6.61E5
Όγκος απωλειών (M3)	2.16E5
Ενεργός Όγκος (M3)	4.45E5
Όγκος άμεσης απορροής (M3)	4.45E5
Όγκος βασικής απορροής (M3)	76613.04

Βροχόπτωση και Απορροή



Υπολεκάνη: EL0415FL007023

Έκταση (KM2) : 1.36

Κατάντη : J3

Μέθοδος Απωλειών: SCS

Ποσοστό αδιαπέρατης επιφάνειας	0
Αριθμός Καμπύλης Απορροής-CN	90.06
Αρχικές Απώλειες	5.61

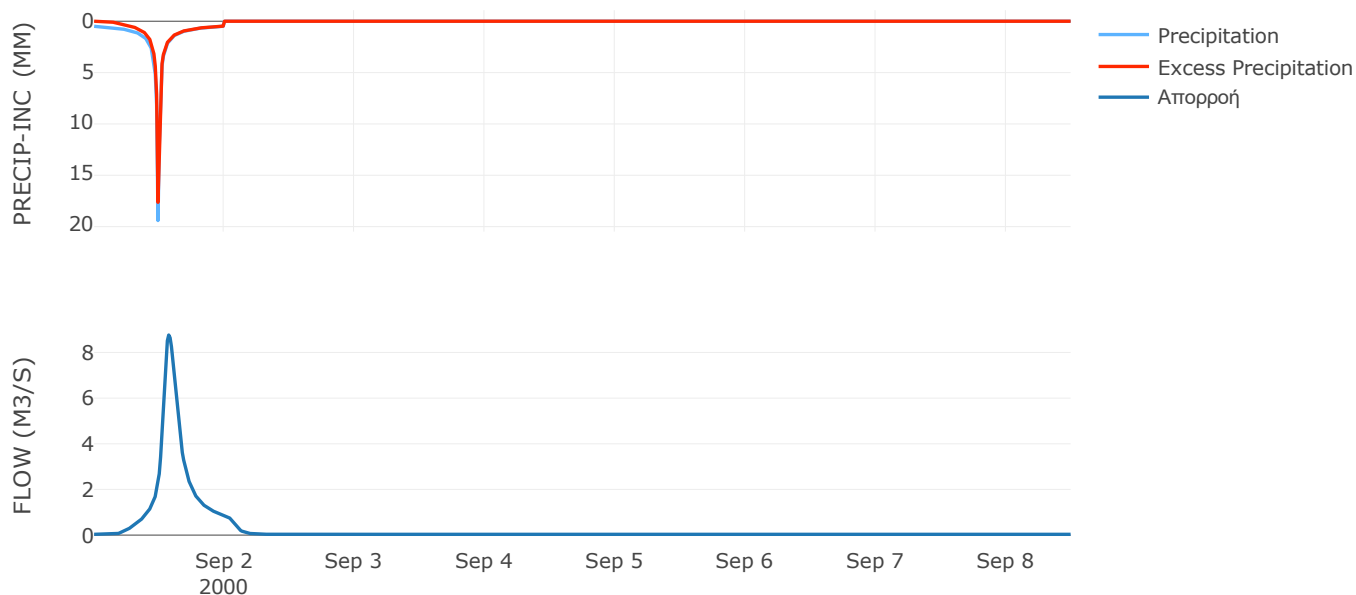
Μέθοδος
Μετασχηματισμού: SCS

Χρόνος Υστέρησης	104.49
------------------	--------

Αποτελέσματα:
EL0415FL007023

Παροχή αιχμής (M3/S)	8.76
Χρονική στιγμή αιχμής	01Sep2000, 13:45
Όγκος (MM)	136.27
Όγκος βροχόπτωσης (M3)	2.03E5
Όγκος απωλειών (M3)	39634.16
Ενεργός Όγκος (M3)	1.64E5
Όγκος άμεσης απορροής (M3)	1.64E5
Όγκος βασικής απορροής (M3)	22096.8

Βροχόπτωση και Απορροή



Υπολεκάνη: EL0415FL007024

Έκταση (KM2) : 0.88

Κατάντη : J7

Μέθοδος Απωλειών: SCS

Ποσοστό αδιαπέρατης επιφάνειας	0
Αριθμός Καμπύλης Απορροής-CN	89.56
Αρχικές Απώλειες	5.92

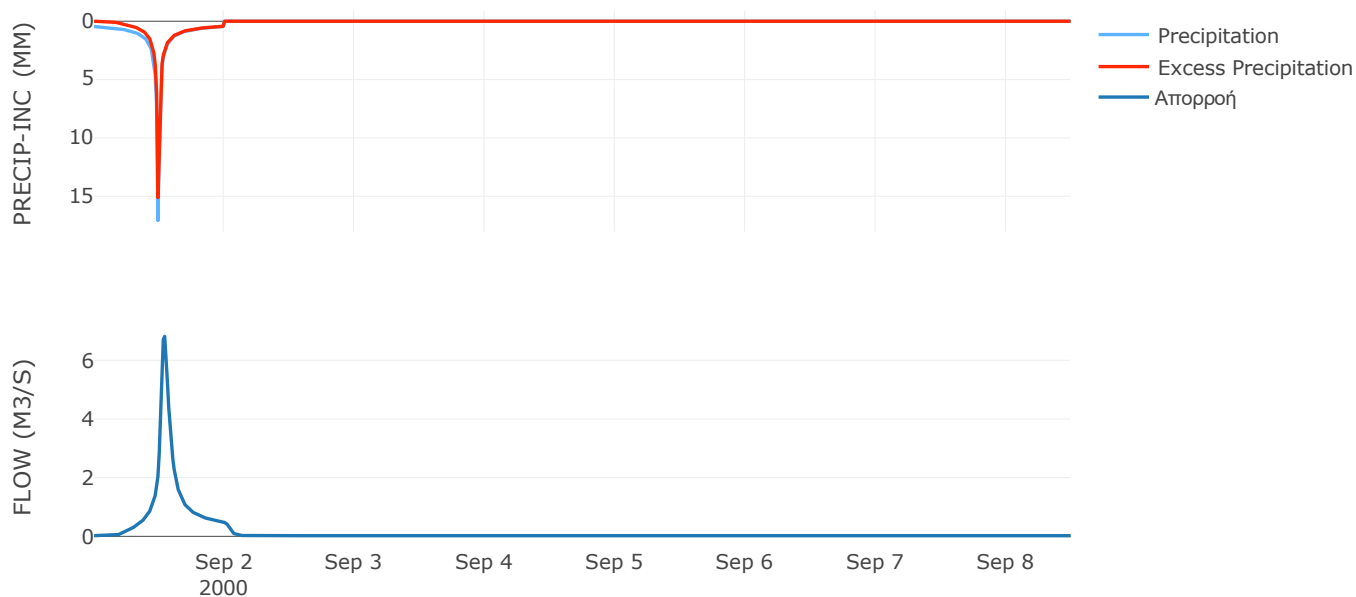
Μέθοδος
Μετασχηματισμού: SCS

Χρόνος Υστέρησης	53.81
------------------	-------

Αποτελέσματα:
EL0415FL007024

Παροχή αιχμής (M3/S)	6.82
Χρονική στιγμή αιχμής	01Sep2000, 13:00
Όγκος (MM)	120.72
Όγκος βροχόπτωσης (M3)	1.18E5
Όγκος απωλειών (M3)	26317.52
Ενεργός Όγκος (M3)	91766.57
Όγκος άμεσης απορροής (M3)	91766.57
Όγκος βασικής απορροής (M3)	14223.6

Βροχόπτωση και Απορροή



Υπολεκάνη: EL0415FL007025

Έκταση (KM2) : 3.8

Κατάντη : J5

Μέθοδος Απωλειών: SCS

Ποσοστό αδιαπέρατης επιφάνειας	0
Αριθμός Καμπύλης Απορροής-CN	80.99
Αρχικές Απώλειες	11.93

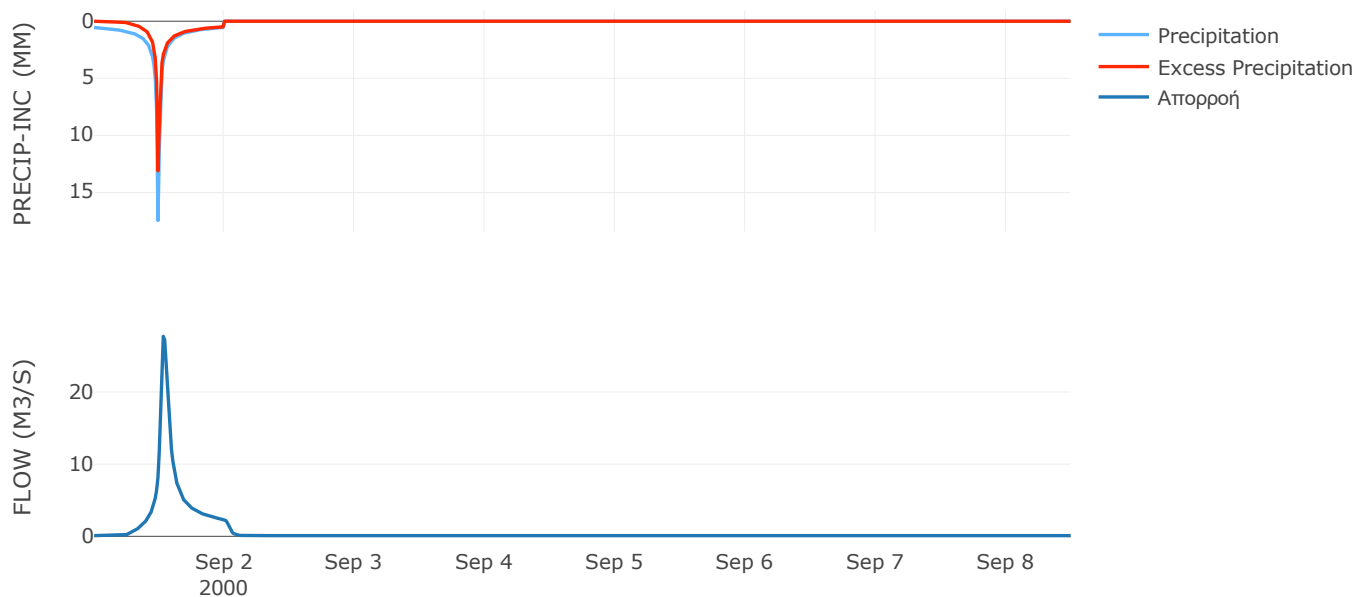
Μέθοδος
Μετασχηματισμού: SCS

Χρόνος Υστέρησης	48.48
------------------	-------

Αποτελέσματα:
EL0415FL007025

Παροχή αιχμής (M3/S)	27.71
Χρονική στιγμή αιχμής	01Sep2000, 12:45
Όγκος (MM)	113.62
Όγκος βροχόπτωσης (M3)	5.74E5
Όγκος απωλειών (M3)	2.04E5
Ενεργός Όγκος (M3)	3.7E5
Όγκος άμεσης απορροής (M3)	3.7E5
Όγκος βασικής απορροής (M3)	61543.8

Βροχόπτωση και Απορροή



Υπολεκάνη: EL0415FL007026

Έκταση (KM2) : 1.93

Κατάντη : J12

Μέθοδος Απωλειών: SCS

Ποσοστό αδιαπέρατης επιφάνειας	0
Αριθμός Καμπύλης Απορροής-CN	63.15
Αρχικές Απώλειες	29.64

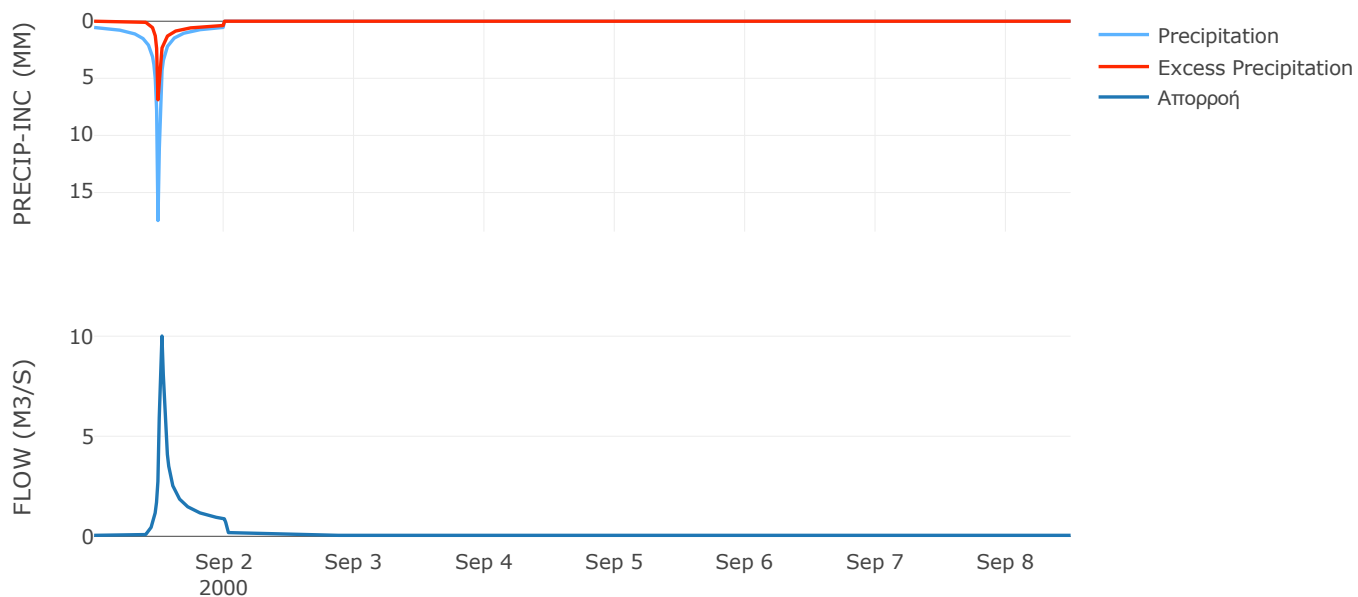
Μέθοδος
Μετασχηματισμού: SCS

Χρόνος Υστέρησης	21.21
------------------	-------

Αποτελέσματα:
EL0415FL007026

Παροχή αιχμής (M3/S)	10.01
Χρονική στιγμή αιχμής	01Sep2000, 12:30
Όγκος (MM)	70.9
Όγκος βροχόπτωσης (M3)	2.91E5
Όγκος απωλειών (M3)	1.86E5
Ενεργός Όγκος (M3)	1.05E5
Όγκος άμεσης απορροής (M3)	1.05E5
Όγκος βασικής απορροής (M3)	31233.6

Βροχόπτωση και Απορροή



Υπολεκάνη: EL0415FL007027

Έκταση (KM2) : 5.66

Κατάντη : J4

Μέθοδος Απωλειών: SCS

Ποσοστό αδιαπέρατης επιφάνειας	0
Αριθμός Καμπύλης Απορροής-CN	87.7
Αρχικές Απώλειες	7.12

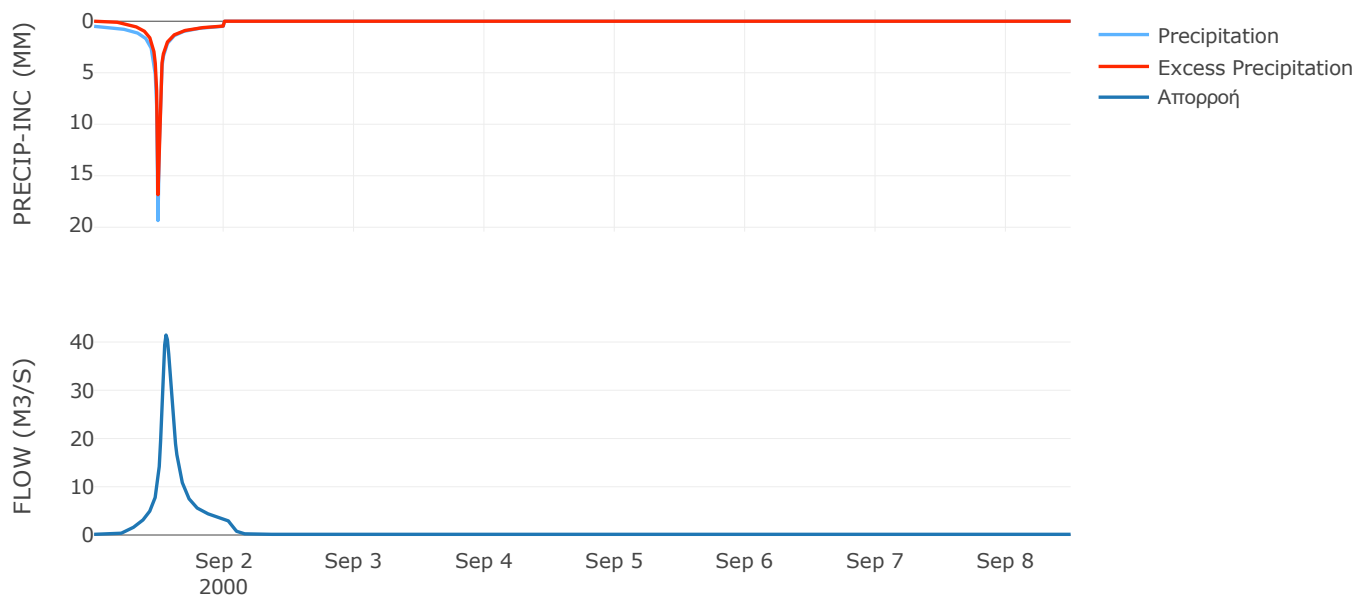
Μέθοδος
Μετασχηματισμού: SCS

Χρόνος Υστέρησης	75.45
------------------	-------

Αποτελέσματα:
EL0415FL007027

Παροχή αιχμής (M3/S)	41.45
Χρονική στιγμή αιχμής	01Sep2000, 13:15
Όγκος (MM)	129.83
Όγκος βροχόπτωσης (M3)	8.45E5
Όγκος απωλειών (M3)	2.01E5
Ενεργός Όγκος (M3)	6.43E5
Όγκος άμεσης απορροής (M3)	6.43E5
Όγκος βασικής απορροής (M3)	91692

Βροχόπτωση και Απορροή



Υπολεκάνη: EL0415FL007028

Έκταση (KM2) : 1.73

Κατάντη : J14

Μέθοδος Απωλειών: SCS

Ποσοστό αδιαπέρατης επιφάνειας	0
Αριθμός Καμπύλης Απορροής-CN	89.23
Αρχικές Απώλειες	6.13

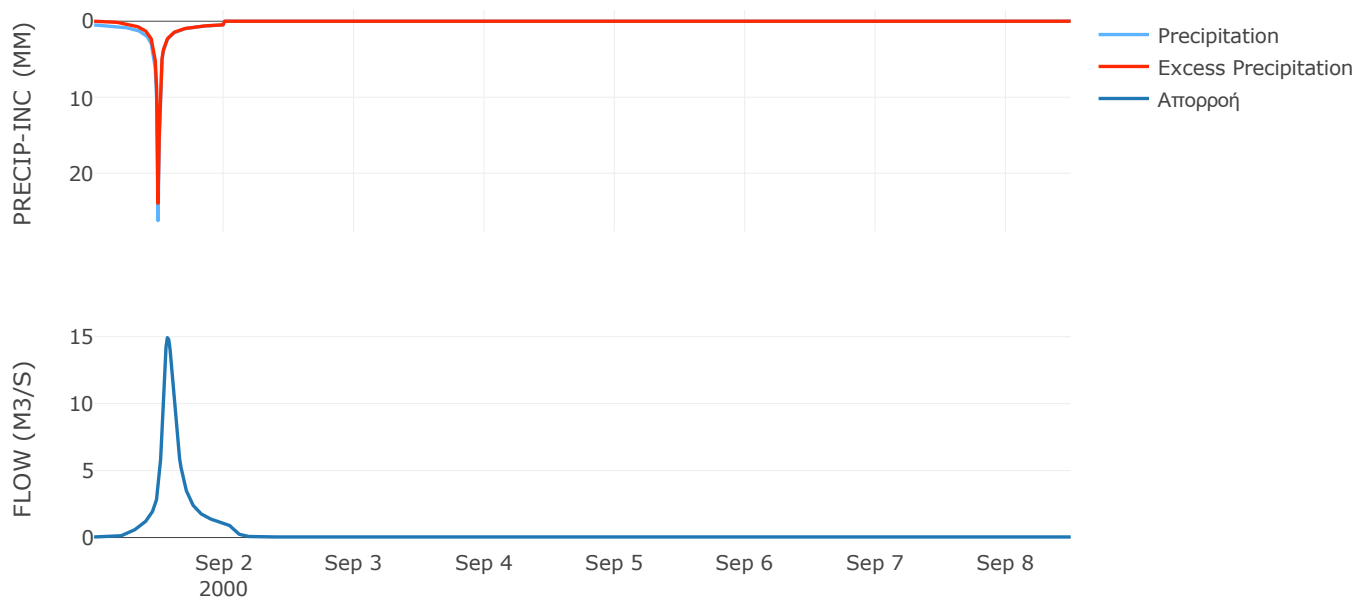
Μέθοδος
Μετασχηματισμού: SCS

Χρόνος Υστέρησης	93.12
------------------	-------

Αποτελέσματα:
EL0415FL007028

Παροχή αιχμής (M3/S)	14.93
Χρονική στιγμή αιχμής	01Sep2000, 13:30
Όγκος (MM)	154.63
Όγκος βροχόπτωσης (M3)	2.95E5
Όγκος απωλειών (M3)	55308.22
Ενεργός Όγκος (M3)	2.39E5
Όγκος άμεσης απορροής (M3)	2.39E5
Όγκος βασικής απορροής (M3)	28026

Βροχόπτωση και Απορροή



4.2 Δεδομένα και υδρογραφήματα σχεδιασμού Κλάδων υδρογραφικού δικτύου

Κλάδος: R21

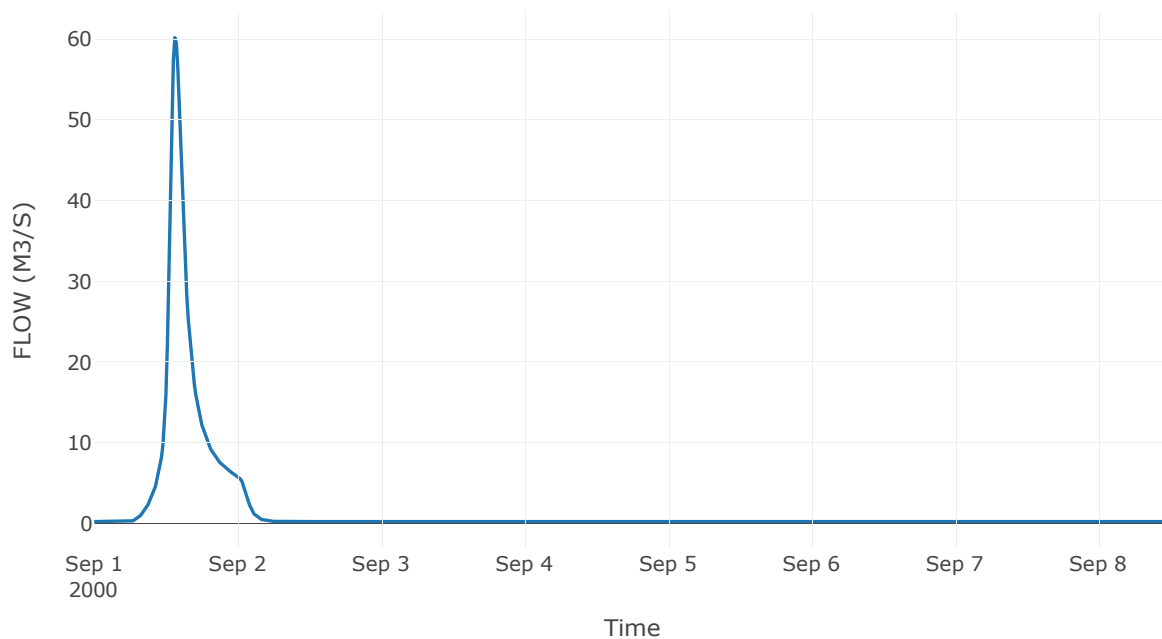
Κατάντη : J1

Μέθοδος Διόδευσης	Χρόνος
Αρχική Μεταβλητή	Combined Inflow
Χρόνος Υστέρησης	0

Αποτελέσματα: R21

Παροχή Αιχμής(M3/S)	60.18
Χρονική στιγμή αιχμής	01Sep2000, 13:30
Όγκος(MM)	109.28
Παροχή Αιχμής Εισόδου (M3/S)	60.18
Όγκος Εισροής(M3)	1.15E6

Απορροή



Κλάδος: R31

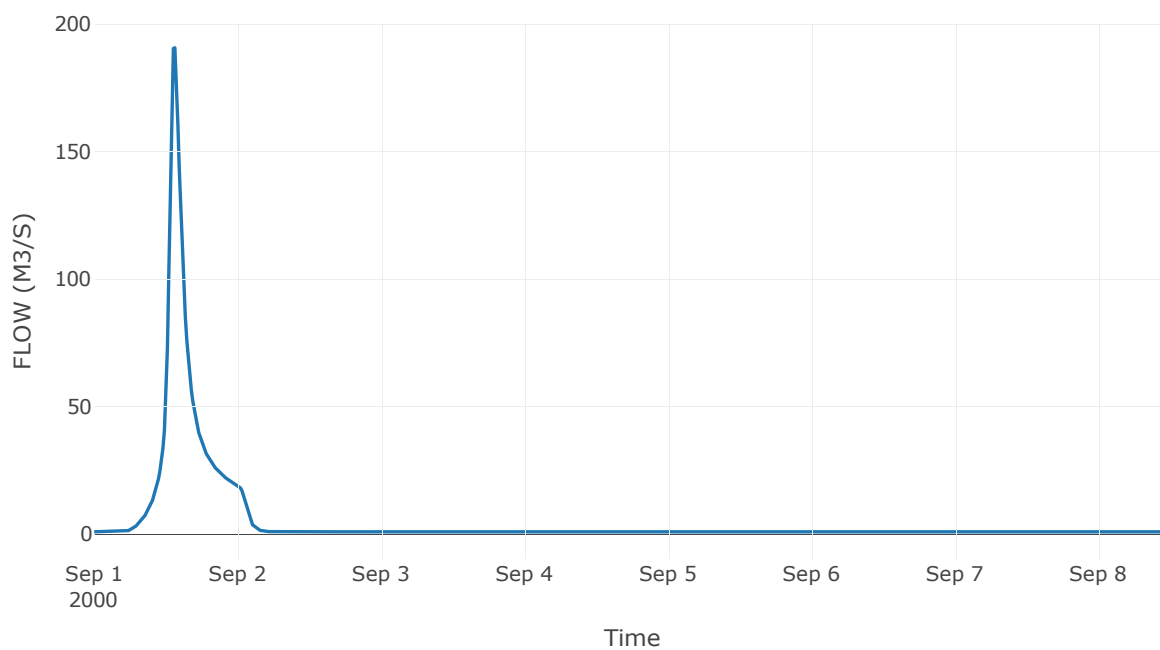
Κατάντη : J1

Μέθοδος Διόδευσης	Χρόνος
Αρχική Μεταβλητή	Combined Inflow
Χρόνος Υστέρησης	0

Αποτελέσματα: R31

Παροχή Αιχμής(M3/S)	190.68
Χρονική στιγμή αιχμής	01Sep2000, 13:30
Όγκος(MM)	105.05
Παροχή Αιχμής Εισόδου (M3/S)	190.68
Όγκος Εισροής(M3)	3.54E6

Απορροή



Κλάδος: R41

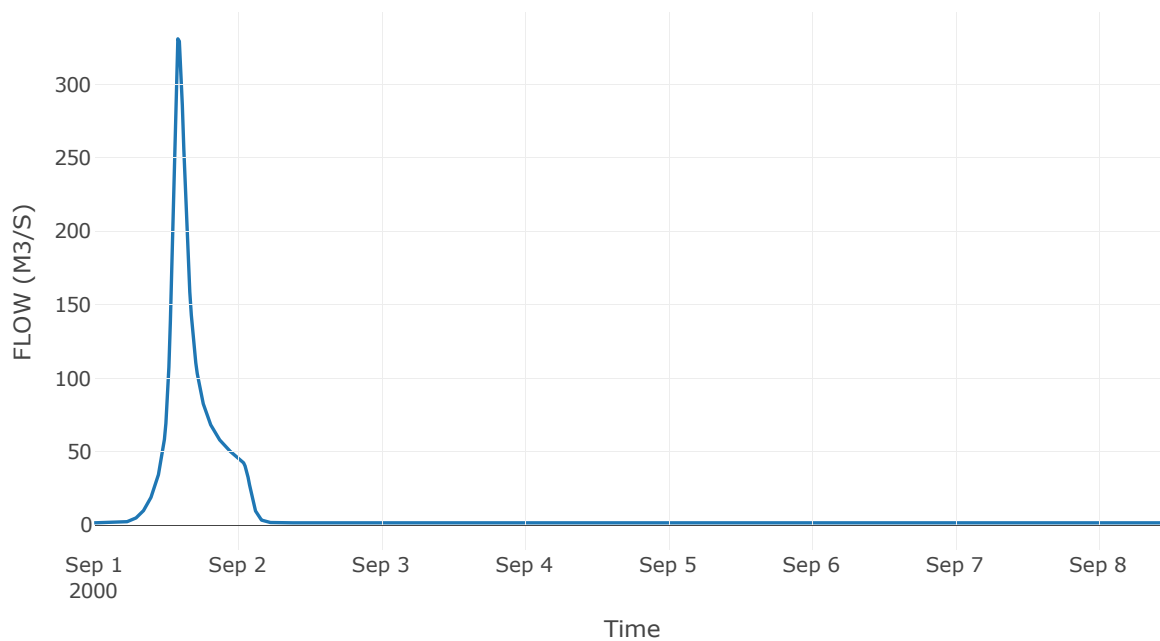
Κατάντη : J1

Μέθοδος Διόδευσης	Χρόνος
Αρχική Μεταβλητή	Combined Inflow
Χρόνος Υστέρησης	0

Αποτελέσματα: R41

Παροχή Αιχμής(M3/S)	330.96
Χρονική στιγμή αιχμής	01Sep2000, 14:00
Όγκος(MM)	110.26
Παροχή Αιχμής Εισόδου (M3/S)	330.96
Όγκος Εισροής(M3)	7.08E6

Απορροή



Κλάδος: R51

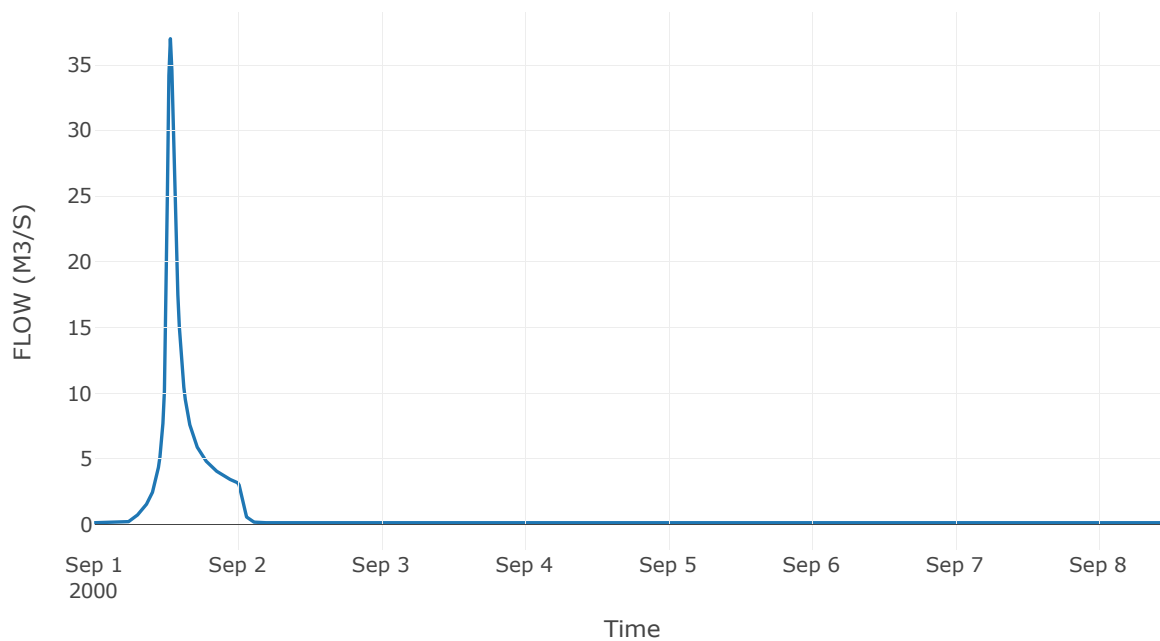
Κατάντη : J1

Μέθοδος Διόδευσης	Χρόνος
Αρχική Μεταβλητή	Combined Inflow
Χρόνος Υστέρησης	0

Αποτελέσματα: R51

Παροχή Αιχμής(M3/S)	36.97
Χρονική στιγμή αιχμής	01Sep2000, 12:45
Όγκος(MM)	99.24
Παροχή Αιχμής Εισόδου (M3/S)	36.97
Όγκος Εισροής(M3)	5.68E5

Απορροή



Κλάδος: R63

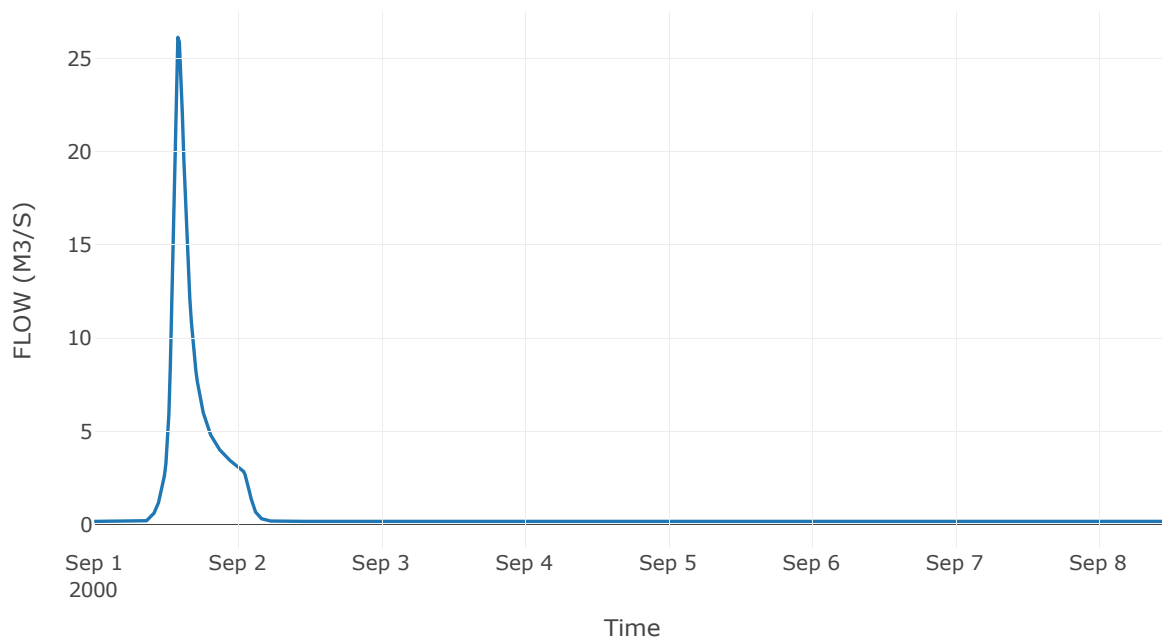
Κατάντη : J3

Μέθοδος Διόδευσης	Muskingum
Αρχική Μεταβλητή	Combined Inflow
Χρόνος Ροής K	0.75
Συντελεστής βάρους x	0.2
Πλήθος Υποκλάδων	3

Αποτελέσματα: R63

Παροχή Αιχμής(M3/S)	26.14
Χρονική στιγμή αιχμής	01Sep2000, 14:00
Όγκος(MM)	82.11
Παροχή Αιχμής Εισόδου (M3/S)	27.92
Όγκος Εισροής(M3)	5.24E5

Απορροή



Κλάδος: R73

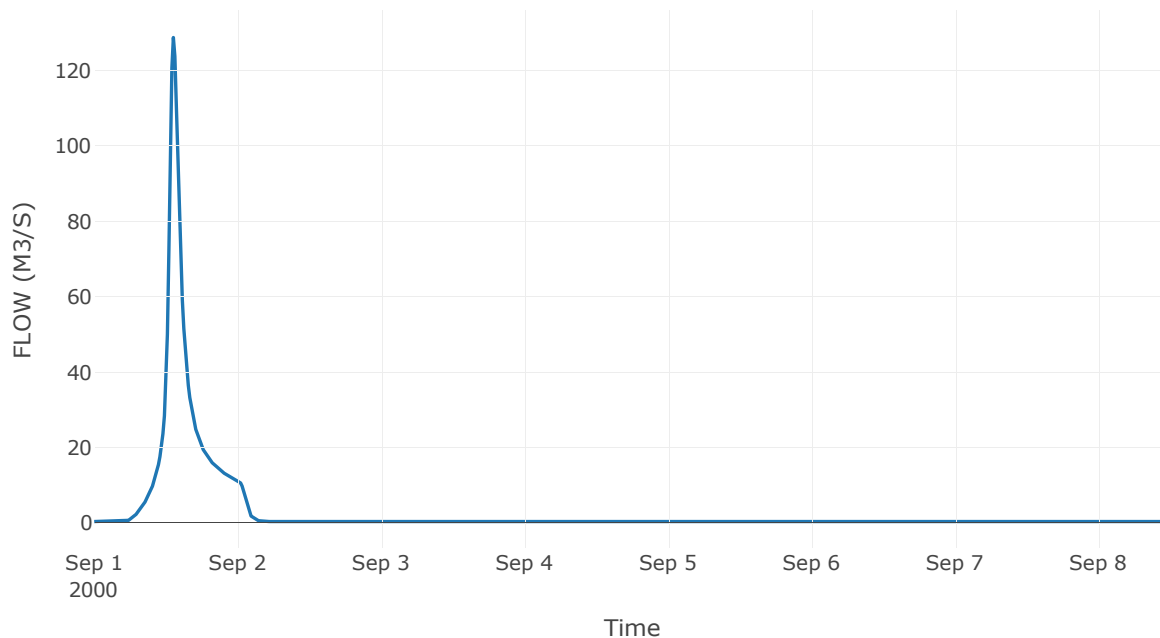
Κατάντη : J3

Μέθοδος Διόδευσης	Muskingum
Αρχική Μεταβλητή	Combined Inflow
Χρόνος Ροής K	0.12
Συντελεστής βάρους x	0.2
Πλήθος Υποκλάδων	3

Αποτελέσματα: R73

Παροχή Αιχμής(M3/S)	128.74
Χρονική στιγμή αιχμής	01Sep2000, 13:15
Όγκος(MM)	114.49
Παροχή Αιχμής Εισόδου (M3/S)	127.72
Όγκος Εισροής(M3)	2.14E6

Απορροή



Κλάδος: R87

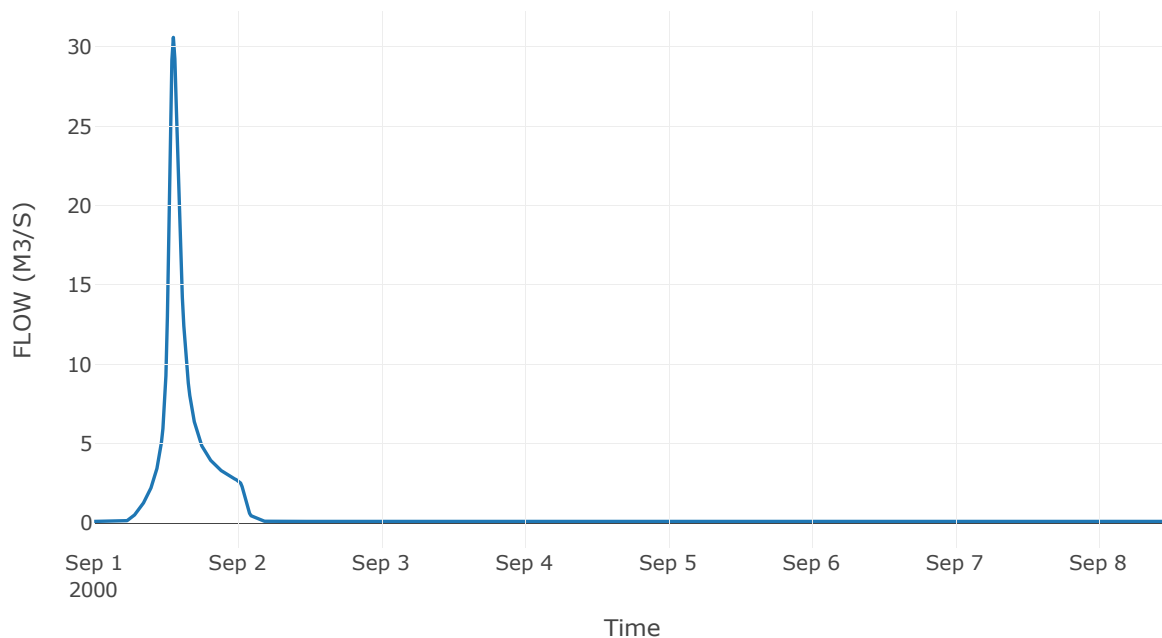
Κατάντη : J7

Μέθοδος Διόδευσης	Muskingum
Αρχική Μεταβλητή	Combined Inflow
Χρόνος Ροής K	0.19
Συντελεστής βάρους x	0.2
Πλήθος Υποκλάδων	1

Αποτελέσματα: R87

Παροχή Αιχμής(M3/S)	30.59
Χρονική στιγμή αιχμής	01Sep2000, 13:15
Όγκος(MM)	110.21
Παροχή Αιχμής Εισόδου (M3/S)	31.08
Όγκος Εισροής(M3)	5.21E5

Απορροή



Κλάδος: R97

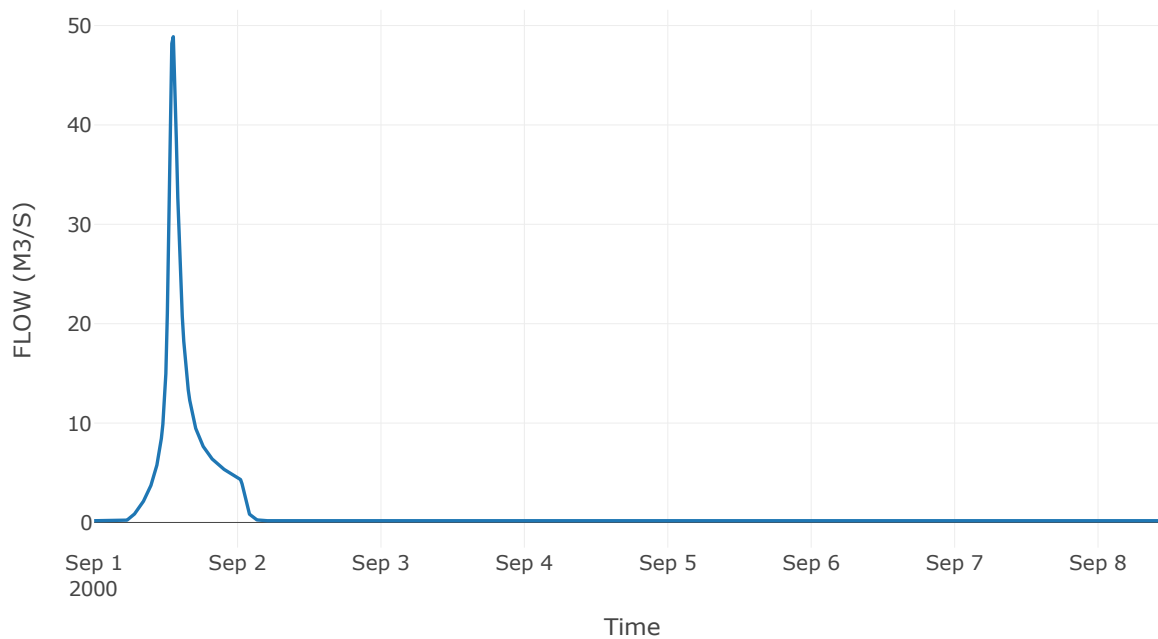
Κατάντη : J7

Μέθοδος Διόδευσης	Χρόνος
Αρχική Μεταβλητή	Combined Inflow
Χρόνος Υστέρησης	14.41

Αποτελέσματα: R97

Παροχή Αιχμής(M3/S)	48.88
Χρονική στιγμή αιχμής	01Sep2000, 13:15
Όγκος(MM)	117.45
Παροχή Αιχμής Εισόδου (M3/S)	49.13
Όγκος Εισροής(M3)	8.17E5

Απορροή



Κλάδος: R104

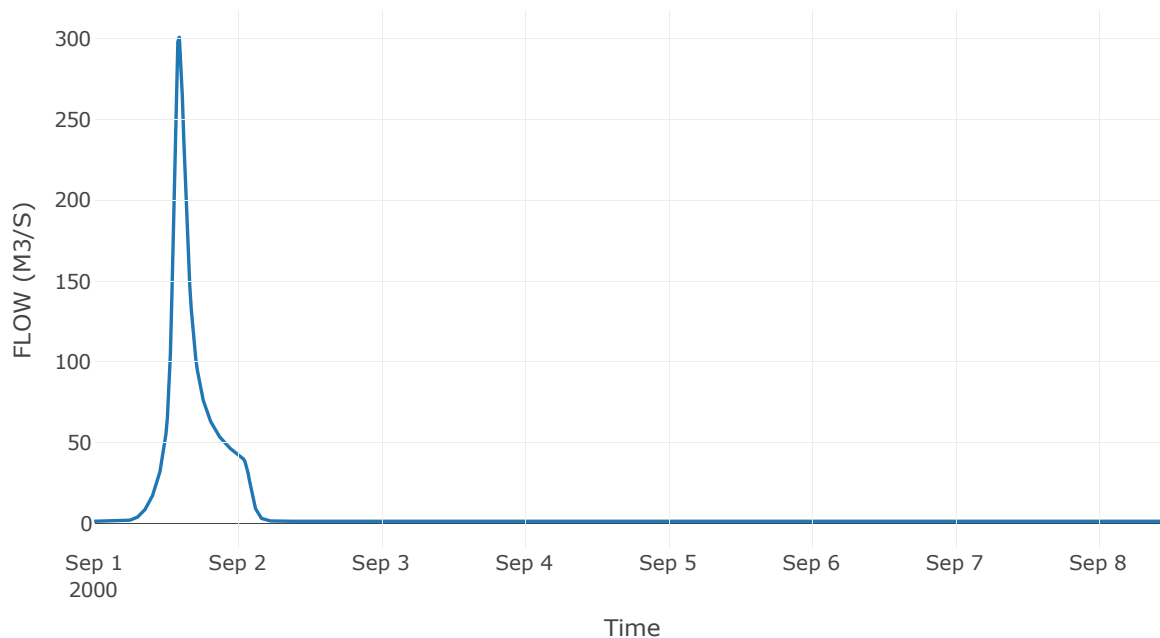
Κατάντη : J4

Μέθοδος Διόδευσης	Muskingum
Αρχική Μεταβλητή	Combined Inflow
Χρόνος Ροής K	0.77
Συντελεστής βάρους x	0.2
Πλήθος Υποκλάδων	3

Αποτελέσματα: R104

Παροχή Αιχμής(M3/S)	300.67
Χρονική στιγμή αιχμής	01Sep2000, 14:15
Όγκος(MM)	108.36
Παροχή Αιχμής Εισόδου (M3/S)	320.62
Όγκος Εισροής(M3)	6.35E6

Απορροή



Κλάδος: R1110

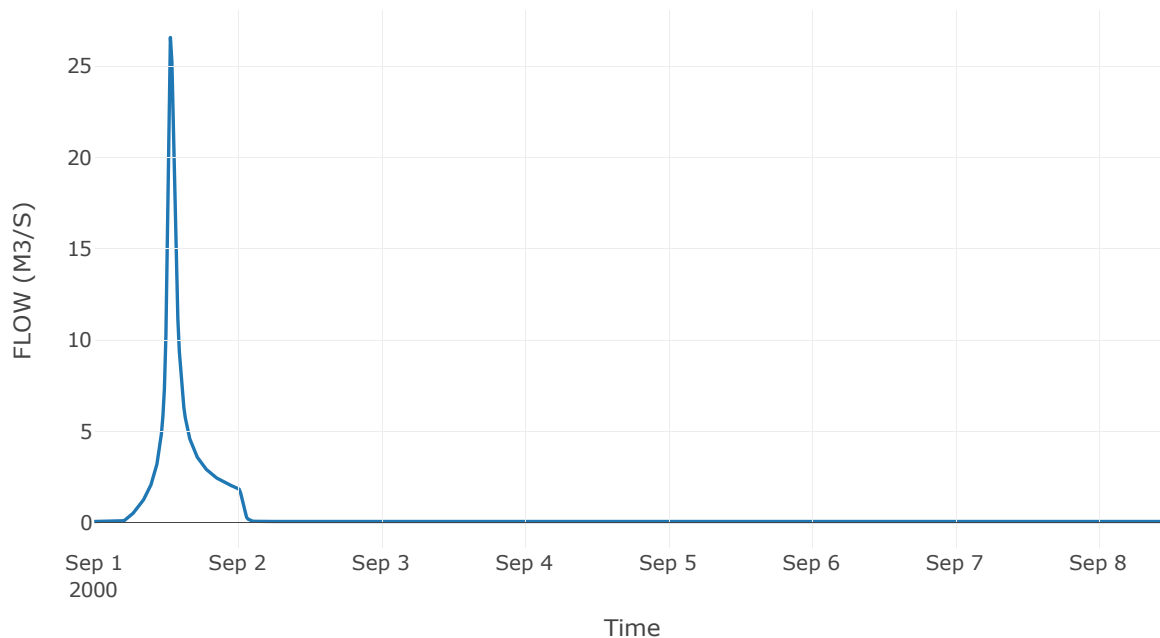
Κατάντη : J10

Μέθοδος Διόδευσης	Muskingum
Αρχική Μεταβλητή	Combined Inflow
Χρόνος Ροής K	0.22
Συντελεστής βάρους x	0.2
Πλήθος Υποκλάδων	1

Αποτελέσματα: R1110

Παροχή Αιχμής(M3/S)	26.56
Χρονική στιγμή αιχμής	01Sep2000, 12:45
Όγκος(MM)	119.48
Παροχή Αιχμής Εισόδου (M3/S)	27.71
Όγκος Εισροής(M3)	3.71E5

Απορροή



Κλάδος: R125

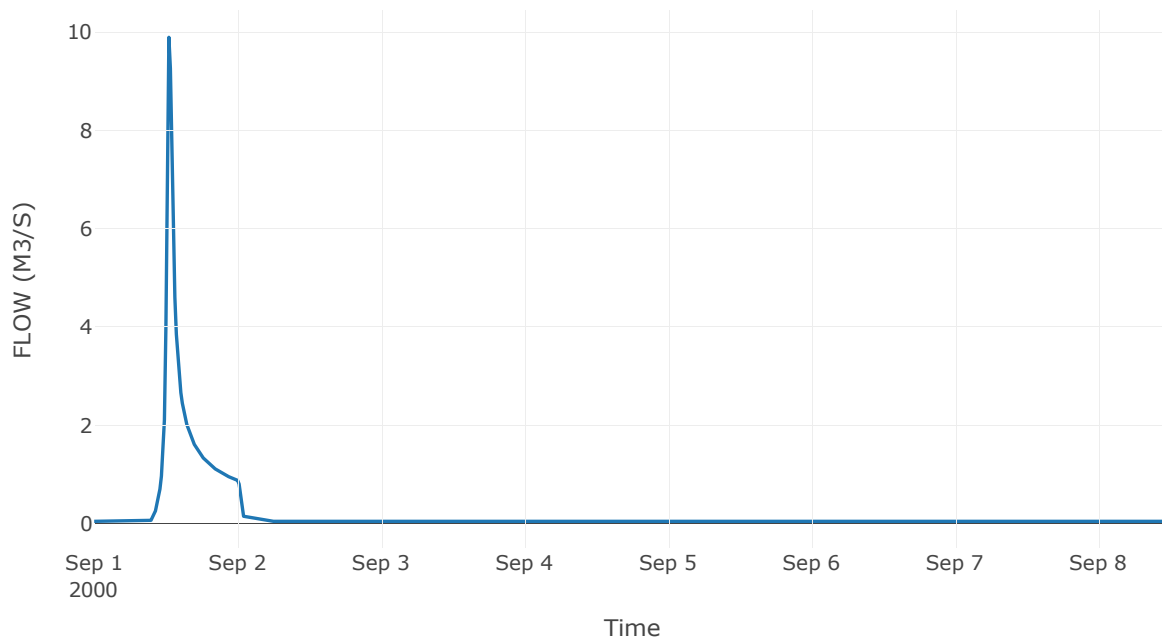
Κατάντη : J5

Μέθοδος Διόδευσης	Muskingum
Αρχική Μεταβλητή	Combined Inflow
Χρόνος Ροής K	0.15
Συντελεστής βάρους x	0.2
Πλήθος Υποκλάδων	1

Αποτελέσματα: R125

Παροχή Αιχμής(M3/S)	9.89
Χρονική στιγμή αιχμής	01Sep2000, 12:30
Όγκος(MM)	70.9
Παροχή Αιχμής Εισόδου (M3/S)	10.01
Όγκος Εισροής(M3)	1.37E5

Απορροή



Κλάδος: R1413

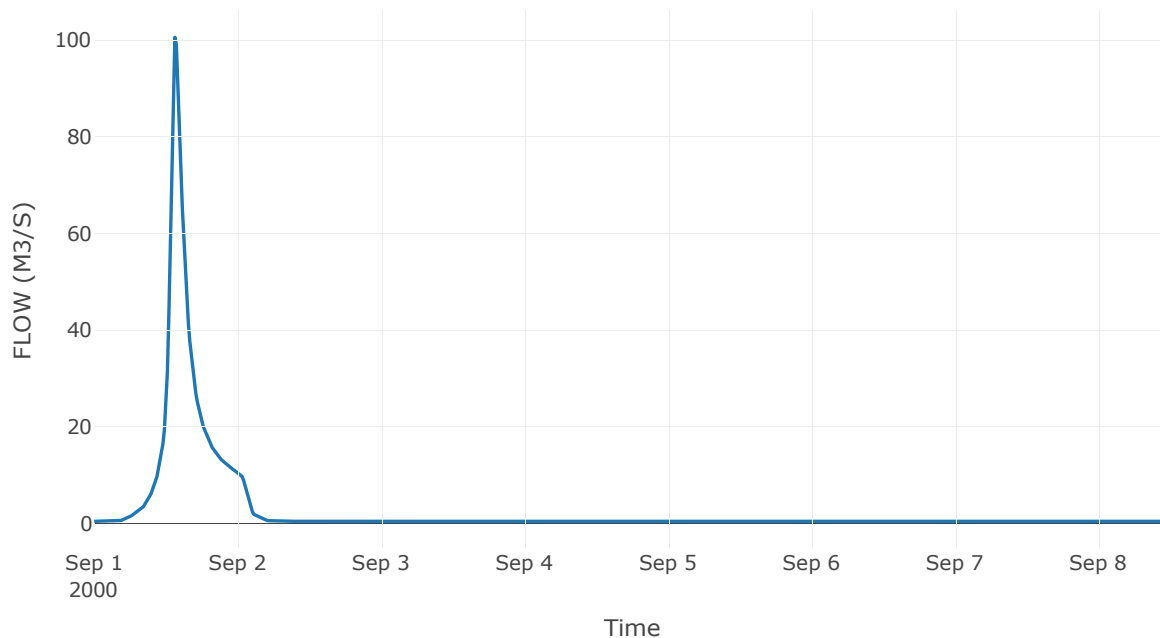
Κατάντη : J13

Μέθοδος Διόδευσης	Muskingum
Αρχική Μεταβλητή	Combined Inflow
Χρόνος Ροής K	0.09
Συντελεστής βάρους x	0.2
Πλήθος Υποκλάδων	3

Αποτελέσματα: R1413

Παροχή Αιχμής(M3/S)	100.59
Χρονική στιγμή αιχμής	01Sep2000, 13:30
Όγκος(MM)	116.52
Παροχή Αιχμής Εισόδου (M3/S)	100.85
Όγκος Εισροής(M3)	1.91E6

Απορροή



Κλάδος: R1514

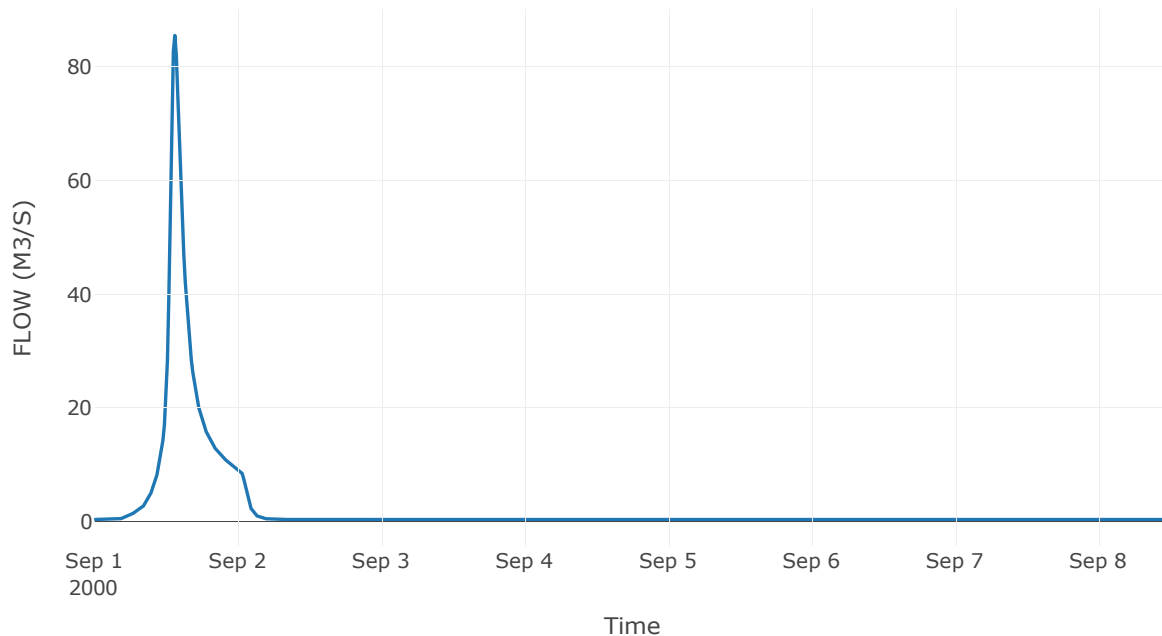
Κατάντη : J14

Μέθοδος Διόδευσης	Muskingum
Αρχική Μεταβλητή	Combined Inflow
Χρόνος Ροής K	0.15
Συντελεστής βάρους x	0.2
Πλήθος Υποκλάδων	1

Αποτελέσματα: R1514

Παροχή Αιχμής(M3/S)	85.53
Χρονική στιγμή αιχμής	01Sep2000, 13:30
Όγκος(MM)	111.83
Παροχή Αιχμής Εισόδου (M3/S)	86.13
Όγκος Εισροής(M3)	1.63E6

Απορροή



Κλάδος: R1615

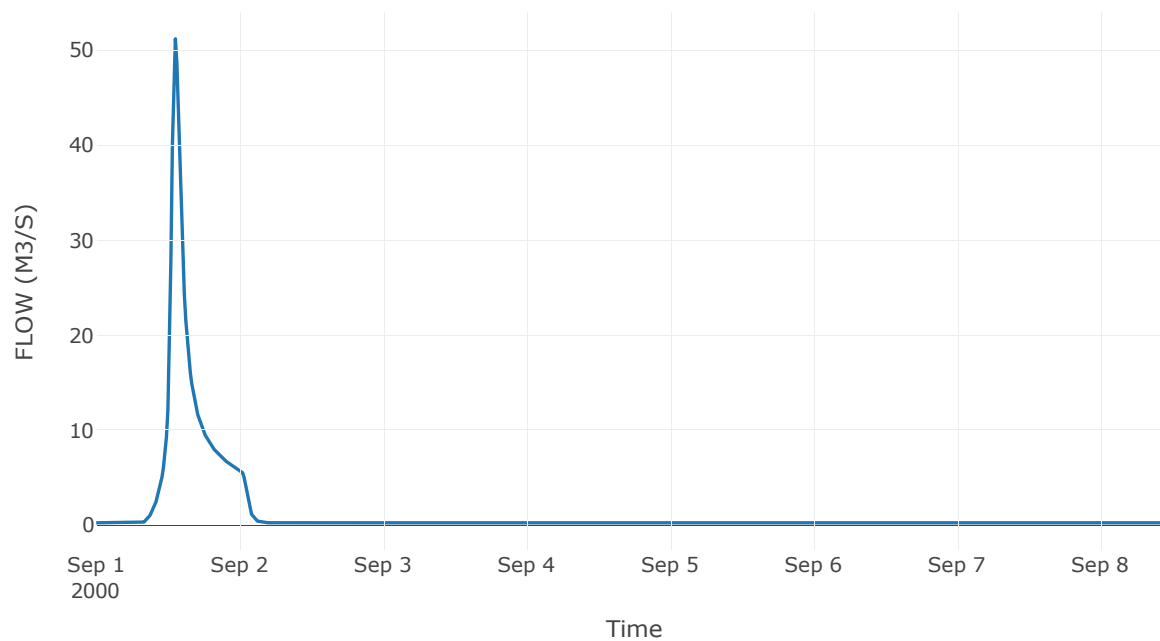
Κατάντη : J15

Μέθοδος Διόδευσης	Χρόνος
Αρχική Μεταβλητή	Combined Inflow
Χρόνος Υστέρησης	15.44

Αποτελέσματα: R1615

Παροχή Αιχμής(M3/S)	51.2
Χρονική στιγμή αιχμής	01Sep2000, 13:15
Όγκος(MM)	92.27
Παροχή Αιχμής Εισόδου (M3/S)	51.2
Όγκος Εισροής(M3)	9.03E5

Απορροή



Κλάδος: R1720

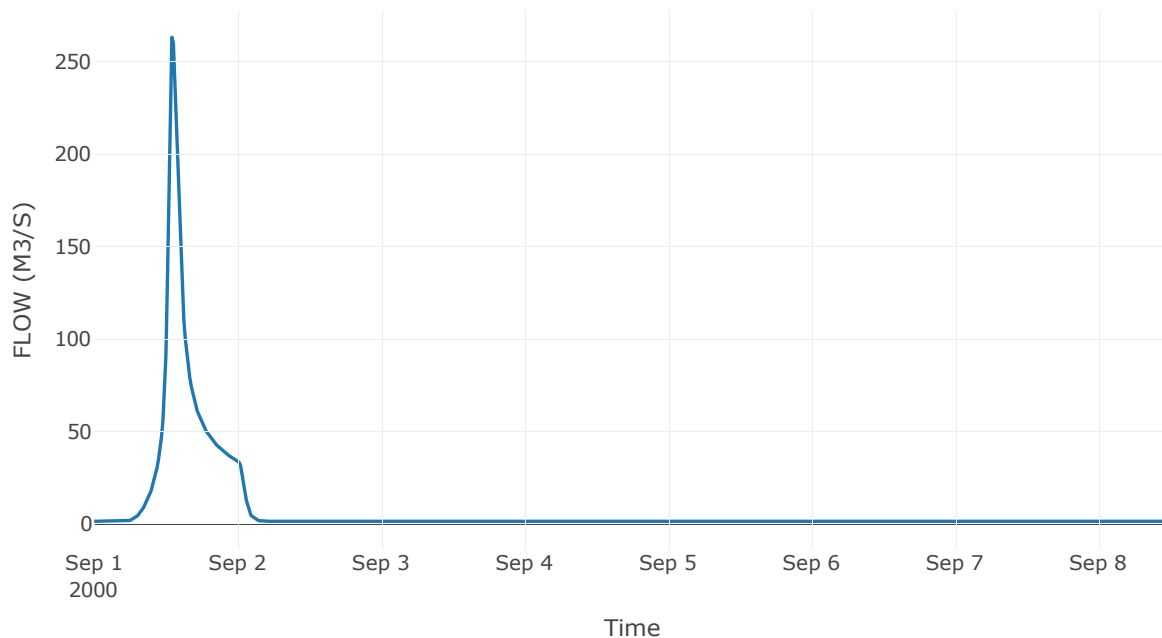
Κατάντη : J20

Μέθοδος Διόδευσης	Muskingum
Αρχική Μεταβλητή	Combined Inflow
Χρόνος Ροής K	0.13
Συντελεστής βάρους x	0.2
Πλήθος Υποκλάδων	1

Αποτελέσματα: R1 720

Παροχή Αιχμής(M3/S)	263.07
Χρονική στιγμή αιχμής	01Sep2000, 13:00
Όγκος(MM)	103.69
Παροχή Αιχμής Εισόδου (M3/S)	266.23
Όγκος Εισροής(M3)	5.02E6

Απορροή



Κλάδος: R1817

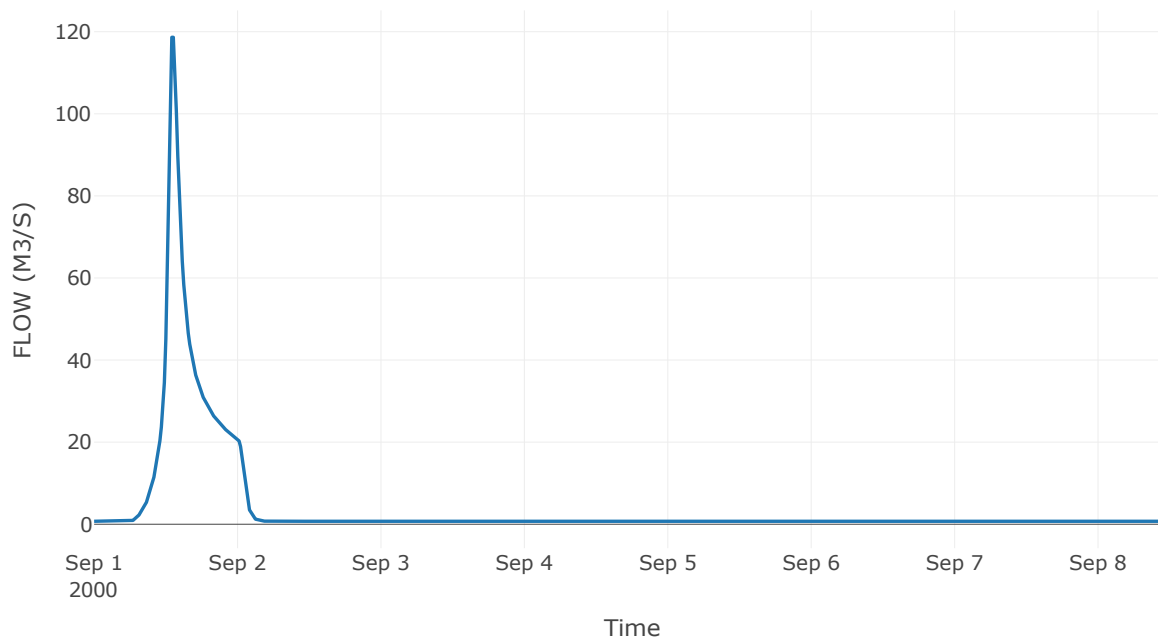
Κατάντη : J17

Μέθοδος Διόδευσης	Muskingum
Αρχική Μεταβλητή	Combined Inflow
Χρόνος Ροής K	0.23
Συντελεστής βάρους x	0.2
Πλήθος Υποκλάδων	1

Αποτελέσματα: R1817

Παροχή Αιχμής(M3/S)	118.64
Χρονική στιγμή αιχμής	01Sep2000, 13:15
Όγκος(MM)	93.17
Παροχή Αιχμής Εισόδου (M3/S)	121.31
Όγκος Εισροής(M3)	2.68E6

Απορροή



Κλάδος: R1918

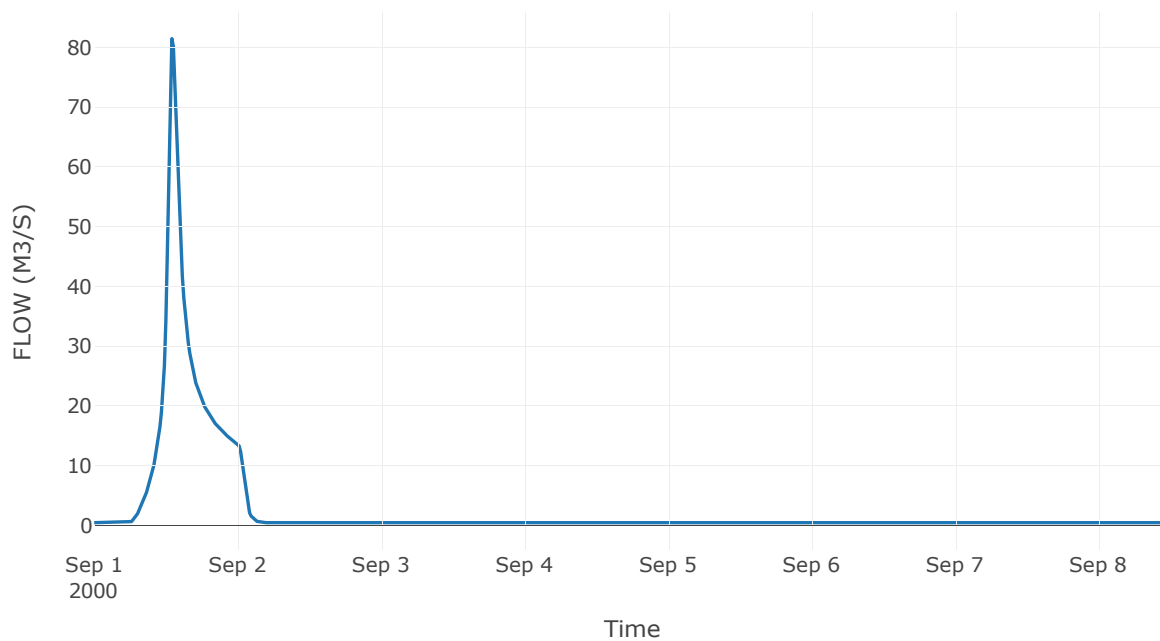
Κατάντη : J18

Μέθοδος Διόδευσης	Χρόνος
Αρχική Μεταβλητή	Combined Inflow
Χρόνος Υστέρησης	5.39

Αποτελέσματα: R1918

Παροχή Αιχμής(M3/S)	81.43
Χρονική στιγμή αιχμής	01Sep2000, 13:00
Όγκος(MM)	103.32
Παροχή Αιχμής Εισόδου (M3/S)	82.52
Όγκος Εισροής(M3)	1.8E6

Απορροή



Κλάδος: R2010

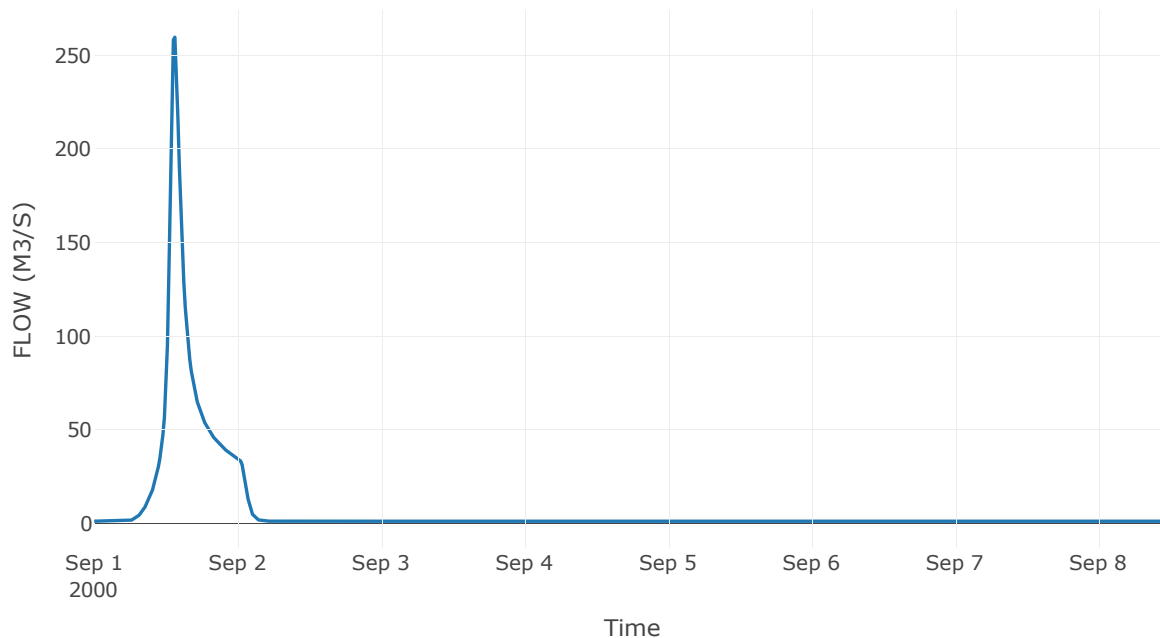
Κατάντη : J10

Μέθοδος Διόδευσης	Muskingum
Αρχική Μεταβλητή	Combined Inflow
Χρόνος Ροής K	0.29
Συντελεστής βάρους x	0.2
Πλήθος Υποκλάδων	1

Αποτελέσματα: R2010

Παροχή Αιχμής(M3/S)	259.53
Χρονική στιγμή αιχμής	01Sep2000, 13:30
Όγκος(MM)	104.36
Παροχή Αιχμής Εισόδου (M3/S)	270.01
Όγκος Εισροής(M3)	5.12E6

Απορροή



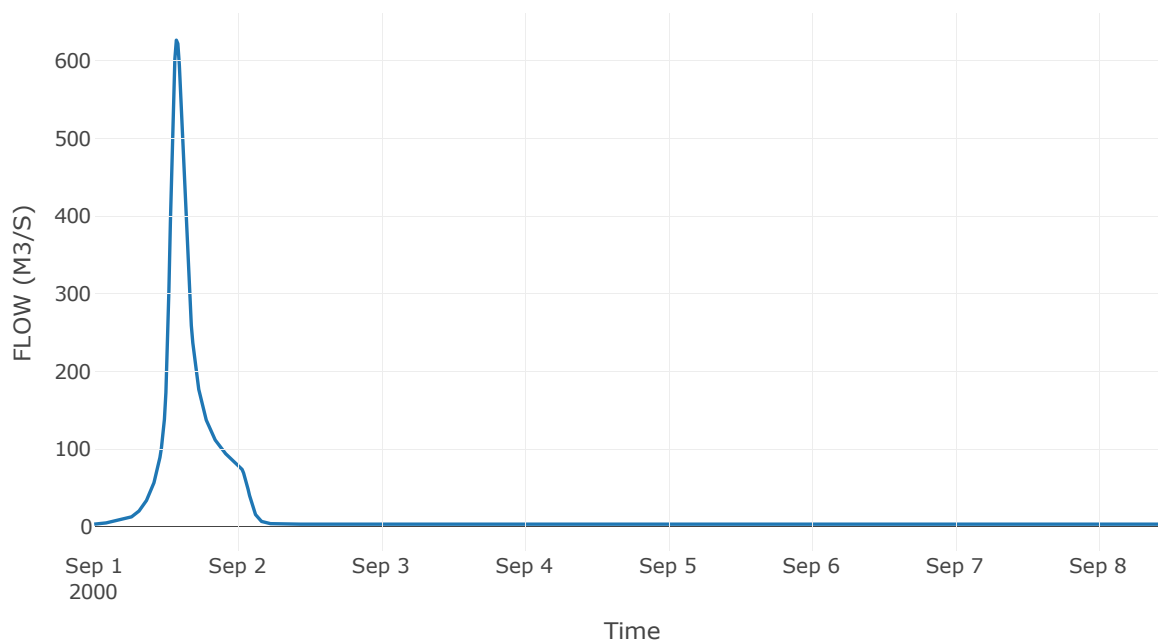
4.3 Δεδομένα και υδρογραφήματα σχεδιασμού Κόμβων υδρογραφικού δικτύου

Κόμβος εξόδου: J1

Αποτέλεσμα
τα: J1

Παροχή αιχμής (M3/S)	626.75
Χρονική στιγμή αιχμής	01Sep2000, 13:45
Όγκος (MM)	112.23

Απορροή



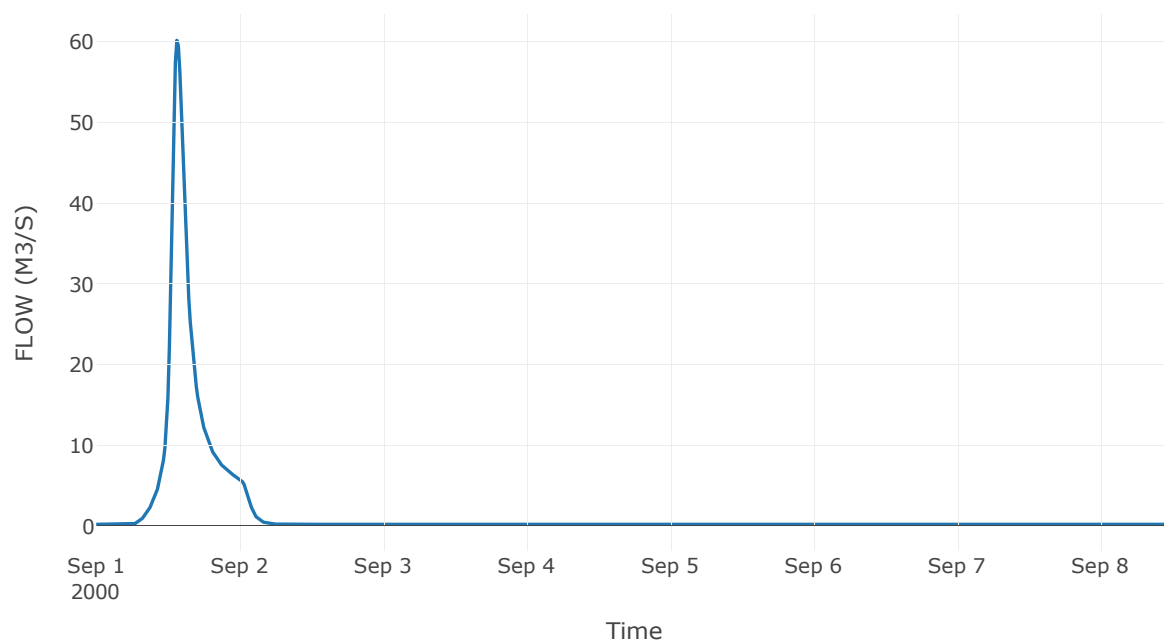
Κόμβος: J2

Κατάντη : R21

Αποτελέσματα: J2

Παροχή Αιχμής(M3/S)	60.18
Χρονική στιγμή αιχμής	01Sep2000, 13:30
Όγκος(MM)	109.28

Απορροή



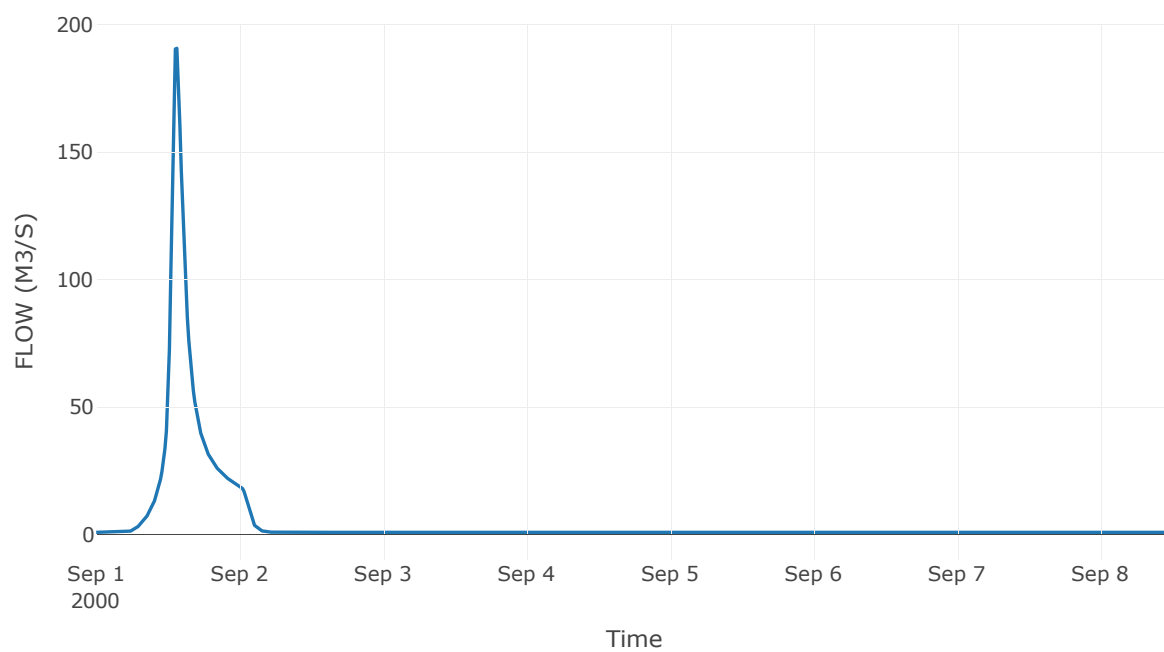
Κόμβος: J3

Κατάντη : R31

Αποτελέσματα: J3

Παροχή Αιχμής(M3/S)	190.68
Χρονική στιγμή αιχμής	01Sep2000, 13:30
Όγκος(MM)	105.05

Απορροή



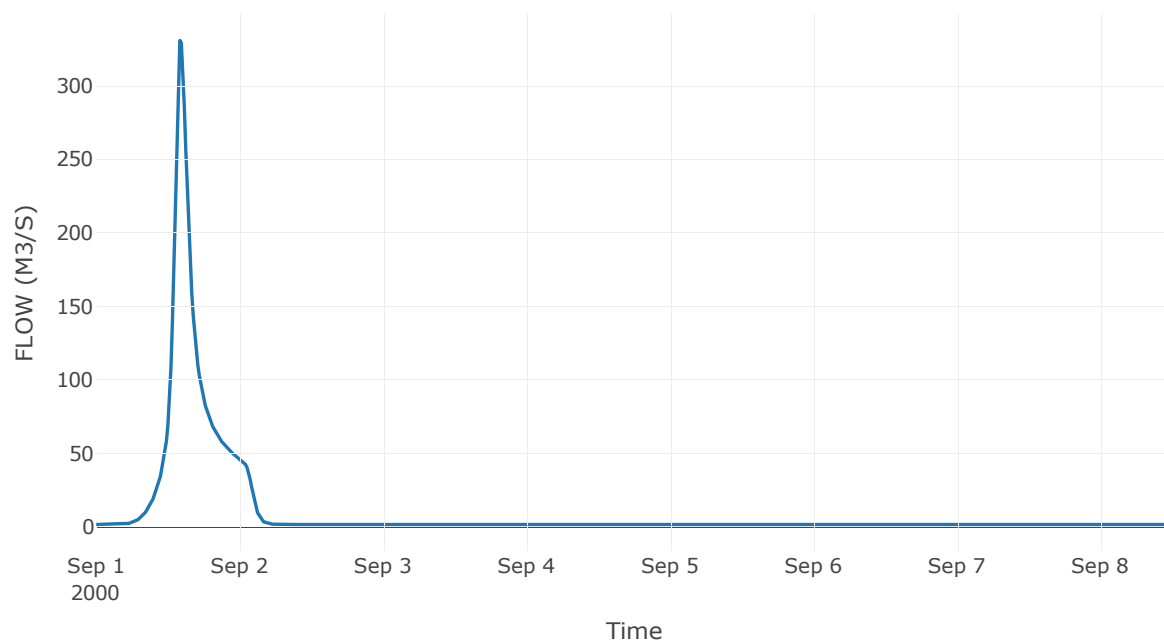
Κόμβος: J4

Κατάντη : R41

Αποτελέσματα: J4

Παροχή Αιχμής(M3/S)	330.96
Χρονική στιγμή αιχμής	01Sep2000, 14:00
Όγκος(MM)	110.26

Απορροή



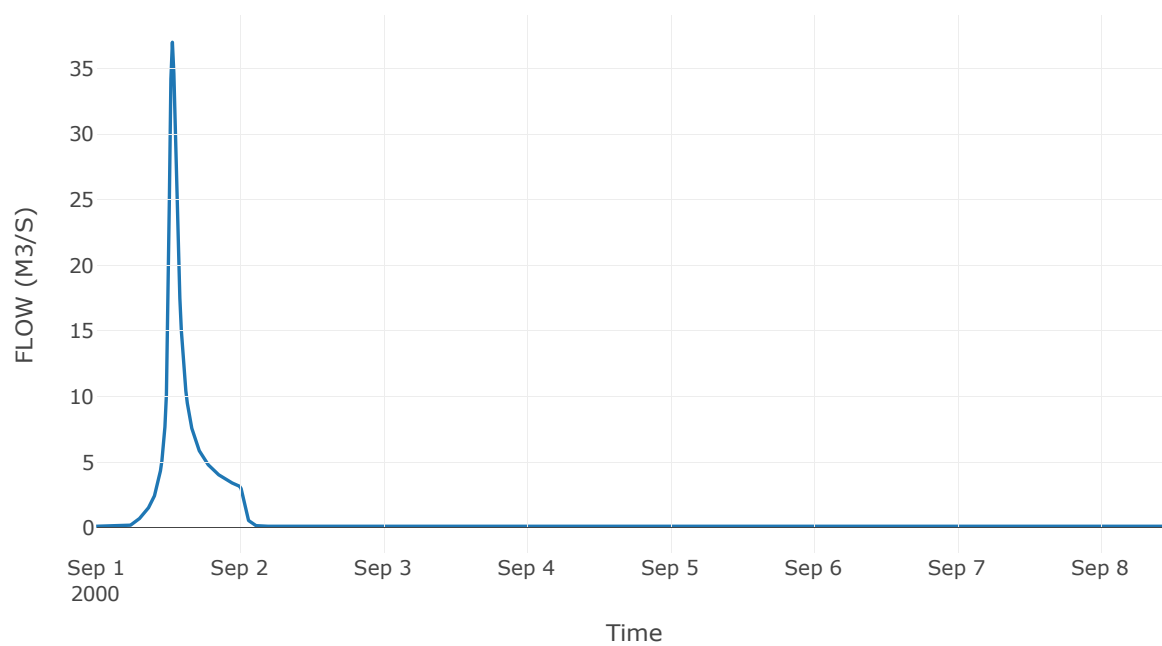
Κόμβος: J5

Κατάντη : R51

Αποτελέσματα: J5

Παροχή Αιχμής(M3/S)	36.97
Χρονική στιγμή αιχμής	01Sep2000, 12:45
Όγκος(MM)	99.24

Απορροή



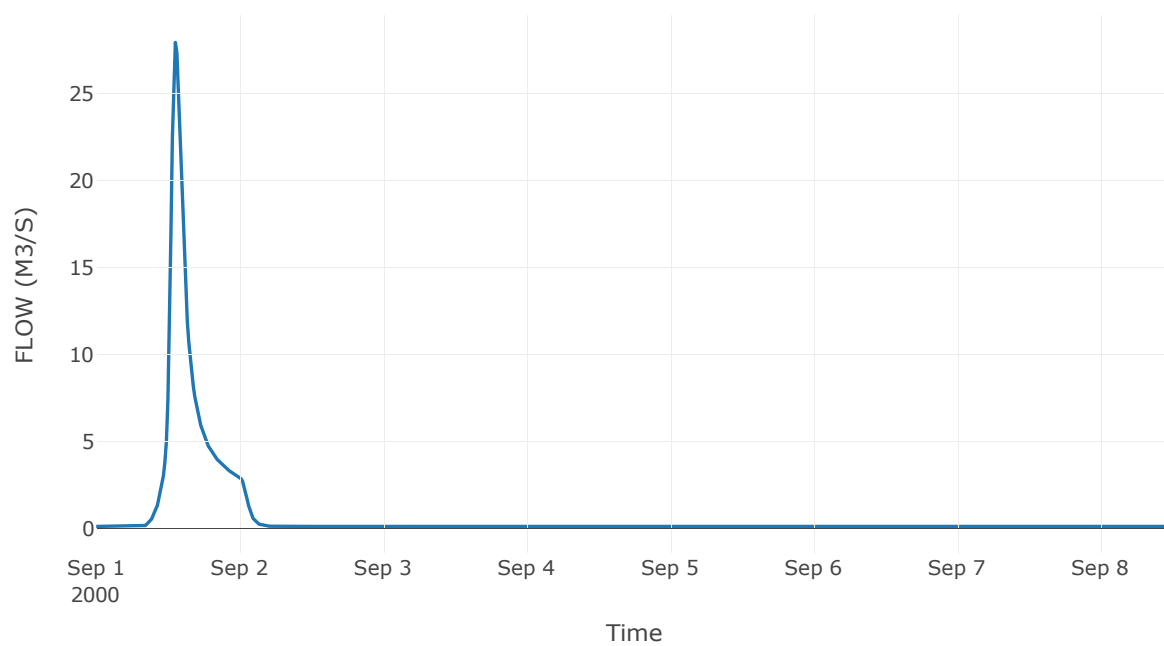
Κόμβος: J6

Κατάντη : R63

Αποτελέσματα: J6

Παροχή Αιχμής(M3/S)	27.92
Χρονική στιγμή αιχμής	01Sep2000, 13:15
Όγκος(MM)	82.11

Απορροή



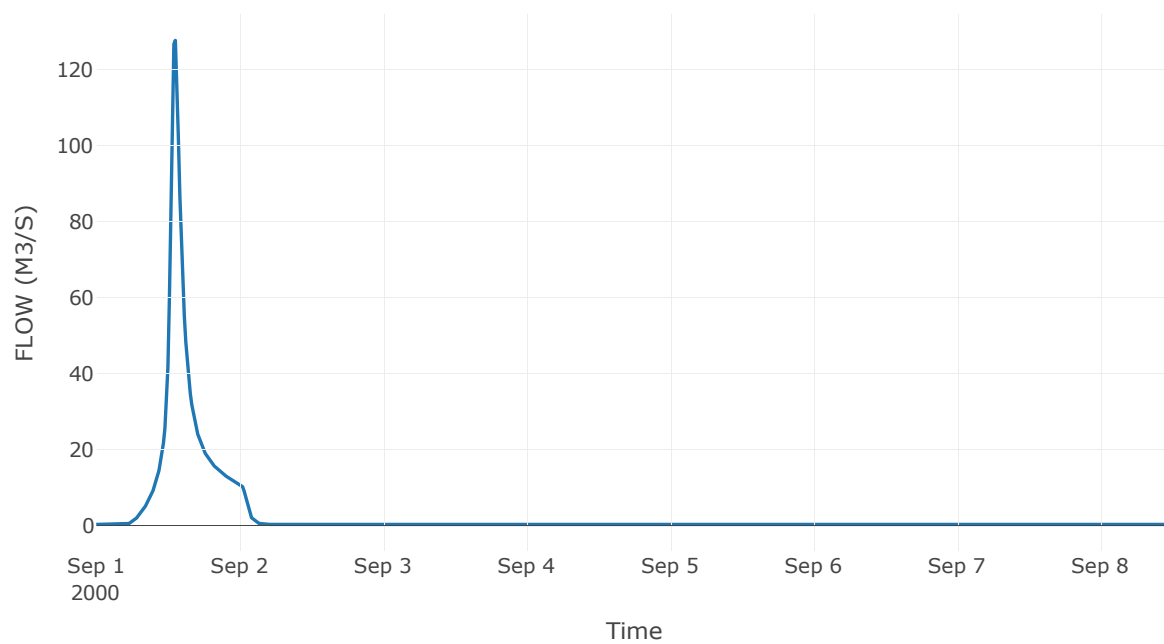
Κόμβος: J7

Κατάντη : R73

Αποτελέσματα: J7

Παροχή Αιχμής(M3/S)	127.72
Χρονική στιγμή αιχμής	01Sep2000, 13:15
Όγκος(MM)	114.49

Απορροή



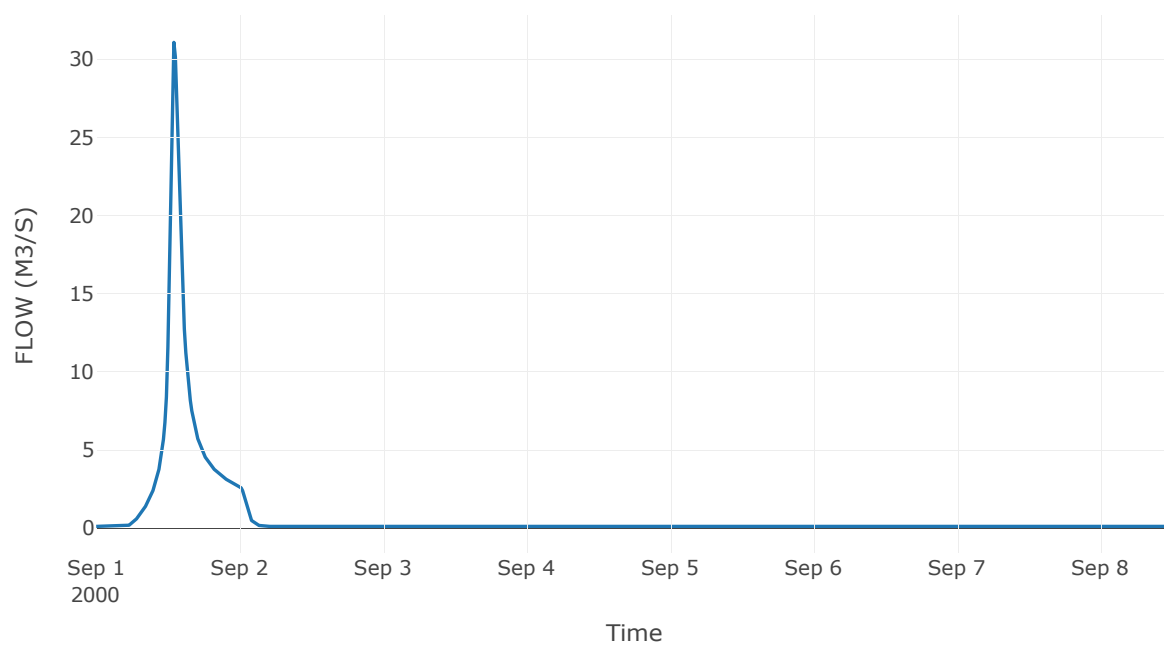
Κόμβος: J8

Κατάντη : R87

Αποτελέσματα: J8

Παροχή Αιχμής(M3/S)	31.08
Χρονική στιγμή αιχμής	01Sep2000, 13:00
Όγκος(MM)	110.21

Απορροή



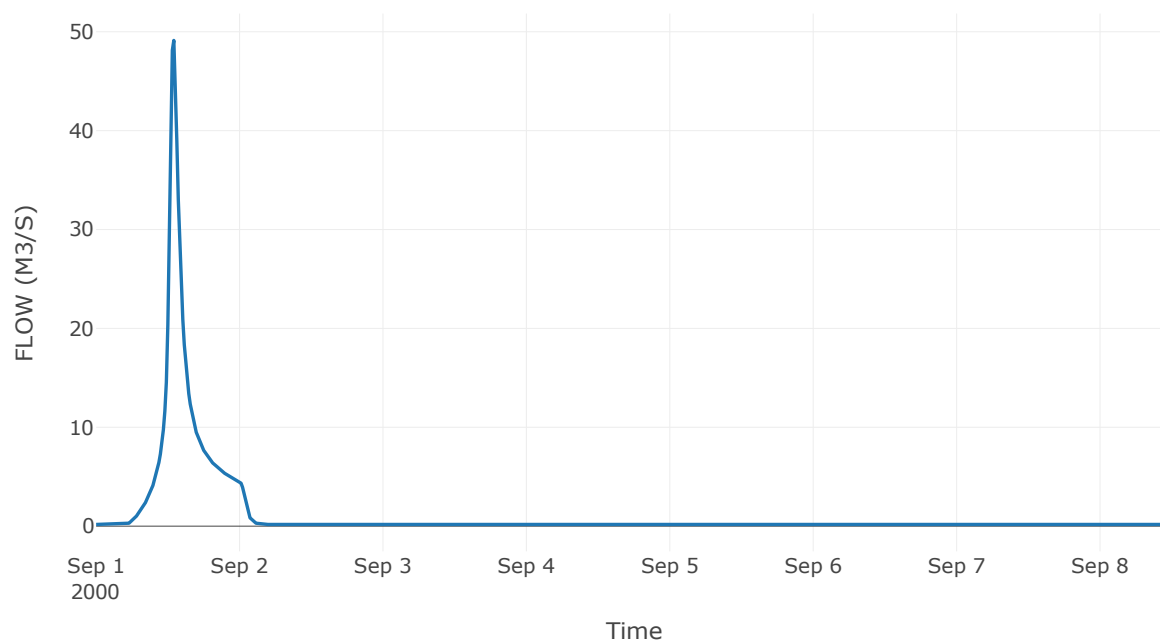
Κόμβος: J9

Κατάντη : R97

Αποτελέσματα: J9

Παροχή Αιχμής(M3/S)	49.13
Χρονική στιγμή αιχμής	01Sep2000, 13:00
Όγκος(MM)	117.45

Απορροή



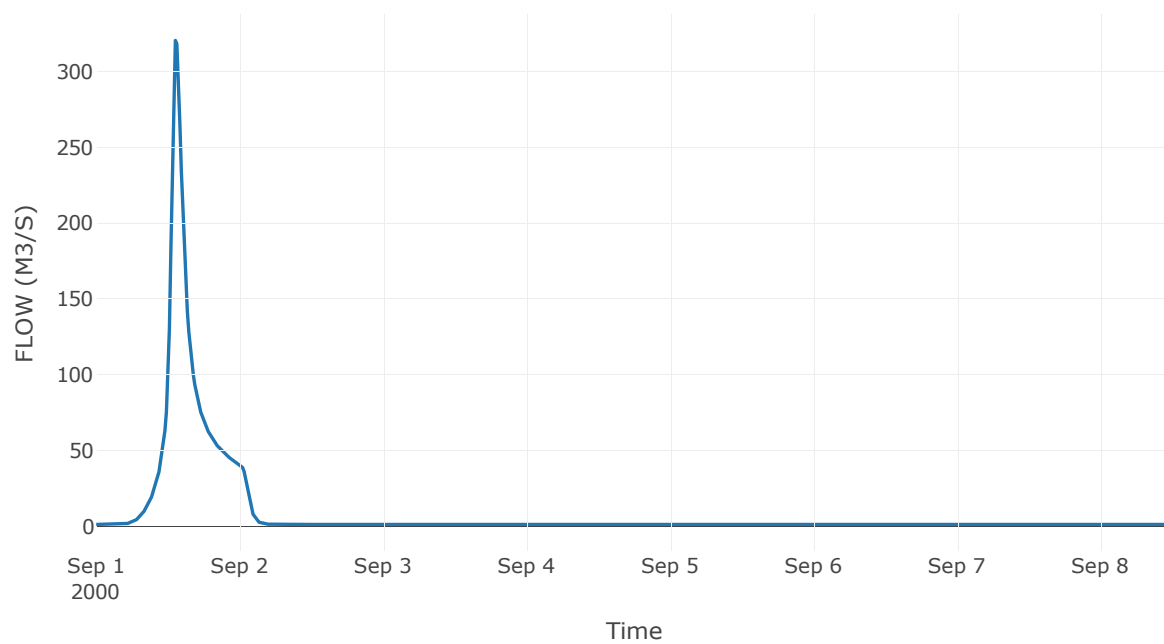
Κόμβος: J10

Κατάντη : R104

Αποτελέσματα: J10

Παροχή Αιχμής(M3/S)	320.62
Χρονική στιγμή αιχμής	01Sep2000, 13:15
Όγκος(MM)	108.36

Απορροή



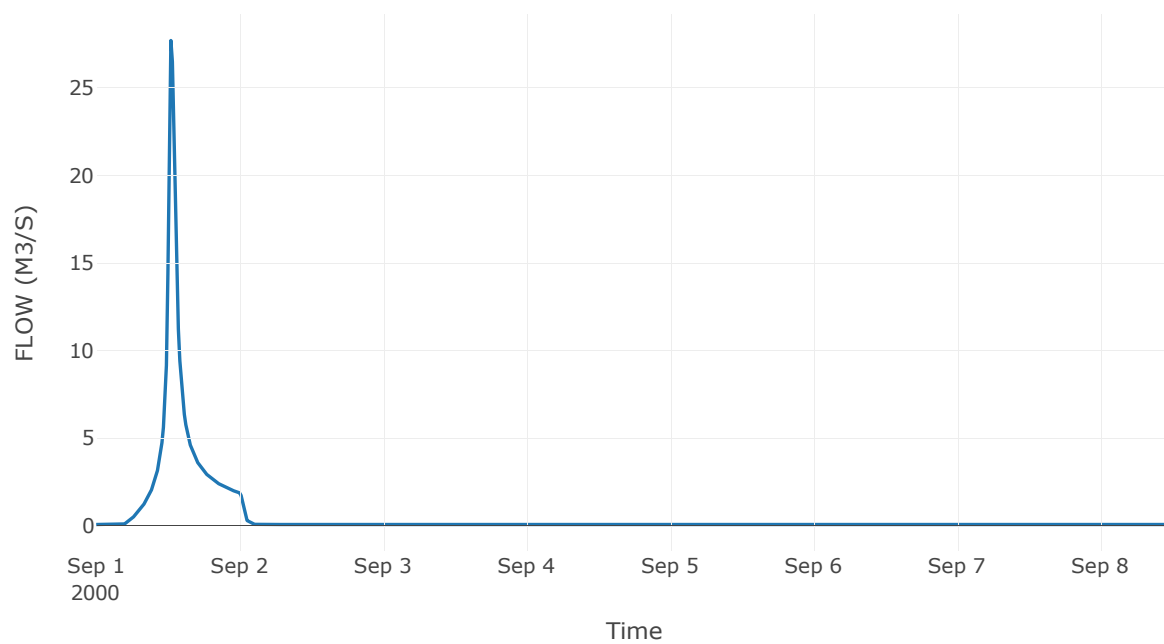
Κόμβος: J11

Κατάντη : R1110

Αποτελέσματα: J11

Παροχή Αιχμής(M3/S)	27.71
Χρονική στιγμή αιχμής	01Sep2000, 12:30
Όγκος(MM)	119.48

Απορροή



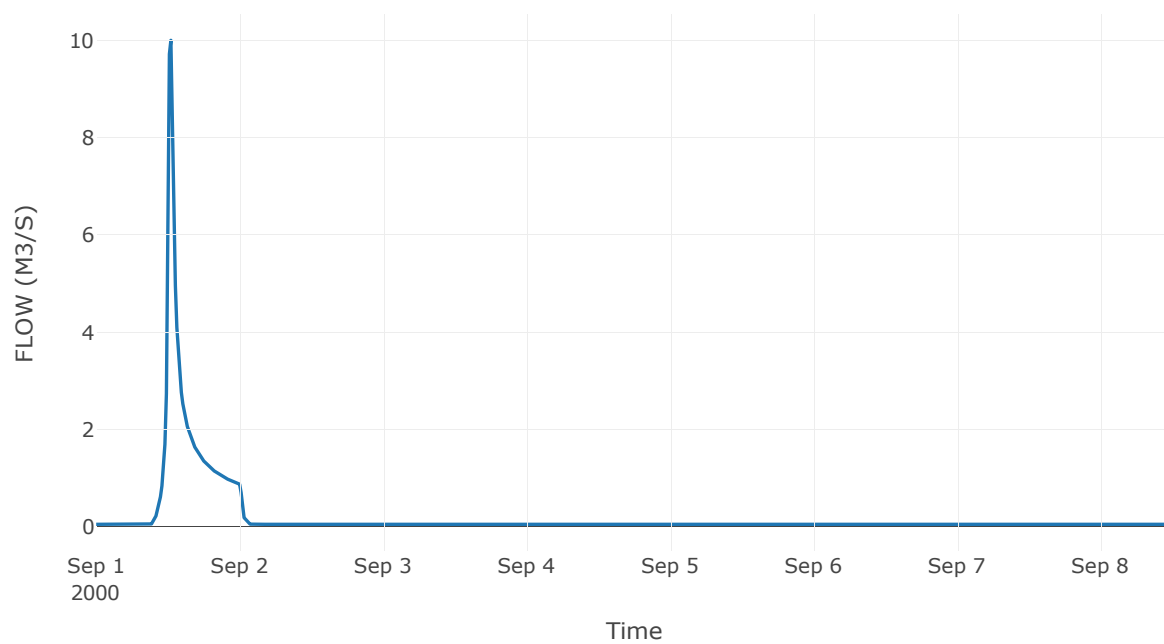
Κόμβος: J12

Κατάντη : R125

Αποτελέσματα: J12

Παροχή Αιχμής(M3/S)	10.01
Χρονική στιγμή αιχμής	01Sep2000, 12:30
Όγκος(MM)	70.9

Απορροή

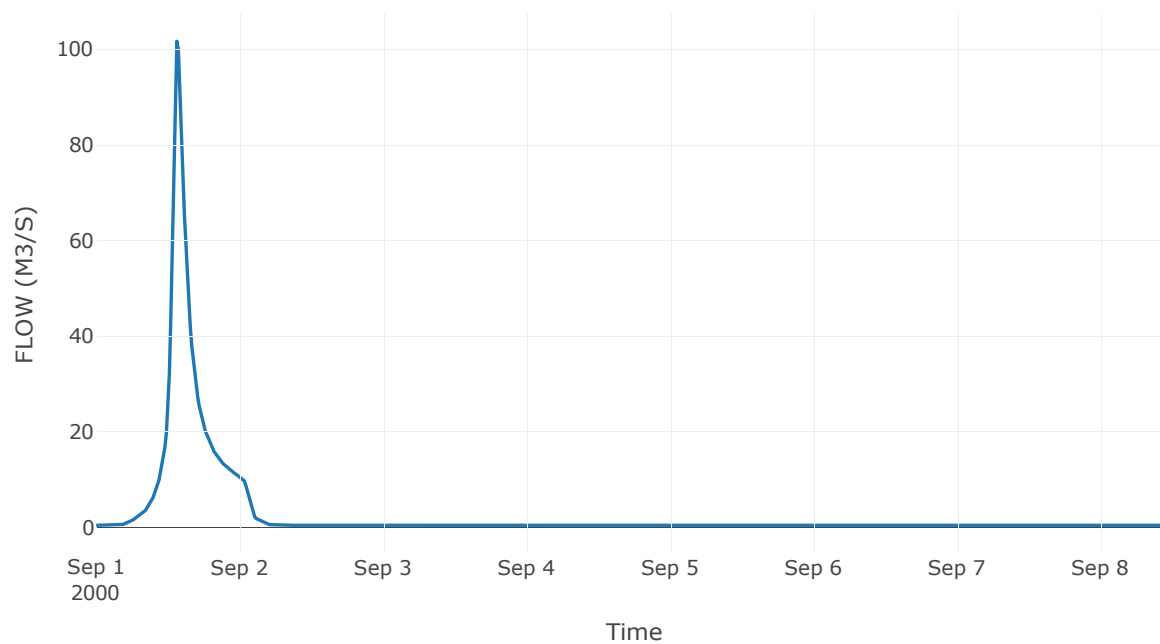


Κόμβος εξόδου: J13

Αποτελέσματ
α: J13

Παροχή αιχμής (M3/S)	101.63
Χρονική στιγμή αιχμής	01Sep2000, 13:30
Όγκος (MM)	116.79

Απορροή



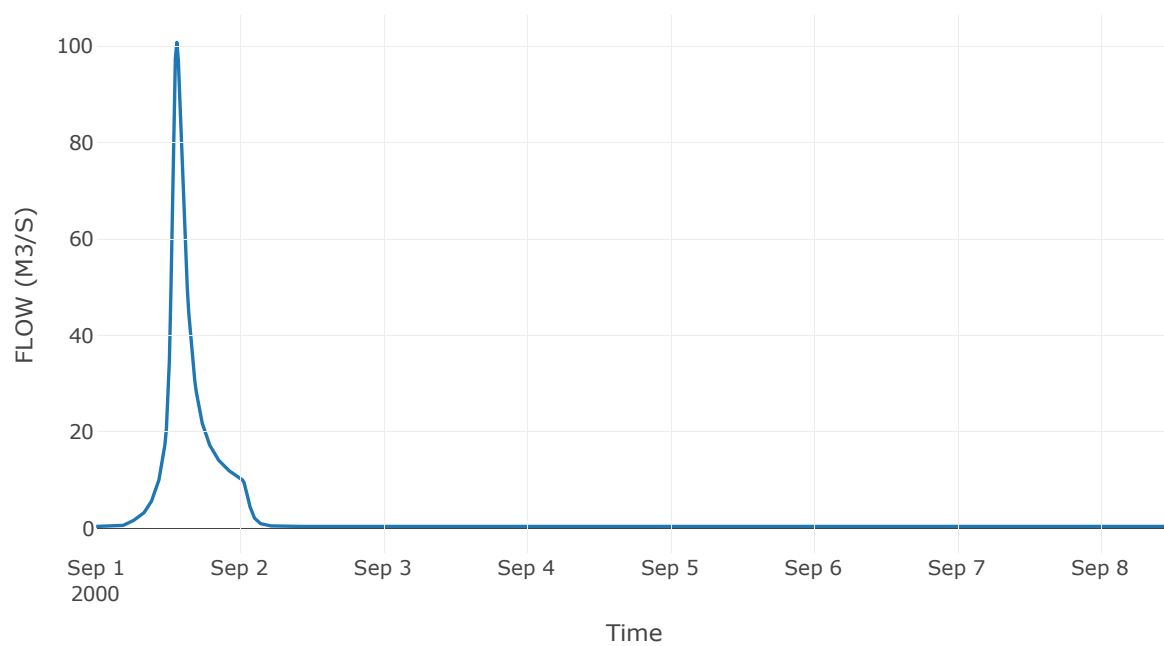
Κόμβος: J14

Κατάντη : R1413

Αποτελέσματα: J14

Παροχή Αιχμής(M3/S)	100.85
Χρονική στιγμή αιχμής	01Sep2000, 13:30
Όγκος(MM)	116.52

Απορροή



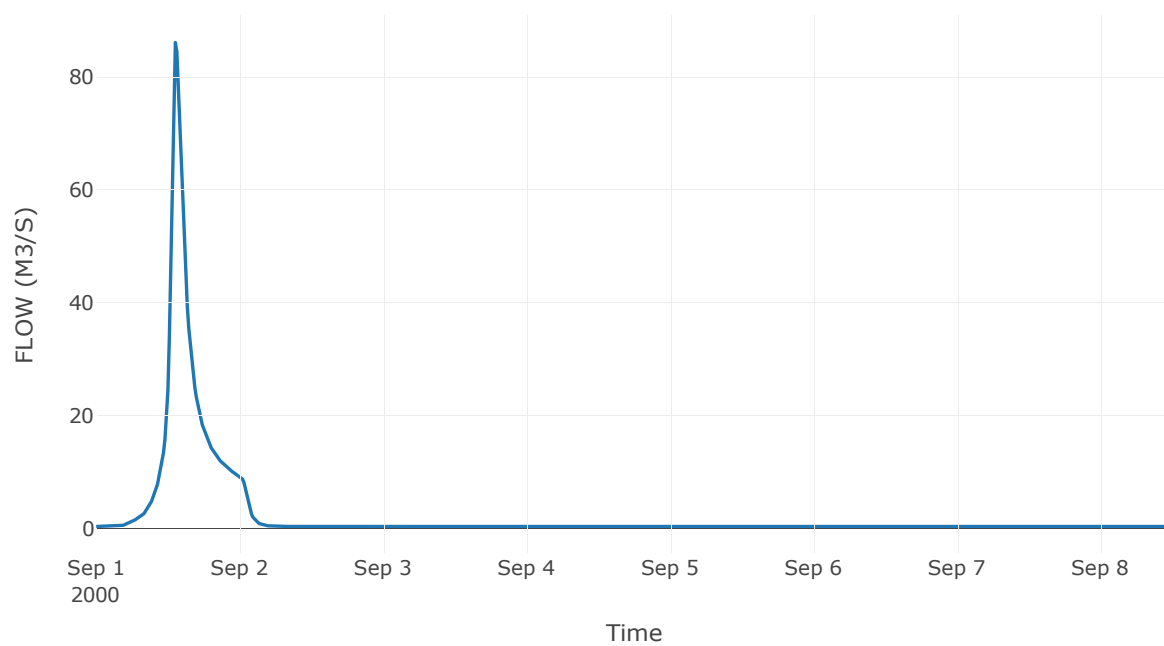
Κόμβος: J15

Κατάντη : R1514

Αποτελέσματα: J15

Παροχή Αιχμής(M3/S)	86.13
Χρονική στιγμή αιχμής	01Sep2000, 13:15
Όγκος(MM)	111.83

Απορροή



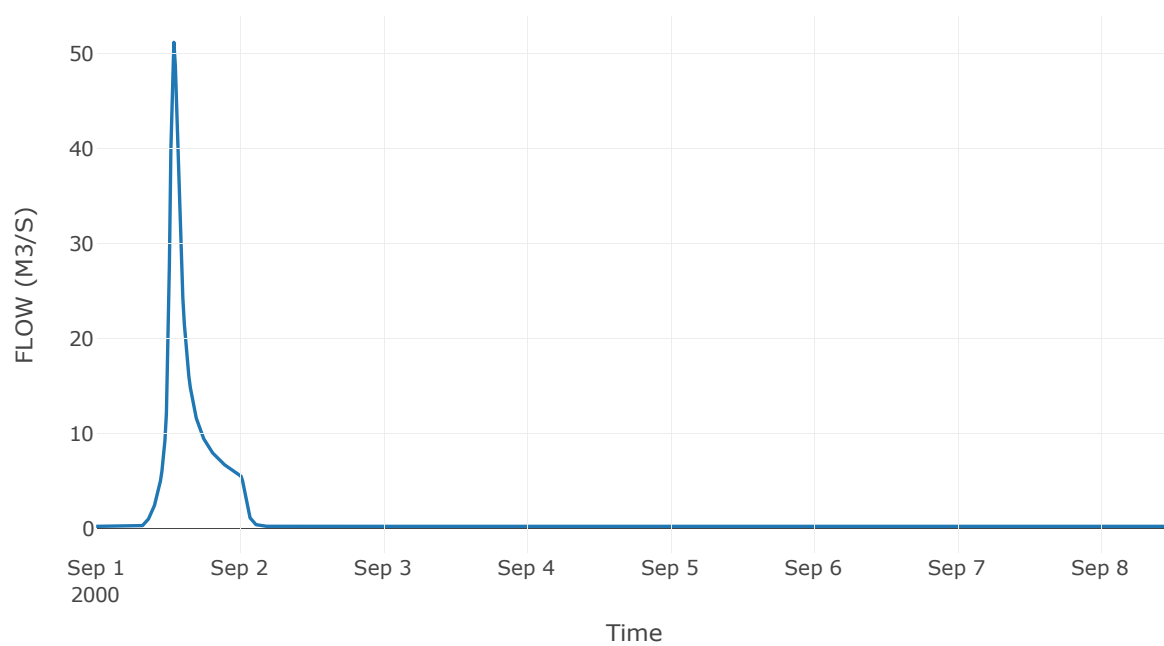
Κόμβος: J16

Κατάντη : R1615

Αποτελέσματα: J16

Παροχή Αιχμής(M3/S)	51.2
Χρονική στιγμή αιχμής	01Sep2000, 13:00
Όγκος(MM)	92.27

Απορροή



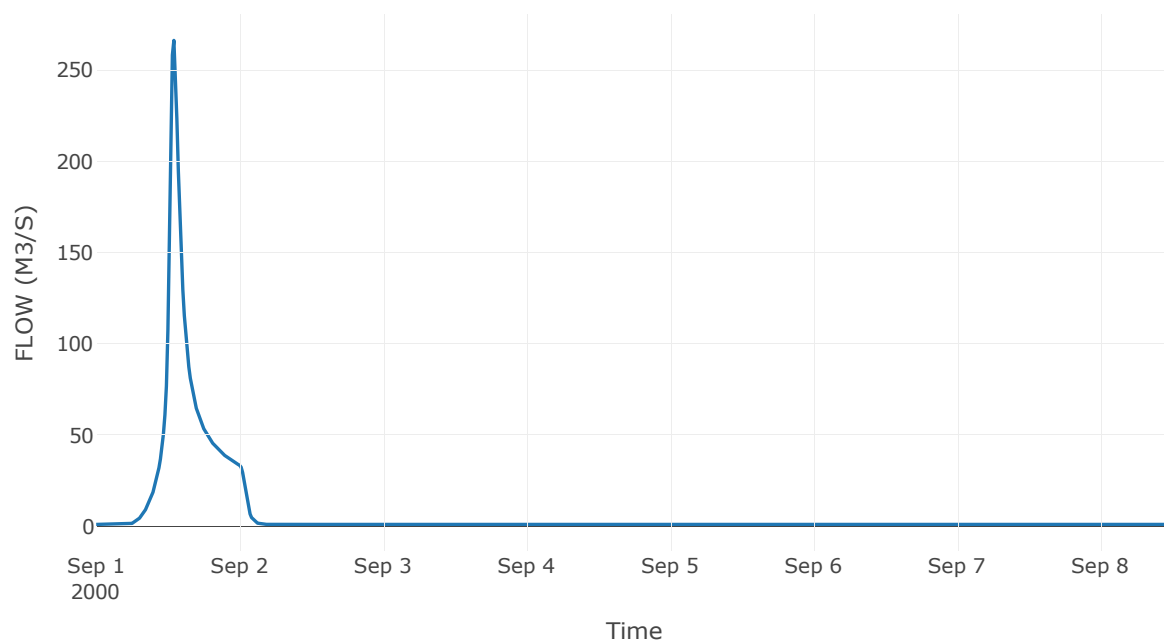
Κόμβος: J17

Κατάντη : R1720

Αποτελέσματα: J17

Παροχή Αιχμής(M3/S)	266.23
Χρονική στιγμή αιχμής	01Sep2000, 13:00
Όγκος(MM)	103.69

Απορροή



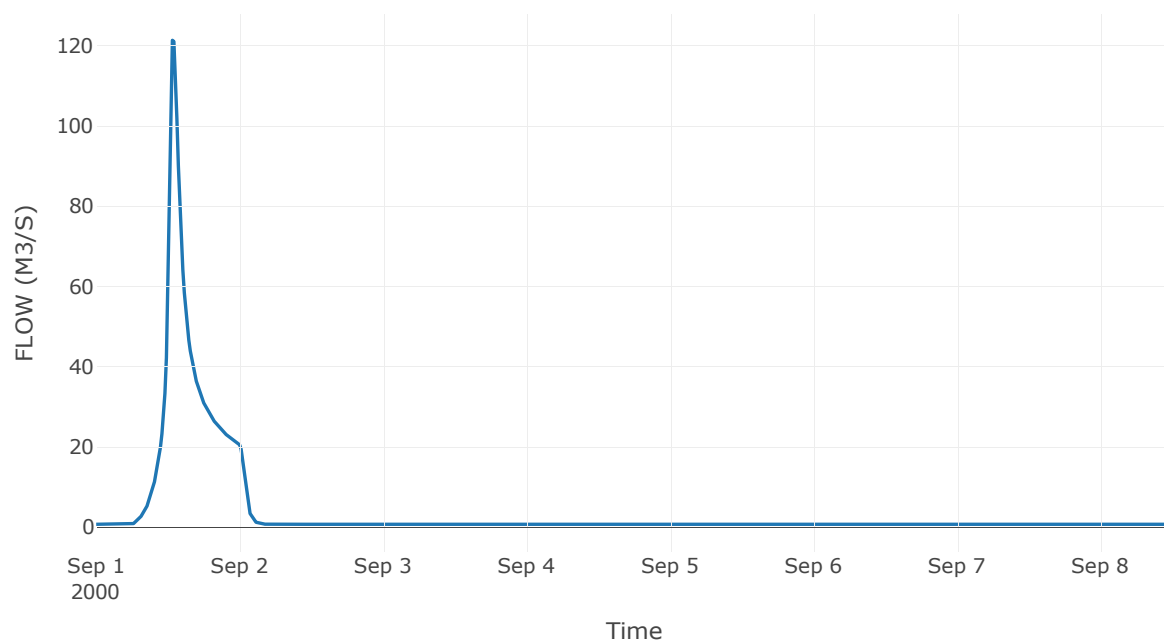
Κόμβος: J18

Κατάντη : R1817

Αποτελέσματα: J18

Παροχή Αιχμής(M3/S)	121.31
Χρονική στιγμή αιχμής	01Sep2000, 12:45
Όγκος(MM)	93.17

Απορροή



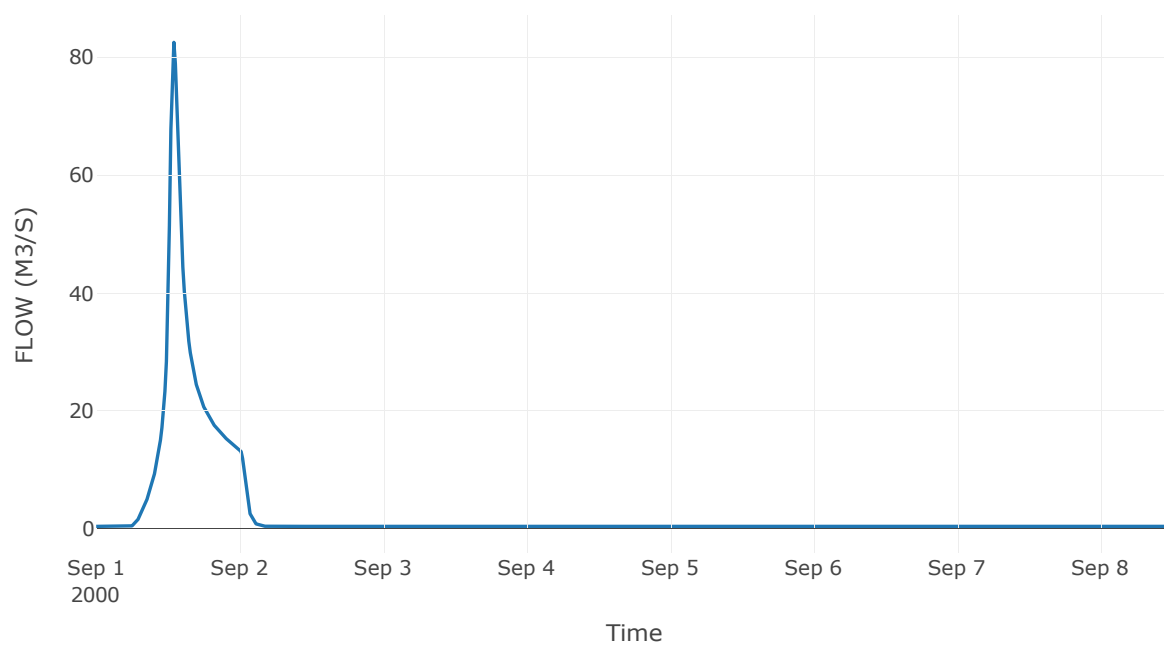
Κόμβος: J19

Κατάντη : R1918

Αποτελέσματα: J19

Παροχή Αιχμής(M3/S)	82.52
Χρονική στιγμή αιχμής	01Sep2000, 13:00
Όγκος(MM)	103.32

Απορροή



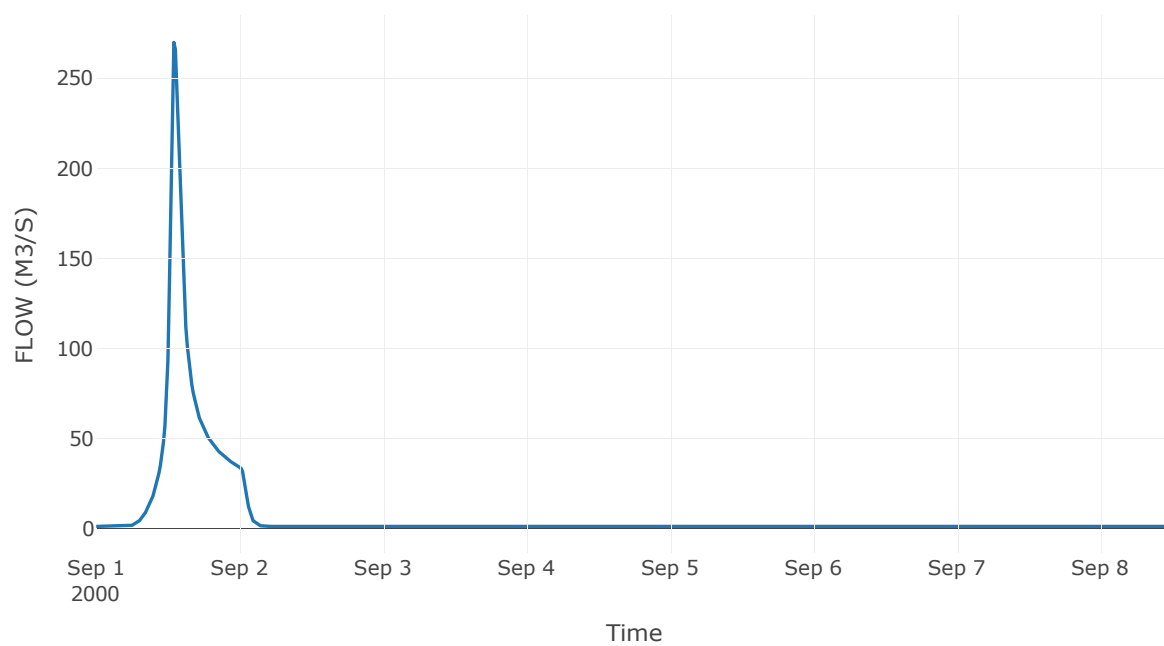
Κόμβος: J20

Κατάντη : R2010

Αποτελέσματα: J20

Παροχή Αιχμής(M3/S)	270.01
Χρονική στιγμή αιχμής	01Sep2000, 13:00
Όγκος(MM)	104.36

Απορροή



5 Δεδομένα εισόδου και αποτελέσματα υδρολογικού σεναρίου T=100

5.1 Αποτελέσματα, υετογραφήματα και υδρογραφήματα σχεδιασμού υπολεκανών

Υπολεκάνη: EL0415FL007001

Έκταση (KM2) : 9.22

Κατάντη : J1

Μέθοδος Απωλειών: SCS

Ποσοστό αδιαπέρατης επιφάνειας	95
Αριθμός Καμπύλης Απορροής-CN	99
Αρχικές Απώλειες	0.51

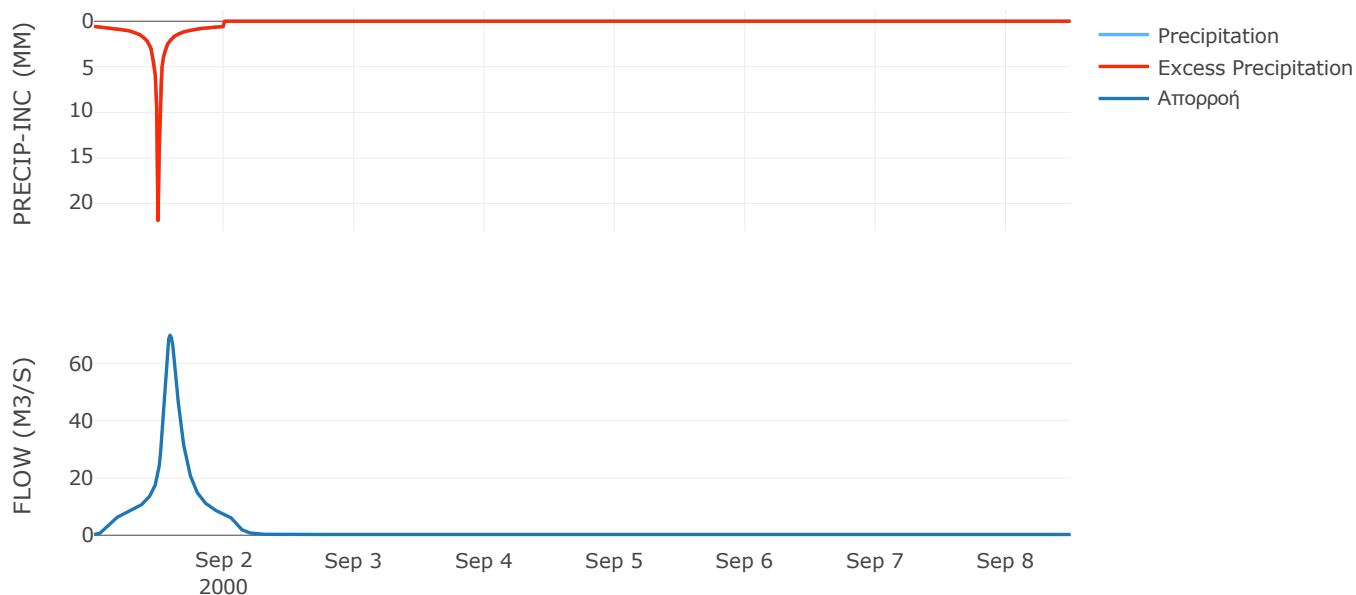
Μέθοδος
Μετασχηματισμού: SCS

Χρόνος Υστέρησης	120.1
------------------	-------

Αποτελέσματα:
EL0415FL007001

Παροχή αιχμής (M3/S)	69.86
Χρονική στιγμή αιχμής	01Sep2000, 14:00
Όγκος (MM)	191.12
Όγκος βροχόπτωσης (M3)	1.6E6
Όγκος απωλειών (M3)	1402.76
Ενεργός Όγκος (M3)	1.6E6
Όγκος άμεσης απορροής (M3)	1.6E6
Όγκος βασικής απορροής (M3)	1.67E5

Βροχόπτωση και Απορροή



Υπολεκάνη: EL0415FL007002

Έκταση (KM2) : 10.54

Κατάντη : J2

Μέθοδος Απωλειών: SCS

Ποσοστό αδιαπέρατης επιφάνειας	0
Αριθμός Καμπύλης Απορροής-CN	64.99
Αρχικές Απώλειες	27.37

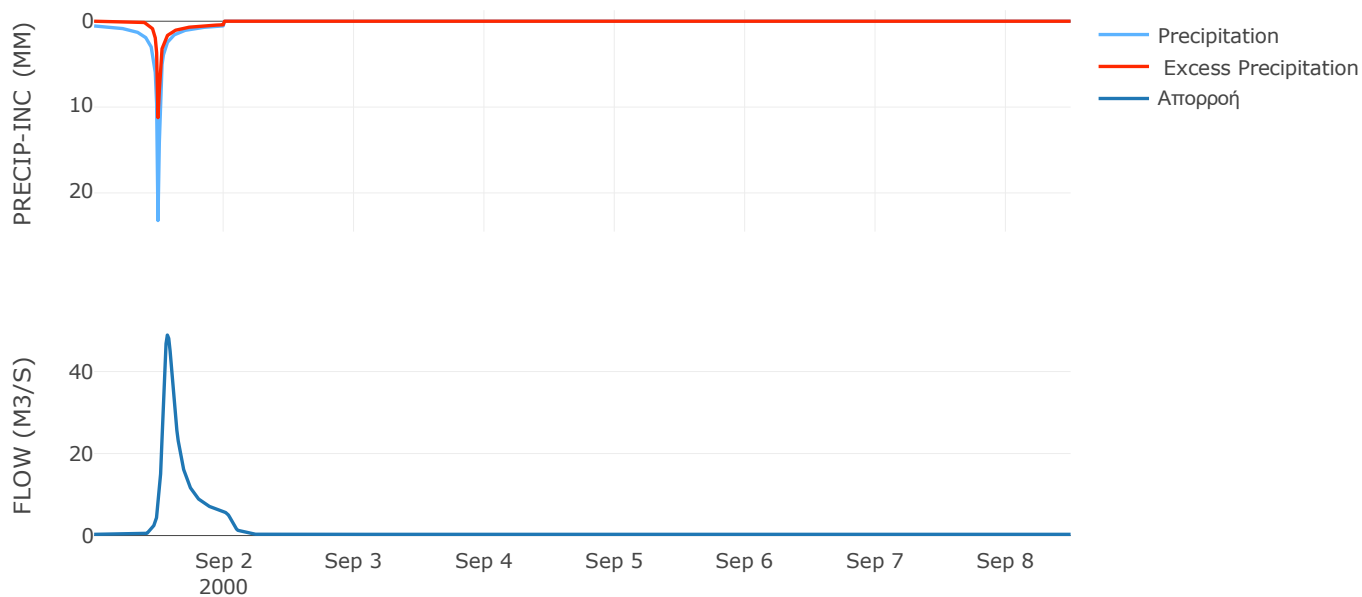
Μέθοδος
Μετασχηματισμού: SCS

Χρόνος Υστέρησης	82
------------------	----

Αποτελέσματα:
EL0415FL007002

Παροχή αιχμής (M3/S)	48.89
Χρονική στιγμή αιχμής	01Sep2000, 13:30
Όγκος (MM)	92.07
Όγκος βροχόπτωσης (M3)	1.81E6
Όγκος απωλειών (M3)	1.03E6
Ενεργός Όγκος (M3)	7.8E5
Όγκος άμεσης απορροής (M3)	7.8E5
Όγκος βασικής απορροής (M3)	1.91E5

Βροχόπτωση και Απορροή



Υπολεκάνη: EL0415FL007003

Έκταση (KM2) : 7.3

Κατάντη : J3

Μέθοδος Απωλειών: SCS

Ποσοστό αδιαπέρατης επιφάνειας	0
Αριθμός Καμπύλης Απορροής-CN	61.79
Αρχικές Απώλειες	31.41

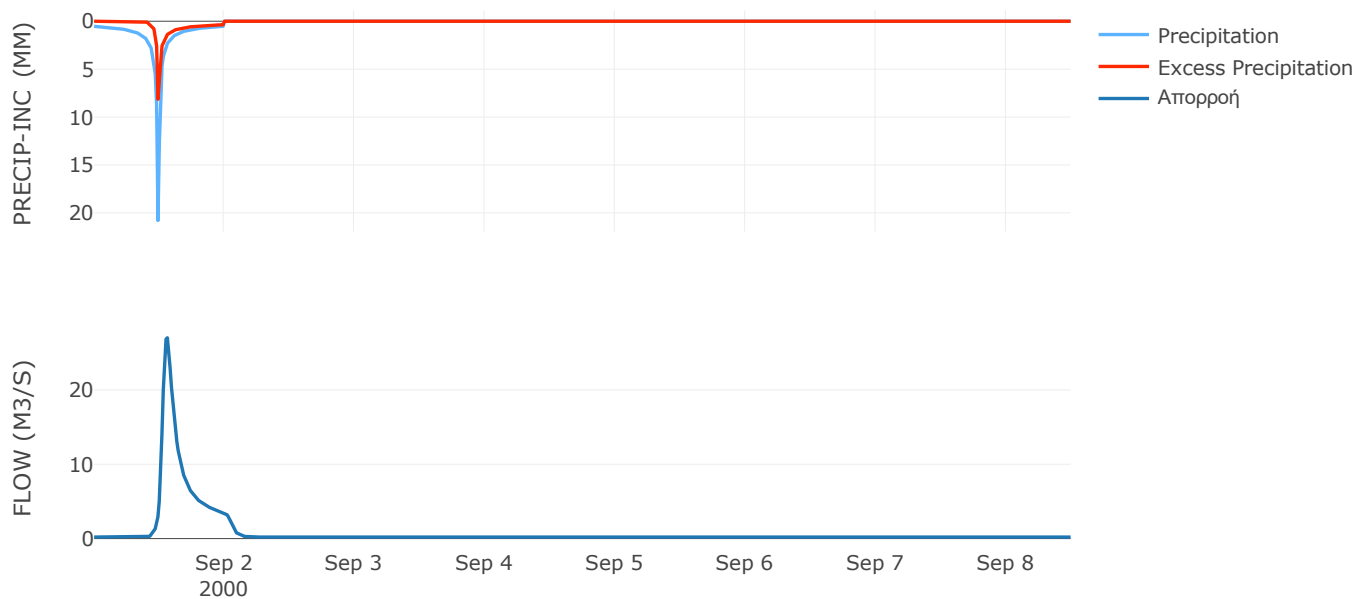
Μέθοδος
Μετασχηματισμού: SCS

Χρόνος Υστέρησης	72.05
------------------	-------

Αποτελέσματα:
EL0415FL007003

Παροχή αιχμής (M3/S)	27.01
Χρονική στιγμή αιχμής	01Sep2000, 13:30
Όγκος (MM)	76.03
Όγκος βροχόπτωσης (M3)	1.17E6
Όγκος απωλειών (M3)	7.46E5
Ενεργός Όγκος (M3)	4.23E5
Όγκος άμεσης απορροής (M3)	4.23E5
Όγκος βασικής απορροής (M3)	1.32E5

Βροχόπτωση και Απορροή



Υπολεκάνη: EL0415FL007004

Έκταση (KM2) : 9.79

Κατάντη : J16

Μέθοδος Απωλειών: SCS

Ποσοστό αδιαπέρατης επιφάνειας	0
Αριθμός Καμπύλης Απορροής-CN	50.65
Αρχικές Απώλειες	49.49

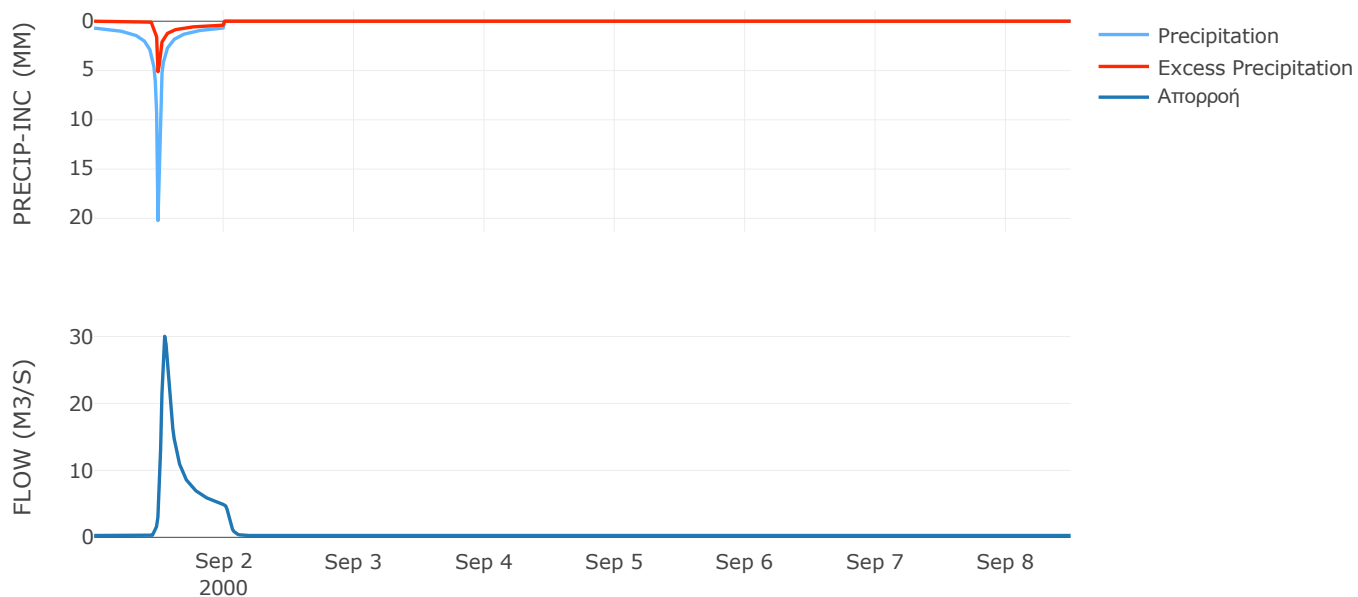
Μέθοδος
Μετασχηματισμού: SCS

Χρόνος Υστέρησης	49.7
------------------	------

Αποτελέσματα:
EL0415FL007004

Παροχή αιχμής (M3/S)	30.02
Χρονική στιγμή αιχμής	01Sep2000, 13:00
Όγκος (MM)	66.26
Όγκος βροχόπτωσης (M3)	1.81E6
Όγκος απωλειών (M3)	1.34E6
Ενεργός Όγκος (M3)	4.71E5
Όγκος άμεσης απορροής (M3)	4.71E5
Όγκος βασικής απορροής (M3)	1.78E5

Βροχόπτωση και Απορροή



Υπολεκάνη: EL0415FL007005

Έκταση (KM2) : 17.4

Κατάντη : J19

Μέθοδος Απωλειών: SCS

Ποσοστό αδιαπέρατης επιφάνειας	0
Αριθμός Καμπύλης Απορροής-CN	53.29
Αρχικές Απώλειες	44.53

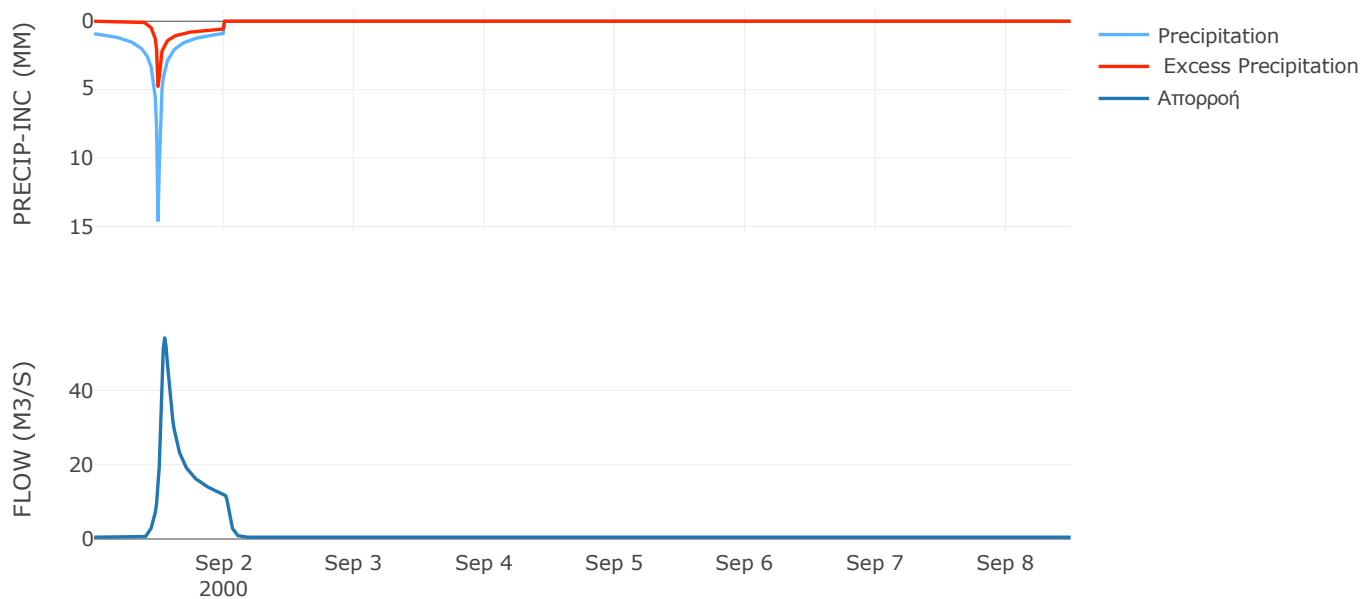
Μέθοδος
Μετασχηματισμού: SCS

Χρόνος Υστέρησης	49.58
------------------	-------

Αποτελέσματα:
EL0415FL007005

Παροχή αιχμής (M3/S)	54.15
Χρονική στιγμή αιχμής	01Sep2000, 13:00
Όγκος (MM)	77.64
Όγκος βροχόπτωσης (M3)	3.36E6
Όγκος απωλειών (M3)	2.33E6
Ενεργός Όγκος (M3)	1.04E6
Όγκος άμεσης απορροής (M3)	1.04E6
Όγκος βασικής απορροής (M3)	3.16E5

Βροχόπτωση και Απορροή



Υπολεκάνη: EL0415FL007006

Έκταση (KM2) : 2.23

Κατάντη : J18

Μέθοδος Απωλειών: SCS

Ποσοστό αδιαπέρατης επιφάνειας	0
Αριθμός Καμπύλης Απορροής-CN	44.02
Αρχικές Απώλειες	64.6

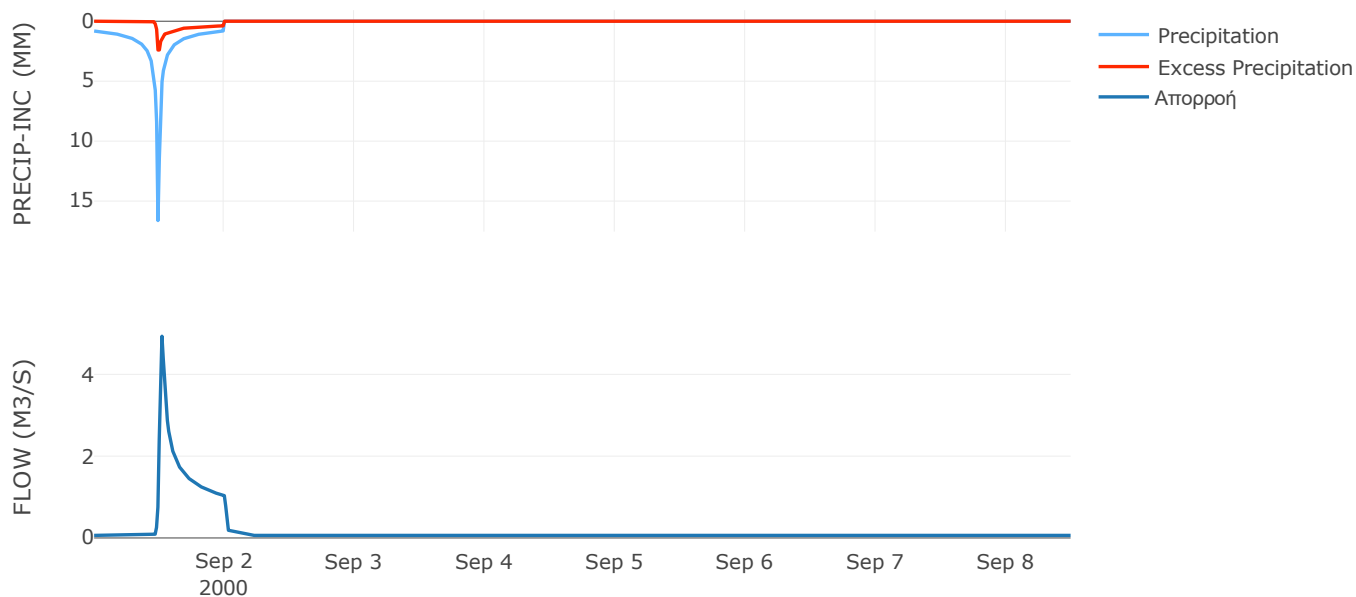
Μέθοδος
Μετασχηματισμού: SCS

Χρόνος Υστέρησης	18.96
------------------	-------

Αποτελέσματα:
EL0415FL007006

Παροχή αιχμής (M3/S)	4.93
Χρονική στιγμή αιχμής	01Sep2000, 12:30
Όγκος (MM)	52.71
Όγκος βροχόπτωσης (M3)	4.22E5
Όγκος απωλειών (M3)	3.45E5
Ενεργός Όγκος (M3)	77196.72
Όγκος άμεσης απορροής (M3)	77196.72
Όγκος βασικής απορροής (M3)	40515.55

Βροχόπτωση και Απορροή



Υπολεκάνη: EL0415FL007007

Έκταση (KM2) : 9.16

Κατάντη : J18

Μέθοδος Απωλειών: SCS

Ποσοστό αδιαπέρατης επιφάνειας	0
Αριθμός Καμπύλης Απορροής-CN	42.05
Αρχικές Απώλειες	70.02

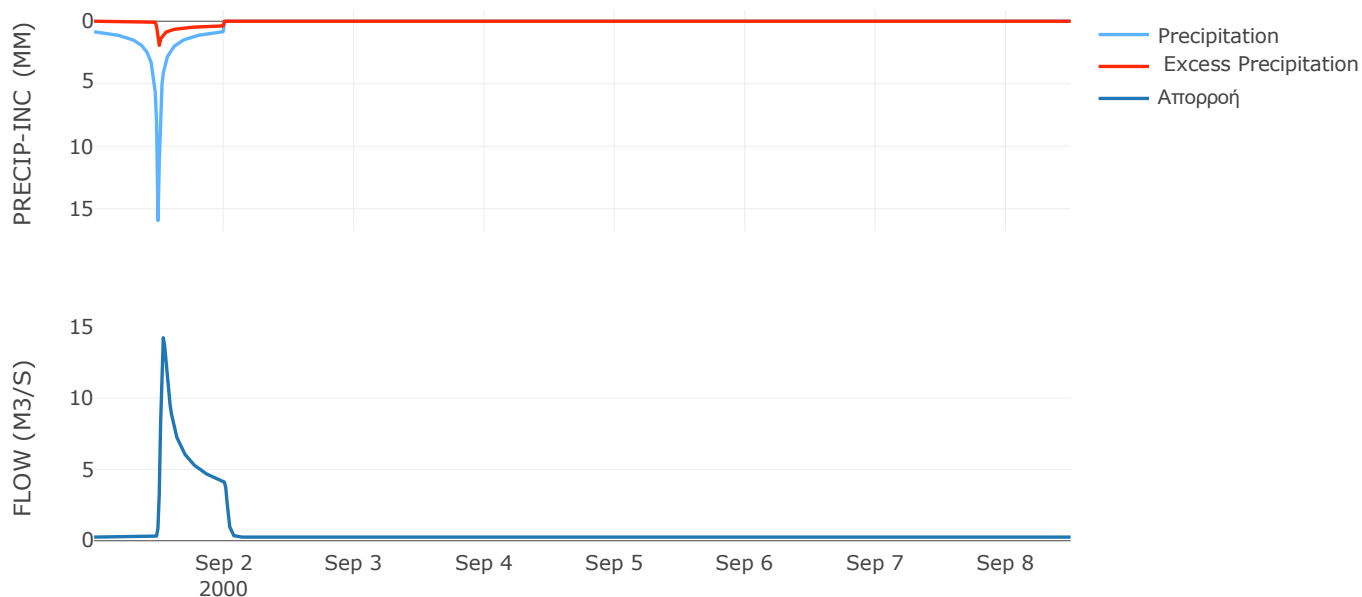
Μέθοδος
Μετασχηματισμού: SCS

Χρόνος Υστέρησης	30.86
------------------	-------

Αποτελέσματα:
EL0415FL007007

Παροχή αιχμής (M3/S)	14.23
Χρονική στιγμή αιχμής	01Sep2000, 12:45
Όγκος (MM)	48.74
Όγκος βροχόπτωσης (M3)	1.74E6
Όγκος απωλειών (M3)	1.46E6
Ενεργός Όγκος (M3)	2.8E5
Όγκος άμεσης απορροής (M3)	2.8E5
Όγκος βασικής απορροής (M3)	1.66E5

Βροχόπτωση και Απορροή



Υπολεκάνη: EL0415FL007008

Έκταση (KM2) : 7.8

Κατάληξη : J17

Μέθοδος Απωλειών: SCS

Ποσοστό αδιαπέρατης επιφάνειας	0
Αριθμός Καμπύλης Απορροής-CN	51.98
Αρχικές Απώλειες	46.94

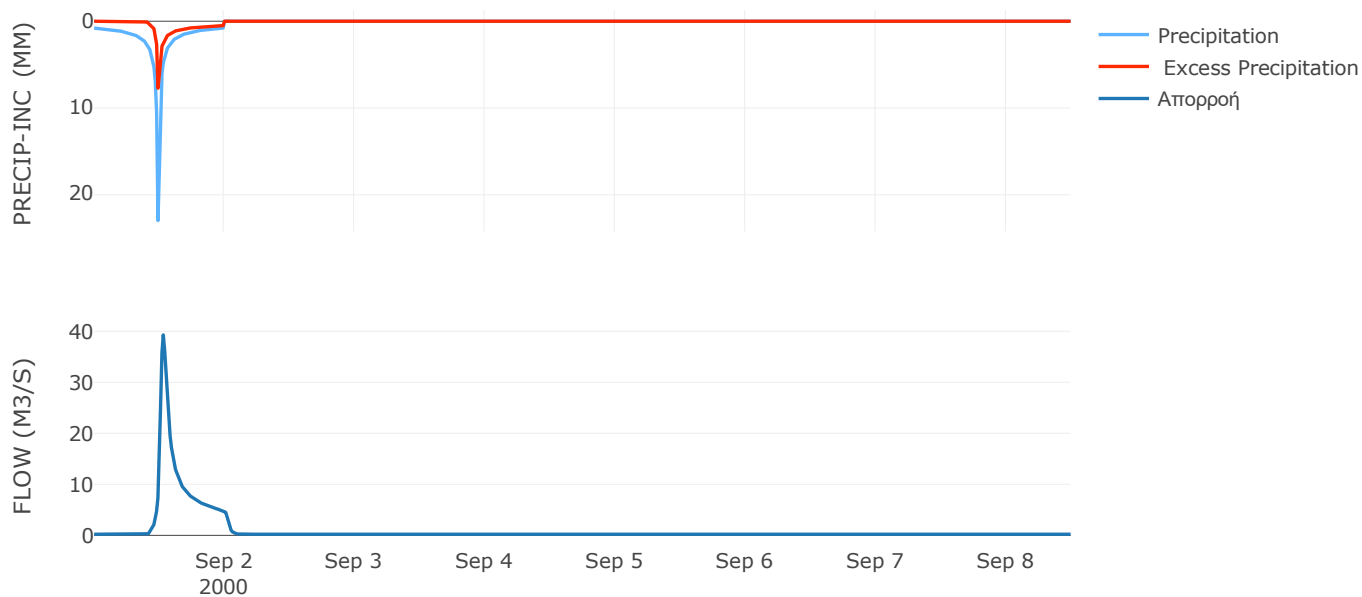
Μέθοδος
Μετασχηματισμού: SCS

Χρόνος Υστέρησης	38.07
------------------	-------

Αποτελέσματα:
EL0415FL007008

Παροχή αιχμής (M3/S)	39.27
Χρονική στιγμή αιχμής	01Sep2000, 12:45
Όγκος (MM)	85.19
Όγκος βροχόπτωσης (M3)	1.64E6
Όγκος απωλειών (M3)	1.12E6
Ενεργός Όγκος (M3)	5.23E5
Όγκος άμεσης απορροής (M3)	5.23E5
Όγκος βασικής απορροής (M3)	1.42E5

Βροχόπτωση και Απορροή



Υπολεκάνη: EL0415FL007009

Έκταση (KM2) : 11.83

Κατάντη : J17

Μέθοδος Απωλειών: SCS

Ποσοστό αδιαπέρατης επιφάνειας	0
Αριθμός Καμπύλης Απορροής-CN	65.08
Αρχικές Απώλειες	27.26

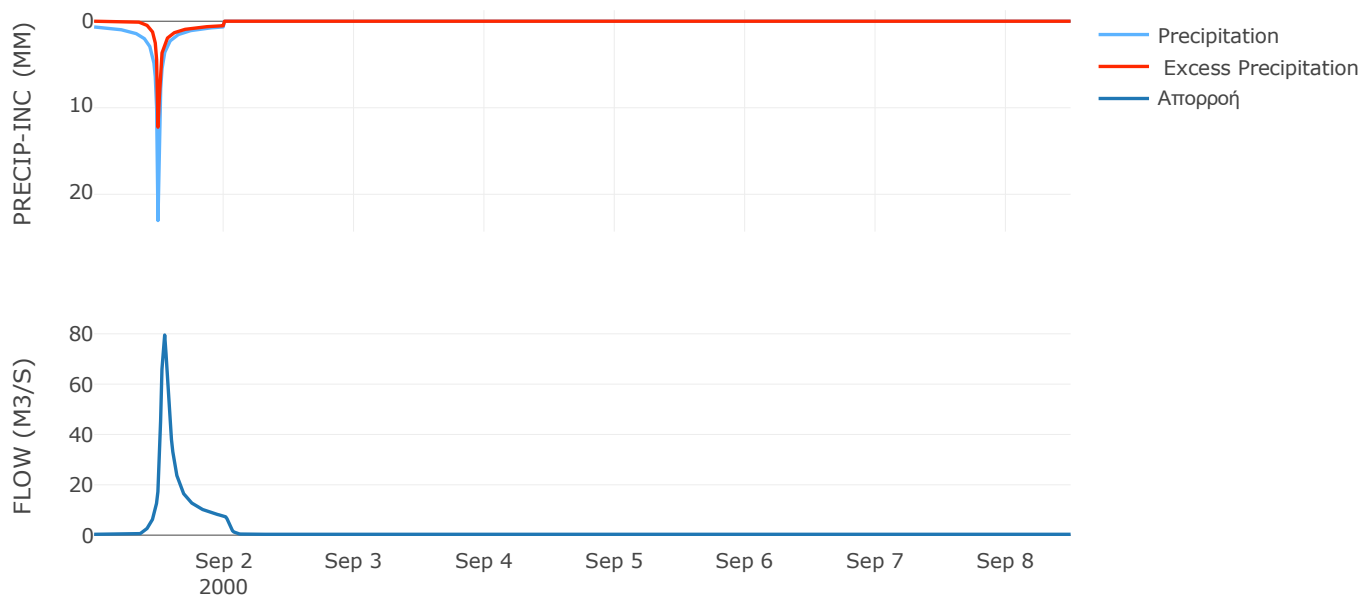
Μέθοδος
Μετασχηματισμού: SCS

Χρόνος Υστέρησης	49.2
------------------	------

Αποτελέσματα:
EL0415FL007009

Παροχή αιχμής (M3/S)	79.52
Χρονική στιγμή αιχμής	01Sep2000, 13:00
Όγκος (MM)	106.71
Όγκος βροχόπτωσης (M3)	2.25E6
Όγκος απωλειών (M3)	1.2E6
Ενεργός Όγκος (M3)	1.05E6
Όγκος άμεσης απορροής (M3)	1.05E6
Όγκος βασικής απορροής (M3)	2.15E5

Βροχόπτωση και Απορροή



Υπολεκάνη: EL0415FL007010

Έκταση (KM2) : 1.62

Κατάντη : J10

Μέθοδος Απωλειών: SCS

Ποσοστό αδιαπέρατης επιφάνειας	0
Αριθμός Καμπύλης Απορροής-CN	79.15
Αρχικές Απώλειες	13.38

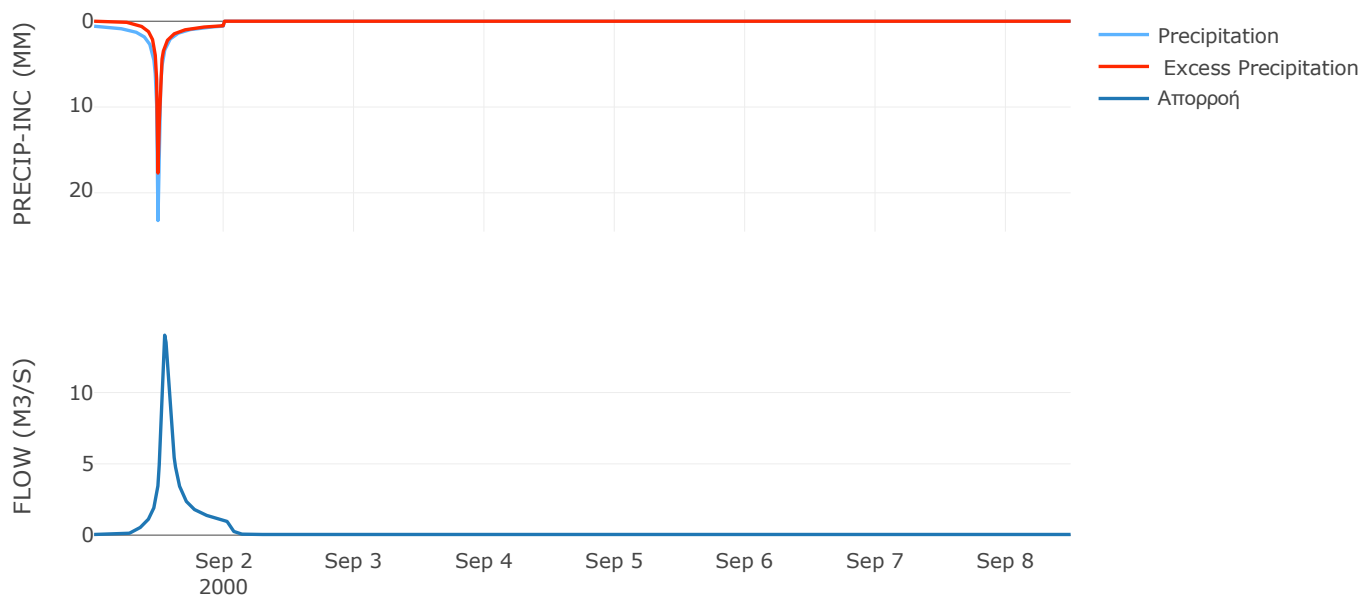
Μέθοδος
Μετασχηματισμού: SCS

Χρόνος Υστέρησης	59.22
------------------	-------

Αποτελέσματα:
EL0415FL007010

Παροχή αιχμής (M3/S)	14.02
Χρονική στιγμή αιχμής	01Sep2000, 13:00
Όγκος (MM)	134.28
Όγκος βροχόπτωσης (M3)	2.86E5
Όγκος απωλειών (M3)	98510.93
Ενεργός Όγκος (M3)	1.88E5
Όγκος άμεσης απορροής (M3)	1.88E5
Όγκος βασικής απορροής (M3)	29356.99

Βροχόπτωση και Απορροή



Υπολεκάνη: EL0415FL007011

Έκταση (KM2) : 3.11

Κατάντη : J11

Μέθοδος Απωλειών: SCS

Ποσοστό αδιαπέρατης επιφάνειας	0
Αριθμός Καμπύλης Απορροής-CN	68.31
Αρχικές Απώλειες	23.57

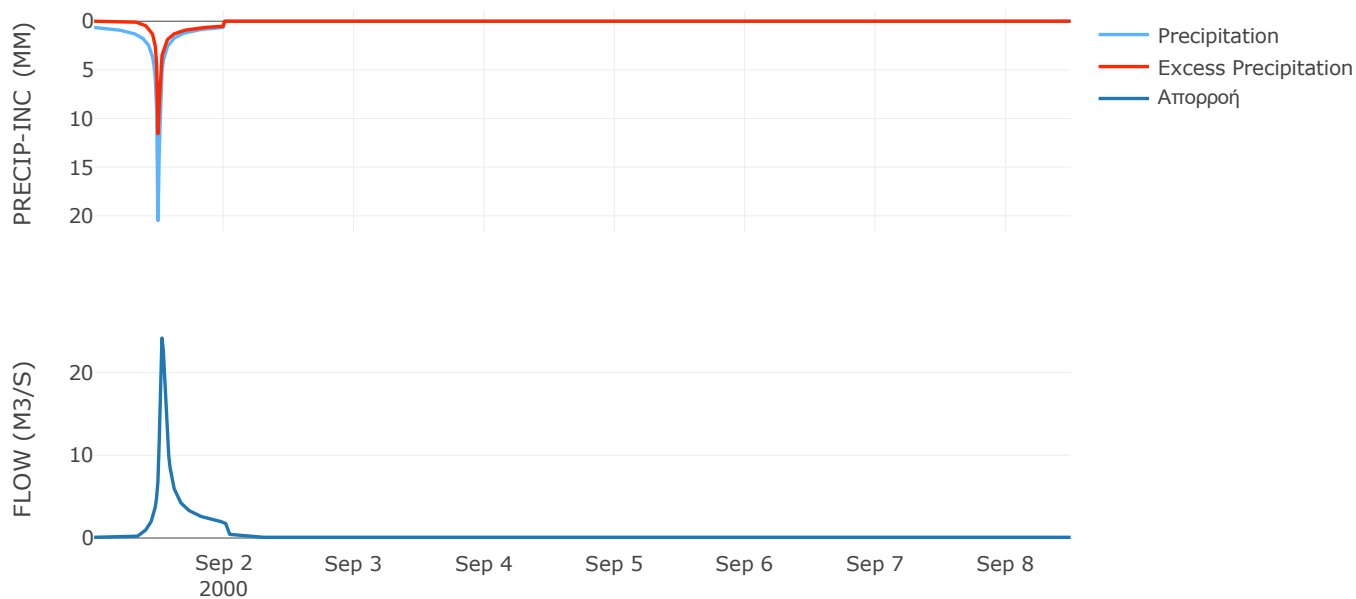
Μέθοδος
Μετασχηματισμού: SCS

Χρόνος Υστέρησης	31.27
------------------	-------

Αποτελέσματα:
EL0415FL007011

Παροχή αιχμής (M3/S)	24.16
Χρονική στιγμή αιχμής	01Sep2000, 12:30
Όγκος (MM)	105.19
Όγκος βροχόπτωσης (M3)	5.51E5
Όγκος απωλειών (M3)	2.81E5
Ενεργός Όγκος (M3)	2.7E5
Όγκος άμεσης απορροής (M3)	2.7E5
Όγκος βασικής απορροής (M3)	56373.41

Βροχόπτωση και Απορροή



Υπολεκάνη: EL0415FL007012

Έκταση (KM2) : 4.8

Κατάντη : J10

Μέθοδος Απωλειών: SCS

Ποσοστό αδιαπέρατης επιφάνειας	0
Αριθμός Καμπύλης Απορροής-CN	74.39
Αρχικές Απώλειες	17.49

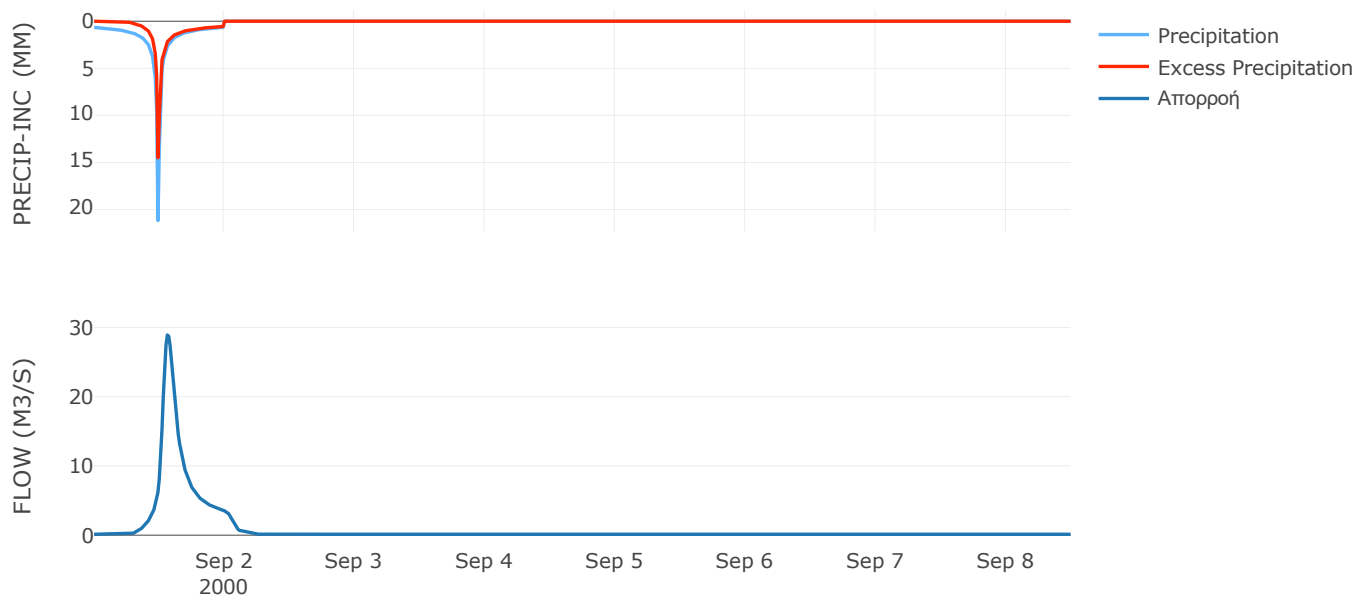
Μέθοδος
Μετασχηματισμού: SCS

Χρόνος Υστέρησης	88.5
------------------	------

Αποτελέσματα:
EL0415FL007012

Παροχή αιχμής (M3/S)	28.92
Χρονική στιγμή αιχμής	01Sep2000, 13:30
Όγκος (MM)	124.61
Όγκος βροχόπτωσης (M3)	8.68E5
Όγκος απωλειών (M3)	3.57E5
Ενεργός Όγκος (M3)	5.11E5
Όγκος άμεσης απορροής (M3)	5.11E5
Όγκος βασικής απορροής (M3)	87091.2

Βροχόπτωση και Απορροή



Υπολεκάνη: EL0415FL007013

Έκταση (KM2) : 1.31

Κατάνη : J15

Μέθοδος Απωλειών: SCS

Ποσοστό αδιαπέρατης επιφάνειας	0
Αριθμός Καμπύλης Απορροής-CN	79.19
Αρχικές Απώλειες	13.35

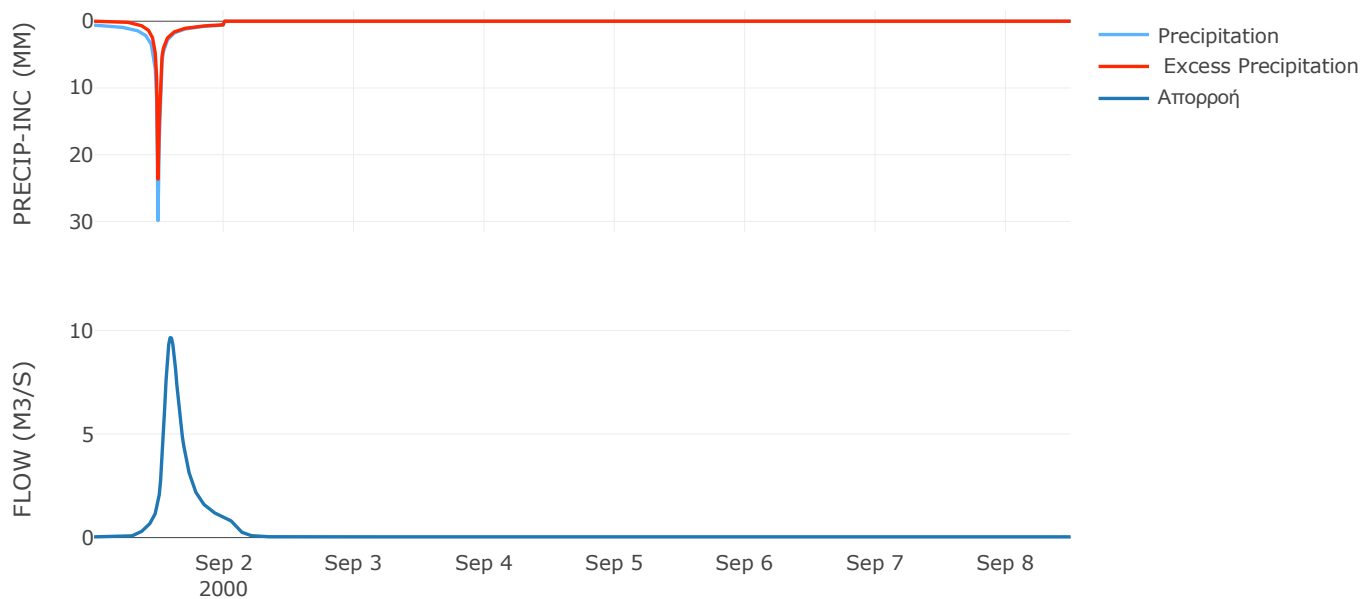
Μέθοδος
Μετασχηματισμού: SCS

Χρόνος Υστέρησης	120.01
------------------	--------

Αποτελέσματα:
EL0415FL007013

Παροχή αιχμής (M3/S)	9.65
Χρονική στιγμή αιχμής	01Sep2000, 14:00
Όγκος (MM)	154.48
Όγκος βροχόπτωσης (M3)	2.61E5
Όγκος απωλειών (M3)	82035.71
Ενεργός Όγκος (M3)	1.79E5
Όγκος άμεσης απορροής (M3)	1.79E5
Όγκος βασικής απορροής (M3)	23841.22

Βροχόπτωση και Απορροή



Υπολεκάνη: EL0415FL007014

Έκταση (KM2) : 3.5

Κατάνη : J15

Μέθοδος Απωλειών: SCS

Ποσοστό αδιαπέρατης επιφάνειας	0
Αριθμός Καμπύλης Απορροής-CN	76.47
Αρχικές Απώλειες	15.63

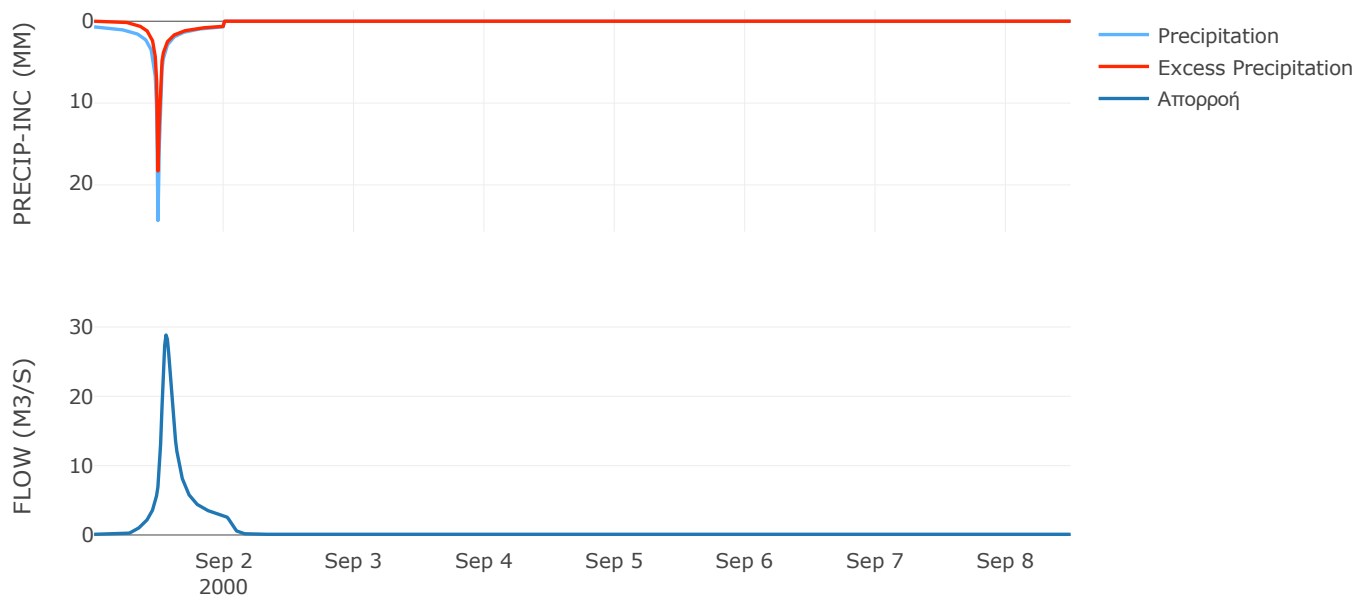
Μέθοδος
Μετασχηματισμού: SCS

Χρόνος Υστέρησης	73.61
------------------	-------

Αποτελέσματα:
EL0415FL007014

Παροχή αιχμής (M3/S)	28.84
Χρονική στιγμή αιχμής	01Sep2000, 13:15
Όγκος (MM)	146.85
Όγκος βροχόπτωσης (M3)	6.98E5
Όγκος απωλειών (M3)	2.47E5
Ενεργός Όγκος (M3)	4.51E5
Όγκος άμεσης απορροής (M3)	4.51E5
Όγκος βασικής απορροής (M3)	63558.43

Βροχόπτωση και Απορροή



Υπολεκάνη: EL0415FL007015

Έκταση (KM2) : 0.6

Κατάντη : J20

Μέθοδος Απωλειών: SCS

Ποσοστό αδιαπέρατης επιφάνειας	0
Αριθμός Καμπύλης Απορροής-CN	80.97
Αρχικές Απώλειες	11.94

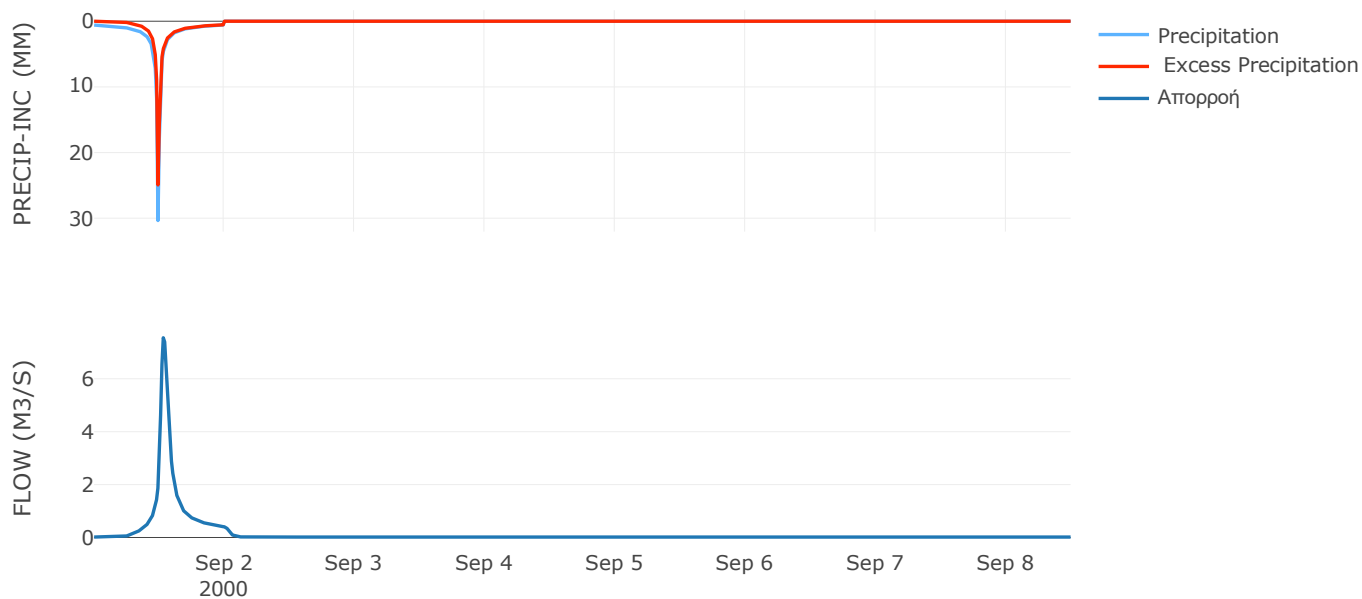
Μέθοδος
Μετασχηματισμού: SCS

Χρόνος Υστέρησης	49.43
------------------	-------

Αποτελέσματα:
EL0415FL007015

Παροχή αιχμής (M3/S)	7.55
Χρονική στιγμή αιχμής	01Sep2000, 12:45
Όγκος (MM)	160.76
Όγκος βροχόπτωσης (M3)	1.2E5
Όγκος απωλειών (M3)	34279.68
Ενεργός Όγκος (M3)	85427.16
Όγκος άμεσης απορροής (M3)	85427.16
Όγκος βασικής απορροής (M3)	10868.26

Βροχόπτωση και Απορροή



Υπολεκάνη: EL0415FL007016

Έκταση (KM2) : 0.07

Κατάντη : J14

Μέθοδος Απωλειών: SCS

Ποσοστό αδιαπέρατης επιφάνειας	0
Αριθμός Καμπύλης Απορροής-CN	78
Αρχικές Απώλειες	14.33

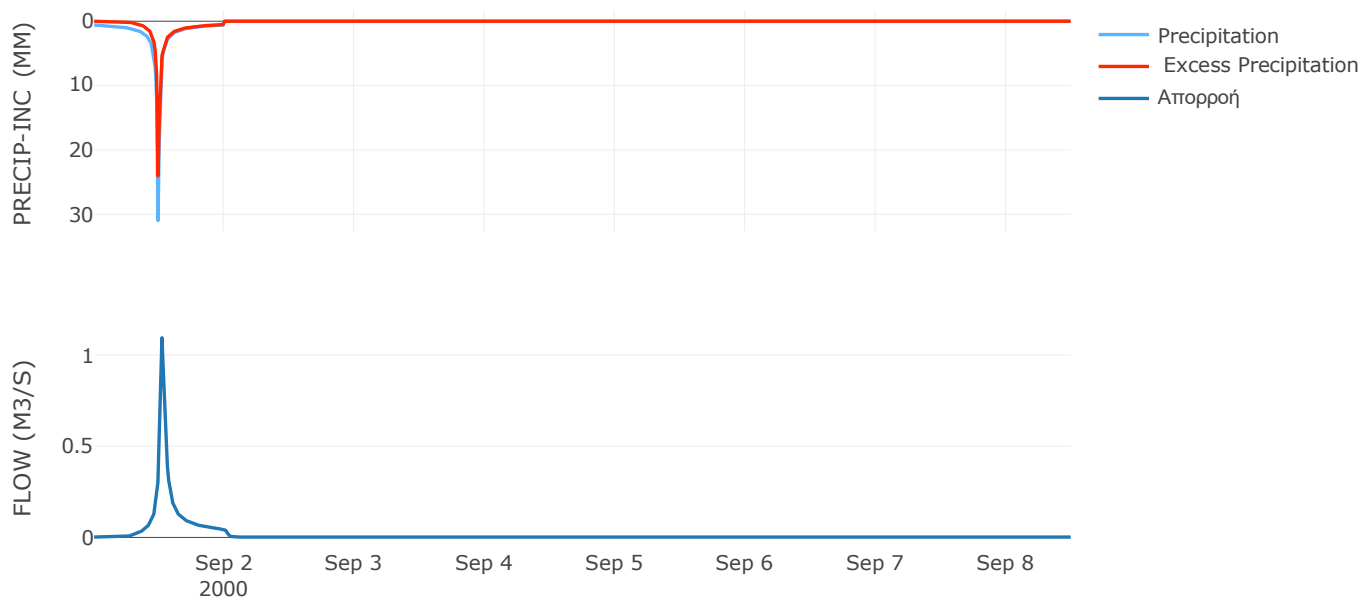
Μέθοδος
Μετασχηματισμού: SCS

Χρόνος Υστέρησης	28.26
------------------	-------

Αποτελέσματα:
EL0415FL007016

Παροχή αιχμής (M3/S)	1.09
Χρονική στιγμή αιχμής	01Sep2000, 12:30
Όγκος (MM)	153.14
Όγκος βροχόπτωσης (M3)	14077.27
Όγκος απωλειών (M3)	4627.57
Ενεργός Όγκος (M3)	9449.7
Όγκος άμεσης απορροής (M3)	9449.7
Όγκος βασικής απορροής (M3)	1270.08

Βροχόπτωση και Απορροή



Υπολεκάνη: EL0415FL007017

Έκταση (KM2) : 0.12

Κατάντη : J13

Μέθοδος Απωλειών: SCS

Ποσοστό αδιαπέρατης επιφάνειας	0
Αριθμός Καμπύλης Απορροής-CN	77.52
Αρχικές Απώλειες	14.73

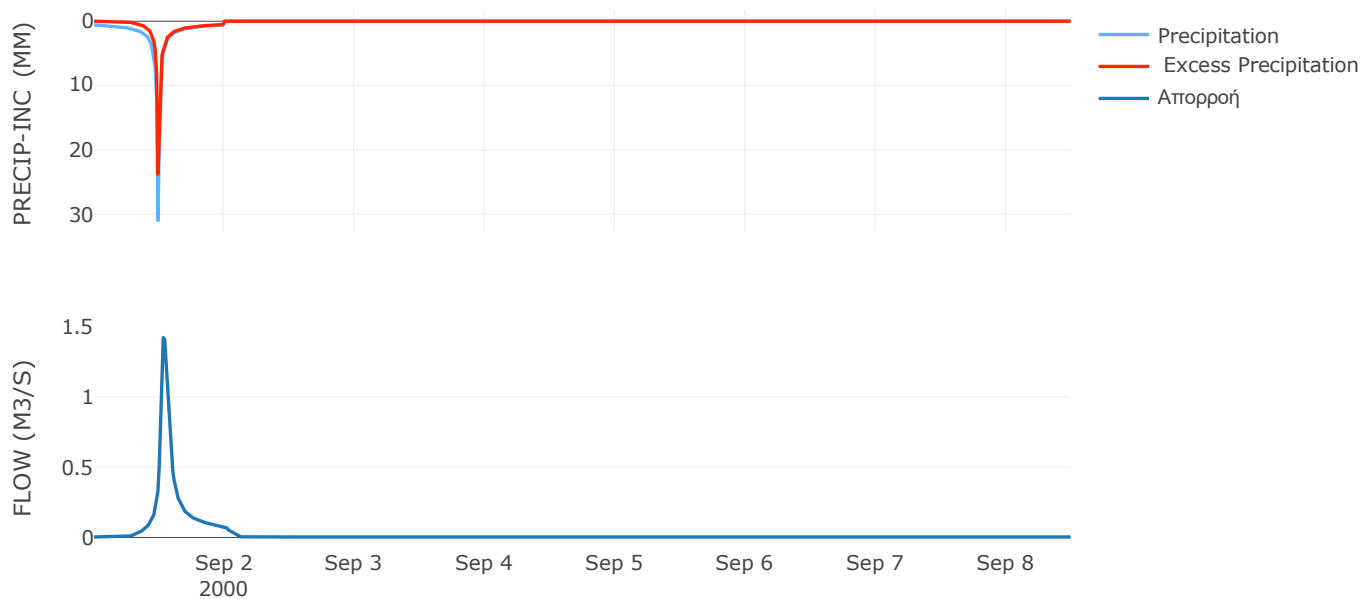
Μέθοδος
Μετασχηματισμού: SCS

Χρόνος Υστέρησης	50.01
------------------	-------

Αποτελέσματα:
EL0415FL007017

Παροχή αιχμής (M3/S)	1.42
Χρονική στιγμή αιχμής	01Sep2000, 12:45
Όγκος (MM)	151.72
Όγκος βροχόπτωσης (M3)	24132.47
Όγκος απωλειών (M3)	8103.27
Ενεργός Όγκος (M3)	16029.2
Όγκος άμεσης απορροής (M3)	16029.2
Όγκος βασικής απορροής (M3)	2177.28

Βροχόπτωση και Απορροή



Υπολεκάνη: EL0415FL007018

Έκταση (KM2) : 6.09

Κατάνη : J7

Μέθοδος Απωλειών: SCS

Ποσοστό αδιαπέρατης επιφάνειας	0
Αριθμός Καμπύλης Απορροής-CN	66.15
Αρχικές Απώλειες	26

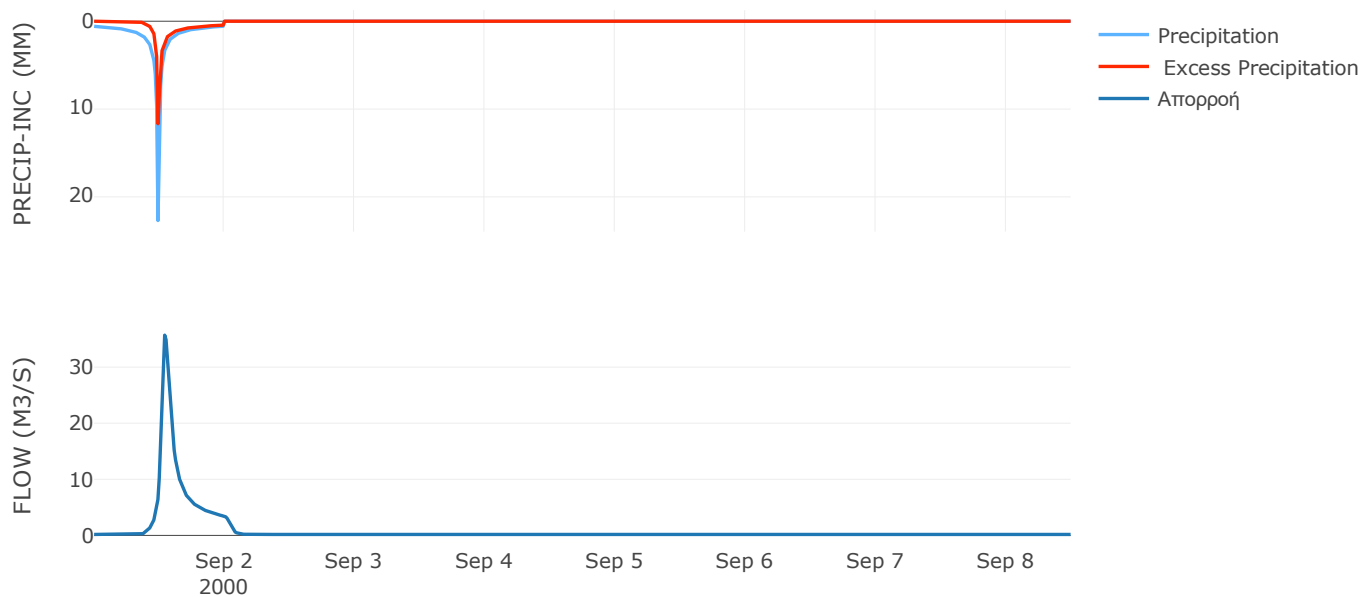
Μέθοδος
Μετασχηματισμού: SCS

Χρόνος Υστέρησης	57.67
------------------	-------

Αποτελέσματα:
EL0415FL007018

Παροχή αιχμής (M3/S)	35.7
Χρονική στιγμή αιχμής	01Sep2000, 13:00
Όγκος (MM)	97.34
Όγκος βροχόπτωσης (M3)	1.06E6
Όγκος απωλειών (M3)	5.81E5
Ενεργός Όγκος (M3)	4.82E5
Όγκος άμεσης απορροής (M3)	4.82E5
Όγκος βασικής απορροής (M3)	1.11E5

Βροχόπτωση και Απορροή



Υπολεκάνη: EL0415FL007020

Έκταση (KM2) : 6.38

Κατάντη : J6

Μέθοδος Απωλειών: SCS

Ποσοστό αδιαπέρατης επιφάνειας	0
Αριθμός Καμπύλης Απορροής-CN	55.84
Αρχικές Απώλειες	40.17

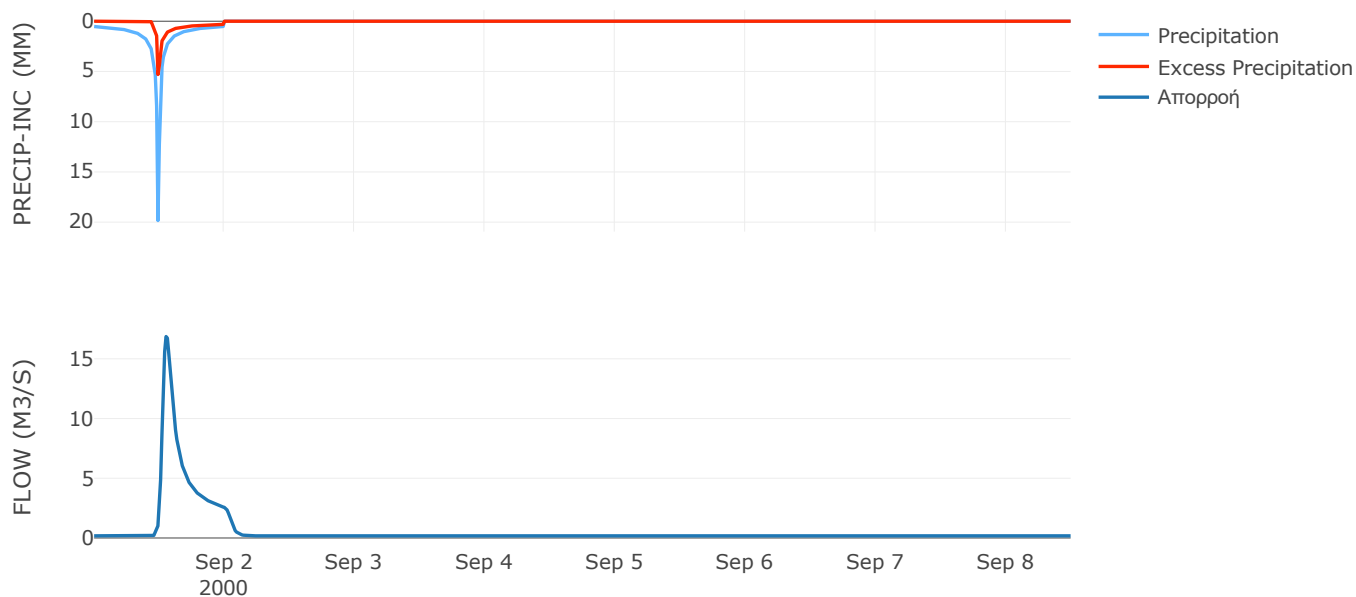
Μέθοδος
Μετασχηματισμού: SCS

Χρόνος Υστέρησης	65.33
------------------	-------

Αποτελέσματα:
EL0415FL007020

Παροχή αιχμής (M3/S)	16.86
Χρονική στιγμή αιχμής	01Sep2000, 13:15
Όγκος (MM)	60.55
Όγκος βροχόπτωσης (M3)	9.95E5
Όγκος απωλειών (M3)	7.25E5
Ενεργός Όγκος (M3)	2.7E5
Όγκος άμεσης απορροής (M3)	2.7E5
Όγκος βασικής απορροής (M3)	1.16E5

Βροχόπτωση και Απορροή



Υπολεκάνη: EL0415FL007021

Έκταση (KM2) : 6.96

Κατάντη : J9

Μέθοδος Απωλειών: SCS

Ποσοστό αδιαπέρατης επιφάνειας	0
Αριθμός Καμπύλης Απορροής-CN	64.83
Αρχικές Απώλειες	27.55

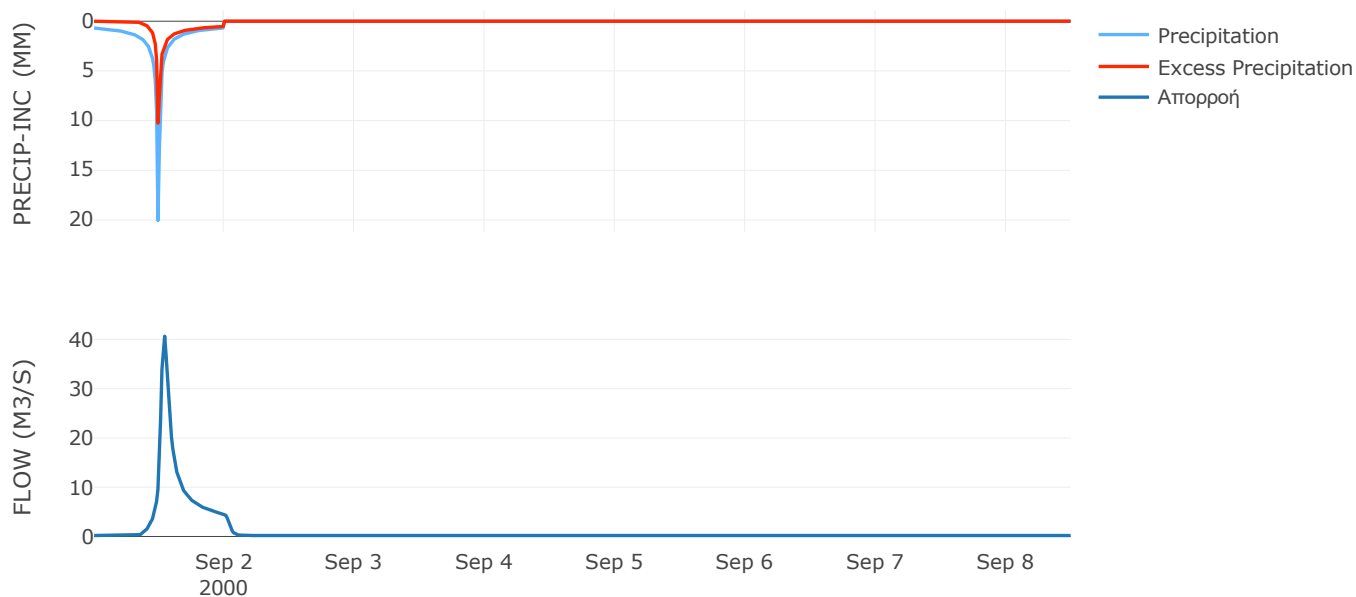
Μέθοδος
Μετασχηματισμού: SCS

Χρόνος Υστέρησης	48.74
------------------	-------

Αποτελέσματα:
EL0415FL007021

Παροχή αιχμής (M3/S)	40.64
Χρονική στιγμή αιχμής	01Sep2000, 13:00
Όγκος (MM)	100.13
Όγκος βροχόπτωσης (M3)	1.27E6
Όγκος απωλειών (M3)	6.99E5
Ενεργός Όγκος (M3)	5.71E5
Όγκος άμεσης απορροής (M3)	5.71E5
Όγκος βασικής απορροής (M3)	1.26E5

Βροχόπτωση και Απορροή



Υπολεκάνη: EL0415FL007022

Έκταση (KM2) : 4.73

Κατάντη : J8

Μέθοδος Απωλειών: SCS

Ποσοστό αδιαπέρατης επιφάνειας	0
Αριθμός Καμπύλης Απορροής-CN	69.05
Αρχικές Απώλειες	22.77

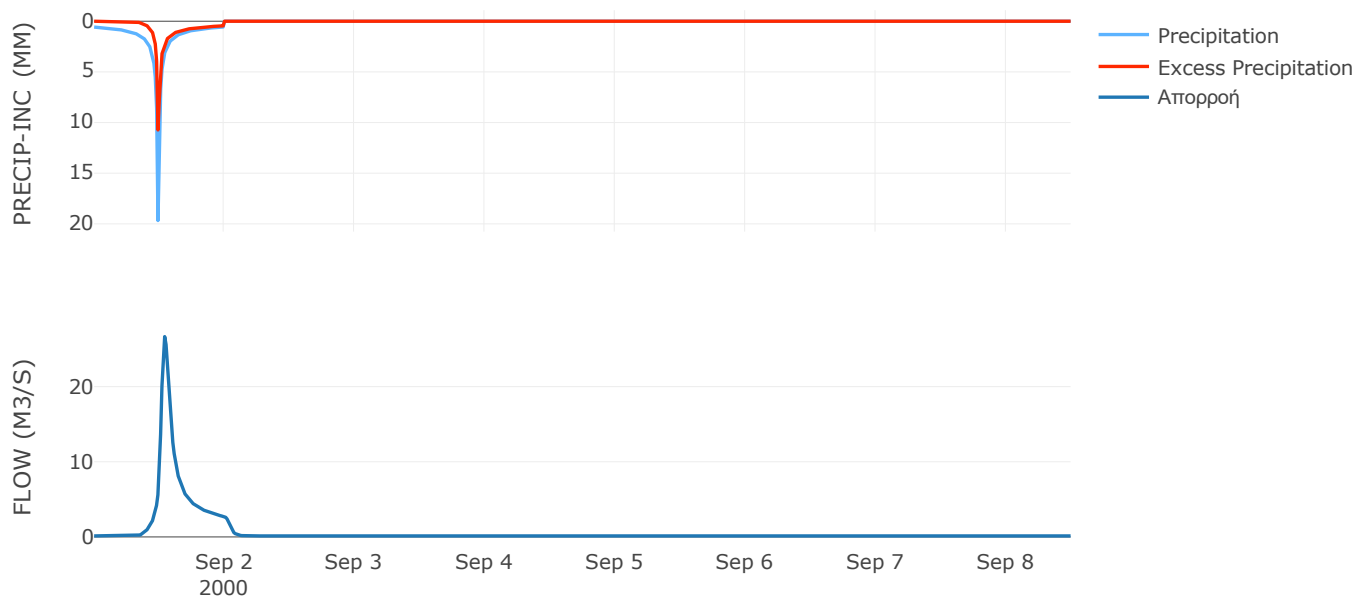
Μέθοδος
Μετασχηματισμού: SCS

Χρόνος Υστέρησης	55.47
------------------	-------

Αποτελέσματα:
EL0415FL007022

Παροχή αιχμής (M3/S)	26.65
Χρονική στιγμή αιχμής	01Sep2000, 13:00
Όγκος (MM)	96.23
Όγκος βροχόπτωσης (M3)	7.75E5
Όγκος απωλειών (M3)	4.06E5
Ενεργός Όγκος (M3)	3.69E5
Όγκος άμεσης απορροής (M3)	3.69E5
Όγκος βασικής απορροής (M3)	85801.68

Βροχόπτωση και Απορροή



Υπολεκάνη: EL0415FL007023

Έκταση (KM2) : 1.36

Κατάντη : J3

Μέθοδος Απωλειών: SCS

Ποσοστό αδιαπέρατης επιφάνειας	0
Αριθμός Καμπύλης Απορροής-CN	79.75
Αρχικές Απώλειες	12.89

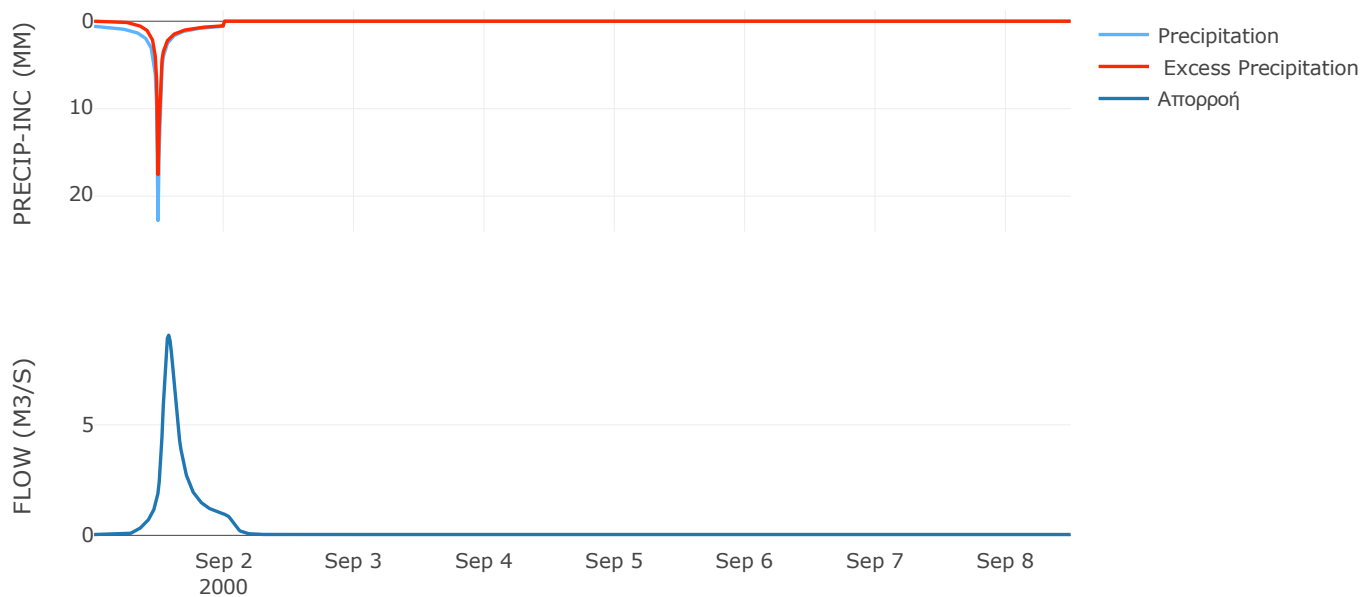
Μέθοδος
Μετασχηματισμού: SCS

Χρόνος Υστέρησης	96.45
------------------	-------

Αποτελέσματα:
EL0415FL007023

Παροχή αιχμής (M3/S)	9.06
Χρονική στιγμή αιχμής	01Sep2000, 13:45
Όγκος (MM)	134.17
Όγκος βροχόπτωσης (M3)	2.39E5
Όγκος απωλειών (M3)	80514.28
Ενεργός Όγκος (M3)	1.58E5
Όγκος άμεσης απορροής (M3)	1.58E5
Όγκος βασικής απορροής (M3)	24748.42

Βροχόπτωση και Απορροή



Υπολεκάνη: EL0415FL007024

Έκταση (KM2) : 0.88

Κατάνη : J7

Μέθοδος Απωλειών: SCS

Ποσοστό αδιαπέρατης επιφάνειας	0
Αριθμός Καμπύλης Απορροής-CN	78.87
Αρχικές Απώλειες	13.61

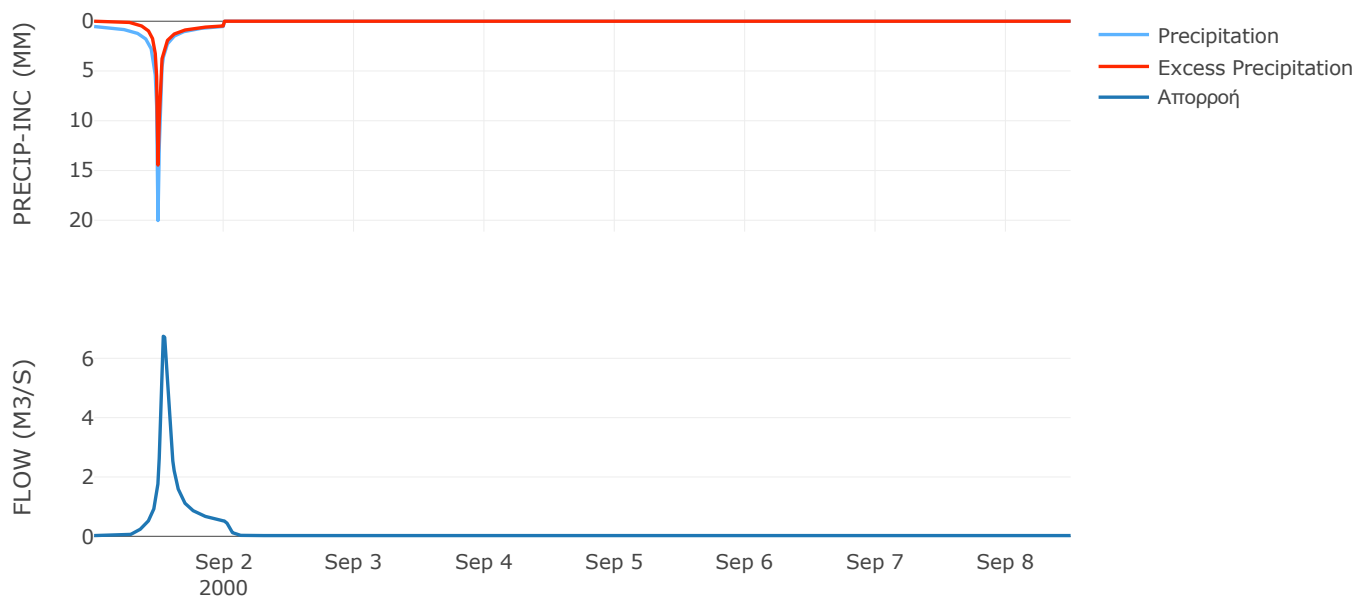
Μέθοδος
Μετασχηματισμού: SCS

Χρόνος Υστέρησης	49.7
------------------	------

Αποτελέσματα:
EL0415FL007024

Παροχή αιχμής (M3/S)	6.74
Χρονική στιγμή αιχμής	01Sep2000, 12:45
Όγκος (MM)	115.99
Όγκος βροχόπτωσης (M3)	1.38E5
Όγκος απωλειών (M3)	52536.2
Ενεργός Όγκος (M3)	85907.66
Όγκος άμεσης απορροής (M3)	85907.66
Όγκος βασικής απορροής (M3)	15930.43

Βροχόπτωση και Απορροή



Υπολεκάνη: EL0415FL007025

Έκταση (KM2) : 3.8

Κατάντη : J5

Μέθοδος Απωλειών: SCS

Ποσοστό αδιαπέρατης επιφάνειας	0
Αριθμός Καμπύλης Απορροής-CN	64.94
Αρχικές Απώλειες	27.43

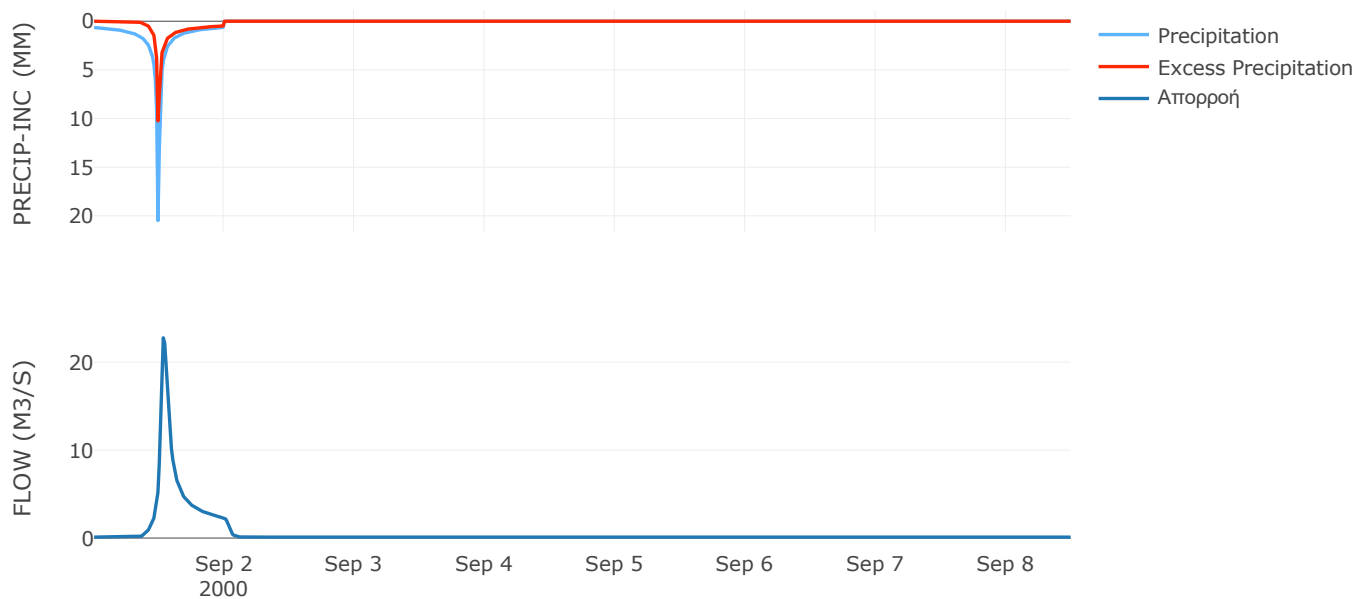
Μέθοδος
Μετασχηματισμού: SCS

Χρόνος Υστέρησης	44.75
------------------	-------

Αποτελέσματα:
EL0415FL007025

Παροχή αιχμής (M3/S)	22.77
Χρονική στιγμή αιχμής	01Sep2000, 12:45
Όγκος (MM)	96.42
Όγκος βροχόπτωσης (M3)	6.74E5
Όγκος απωλειών (M3)	3.76E5
Ενεργός Όγκος (M3)	2.97E5
Όγκος άμεσης απορροής (M3)	2.97E5
Όγκος βασικής απορροής (M3)	68927.76

Βροχόπτωση και Απορροή



Υπολεκάνη: EL0415FL007026

Έκταση (KM2) : 1.93

Κατάντη : J12

Μέθοδος Απωλειών: SCS

Ποσοστό αδιαπέρατης επιφάνειας	0
Αριθμός Καμπύλης Απορροής-CN	42.7
Αρχικές Απώλειες	68.17

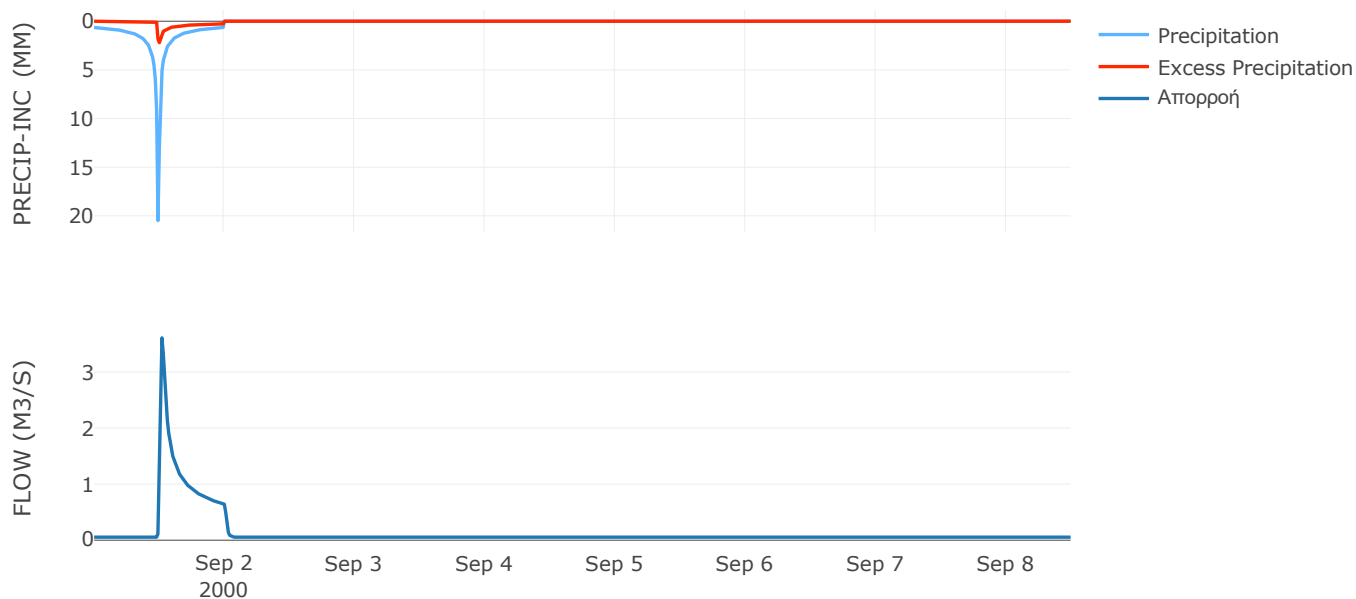
Μέθοδος
Μετασχηματισμού: SCS

Χρόνος Υστέρησης	19.58
------------------	-------

Αποτελέσματα:
EL0415FL007026

Παροχή αιχμής (M3/S)	3.61
Χρονική στιγμή αιχμής	01Sep2000, 12:30
Όγκος (MM)	44.62
Όγκος βροχόπτωσης (M3)	3.42E5
Όγκος απωλειών (M3)	2.91E5
Ενεργός Όγκος (M3)	51047.67
Όγκος άμεσης απορροής (M3)	51047.67
Όγκος βασικής απορροής (M3)	34981.63

Βροχόπτωση και Απορροή



Υπολεκάνη: EL0415FL007027

Έκταση (KM2) : 5.66

Κατάντη : J4

Μέθοδος Απωλειών: SCS

Ποσοστό αδιαπέρατης επιφάνειας	0
Αριθμός Καμπύλης Απορροής-CN	75.61
Αρχικές Απώλειες	16.38

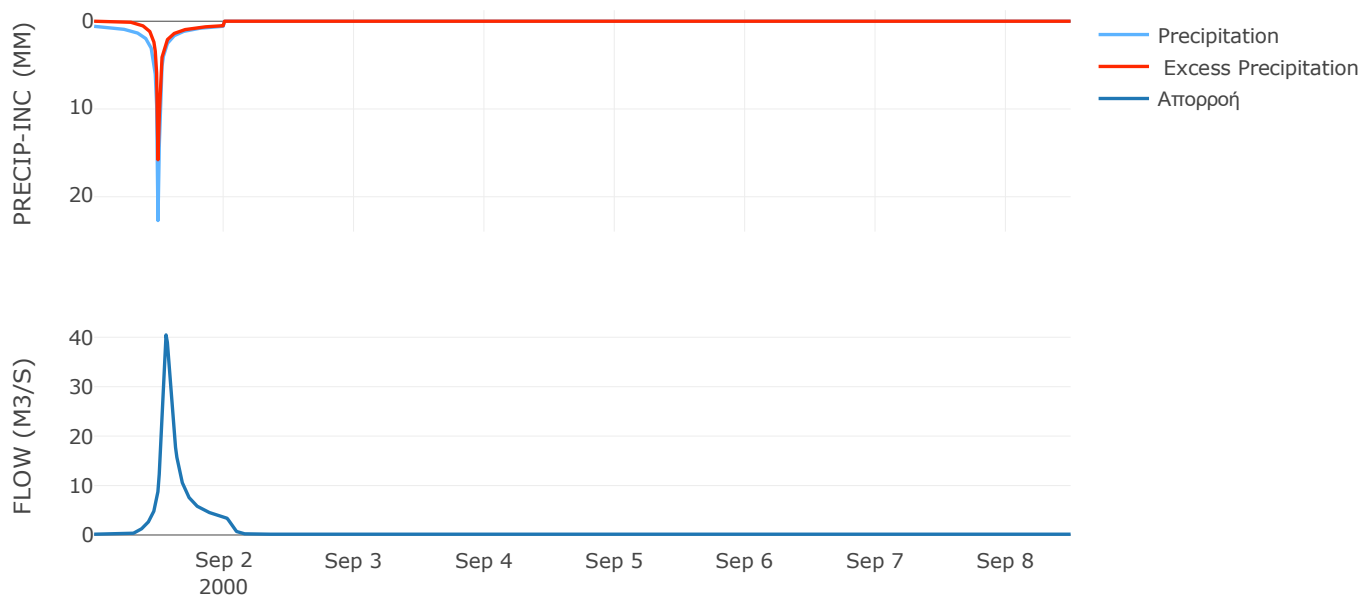
Μέθοδος
Μετασχηματισμού: SCS

Χρόνος Υστέρησης	69.64
------------------	-------

Αποτελέσματα:
EL0415FL007027

Παροχή αιχμής (M3/S)	40.47
Χρονική στιγμή αιχμής	01Sep2000, 13:15
Όγκος (MM)	122.9
Όγκος βροχόπτωσης (M3)	9.91E5
Όγκος απωλειών (M3)	3.99E5
Ενεργός Όγκος (M3)	5.93E5
Όγκος άμεσης απορροής (M3)	5.93E5
Όγκος βασικής απορροής (M3)	1.03E5

Βροχόπτωση και Απορροή



Υπολεκάνη: EL0415FL007028

Έκταση (KM2) : 1.73

Κατάντη : J14

Μέθοδος Απωλειών: SCS

Ποσοστό αδιαπέρατης επιφάνειας	0
Αριθμός Καμπύλης Απορροής-CN	78.27
Αρχικές Απώλειες	14.1

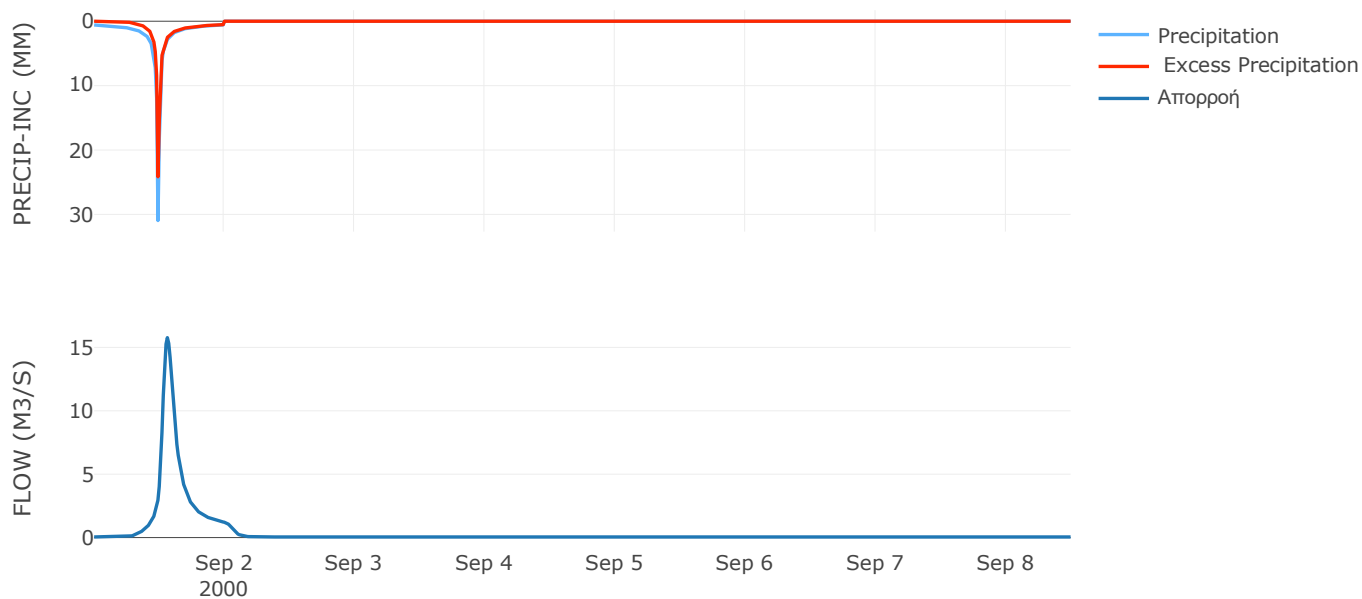
Μέθοδος
Μετασχηματισμού: SCS

Χρόνος Υστέρησης	85.73
------------------	-------

Αποτελέσματα:
EL0415FL007028

Παροχή αιχμής (M3/S)	15.77
Χρονική στιγμή αιχμής	01Sep2000, 13:30
Όγκος (MM)	153.9
Όγκος βροχόπτωσης (M3)	3.48E5
Όγκος απωλειών (M3)	1.13E5
Ενεργός Όγκος (M3)	2.35E5
Όγκος άμεσης απορροής (M3)	2.35E5
Όγκος βασικής απορροής (M3)	31389.12

Βροχόπτωση και Απορροή



5.2 Δεδομένα και υδρογραφήματα σχεδιασμού Κλάδων υδρογραφικού δικτύου

Κλάδος: R21

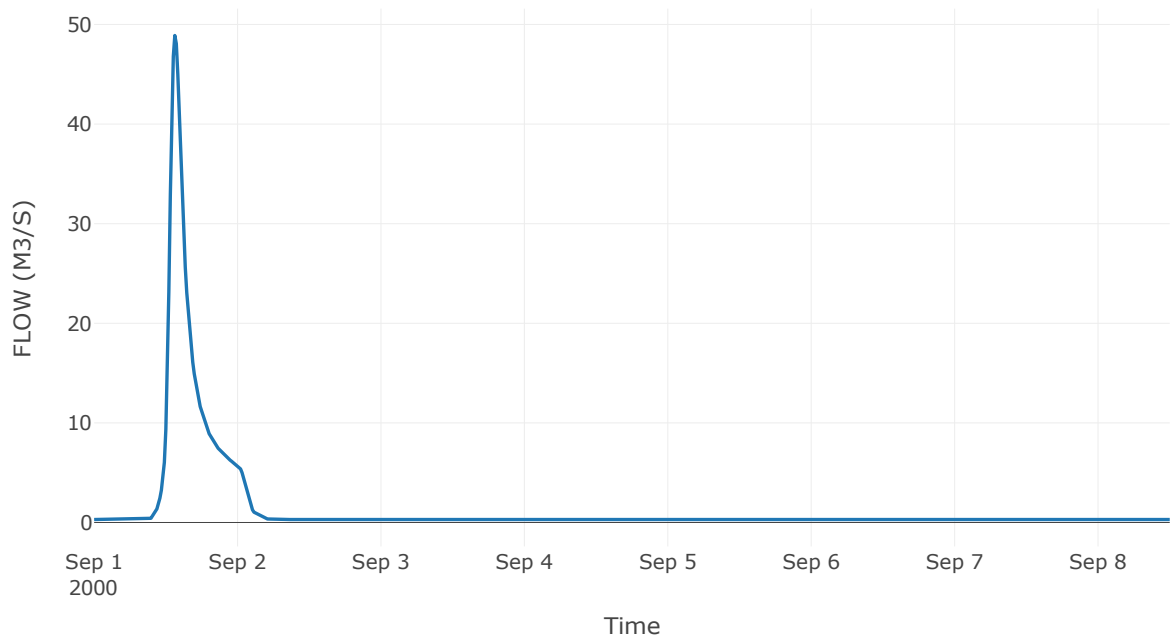
Κατάντη : J1

Μέθοδος Διόδευσης	Χρόνος
Αρχική Μεταβλητή	Combined Inflow
Χρόνος Υστέρησης	0

Αποτελέσματα: R21

Παροχή Αιχμής(M3/S)	48.89
Χρονική στιγμή αιχμής	01Sep2000, 13:30
Όγκος(MM)	92.07
Παροχή Αιχμής Εισόδου (M3/S)	48.89
Όγκος Εισροής(M3)	9.71E5

Απορροή



Κλάδος: R31

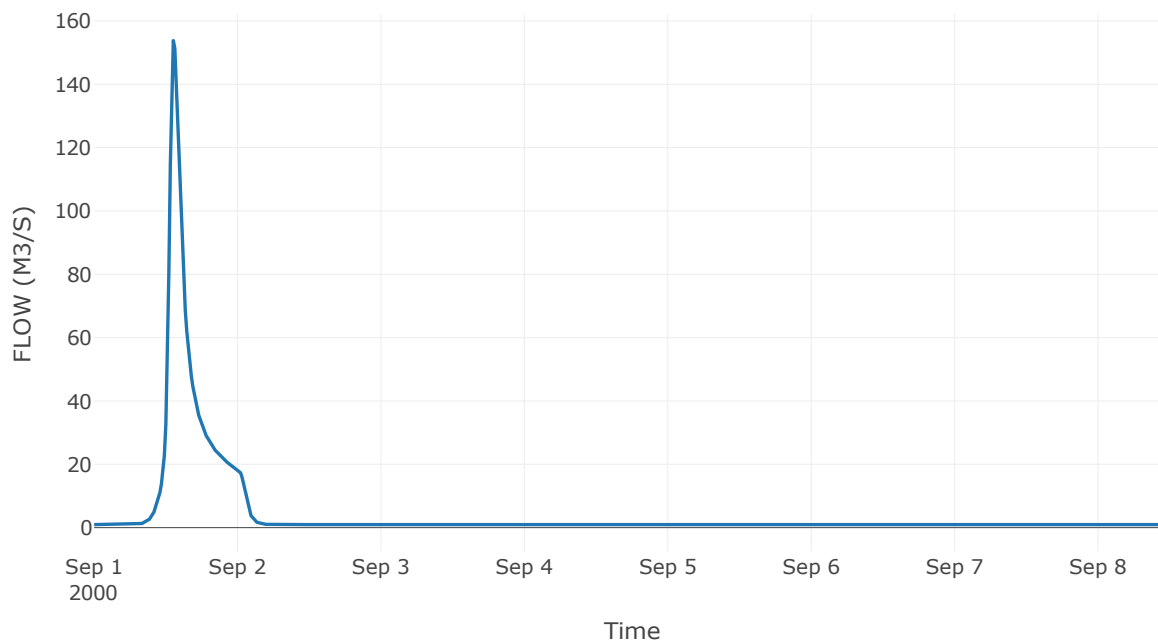
Κατάντη : J1

Μέθοδος Διόδευσης	Χρόνος
Αρχική Μεταβλητή	Combined Inflow
Χρόνος Υστέρησης	0

Αποτελέσματα: R31

Παροχή Αιχμής(M3/S)	153.79
Χρονική στιγμή αιχμής	01Sep2000, 13:15
Όγκος(MM)	88.16
Παροχή Αιχμής Εισόδου (M3/S)	153.79
Όγκος Εισροής(M3)	2.97E6

Απορροή



Κλάδος: R41

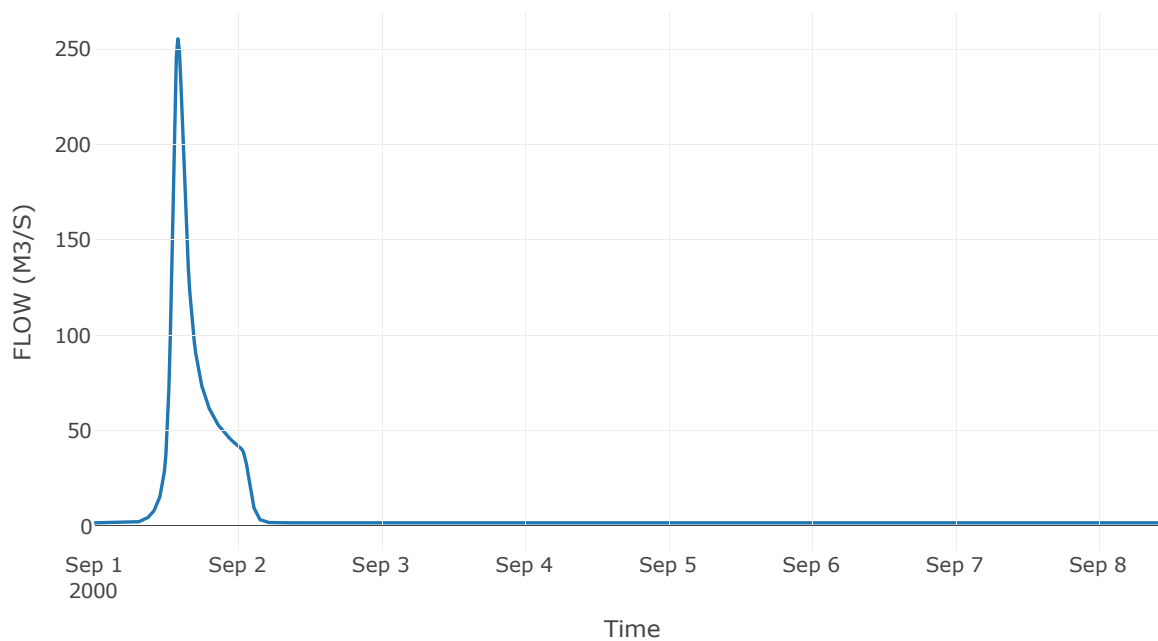
Κατάντη : J1

Μέθοδος Διόδευσης	Χρόνος
Αρχική Μεταβλητή	Combined Inflow
Χρόνος Υστέρησης	0

Αποτελέσματα: R41

Παροχή Αιχμής(M3/S)	255.37
Χρονική στιγμή αιχμής	01Sep2000, 14:00
Όγκος(MM)	89.96
Παροχή Αιχμής Εισόδου (M3/S)	255.37
Όγκος Εισροής(M3)	5.78E6

Απορροή



Κλάδος: R51

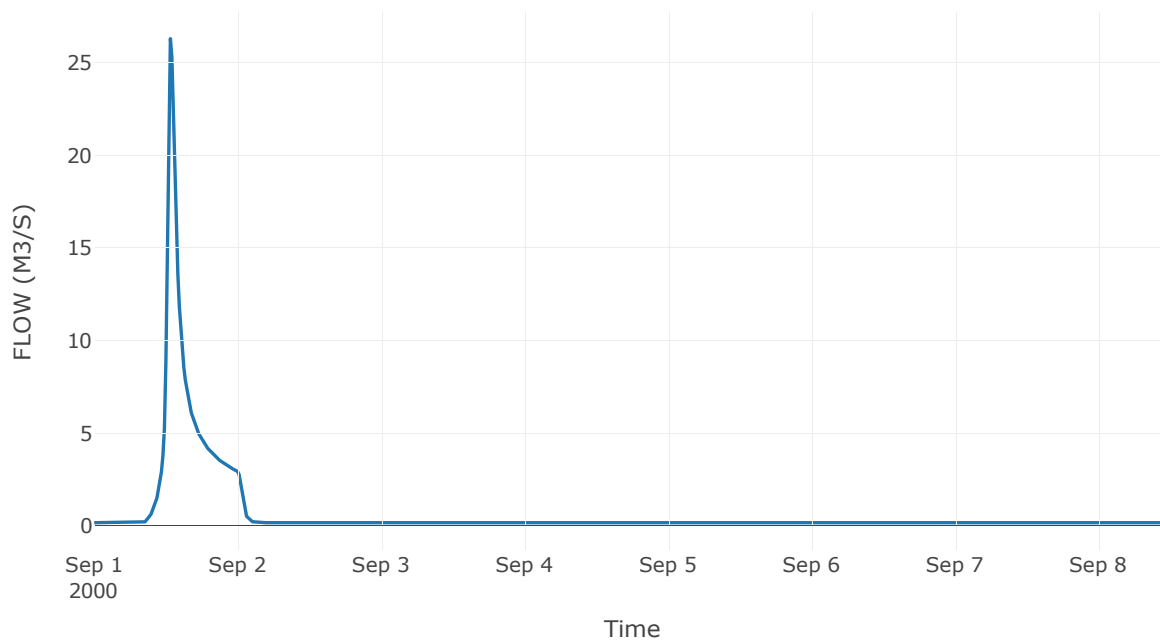
Κατάντη : J1

Μέθοδος Διόδευσης	Χρόνος
Αρχική Μεταβλητή	Combined Inflow
Χρόνος Υστέρησης	0

Αποτελέσματα: R51

Παροχή Αιχμής(M3/S)	26.29
Χρονική στιγμή αιχμής	01Sep2000, 12:45
Όγκος(MM)	78.98
Παροχή Αιχμής Εισόδου (M3/S)	26.29
Όγκος Εισροής(M3)	4.52E5

Απορροή



Κλάδος: R63

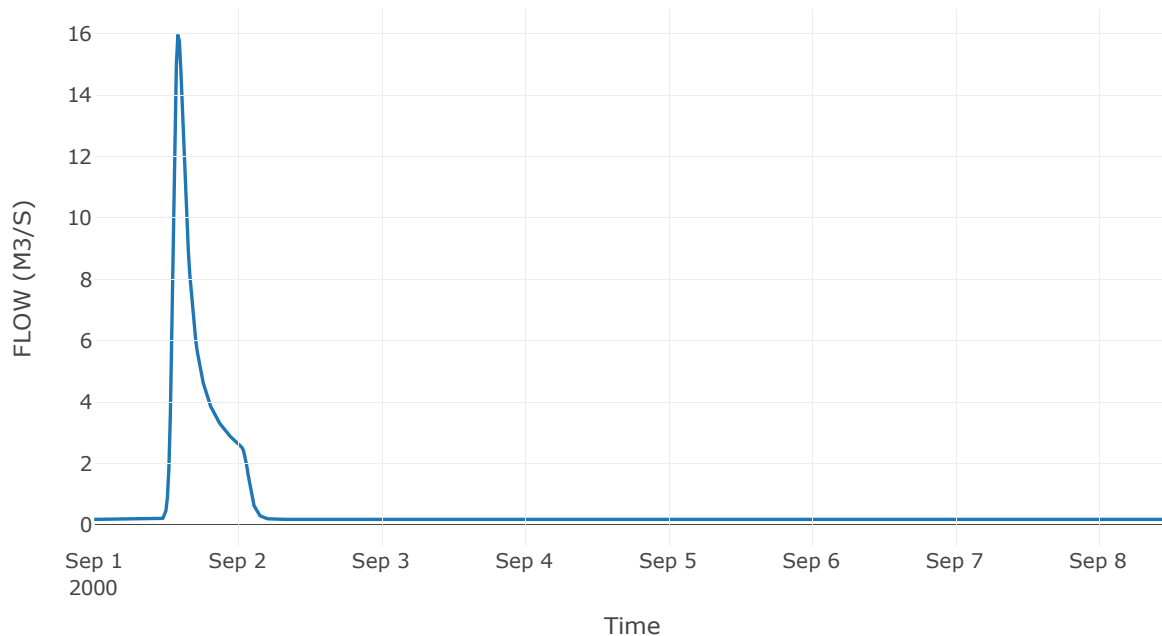
Κατάντη : J3

Μέθοδος Διόδευσης	Muskingum
Αρχική Μεταβλητή	Combined Inflow
Χρόνος Ροής K	0.69
Συντελεστής βάρους x	0.2
Πλήθος Υποκλάδων	3

Αποτελέσματα: R63

Παροχή Αιχμής(M3/S)	15.95
Χρονική στιγμή αιχμής	01Sep2000, 14:00
Όγκος(MM)	60.55
Παροχή Αιχμής Εισόδου (M3/S)	16.86
Όγκος Εισροής(M3)	3.86E5

Απορροή



Κλάδος: R73

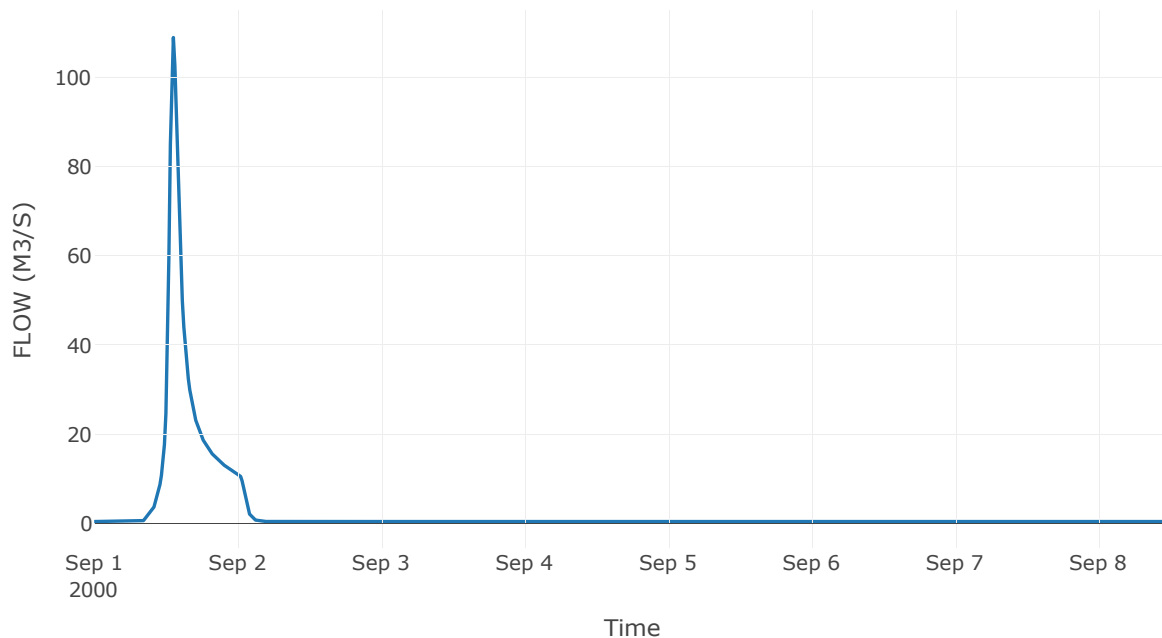
Κατάντη : J3

Μέθοδος Διόδευσης	Muskingum
Αρχική Μεταβλητή	Combined Inflow
Χρόνος Ροής K	0.11
Συντελεστής βάρους x	0.2
Πλήθος Υποκλάδων	3

Αποτελέσματα: R73

Παροχή Αιχμής(M3/S)	108.92
Χρονική στιγμή αιχμής	01Sep2000, 13:15
Όγκος(MM)	98.98
Παροχή Αιχμής Εισόδου (M3/S)	107.91
Όγκος Εισροής(M3)	1.85E6

Απορροή



Κλάδος: R87

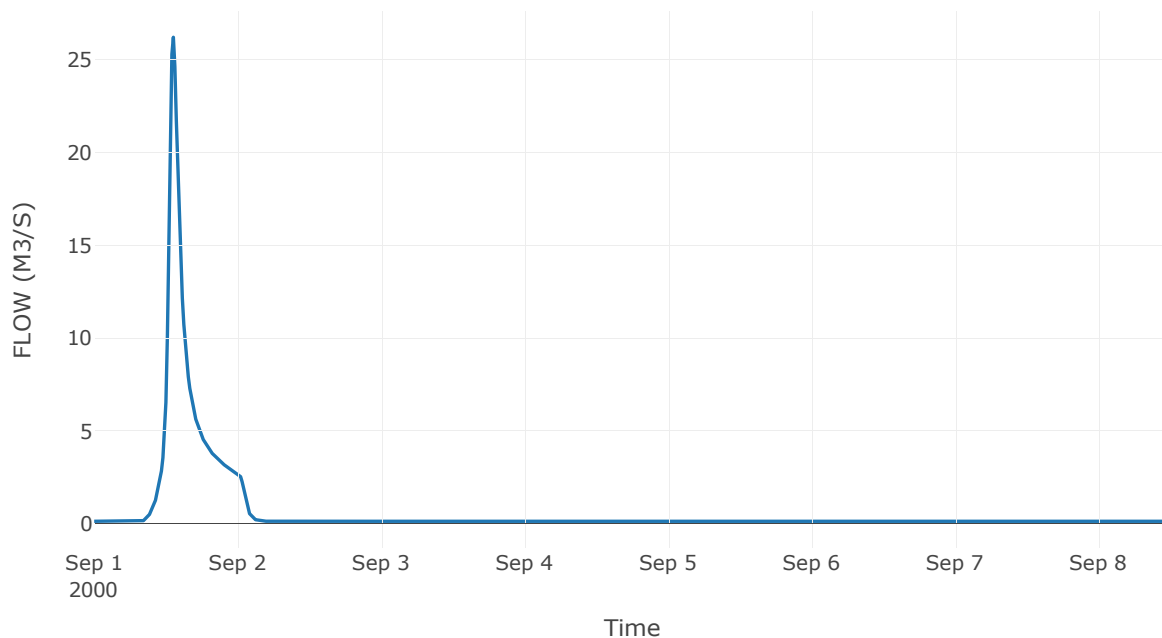
Κατάντη : J7

Μέθοδος Διόδευσης	Muskingum
Αρχική Μεταβλητή	Combined Inflow
Χρόνος Ροής K	0.18
Συντελεστής βάρους x	0.2
Πλήθος Υποκλάδων	1

Αποτελέσματα: R87

Παροχή Αιχμής(M3/S)	26.21
Χρονική στιγμή αιχμής	01Sep2000, 13:15
Όγκος(MM)	96.23
Παροχή Αιχμής Εισόδου (M3/S)	26.65
Όγκος Εισροής(M3)	4.55E5

Απορροή



Κλάδος: R97

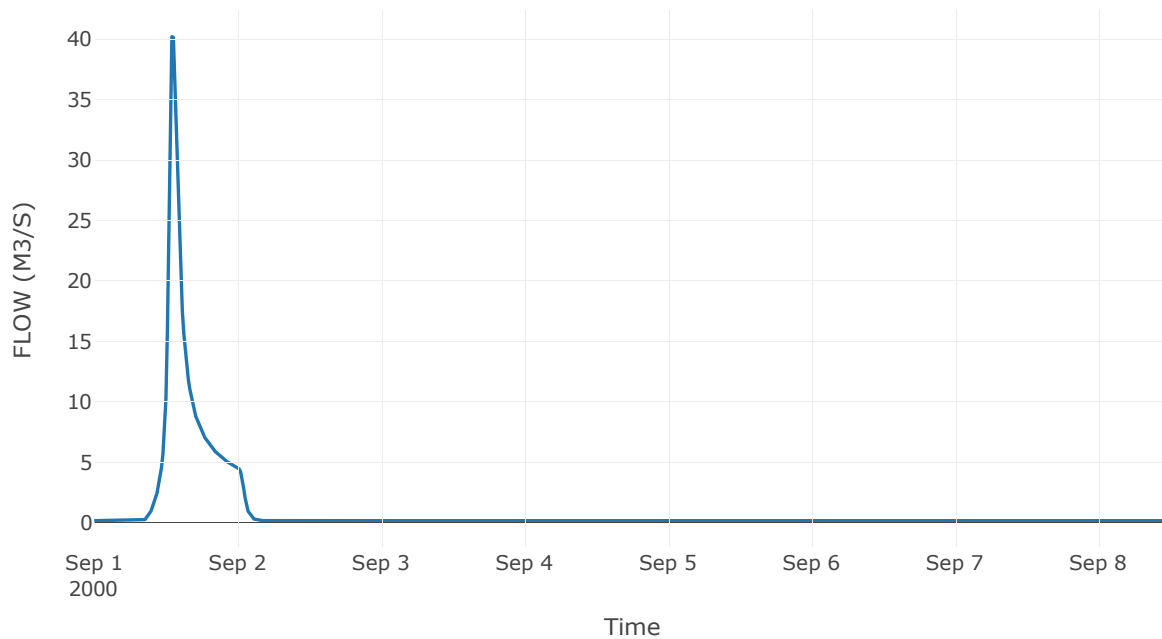
Κατάντη : J7

Μέθοδος Διόδευσης	Χρόνος
Αρχική Μεταβλητή	Combined Inflow
Χρόνος Υστέρησης	13.29

Αποτελέσματα: R97

Παροχή Αιχμής(M3/S)	40.2
Χρονική στιγμή αιχμής	01Sep2000, 13:00
Όγκος(MM)	100.13
Παροχή Αιχμής Εισόδου (M3/S)	40.64
Όγκος Εισροής(M3)	6.97E5

Απορροή



Κλάδος: R104

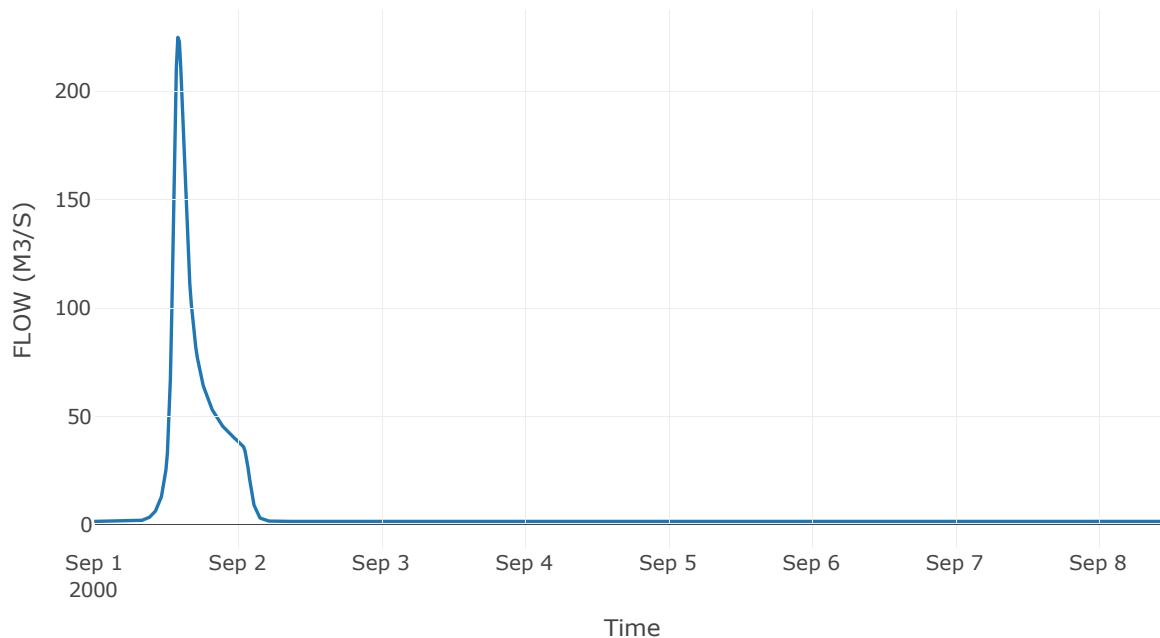
Κατάντη : J4

Μέθοδος Διόδευσης	Muskingum
Αρχική Μεταβλητή	Combined Inflow
Χρόνος Ροής K	0.71
Συντελεστής βάρους x	0.2
Πλήθος Υποκλάδων	3

Αποτελέσματα: R104

Παροχή Αιχμής(M3/S)	224.7
Χρονική στιγμή αιχμής	01Sep2000, 14:00
Όγκος(MM)	86.78
Παροχή Αιχμής Εισόδου (M3/S)	238.99
Όγκος Εισροής(M3)	5.08E6

Απορροή



Κλάδος: R1110

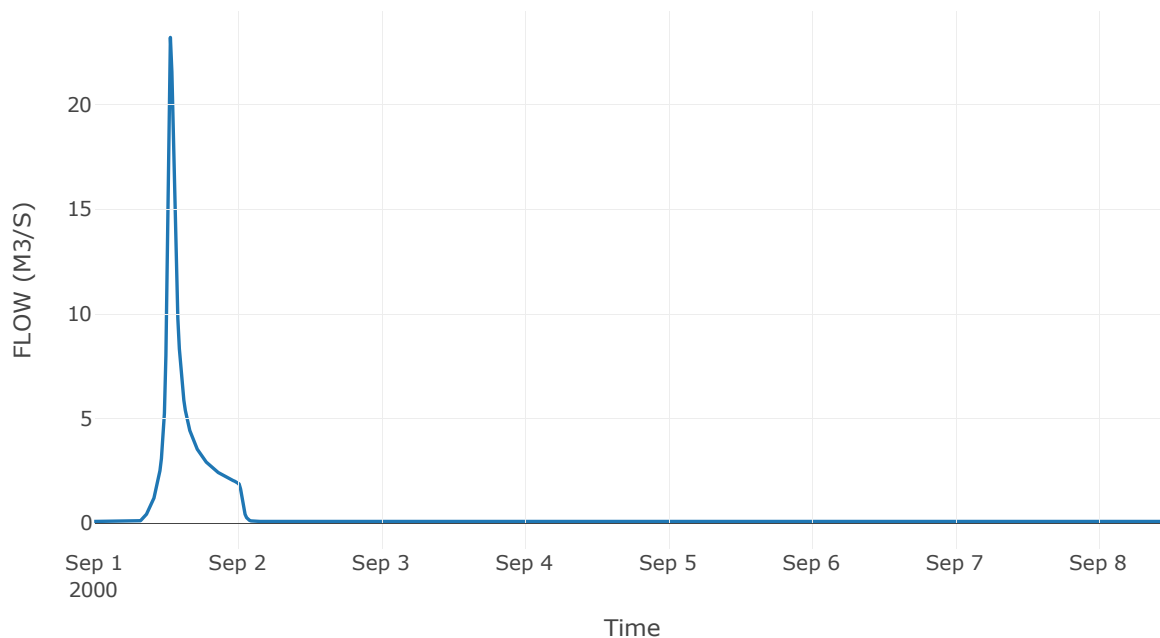
Κατάντη : J10

Μέθοδος Διόδευσης	Muskingum
Αρχική Μεταβλητή	Combined Inflow
Χρόνος Ροής K	0.2
Συντελεστής βάρους x	0.2
Πλήθος Υποκλάδων	1

Αποτελέσματα: R1110

Παροχή Αιχμής(M3/S)	23.2
Χρονική στιγμή αιχμής	01Sep2000, 12:45
Όγκος(MM)	105.19
Παροχή Αιχμής Εισόδου (M3/S)	24.16
Όγκος Εισροής(M3)	3.27E5

Απορροή



Κλάδος: R125

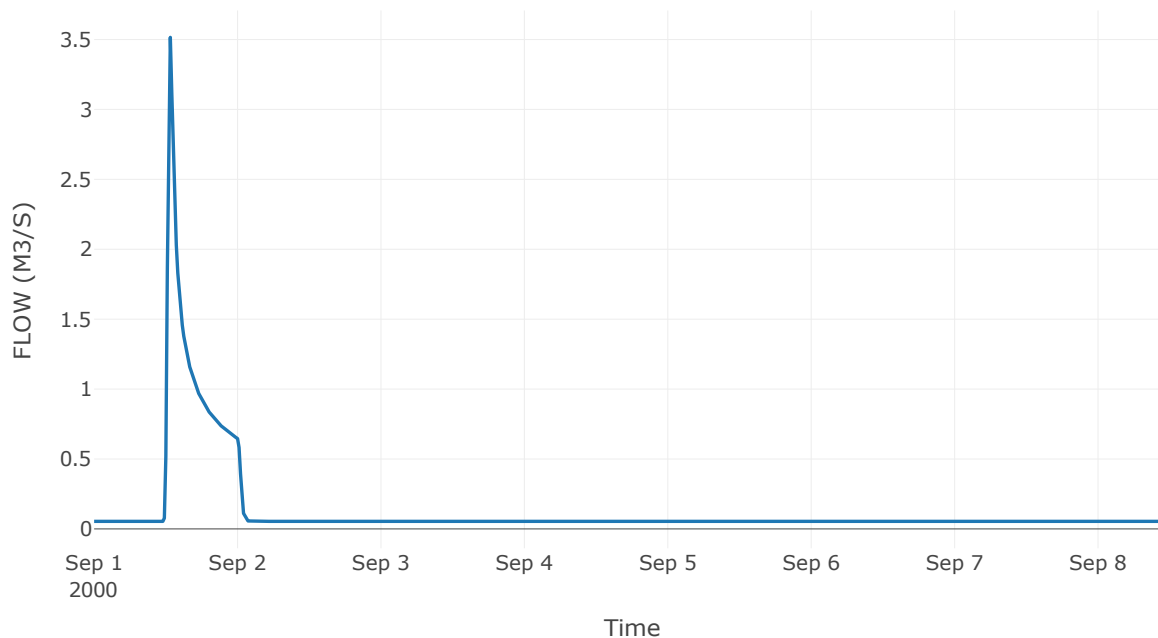
Κατάντη : J5

Μέθοδος Διόδευσης	Muskingum
Αρχική Μεταβλητή	Combined Inflow
Χρόνος Ροής K	0.14
Συντελεστής βάρους x	0.2
Πλήθος Υποκλάδων	1

Αποτελέσματα: R125

Παροχή Αιχμής(M3/S)	3.52
Χρονική στιγμή αιχμής	01Sep2000, 12:45
Όγκος(MM)	44.62
Παροχή Αιχμής Εισόδου (M3/S)	3.61
Όγκος Εισροής(M3)	86029.3

Απορροή



Κλάδος: R1413

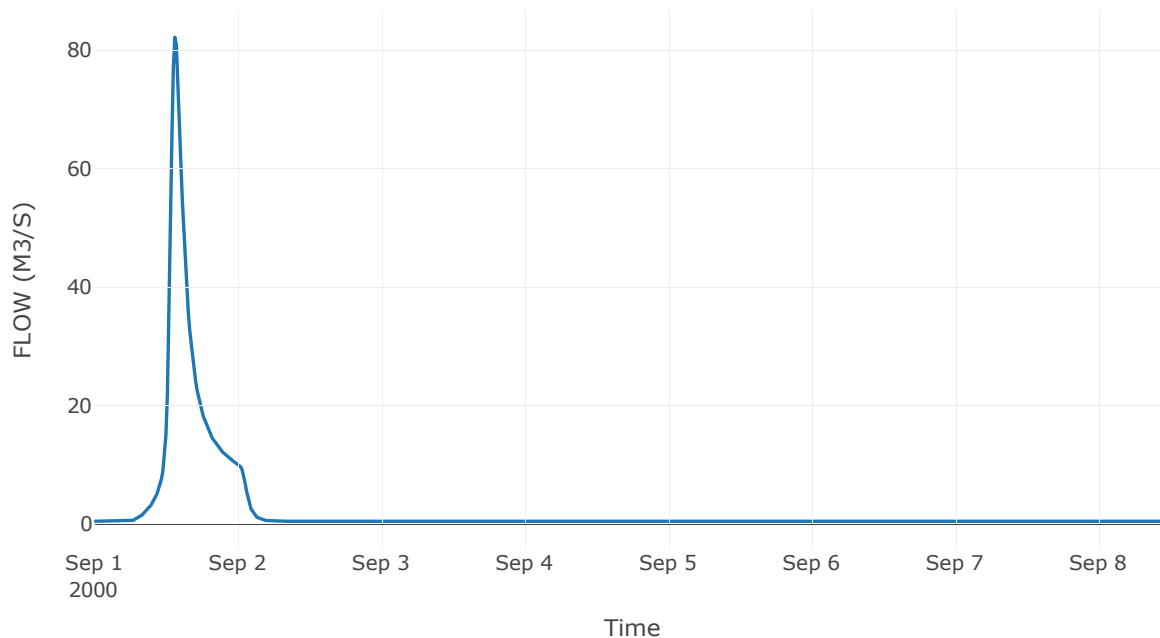
Κατάντη : J13

Μέθοδος Διόδευσης	Muskingum
Αρχική Μεταβλητή	Combined Inflow
Χρόνος Ροής K	0.08
Συντελεστής βάρους x	0.2
Πλήθος Υποκλάδων	3

Αποτελέσματα: R1413

Παροχή Αιχμής(M3/S)	82.13
Χρονική στιγμή αιχμής	01Sep2000, 13:30
Όγκος(MM)	100.15
Παροχή Αιχμής Εισόδου (M3/S)	82.32
Όγκος Εισροής(M3)	1.64E6

Απορροή



Κλάδος: R1514

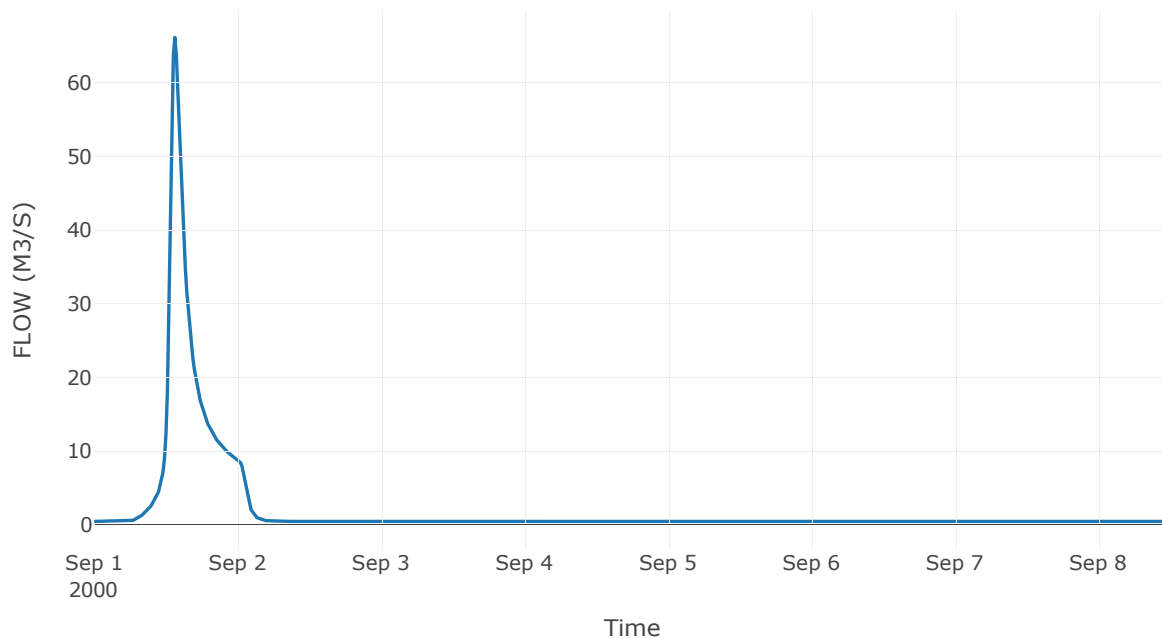
Κατάντη : J14

Μέθοδος Διόδευσης	Muskingum
Αρχική Μεταβλητή	Combined Inflow
Χρόνος Ροής K	0.14
Συντελεστής βάρους x	0.2
Πλήθος Υποκλάδων	1

Αποτελέσματα: R1514

Παροχή Αιχμής(M3/S)	66.16
Χρονική στιγμή αιχμής	01Sep2000, 13:30
Όγκος(MM)	93.53
Παροχή Αιχμής Εισόδου (M3/S)	66.37
Όγκος Εισροής(M3)	1.37E6

Απορροή



Κλάδος: R1615

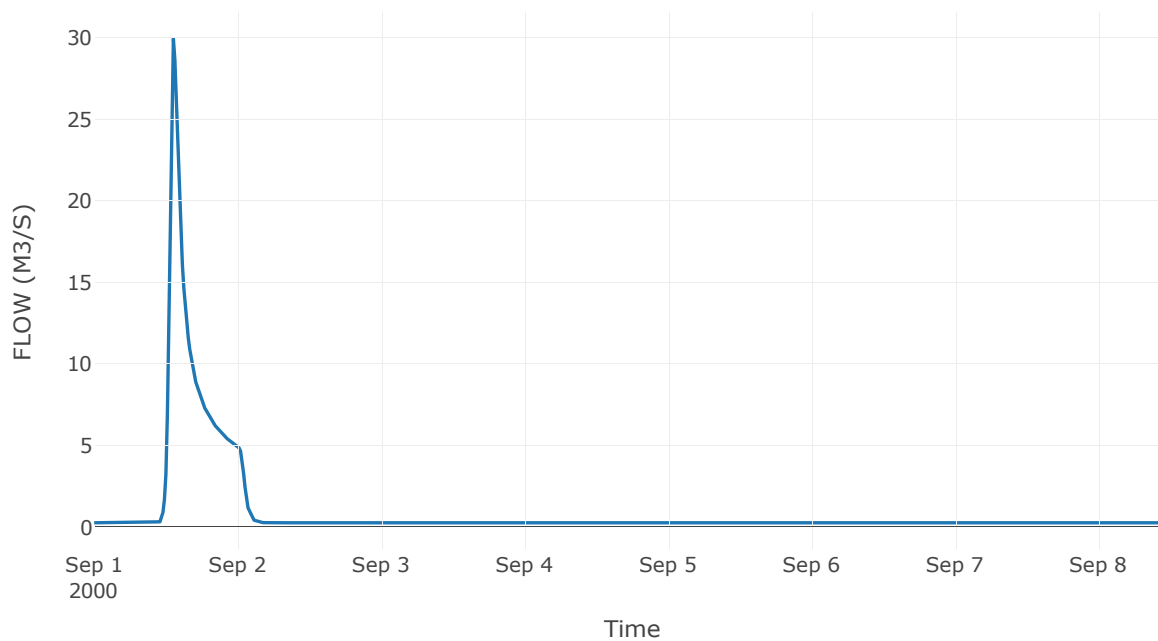
Κατάντη : J15

Μέθοδος Διόδευσης	Χρόνος
Αρχική Μεταβλητή	Combined Inflow
Χρόνος Υστέρησης	14.24

Αποτελέσματα: R1615

Παροχή Αιχμής(M3/S)	29.95
Χρονική στιγμή αιχμής	01Sep2000, 13:15
Όγκος(MM)	66.26
Παροχή Αιχμής Εισόδου (M3/S)	30.02
Όγκος Εισροής(M3)	6.48E5

Απορροή



Κλάδος: R1720

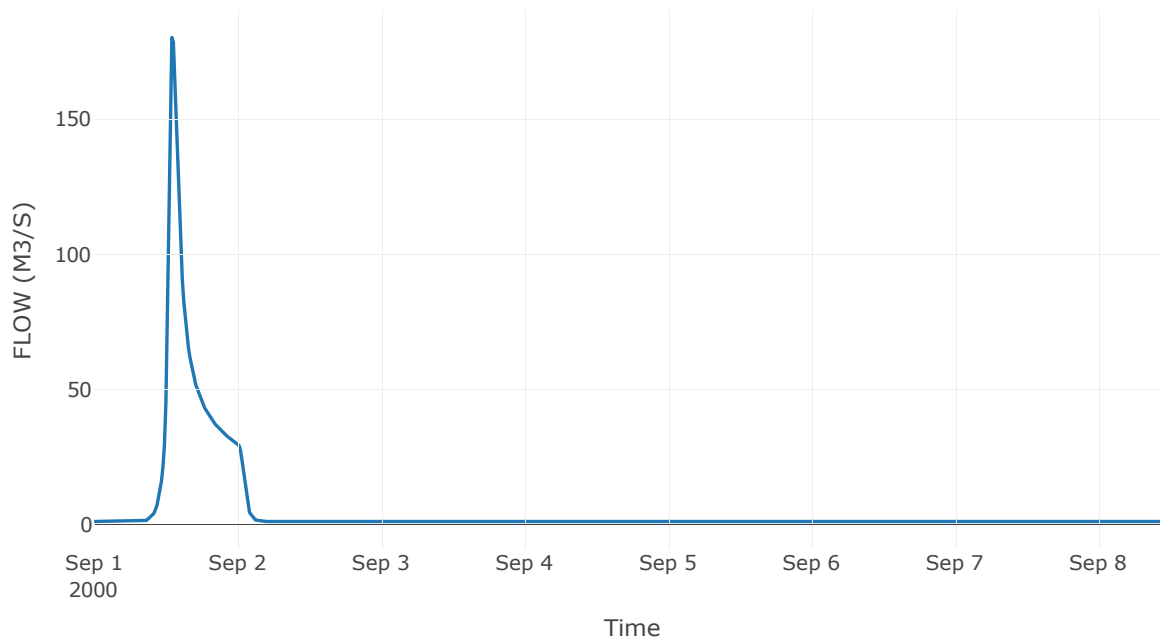
Κατάντη : J20

Μέθοδος Διόδευσης	Muskingum
Αρχική Μεταβλητή	Combined Inflow
Χρόνος Ροής Κ	0.12
Συντελεστής βάρους α	0.2
Πλήθος Υποκλάδων	1

Αποτελέσματα: R1720

Παροχή Αιχμής(M3/S)	180.12
Χρονική στιγμή αιχμής	01Sep2000, 13:00
Όγκος(MM)	79.34
Παροχή Αιχμής Εισόδου (M3/S)	182.58
Όγκος Εισροής(M3)	3.84E6

Απορροή



Κλάδος: R1817

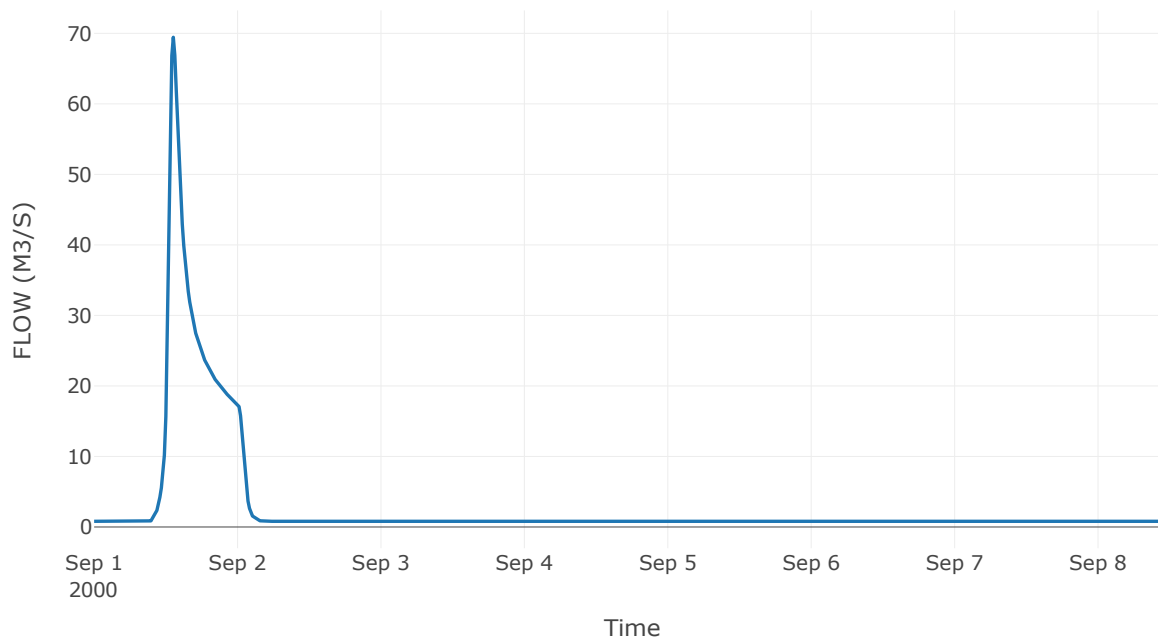
Κατάντη : J17

Μέθοδος Διόδευσης	Muskingum
Αρχική Μεταβλητή	Combined Inflow
Χρόνος Ροής K	0.22
Συντελεστής βάρους x	0.2
Πλήθος Υποκλάδων	1

Αποτελέσματα: R1817

Παροχή Αιχμής(M3/S)	69.44
Χρονική στιγμή αιχμής	01Sep2000, 13:15
Όγκος(MM)	66.51
Παροχή Αιχμής Εισόδου (M3/S)	70.79
Όγκος Εισροής(M3)	1.92E6

Απορροή



Κλάδος: R1918

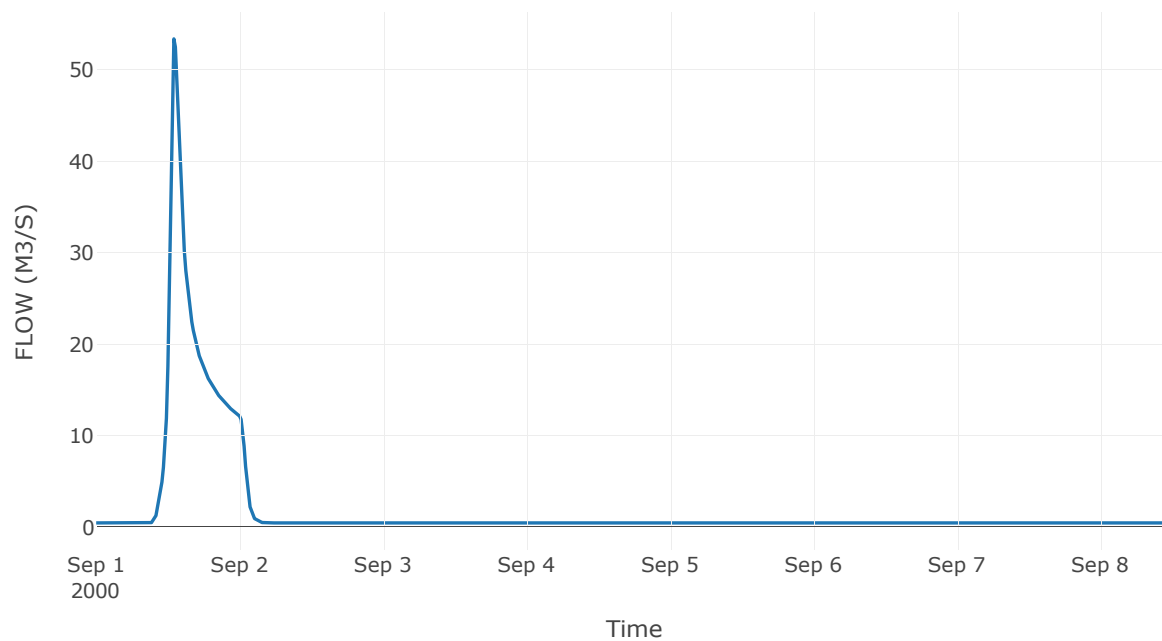
Κατάντη : J18

Μέθοδος Διόδευσης	Χρόνος
Αρχική Μεταβλητή	Combined Inflow
Χρόνος Υστέρησης	4.98

Αποτελέσματα: R1918

Παροχή Αιχμής(M3/S)	53.41
Χρονική στιγμή αιχμής	01Sep2000, 13:00
Όγκος(MM)	77.64
Παροχή Αιχμής Εισόδου (M3/S)	54.15
Όγκος Εισροής(M3)	1.35E6

Απορροή



Κλάδος: R2010

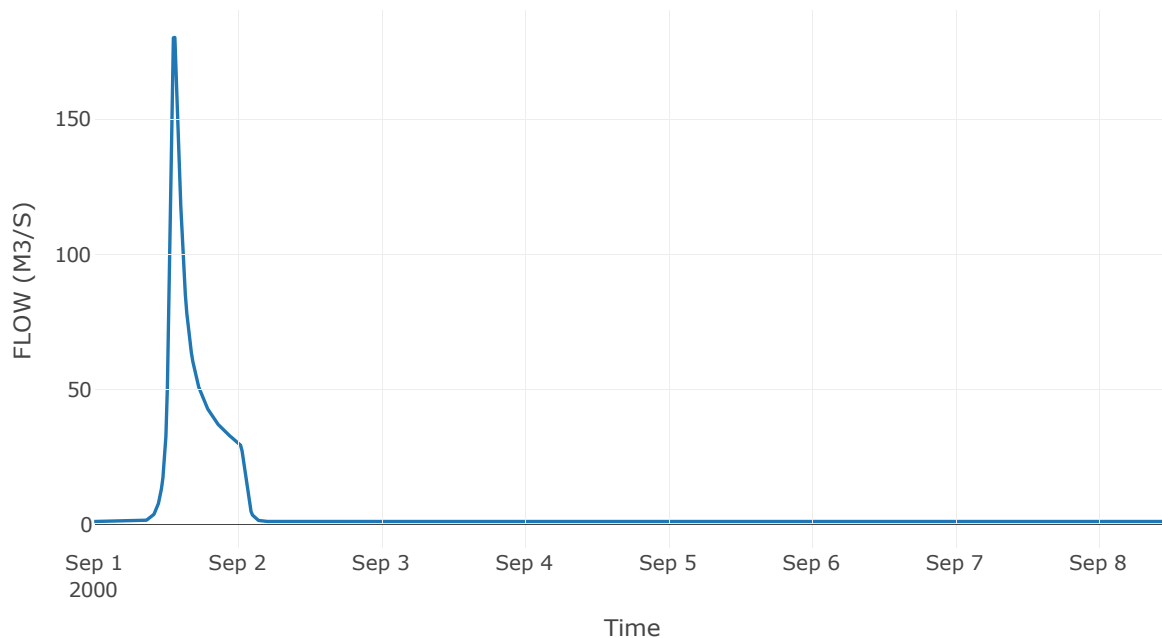
Κατάντη : J10

Μέθοδος Διόδευσης	Muskingum
Αρχική Μεταβλητή	Combined Inflow
Χρόνος Ροής Κ	0.27
Συντελεστής βάρους α	0.2
Πλήθος Υποκλάδων	1

Αποτελέσματα: R2010

Παροχή Αιχμής(M3/S)	180.21
Χρονική στιγμή αιχμής	01Sep2000, 13:30
Όγκος(MM)	80.34
Παροχή Αιχμής Εισόδου (M3/S)	187.51
Όγκος Εισροής(M3)	3.94E6

Απορροή



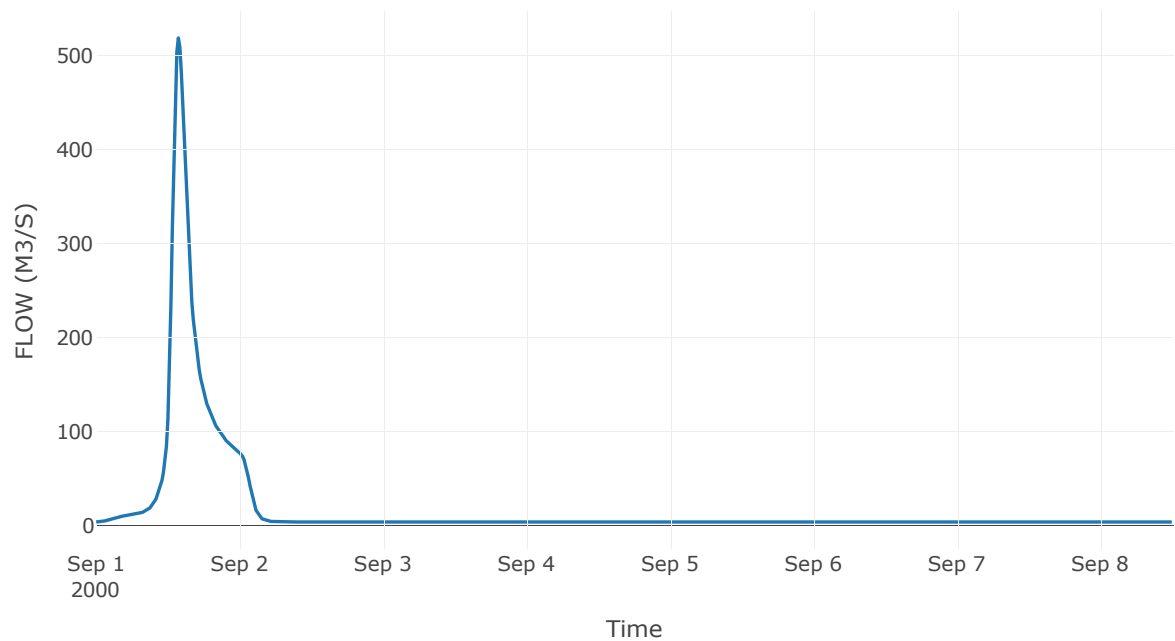
5.3 Δεδομένα και υδρογραφήματα σχεδιασμού Κόμβων υδρογραφικού δικτύου

Κόμβος εξόδου: J1

Αποτέλεσμα
τα: J1

Παροχή αιχμής (M3/S)	518.44
Χρονική στιγμή αιχμής	01Sep2000, 13:45
Όγκος (MM)	96.7

Απορροή



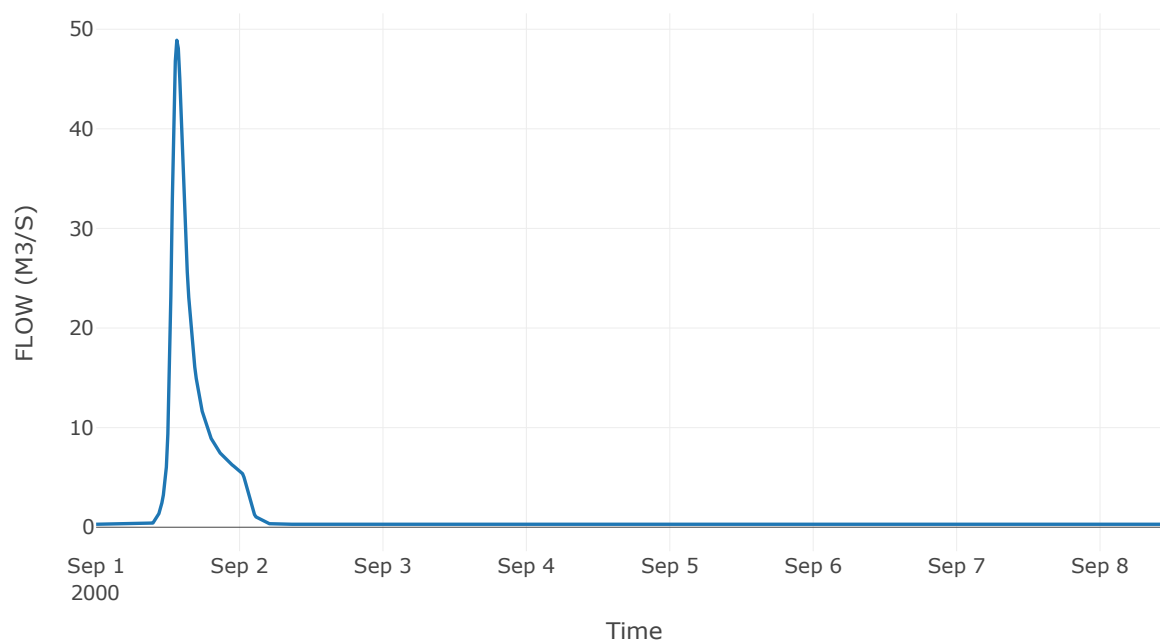
Κόμβος: J2

Κατάντη : R21

Αποτελέσματα: J2

Παροχή Αιχμής(M3/S)	48.89
Χρονική στιγμή αιχμής	01Sep2000, 13:30
Όγκος(MM)	92.07

Απορροή



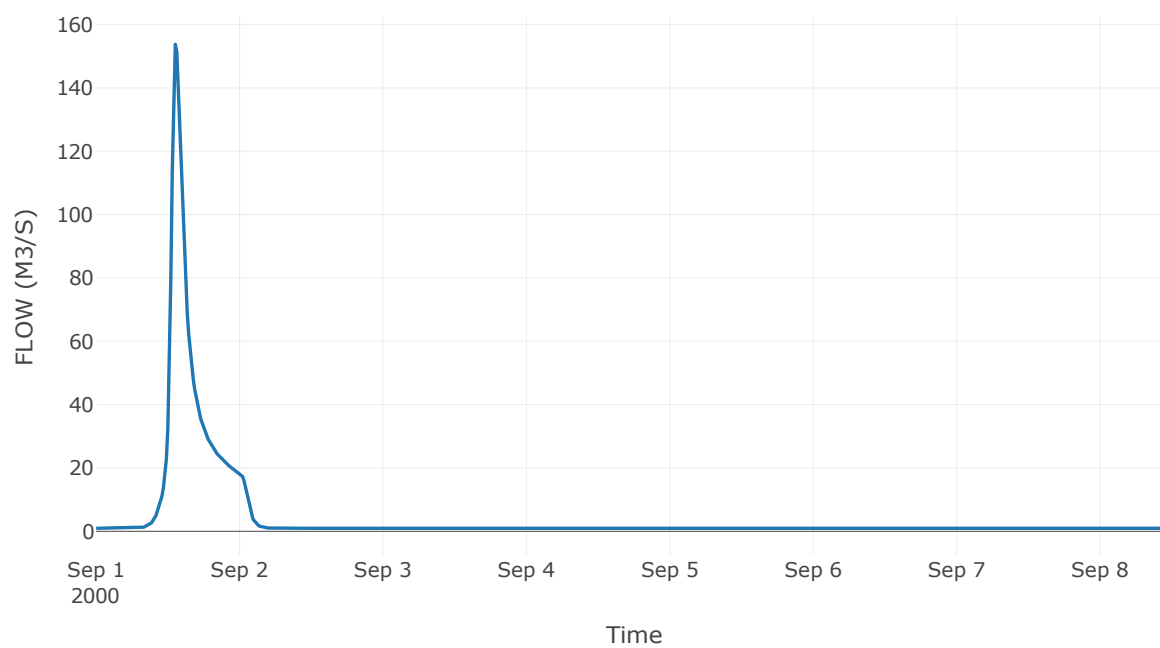
Κόμβος: J3

Κατάντη : R31

Αποτελέσματα: J3

Παροχή Αιχμής(M3/S)	153.79
Χρονική στιγμή αιχμής	01Sep2000, 13:15
Όγκος(MM)	88.16

Απορροή



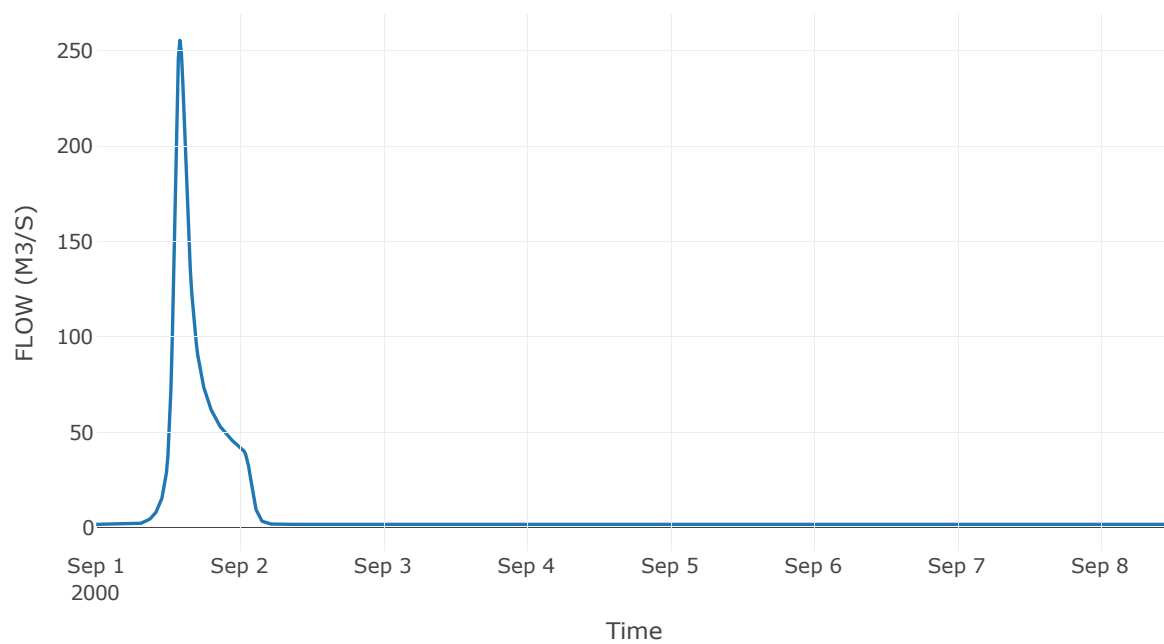
Κόμβος: J4

Κατάντη : R41

Αποτελέσματα: J4

Παροχή Αιχμής(M3/S)	255.37
Χρονική στιγμή αιχμής	01Sep2000, 14:00
Όγκος(MM)	89.96

Απορροή



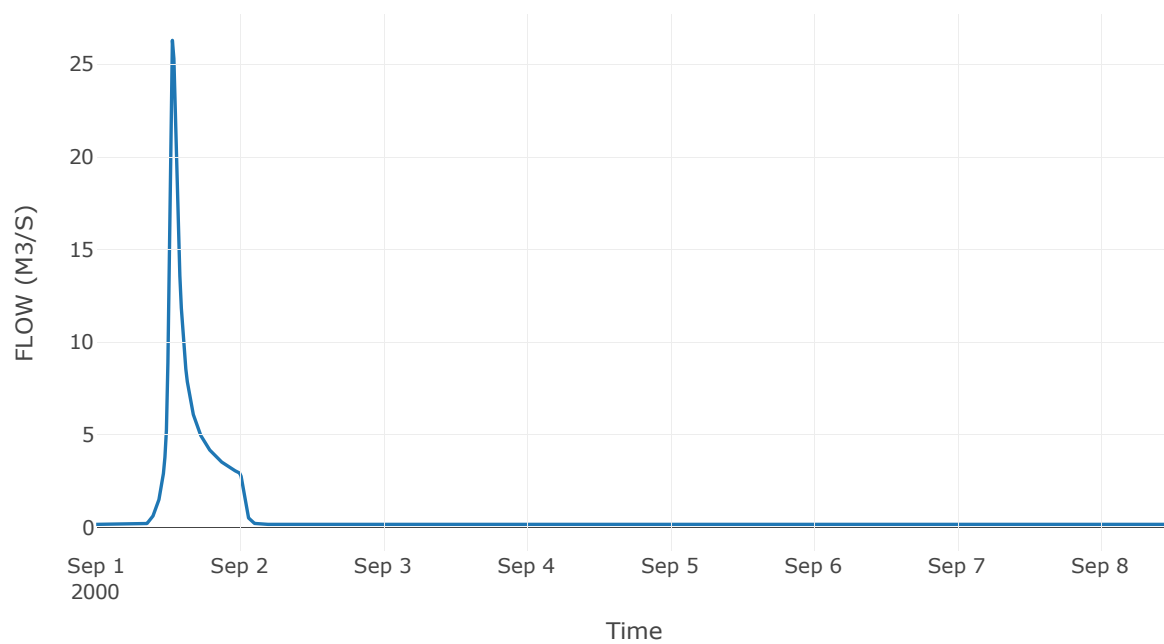
Κόμβος: J5

Κατάντη : R51

Αποτελέσματα: J5

Παροχή Αιχμής(M3/S)	26.29
Χρονική στιγμή αιχμής	01Sep2000, 12:45
Όγκος(MM)	78.98

Απορροή



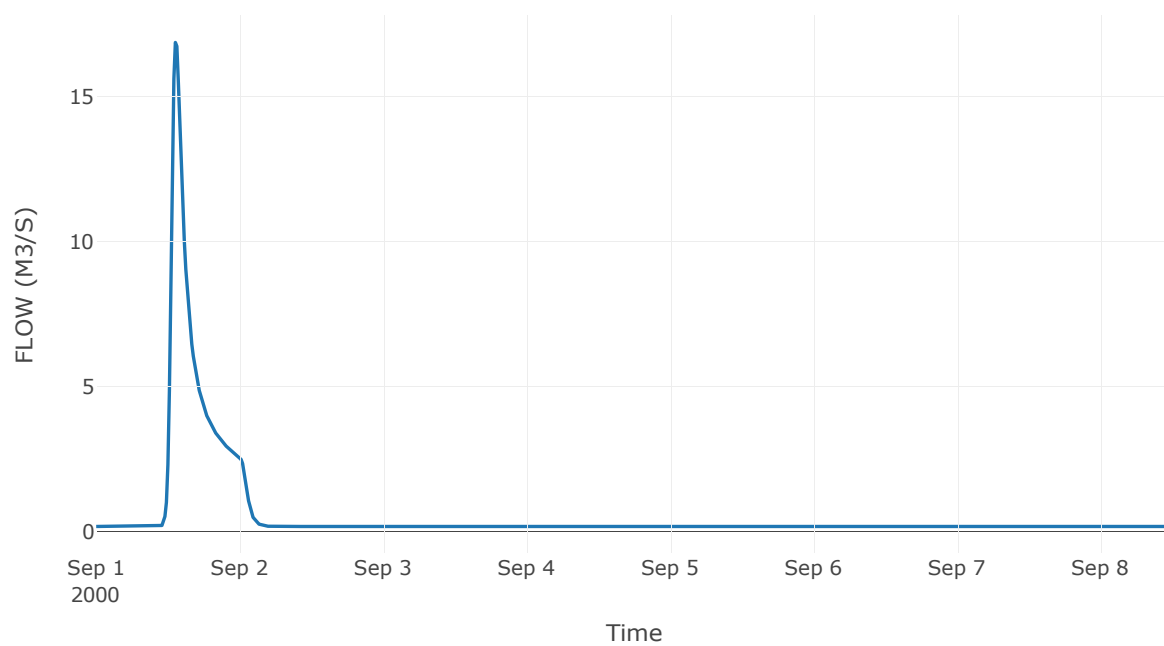
Κόμβος: J6

Κατάντη : R63

Αποτελέσματα: J6

Παροχή Αιχμής(M3/S)	16.86
Χρονική στιγμή αιχμής	01Sep2000, 13:15
Όγκος(MM)	60.55

Απορροή



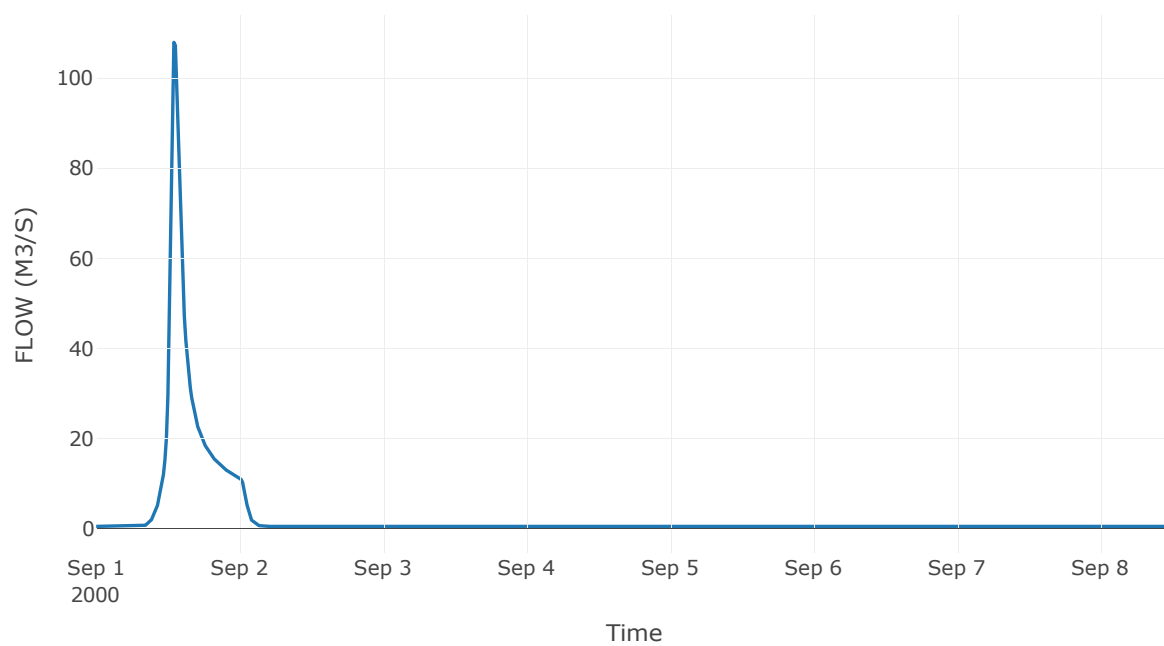
Κόμβος: J7

Κατάντη : R73

Αποτελέσματα: J7

Παροχή Αιχμής(M3/S)	107.91
Χρονική στιγμή αιχμής	01Sep2000, 13:00
Όγκος(MM)	98.98

Απορροή



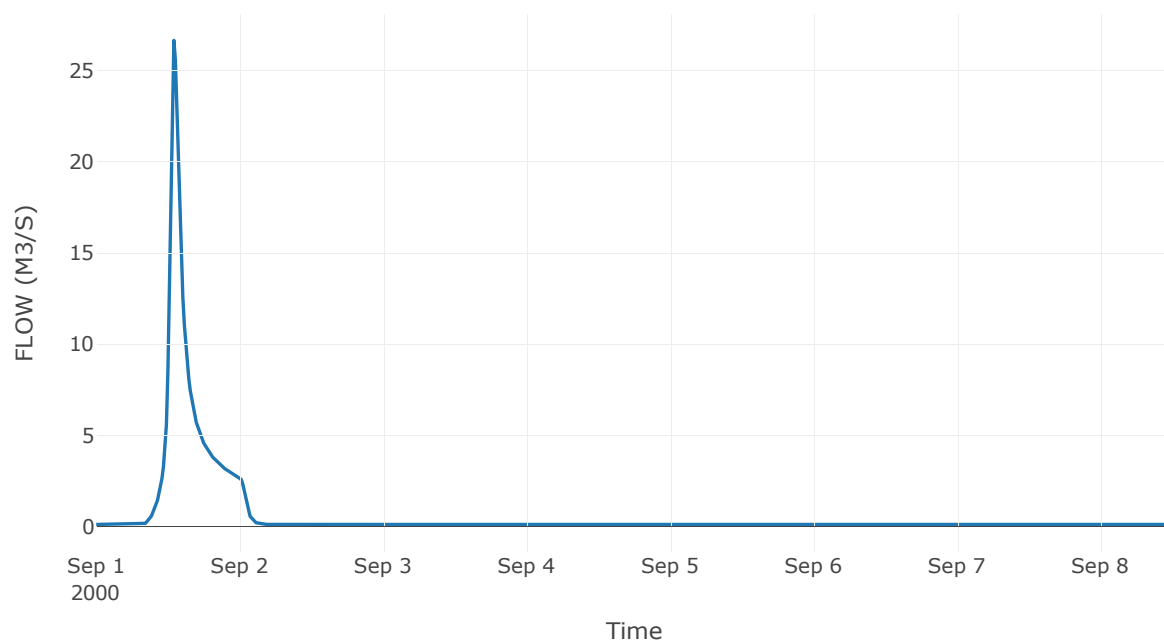
Κόμβος: J8

Κατάντη : R87

Αποτελέσματα: J8

Παροχή Αιχμής(M3/S)	26.65
Χρονική στιγμή αιχμής	01Sep2000, 13:00
Όγκος(MM)	96.23

Απορροή



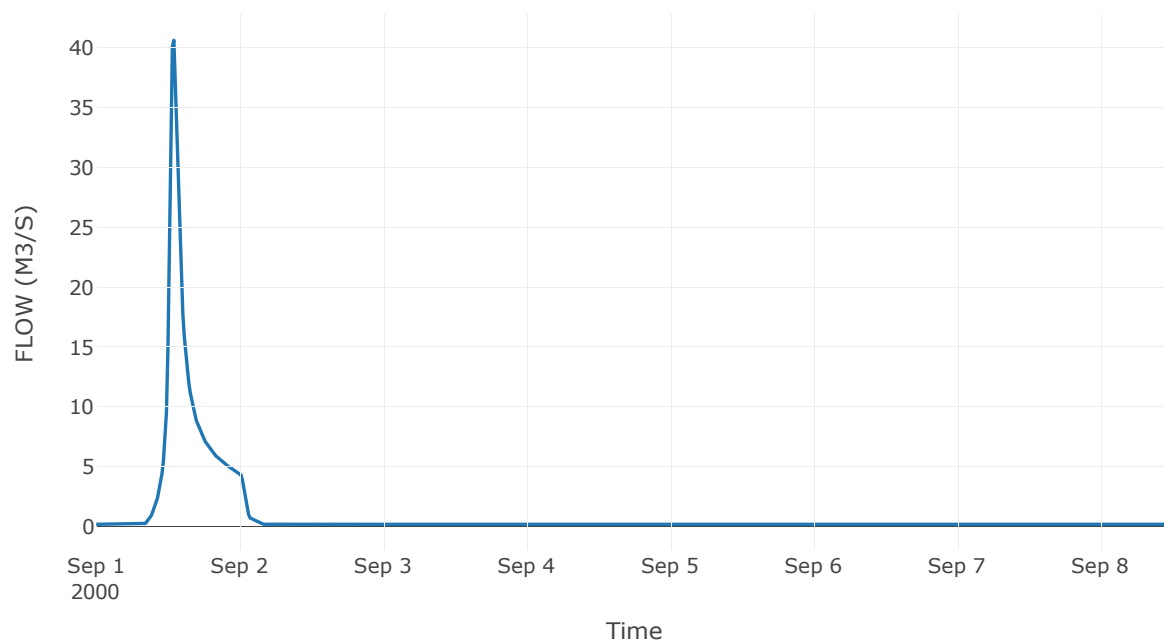
Κόμβος: J9

Κατάντη : R97

Αποτελέσματα: J9

Παροχή Αιχμής(M3/S)	40.64
Χρονική στιγμή αιχμής	01Sep2000, 13:00
Όγκος(MM)	100.13

Απορροή



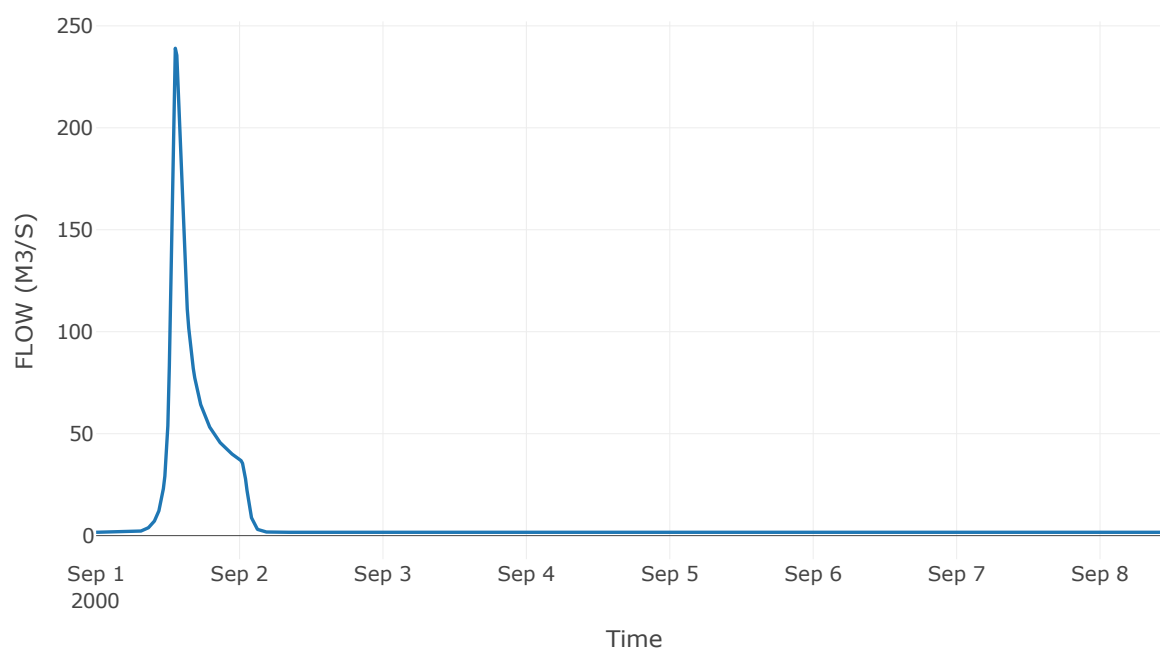
Κόμβος: J10

Κατάντη : R104

Αποτελέσματα: J10

Παροχή Αιχμής(M3/S)	238.99
Χρονική στιγμή αιχμής	01Sep2000, 13:15
Όγκος(MM)	86.78

Απορροή



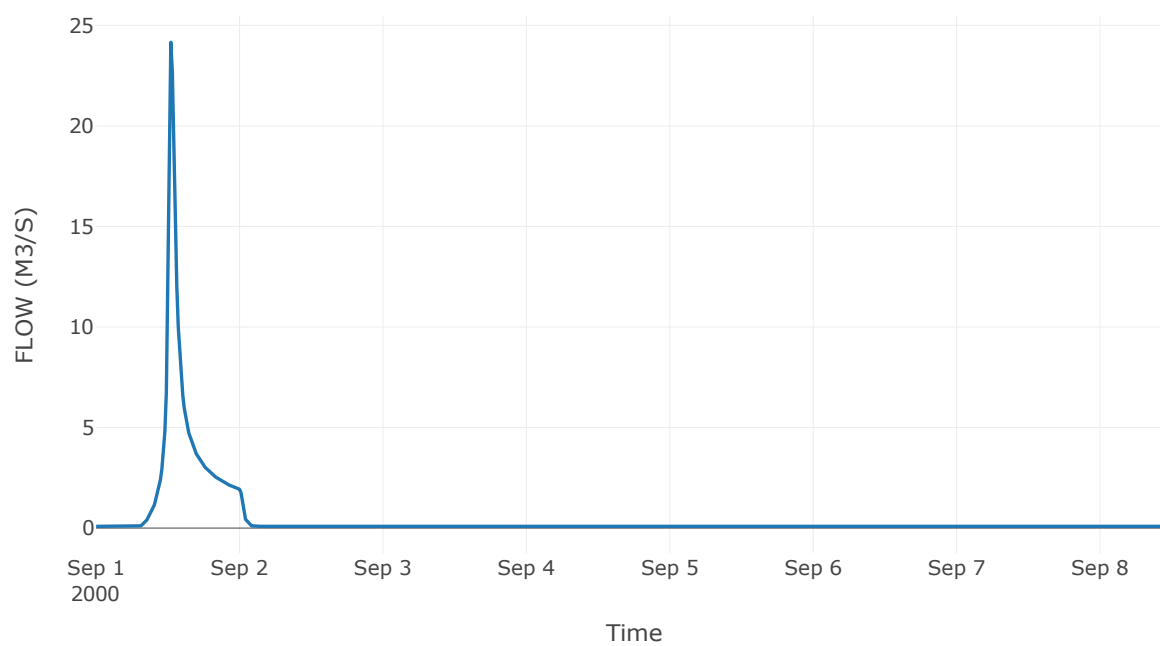
Κόμβος: J11

Κατάντη : R1110

Αποτελέσματα: J11

Παροχή Αιχμής(M3/S)	24.16
Χρονική στιγμή αιχμής	01Sep2000, 12:30
Όγκος(MM)	105.19

Απορροή



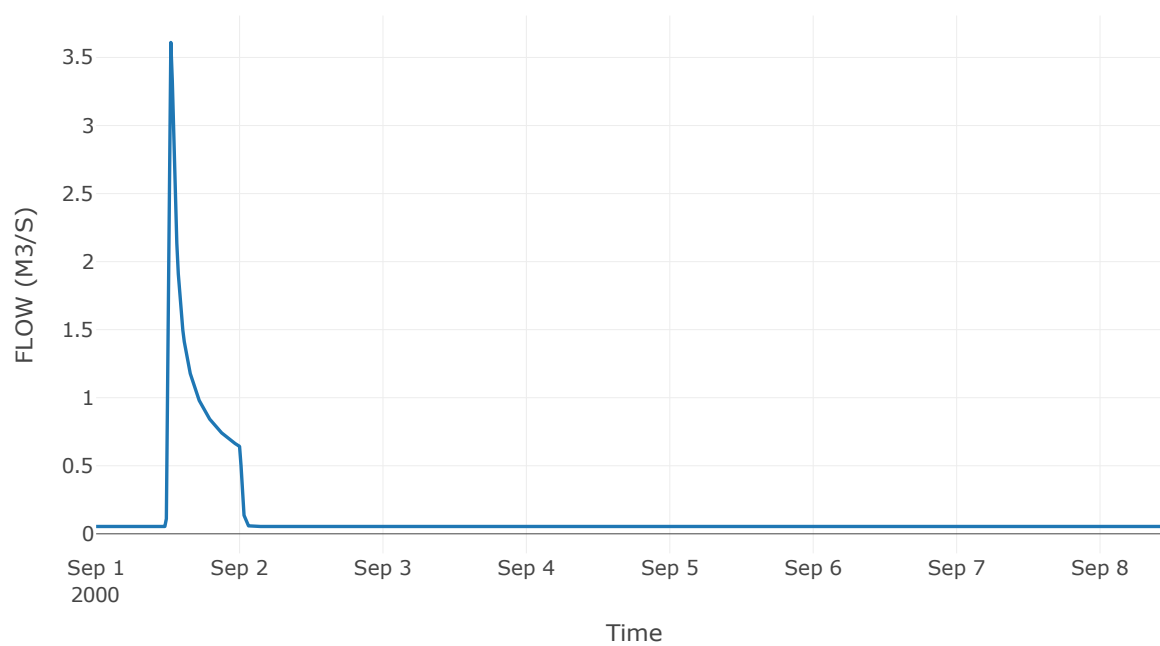
Κόμβος: J12

Κατάντη : R125

Αποτελέσματα: J12

Παροχή Αιχμής(M3/S)	3.61
Χρονική στιγμή αιχμής	01Sep2000, 12:30
Όγκος(MM)	44.62

Απορροή

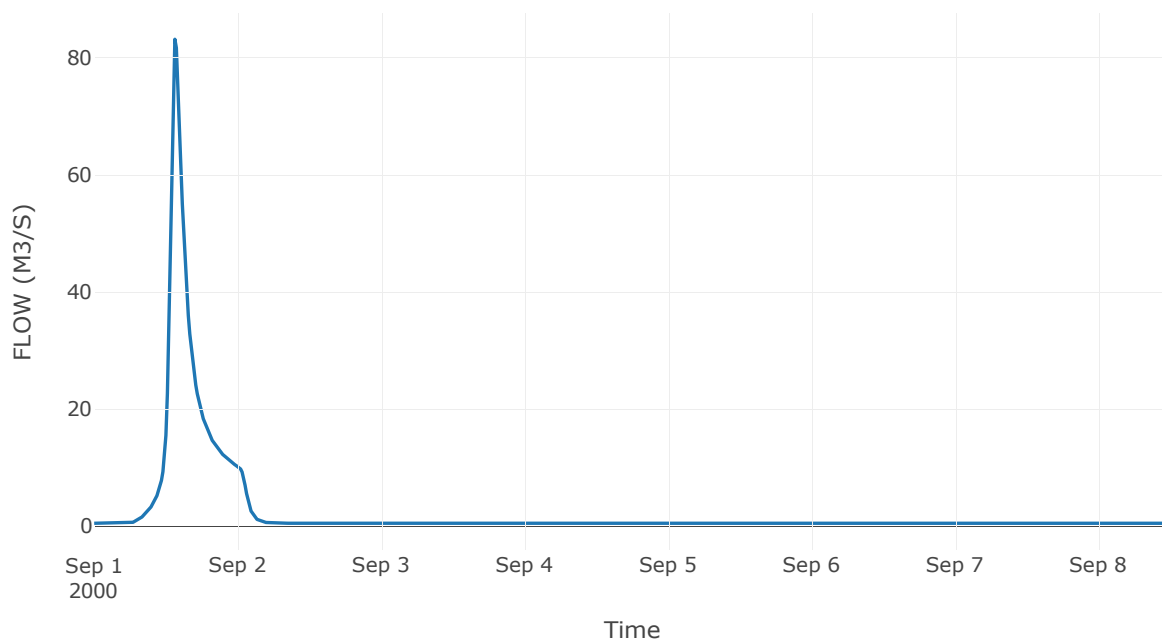


Κόμβος εξόδου: J13

Αποτελέσματ
α: J13

Παροχή αιχμής (M3/S)	83.14
Χρονική στιγμή αιχμής	01Sep2000, 13:30
Όγκος (MM)	100.53

Απορροή



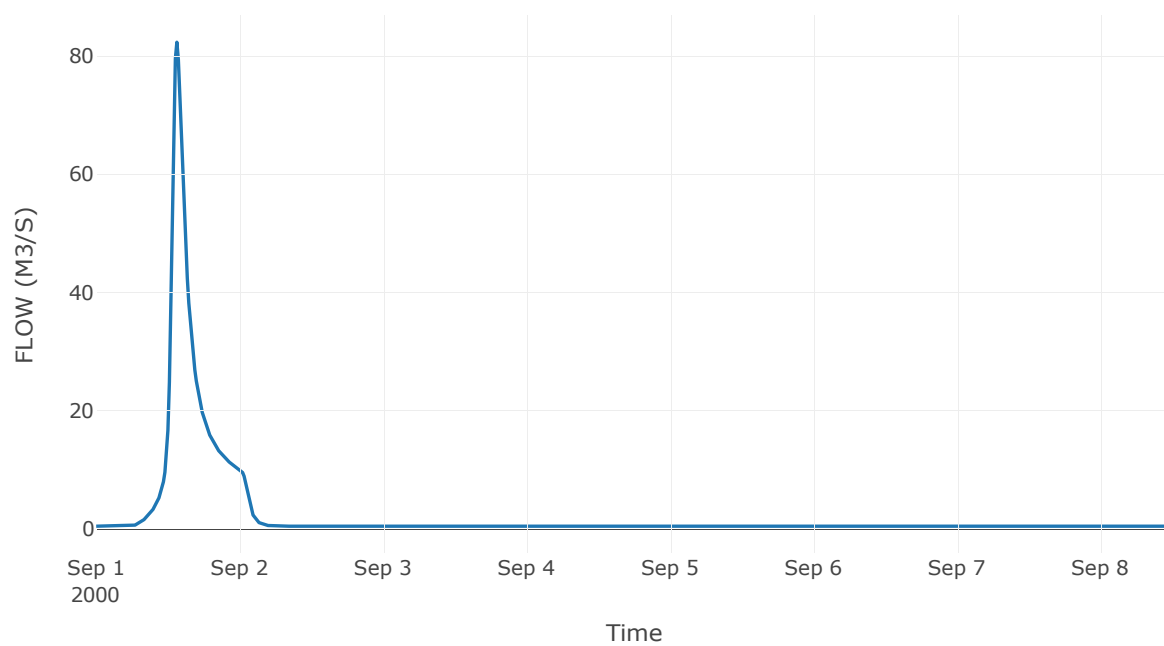
Κόμβος: J14

Κατάντη : R1413

Αποτελέσματα: J14

Παροχή Αιχμής(M3/S)	82.32
Χρονική στιγμή αιχμής	01Sep2000, 13:30
Όγκος(MM)	100.15

Απορροή



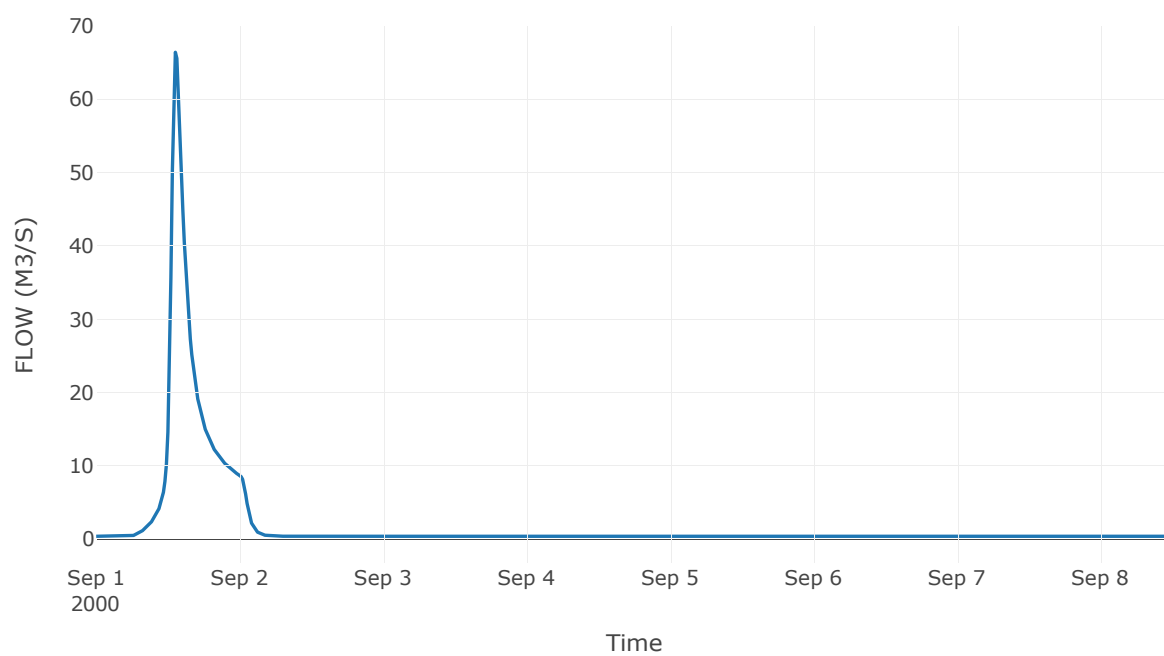
Κόμβος: J15

Κατάντη : R1514

Αποτελέσματα: J15

Παροχή Αιχμής(M3/S)	66.37
Χρονική στιγμή αιχμής	01Sep2000, 13:15
Όγκος(MM)	93.53

Απορροή



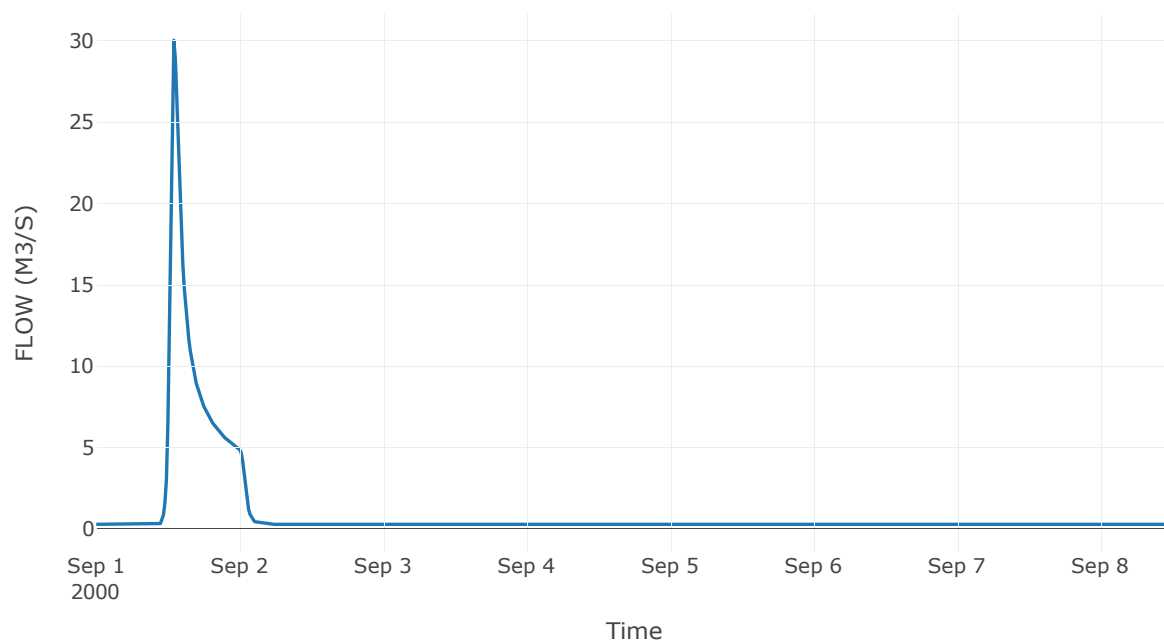
Κόμβος: J16

Κατάντη : R1615

Αποτελέσματα: J16

Παροχή Αιχμής(M3/S)	30.02
Χρονική στιγμή αιχμής	01Sep2000, 13:00
Όγκος(MM)	66.26

Απορροή



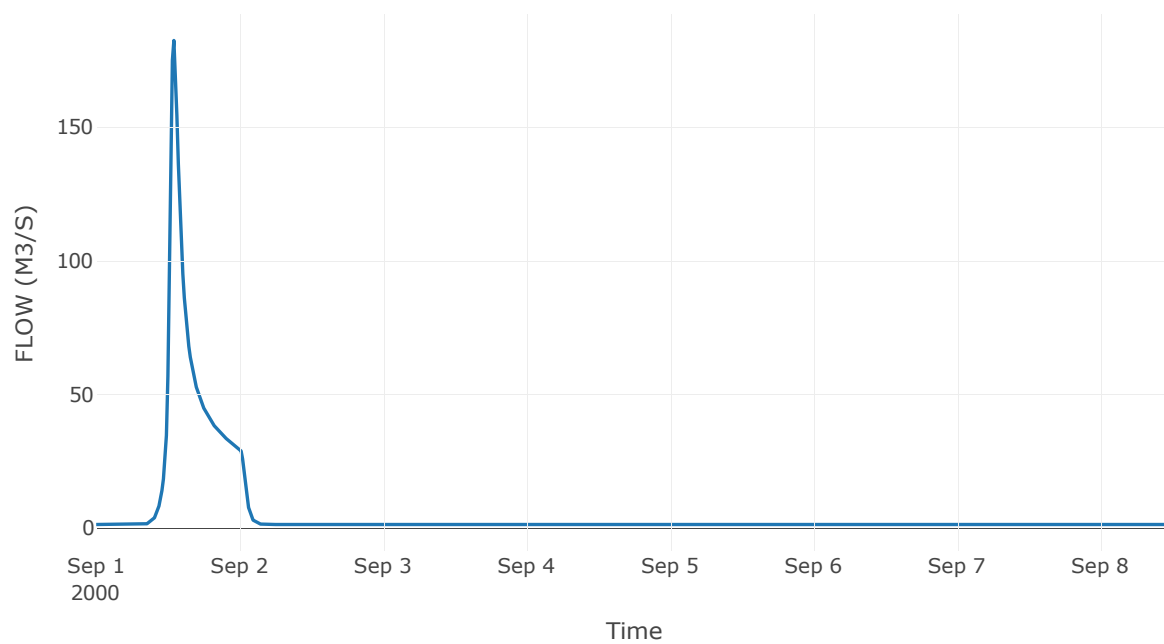
Κόμβος: J17

Κατάντη : R1720

Αποτελέσματα: J17

Παροχή Αιχμής(M3/S)	182.58
Χρονική στιγμή αιχμής	01Sep2000, 13:00
Όγκος(MM)	79.34

Απορροή



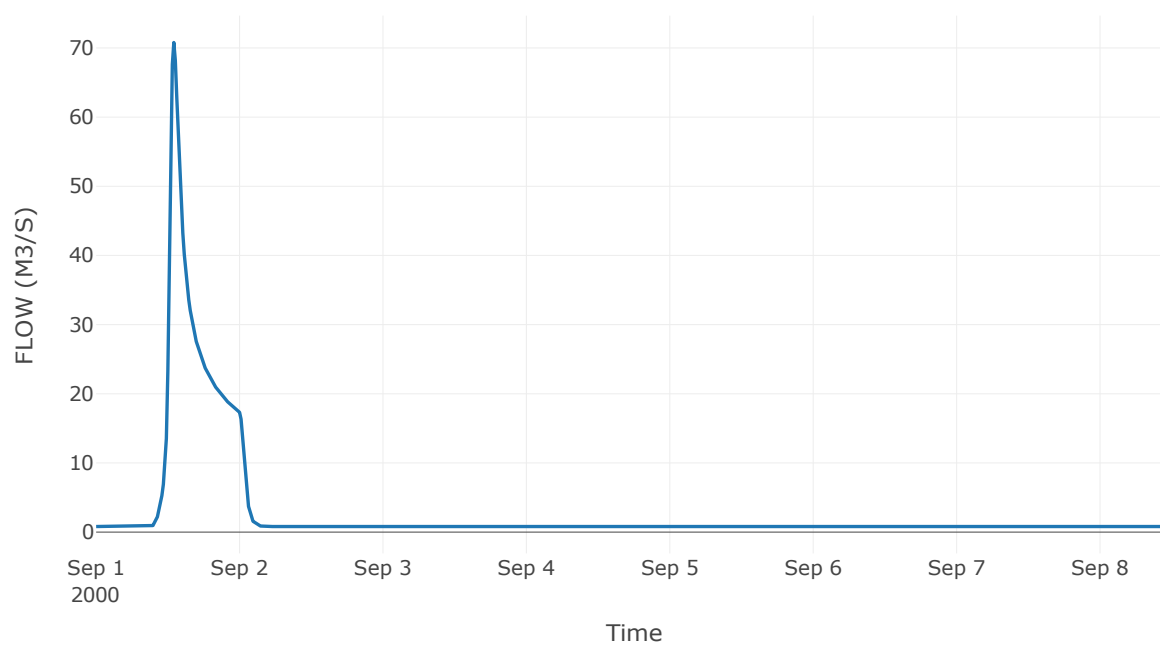
Κόμβος: J18

Κατάντη : R1817

Αποτελέσματα: J18

Παροχή Αιχμής(M3/S)	70.79
Χρονική στιγμή αιχμής	01Sep2000, 13:00
Όγκος(MM)	66.51

Απορροή



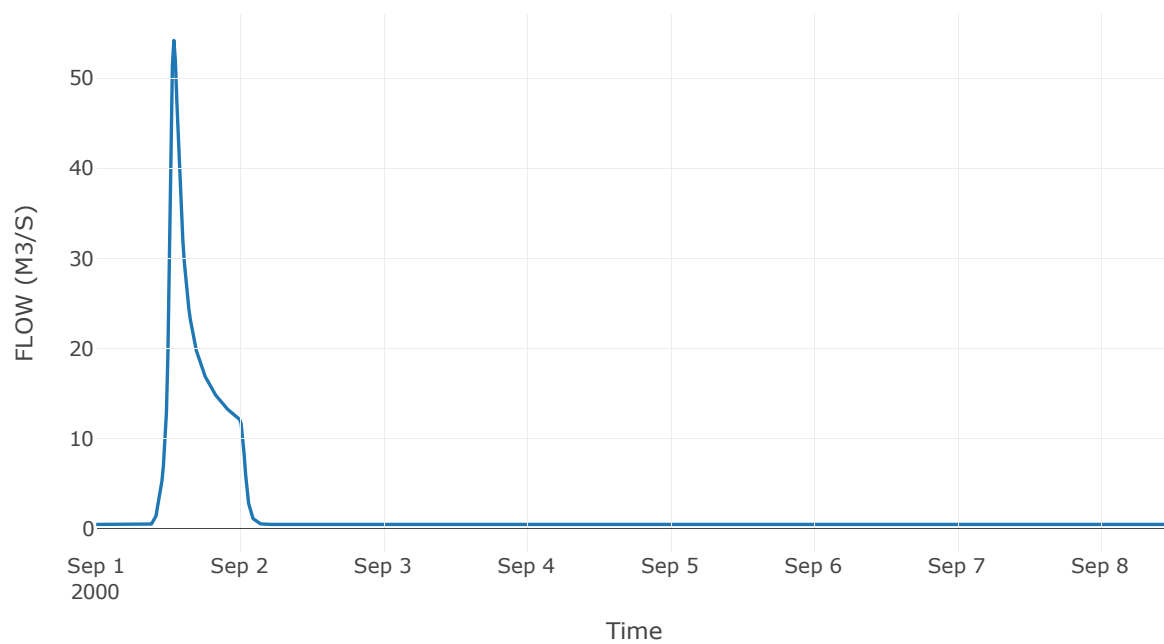
Κόμβος: J19

Κατάντη : R1918

Αποτελέσματα: J19

Παροχή Αιχμής(M3/S)	54.15
Χρονική στιγμή αιχμής	01Sep2000, 13:00
Όγκος(MM)	77.64

Απορροή



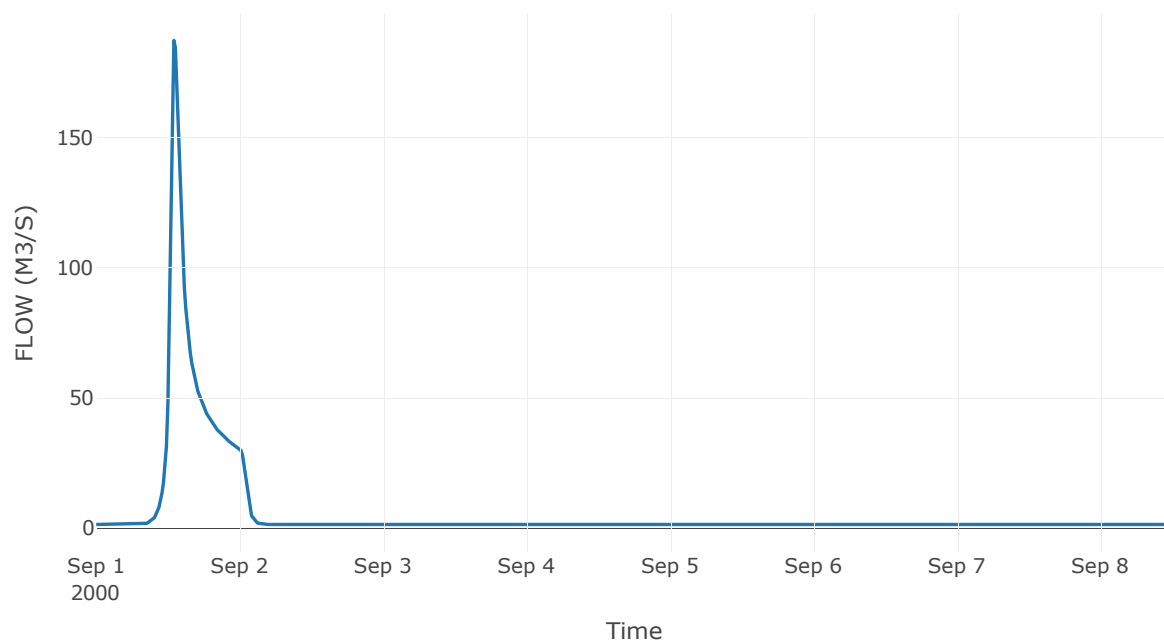
Κόμβος: J20

Κατάντη : R2010

Αποτελέσματα: J20

Παροχή Αιχμής(M3/S)	187.51
Χρονική στιγμή αιχμής	01Sep2000, 13:00
Όγκος(MM)	80.34

Απορροή



6 Δεδομένα εισόδου και αποτελέσματα υδρολογικού σεναρίου T=100L

6.1 Αποτελέσματα, υετογραφήματα και υδρογραφήματα σχεδιασμού υπολεκανών

Υπολεκάνη: EL0415FL007001

Έκταση (KM2) : 9.22

Κατάντη : J1

Μέθοδος Απωλειών: SCS

Ποσοστό αδιαπέρατης επιφάνειας	95
Αριθμός Καμπύλης Απορροής-CN	99
Αρχικές Απώλειες	0.51

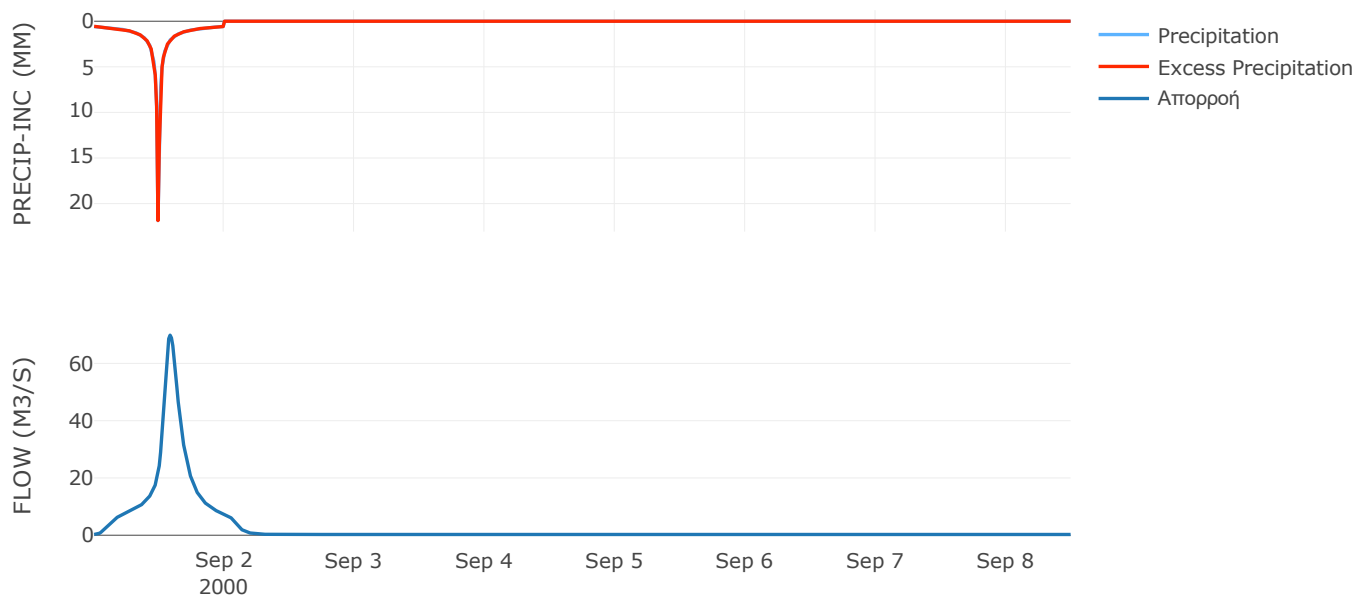
Μέθοδος
Μετασχηματισμού: SCS

Χρόνος Υστέρησης	120.1
------------------	-------

Αποτελέσματα:
EL0415FL007001

Παροχή αιχμής (M3/S)	69.86
Χρονική στιγμή αιχμής	01Sep2000, 14:00
Όγκος (MM)	191.12
Όγκος βροχόπτωσης (M3)	1.6E6
Όγκος απωλειών (M3)	1402.76
Ενεργός Όγκος (M3)	1.6E6
Όγκος άμεσης απορροής (M3)	1.6E6
Όγκος βασικής απορροής (M3)	1.67E5

Βροχόπτωση και Απορροή



Υπολεκάνη: EL0415FL007002

Έκταση (KM2) : 10.54

Κατάντη : J2

Μέθοδος Απωλειών: SCS

Ποσοστό αδιαπέρατης επιφάνειας	0
Αριθμός Καμπύλης Απορροής-CN	43.8
Αρχικές Απώλειες	65.17

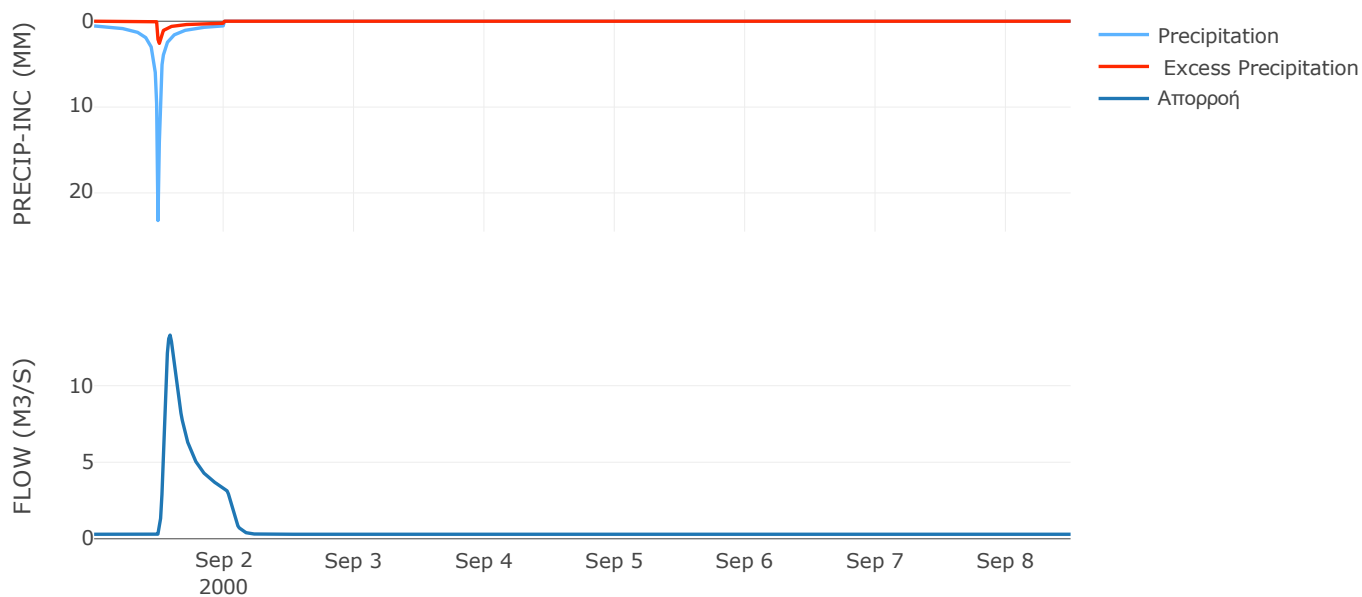
Μέθοδος
Μετασχηματισμού: SCS

Χρόνος Υστέρησης	82
------------------	----

Αποτελέσματα:
EL0415FL007002

Παροχή αιχμής (M3/S)	13.31
Χρονική στιγμή αιχμής	01Sep2000, 14:00
Όγκος (MM)	44.3
Όγκος βροχόπτωσης (M3)	1.81E6
Όγκος απωλειών (M3)	1.53E6
Ενεργός Όγκος (M3)	2.76E5
Όγκος άμεσης απορροής (M3)	2.76E5
Όγκος βασικής απορροής (M3)	1.91E5

Βροχόπτωση και Απορροή



Υπολεκάνη: EL0415FL007003

Έκταση (KM2) : 7.3

Κατάντη : J3

Μέθοδος Απωλειών: SCS

Ποσοστό αδιαπέρατης επιφάνειας	0
Αριθμός Καμπύλης Απορροής-CN	40.45
Αρχικές Απώλειες	74.79

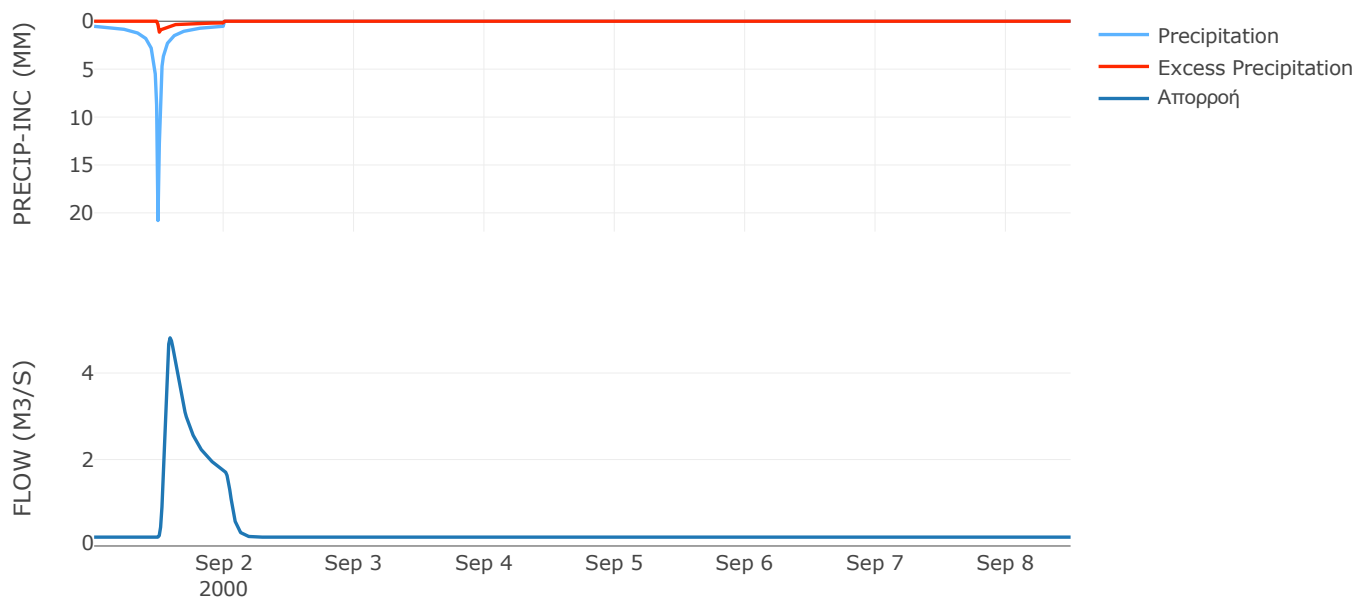
Μέθοδος
Μετασχηματισμού: SCS

Χρόνος Υστέρησης	72.05
------------------	-------

Αποτελέσματα:
EL0415FL007003

Παροχή αιχμής (M3/S)	4.81
Χρονική στιγμή αιχμής	01Sep2000, 14:00
Όγκος (MM)	33.96
Όγκος βροχόπτωσης (M3)	1.17E6
Όγκος απωλειών (M3)	1.05E6
Ενεργός Όγκος (M3)	1.15E5
Όγκος άμεσης απορροής (M3)	1.15E5
Όγκος βασικής απορροής (M3)	1.32E5

Βροχόπτωση και Απορροή



Υπολεκάνη: EL0415FL007004

Έκταση (KM2) : 9.79

Κατάντη : J16

Μέθοδος Απωλειών: SCS

Ποσοστό αδιαπέρατης επιφάνειας	0
Αριθμός Καμπύλης Απορροής-CN	30.13
Αρχικές Απώλειες	117.83

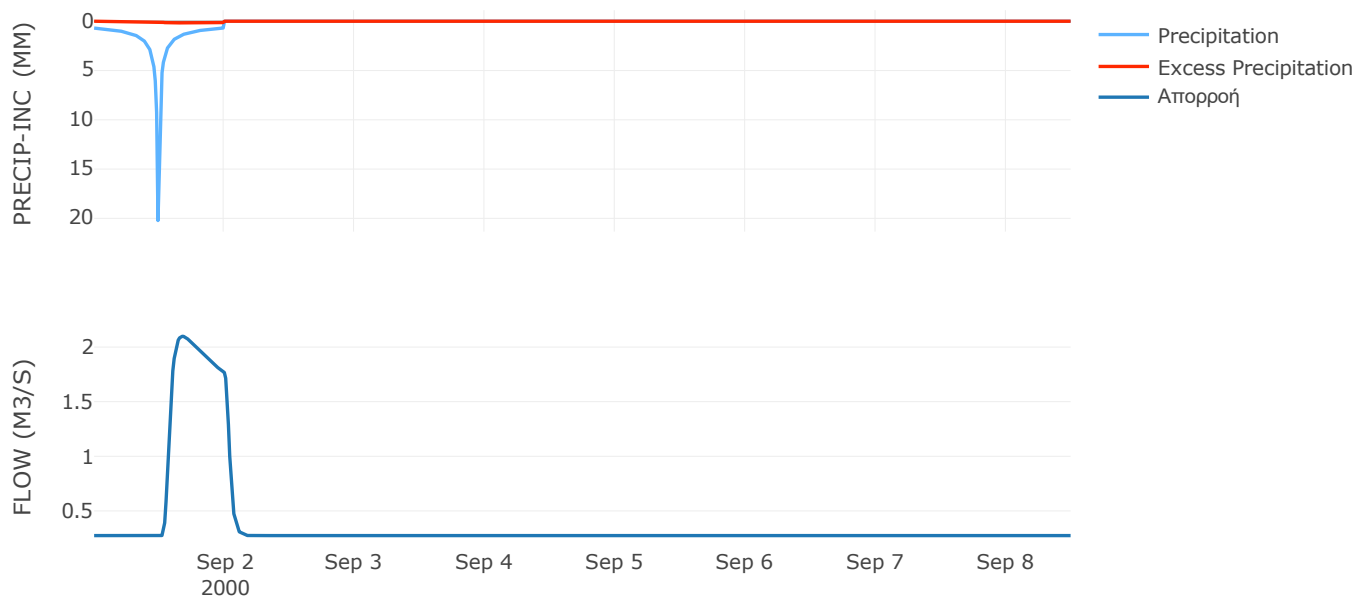
Μέθοδος
Μετασχηματισμού: SCS

Χρόνος Υστέρησης	49.7
------------------	------

Αποτελέσματα:
EL0415FL007004

Παροχή αιχμής (M3/S)	2.1
Χρονική στιγμή αιχμής	01Sep2000, 16:15
Όγκος (MM)	25.07
Όγκος βροχόπτωσης (M3)	1.81E6
Όγκος απωλειών (M3)	1.75E6
Ενεργός Όγκος (M3)	67793.22
Όγκος άμεσης απορροής (M3)	67793.22
Όγκος βασικής απορροής (M3)	1.78E5

Βροχόπτωση και Απορροή



Υπολεκάνη: EL0415FL007005

Έκταση (KM2) : 17.4

Κατάντη : J19

Μέθοδος Απωλειών: SCS

Ποσοστό αδιαπέρατης επιφάνειας	0
Αριθμός Καμπύλης Απορροής-CN	32.39
Αρχικές Απώλειες	106.02

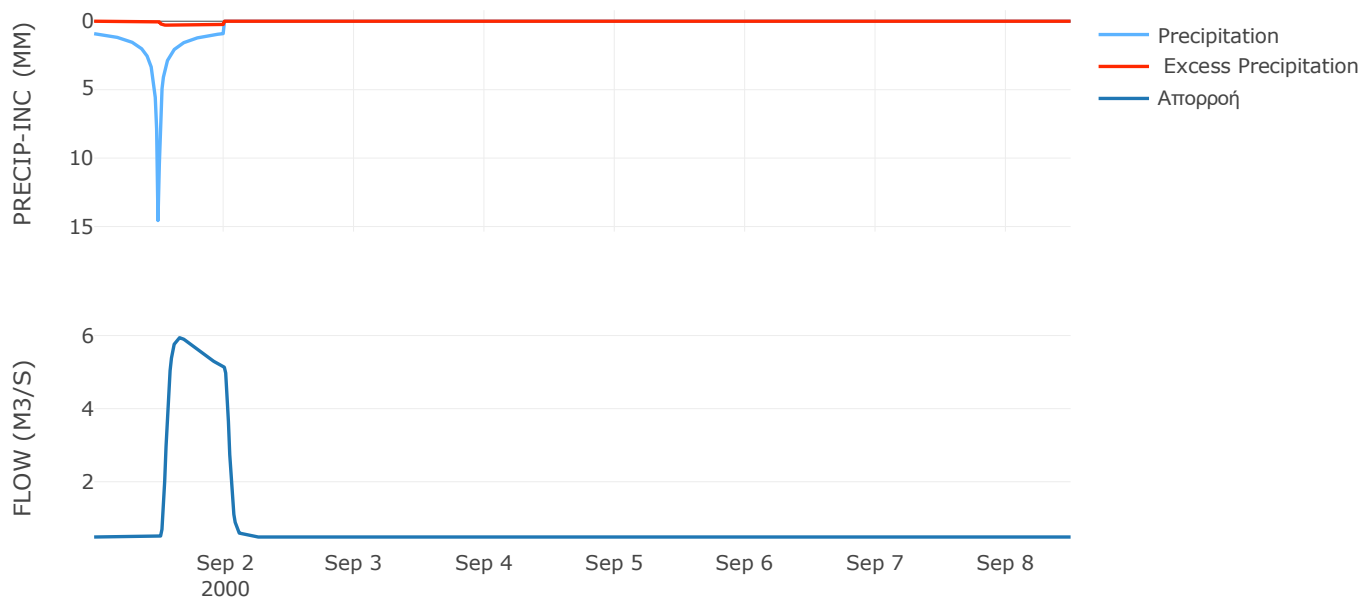
Μέθοδος
Μετασχηματισμού: SCS

Χρόνος Υστέρησης	49.58
------------------	-------

Αποτελέσματα:
EL0415FL007005

Παροχή αιχμής (M3/S)	5.94
Χρονική στιγμή αιχμής	01Sep2000, 15:45
Όγκος (MM)	30.44
Όγκος βροχόπτωσης (M3)	3.36E6
Όγκος απωλειών (M3)	3.15E6
Ενεργός Όγκος (M3)	2.14E5
Όγκος άμεσης απορροής (M3)	2.14E5
Όγκος βασικής απορροής (M3)	3.16E5

Βροχόπτωση και Απορροή



Υπολεκάνη: EL0415FL007006

Έκταση (KM2) : 2.23

Κατάντη : J18

Μέθοδος Απωλειών: SCS

Ποσοστό αδιαπέρατης επιφάνειας	0
Αριθμός Καμπύλης Απορροής-CN	24.83
Αρχικές Απώλειες	153.8

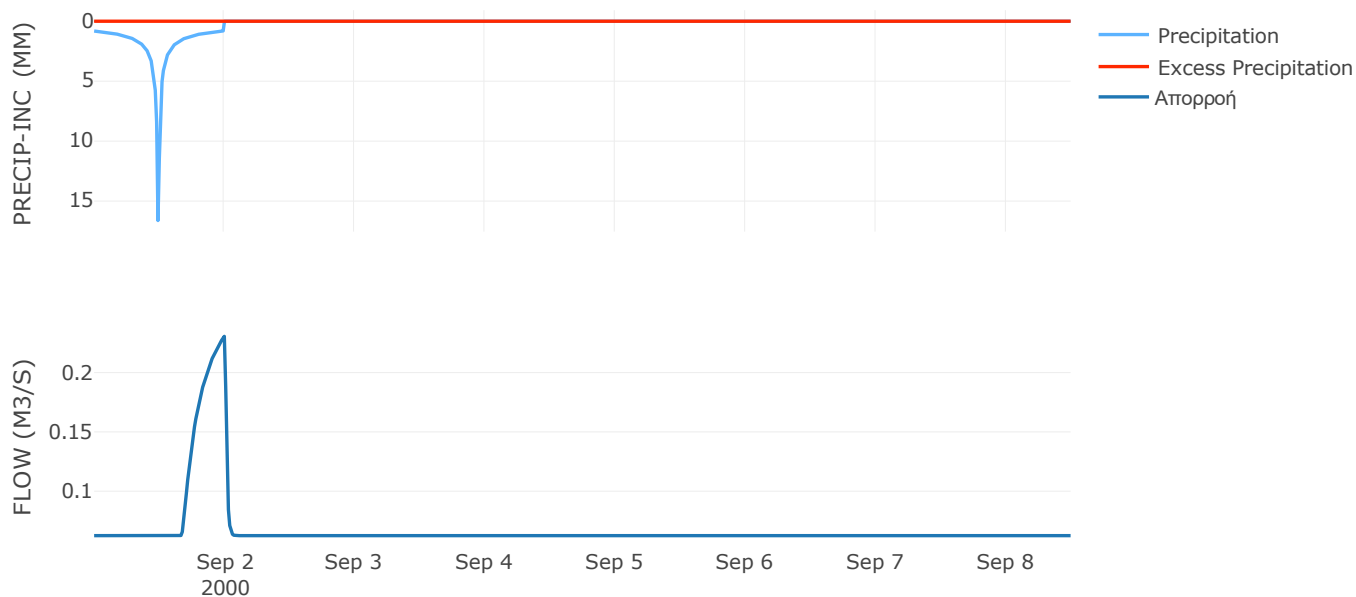
Μέθοδος
Μετασχηματισμού: SCS

Χρόνος Υστέρησης	18.96
------------------	-------

Αποτελέσματα:
EL0415FL007006

Παροχή αιχμής (M3/S)	0.23
Χρονική στιγμή αιχμής	01Sep2000, 24:00
Όγκος (MM)	19.68
Όγκος βροχόπτωσης (M3)	4.22E5
Όγκος απωλειών (M3)	4.19E5
Ενεργός Όγκος (M3)	3431.86
Όγκος άμεσης απορροής (M3)	3431.86
Όγκος βασικής απορροής (M3)	40515.55

Βροχόπτωση και Απορροή



Υπολεκάνη: EL0415FL007007

Έκταση (KM2) : 9.16

Κατάντη : J18

Μέθοδος Απωλειών: SCS

Ποσοστό αδιαπέρατης επιφάνειας	0
Αριθμός Καμπύλης Απορροής-CN	23.36
Αρχικές Απώλειες	166.71

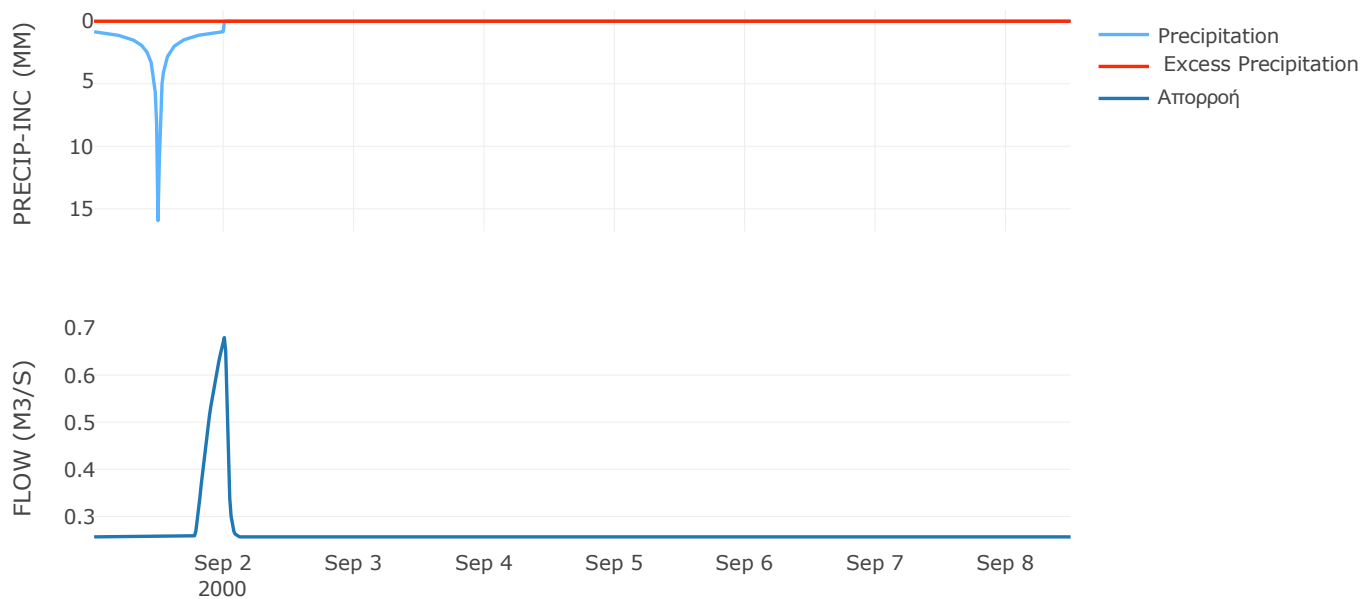
Μέθοδος
Μετασχηματισμού: SCS

Χρόνος Υστέρησης	30.86
------------------	-------

Αποτελέσματα:
EL0415FL007007

Παροχή αιχμής (M3/S)	0.68
Χρονική στιγμή αιχμής	01Sep2000, 24:00
Όγκος (MM)	18.77
Όγκος βροχόπτωσης (M3)	1.74E6
Όγκος απωλειών (M3)	1.73E6
Ενεργός Όγκος (M3)	5771.82
Όγκος άμεσης απορροής (M3)	5771.82
Όγκος βασικής απορροής (M3)	1.66E5

Βροχόπτωση και Απορροή



Υπολεκάνη: EL0415FL007008

Έκταση (KM2) : 7.8

Κατάληξη : J17

Μέθοδος Απωλειών: SCS

Ποσοστό αδιαπέρατης επιφάνειας	0
Αριθμός Καμπύλης Απορροής-CN	31.25
Αρχικές Απώλειες	111.76

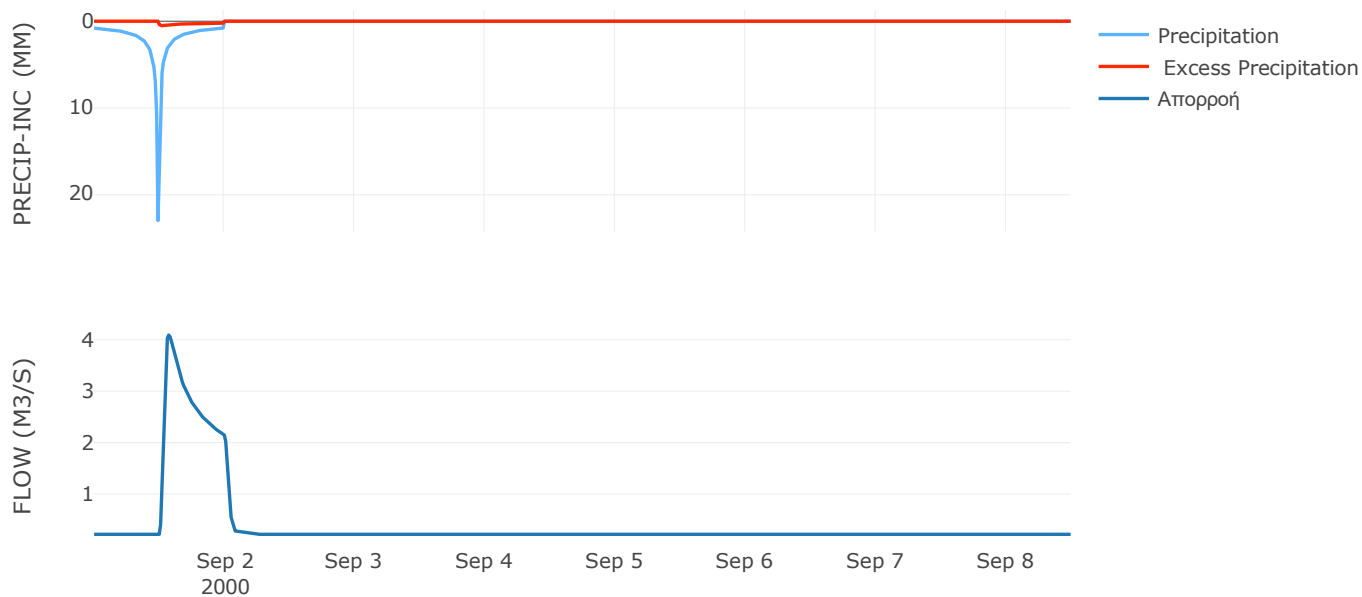
Μέθοδος
Μετασχηματισμού: SCS

Χρόνος Υστέρησης	38.07
------------------	-------

Αποτελέσματα:
EL0415FL007008

Παροχή αιχμής (M3/S)	4.09
Χρονική στιγμή αιχμής	01Sep2000, 13:45
Όγκος (MM)	32.92
Όγκος βροχόπτωσης (M3)	1.64E6
Όγκος απωλειών (M3)	1.53E6
Ενεργός Όγκος (M3)	1.15E5
Όγκος άμεσης απορροής (M3)	1.15E5
Όγκος βασικής απορροής (M3)	1.42E5

Βροχόπτωση και Απορροή



Υπολεκάνη: EL0415FL007009

Έκταση (KM2) : 11.83

Κατάντη : J17

Μέθοδος Απωλειών: SCS

Ποσοστό αδιαπέρατης επιφάνειας	0
Αριθμός Καμπύλης Απορροής-CN	43.9
Αρχικές Απώλειες	64.91

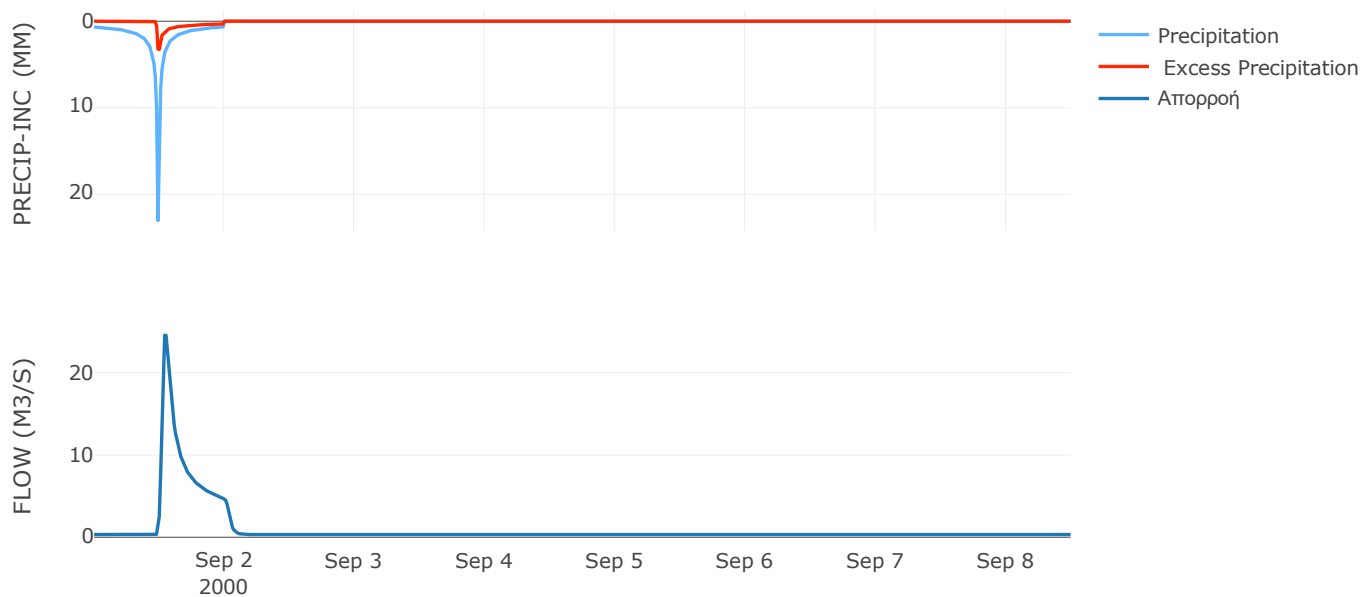
Μέθοδος
Μετασχηματισμού: SCS

Χρόνος Υστέρησης	49.2
------------------	------

Αποτελέσματα:
EL0415FL007009

Παροχή αιχμής (M3/S)	24.56
Χρονική στιγμή αιχμής	01Sep2000, 13:00
Όγκος (MM)	52.95
Όγκος βροχόπτωσης (M3)	2.25E6
Όγκος απωλειών (M3)	1.84E6
Ενεργός Όγκος (M3)	4.12E5
Όγκος άμεσης απορροής (M3)	4.12E5
Όγκος βασικής απορροής (M3)	2.15E5

Βροχόπτωση και Απορροή



Υπολεκάνη: EL0415FL007010

Έκταση (KM2) : 1.62

Κατάντη : J10

Μέθοδος Απωλειών: SCS

Ποσοστό αδιαπέρατης επιφάνειας	0
Αριθμός Καμπύλης Απορροής-CN	61.45
Αρχικές Απώλειες	31.87

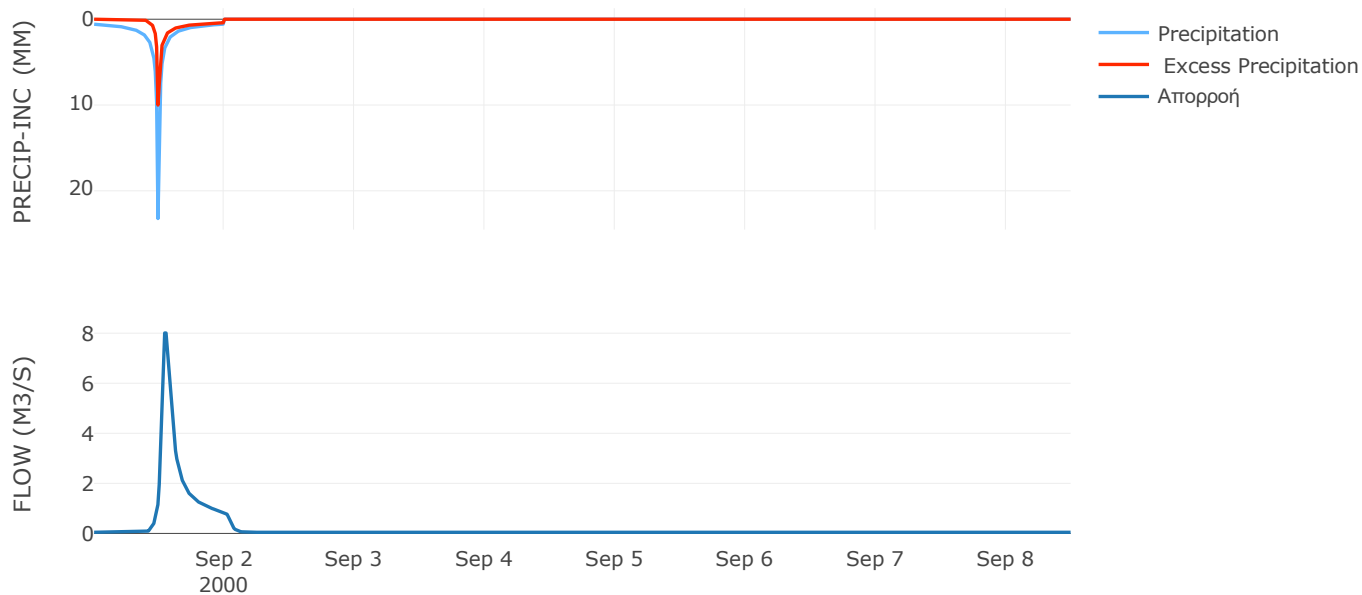
Μέθοδος
Μετασχηματισμού: SCS

Χρόνος Υστέρησης	59.22
------------------	-------

Αποτελέσματα:
EL0415FL007010

Παροχή αιχμής (M3/S)	8.01
Χρονική στιγμή αιχμής	01Sep2000, 13:00
Όγκος (MM)	87.34
Όγκος βροχόπτωσης (M3)	2.86E5
Όγκος απωλειών (M3)	1.74E5
Ενεργός Όγκος (M3)	1.12E5
Όγκος άμεσης απορροής (M3)	1.12E5
Όγκος βασικής απορροής (M3)	29356.99

Βροχόπτωση και Απορροή



Υπολεκάνη: EL0415FL007011

Έκταση (KM2) : 3.11

Κατάνη : J11

Μέθοδος Απωλειών: SCS

Ποσοστό αδιαπέρατης επιφάνειας	0
Αριθμός Καμπύλης Απορροής-CN	47.51
Αρχικές Απώλειες	56.12

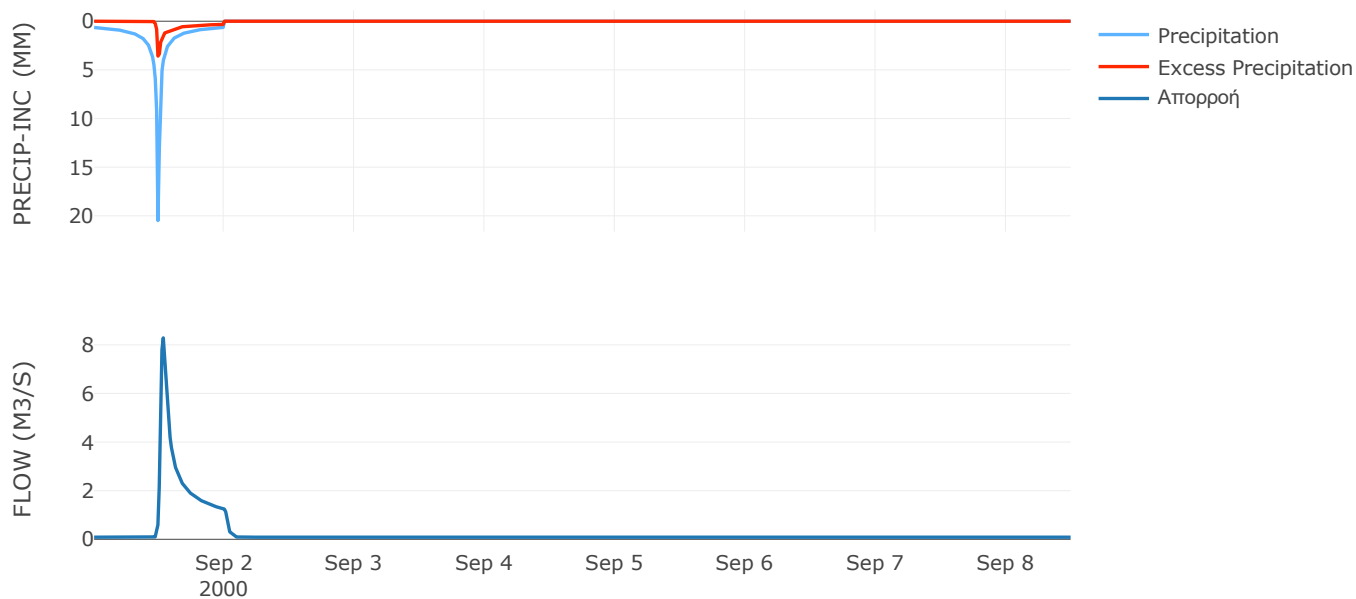
Μέθοδος
Μετασχηματισμού: SCS

Χρόνος Υστέρησης	31.27
------------------	-------

Αποτελέσματα:
EL0415FL007011

Παροχή αιχμής (M3/S)	8.29
Χρονική στιγμή αιχμής	01Sep2000, 12:45
Όγκος (MM)	54.71
Όγκος βροχόπτωσης (M3)	5.51E5
Όγκος απωλειών (M3)	4.37E5
Ενεργός Όγκος (M3)	1.14E5
Όγκος άμεσης απορροής (M3)	1.14E5
Όγκος βασικής απορροής (M3)	56373.41

Βροχόπτωση και Απορροή



Υπολεκάνη: EL0415FL007012

Έκταση (KM2) : 4.8

Κατάντη : J10

Μέθοδος Απωλειών: SCS

Ποσοστό αδιαπέρατης επιφάνειας	0
Αριθμός Καμπύλης Απορροής-CN	54.95
Αρχικές Απώλειες	41.65

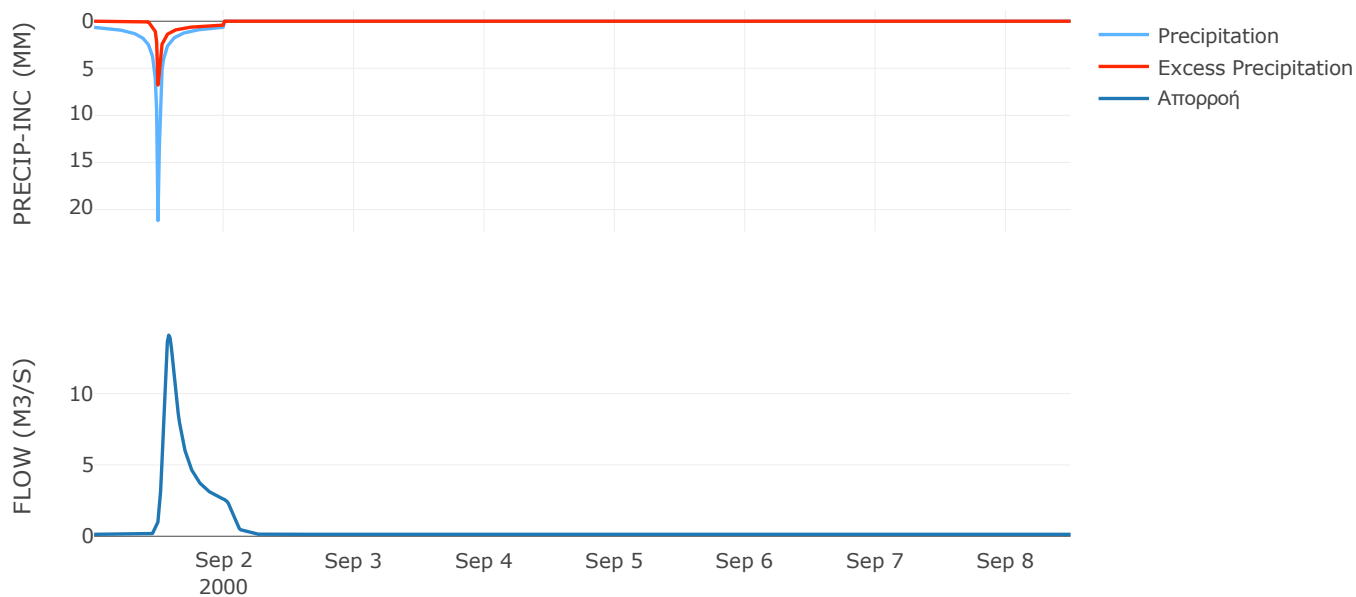
Μέθοδος
Μετασχηματισμού: SCS

Χρόνος Υστέρησης	88.5
------------------	------

Αποτελέσματα:
EL0415FL007012

Παροχή αιχμής (M3/S)	14.1
Χρονική στιγμή αιχμής	01Sep2000, 13:45
Όγκος (MM)	73.97
Όγκος βροχόπτωσης (M3)	8.68E5
Όγκος απωλειών (M3)	6.01E5
Ενεργός Όγκος (M3)	2.68E5
Όγκος άμεσης απορροής (M3)	2.68E5
Όγκος βασικής απορροής (M3)	87091.2

Βροχόπτωση και Απορροή



Υπολεκάνη: EL0415FL007013

Έκταση (KM2) : 1.31

Κατάνη : J15

Μέθοδος Απωλειών: SCS

Ποσοστό αδιαπέρατης επιφάνειας	0
Αριθμός Καμπύλης Απορροής-CN	61.51
Αρχικές Απώλειες	31.79

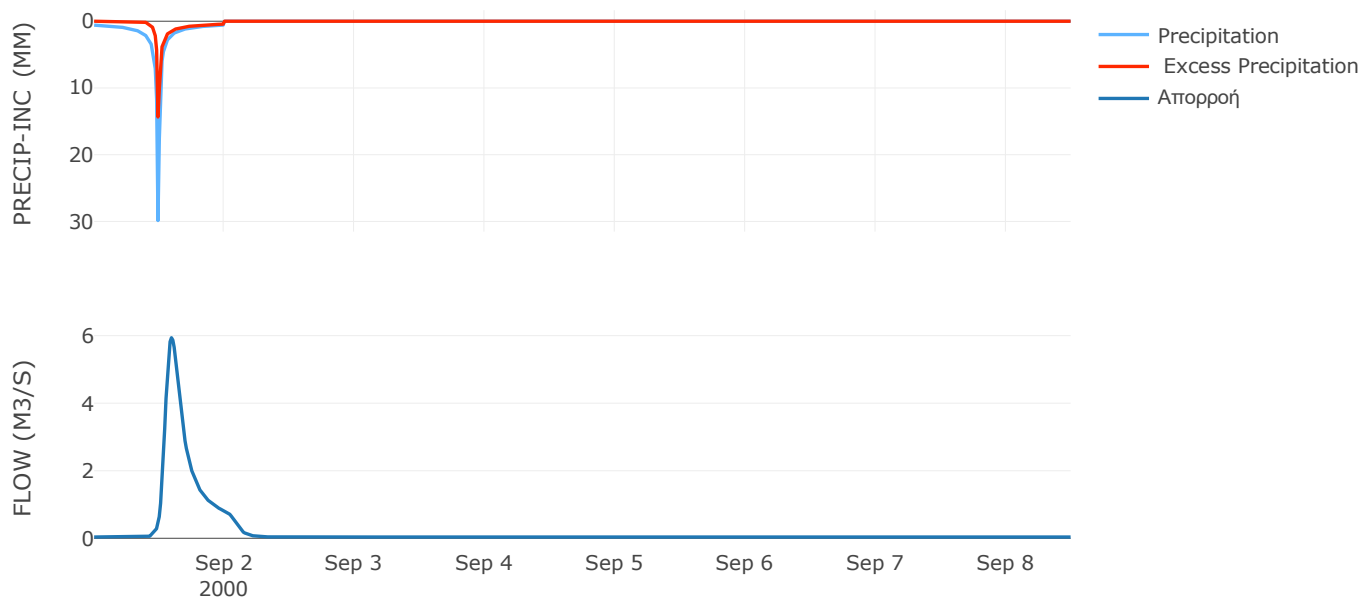
Μέθοδος
Μετασχηματισμού: SCS

Χρόνος Υστέρησης	120.01
------------------	--------

Αποτελέσματα:
EL0415FL007013

Παροχή αιχμής (M3/S)	5.94
Χρονική στιγμή αιχμής	01Sep2000, 14:15
Όγκος (MM)	103.7
Όγκος βροχόπτωσης (M3)	2.61E5
Όγκος απωλειών (M3)	1.49E5
Ενεργός Όγκος (M3)	1.12E5
Όγκος άμεσης απορροής (M3)	1.12E5
Όγκος βασικής απορροής (M3)	23841.22

Βροχόπτωση και Απορροή



Υπολεκάνη: EL0415FL007014

Έκταση (KM2) : 3.5

Κατάνη : J15

Μέθοδος Απωλειών: SCS

Ποσοστό αδιαπέρατης επιφάνειας	0
Αριθμός Καμπύλης Απορροής-CN	57.72
Αρχικές Απώλειες	37.22

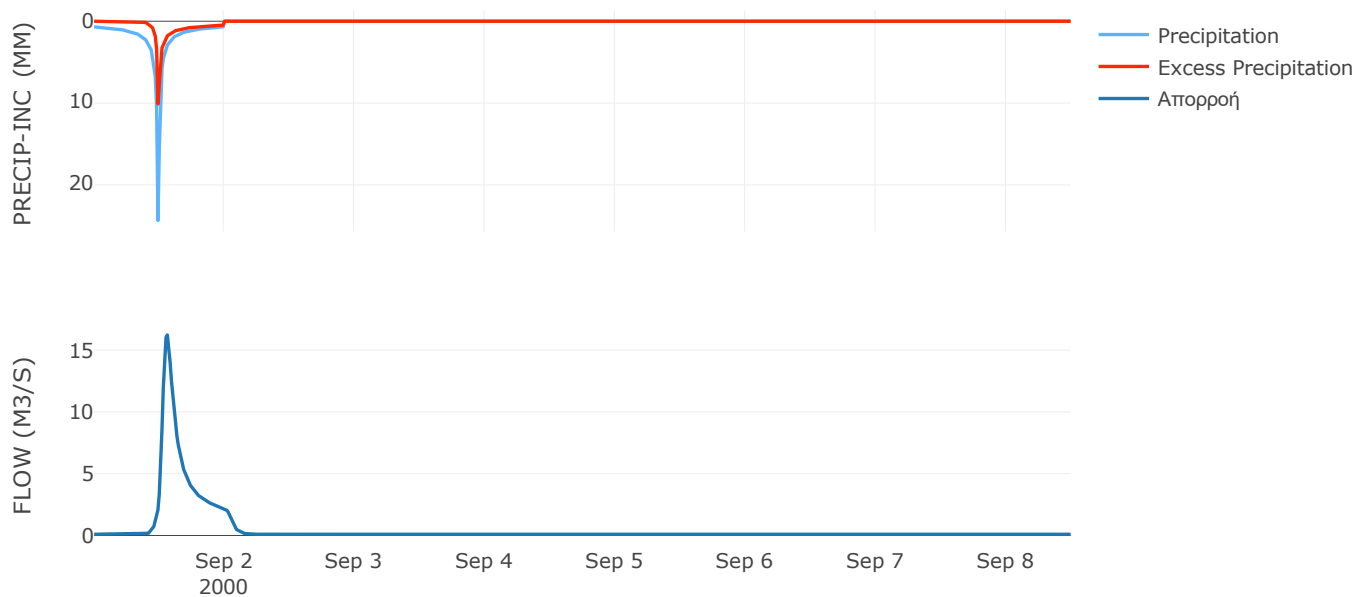
Μέθοδος
Μετασχηματισμού: SCS

Χρόνος Υστέρησης	73.61
------------------	-------

Αποτελέσματα:
EL0415FL007014

Παροχή αιχμής (M3/S)	16.23
Χρονική στιγμή αιχμής	01Sep2000, 13:30
Όγκος (MM)	93.49
Όγκος βροχόπτωσης (M3)	6.98E5
Όγκος απωλειών (M3)	4.34E5
Ενεργός Όγκος (M3)	2.64E5
Όγκος άμεσης απορροής (M3)	2.64E5
Όγκος βασικής απορροής (M3)	63558.43

Βροχόπτωση και Απορροή



Υπολεκάνη: EL0415FL007015

Έκταση (KM2) : 0.6

Κατάντη : J20

Μέθοδος Απωλειών: SCS

Ποσοστό αδιαπέρατης επιφάνειας	0
Αριθμός Καμπύλης Απορροής-CN	64.13
Αρχικές Απώλειες	28.42

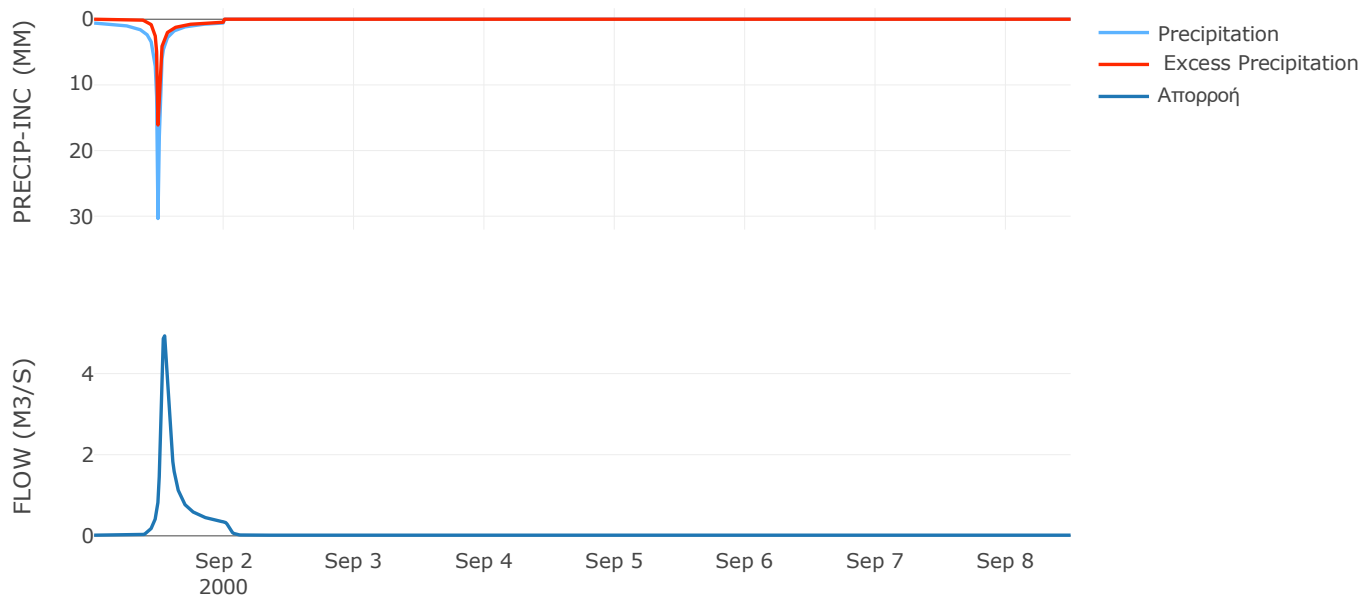
Μέθοδος
Μετασχηματισμού: SCS

Χρόνος Υστέρησης	49.43
------------------	-------

Αποτελέσματα:
EL0415FL007015

Παροχή αιχμής (M3/S)	4.93
Χρονική στιγμή αιχμής	01Sep2000, 13:00
Όγκος (MM)	111.88
Όγκος βροχόπτωσης (M3)	1.2E5
Όγκος απωλειών (M3)	63559.77
Ενεργός Όγκος (M3)	56147.07
Όγκος άμεσης απορροής (M3)	56147.07
Όγκος βασικής απορροής (M3)	10868.26

Βροχόπτωση και Απορροή



Υπολεκάνη: EL0415FL007016

Έκταση (KM2) : 0.07

Κατάντη : J14

Μέθοδος Απωλειών: SCS

Ποσοστό αδιαπέρατης επιφάνειας	0
Αριθμός Καμπύλης Απορροής-CN	59.83
Αρχικές Απώλειες	34.12

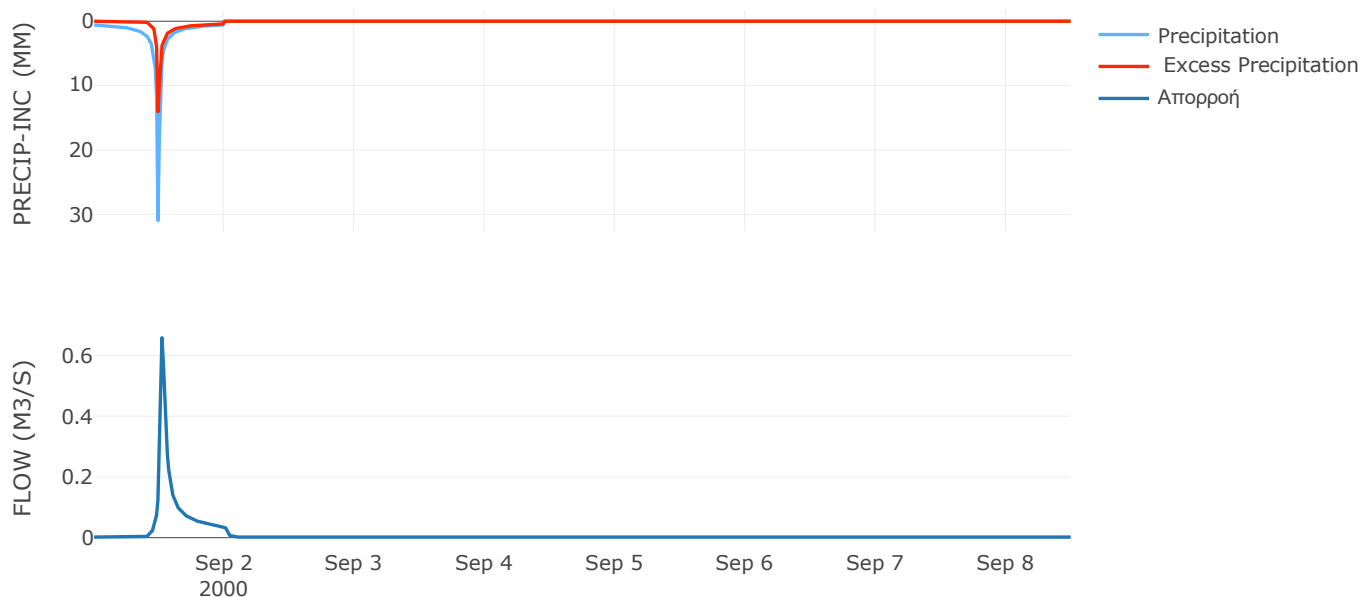
Μέθοδος
Μετασχηματισμού: SCS

Χρόνος Υστέρησης	28.26
------------------	-------

Αποτελέσματα:
EL0415FL007016

Παροχή αιχμής (M3/S)	0.66
Χρονική στιγμή αιχμής	01Sep2000, 12:30
Όγκος (MM)	100.75
Όγκος βροχόπτωσης (M3)	14077.27
Όγκος απωλειών (M3)	8294.72
Ενεργός Όγκος (M3)	5782.55
Όγκος άμεσης απορροής (M3)	5782.55
Όγκος βασικής απορροής (M3)	1270.08

Βροχόπτωση και Απορροή



Υπολεκάνη: EL0415FL007017

Έκταση (KM2) : 0.12

Κατάντη : J13

Μέθοδος Απωλειών: SCS

Ποσοστό αδιαπέρατης επιφάνειας	0
Αριθμός Καμπύλης Απορροής-CN	59.15
Αρχικές Απώλειες	35.08

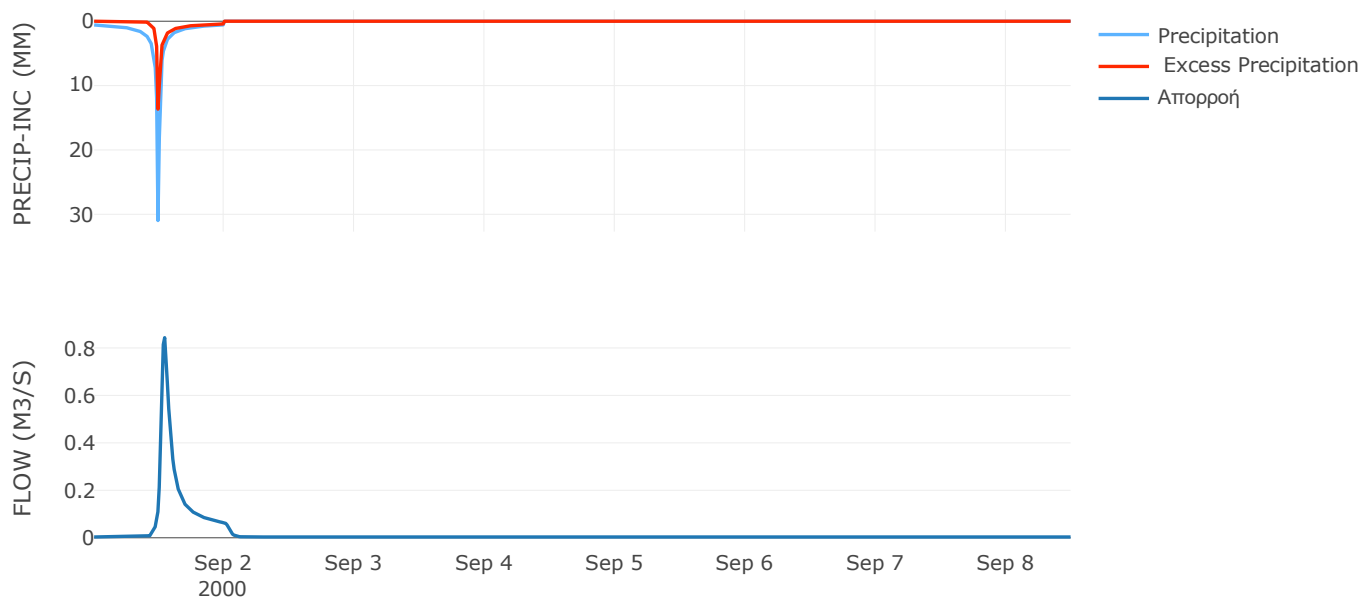
Μέθοδος
Μετασχηματισμού: SCS

Χρόνος Υστέρησης	50.01
------------------	-------

Αποτελέσματα:
EL0415FL007017

Παροχή αιχμής (M3/S)	0.84
Χρονική στιγμή αιχμής	01Sep2000, 13:00
Όγκος (MM)	98.88
Όγκος βροχόπτωσης (M3)	24132.47
Όγκος απωλειών (M3)	14443.98
Ενεργός Όγκος (M3)	9688.48
Όγκος άμεσης απορροής (M3)	9688.48
Όγκος βασικής απορροής (M3)	2177.28

Βροχόπτωση και Απορροή



Υπολεκάνη: EL0415FL007018

Έκταση (KM2) : 6.09

Κατάντη : J7

Μέθοδος Απωλειών: SCS

Ποσοστό αδιαπέρατης επιφάνειας	0
Αριθμός Καμπύλης Απορροής-CN	45.07
Αρχικές Απώλειες	61.91

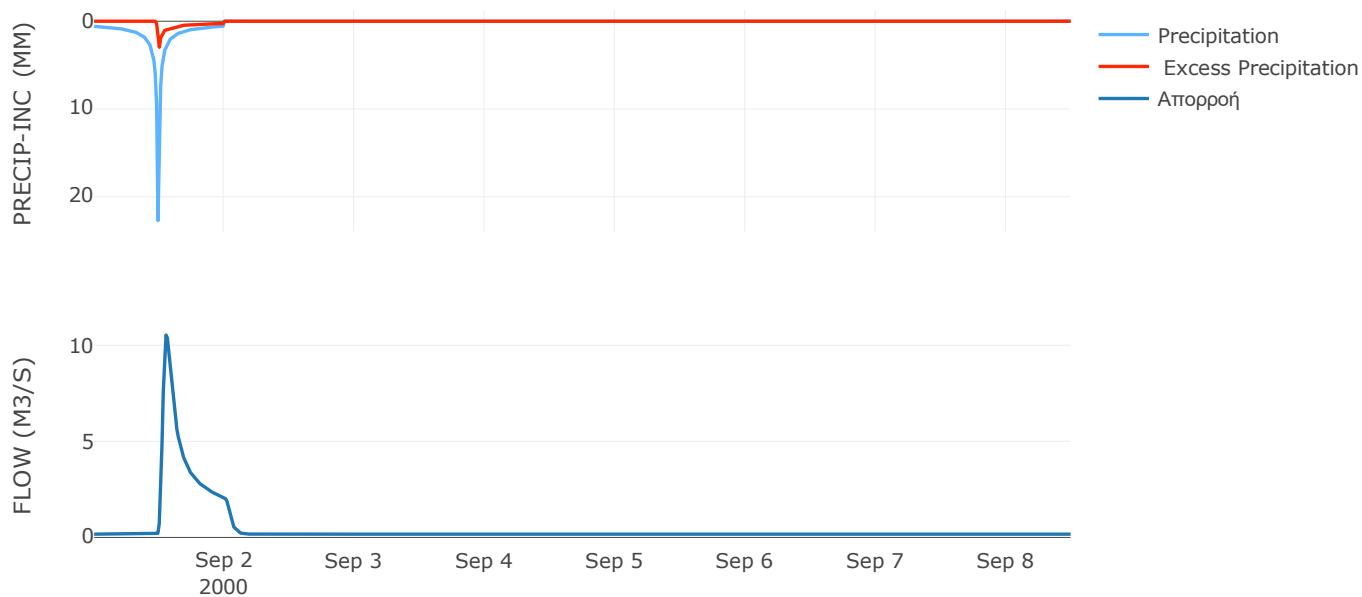
Μέθοδος
Μετασχηματισμού: SCS

Χρόνος Υστέρησης	57.67
------------------	-------

Αποτελέσματα:
EL0415FL007018

Παροχή αιχμής (M3/S)	10.53
Χρονική στιγμή αιχμής	01Sep2000, 13:15
Όγκος (MM)	48.19
Όγκος βροχόπτωσης (M3)	1.06E6
Όγκος απωλειών (M3)	8.8E5
Ενεργός Όγκος (M3)	1.83E5
Όγκος άμεσης απορροής (M3)	1.83E5
Όγκος βασικής απορροής (M3)	1.11E5

Βροχόπτωση και Απορροή



Υπολεκάνη: EL0415FL007020

Έκταση (KM2) : 6.38

Κατάντη : J6

Μέθοδος Απωλειών: SCS

Ποσοστό αδιαπέρατης επιφάνειας	0
Αριθμός Καμπύλης Απορροής-CN	34.69
Αρχικές Απώλειες	95.65

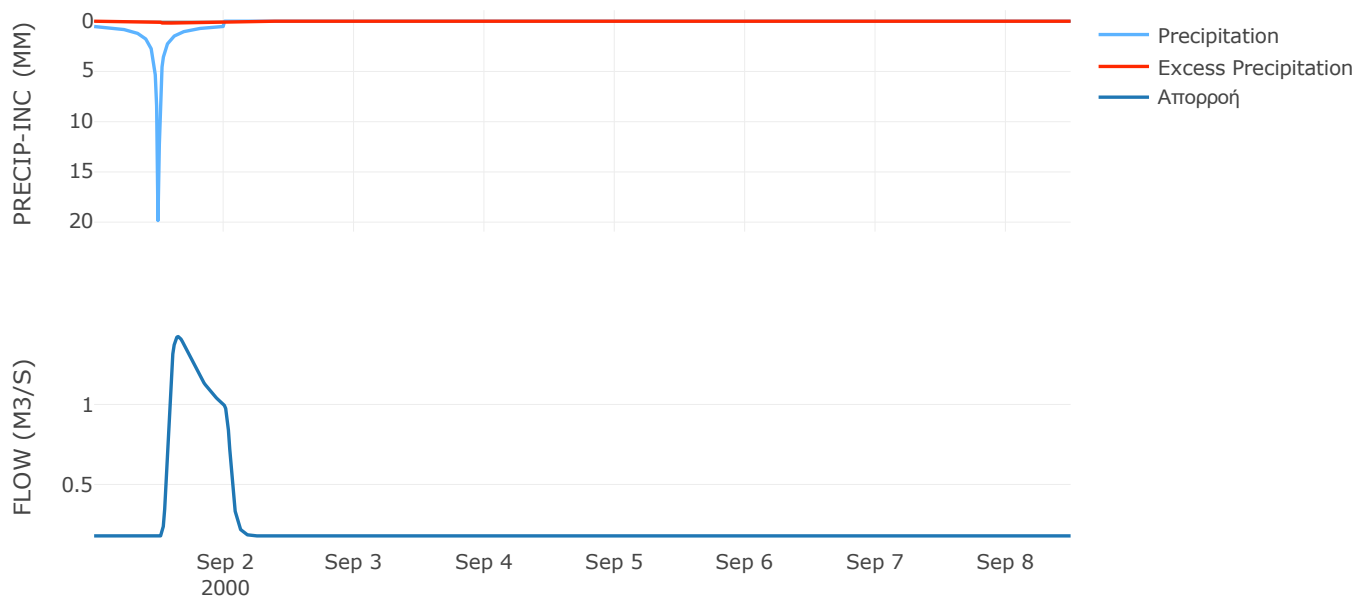
Μέθοδος
Μετασχηματισμού: SCS

Χρόνος Υστέρησης	65.33
------------------	-------

Αποτελέσματα:
EL0415FL007020

Παροχή αιχμής (M3/S)	1.42
Χρονική στιγμή αιχμής	01Sep2000, 15:30
Όγκος (MM)	24.92
Όγκος βροχόπτωσης (M3)	9.95E5
Όγκος απωλειών (M3)	9.52E5
Ενεργός Όγκος (M3)	43211.69
Όγκος άμεσης απορροής (M3)	43211.69
Όγκος βασικής απορροής (M3)	1.16E5

Βροχόπτωση και Απορροή



Υπολεκάνη: EL0415FL007021

Έκταση (KM2) : 6.96

Κατάντη : J9

Μέθοδος Απωλειών: SCS

Ποσοστό αδιαπέρατης επιφάνειας	0
Αριθμός Καμπύλης Απορροής-CN	43.64
Αρχικές Απώλειες	65.6

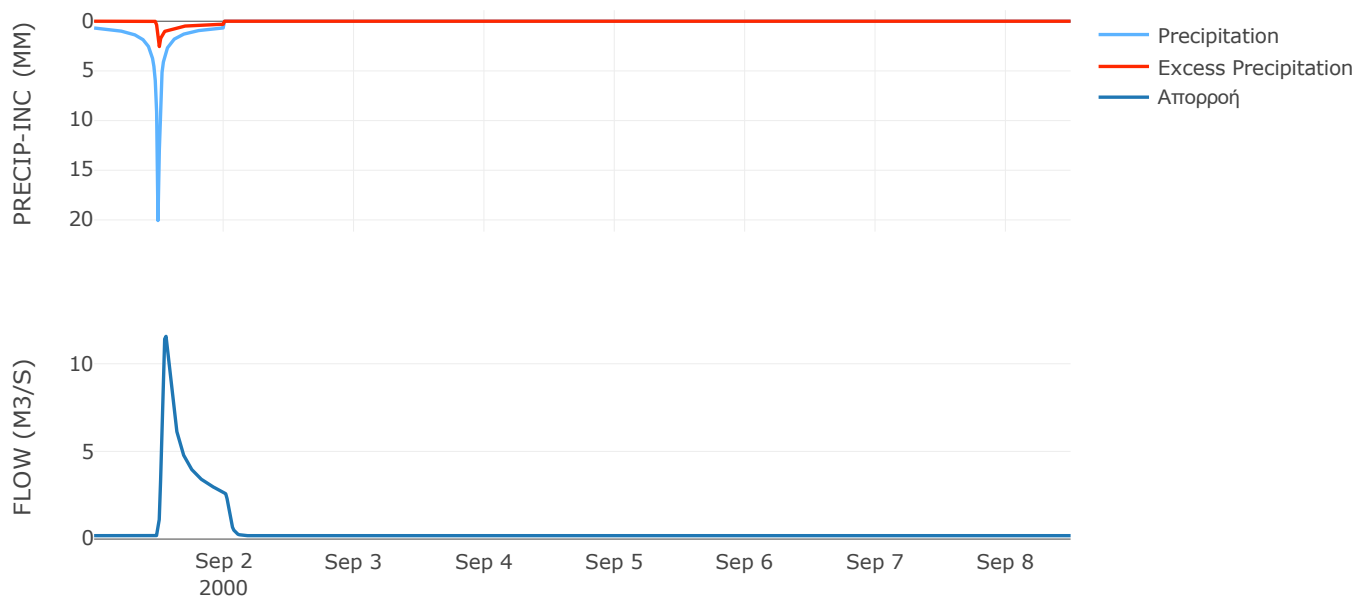
Μέθοδος
Μετασχηματισμού: SCS

Χρόνος Υστέρησης	48.74
------------------	-------

Αποτελέσματα:
EL0415FL007021

Παροχή αιχμής (M3/S)	11.56
Χρονική στιγμή αιχμής	01Sep2000, 13:15
Όγκος (MM)	48.84
Όγκος βροχόπτωσης (M3)	1.27E6
Όγκος απωλειών (M3)	1.06E6
Ενεργός Όγκος (M3)	2.14E5
Όγκος άμεσης απορροής (M3)	2.14E5
Όγκος βασικής απορροής (M3)	1.26E5

Βροχόπτωση και Απορροή



Υπολεκάνη: EL0415FL007022

Έκταση (KM2) : 4.73

Κατάντη : J8

Μέθοδος Απωλειών: SCS

Ποσοστό αδιαπέρατης επιφάνειας	0
Αριθμός Καμπύλης Απορροής-CN	48.38
Αρχικές Απώλειες	54.21

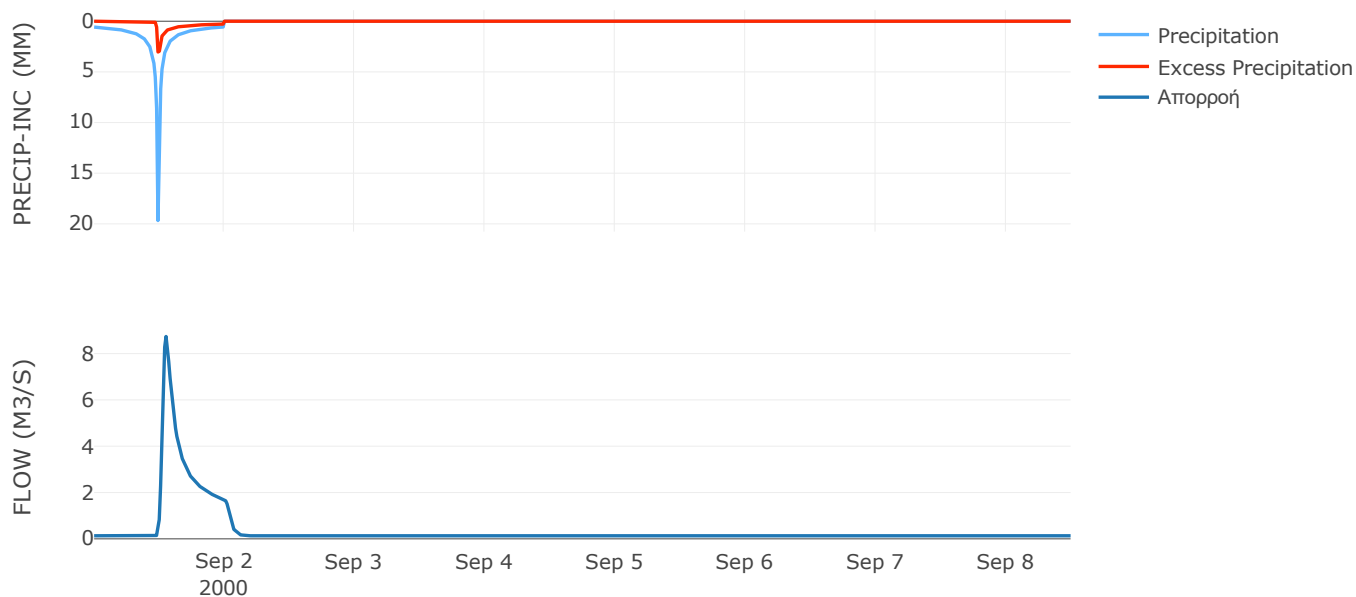
Μέθοδος
Μετασχηματισμού: SCS

Χρόνος Υστέρησης	55.47
------------------	-------

Αποτελέσματα:
EL0415FL007022

Παροχή αιχμής (M3/S)	8.74
Χρονική στιγμή αιχμής	01Sep2000, 13:15
Όγκος (MM)	49.73
Όγκος βροχόπτωσης (M3)	7.75E5
Όγκος απωλειών (M3)	6.26E5
Ενεργός Όγκος (M3)	1.49E5
Όγκος άμεσης απορροής (M3)	1.49E5
Όγκος βασικής απορροής (M3)	85801.68

Βροχόπτωση και Απορροή



Υπολεκάνη: EL0415FL007023

Έκταση (KM2) : 1.36

Κατάντη : J3

Μέθοδος Απωλειών: SCS

Ποσοστό αδιαπέρατης επιφάνειας	0
Αριθμός Καμπύλης Απορροής-CN	62.33
Αρχικές Απώλειες	30.7

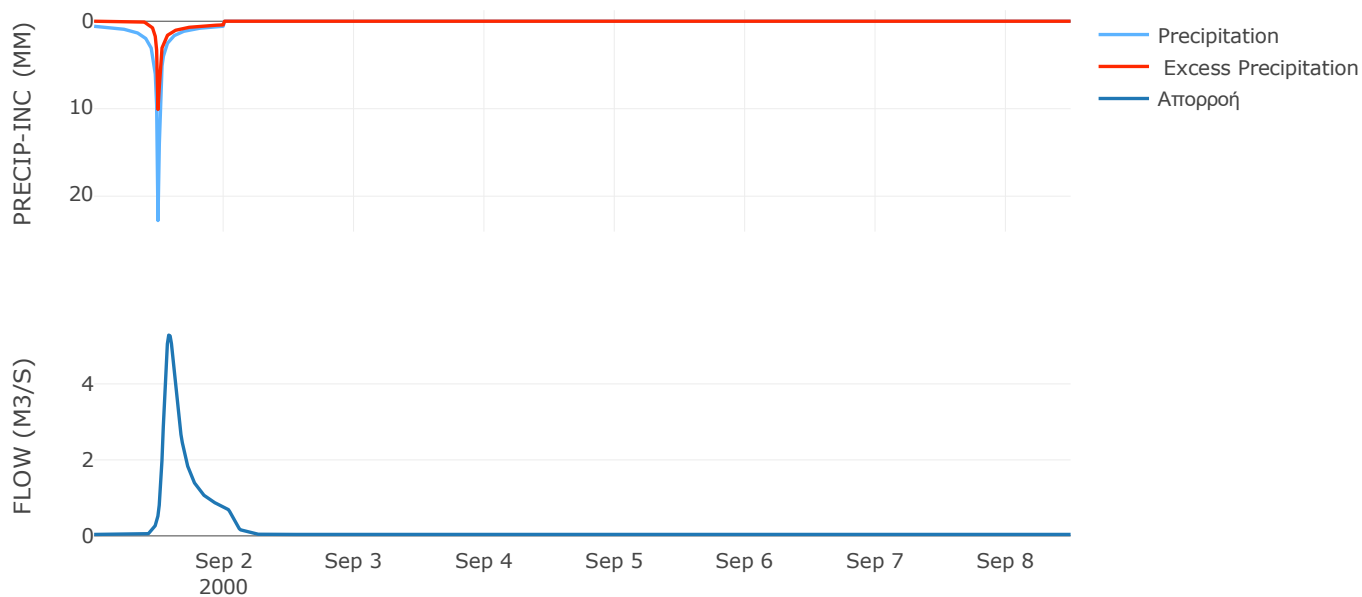
Μέθοδος
Μετασχηματισμού: SCS

Χρόνος Υστέρησης	96.45
------------------	-------

Αποτελέσματα:
EL0415FL007023

Παροχή αιχμής (M3/S)	5.28
Χρονική στιγμή αιχμής	01Sep2000, 13:45
Όγκος (MM)	88.1
Όγκος βροχόπτωσης (M3)	2.39E5
Όγκος απωλειών (M3)	1.43E5
Ενεργός Όγκος (M3)	95425.14
Όγκος άμεσης απορροής (M3)	95425.14
Όγκος βασικής απορροής (M3)	24748.42

Βροχόπτωση και Απορροή



Υπολεκάνη: EL0415FL007024

Έκταση (KM2) : 0.88

Κατάνη : J7

Μέθοδος Απωλειών: SCS

Ποσοστό αδιαπέρατης επιφάνειας	0
Αριθμός Καμπύλης Απορροής-CN	61.05
Αρχικές Απώλειες	32.41

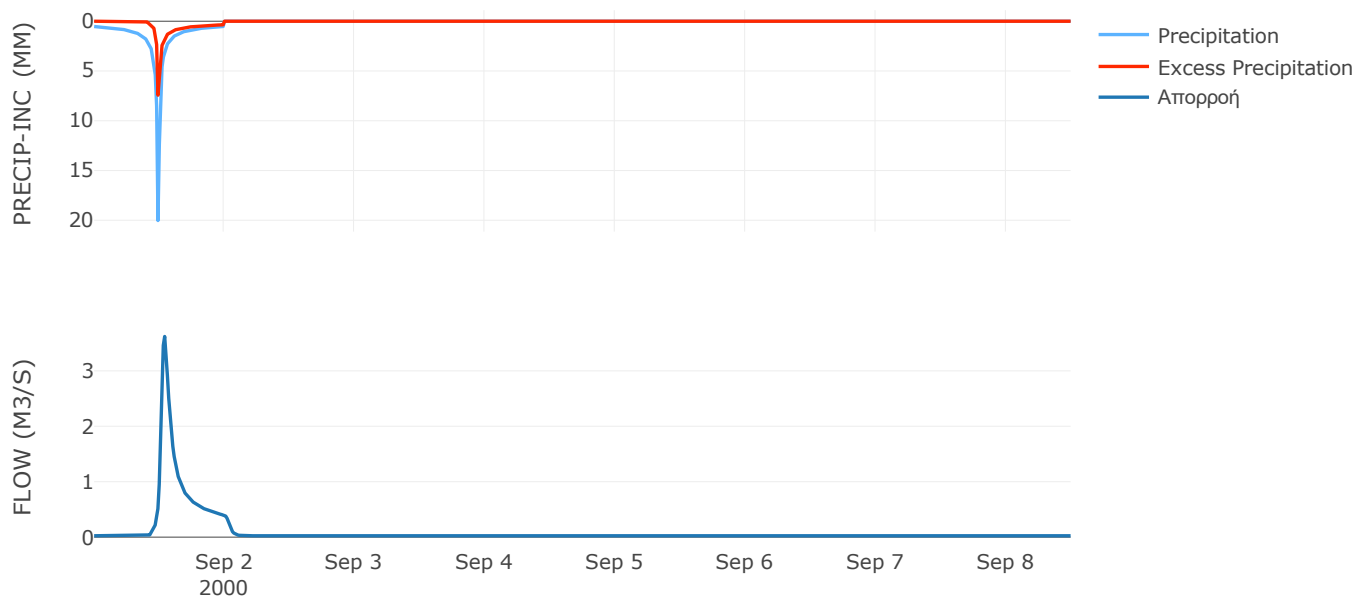
Μέθοδος
Μετασχηματισμού: SCS

Χρόνος Υστέρησης	49.7
------------------	------

Αποτελέσματα:
EL0415FL007024

Παροχή αιχμής (M3/S)	3.62
Χρονική στιγμή αιχμής	01Sep2000, 13:00
Όγκος (MM)	72.76
Όγκος βροχόπτωσης (M3)	1.38E5
Όγκος απωλειών (M3)	90489
Ενεργός Όγκος (M3)	47954.86
Όγκος άμεσης απορροής (M3)	47954.86
Όγκος βασικής απορροής (M3)	15930.43

Βροχόπτωση και Απορροή



Υπολεκάνη: EL0415FL007025

Έκταση (KM2) : 3.8

Κατάντη : J5

Μέθοδος Απωλειών: SCS

Ποσοστό αδιαπέρατης επιφάνειας	0
Αριθμός Καμπύλης Απορροής-CN	43.75
Αρχικές Απώλειες	65.31

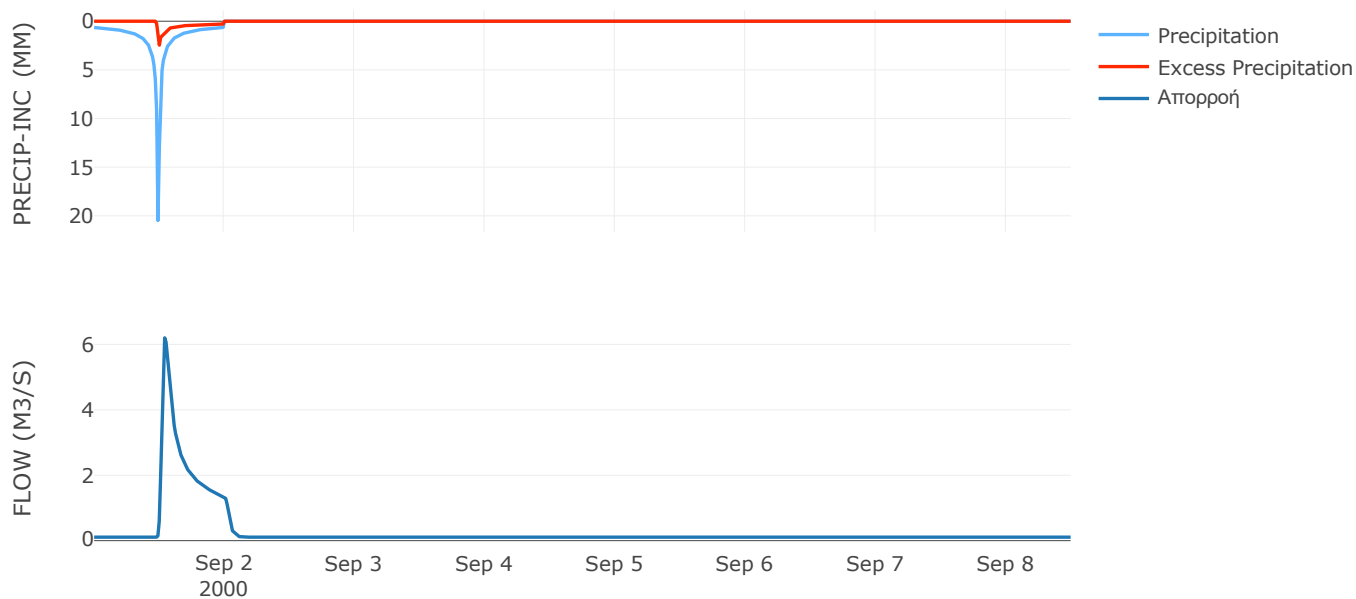
Μέθοδος
Μετασχηματισμού: SCS

Χρόνος Υστέρησης	44.75
------------------	-------

Αποτελέσματα:
EL0415FL007025

Παροχή αιχμής (M3/S)	6.2
Χρονική στιγμή αιχμής	01Sep2000, 13:00
Όγκος (MM)	46.75
Όγκος βροχόπτωσης (M3)	6.74E5
Όγκος απωλειών (M3)	5.65E5
Ενεργός Όγκος (M3)	1.09E5
Όγκος άμεσης απορροής (M3)	1.09E5
Όγκος βασικής απορροής (M3)	68927.76

Βροχόπτωση και Απορροή



Υπολεκάνη: EL0415FL007026

Έκταση (KM2) : 1.93

Κατάντη : J12

Μέθοδος Απωλειών: SCS

Ποσοστό αδιαπέρατης επιφάνειας	0
Αριθμός Καμπύλης Απορροής-CN	23.84
Αρχικές Απώλειες	162.32

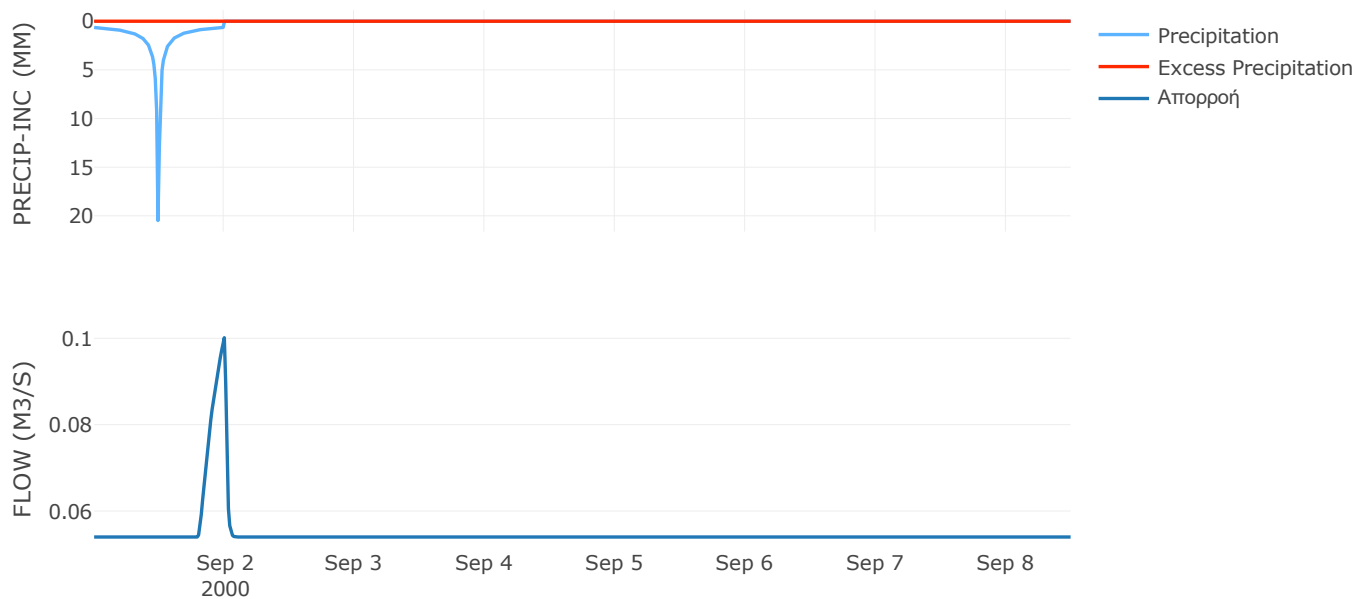
Μέθοδος
Μετασχηματισμού: SCS

Χρόνος Υστέρησης	19.58
------------------	-------

Αποτελέσματα:
EL0415FL007026

Παροχή αιχμής (M3/S)	0.1
Χρονική στιγμή αιχμής	01Sep2000, 24:00
Όγκος (MM)	18.42
Όγκος βροχόπτωσης (M3)	3.42E5
Όγκος απωλειών (M3)	3.41E5
Ενεργός Όγκος (M3)	525.67
Όγκος άμεσης απορροής (M3)	525.67
Όγκος βασικής απορροής (M3)	34981.63

Βροχόπτωση και Απορροή



Υπολεκάνη: EL0415FL007027

Έκταση (KM2) : 5.66

Κατάντη : J4

Μέθοδος Απωλειών: SCS

Ποσοστό αδιαπέρατης επιφάνειας	0
Αριθμός Καμπύλης Απορροής-CN	56.57
Αρχικές Απώλειες	39.01

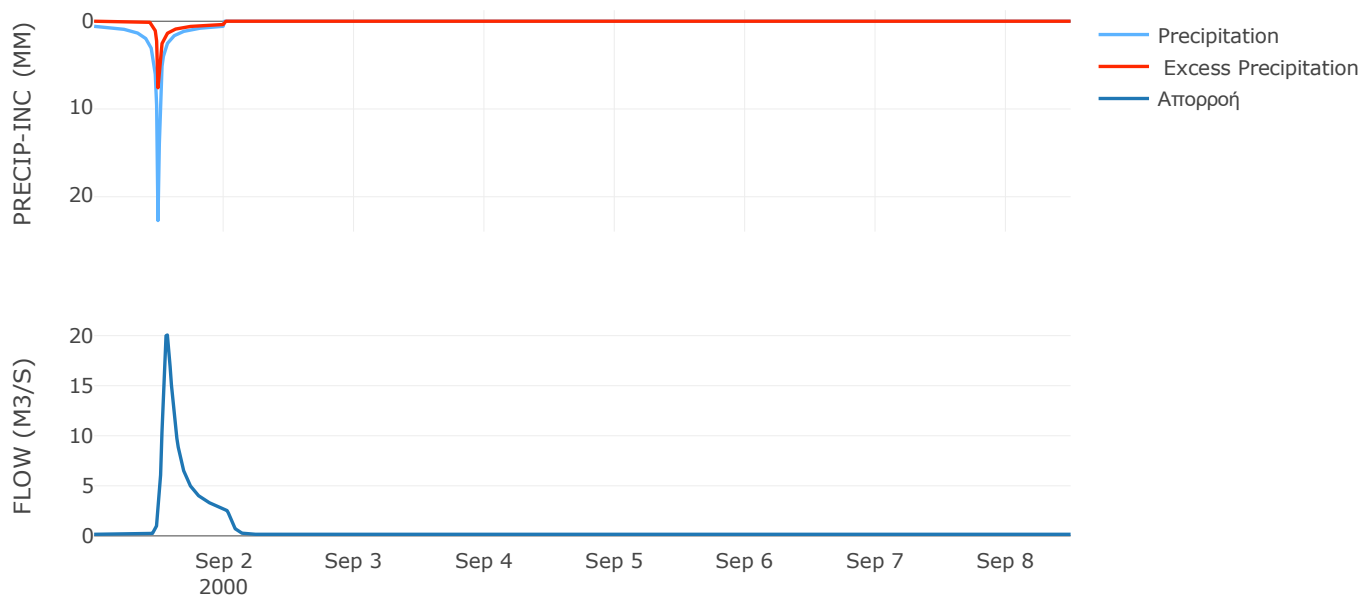
Μέθοδος
Μετασχηματισμού: SCS

Χρόνος Υστέρησης	69.64
------------------	-------

Αποτελέσματα:
EL0415FL007027

Παροχή αιχμής (M3/S)	20.06
Χρονική στιγμή αιχμής	01Sep2000, 13:30
Όγκος (MM)	74.13
Όγκος βροχόπτωσης (M3)	9.91E5
Όγκος απωλειών (M3)	6.75E5
Ενεργός Όγκος (M3)	3.17E5
Όγκος άμεσης απορροής (M3)	3.17E5
Όγκος βασικής απορροής (M3)	1.03E5

Βροχόπτωση και Απορροή



Υπολεκάνη: EL0415FL007028

Έκταση (KM2) : 1.73

Κατάντη : J14

Μέθοδος Απωλειών: SCS

Ποσοστό αδιαπέρατης επιφάνειας	0
Αριθμός Καμπύλης Απορροής-CN	60.2
Αρχικές Απώλειες	33.58

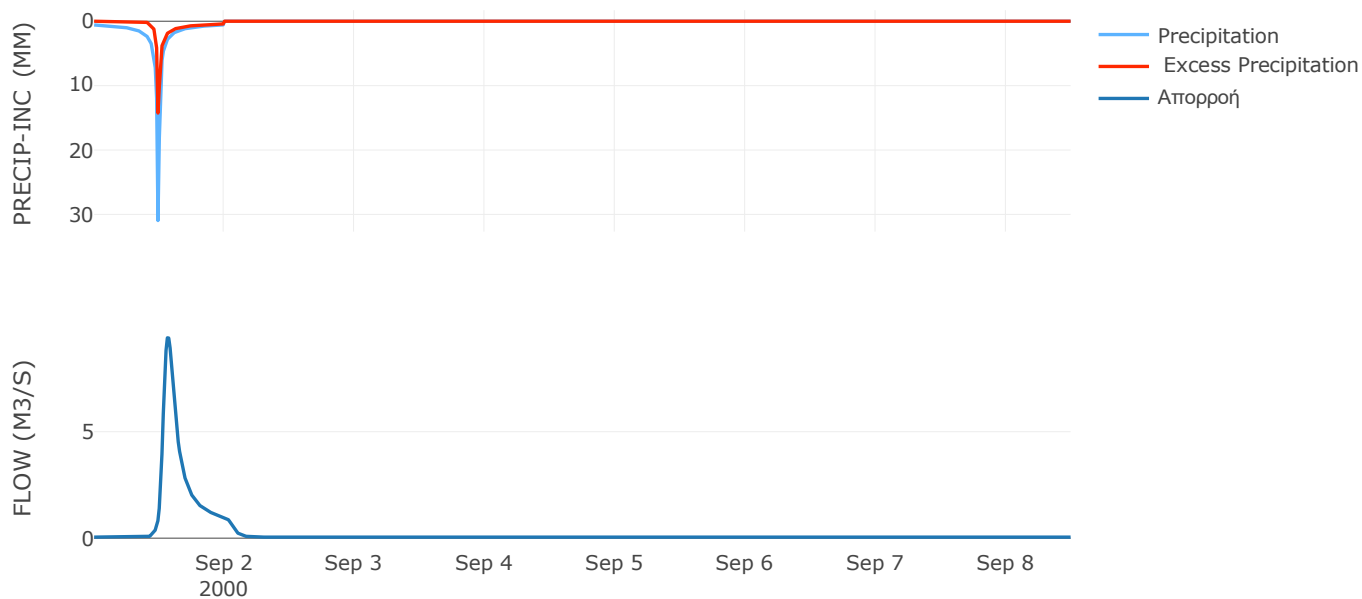
Μέθοδος
Μετασχηματισμού: SCS

Χρόνος Υστέρησης	85.73
------------------	-------

Αποτελέσματα:
EL0415FL007028

Παροχή αιχμής (M3/S)	9.41
Χρονική στιγμή αιχμής	01Sep2000, 13:30
Όγκος (MM)	101.78
Όγκος βροχόπτωσης (M3)	3.48E5
Όγκος απωλειών (M3)	2.03E5
Ενεργός Όγκος (M3)	1.45E5
Όγκος άμεσης απορροής (M3)	1.45E5
Όγκος βασικής απορροής (M3)	31389.12

Βροχόπτωση και Απορροή



6.2 Δεδομένα και υδρογραφήματα σχεδιασμού Κλάδων υδρογραφικού δικτύου

Κλάδος: R21

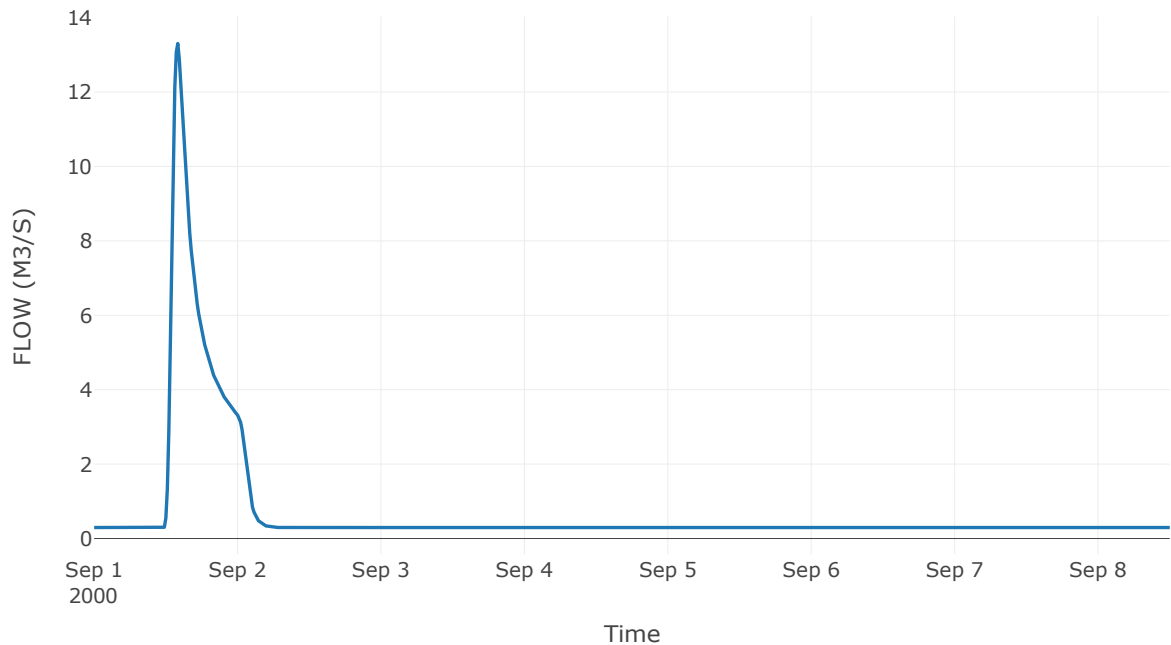
Κατάντη : J1

Μέθοδος Διόδευσης	Χρόνος
Αρχική Μεταβλητή	Combined Inflow
Χρόνος Υστέρησης	0

Αποτελέσματα: R21

Παροχή Αιχμής(M3/S)	13.31
Χρονική στιγμή αιχμής	01Sep2000, 14:00
Όγκος(MM)	44.3
Παροχή Αιχμής Εισόδου (M3/S)	13.31
Όγκος Εισροής(M3)	4.67E5

Απορροή



Κλάδος: R31

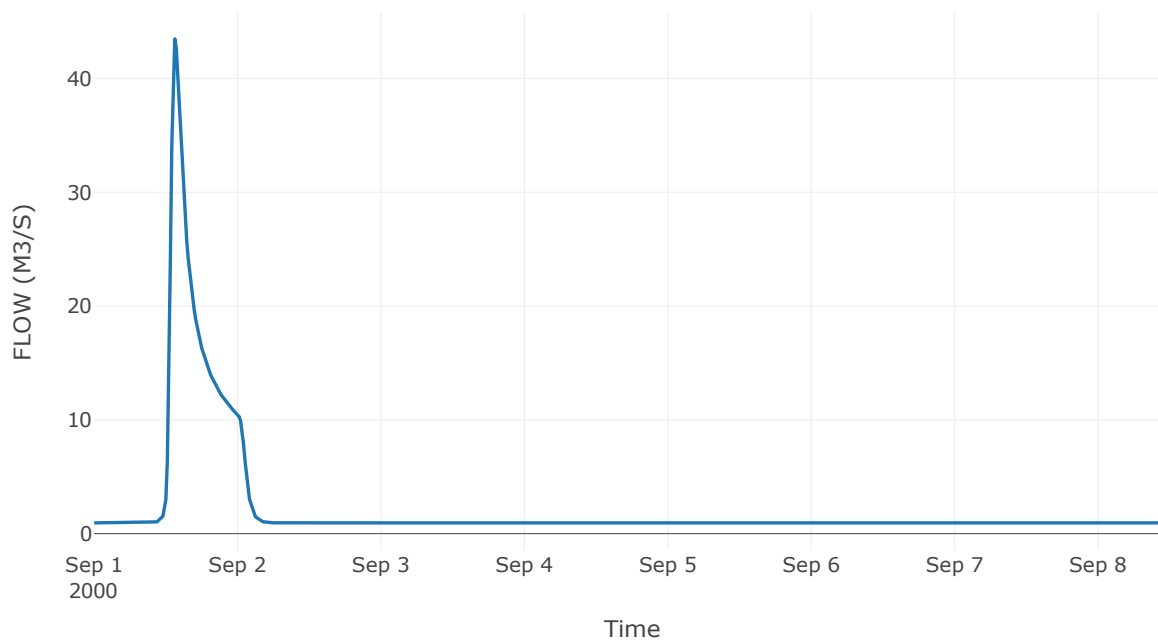
Κατάντη : J1

Μέθοδος Διόδευσης	Χρόνος
Αρχική Μεταβλητή	Combined Inflow
Χρόνος Υστέρησης	0

Αποτελέσματα: R31

Παροχή Αιχμής(M3/S)	43.48
Χρονική στιγμή αιχμής	01Sep2000, 13:30
Όγκος(MM)	43.31
Παροχή Αιχμής Εισόδου (M3/S)	43.48
Όγκος Εισροής(M3)	1.46E6

Απορροή



Κλάδος: R41

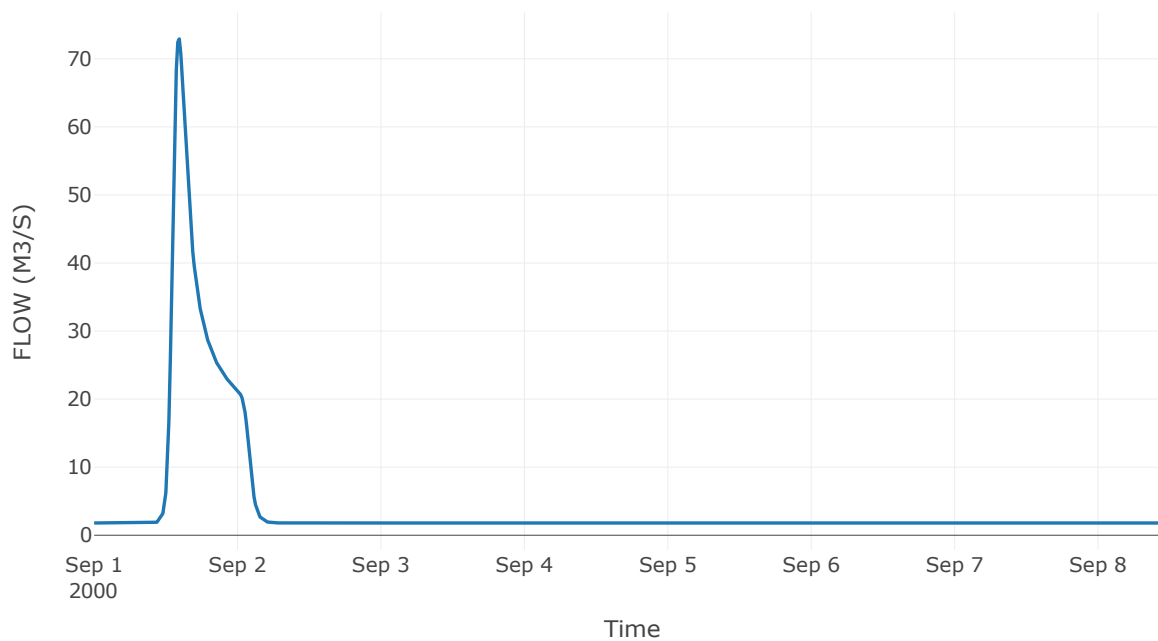
Κατάντη : J1

Μέθοδος Διόδευσης	Χρόνος
Αρχική Μεταβλητή	Combined Inflow
Χρόνος Υστέρησης	0

Αποτελέσματα: R41

Παροχή Αιχμής(M3/S)	72.92
Χρονική στιγμή αιχμής	01Sep2000, 14:15
Όγκος(MM)	43.32
Παροχή Αιχμής Εισόδου (M3/S)	72.92
Όγκος Εισροής(M3)	2.78E6

Απορροή



Κλάδος: R51

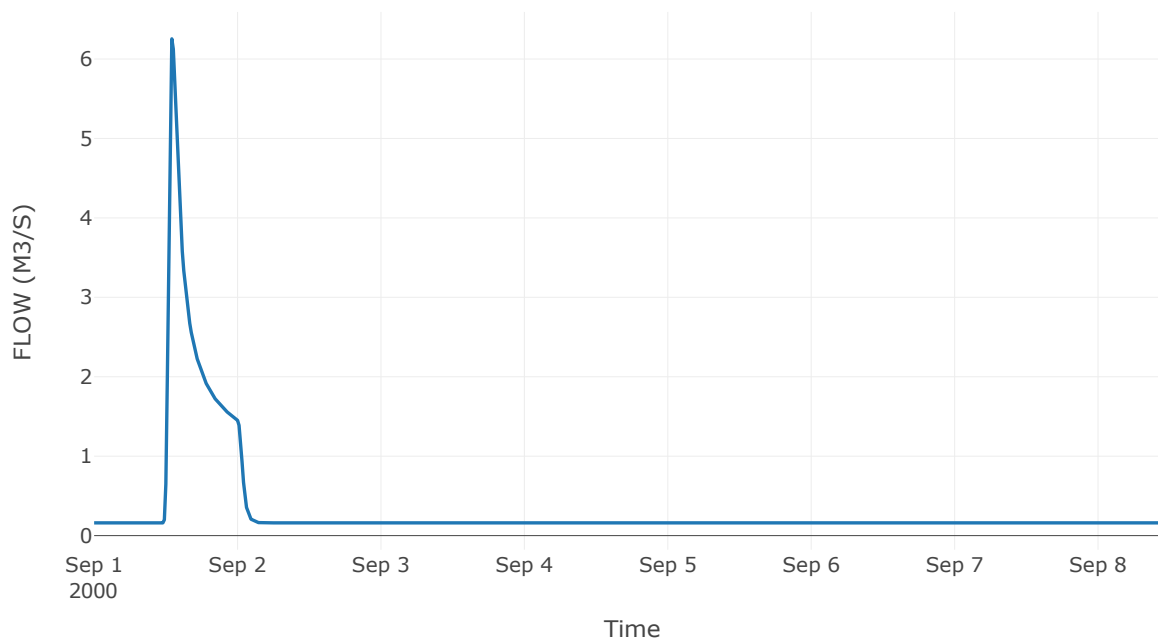
Κατάντη : J1

Μέθοδος Διόδευσης	Χρόνος
Αρχική Μεταβλητή	Combined Inflow
Χρόνος Υστέρησης	0

Αποτελέσματα: R51

Παροχή Αιχμής(M3/S)	6.25
Χρονική στιγμή αιχμής	01Sep2000, 13:00
Όγκος(MM)	37.21
Παροχή Αιχμής Εισόδου (M3/S)	6.25
Όγκος Εισροής(M3)	2.13E5

Απορροή



Κλάδος: R63

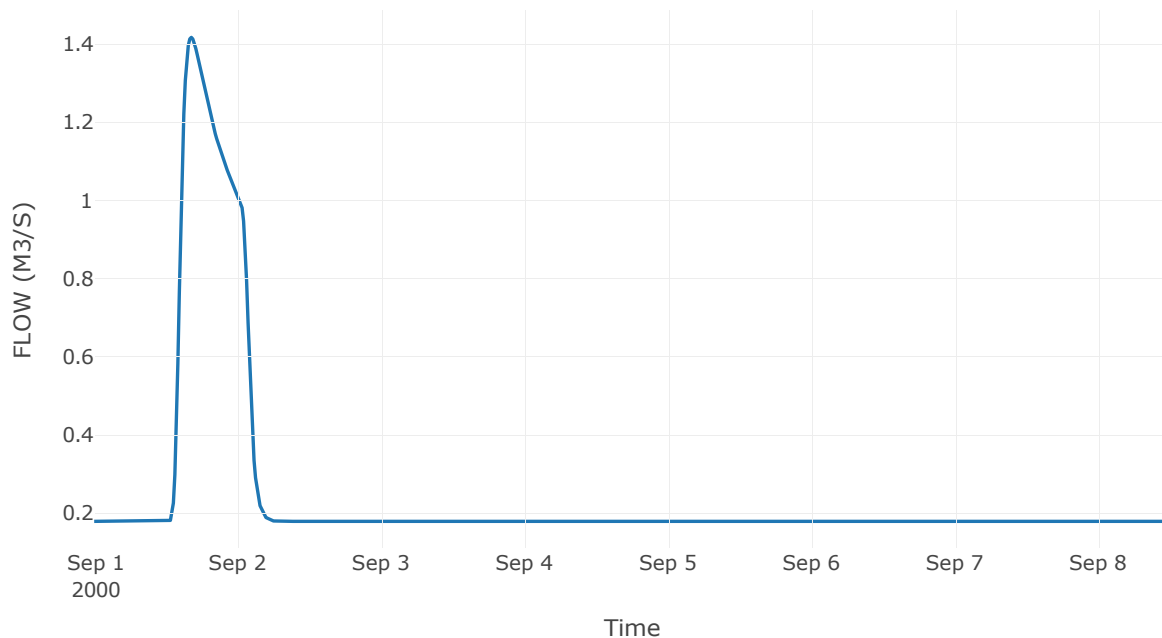
Κατάντη : J3

Μέθοδος Διόδευσης	Muskingum
Αρχική Μεταβλητή	Combined Inflow
Χρόνος Ροής K	0.69
Συντελεστής βάρους x	0.2
Πλήθος Υποκλάδων	3

Αποτελέσματα: R63

Παροχή Αιχμής(M3/S)	1.42
Χρονική στιγμή αιχμής	01Sep2000, 16:15
Όγκος(MM)	24.92
Παροχή Αιχμής Εισόδου (M3/S)	1.42
Όγκος Εισροής(M3)	1.59E5

Απορροή



Κλάδος: R73

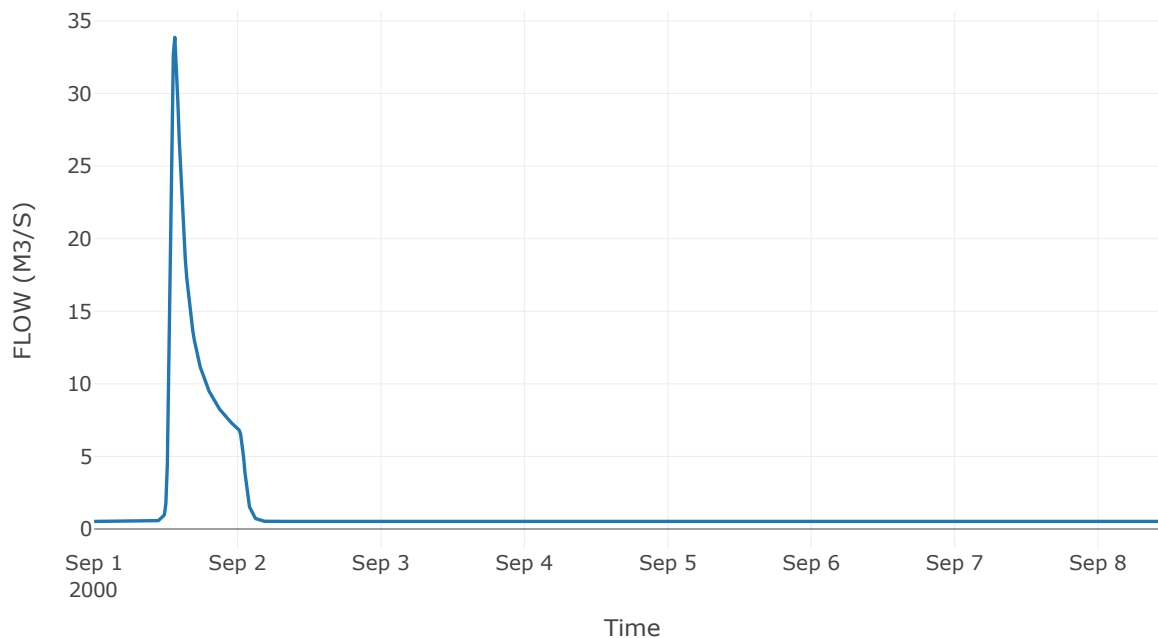
Κατάντη : J3

Μέθοδος Διόδευσης	Muskingum
Αρχική Μεταβλητή	Combined Inflow
Χρόνος Ροής K	0.11
Συντελεστής βάρους x	0.2
Πλήθος Υποκλάδων	3

Αποτελέσματα: R73

Παροχή Αιχμής(M3/S)	33.87
Χρονική στιγμή αιχμής	01Sep2000, 13:30
Όγκος(MM)	49.98
Παροχή Αιχμής Εισόδου (M3/S)	33.69
Όγκος Εισροής(M3)	9.32E5

Απορροή



Κλάδος: R87

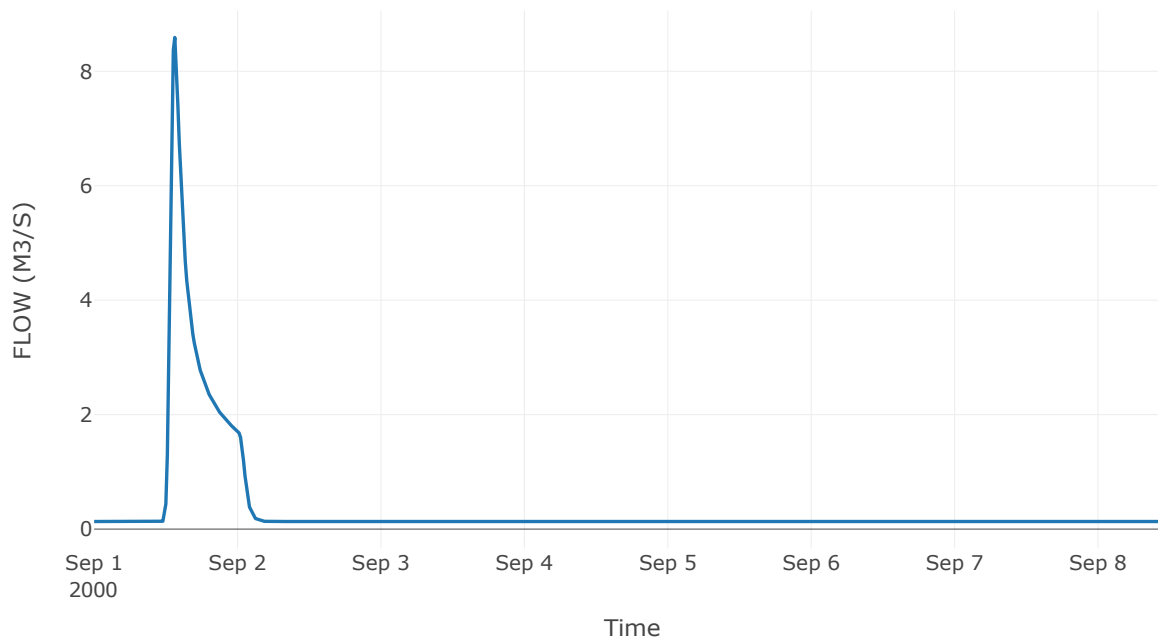
Κατάντη : J7

Μέθοδος Διόδευσης	Muskingum
Αρχική Μεταβλητή	Combined Inflow
Χρόνος Ροής K	0.18
Συντελεστής βάρους x	0.2
Πλήθος Υποκλάδων	1

Αποτελέσματα: R87

Παροχή Αιχμής(M3/S)	8.59
Χρονική στιγμή αιχμής	01Sep2000, 13:30
Όγκος(MM)	49.73
Παροχή Αιχμής Εισόδου (M3/S)	8.74
Όγκος Εισροής(M3)	2.35E5

Απορροή



Κλάδος: R97

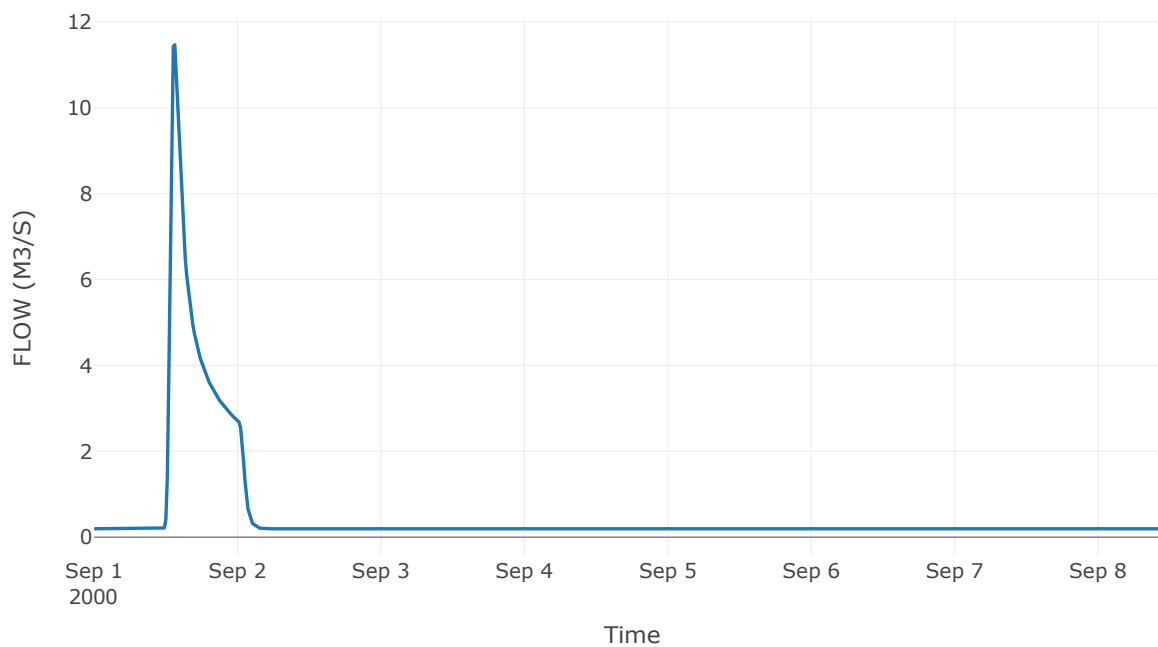
Κατάντη : J7

Μέθοδος Διόδευσης	Χρόνος
Αρχική Μεταβλητή	Combined Inflow
Χρόνος Υστέρησης	13.29

Αποτελέσματα: R97

Παροχή Αιχμής(M3/S)	11.47
Χρονική στιγμή αιχμής	01Sep2000, 13:30
Όγκος(MM)	48.84
Παροχή Αιχμής Εισόδου (M3/S)	11.56
Όγκος Εισροής(M3)	3.4E5

Απορροή



Κλάδος: R104

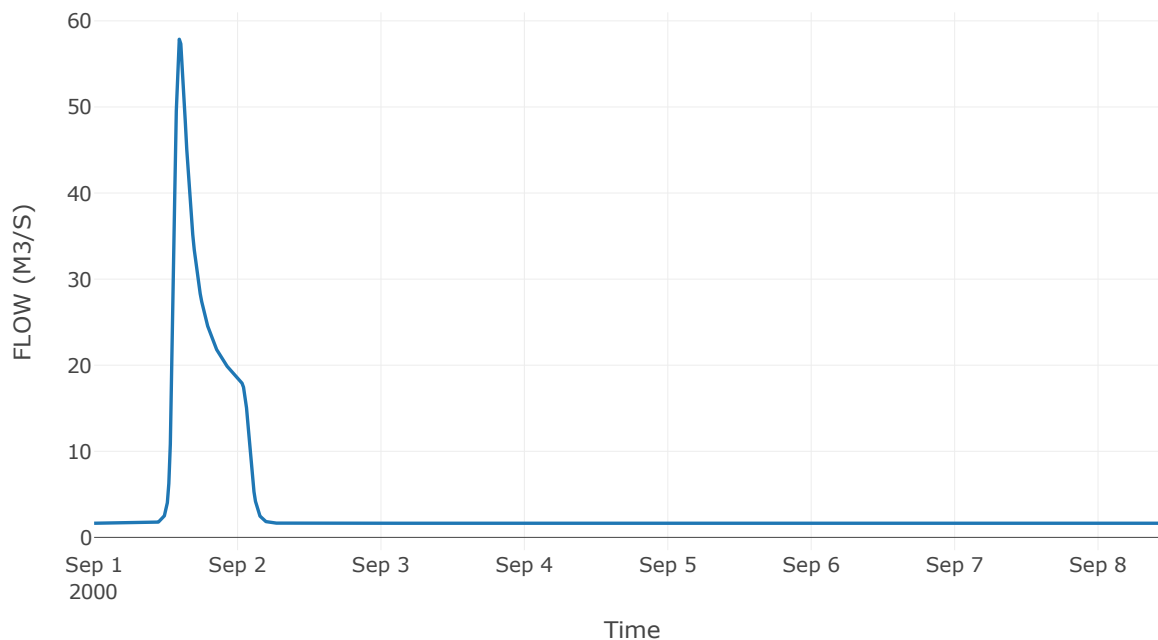
Κατάντη : J4

Μέθοδος Διόδευσης	Muskingum
Αρχική Μεταβλητή	Combined Inflow
Χρόνος Ροής Κ	0.71
Συντελεστής βάρους x	0.2
Πλήθος Υποκλάδων	3

Αποτελέσματα: R104

Παροχή Αιχμής(M3/S)	57.87
Χρονική στιγμή αιχμής	01Sep2000, 14:15
Όγκος(MM)	40.34
Παροχή Αιχμής Εισόδου (M3/S)	60.61
Όγκος Εισροής(M3)	2.36E6

Απορροή



Κλάδος: R1110

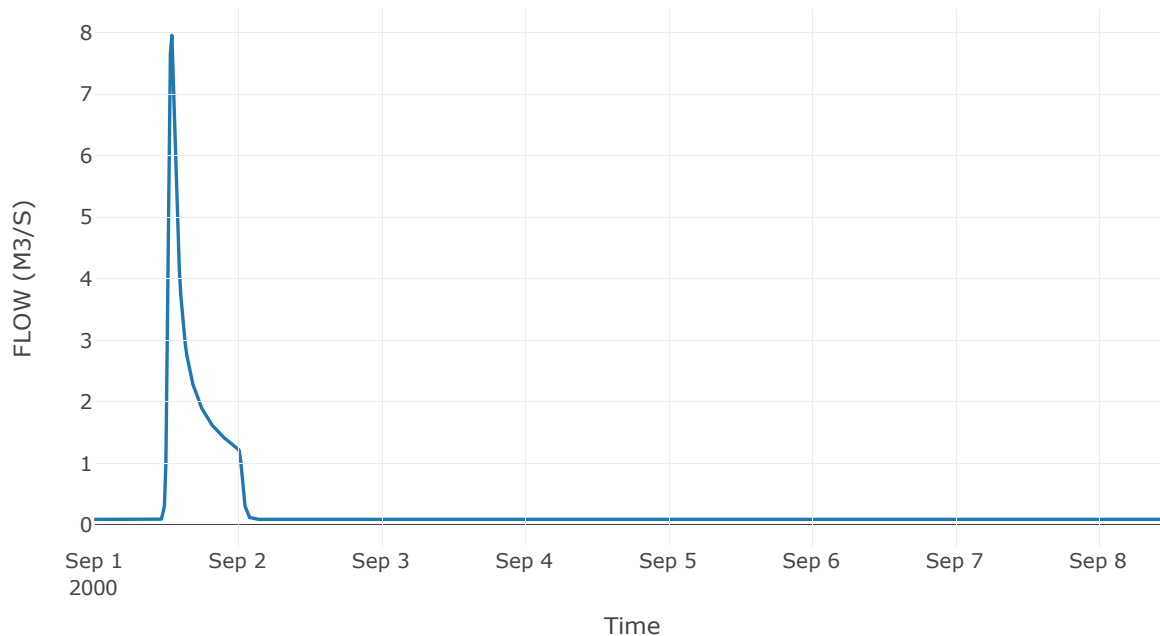
Κατάντη : J10

Μέθοδος Διόδευσης	Muskingum
Αρχική Μεταβλητή	Combined Inflow
Χρόνος Ροής K	0.2
Συντελεστής βάρους x	0.2
Πλήθος Υποκλάδων	1

Αποτελέσματα: R1110

Παροχή Αιχμής(M3/S)	7.95
Χρονική στιγμή αιχμής	01Sep2000, 13:00
Όγκος(MM)	54.71
Παροχή Αιχμής Εισόδου (M3/S)	8.29
Όγκος Εισροής(M3)	1.7E5

Απορροή



Κλάδος: R125

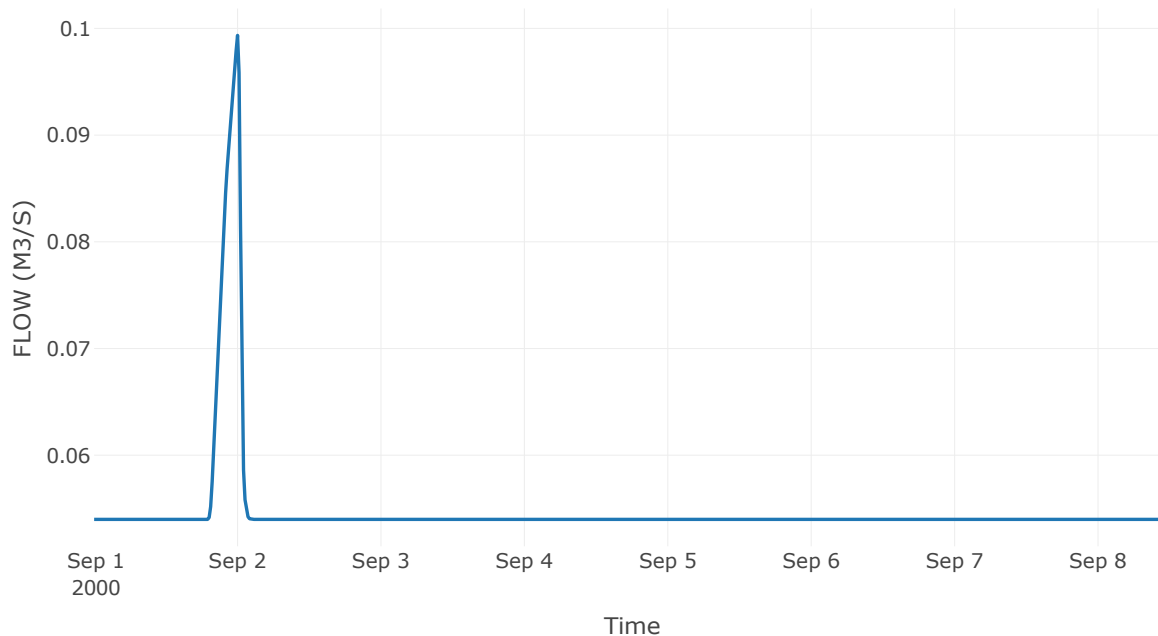
Κατάντη : J5

Μέθοδος Διόδευσης	Muskingum
Αρχική Μεταβλητή	Combined Inflow
Χρόνος Ροής K	0.14
Συντελεστής βάρους x	0.2
Πλήθος Υποκλάδων	1

Αποτελέσματα: R125

Παροχή Αιχμής(M3/S)	0.1
Χρονική στιγμή αιχμής	01Sep2000, 24:00
Όγκος(MM)	18.42
Παροχή Αιχμής Εισόδου (M3/S)	0.1
Όγκος Εισροής(M3)	35507.31

Απορροή



Κλάδος: R1413

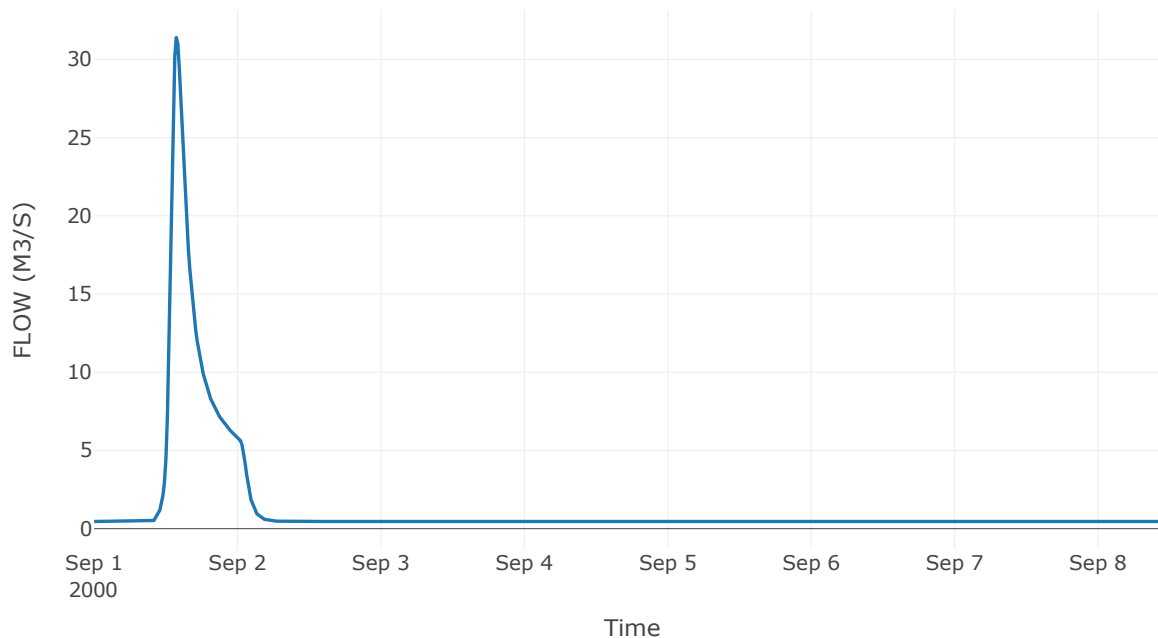
Κατάντη : J13

Μέθοδος Διόδευσης	Muskingum
Αρχική Μεταβλητή	Combined Inflow
Χρόνος Ροής Κ	0.08
Συντελεστής βάρους α	0.2
Πλήθος Υποκλάδων	3

Αποτελέσματα: R1413

Παροχή Αιχμής(M3/S)	31.4
Χρονική στιγμή αιχμής	01Sep2000, 13:45
Όγκος(MM)	54.4
Παροχή Αιχμής Εισόδου (M3/S)	31.43
Όγκος Εισροής(M3)	8.92E5

Απορροή



Κλάδος: R1514

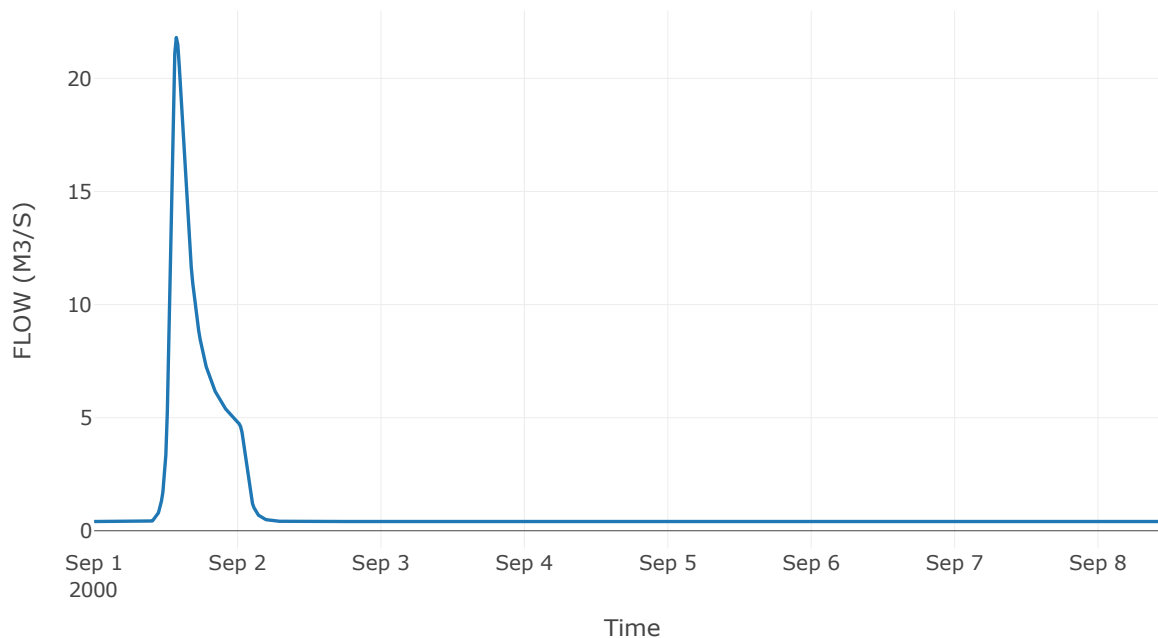
Κατάντη : J14

Μέθοδος Διόδευσης	Muskingum
Αρχική Μεταβλητή	Combined Inflow
Χρόνος Ροής K	0.14
Συντελεστής βάρους x	0.2
Πλήθος Υποκλάδων	1

Αποτελέσματα: R1514

Παροχή Αιχμής(M3/S)	21.81
Χρονική στιγμή αιχμής	01Sep2000, 13:45
Όγκος(MM)	48.56
Παροχή Αιχμής Εισόδου (M3/S)	21.82
Όγκος Εισροής(M3)	7.09E5

Απορροή



Κλάδος: R1615

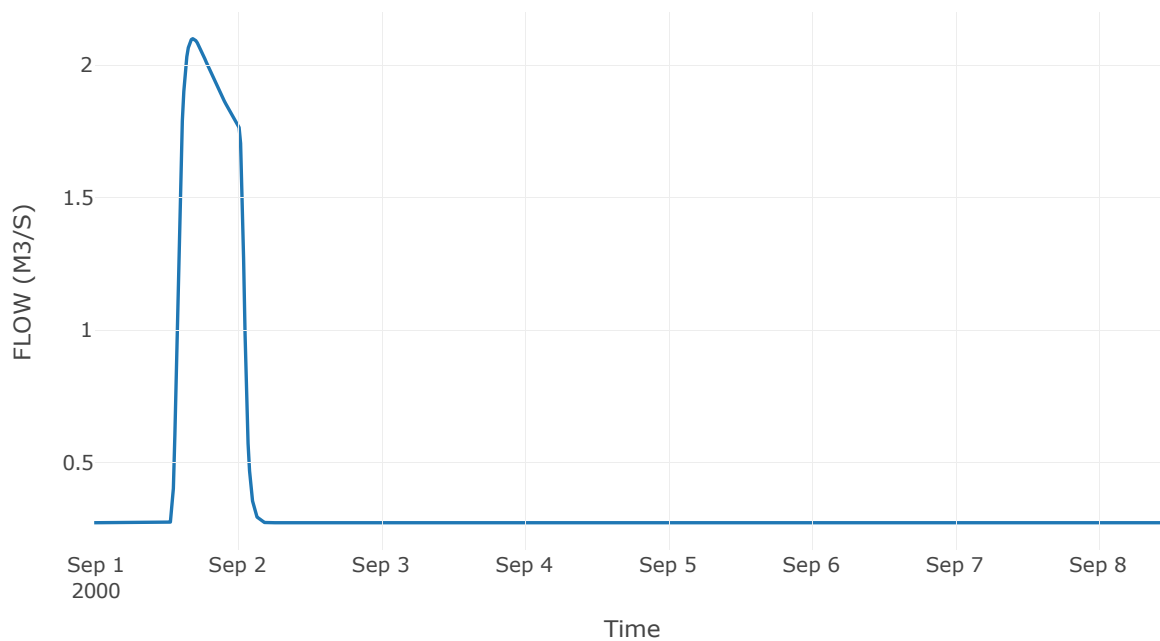
Κατάντη : J15

Μέθοδος Διόδευσης	Χρόνος
Αρχική Μεταβλητή	Combined Inflow
Χρόνος Υστέρησης	14.24

Αποτελέσματα: R1615

Παροχή Αιχμής(M3/S)	2.1
Χρονική στιγμή αιχμής	01Sep2000, 16:30
Όγκος(MM)	25.07
Παροχή Αιχμής Εισόδου (M3/S)	2.1
Όγκος Εισροής(M3)	2.45E5

Απορροή



Κλάδος: R1720

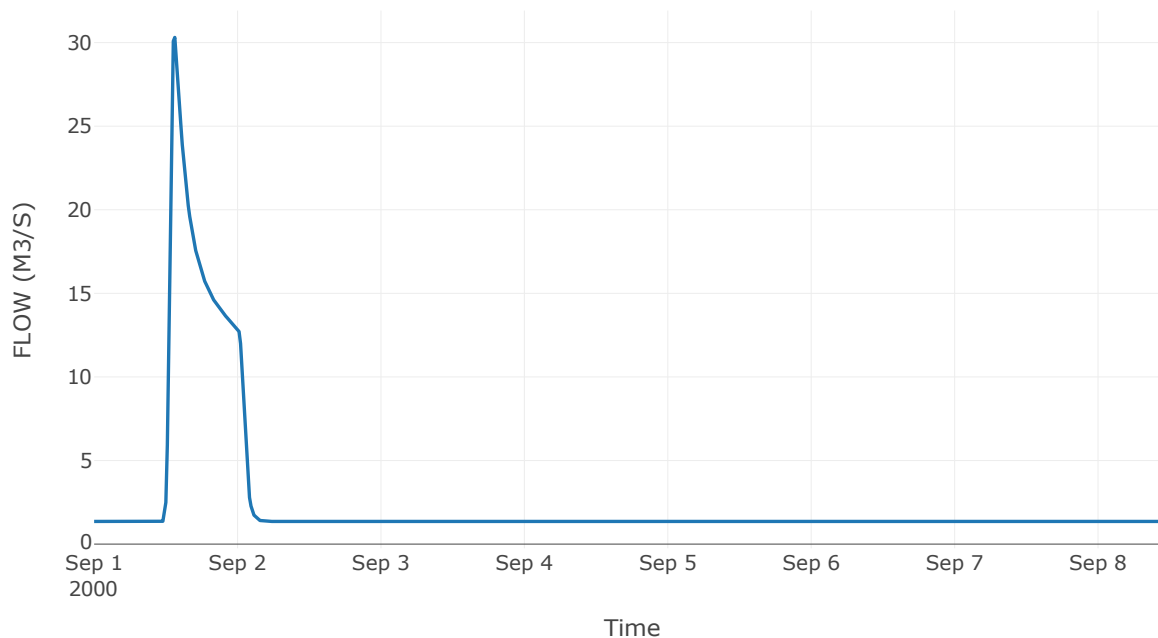
Κατάντη : J20

Μέθοδος Διόδευσης	Muskingum
Αρχική Μεταβλητή	Combined Inflow
Χρόνος Ροής K	0.12
Συντελεστής βάρους x	0.2
Πλήθος Υποκλάδων	1

Αποτελέσματα: R1 720

Παροχή Αιχμής(M3/S)	30.31
Χρονική στιγμή αιχμής	01Sep2000, 13:30
Όγκος(MM)	33.64
Παροχή Αιχμής Εισόδου (M3/S)	30.57
Όγκος Εισροής(M3)	1.63E6

Απορροή



Κλάδος: R1817

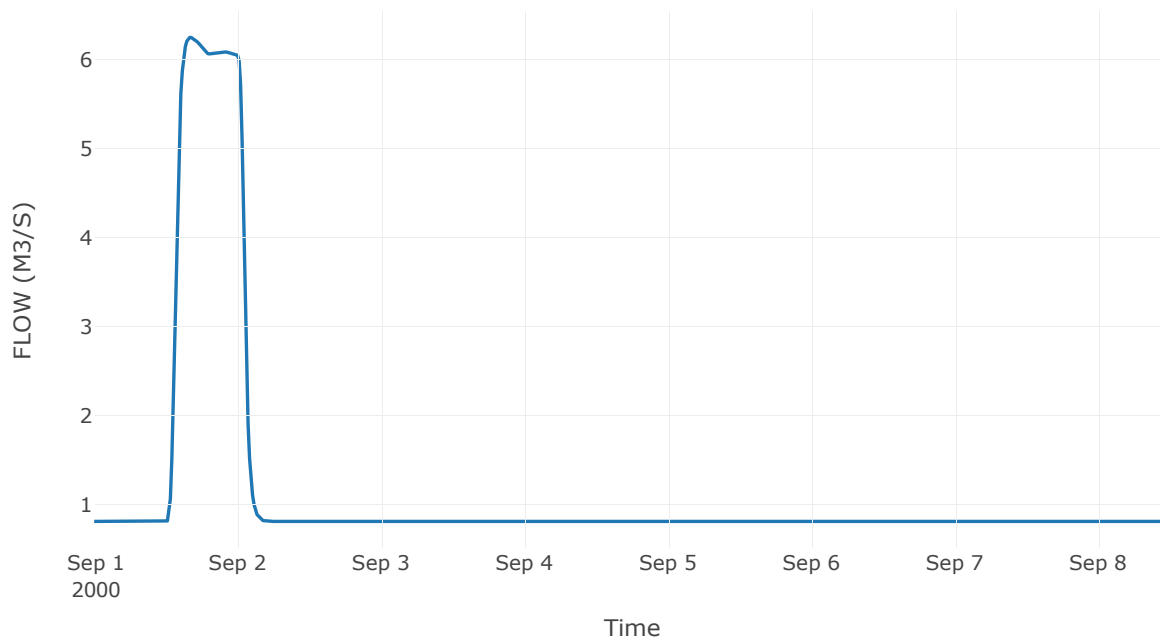
Κατάντη : J17

Μέθοδος Διόδευσης	Muskingum
Αρχική Μεταβλητή	Combined Inflow
Χρόνος Ροής Κ	0.22
Συντελεστής βάρους x	0.2
Πλήθος Υποκλάδων	1

Αποτελέσματα: R1817

Παροχή Αιχμής(M3/S)	6.25
Χρονική στιγμή αιχμής	01Sep2000, 16:00
Όγκος(MM)	25.9
Παροχή Αιχμής Εισόδου (M3/S)	6.26
Όγκος Εισροής(M3)	7.46E5

Απορροή



Κλάδος: R1918

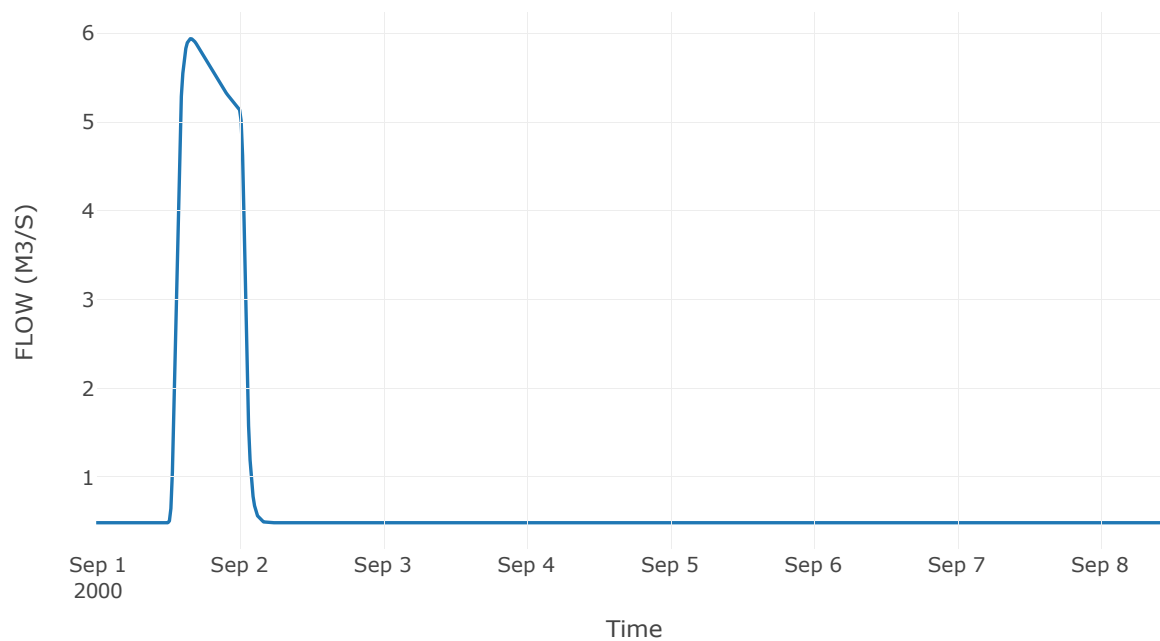
Κατάντη : J18

Μέθοδος Διόδευσης	Χρόνος
Αρχική Μεταβλητή	Combined Inflow
Χρόνος Υστέρησης	4.98

Αποτελέσματα: R1918

Παροχή Αιχμής(M3/S)	5.94
Χρονική στιγμή αιχμής	01Sep2000, 15:45
Όγκος(MM)	30.44
Παροχή Αιχμής Εισόδου (M3/S)	5.94
Όγκος Εισροής(M3)	5.3E5

Απορροή



Κλάδος: R2010

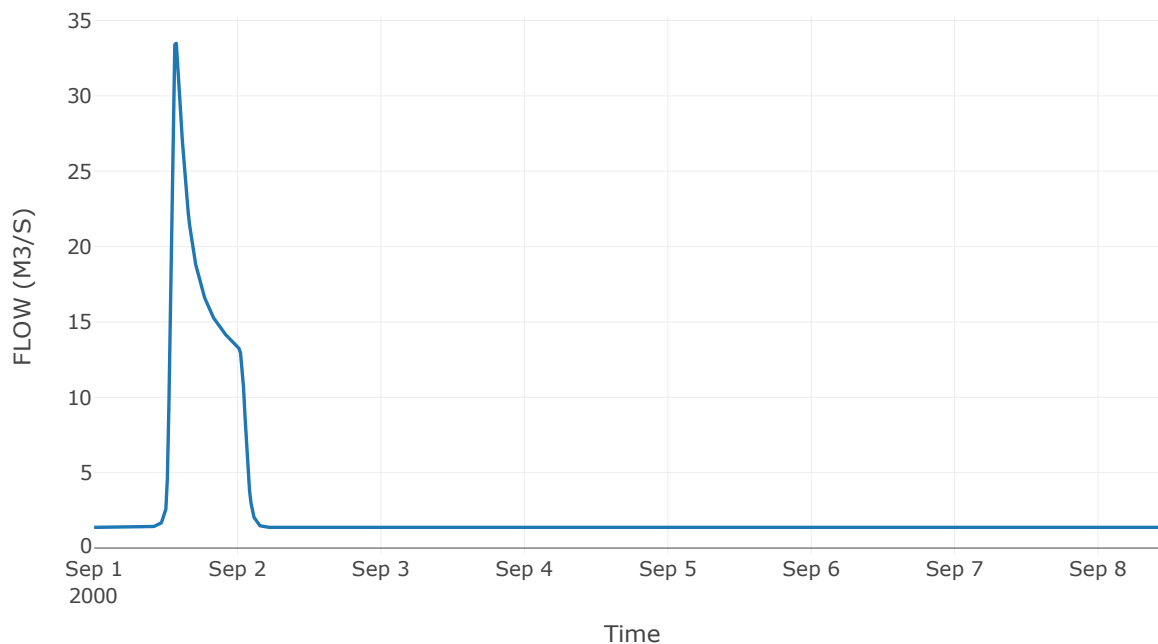
Κατάντη : J10

Μέθοδος Διόδευσης	Muskingum
Αρχική Μεταβλητή	Combined Inflow
Χρόνος Ροής Κ	0.27
Συντελεστής βάρους α	0.2
Πλήθος Υποκλάδων	1

Αποτελέσματα: R2010

Παροχή Αιχμής(M3/S)	33.48
Χρονική στιγμή αιχμής	01Sep2000, 13:45
Όγκος(MM)	34.59
Παροχή Αιχμής Εισόδου (M3/S)	34.5
Όγκος Εισροής(M3)	1.7E6

Απορροή



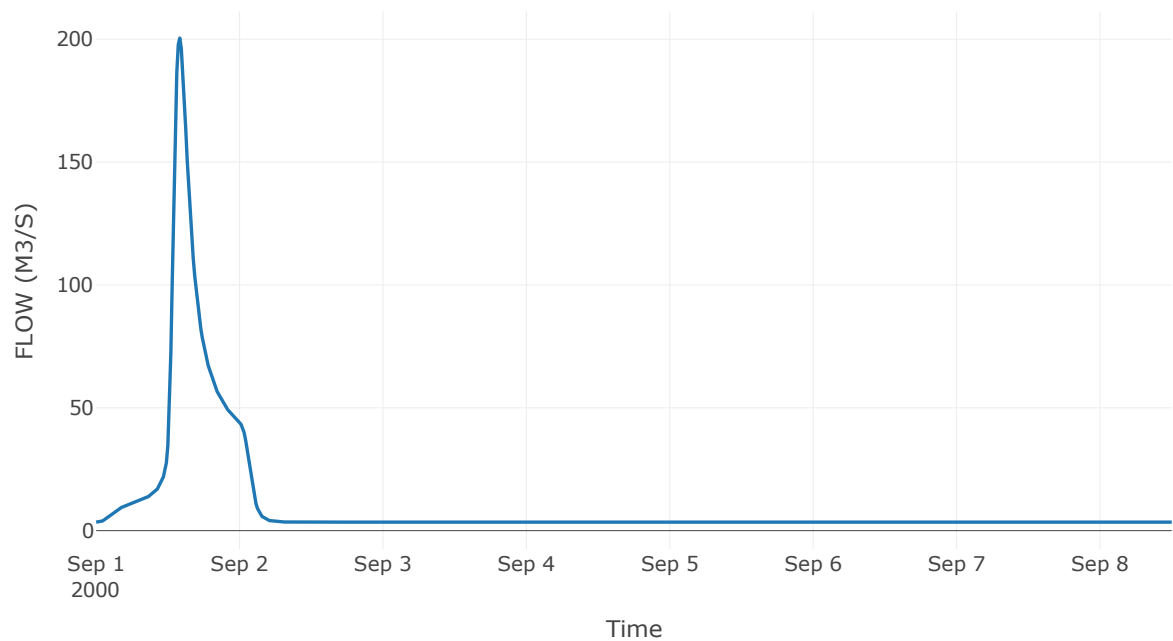
6.3 Δεδομένα και υδρογραφήματα σχεδιασμού Κόμβων υδρογραφικού δικτύου

Κόμβος εξόδου: J1

Αποτέλεσμα
τα: J1

Παροχή αιχμής (M3/S)	200.44
Χρονική στιγμή αιχμής	01Sep2000, 14:00
Όγκος (MM)	54.17

Απορροή



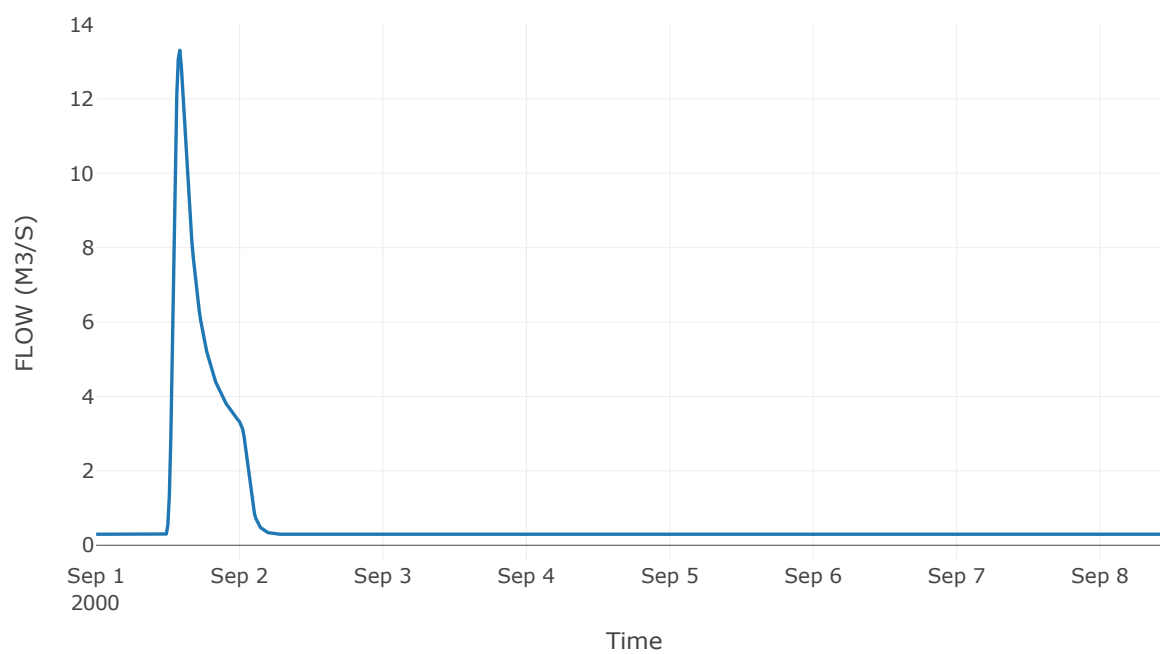
Κόμβος: J2

Κατάντη : R21

Αποτελέσματα: J2

Παροχή Αιχμής(M3/S)	13.31
Χρονική στιγμή αιχμής	01Sep2000, 14:00
Όγκος(MM)	44.3

Απορροή



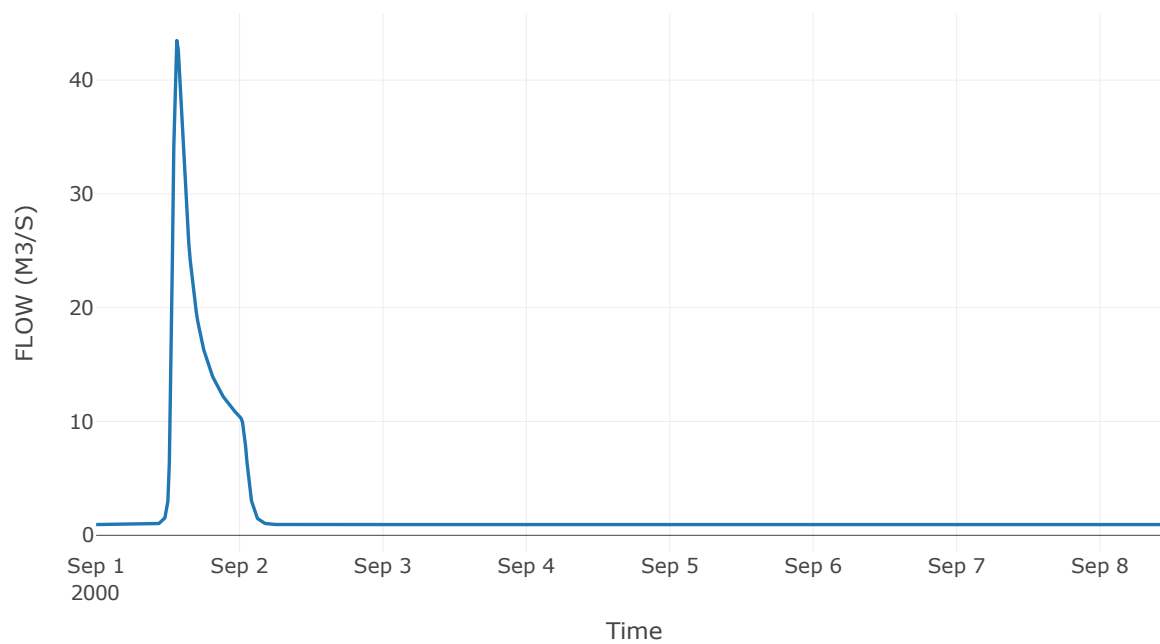
Κόμβος: J3

Κατάντη : R31

Αποτελέσματα: J3

Παροχή Αιχμής(M3/S)	43.48
Χρονική στιγμή αιχμής	01Sep2000, 13:30
Όγκος(MM)	43.31

Απορροή



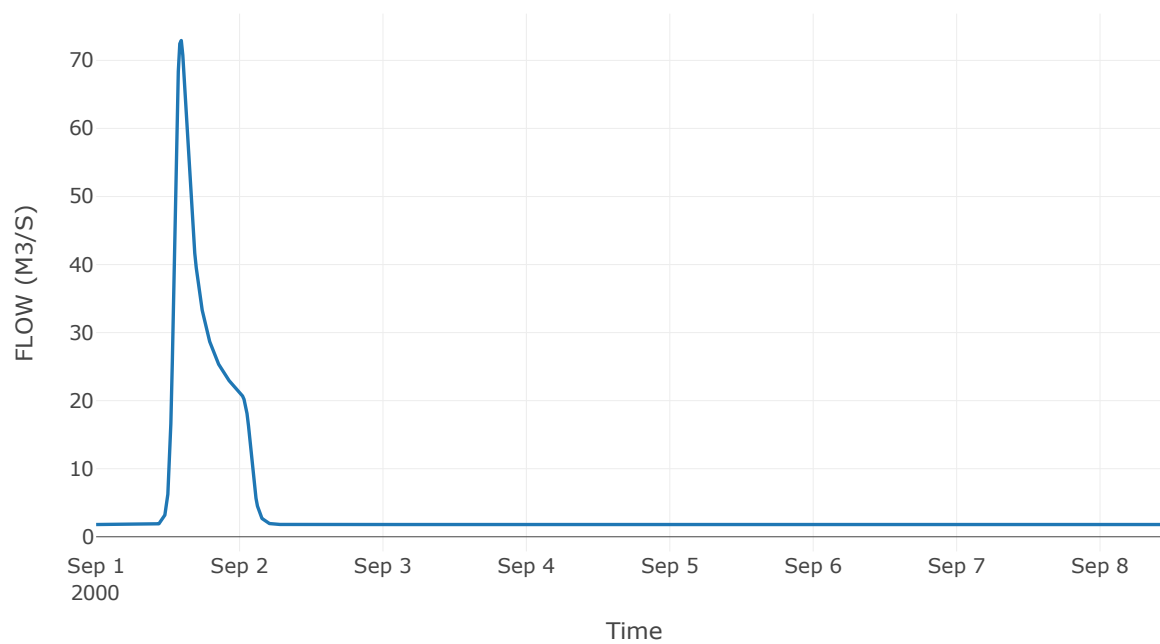
Κόμβος: J4

Κατάντη : R41

Αποτελέσματα: J4

Παροχή Αιχμής(M3/S)	72.92
Χρονική στιγμή αιχμής	01Sep2000, 14:15
Όγκος(MM)	43.32

Απορροή



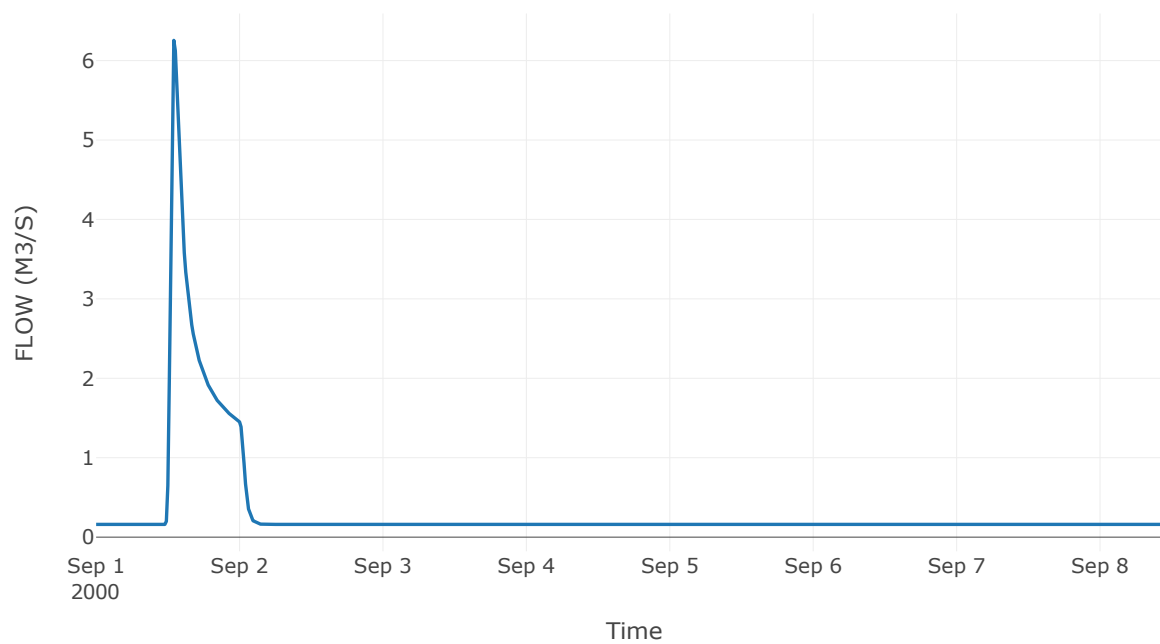
Κόμβος: J5

Κατάντη : R51

Αποτελέσματα: J5

Παροχή Αιχμής(M3/S)	6.25
Χρονική στιγμή αιχμής	01Sep2000, 13:00
Όγκος(MM)	37.21

Απορροή



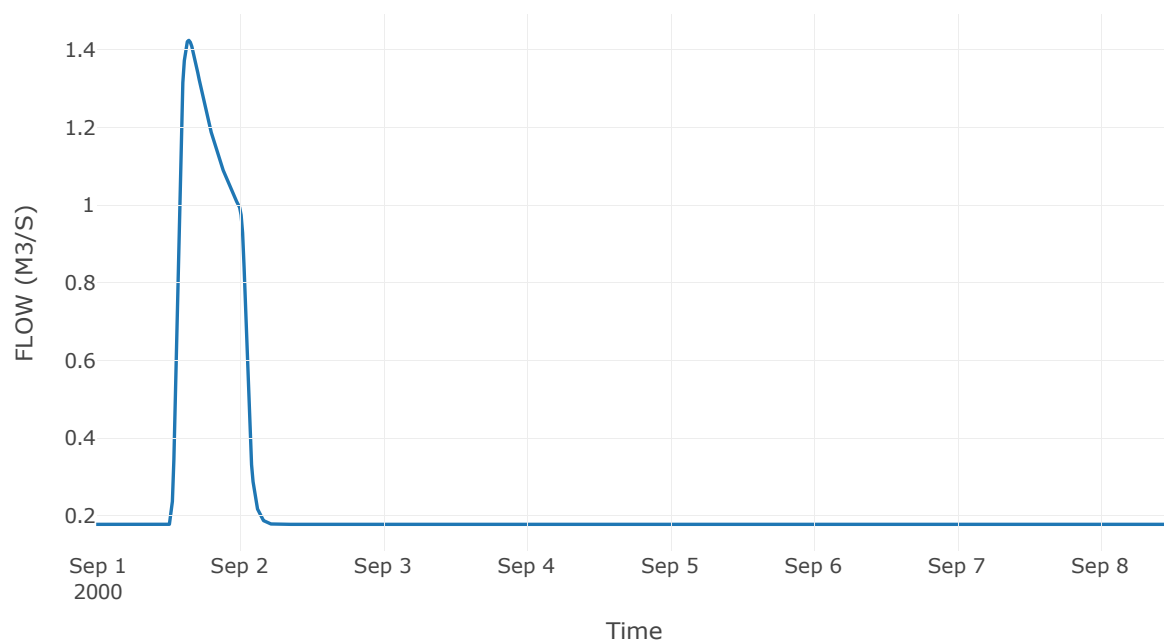
Κόμβος: J6

Κατάντη : R63

Αποτελέσματα: J6

Παροχή Αιχμής(M3/S)	1.42
Χρονική στιγμή αιχμής	01Sep2000, 15:30
Όγκος(MM)	24.92

Απορροή



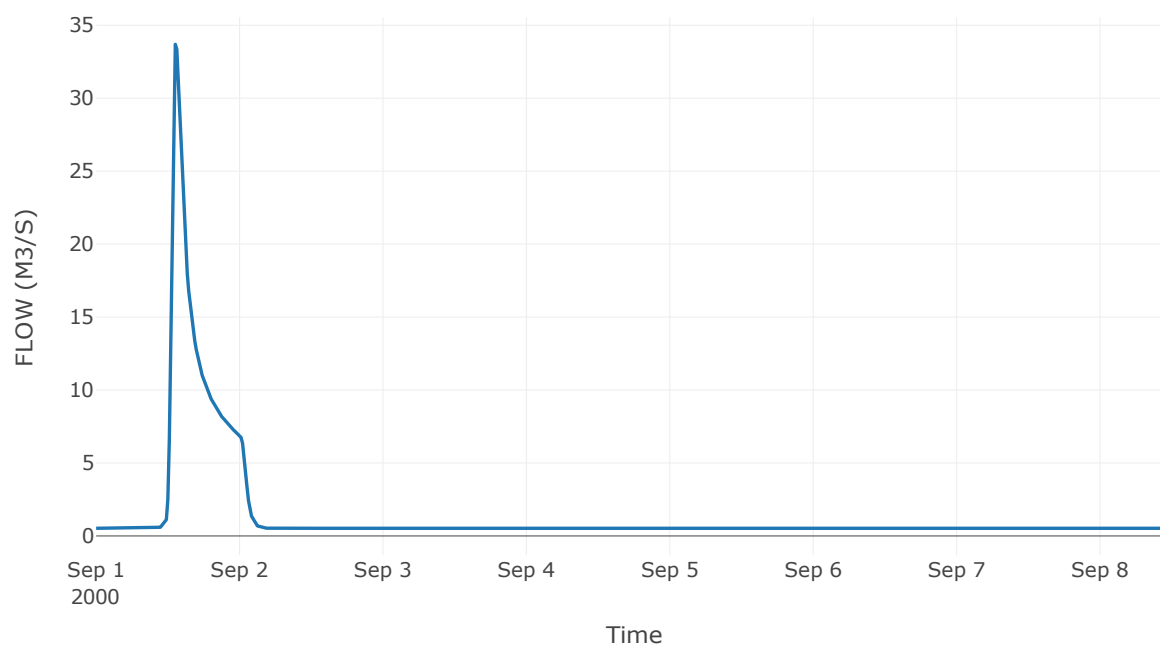
Κόμβος: J7

Κατάντη : R73

Αποτελέσματα: J7

Παροχή Αιχμής(M3/S)	33.69
Χρονική στιγμή αιχμής	01Sep2000, 13:15
Όγκος(MM)	49.98

Απορροή



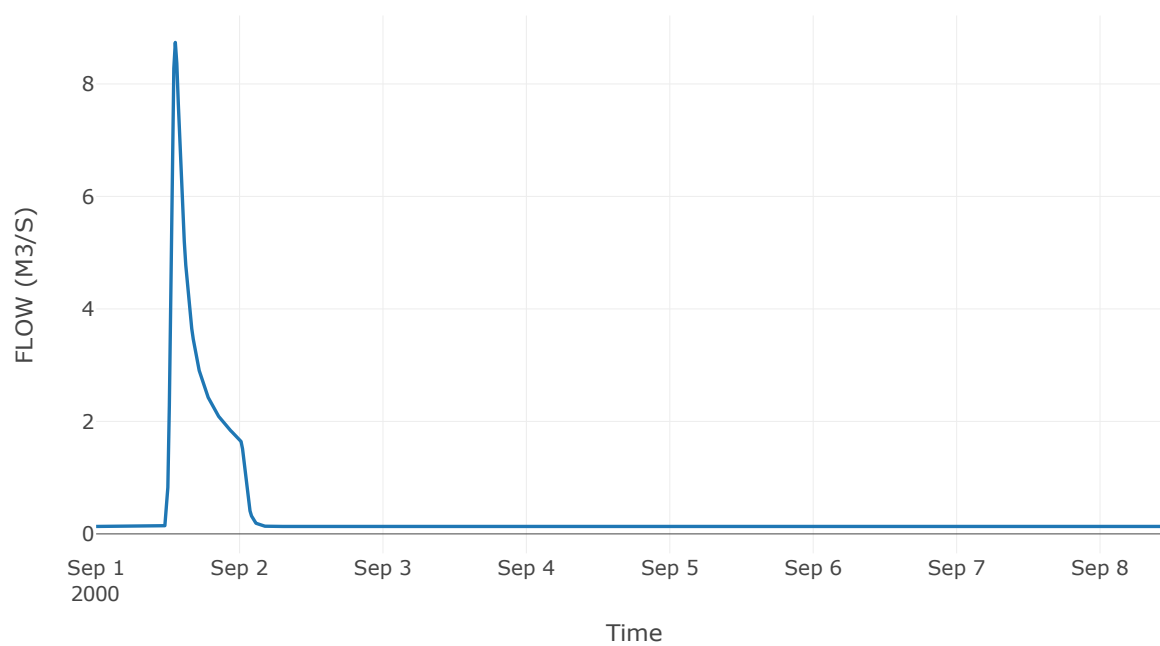
Κόμβος: J8

Κατάντη : R87

Αποτελέσματα: J8

Παροχή Αιχμής(M3/S)	8.74
Χρονική στιγμή αιχμής	01Sep2000, 13:15
Όγκος(MM)	49.73

Απορροή



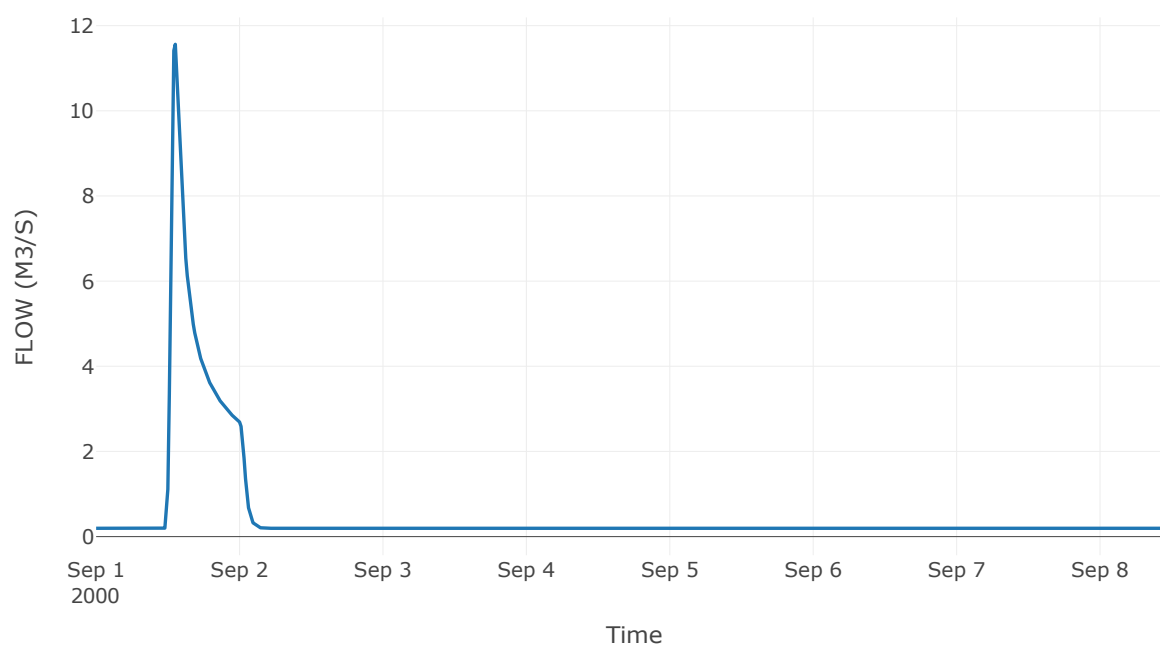
Κόμβος: J9

Κατάντη : R97

Αποτελέσματα: J9

Παροχή Αιχμής(M3/S)	11.56
Χρονική στιγμή αιχμής	01Sep2000, 13:15
Όγκος(MM)	48.84

Απορροή



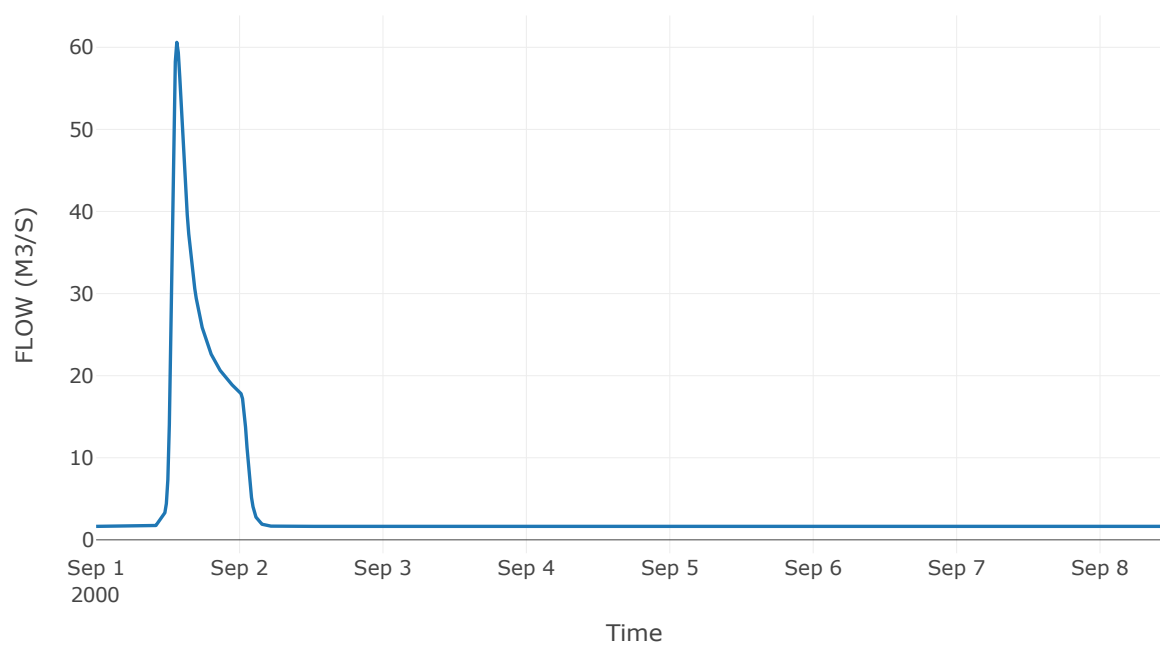
Κόμβος: J10

Κατάντη : R104

Αποτελέσματα: J10

Παροχή Αιχμής(M3/S)	60.61
Χρονική στιγμή αιχμής	01Sep2000, 13:30
Όγκος(MM)	40.34

Απορροή



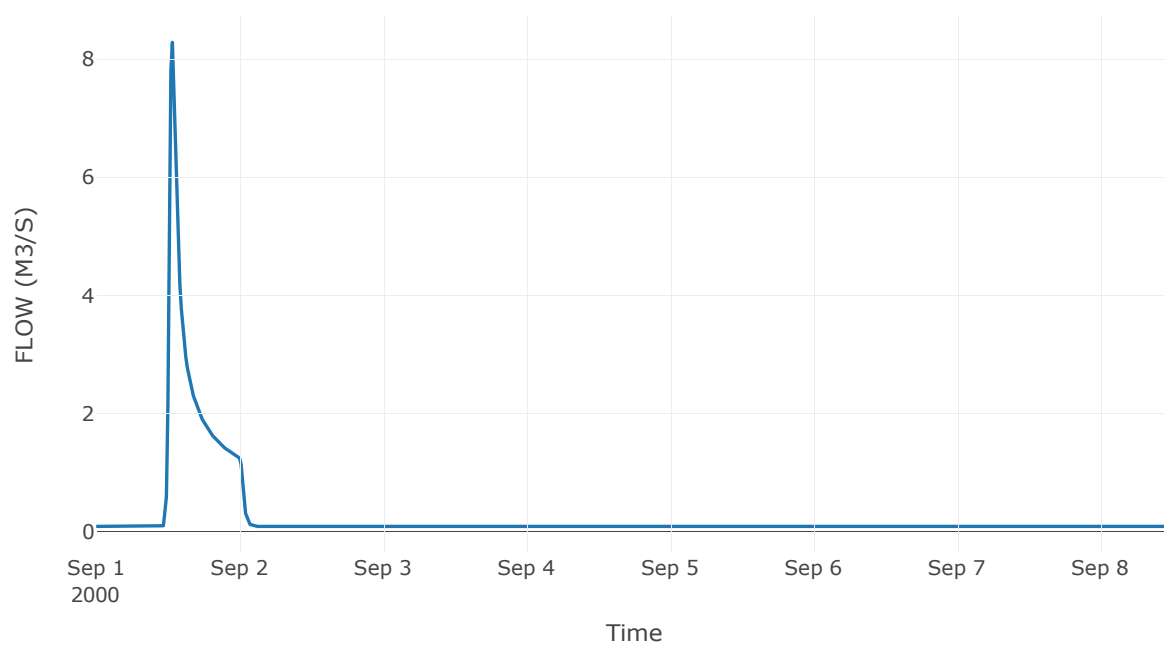
Κόμβος: J11

Κατάντη : R1110

Αποτελέσματα: J11

Παροχή Αιχμής(M3/S)	8.29
Χρονική στιγμή αιχμής	01Sep2000, 12:45
Όγκος(MM)	54.71

Απορροή



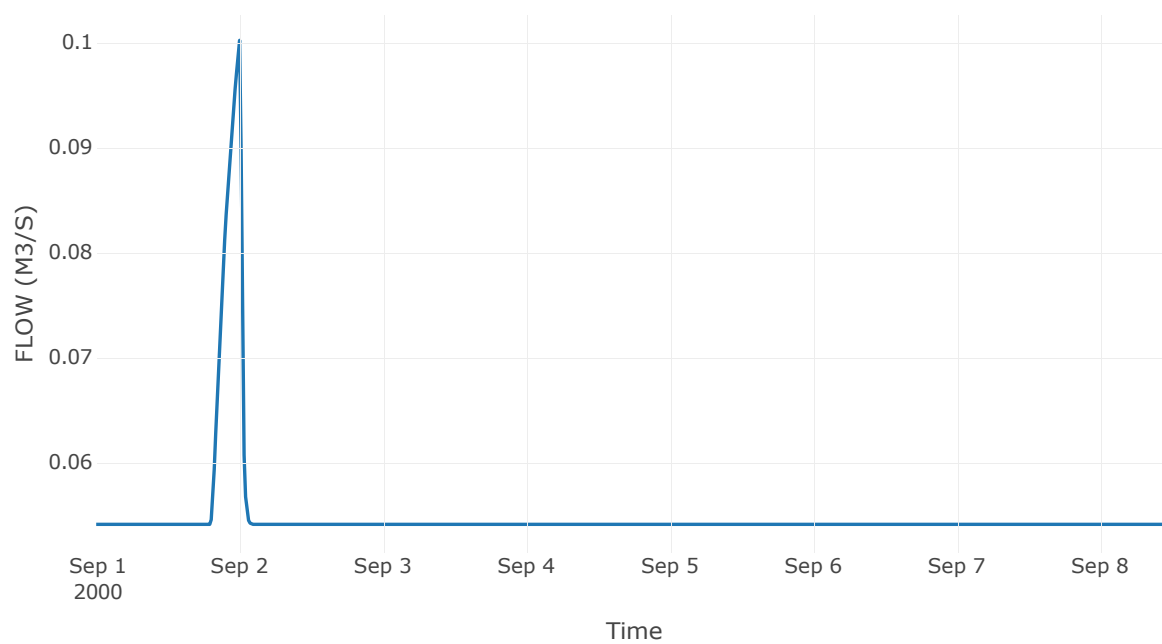
Κόμβος: J12

Κατάντη : R125

Αποτελέσματα: J12

Παροχή Αιχμής(M3/S)	0.1
Χρονική στιγμή αιχμής	01Sep2000, 24:00
Όγκος(MM)	18.42

Απορροή

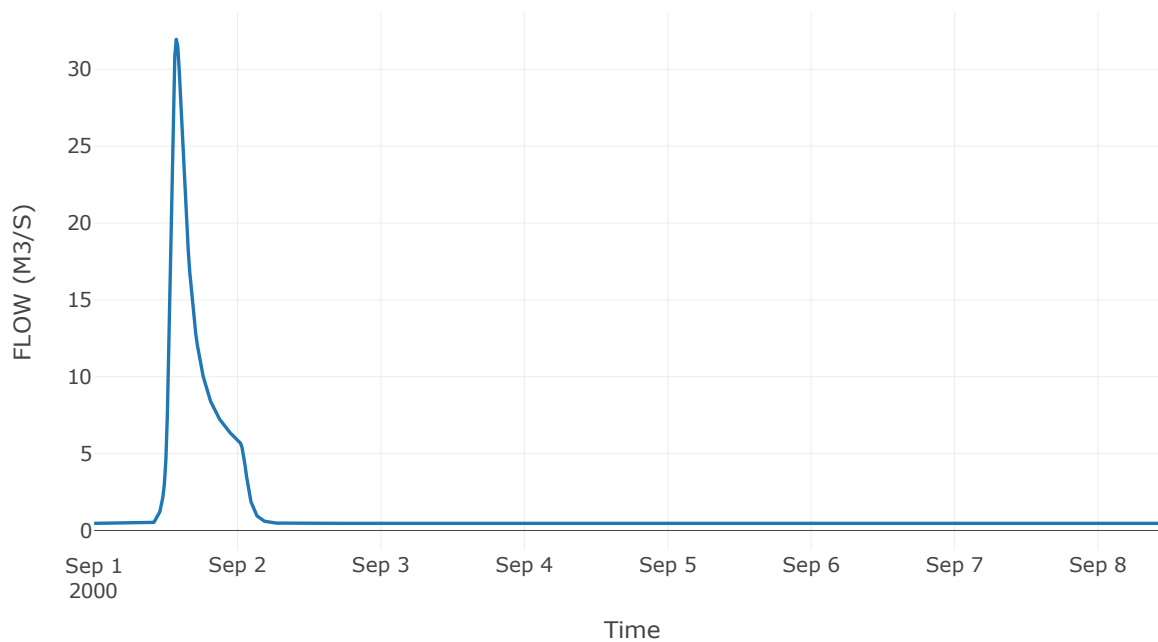


Κόμβος εξόδου: J13

Αποτελέσματ
α: J13

Παροχή αιχμής (M3/S)	31.95
Χρονική στιγμή αιχμής	01Sep2000, 13:45
Όγκος (MM)	54.72

Απορροή



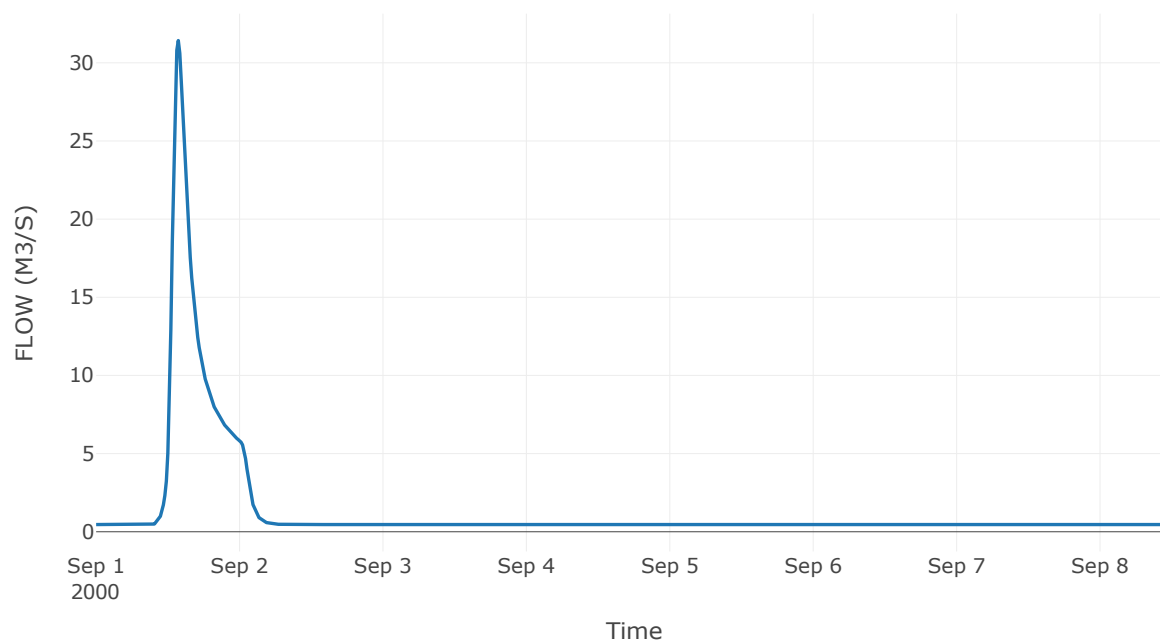
Κόμβος: J14

Κατάντη : R1413

Αποτελέσματα: J14

Παροχή Αιχμής(M3/S)	31.43
Χρονική στιγμή αιχμής	01Sep2000, 13:45
Όγκος(MM)	54.4

Απορροή



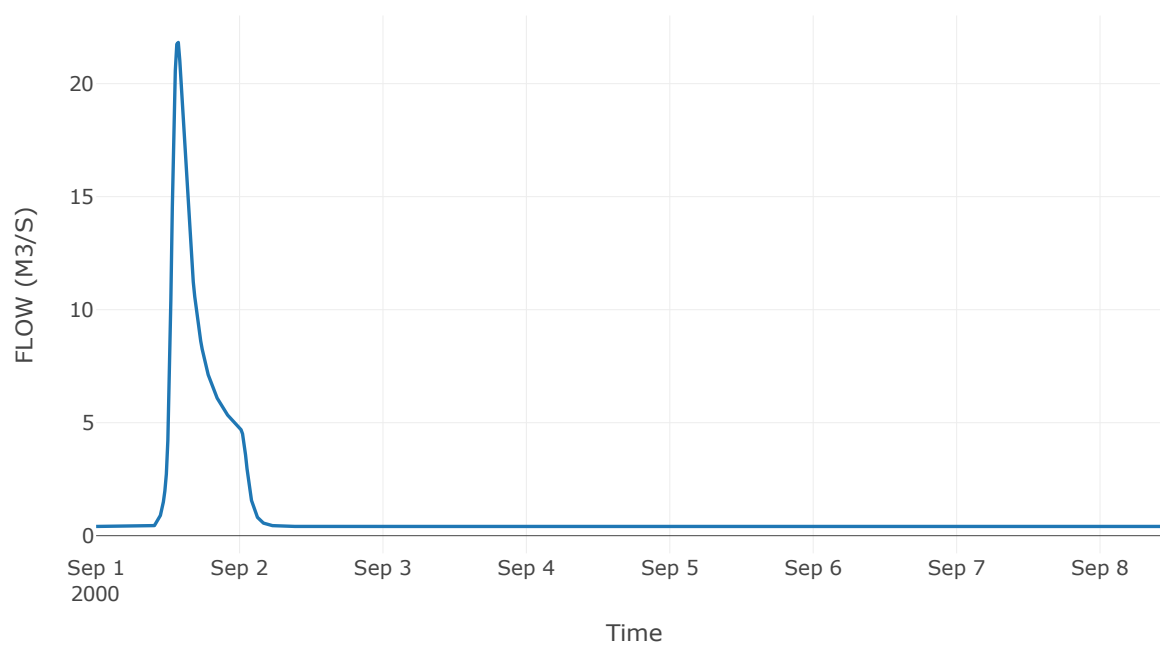
Κόμβος: J15

Κατάντη : R1514

Αποτελέσματα: J15

Παροχή Αιχμής(M3/S)	21.82
Χρονική στιγμή αιχμής	01Sep2000, 13:45
Όγκος(MM)	48.56

Απορροή



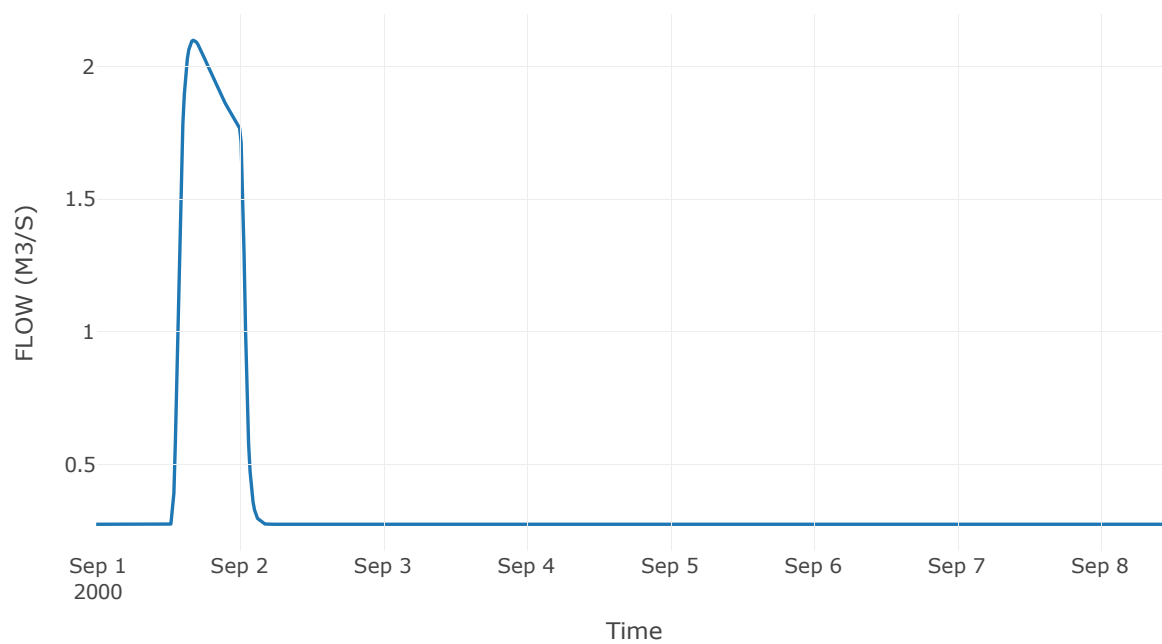
Κόμβος: J16

Κατάντη : R1615

Αποτελέσματα: J16

Παροχή Αιχμής(M3/S)	2.1
Χρονική στιγμή αιχμής	01Sep2000, 16:15
Όγκος(MM)	25.07

Απορροή



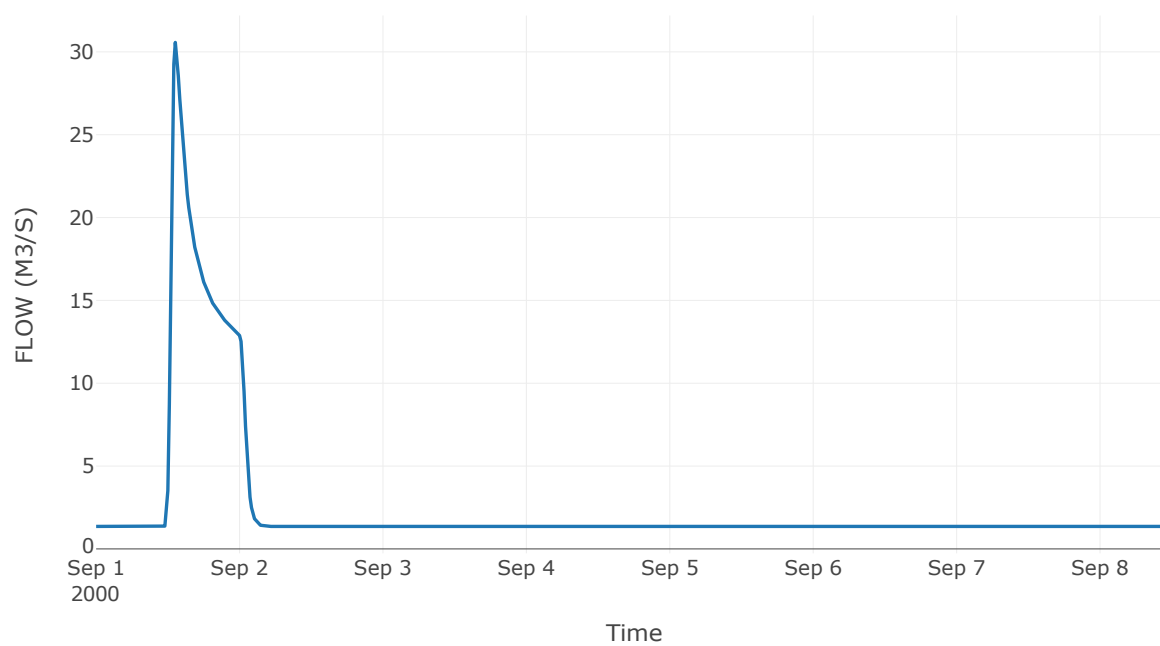
Κόμβος: J17

Κατάντη : R1720

Αποτελέσματα: J17

Παροχή Αιχμής(M3/S)	30.57
Χρονική στιγμή αιχμής	01Sep2000, 13:15
Όγκος(MM)	33.64

Απορροή



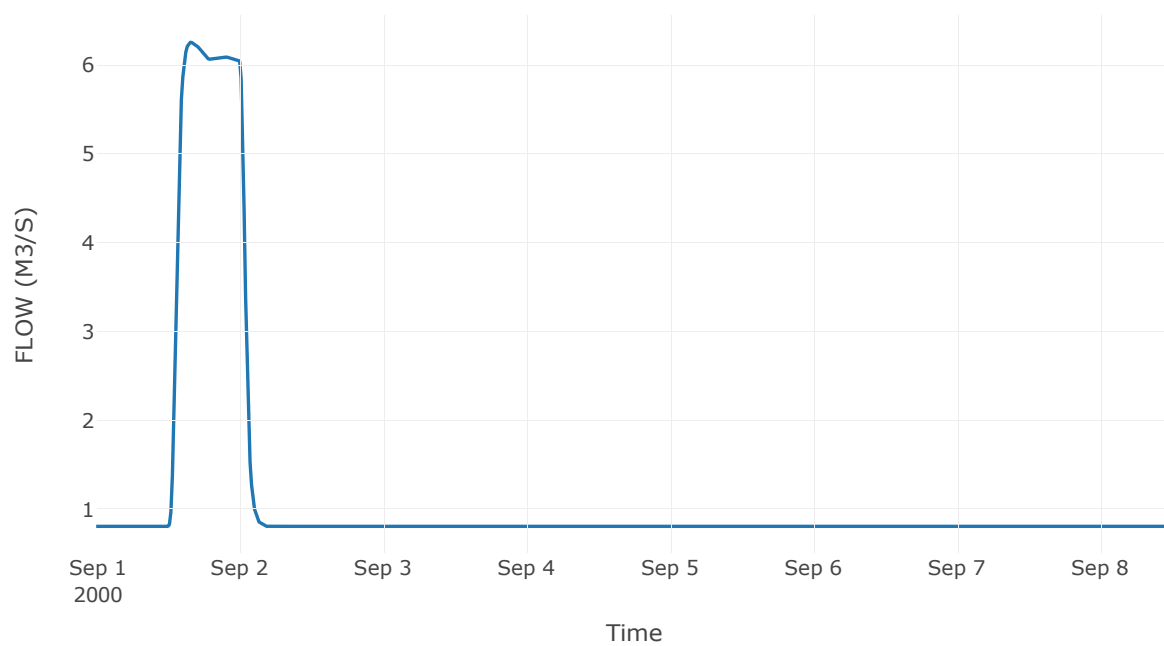
Κόμβος: J18

Κατάντη : R1817

Αποτελέσματα: J18

Παροχή Αιχμής(M3/S)	6.26
Χρονική στιγμή αιχμής	01Sep2000, 15:45
Όγκος(MM)	25.9

Απορροή



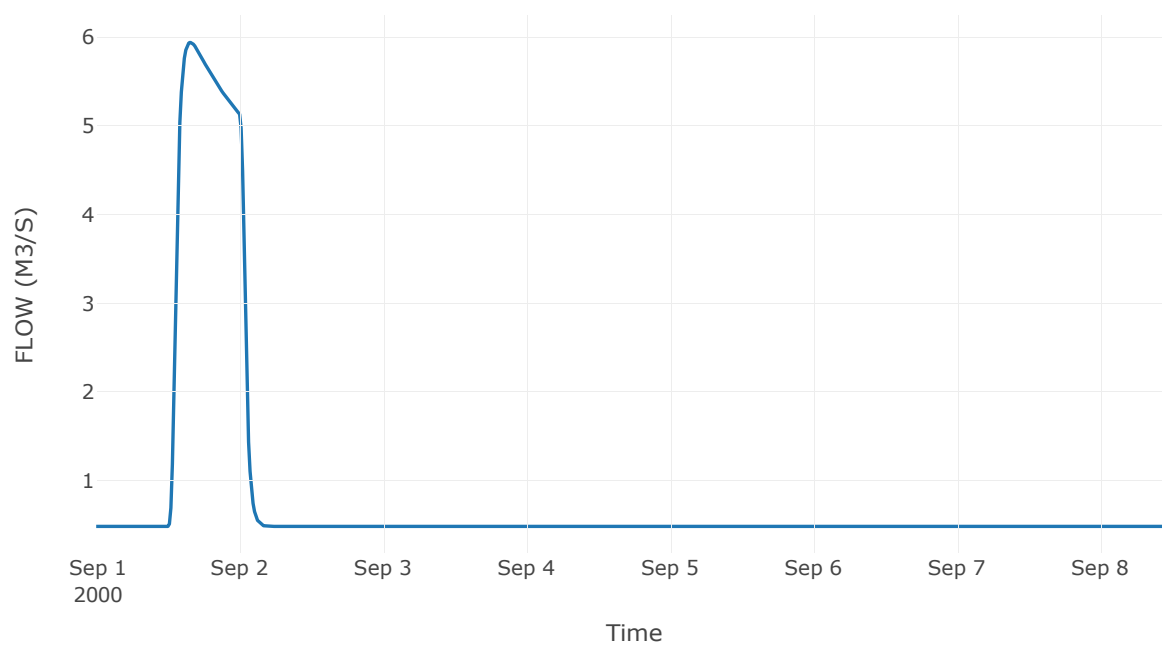
Κόμβος: J19

Κατάντη : R1918

Αποτελέσματα: J19

Παροχή Αιχμής(M3/S)	5.94
Χρονική στιγμή αιχμής	01Sep2000, 15:45
Όγκος(MM)	30.44

Απορροή



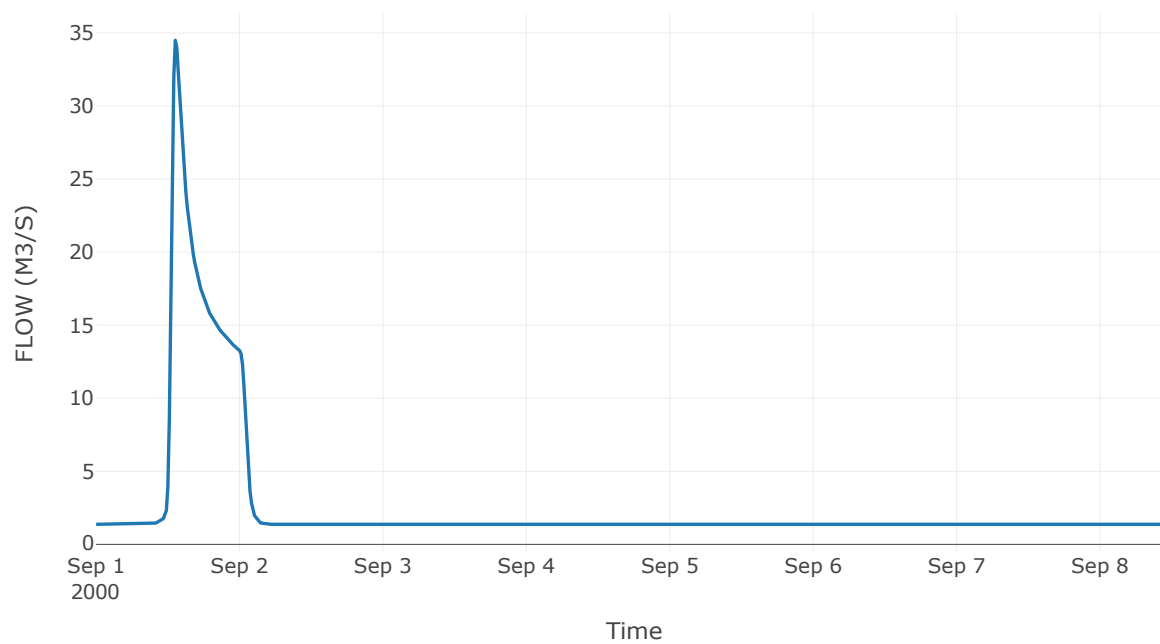
Κόμβος: J20

Κατάντη : R2010

Αποτελέσματα: J20

Παροχή Αιχμής(M3/S)	34.5
Χρονική στιγμή αιχμής	01Sep2000, 13:15
Όγκος(MM)	34.59

Απορροή



7 Δεδομένα εισόδου και αποτελέσματα υδρολογικού σεναρίου $T=100U$

7.1 Αποτελέσματα, υετογραφήματα και υδρογραφήματα σχεδιασμού υπολεκανών

Υπολεκάνη: EL0415FL007001

Έκταση (KM2) : 9.22

Κατάντη : J1

Μέθοδος Απωλειών: SCS

Ποσοστό αδιαπέρατης επιφάνειας	95
Αριθμός Καμπύλης Απορροής-CN	99
Αρχικές Απώλειες	0.51

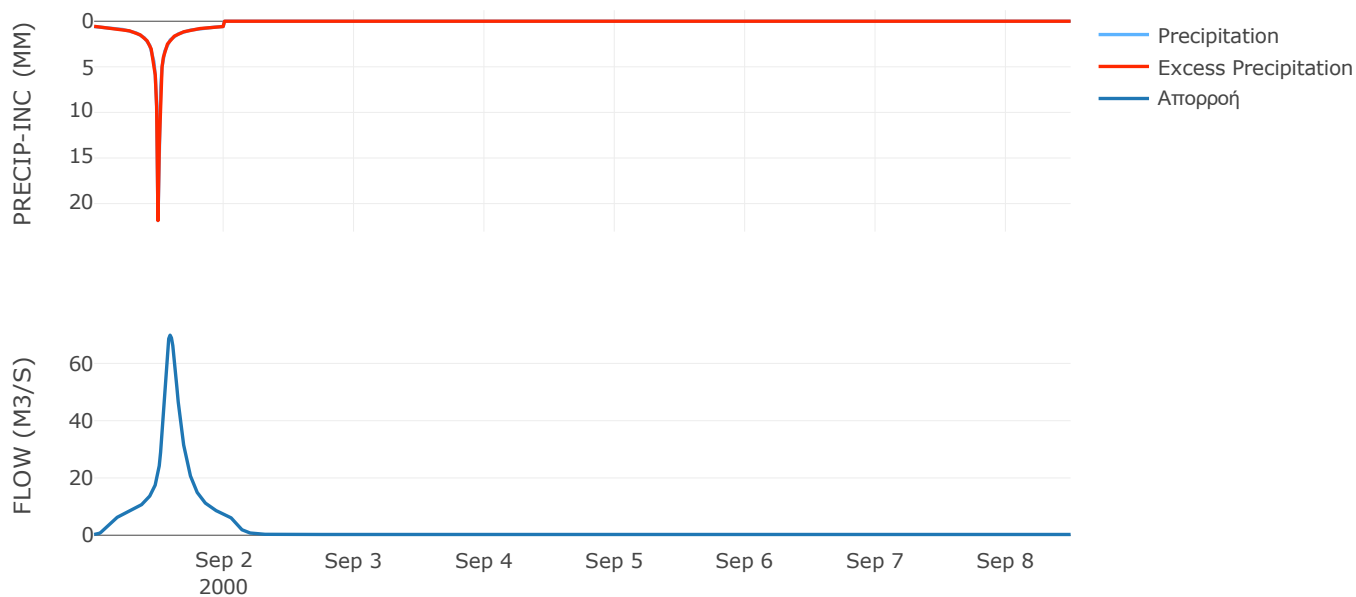
Μέθοδος
Μετασχηματισμού: SCS

Χρόνος Υστέρησης	120.1
------------------	-------

Αποτελέσματα:
EL0415FL007001

Παροχή αιχμής (M3/S)	69.86
Χρονική στιγμή αιχμής	01Sep2000, 14:00
Όγκος (MM)	191.12
Όγκος βροχόπτωσης (M3)	1.6E6
Όγκος απωλειών (M3)	1402.76
Ενεργός Όγκος (M3)	1.6E6
Όγκος άμεσης απορροής (M3)	1.6E6
Όγκος βασικής απορροής (M3)	1.67E5

Βροχόπτωση και Απορροή



Υπολεκάνη: EL0415FL007002

Έκταση (KM2) : 10.54

Κατάντη : J2

Μέθοδος Απωλειών: SCS

Ποσοστό αδιαπέρατης επιφάνειας	0
Αριθμός Καμπύλης Απορροής-CN	81.02
Αρχικές Απώλειες	11.9

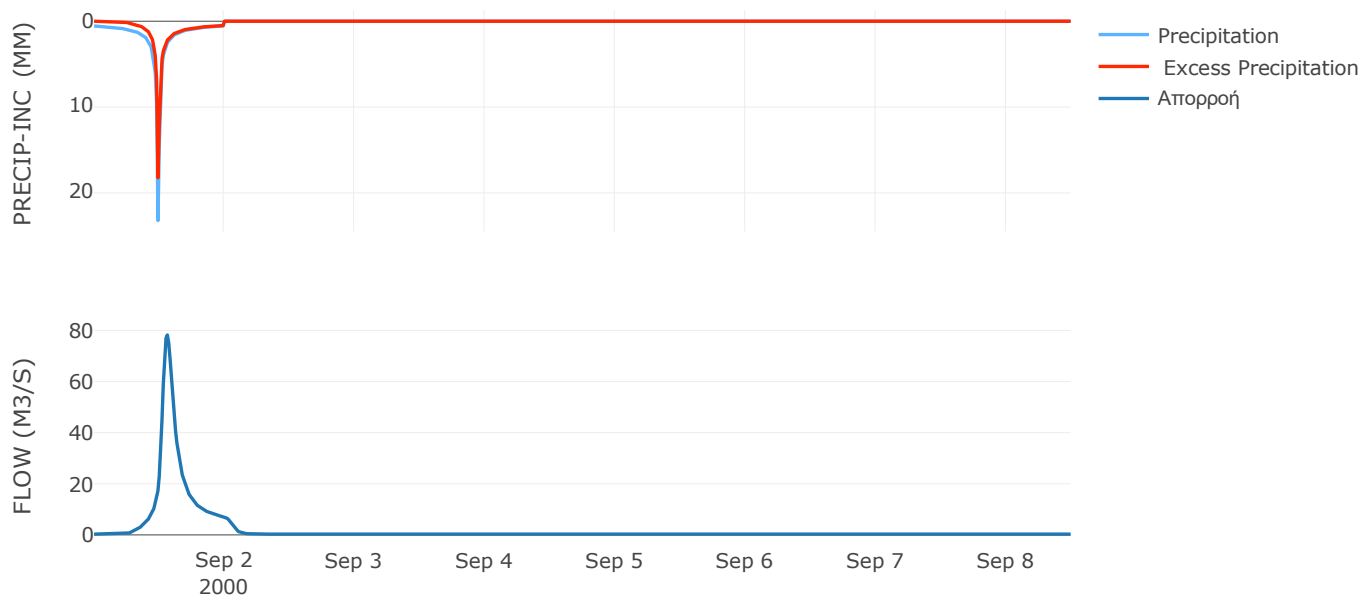
Μέθοδος
Μετασχηματισμού: SCS

Χρόνος Υστέρησης	82
------------------	----

Αποτελέσματα:
EL0415FL007002

Παροχή αιχμής (M3/S)	78.24
Χρονική στιγμή αιχμής	01Sep2000, 13:30
Όγκος (MM)	134.39
Όγκος βροχόπτωσης (M3)	1.81E6
Όγκος απωλειών (M3)	5.83E5
Ενεργός Όγκος (M3)	1.23E6
Όγκος άμεσης απορροής (M3)	1.23E6
Όγκος βασικής απορροής (M3)	1.91E5

Βροχόπτωση και Απορροή



Υπολεκάνη: EL0415FL007003

Έκταση (KM2) : 7.3

Κατάντη : J3

Μέθοδος Απωλειών: SCS

Ποσοστό αδιαπέρατης επιφάνειας	0
Αριθμός Καμπύλης Απορροής-CN	78.81
Αρχικές Απώλειες	13.66

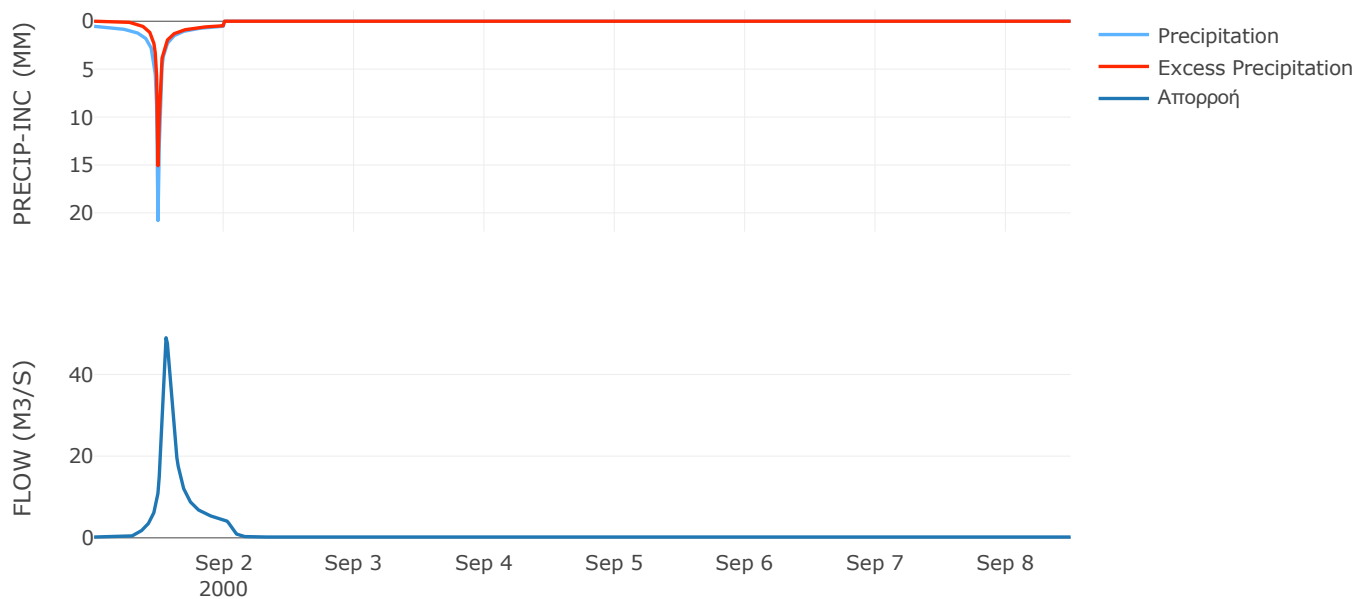
Μέθοδος
Μετασχηματισμού: SCS

Χρόνος Υστέρησης	72.05
------------------	-------

Αποτελέσματα:
EL0415FL007003

Παροχή αιχμής (M3/S)	48.99
Χρονική στιγμή αιχμής	01Sep2000, 13:15
Όγκος (MM)	117.92
Όγκος βροχόπτωσης (M3)	1.17E6
Όγκος απωλειών (M3)	4.4E5
Ενεργός Όγκος (M3)	7.28E5
Όγκος άμεσης απορροής (M3)	7.28E5
Όγκος βασικής απορροής (M3)	1.32E5

Βροχόπτωση και Απορροή



Υπολεκάνη: EL0415FL007004

Έκταση (KM2) : 9.79

Κατάντη : J16

Μέθοδος Απωλειών: SCS

Ποσοστό αδιαπέρατης επιφάνειας	0
Αριθμός Καμπύλης Απορροής-CN	70.25
Αρχικές Απώλειες	21.52

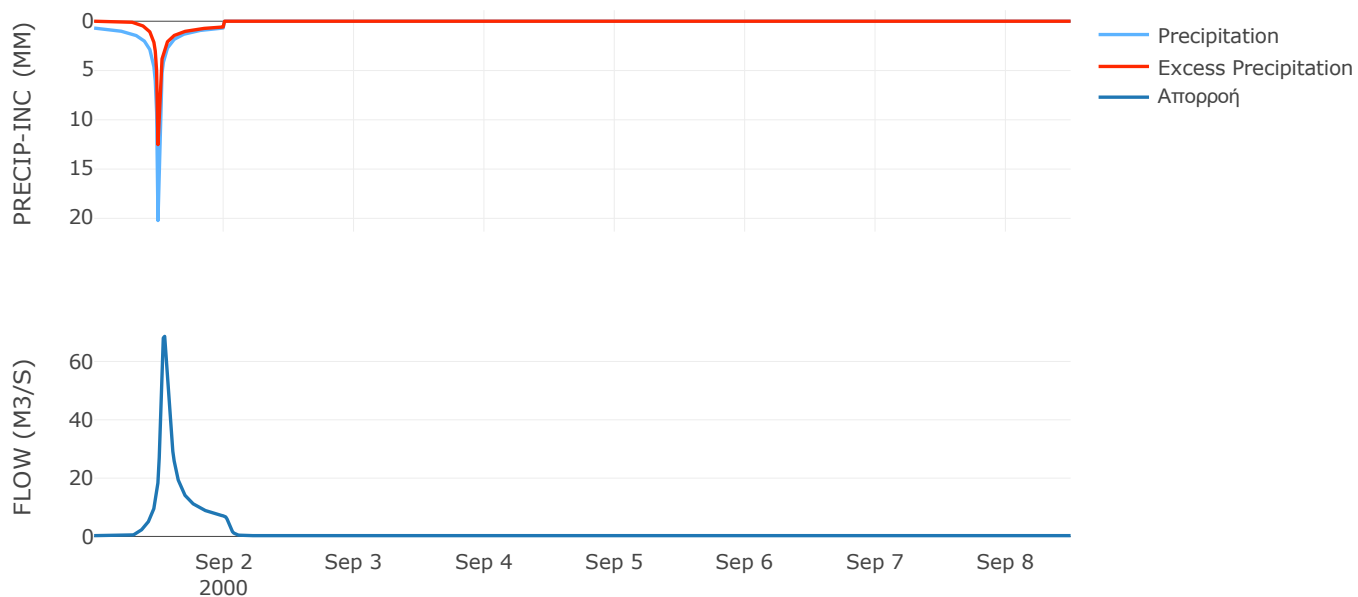
Μέθοδος
Μετασχηματισμού: SCS

Χρόνος Υστέρησης	49.7
------------------	------

Αποτελέσματα:
EL0415FL007004

Παροχή αιχμής (M3/S)	68.63
Χρονική στιγμή αιχμής	01Sep2000, 13:00
Όγκος (MM)	116.97
Όγκος βροχόπτωσης (M3)	1.81E6
Όγκος απωλειών (M3)	8.46E5
Ενεργός Όγκος (M3)	9.67E5
Όγκος άμεσης απορροής (M3)	9.67E5
Όγκος βασικής απορροής (M3)	1.78E5

Βροχόπτωση και Απορροή



Υπολεκάνη: EL0415FL007005

Έκταση (KM2) : 17.4

Κατάντη : J19

Μέθοδος Απωλειών: SCS

Ποσοστό αδιαπέρατης επιφάνειας	0
Αριθμός Καμπύλης Απορροής-CN	72.41
Αρχικές Απώλειες	19.36

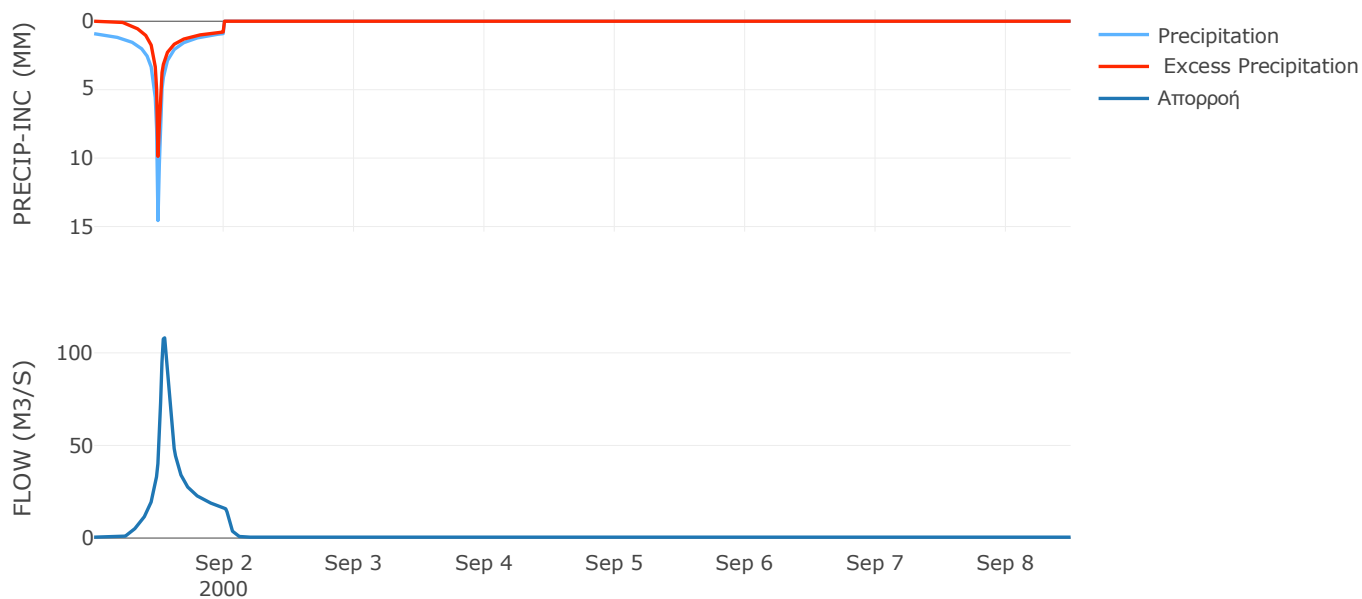
Μέθοδος
Μετασχηματισμού: SCS

Χρόνος Υστέρησης	49.58
------------------	-------

Αποτελέσματα:
EL0415FL007005

Παροχή αιχμής (M3/S)	108.12
Χρονική στιγμή αιχμής	01Sep2000, 13:00
Όγκος (MM)	129.77
Όγκος βροχόπτωσης (M3)	3.36E6
Όγκος απωλειών (M3)	1.42E6
Ενεργός Όγκος (M3)	1.94E6
Όγκος άμεσης απορροής (M3)	1.94E6
Όγκος βασικής απορροής (M3)	3.16E5

Βροχόπτωση και Απορροή



Υπολεκάνη: EL0415FL007006

Έκταση (KM2) : 2.23

Κατάντη : J18

Μέθοδος Απωλειών: SCS

Ποσοστό αδιαπέρατης επιφάνειας	0
Αριθμός Καμπύλης Απορροής-CN	64.4
Αρχικές Απώλειες	28.09

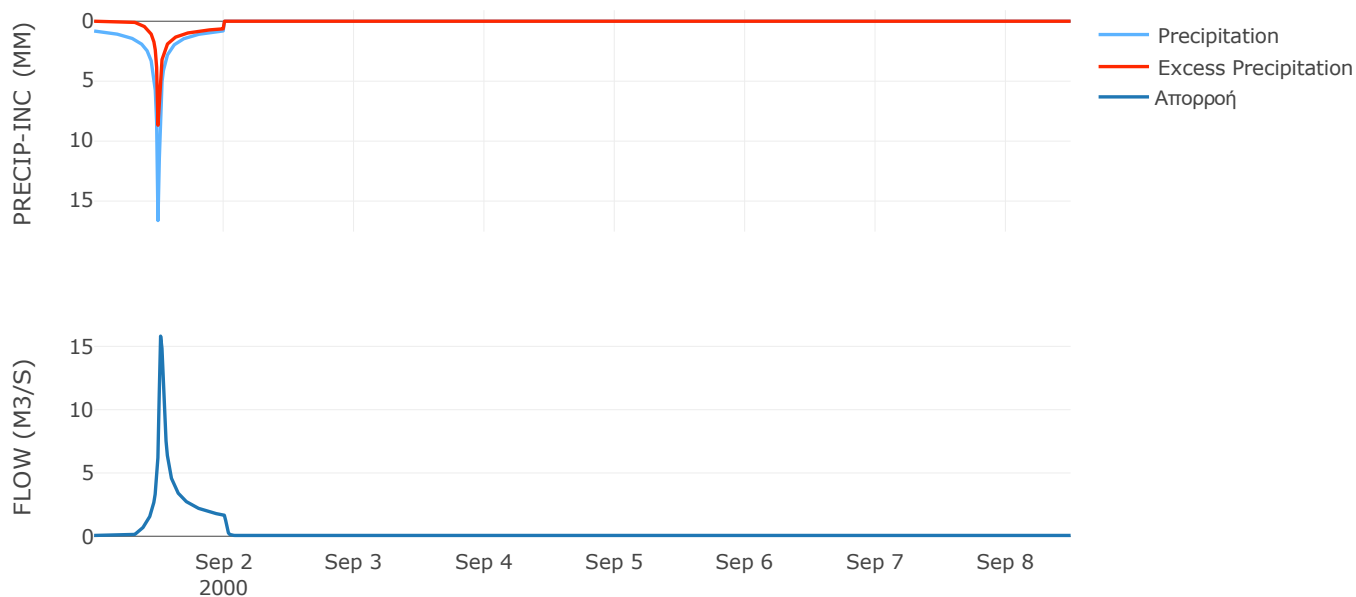
Μέθοδος
Μετασχηματισμού: SCS

Χρόνος Υστέρησης	18.96
------------------	-------

Αποτελέσματα:
EL0415FL007006

Παροχή αιχμής (M3/S)	15.81
Χρονική στιγμή αιχμής	01Sep2000, 12:15
Όγκος (MM)	104.04
Όγκος βροχόπτωσης (M3)	4.22E5
Όγκος απωλειών (M3)	2.3E5
Ενεργός Όγκος (M3)	1.92E5
Όγκος άμεσης απορροής (M3)	1.92E5
Όγκος βασικής απορροής (M3)	40515.55

Βροχόπτωση και Απορροή



Υπολεκάνη: EL0415FL007007

Έκταση (KM2) : 9.16

Κατάντη : J18

Μέθοδος Απωλειών: SCS

Ποσοστό αδιαπέρατης επιφάνειας	0
Αριθμός Καμπύλης Απορροής-CN	62.53
Αρχικές Απώλειες	30.44

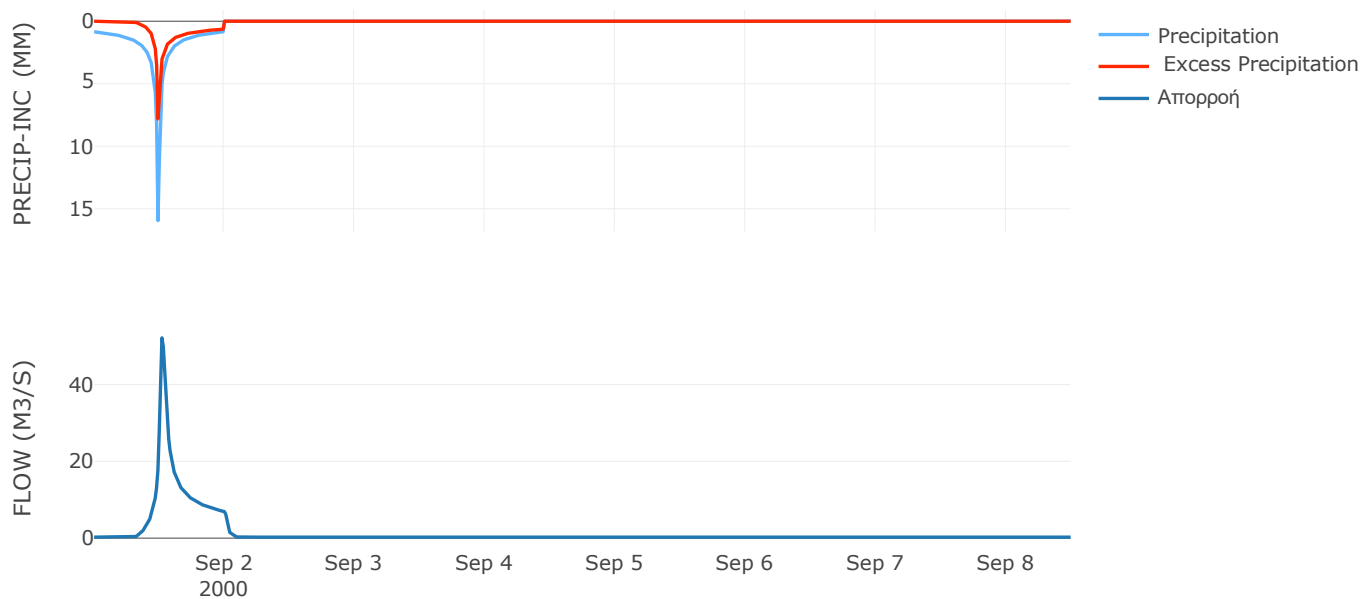
Μέθοδος
Μετασχηματισμού: SCS

Χρόνος Υστέρησης	30.86
------------------	-------

Αποτελέσματα:
EL0415FL007007

Παροχή αιχμής (M3/S)	52.19
Χρονική στιγμή αιχμής	01Sep2000, 12:30
Όγκος (MM)	99.76
Όγκος βροχόπτωσης (M3)	1.74E6
Όγκος απωλειών (M3)	9.93E5
Ενεργός Όγκος (M3)	7.48E5
Όγκος άμεσης απορροής (M3)	7.48E5
Όγκος βασικής απορροής (M3)	1.66E5

Βροχόπτωση και Απορροή



Υπολεκάνη: EL0415FL007008

Έκταση (KM2) : 7.8

Κατάντη : J17

Μέθοδος Απωλειών: SCS

Ποσοστό αδιαπέρατης επιφάνειας	0
Αριθμός Καμπύλης Απορροής-CN	71.34
Αρχικές Απώλειες	20.41

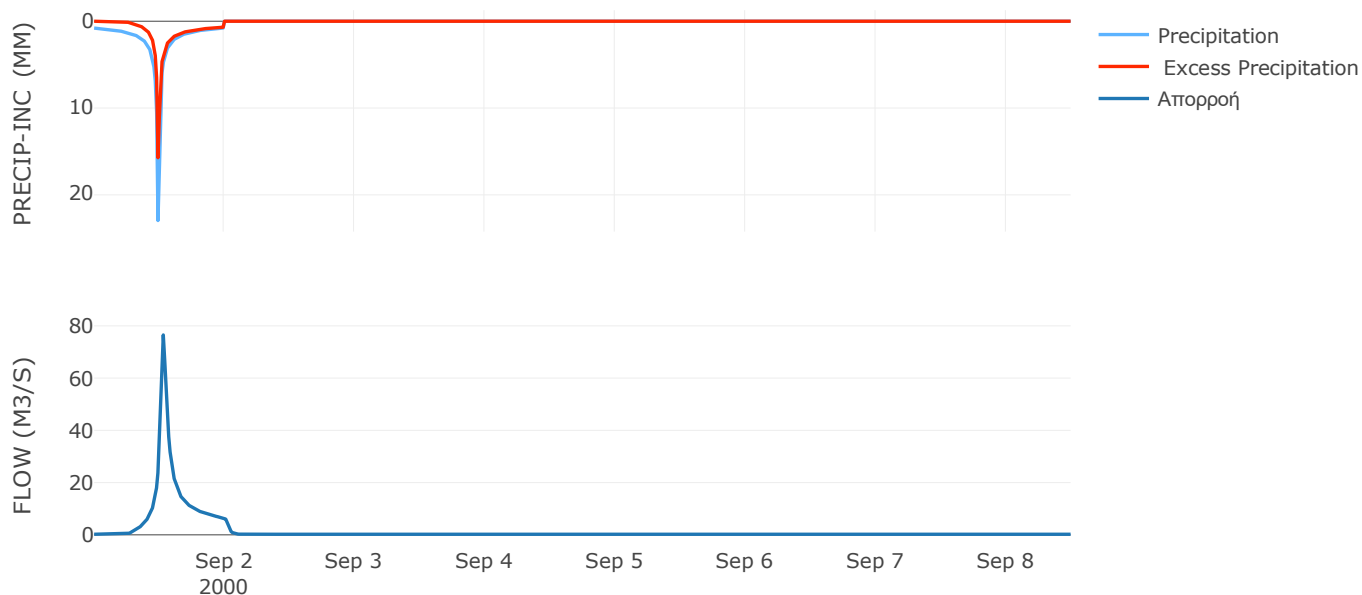
Μέθοδος
Μετασχηματισμού: SCS

Χρόνος Υστέρησης	38.07
------------------	-------

Αποτελέσματα:
EL0415FL007008

Παροχή αιχμής (M3/S)	76.51
Χρονική στιγμή αιχμής	01Sep2000, 12:45
Όγκος (MM)	141.66
Όγκος βροχόπτωσης (M3)	1.64E6
Όγκος απωλειών (M3)	6.77E5
Ενεργός Όγκος (M3)	9.64E5
Όγκος άμεσης απορροής (M3)	9.64E5
Όγκος βασικής απορροής (M3)	1.42E5

Βροχόπτωση και Απορροή



Υπολεκάνη: EL0415FL007009

Έκταση (KM2) : 11.83

Κατάντη : J17

Μέθοδος Απωλειών: SCS

Ποσοστό αδιαπέρατης επιφάνειας	0
Αριθμός Καμπύλης Απορροής-CN	81.08
Αρχικές Απώλειες	11.85

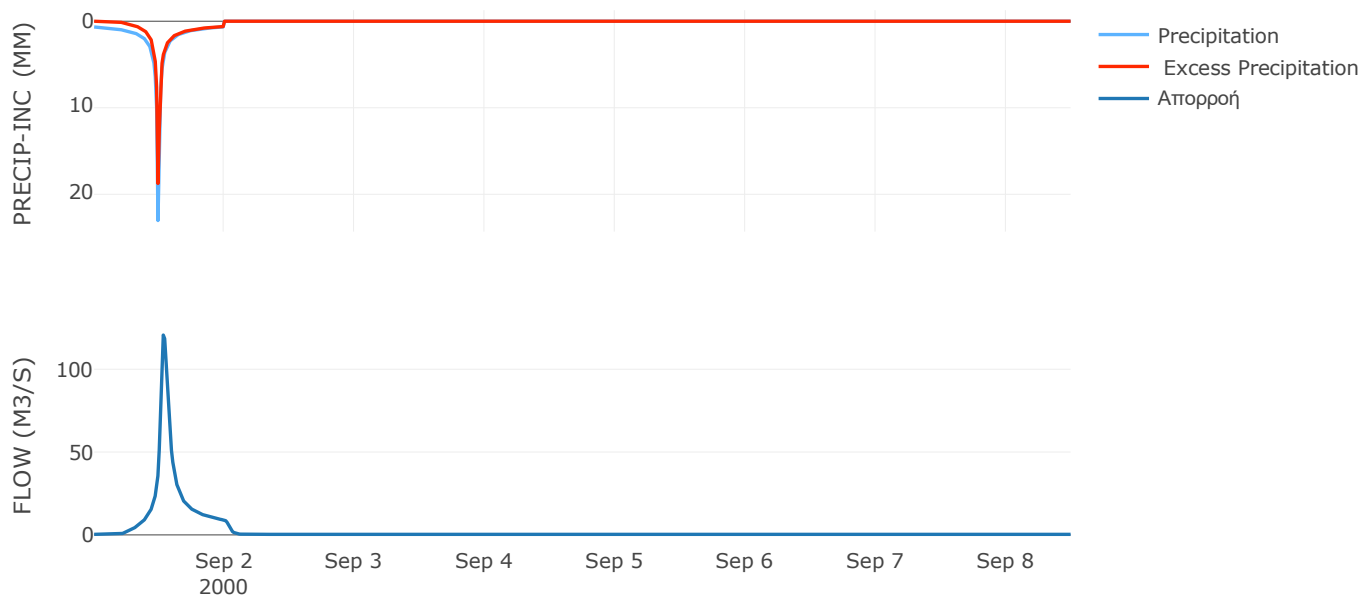
Μέθοδος
Μετασχηματισμού: SCS

Χρόνος Υστέρησης	49.2
------------------	------

Αποτελέσματα:
EL0415FL007009

Παροχή αιχμής (M3/S)	120.62
Χρονική στιγμή αιχμής	01Sep2000, 12:45
Όγκος (MM)	151.83
Όγκος βροχόπτωσης (M3)	2.25E6
Όγκος απωλειών (M3)	6.67E5
Ενεργός Όγκος (M3)	1.58E6
Όγκος άμεσης απορροής (M3)	1.58E6
Όγκος βασικής απορροής (M3)	2.15E5

Βροχόπτωση και Απορροή



Υπολεκάνη: EL0415FL007010

Έκταση (KM2) : 1.62

Κατάντη : J10

Μέθοδος Απωλειών: SCS

Ποσοστό αδιαπέρατης επιφάνειας	0
Αριθμός Καμπύλης Απορροής-CN	89.72
Αρχικές Απώλειες	5.82

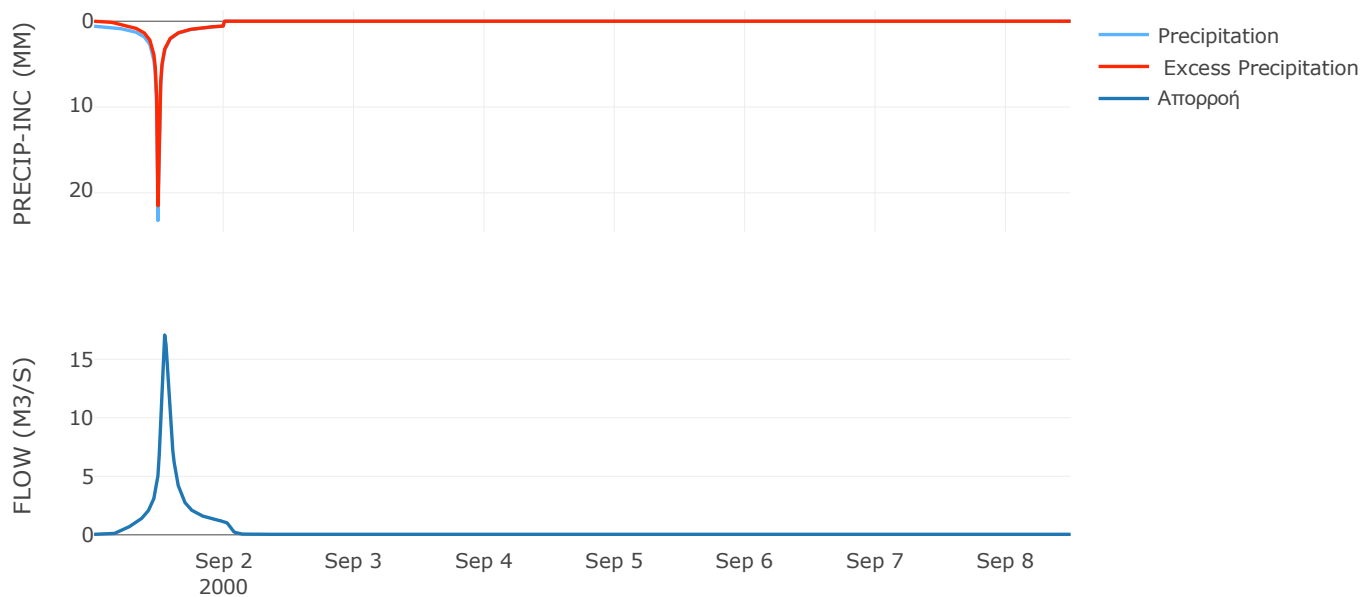
Μέθοδος
Μετασχηματισμού: SCS

Χρόνος Υστέρησης	59.22
------------------	-------

Αποτελέσματα:
EL0415FL007010

Παροχή αιχμής (M3/S)	17.07
Χρονική στιγμή αιχμής	01Sep2000, 13:00
Όγκος (MM)	164.48
Όγκος βροχόπτωσης (M3)	2.86E5
Όγκος απωλειών (M3)	49657.06
Ενεργός Όγκος (M3)	2.37E5
Όγκος άμεσης απορροής (M3)	2.37E5
Όγκος βασικής απορροής (M3)	29356.99

Βροχόπτωση και Απορροή



Υπολεκάνη: EL0415FL007011

Έκταση (KM2) : 3.11

Κατάνη : J11

Μέθοδος Απωλειών: SCS

Ποσοστό αδιαπέρατης επιφάνειας	0
Αριθμός Καμπύλης Απορροής-CN	83.21
Αρχικές Απώλειες	10.25

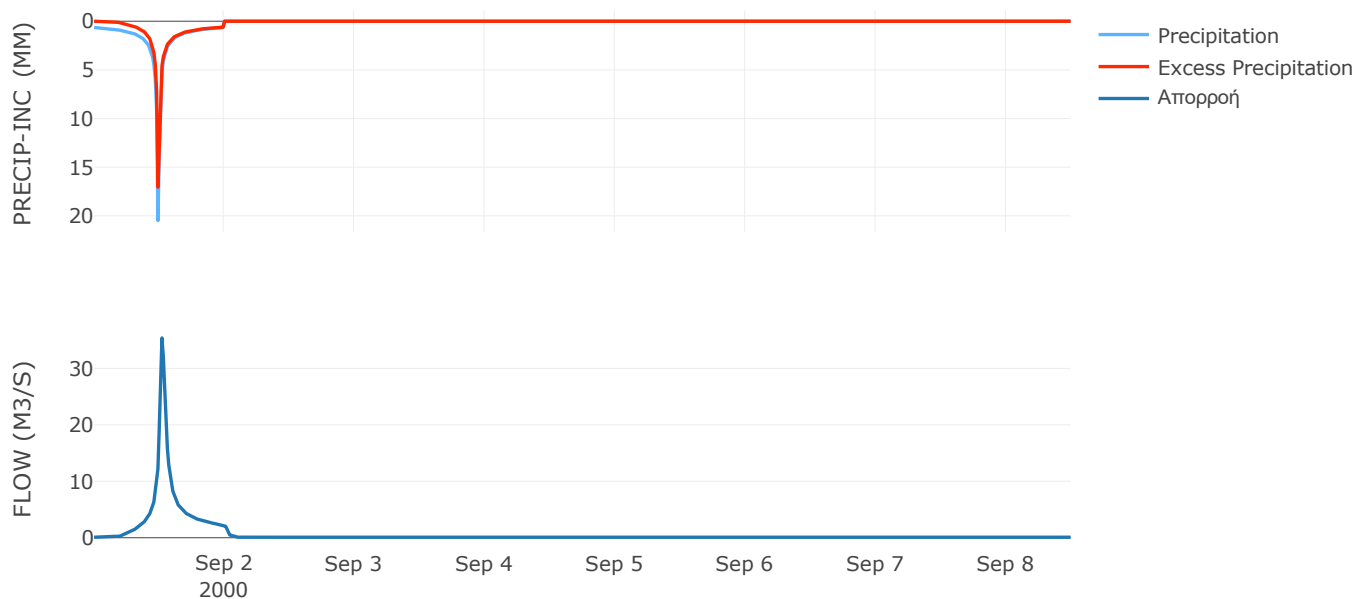
Μέθοδος
Μετασχηματισμού: SCS

Χρόνος Υστέρησης	31.27
------------------	-------

Αποτελέσματα:
EL0415FL007011

Παροχή αιχμής (M3/S)	35.4
Χρονική στιγμή αιχμής	01Sep2000, 12:30
Όγκος (MM)	146.02
Όγκος βροχόπτωσης (M3)	5.51E5
Όγκος απωλειών (M3)	1.54E5
Ενεργός Όγκος (M3)	3.97E5
Όγκος άμεσης απορροής (M3)	3.97E5
Όγκος βασικής απορροής (M3)	56373.41

Βροχόπτωση και Απορροή



Υπολεκάνη: EL0415FL007012

Έκταση (KM2) : 4.8

Κατάντη : J10

Μέθοδος Απωλειών: SCS

Ποσοστό αδιαπέρατης επιφάνειας	0
Αριθμός Καμπύλης Απορροής-CN	86.98
Αρχικές Απώλειες	7.61

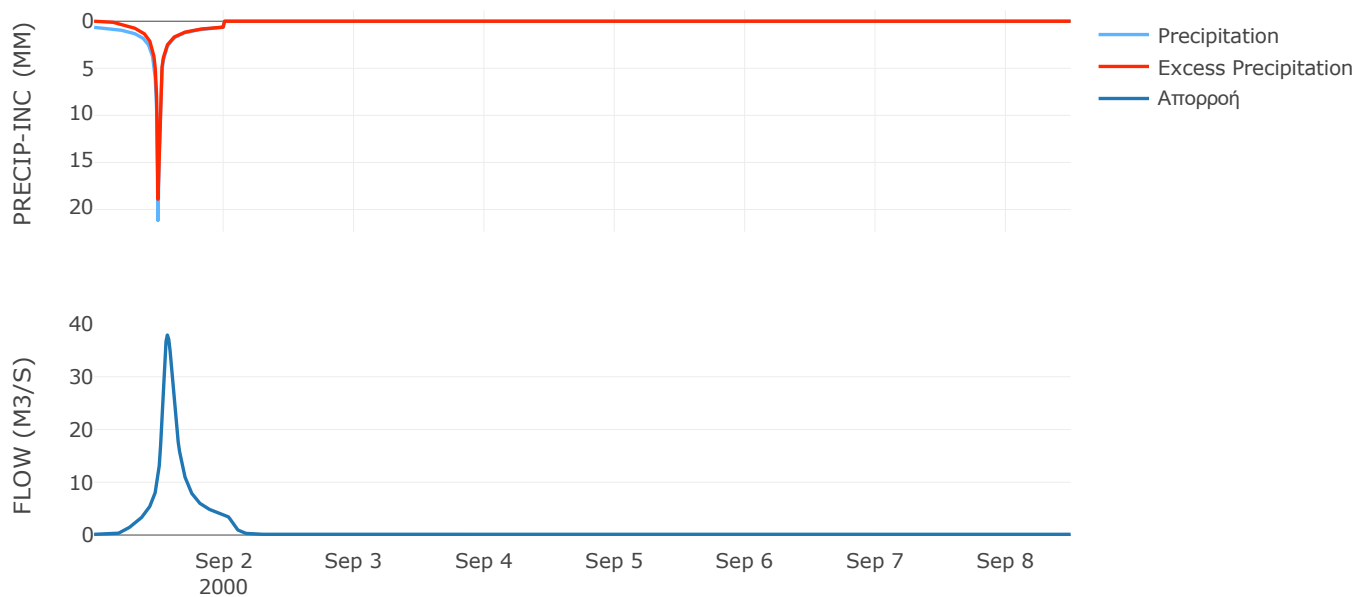
Μέθοδος
Μετασχηματισμού: SCS

Χρόνος Υστέρησης	88.5
------------------	------

Αποτελέσματα:
EL0415FL007012

Παροχή αιχμής (M3/S)	37.91
Χρονική στιγμή αιχμής	01Sep2000, 13:30
Όγκος (MM)	160.29
Όγκος βροχόπτωσης (M3)	8.68E5
Όγκος απωλειών (M3)	1.86E5
Ενεργός Όγκος (M3)	6.82E5
Όγκος άμεσης απορροής (M3)	6.82E5
Όγκος βασικής απορροής (M3)	87091.2

Βροχόπτωση και Απορροή



Υπολεκάνη: EL0415FL007013

Έκταση (KM2) : 1.31

Κατάντη : J15

Μέθοδος Απωλειών: SCS

Ποσοστό αδιαπέρατης επιφάνειας	0
Αριθμός Καμπύλης Απορροής-CN	89.75
Αρχικές Απώλειες	5.8

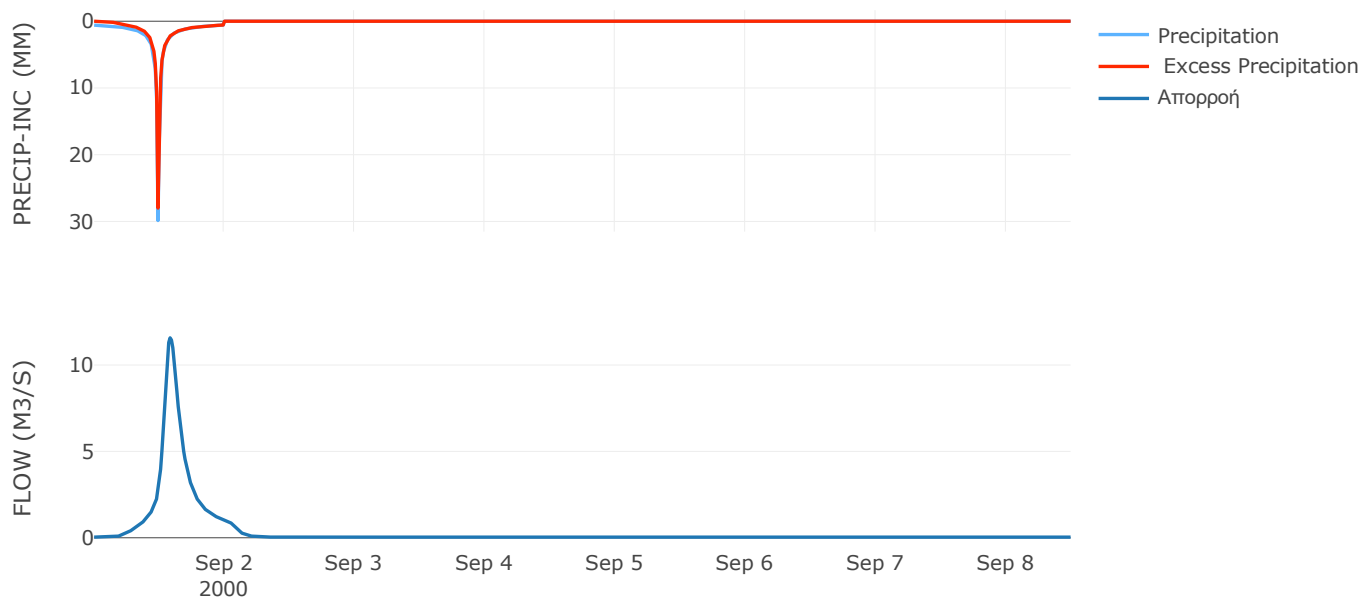
Μέθοδος
Μετασχηματισμού: SCS

Χρόνος Υστέρησης	120.01
------------------	--------

Αποτελέσματα:
EL0415FL007013

Παροχή αιχμής (M3/S)	11.58
Χρονική στιγμή αιχμής	01Sep2000, 14:00
Όγκος (MM)	185.88
Όγκος βροχόπτωσης (M3)	2.61E5
Όγκος απωλειών (M3)	40776.59
Ενεργός Όγκος (M3)	2.2E5
Όγκος άμεσης απορροής (M3)	2.2E5
Όγκος βασικής απορροής (M3)	23841.22

Βροχόπτωση και Απορροή



Υπολεκάνη: EL0415FL007014

Έκταση (KM2) : 3.5

Κατάνη : J15

Μέθοδος Απωλειών: SCS

Ποσοστό αδιαπέρατης επιφάνειας	0
Αριθμός Καμπύλης Απορροής-CN	88.2
Αρχικές Απώλειες	6.8

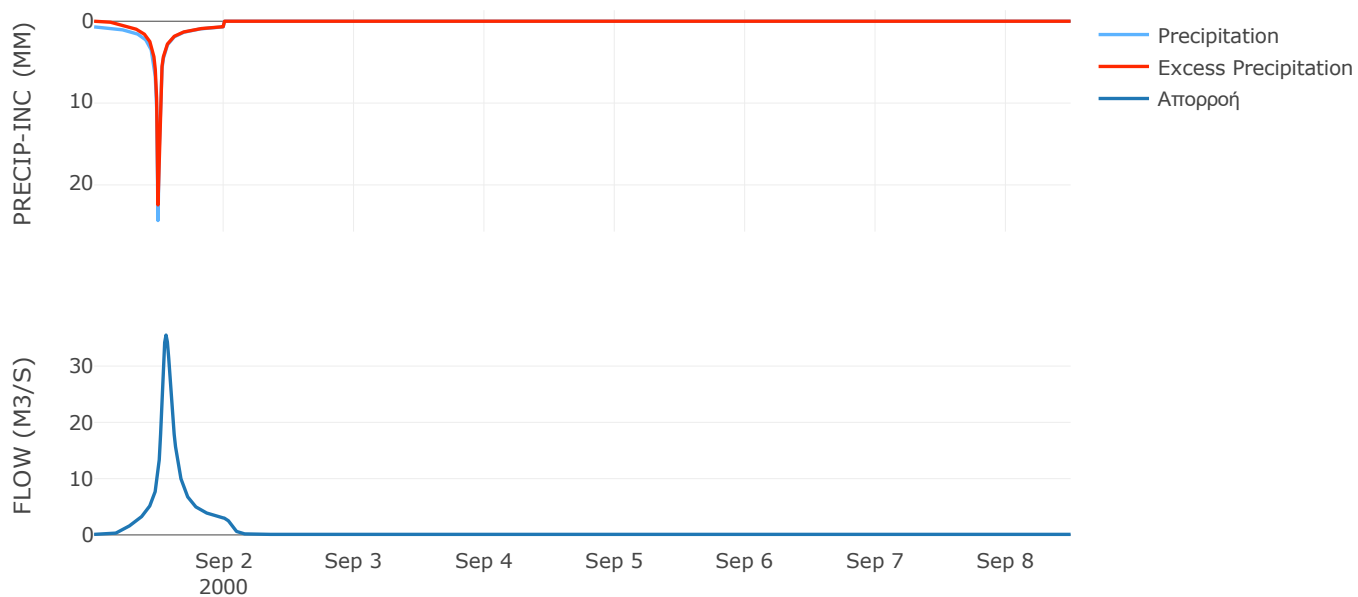
Μέθοδος
Μετασχηματισμού: SCS

Χρόνος Υστέρησης	73.61
------------------	-------

Αποτελέσματα:
EL0415FL007014

Παροχή αιχμής (M3/S)	35.51
Χρονική στιγμή αιχμής	01Sep2000, 13:15
Όγκος (MM)	181.62
Όγκος βροχόπτωσης (M3)	6.98E5
Όγκος απωλειών (M3)	1.25E5
Ενεργός Όγκος (M3)	5.73E5
Όγκος άμεσης απορροής (M3)	5.73E5
Όγκος βασικής απορροής (M3)	63558.43

Βροχόπτωση και Απορροή



Υπολεκάνη: EL0415FL007015

Έκταση (KM2) : 0.6

Κατάντη : J20

Μέθοδος Απωλειών: SCS

Ποσοστό αδιαπέρατης επιφάνειας	0
Αριθμός Καμπύλης Απορροής-CN	90.73
Αρχικές Απώλειες	5.19

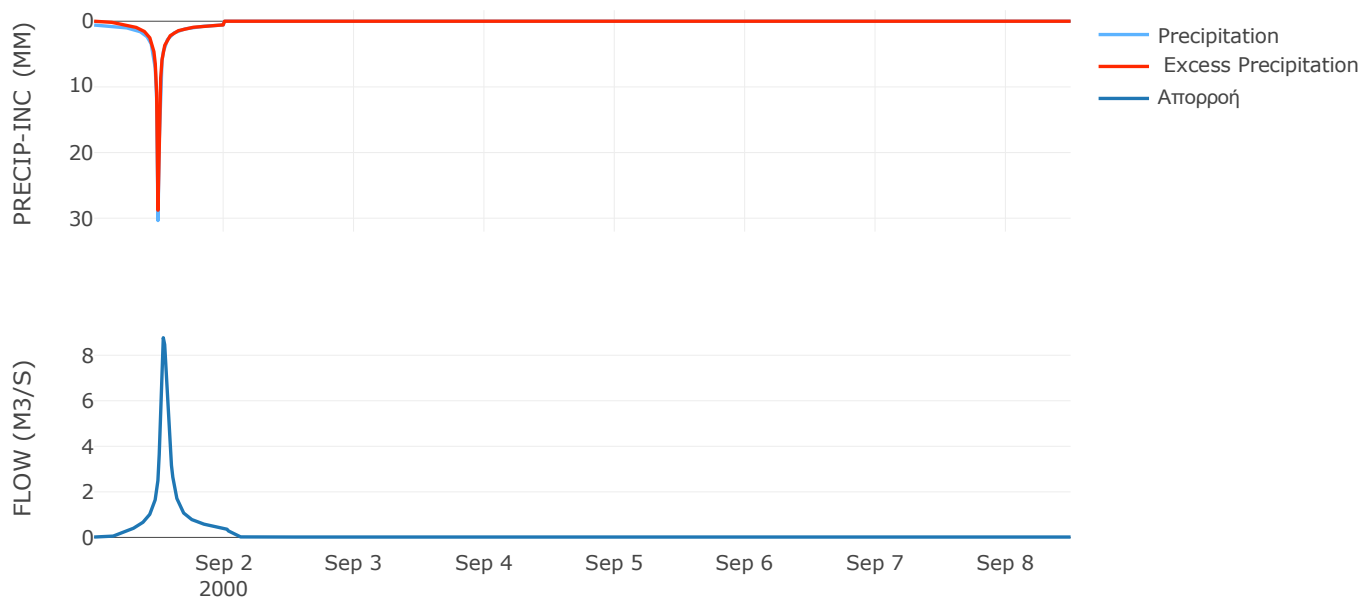
Μέθοδος
Μετασχηματισμού: SCS

Χρόνος Υστέρησης	49.43
------------------	-------

Αποτελέσματα:
EL0415FL007015

Παροχή αιχμής (M3/S)	8.77
Χρονική στιγμή αιχμής	01Sep2000, 12:45
Όγκος (MM)	189.9
Όγκος βροχόπτωσης (M3)	1.2E5
Όγκος απωλειών (M3)	16822.32
Ενεργός Όγκος (M3)	1.03E5
Όγκος άμεσης απορροής (M3)	1.03E5
Όγκος βασικής απορροής (M3)	10868.26

Βροχόπτωση και Απορροή



Υπολεκάνη: EL0415FL007016

Έκταση (KM2) : 0.07

Κατάντη : J14

Μέθοδος Απωλειών: SCS

Ποσοστό αδιαπέρατης επιφάνειας	0
Αριθμός Καμπύλης Απορροής-CN	89.08
Αρχικές Απώλειες	6.23

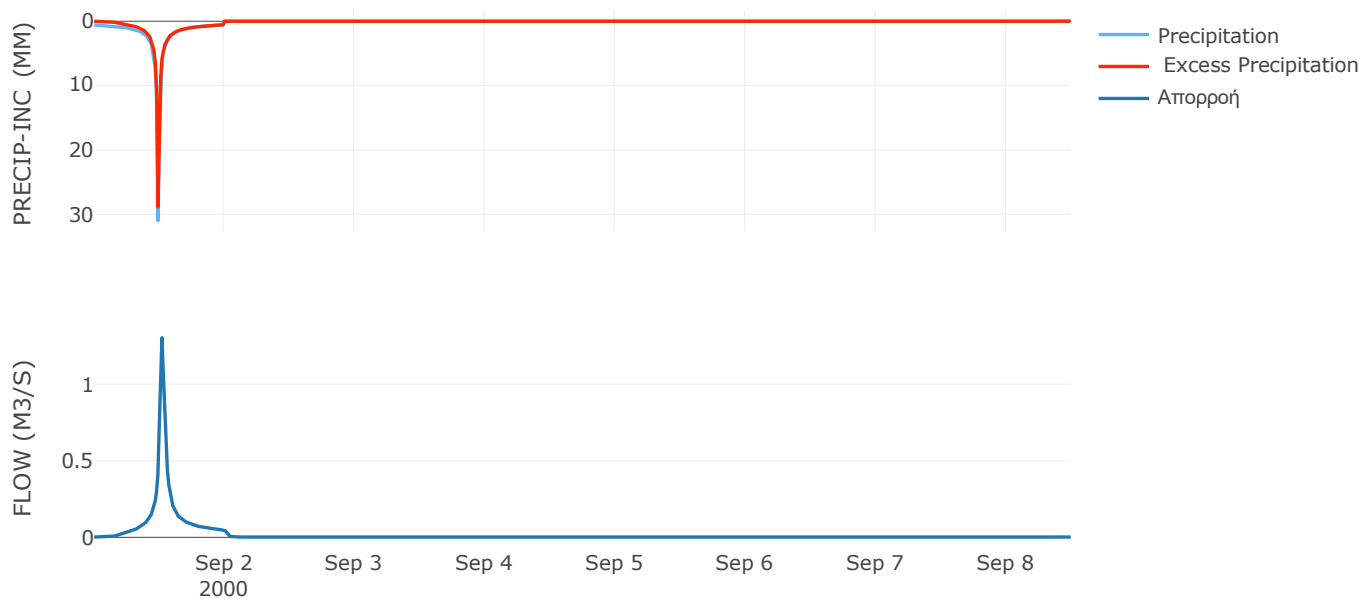
Μέθοδος
Μετασχηματισμού: SCS

Χρόνος Υστέρησης	28.26
------------------	-------

Αποτελέσματα:
EL0415FL007016

Παροχή αιχμής (M3/S)	1.3
Χρονική στιγμή αιχμής	01Sep2000, 12:30
Όγκος (MM)	186.16
Όγκος βροχόπτωσης (M3)	14077.27
Όγκος απωλειών (M3)	2315.98
Ενεργός Όγκος (M3)	11761.3
Όγκος άμεσης απορροής (M3)	11761.3
Όγκος βασικής απορροής (M3)	1270.08

Βροχόπτωση και Απορροή



Υπολεκάνη: EL0415FL007017

Έκταση (KM2) : 0.12

Κατάντη : J13

Μέθοδος Απωλειών: SCS

Ποσοστό αδιαπέρατης επιφάνειας	0
Αριθμός Καμπύλης Απορροής-CN	88.8
Αρχικές Απώλειες	6.41

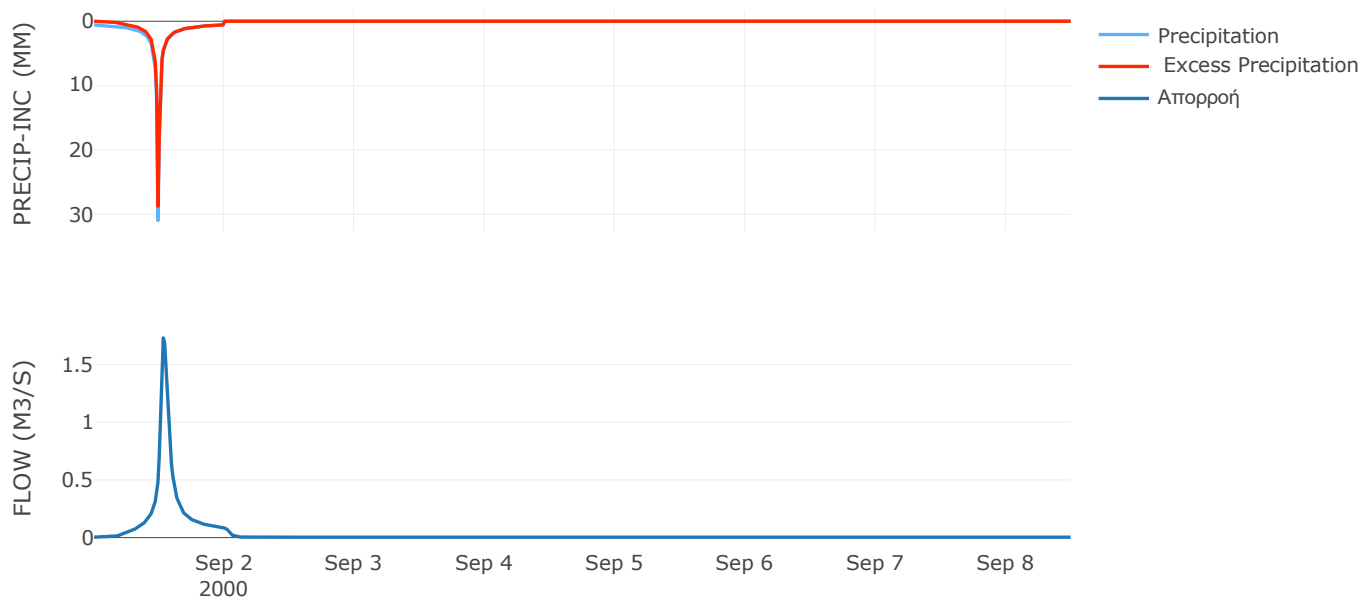
Μέθοδος
Μετασχηματισμού: SCS

Χρόνος Υστέρησης	50.01
------------------	-------

Αποτελέσματα:
EL0415FL007017

Παροχή αιχμής (M3/S)	1.73
Χρονική στιγμή αιχμής	01Sep2000, 12:45
Όγκος (MM)	185.34
Όγκος βροχόπτωσης (M3)	24132.47
Όγκος απωλειών (M3)	4069.01
Ενεργός Όγκος (M3)	20063.45
Όγκος άμεσης απορροής (M3)	20063.45
Όγκος βασικής απορροής (M3)	2177.28

Βροχόπτωση και Απορροή



Υπολεκάνη: EL0415FL007018

Έκταση (KM2) : 6.09

Κατάντη : J7

Μέθοδος Απωλειών: SCS

Ποσοστό αδιαπέρατης επιφάνειας	0
Αριθμός Καμπύλης Απορροής-CN	81.8
Αρχικές Απώλειες	11.3

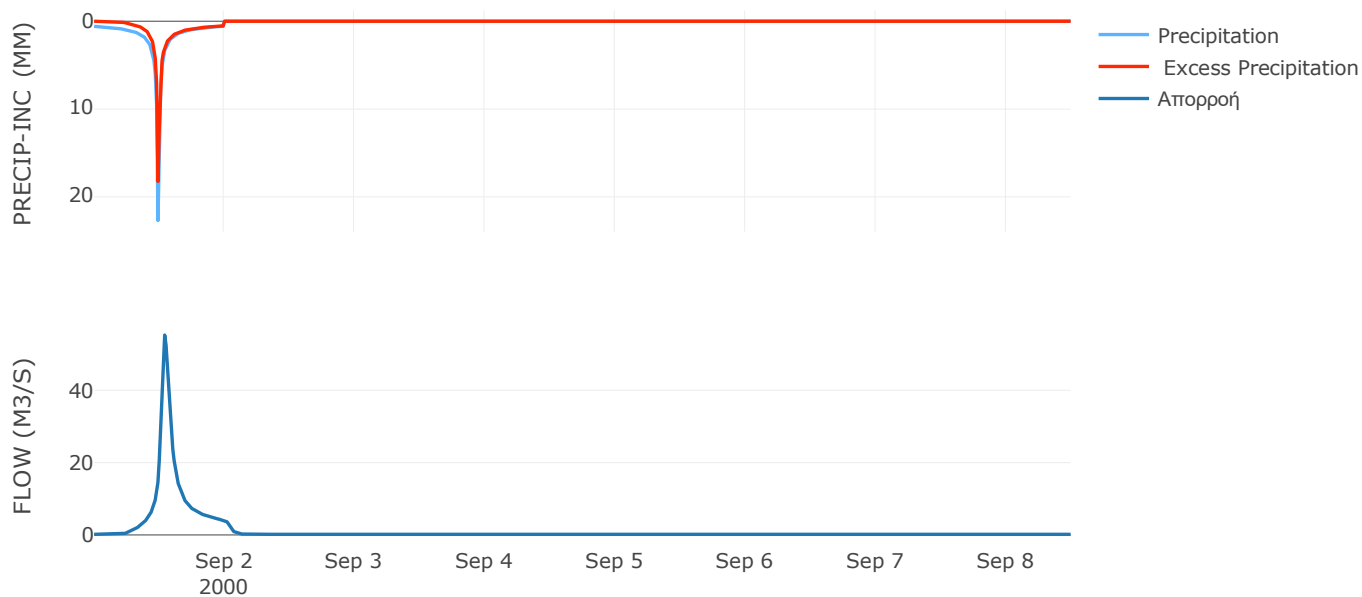
Μέθοδος
Μετασχηματισμού: SCS

Χρόνος Υστέρησης	57.67
------------------	-------

Αποτελέσματα:
EL0415FL007018

Παροχή αιχμής (M3/S)	55.28
Χρονική στιγμή αιχμής	01Sep2000, 13:00
Όγκος (MM)	139.38
Όγκος βροχόπτωσης (M3)	1.06E6
Όγκος απωλειών (M3)	3.25E5
Ενεργός Όγκος (M3)	7.38E5
Όγκος άμεσης απορροής (M3)	7.38E5
Όγκος βασικής απορροής (M3)	1.11E5

Βροχόπτωση και Απορροή



Υπολεκάνη: EL0415FL007020

Έκταση (KM2) : 6.38

Κατάντη : J6

Μέθοδος Απωλειών: SCS

Ποσοστό αδιαπέρατης επιφάνειας	0
Αριθμός Καμπύλης Απορροής-CN	74.42
Αρχικές Απώλειες	17.47

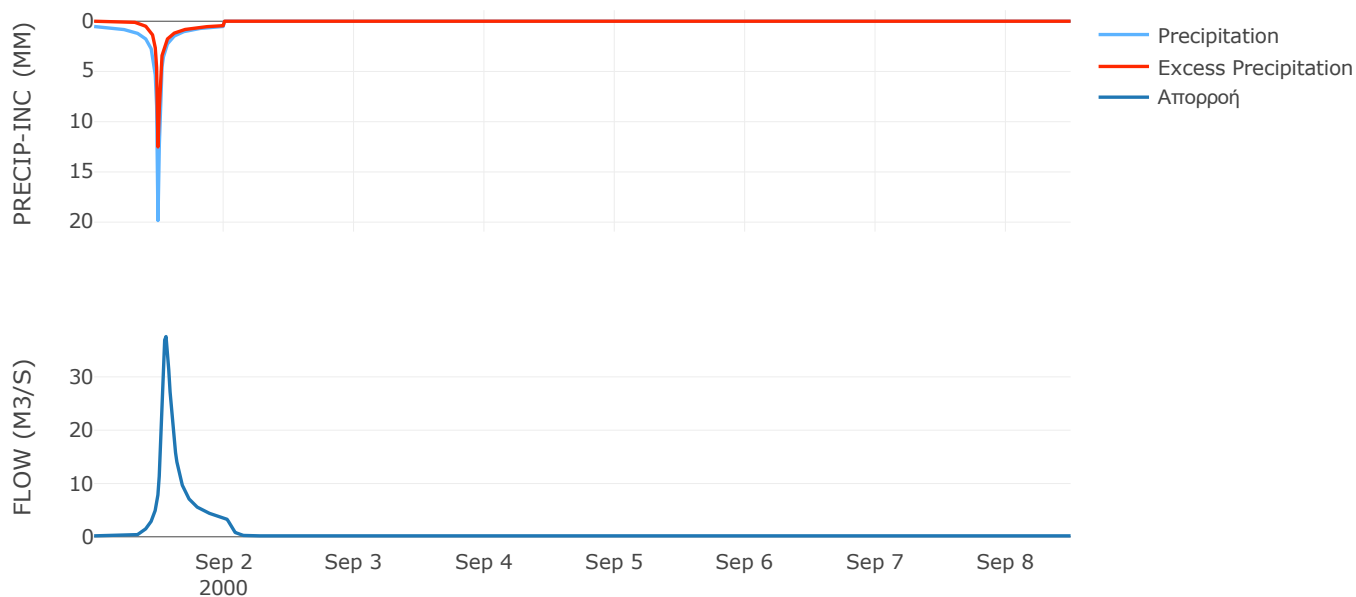
Μέθοδος
Μετασχηματισμού: SCS

Χρόνος Υστέρησης	65.33
------------------	-------

Αποτελέσματα:
EL0415FL007020

Παροχή αιχμής (M3/S)	37.57
Χρονική στιγμή αιχμής	01Sep2000, 13:15
Όγκος (MM)	103.17
Όγκος βροχόπτωσης (M3)	9.95E5
Όγκος απωλειών (M3)	4.53E5
Ενεργός Όγκος (M3)	5.42E5
Όγκος άμεσης απορροής (M3)	5.42E5
Όγκος βασικής απορροής (M3)	1.16E5

Βροχόπτωση και Απορροή



Υπολεκάνη: EL0415FL007021

Έκταση (KM2) : 6.96

Κατάντη : J9

Μέθοδος Απωλειών: SCS

Ποσοστό αδιαπέρατης επιφάνειας	0
Αριθμός Καμπύλης Απορροής-CN	80.92
Αρχικές Απώλειες	11.98

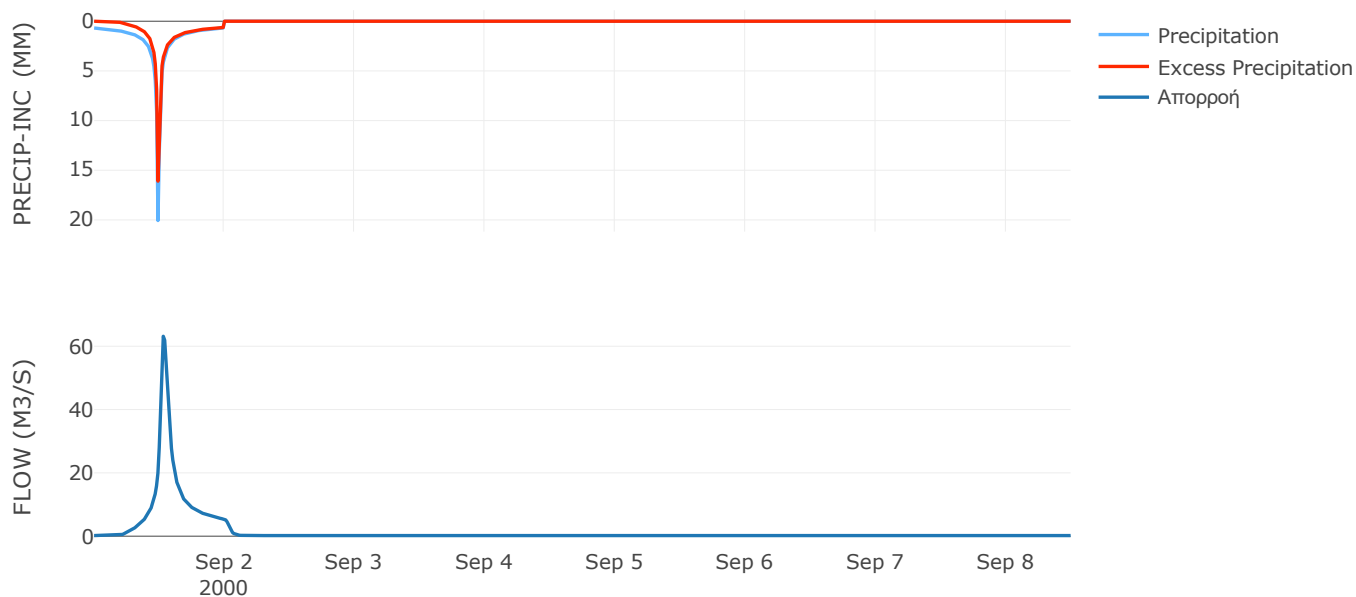
Μέθοδος
Μετασχηματισμού: SCS

Χρόνος Υστέρησης	48.74
------------------	-------

Αποτελέσματα:
EL0415FL007021

Παροχή αιχμής (M3/S)	63.15
Χρονική στιγμή αιχμής	01Sep2000, 12:45
Όγκος (MM)	144.3
Όγκος βροχόπτωσης (M3)	1.27E6
Όγκος απωλειών (M3)	3.92E5
Ενεργός Όγκος (M3)	8.78E5
Όγκος άμεσης απορροής (M3)	8.78E5
Όγκος βασικής απορροής (M3)	1.26E5

Βροχόπτωση και Απορροή



Υπολεκάνη: EL0415FL007022

Έκταση (KM2) : 4.73

Κατάντη : J8

Μέθοδος Απωλειών: SCS

Ποσοστό αδιαπέρατης επιφάνειας	0
Αριθμός Καμπύλης Απορροής-CN	83.69
Αρχικές Απώλειες	9.9

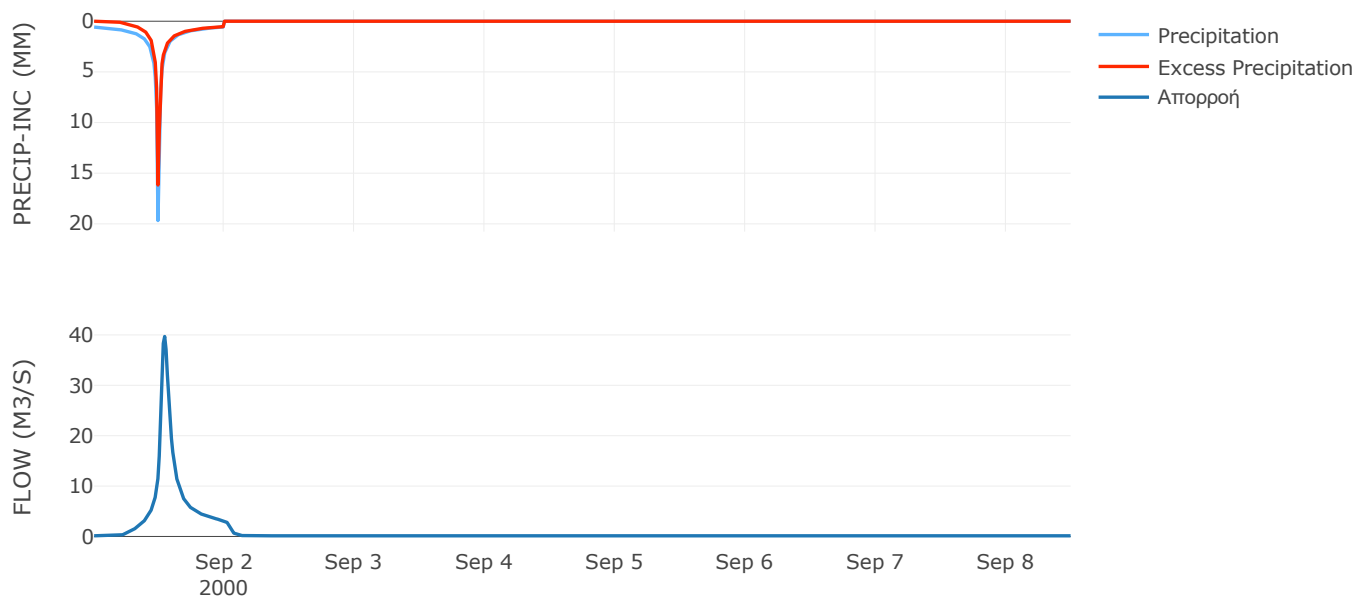
Μέθοδος
Μετασχηματισμού: SCS

Χρόνος Υστέρησης	55.47
------------------	-------

Αποτελέσματα:
EL0415FL007022

Παροχή αιχμής (M3/S)	39.69
Χρονική στιγμή αιχμής	01Sep2000, 13:00
Όγκος (MM)	134.65
Όγκος βροχόπτωσης (M3)	7.75E5
Όγκος απωλειών (M3)	2.24E5
Ενεργός Όγκος (M3)	5.51E5
Όγκος άμεσης απορροής (M3)	5.51E5
Όγκος βασικής απορροής (M3)	85801.68

Βροχόπτωση και Απορροή



Υπολεκάνη: EL0415FL007023

Έκταση (KM2) : 1.36

Κατάντη : J3

Μέθοδος Απωλειών: SCS

Ποσοστό αδιαπέρατης επιφάνειας	0
Αριθμός Καμπύλης Απορροής-CN	90.06
Αρχικές Απώλειες	5.61

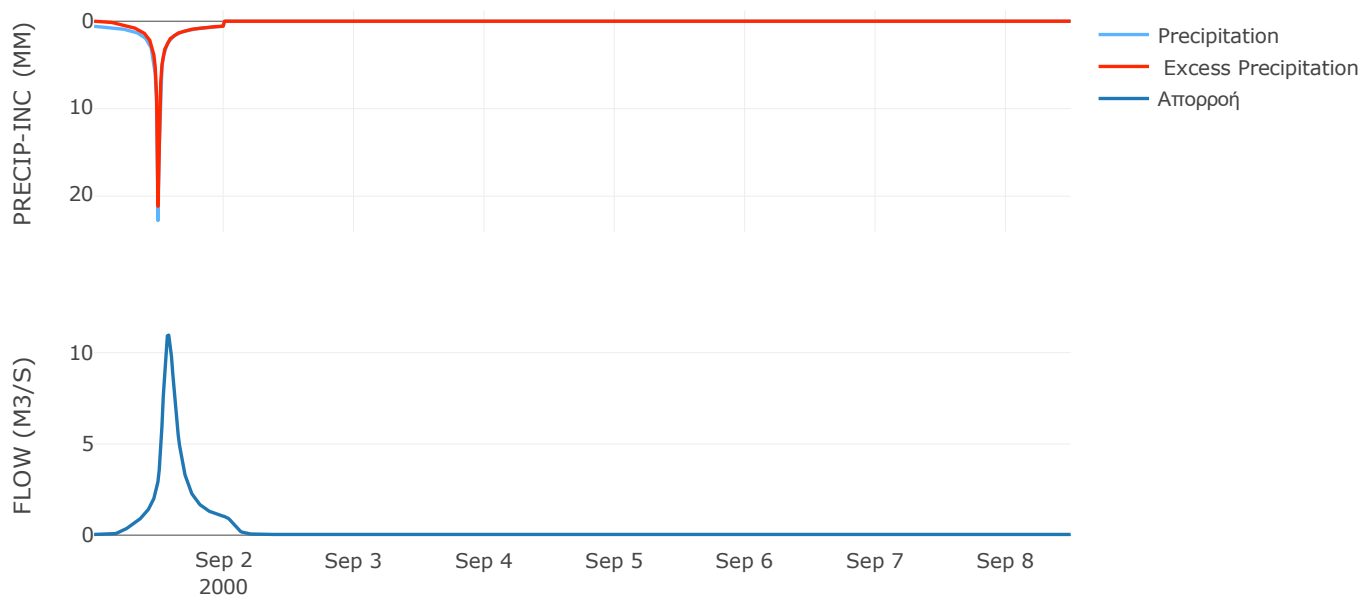
Μέθοδος
Μετασχηματισμού: SCS

Χρόνος Υστέρησης	96.45
------------------	-------

Αποτελέσματα:
EL0415FL007023

Παροχή αιχμής (M3/S)	10.96
Χρονική στιγμή αιχμής	01Sep2000, 13:45
Όγκος (MM)	163.54
Όγκος βροχόπτωσης (M3)	2.39E5
Όγκος απωλειών (M3)	40455.6
Ενεργός Όγκος (M3)	1.98E5
Όγκος άμεσης απορροής (M3)	1.98E5
Όγκος βασικής απορροής (M3)	24748.42

Βροχόπτωση και Απορροή



Υπολεκάνη: EL0415FL007024

Έκταση (KM2) : 0.88

Κατάνη : J7

Μέθοδος Απωλειών: SCS

Ποσοστό αδιαπέρατης επιφάνειας	0
Αριθμός Καμπύλης Απορροής-CN	89.56
Αρχικές Απώλειες	5.92

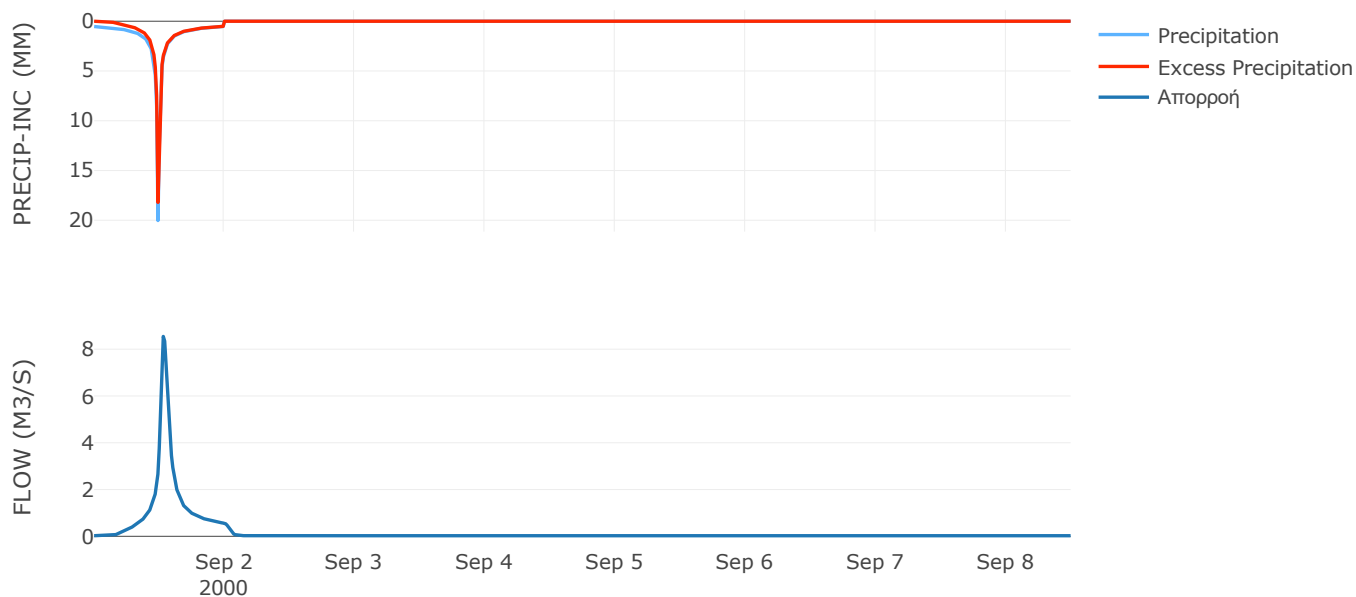
Μέθοδος
Μετασχηματισμού: SCS

Χρόνος Υστέρησης	49.7
------------------	------

Αποτελέσματα:
EL0415FL007024

Παροχή αιχμής (M3/S)	8.55
Χρονική στιγμή αιχμής	01Sep2000, 12:45
Όγκος (MM)	145.14
Όγκος βροχόπτωσης (M3)	1.38E5
Όγκος απωλειών (M3)	26938.16
Ενεργός Όγκος (M3)	1.12E5
Όγκος άμεσης απορροής (M3)	1.12E5
Όγκος βασικής απορροής (M3)	15930.43

Βροχόπτωση και Απορροή



Υπολεκάνη: EL0415FL007025

Έκταση (KM2) : 3.8

Κατάντη : J5

Μέθοδος Απωλειών: SCS

Ποσοστό αδιαπέρατης επιφάνειας	0
Αριθμός Καμπύλης Απορροής-CN	80.99
Αρχικές Απώλειες	11.93

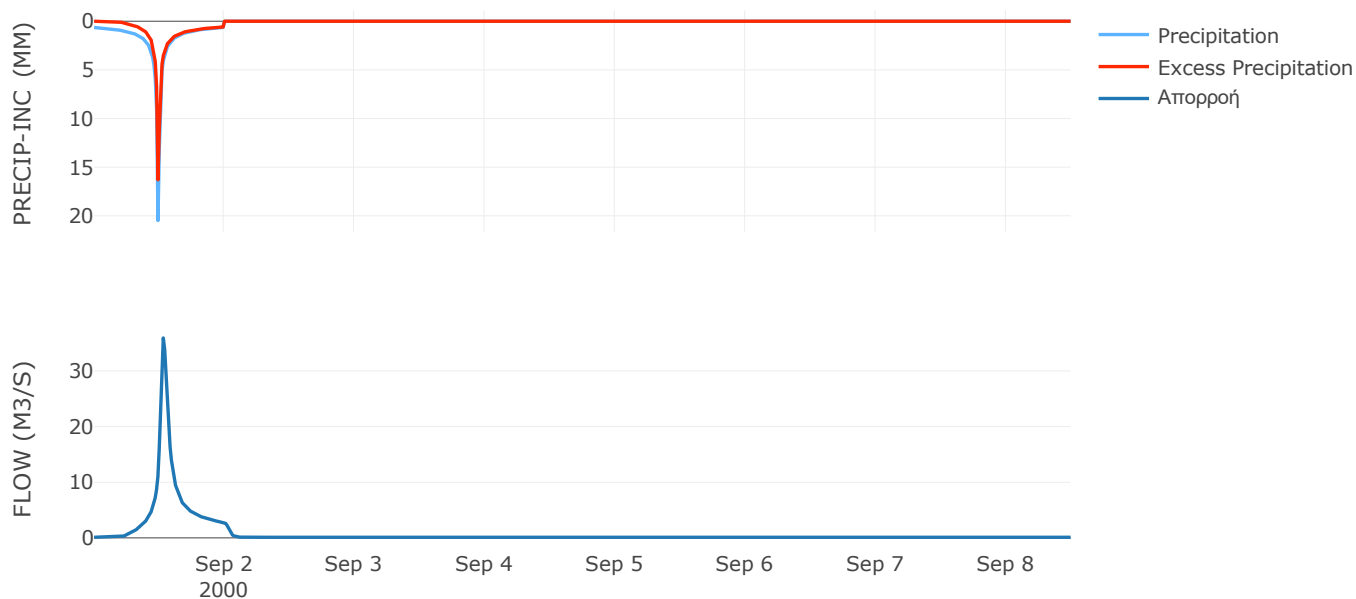
Μέθοδος
Μετασχηματισμού: SCS

Χρόνος Υστέρησης	44.75
------------------	-------

Αποτελέσματα:
EL0415FL007025

Παροχή αιχμής (M3/S)	35.92
Χρονική στιγμή αιχμής	01Sep2000, 12:45
Όγκος (MM)	139.72
Όγκος βροχόπτωσης (M3)	6.74E5
Όγκος απωλειών (M3)	2.12E5
Ενεργός Όγκος (M3)	4.62E5
Όγκος άμεσης απορροής (M3)	4.62E5
Όγκος βασικής απορροής (M3)	68927.76

Βροχόπτωση και Απορροή



Υπολεκάνη: EL0415FL007026

Έκταση (KM2) : 1.93

Κατάντη : J12

Μέθοδος Απωλειών: SCS

Ποσοστό αδιαπέρατης επιφάνειας	0
Αριθμός Καμπύλης Απορροής-CN	63.15
Αρχικές Απώλειες	29.64

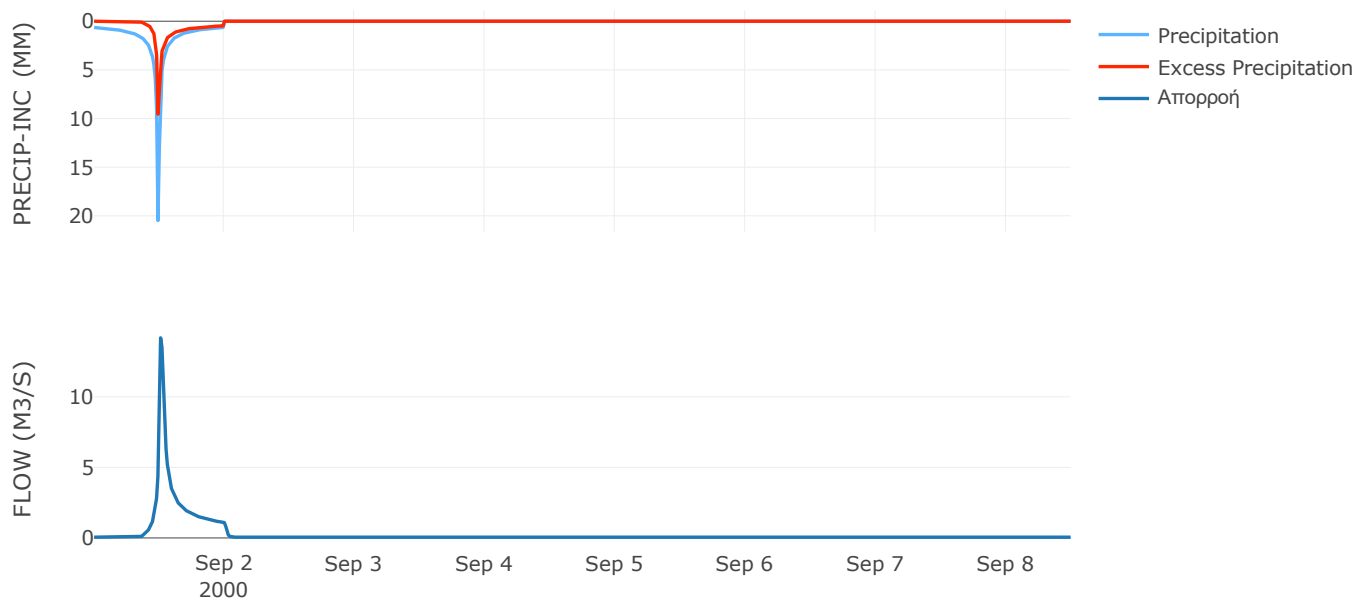
Μέθοδος
Μετασχηματισμού: SCS

Χρόνος Υστέρησης	19.58
------------------	-------

Αποτελέσματα:
EL0415FL007026

Παροχή αιχμής (M3/S)	14.18
Χρονική στιγμή αιχμής	01Sep2000, 12:15
Όγκος (MM)	91.86
Όγκος βροχόπτωσης (M3)	3.42E5
Όγκος απωλειών (M3)	2E5
Ενεργός Όγκος (M3)	1.42E5
Όγκος άμεσης απορροής (M3)	1.42E5
Όγκος βασικής απορροής (M3)	34981.63

Βροχόπτωση και Απορροή



Υπολεκάνη: EL0415FL007027

Έκταση (KM2) : 5.66

Κατάντη : J4

Μέθοδος Απωλειών: SCS

Ποσοστό αδιαπέρατης επιφάνειας	0
Αριθμός Καμπύλης Απορροής-CN	87.7
Αρχικές Απώλειες	7.12

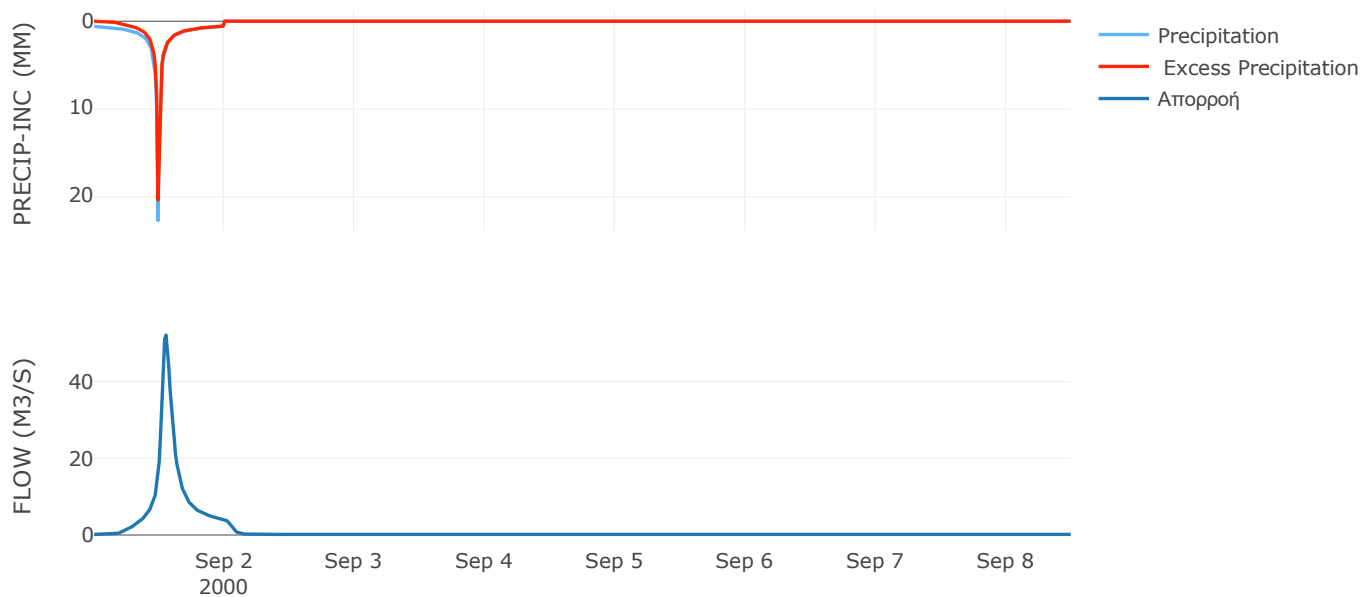
Μέθοδος
Μετασχηματισμού: SCS

Χρόνος Υστέρησης	69.64
------------------	-------

Αποτελέσματα:
EL0415FL007027

Παροχή αιχμής (M3/S)	52.13
Χρονική στιγμή αιχμής	01Sep2000, 13:15
Όγκος (MM)	156.81
Όγκος βροχόπτωσης (M3)	9.91E5
Όγκος απωλειών (M3)	2.07E5
Ενεργός Όγκος (M3)	7.85E5
Όγκος άμεσης απορροής (M3)	7.85E5
Όγκος βασικής απορροής (M3)	1.03E5

Βροχόπτωση και Απορροή



Υπολεκάνη: EL0415FL007028

Έκταση (KM2) : 1.73

Κατάντη : J14

Μέθοδος Απωλειών: SCS

Ποσοστό αδιαπέρατης επιφάνειας	0
Αριθμός Καμπύλης Απορροής-CN	89.23
Αρχικές Απώλειες	6.13

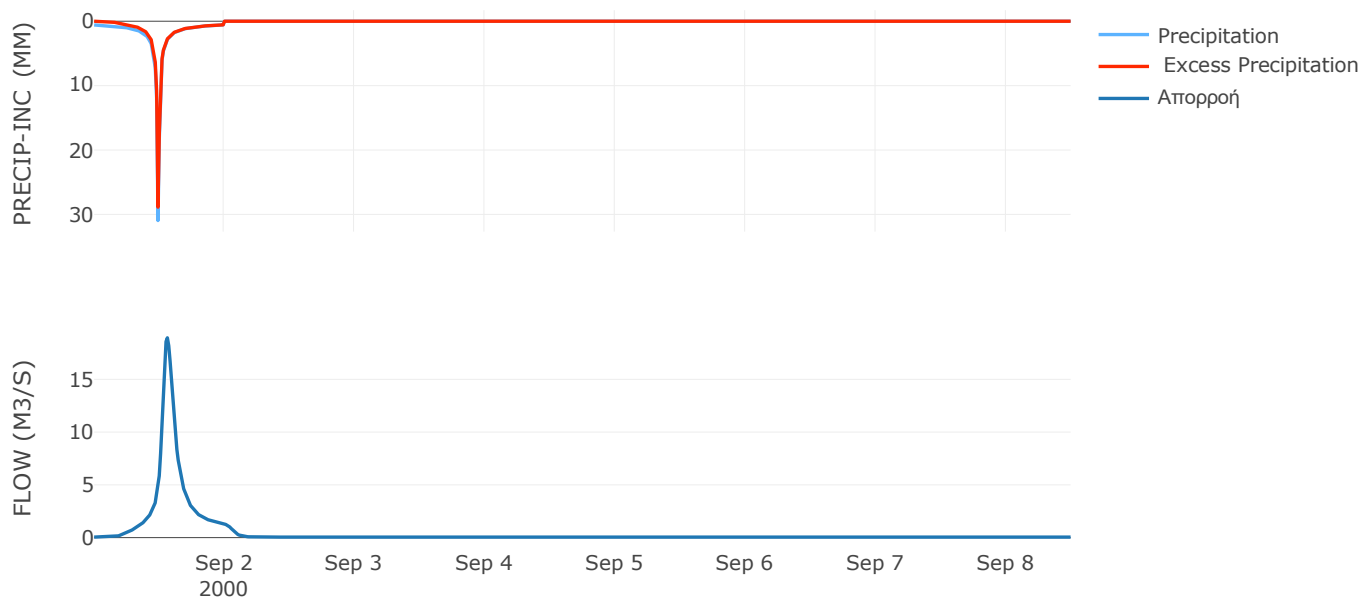
Μέθοδος
Μετασχηματισμού: SCS

Χρόνος Υστέρησης	85.73
------------------	-------

Αποτελέσματα:
EL0415FL007028

Παροχή αιχμής (M3/S)	18.94
Χρονική στιγμή αιχμής	01Sep2000, 13:30
Όγκος (MM)	186.58
Όγκος βροχόπτωσης (M3)	3.48E5
Όγκος απωλειών (M3)	56440.48
Ενεργός Όγκος (M3)	2.91E5
Όγκος άμεσης απορροής (M3)	2.91E5
Όγκος βασικής απορροής (M3)	31389.12

Βροχόπτωση και Απορροή



7.2 Δεδομένα και υδρογραφήματα σχεδιασμού Κλάδων υδρογραφικού δικτύου

Κλάδος: R21

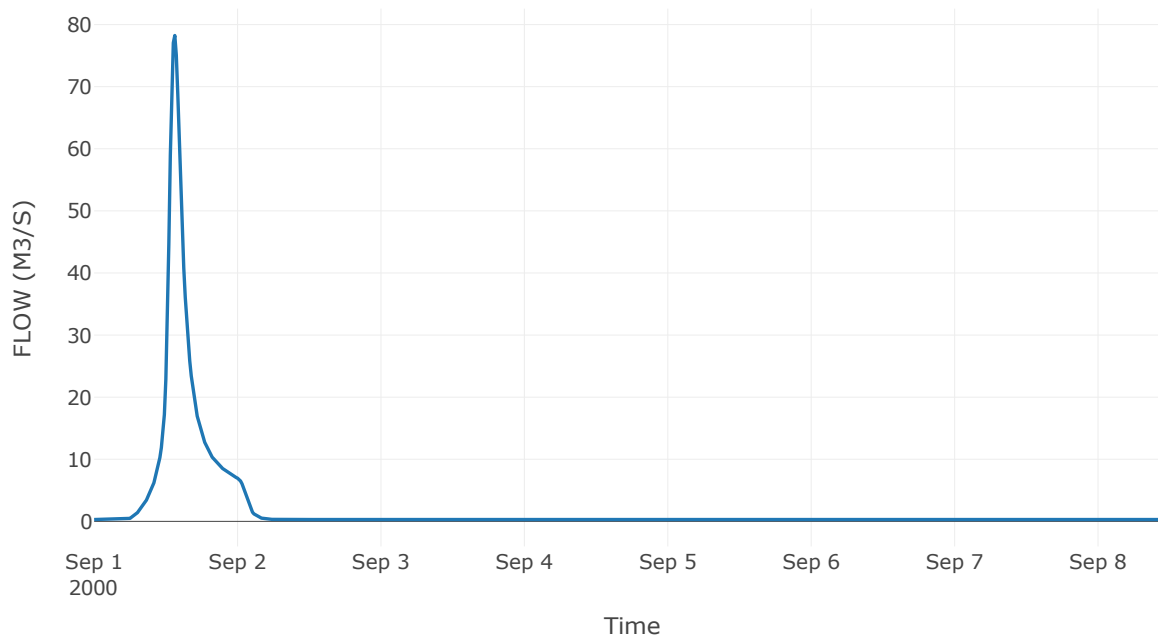
Κατάντη : J1

Μέθοδος Διόδευσης	Χρόνος
Αρχική Μεταβλητή	Combined Inflow
Χρόνος Υστέρησης	0

Αποτελέσματα: R21

Παροχή Αιχμής(M3/S)	78.24
Χρονική στιγμή αιχμής	01Sep2000, 13:30
Όγκος(MM)	134.39
Παροχή Αιχμής Εισόδου (M3/S)	78.24
Όγκος Εισροής(M3)	1.42E6

Απορροή



Κλάδος: R31

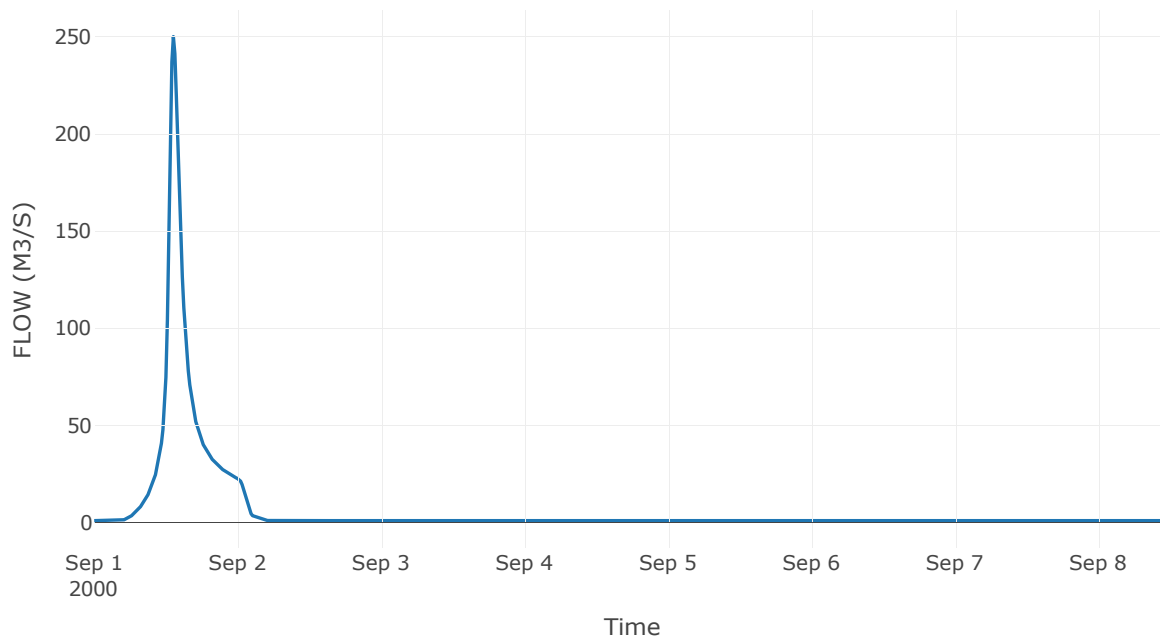
Κατάντη : J1

Μέθοδος Διόδευσης	Χρόνος
Αρχική Μεταβλητή	Combined Inflow
Χρόνος Υστέρησης	0

Αποτελέσματα: R31

Παροχή Αιχμής(M3/S)	250.01
Χρονική στιγμή αιχμής	01Sep2000, 13:15
Όγκος(MM)	129.36
Παροχή Αιχμής Εισόδου (M3/S)	250.01
Όγκος Εισροής(M3)	4.36E6

Απορροή



Κλάδος: R41

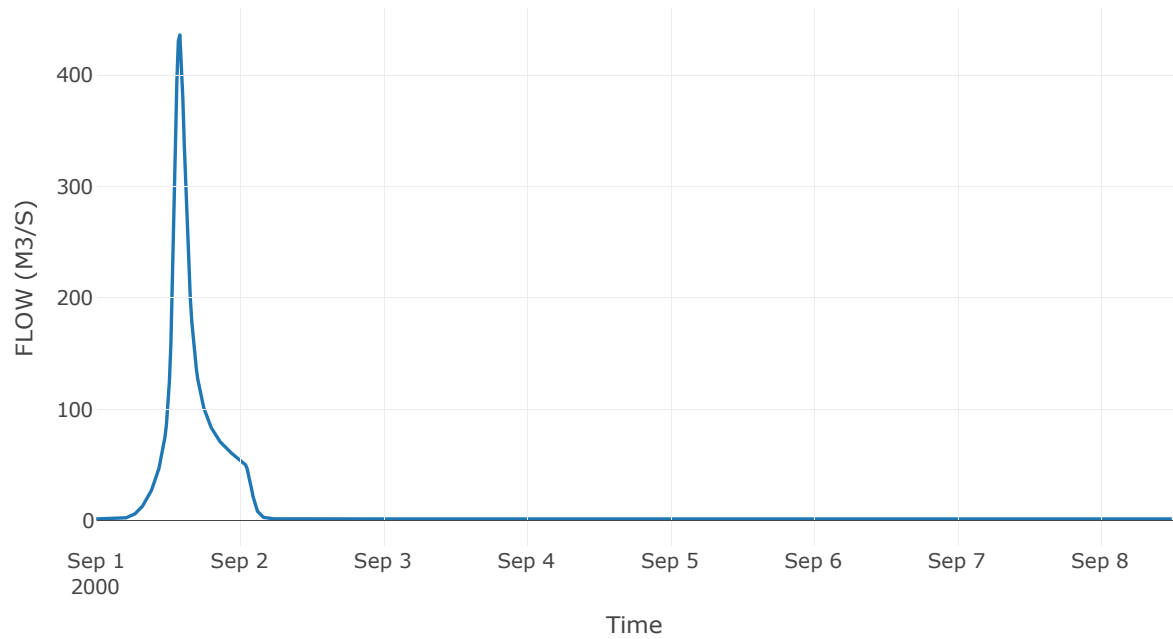
Κατάντη : J1

Μέθοδος Διόδευσης	Χρόνος
Αρχική Μεταβλητή	Combined Inflow
Χρόνος Υστέρησης	0

Αποτελέσματα: R41

Παροχή Αιχμής(M3/S)	436.07
Χρονική στιγμή αιχμής	01Sep2000, 14:00
Όγκος(MM)	136.99
Παροχή Αιχμής Εισόδου (M3/S)	436.07
Όγκος Εισροής(M3)	8.8E6

Απορροή



Κλάδος: R51

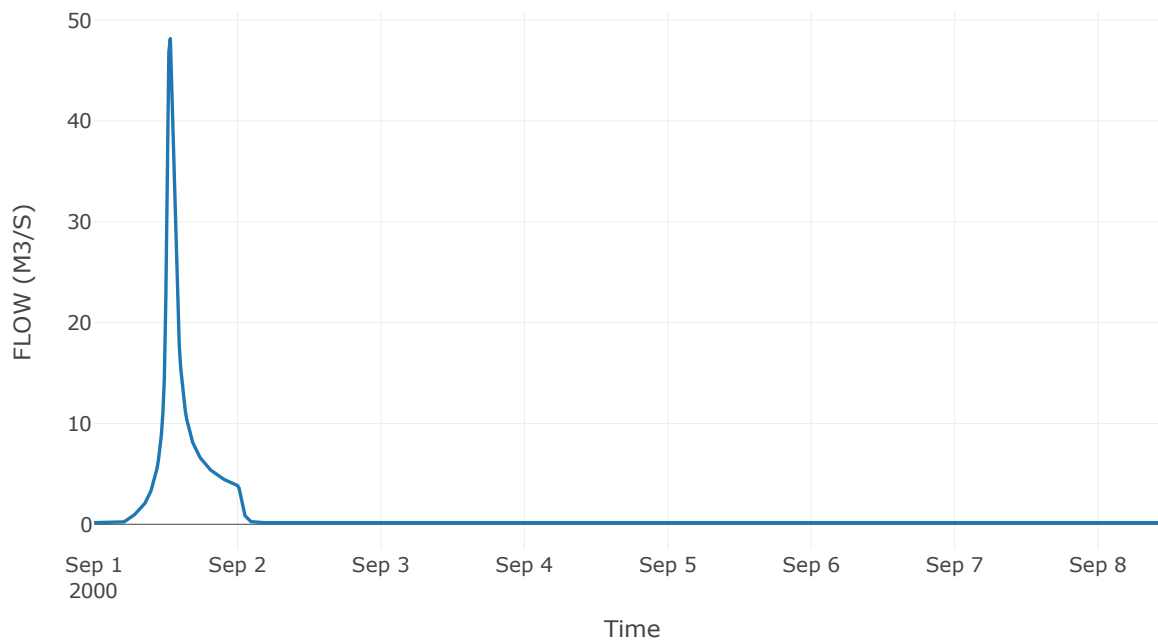
Κατάντη : J1

Μέθοδος Διόδευσης	Χρόνος
Αρχική Μεταβλητή	Combined Inflow
Χρόνος Υστέρησης	0

Αποτελέσματα: R51

Παροχή Αιχμής(M3/S)	48.17
Χρονική στιγμή αιχμής	01Sep2000, 12:45
Όγκος(MM)	123.61
Παροχή Αιχμής Εισόδου (M3/S)	48.17
Όγκος Εισροής(M3)	7.08E5

Απορροή



Κλάδος: R63

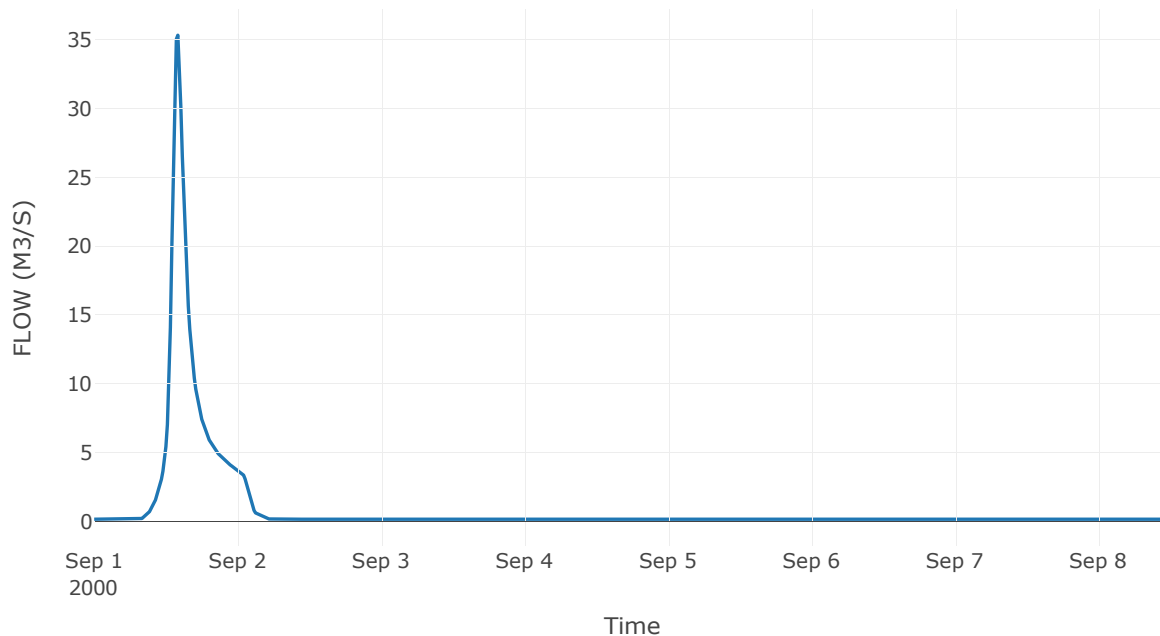
Κατάντη : J3

Μέθοδος Διόδευσης	Muskingum
Αρχική Μεταβλητή	Combined Inflow
Χρόνος Ροής K	0.69
Συντελεστής βάρους x	0.2
Πλήθος Υποκλάδων	3

Αποτελέσματα: R63

Παροχή Αιχμής(M3/S)	35.3
Χρονική στιγμή αιχμής	01Sep2000, 14:00
Όγκος(MM)	103.17
Παροχή Αιχμής Εισόδου (M3/S)	37.57
Όγκος Εισροής(M3)	6.58E5

Απορροή



Κλάδος: R73

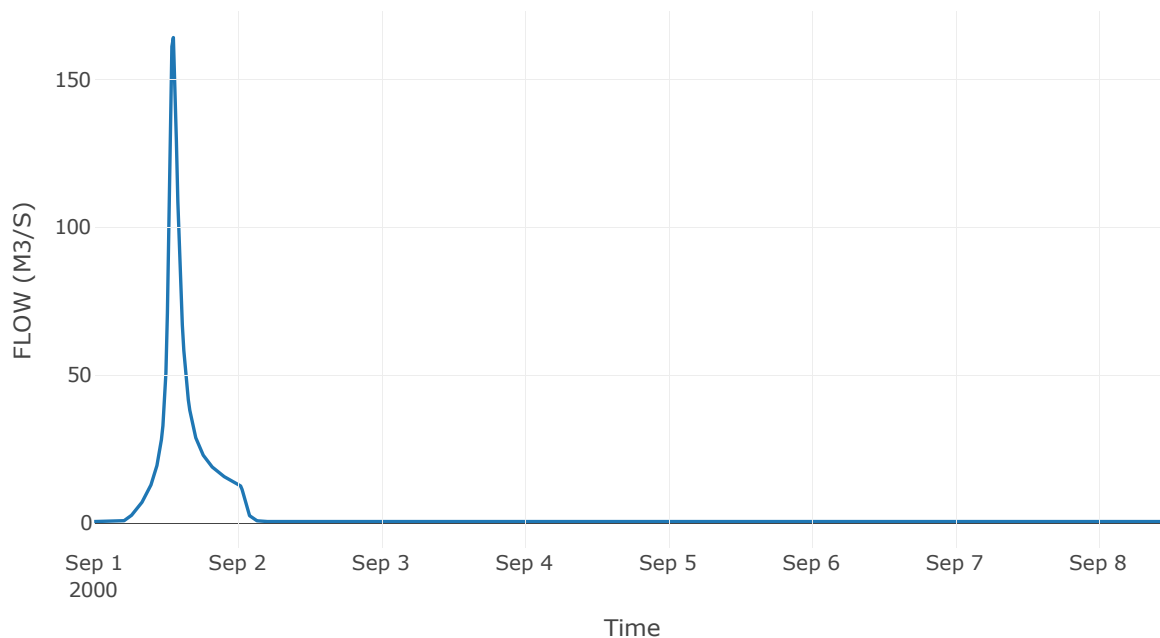
Κατάντη : J3

Μέθοδος Διόδευσης	Muskingum
Αρχική Μεταβλητή	Combined Inflow
Χρόνος Ροής K	0.11
Συντελεστής βάρους x	0.2
Πλήθος Υποκλάδων	3

Αποτελέσματα: R73

Παροχή Αιχμής(M3/S)	164.09
Χρονική στιγμή αιχμής	01Sep2000, 13:15
Όγκος(MM)	140.29
Παροχή Αιχμής Εισόδου (M3/S)	165.11
Όγκος Εισροής(M3)	2.62E6

Απορροή



Κλάδος: R87

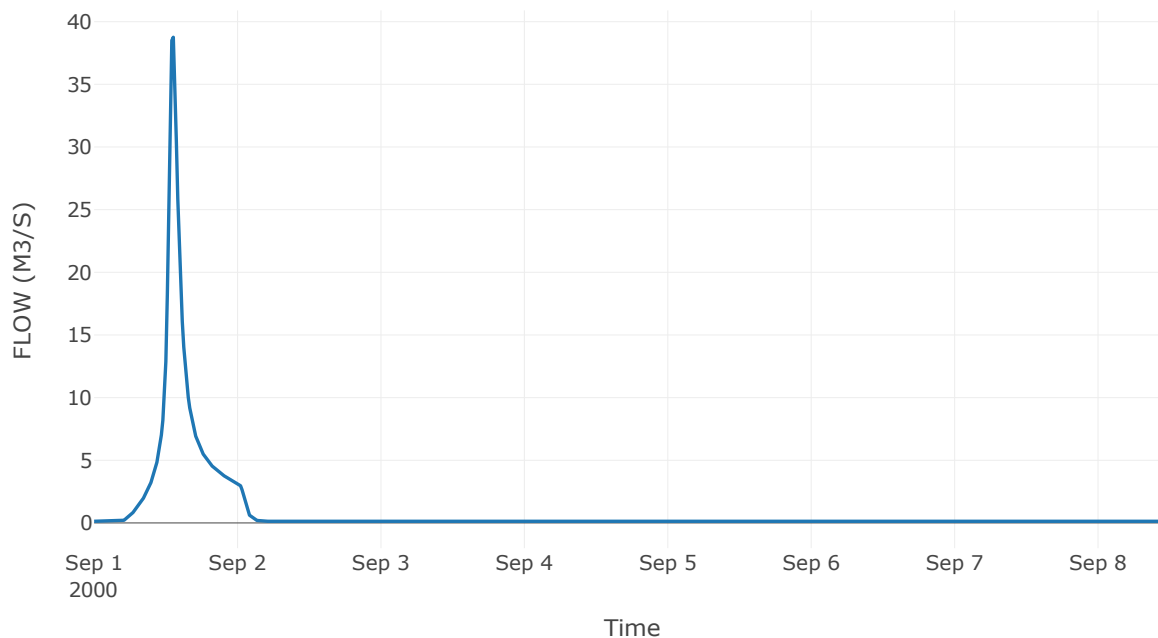
Κατάντη : J7

Μέθοδος Διόδευσης	Muskingum
Αρχική Μεταβλητή	Combined Inflow
Χρόνος Ροής K	0.18
Συντελεστής βάρους x	0.2
Πλήθος Υποκλάδων	1

Αποτελέσματα: R87

Παροχή Αιχμής(M3/S)	38.76
Χρονική στιγμή αιχμής	01Sep2000, 13:15
Όγκος(MM)	134.65
Παροχή Αιχμής Εισόδου (M3/S)	39.69
Όγκος Εισροής(M3)	6.37E5

Απορροή



Κλάδος: R97

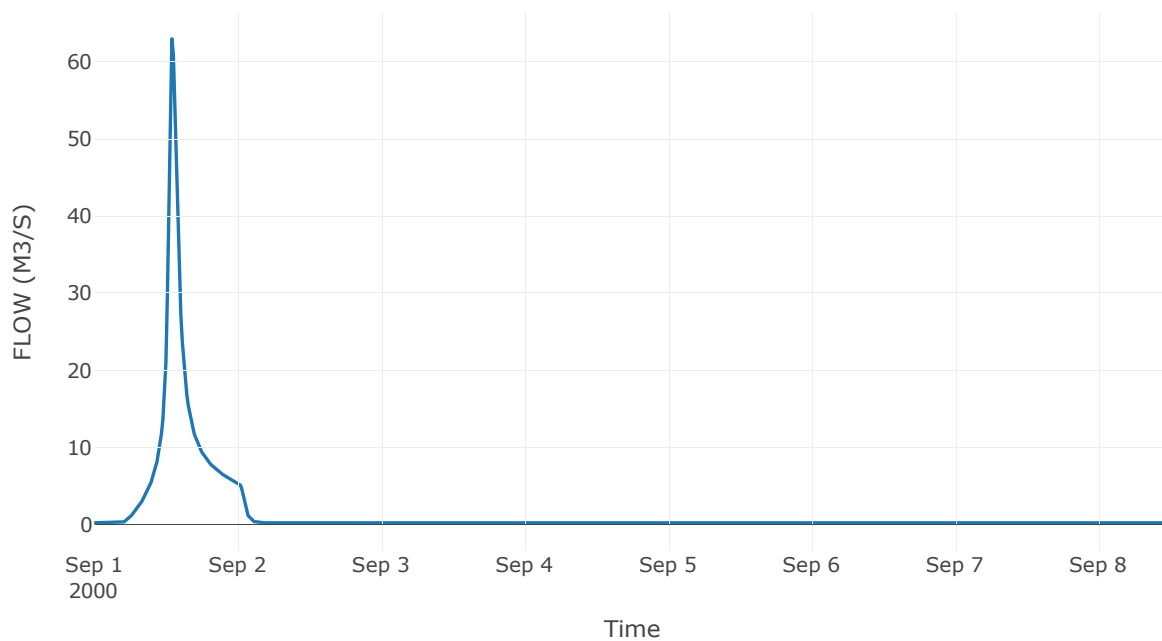
Κατάντη : J7

Μέθοδος Διόδευσης	Χρόνος
Αρχική Μεταβλητή	Combined Inflow
Χρόνος Υστέρησης	13.29

Αποτελέσματα: R97

Παροχή Αιχμής(M3/S)	62.99
Χρονική στιγμή αιχμής	01Sep2000, 13:00
Όγκος(MM)	144.3
Παροχή Αιχμής Εισόδου (M3/S)	63.15
Όγκος Εισροής(M3)	1E6

Απορροή



Κλάδος: R104

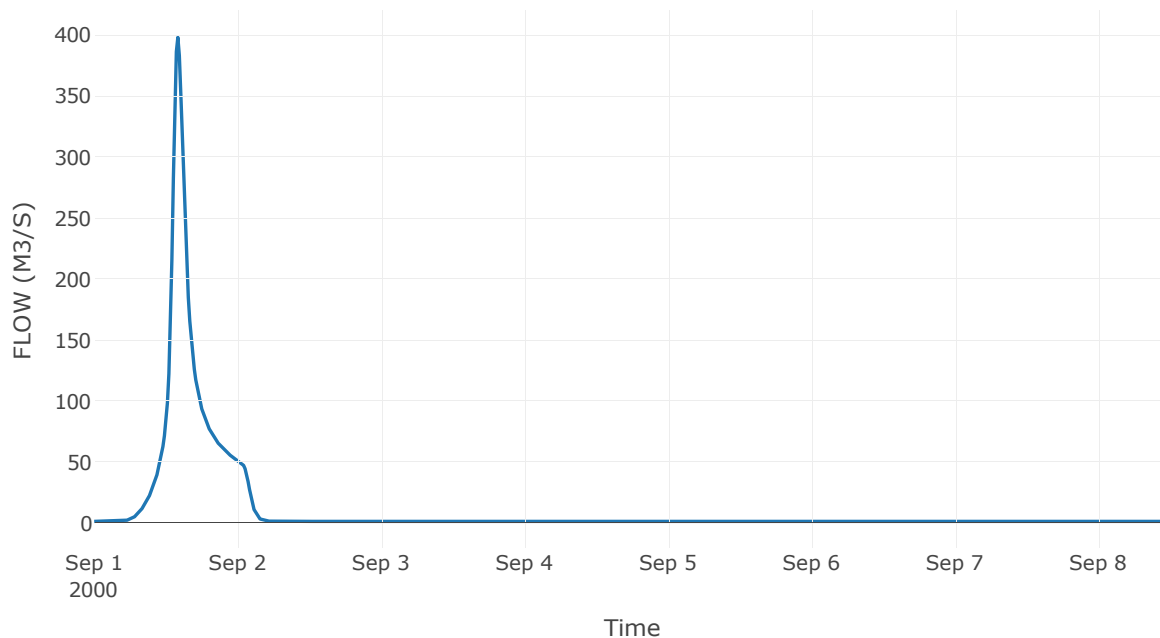
Κατάντη : J4

Μέθοδος Διόδευσης	Muskingum
Αρχική Μεταβλητή	Combined Inflow
Χρόνος Ροής K	0.71
Συντελεστής βάρους x	0.2
Πλήθος Υποκλάδων	3

Αποτελέσματα: R104

Παροχή Αιχμής(M3/S)	398.2
Χρονική στιγμή αιχμής	01Sep2000, 14:00
Όγκος(MM)	135.07
Παροχή Αιχμής Εισόδου (M3/S)	425.19
Όγκος Εισροής(M3)	7.91E6

Απορροή



Κλάδος: R1110

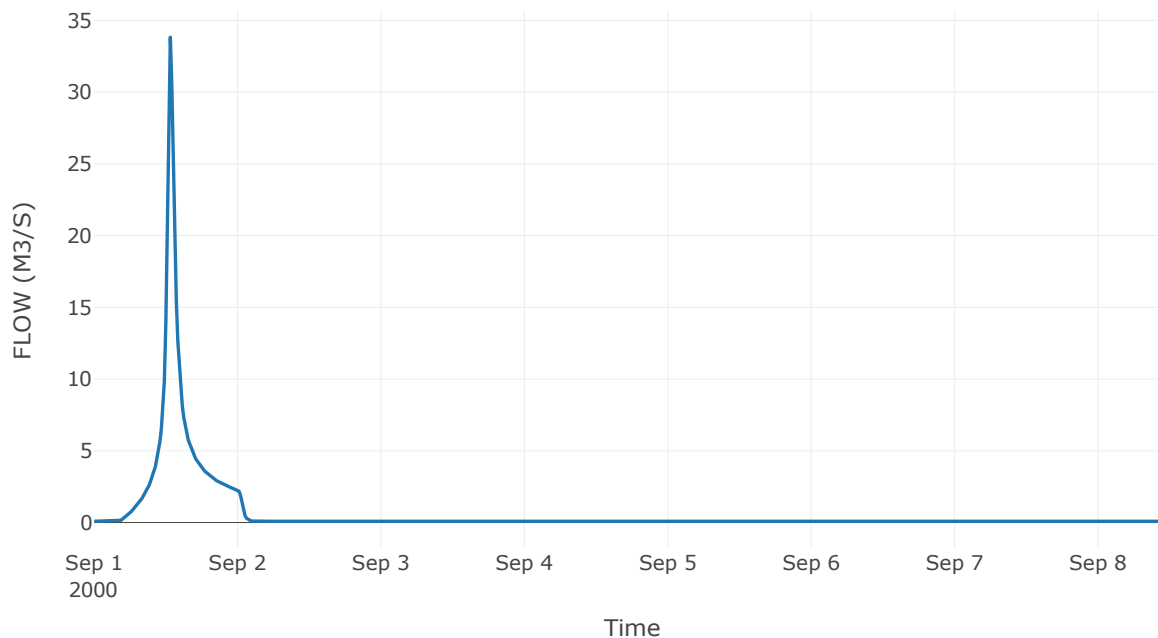
Κατάντη : J10

Μέθοδος Διόδευσης	Muskingum
Αρχική Μεταβλητή	Combined Inflow
Χρόνος Ροής K	0.2
Συντελεστής βάρους x	0.2
Πλήθος Υποκλάδων	1

Αποτελέσματα: R1110

Παροχή Αιχμής(M3/S)	33.82
Χρονική στιγμή αιχμής	01Sep2000, 12:45
Όγκος(MM)	146.02
Παροχή Αιχμής Εισόδου (M3/S)	35.4
Όγκος Εισροής(M3)	4.54E5

Απορροή



Κλάδος: R125

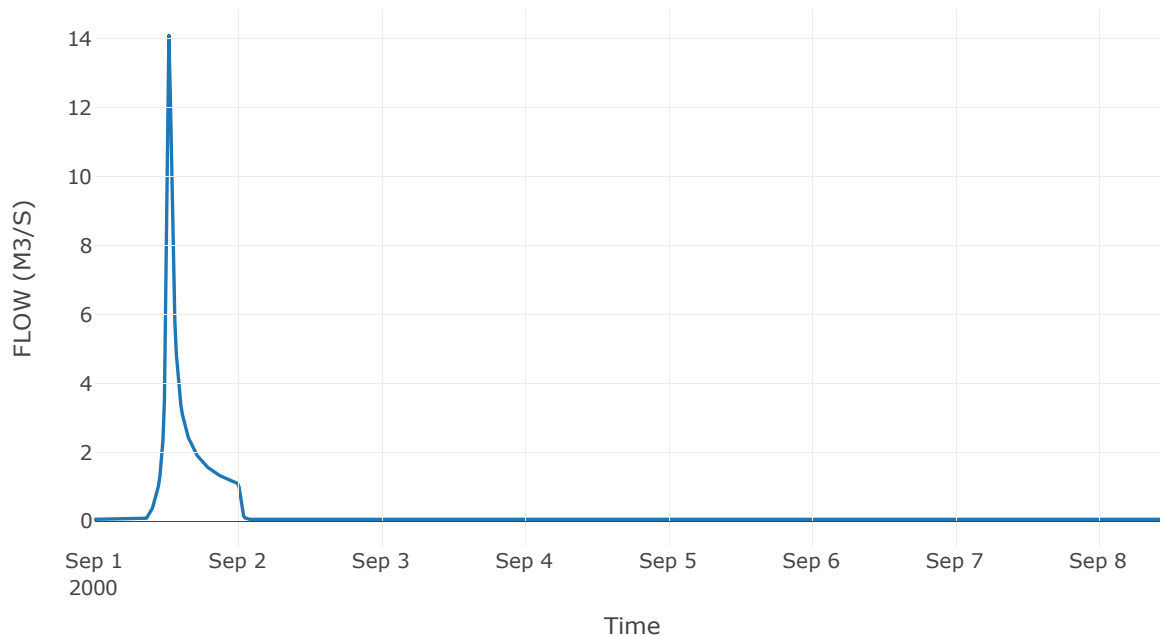
Κατάντη : J5

Μέθοδος Διόδευσης	Muskingum
Αρχική Μεταβλητή	Combined Inflow
Χρόνος Ροής Κ	0.14
Συντελεστής βάρους x	0.2
Πλήθος Υποκλάδων	1

Αποτελέσματα: R125

Παροχή Αιχμής(M3/S)	14.09
Χρονική στιγμή αιχμής	01Sep2000, 12:30
Όγκος(MM)	91.86
Παροχή Αιχμής Εισόδου (M3/S)	14.18
Όγκος Εισροής(M3)	1.77E5

Απορροή



Κλάδος: R1413

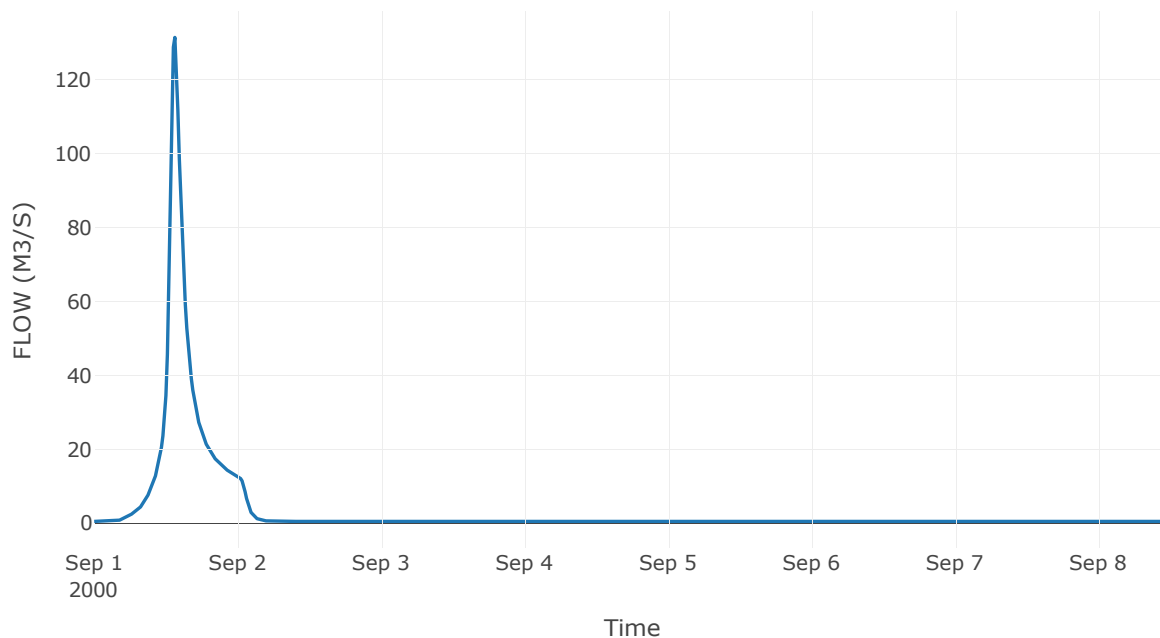
Κατάντη : J13

Μέθοδος Διόδευσης	Muskingum
Αρχική Μεταβλητή	Combined Inflow
Χρόνος Ροής K	0.08
Συντελεστής βάρους x	0.2
Πλήθος Υποκλάδων	3

Αποτελέσματα: R1413

Παροχή Αιχμής(M3/S)	131.45
Χρονική στιγμή αιχμής	01Sep2000, 13:30
Όγκος(MM)	143.94
Παροχή Αιχμής Εισόδου (M3/S)	131.03
Όγκος Εισροής(M3)	2.36E6

Απορροή



Κλάδος: R1514

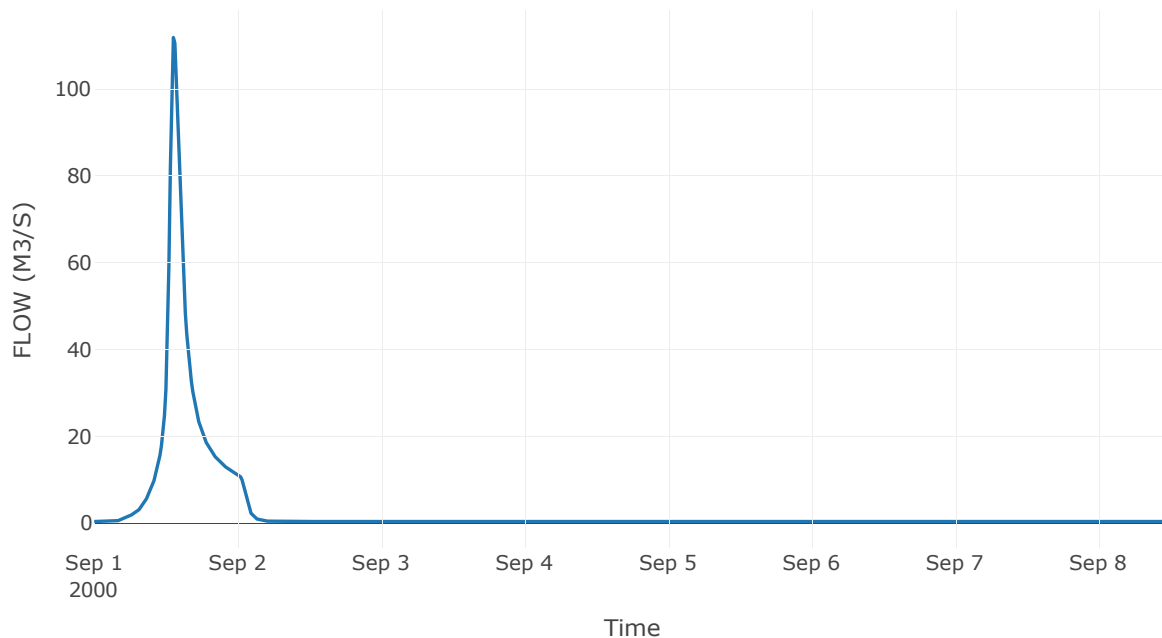
Κατάντη : J14

Μέθοδος Διόδευσης	Muskingum
Αρχική Μεταβλητή	Combined Inflow
Χρόνος Ροής Κ	0.14
Συντελεστής βάρους x	0.2
Πλήθος Υποκλάδων	1

Αποτελέσματα: R1514

Παροχή Αιχμής(M3/S)	111.87
Χρονική στιγμή αιχμής	01Sep2000, 13:15
Όγκος(MM)	138.68
Παροχή Αιχμής Εισόδου (M3/S)	113.18
Όγκος Εισροής(M3)	2.03E6

Απορροή



Κλάδος: R1615

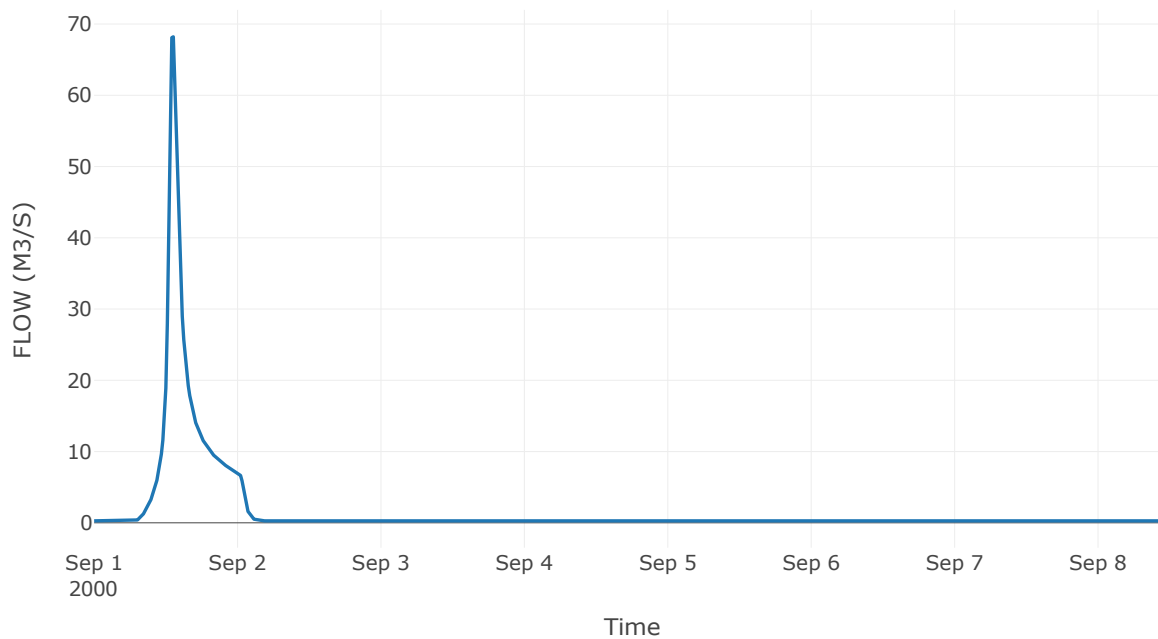
Κατάντη : J15

Μέθοδος Διόδευσης	Χρόνος
Αρχική Μεταβλητή	Combined Inflow
Χρόνος Υστέρησης	14.24

Αποτελέσματα: R1615

Παροχή Αιχμής(M3/S)	68.2
Χρονική στιγμή αιχμής	01Sep2000, 13:15
Όγκος(MM)	116.97
Παροχή Αιχμής Εισόδου (M3/S)	68.63
Όγκος Εισροής(M3)	1.14E6

Απορροή



Κλάδος: R1720

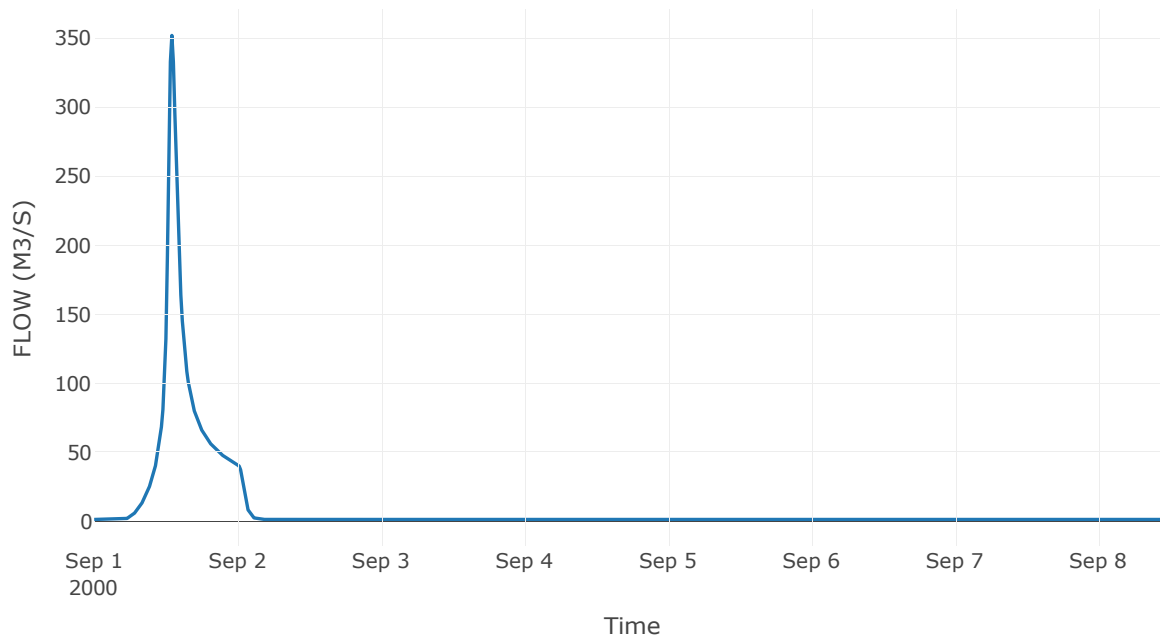
Κατάντη : J20

Μέθοδος Διόδευσης	Muskingum
Αρχική Μεταβλητή	Combined Inflow
Χρόνος Ροής K	0.12
Συντελεστής βάρους x	0.2
Πλήθος Υποκλάδων	1

Αποτελέσματα: R1 720

Παροχή Αιχμής(M3/S)	352.01
Χρονική στιγμή αιχμής	01Sep2000, 13:00
Όγκος(MM)	130.21
Παροχή Αιχμής Εισόδου (M3/S)	351.6
Όγκος Εισροής(M3)	6.31E6

Απορροή



Κλάδος: R1817

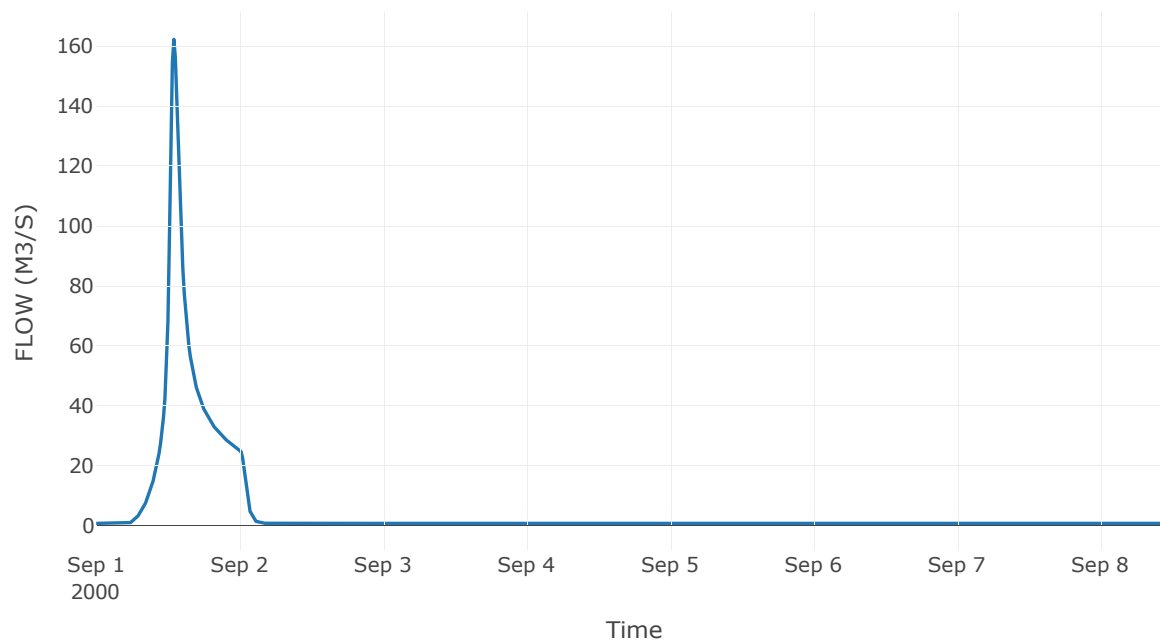
Κατάντη : J17

Μέθοδος Διόδευσης	Muskingum
Αρχική Μεταβλητή	Combined Inflow
Χρόνος Ροής K	0.22
Συντελεστής βάρους x	0.2
Πλήθος Υποκλάδων	1

Αποτελέσματα: R1817

Παροχή Αιχμής(M3/S)	162.27
Χρονική στιγμή αιχμής	01Sep2000, 13:00
Όγκος(MM)	118.22
Παροχή Αιχμής Εισόδου (M3/S)	165.78
Όγκος Εισροής(M3)	3.4E6

Απορροή



Κλάδος: R1918

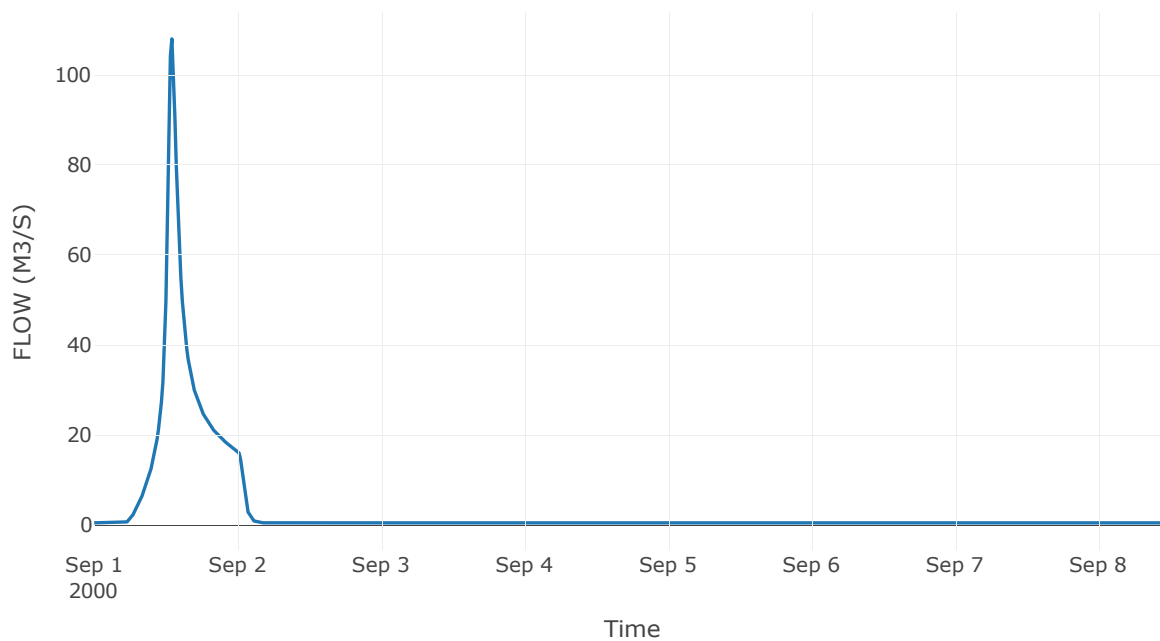
Κατάντη : J18

Μέθοδος Διόδευσης	Χρόνος
Αρχική Μεταβλητή	Combined Inflow
Χρόνος Υστέρησης	4.98

Αποτελέσματα: R1918

Παροχή Αιχμής(M3/S)	107.97
Χρονική στιγμή αιχμής	01Sep2000, 13:00
Όγκος(MM)	129.77
Παροχή Αιχμής Εισόδου (M3/S)	108.12
Όγκος Εισροής(M3)	2.26E6

Απορροή



Κλάδος: R2010

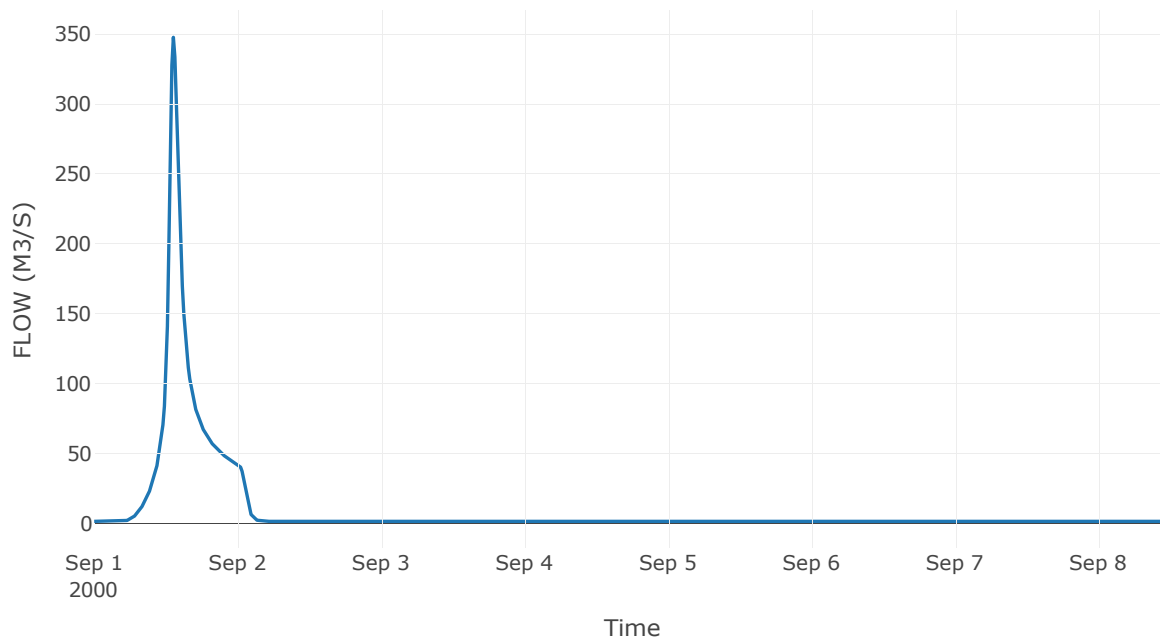
Κατάντη : J10

Μέθοδος Διόδευσης	Muskingum
Αρχική Μεταβλητή	Combined Inflow
Χρόνος Ροής Κ	0.27
Συντελεστής βάρους x	0.2
Πλήθος Υποκλάδων	1

Αποτελέσματα: R2010

Παροχή Αιχμής(M3/S)	347.67
Χρονική στιγμή αιχμής	01Sep2000, 13:15
Όγκος(MM)	130.94
Παροχή Αιχμής Εισόδου (M3/S)	360.48
Όγκος Εισροής(M3)	6.42E6

Απορροή



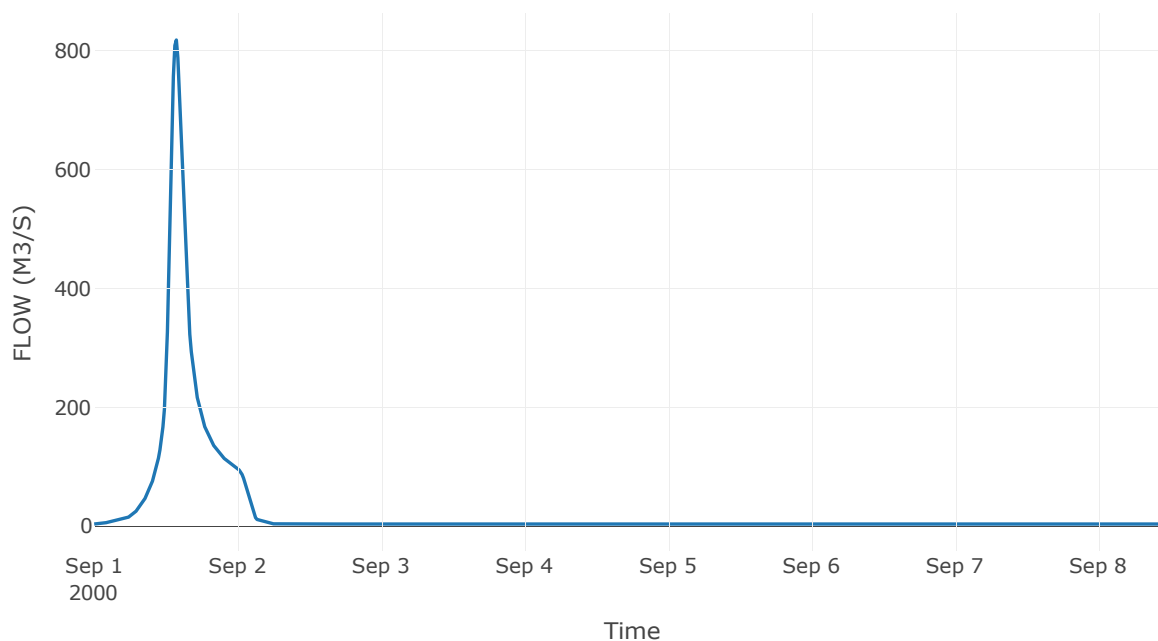
7.3 Δεδομένα και υδρογραφήματα σχεδιασμού Κόμβων υδρογραφικού δικτύου

Κόμβος εξόδου: J1

Αποτελέσμα
τα: J1

Παροχή αιχμής (M3/S)	817.72
Χρονική στιγμή αιχμής	01Sep2000, 13:45
Όγκος (MM)	138.11

Απορροή



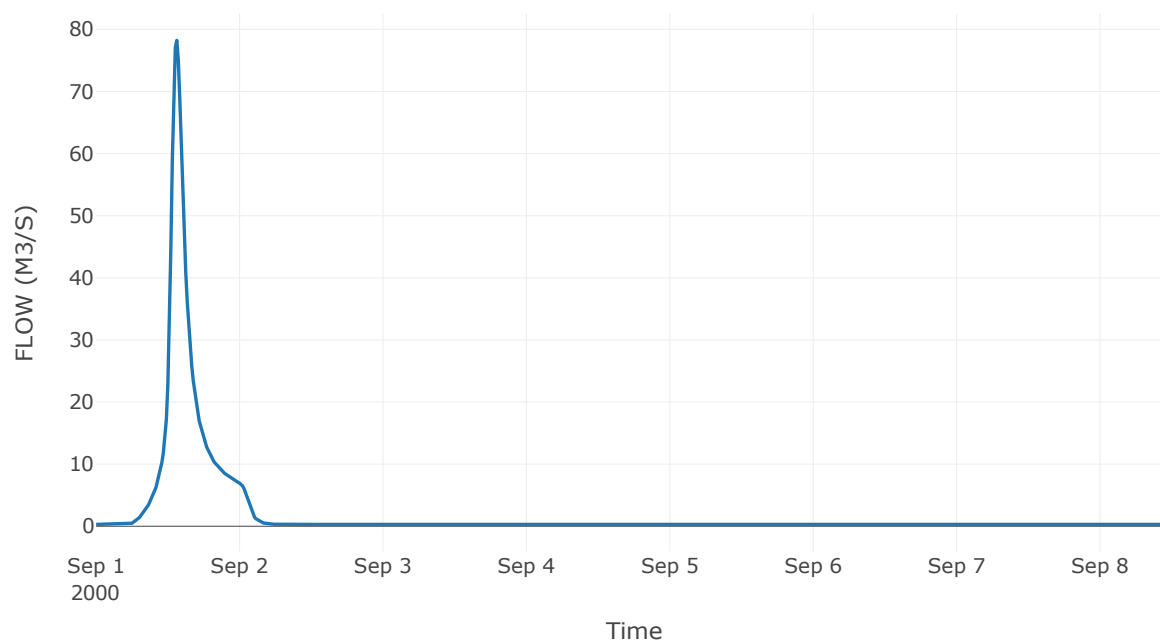
Κόμβος: J2

Κατάντη : R21

Αποτελέσματα: J2

Παροχή Αιχμής(M3/S)	78.24
Χρονική στιγμή αιχμής	01Sep2000, 13:30
Όγκος(MM)	134.39

Απορροή



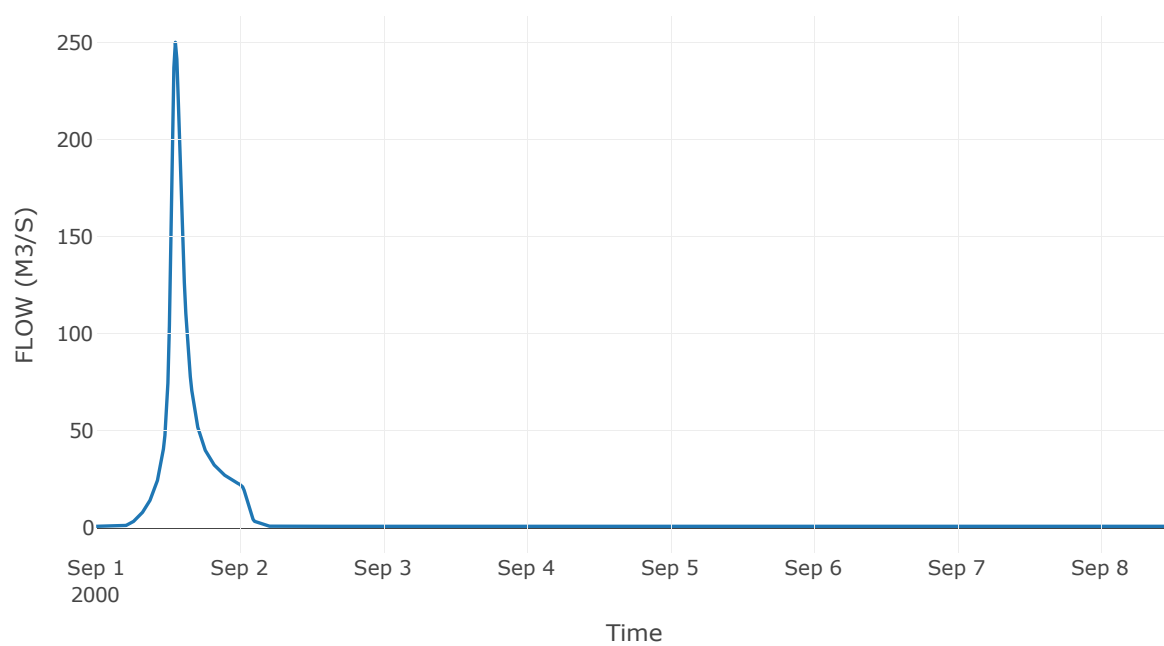
Κόμβος: J3

Κατάντη : R31

Αποτελέσματα: J3

Παροχή Αιχμής(M3/S)	250.01
Χρονική στιγμή αιχμής	01Sep2000, 13:15
Όγκος(MM)	129.36

Απορροή



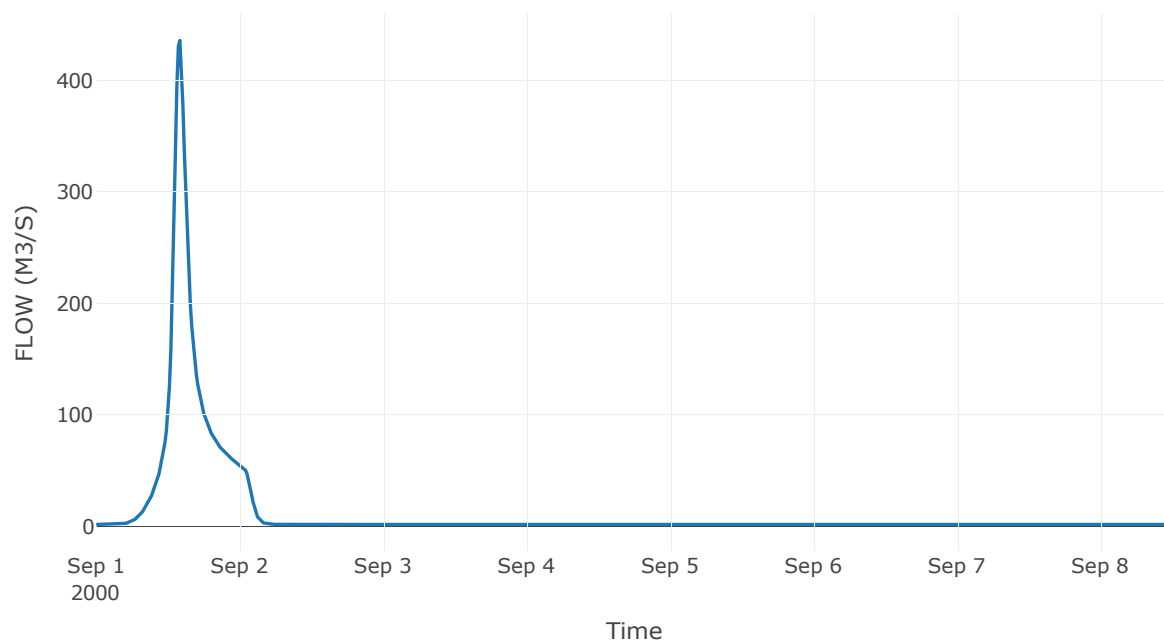
Κόμβος: J4

Κατάντη : R41

Αποτελέσματα: J4

Παροχή Αιχμής(M3/S)	436.07
Χρονική στιγμή αιχμής	01Sep2000, 14:00
Όγκος(MM)	136.99

Απορροή



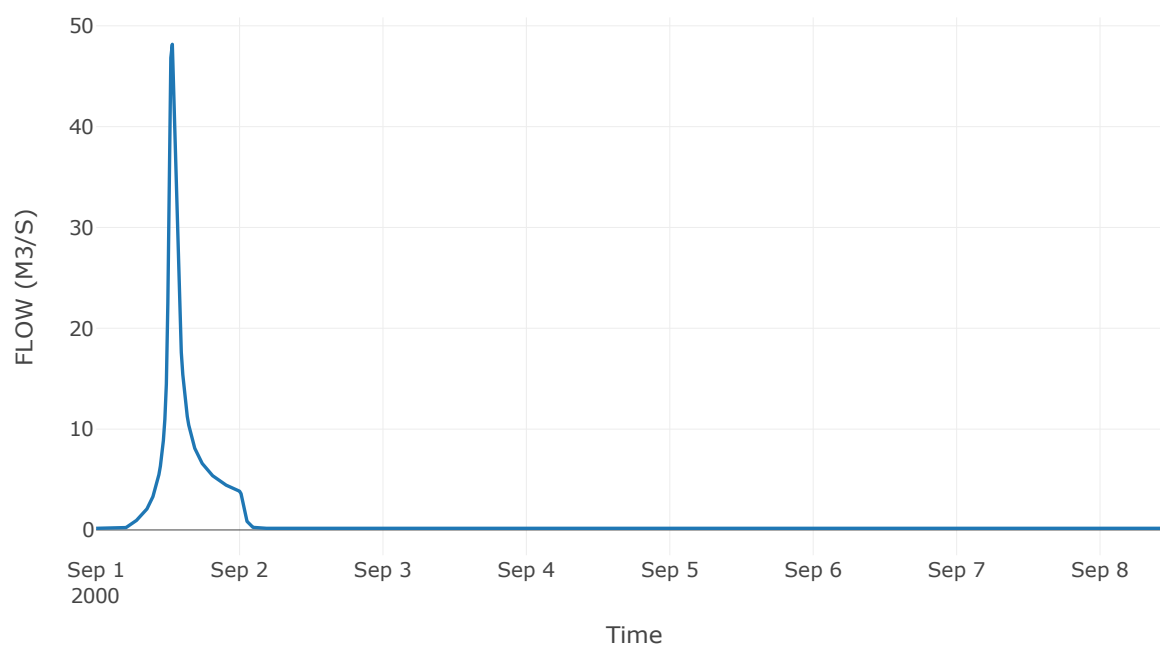
Κόμβος: J5

Κατάντη : R51

Αποτελέσματα: J5

Παροχή Αιχμής(M3/S)	48.17
Χρονική στιγμή αιχμής	01Sep2000, 12:45
Όγκος(MM)	123.61

Απορροή



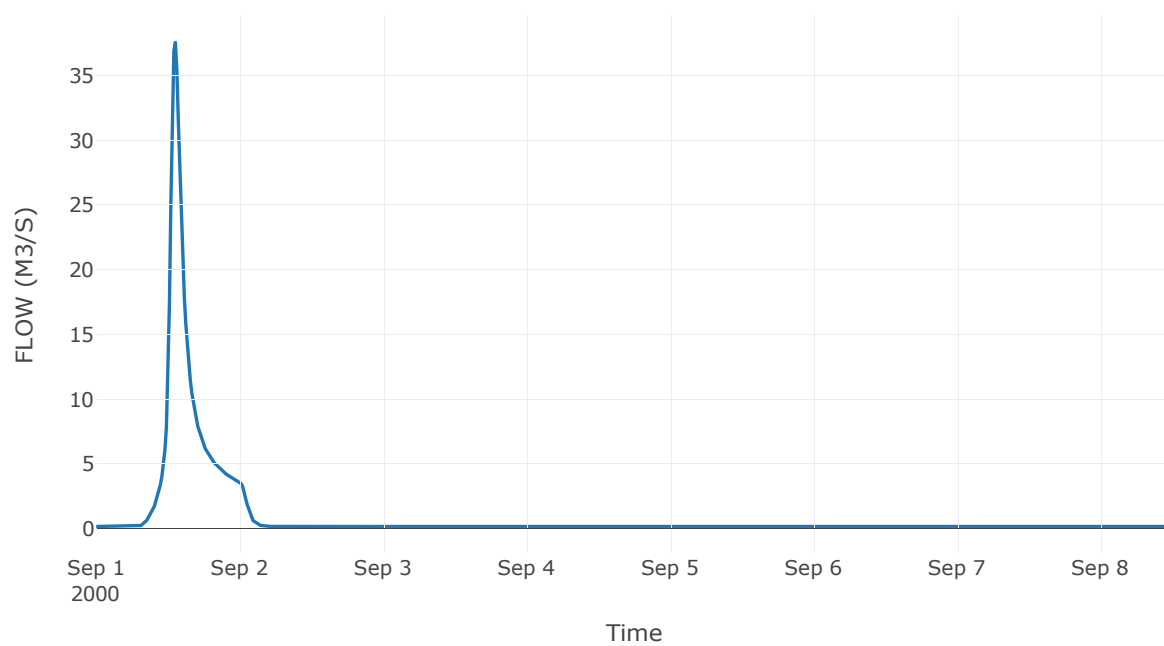
Κόμβος: J6

Κατάντη : R63

Αποτελέσματα: J6

Παροχή Αιχμής(M3/S)	37.57
Χρονική στιγμή αιχμής	01Sep2000, 13:15
Όγκος(MM)	103.17

Απορροή



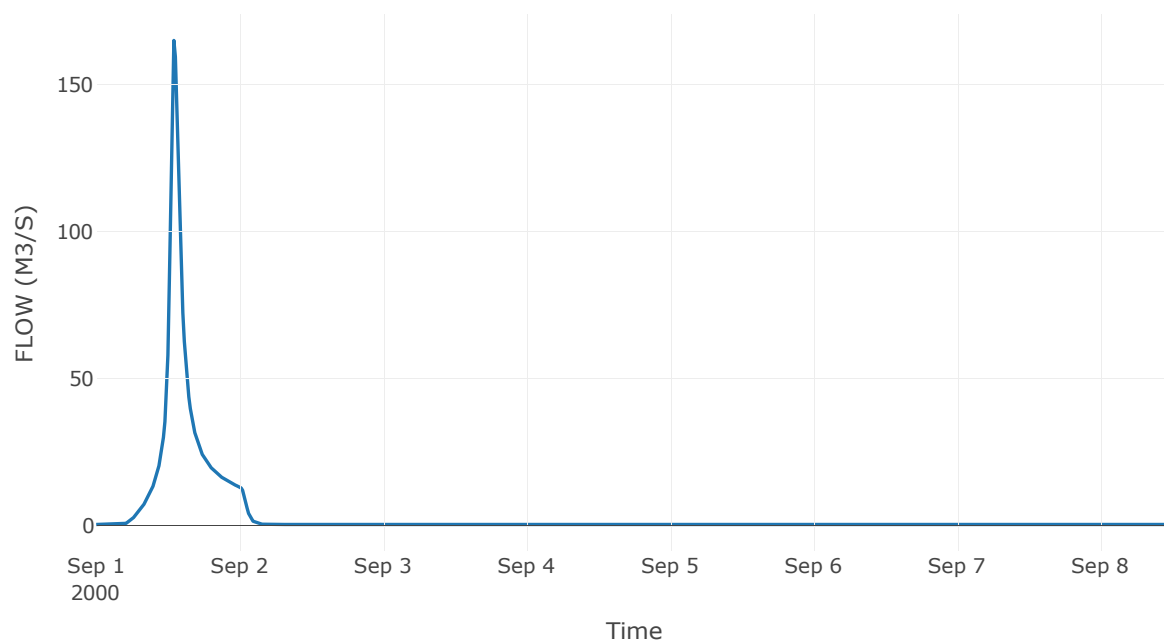
Κόμβος: J7

Κατάντη : R73

Αποτελέσματα: J7

Παροχή Αιχμής(M3/S)	165.11
Χρονική στιγμή αιχμής	01Sep2000, 13:00
Όγκος(MM)	140.29

Απορροή



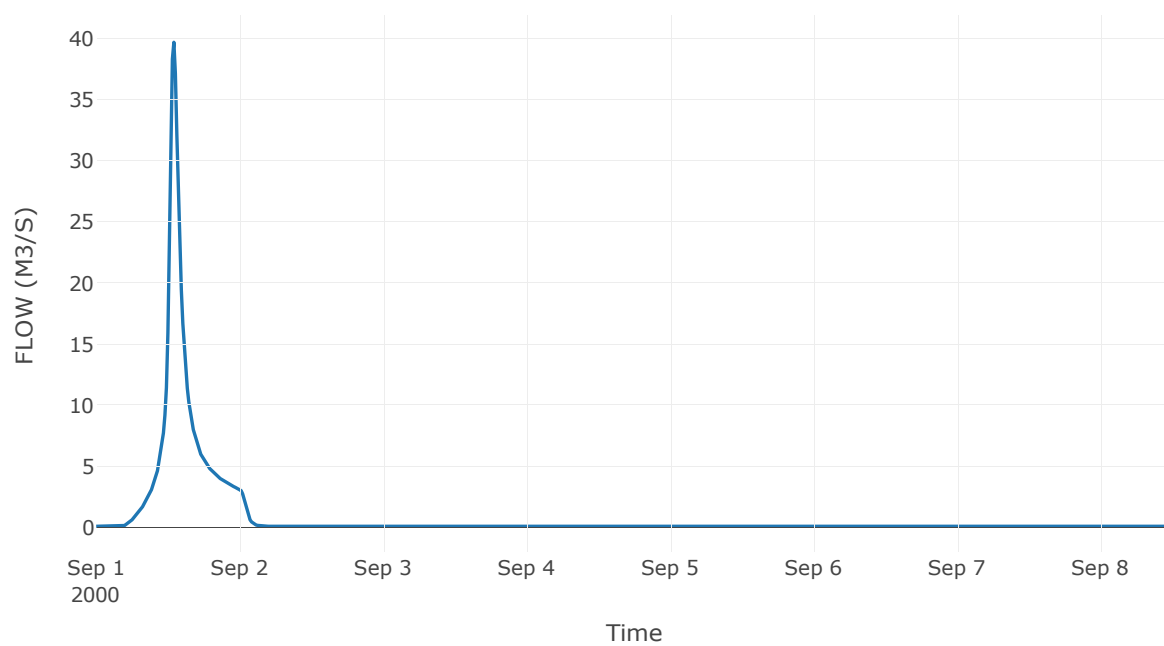
Κόμβος: J8

Κατάντη : R87

Αποτελέσματα: J8

Παροχή Αιχμής(M3/S)	39.69
Χρονική στιγμή αιχμής	01Sep2000, 13:00
Όγκος(MM)	134.65

Απορροή



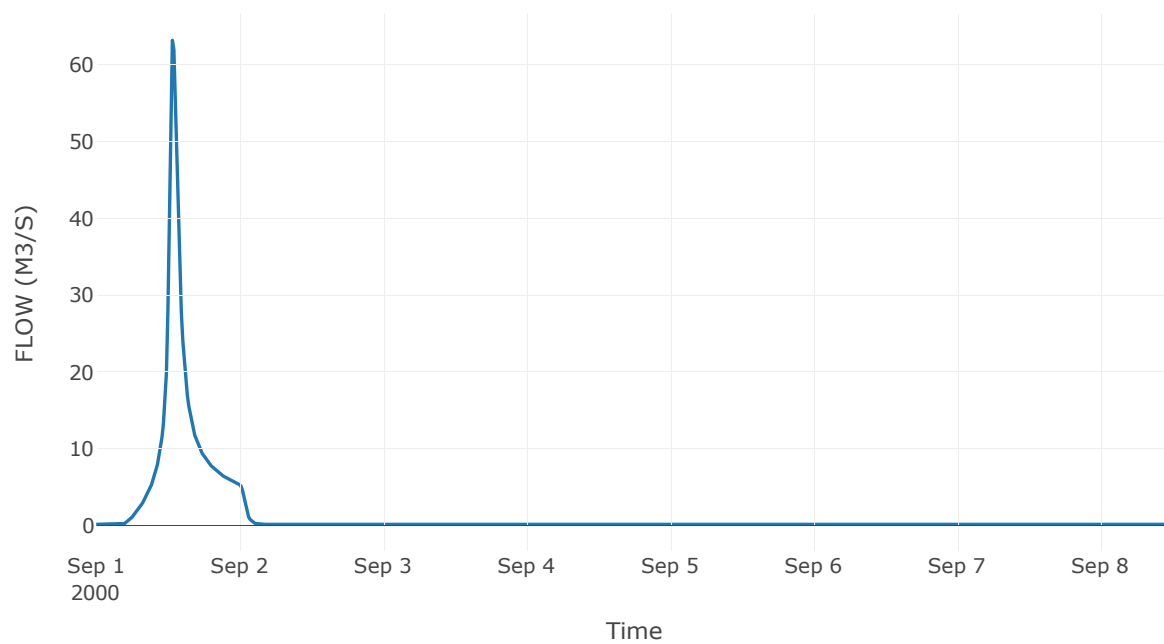
Κόμβος: J9

Κατάντη : R97

Αποτελέσματα: J9

Παροχή Αιχμής(M3/S)	63.15
Χρονική στιγμή αιχμής	01Sep2000, 12:45
Όγκος(MM)	144.3

Απορροή



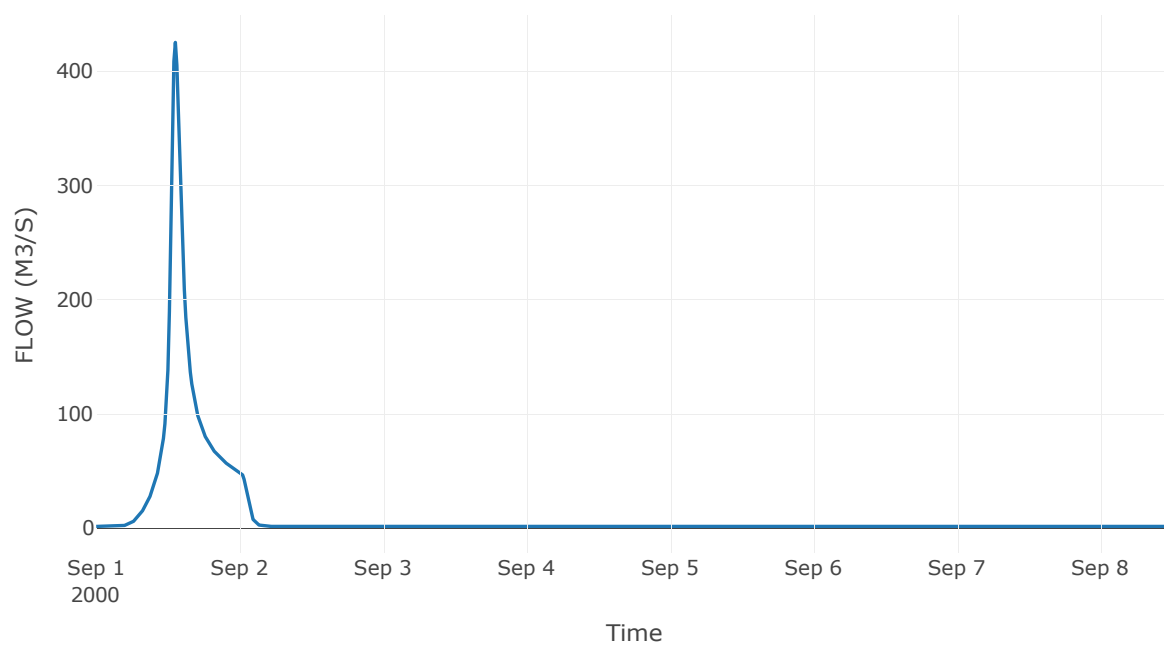
Κόμβος: J10

Κατάντη : R104

Αποτελέσματα: J10

Παροχή Αιχμής(M3/S)	425.19
Χρονική στιγμή αιχμής	01Sep2000, 13:15
Όγκος(MM)	135.07

Απορροή



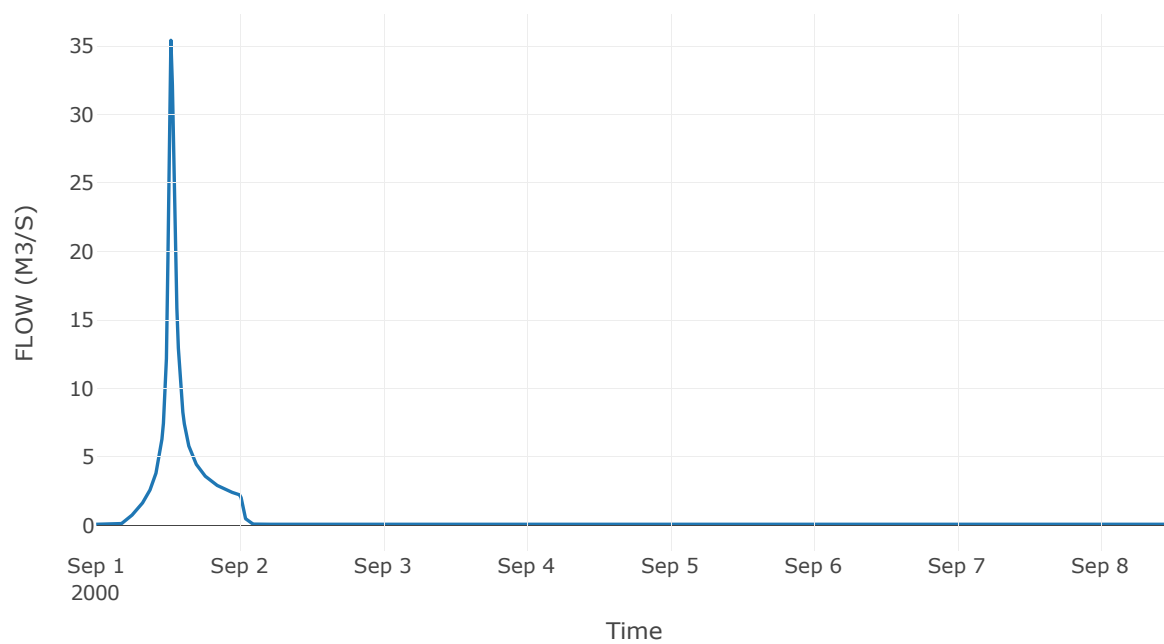
Κόμβος: J11

Κατάντη : R1110

Αποτελέσματα: J11

Παροχή Αιχμής(M3/S)	35.4
Χρονική στιγμή αιχμής	01Sep2000, 12:30
Όγκος(MM)	146.02

Απορροή



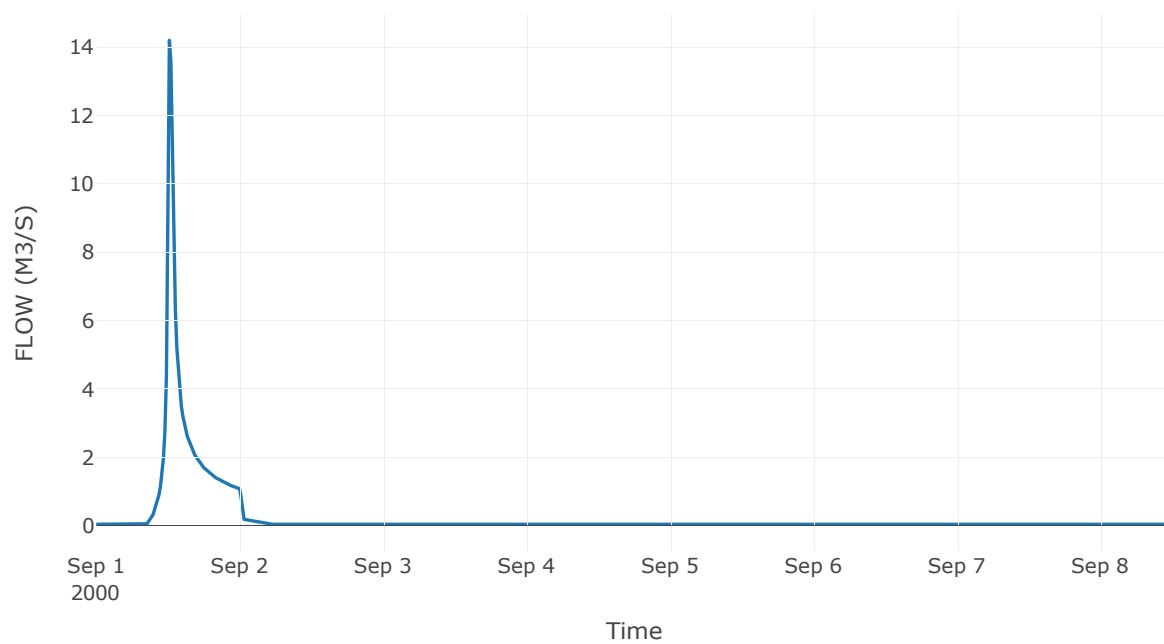
Κόμβος: J12

Κατάντη : R125

Αποτελέσματα: J12

Παροχή Αιχμής(M3/S)	14.18
Χρονική στιγμή αιχμής	01Sep2000, 12:15
Όγκος(MM)	91.86

Απορροή

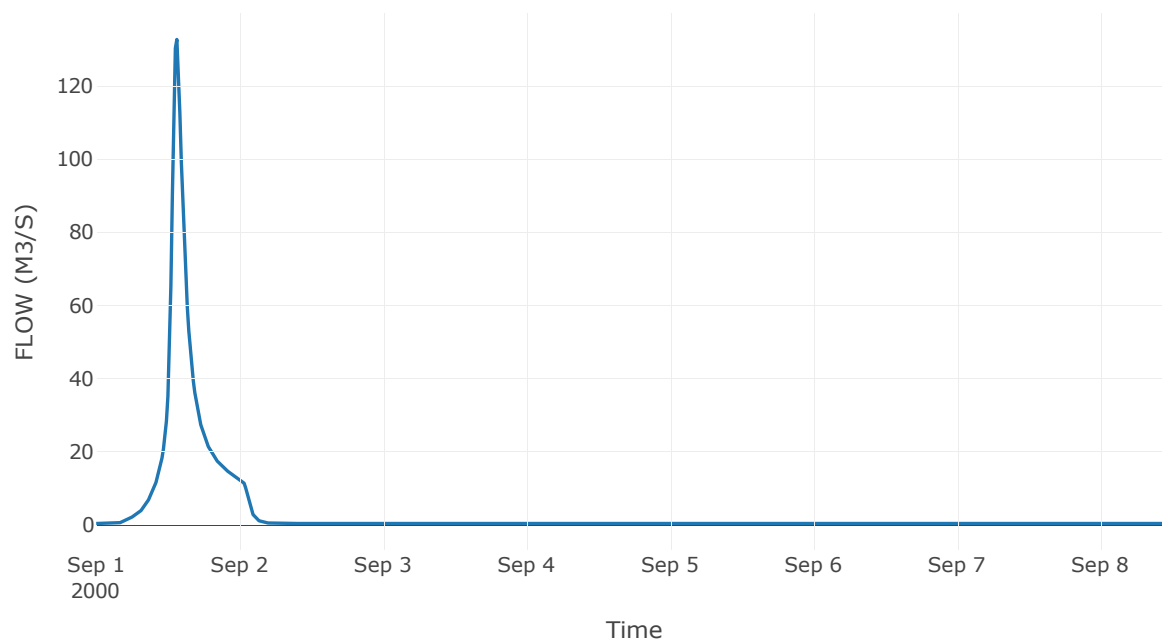


Κόμβος εξόδου: J13

Αποτελέσματ
α: J13

Παροχή αιχμής (M3/S)	132.64
Χρονική στιγμή αιχμής	01Sep2000, 13:30
Όγκος (MM)	144.24

Απορροή



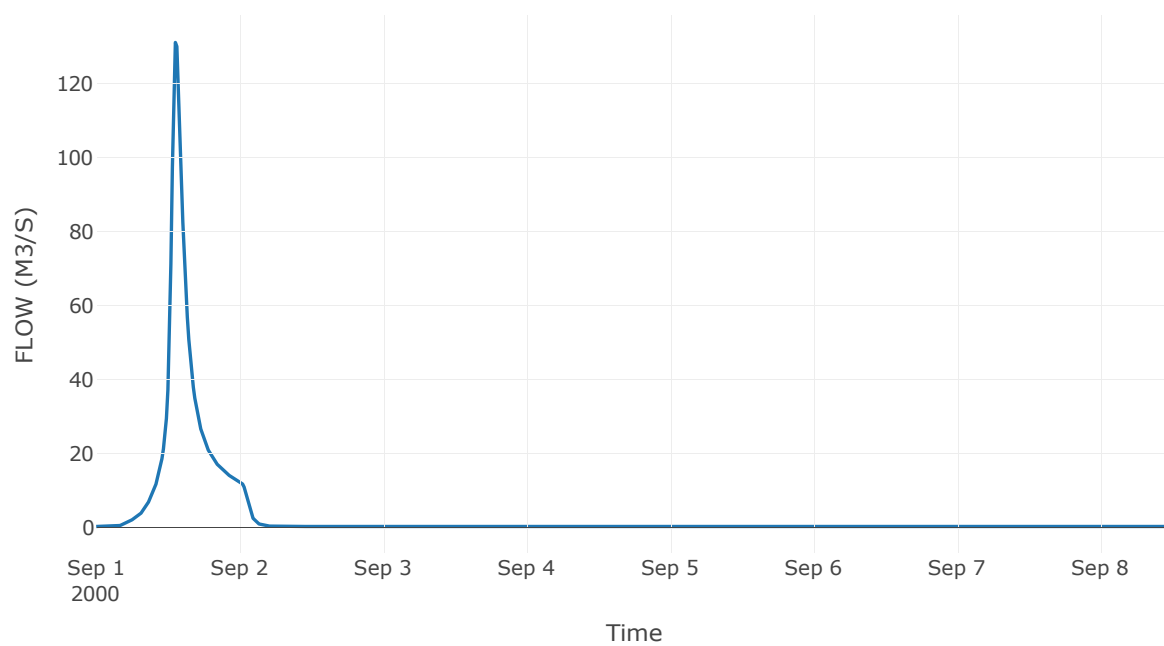
Κόμβος: J14

Κατάντη : R1413

Αποτελέσματα: J14

Παροχή Αιχμής(M3/S)	131.03
Χρονική στιγμή αιχμής	01Sep2000, 13:15
Όγκος(MM)	143.94

Απορροή



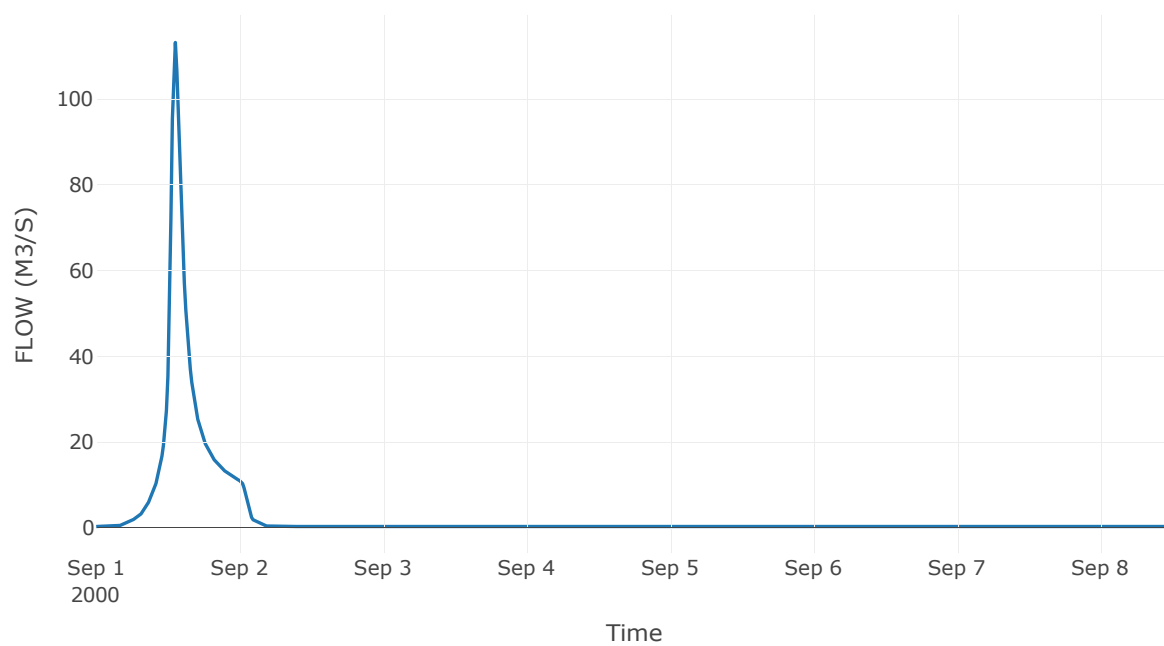
Κόμβος: J15

Κατάντη : R1514

Αποτελέσματα: J15

Παροχή Αιχμής(M3/S)	113.18
Χρονική στιγμή αιχμής	01Sep2000, 13:15
Όγκος(MM)	138.68

Απορροή



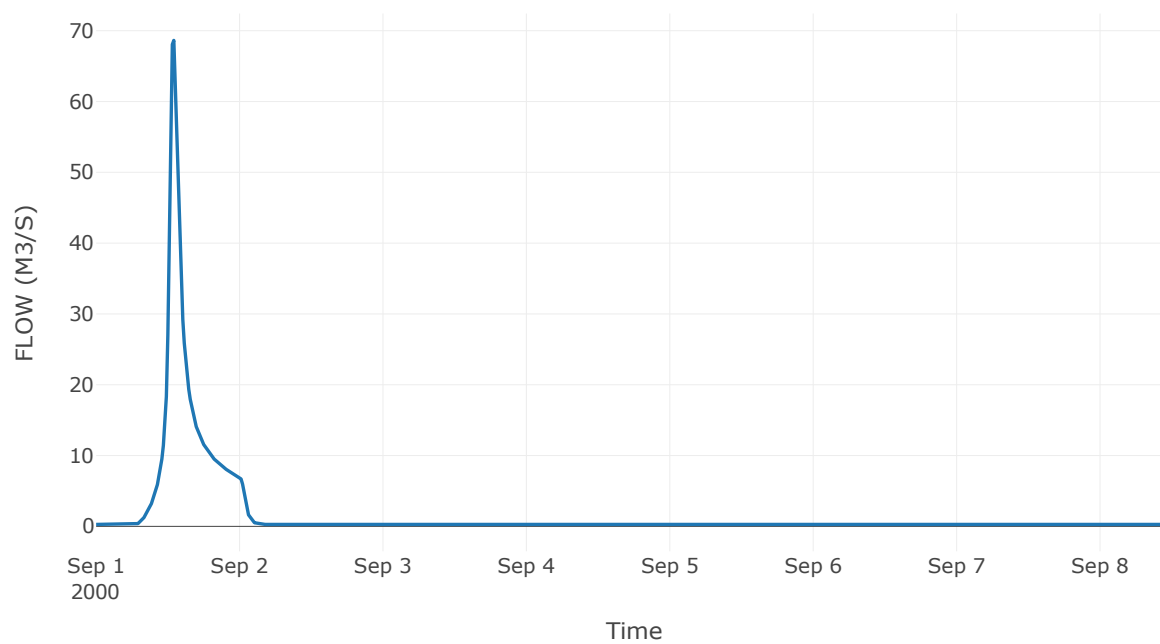
Κόμβος: J16

Κατάντη : R1615

Αποτελέσματα: J16

Παροχή Αιχμής(M3/S)	68.63
Χρονική στιγμή αιχμής	01Sep2000, 13:00
Όγκος(MM)	116.97

Απορροή



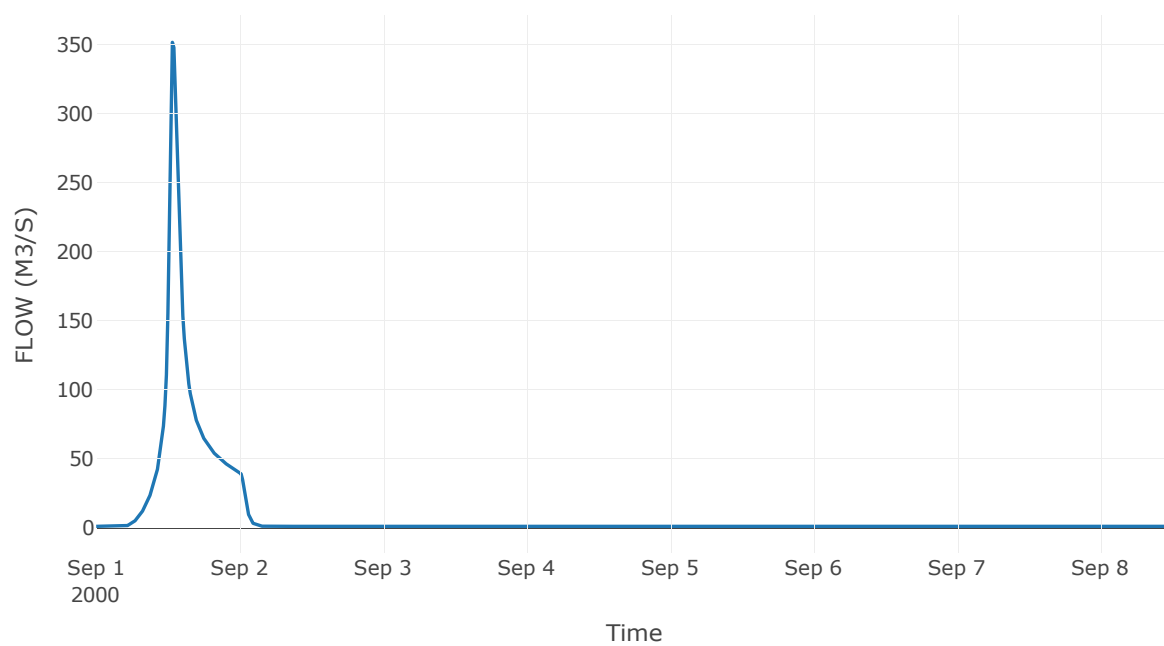
Κόμβος: J17

Κατάντη : R1720

Αποτελέσματα: J17

Παροχή Αιχμής(M3/S)	351.6
Χρονική στιγμή αιχμής	01Sep2000, 12:45
Όγκος(MM)	130.21

Απορροή



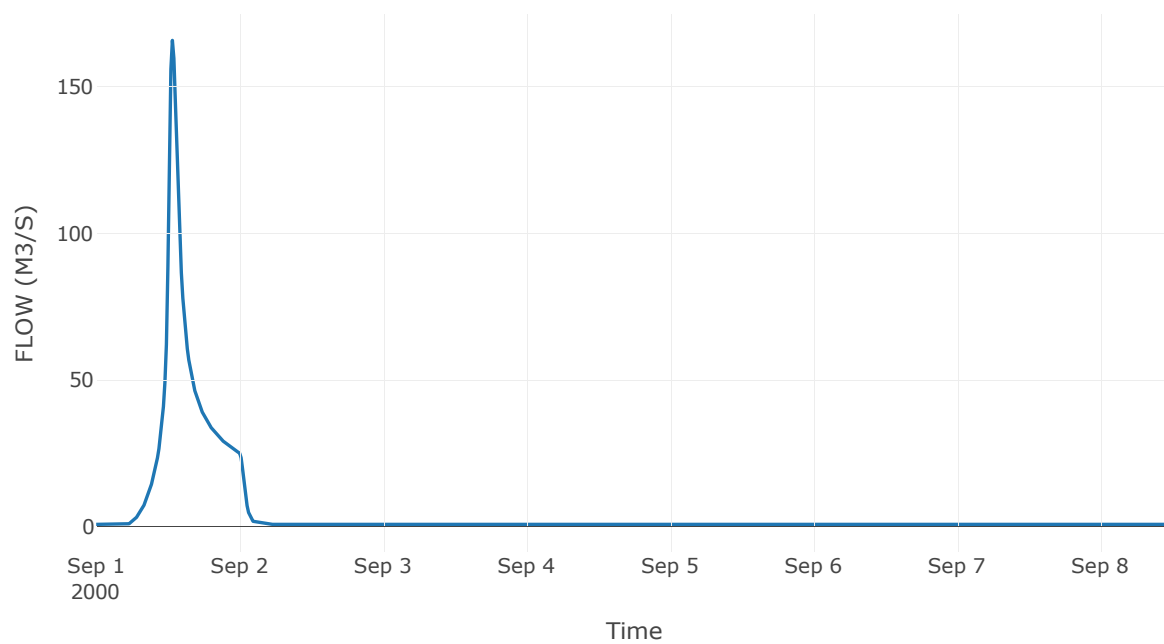
Κόμβος: J18

Κατάντη : R1817

Αποτελέσματα: J18

Παροχή Αιχμής(M3/S)	165.78
Χρονική στιγμή αιχμής	01Sep2000, 12:45
Όγκος(MM)	118.22

Απορροή



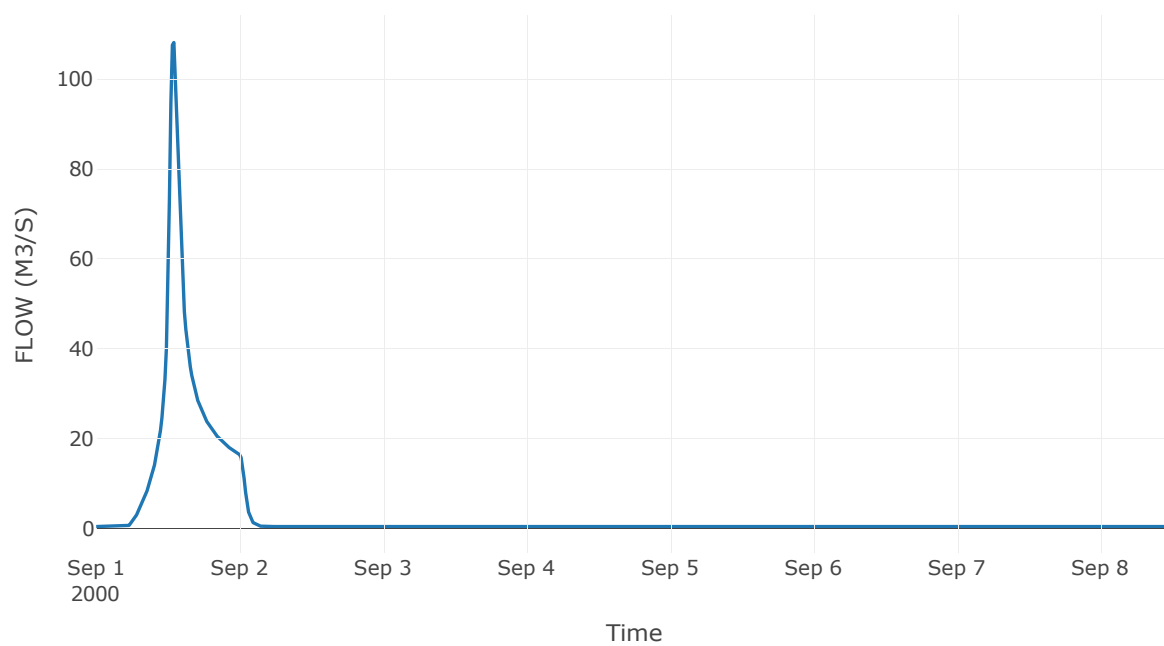
Κόμβος: J19

Κατάντη : R1918

Αποτελέσματα: J19

Παροχή Αιχμής(M3/S)	108.12
Χρονική στιγμή αιχμής	01Sep2000, 13:00
Όγκος(MM)	129.77

Απορροή



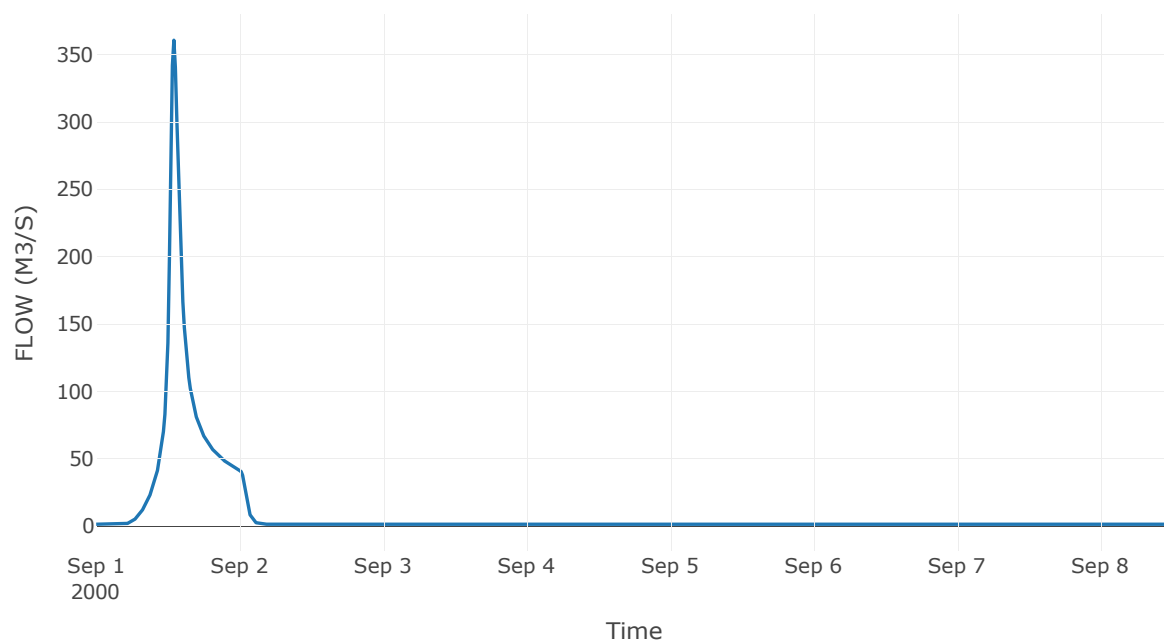
Κόμβος: J20

Κατάντη : R2010

Αποτελέσματα: J20

Παροχή Αιχμής(M3/S)	360.48
Χρονική στιγμή αιχμής	01Sep2000, 13:00
Όγκος(MM)	130.94

Απορροή



8 Δεδομένα εισόδου και αποτελέσματα υδρολογικού σεναρίου $T=1000$

8.1 Αποτελέσματα, υετογραφήματα και υδρογραφήματα σχεδιασμού υπολεκανών

Υπολεκάνη: EL0415FL007001

Έκταση (KM2) : 9.22

Κατάντη : J1

Μέθοδος Απωλειών: SCS

Ποσοστό αδιαπέρατης επιφάνειας	95
Αριθμός Καμπύλης Απορροής-CN	99
Αρχικές Απώλειες	0.51

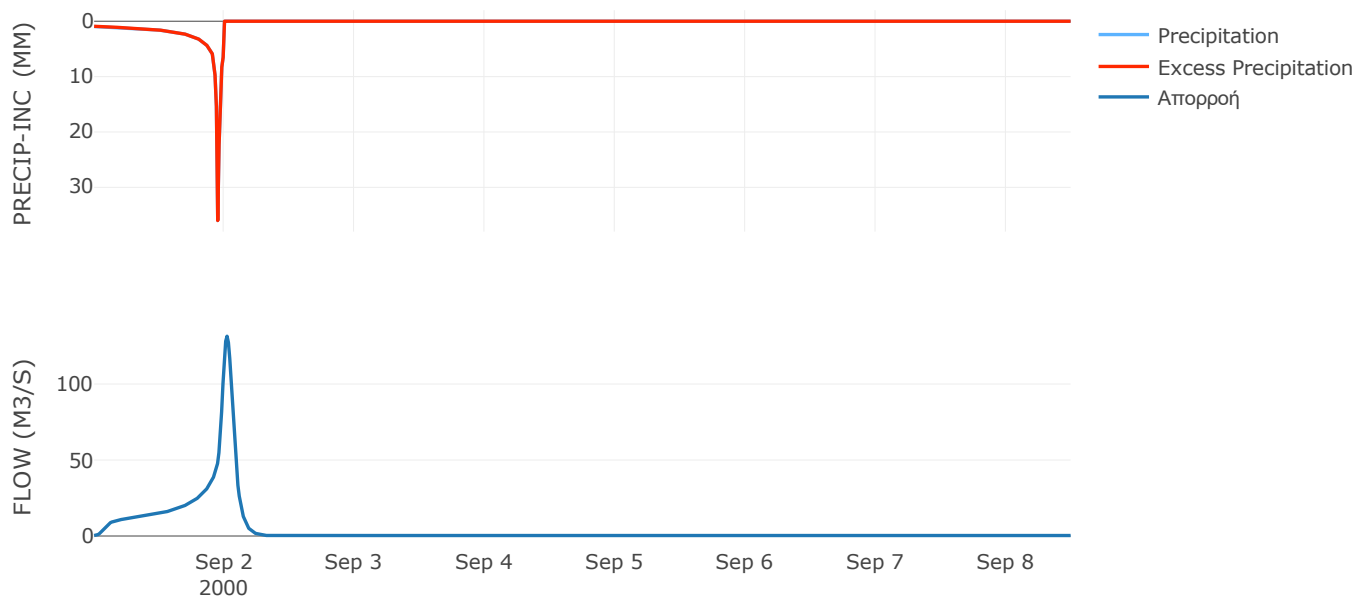
Μέθοδος
Μετασχηματισμού: SCS

Χρόνος Υστέρησης	93.59
------------------	-------

Αποτελέσματα:
EL0415FL007001

Παροχή αιχμής (M3/S)	131.48
Χρονική στιγμή αιχμής	02Sep2000, 00:30
Όγκος (MM)	307.59
Όγκος βροχόπτωσης (M3)	2.63E6
Όγκος απωλειών (M3)	1409.52
Ενεργός Όγκος (M3)	2.63E6
Όγκος άμεσης απορροής (M3)	2.63E6
Όγκος βασικής απορροής (M3)	2.09E5

Βροχόπτωση και Απορροή



Υπολεκάνη: EL0415FL007002

Έκταση (KM2) : 10.54

Κατάντη : J2

Μέθοδος Απωλειών: SCS

Ποσοστό αδιαπέρατης επιφάνειας	0
Αριθμός Καμπύλης Απορροής-CN	64.99
Αρχικές Απώλειες	27.37

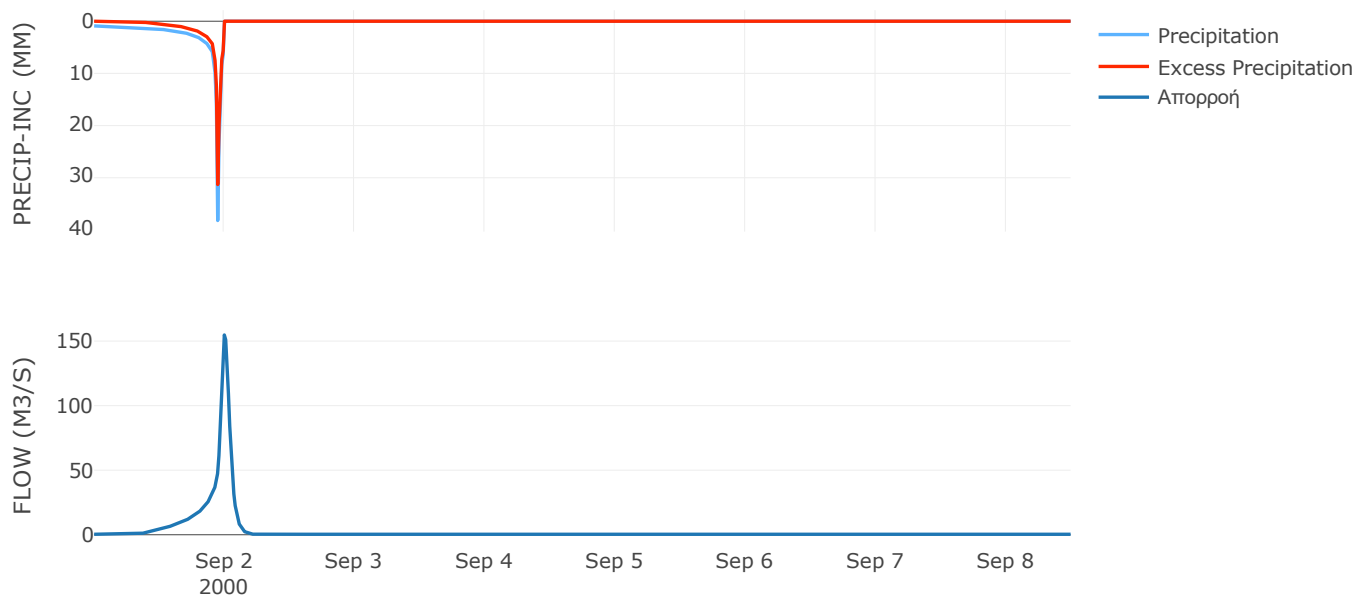
Μέθοδος
Μετασχηματισμού: SCS

Χρόνος Υστέρησης	63.93
------------------	-------

Αποτελέσματα:
EL0415FL007002

Παροχή αιχμής (M3/S)	154.72
Χρονική στιγμή αιχμής	01Sep2000, 24:00
Όγκος (MM)	188.45
Όγκος βροχόπτωσης (M3)	2.98E6
Όγκος απωλειών (M3)	1.23E6
Ενεργός Όγκος (M3)	1.75E6
Όγκος άμεσης απορροής (M3)	1.75E6
Όγκος βασικής απορροής (M3)	2.39E5

Βροχόπτωση και Απορροή



Υπολεκάνη: EL0415FL007003

Έκταση (KM2) : 7.3

Κατάντη : J3

Μέθοδος Απωλειών: SCS

Ποσοστό αδιαπέρατης επιφάνειας	0
Αριθμός Καμπύλης Απορροής-CN	61.79
Αρχικές Απώλειες	31.41

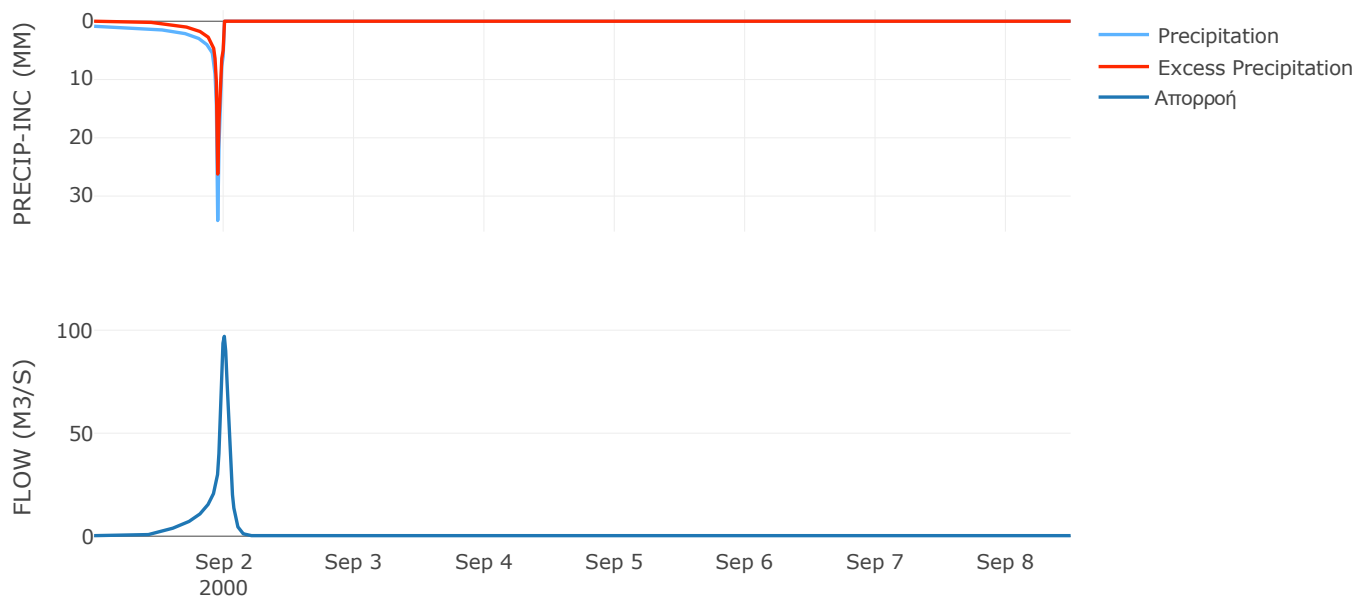
Μέθοδος
Μετασχηματισμού: SCS

Χρόνος Υστέρησης	56.19
------------------	-------

Αποτελέσματα:
EL0415FL007003

Παροχή αιχμής (M3/S)	97.02
Χρονική στιγμή αιχμής	01Sep2000, 24:00
Όγκος (MM)	160.67
Όγκος βροχόπτωσης (M3)	1.92E6
Όγκος απωλειών (M3)	9.13E5
Ενεργός Όγκος (M3)	1.01E6
Όγκος άμεσης απορροής (M3)	1.01E6
Όγκος βασικής απορροής (M3)	1.66E5

Βροχόπτωση και Απορροή



Υπολεκάνη: EL0415FL007004

Έκταση (KM2) : 9.79

Κατάντη : J16

Μέθοδος Απωλειών: SCS

Ποσοστό αδιαπέρατης επιφάνειας	0
Αριθμός Καμπύλης Απορροής-CN	50.65
Αρχικές Απώλειες	49.49

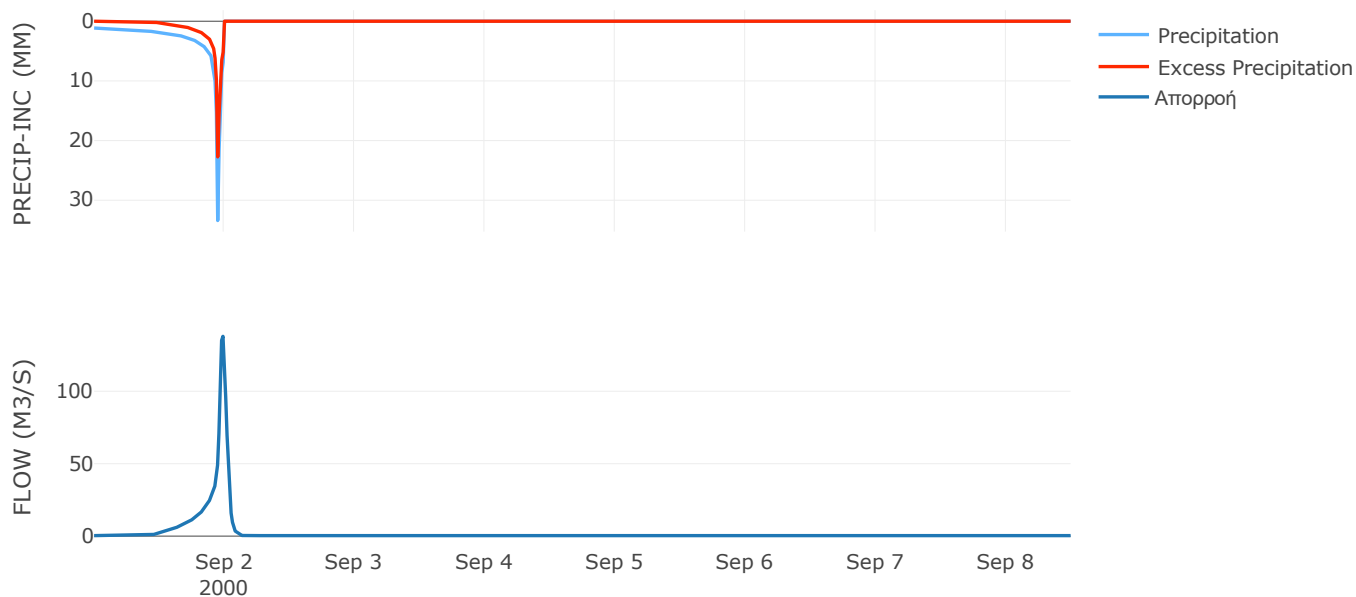
Μέθοδος
Μετασχηματισμού: SCS

Χρόνος Υστέρησης	38.67
------------------	-------

Αποτελέσματα:
EL0415FL007004

Παροχή αιχμής (M3/S)	137.9
Χρονική στιγμή αιχμής	01Sep2000, 23:45
Όγκος (MM)	153.28
Όγκος βροχόπτωσης (M3)	2.99E6
Όγκος απωλειών (M3)	1.72E6
Ενεργός Όγκος (M3)	1.28E6
Όγκος άμεσης απορροής (M3)	1.28E6
Όγκος βασικής απορροής (M3)	2.22E5

Βροχόπτωση και Απορροή



Υπολεκάνη: EL0415FL007005

Έκταση (KM2) : 17.4

Κατάντη : J19

Μέθοδος Απωλειών: SCS

Ποσοστό αδιαπέρατης επιφάνειας	0
Αριθμός Καμπύλης Απορροής-CN	53.29
Αρχικές Απώλειες	44.53

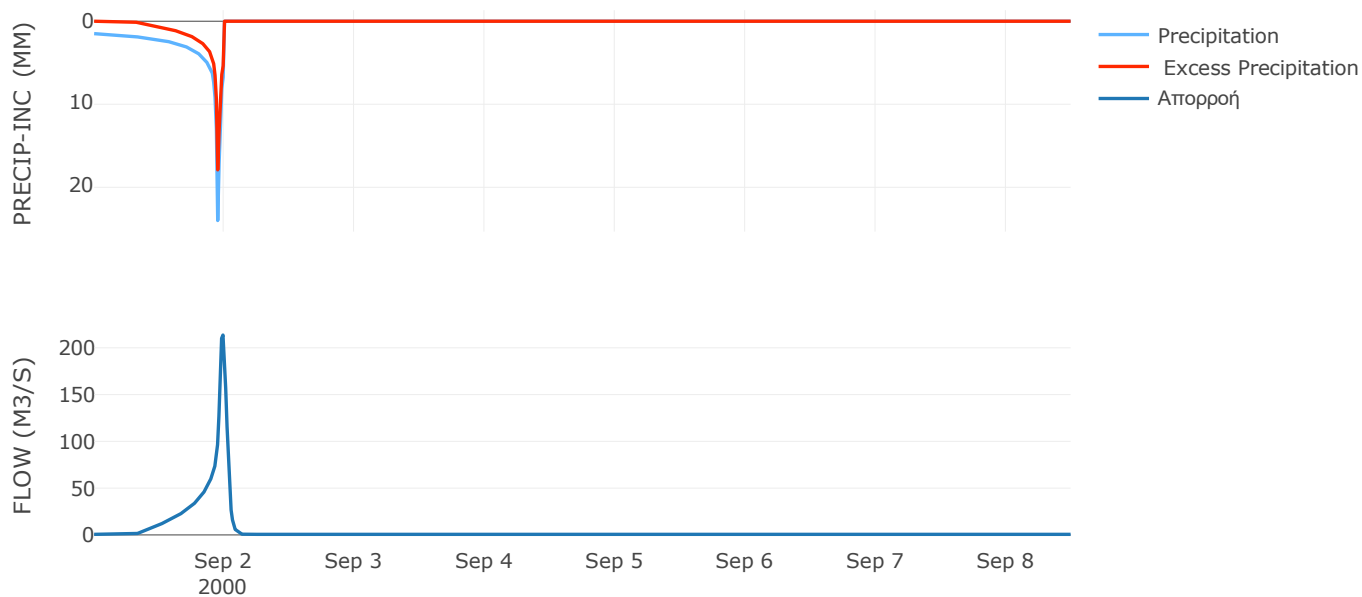
Μέθοδος
Μετασχηματισμού: SCS

Χρόνος Υστέρησης	38.62
------------------	-------

Αποτελέσματα:
EL0415FL007005

Παροχή αιχμής (M3/S)	213.65
Χρονική στιγμή αιχμής	01Sep2000, 23:45
Όγκος (MM)	173.71
Όγκος βροχόπτωσης (M3)	5.54E6
Όγκος απωλειών (M3)	2.91E6
Ενεργός Όγκος (M3)	2.63E6
Όγκος άμεσης απορροής (M3)	2.63E6
Όγκος βασικής απορροής (M3)	3.95E5

Βροχόπτωση και Απορροή



Υπολεκάνη: EL0415FL007006

Έκταση (KM2) : 2.23

Κατάντη : J18

Μέθοδος Απωλειών: SCS

Ποσοστό αδιαπέρατης επιφάνειας	0
Αριθμός Καμπύλης Απορροής-CN	44.02
Αρχικές Απώλειες	64.6

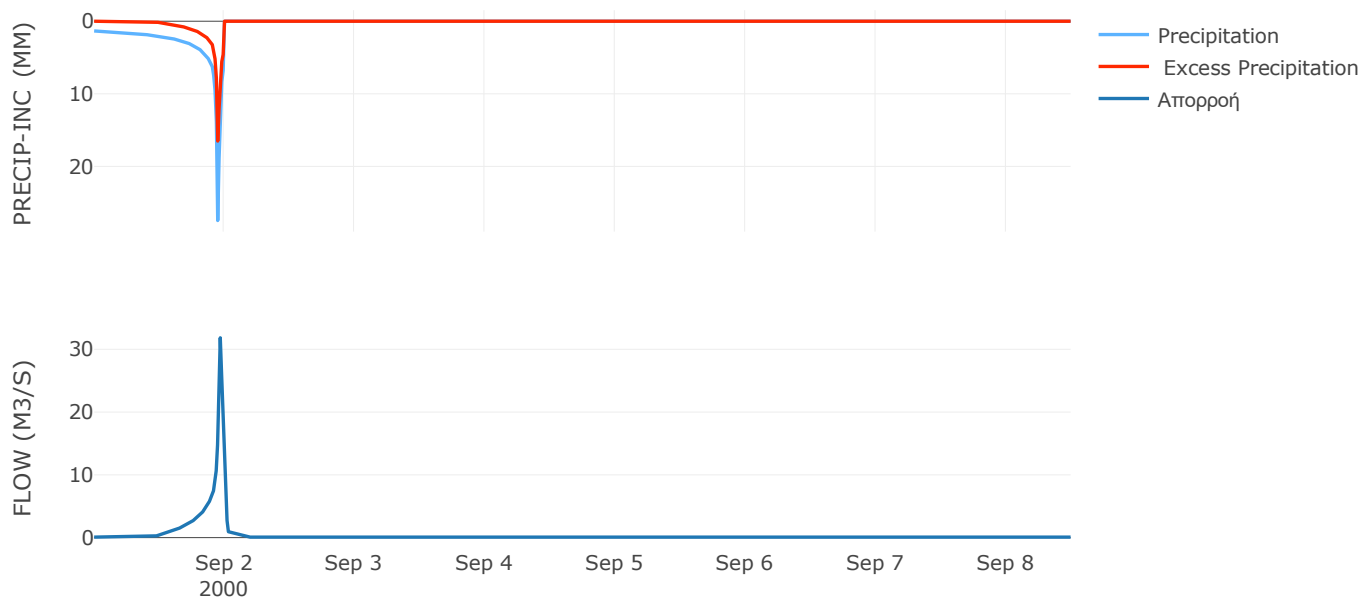
Μέθοδος
Μετασχηματισμού: SCS

Χρόνος Υστέρησης	14.75
------------------	-------

Αποτελέσματα:
EL0415FL007006

Παροχή αιχμής (M3/S)	31.83
Χρονική στιγμή αιχμής	01Sep2000, 23:15
Όγκος (MM)	130.11
Όγκος βροχόπτωσης (M3)	6.97E5
Όγκος απωλειών (M3)	4.57E5
Ενεργός Όγκος (M3)	2.4E5
Όγκος άμεσης απορροής (M3)	2.4E5
Όγκος βασικής απορροής (M3)	50644.44

Βροχόπτωση και Απορροή



Υπολεκάνη: EL0415FL007007

Έκταση (KM2) : 9.16

Κατάντη : J18

Μέθοδος Απωλειών: SCS

Ποσοστό αδιαπέρατης επιφάνειας	0
Αριθμός Καμπύλης Απορροής-CN	42.05
Αρχικές Απώλειες	70.02

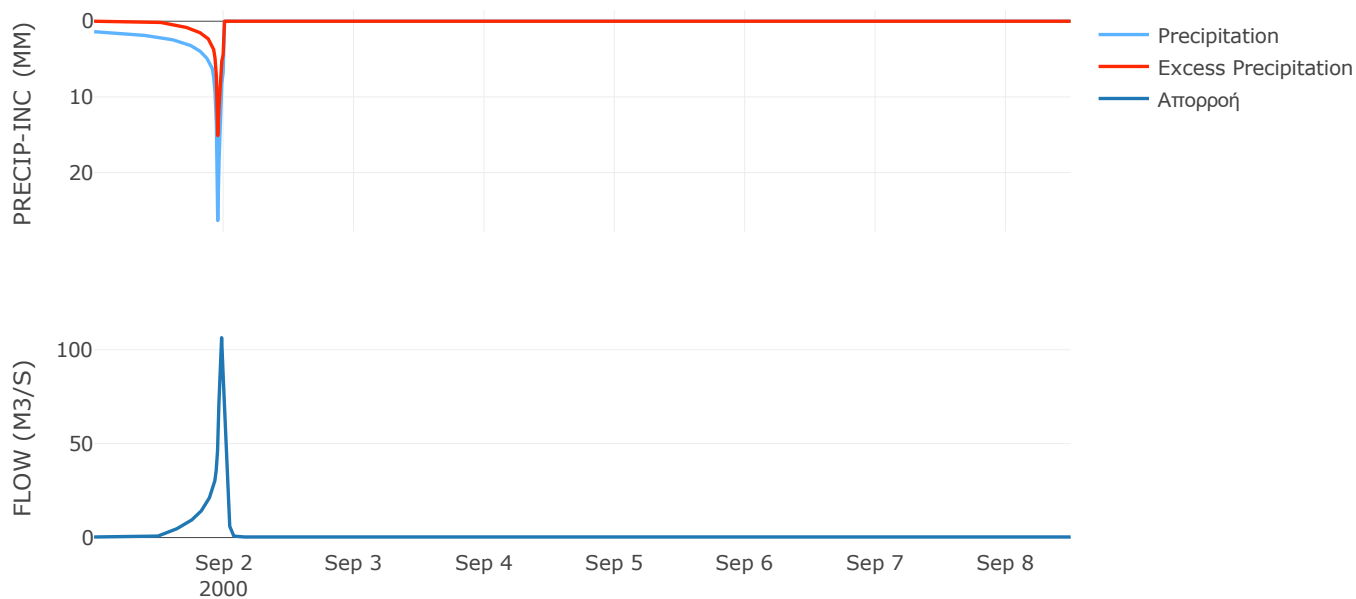
Μέθοδος
Μετασχηματισμού: SCS

Χρόνος Υστέρησης	24.01
------------------	-------

Αποτελέσματα:
EL0415FL007007

Παροχή αιχμής (M3/S)	106.42
Χρονική στιγμή αιχμής	01Sep2000, 23:30
Όγκος (MM)	122.77
Όγκος βροχόπτωσης (M3)	2.88E6
Όγκος απωλειών (M3)	1.96E6
Ενεργός Όγκος (M3)	9.17E5
Όγκος άμεσης απορροής (M3)	9.17E5
Όγκος βασικής απορροής (M3)	2.08E5

Βροχόπτωση και Απορροή



Υπολεκάνη: EL0415FL007008

Έκταση (KM2) : 7.8

Κατάληξη : J17

Μέθοδος Απωλειών: SCS

Ποσοστό αδιαπέρατης επιφάνειας	0
Αριθμός Καμπύλης Απορροής-CN	51.98
Αρχικές Απώλειες	46.94

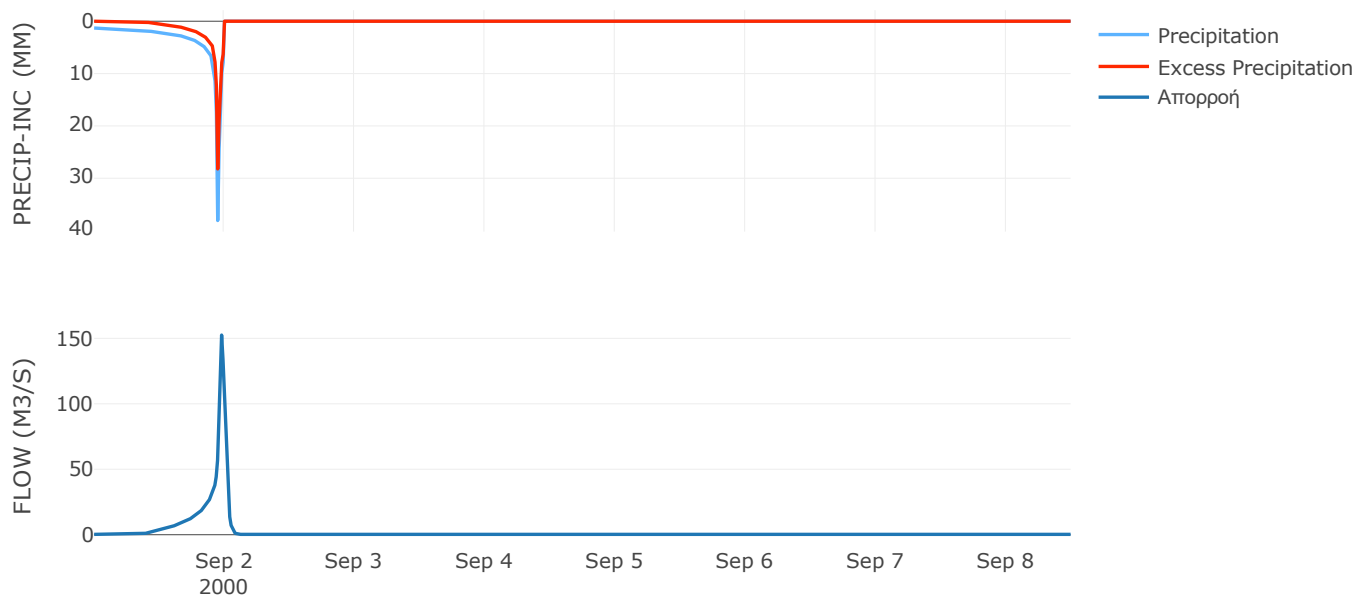
Μέθοδος
Μετασχηματισμού: SCS

Χρόνος Υστέρησης	29.56
------------------	-------

Αποτελέσματα:
EL0415FL007008

Παροχή αιχμής (M3/S)	152.52
Χρονική στιγμή αιχμής	01Sep2000, 23:30
Όγκος (MM)	192.54
Όγκος βροχόπτωσης (M3)	2.72E6
Όγκος απωλειών (M3)	1.4E6
Ενεργός Όγκος (M3)	1.33E6
Όγκος άμεσης απορροής (M3)	1.33E6
Όγκος βασικής απορροής (M3)	1.77E5

Βροχόπτωση και Απορροή



Υπολεκάνη: EL0415FL007009

Έκταση (KM2) : 11.83

Κατάντη : J17

Μέθοδος Απωλειών: SCS

Ποσοστό αδιαπέρατης επιφάνειας	0
Αριθμός Καμπύλης Απορροής-CN	65.08
Αρχικές Απώλειες	27.26

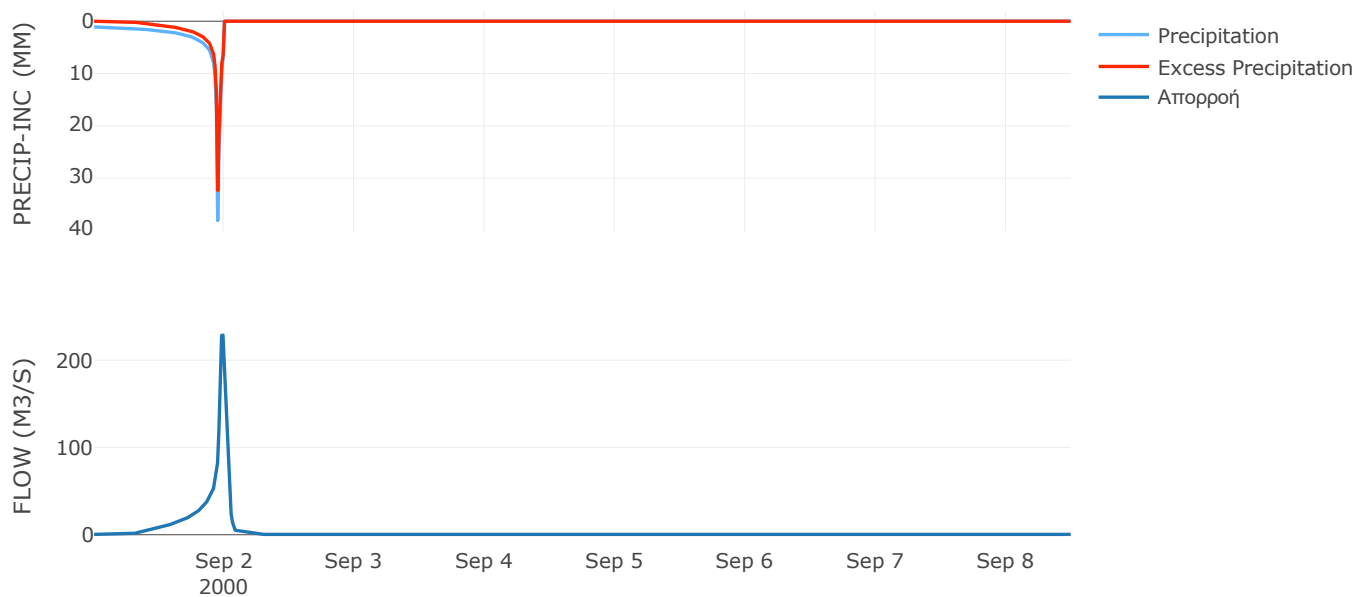
Μέθοδος
Μετασχηματισμού: SCS

Χρόνος Υστέρησης	38.27
------------------	-------

Αποτελέσματα:
EL0415FL007009

Παροχή αιχμής (M3/S)	228.77
Χρονική στιγμή αιχμής	01Sep2000, 23:45
Όγκος (MM)	217.1
Όγκος βροχόπτωσης (M3)	3.72E6
Όγκος απωλειών (M3)	1.42E6
Ενεργός Όγκος (M3)	2.3E6
Όγκος άμεσης απορροής (M3)	2.3E6
Όγκος βασικής απορροής (M3)	2.68E5

Βροχόπτωση και Απορροή



Υπολεκάνη: EL0415FL007010

Έκταση (KM2) : 1.62

Κατάντη : J10

Μέθοδος Απωλειών: SCS

Ποσοστό αδιαπέρατης επιφάνειας	0
Αριθμός Καμπύλης Απορροής-CN	79.15
Αρχικές Απώλειες	13.38

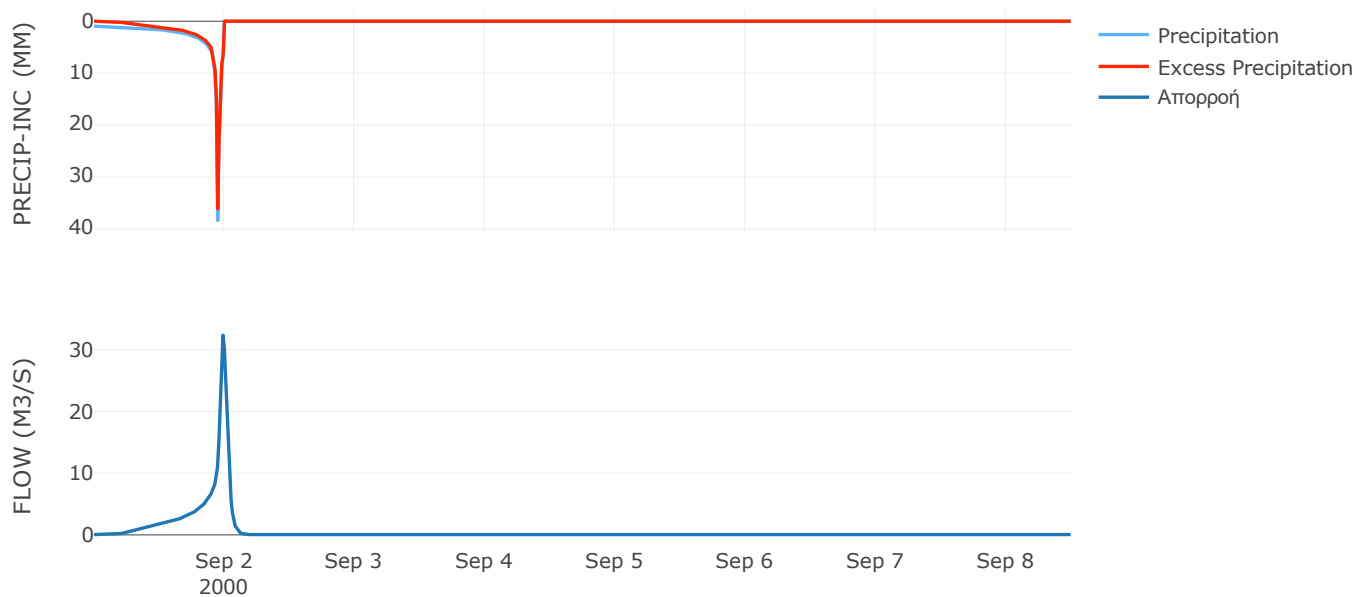
Μέθοδος
Μετασχηματισμού: SCS

Χρόνος Υστέρησης	46.11
------------------	-------

Αποτελέσματα:
EL0415FL007010

Παροχή αιχμής (M3/S)	32.34
Χρονική στιγμή αιχμής	01Sep2000, 23:45
Όγκος (MM)	247.36
Όγκος βροχόπτωσης (M3)	4.73E5
Όγκος απωλειών (M3)	1.09E5
Ενεργός Όγκος (M3)	3.64E5
Όγκος άμεσης απορροής (M3)	3.64E5
Όγκος βασικής απορροής (M3)	36696.24

Βροχόπτωση και Απορροή



Υπολεκάνη: EL0415FL007011

Έκταση (KM2) : 3.11

Κατάνη : J11

Μέθοδος Απωλειών: SCS

Ποσοστό αδιαπέρατης επιφάνειας	0
Αριθμός Καμπύλης Απορροής-CN	68.31
Αρχικές Απώλειες	23.57

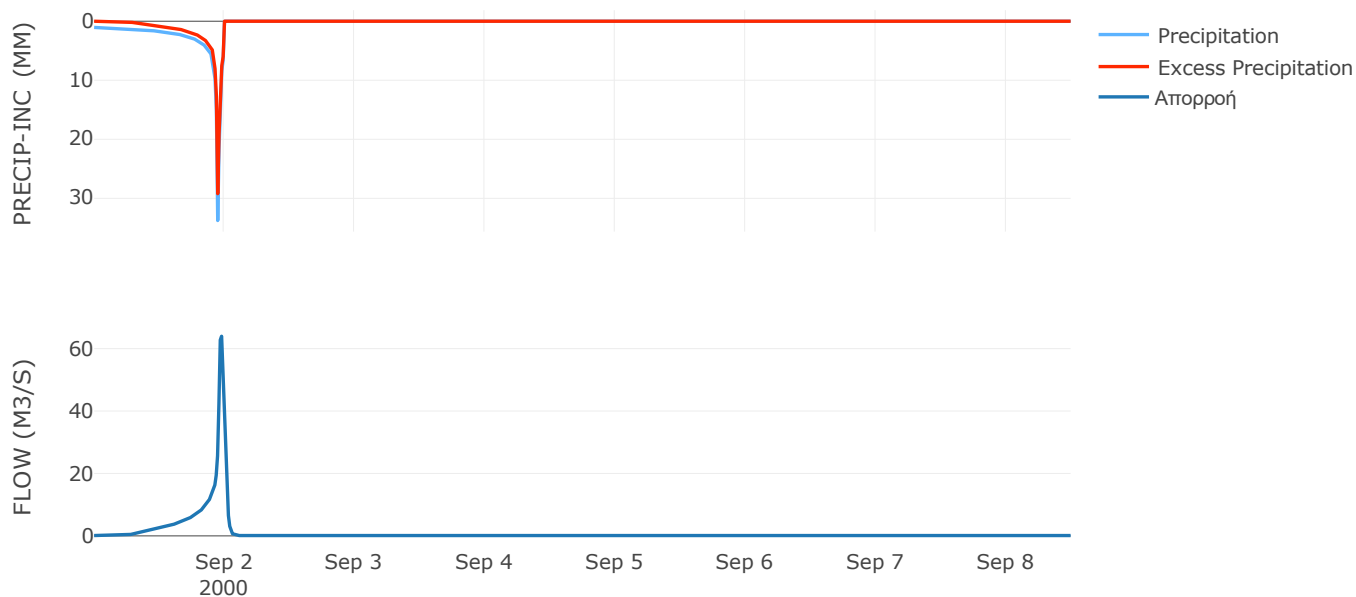
Μέθοδος
Μετασχηματισμού: SCS

Χρόνος Υστέρησης	24.36
------------------	-------

Αποτελέσματα:
EL0415FL007011

Παροχή αιχμής (M3/S)	63.96
Χρονική στιγμή αιχμής	01Sep2000, 23:30
Όγκος (MM)	209.43
Όγκος βροχόπτωσης (M3)	9.08E5
Όγκος απωλειών (M3)	3.28E5
Ενεργός Όγκος (M3)	5.8E5
Όγκος άμεσης απορροής (M3)	5.8E5
Όγκος βασικής απορροής (M3)	70470

Βροχόπτωση και Απορροή



Υπολεκάνη: EL0415FL007012

Έκταση (KM2) : 4.8

Κατάντη : J10

Μέθοδος Απωλειών: SCS

Ποσοστό αδιαπέρατης επιφάνειας	0
Αριθμός Καμπύλης Απορροής-CN	74.39
Αρχικές Απώλειες	17.49

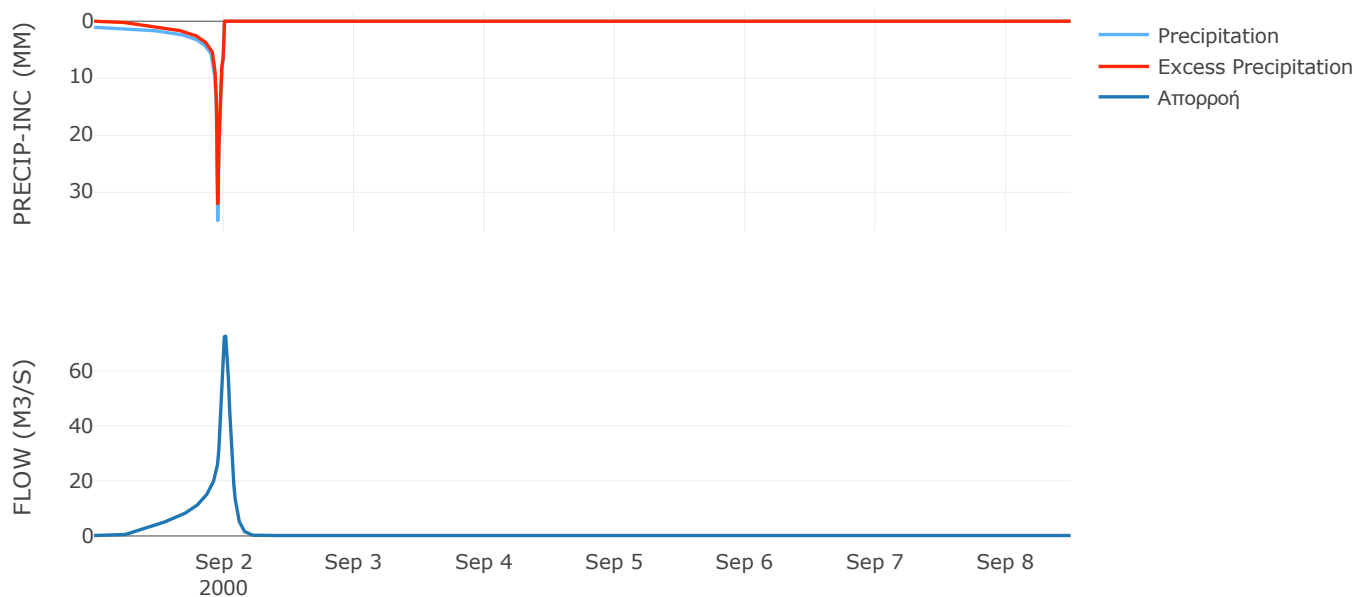
Μέθοδος
Μετασχηματισμού: SCS

Χρόνος Υστέρησης	68.89
------------------	-------

Αποτελέσματα:
EL0415FL007012

Παροχή αιχμής (M3/S)	72.58
Χρονική στιγμή αιχμής	02Sep2000, 00:15
Όγκος (MM)	237.01
Όγκος βροχόπτωσης (M3)	1.43E6
Όγκος απωλειών (M3)	4.04E5
Ενεργός Όγκος (M3)	1.03E6
Όγκος άμεσης απορροής (M3)	1.03E6
Όγκος βασικής απορροής (M3)	1.09E5

Βροχόπτωση και Απορροή



Υπολεκάνη: EL0415FL007013

Έκταση (KM2) : 1.31

Κατάνη : J15

Μέθοδος Απωλειών: SCS

Ποσοστό αδιαπέρατης επιφάνειας	0
Αριθμός Καμπύλης Απορροής-CN	79.19
Αρχικές Απώλειες	13.35

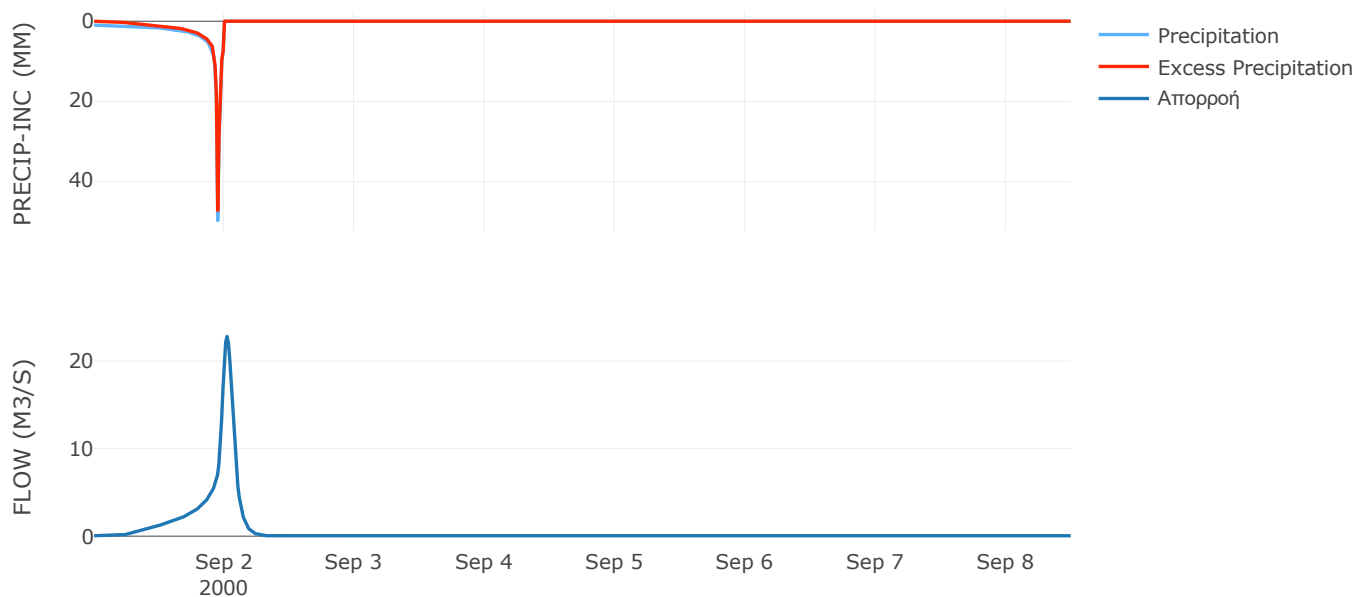
Μέθοδος
Μετασχηματισμού: SCS

Χρόνος Υστέρησης	93
------------------	----

Αποτελέσματα:
EL0415FL007013

Παροχή αιχμής (M3/S)	22.82
Χρονική στιγμή αιχμής	02Sep2000, 00:30
Όγκος (MM)	285.18
Όγκος βροχόπτωσης (M3)	4.35E5
Όγκος απωλειών (M3)	90022.94
Ενεργός Όγκος (M3)	3.45E5
Όγκος άμεσης απορροής (M3)	3.45E5
Όγκος βασικής απορροής (M3)	29801.52

Βροχόπτωση και Απορροή



Υπολεκάνη: EL0415FL007014

Έκταση (KM2) : 3.5

Κατάντη : J15

Μέθοδος Απωλειών: SCS

Ποσοστό αδιαπέρατης επιφάνειας	0
Αριθμός Καμπύλης Απορροής-CN	76.47
Αρχικές Απώλειες	15.63

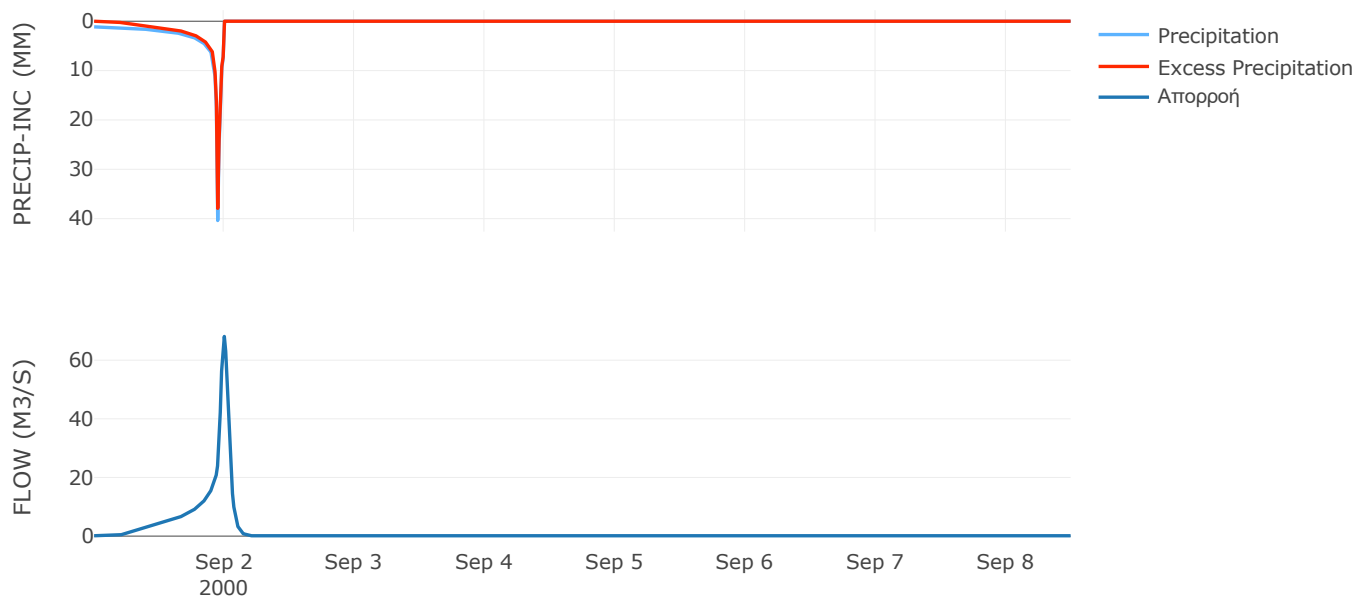
Μέθοδος
Μετασχηματισμού: SCS

Χρόνος Υστέρησης	57.16
------------------	-------

Αποτελέσματα:
EL0415FL007014

Παροχή αιχμής (M3/S)	68.09
Χρονική στιγμή αιχμής	01Sep2000, 24:00
Όγκος (MM)	274.71
Όγκος βροχόπτωσης (M3)	1.16E6
Όγκος απωλειών (M3)	2.74E5
Ενεργός Όγκος (M3)	8.83E5
Όγκος άμεσης απορροής (M3)	8.83E5
Όγκος βασικής απορροής (M3)	79451.28

Βροχόπτωση και Απορροή



Υπολεκάνη: EL0415FL007015

Έκταση (KM2) : 0.6

Κατάντη : J20

Μέθοδος Απωλειών: SCS

Ποσοστό αδιαπέρατης επιφάνειας	0
Αριθμός Καμπύλης Απορροής-CN	80.97
Αρχικές Απώλειες	11.94

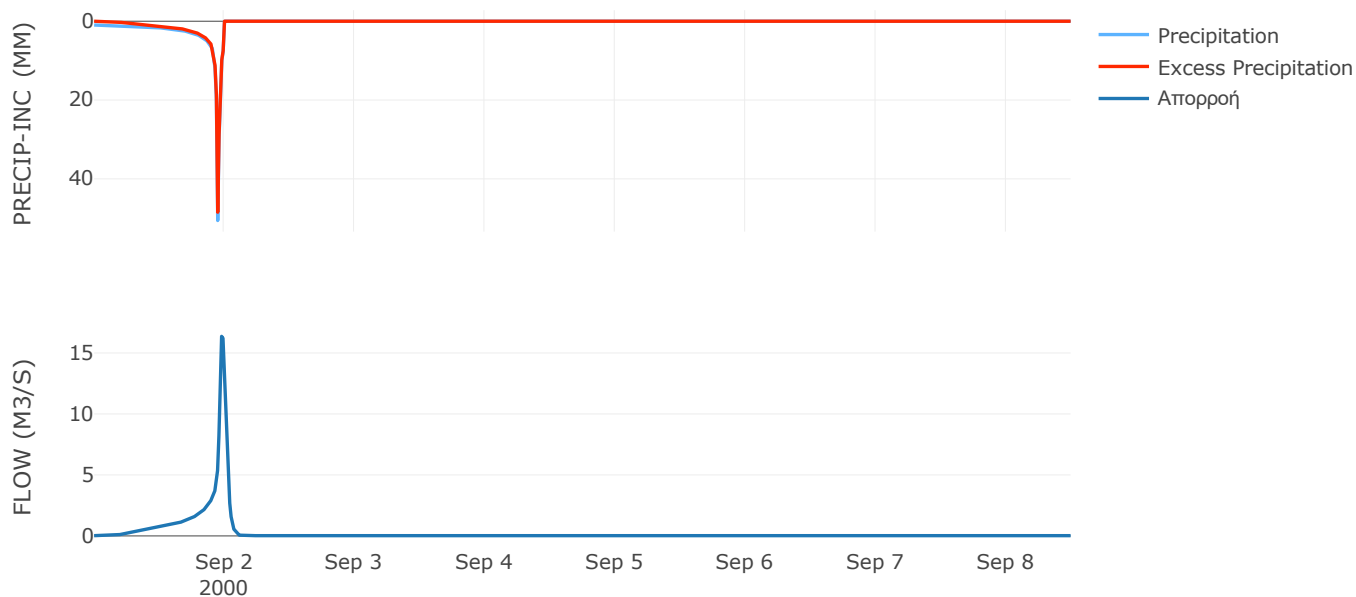
Μέθοδος
Μετασχηματισμού: SCS

Χρόνος Υστέρησης	38.29
------------------	-------

Αποτελέσματα:
EL0415FL007015

Παροχή αιχμής (M3/S)	16.36
Χρονική στιγμή αιχμής	01Sep2000, 23:30
Όγκος (MM)	293.44
Όγκος βροχόπτωσης (M3)	1.99E5
Όγκος απωλειών (M3)	37293.08
Ενεργός Όγκος (M3)	1.62E5
Όγκος άμεσης απορροής (M3)	1.62E5
Όγκος βασικής απορροής (M3)	13585.32

Βροχόπτωση και Απορροή



Υπολεκάνη: EL0415FL007016

Έκταση (KM2) : 0.07

Κατάντη : J14

Μέθοδος Απωλειών: SCS

Ποσοστό αδιαπέρατης επιφάνειας	0
Αριθμός Καμπύλης Απορροής-CN	78
Αρχικές Απώλειες	14.33

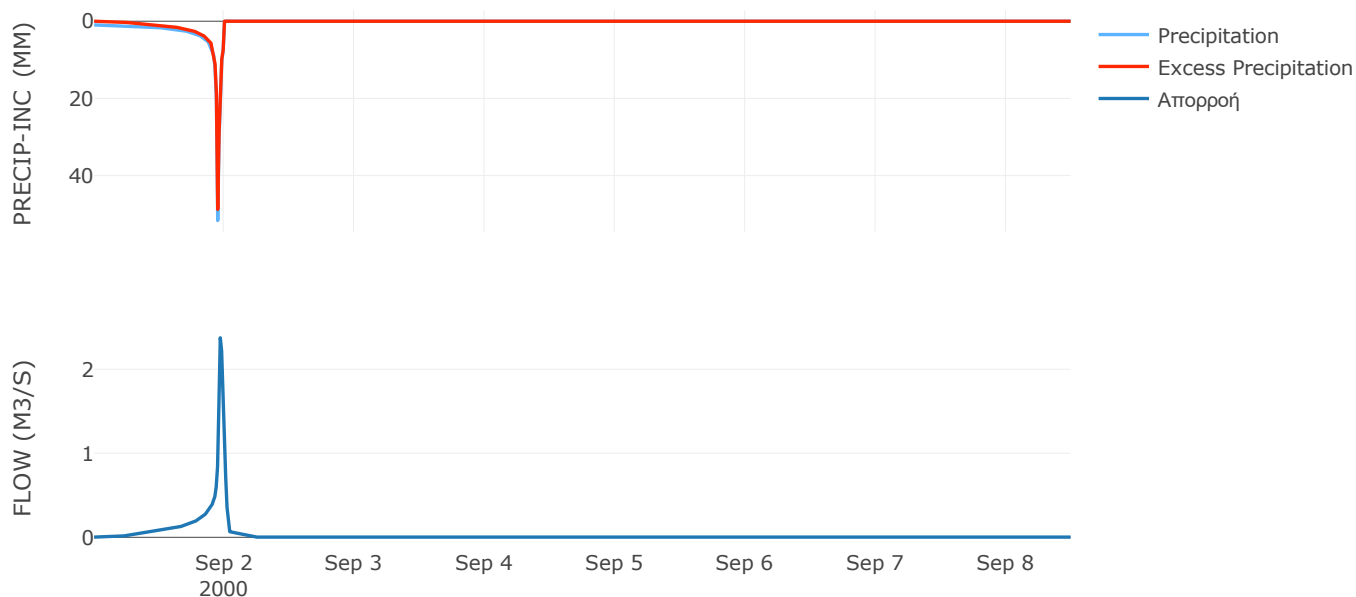
Μέθοδος
Μετασχηματισμού: SCS

Χρόνος Υστέρησης	21.88
------------------	-------

Αποτελέσματα:
EL0415FL007016

Παροχή αιχμής (M3/S)	2.37
Χρονική στιγμή αιχμής	01Sep2000, 23:15
Όγκος (MM)	285.17
Όγκος βροχόπτωσης (M3)	23477.14
Όγκος απωλειών (M3)	5102.96
Ενεργός Όγκος (M3)	18374.18
Όγκος άμεσης απορροής (M3)	18374.18
Όγκος βασικής απορροής (M3)	1587.6

Βροχόπτωση και Απορροή



Υπολεκάνη: EL0415FL007017

Έκταση (KM2) : 0.12

Κατάντη : J13

Μέθοδος Απωλειών: SCS

Ποσοστό αδιαπέρατης επιφάνειας	0
Αριθμός Καμπύλης Απορροής-CN	77.52
Αρχικές Απώλειες	14.73

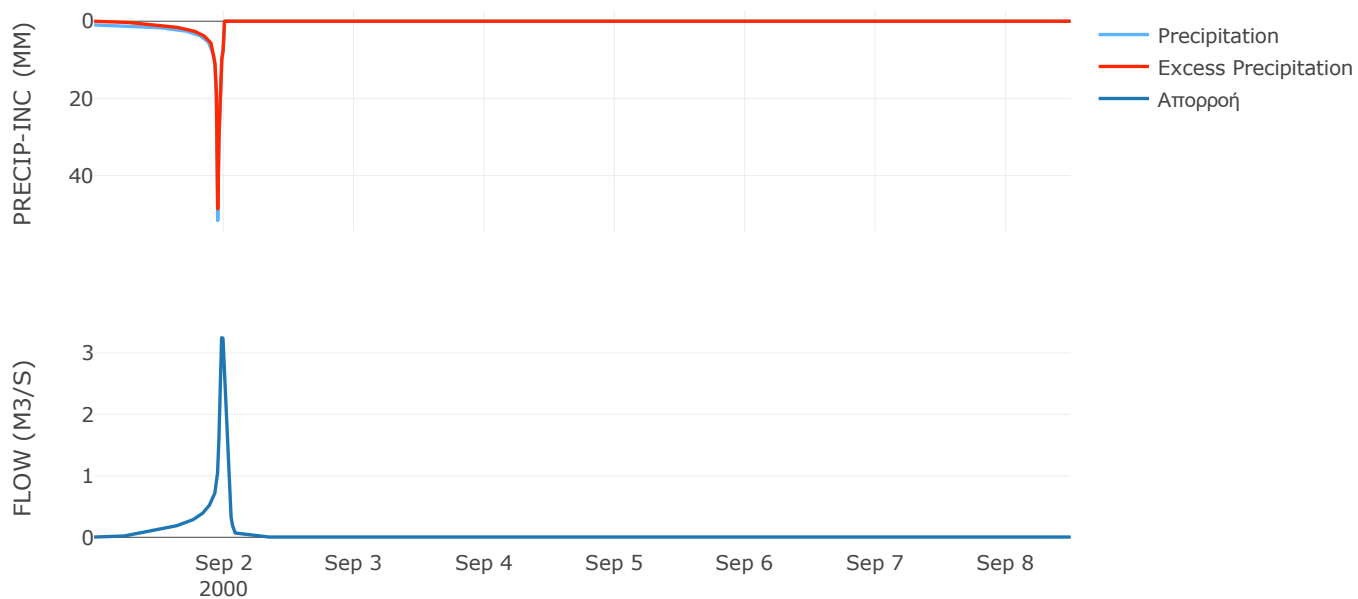
Μέθοδος
Μετασχηματισμού: SCS

Χρόνος Υστέρησης	38.73
------------------	-------

Αποτελέσματα:
EL0415FL007017

Παροχή αιχμής (M3/S)	3.25
Χρονική στιγμή αιχμής	01Sep2000, 23:30
Όγκος (MM)	283.43
Όγκος βροχόπτωσης (M3)	40246.53
Όγκος απωλειών (M3)	8955.96
Ενεργός Όγκος (M3)	31290.57
Όγκος άμεσης απορροής (M3)	31290.57
Όγκος βασικής απορροής (M3)	2721.6

Βροχόπτωση και Απορροή



Υπολεκάνη: EL0415FL007018

Έκταση (KM2) : 6.09

Κατάντη : J7

Μέθοδος Απωλειών: SCS

Ποσοστό αδιαπέρατης επιφάνειας	0
Αριθμός Καμπύλης Απορροής-CN	66.15
Αρχικές Απώλειες	26

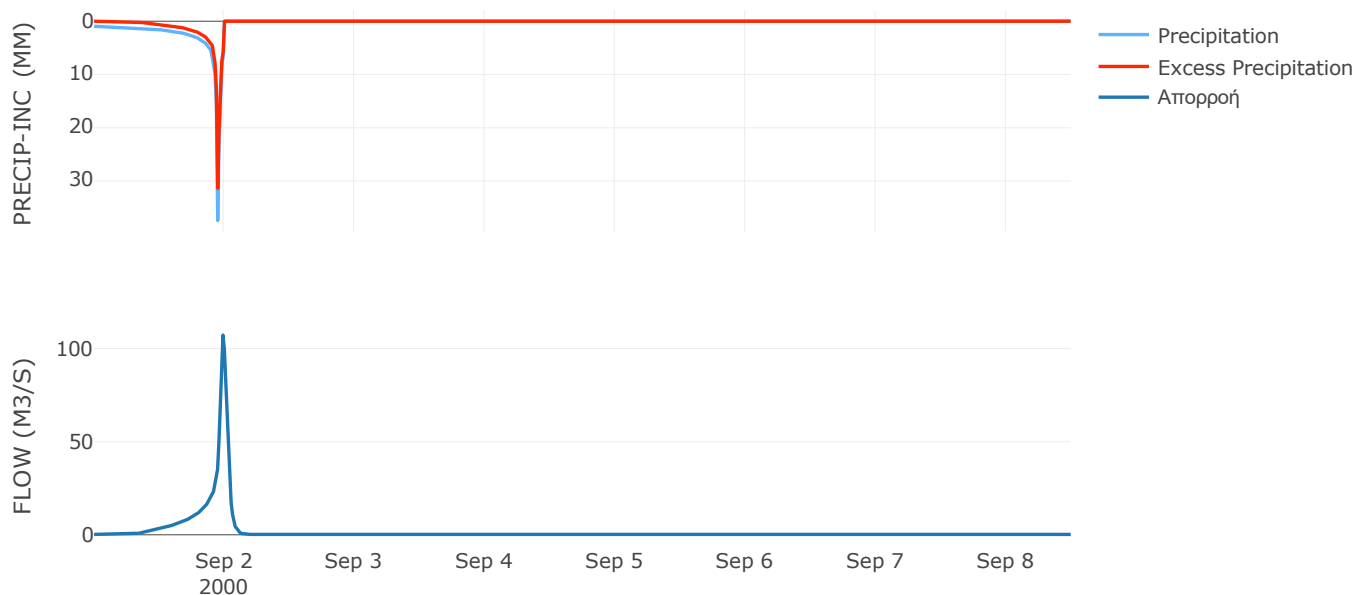
Μέθοδος
Μετασχηματισμού: SCS

Χρόνος Υστέρησης	44.92
------------------	-------

Αποτελέσματα:
EL0415FL007018

Παροχή αιχμής (M3/S)	107.23
Χρονική στιγμή αιχμής	01Sep2000, 23:45
Όγκος (MM)	197.5
Όγκος βροχόπτωσης (M3)	1.75E6
Όγκος απωλειών (M3)	6.87E5
Ενεργός Όγκος (M3)	1.06E6
Όγκος άμεσης απορροής (M3)	1.06E6
Όγκος βασικής απορροής (M3)	1.38E5

Βροχόπτωση και Απορροή



Υπολεκάνη: EL0415FL007020

Έκταση (KM2) : 6.38

Κατάντη : J6

Μέθοδος Απωλειών: SCS

Ποσοστό αδιαπέρατης επιφάνειας	0
Αριθμός Καμπύλης Απορροής-CN	55.84
Αρχικές Απώλειες	40.17

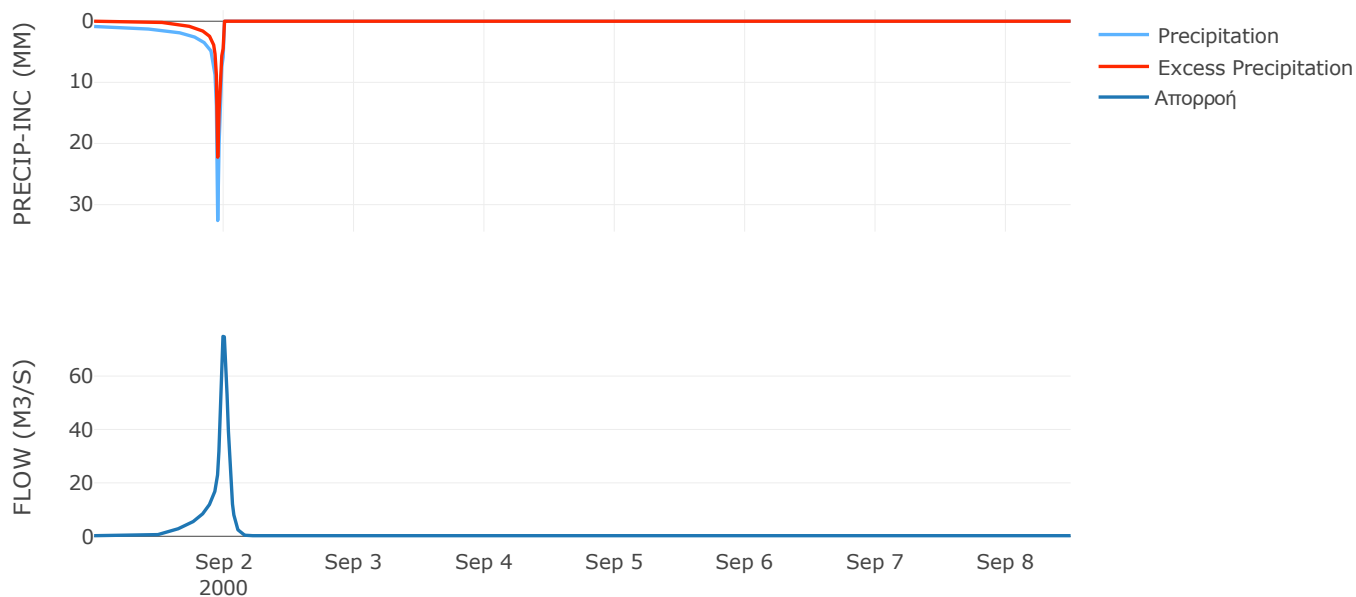
Μέθοδος
Μετασχηματισμού: SCS

Χρόνος Υστέρησης	50.97
------------------	-------

Αποτελέσματα:
EL0415FL007020

Παροχή αιχμής (M3/S)	74.88
Χρονική στιγμή αιχμής	01Sep2000, 23:45
Όγκος (MM)	134.83
Όγκος βροχόπτωσης (M3)	1.64E6
Όγκος απωλειών (M3)	9.2E5
Ενεργός Όγκος (M3)	7.15E5
Όγκος άμεσης απορροής (M3)	7.15E5
Όγκος βασικής απορροής (M3)	1.45E5

Βροχόπτωση και Απορροή



Υπολεκάνη: EL0415FL007021

Έκταση (KM2) : 6.96

Κατάντη : J9

Μέθοδος Απωλειών: SCS

Ποσοστό αδιαπέρατης επιφάνειας	0
Αριθμός Καμπύλης Απορροής-CN	64.83
Αρχικές Απώλειες	27.55

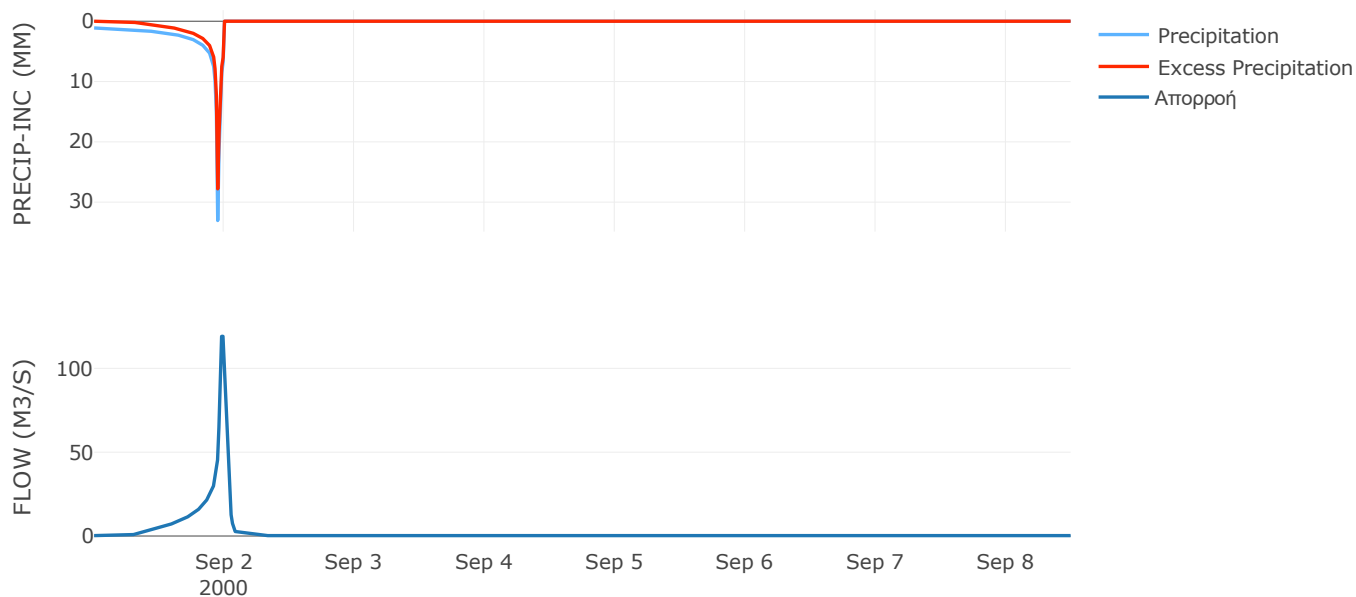
Μέθοδος
Μετασχηματισμού: SCS

Χρόνος Υστέρησης	37.97
------------------	-------

Αποτελέσματα:
EL0415FL007021

Παροχή αιχμής (M3/S)	119.13
Χρονική στιγμή αιχμής	01Sep2000, 23:45
Όγκος (MM)	204.11
Όγκος βροχόπτωσης (M3)	2.09E6
Όγκος απωλειών (M3)	8.29E5
Ενεργός Όγκος (M3)	1.26E6
Όγκος άμεσης απορροής (M3)	1.26E6
Όγκος βασικής απορροής (M3)	1.58E5

Βροχόπτωση και Απορροή



Υπολεκάνη: EL0415FL007022

Έκταση (KM2) : 4.73

Κατάντη : J8

Μέθοδος Απωλειών: SCS

Ποσοστό αδιαπέρατης επιφάνειας	0
Αριθμός Καμπύλης Απορροής-CN	69.05
Αρχικές Απώλειες	22.77

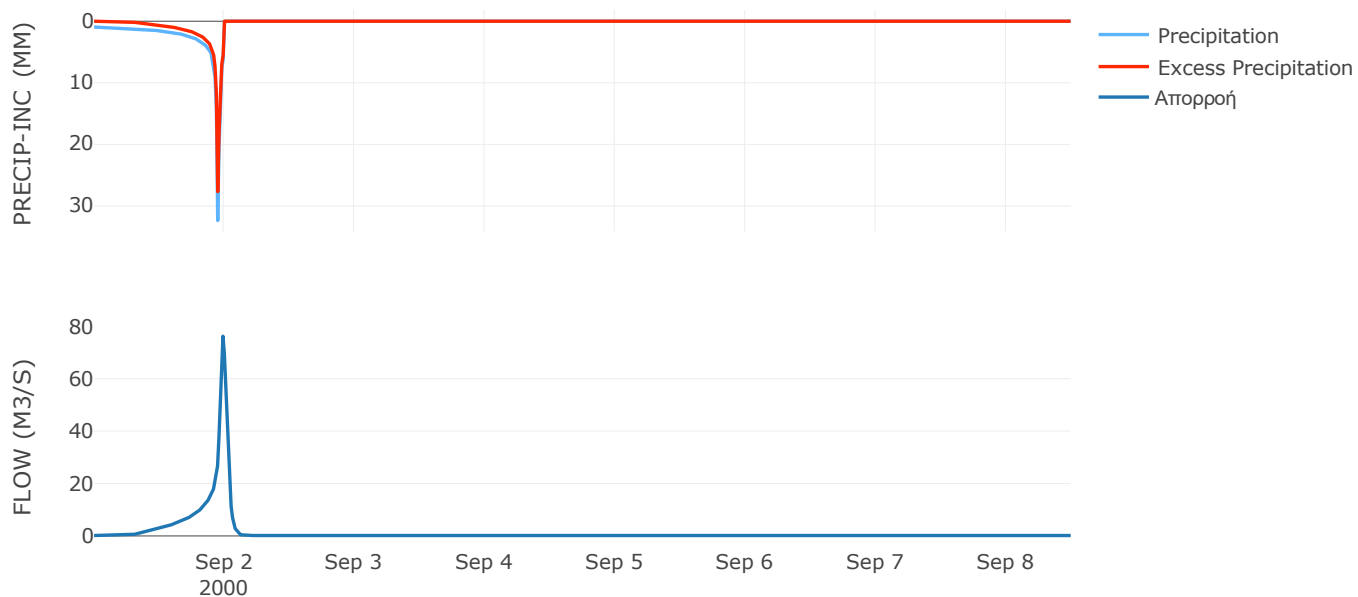
Μέθοδος
Μετασχηματισμού: SCS

Χρόνος Υστέρησης	43.26
------------------	-------

Αποτελέσματα:
EL0415FL007022

Παροχή αιχμής (M3/S)	76.17
Χρονική στιγμή αιχμής	01Sep2000, 23:45
Όγκος (MM)	191.5
Όγκος βροχόπτωσης (M3)	1.27E6
Όγκος απωλειών (M3)	4.76E5
Ενεργός Όγκος (M3)	7.98E5
Όγκος άμεσης απορροής (M3)	7.98E5
Όγκος βασικής απορροής (M3)	1.07E5

Βροχόπτωση και Απορροή



Υπολεκάνη: EL0415FL007023

Έκταση (KM2) : 1.36

Κατάντη : J3

Μέθοδος Απωλειών: SCS

Ποσοστό αδιαπέρατης επιφάνειας	0
Αριθμός Καμπύλης Απορροής-CN	79.75
Αρχικές Απώλειες	12.89

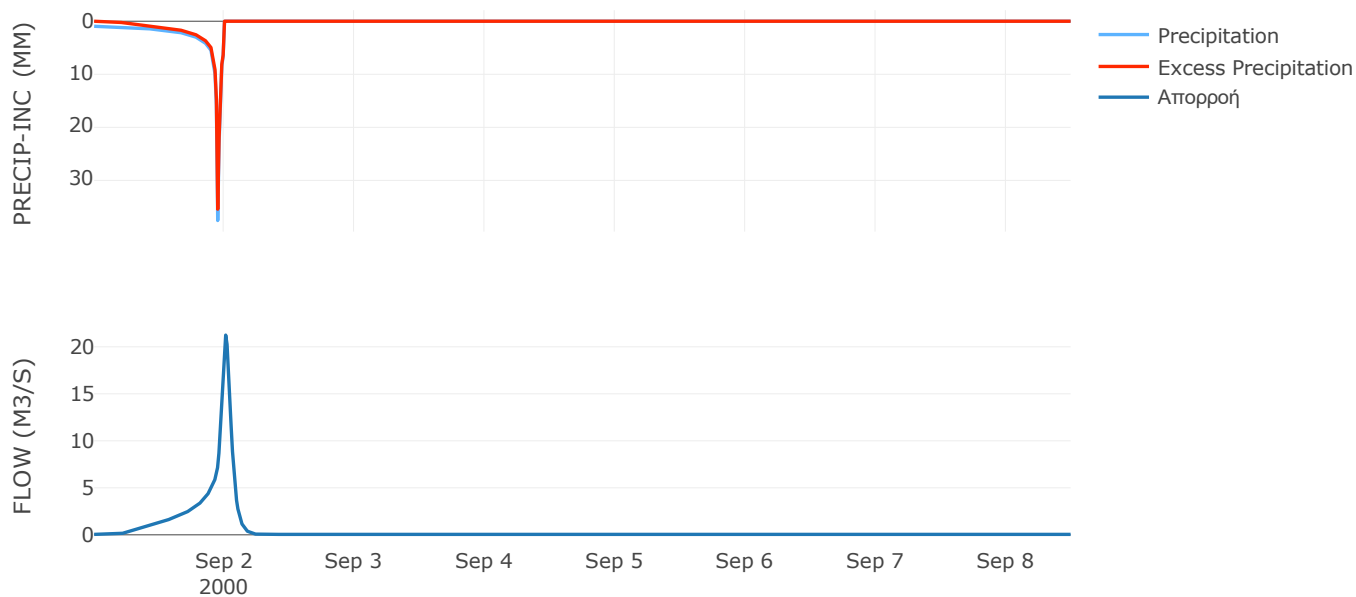
Μέθοδος
Μετασχηματισμού: SCS

Χρόνος Υστέρησης	75.12
------------------	-------

Αποτελέσματα:
EL0415FL007023

Παροχή αιχμής (M3/S)	21.25
Χρονική στιγμή αιχμής	02Sep2000, 00:15
Όγκος (MM)	246.12
Όγκος βροχόπτωσης (M3)	3.94E5
Όγκος απωλειών (M3)	88864.05
Ενεργός Όγκος (M3)	3.05E5
Όγκος άμεσης απορροής (M3)	3.05E5
Όγκος βασικής απορροής (M3)	30935.52

Βροχόπτωση και Απορροή



Υπολεκάνη: EL0415FL007024

Έκταση (KM2) : 0.88

Κατάντη : J7

Μέθοδος Απωλειών: SCS

Ποσοστό αδιαπέρατης επιφάνειας	0
Αριθμός Καμπύλης Απορροής-CN	78.87
Αρχικές Απώλειες	13.61

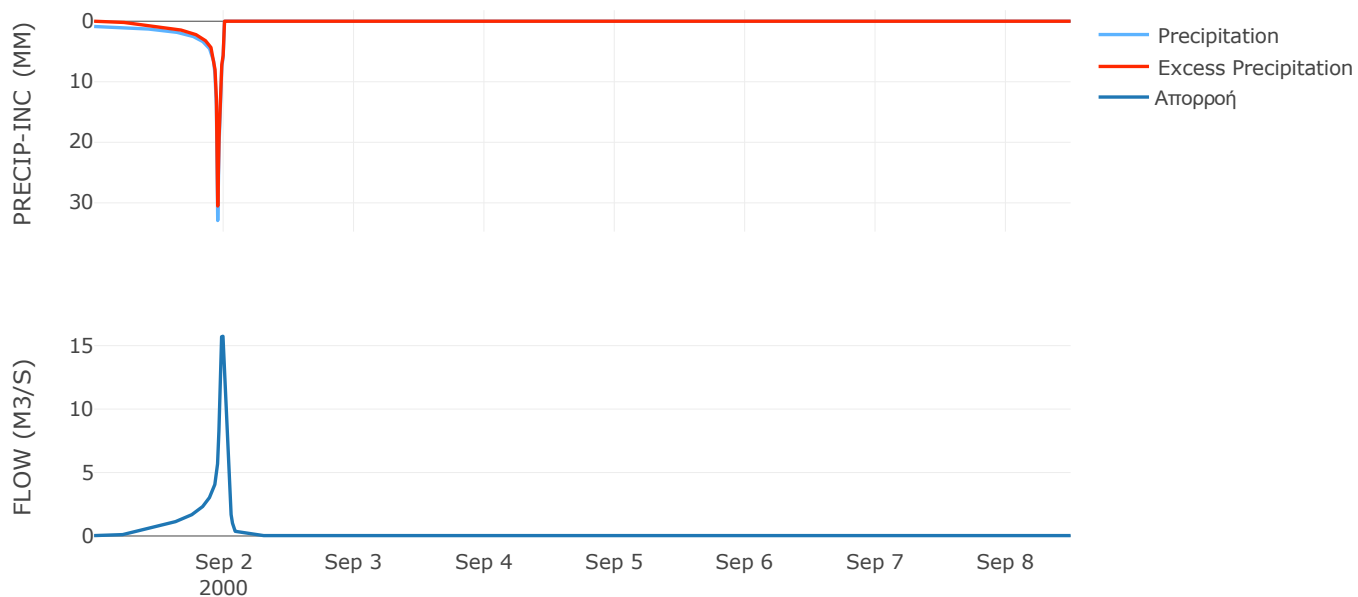
Μέθοδος
Μετασχηματισμού: SCS

Χρόνος Υστέρησης	38.76
------------------	-------

Αποτελέσματα:
EL0415FL007024

Παροχή αιχμής (M3/S)	15.74
Χρονική στιγμή αιχμής	01Sep2000, 23:45
Όγκος (MM)	214.98
Όγκος βροχόπτωσης (M3)	2.28E5
Όγκος απωλειών (M3)	58742.11
Ενεργός Όγκος (M3)	1.69E5
Όγκος άμεσης απορροής (M3)	1.69E5
Όγκος βασικής απορροής (M3)	19913.04

Βροχόπτωση και Απορροή



Υπολεκάνη: EL0415FL007025

Έκταση (KM2) : 3.8

Κατάντη : J5

Μέθοδος Απωλειών: SCS

Ποσοστό αδιαπέρατης επιφάνειας	0
Αριθμός Καμπύλης Απορροής-CN	64.94
Αρχικές Απώλειες	27.43

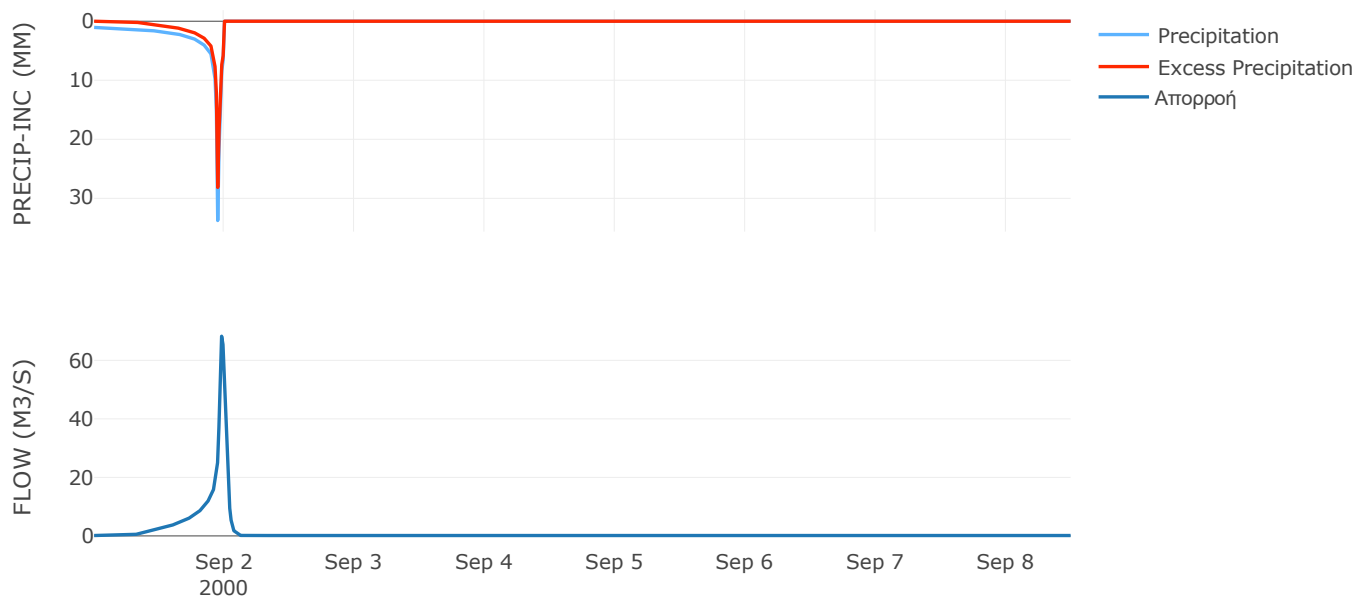
Μέθοδος
Μετασχηματισμού: SCS

Χρόνος Υστέρησης	34.86
------------------	-------

Αποτελέσματα:
EL0415FL007025

Παροχή αιχμής (M3/S)	68.25
Χρονική στιγμή αιχμής	01Sep2000, 23:30
Όγκος (MM)	197.12
Όγκος βροχόπτωσης (M3)	1.11E6
Όγκος απωλειών (M3)	4.47E5
Ενεργός Όγκος (M3)	6.63E5
Όγκος άμεσης απορροής (M3)	6.63E5
Όγκος βασικής απορροής (M3)	86164.56

Βροχόπτωση και Απορροή



Υπολεκάνη: EL0415FL007026

Έκταση (KM2) : 1.93

Κατάντη : J12

Μέθοδος Απωλειών: SCS

Ποσοστό αδιαπέρατης επιφάνειας	0
Αριθμός Καμπύλης Απορροής-CN	42.7
Αρχικές Απώλειες	68.17

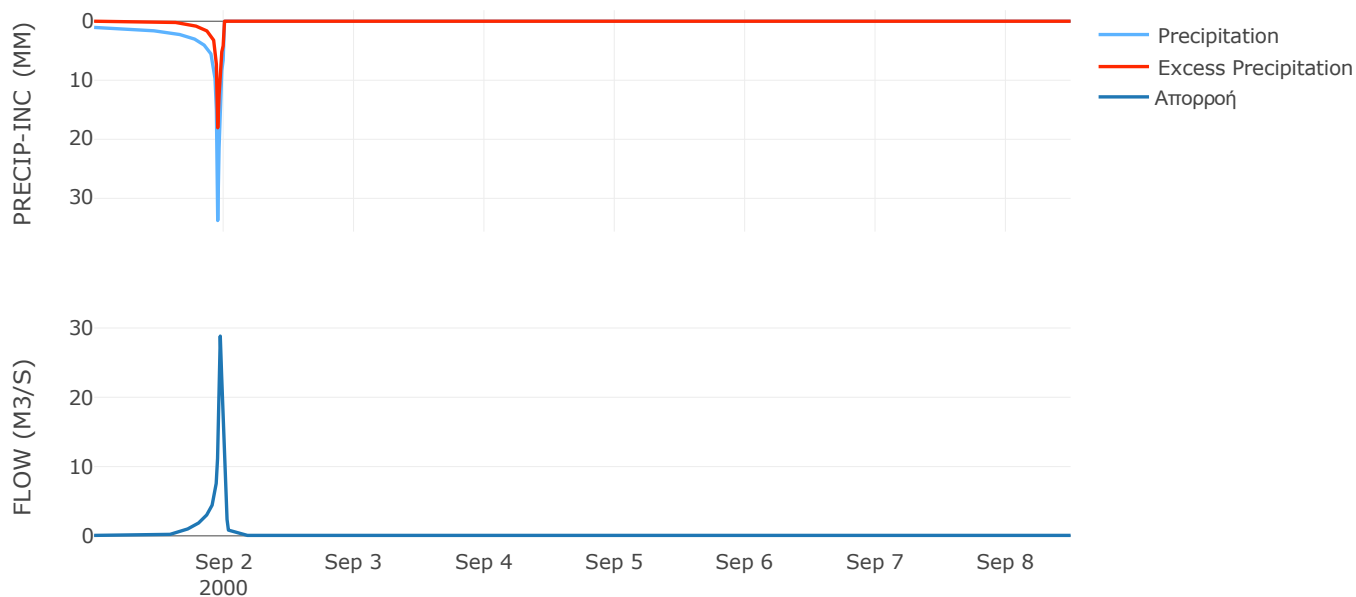
Μέθοδος
Μετασχηματισμού: SCS

Χρόνος Υστέρησης	15.25
------------------	-------

Αποτελέσματα:
EL0415FL007026

Παροχή αιχμής (M3/S)	28.83
Χρονική στιγμή αιχμής	01Sep2000, 23:15
Όγκος (MM)	111.54
Όγκος βροχόπτωσης (M3)	5.63E5
Όγκος απωλειών (M3)	3.92E5
Ενεργός Όγκος (M3)	1.71E5
Όγκος άμεσης απορροής (M3)	1.71E5
Όγκος βασικής απορροής (M3)	43727.04

Βροχόπτωση και Απορροή



Υπολεκάνη: EL0415FL007027

Έκταση (KM2) : 5.66

Κατάντη : J4

Μέθοδος Απωλειών: SCS

Ποσοστό αδιαπέρατης επιφάνειας	0
Αριθμός Καμπύλης Απορροής-CN	75.61
Αρχικές Απώλειες	16.38

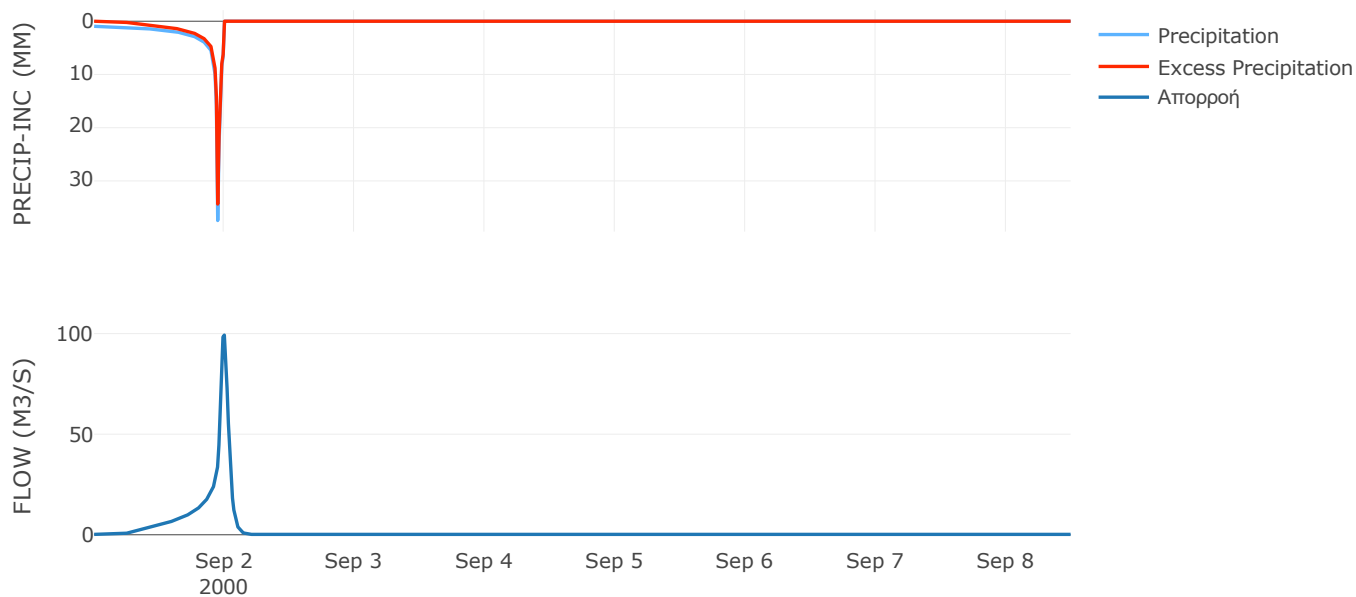
Μέθοδος
Μετασχηματισμού: SCS

Χρόνος Υστέρησης	54.24
------------------	-------

Αποτελέσματα:
EL0415FL007027

Παροχή αιχμής (M3/S)	99.26
Χρονική στιγμή αιχμής	01Sep2000, 24:00
Όγκος (MM)	232.1
Όγκος βροχόπτωσης (M3)	1.63E6
Όγκος απωλειών (M3)	4.49E5
Ενεργός Όγκος (M3)	1.19E6
Όγκος άμεσης απορροής (M3)	1.19E6
Όγκος βασικής απορροής (M3)	1.28E5

Βροχόπτωση και Απορροή



Υπολεκάνη: EL0415FL007028

Έκταση (KM2) : 1.73

Κατάντη : J14

Μέθοδος Απωλειών: SCS

Ποσοστό αδιαπέρατης επιφάνειας	0
Αριθμός Καμπύλης Απορροής-CN	78.27
Αρχικές Απώλειες	14.1

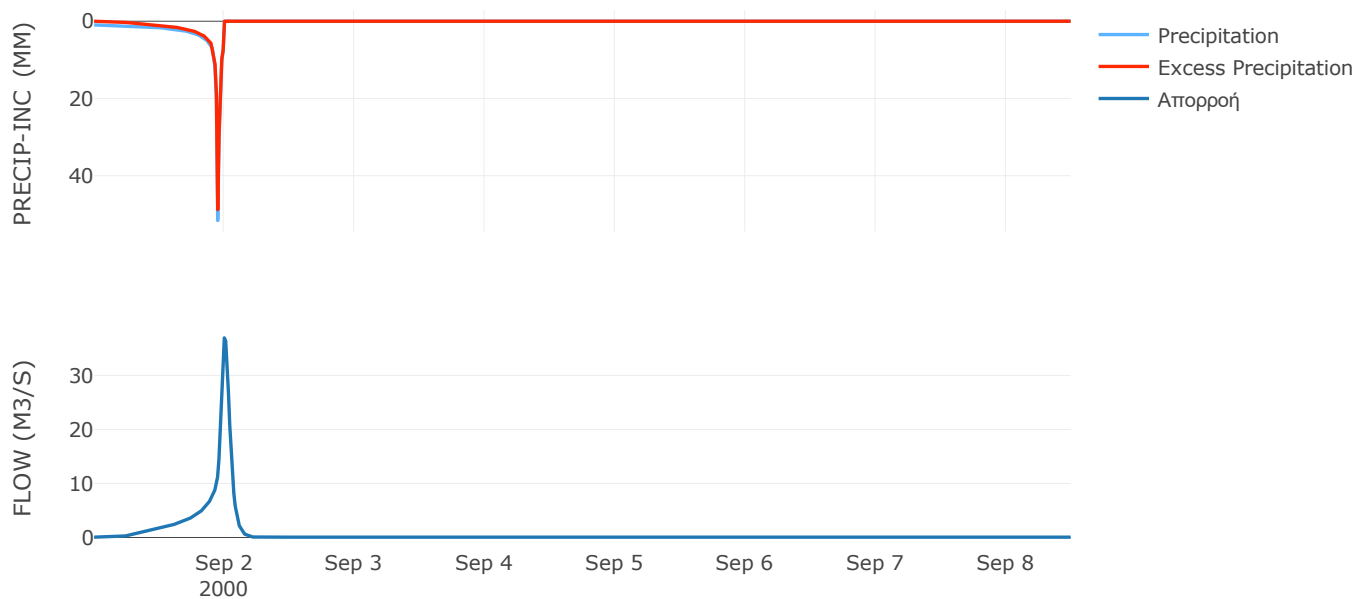
Μέθοδος
Μετασχηματισμού: SCS

Χρόνος Υστέρησης	66.38
------------------	-------

Αποτελέσματα:
EL0415FL007028

Παροχή αιχμής (M3/S)	36.97
Χρονική στιγμή αιχμής	01Sep2000, 24:00
Όγκος (MM)	286.07
Όγκος βροχόπτωσης (M3)	5.8E5
Όγκος απωλειών (M3)	1.24E5
Ενεργός Όγκος (M3)	4.56E5
Όγκος άμεσης απορροής (M3)	4.56E5
Όγκος βασικής απορροής (M3)	39236.4

Βροχόπτωση και Απορροή



8.2 Δεδομένα και υδρογραφήματα σχεδιασμού Κλάδων υδρογραφικού δικτύου

Κλάδος: R21

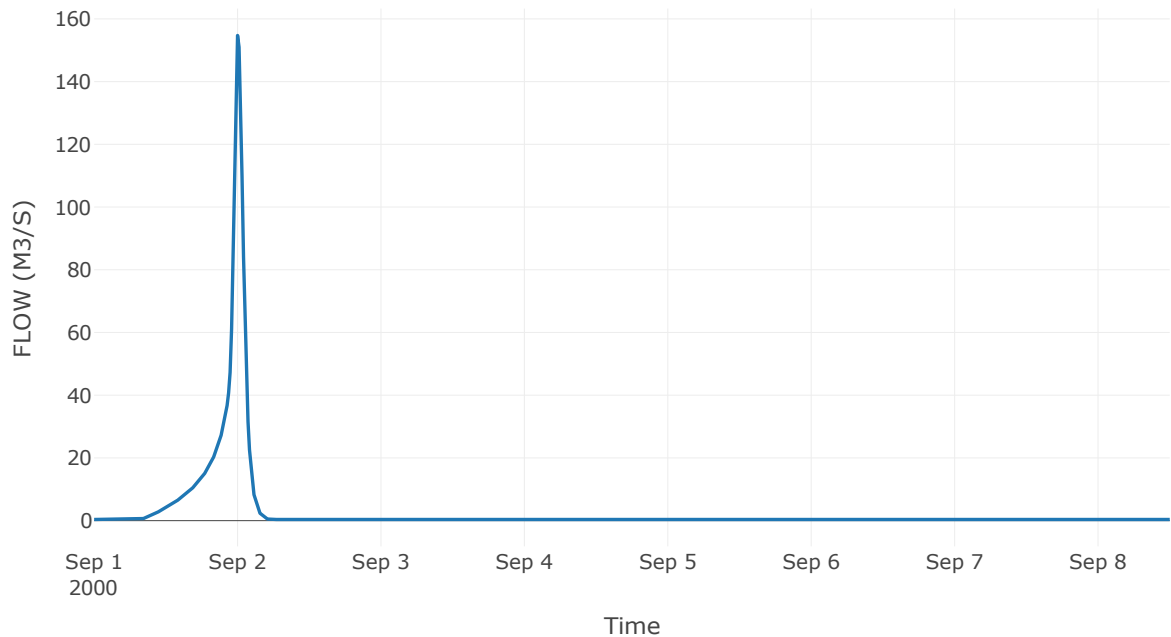
Κατάντη : J1

Μέθοδος Διόδευσης	Χρόνος
Αρχική Μεταβλητή	Combined Inflow
Χρόνος Υστέρησης	0

Αποτελέσματα: R21

Παροχή Αιχμής(M3/S)	154.72
Χρονική στιγμή αιχμής	01Sep2000, 24:00
Όγκος(MM)	188.45
Παροχή Αιχμής Εισόδου (M3/S)	154.72
Όγκος Εισροής(M3)	1.99E6

Απορροή



Κλάδος: R31

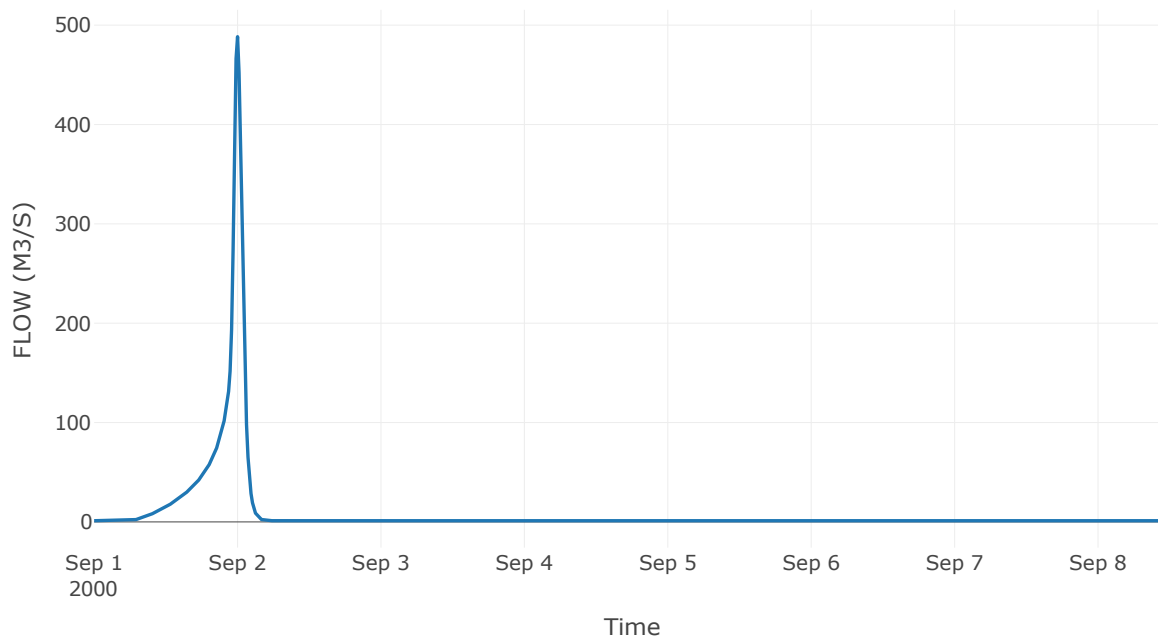
Κατάντη : J1

Μέθοδος Διόδευσης	Χρόνος
Αρχική Μεταβλητή	Combined Inflow
Χρόνος Υστέρησης	0

Αποτελέσματα: R31

Παροχή Αιχμής(M3/S)	488.38
Χρονική στιγμή αιχμής	01Sep2000, 24:00
Όγκος(MM)	180.61
Παροχή Αιχμής Εισόδου (M3/S)	488.38
Όγκος Εισροής(M3)	6.09E6

Απορροή



Κλάδος: R41

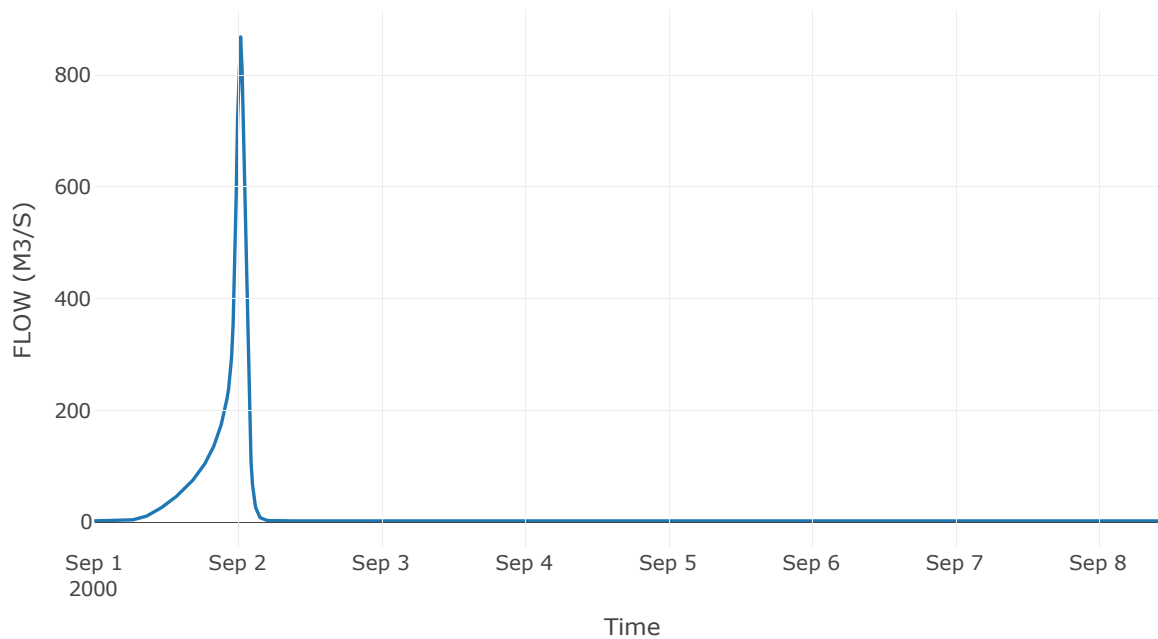
Κατάντη : J1

Μέθοδος Διόδευσης	Χρόνος
Αρχική Μεταβλητή	Combined Inflow
Χρόνος Υστέρησης	0

Αποτελέσματα: R41

Παροχή Αιχμής(M3/S)	868.38
Χρονική στιγμή αιχμής	02Sep2000, 00:30
Όγκος(MM)	189.79
Παροχή Αιχμής Εισόδου (M3/S)	868.38
Όγκος Εισροής(M3)	1.22E7

Απορροή



Κλάδος: R51

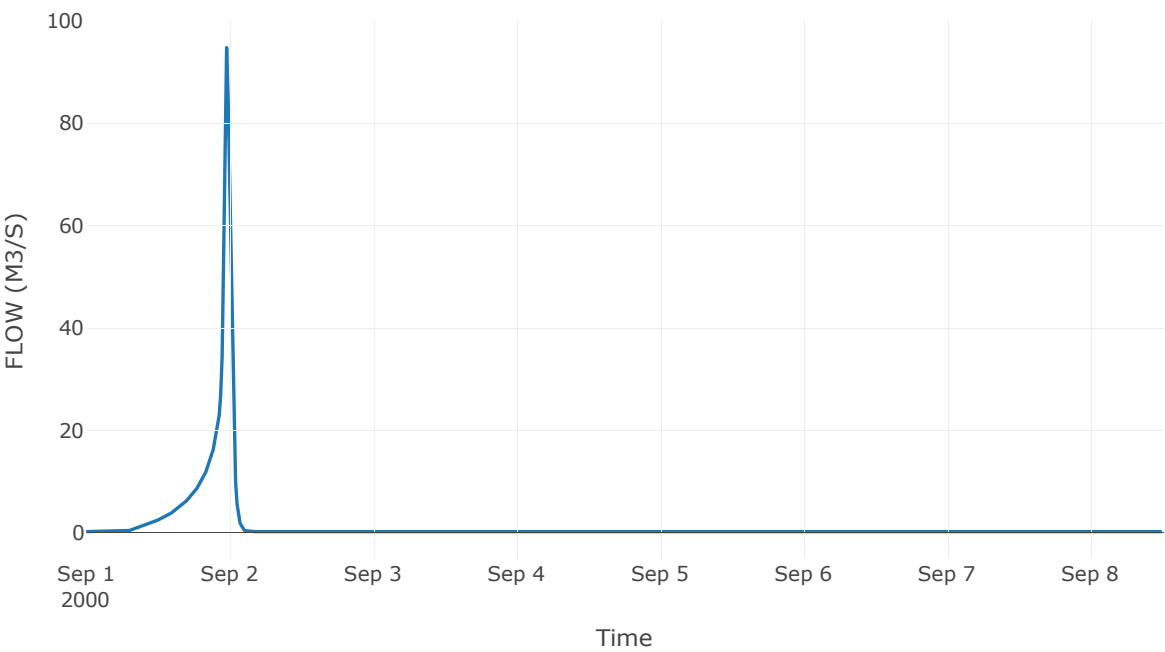
Κατάντη : J1

Μέθοδος Διόδευσης	Χρόνος
Αρχική Μεταβλητή	Combined Inflow
Χρόνος Υστέρησης	0

Αποτελέσματα: R51

Παροχή Αιχμής(M3/S)	94.74
Χρονική στιγμή αιχμής	01Sep2000, 23:30
Όγκος(MM)	168.31
Παροχή Αιχμής Εισόδου (M3/S)	94.74
Όγκος Εισροής(M3)	9.64E5

Απορροή



Κλάδος: R63

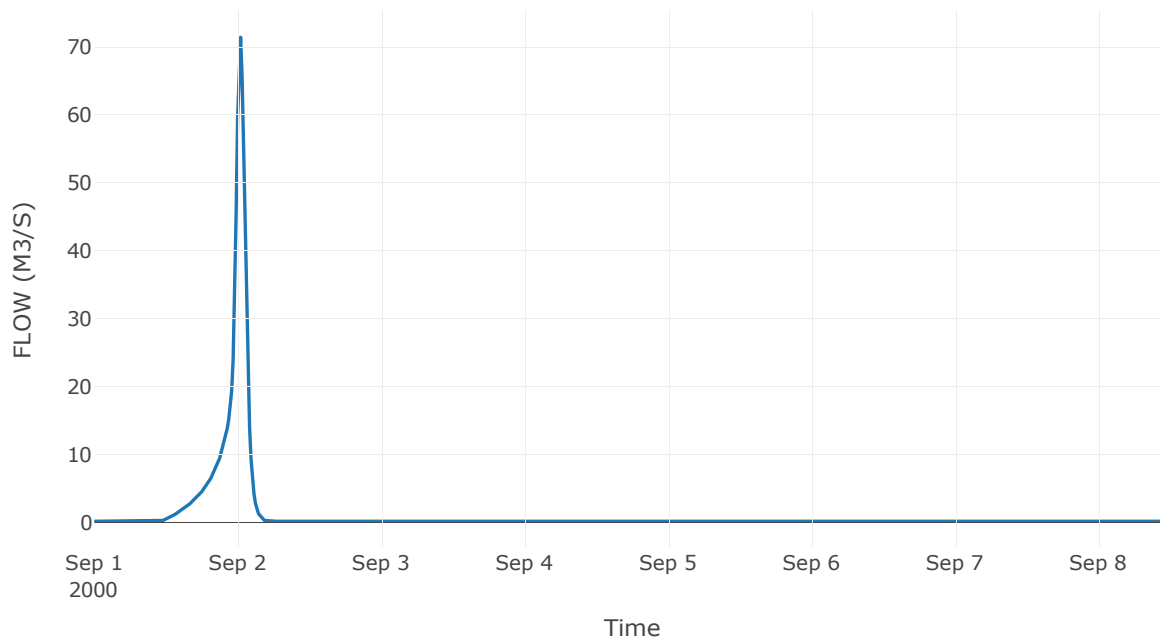
Κατάντη : J3

Μέθοδος Διόδευσης	Muskingum
Αρχική Μεταβλητή	Combined Inflow
Χρόνος Ροής K	0.54
Συντελεστής βάρους x	0.2
Πλήθος Υποκλάδων	3

Αποτελέσματα: R63

Παροχή Αιχμής(M3/S)	71.42
Χρονική στιγμή αιχμής	02Sep2000, 00:30
Όγκος(MM)	134.83
Παροχή Αιχμής Εισόδου (M3/S)	74.88
Όγκος Εισροής(M3)	8.6E5

Απορροή



Κλάδος: R73

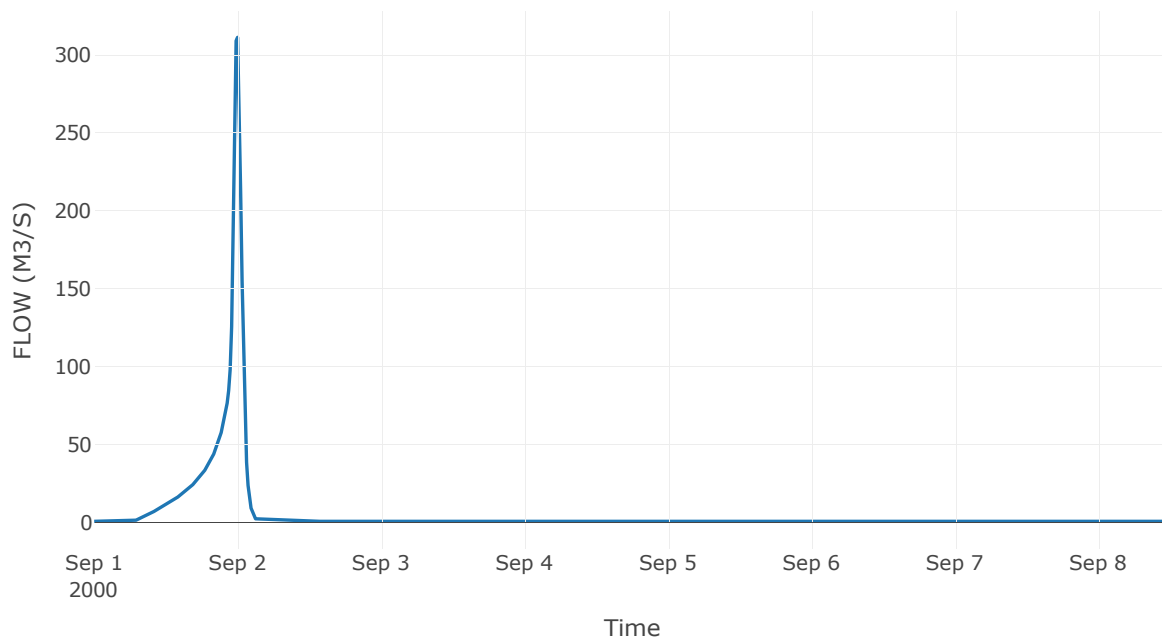
Κατάντη : J3

Μέθοδος Διόδευσης	Muskingum
Αρχική Μεταβλητή	Combined Inflow
Χρόνος Ροής K	0.09
Συντελεστής βάρους x	0.2
Πλήθος Υποκλάδων	3

Αποτελέσματα: R73

Παροχή Αιχμής(M3/S)	311.2
Χρονική στιγμή αιχμής	01Sep2000, 24:00
Όγκος(MM)	199.27
Παροχή Αιχμής Εισόδου (M3/S)	316.14
Όγκος Εισροής(M3)	3.72E6

Απορροή



Κλάδος: R87

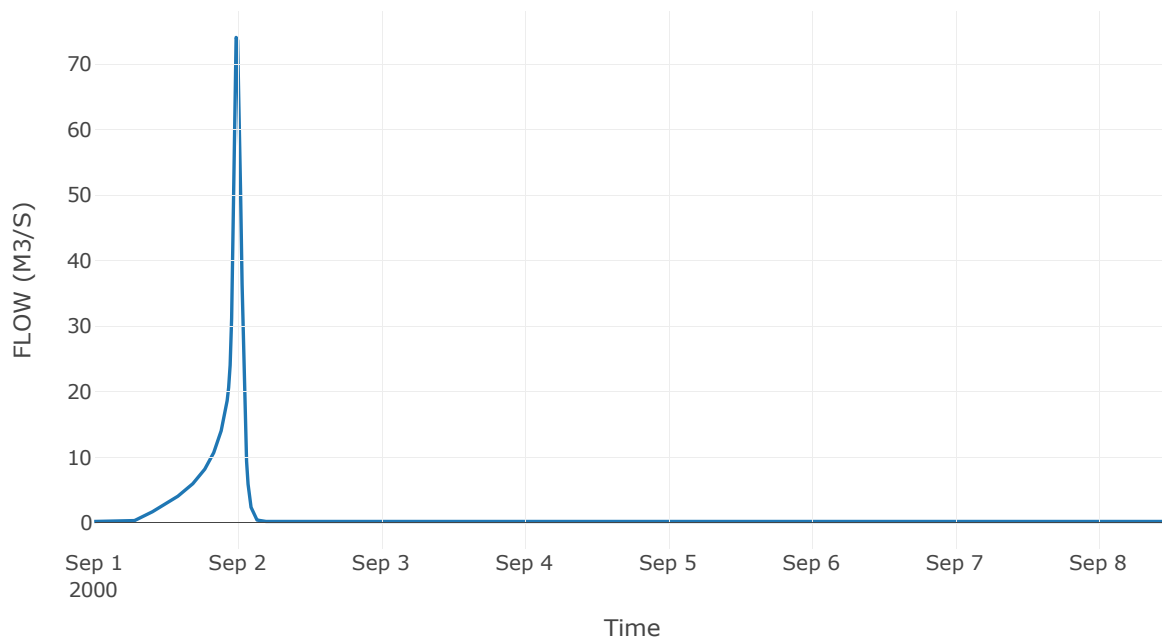
Κατάντη : J7

Μέθοδος Διόδευσης	Muskingum
Αρχική Μεταβλητή	Combined Inflow
Χρόνος Ροής K	0.14
Συντελεστής βάρους x	0.2
Πλήθος Υποκλάδων	1

Αποτελέσματα: R87

Παροχή Αιχμής(M3/S)	74.07
Χρονική στιγμή αιχμής	01Sep2000, 23:45
Όγκος(MM)	191.5
Παροχή Αιχμής Εισόδου (M3/S)	76.17
Όγκος Εισροής(M3)	9.06E5

Απορροή



Κλάδος: R97

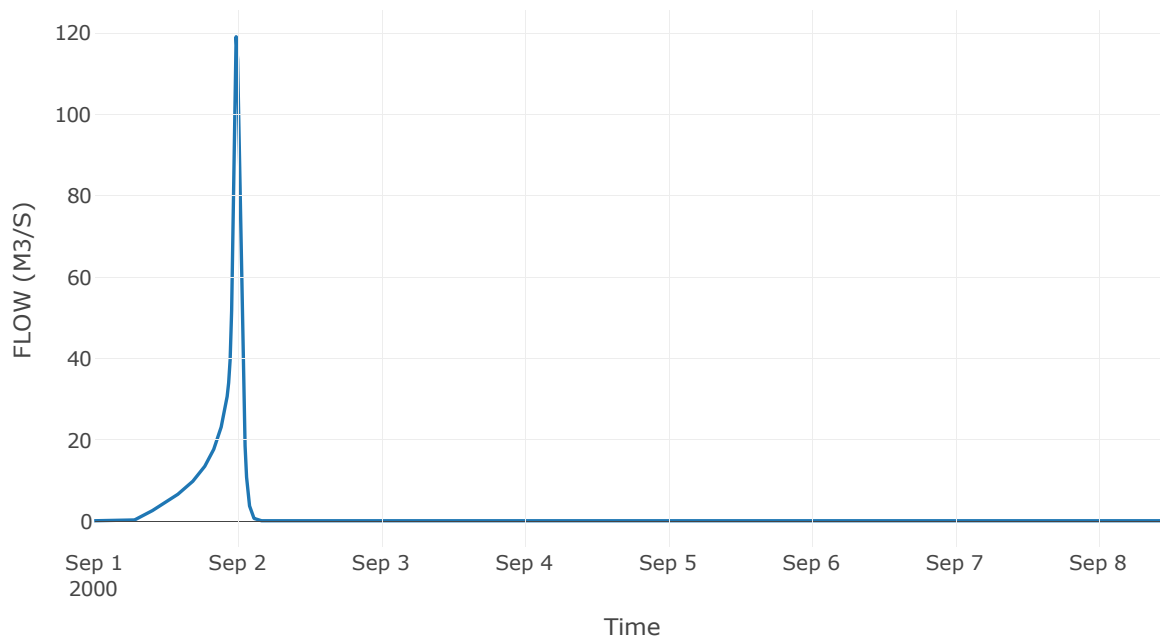
Κατάντη : J7

Μέθοδος Διόδευσης	Χρόνος
Αρχική Μεταβλητή	Combined Inflow
Χρόνος Υστέρησης	10.44

Αποτελέσματα: R97

Παροχή Αιχμής(M3/S)	119.1
Χρονική στιγμή αιχμής	01Sep2000, 23:45
Όγκος(MM)	204.11
Παροχή Αιχμής Εισόδου (M3/S)	119.13
Όγκος Εισροής(M3)	1.42E6

Απορροή



Κλάδος: R104

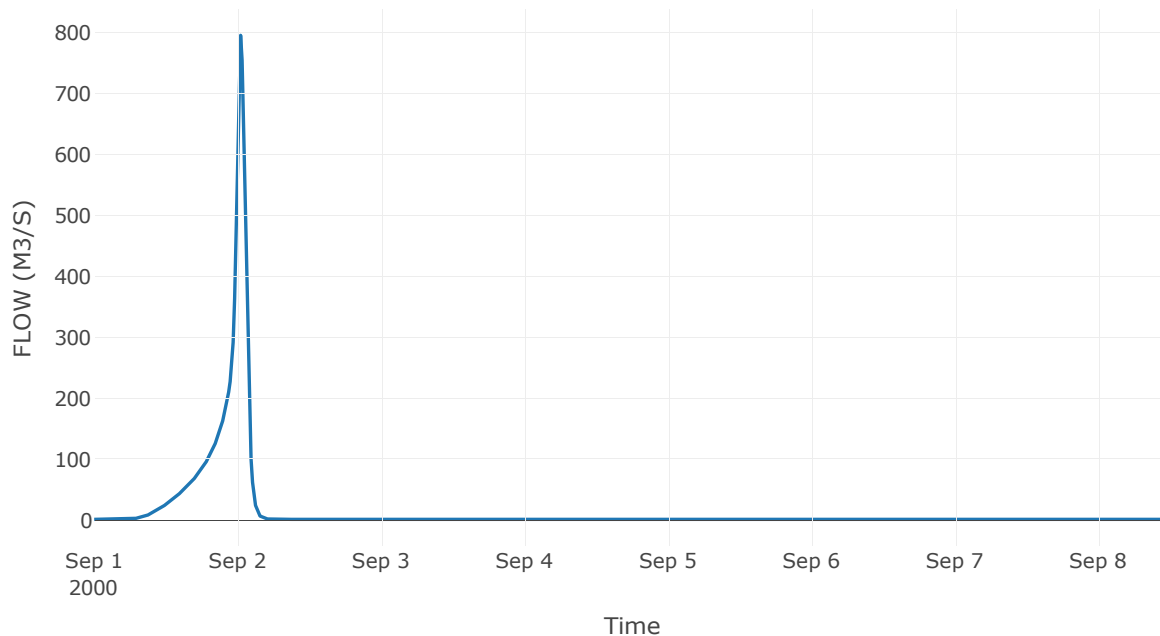
Κατάντη : J4

Μέθοδος Διόδευσης	Muskingum
Αρχική Μεταβλητή	Combined Inflow
Χρόνος Ροής K	0.56
Συντελεστής βάρους x	0.2
Πλήθος Υποκλάδων	3

Αποτελέσματα: R104

Παροχή Αιχμής(M3/S)	795.32
Χρονική στιγμή αιχμής	02Sep2000, 00:30
Όγκος(MM)	185.7
Παροχή Αιχμής Εισόδου (M3/S)	841.2
Όγκος Εισροής(M3)	1.09E7

Απορροή



Κλάδος: R1110

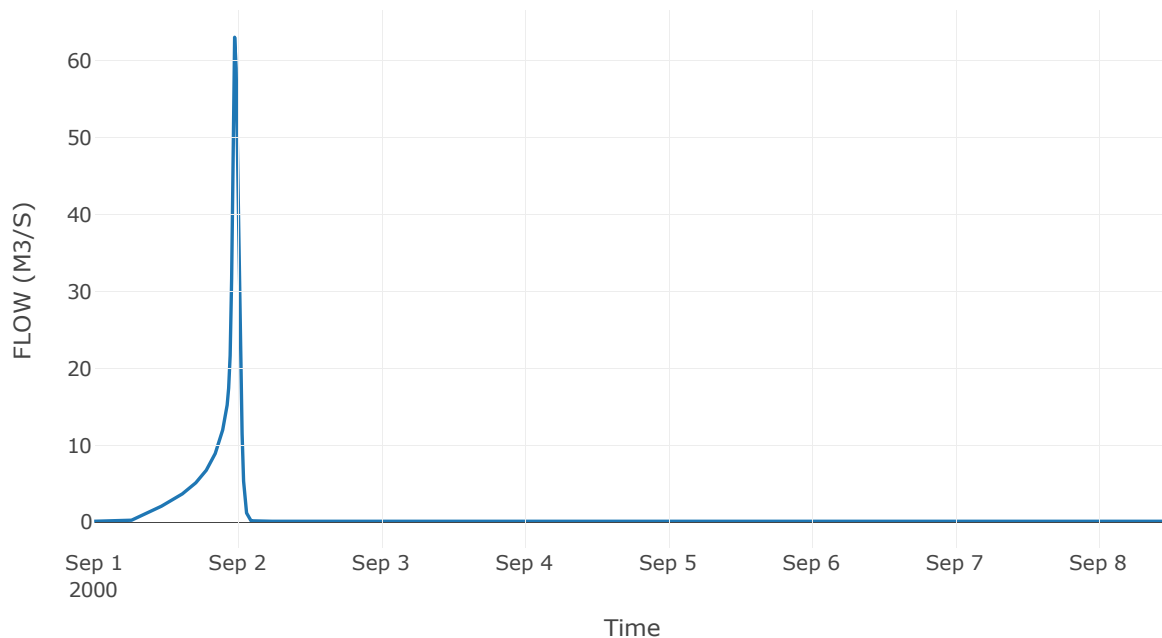
Κατάντη : J10

Μέθοδος Διόδευσης	Muskingum
Αρχική Μεταβλητή	Combined Inflow
Χρόνος Ροής K	0.16
Συντελεστής βάρους x	0.2
Πλήθος Υποκλάδων	1

Αποτελέσματα: R1110

Παροχή Αιχμής(M3/S)	63.02
Χρονική στιγμή αιχμής	01Sep2000, 23:30
Όγκος(MM)	209.43
Παροχή Αιχμής Εισόδου (M3/S)	63.96
Όγκος Εισροής(M3)	6.51E5

Απορροή



Κλάδος: R125

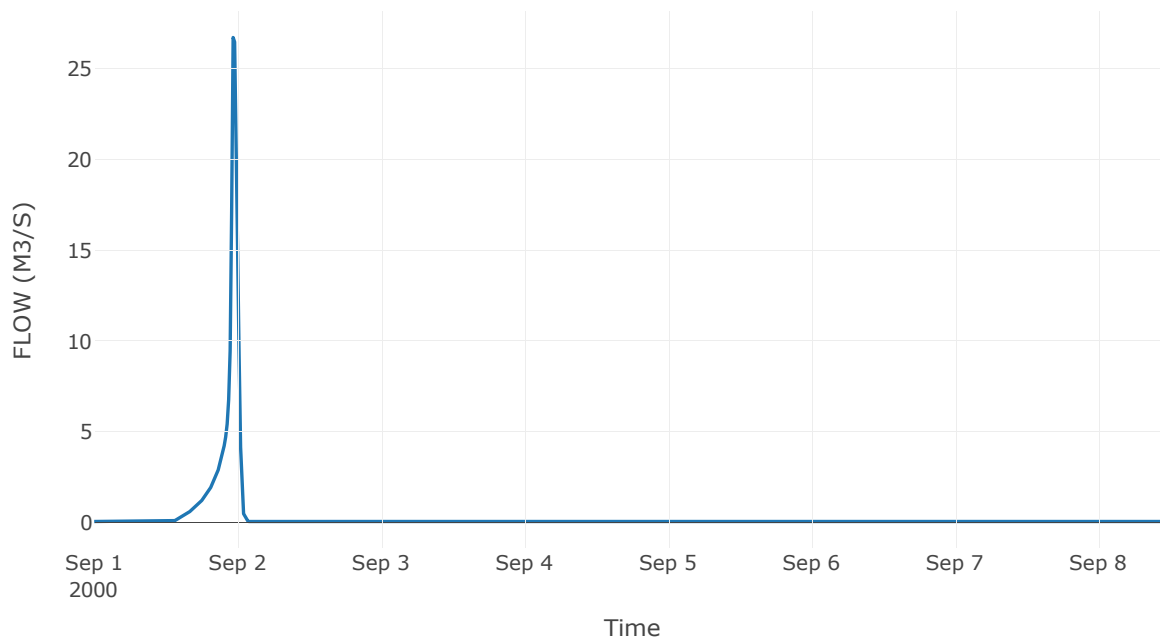
Κατάντη : J5

Μέθοδος Διόδευσης	Muskingum
Αρχική Μεταβλητή	Combined Inflow
Χρόνος Ροής K	0.11
Συντελεστής βάρους x	0.2
Πλήθος Υποκλάδων	1

Αποτελέσματα: R125

Παροχή Αιχμής(M3/S)	26.74
Χρονική στιγμή αιχμής	01Sep2000, 23:15
Όγκος(MM)	111.54
Παροχή Αιχμής Εισόδου (M3/S)	28.83
Όγκος Εισροής(M3)	2.15E5

Απορροή



Κλάδος: R1413

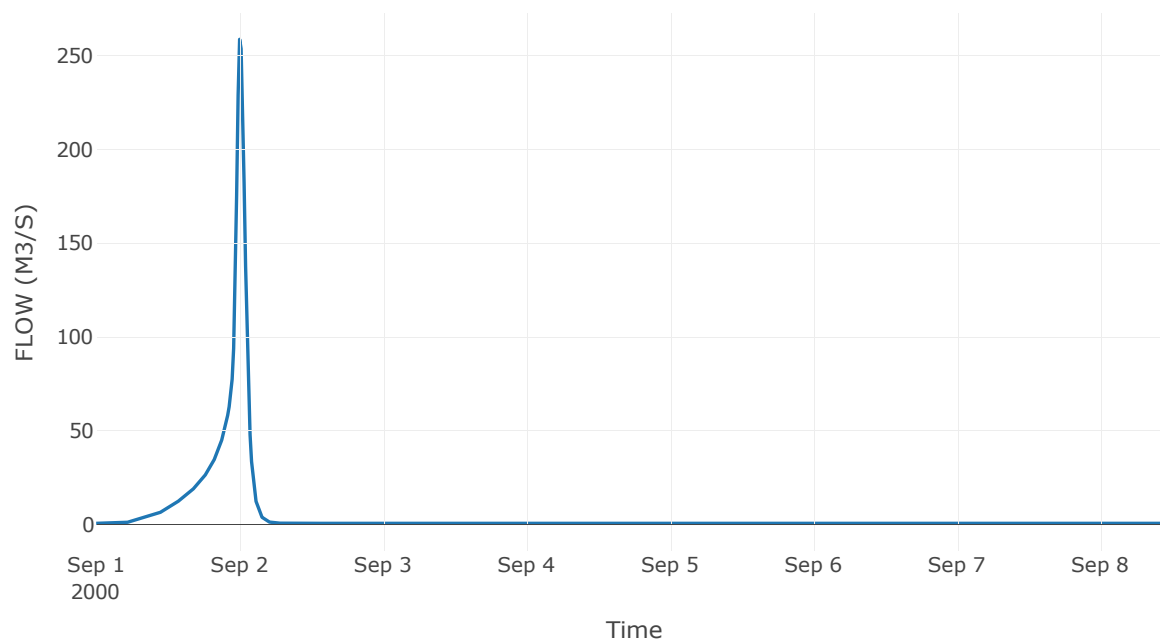
Κατάντη : J13

Μέθοδος Διόδευσης	Muskingum
Αρχική Μεταβλητή	Combined Inflow
Χρόνος Ροής K	0.06
Συντελεστής βάρους x	0.2
Πλήθος Υποκλάδων	3

Αποτελέσματα: R1413

Παροχή Αιχμής(M3/S)	258.71
Χρονική στιγμή αιχμής	01Sep2000, 24:00
Όγκος(MM)	204.35
Παροχή Αιχμής Εισόδου (M3/S)	260.46
Όγκος Εισροής(M3)	3.35E6

Απορροή



Κλάδος: R1514

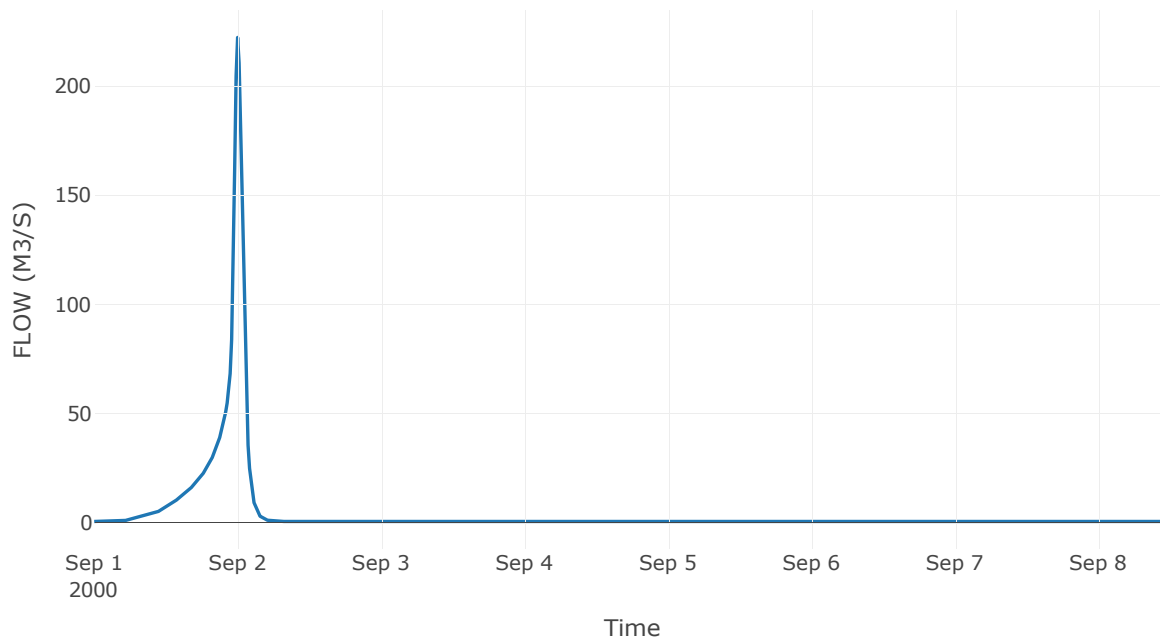
Κατάντη : J14

Μέθοδος Διόδευσης	Muskingum
Αρχική Μεταβλητή	Combined Inflow
Χρόνος Ροής K	0.11
Συντελεστής βάρους x	0.2
Πλήθος Υποκλάδων	1

Αποτελέσματα: R1514

Παροχή Αιχμής(M3/S)	222.38
Χρονική στιγμή αιχμής	01Sep2000, 24:00
Όγκος(MM)	194.28
Παροχή Αιχμής Εισόδου (M3/S)	221.46
Όγκος Εισροής(M3)	2.84E6

Απορροή



Κλάδος: R1615

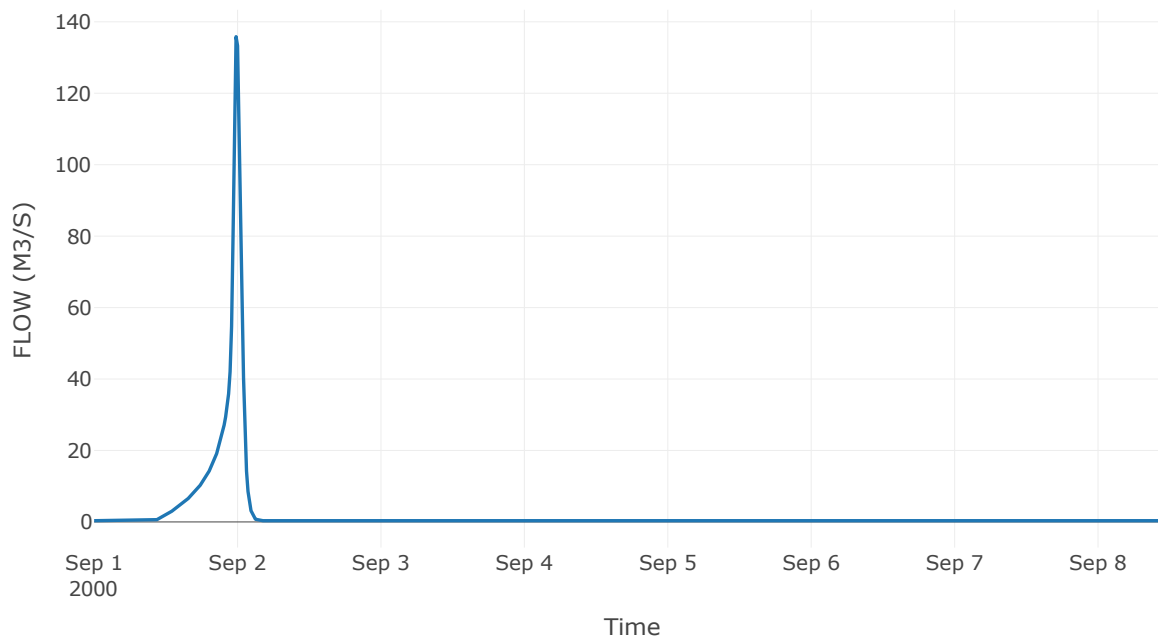
Κατάντη : J15

Μέθοδος Διόδευσης	Χρόνος
Αρχική Μεταβλητή	Combined Inflow
Χρόνος Υστέρησης	11.18

Αποτελέσματα: R1615

Παροχή Αιχμής(M3/S)	135.84
Χρονική στιγμή αιχμής	01Sep2000, 23:45
Όγκος(MM)	153.28
Παροχή Αιχμής Εισόδου (M3/S)	137.9
Όγκος Εισροής(M3)	1.5E6

Απορροή



Κλάδος: R1720

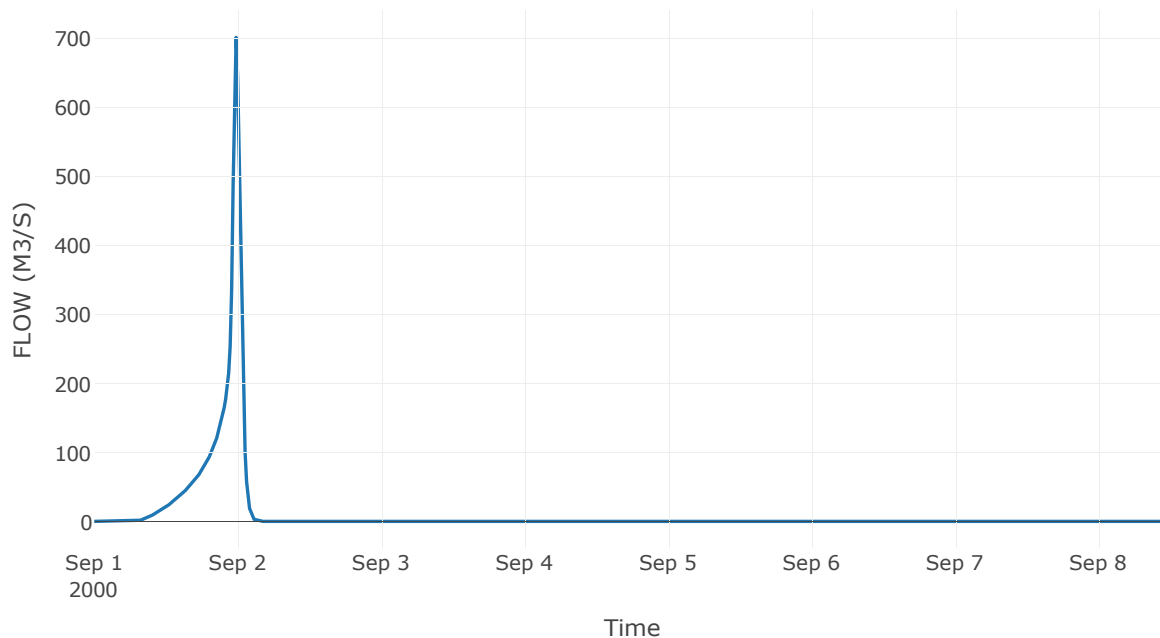
Κατάντη : J20

Μέθοδος Διόδευσης	Muskingum
Αρχική Μεταβλητή	Combined Inflow
Χρόνος Ροής Κ	0.1
Συντελεστής βάρους x	0.2
Πλήθος Υποκλάδων	1

Αποτελέσματα: R1 720

Παροχή Αιχμής(M3/S)	701.3
Χρονική στιγμή αιχμής	01Sep2000, 23:45
Όγκος(MM)	175.7
Παροχή Αιχμής Εισόδου (M3/S)	692.06
Όγκος Εισροής(M3)	8.51E6

Απορροή



Κλάδος: R1817

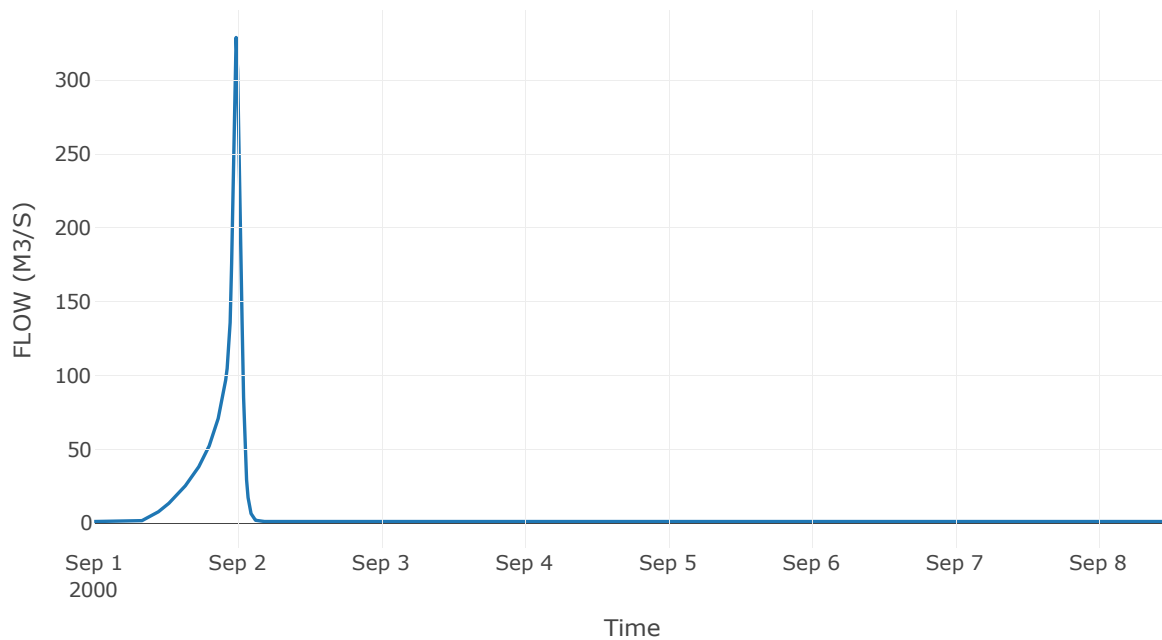
Κατάντη : J17

Μέθοδος Διόδευσης	Muskingum
Αρχική Μεταβλητή	Combined Inflow
Χρόνος Ροής Κ	0.17
Συντελεστής βάρους α	0.2
Πλήθος Υποκλάδων	1

Αποτελέσματα: R1817

Παροχή Αιχμής(M3/S)	329.16
Χρονική στιγμή αιχμής	01Sep2000, 23:45
Όγκος(MM)	154.12
Παροχή Αιχμής Εισόδου (M3/S)	335.39
Όγκος Εισροής(M3)	4.44E6

Απορροή



Κλάδος: R1918

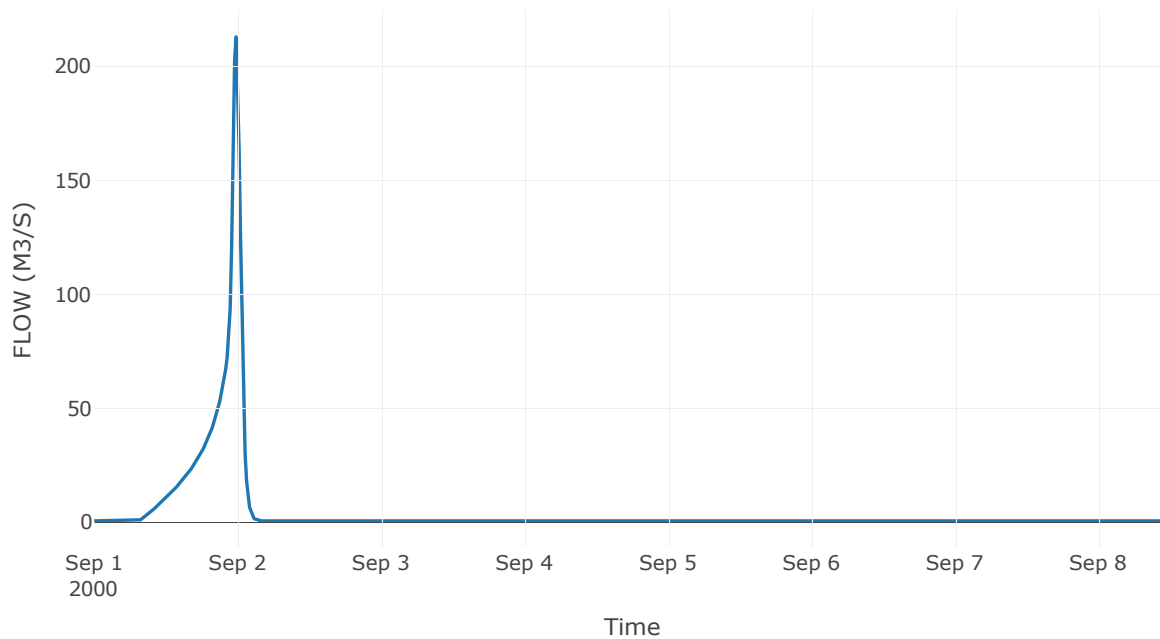
Κατάντη : J18

Μέθοδος Διόδευσης	Χρόνος
Αρχική Μεταβλητή	Combined Inflow
Χρόνος Υστέρησης	3.91

Αποτελέσματα: R1918

Παροχή Αιχμής(M3/S)	212.95
Χρονική στιγμή αιχμής	01Sep2000, 23:45
Όγκος(MM)	173.71
Παροχή Αιχμής Εισόδου (M3/S)	213.65
Όγκος Εισροής(M3)	3.02E6

Απορροή



8.3 Δεδομένα και υδρογραφήματα σχεδιασμού Κόμβων υδρογραφικού δικτύου

Κλάδος: R2010

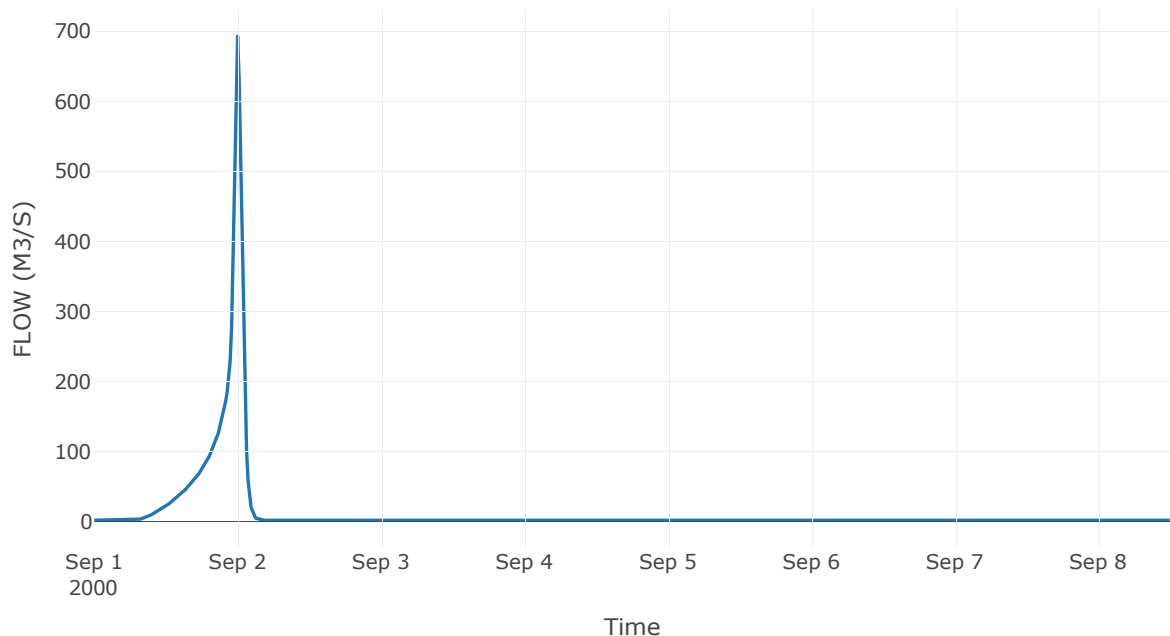
Κατάντη : J10

Μέθοδος Διόδευσης	Muskingum
Αρχική Μεταβλητή	Combined Inflow
Χρόνος Ροής Κ	0.21
Συντελεστής βάρους x	0.2
Πλήθος Υποκλάδων	1

Αποτελέσματα: R2010

Παροχή Αιχμής(M3/S)	692.74
Χρονική στιγμή αιχμής	01Sep2000, 24:00
Όγκος(MM)	177.14
Παροχή Αιχμής Εισόδου (M3/S)	717.5
Όγκος Εισροής(M3)	8.69E6

Απορροή

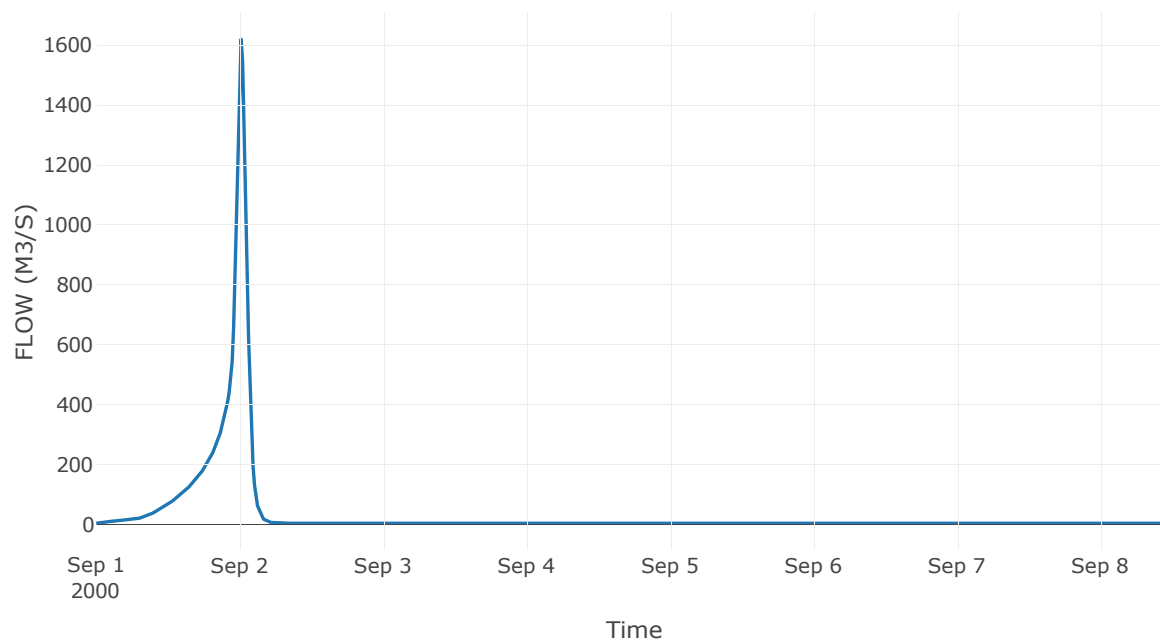


Κόμβος εξόδου: J1

Αποτελέσμα
τα: J1

Παροχή αιχμής (M3/S)	1619.04
Χρονική στιγμή αιχμής	02Sep2000, 00:15
Όγκος (MM)	194.98

Απορροή



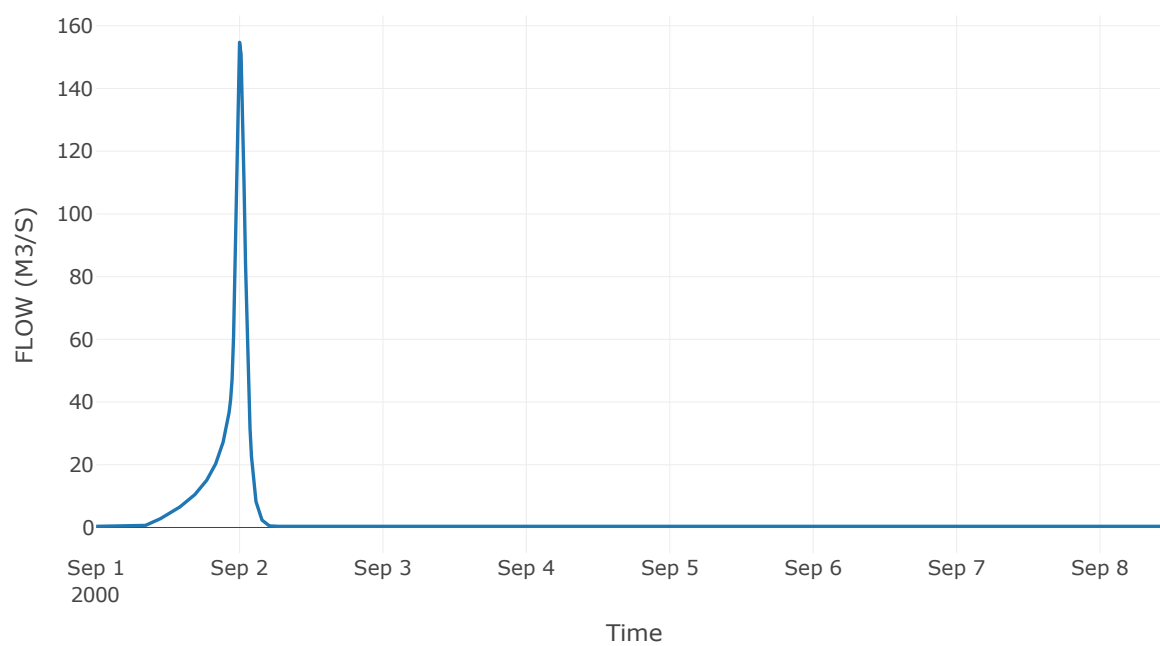
Κόμβος: J2

Κατάντη : R21

Αποτελέσματα: J2

Παροχή Αιχμής(M3/S)	154.72
Χρονική στιγμή αιχμής	01Sep2000, 24:00
Όγκος(MM)	188.45

Απορροή



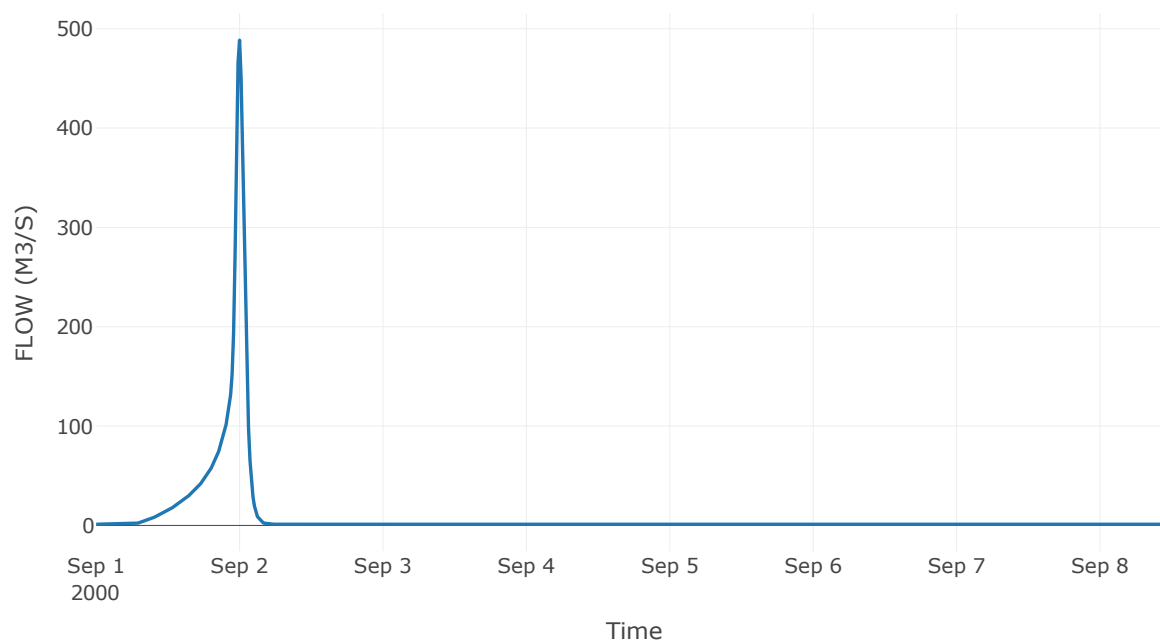
Κόμβος: J3

Κατάντη : R31

Αποτελέσματα: J3

Παροχή Αιχμής(M3/S)	488.38
Χρονική στιγμή αιχμής	01Sep2000, 24:00
Όγκος(MM)	180.61

Απορροή



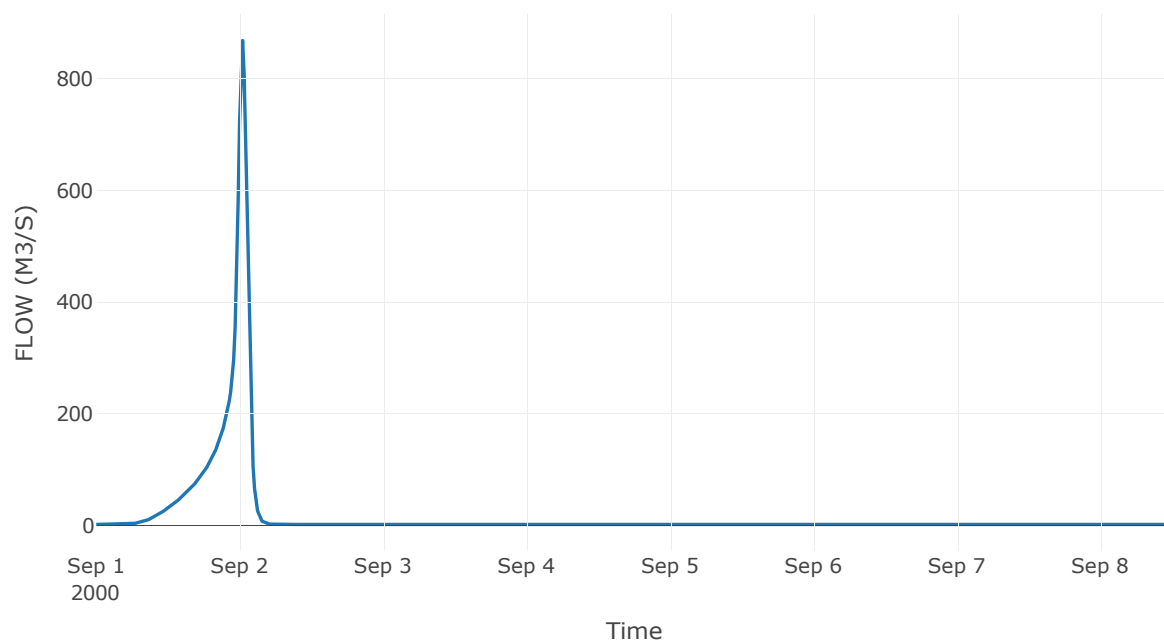
Κόμβος: J4

Κατάντη : R41

Αποτελέσματα: J4

Παροχή Αιχμής(M3/S)	868.38
Χρονική στιγμή αιχμής	02Sep2000, 00:30
Όγκος(MM)	189.79

Απορροή



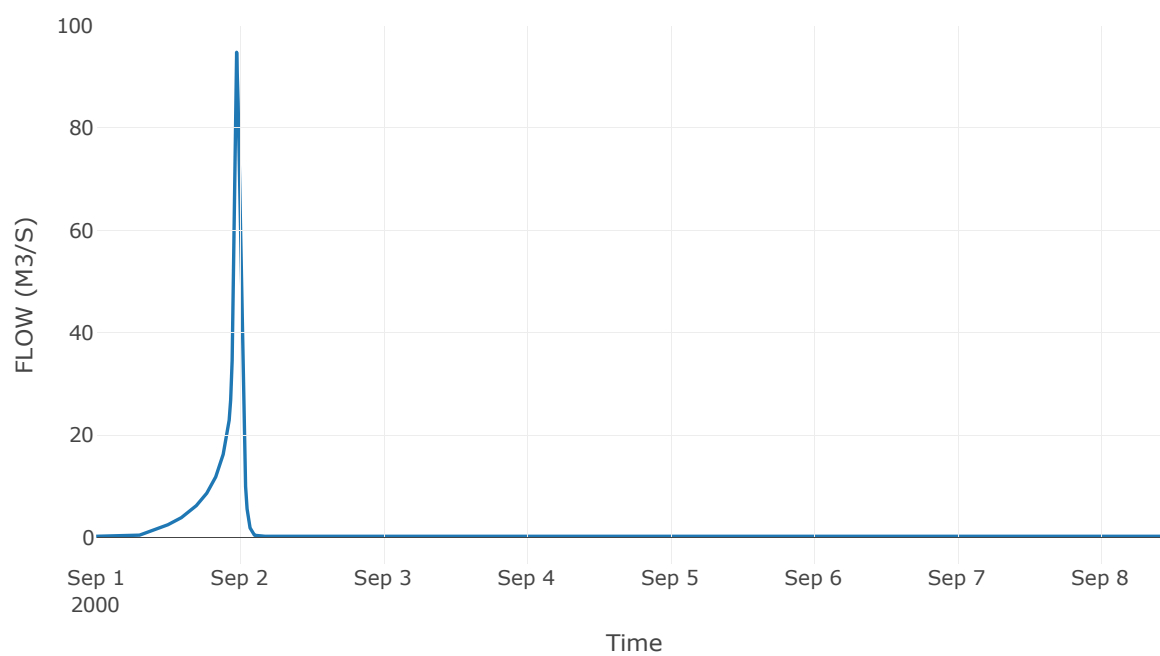
Κόμβος: J5

Κατάντη : R51

Αποτελέσματα: J5

Παροχή Αιχμής(M3/S)	94.74
Χρονική στιγμή αιχμής	01Sep2000, 23:30
Όγκος(MM)	168.31

Απορροή



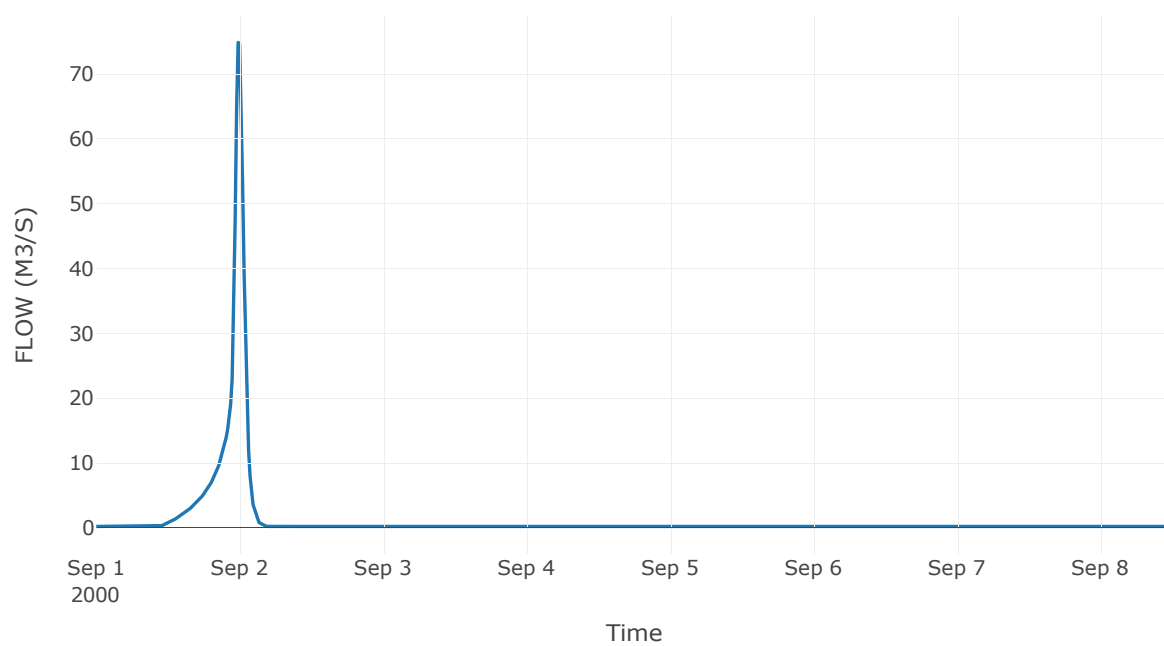
Κόμβος: J6

Κατάντη : R63

Αποτελέσματα: J6

Παροχή Αιχμής(M3/S)	74.88
Χρονική στιγμή αιχμής	01Sep2000, 23:45
Όγκος(MM)	134.83

Απορροή



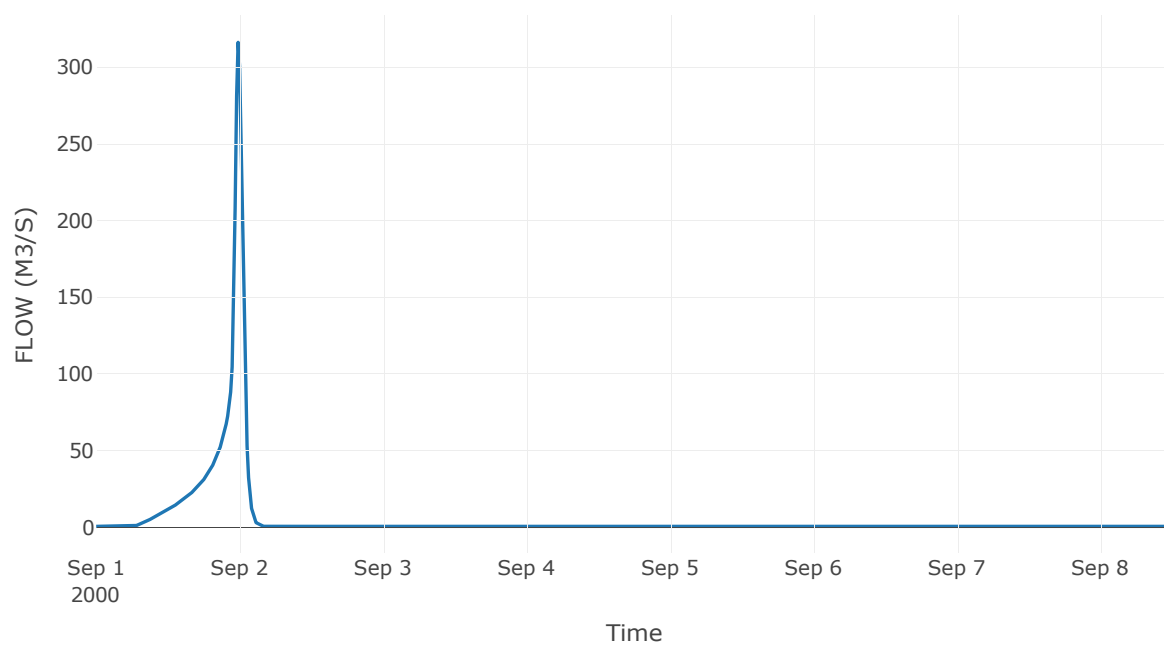
Κόμβος: J7

Κατάντη : R73

Αποτελέσματα: J7

Παροχή Αιχμής(M3/S)	316.14
Χρονική στιγμή αιχμής	01Sep2000, 23:45
Όγκος(MM)	199.27

Απορροή



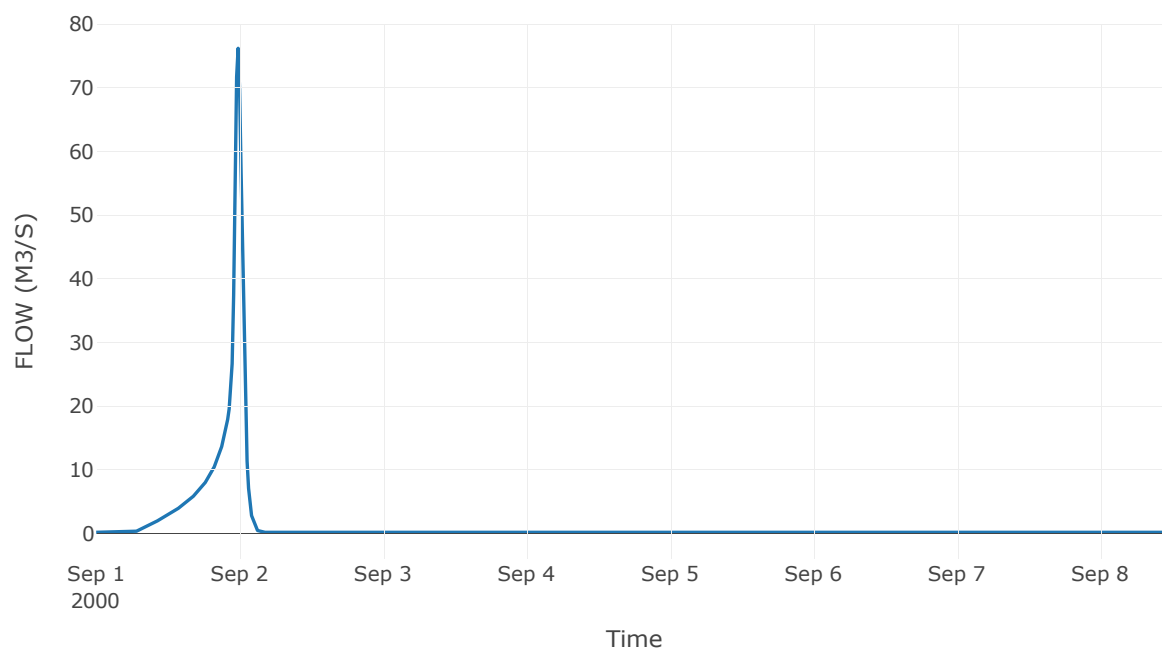
Κόμβος: J8

Κατάντη : R87

Αποτελέσματα: J8

Παροχή Αιχμής(M3/S)	76.17
Χρονική στιγμή αιχμής	01Sep2000, 23:45
Όγκος(MM)	191.5

Απορροή



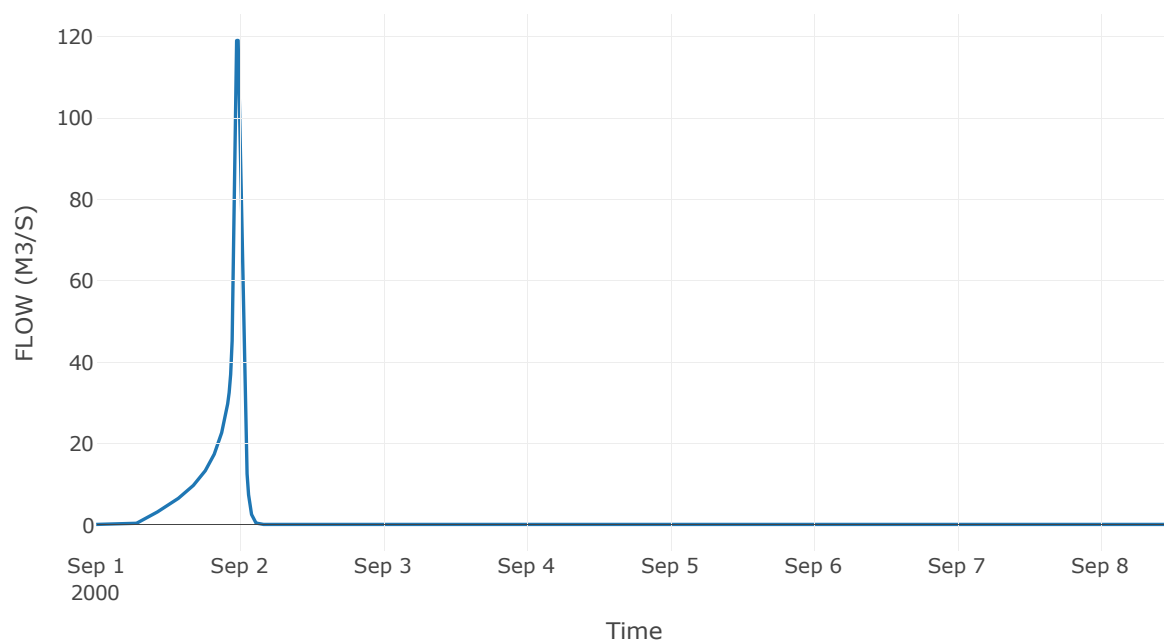
Κόμβος: J9

Κατάντη : R97

Αποτελέσματα: J9

Παροχή Αιχμής(M3/S)	119.13
Χρονική στιγμή αιχμής	01Sep2000, 23:45
Όγκος(MM)	204.11

Απορροή



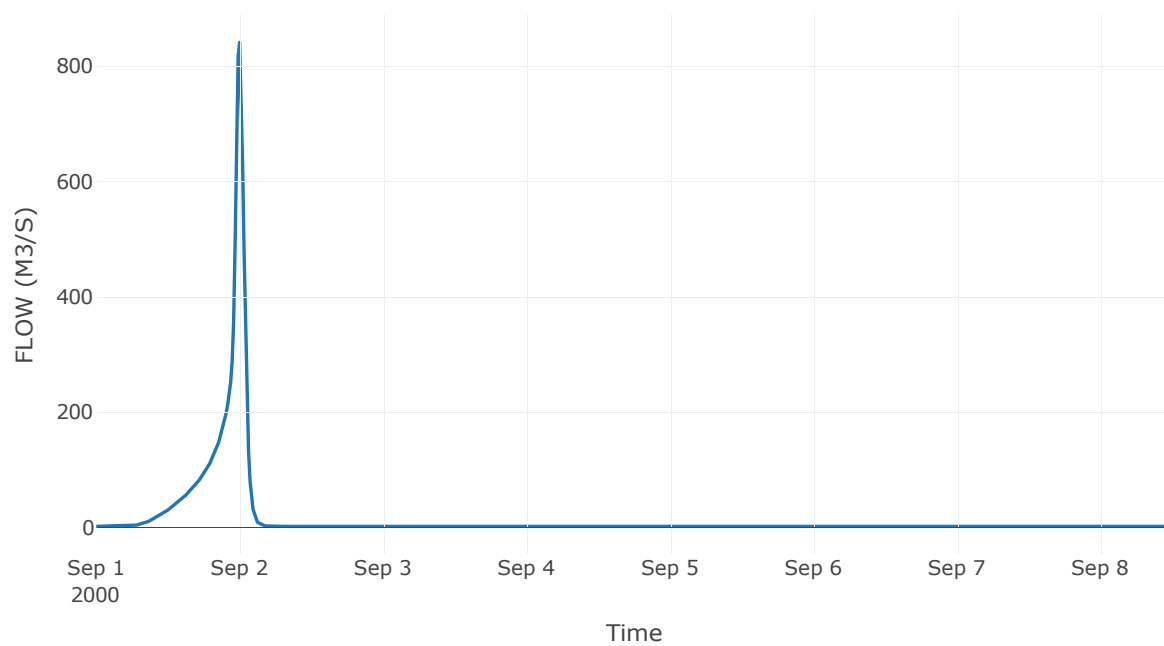
Κόμβος: J10

Κατάντη : R104

Αποτελέσματα: J10

Παροχή Αιχμής(M3/S)	841.2
Χρονική στιγμή αιχμής	01Sep2000, 24:00
Όγκος(MM)	185.7

Απορροή



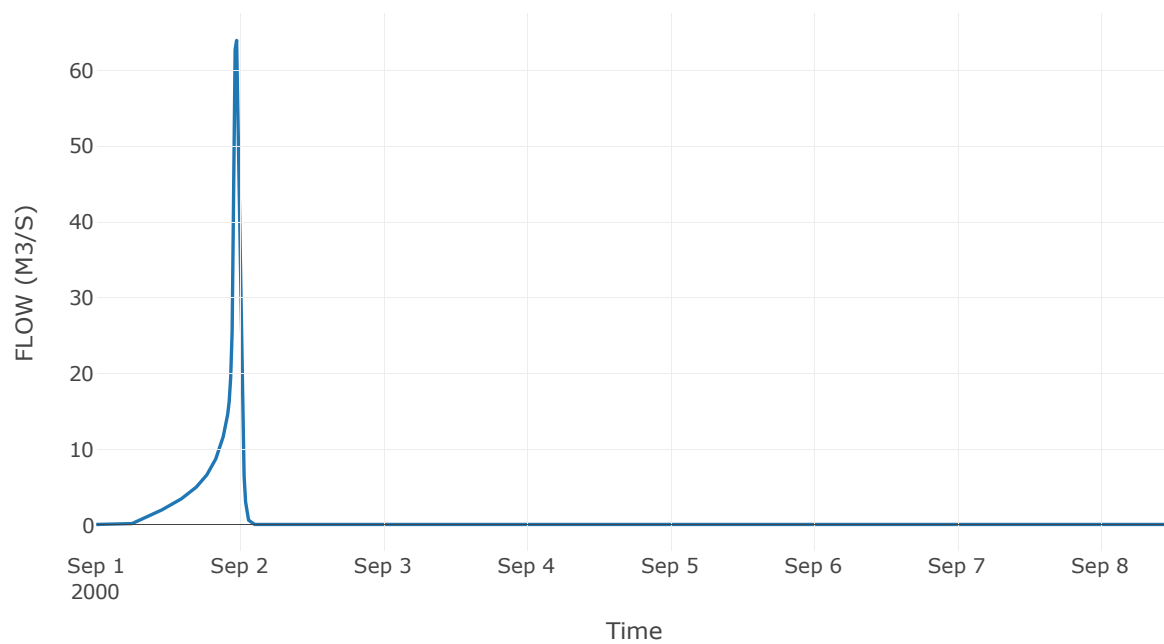
Κόμβος: J11

Κατάντη : R1110

Αποτελέσματα: J11

Παροχή Αιχμής(M3/S)	63.96
Χρονική στιγμή αιχμής	01Sep2000, 23:30
Όγκος(MM)	209.43

Απορροή



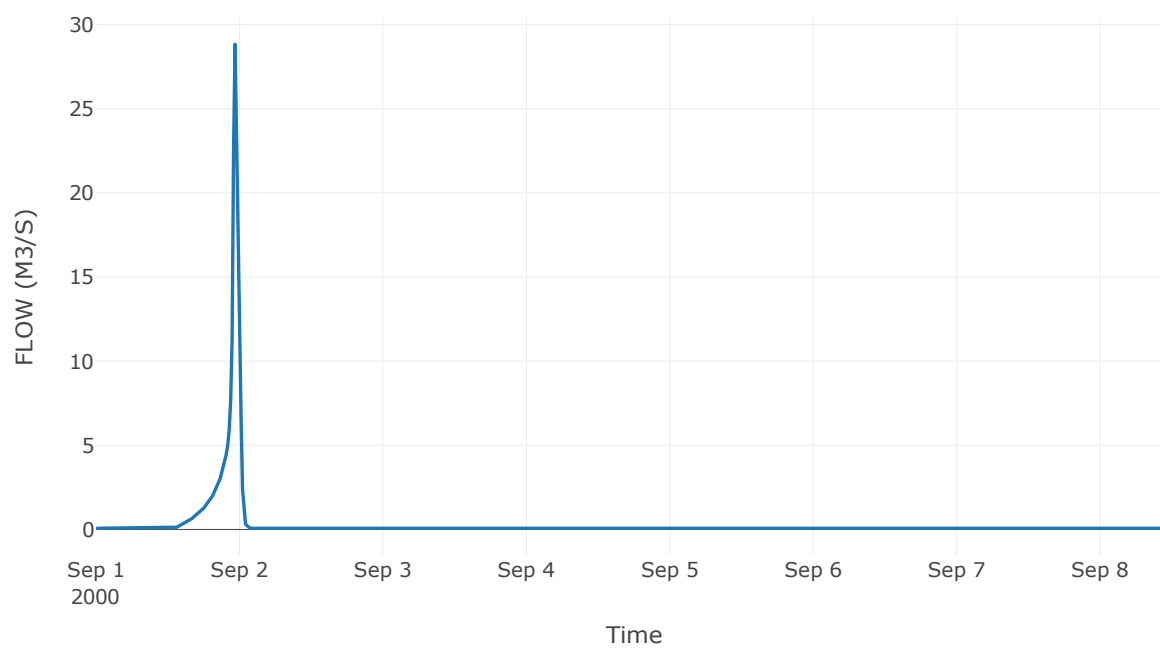
Κόμβος: J12

Κατάντη : R125

Αποτελέσματα: J12

Παροχή Αιχμής(M3/S)	28.83
Χρονική στιγμή αιχμής	01Sep2000, 23:15
Όγκος(MM)	111.54

Απορροή

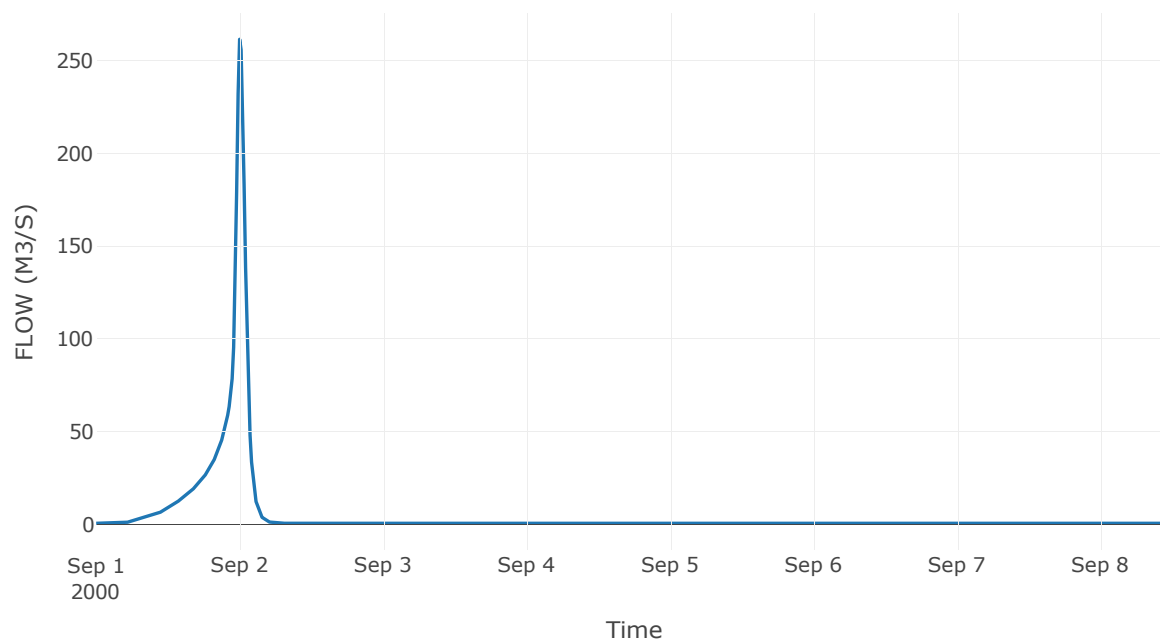


Κόμβος εξόδου: J13

Αποτελέσματ
α: J13

Παροχή αιχμής (M3/S)	261.42
Χρονική στιγμή αιχμής	01Sep2000, 24:00
Όγκος (MM)	204.93

Απορροή



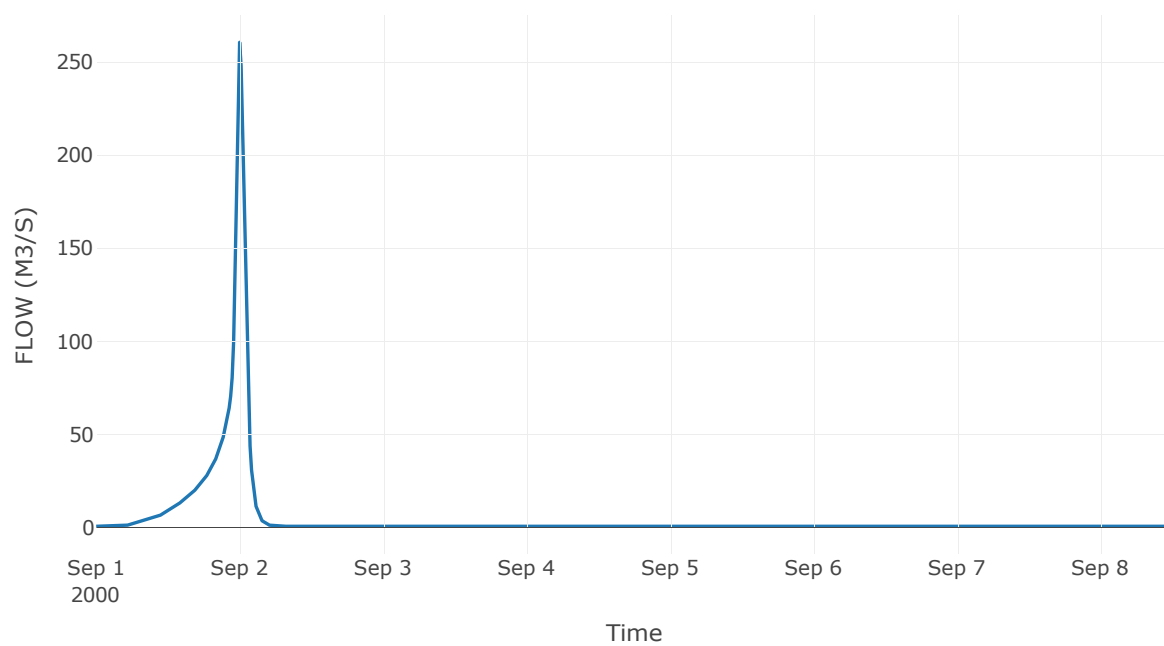
Κόμβος: J14

Κατάντη : R1413

Αποτελέσματα: J14

Παροχή Αιχμής(M3/S)	260.46
Χρονική στιγμή αιχμής	01Sep2000, 24:00
Όγκος(MM)	204.35

Απορροή



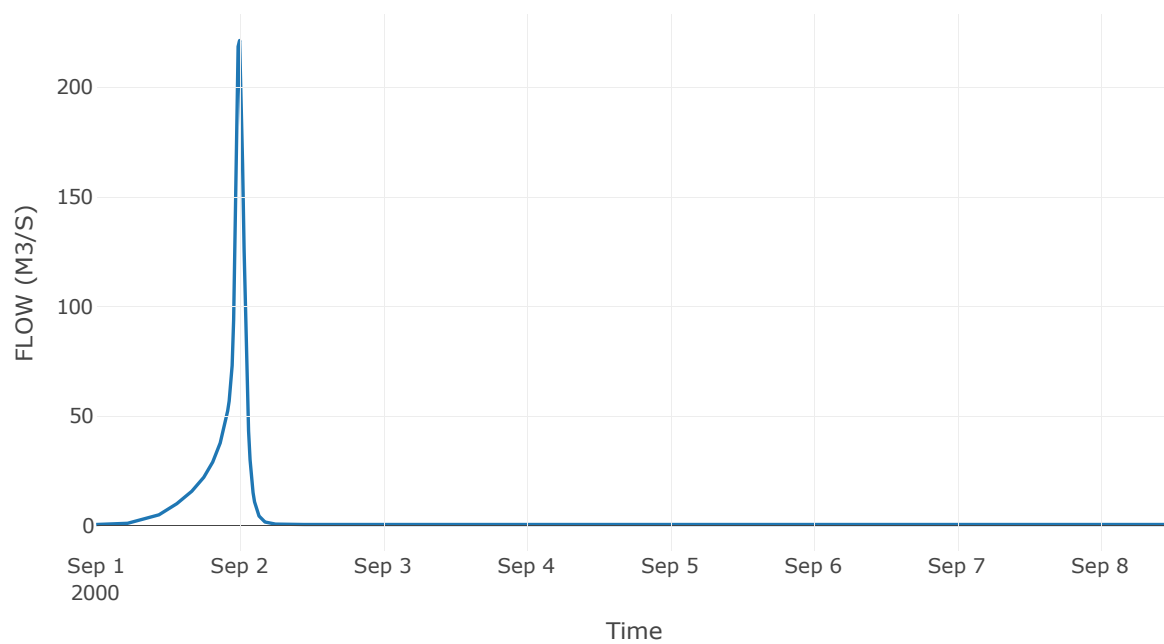
Κόμβος: J15

Κατάντη : R1514

Αποτελέσματα: J15

Παροχή Αιχμής(M3/S)	221.46
Χρονική στιγμή αιχμής	01Sep2000, 24:00
Όγκος(MM)	194.28

Απορροή



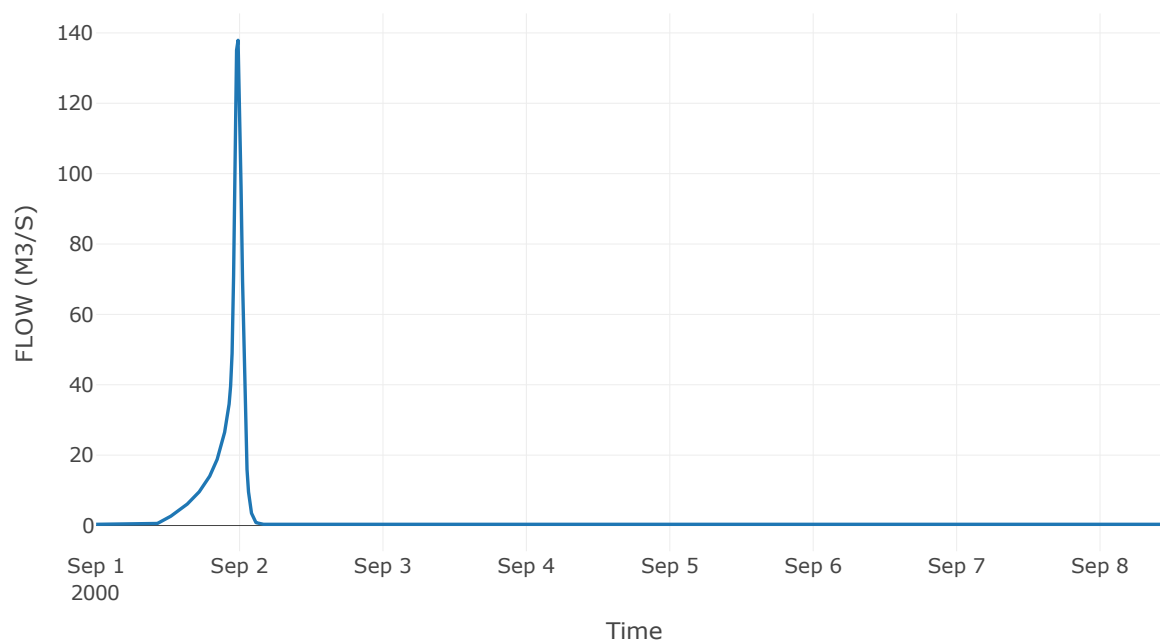
Κόμβος: J16

Κατάντη : R1615

Αποτελέσματα: J16

Παροχή Αιχμής(M3/S)	137.9
Χρονική στιγμή αιχμής	01Sep2000, 23:45
Όγκος(MM)	153.28

Απορροή



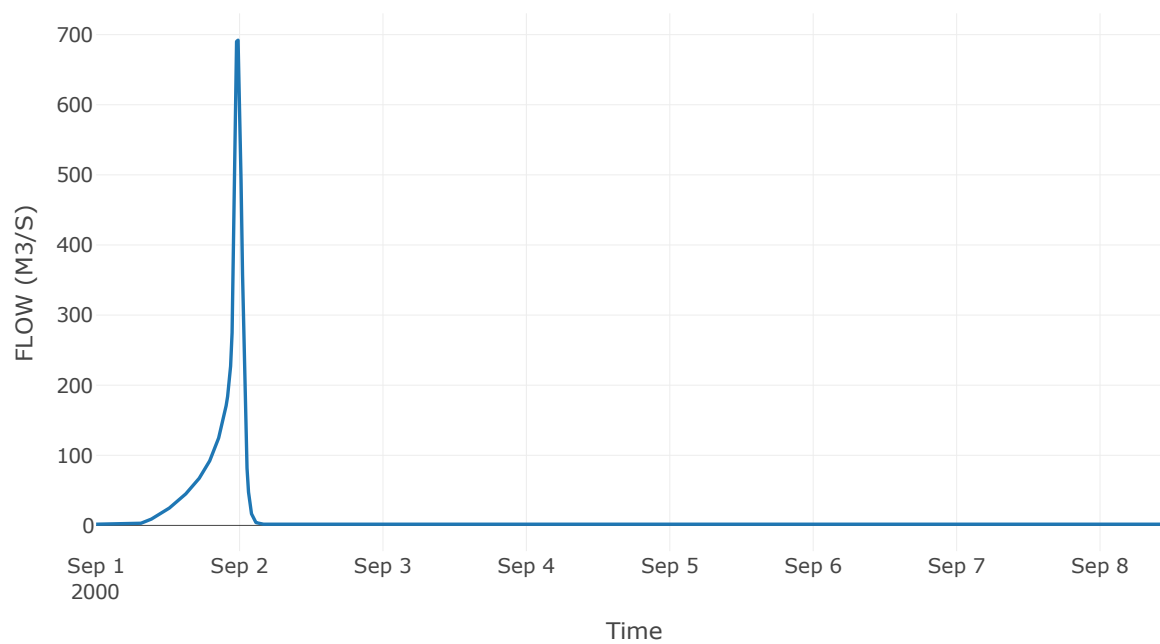
Κόμβος: J17

Κατάντη : R1720

Αποτελέσματα: J17

Παροχή Αιχμής(M3/S)	692.06
Χρονική στιγμή αιχμής	01Sep2000, 23:45
Όγκος(MM)	175.7

Απορροή



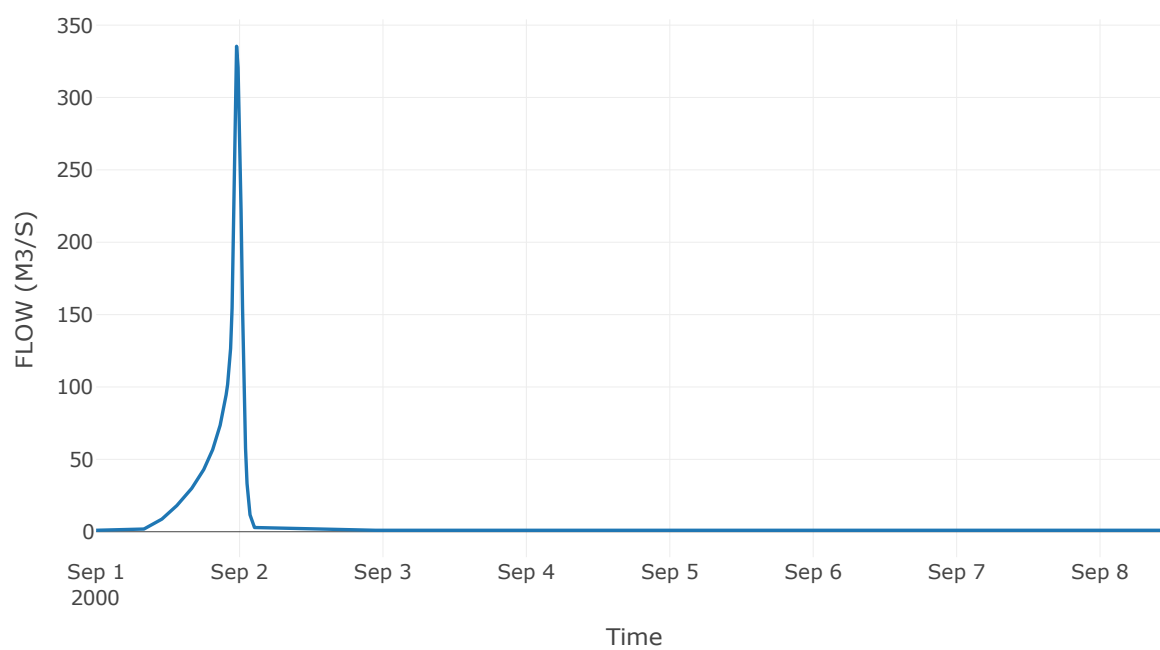
Κόμβος: J18

Κατάντη : R1817

Αποτελέσματα: J18

Παροχή Αιχμής(M3/S)	335.39
Χρονική στιγμή αιχμής	01Sep2000, 23:30
Όγκος(MM)	154.12

Απορροή



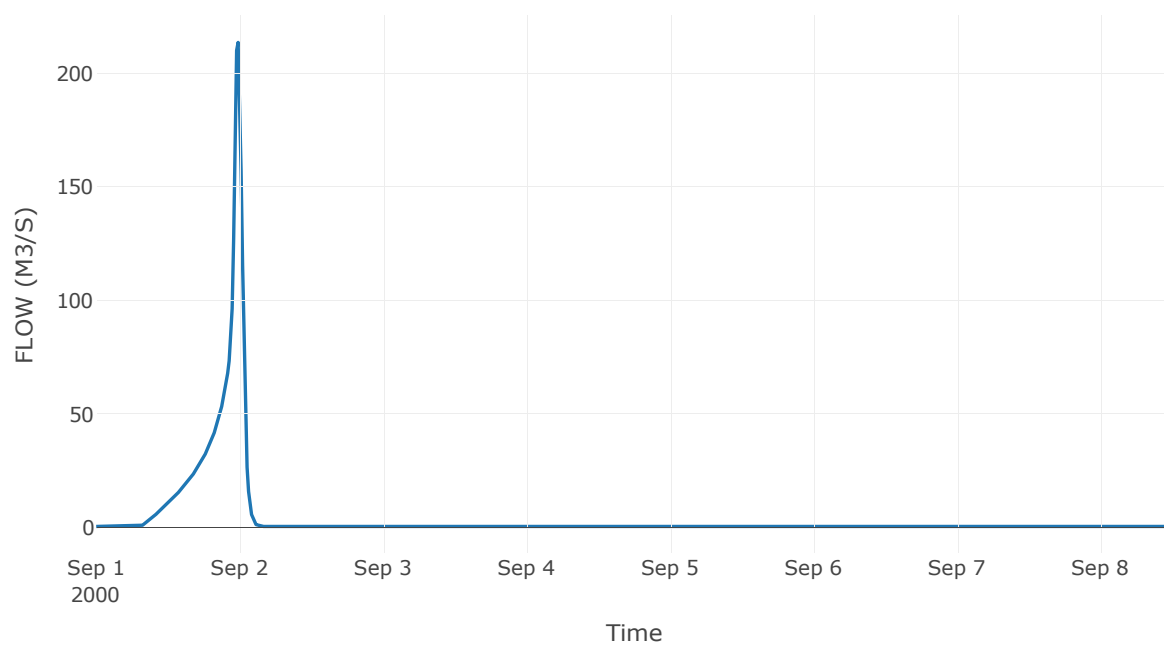
Κόμβος: J19

Κατάντη : R1918

Αποτελέσματα: J19

Παροχή Αιχμής(M3/S)	213.65
Χρονική στιγμή αιχμής	01Sep2000, 23:45
Όγκος(MM)	173.71

Απορροή



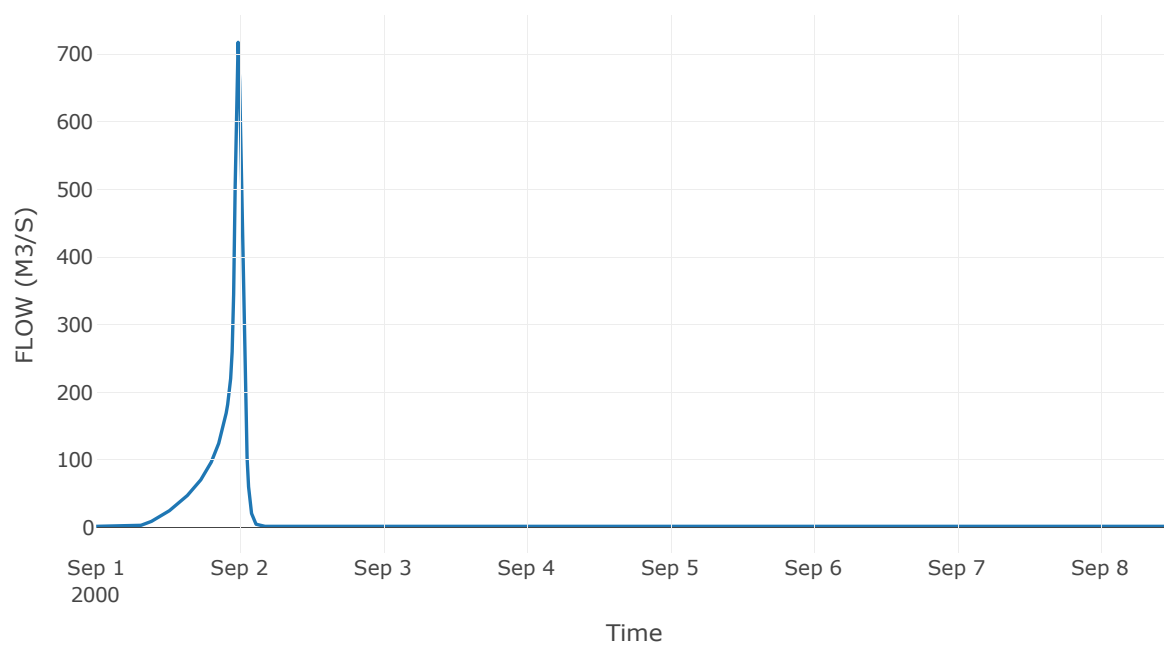
Κόμβος: J20

Κατάντη : R2010

Αποτελέσματα: J20

Παροχή Αιχμής(M3/S)	717.5
Χρονική στιγμή αιχμής	01Sep2000, 23:45
Όγκος(MM)	177.14

Απορροή



9 Δεδομένα εισόδου και αποτελέσματα υδρολογικού σεναρίου T=1000L

9.1 Αποτελέσματα, υετογραφήματα και υδρογραφήματα σχεδιασμού υπολεκανών

Υπολεκάνη: EL0415FL007001

Έκταση (KM2) : 9.22

Κατάνη : J1

Μέθοδος Απωλειών: SCS

Ποσοστό αδιαπέρατης επιφάνειας	95
Αριθμός Καμπύλης Απορροής-CN	99
Αρχικές Απώλειες	0.51

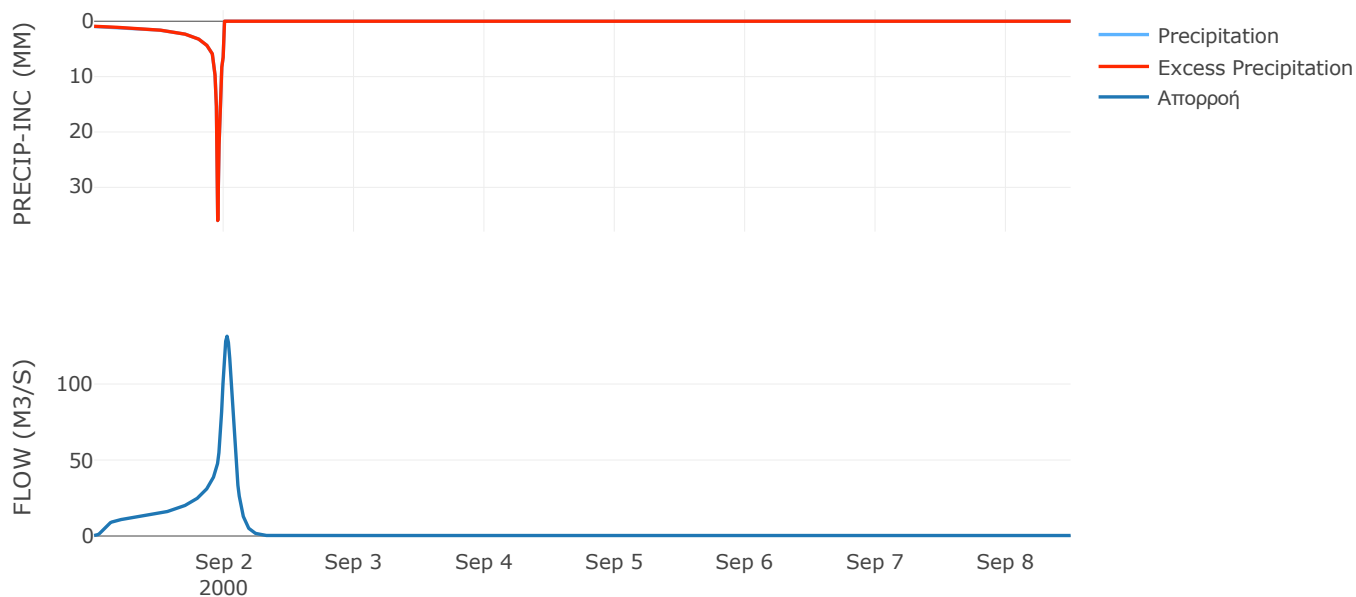
Μέθοδος
Μετασχηματισμού: SCS

Χρόνος Υστέρησης	93.59
------------------	-------

Αποτελέσματα:
EL0415FL007001

Παροχή αιχμής (M3/S)	131.48
Χρονική στιγμή αιχμής	02Sep2000, 00:30
Όγκος (MM)	307.59
Όγκος βροχόπτωσης (M3)	2.63E6
Όγκος απωλειών (M3)	1409.52
Ενεργός Όγκος (M3)	2.63E6
Όγκος άμεσης απορροής (M3)	2.63E6
Όγκος βασικής απορροής (M3)	2.09E5

Βροχόπτωση και Απορροή



Υπολεκάνη: EL0415FL007002

Έκταση (KM2) : 10.54

Κατάντη : J2

Μέθοδος Απωλειών: SCS

Ποσοστό αδιαπέρατης επιφάνειας	0
Αριθμός Καμπύλης Απορροής-CN	43.8
Αρχικές Απώλειες	65.17

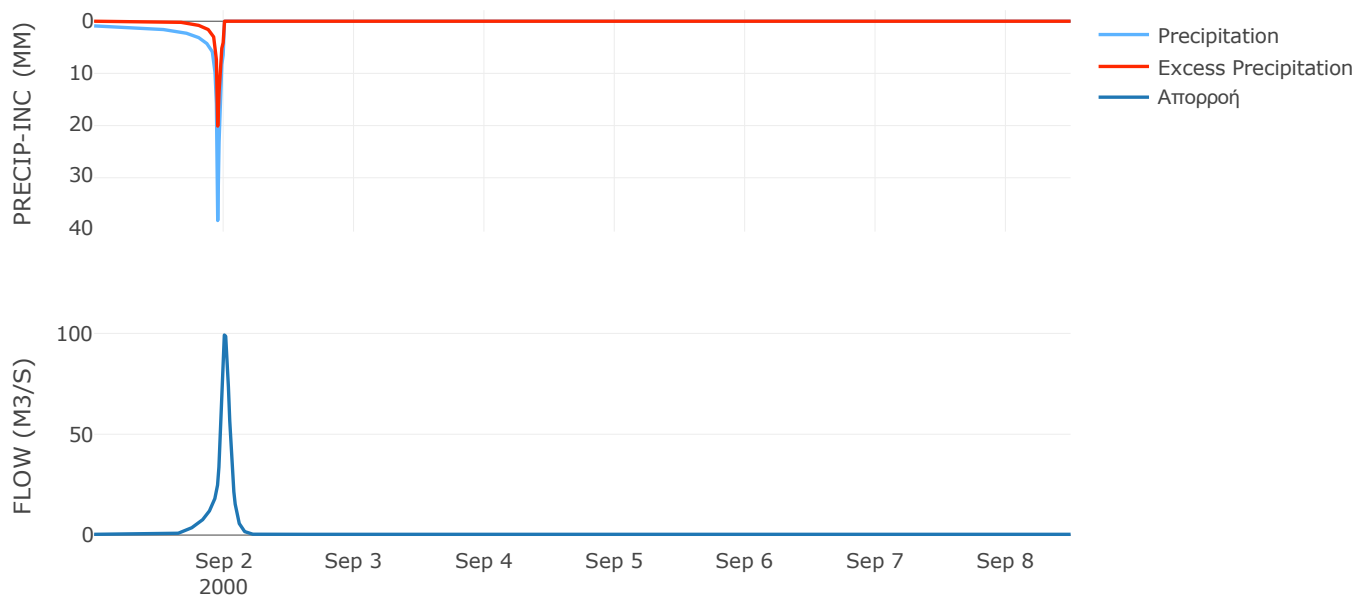
Μέθοδος
Μετασχηματισμού: SCS

Χρόνος Υστέρησης	63.93
------------------	-------

Αποτελέσματα:
EL0415FL007002

Παροχή αιχμής (M3/S)	99.2
Χρονική στιγμή αιχμής	01Sep2000, 24:00
Όγκος (MM)	109.43
Όγκος βροχόπτωσης (M3)	2.98E6
Όγκος απωλειών (M3)	2.06E6
Ενεργός Όγκος (M3)	9.15E5
Όγκος άμεσης απορροής (M3)	9.15E5
Όγκος βασικής απορροής (M3)	2.39E5

Βροχόπτωση και Απορροή



Υπολεκάνη: EL0415FL007003

Έκταση (KM2) : 7.3

Κατάντη : J3

Μέθοδος Απωλειών: SCS

Ποσοστό αδιαπέρατης επιφάνειας	0
Αριθμός Καμπύλης Απορροής-CN	40.45
Αρχικές Απώλειες	74.79

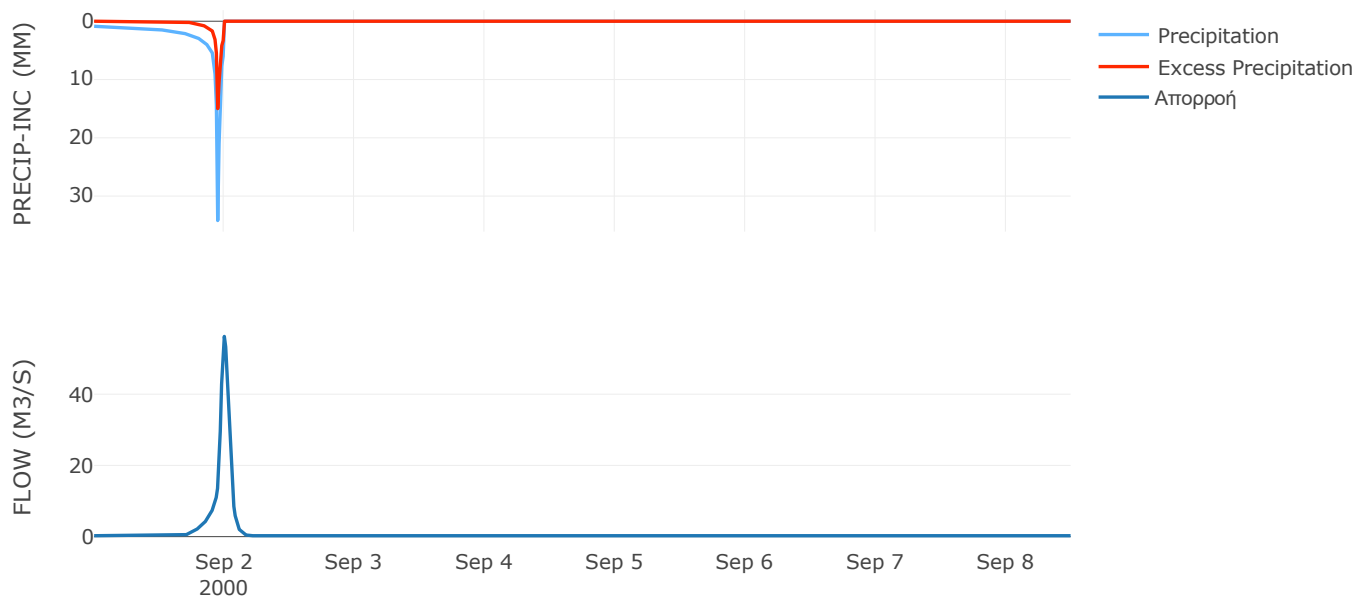
Μέθοδος
Μετασχηματισμού: SCS

Χρόνος Υστέρησης	56.19
------------------	-------

Αποτελέσματα:
EL0415FL007003

Παροχή αιχμής (M3/S)	56.23
Χρονική στιγμή αιχμής	01Sep2000, 24:00
Όγκος (MM)	85.69
Όγκος βροχόπτωσης (M3)	1.92E6
Όγκος απωλειών (M3)	1.46E6
Ενεργός Όγκος (M3)	4.6E5
Όγκος άμεσης απορροής (M3)	4.6E5
Όγκος βασικής απορροής (M3)	1.66E5

Βροχόπτωση και Απορροή



Υπολεκάνη: EL0415FL007004

Έκταση (KM2) : 9.79

Κατάντη : J16

Μέθοδος Απωλειών: SCS

Ποσοστό αδιαπέρατης επιφάνειας	0
Αριθμός Καμπύλης Απορροής-CN	30.13
Αρχικές Απώλειες	117.83

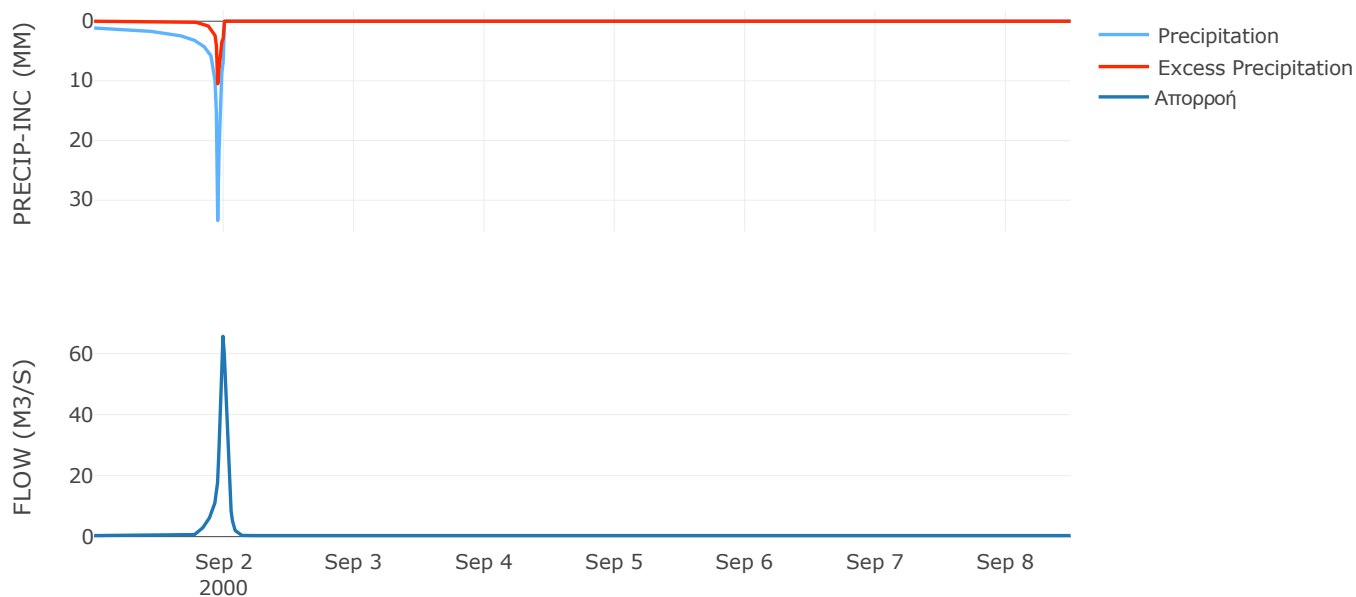
Μέθοδος
Μετασχηματισμού: SCS

Χρόνος Υστέρησης	38.67
------------------	-------

Αποτελέσματα:
EL0415FL007004

Παροχή αιχμής (M3/S)	65.68
Χρονική στιγμή αιχμής	01Sep2000, 23:45
Όγκος (MM)	68.26
Όγκος βροχόπτωσης (M3)	2.99E6
Όγκος απωλειών (M3)	2.55E6
Ενεργός Όγκος (M3)	4.46E5
Όγκος άμεσης απορροής (M3)	4.46E5
Όγκος βασικής απορροής (M3)	2.22E5

Βροχόπτωση και Απορροή



Υπολεκάνη: EL0415FL007005

Έκταση (KM2) : 17.4

Κατάντη : J19

Μέθοδος Απωλειών: SCS

Ποσοστό αδιαπέρατης επιφάνειας	0
Αριθμός Καμπύλης Απορροής-CN	32.39
Αρχικές Απώλειες	106.02

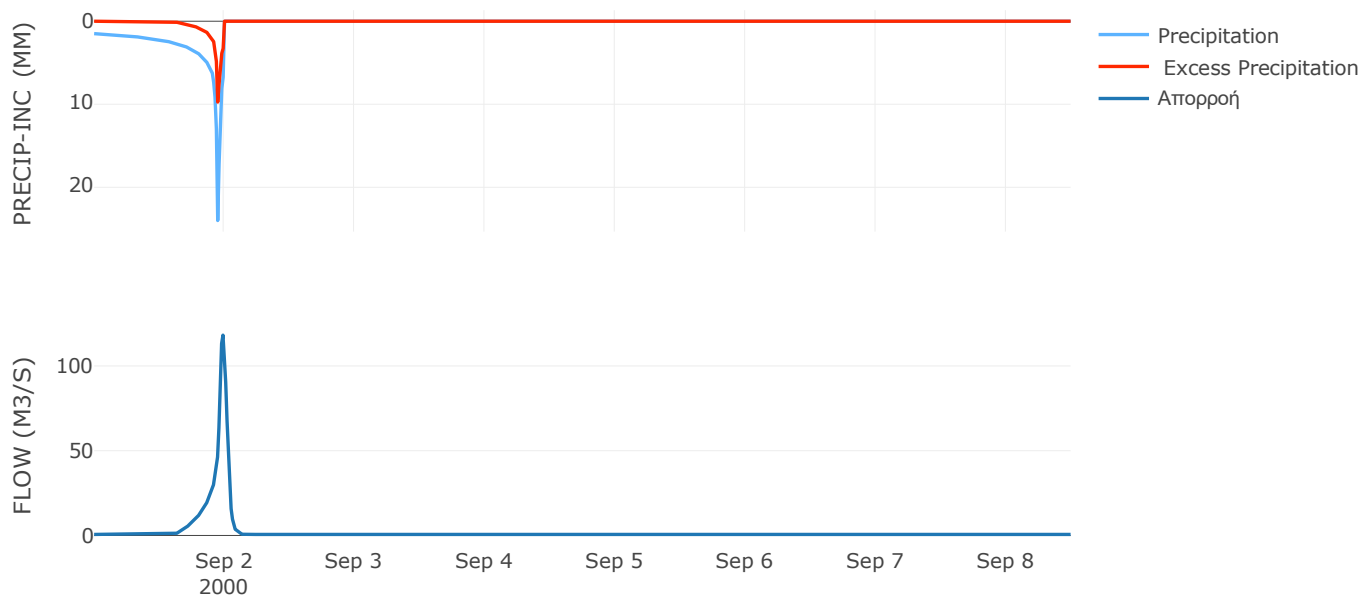
Μέθοδος
Μετασχηματισμού: SCS

Χρόνος Υστέρησης	38.62
------------------	-------

Αποτελέσματα:
EL0415FL007005

Παροχή αιχμής (M3/S)	118.19
Χρονική στιγμή αιχμής	01Sep2000, 23:45
Όγκος (MM)	83.41
Όγκος βροχόπτωσης (M3)	5.54E6
Όγκος απωλειών (M3)	4.48E6
Ενεργός Όγκος (M3)	1.06E6
Όγκος άμεσης απορροής (M3)	1.06E6
Όγκος βασικής απορροής (M3)	3.95E5

Βροχόπτωση και Απορροή



Υπολεκάνη: EL0415FL007006

Έκταση (KM2) : 2.23

Κατάντη : J18

Μέθοδος Απωλειών: SCS

Ποσοστό αδιαπέρατης επιφάνειας	0
Αριθμός Καμπύλης Απορροής-CN	24.83
Αρχικές Απώλειες	153.8

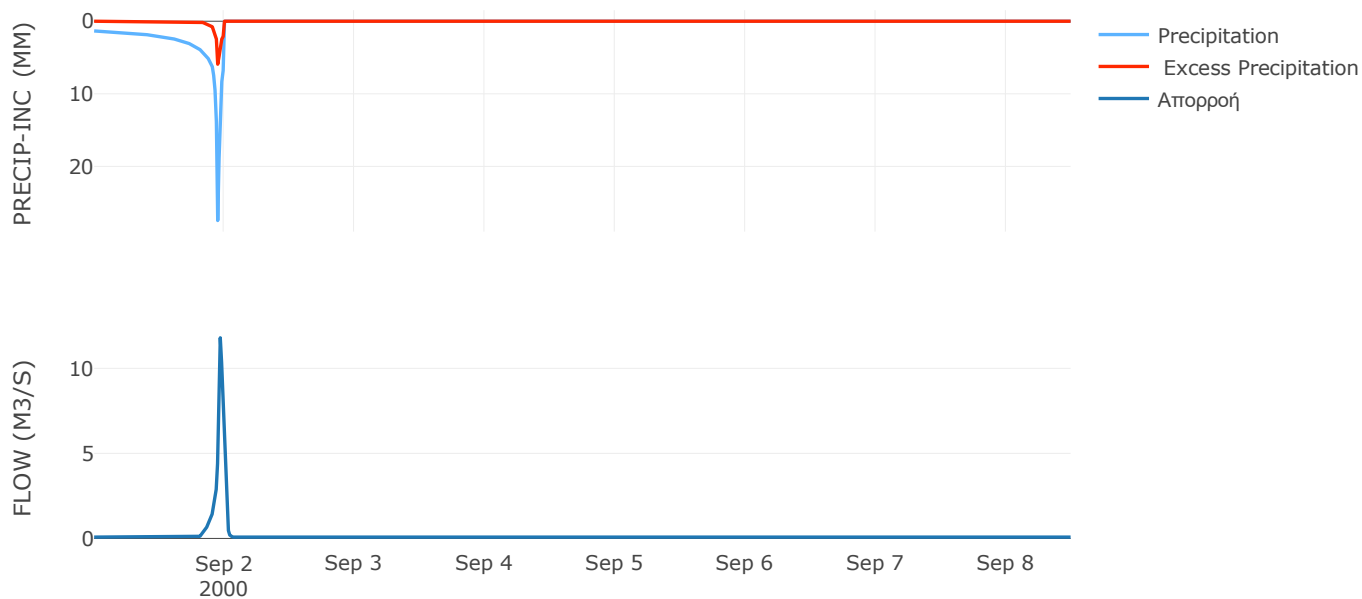
Μέθοδος
Μετασχηματισμού: SCS

Χρόνος Υστέρησης	14.75
------------------	-------

Αποτελέσματα:
EL0415FL007006

Παροχή αιχμής (M3/S)	11.8
Χρονική στιγμή αιχμής	01Sep2000, 23:15
Όγκος (MM)	49.73
Όγκος βροχόπτωσης (M3)	6.97E5
Όγκος απωλειών (M3)	6.37E5
Ενεργός Όγκος (M3)	60401.07
Όγκος άμεσης απορροής (M3)	60401.07
Όγκος βασικής απορροής (M3)	50644.44

Βροχόπτωση και Απορροή



Υπολεκάνη: EL0415FL007007

Έκταση (KM2) : 9.16

Κατάντη : J18

Μέθοδος Απωλειών: SCS

Ποσοστό αδιαπέρατης επιφάνειας	0
Αριθμός Καμπύλης Απορροής-CN	23.36
Αρχικές Απώλειες	166.71

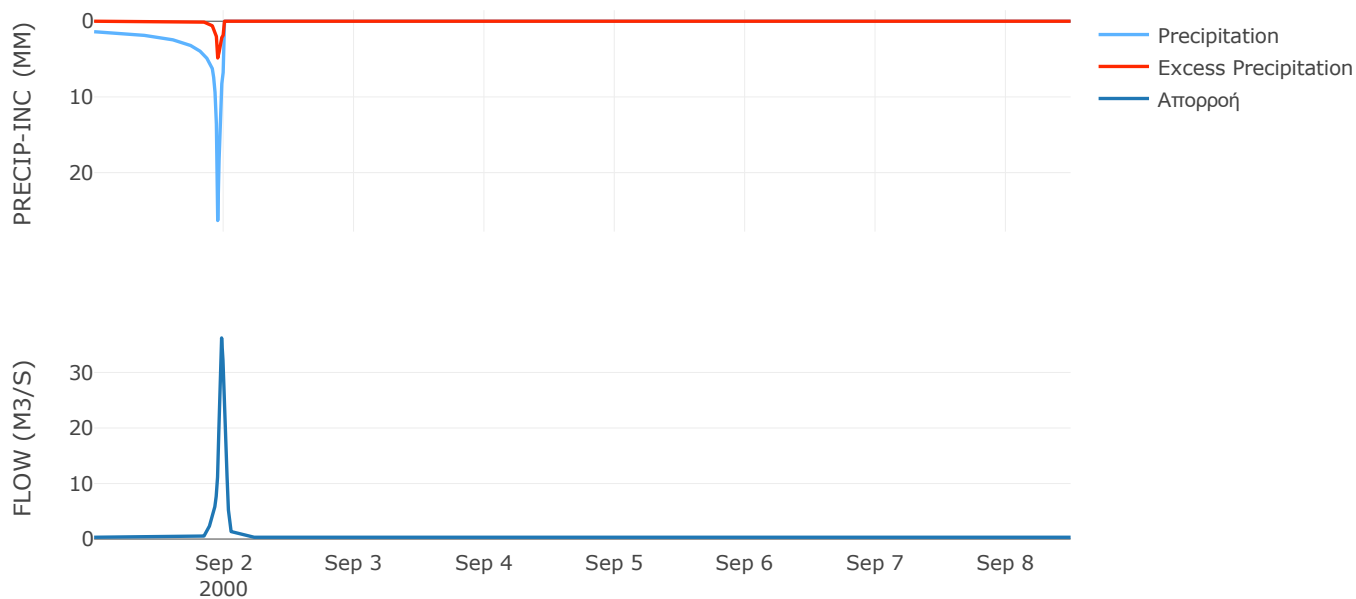
Μέθοδος
Μετασχηματισμού: SCS

Χρόνος Υστέρησης	24.01
------------------	-------

Αποτελέσματα:
EL0415FL007007

Παροχή αιχμής (M3/S)	36.22
Χρονική στιγμή αιχμής	01Sep2000, 23:30
Όγκος (MM)	44.75
Όγκος βροχόπτωσης (M3)	2.88E6
Όγκος απωλειών (M3)	2.67E6
Ενεργός Όγκος (M3)	2.02E5
Όγκος άμεσης απορροής (M3)	2.02E5
Όγκος βασικής απορροής (M3)	2.08E5

Βροχόπτωση και Απορροή



Υπολεκάνη: EL0415FL007008

Έκταση (KM2) : 7.8

Κατάνη : J17

Μέθοδος Απωλειών: SCS

Ποσοστό αδιαπέρατης επιφάνειας	0
Αριθμός Καμπύλης Απορροής-CN	31.25
Αρχικές Απώλειες	111.76

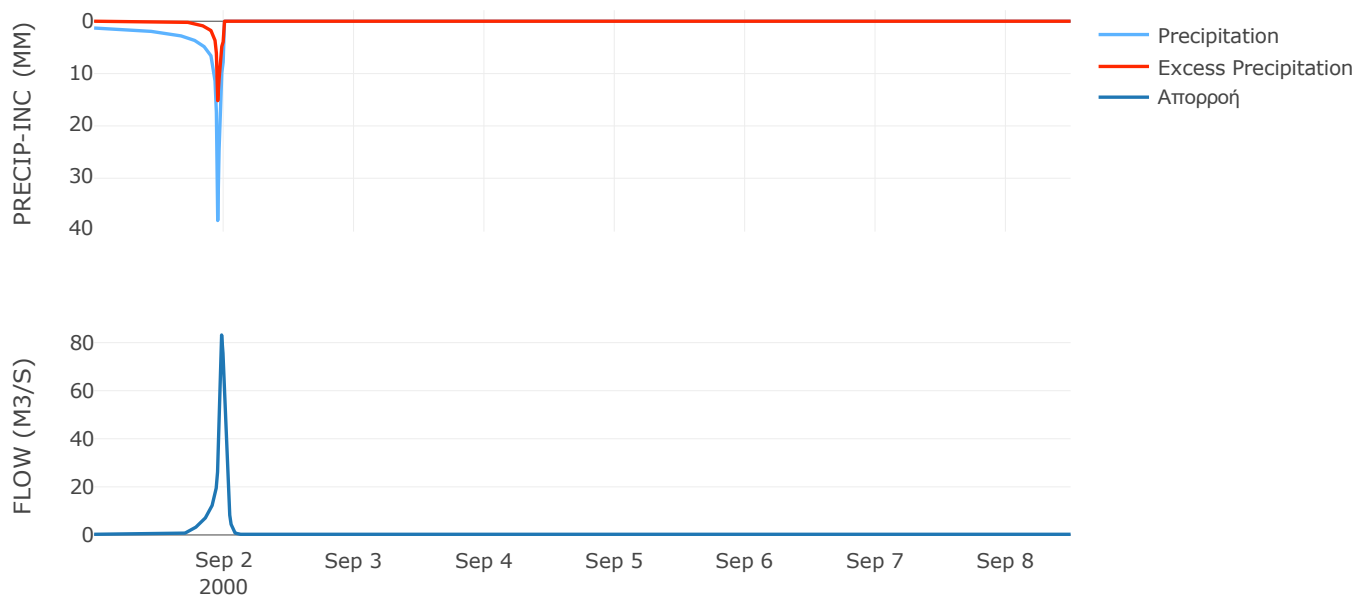
Μέθοδος
Μετασχηματισμού: SCS

Χρόνος Υστέρησης	29.56
------------------	-------

Αποτελέσματα:
EL0415FL007008

Παροχή αιχμής (M3/S)	83.18
Χρονική στιγμή αιχμής	01Sep2000, 23:30
Όγκος (MM)	93.31
Όγκος βροχόπτωσης (M3)	2.72E6
Όγκος απωλειών (M3)	2.17E6
Ενεργός Όγκος (M3)	5.51E5
Όγκος άμεσης απορροής (M3)	5.51E5
Όγκος βασικής απορροής (M3)	1.77E5

Βροχόπτωση και Απορροή



Υπολεκάνη: EL0415FL007009

Έκταση (KM2) : 11.83

Κατάνη : J17

Μέθοδος Απωλειών: SCS

Ποσοστό αδιαπέρατης επιφάνειας	0
Αριθμός Καμπύλης Απορροής-CN	43.9
Αρχικές Απώλειες	64.91

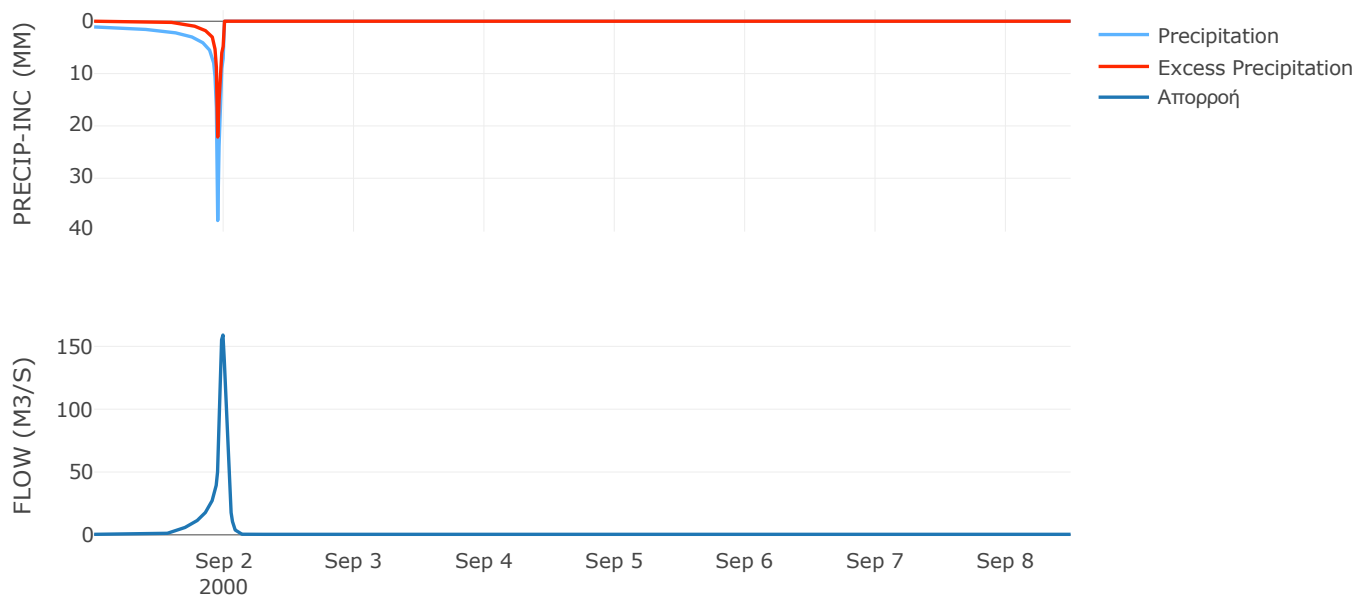
Μέθοδος
Μετασχηματισμού: SCS

Χρόνος Υστέρησης	38.27
------------------	-------

Αποτελέσματα:
EL0415FL007009

Παροχή αιχμής (M3/S)	159.01
Χρονική στιγμή αιχμής	01Sep2000, 23:45
Όγκος (MM)	130.9
Όγκος βροχόπτωσης (M3)	3.72E6
Όγκος απωλειών (M3)	2.44E6
Ενεργός Όγκος (M3)	1.28E6
Όγκος άμεσης απορροής (M3)	1.28E6
Όγκος βασικής απορροής (M3)	2.68E5

Βροχόπτωση και Απορροή



Υπολεκάνη: EL0415FL007010

Έκταση (KM2) : 1.62

Κατάντη : J10

Μέθοδος Απωλειών: SCS

Ποσοστό αδιαπέρατης επιφάνειας	0
Αριθμός Καμπύλης Απορροής-CN	61.45
Αρχικές Απώλειες	31.87

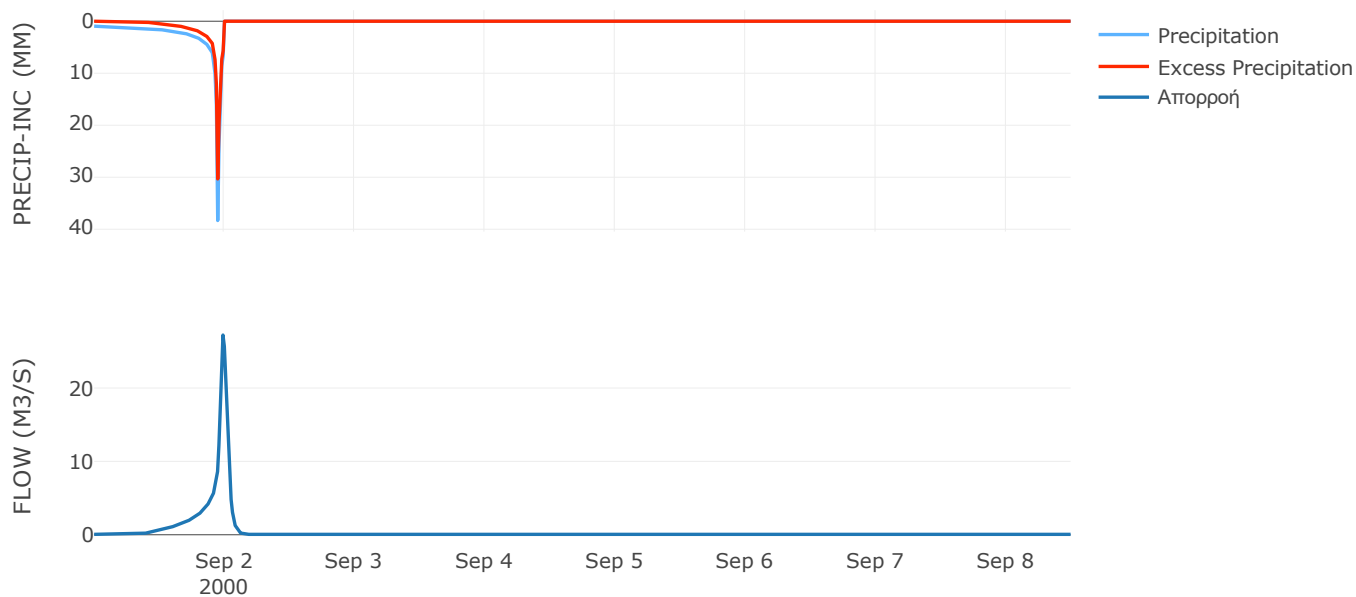
Μέθοδος
Μετασχηματισμού: SCS

Χρόνος Υστέρησης	46.11
------------------	-------

Αποτελέσματα:
EL0415FL007010

Παροχή αιχμής (M3/S)	27.22
Χρονική στιγμή αιχμής	01Sep2000, 23:45
Όγκος (MM)	184.03
Όγκος βροχόπτωσης (M3)	4.73E5
Όγκος απωλειών (M3)	2.11E5
Ενεργός Όγκος (M3)	2.61E5
Όγκος άμεσης απορροής (M3)	2.61E5
Όγκος βασικής απορροής (M3)	36696.24

Βροχόπτωση και Απορροή



Υπολεκάνη: EL0415FL007011

Έκταση (KM2) : 3.11

Κατάνη : J11

Μέθοδος Απωλειών: SCS

Ποσοστό αδιαπέρατης επιφάνειας	0
Αριθμός Καμπύλης Απορροής-CN	47.51
Αρχικές Απώλειες	56.12

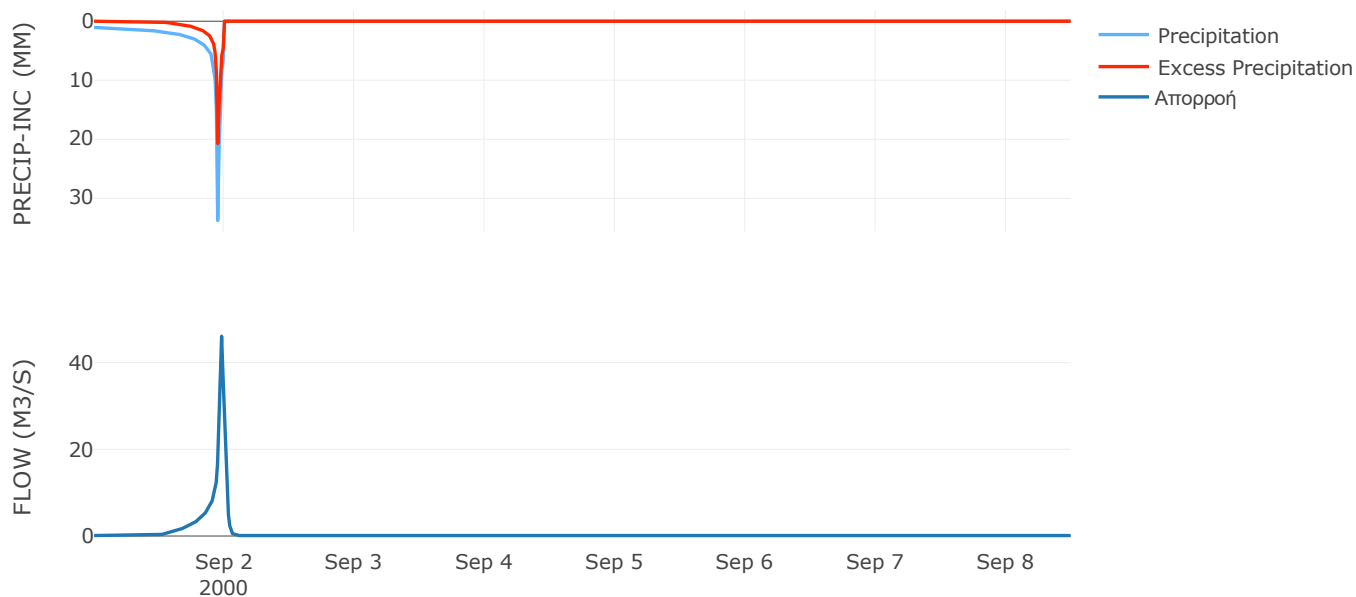
Μέθοδος
Μετασχηματισμού: SCS

Χρόνος Υστέρησης	24.36
------------------	-------

Αποτελέσματα:
EL0415FL007011

Παροχή αιχμής (M3/S)	46.08
Χρονική στιγμή αιχμής	01Sep2000, 23:30
Όγκος (MM)	130.58
Όγκος βροχόπτωσης (M3)	9.08E5
Όγκος απωλειών (M3)	5.73E5
Ενεργός Όγκος (M3)	3.35E5
Όγκος άμεσης απορροής (M3)	3.35E5
Όγκος βασικής απορροής (M3)	70470

Βροχόπτωση και Απορροή



Υπολεκάνη: EL0415FL007012

Έκταση (KM2) : 4.8

Κατάντη : J10

Μέθοδος Απωλειών: SCS

Ποσοστό αδιαπέρατης επιφάνειας	0
Αριθμός Καμπύλης Απορροής-CN	54.95
Αρχικές Απώλειες	41.65

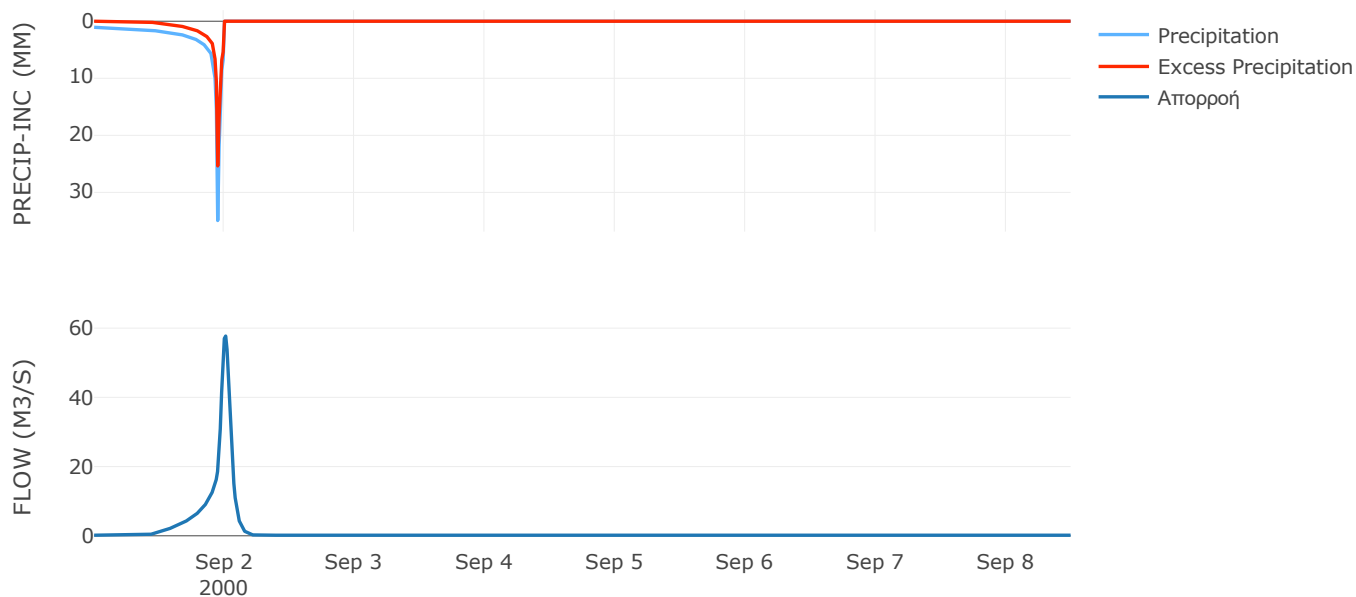
Μέθοδος
Μετασχηματισμού: SCS

Χρόνος Υστέρησης	68.89
------------------	-------

Αποτελέσματα:
EL0415FL007012

Παροχή αιχμής (M3/S)	57.71
Χρονική στιγμή αιχμής	02Sep2000, 00:15
Όγκος (MM)	164.55
Όγκος βροχόπτωσης (M3)	1.43E6
Όγκος απωλειών (M3)	7.52E5
Ενεργός Όγκος (M3)	6.81E5
Όγκος άμεσης απορροής (M3)	6.81E5
Όγκος βασικής απορροής (M3)	1.09E5

Βροχόπτωση και Απορροή



Υπολεκάνη: EL0415FL007013

Έκταση (KM2) : 1.31

Κατάνη : J15

Μέθοδος Απωλειών: SCS

Ποσοστό αδιαπέρατης επιφάνειας	0
Αριθμός Καμπύλης Απορροής-CN	61.51
Αρχικές Απώλειες	31.79

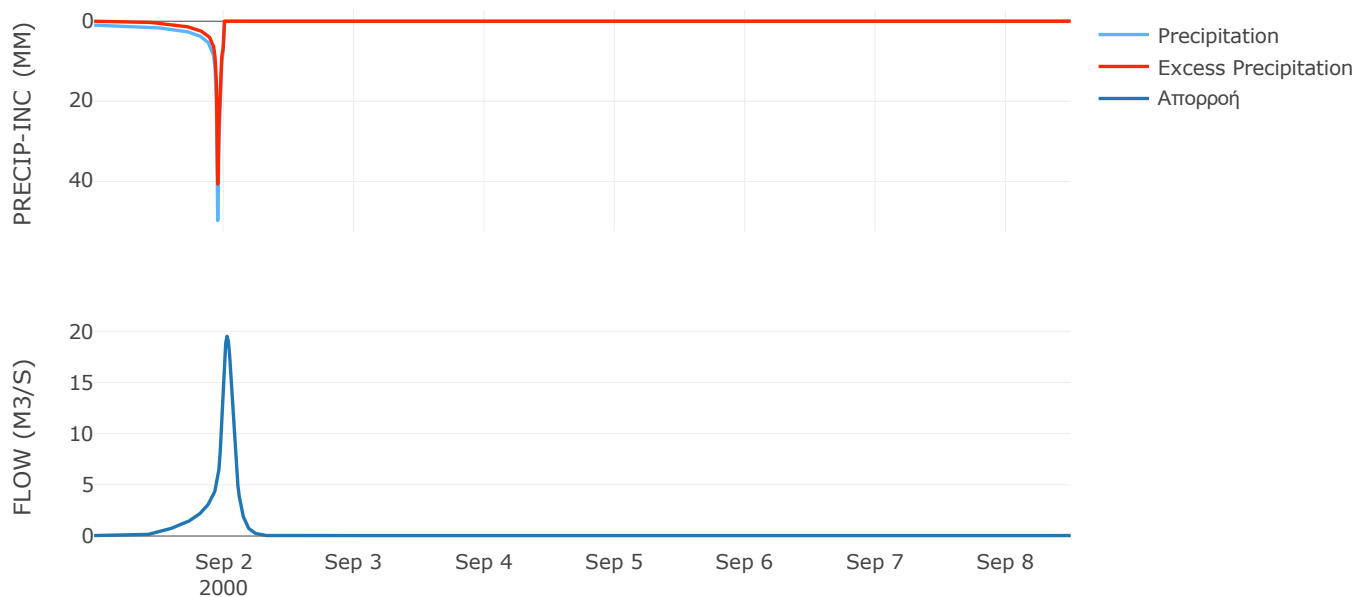
Μέθοδος
Μετασχηματισμού: SCS

Χρόνος Υστέρησης	93
------------------	----

Αποτελέσματα:
EL0415FL007013

Παροχή αιχμής (M3/S)	19.52
Χρονική στιγμή αιχμής	02Sep2000, 00:30
Όγκος (MM)	218.11
Όγκος βροχόπτωσης (M3)	4.35E5
Όγκος απωλειών (M3)	1.78E5
Ενεργός Όγκος (M3)	2.57E5
Όγκος άμεσης απορροής (M3)	2.57E5
Όγκος βασικής απορροής (M3)	29801.52

Βροχόπτωση και Απορροή



Υπολεκάνη: EL0415FL007014

Έκταση (KM2) : 3.5

Κατάνη : J15

Μέθοδος Απωλειών: SCS

Ποσοστό αδιαπέρατης επιφάνειας	0
Αριθμός Καμπύλης Απορροής-CN	57.72
Αρχικές Απώλειες	37.22

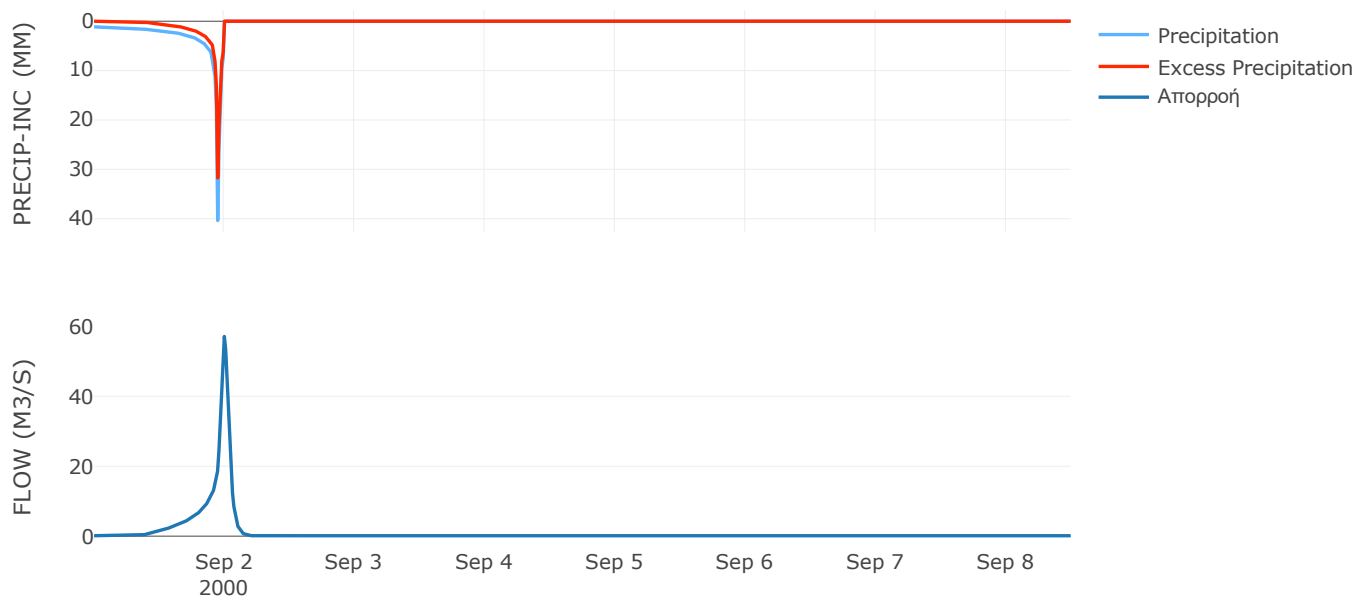
Μέθοδος
Μετασχηματισμού: SCS

Χρόνος Υστέρησης	57.16
------------------	-------

Αποτελέσματα:
EL0415FL007014

Παροχή αιχμής (M3/S)	57.13
Χρονική στιγμή αιχμής	01Sep2000, 24:00
Όγκος (MM)	201.91
Όγκος βροχόπτωσης (M3)	1.16E6
Όγκος απωλειών (M3)	5.29E5
Ενεργός Όγκος (M3)	6.28E5
Όγκος άμεσης απορροής (M3)	6.28E5
Όγκος βασικής απορροής (M3)	79451.28

Βροχόπτωση και Απορροή



Υπολεκάνη: EL0415FL007015

Έκταση (KM2) : 0.6

Κατάντη : J20

Μέθοδος Απωλειών: SCS

Ποσοστό αδιαπέρατης επιφάνειας	0
Αριθμός Καμπύλης Απορροής-CN	64.13
Αρχικές Απώλειες	28.42

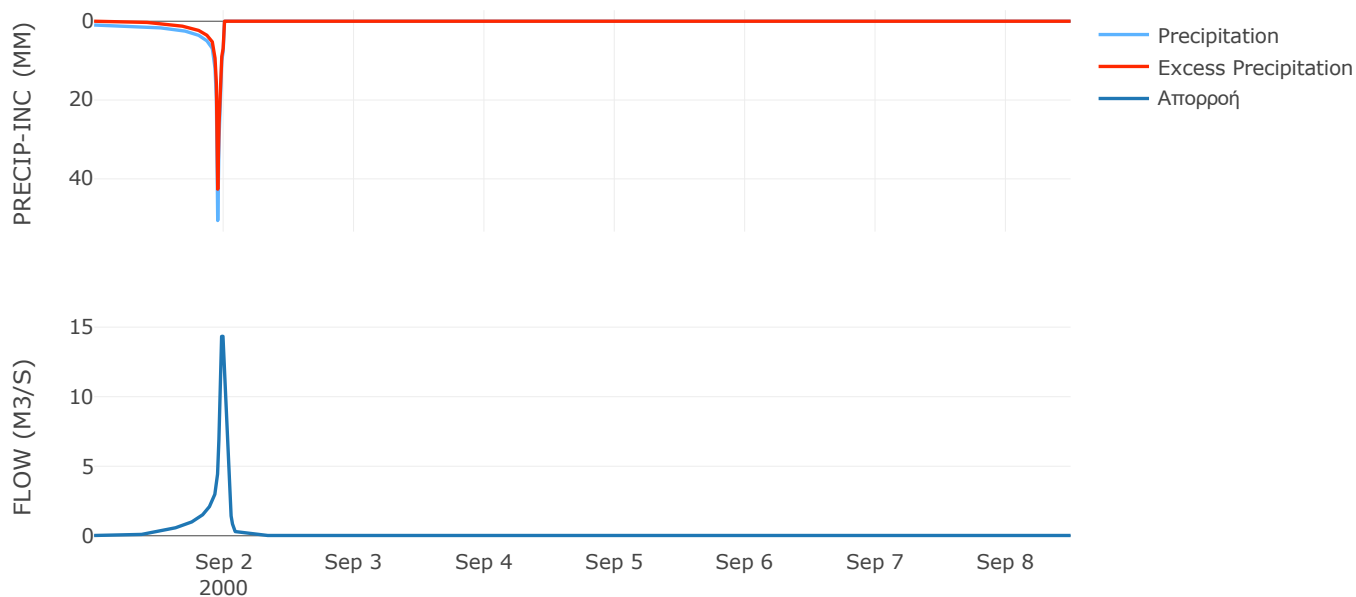
Μέθοδος
Μετασχηματισμού: SCS

Χρόνος Υστέρησης	38.29
------------------	-------

Αποτελέσματα:
EL0415FL007015

Παροχή αιχμής (M3/S)	14.34
Χρονική στιγμή αιχμής	01Sep2000, 23:45
Όγκος (MM)	230.39
Όγκος βροχόπτωσης (M3)	1.99E5
Όγκος απωλειών (M3)	75060.57
Ενεργός Όγκος (M3)	1.24E5
Όγκος άμεσης απορροής (M3)	1.24E5
Όγκος βασικής απορροής (M3)	13585.32

Βροχόπτωση και Απορροή



Υπολεκάνη: EL0415FL007016

Έκταση (KM2) : 0.07

Κατάντη : J14

Μέθοδος Απωλειών: SCS

Ποσοστό αδιαπέρατης επιφάνειας	0
Αριθμός Καμπύλης Απορροής-CN	59.83
Αρχικές Απώλειες	34.12

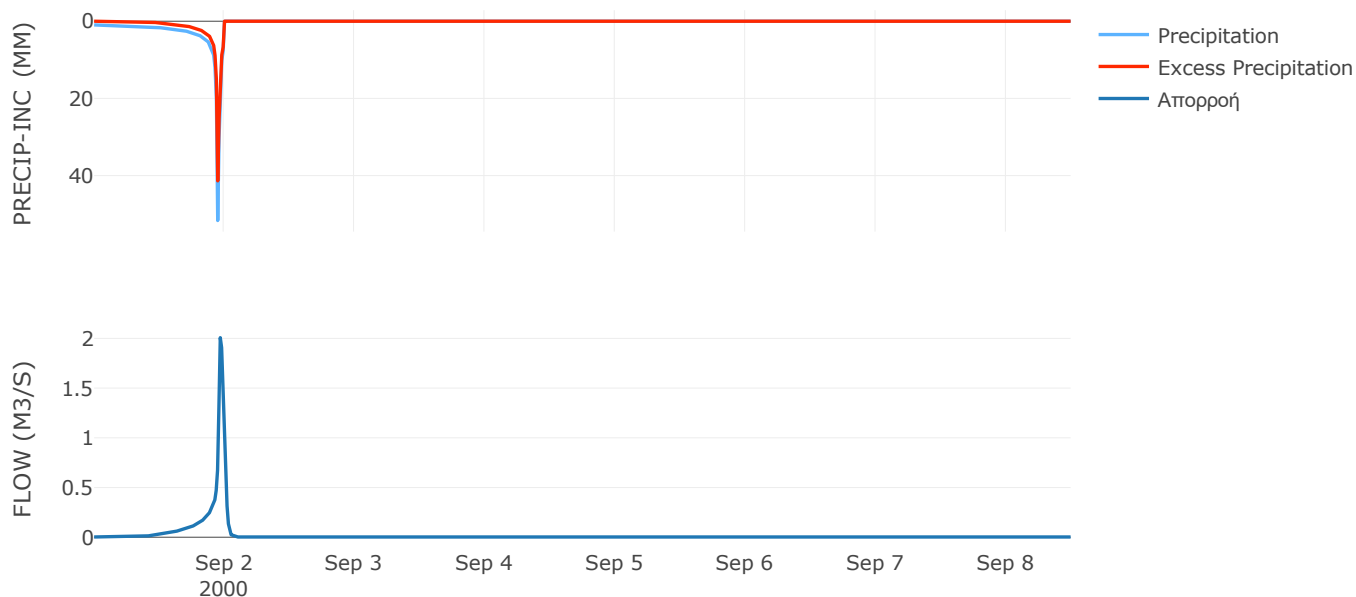
Μέθοδος
Μετασχηματισμού: SCS

Χρόνος Υστέρησης	21.88
------------------	-------

Αποτελέσματα:
EL0415FL007016

Παροχή αιχμής (M3/S)	2.01
Χρονική στιγμή αιχμής	01Sep2000, 23:15
Όγκος (MM)	215.04
Όγκος βροχόπτωσης (M3)	23477.14
Όγκος απωλειών (M3)	10011.75
Ενεργός Όγκος (M3)	13465.39
Όγκος άμεσης απορροής (M3)	13465.39
Όγκος βασικής απορροής (M3)	1587.6

Βροχόπτωση και Απορροή



Υπολεκάνη: EL0415FL007017

Έκταση (KM2) : 0.12

Κατάντη : J13

Μέθοδος Απωλειών: SCS

Ποσοστό αδιαπέρατης επιφάνειας	0
Αριθμός Καμπύλης Απορροής-CN	59.15
Αρχικές Απώλειες	35.08

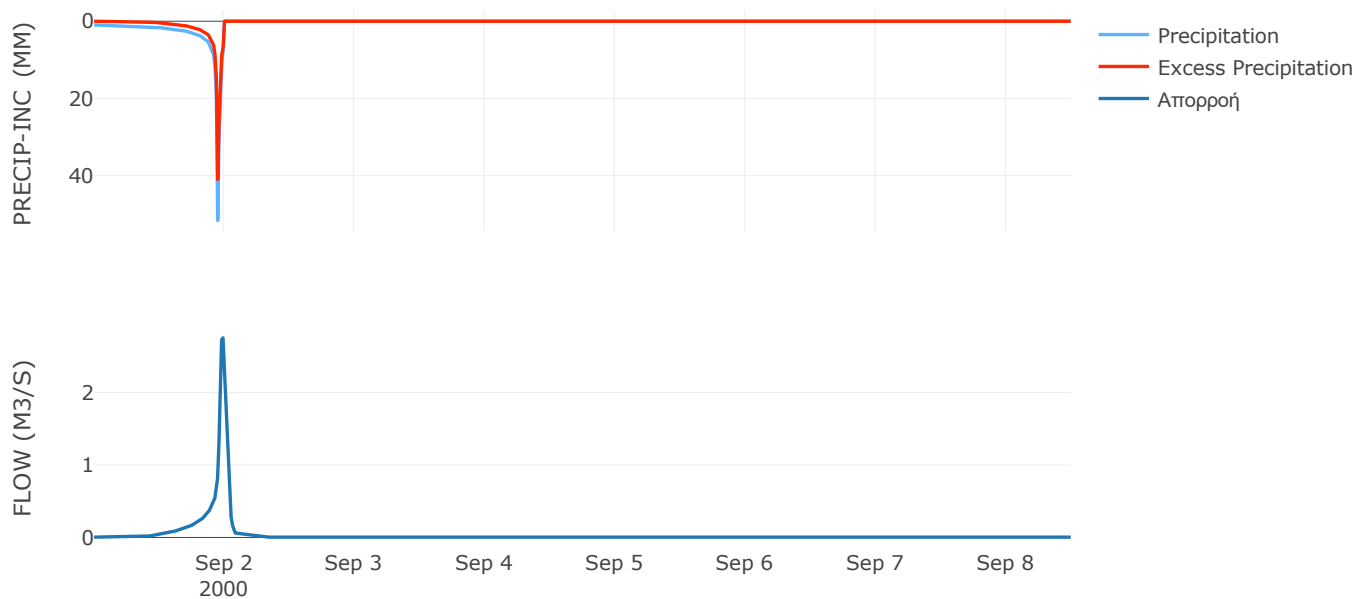
Μέθοδος
Μετασχηματισμού: SCS

Χρόνος Υστέρησης	38.73
------------------	-------

Αποτελέσματα:
EL0415FL007017

Παροχή αιχμής (M3/S)	2.75
Χρονική στιγμή αιχμής	01Sep2000, 23:45
Όγκος (MM)	212.27
Όγκος βροχόπτωσης (M3)	40246.53
Όγκος απωλειών (M3)	17496.05
Ενεργός Όγκος (M3)	22750.48
Όγκος άμεσης απορροής (M3)	22750.48
Όγκος βασικής απορροής (M3)	2721.6

Βροχόπτωση και Απορροή



Υπολεκάνη: EL0415FL007018

Έκταση (KM2) : 6.09

Κατάντη : J7

Μέθοδος Απωλειών: SCS

Ποσοστό αδιαπέρατης επιφάνειας	0
Αριθμός Καμπύλης Απορροής-CN	45.07
Αρχικές Απώλειες	61.91

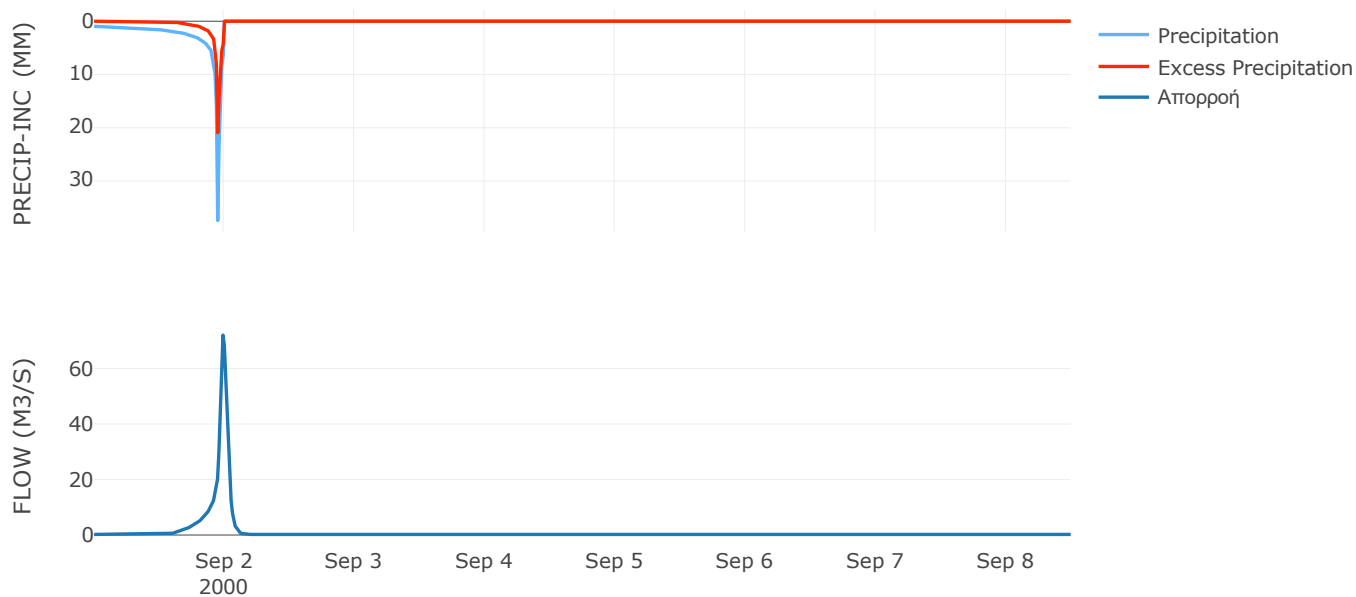
Μέθοδος
Μετασχηματισμού: SCS

Χρόνος Υστέρησης	44.92
------------------	-------

Αποτελέσματα:
EL0415FL007018

Παροχή αιχμής (M3/S)	72.04
Χρονική στιγμή αιχμής	01Sep2000, 23:45
Όγκος (MM)	117.9
Όγκος βροχόπτωσης (M3)	1.75E6
Όγκος απωλειών (M3)	1.17E6
Ενεργός Όγκος (M3)	5.8E5
Όγκος άμεσης απορροής (M3)	5.8E5
Όγκος βασικής απορροής (M3)	1.38E5

Βροχόπτωση και Απορροή



Υπολεκάνη: EL0415FL007020

Έκταση (KM2) : 6.38

Κατάντη : J6

Μέθοδος Απωλειών: SCS

Ποσοστό αδιαπέρατης επιφάνειας	0
Αριθμός Καμπύλης Απορροής-CN	34.69
Αρχικές Απώλειες	95.65

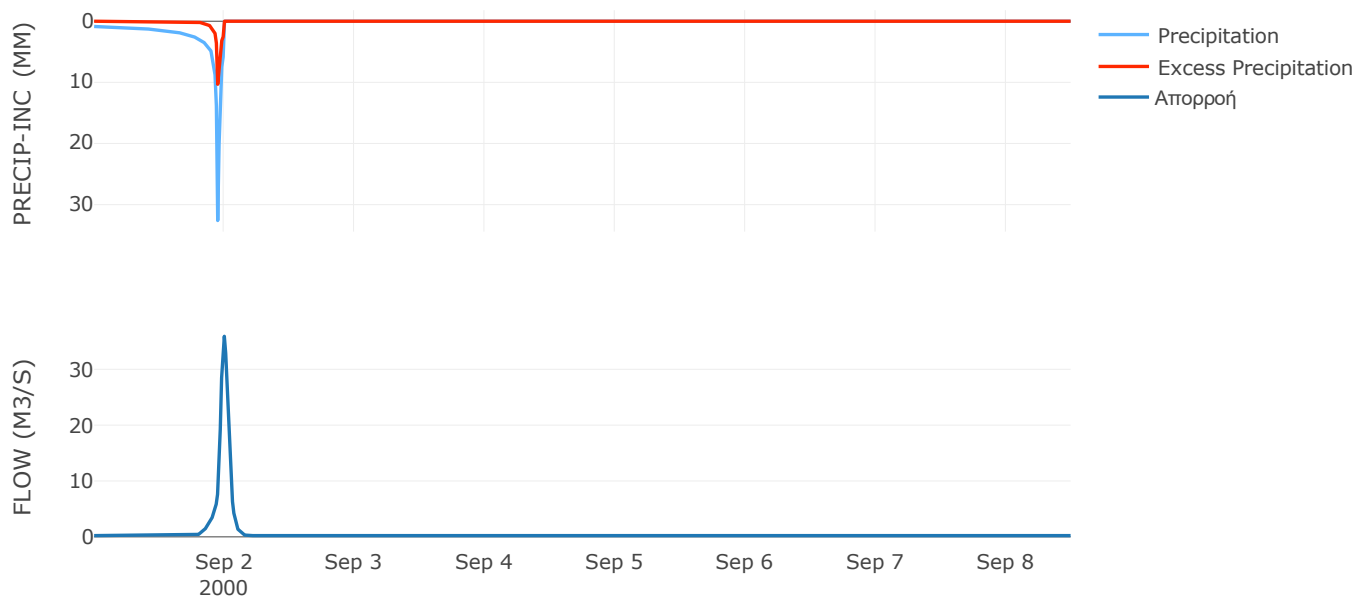
Μέθοδος
Μετασχηματισμού: SCS

Χρόνος Υστέρησης	50.97
------------------	-------

Αποτελέσματα:
EL0415FL007020

Παροχή αιχμής (M3/S)	35.91
Χρονική στιγμή αιχμής	01Sep2000, 24:00
Όγκος (MM)	63.15
Όγκος βροχόπτωσης (M3)	1.64E6
Όγκος απωλειών (M3)	1.38E6
Ενεργός Όγκος (M3)	2.58E5
Όγκος άμεσης απορροής (M3)	2.58E5
Όγκος βασικής απορροής (M3)	1.45E5

Βροχόπτωση και Απορροή



Υπολεκάνη: EL0415FL007021

Έκταση (KM2) : 6.96

Κατάντη : J9

Μέθοδος Απωλειών: SCS

Ποσοστό αδιαπέρατης επιφάνειας	0
Αριθμός Καμπύλης Απορροής-CN	43.64
Αρχικές Απώλειες	65.6

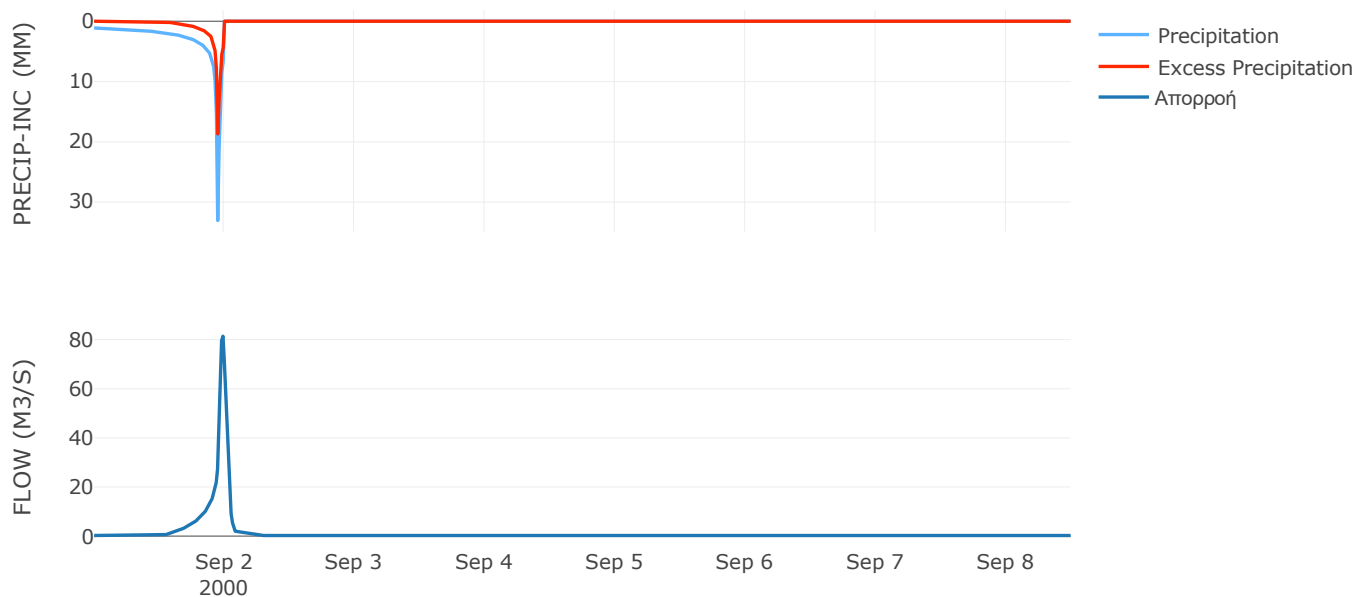
Μέθοδος
Μετασχηματισμού: SCS

Χρόνος Υστέρησης	37.97
------------------	-------

Αποτελέσματα:
EL0415FL007021

Παροχή αιχμής (M3/S)	81.39
Χρονική στιγμή αιχμής	01Sep2000, 23:45
Όγκος (MM)	120.73
Όγκος βροχόπτωσης (M3)	2.09E6
Όγκος απωλειών (M3)	1.41E6
Ενεργός Όγκος (M3)	6.82E5
Όγκος άμεσης απορροής (M3)	6.82E5
Όγκος βασικής απορροής (M3)	1.58E5

Βροχόπτωση και Απορροή



Υπολεκάνη: EL0415FL007022

Έκταση (KM2) : 4.73

Κατάντη : J8

Μέθοδος Απωλειών: SCS

Ποσοστό αδιαπέρατης επιφάνειας	0
Αριθμός Καμπύλης Απορροής-CN	48.38
Αρχικές Απώλειες	54.21

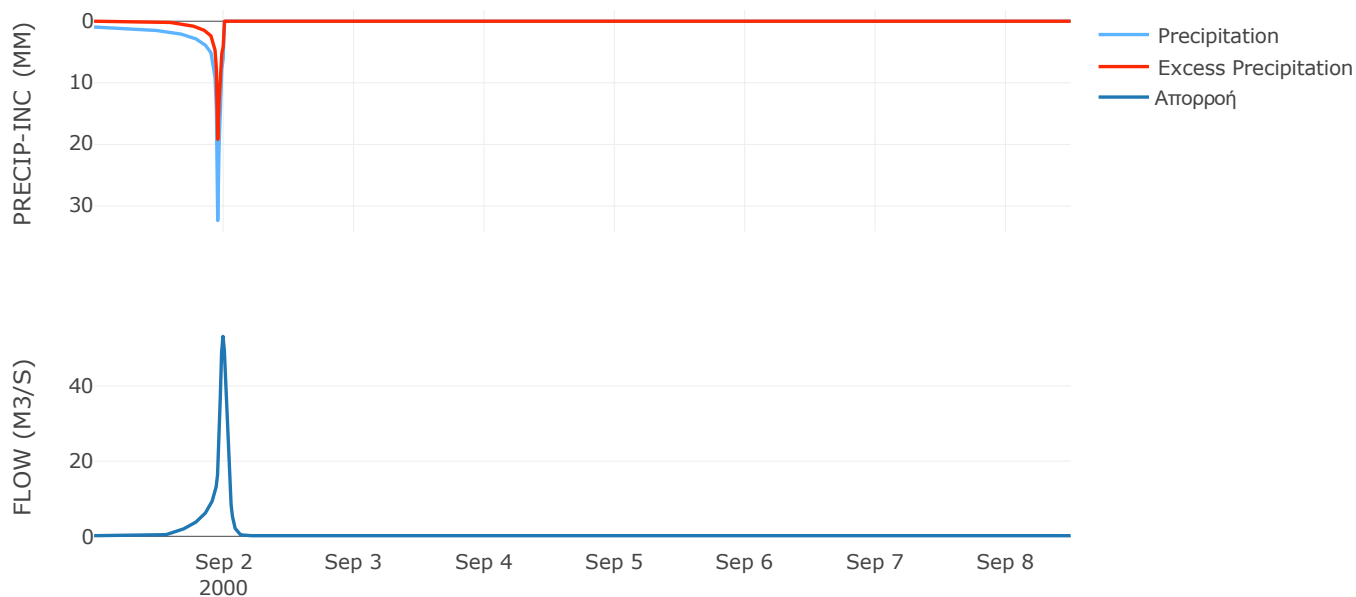
Μέθοδος
Μετασχηματισμού: SCS

Χρόνος Υστέρησης	43.26
------------------	-------

Αποτελέσματα:
EL0415FL007022

Παροχή αιχμής (M3/S)	53.19
Χρονική στιγμή αιχμής	01Sep2000, 23:45
Όγκος (MM)	117.97
Όγκος βροχόπτωσης (M3)	1.27E6
Όγκος απωλειών (M3)	8.24E5
Ενεργός Όγκος (M3)	4.51E5
Όγκος άμεσης απορροής (M3)	4.51E5
Όγκος βασικής απορροής (M3)	1.07E5

Βροχόπτωση και Απορροή



Υπολεκάνη: EL0415FL007023

Έκταση (KM2) : 1.36

Κατάντη : J3

Μέθοδος Απωλειών: SCS

Ποσοστό αδιαπέρατης επιφάνειας	0
Αριθμός Καμπύλης Απορροής-CN	62.33
Αρχικές Απώλειες	30.7

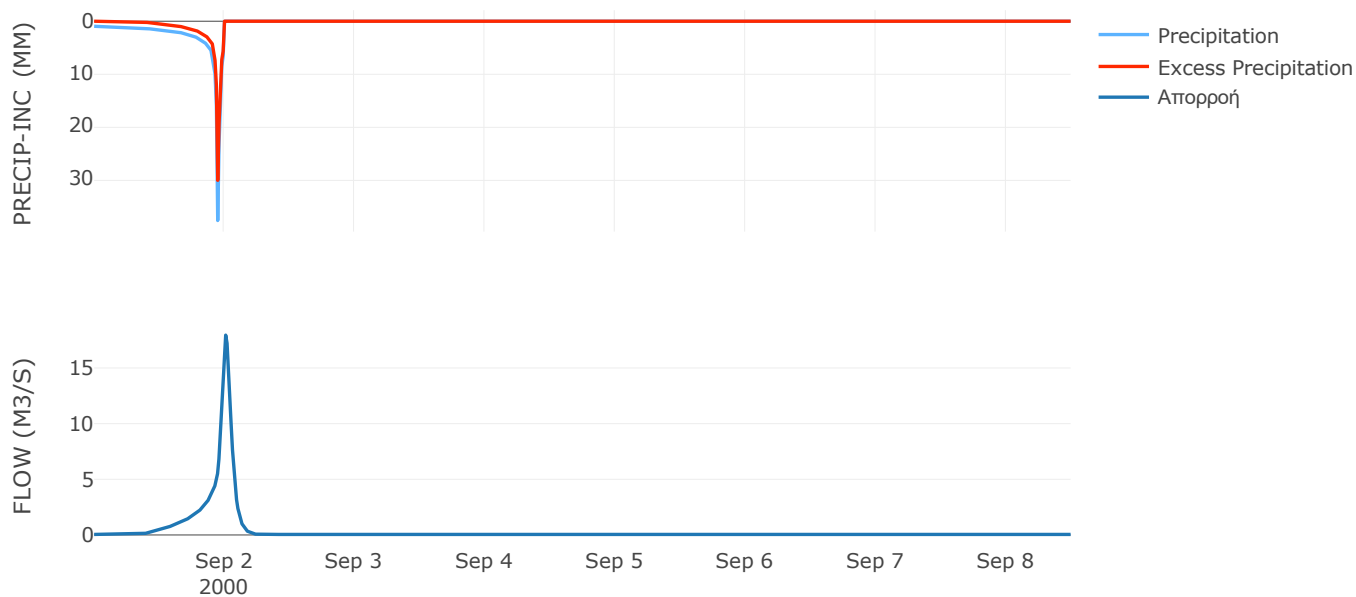
Μέθοδος
Μετασχηματισμού: SCS

Χρόνος Υστέρησης	75.12
------------------	-------

Αποτελέσματα:
EL0415FL007023

Παροχή αιχμής (M3/S)	17.95
Χρονική στιγμή αιχμής	02Sep2000, 00:15
Όγκος (MM)	184.34
Όγκος βροχόπτωσης (M3)	3.94E5
Όγκος απωλειών (M3)	1.73E5
Ενεργός Όγκος (M3)	2.2E5
Όγκος άμεσης απορροής (M3)	2.2E5
Όγκος βασικής απορροής (M3)	30935.52

Βροχόπτωση και Απορροή



Υπολεκάνη: EL0415FL007024

Έκταση (KM2) : 0.88

Κατάντη : J7

Μέθοδος Απωλειών: SCS

Ποσοστό αδιαπέρατης επιφάνειας	0
Αριθμός Καμπύλης Απορροής-CN	61.05
Αρχικές Απώλειες	32.41

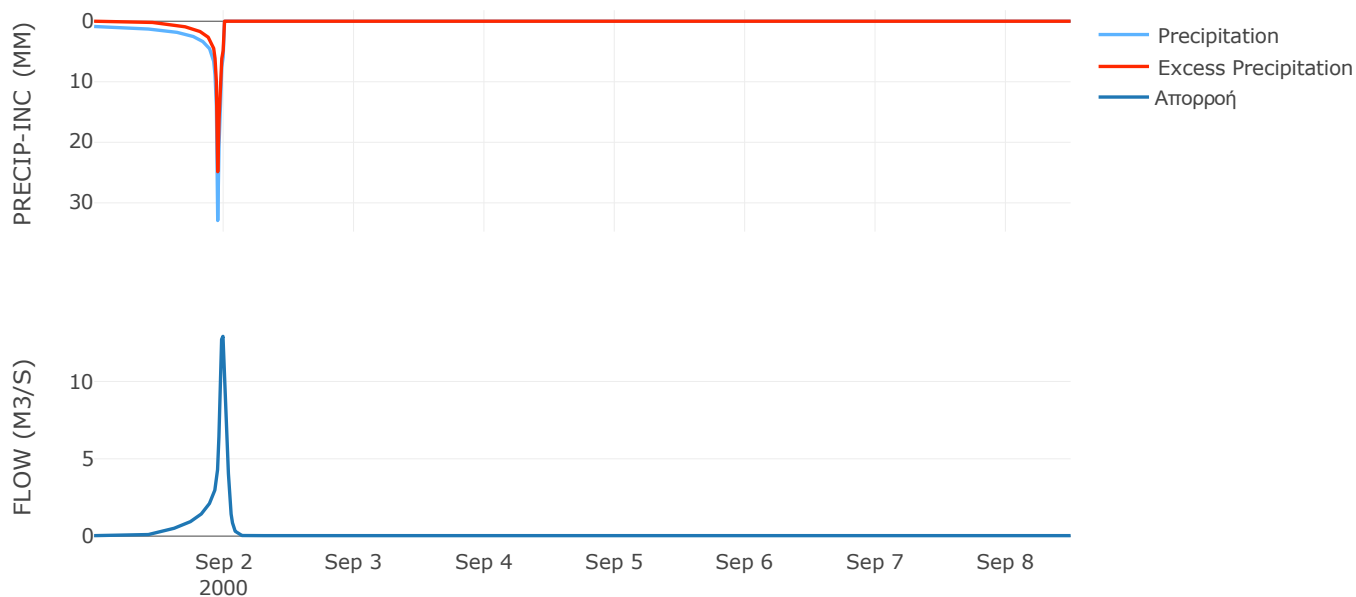
Μέθοδος
Μετασχηματισμού: SCS

Χρόνος Υστέρησης	38.76
------------------	-------

Αποτελέσματα:
EL0415FL007024

Παροχή αιχμής (M3/S)	12.92
Χρονική στιγμή αιχμής	01Sep2000, 23:45
Όγκος (MM)	154.96
Όγκος βροχόπτωσης (M3)	2.28E5
Όγκος απωλειών (M3)	1.11E5
Ενεργός Όγκος (M3)	1.16E5
Όγκος άμεσης απορροής (M3)	1.16E5
Όγκος βασικής απορροής (M3)	19913.04

Βροχόπτωση και Απορροή



Υπολεκάνη: EL0415FL007025

Έκταση (KM2) : 3.8

Κατάντη : J5

Μέθοδος Απωλειών: SCS

Ποσοστό αδιαπέρατης επιφάνειας	0
Αριθμός Καμπύλης Απορροής-CN	43.75
Αρχικές Απώλειες	65.31

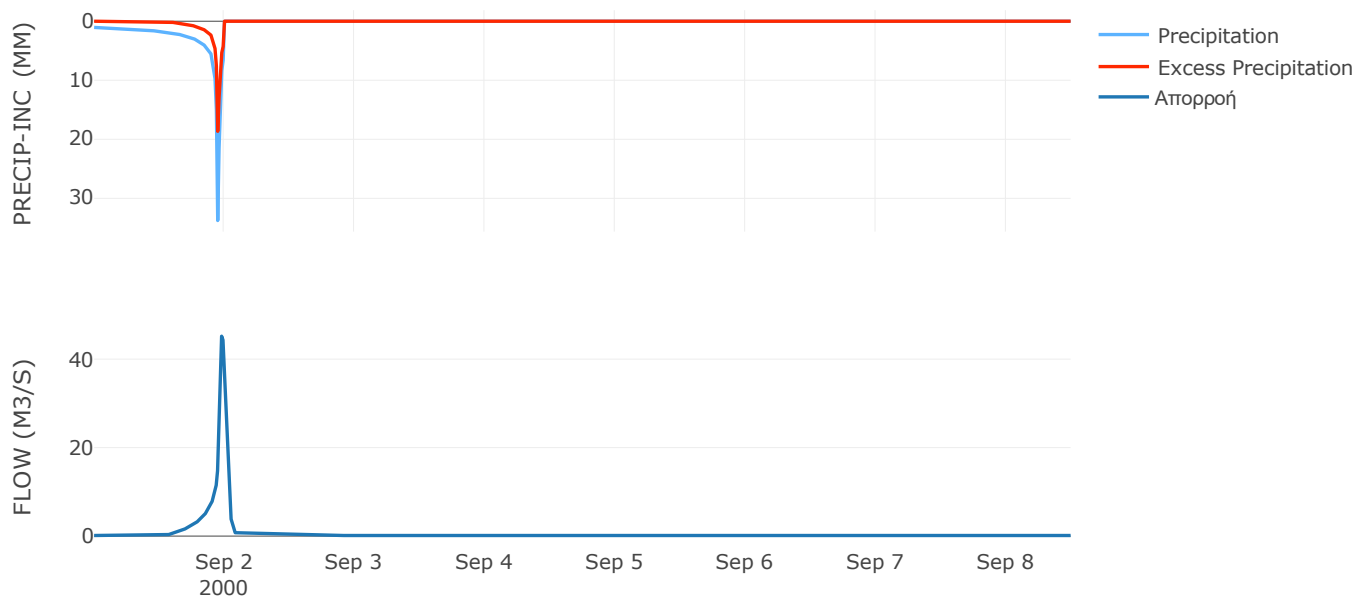
Μέθοδος
Μετασχηματισμού: SCS

Χρόνος Υστέρησης	34.86
------------------	-------

Αποτελέσματα:
EL0415FL007025

Παροχή αιχμής (M3/S)	45.19
Χρονική στιγμή αιχμής	01Sep2000, 23:30
Όγκος (MM)	115.71
Όγκος βροχόπτωσης (M3)	1.11E6
Όγκος απωλειών (M3)	7.57E5
Ενεργός Όγκος (M3)	3.53E5
Όγκος άμεσης απορροής (M3)	3.53E5
Όγκος βασικής απορροής (M3)	86164.56

Βροχόπτωση και Απορροή



Υπολεκάνη: EL0415FL007026

Έκταση (KM2) : 1.93

Κατάντη : J12

Μέθοδος Απωλειών: SCS

Ποσοστό αδιαπέρατης επιφάνειας	0
Αριθμός Καμπύλης Απορροής-CN	23.84
Αρχικές Απώλειες	162.32

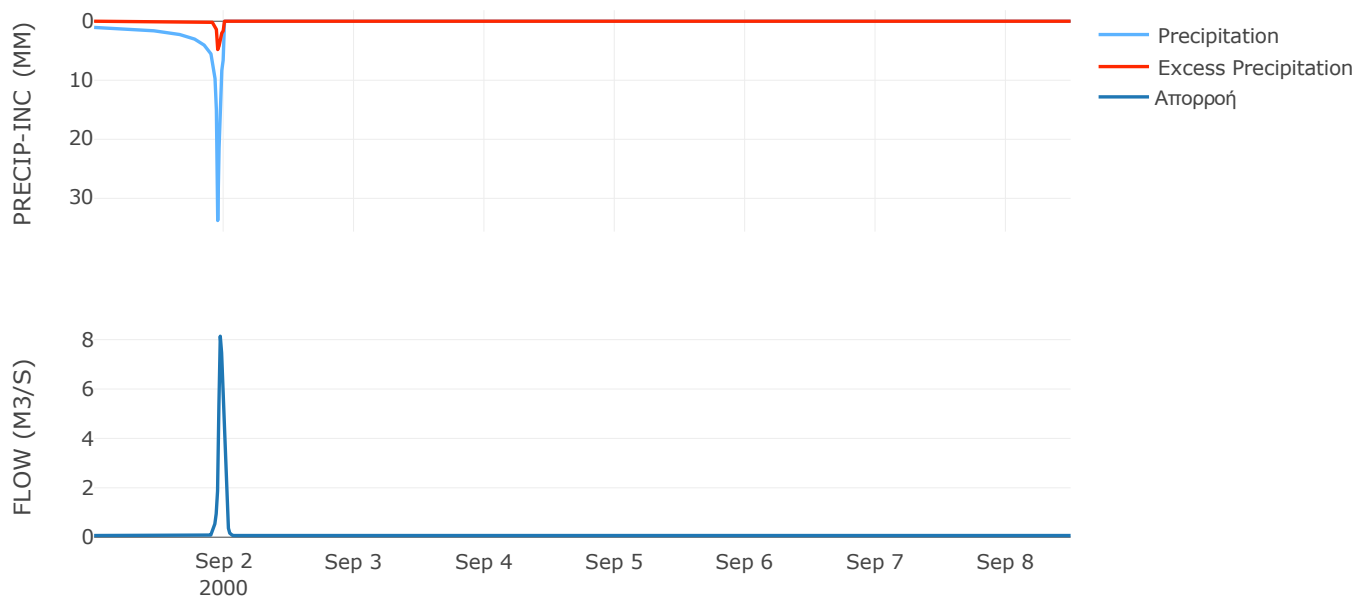
Μέθοδος
Μετασχηματισμού: SCS

Χρόνος Υστέρησης	15.25
------------------	-------

Αποτελέσματα:
EL0415FL007026

Παροχή αιχμής (M3/S)	8.14
Χρονική στιγμή αιχμής	01Sep2000, 23:15
Όγκος (MM)	40.6
Όγκος βροχόπτωσης (M3)	5.63E5
Όγκος απωλειών (M3)	5.29E5
Ενεργός Όγκος (M3)	34558.47
Όγκος άμεσης απορροής (M3)	34558.47
Όγκος βασικής απορροής (M3)	43727.04

Βροχόπτωση και Απορροή



Υπολεκάνη: EL0415FL007027

Έκταση (KM2) : 5.66

Κατάντη : J4

Μέθοδος Απωλειών: SCS

Ποσοστό αδιαπέρατης επιφάνειας	0
Αριθμός Καμπύλης Απορροής-CN	56.57
Αρχικές Απώλειες	39.01

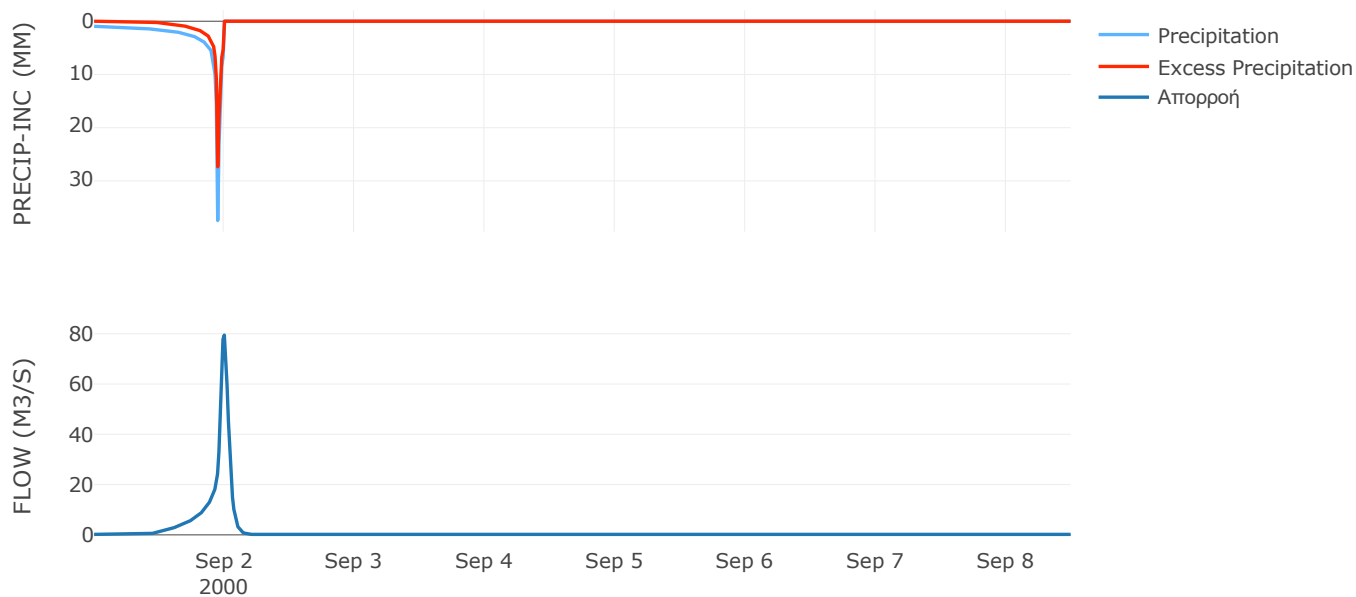
Μέθοδος
Μετασχηματισμού: SCS

Χρόνος Υστέρησης	54.24
------------------	-------

Αποτελέσματα:
EL0415FL007027

Παροχή αιχμής (M3/S)	79.46
Χρονική στιγμή αιχμής	01Sep2000, 24:00
Όγκος (MM)	162.93
Όγκος βροχόπτωσης (M3)	1.63E6
Όγκος απωλειών (M3)	8.41E5
Ενεργός Όγκος (M3)	7.94E5
Όγκος άμεσης απορροής (M3)	7.94E5
Όγκος βασικής απορροής (M3)	1.28E5

Βροχόπτωση και Απορροή



Υπολεκάνη: EL0415FL007028

Έκταση (KM2) : 1.73

Κατάντη : J14

Μέθοδος Απωλειών: SCS

Ποσοστό αδιαπέρατης επιφάνειας	0
Αριθμός Καμπύλης Απορροής-CN	60.2
Αρχικές Απώλειες	33.58

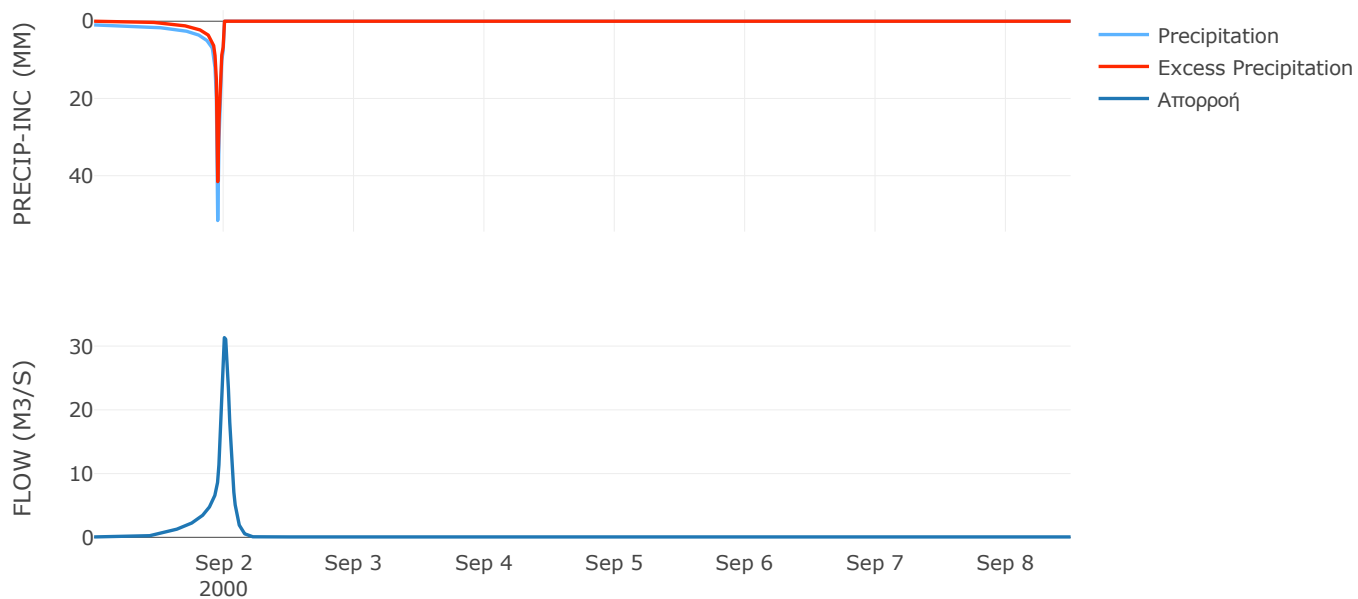
Μέθοδος
Μετασχηματισμού: SCS

Χρόνος Υστέρησης	66.38
------------------	-------

Αποτελέσματα:
EL0415FL007028

Παροχή αιχμής (M3/S)	31.33
Χρονική στιγμή αιχμής	01Sep2000, 24:00
Όγκος (MM)	216.54
Όγκος βροχόπτωσης (M3)	5.8E5
Όγκος απωλειών (M3)	2.45E5
Ενεργός Όγκος (M3)	3.35E5
Όγκος άμεσης απορροής (M3)	3.35E5
Όγκος βασικής απορροής (M3)	39236.4

Βροχόπτωση και Απορροή



9.2 Δεδομένα και υδρογραφήματα σχεδιασμού Κλάδων υδρογραφικού δικτύου

Κλάδος: R21

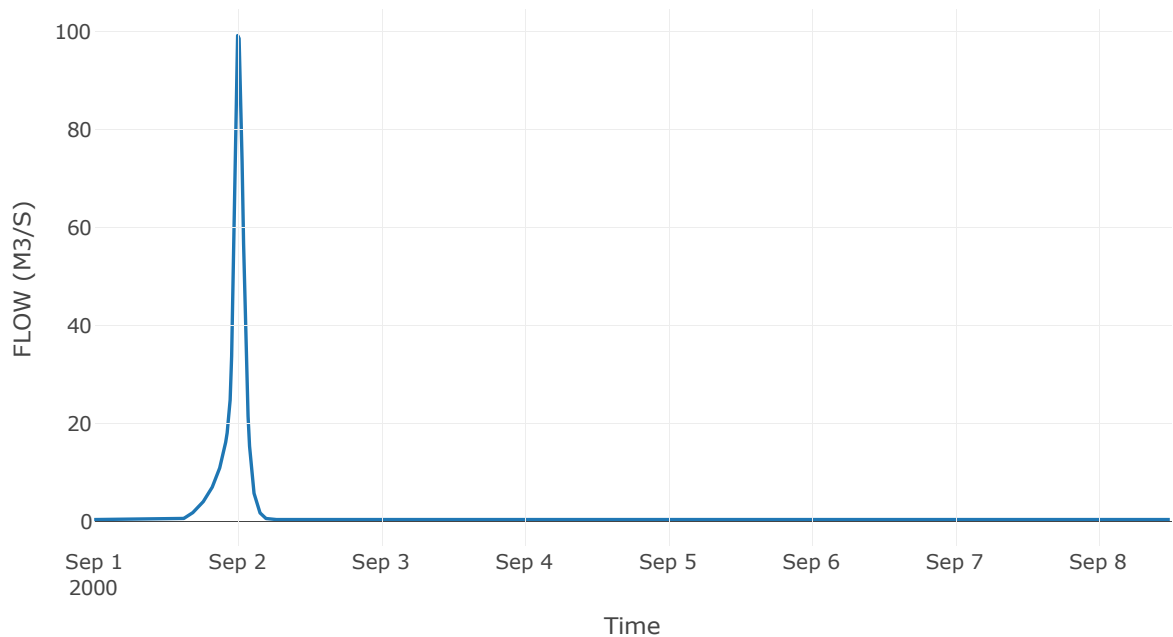
Κατάντη : J1

Μέθοδος Διόδευσης	Χρόνος
Αρχική Μεταβλητή	Combined Inflow
Χρόνος Υστέρησης	0

Αποτελέσματα: R21

Παροχή Αιχμής(M3/S)	99.2
Χρονική στιγμή αιχμής	01Sep2000, 24:00
Όγκος(MM)	109.43
Παροχή Αιχμής Εισόδου (M3/S)	99.2
Όγκος Εισροής(M3)	1.15E6

Απορροή



Κλάδος: R31

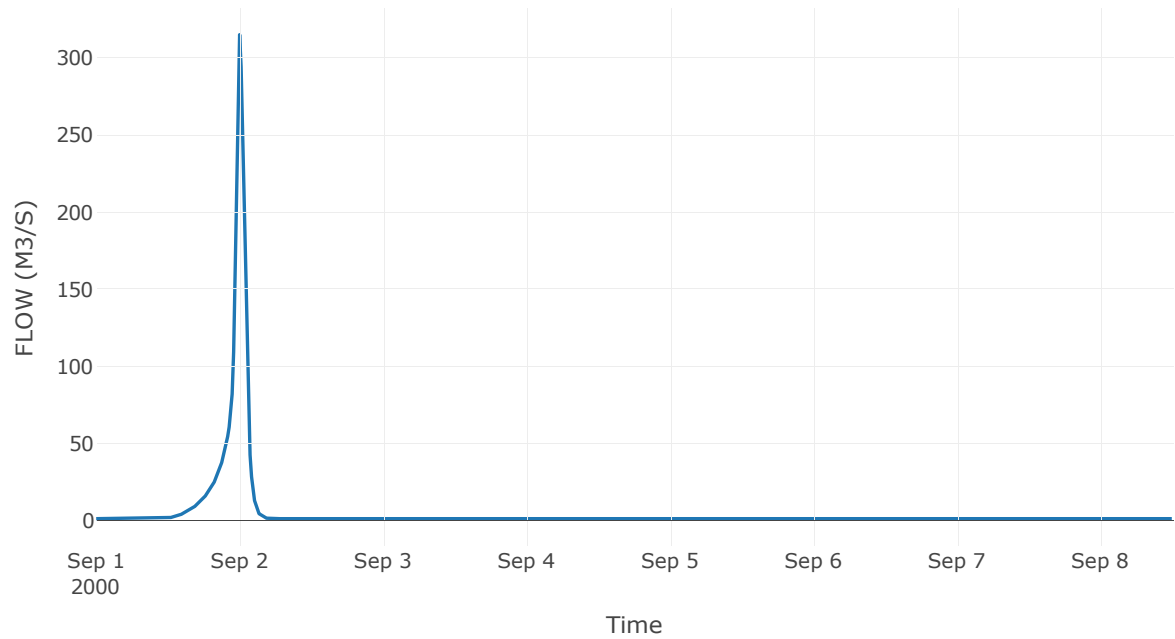
Κατάντη : J1

Μέθοδος Διόδευσης	Χρόνος
Αρχική Μεταβλητή	Combined Inflow
Χρόνος Υστέρησης	0

Αποτελέσματα: R31

Παροχή Αιχμής(M3/S)	314.97
Χρονική στιγμή αιχμής	01Sep2000, 24:00
Όγκος(MM)	104.81
Παροχή Αιχμής Εισόδου (M3/S)	314.97
Όγκος Εισροής(M3)	3.53E6

Απορροή



Κλάδος: R41

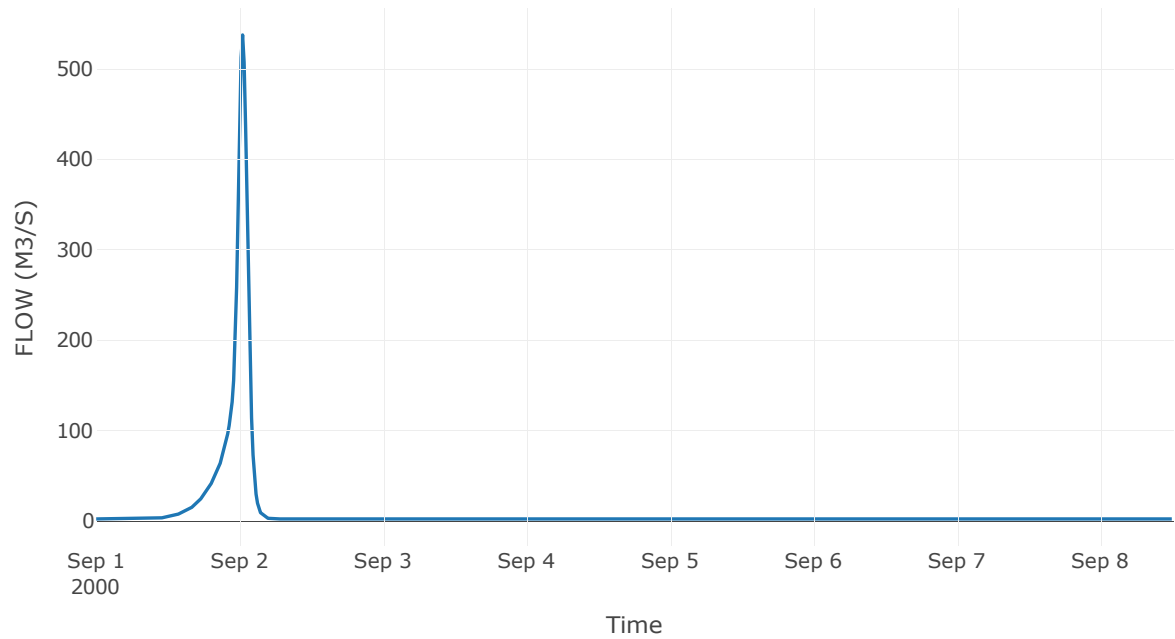
Κατάντη : J1

Μέθοδος Διόδευσης	Χρόνος
Αρχική Μεταβλητή	Combined Inflow
Χρόνος Υστέρησης	0

Αποτελέσματα: R41

Παροχή Αιχμής(M3/S)	537.7
Χρονική στιγμή αιχμής	02Sep2000, 00:30
Όγκος(MM)	105.94
Παροχή Αιχμής Εισόδου (M3/S)	537.7
Όγκος Εισροής(M3)	6.8E6

Απορροή



Κλάδος: R51

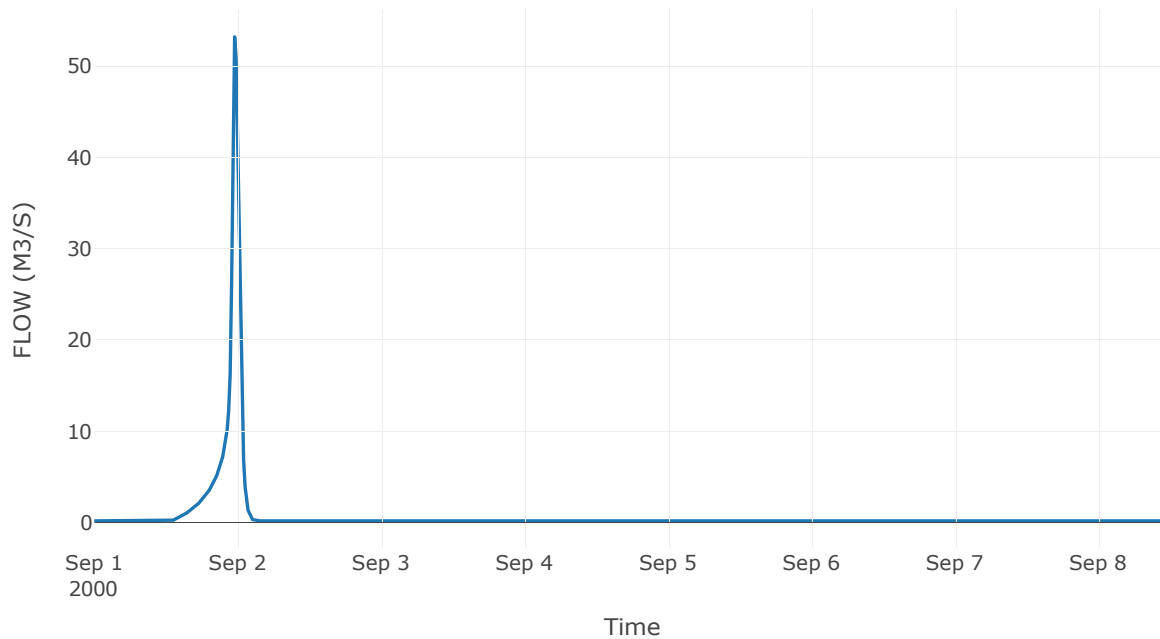
Κατάντη : J1

Μέθοδος Διόδευσης	Χρόνος
Αρχική Μεταβλητή	Combined Inflow
Χρόνος Υστέρησης	0

Αποτελέσματα: R51

Παροχή Αιχμής(M3/S)	53.2
Χρονική στιγμή αιχμής	01Sep2000, 23:30
Όγκος(MM)	90.43
Παροχή Αιχμής Εισόδου (M3/S)	53.2
Όγκος Εισροής(M3)	5.18E5

Απορροή



Κλάδος: R63

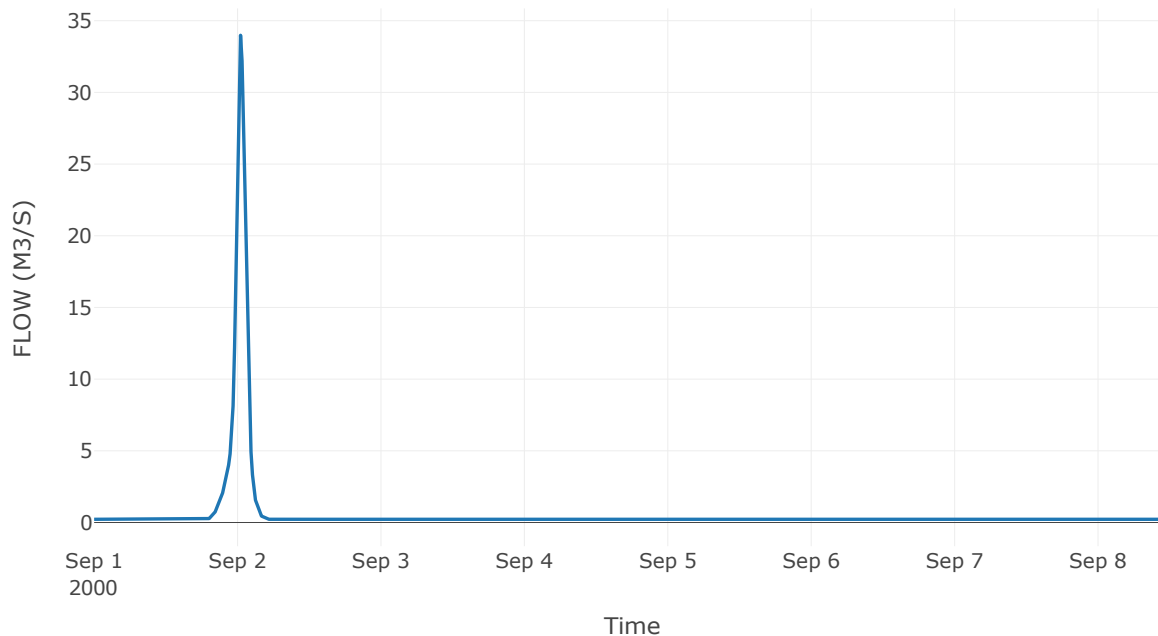
Κατάντη : J3

Μέθοδος Διόδευσης	Muskingum
Αρχική Μεταβλητή	Combined Inflow
Χρόνος Ροής K	0.54
Συντελεστής βάρους x	0.2
Πλήθος Υποκλάδων	3

Αποτελέσματα: R63

Παροχή Αιχμής(M3/S)	33.98
Χρονική στιγμή αιχμής	02Sep2000, 00:30
Όγκος(MM)	63.15
Παροχή Αιχμής Εισόδου (M3/S)	35.91
Όγκος Εισροής(M3)	4.03E5

Απορροή



Κλάδος: R73

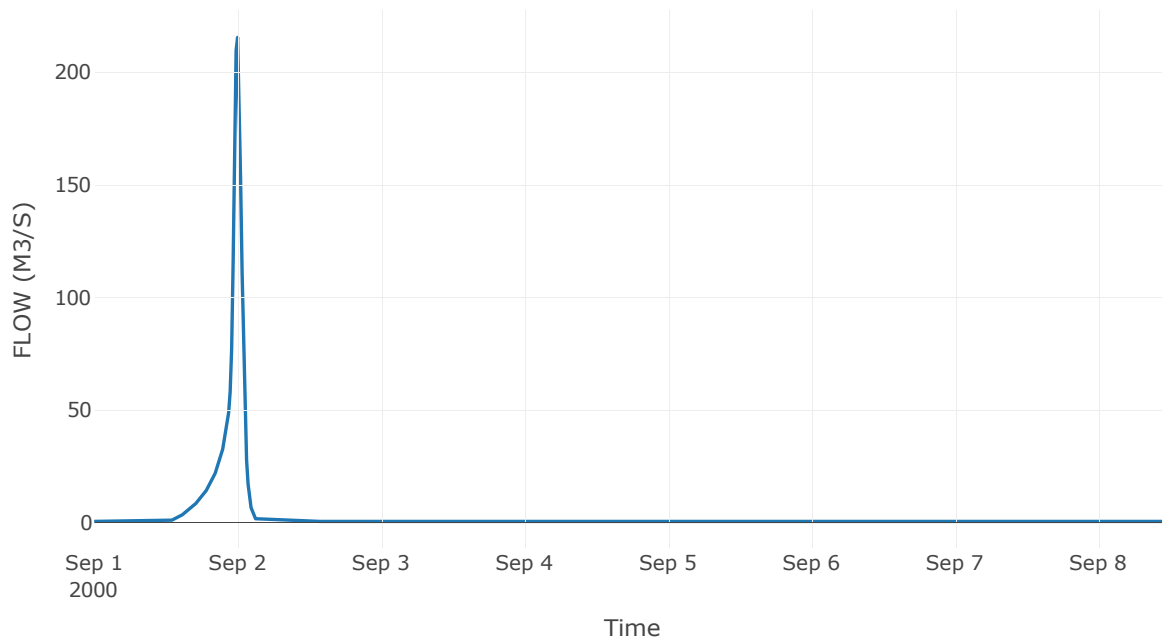
Κατάντη : J3

Μέθοδος Διόδευσης	Muskingum
Αρχική Μεταβλητή	Combined Inflow
Χρόνος Ροής K	0.09
Συντελεστής βάρους x	0.2
Πλήθος Υποκλάδων	3

Αποτελέσματα: R73

Παροχή Αιχμής(M3/S)	215.47
Χρονική στιγμή αιχμής	01Sep2000, 24:00
Όγκος(MM)	120.72
Παροχή Αιχμής Εισόδου (M3/S)	216.31
Όγκος Εισροής(M3)	2.25E6

Απορροή



Κλάδος: R87

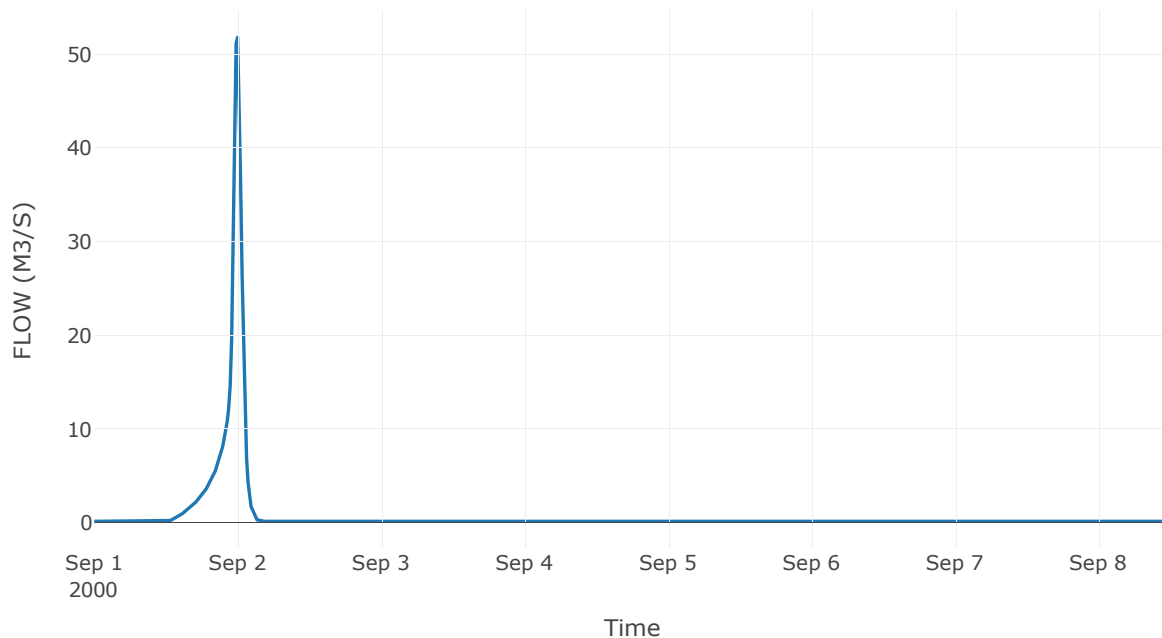
Κατάντη : J7

Μέθοδος Διόδευσης	Muskingum
Αρχική Μεταβλητή	Combined Inflow
Χρόνος Ροής K	0.14
Συντελεστής βάρους x	0.2
Πλήθος Υποκλάδων	1

Αποτελέσματα: R87

Παροχή Αιχμής(M3/S)	51.8
Χρονική στιγμή αιχμής	01Sep2000, 24:00
Όγκος(MM)	117.97
Παροχή Αιχμής Εισόδου (M3/S)	53.19
Όγκος Εισροής(M3)	5.58E5

Απορροή



Κλάδος: R97

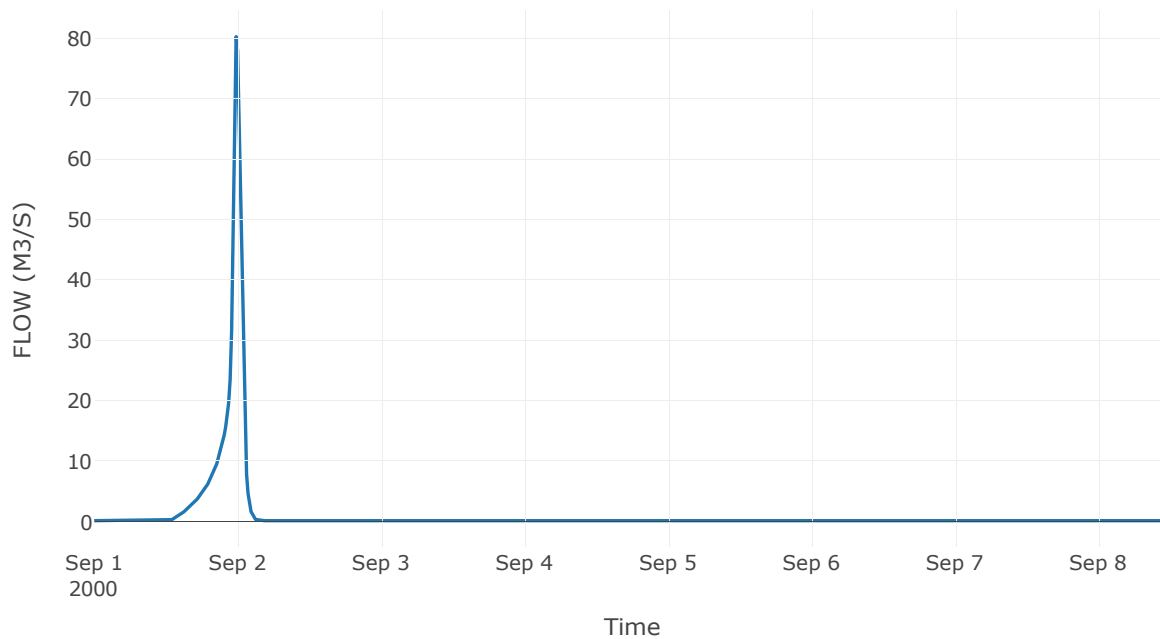
Κατάντη : J7

Μέθοδος Διόδευσης	Χρόνος
Αρχική Μεταβλητή	Combined Inflow
Χρόνος Υστέρησης	10.44

Αποτελέσματα: R97

Παροχή Αιχμής(M3/S)	80.22
Χρονική στιγμή αιχμής	01Sep2000, 23:45
Όγκος(MM)	120.73
Παροχή Αιχμής Εισόδου (M3/S)	81.39
Όγκος Εισροής(M3)	8.4E5

Απορροή



Κλάδος: R104

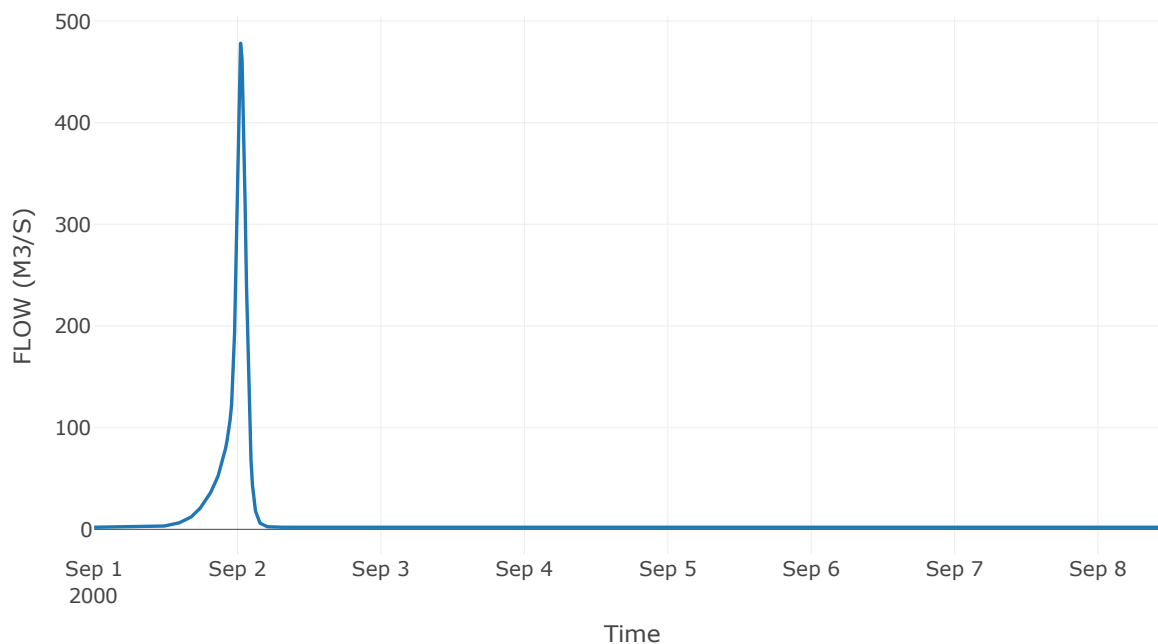
Κατάντη : J4

Μέθοδος Διόδευσης	Muskingum
Αρχική Μεταβλητή	Combined Inflow
Χρόνος Ροής Κ	0.56
Συντελεστής βάρους x	0.2
Πλήθος Υποκλάδων	3

Αποτελέσματα: R104

Παροχή Αιχμής(M3/S)	478.13
Χρονική στιγμή αιχμής	02Sep2000, 00:30
Όγκος(MM)	100.43
Παροχή Αιχμής Εισόδου (M3/S)	508.44
Όγκος Εισροής(M3)	5.88E6

Απορροή



Κλάδος: R1110

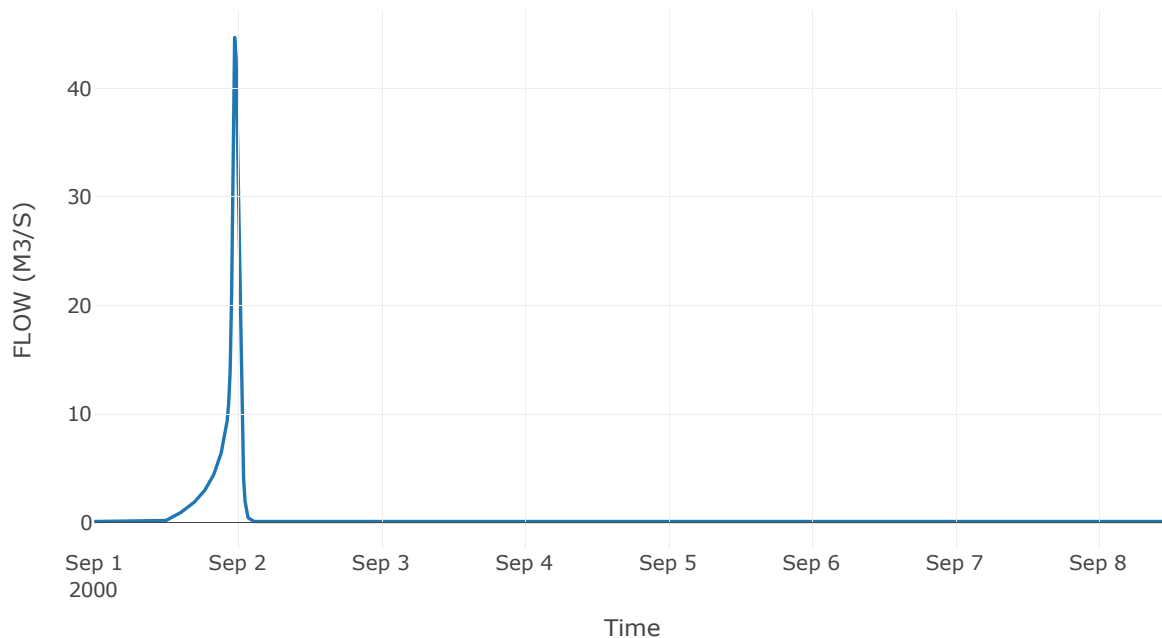
Κατάντη : J10

Μέθοδος Διόδευσης	Muskingum
Αρχική Μεταβλητή	Combined Inflow
Χρόνος Ροής K	0.16
Συντελεστής βάρους x	0.2
Πλήθος Υποκλάδων	1

Αποτελέσματα: R1110

Παροχή Αιχμής(M3/S)	44.7
Χρονική στιγμή αιχμής	01Sep2000, 23:30
Όγκος(MM)	130.58
Παροχή Αιχμής Εισόδου (M3/S)	46.08
Όγκος Εισροής(M3)	4.06E5

Απορροή



Κλάδος: R125

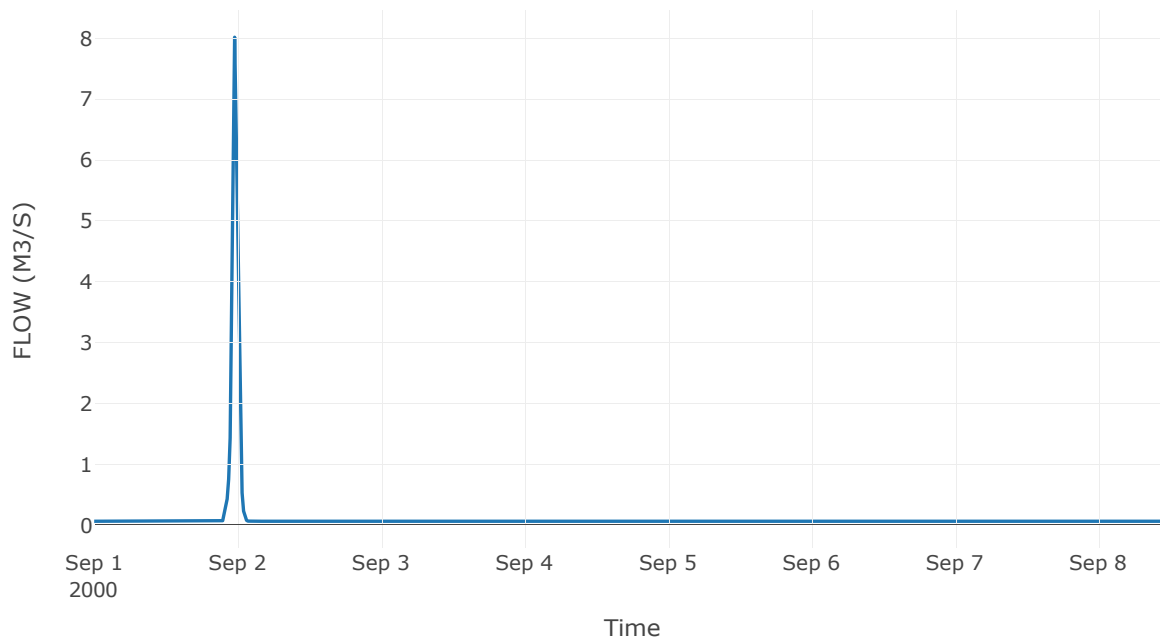
Κατάντη : J5

Μέθοδος Διόδευσης	Muskingum
Αρχική Μεταβλητή	Combined Inflow
Χρόνος Ροής K	0.11
Συντελεστής βάρους x	0.2
Πλήθος Υποκλάδων	1

Αποτελέσματα: R125

Παροχή Αιχμής(M3/S)	8.01
Χρονική στιγμή αιχμής	01Sep2000, 23:30
Όγκος(MM)	40.6
Παροχή Αιχμής Εισόδου (M3/S)	8.14
Όγκος Εισροής(M3)	78285.51

Απορροή



Κλάδος: R1413

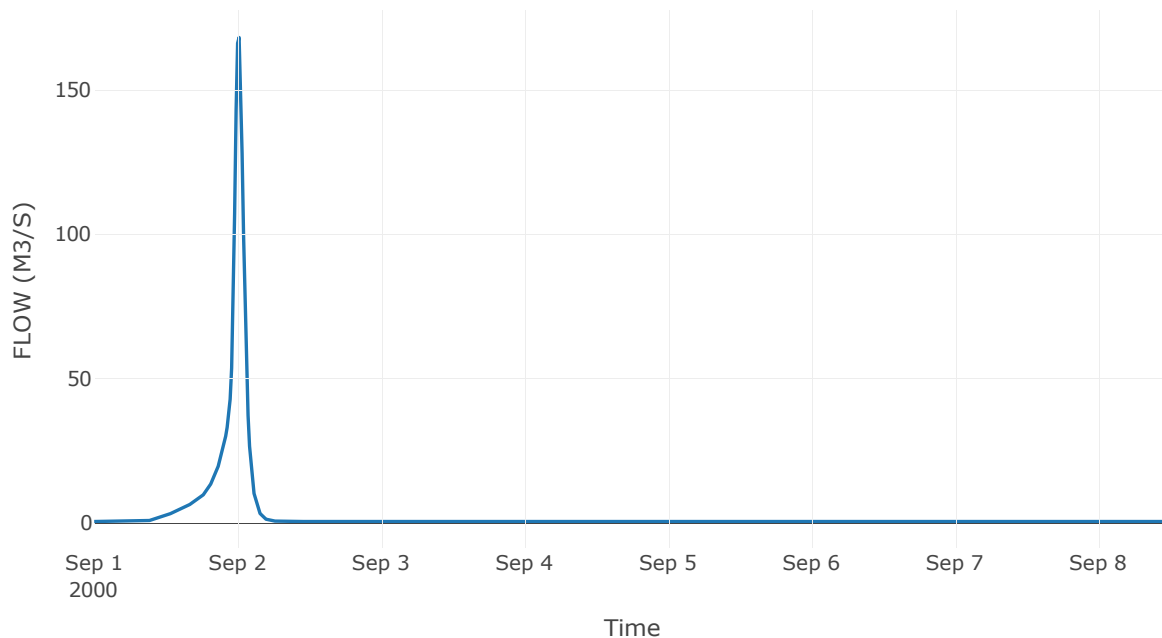
Κατάντη : J13

Μέθοδος Διόδευσης	Muskingum
Αρχική Μεταβλητή	Combined Inflow
Χρόνος Ροής K	0.06
Συντελεστής βάρους x	0.2
Πλήθος Υποκλάδων	3

Αποτελέσματα: R1413

Παροχή Αιχμής(M3/S)	168.18
Χρονική στιγμή αιχμής	02Sep2000, 00:15
Όγκος(MM)	125.07
Παροχή Αιχμής Εισόδου (M3/S)	168.68
Όγκος Εισροής(M3)	2.05E6

Απορροή



Κλάδος: R1514

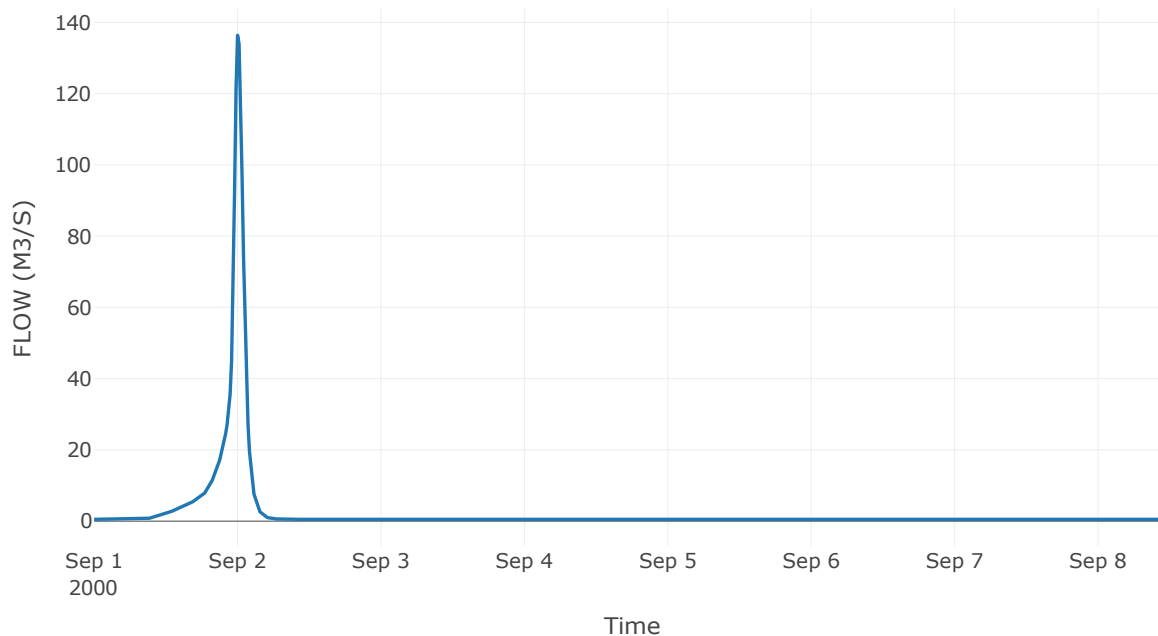
Κατάντη : J14

Μέθοδος Διόδευσης	Muskingum
Αρχική Μεταβλητή	Combined Inflow
Χρόνος Ροής K	0.11
Συντελεστής βάρους x	0.2
Πλήθος Υποκλάδων	1

Αποτελέσματα: R1514

Παροχή Αιχμής(M3/S)	136.37
Χρονική στιγμή αιχμής	01Sep2000, 24:00
Όγκος(MM)	113.8
Παροχή Αιχμής Εισόδου (M3/S)	138.07
Όγκος Εισροής(M3)	1.66E6

Απορροή



Κλάδος: R1615

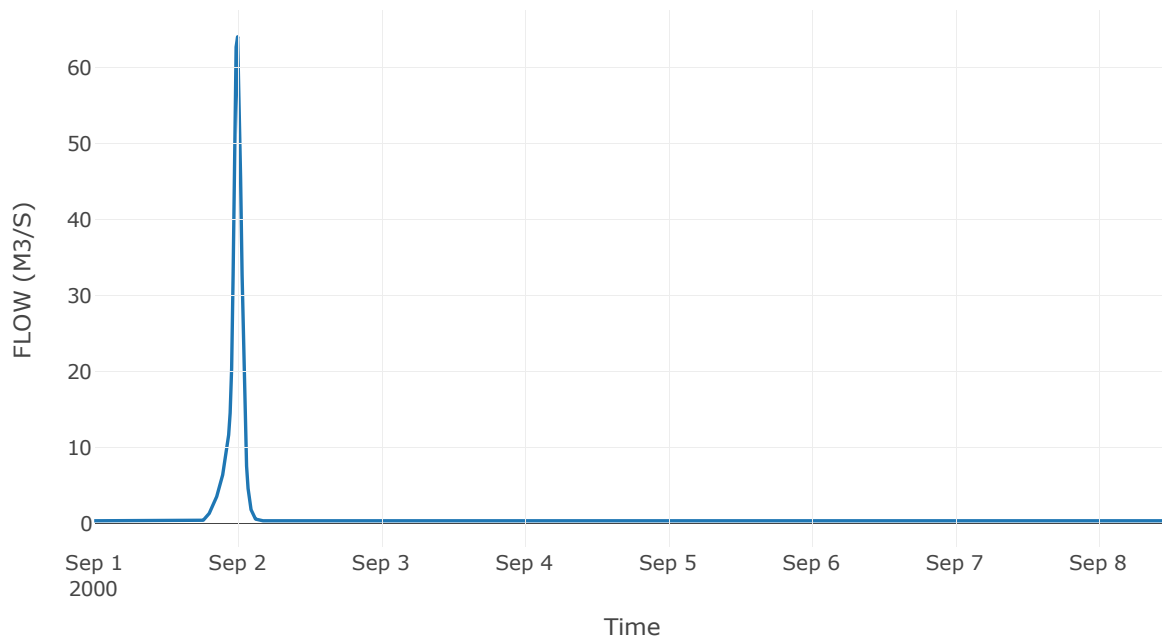
Κατάντη : J15

Μέθοδος Διόδευσης	Χρόνος
Αρχική Μεταβλητή	Combined Inflow
Χρόνος Υστέρησης	11.18

Αποτελέσματα: R1615

Παροχή Αιχμής(M3/S)	64.05
Χρονική στιγμή αιχμής	01Sep2000, 24:00
Όγκος(MM)	68.26
Παροχή Αιχμής Εισόδου (M3/S)	65.68
Όγκος Εισροής(M3)	6.68E5

Απορροή



Κλάδος: R1720

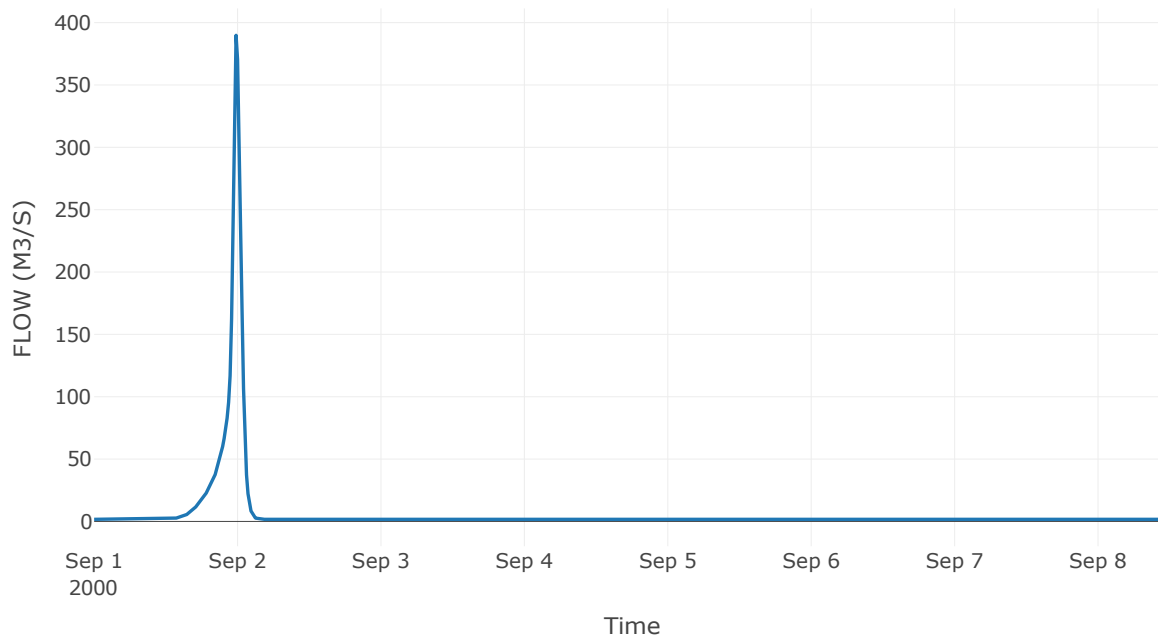
Κατάντη : J20

Μέθοδος Διόδευσης	Muskingum
Αρχική Μεταβλητή	Combined Inflow
Χρόνος Ροής K	0.1
Συντελεστής βάρους x	0.2
Πλήθος Υποκλάδων	1

Αποτελέσματα: R1 720

Παροχή Αιχμής(M3/S)	389.83
Χρονική στιγμή αιχμής	01Sep2000, 23:45
Όγκος(MM)	87.74
Παροχή Αιχμής Εισόδου (M3/S)	389.97
Όγκος Εισροής(M3)	4.25E6

Απορροή



Κλάδος: R1817

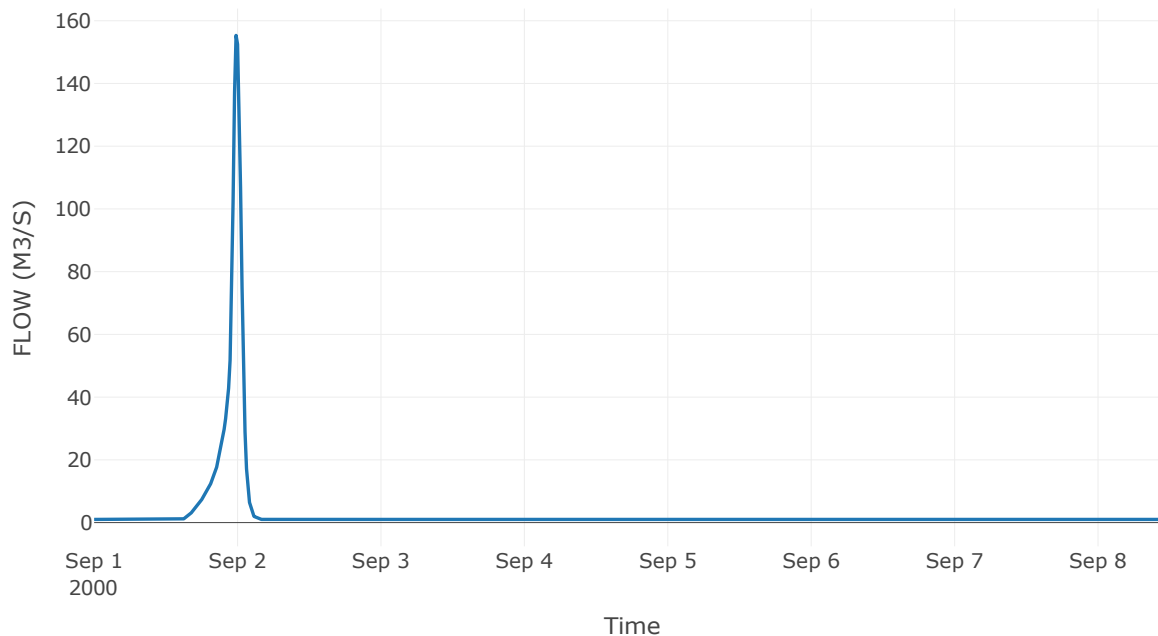
Κατάντη : J17

Μέθοδος Διόδευσης	Muskingum
Αρχική Μεταβλητή	Combined Inflow
Χρόνος Ροής K	0.17
Συντελεστής βάρους x	0.2
Πλήθος Υποκλάδων	1

Αποτελέσματα: R1817

Παροχή Αιχμής(M3/S)	155.32
Χρονική στιγμή αιχμής	01Sep2000, 23:45
Όγκος(MM)	68.5
Παροχή Αιχμής Εισόδου (M3/S)	157.46
Όγκος Εισροής(M3)	1.97E6

Απορροή



Κλάδος: R1918

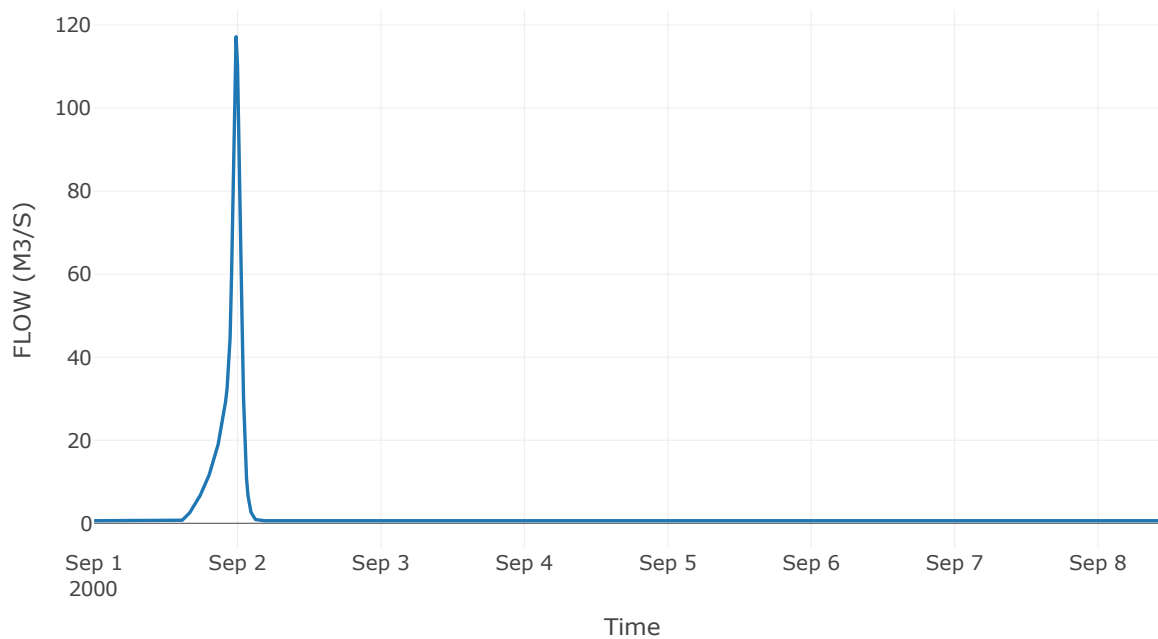
Κατάντη : J18

Μέθοδος Διόδευσης	Χρόνος
Αρχική Μεταβλητή	Combined Inflow
Χρόνος Υστέρησης	3.91

Αποτελέσματα: R1918

Παροχή Αιχμής(M3/S)	117.2
Χρονική στιγμή αιχμής	01Sep2000, 23:45
Όγκος(MM)	83.41
Παροχή Αιχμής Εισόδου (M3/S)	118.19
Όγκος Εισροής(M3)	1.45E6

Απορροή



Κλάδος: R2010

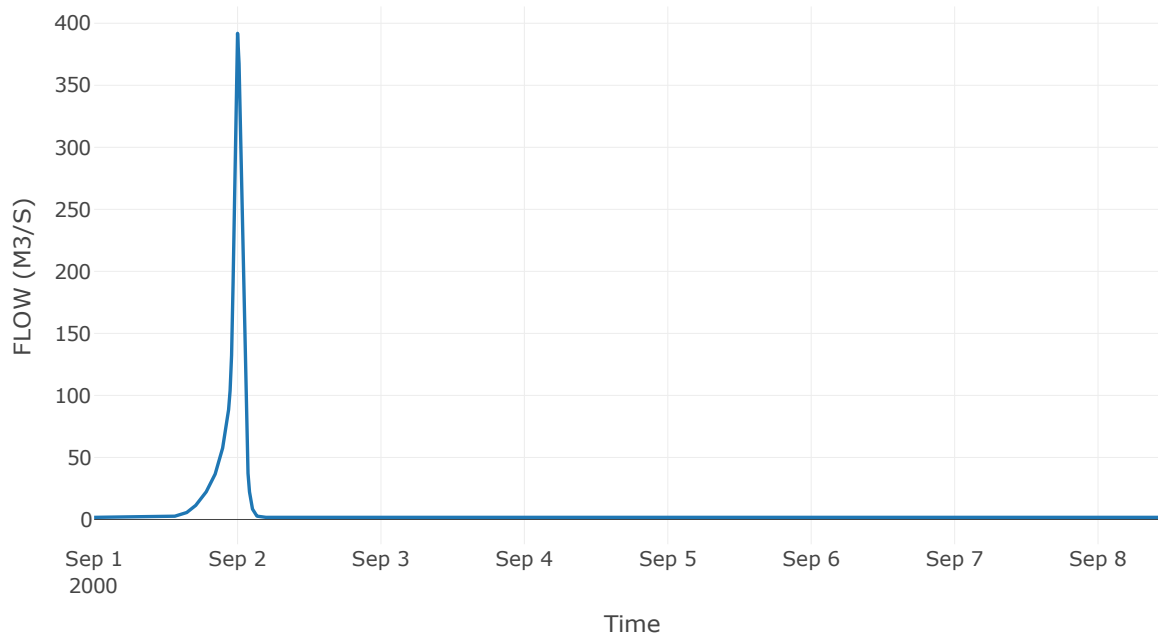
Κατάντη : J10

Μέθοδος Διόδευσης	Muskingum
Αρχική Μεταβλητή	Combined Inflow
Χρόνος Ροής K	0.21
Συντελεστής βάρους x	0.2
Πλήθος Υποκλάδων	1

Αποτελέσματα: R2010

Παροχή Αιχμής(M3/S)	391.89
Χρονική στιγμή αιχμής	01Sep2000, 24:00
Όγκος(MM)	89.48
Παροχή Αιχμής Εισόδου (M3/S)	404.17
Όγκος Εισροής(M3)	4.39E6

Απορροή



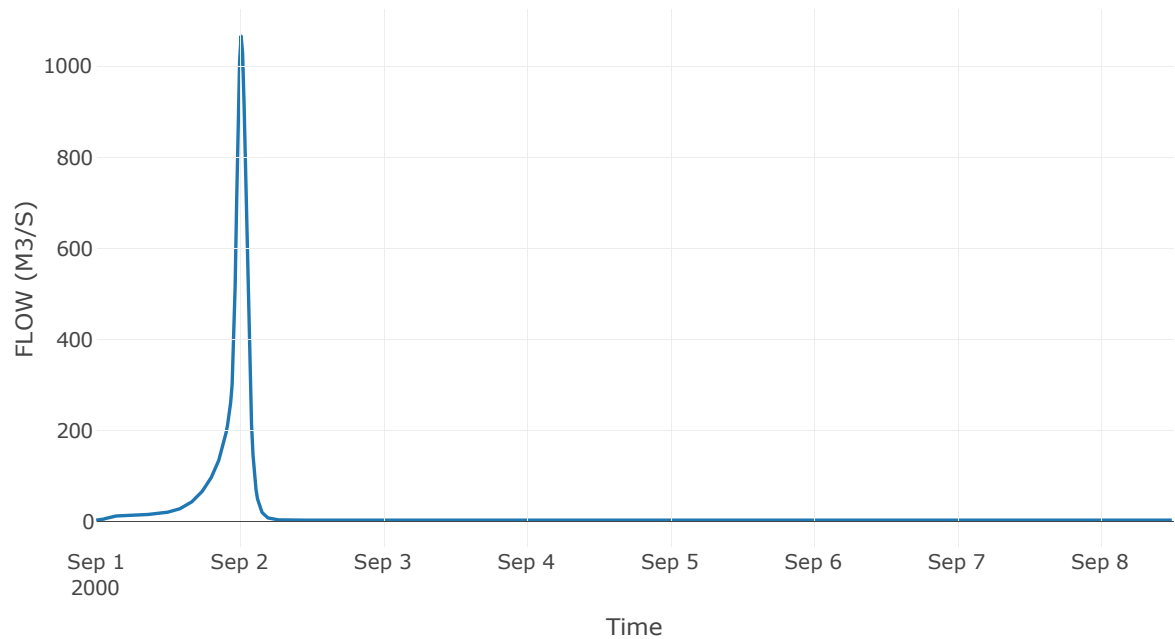
9.3 Δεδομένα και υδρογραφήματα σχεδιασμού Κόμβων υδρογραφικού δικτύου

Κόμβος εξόδου: J1

Αποτέλεσμα
τα: J1

Παροχή αιχμής (M3/S)	1066.15
Χρονική στιγμή αιχμής	02Sep2000, 00:15
Όγκος (MM)	120.28

Απορροή



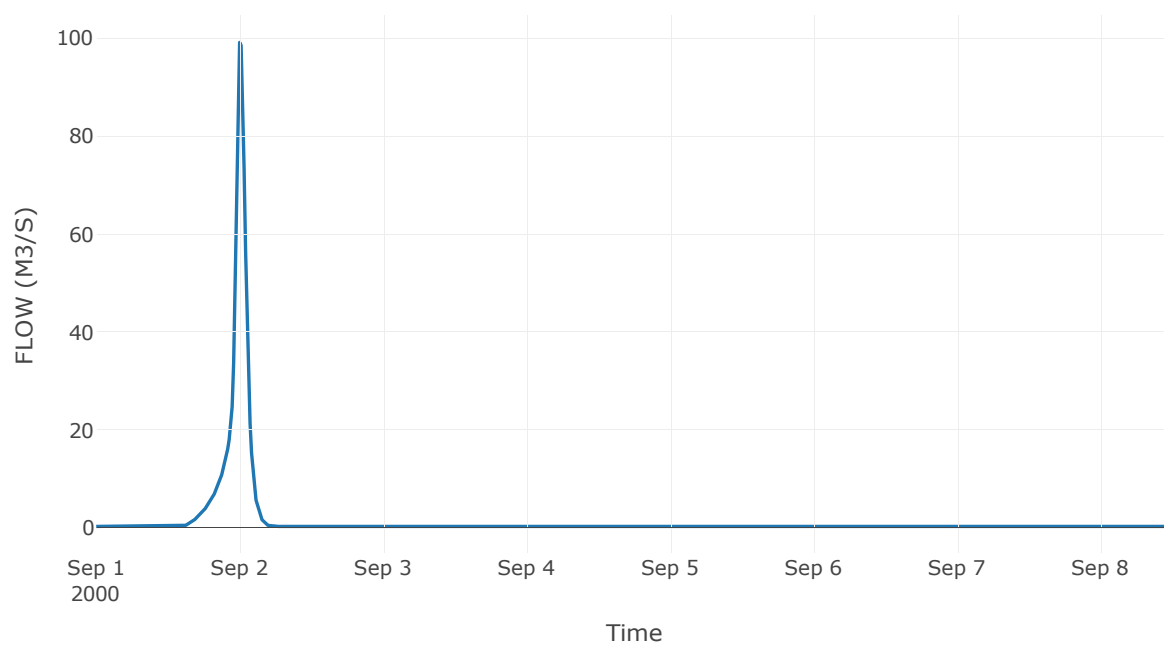
Κόμβος: J2

Κατάντη : R21

Αποτελέσματα: J2

Παροχή Αιχμής(M3/S)	99.2
Χρονική στιγμή αιχμής	01Sep2000, 24:00
Όγκος(MM)	109.43

Απορροή



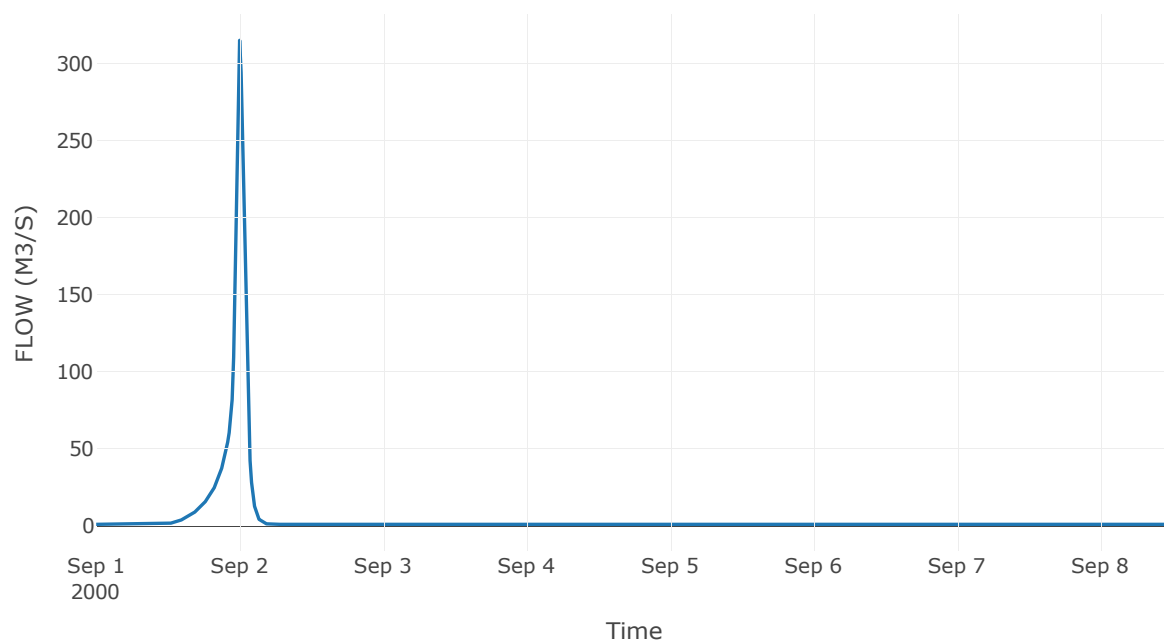
Κόμβος: J3

Κατάντη : R31

Αποτελέσματα: J3

Παροχή Αιχμής(M3/S)	314.97
Χρονική στιγμή αιχμής	01Sep2000, 24:00
Όγκος(MM)	104.81

Απορροή



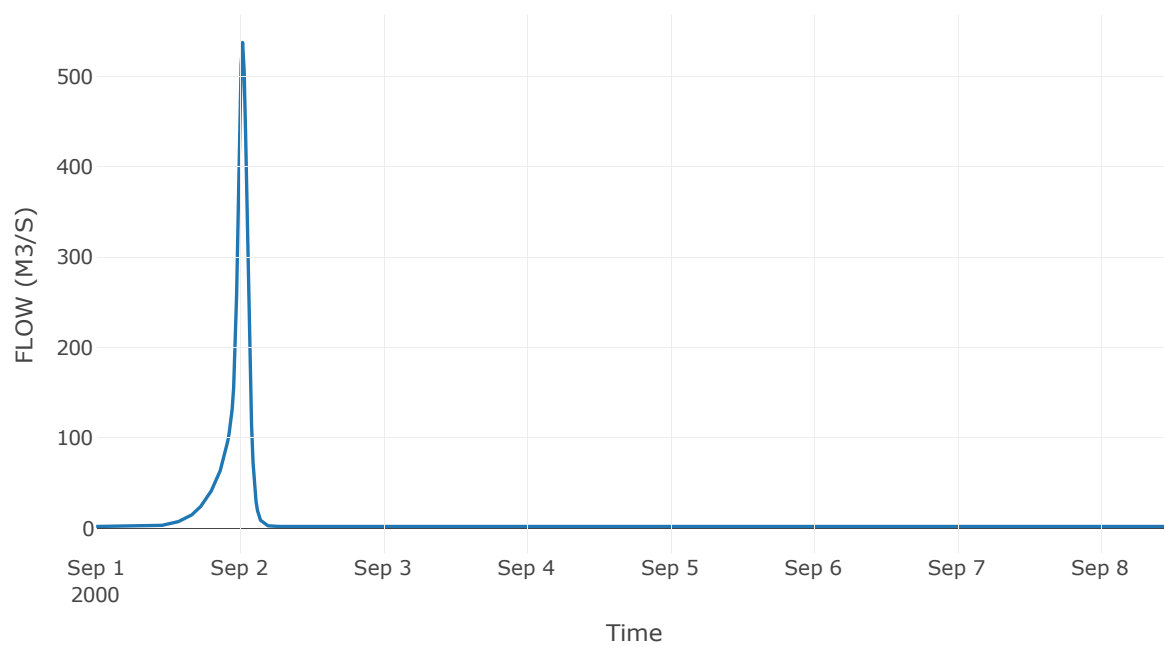
Κόμβος: J4

Κατάντη : R41

Αποτελέσματα: J4

Παροχή Αιχμής(M3/S)	537.7
Χρονική στιγμή αιχμής	02Sep2000, 00:30
Όγκος(MM)	105.94

Απορροή



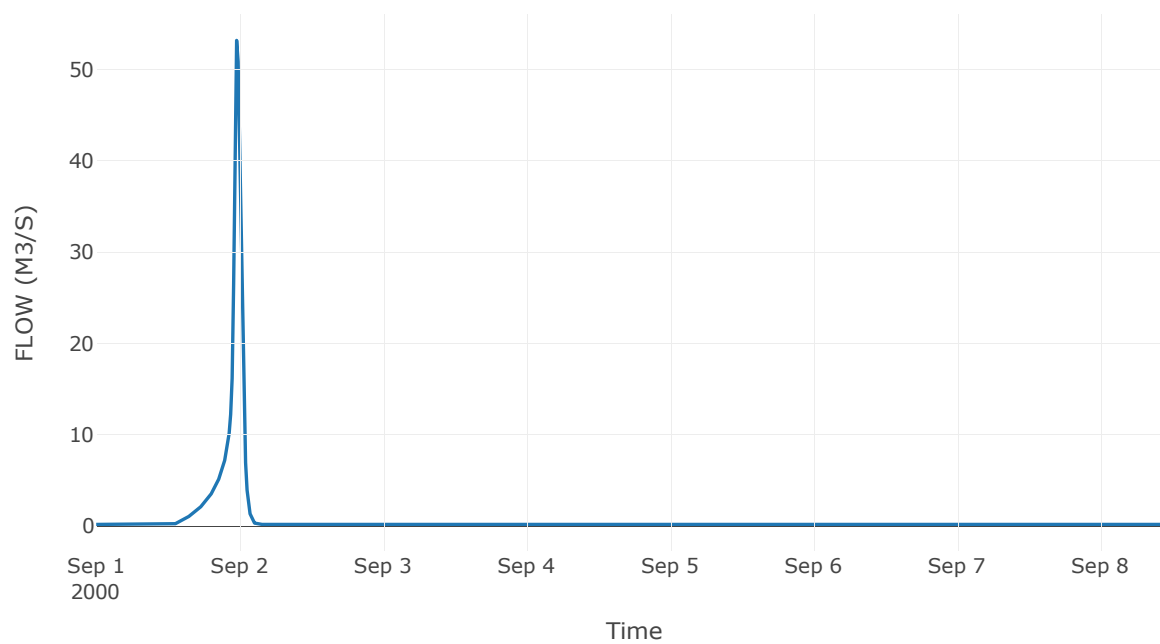
Κόμβος: J5

Κατάντη : R51

Αποτελέσματα: J5

Παροχή Αιχμής(M3/S)	53.2
Χρονική στιγμή αιχμής	01Sep2000, 23:30
Όγκος(MM)	90.43

Απορροή



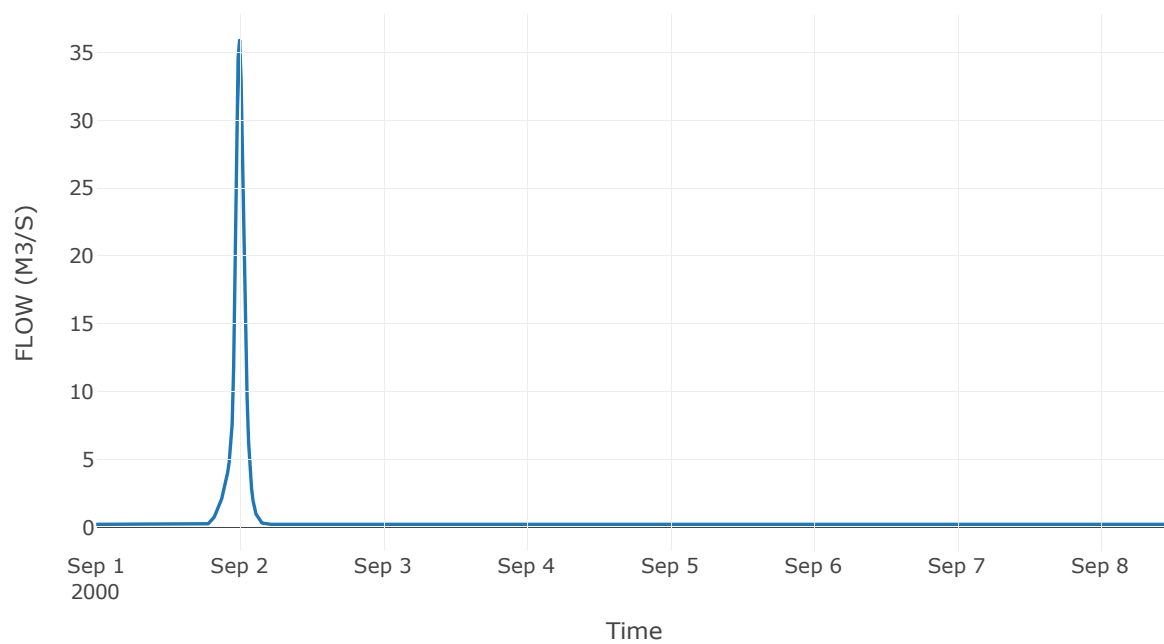
Κόμβος: J6

Κατάντη : R63

Αποτελέσματα: J6

Παροχή Αιχμής(M3/S)	35.91
Χρονική στιγμή αιχμής	01Sep2000, 24:00
Όγκος(MM)	63.15

Απορροή



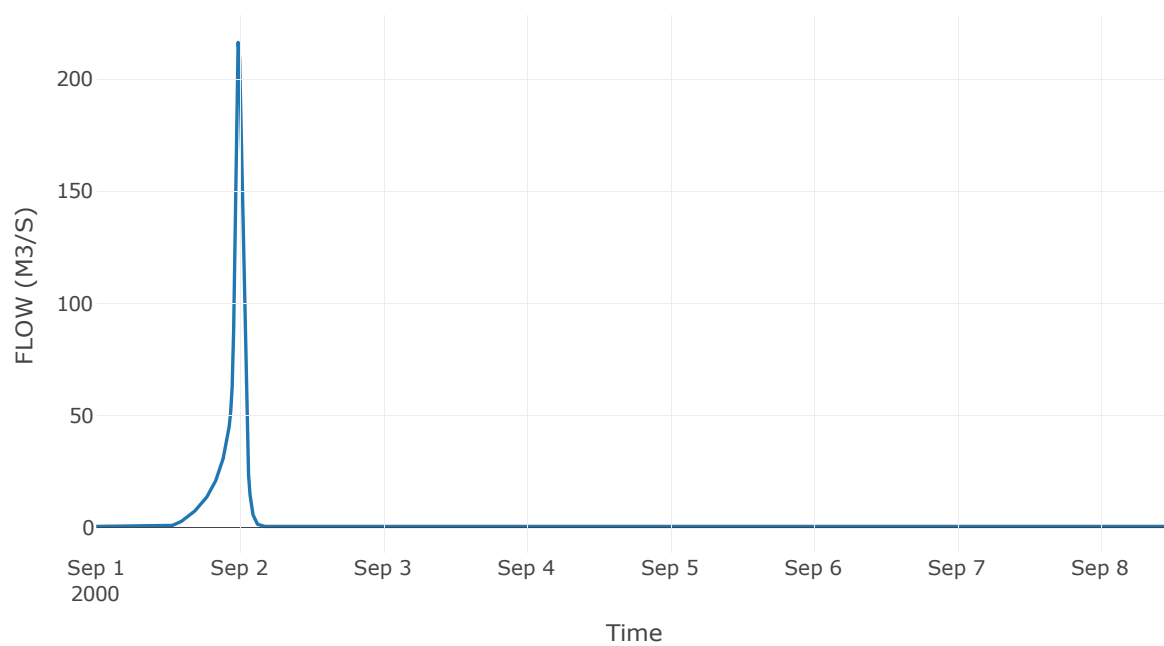
Κόμβος: J7

Κατάντη : R73

Αποτελέσματα: J7

Παροχή Αιχμής(M3/S)	216.31
Χρονική στιγμή αιχμής	01Sep2000, 23:45
Όγκος(MM)	120.72

Απορροή



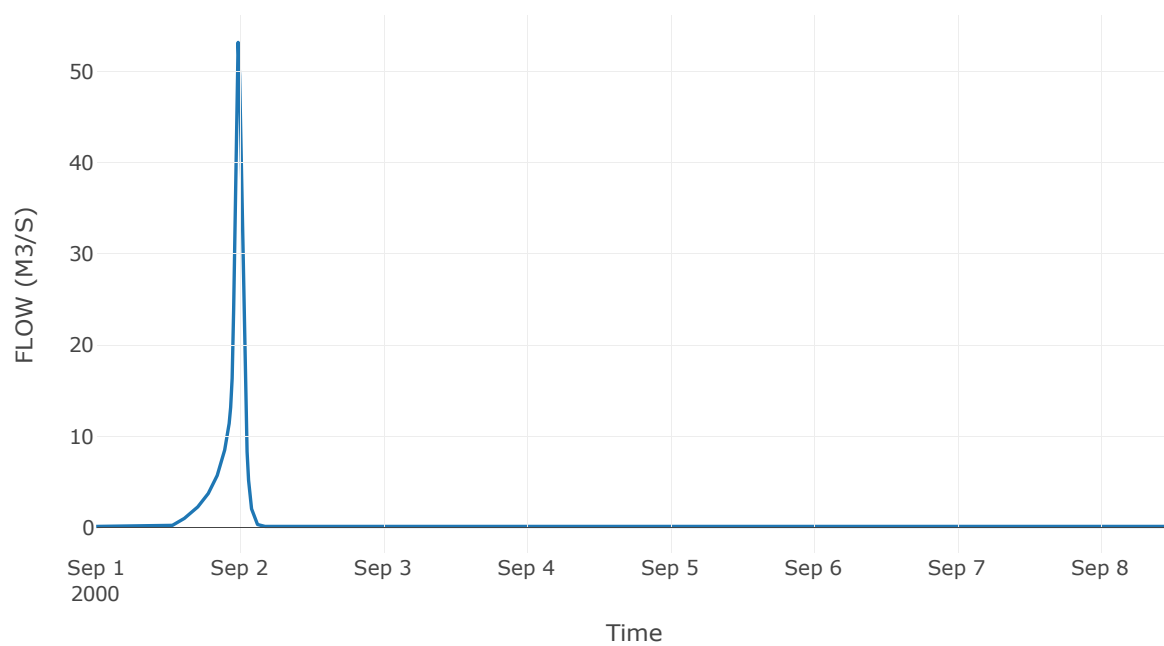
Κόμβος: J8

Κατάντη : R87

Αποτελέσματα: J8

Παροχή Αιχμής(M3/S)	53.19
Χρονική στιγμή αιχμής	01Sep2000, 23:45
Όγκος(MM)	117.97

Απορροή



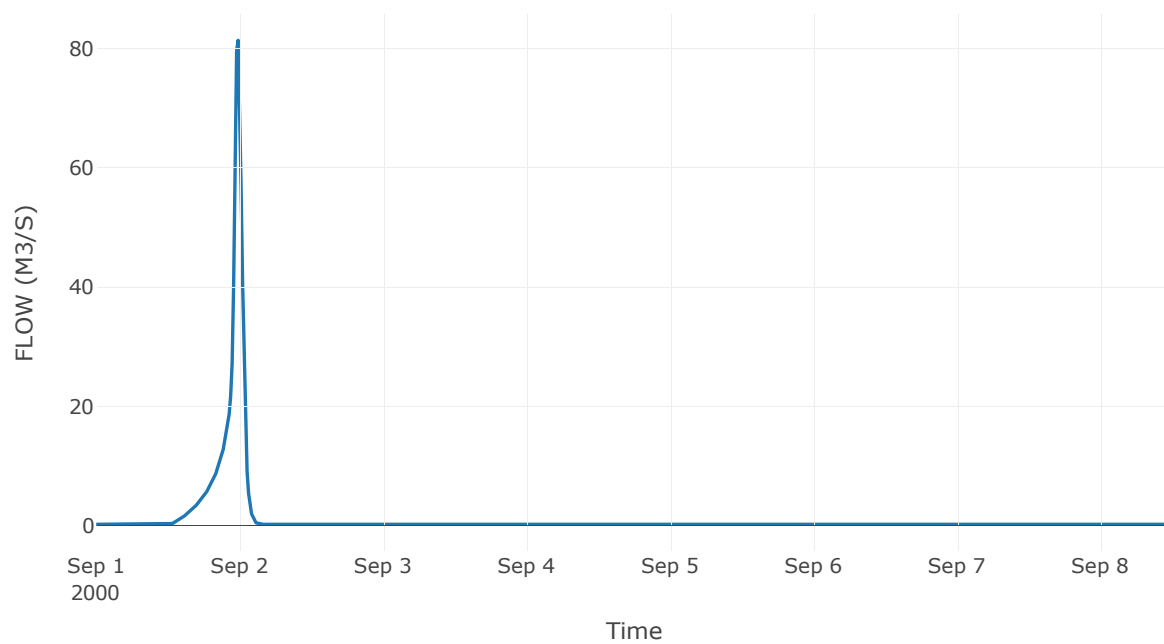
Κόμβος: J9

Κατάντη : R97

Αποτελέσματα: J9

Παροχή Αιχμής(M3/S)	81.39
Χρονική στιγμή αιχμής	01Sep2000, 23:45
Όγκος(MM)	120.73

Απορροή



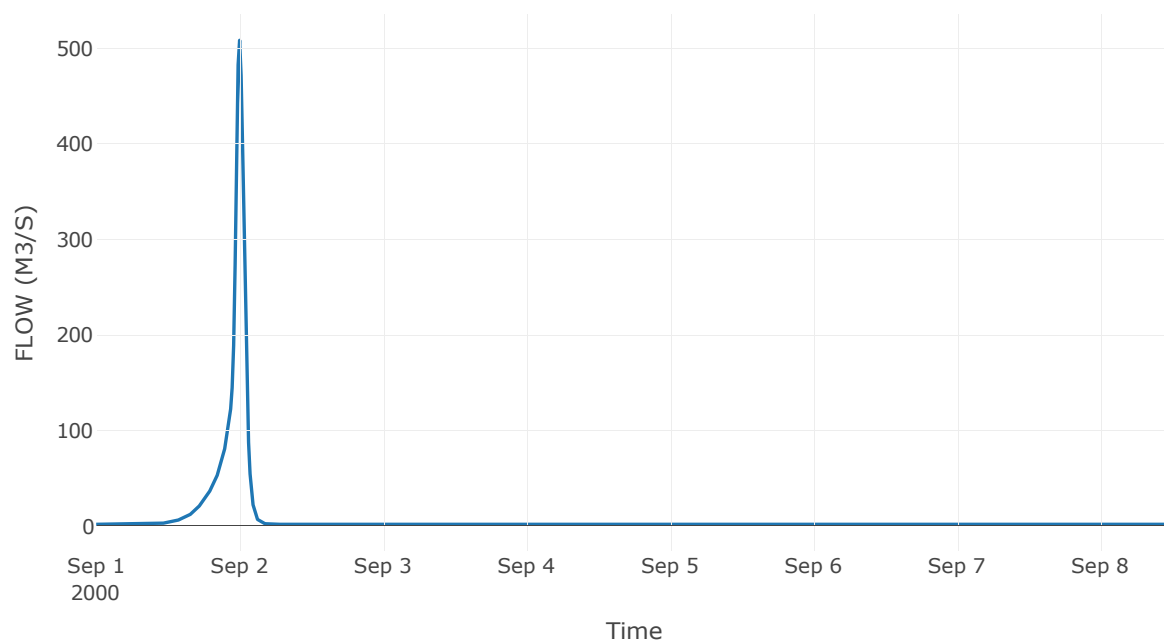
Κόμβος: J10

Κατάντη : R104

Αποτελέσματα: J10

Παροχή Αιχμής(M3/S)	508.44
Χρονική στιγμή αιχμής	01Sep2000, 24:00
Όγκος(MM)	100.43

Απορροή



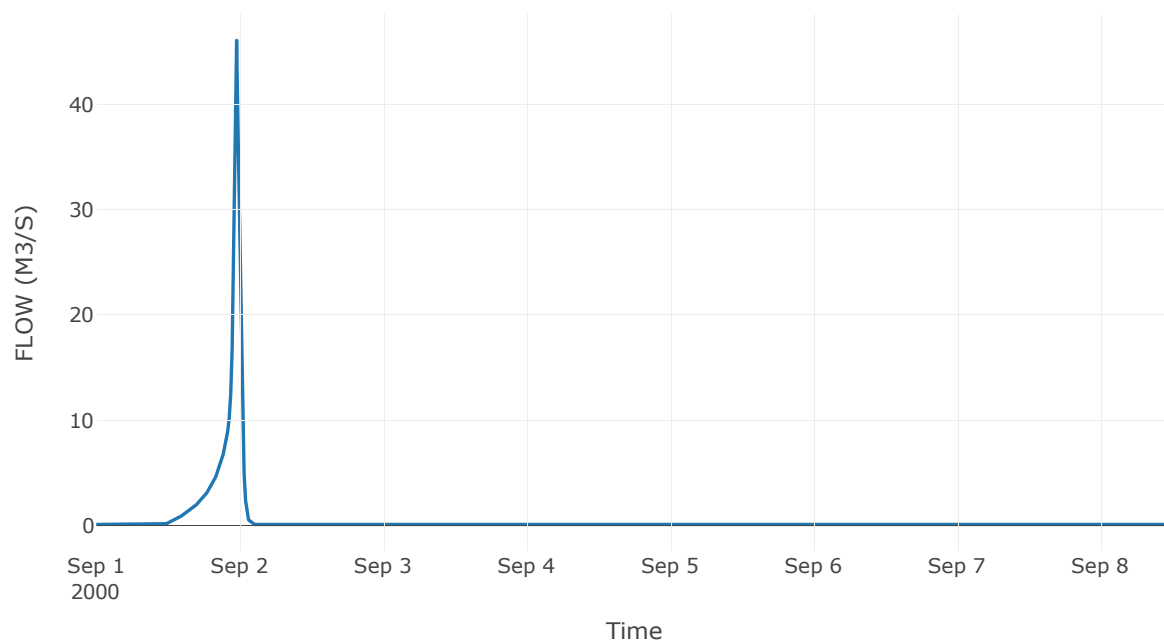
Κόμβος: J11

Κατάντη : R1110

Αποτελέσματα: J11

Παροχή Αιχμής(M3/S)	46.08
Χρονική στιγμή αιχμής	01Sep2000, 23:30
Όγκος(MM)	130.58

Απορροή



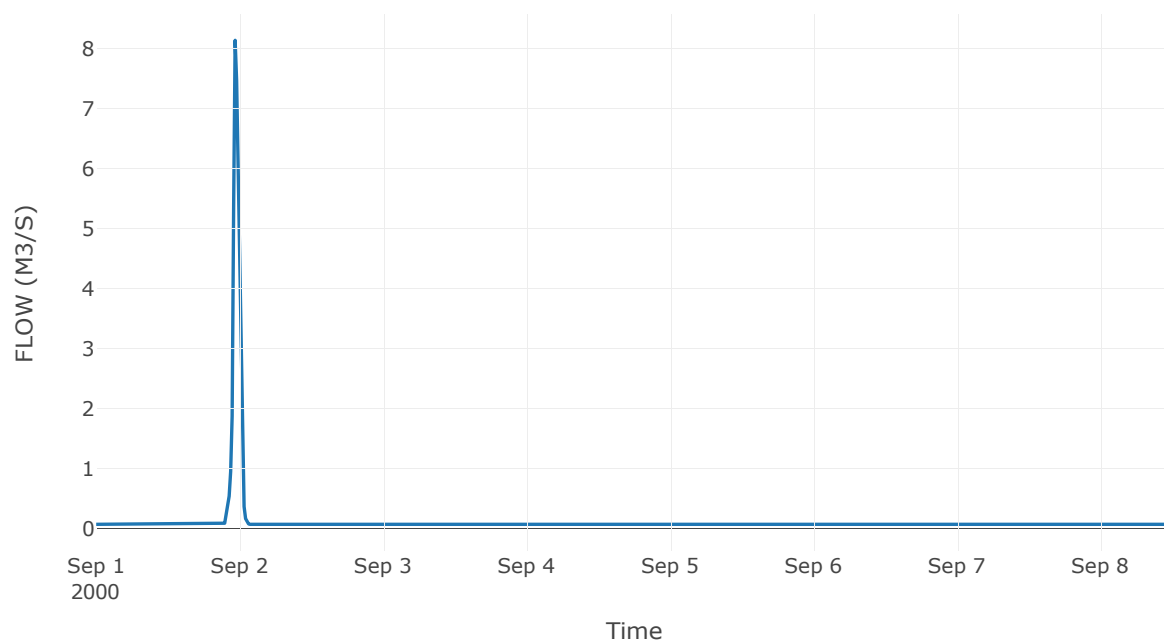
Κόμβος: J12

Κατάντη : R125

Αποτελέσματα: J12

Παροχή Αιχμής(M3/S)	8.14
Χρονική στιγμή αιχμής	01Sep2000, 23:15
Όγκος(MM)	40.6

Απορροή

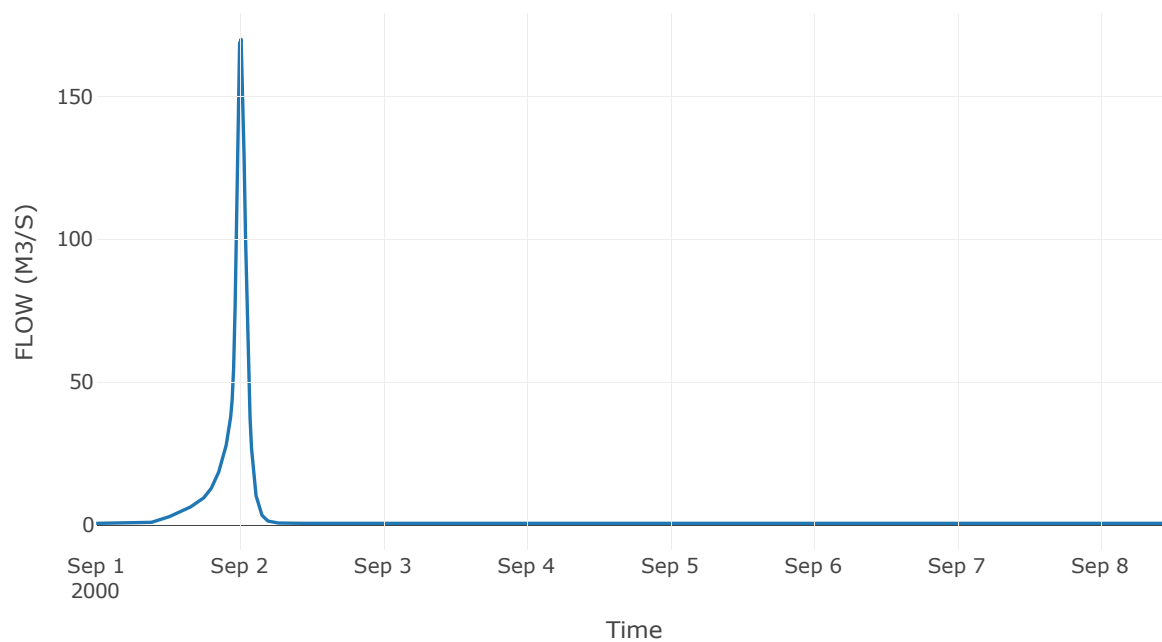


Κόμβος εξόδου: J13

Αποτελέσματ
α: J13

Παροχή αιχμής (M3/S)	169.97
Χρονική στιγμή αιχμής	02Sep2000, 00:15
Όγκος (MM)	125.71

Απορροή



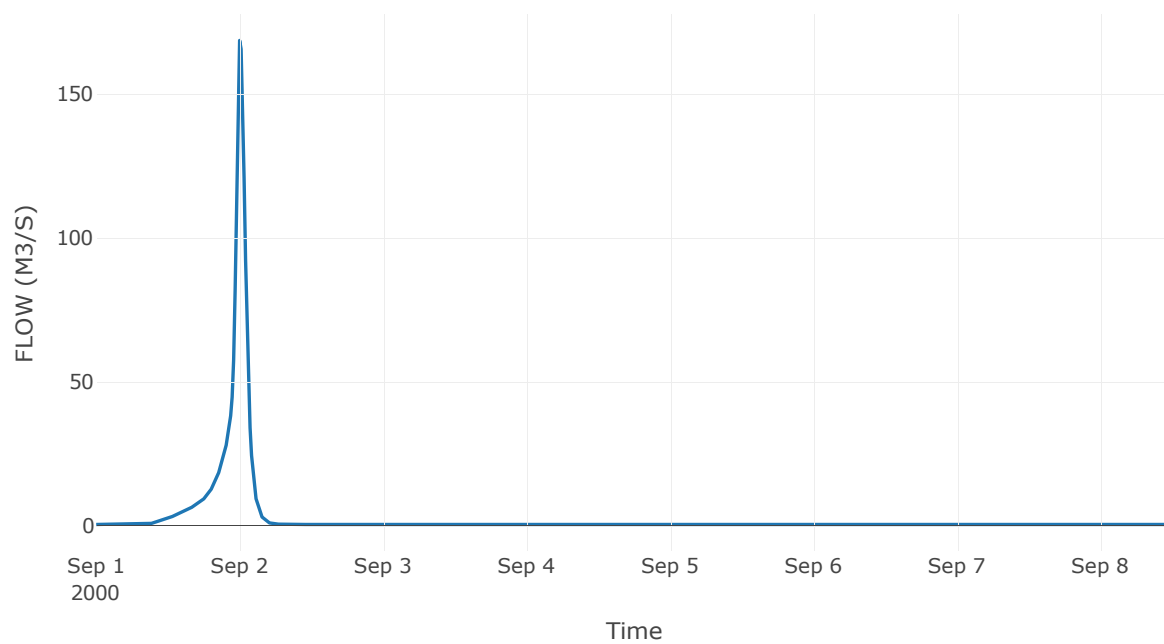
Κόμβος: J14

Κατάντη : R1413

Αποτελέσματα: J14

Παροχή Αιχμής(M3/S)	168.68
Χρονική στιγμή αιχμής	01Sep2000, 24:00
Όγκος(MM)	125.07

Απορροή



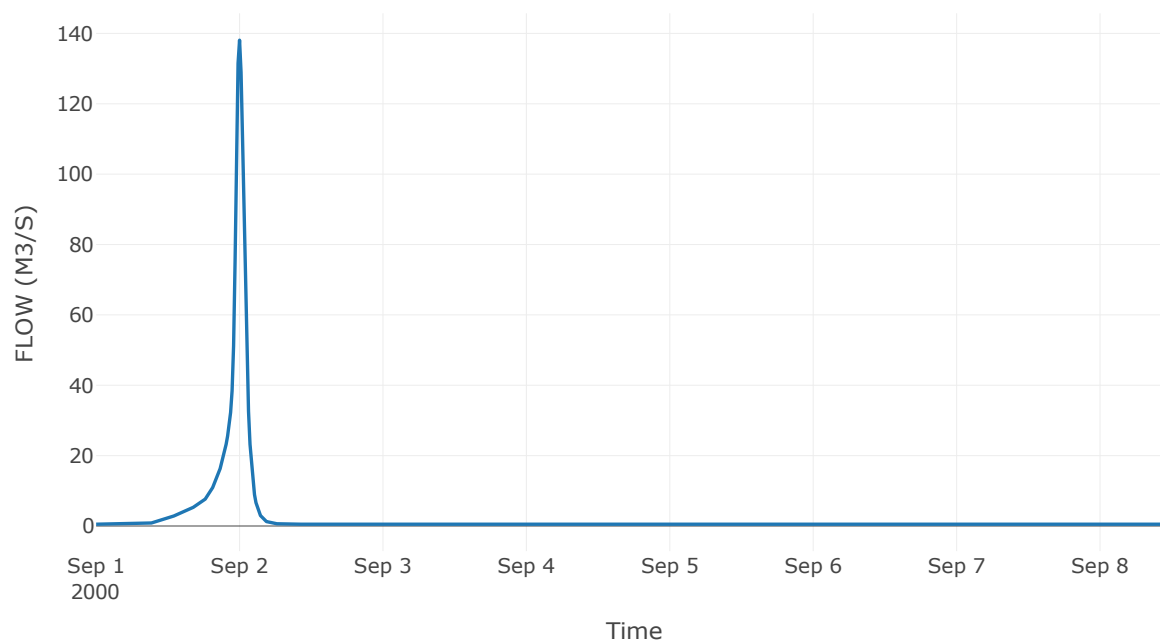
Κόμβος: J15

Κατάντη : R1514

Αποτελέσματα: J15

Παροχή Αιχμής(M3/S)	138.07
Χρονική στιγμή αιχμής	01Sep2000, 24:00
Όγκος(MM)	113.8

Απορροή



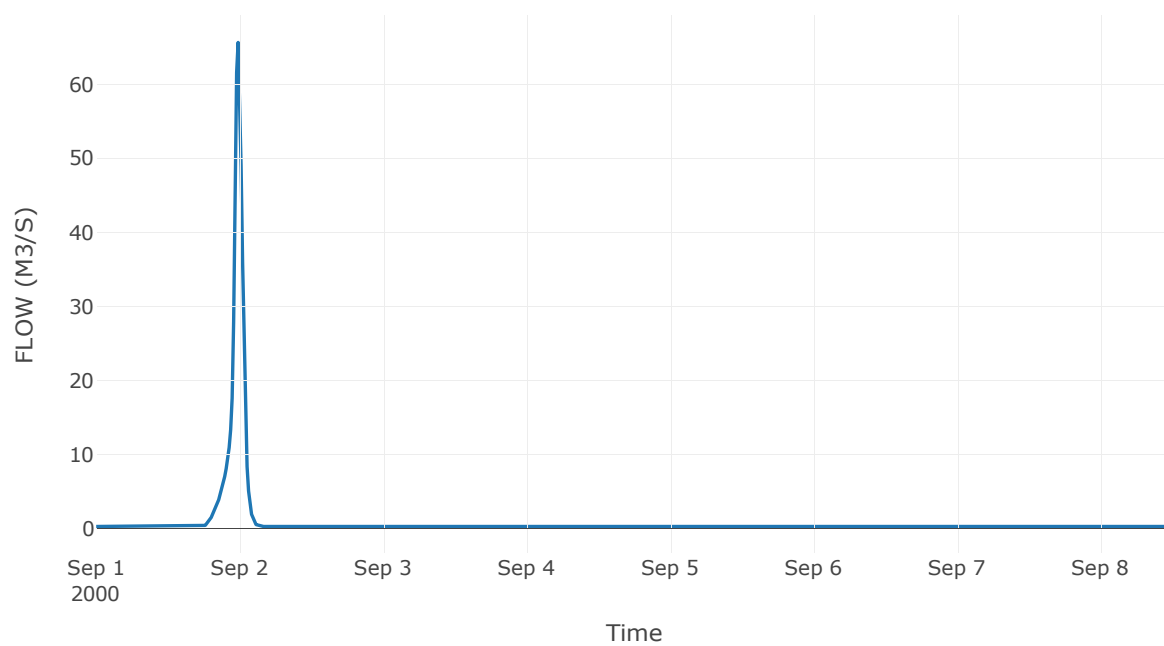
Κόμβος: J16

Κατάντη : R1615

Αποτελέσματα: J16

Παροχή Αιχμής(M3/S)	65.68
Χρονική στιγμή αιχμής	01Sep2000, 23:45
Όγκος(MM)	68.26

Απορροή



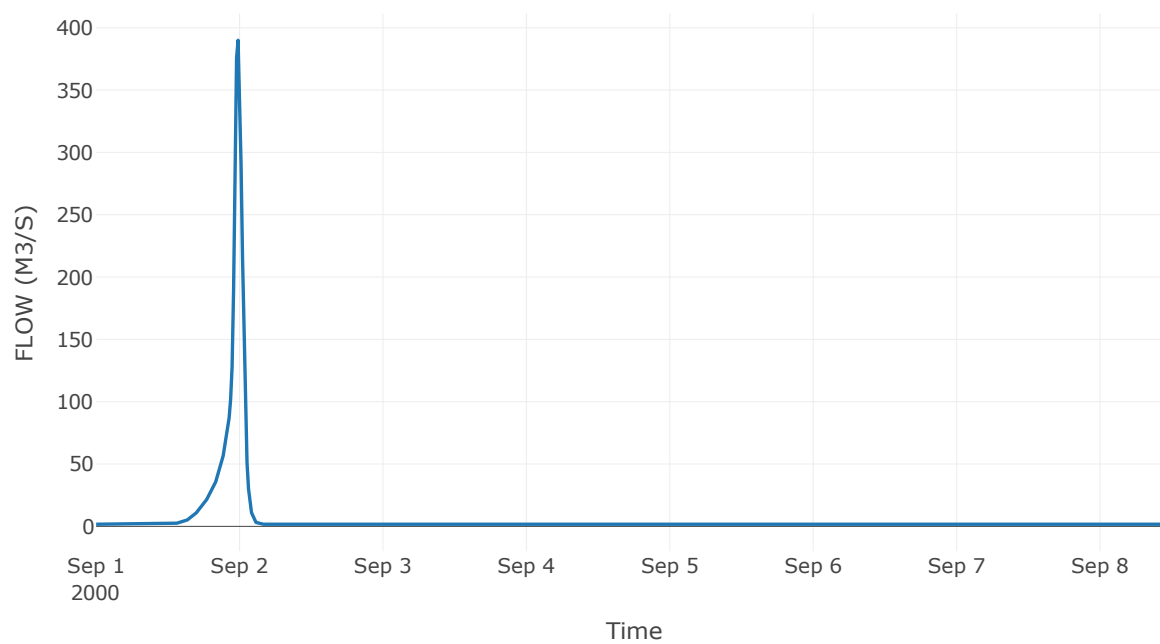
Κόμβος: J17

Κατάντη : R1720

Αποτελέσματα: J17

Παροχή Αιχμής(M3/S)	389.97
Χρονική στιγμή αιχμής	01Sep2000, 23:45
Όγκος(MM)	87.74

Απορροή



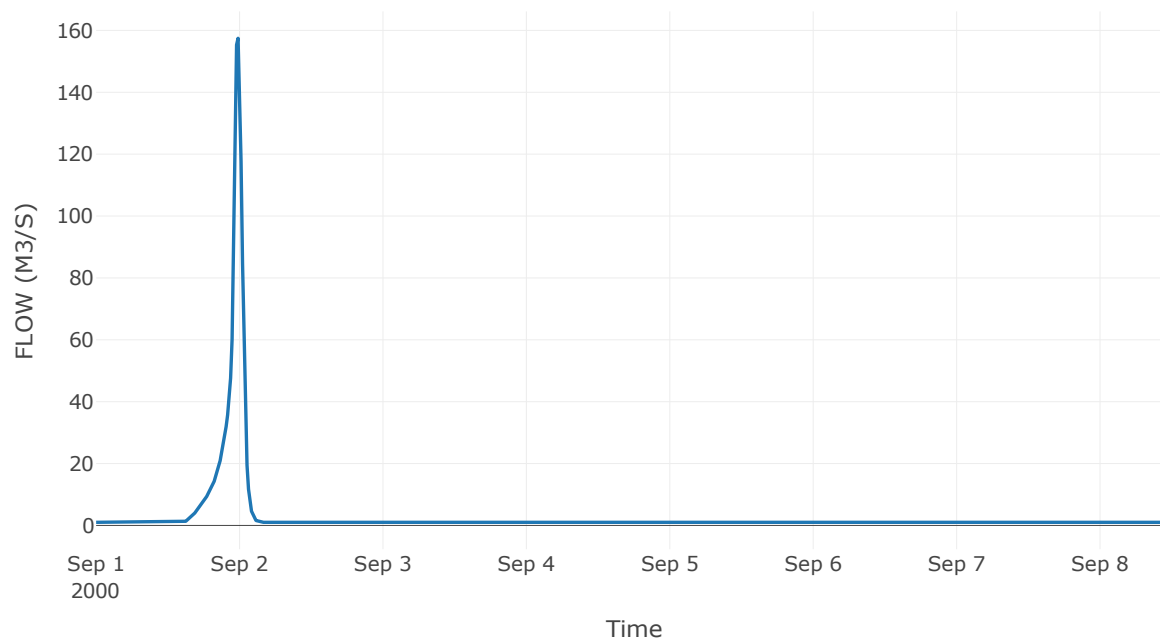
Κόμβος: J18

Κατάντη : R1817

Αποτελέσματα: J18

Παροχή Αιχμής(M3/S)	157.46
Χρονική στιγμή αιχμής	01Sep2000, 23:45
Όγκος(MM)	68.5

Απορροή



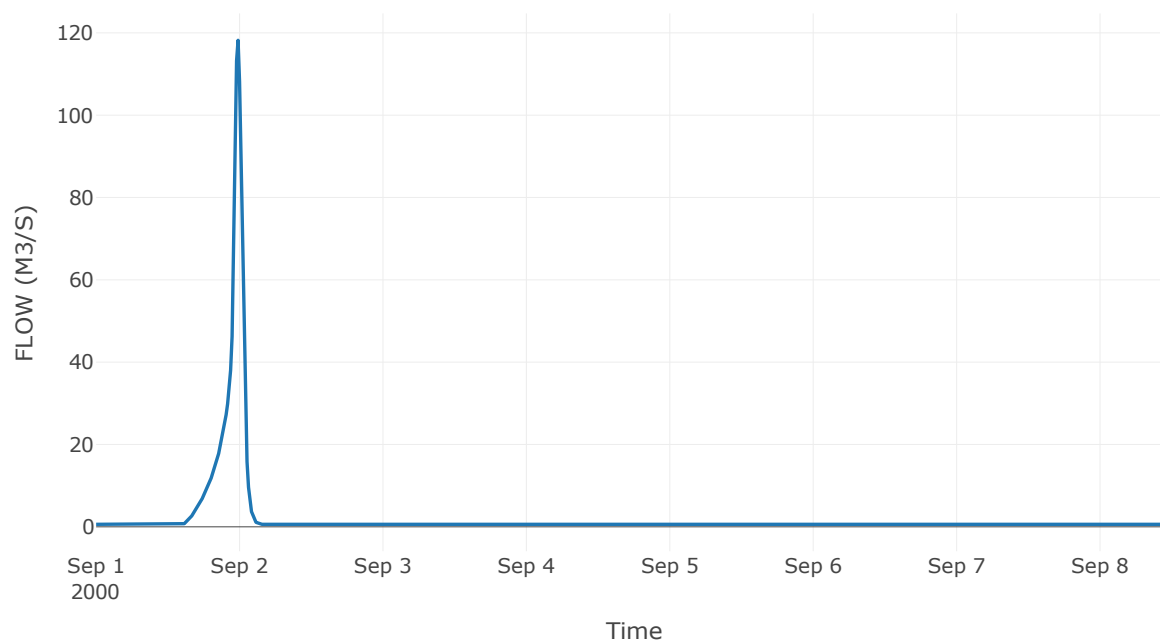
Κόμβος: J19

Κατάντη : R1918

Αποτελέσματα: J19

Παροχή Αιχμής(M3/S)	118.19
Χρονική στιγμή αιχμής	01Sep2000, 23:45
Όγκος(MM)	83.41

Απορροή



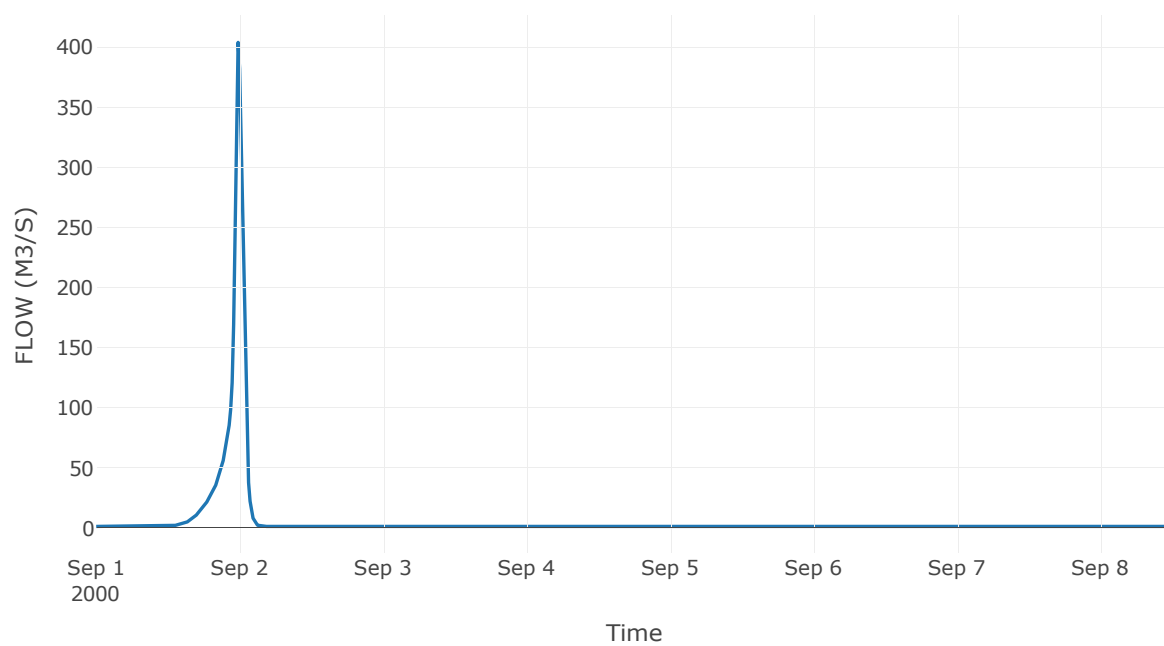
Κόμβος: J20

Κατάντη : R2010

Αποτελέσματα: J20

Παροχή Αιχμής(M3/S)	404.17
Χρονική στιγμή αιχμής	01Sep2000, 23:45
Όγκος(MM)	89.48

Απορροή



10 Δεδομένα εισόδου και αποτελέσματα υδρολογικού σεναρίου $T=1000U$

10.1 Αποτελέσματα, υετογραφήματα και υδρογραφήματα σχεδιασμού υπολεκανών

Υπολεκάνη: EL0415FL007001

Έκταση (KM2) : 9.22

Κατάνη : J1

Μέθοδος Απωλειών: SCS

Ποσοστό αδιαπέρατης επιφάνειας	95
Αριθμός Καμπύλης Απορροής-CN	99
Αρχικές Απώλειες	0.51

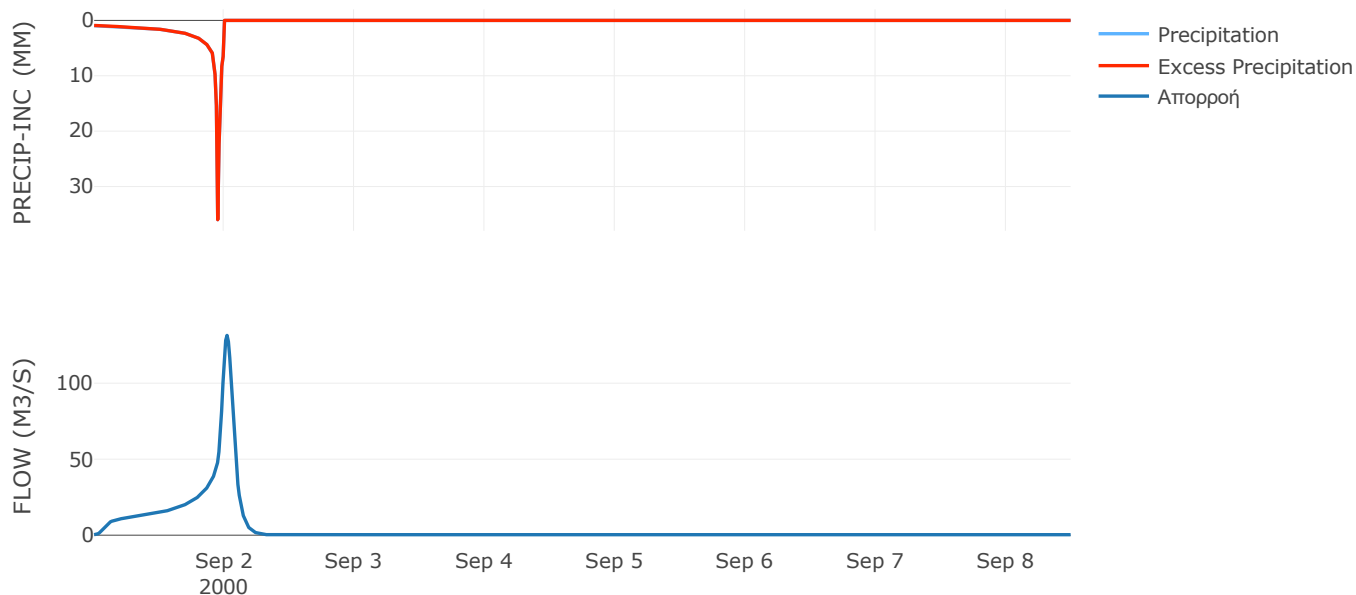
Μέθοδος
Μετασχηματισμού: SCS

Χρόνος Υστέρησης	93.59
------------------	-------

Αποτελέσματα:
EL0415FL007001

Παροχή αιχμής (M3/S)	131.48
Χρονική στιγμή αιχμής	02Sep2000, 00:30
Όγκος (MM)	307.59
Όγκος βροχόπτωσης (M3)	2.63E6
Όγκος απωλειών (M3)	1409.52
Ενεργός Όγκος (M3)	2.63E6
Όγκος άμεσης απορροής (M3)	2.63E6
Όγκος βασικής απορροής (M3)	2.09E5

Βροχόπτωση και Απορροή



Υπολεκάνη: EL0415FL007002

Έκταση (KM2) : 10.54

Κατάντη : J2

Μέθοδος Απωλειών: SCS

Ποσοστό αδιαπέρατης επιφάνειας	0
Αριθμός Καμπύλης Απορροής-CN	81.02
Αρχικές Απώλειες	11.9

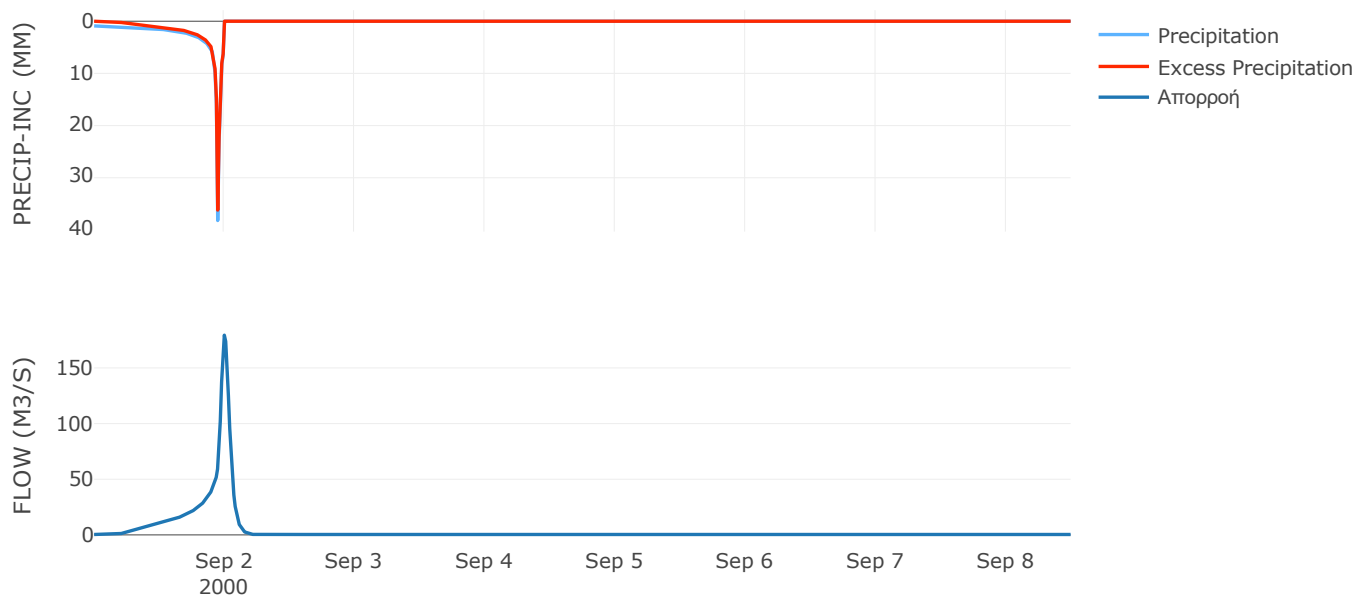
Μέθοδος
Μετασχηματισμού: SCS

Χρόνος Υστέρησης	63.93
------------------	-------

Αποτελέσματα:
EL0415FL007002

Παροχή αιχμής (M3/S)	179.41
Χρονική στιγμή αιχμής	01Sep2000, 24:00
Όγκος (MM)	244.19
Όγκος βροχόπτωσης (M3)	2.98E6
Όγκος απωλειών (M3)	6.4E5
Ενεργός Όγκος (M3)	2.34E6
Όγκος άμεσης απορροής (M3)	2.34E6
Όγκος βασικής απορροής (M3)	2.39E5

Βροχόπτωση και Απορροή



Υπολεκάνη: EL0415FL007003

Έκταση (KM2) : 7.3

Κατάντη : J3

Μέθοδος Απωλειών: SCS

Ποσοστό αδιαπέρατης επιφάνειας	0
Αριθμός Καμπύλης Απορροής-CN	78.81
Αρχικές Απώλειες	13.66

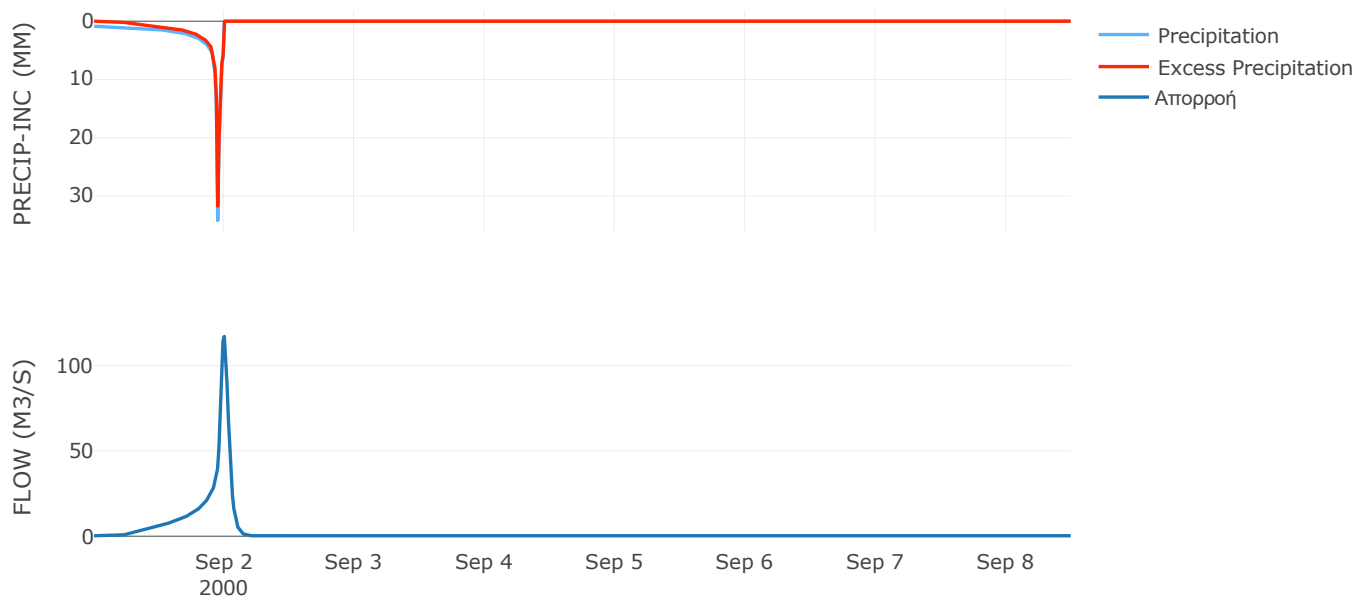
Μέθοδος
Μετασχηματισμού: SCS

Χρόνος Υστέρησης	56.19
------------------	-------

Αποτελέσματα:
EL0415FL007003

Παροχή αιχμής (M3/S)	117.01
Χρονική στιγμή αιχμής	01Sep2000, 24:00
Όγκος (MM)	218.41
Όγκος βροχόπτωσης (M3)	1.92E6
Όγκος απωλειών (M3)	4.91E5
Ενεργός Όγκος (M3)	1.43E6
Όγκος άμεσης απορροής (M3)	1.43E6
Όγκος βασικής απορροής (M3)	1.66E5

Βροχόπτωση και Απορροή



Υπολεκάνη: EL0415FL007004

Έκταση (KM2) : 9.79

Κατάντη : J16

Μέθοδος Απωλειών: SCS

Ποσοστό αδιαπέρατης επιφάνειας	0
Αριθμός Καμπύλης Απορροής-CN	70.25
Αρχικές Απώλειες	21.52

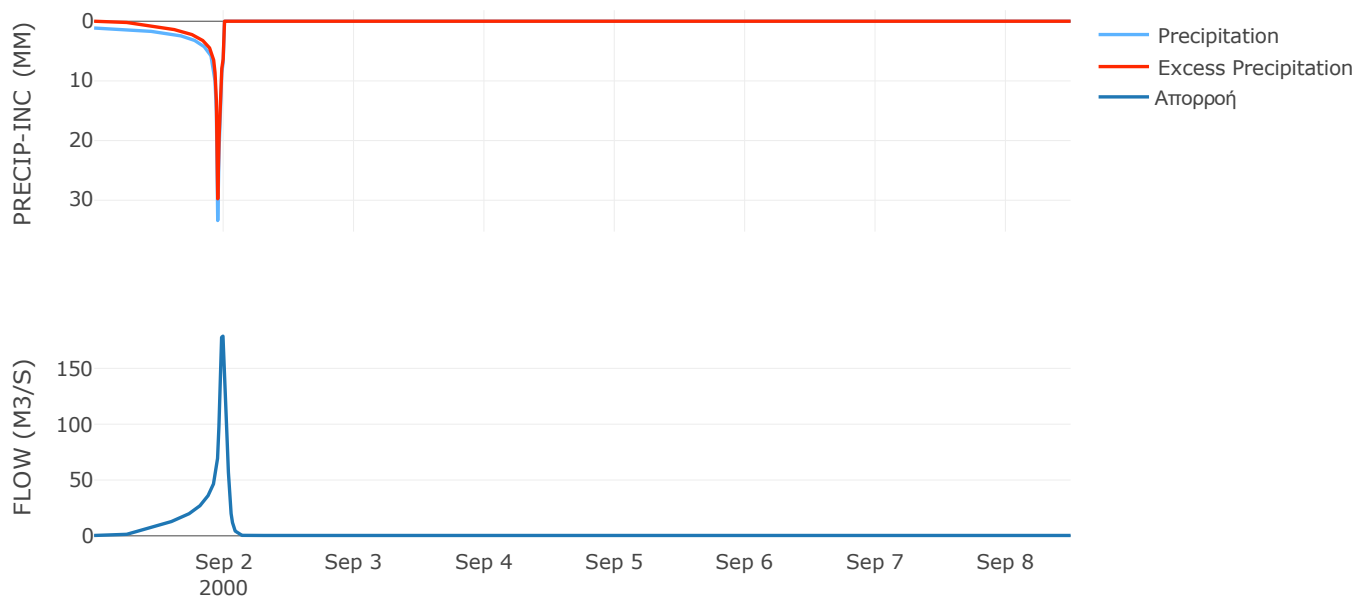
Μέθοδος
Μετασχηματισμού: SCS

Χρόνος Υστέρησης	38.67
------------------	-------

Αποτελέσματα:
EL0415FL007004

Παροχή αιχμής (M3/S)	178.81
Χρονική στιγμή αιχμής	01Sep2000, 23:45
Όγκος (MM)	229.15
Όγκος βροχόπτωσης (M3)	2.99E6
Όγκος απωλειών (M3)	9.74E5
Ενεργός Όγκος (M3)	2.02E6
Όγκος άμεσης απορροής (M3)	2.02E6
Όγκος βασικής απορροής (M3)	2.22E5

Βροχόπτωση και Απορροή



Υπολεκάνη: EL0415FL007005

Έκταση (KM2) : 17.4

Κατάντη : J19

Μέθοδος Απωλειών: SCS

Ποσοστό αδιαπέρατης επιφάνειας	0
Αριθμός Καμπύλης Απορροής-CN	72.41
Αρχικές Απώλειες	19.36

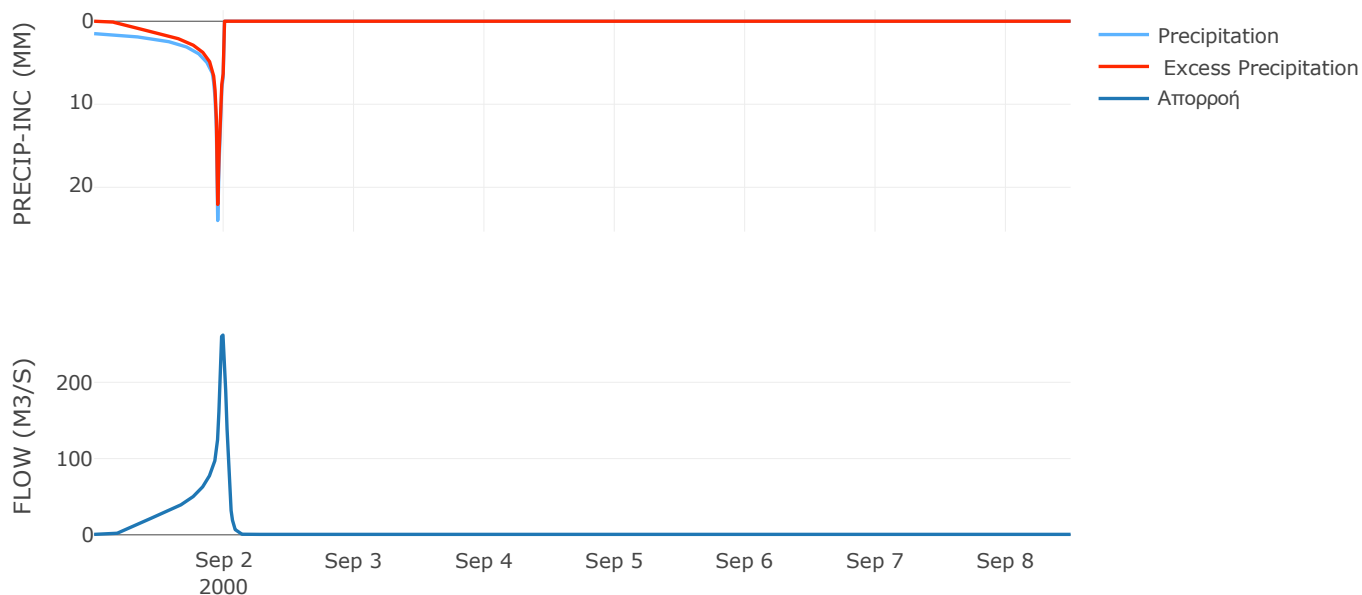
Μέθοδος
Μετασχηματισμού: SCS

Χρόνος Υστέρησης	38.62
------------------	-------

Αποτελέσματα:
EL0415FL007005

Παροχή αιχμής (M3/S)	261.95
Χρονική στιγμή αιχμής	01Sep2000, 23:45
Όγκος (MM)	248.55
Όγκος βροχόπτωσης (M3)	5.54E6
Όγκος απωλειών (M3)	1.61E6
Ενεργός Όγκος (M3)	3.93E6
Όγκος άμεσης απορροής (M3)	3.93E6
Όγκος βασικής απορροής (M3)	3.95E5

Βροχόπτωση και Απορροή



Υπολεκάνη: EL0415FL007006

Έκταση (KM2) : 2.23

Κατάντη : J18

Μέθοδος Απωλειών: SCS

Ποσοστό αδιαπέρατης επιφάνειας	0
Αριθμός Καμπύλης Απορροής-CN	64.4
Αρχικές Απώλειες	28.09

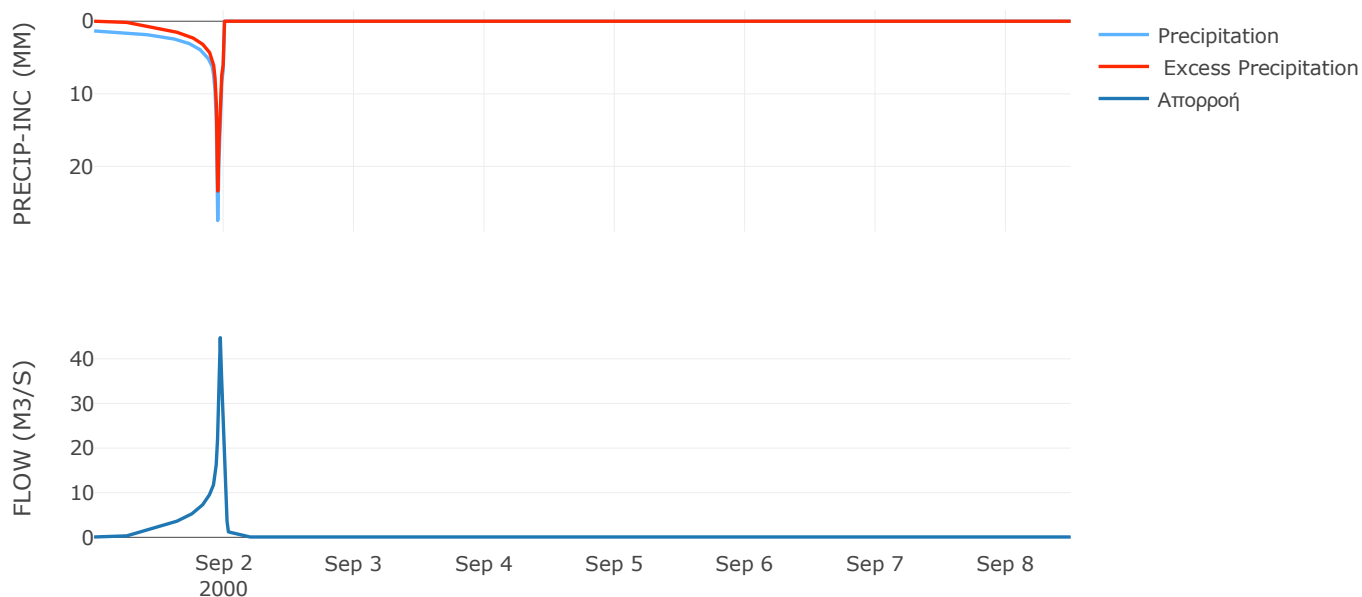
Μέθοδος
Μετασχηματισμού: SCS

Χρόνος Υστέρησης	14.75
------------------	-------

Αποτελέσματα:
EL0415FL007006

Παροχή αιχμής (M3/S)	44.74
Χρονική στιγμή αιχμής	01Sep2000, 23:15
Όγκος (MM)	212.8
Όγκος βροχόπτωσης (M3)	6.97E5
Όγκος απωλειών (M3)	2.73E5
Ενεργός Όγκος (M3)	4.25E5
Όγκος άμεσης απορροής (M3)	4.25E5
Όγκος βασικής απορροής (M3)	50644.44

Βροχόπτωση και Απορροή



Υπολεκάνη: EL0415FL007007

Έκταση (KM2) : 9.16

Κατάντη : J18

Μέθοδος Απωλειών: SCS

Ποσοστό αδιαπέρατης επιφάνειας	0
Αριθμός Καμπύλης Απορροής-CN	62.53
Αρχικές Απώλειες	30.44

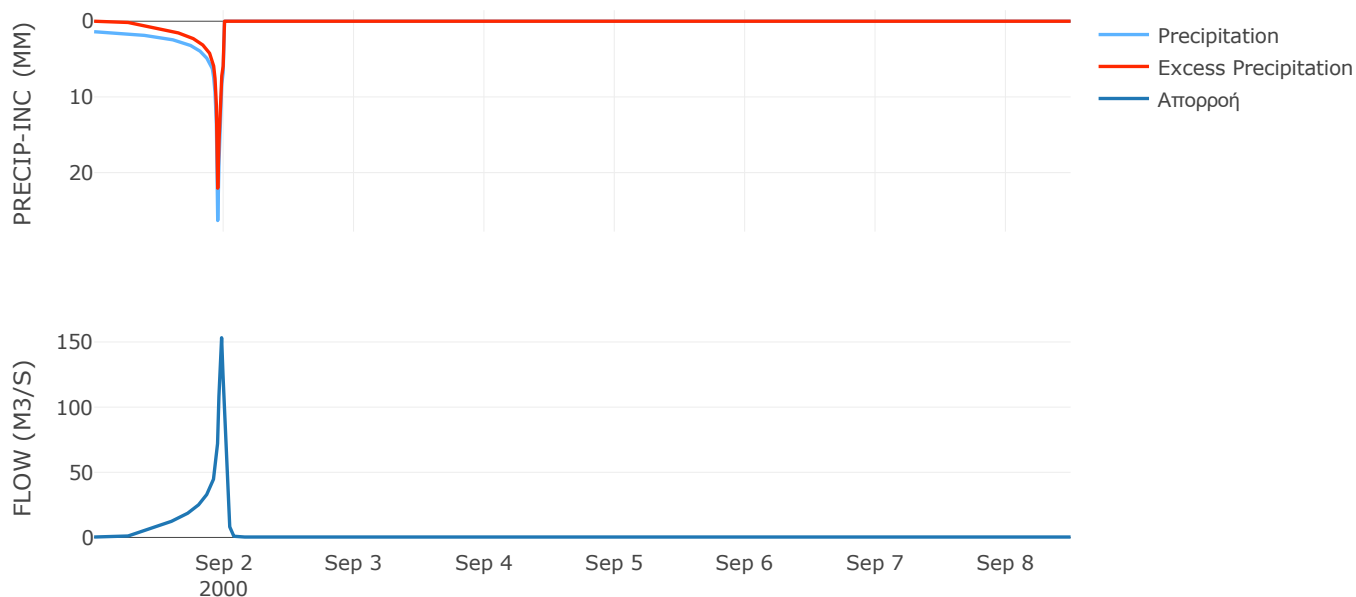
Μέθοδος
Μετασχηματισμού: SCS

Χρόνος Υστέρησης	24.01
------------------	-------

Αποτελέσματα:
EL0415FL007007

Παροχή αιχμής (M3/S)	153.26
Χρονική στιγμή αιχμής	01Sep2000, 23:30
Όγκος (MM)	207.05
Όγκος βροχόπτωσης (M3)	2.88E6
Όγκος απωλειών (M3)	1.19E6
Ενεργός Όγκος (M3)	1.69E6
Όγκος άμεσης απορροής (M3)	1.69E6
Όγκος βασικής απορροής (M3)	2.08E5

Βροχόπτωση και Απορροή



Υπολεκάνη: EL0415FL007008

Έκταση (KM2) : 7.8

Κατάληξη : J17

Μέθοδος Απωλειών: SCS

Ποσοστό αδιαπέρατης επιφάνειας	0
Αριθμός Καμπύλης Απορροής-CN	71.34
Αρχικές Απώλειες	20.41

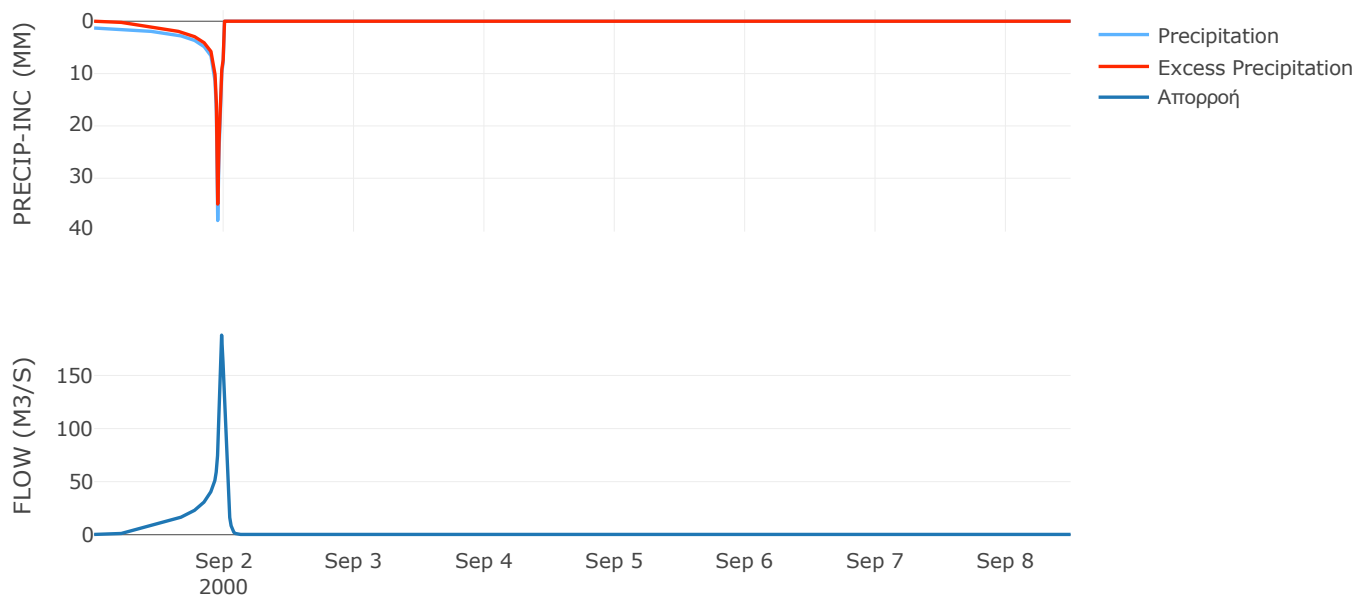
Μέθοδος
Μετασχηματισμού: SCS

Χρόνος Υστέρησης	29.56
------------------	-------

Αποτελέσματα:
EL0415FL007008

Παροχή αιχμής (M3/S)	188.04
Χρονική στιγμή αιχμής	01Sep2000, 23:30
Όγκος (MM)	273.26
Όγκος βροχόπτωσης (M3)	2.72E6
Όγκος απωλειών (M3)	7.67E5
Ενεργός Όγκος (M3)	1.95E6
Όγκος άμεσης απορροής (M3)	1.95E6
Όγκος βασικής απορροής (M3)	1.77E5

Βροχόπτωση και Απορροή



Υπολεκάνη: EL0415FL007009

Έκταση (KM2) : 11.83

Κατάντη : J17

Μέθοδος Απωλειών: SCS

Ποσοστό αδιαπέρατης επιφάνειας	0
Αριθμός Καμπύλης Απορροής-CN	81.08
Αρχικές Απώλειες	11.85

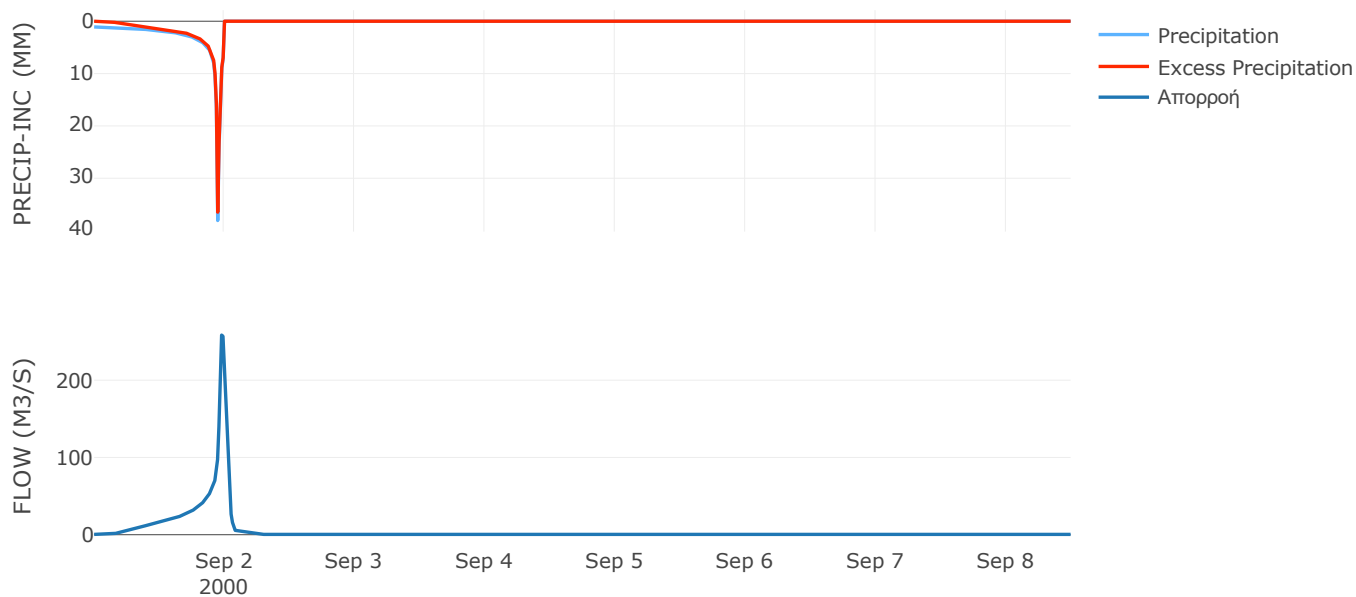
Μέθοδος
Μετασχηματισμού: SCS

Χρόνος Υστέρησης	38.27
------------------	-------

Αποτελέσματα:
EL0415FL007009

Παροχή αιχμής (M3/S)	258.41
Χρονική στιγμή αιχμής	01Sep2000, 23:30
Όγκος (MM)	275.36
Όγκος βροχόπτωσης (M3)	3.72E6
Όγκος απωλειών (M3)	7.27E5
Ενεργός Όγκος (M3)	2.99E6
Όγκος άμεσης απορροής (M3)	2.99E6
Όγκος βασικής απορροής (M3)	2.68E5

Βροχόπτωση και Απορροή



Υπολεκάνη: EL0415FL007010

Έκταση (KM2) : 1.62

Κατάντη : J10

Μέθοδος Απωλειών: SCS

Ποσοστό αδιαπέρατης επιφάνειας	0
Αριθμός Καμπύλης Απορροής-CN	89.72
Αρχικές Απώλειες	5.82

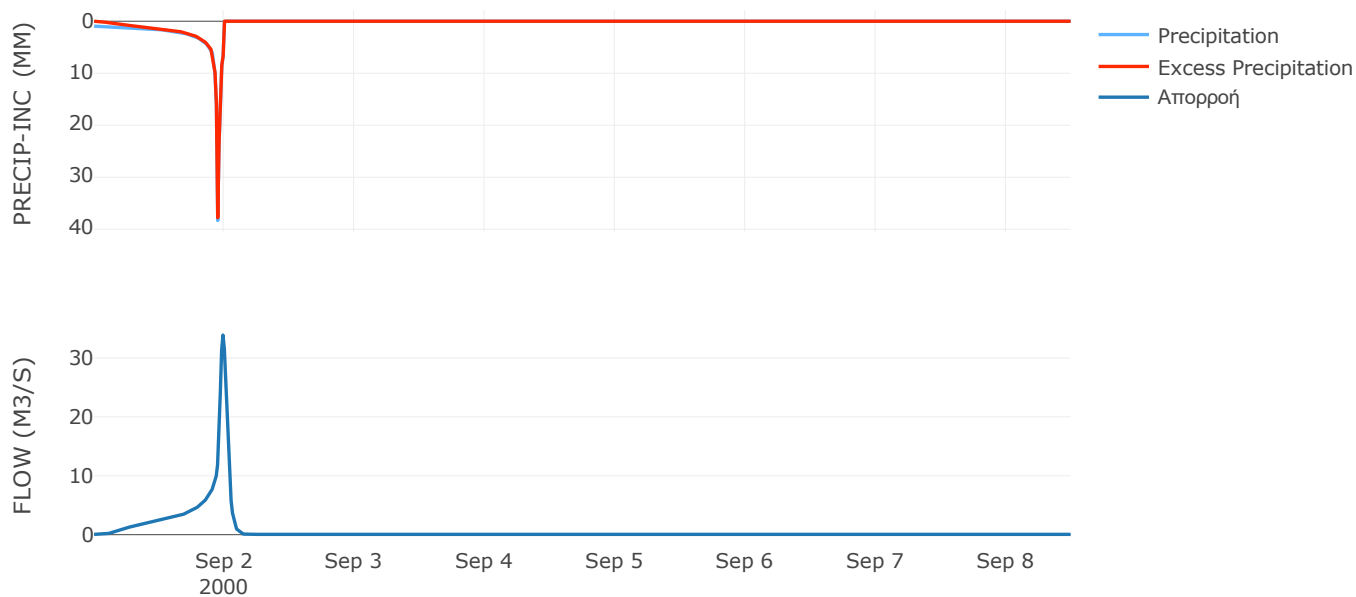
Μέθοδος
Μετασχηματισμού: SCS

Χρόνος Υστέρησης	46.11
------------------	-------

Αποτελέσματα:
EL0415FL007010

Παροχή αιχμής (M3/S)	33.89
Χρονική στιγμή αιχμής	01Sep2000, 23:45
Όγκος (MM)	282.48
Όγκος βροχόπτωσης (M3)	4.73E5
Όγκος απωλειών (M3)	52150.17
Ενεργός Όγκος (M3)	4.2E5
Όγκος άμεσης απορροής (M3)	4.2E5
Όγκος βασικής απορροής (M3)	36696.24

Βροχόπτωση και Απορροή



Υπολεκάνη: EL0415FL007011

Έκταση (KM2) : 3.11

Κατάνη : J11

Μέθοδος Απωλειών: SCS

Ποσοστό αδιαπέρατης επιφάνειας	0
Αριθμός Καμπύλης Απορροής-CN	83.21
Αρχικές Απώλειες	10.25

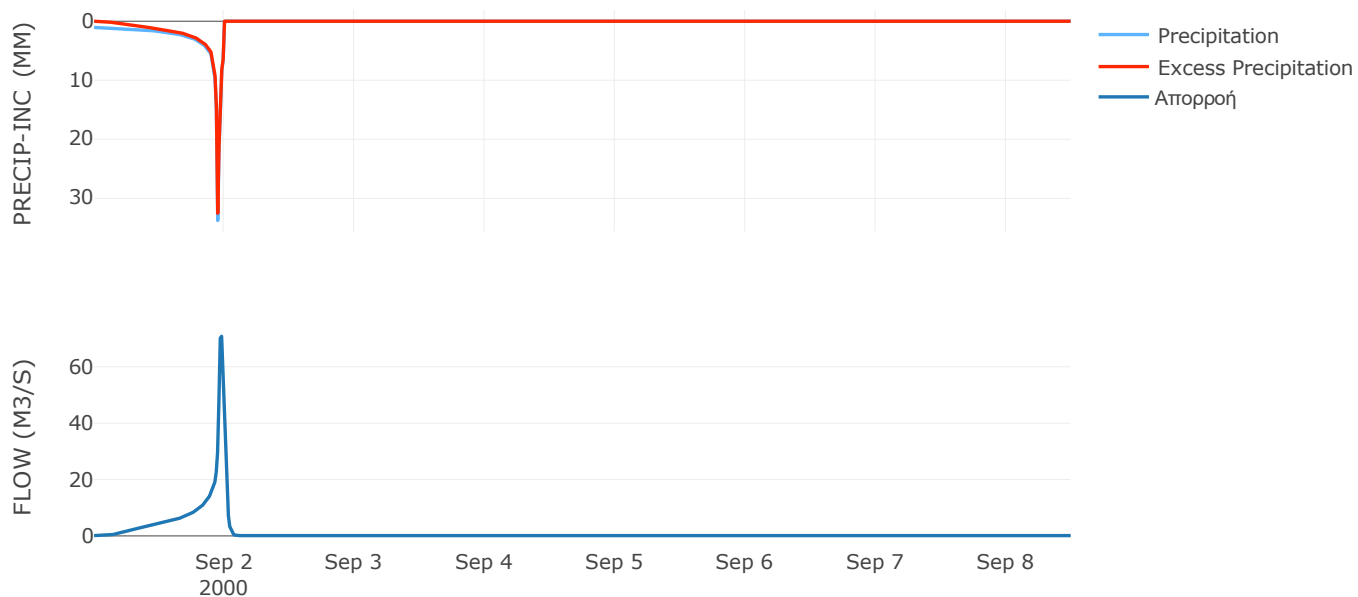
Μέθοδος
Μετασχηματισμού: SCS

Χρόνος Υστέρησης	24.36
------------------	-------

Αποτελέσματα:
EL0415FL007011

Παροχή αιχμής (M3/S)	70.83
Χρονική στιγμή αιχμής	01Sep2000, 23:30
Όγκος (MM)	261.32
Όγκος βροχόπτωσης (M3)	9.08E5
Όγκος απωλειών (M3)	1.67E5
Ενεργός Όγκος (M3)	7.41E5
Όγκος άμεσης απορροής (M3)	7.41E5
Όγκος βασικής απορροής (M3)	70470

Βροχόπτωση και Απορροή



Υπολεκάνη: EL0415FL007012

Έκταση (KM2) : 4.8

Κατάντη : J10

Μέθοδος Απωλειών: SCS

Ποσοστό αδιαπέρατης επιφάνειας	0
Αριθμός Καμπύλης Απορροής-CN	86.98
Αρχικές Απώλειες	7.61

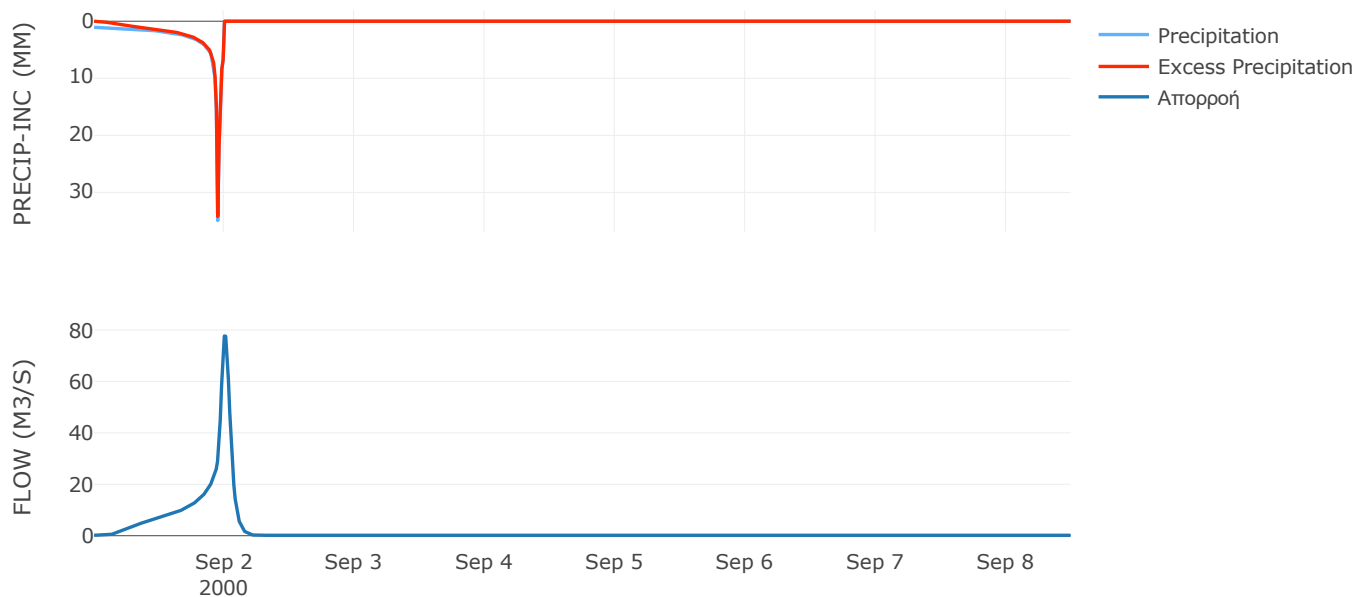
Μέθοδος
Μετασχηματισμού: SCS

Χρόνος Υστέρησης	68.89
------------------	-------

Αποτελέσματα:
EL0415FL007012

Παροχή αιχμής (M3/S)	77.68
Χρονική στιγμή αιχμής	01Sep2000, 24:00
Όγκος (MM)	279.97
Όγκος βροχόπτωσης (M3)	1.43E6
Όγκος απωλειών (M3)	1.98E5
Ενεργός Όγκος (M3)	1.24E6
Όγκος άμεσης απορροής (M3)	1.24E6
Όγκος βασικής απορροής (M3)	1.09E5

Βροχόπτωση και Απορροή



Υπολεκάνη: EL0415FL007013

Έκταση (KM2) : 1.31

Κατάνη : J15

Μέθοδος Απωλειών: SCS

Ποσοστό αδιαπέρατης επιφάνειας	0
Αριθμός Καμπύλης Απορροής-CN	89.75
Αρχικές Απώλειες	5.8

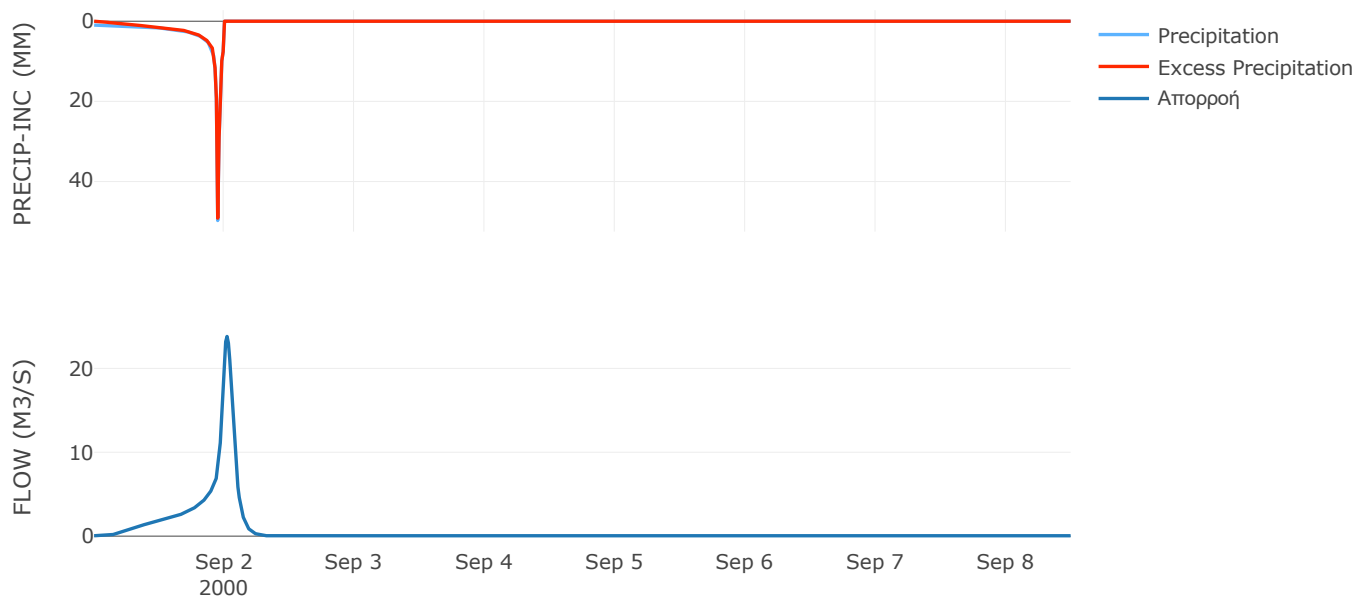
Μέθοδος
Μετασχηματισμού: SCS

Χρόνος Υστέρησης	93
------------------	----

Αποτελέσματα:
EL0415FL007013

Παροχή αιχμής (M3/S)	23.81
Χρονική στιγμή αιχμής	02Sep2000, 00:30
Όγκος (MM)	321.25
Όγκος βροχόπτωσης (M3)	4.35E5
Όγκος απωλειών (M3)	42636.52
Ενεργός Όγκος (M3)	3.92E5
Όγκος άμεσης απορροής (M3)	3.92E5
Όγκος βασικής απορροής (M3)	29801.52

Βροχόπτωση και Απορροή



Υπολεκάνη: EL0415FL007014

Έκταση (KM2) : 3.5

Κατάνη : J15

Μέθοδος Απωλειών: SCS

Ποσοστό αδιαπέρατης επιφάνειας	0
Αριθμός Καμπύλης Απορροής-CN	88.2
Αρχικές Απώλειες	6.8

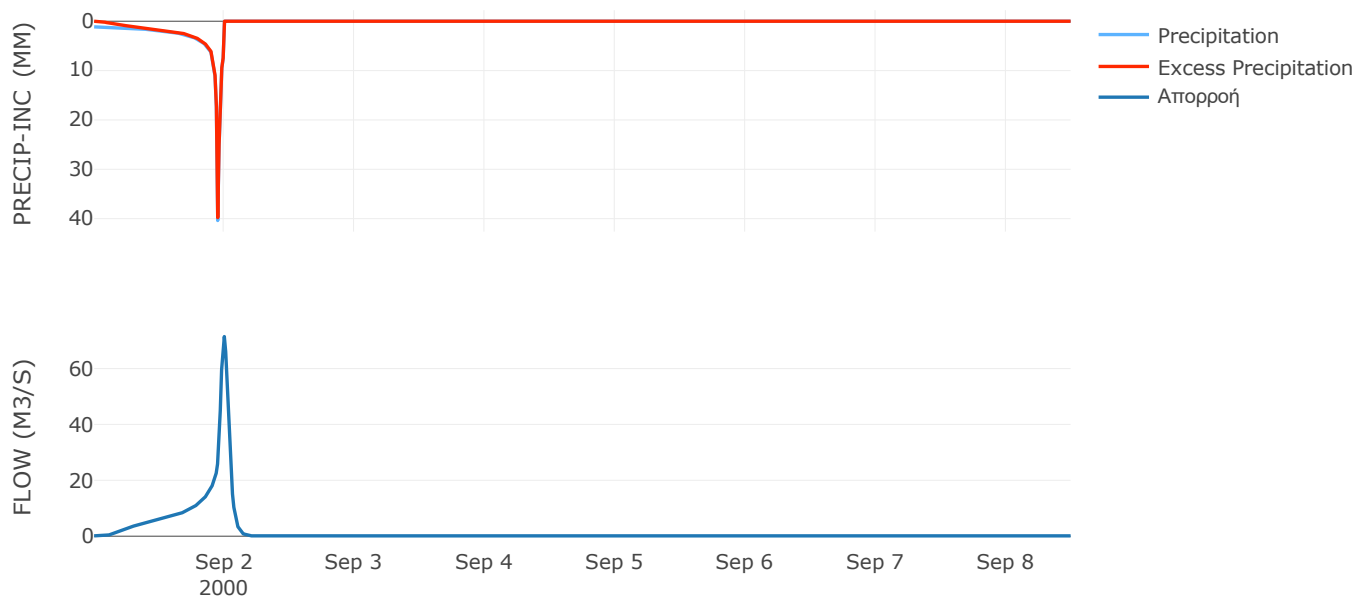
Μέθοδος
Μετασχηματισμού: SCS

Χρόνος Υστέρησης	57.16
------------------	-------

Αποτελέσματα:
EL0415FL007014

Παροχή αιχμής (M3/S)	71.46
Χρονική στιγμή αιχμής	01Sep2000, 24:00
Όγκος (MM)	315.39
Όγκος βροχόπτωσης (M3)	1.16E6
Όγκος απωλειών (M3)	1.32E5
Ενεργός Όγκος (M3)	1.03E6
Όγκος άμεσης απορροής (M3)	1.03E6
Όγκος βασικής απορροής (M3)	79451.28

Βροχόπτωση και Απορροή



Υπολεκάνη: EL0415FL007015

Έκταση (KM2) : 0.6

Κατάντη : J20

Μέθοδος Απωλειών: SCS

Ποσοστό αδιαπέρατης επιφάνειας	0
Αριθμός Καμπύλης Απορροής-CN	90.73
Αρχικές Απώλειες	5.19

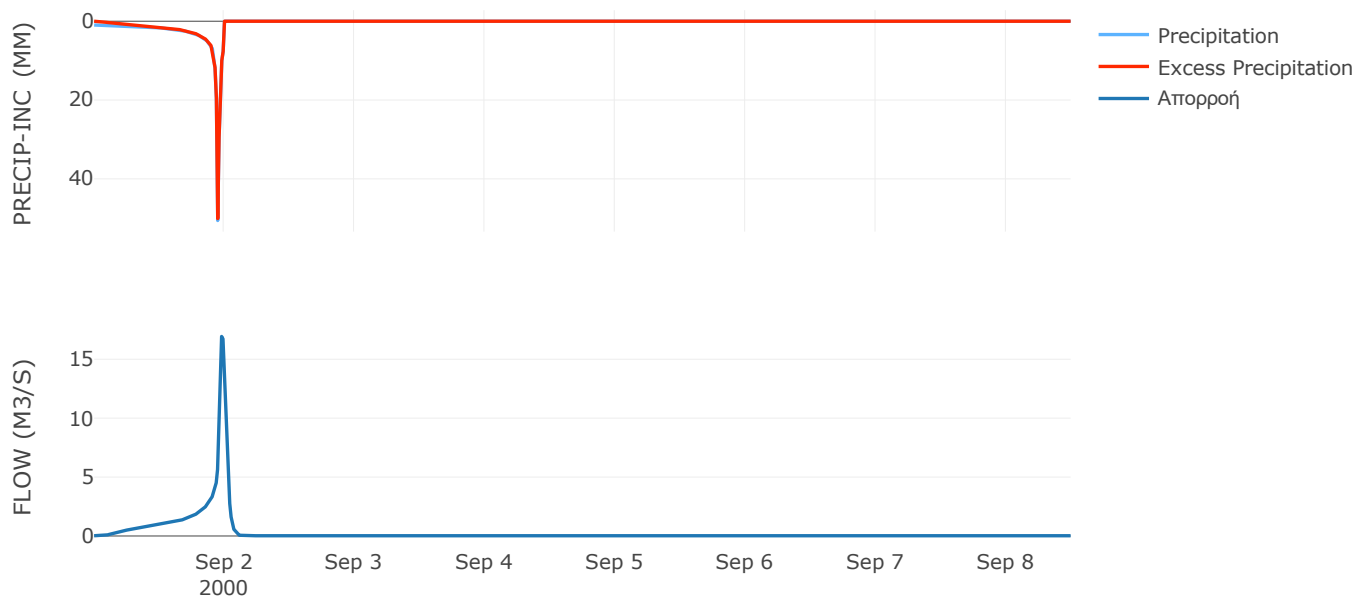
Μέθοδος
Μετασχηματισμού: SCS

Χρόνος Υστέρησης	38.29
------------------	-------

Αποτελέσματα:
EL0415FL007015

Παροχή αιχμής (M3/S)	16.94
Χρονική στιγμή αιχμής	01Sep2000, 23:30
Όγκος (MM)	326.47
Όγκος βροχόπτωσης (M3)	1.99E5
Όγκος απωλειών (M3)	17509.88
Ενεργός Όγκος (M3)	1.82E5
Όγκος άμεσης απορροής (M3)	1.82E5
Όγκος βασικής απορροής (M3)	13585.32

Βροχόπτωση και Απορροή



Υπολεκάνη: EL0415FL007016

Έκταση (KM2) : 0.07

Κατάντη : J14

Μέθοδος Απωλειών: SCS

Ποσοστό αδιαπέρατης επιφάνειας	0
Αριθμός Καμπύλης Απορροής-CN	89.08
Αρχικές Απώλειες	6.23

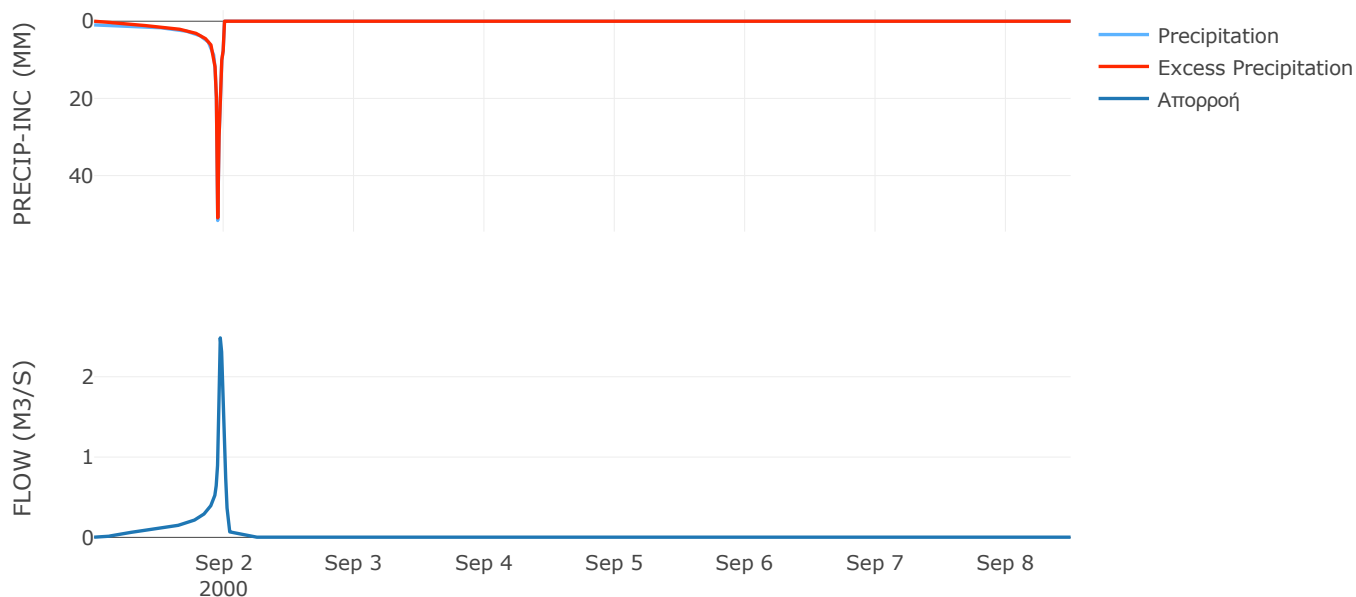
Μέθοδος
Μετασχηματισμού: SCS

Χρόνος Υστέρησης	21.88
------------------	-------

Αποτελέσματα:
EL0415FL007016

Παροχή αιχμής (M3/S)	2.48
Χρονική στιγμή αιχμής	01Sep2000, 23:15
Όγκος (MM)	323.38
Όγκος βροχόπτωσης (M3)	23477.14
Όγκος απωλειών (M3)	2428.05
Ενεργός Όγκος (M3)	21049.09
Όγκος άμεσης απορροής (M3)	21049.09
Όγκος βασικής απορροής (M3)	1587.6

Βροχόπτωση και Απορροή



Υπολεκάνη: EL0415FL007017

Έκταση (KM2) : 0.12

Κατάντη : J13

Μέθοδος Απωλειών: SCS

Ποσοστό αδιαπέρατης επιφάνειας	0
Αριθμός Καμπύλης Απορροής-CN	88.8
Αρχικές Απώλειες	6.41

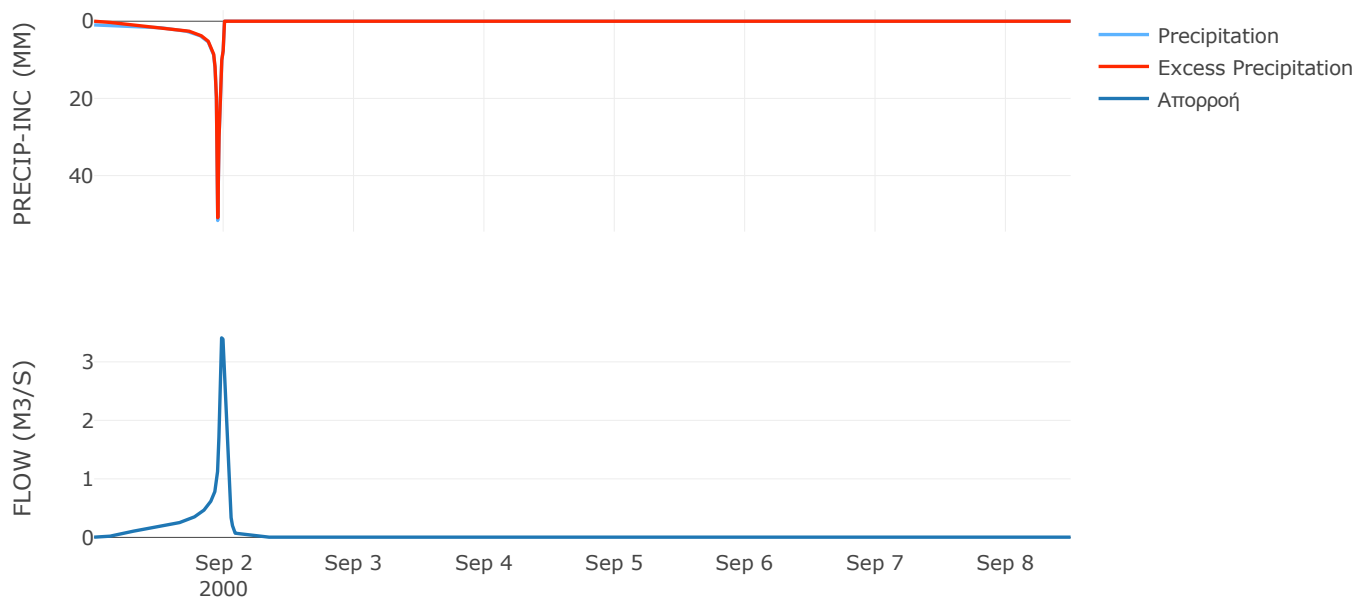
Μέθοδος
Μετασχηματισμού: SCS

Χρόνος Υστέρησης	38.73
------------------	-------

Αποτελέσματα:
EL0415FL007017

Παροχή αιχμής (M3/S)	3.41
Χρονική στιγμή αιχμής	01Sep2000, 23:30
Όγκος (MM)	322.48
Όγκος βροχόπτωσης (M3)	40246.53
Όγκος απωλειών (M3)	4270.95
Ενεργός Όγκος (M3)	35975.58
Όγκος άμεσης απορροής (M3)	35975.58
Όγκος βασικής απορροής (M3)	2721.6

Βροχόπτωση και Απορροή



Υπολεκάνη: EL0415FL007018

Έκταση (KM2) : 6.09

Κατάντη : J7

Μέθοδος Απωλειών: SCS

Ποσοστό αδιαπέρατης επιφάνειας	0
Αριθμός Καμπύλης Απορροής-CN	81.8
Αρχικές Απώλειες	11.3

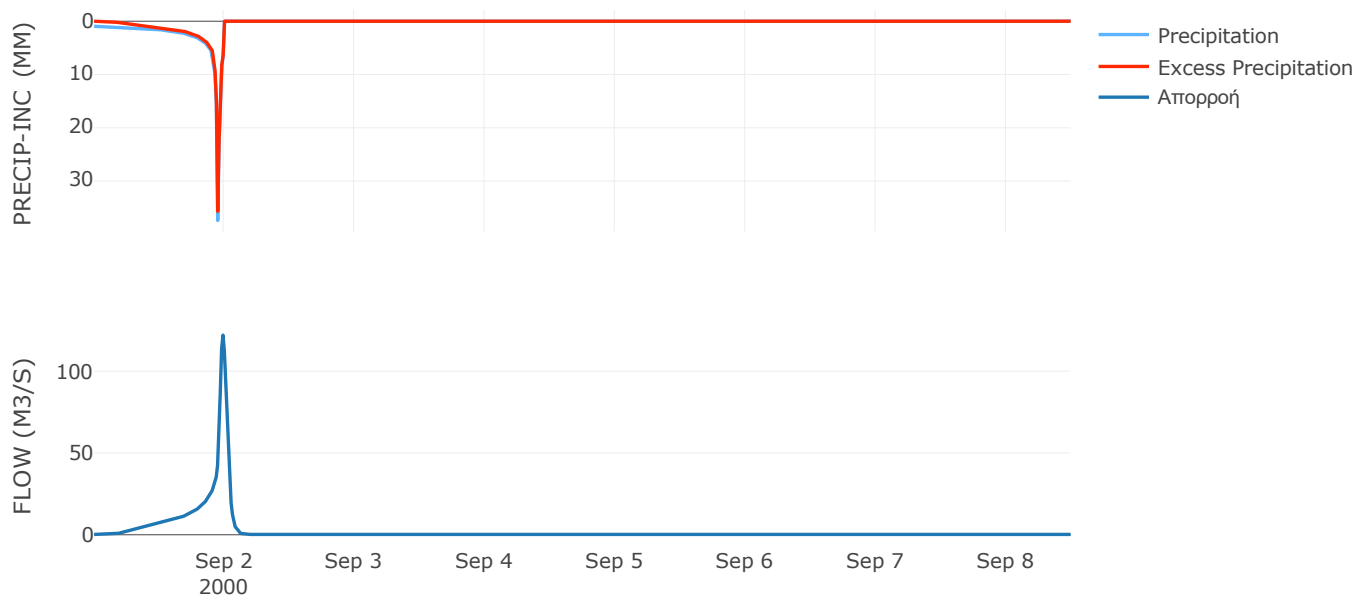
Μέθοδος
Μετασχηματισμού: SCS

Χρόνος Υστέρησης	44.92
------------------	-------

Αποτελέσματα:
EL0415FL007018

Παροχή αιχμής (M3/S)	122.03
Χρονική στιγμή αιχμής	01Sep2000, 23:45
Όγκος (MM)	252.13
Όγκος βροχόπτωσης (M3)	1.75E6
Όγκος απωλειών (M3)	3.55E5
Ενεργός Όγκος (M3)	1.4E6
Όγκος άμεσης απορροής (M3)	1.4E6
Όγκος βασικής απορροής (M3)	1.38E5

Βροχόπτωση και Απορροή



Υπολεκάνη: EL0415FL007020

Έκταση (KM2) : 6.38

Κατάντη : J6

Μέθοδος Απωλειών: SCS

Ποσοστό αδιαπέρατης επιφάνειας	0
Αριθμός Καμπύλης Απορροής-CN	74.42
Αρχικές Απώλειες	17.47

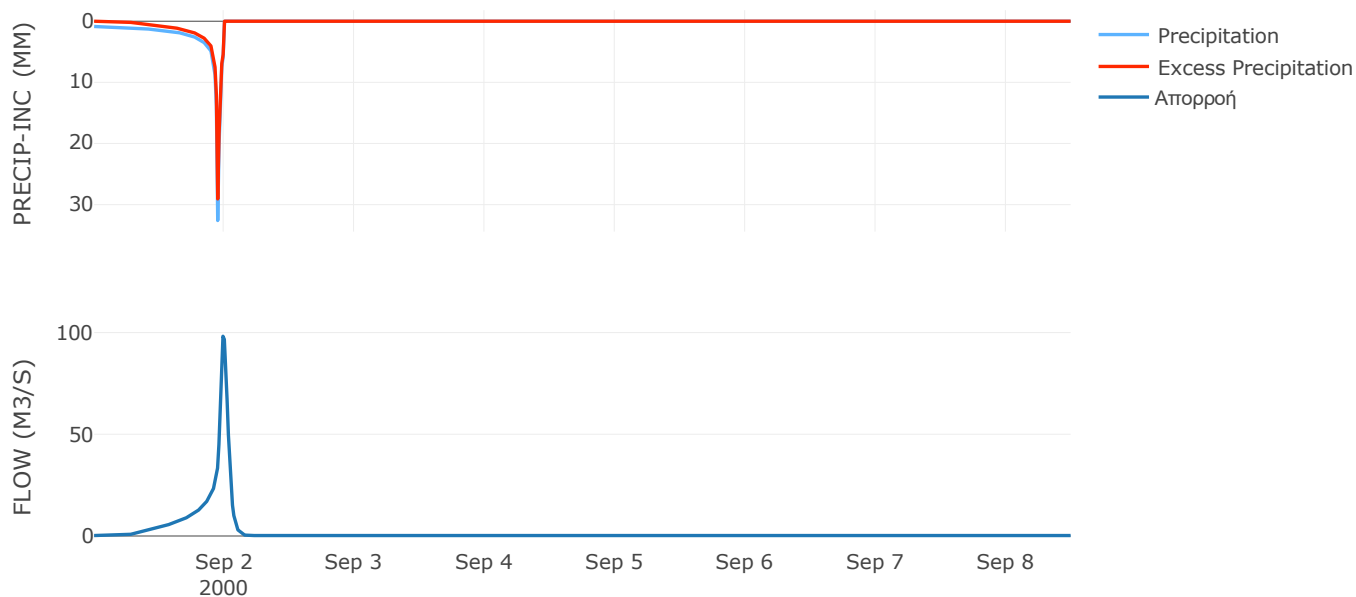
Μέθοδος
Μετασχηματισμού: SCS

Χρόνος Υστέρησης	50.97
------------------	-------

Αποτελέσματα:
EL0415FL007020

Παροχή αιχμής (M3/S)	98.19
Χρονική στιγμή αιχμής	01Sep2000, 23:45
Όγκος (MM)	197.72
Όγκος βροχόπτωσης (M3)	1.64E6
Όγκος απωλειών (M3)	5.19E5
Ενεργός Όγκος (M3)	1.12E6
Όγκος άμεσης απορροής (M3)	1.12E6
Όγκος βασικής απορροής (M3)	1.45E5

Βροχόπτωση και Απορροή



Υπολεκάνη: EL0415FL007021

Έκταση (KM2) : 6.96

Κατάντη : J9

Μέθοδος Απωλειών: SCS

Ποσοστό αδιαπέρατης επιφάνειας	0
Αριθμός Καμπύλης Απορροής-CN	80.92
Αρχικές Απώλειες	11.98

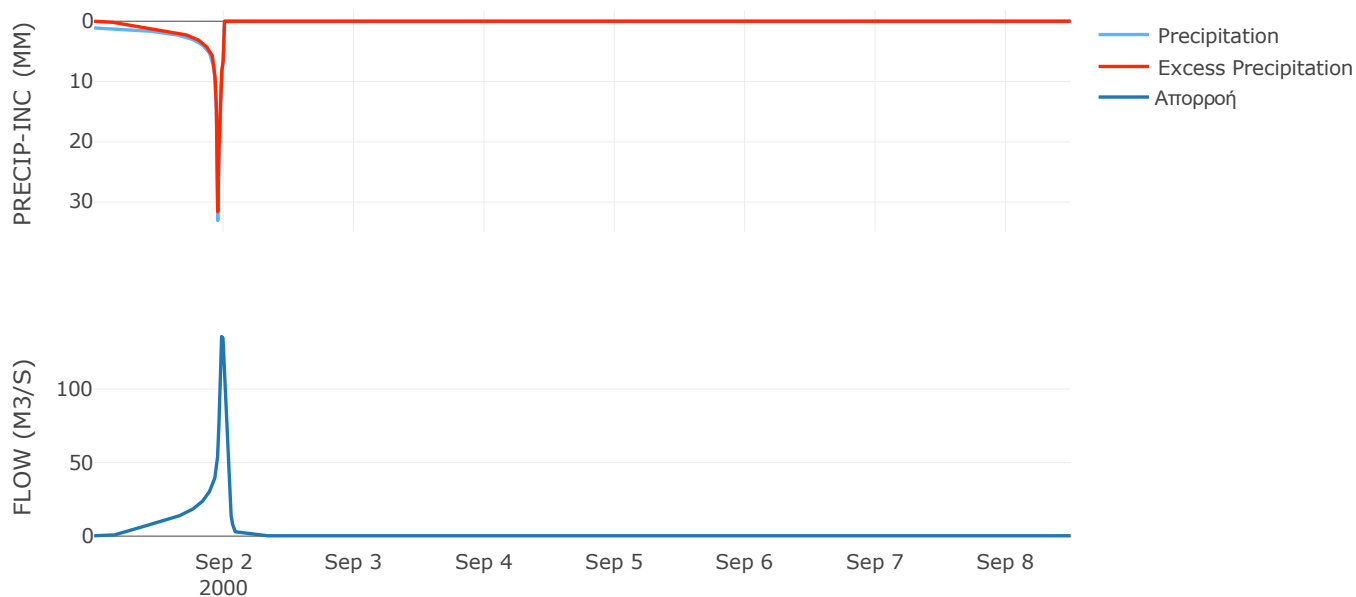
Μέθοδος
Μετασχηματισμού: SCS

Χρόνος Υστέρησης	37.97
------------------	-------

Αποτελέσματα:
EL0415FL007021

Παροχή αιχμής (M3/S)	135.7
Χρονική στιγμή αιχμής	01Sep2000, 23:30
Όγκος (MM)	261.65
Όγκος βροχόπτωσης (M3)	2.09E6
Όγκος απωλειών (M3)	4.29E5
Ενεργός Όγκος (M3)	1.66E6
Όγκος άμεσης απορροής (M3)	1.66E6
Όγκος βασικής απορροής (M3)	1.58E5

Βροχόπτωση και Απορροή



Υπολεκάνη: EL0415FL007022

Έκταση (KM2) : 4.73

Κατάντη : J8

Μέθοδος Απωλειών: SCS

Ποσοστό αδιαπέρατης επιφάνειας	0
Αριθμός Καμπύλης Απορροής-CN	83.69
Αρχικές Απώλειες	9.9

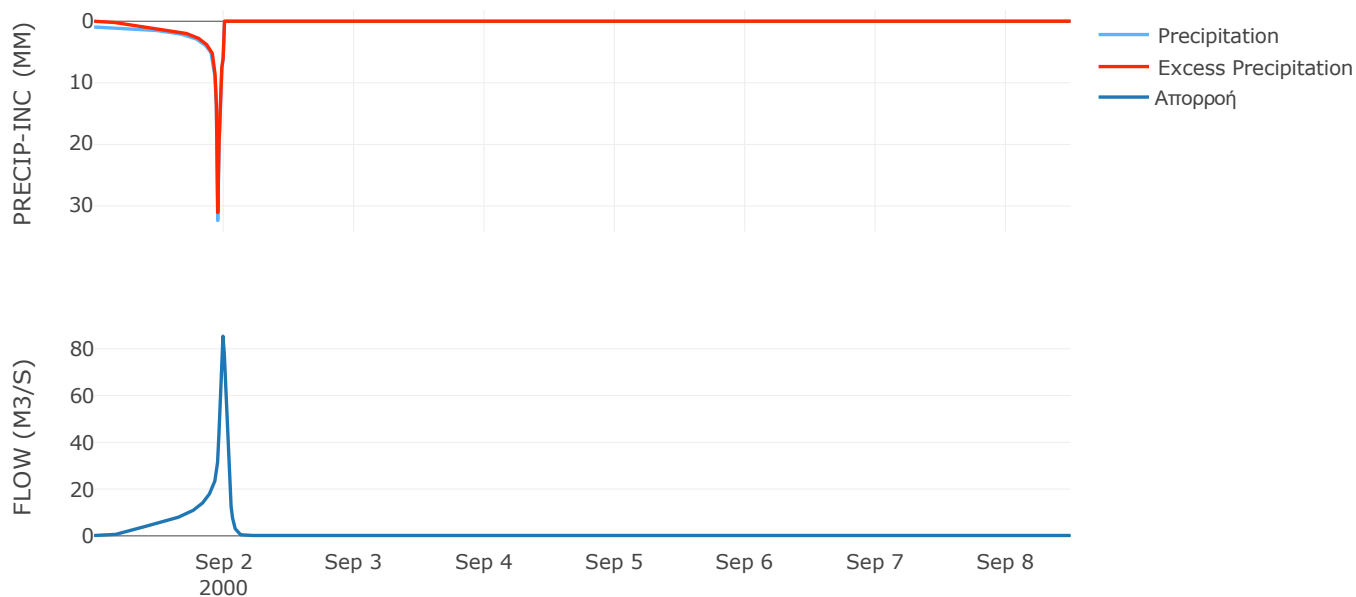
Μέθοδος
Μετασχηματισμού: SCS

Χρόνος Υστέρησης	43.26
------------------	-------

Αποτελέσματα:
EL0415FL007022

Παροχή αιχμής (M3/S)	85.4
Χρονική στιγμή αιχμής	01Sep2000, 23:45
Όγκος (MM)	240.69
Όγκος βροχόπτωσης (M3)	1.27E6
Όγκος απωλειών (M3)	2.43E5
Ενεργός Όγκος (M3)	1.03E6
Όγκος άμεσης απορροής (M3)	1.03E6
Όγκος βασικής απορροής (M3)	1.07E5

Βροχόπτωση και Απορροή



Υπολεκάνη: EL0415FL007023

Έκταση (KM2) : 1.36

Κατάντη : J3

Μέθοδος Απωλειών: SCS

Ποσοστό αδιαπέρατης επιφάνειας	0
Αριθμός Καμπύλης Απορροής-CN	90.06
Αρχικές Απώλειες	5.61

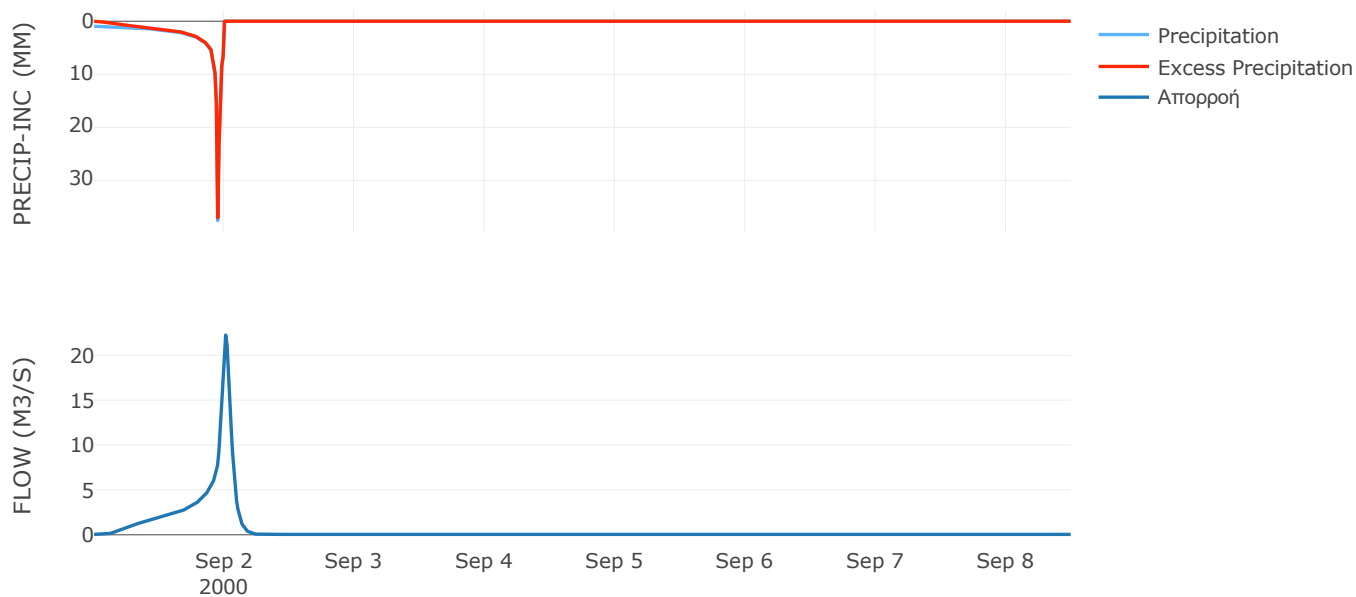
Μέθοδος
Μετασχηματισμού: SCS

Χρόνος Υστέρησης	75.12
------------------	-------

Αποτελέσματα:
EL0415FL007023

Παροχή αιχμής (M3/S)	22.25
Χρονική στιγμή αιχμής	02Sep2000, 00:15
Όγκος (MM)	280.15
Όγκος βροχόπτωσης (M3)	3.94E5
Όγκος απωλειών (M3)	42435.47
Ενεργός Όγκος (M3)	3.51E5
Όγκος άμεσης απορροής (M3)	3.51E5
Όγκος βασικής απορροής (M3)	30935.52

Βροχόπτωση και Απορροή



Υπολεκάνη: EL0415FL007024

Έκταση (KM2) : 0.88

Κατάντη : J7

Μέθοδος Απωλειών: SCS

Ποσοστό αδιαπέρατης επιφάνειας	0
Αριθμός Καμπύλης Απορροής-CN	89.56
Αρχικές Απώλειες	5.92

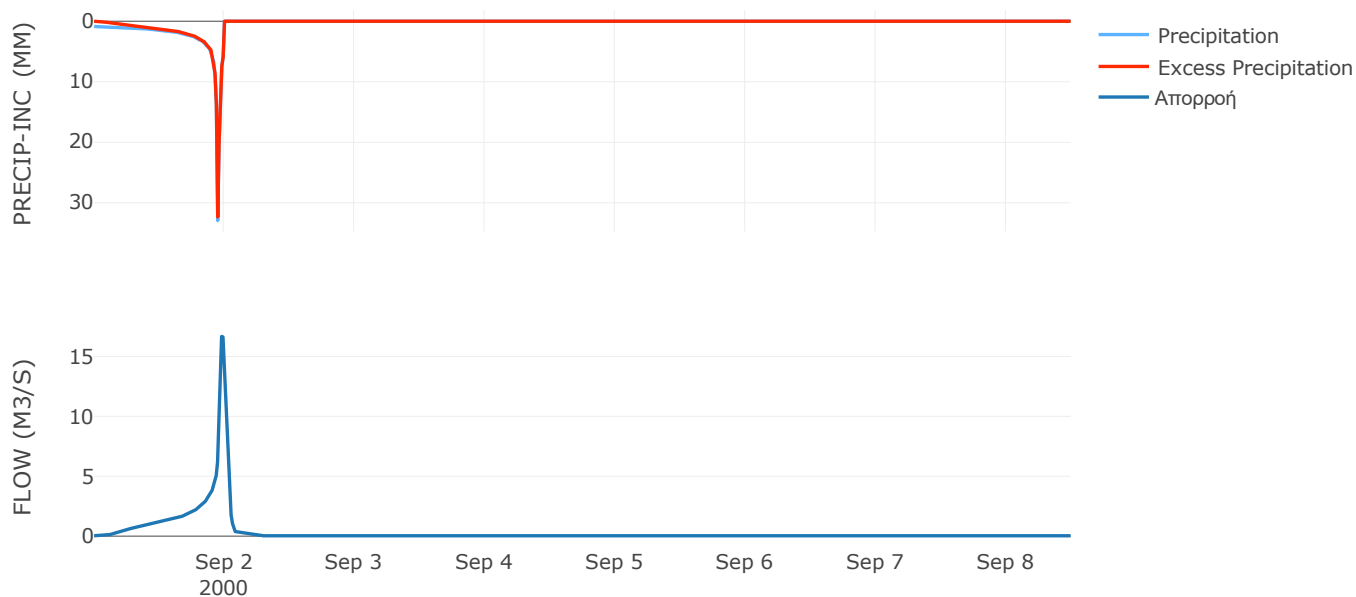
Μέθοδος
Μετασχηματισμού: SCS

Χρόνος Υστέρησης	38.76
------------------	-------

Αποτελέσματα:
EL0415FL007024

Παροχή αιχμής (M3/S)	16.67
Χρονική στιγμή αιχμής	01Sep2000, 23:30
Όγκος (MM)	249.47
Όγκος βροχόπτωσης (M3)	2.28E5
Όγκος απωλειών (M3)	28460.77
Ενεργός Όγκος (M3)	1.99E5
Όγκος άμεσης απορροής (M3)	1.99E5
Όγκος βασικής απορροής (M3)	19913.04

Βροχόπτωση και Απορροή



Υπολεκάνη: EL0415FL007025

Έκταση (KM2) : 3.8

Κατάντη : J5

Μέθοδος Απωλειών: SCS

Ποσοστό αδιαπέρατης επιφάνειας	0
Αριθμός Καμπύλης Απορροής-CN	80.99
Αρχικές Απώλειες	11.93

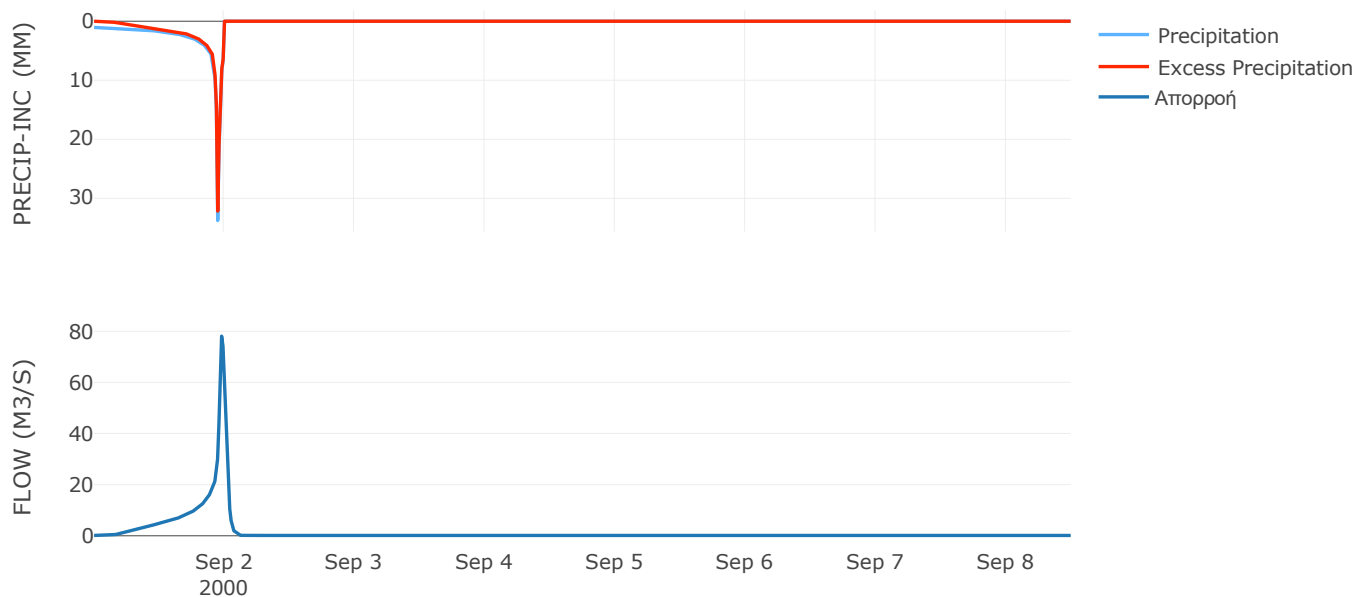
Μέθοδος
Μετασχηματισμού: SCS

Χρόνος Υστέρησης	34.86
------------------	-------

Αποτελέσματα:
EL0415FL007025

Παροχή αιχμής (M3/S)	78.08
Χρονική στιγμή αιχμής	01Sep2000, 23:30
Όγκος (MM)	253.81
Όγκος βροχόπτωσης (M3)	1.11E6
Όγκος απωλειών (M3)	2.32E5
Ενεργός Όγκος (M3)	8.78E5
Όγκος άμεσης απορροής (M3)	8.78E5
Όγκος βασικής απορροής (M3)	86164.56

Βροχόπτωση και Απορροή



Υπολεκάνη: EL0415FL007026

Έκταση (KM2) : 1.93

Κατάντη : J12

Μέθοδος Απωλειών: SCS

Ποσοστό αδιαπέρατης επιφάνειας	0
Αριθμός Καμπύλης Απορροής-CN	63.15
Αρχικές Απώλειες	29.64

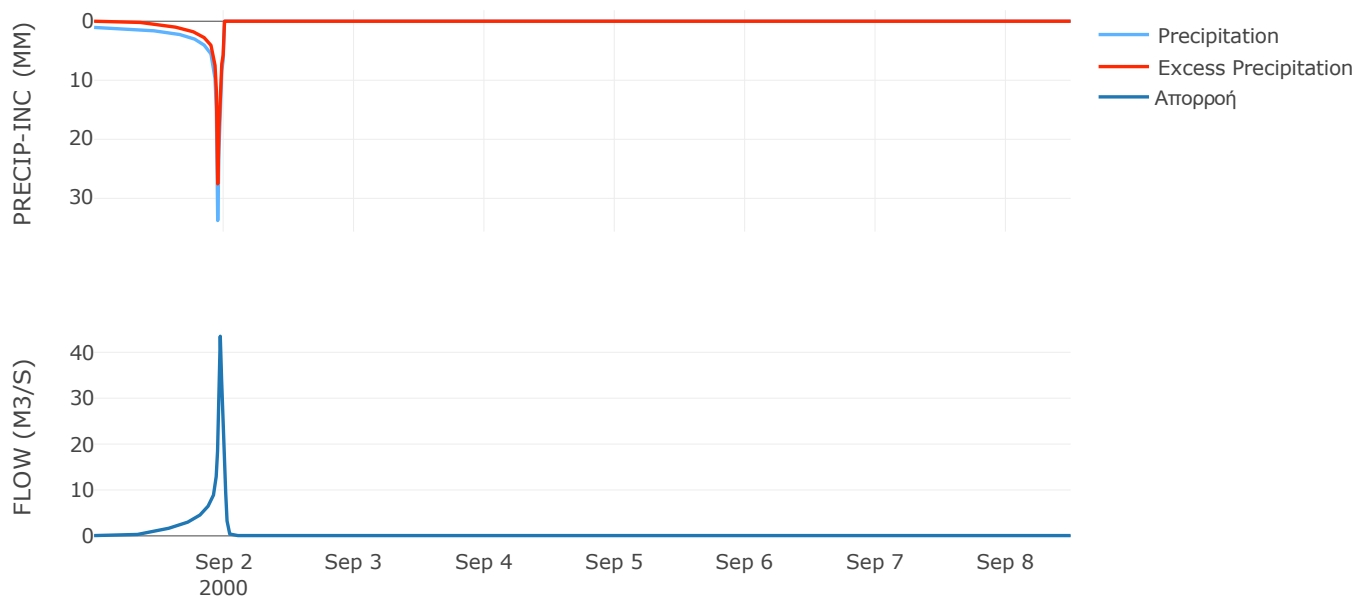
Μέθοδος
Μετασχηματισμού: SCS

Χρόνος Υστέρησης	15.25
------------------	-------

Αποτελέσματα:
EL0415FL007026

Παροχή αιχμής (M3/S)	43.49
Χρονική στιγμή αιχμής	01Sep2000, 23:15
Όγκος (MM)	190.53
Όγκος βροχόπτωσης (M3)	5.63E5
Όγκος απωλειών (M3)	2.4E5
Ενεργός Όγκος (M3)	3.24E5
Όγκος άμεσης απορροής (M3)	3.24E5
Όγκος βασικής απορροής (M3)	43727.04

Βροχόπτωση και Απορροή



Υπολεκάνη: EL0415FL007027

Έκταση (KM2) : 5.66

Κατάντη : J4

Μέθοδος Απωλειών: SCS

Ποσοστό αδιαπέρατης επιφάνειας	0
Αριθμός Καμπύλης Απορροής-CN	87.7
Αρχικές Απώλειες	7.12

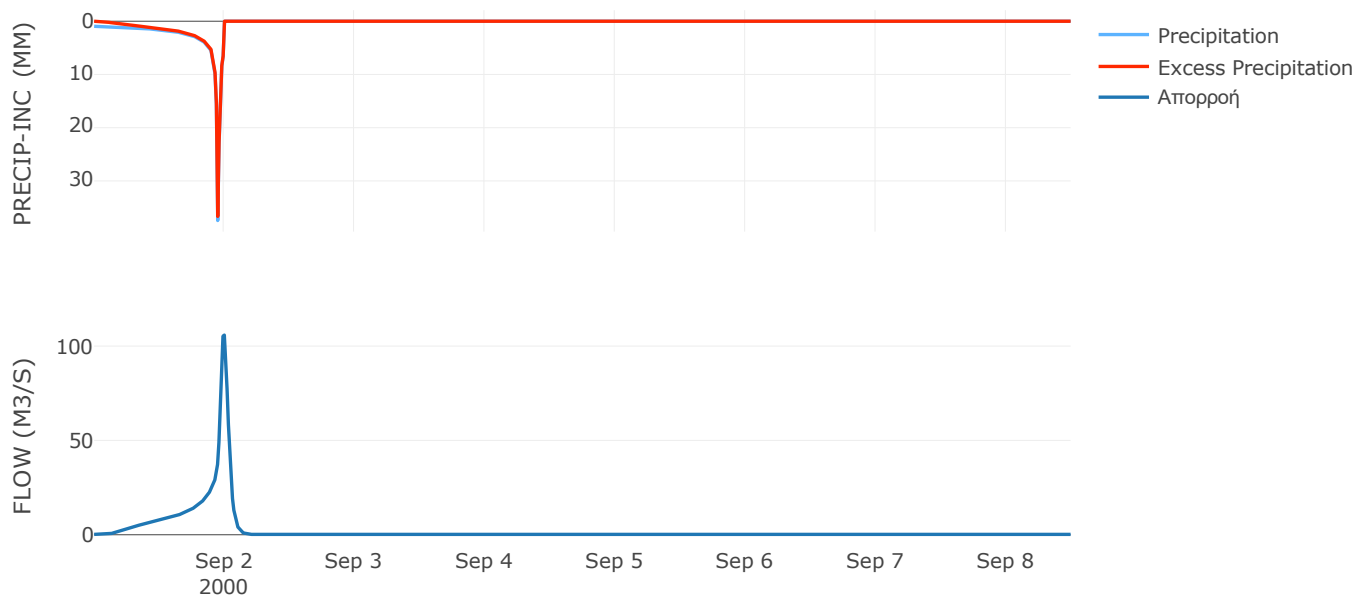
Μέθοδος
Μετασχηματισμού: SCS

Χρόνος Υστέρησης	54.24
------------------	-------

Αποτελέσματα:
EL0415FL007027

Παροχή αιχμής (M3/S)	105.84
Χρονική στιγμή αιχμής	01Sep2000, 24:00
Όγκος (MM)	272.72
Όγκος βροχόπτωσης (M3)	1.63E6
Όγκος απωλειών (M3)	2.19E5
Ενεργός Όγκος (M3)	1.42E6
Όγκος άμεσης απορροής (M3)	1.42E6
Όγκος βασικής απορροής (M3)	1.28E5

Βροχόπτωση και Απορροή



Υπολεκάνη: EL0415FL007028

Έκταση (KM2) : 1.73

Κατάντη : J14

Μέθοδος Απωλειών: SCS

Ποσοστό αδιαπέρατης επιφάνειας	0
Αριθμός Καμπύλης Απορροής-CN	89.23
Αρχικές Απώλειες	6.13

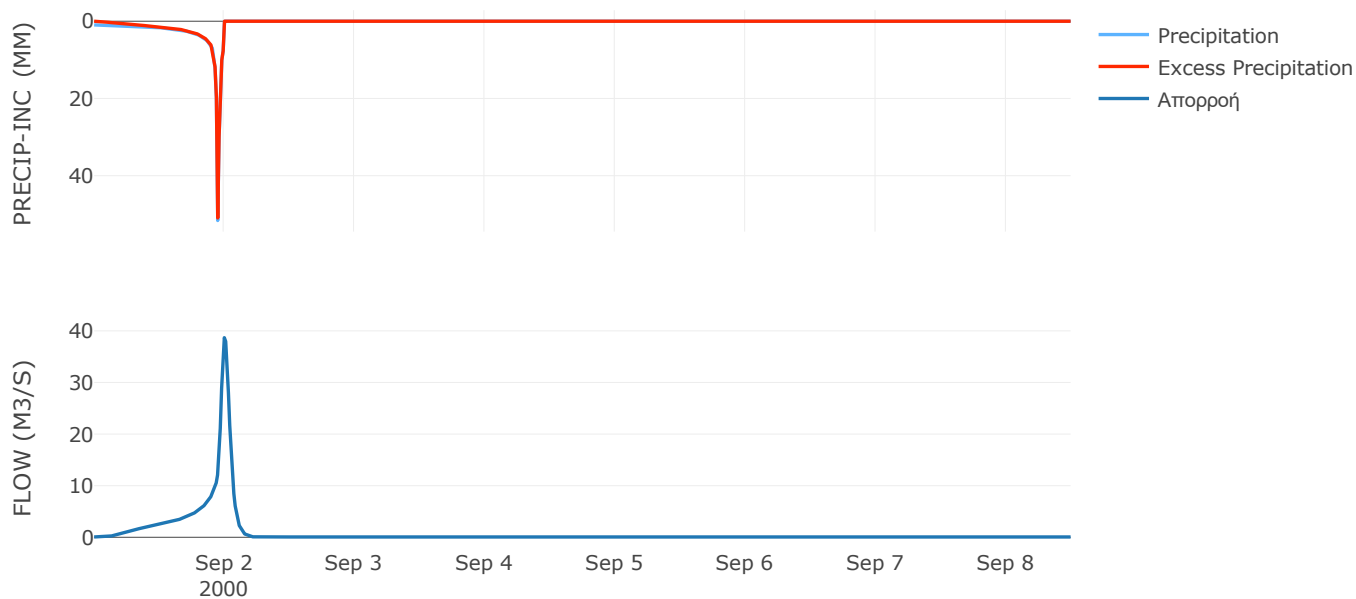
Μέθοδος
Μετασχηματισμού: SCS

Χρόνος Υστέρησης	66.38
------------------	-------

Αποτελέσματα:
EL0415FL007028

Παροχή αιχμής (M3/S)	38.68
Χρονική στιγμή αιχμής	01Sep2000, 24:00
Όγκος (MM)	323.81
Όγκος βροχόπτωσης (M3)	5.8E5
Όγκος απωλειών (M3)	59131.8
Ενεργός Όγκος (M3)	5.21E5
Όγκος άμεσης απορροής (M3)	5.21E5
Όγκος βασικής απορροής (M3)	39236.4

Βροχόπτωση και Απορροή



10.2 Δεδομένα και υδρογραφήματα σχεδιασμού Κλάδων υδρογραφικού δικτύου

Κλάδος: R21

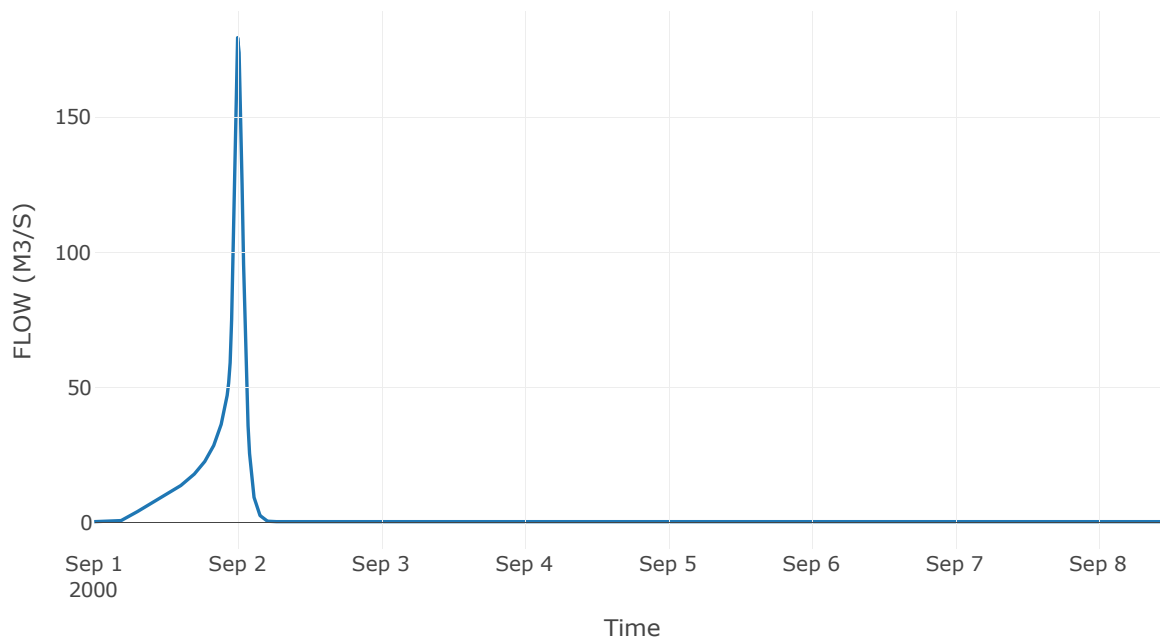
Κατάντη : J1

Μέθοδος Διόδευσης	Χρόνος
Αρχική Μεταβλητή	Combined Inflow
Χρόνος Υστέρησης	0

Αποτελέσματα: R21

Παροχή Αιχμής(M3/S)	179.41
Χρονική στιγμή αιχμής	01Sep2000, 24:00
Όγκος(MM)	244.19
Παροχή Αιχμής Εισόδου (M3/S)	179.41
Όγκος Εισροής(M3)	2.57E6

Απορροή



Κλάδος: R31

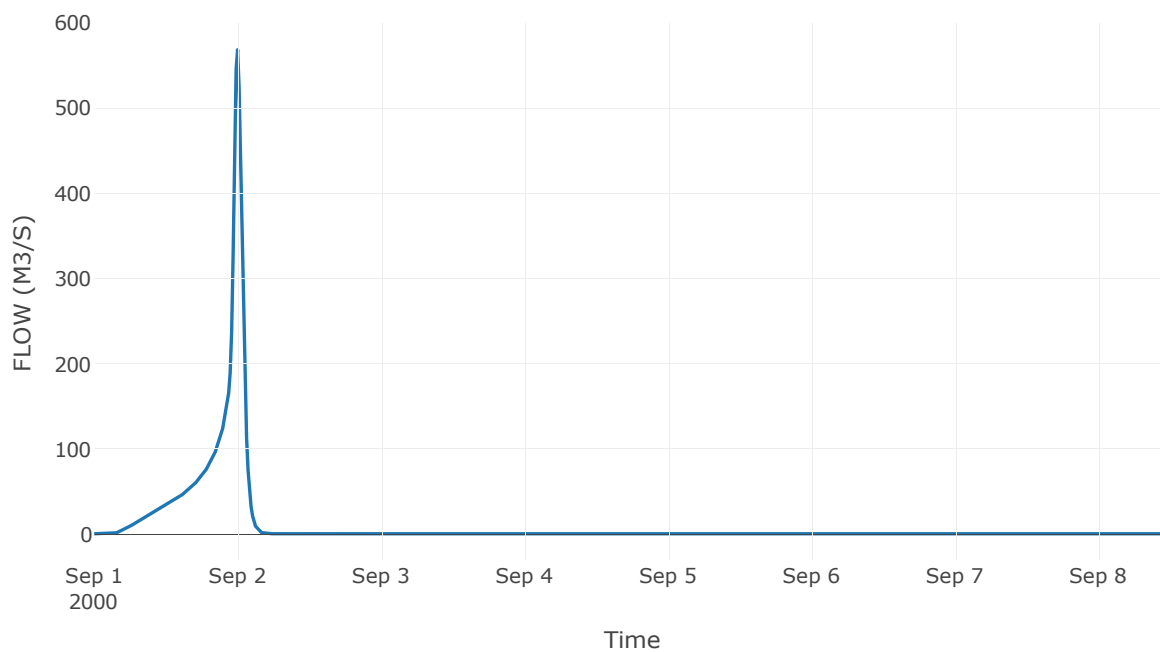
Κατάντη : J1

Μέθοδος Διόδευσης	Χρόνος
Αρχική Μεταβλητή	Combined Inflow
Χρόνος Υστέρησης	0

Αποτελέσματα: R31

Παροχή Αιχμής(M3/S)	568.51
Χρονική στιγμή αιχμής	01Sep2000, 24:00
Όγκος(MM)	235.96
Παροχή Αιχμής Εισόδου (M3/S)	568.51
Όγκος Εισροής(M3)	7.95E6

Απορροή



Κλάδος: R41

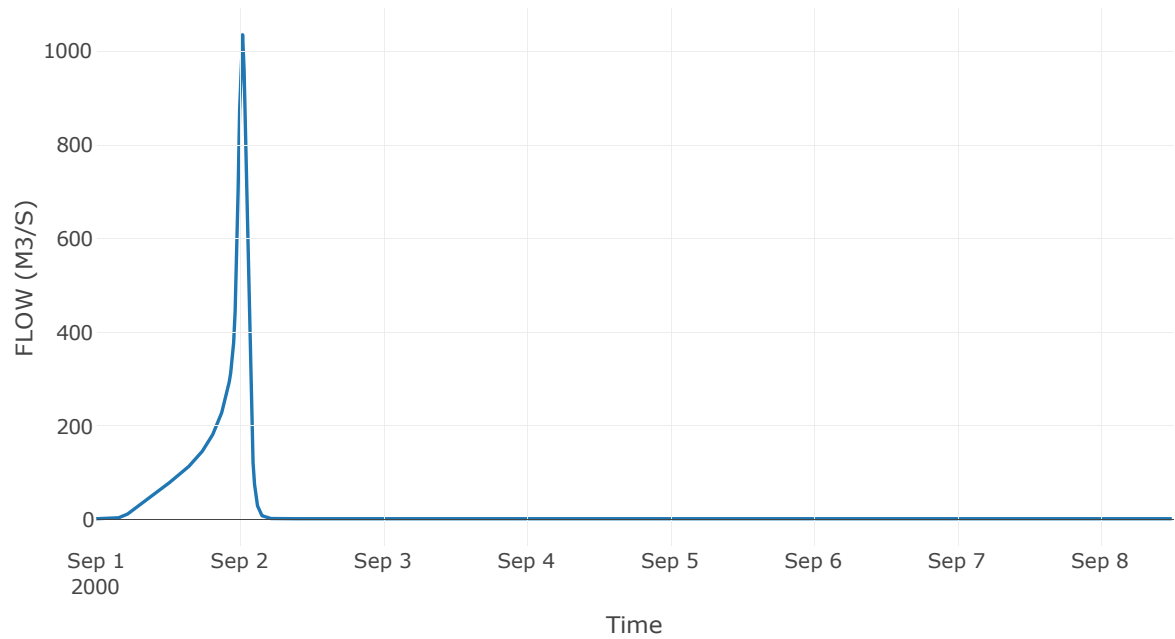
Κατάντη : J1

Μέθοδος Διόδευσης	Χρόνος
Αρχική Μεταβλητή	Combined Inflow
Χρόνος Υστέρησης	0

Αποτελέσματα: R41

Παροχή Αιχμής(M3/S)	1035.03
Χρονική στιγμή αιχμής	02Sep2000, 00:30
Όγκος(MM)	256.01
Παροχή Αιχμής Εισόδου (M3/S)	1035.03
Όγκος Εισροής(M3)	1.64E7

Απορροή



Κλάδος: R51

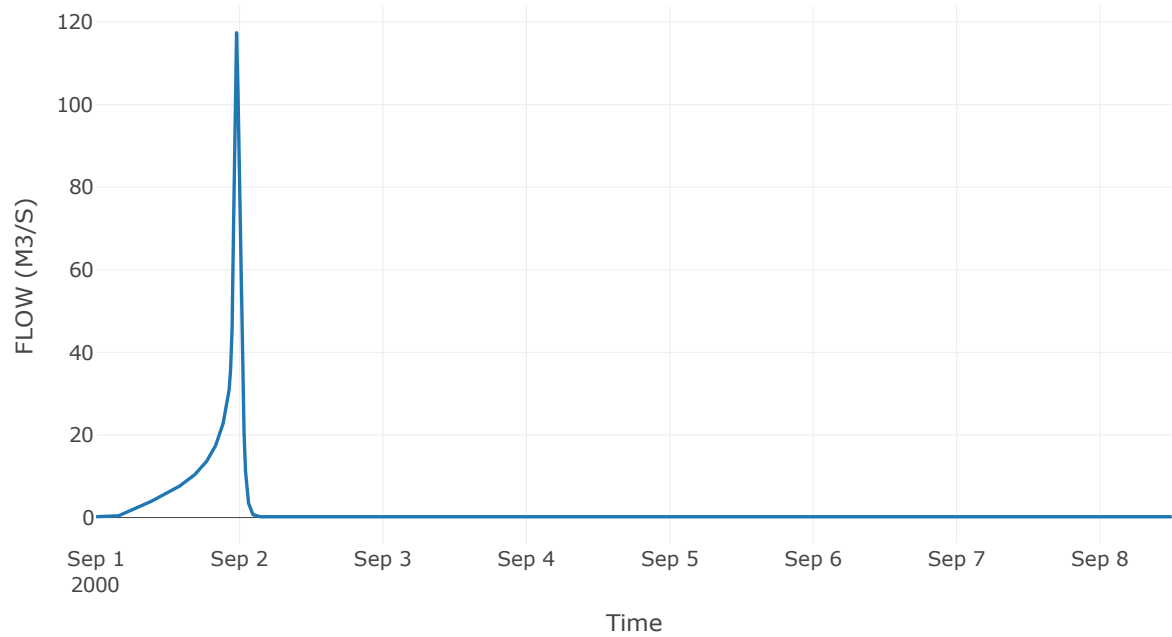
Κατάντη : J1

Μέθοδος Διόδευσης	Χρόνος
Αρχική Μεταβλητή	Combined Inflow
Χρόνος Υστέρησης	0

Αποτελέσματα: R51

Παροχή Αιχμής(M3/S)	117.4
Χρονική στιγμή αιχμής	01Sep2000, 23:30
Όγκος(MM)	232.51
Παροχή Αιχμής Εισόδου (M3/S)	117.4
Όγκος Εισροής(M3)	1.33E6

Απορροή



Κλάδος: R63

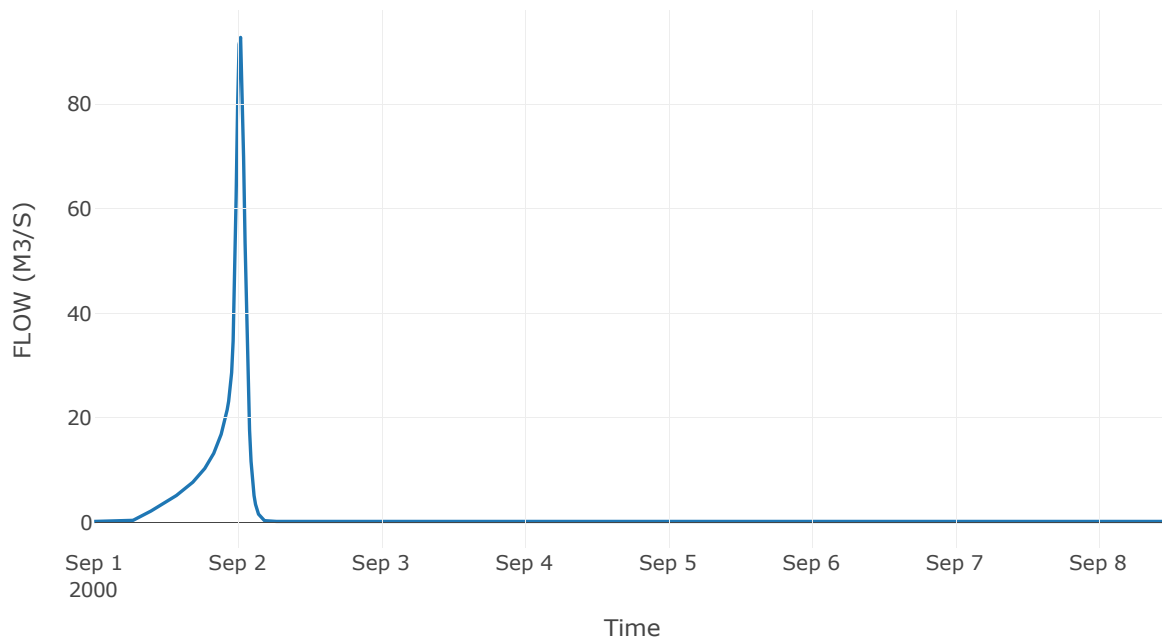
Κατάντη : J3

Μέθοδος Διόδευσης	Muskingum
Αρχική Μεταβλητή	Combined Inflow
Χρόνος Ροής K	0.54
Συντελεστής βάρους x	0.2
Πλήθος Υποκλάδων	3

Αποτελέσματα: R63

Παροχή Αιχμής(M3/S)	92.73
Χρονική στιγμή αιχμής	02Sep2000, 00:30
Όγκος(MM)	197.72
Παροχή Αιχμής Εισόδου (M3/S)	98.19
Όγκος Εισροής(M3)	1.26E6

Απορροή



Κλάδος: R73

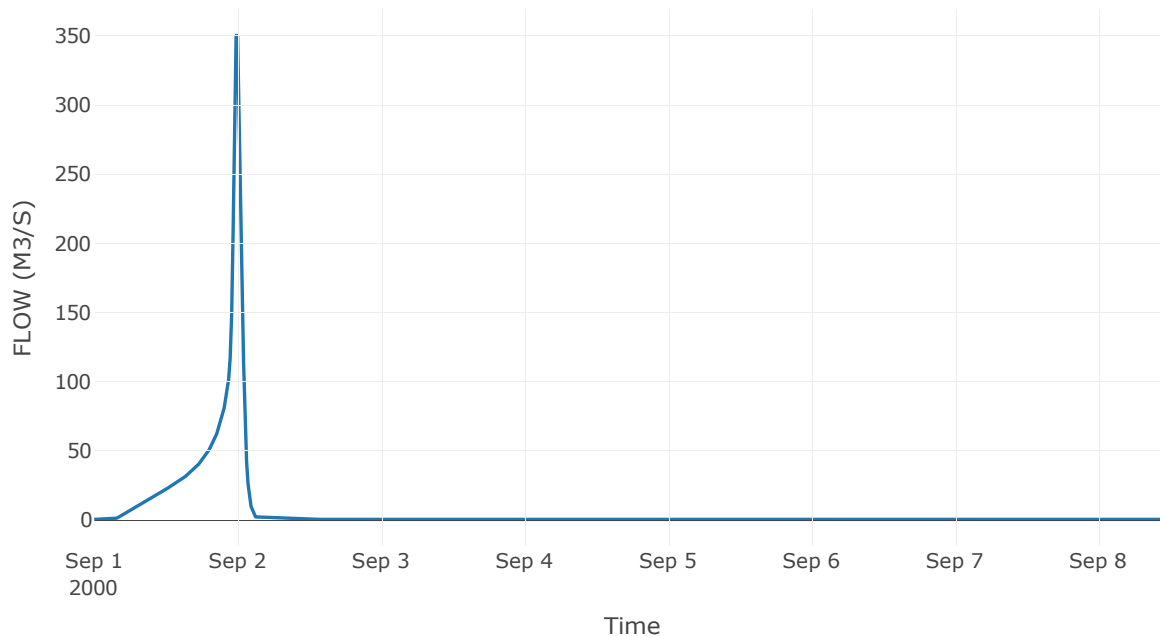
Κατάντη : J3

Μέθοδος Διόδευσης	Muskingum
Αρχική Μεταβλητή	Combined Inflow
Χρόνος Ροής K	0.09
Συντελεστής βάρους x	0.2
Πλήθος Υποκλάδων	3

Αποτελέσματα: R73

Παροχή Αιχμής(M3/S)	350.37
Χρονική στιγμή αιχμής	01Sep2000, 23:45
Όγκος(MM)	252.66
Παροχή Αιχμής Εισόδου (M3/S)	357.41
Όγκος Εισροής(M3)	4.71E6

Απορροή



Κλάδος: R87

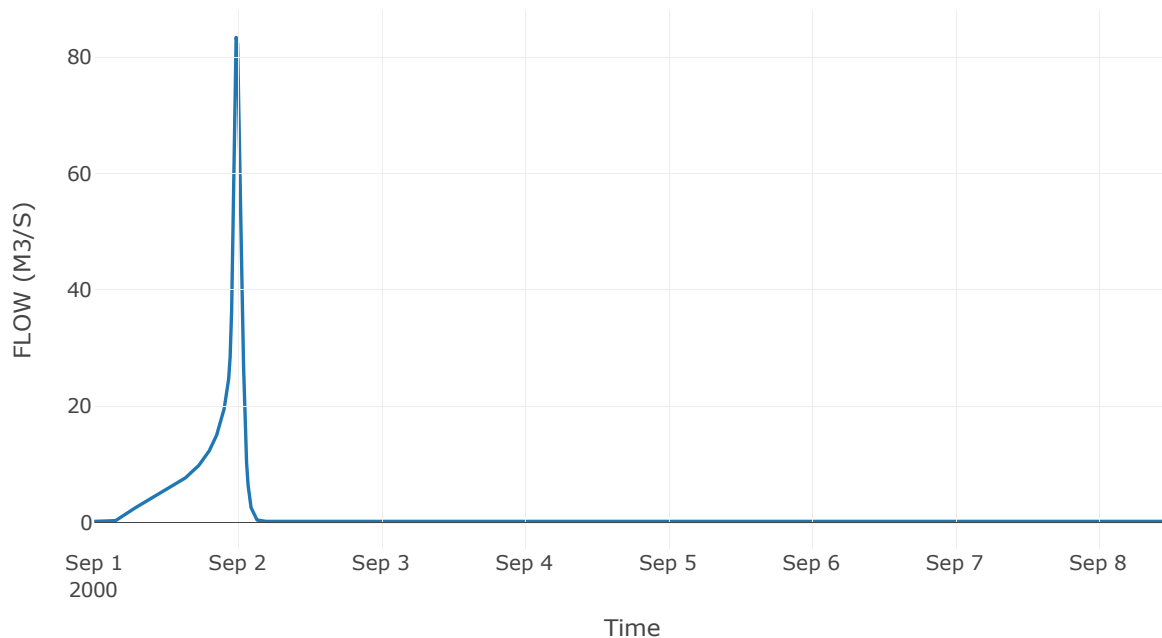
Κατάντη : J7

Μέθοδος Διόδευσης	Muskingum
Αρχική Μεταβλητή	Combined Inflow
Χρόνος Ροής K	0.14
Συντελεστής βάρους x	0.2
Πλήθος Υποκλάδων	1

Αποτελέσματα: R87

Παροχή Αιχμής(M3/S)	83.4
Χρονική στιγμή αιχμής	01Sep2000, 23:45
Όγκος(MM)	240.69
Παροχή Αιχμής Εισόδου (M3/S)	85.4
Όγκος Εισροής(M3)	1.14E6

Απορροή



Κλάδος: R97

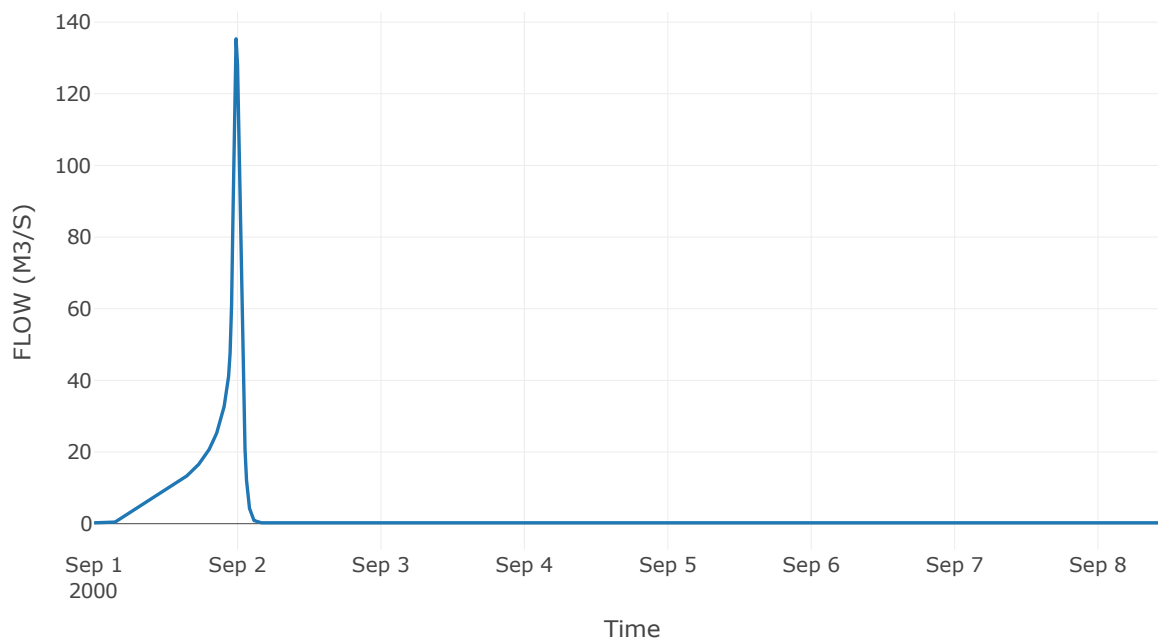
Κατάντη : J7

Μέθοδος Διόδευσης	Χρόνος
Αρχική Μεταβλητή	Combined Inflow
Χρόνος Υστέρησης	10.44

Αποτελέσματα: R97

Παροχή Αιχμής(M3/S)	135.35
Χρονική στιγμή αιχμής	01Sep2000, 23:45
Όγκος(MM)	261.65
Παροχή Αιχμής Εισόδου (M3/S)	135.7
Όγκος Εισροής(M3)	1.82E6

Απορροή



Κλάδος: R104

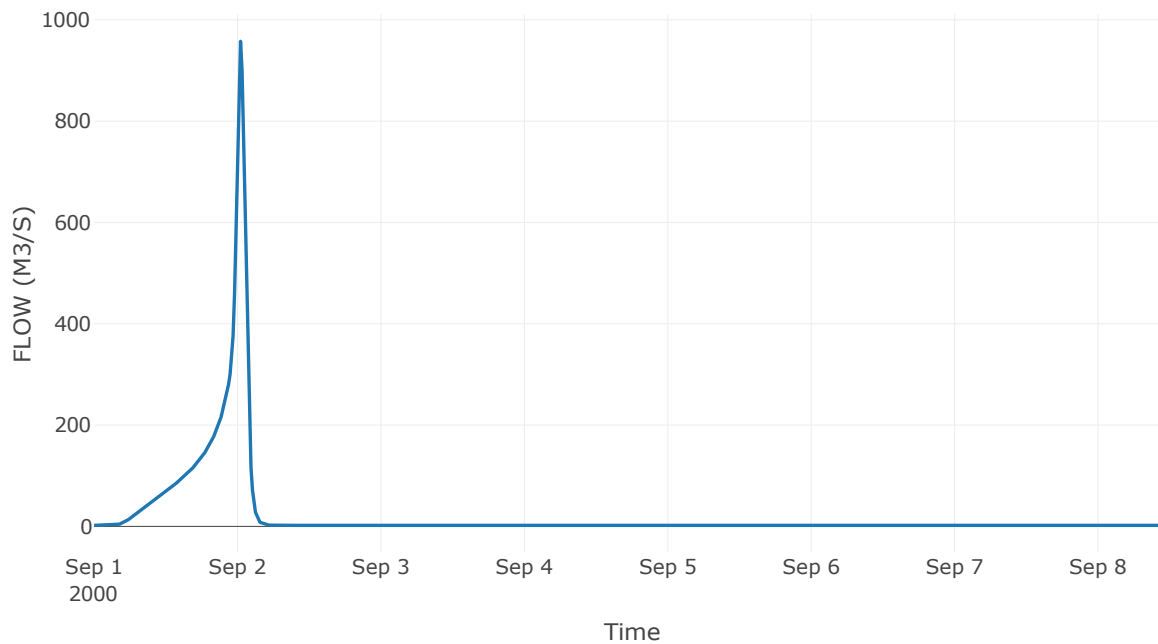
Κατάντη : J4

Μέθοδος Διόδευσης	Muskingum
Αρχική Μεταβλητή	Combined Inflow
Χρόνος Ροής K	0.56
Συντελεστής βάρους x	0.2
Πλήθος Υποκλάδων	3

Αποτελέσματα: R104

Παροχή Αιχμής(M3/S)	957.61
Χρονική στιγμή αιχμής	02Sep2000, 00:30
Όγκος(MM)	254.39
Παροχή Αιχμής Εισόδου (M3/S)	1010.45
Όγκος Εισροής(M3)	1.49E7

Απορροή



Κλάδος: R1110

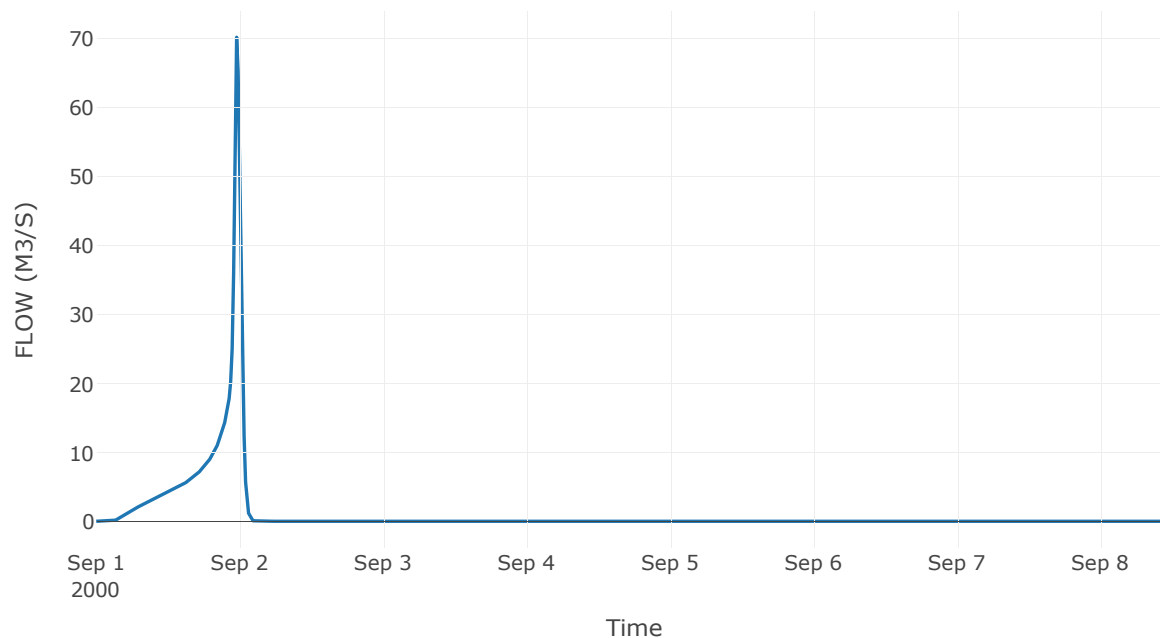
Κατάντη : J10

Μέθοδος Διόδευσης	Muskingum
Αρχική Μεταβλητή	Combined Inflow
Χρόνος Ροής K	0.16
Συντελεστής βάρους x	0.2
Πλήθος Υποκλάδων	1

Αποτελέσματα: R1110

Παροχή Αιχμής(M3/S)	70.2
Χρονική στιγμή αιχμής	01Sep2000, 23:30
Όγκος(MM)	261.32
Παροχή Αιχμής Εισόδου (M3/S)	70.83
Όγκος Εισροής(M3)	8.12E5

Απορροή



Κλάδος: R125

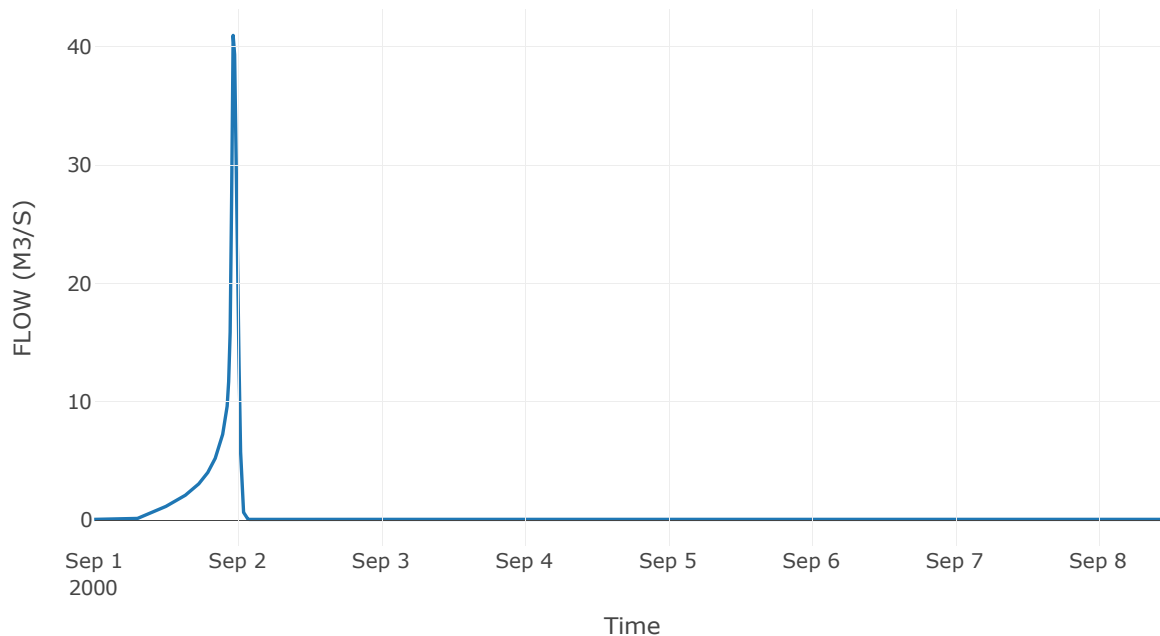
Κατάντη : J5

Μέθοδος Διόδευσης	Muskingum
Αρχική Μεταβλητή	Combined Inflow
Χρόνος Ροής K	0.11
Συντελεστής βάρους x	0.2
Πλήθος Υποκλάδων	1

Αποτελέσματα: R125

Παροχή Αιχμής(M3/S)	40.95
Χρονική στιγμή αιχμής	01Sep2000, 23:15
Όγκος(MM)	190.53
Παροχή Αιχμής Εισόδου (M3/S)	43.49
Όγκος Εισροής(M3)	3.67E5

Απορροή



Κλάδος: R1413

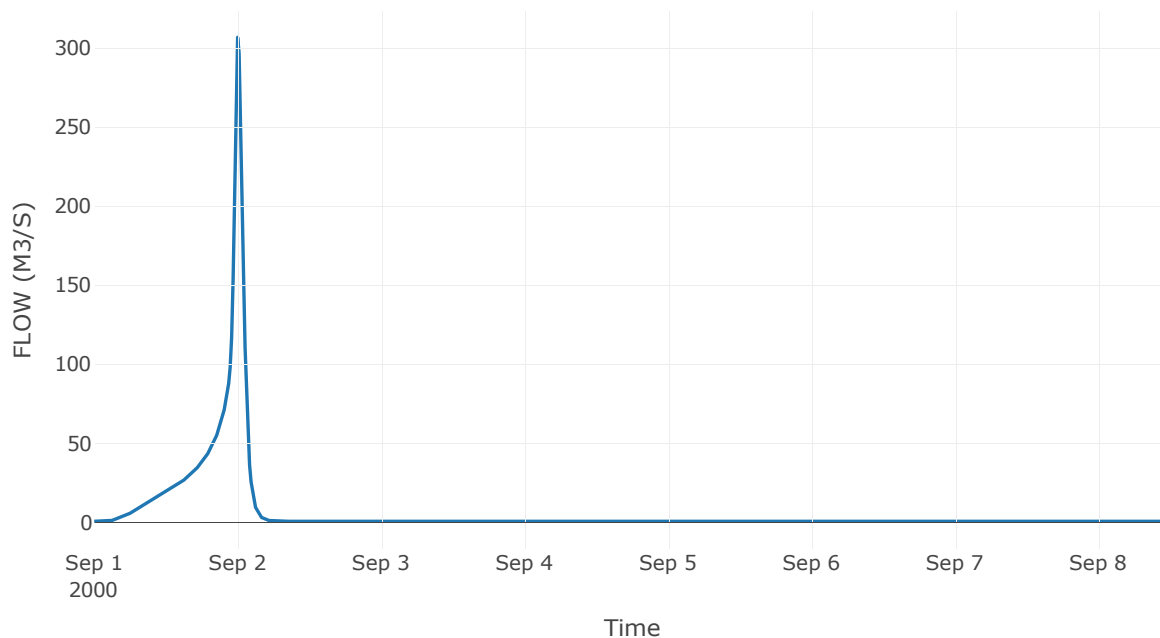
Κατάντη : J13

Μέθοδος Διόδευσης	Muskingum
Αρχική Μεταβλητή	Combined Inflow
Χρόνος Ροής K	0.06
Συντελεστής βάρους x	0.2
Πλήθος Υποκλάδων	3

Αποτελέσματα: R1413

Παροχή Αιχμής(M3/S)	306.5
Χρονική στιγμή αιχμής	01Sep2000, 24:00
Όγκος(MM)	265.34
Παροχή Αιχμής Εισόδου (M3/S)	307.53
Όγκος Εισροής(M3)	4.35E6

Απορροή



Κλάδος: R1514

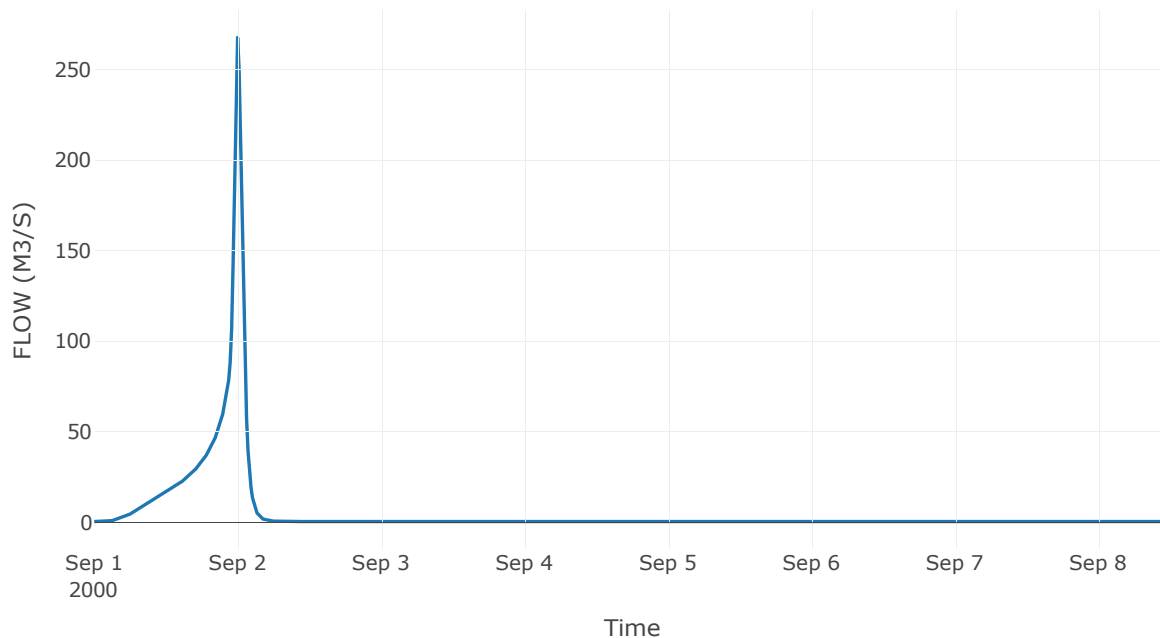
Κατάντη : J14

Μέθοδος Διόδευσης	Muskingum
Αρχική Μεταβλητή	Combined Inflow
Χρόνος Ροής K	0.11
Συντελεστής βάρους x	0.2
Πλήθος Υποκλάδων	1

Αποτελέσματα: R1514

Παροχή Αιχμής(M3/S)	267.69
Χρονική στιγμή αιχμής	01Sep2000, 24:00
Όγκος(MM)	258.13
Παροχή Αιχμής Εισόδου (M3/S)	265.37
Όγκος Εισροής(M3)	3.77E6

Απορροή



Κλάδος: R1615

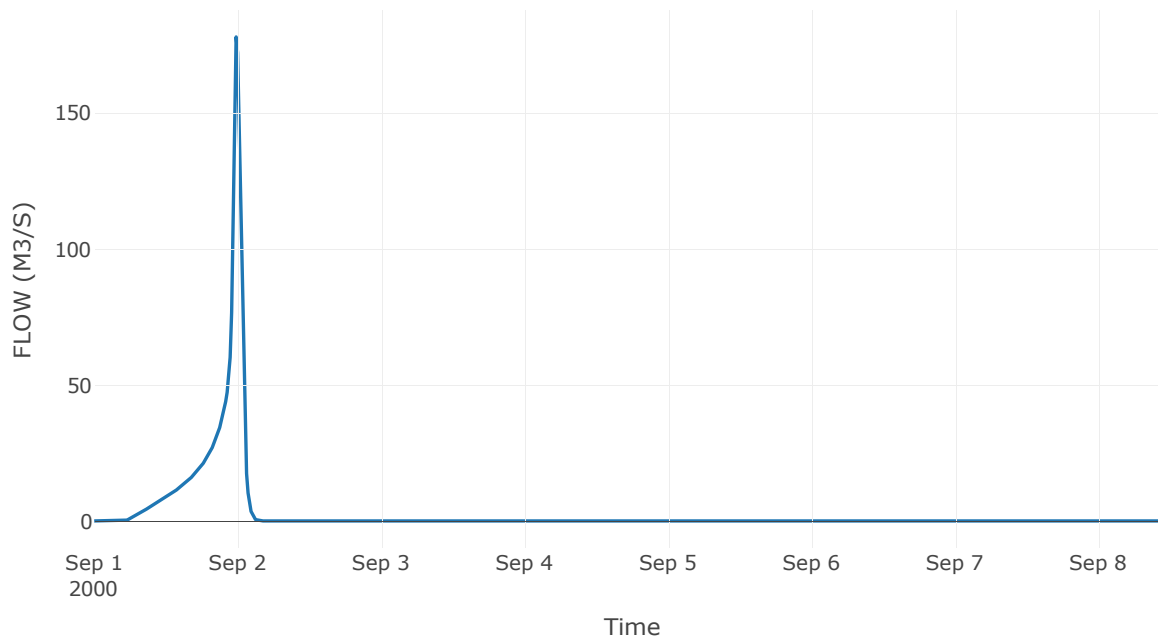
Κατάντη : J15

Μέθοδος Διόδευσης	Χρόνος
Αρχική Μεταβλητή	Combined Inflow
Χρόνος Υστέρησης	11.18

Αποτελέσματα: R1615

Παροχή Αιχμής(M3/S)	178.1
Χρονική στιγμή αιχμής	01Sep2000, 23:45
Όγκος(MM)	229.15
Παροχή Αιχμής Εισόδου (M3/S)	178.81
Όγκος Εισροής(M3)	2.24E6

Απορροή



Κλάδος: R1720

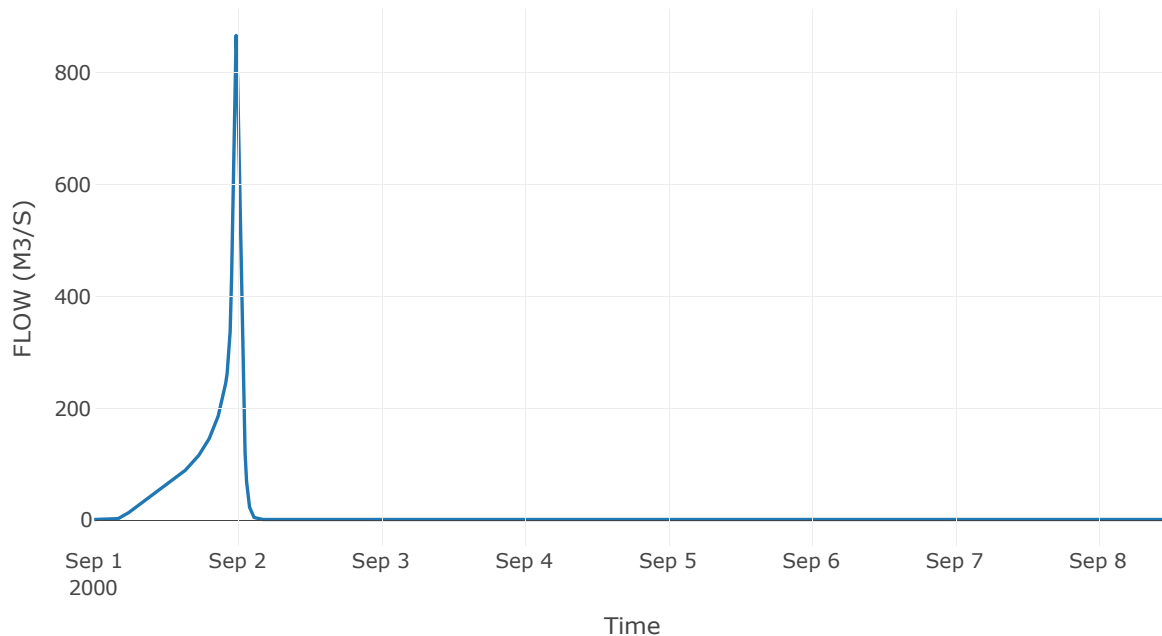
Κατάντη : J20

Μέθοδος Διόδευσης	Muskingum
Αρχική Μεταβλητή	Combined Inflow
Χρόνος Ροής Κ	0.1
Συντελεστής βάρους x	0.2
Πλήθος Υποκλάδων	1

Αποτελέσματα: R1 720

Παροχή Αιχμής(M3/S)	866.13
Χρονική στιγμή αιχμής	01Sep2000, 23:45
Όγκος(MM)	249.58
Παροχή Αιχμής Εισόδου (M3/S)	859.52
Όγκος Εισροής(M3)	1.21E7

Απορροή



Κλάδος: R1817

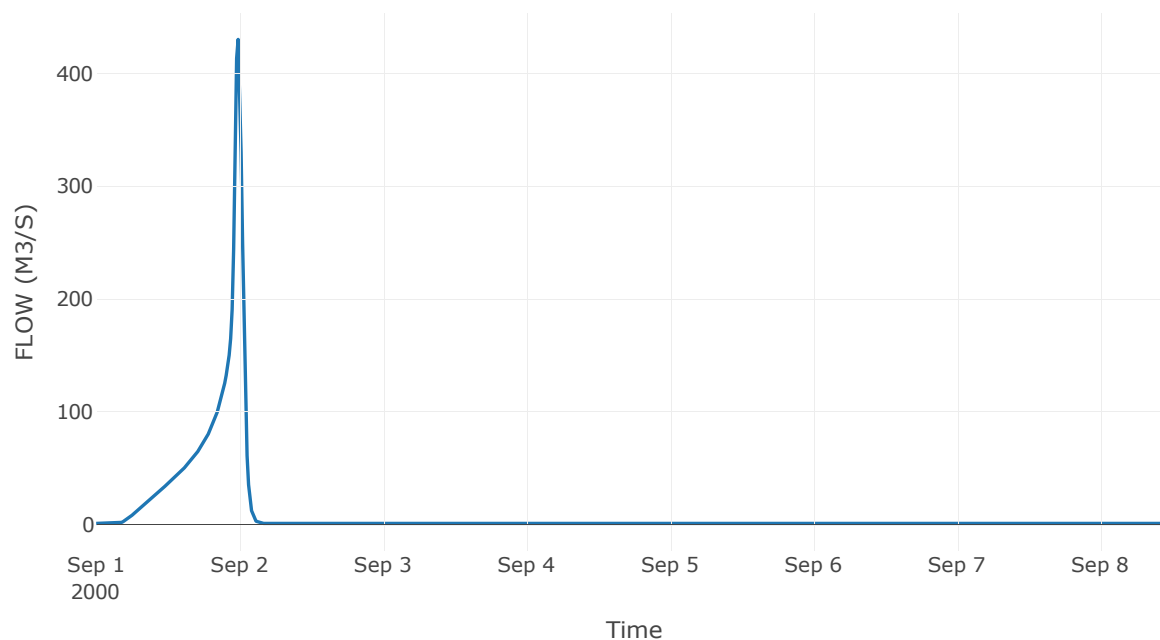
Κατάντη : J17

Μέθοδος Διόδευσης	Muskingum
Αρχική Μεταβλητή	Combined Inflow
Χρόνος Ροής Κ	0.17
Συντελεστής βάρους α	0.2
Πλήθος Υποκλάδων	1

Αποτελέσματα: R1817

Παροχή Αιχμής(M3/S)	429.91
Χρονική στιγμή αιχμής	01Sep2000, 23:45
Όγκος(MM)	232.57
Παροχή Αιχμής Εισόδου (M3/S)	440.92
Όγκος Εισροής(M3)	6.7E6

Απορροή



Κλάδος: R1918

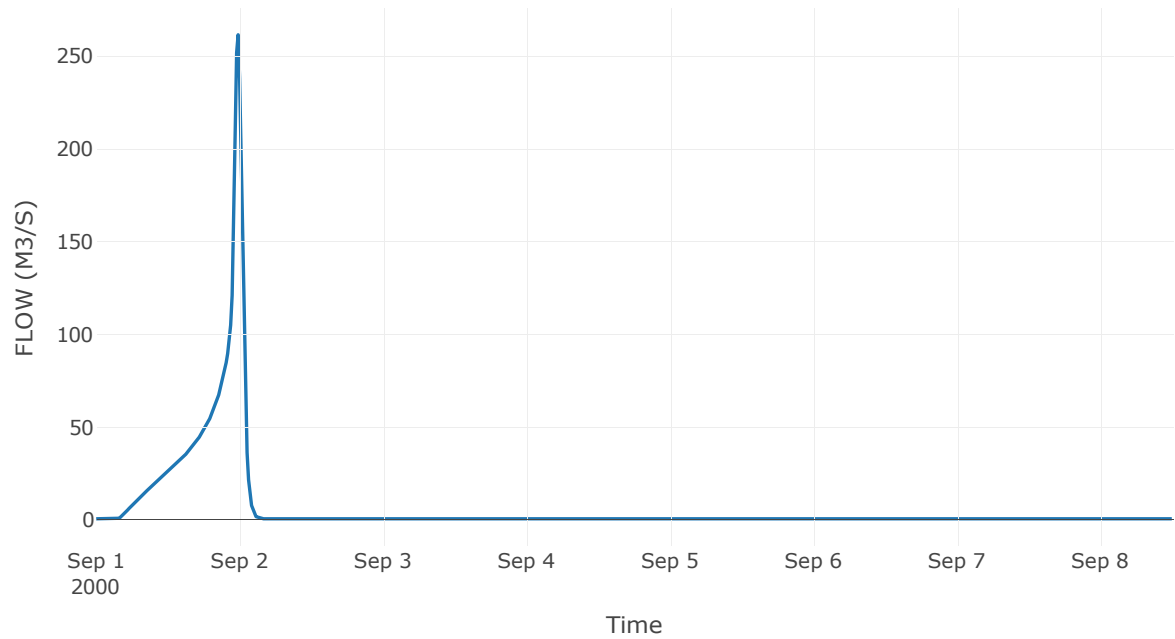
Κατάντη : J18

Μέθοδος Διόδευσης	Χρόνος
Αρχική Μεταβλητή	Combined Inflow
Χρόνος Υστέρησης	3.91

Αποτελέσματα: R1918

Παροχή Αιχμής(M3/S)	261.61
Χρονική στιγμή αιχμής	01Sep2000, 23:45
Όγκος(MM)	248.55
Παροχή Αιχμής Εισόδου (M3/S)	261.95
Όγκος Εισροής(M3)	4.33E6

Απορροή



Κλάδος: R2010

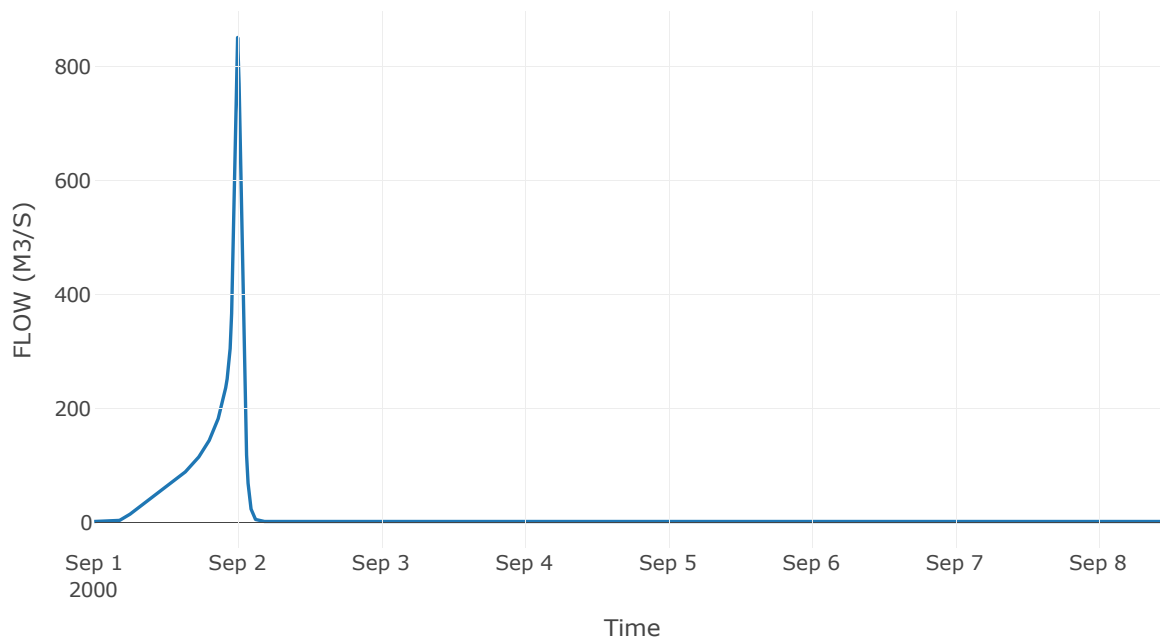
Κατάντη : J10

Μέθοδος Διόδευσης	Muskingum
Αρχική Μεταβλητή	Combined Inflow
Χρόνος Ροής K	0.21
Συντελεστής βάρους x	0.2
Πλήθος Υποκλάδων	1

Αποτελέσματα: R2010

Παροχή Αιχμής(M3/S)	850.92
Χρονική στιγμή αιχμής	01Sep2000, 24:00
Όγκος(MM)	250.52
Παροχή Αιχμής Εισόδου (M3/S)	882.85
Όγκος Εισροής(M3)	1.23E7

Απορροή



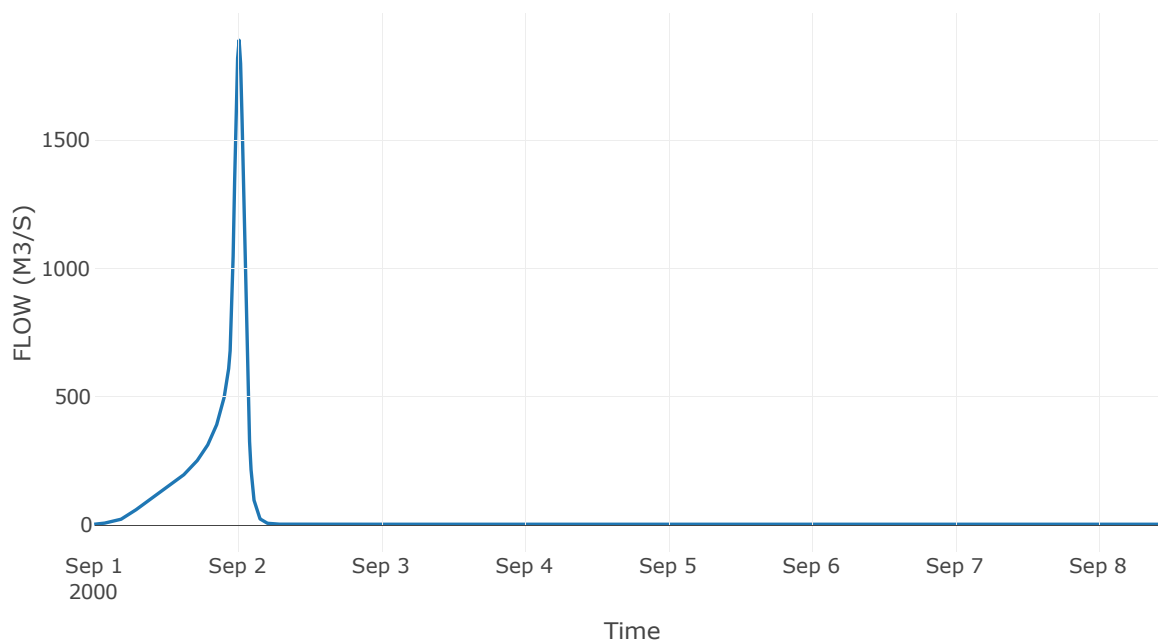
10.3 Δεδομένα και υδρογραφήματα σχεδιασμού Κόμβων υδρογραφικού δικτύου

Κόμβος εξόδου: J1

Αποτέλεσμα
τα: J1

Παροχή αιχμής (M3/S)	1889.15
Χρονική στιγμή αιχμής	02Sep2000, 00:15
Όγκος (MM)	252.29

Απορροή



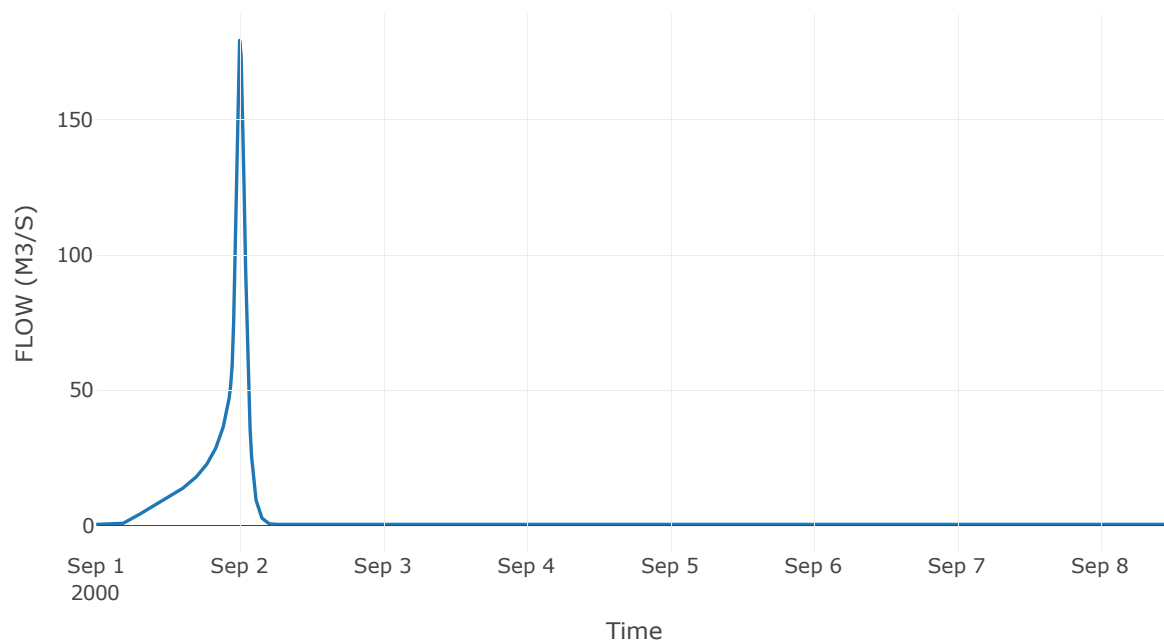
Κόμβος: J2

Κατάντη : R21

Αποτελέσματα: J2

Παροχή Αιχμής(M3/S)	179.41
Χρονική στιγμή αιχμής	01Sep2000, 24:00
Όγκος(MM)	244.19

Απορροή



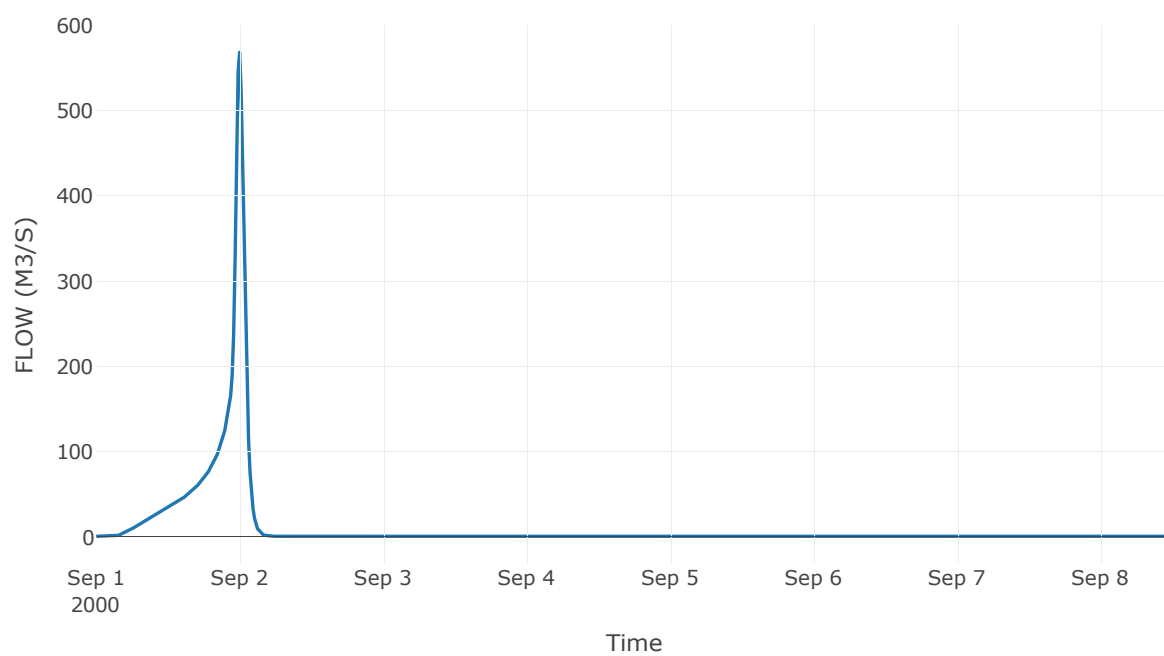
Κόμβος: J3

Κατάντη : R31

Αποτελέσματα: J3

Παροχή Αιχμής(M3/S)	568.51
Χρονική στιγμή αιχμής	01Sep2000, 24:00
Όγκος(MM)	235.96

Απορροή



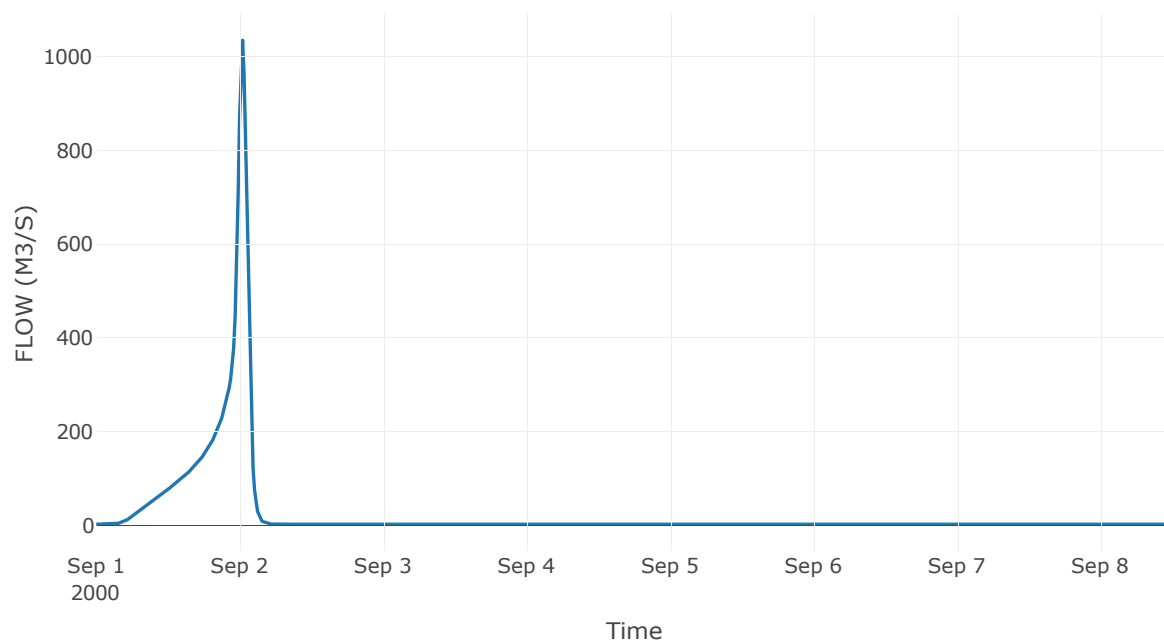
Κόμβος: J4

Κατάντη : R41

Αποτελέσματα: J4

Παροχή Αιχμής(M3/S)	1035.03
Χρονική στιγμή αιχμής	02Sep2000, 00:30
Όγκος(MM)	256.01

Απορροή



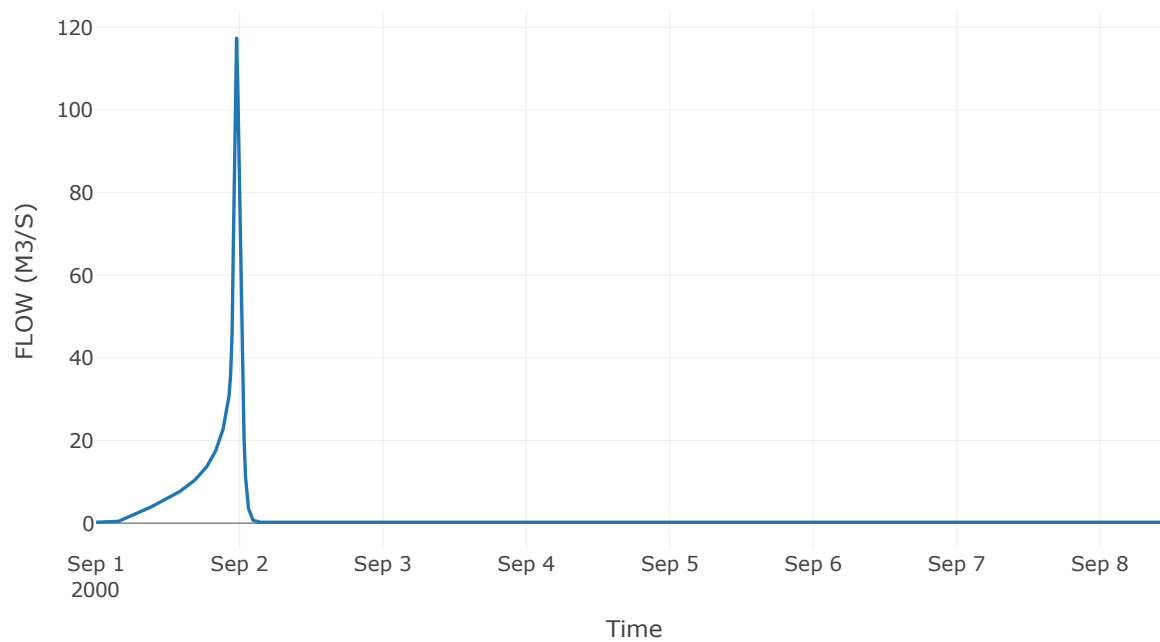
Κόμβος: J5

Κατάντη : R51

Αποτελέσματα: J5

Παροχή Αιχμής(M3/S)	117.4
Χρονική στιγμή αιχμής	01Sep2000, 23:30
Όγκος(MM)	232.51

Απορροή



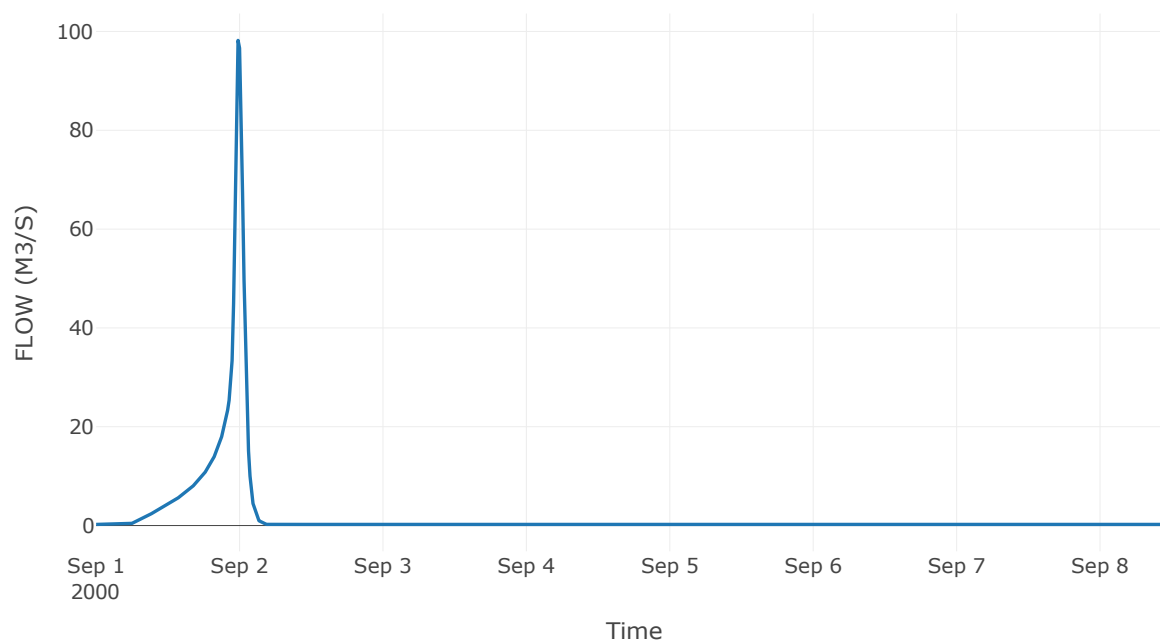
Κόμβος: J6

Κατάντη : R63

Αποτελέσματα: J6

Παροχή Αιχμής(M3/S)	98.19
Χρονική στιγμή αιχμής	01Sep2000, 23:45
Όγκος(MM)	197.72

Απορροή



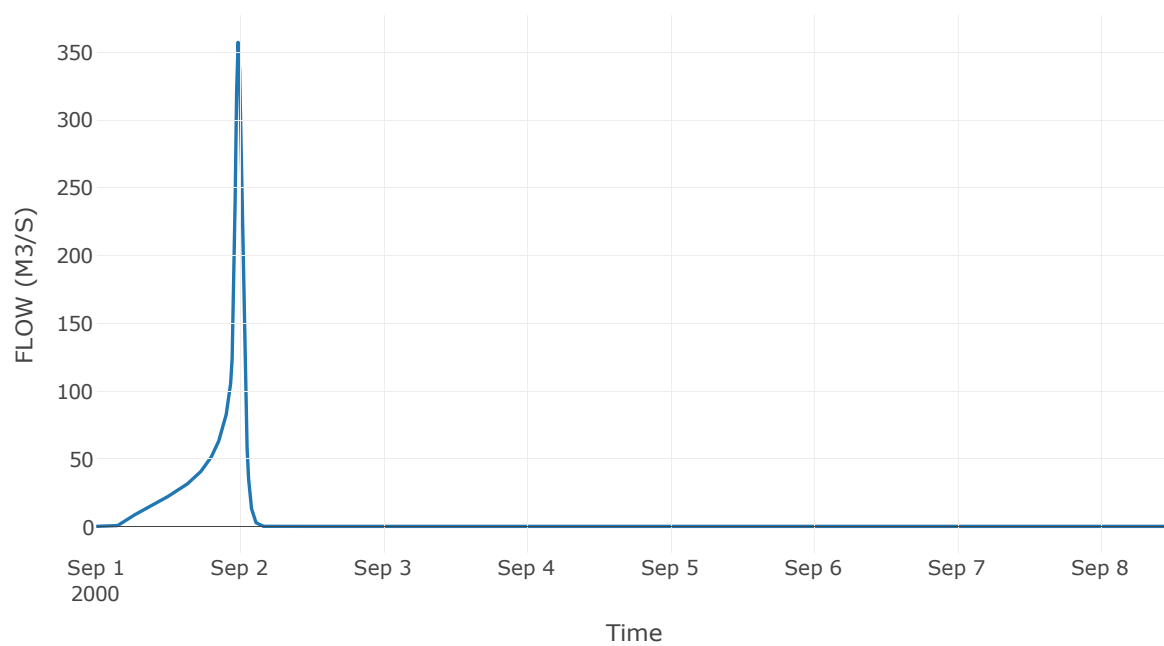
Κόμβος: J7

Κατάντη : R73

Αποτελέσματα: J7

Παροχή Αιχμής(M3/S)	357.41
Χρονική στιγμή αιχμής	01Sep2000, 23:45
Όγκος(MM)	252.66

Απορροή



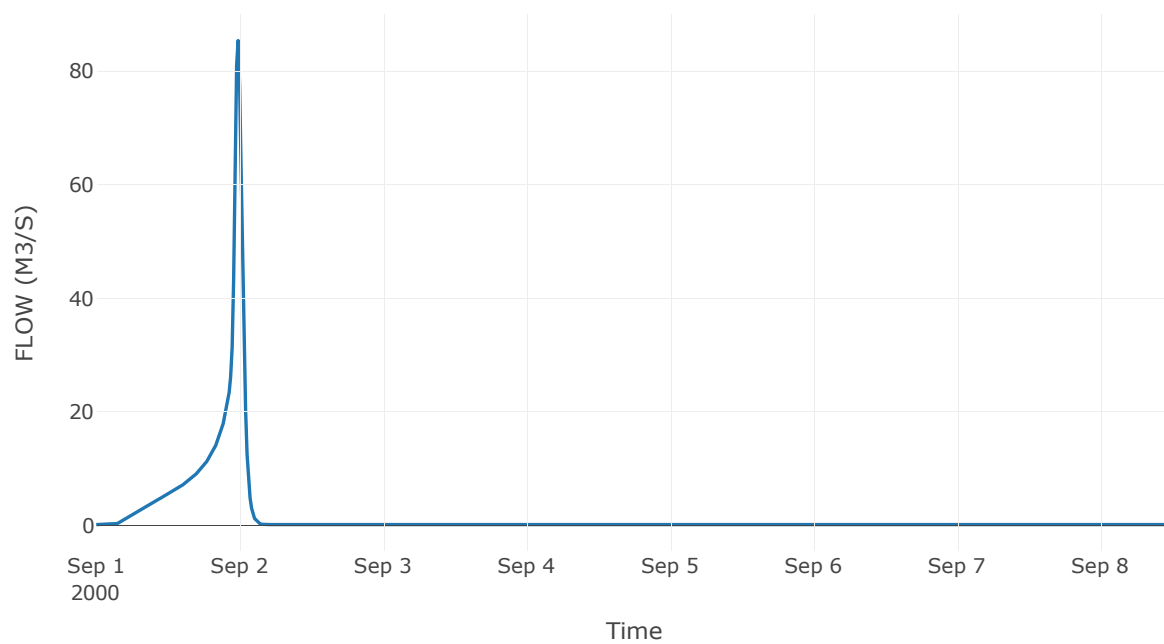
Κόμβος: J8

Κατάντη : R87

Αποτελέσματα: J8

Παροχή Αιχμής(M3/S)	85.4
Χρονική στιγμή αιχμής	01Sep2000, 23:45
Όγκος(MM)	240.69

Απορροή



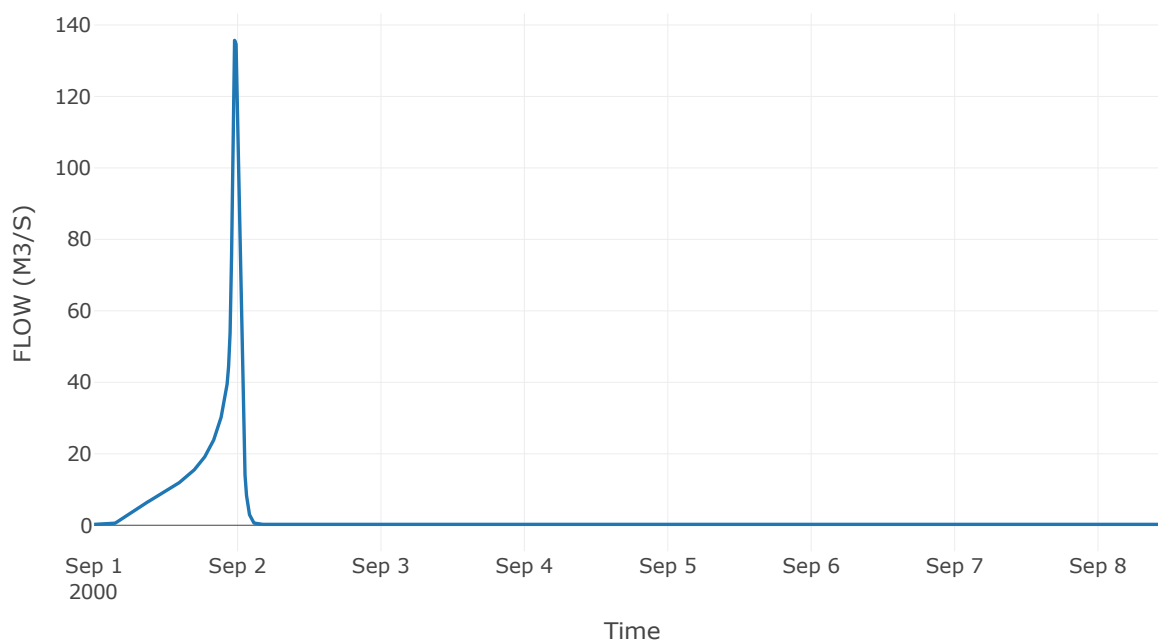
Κόμβος: J9

Κατάντη : R97

Αποτελέσματα: J9

Παροχή Αιχμής(M3/S)	135.7
Χρονική στιγμή αιχμής	01Sep2000, 23:30
Όγκος(MM)	261.65

Απορροή



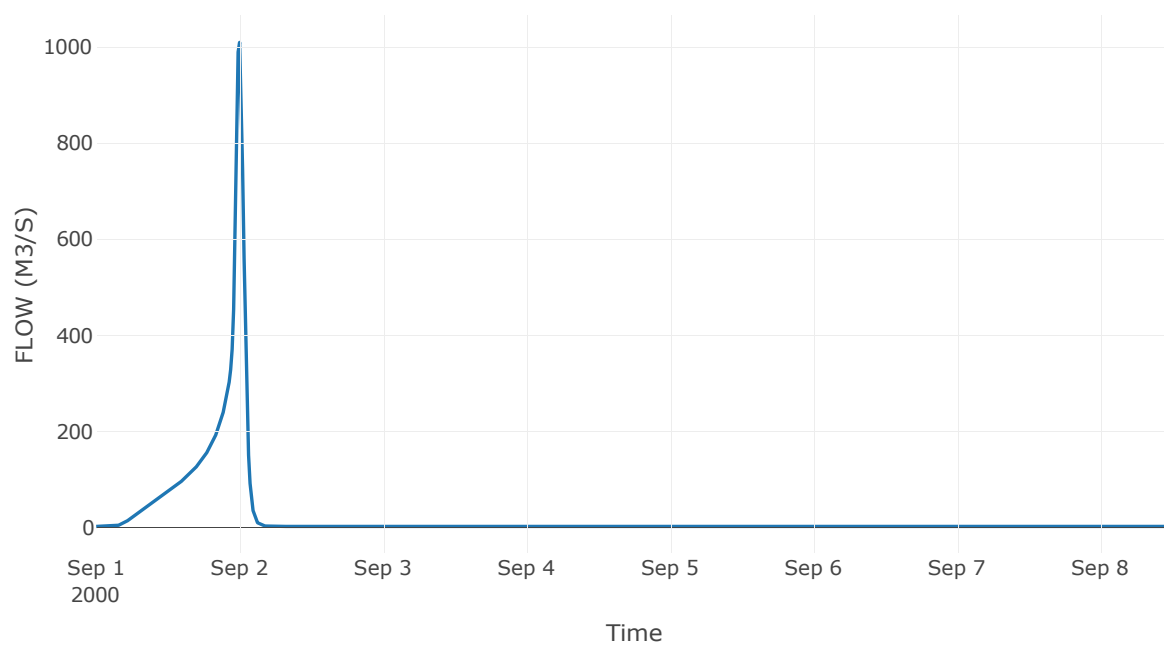
Κόμβος: J10

Κατάντη : R104

Αποτελέσματα: J10

Παροχή Αιχμής(M3/S)	1010.45
Χρονική στιγμή αιχμής	01Sep2000, 24:00
Όγκος(MM)	254.39

Απορροή



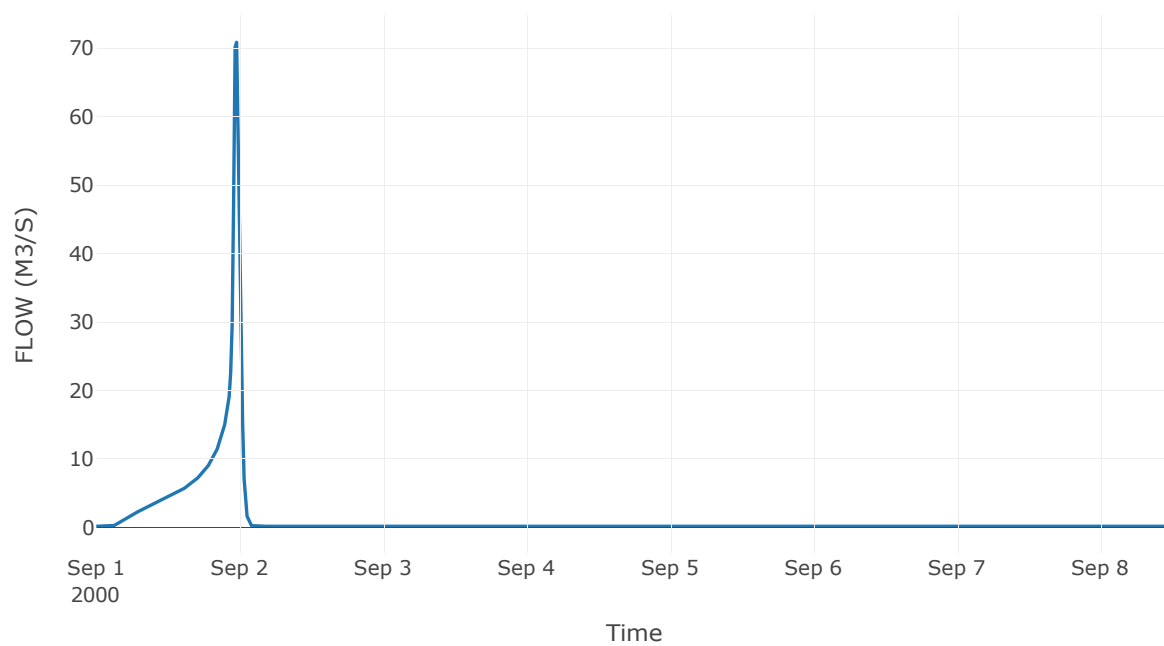
Κόμβος: J11

Κατάντη : R1110

Αποτελέσματα: J11

Παροχή Αιχμής(M3/S)	70.83
Χρονική στιγμή αιχμής	01Sep2000, 23:30
Όγκος(MM)	261.32

Απορροή



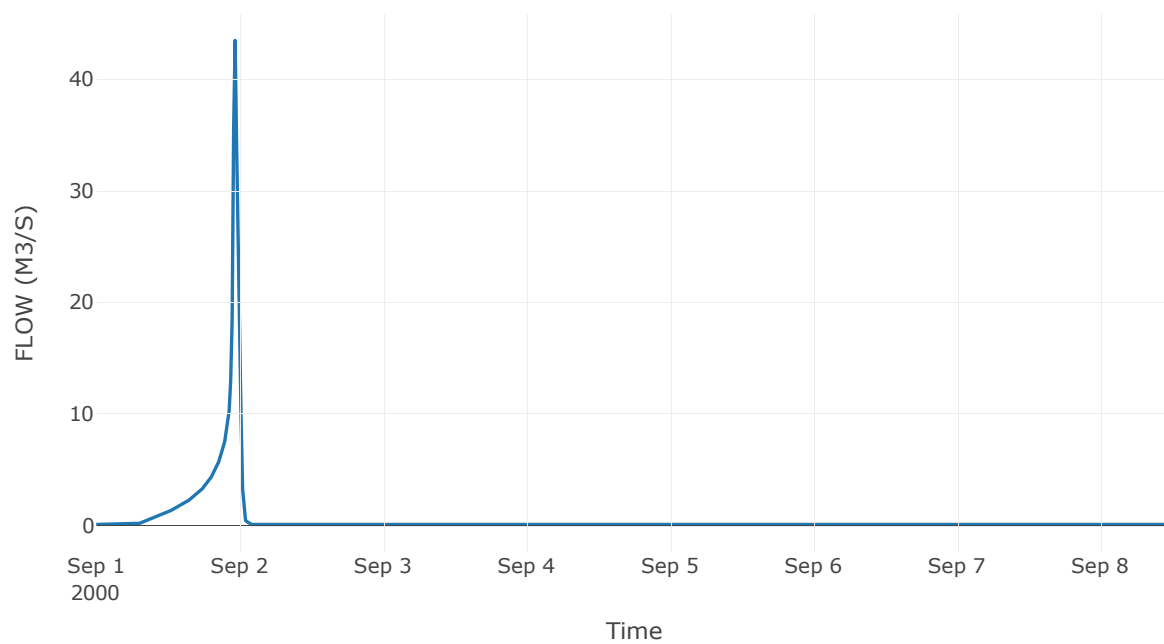
Κόμβος: J12

Κατάντη : R125

Αποτελέσματα: J12

Παροχή Αιχμής(M3/S)	43.49
Χρονική στιγμή αιχμής	01Sep2000, 23:15
Όγκος(MM)	190.53

Απορροή

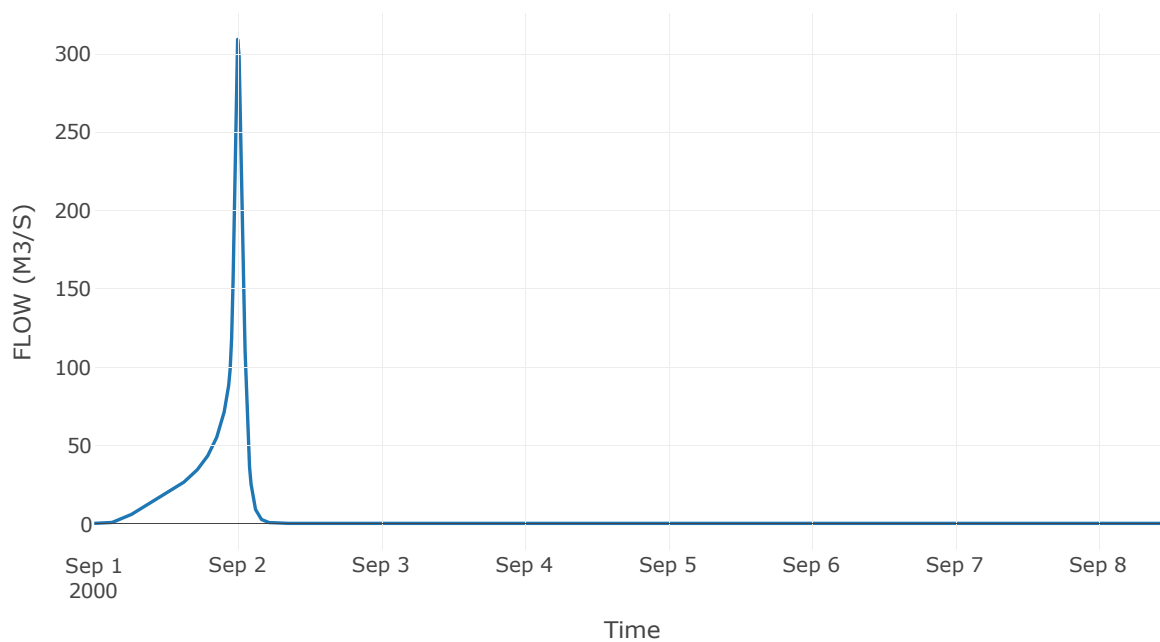


Κόμβος εξόδου: J13

Αποτελέσματ
α: J13

Παροχή αιχμής (M3/S)	309.33
Χρονική στιγμή αιχμής	01Sep2000, 24:00
Όγκος (MM)	265.75

Απορροή



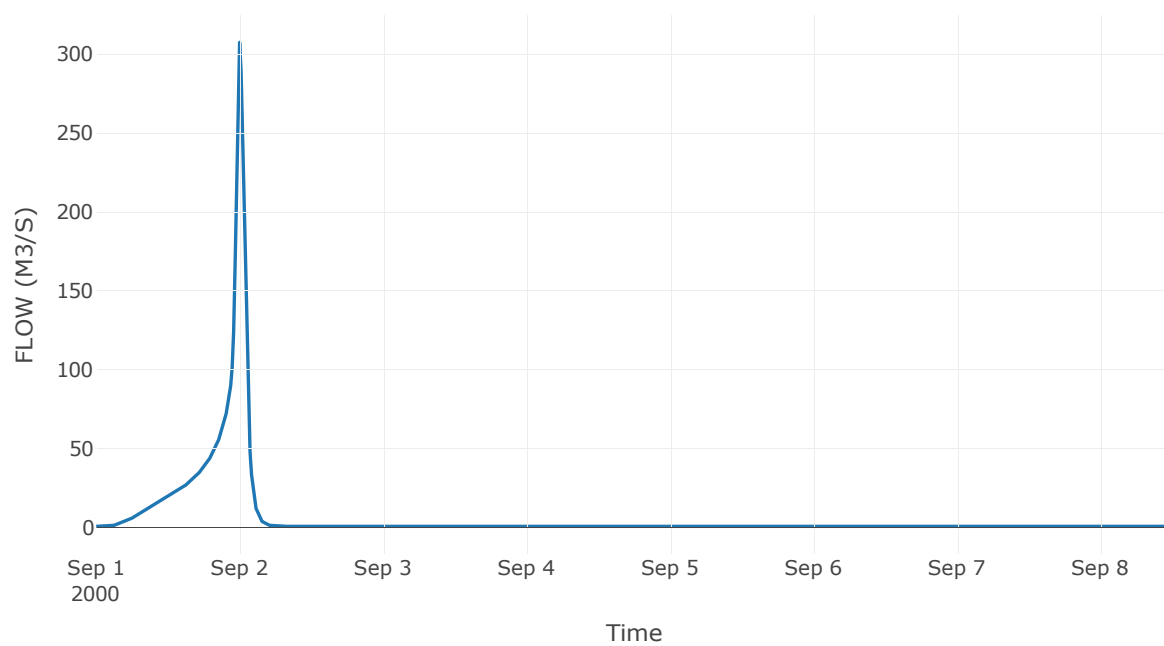
Κόμβος: J14

Κατάντη : R1413

Αποτελέσματα: J14

Παροχή Αιχμής(M3/S)	307.53
Χρονική στιγμή αιχμής	01Sep2000, 24:00
Όγκος(MM)	265.34

Απορροή



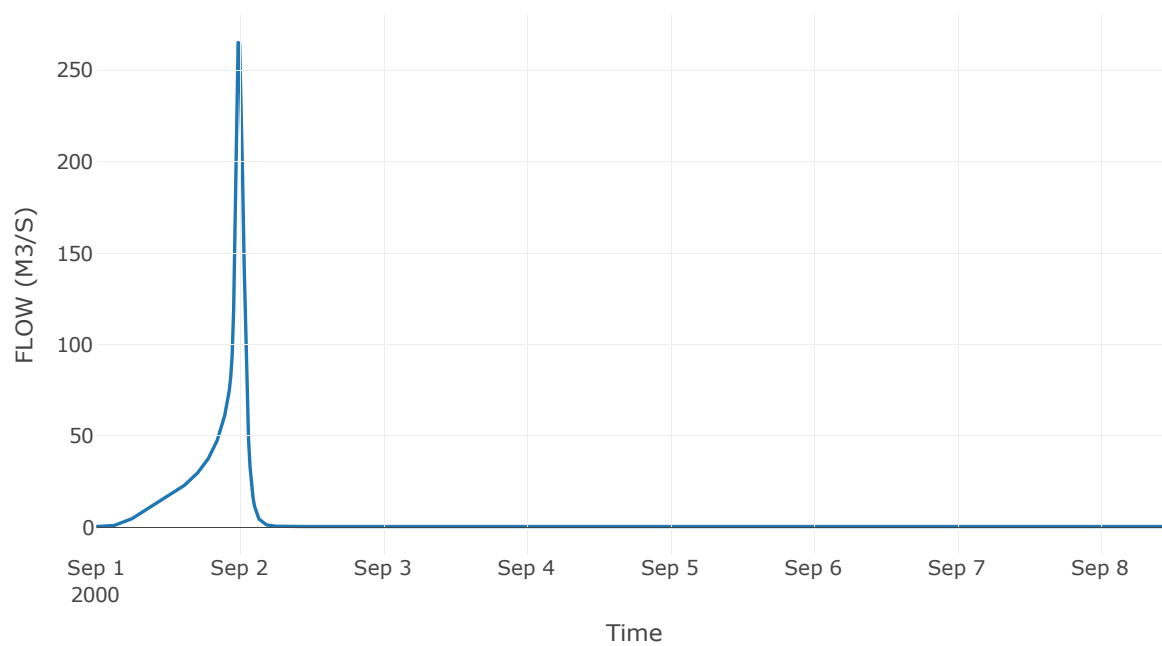
Κόμβος: J15

Κατάντη : R1514

Αποτελέσματα: J15

Παροχή Αιχμής(M3/S)	265.37
Χρονική στιγμή αιχμής	01Sep2000, 23:45
Όγκος(MM)	258.13

Απορροή



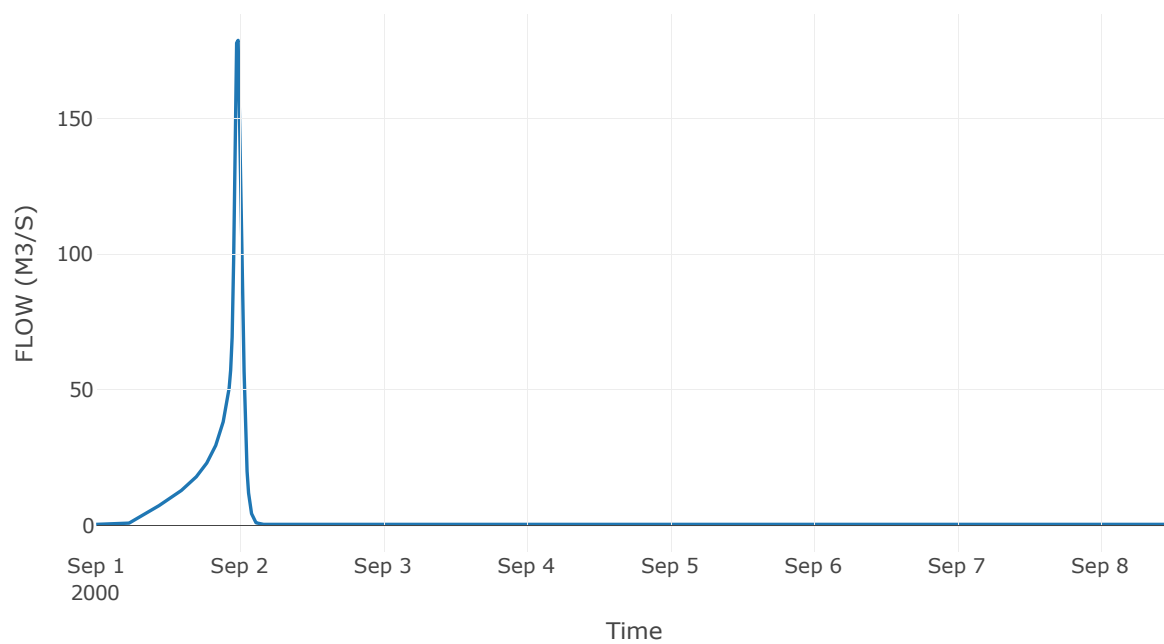
Κόμβος: J16

Κατάντη : R1615

Αποτελέσματα: J16

Παροχή Αιχμής(M3/S)	178.81
Χρονική στιγμή αιχμής	01Sep2000, 23:45
Όγκος(MM)	229.15

Απορροή



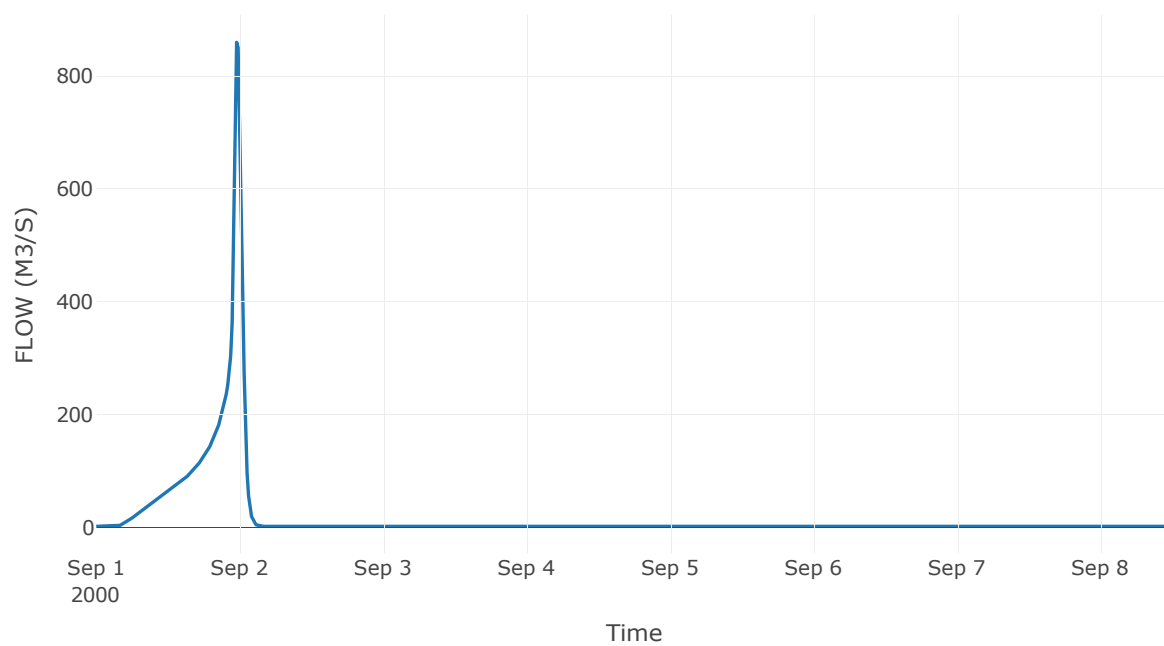
Κόμβος: J17

Κατάντη : R1720

Αποτελέσματα: J17

Παροχή Αιχμής(M3/S)	859.52
Χρονική στιγμή αιχμής	01Sep2000, 23:30
Όγκος(MM)	249.58

Απορροή



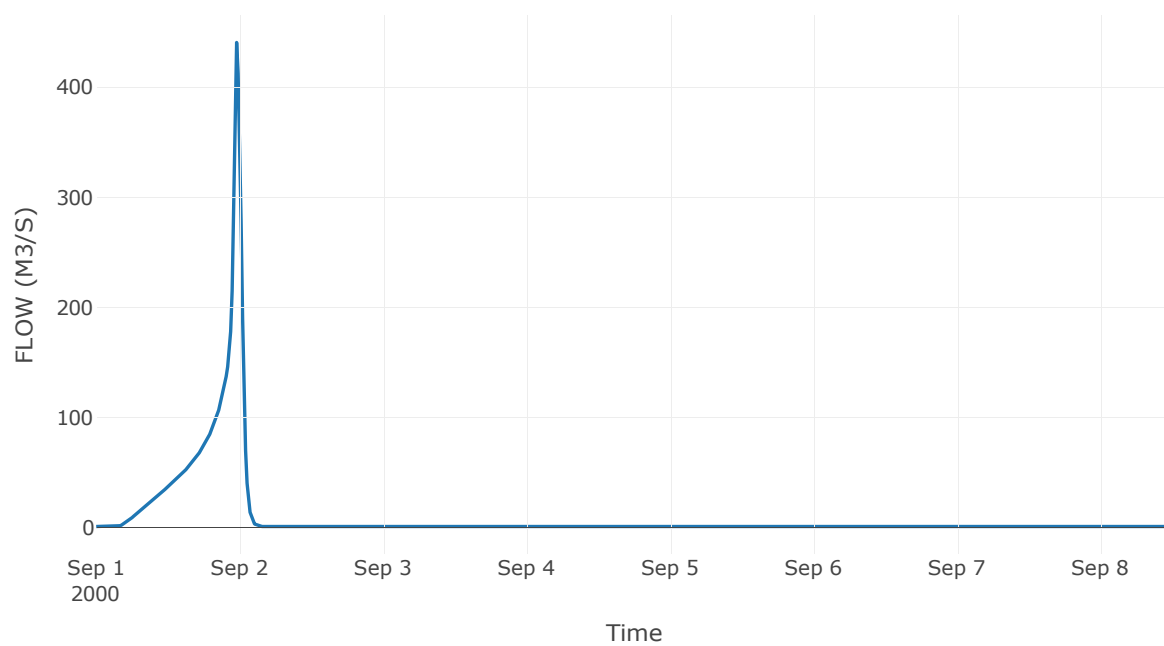
Κόμβος: J18

Κατάντη : R1817

Αποτελέσματα: J18

Παροχή Αιχμής(M3/S)	440.92
Χρονική στιγμή αιχμής	01Sep2000, 23:30
Όγκος(MM)	232.57

Απορροή



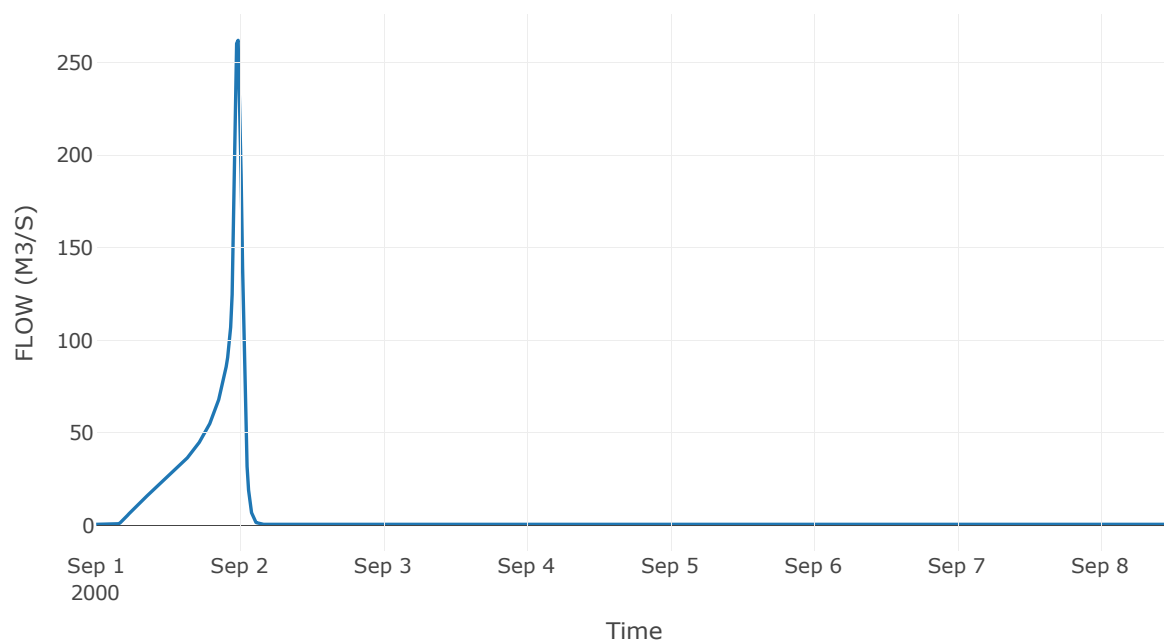
Κόμβος: J19

Κατάντη : R1918

Αποτελέσματα: J19

Παροχή Αιχμής(M3/S)	261.95
Χρονική στιγμή αιχμής	01Sep2000, 23:45
Όγκος(MM)	248.55

Απορροή



Κόμβος: J20

Κατάντη : R2010

Αποτελέσματα: J20

Παροχή Αιχμής(M3/S)	882.85
Χρονική στιγμή αιχμής	01Sep2000, 23:45
Όγκος(MM)	250.52

Απορροή

